



Finanziato
dall'Unione europea
NextGenerationEU



PROVINCIA
DI
POTENZA

PROVINCIA DI POTENZA
UFFICIO EDILIZIA E PATRIMONIO
Piazza Mario Pagano - 85100 Potenza





Il Responsabile Unico del Procedimento
Ing. Enrico Spera

FINANZIAMENTO: **P.N.R.R.** Piano Nazionale di Ripresa e Resilienza. Missione 4 – Istruzione e Ricerca – Componente 1 – Potenziamento dell'offerta dei servizi di istruzione: dagli asili nido alle università – Investimento 1.3: Piano per le infrastrutture per lo sport nelle scuole

INCARICO: Progettazione definitiva/esecutiva, compresa la relazione geologica e il coordinamento della sicurezza in fase di progettazione riguardante la **“Realizzazione della Palestra dell'istituto “Nitti-Da Vinci-Falcone” di Potenza** (Cod.edificio 0760630518) - CUP H35E22000120006



PROGETTO ESECUTIVO
(artt. 33-43 del d.P.R. 207/2010)

| | | | | | | | |
|----------------------------|--------------------|----------------------------------------------------------------------------------------------------------------------------------------------------------------------------------------------------------------------------------------------------------------------------------------------------------------------------------------------------------------------------------------------------------------------------------------------------------------------------------------------------------------------------------------------------------------------------------------------------------------------------------------------------------------------------------------------------------------------------------------------------------------------------------------|---------------|----------------|--------------|----------|--|
| N° ELABORATO: | | DESCRIZIONE ELABORATO: | | | | SCALA: | |
| STR.03 | | Relazione sulle fondazioni e verifiche geotecniche | | | | | |
| PROGETTISTA INCARICATO: | | <div><div>Società di ingegneria 3DLiFe srl Viale del Seminario maggiore 35 85100 Potenza P.Iva: 01654040763 email: ingegneria@3dlife.it</div><div></div><div><div>Legale rappresentante e Direttore Tecnico Ing. Lucio LISANTI Società di ingegneria Via Seminario Maggiore 35 85100 Potenza (PZ) P.Iva 01654040763 legale rappresentante Ing. Lisanti lucio</div></div></div> | | | | | |
| STUDI GEOLOGICI: | | <div><div>Geol. Massimo Coviello Via Bertazzoni, 13 – 85100 Potenza E-mail: m.coviello@tiscali.it P.E.C.: m.coviello@pec.it Mobile: +393477877783</div><div>Geol. Massimo COVIELLO</div></div> | | | | | |
| IDRev | Set Trasmissione | Nome Modifica | Modificato da | Controllato da | Approvato da | Data | |
| 01 | Consegna ESECUTIVO | | AC | LL | LL | 11/12/23 | |
| | | | | | | | |

Calcoli strutturali relativi
ai lavori di ultimazione di un fabbricato adibito ad albergo-ristorante
sito in
Contrada Case Nuove Chicone
Avigliano (Potenza)

Relazione Geotecnica e delle Fondazioni

| | | | |
|--------------------------------------|----------------------------------------------------------------------------------------------------------------------|----------------------------------------------------------------------------------|-------------|
| COMMITTENTE: Mecca Antonio | CODICE COMMESSA: | NOME ELABORATO: S1.5 - Relazione Geotecnica e delle Fondazioni | CONSULENTE: |
| DATA: Aprile 2023 | TITOLO: Lavori ultimazione di un fabbricato adibito ad albergo-ristorante– C.da Case Nuove Chicone Avigliano (PZ) | | |

Indice

| | |
|-----------------------------------------------------------------------------------|----|
| 1. Premessa | 5 |
| 2. Descrizione delle strutture | 5 |
| 3. Normative di riferimento..... | 10 |
| 4. Caratteristiche meccaniche dei materiali..... | 11 |
| 4.1. Calcestruzzo | 11 |
| 4.2. Analisi di durabilità e calcolo del copriferro | 12 |
| 4.2.1. Requisiti di durabilità | 12 |
| 4.2.2. Condizioni ambientali | 13 |
| 4.2.3. Calcolo del copriferro | 14 |
| 4.2.4. Riepilogo valori..... | 16 |
| 4.3. Acciaio per armature..... | 16 |
| 4.4. Acciaio per carpenteria metallica | 17 |
| 4.5. Bulloni..... | 17 |
| 4.6. Classe di Esecuzione delle Strutture in Carpenteria Metallica..... | 17 |
| 4.7. Legno lamellare | 19 |
| 5. Caratterizzazione geotecnica..... | 19 |
| 5.1. Campagna di indagine | 19 |
| 5.2. Classificazione sismica del sottosuolo | 20 |
| 5.3. Stratigrafia di progetto..... | 20 |
| 6. Analisi dei carichi..... | 21 |
| 6.1. Analisi dei carichi fabbricato in c.a. | 21 |
| 6.2. Analisi dei carichi scala in acciaio | 23 |
| 6.1. Carico neve | 24 |
| 7. Azione sismica..... | 24 |
| 7.1. Vita nominale di progetto | 24 |
| 7.2. Classe d'uso | 25 |
| 7.3. Coefficiente d'uso | 25 |
| 7.4. Periodo di riferimento per l'azione sismica | 25 |
| 7.5. Coefficienti azione sismica..... | 26 |
| 7.6. Categoria di sottosuolo | 27 |
| 7.7. Condizioni topografiche e coefficiente di amplificazione stratigrafica | 27 |
| 7.8. Comportamento strutturale | 27 |

Relazione Geotecnica e delle Fondazioni

| | | |
|---------|----------------------------------------------------------------------------------------|----|
| 7.9. | Amplificazione stratigrafica | 28 |
| 7.10. | Valutazione dello spettro elastico in accelerazione delle componenti orizzontali | 28 |
| 7.11. | Fattore di comportamento fabbricato in c.a. | 32 |
| 7.12. | Fattore di comportamento scala in carpenteria metallica | 32 |
| 7.13. | Spettro di progetto della componente orizzontale | 33 |
| 7.14. | Valutazione degli spostamenti | 33 |
| 8. | Combinazioni di carico..... | 34 |
| 8.1. | Combinazioni di carico per stati limite ultimi..... | 34 |
| 8.2. | Combinazioni di carico per stati limite di esercizio | 35 |
| 9. | Fabbricato in c.a. | 35 |
| 9.1. | Risultati delle Analisi strutturali | 35 |
| 9.2. | Modello F.E.M. della struttura | 35 |
| 9.3. | Risultati delle analisi strutturali con modellazione F.E.M. | 36 |
| 10. | Verifica degli elementi strutturali | 36 |
| 11. | Elementi di fondazione fabbricato in c.a..... | 36 |
| 11.1. | Approccio progettuale | 37 |
| 11.2. | Pressioni su elementi di fondazione | 37 |
| 11.3. | Verifica carico limite verticale ed a scorrimento – platea | 39 |
| 11.4. | Verifica strutturale della platea di fondazione. | 42 |
| 11.5. | Verifica a punzonamento | 47 |
| 11.6. | Fondazione verifiche agli stati limite di esercizio (S.L.E.) | 53 |
| 11.6.1. | Cedimenti | 53 |
| 12. | Scala emergenza in carpenteria metallica..... | 54 |
| 12.1. | Descrizione della struttura | 54 |
| 12.2. | Risultati delle Analisi strutturali | 57 |
| 12.3. | Modello F.E.M. della struttura | 57 |
| 12.4. | Risultati delle analisi strutturali con modellazione F.E.M. | 57 |
| 13. | Elementi di fondazione scala in acciaio..... | 57 |
| 13.1. | Approccio progettuale | 58 |
| 13.2. | Pressioni su elementi di fondazione | 58 |
| 13.3. | Verifica carico limite verticale ed a scorrimento – platea | 59 |
| 13.4. | Verifica strutturale della platea di fondazione. | 61 |
| 13.5. | Fondazione verifiche agli stati limite di esercizio (S.L.E.) | 63 |
| 13.6. | Cedimenti | 64 |
| 14. | Verifica opera di sostegno | 65 |

| | | | |
|--------------------------------------|----------------------------------------------------------------------------------------------------------------------|----------------------------------------------------------------------------------|-------------|
| COMMITTENTE: Mecca Antonio | CODICE COMMESSA: | NOME ELABORATO: S1.5 - Relazione Geotecnica e delle Fondazioni | CONSULENTE: |
| DATA: Aprile 2023 | TITOLO: Lavori ultimazione di un fabbricato adibito ad albergo-ristorante– C.da Case Nuove Chicone Avigliano (PZ) | | |

15. Allegato B – Fascicolo dei calcoli211

Relazione Geotecnica e delle Fondazioni

1. Premessa

La presente relazione di calcolo viene redatta al fine di esporre i criteri di progettazione, in funzione delle scelte architettoniche, adottati per la progettazione relativa ai lavori di ultimazione di un fabbricato adibito ad albergo-ristorante comprendenti un edificio in c.a. su due livelli adibito a vano ascensore e vano scala, una scala di emergenza in carpenteria metallica, ed un'opera di sostegno in c.a. Le opere saranno realizzate nel Comune di Avigliano in contrada Case Nuove Chicone.

2. Descrizione delle strutture

La struttura in c.a. ospitante il vano ascensore ed il vano scala è costituita da 2 livelli fuori terra; gli elementi verticali sono costituiti da pilastri in c.a. (30x50 cm) e da setti (spessore 20 cm) adoperati per il vano ascensore e per il vano scala mentre il primo orizzontamento è costituito da solai in latero-cemento con spessore pari a 25 cm. Le travi in c.a. a primo livello e copertura hanno sezione pari a 30x50 cm. Si riporta di seguito un estratto delle carpenterie:

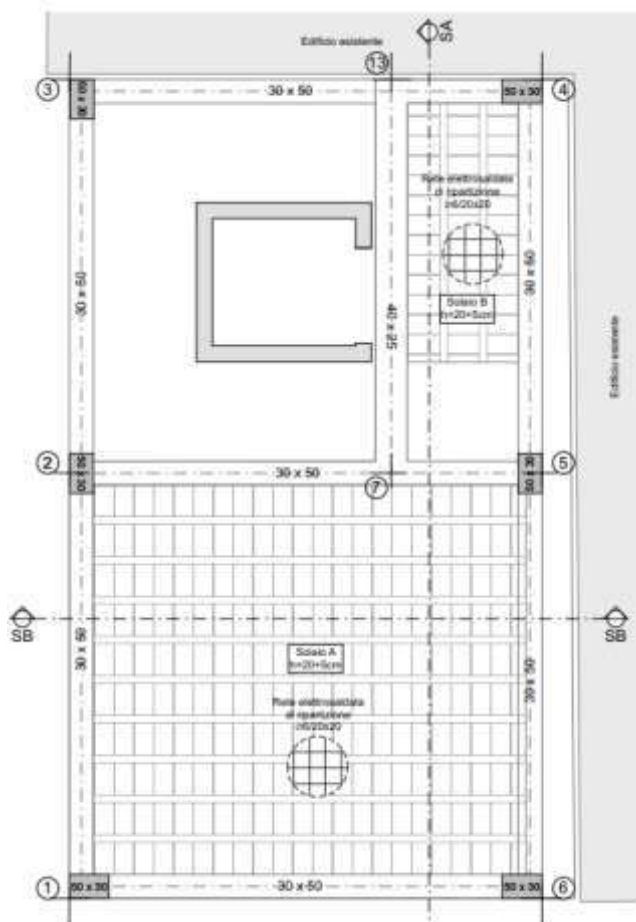


Figura 1 - Impalcato

Per la realizzazione della scala si sono adoperate solette con spessore pari a 16 cm per le rampe e soletta con spessore pari a 20 cm per i pianerottoli intermedi; si adoperano 2 setti

| | | | |
|--------------------------------------|------------------------------------------------------------------------------------------------------------------------------|----------------------------------------------------------------------------------|-------------|
| COMMITTENTE: Mecca Antonio | CODICE COMMESSA: | NOME ELABORATO: S1.5 - Relazione Geotecnica e delle Fondazioni | CONSULENTE: |
| DATA: Aprile 2023 | TITOLO: Lavori ultimazione di un fabbricato adibito ad albergo-ristorante– C.da Case Nuove Chicone Avigliano (PZ) | | |

verticali di spessore 20 cm a sostegno di rampe e pianerottoli. Si riporta di seguito un estratto di carpenteria:

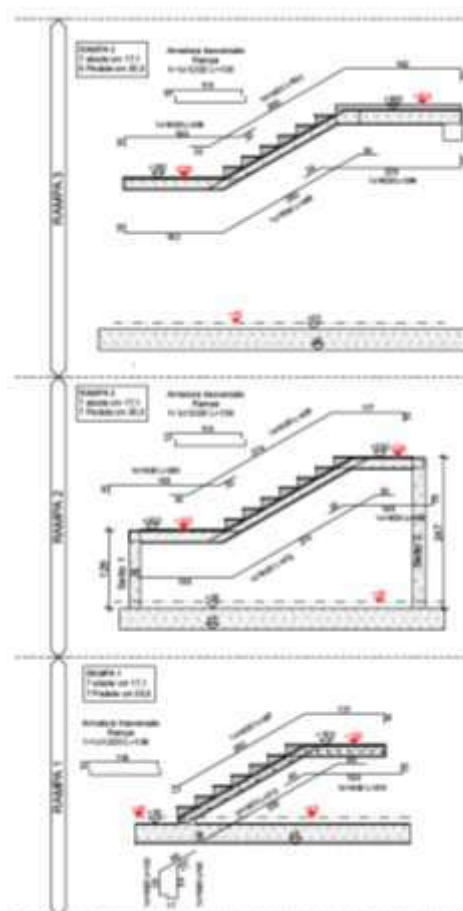


Figura 2 - Scale

Per la copertura in legno lamellare si è scelto di adoperare una orditura secondaria costituita da elementi con sezione pari a 12x20 cm poggianti su una trave principale realizzata con sezione pari a 14x28 cm e sulle travi in c.a. di perimetro come evidenziato nel seguente estratto di carpenteria:

Relazione Geotecnica e delle Fondazioni



Figura 3 - Copertura

Il sistema di fondazione è di tipo diretto realizzato a mezzo di piastra di fondazione avente spessore pari a 35 cm e nell'immagine seguente si riportano alcuni estratti di carpenteria:



Figura 4 - Pianta fondazioni

La scala di emergenza in carpenteria metallica viene realizzata adoperando per gli elementi verticali profili HEA200, mentre per i cosciali e gli elementi di piano si adopera una sezione UNP220; il sistema di fondazione è di tipo diretto ed è realizzato con platea in c.a. di spessore pari a 40 cm. La geometria della struttura è rappresentata nelle seguenti immagini:

| | | | |
|--------------------------------------|----------------------------------------------------------------------------------------------------------------------|----------------------------------------------------------------------------------|-------------|
| COMMITTENTE: Mecca Antonio | CODICE COMMESSA: | NOME ELABORATO: S1.5 - Relazione Geotecnica e delle Fondazioni | CONSULENTE: |
| DATA: Aprile 2023 | TITOLO: Lavori ultimazione di un fabbricato adibito ad albergo-ristorante- C.da Case Nuove Chicone Avigliano (PZ) | | |

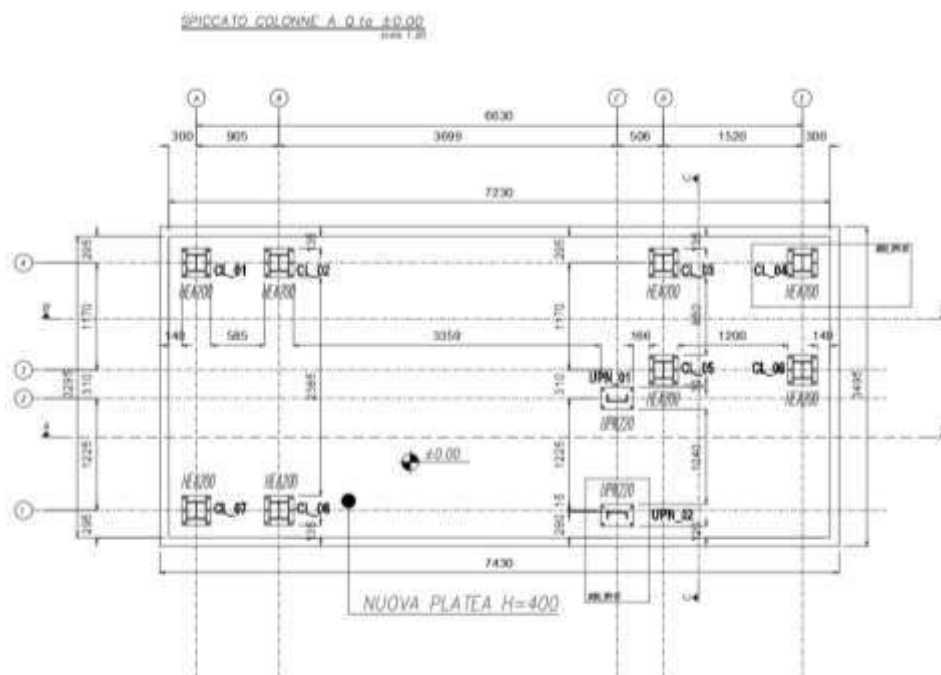


Figura 5 - Fondazione

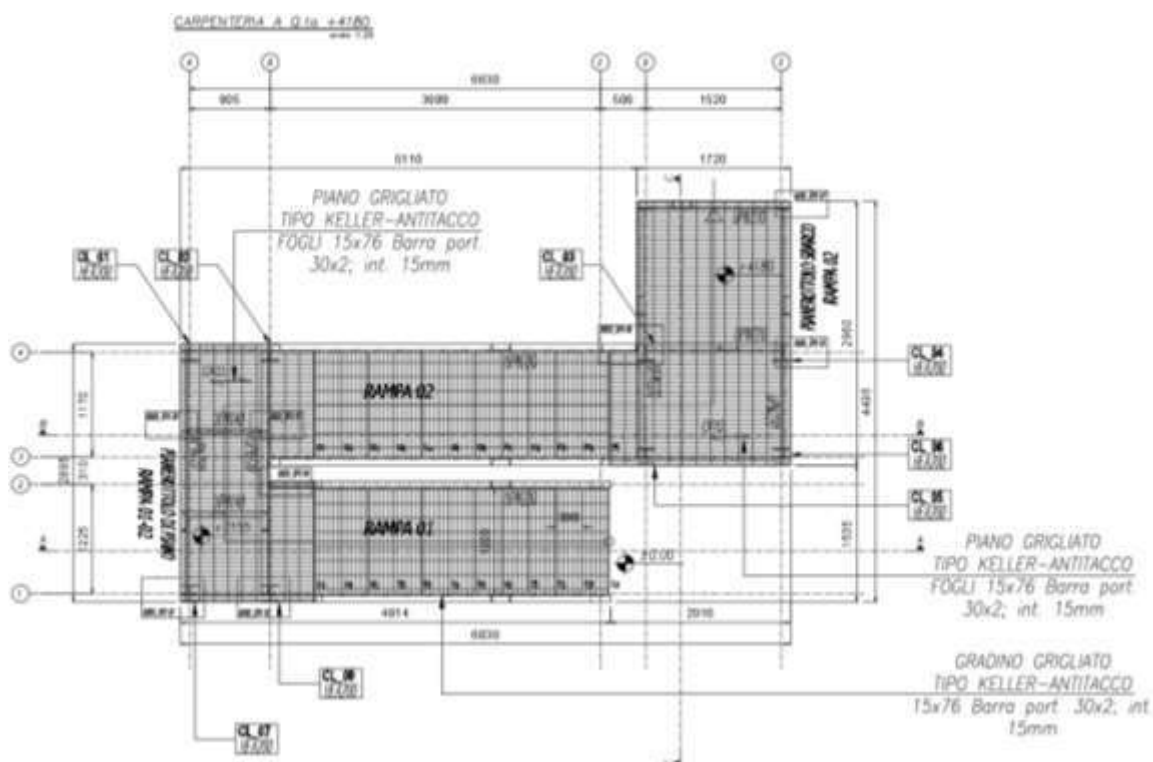


Figura 6 - Pianta



Pag. 9 a 469

| | | | |
|--------------------------------------|----------------------------------------------------------------------------------------------------------------------|----------------------------------------------------------------------------------|-------------|
| COMMITTENTE: Mecca Antonio | CODICE COMMESSA: | NOME ELABORATO: S1.5 - Relazione Geotecnica e delle Fondazioni | CONSULENTE: |
| DATA: Aprile 2023 | TITOLO: Lavori ultimazione di un fabbricato adibito ad albergo-ristorante– C.da Case Nuove Chicone Avigliano (PZ) | | |

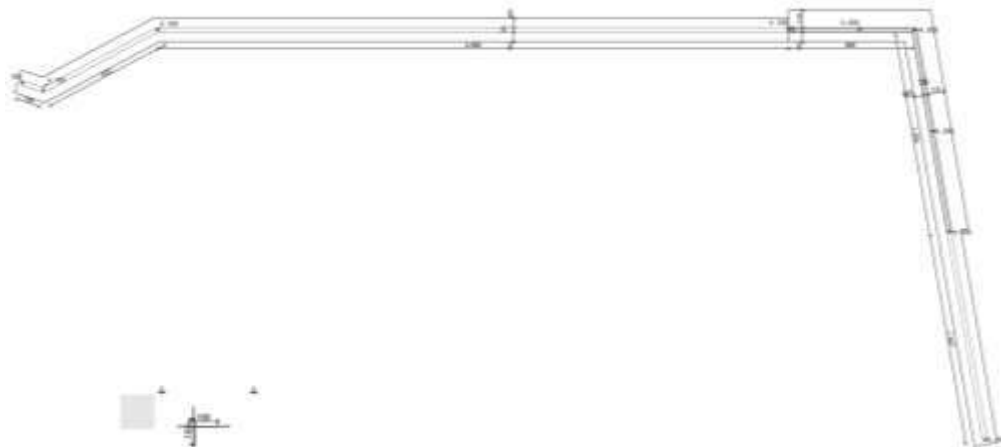


Figura 9 – Planimetria

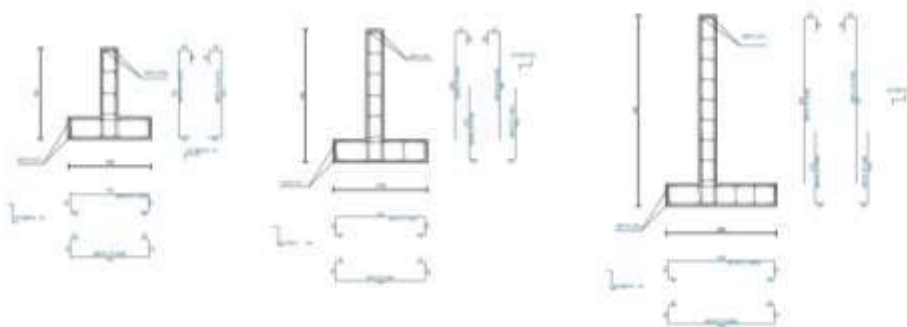


Figura 10 - Sezioni strutturali

3. Normative di riferimento

Azioni sulle strutture

- D.M. 17 gennaio 2018. “Aggiornamento delle Norme tecniche per le costruzioni – Cap. 2-3”.
- CIRCOLARE 21 gennaio 2019, n. 7 C.S.LL.PP.;

Strutture in acciaio e c.a.

- D.M. 17 gennaio 2018. “Aggiornamento delle Norme tecniche per le costruzioni – Cap. 4-6-11”.
- CIRCOLARE 21 gennaio 2019, n. 7 C.S.LL.PP.;
- Linee guida sul calcestruzzo strutturale – Presidenza del Consiglio Superiore dei Lavori Pubblici Servizio Tecnico Centrale.

Progettazione per azioni sismiche

- D.M. 17 gennaio 2018. “Aggiornamento delle Norme tecniche per le costruzioni – Cap. 7”.
- CIRCOLARE 21 gennaio 2019, n. 7 C.S.LL.PP.;

Progettazione Geotecnica

Relazione Geotecnica e delle Fondazioni

- D.M. 17 gennaio 2018. “Aggiornamento delle Norme tecniche per le costruzioni – Cap. 6”.
- CIRCOLARE 21 gennaio 2019, n. 7 C.S.LL.PP.;

Materiali

- D.M. 17 gennaio 2018. “Aggiornamento delle Norme tecniche per le costruzioni – Cap. 11 - 4”.
- CIRCOLARE 21 gennaio 2019, n. 7 C.S.LL.PP.;

Relazioni di calcolo

- D.M. 17 gennaio 2018. “Aggiornamento delle Norme tecniche per le costruzioni”.
- CIRCOLARE 21 gennaio 2019, n. 7 C.S.LL.PP.;

4. Caratteristiche meccaniche dei materiali

4.1. Calcestruzzo

Per il caso in esame si è adoperato un calcestruzzo con classe di resistenza C35/45 e C25/30 per i muri di sostegno e la platea di fondazione della scala in carpenteria metallica le cui caratteristiche meccaniche vengono di seguito riportate:

| Classe cls | C35/45 | | (Tabella 4.1.1) | |
|----------------------------------------------------------|-----------------|----------------|------------------------------------------|---------------|
| Resistenza Cubica Caratteristica | $R_{ck} =$ | 45.00 [MPa] | | |
| Resistenza Cilindrica Caratteristica | $f_{ck} =$ | 37.35 [MPa] | | (11.2.10.1) |
| Valore medio della resistenza cilindrica | $f_{cm} =$ | 45.35 [MPa] | $f_{cm} = f_{ck} + 8$ | (11.2.10.1) |
| Coefficiente parziale di sicurezza relativo al cls | $\gamma_c =$ | 1.5 | | (4.1.2.1.1.1) |
| Coefficiente riduttivo per le resistenze di lunga durata | $\alpha_{cc} =$ | 0.85 | | (4.1.2.1.1.1) |
| Resistenza di calcolo a compressione | $f_{cd} =$ | 21.17 [MPa] | $f_{cd} = \alpha_{cc} f_{ck} / \gamma_c$ | (4.1.2.1.1.1) |
| Resistenza media a trazione semplice (assiale) | $f_{ctm} =$ | 3.35 [MPa] | $f_{ctm} = 0,30 f_{ck}^{2/3}$ | (11.2.10.2) |
| Resistenza a trazione caratteristica | $f_{ctk} =$ | 2.35 [MPa] | $f_{ctk} = 0,7 f_{ctm}$ | (11.2.10.2) |
| Resistenza media a trazione per flessione | $f_{cfm} =$ | 4.02 [MPa] | $f_{cfm} = 1,2 f_{ctm}$ | (11.2.10.2) |
| Resistenza di calcolo a trazione | $f_{ctd} =$ | 1.56 [MPa] | $f_{ctd} = f_{ctk} / \gamma_c$ | (4.1.2.1.1.2) |
| Coefficiente di Poisson | $\nu =$ | 0.2 | | (11.2.10.4) |
| | $G =$ | 14427.29 [MPa] | | |
| Modulo elastico | $E_{cm} =$ | 34625.49 [MPa] | $E_{cm} = 22000 [f_{cm}/10]^{0.3}$ | (11.2.10.3) |

| | | | |
|--------------------------------------|------------------------------------------------------------------------------------------------------------------------------|----------------------------------------------------------------------------------|-------------|
| COMMITTENTE: Mecca Antonio | CODICE COMMESSA: | NOME ELABORATO: S1.5 - Relazione Geotecnica e delle Fondazioni | CONSULENTE: |
| DATA: Aprile 2023 | TITOLO: Lavori ultimazione di un fabbricato adibito ad albergo-ristorante– C.da Case Nuove Chicone Avigliano (PZ) | | |

| | | | | |
|----------------------------------------------------------|-----------------|----------|-------|--------------------------------------------------------|
| Classe cls | | C25/30 | | (Tabella 4.1.1) |
| Resistenza Cubica Caratteristica | $R_{ck} =$ | 30.00 | [MPa] | |
| Resistenza Cilindrica Caratteristica | $f_{ck} =$ | 24.90 | [MPa] | $f_{ck} = 0.83 * R_{ck}$ (11.2.10.1) |
| Valore medio della resistenza cilindrica | $f_{cm} =$ | 32.90 | [MPa] | $f_{cm} = f_{ck} + 8$ (11.2.10.1) |
| Coefficiente parziale di sicurezza relativo al cls | $\gamma_c =$ | 1.5 | | (4.1.2.1.1.1) |
| Coefficiente riduttivo per le resistenze di lunga durata | $\alpha_{cc} =$ | 0.85 | | (4.1.2.1.1.1) |
| Resistenza di calcolo a compressione | $f_{cd} =$ | 14.11 | [MPa] | $f_{cd} = \alpha_{cc} f_{ck} / \gamma_c$ (4.1.2.1.1.1) |
| Resistenza media a trazione semplice (assiale) | $f_{ctm} =$ | 2.56 | [MPa] | $f_{ctm} = 0.30 f_{ck}^{2/3}$ (11.2.10.2) |
| Resistenza a trazione caratteristica | $f_{ctk} =$ | 1.79 | [MPa] | $f_{ctk} = 0.7 f_{ctm}$ (11.2.10.2) |
| Resistenza media a trazione per flessione | $f_{cfm} =$ | 3.07 | [MPa] | $f_{cfm} = 1.2 f_{ctm}$ (11.2.10.2) |
| Resistenza di calcolo a trazione | $f_{ctd} =$ | 1.19 | [MPa] | $f_{ctd} = f_{ctk} / \gamma_c$ (4.1.2.1.1.2) |
| Coefficiente di Poisson | $\nu =$ | 0.2 | | (11.2.10.4) |
| | $G =$ | 13102.98 | [MPa] | |
| Modulo elastico | $E_{cm} =$ | 31447.16 | [MPa] | $E_{cm} = 22000 [f_{cm} / 10]^{0.3}$ (11.2.10.3) |

4.2. Analisi di durabilità e calcolo del copriferro

Una struttura durevole deve soddisfare i requisiti di attitudine al servizio, resistenza e stabilità durante la sua vita utile di progetto, senza presentare perdite significative di funzionalità né richiedere manutenzione straordinaria eccessiva.

La protezione richiesta per la struttura deve essere stabilita considerandone l'utilizzo previsto, la vita utile di progetto, il programma di manutenzione e le azioni. Nel seguito si esplica il calcolo dettagliato per la platea di fondazione della scala in carpenteria metallica. Si procede nella stessa modalità anche per il calcolo delle altre strutture riassumendo i risultati in apposito paragrafo riepilogativo.

4.2.1. Requisiti di durabilità

Per la valutazione della vita utile di progetto richiesta dalla struttura, devono essere prese adeguate disposizioni al fine di proteggere ogni elemento strutturale dalle azioni ambientali.

I requisiti di durabilità devono essere presi in conto quando si considerano:

- La concezione della struttura;
- La scelta dei materiali;
- I dettagli costruttivi;
- L'esecuzione;
- Il controllo di qualità;
- Le verifiche;
- Particolari disposizioni (Per esempio utilizzo di acciaio inossidabile, rivestimenti, protezione catodica);

La vita utile di progetto richiesta dalla struttura coincide con la definizione di "vita nominale" specificata al paragrafo 2.4.1 delle NTC2018.

Relazione Geotecnica e delle Fondazioni

La vita nominale di un'opera strutturale VN è intesa come il numero di anni nel quale la struttura, purché soggetta alla manutenzione ordinaria, deve potere essere usata per lo scopo al quale è destinata.

La vita nominale dei diversi tipi di opere è quella riportata nella Tab. 2.4.I e deve essere precisata nei documenti di progetto.

| TIPI DI COSTRUZIONE | VN |
|--------------------------------------------------------------------------------------------------------|------------|
| Opere provvisorie | ≤ 10 anni |
| Opere ordinarie, ponti, opere infrastrutturali e dighe di dimensioni contenute o di importanza normale | ≥ 50 anni |
| Grandi opere, ponti, opere infrastrutturali e dighe di grandi dimensioni o di importanza strategica | ≥ 100 anni |

Tabella 2.4.I -Vita nominale VN per diversi tipi di opere

Per la struttura in esame si assume una vita utile di progetto < 100 anni

Si riportano i seguenti requisiti della struttura:

Classe di resistenza del Calcestruzzo: C25/30

Elemento dalla forma simile ad una Soletta: si

Controllo di qualità della produzione del Calcestruzzo: si

Tipologia di Acciaio: Ordinario

4.2.2. Condizioni ambientali

Le condizioni di esposizione sono le condizioni chimiche e fisiche alle quali la Le condizioni di esposizione sono le condizioni chimiche e fisiche alle quali la struttura è esposta, in aggiunta alle azioni meccaniche.

Le condizioni ambientali sono classificate secondo il prospetto 4.1, basato sulla EN 206-1. Si osserva che la composizione del calcestruzzo influenza sia la protezione delle armature, sia la resistenza del calcestruzzo agli attacchi.

La classe di esposizione che interessa la struttura è la seguente:

| | |
|------------|--------------------------------------|
| XC2 | Corrosione indotta da carbonatazione |
|------------|--------------------------------------|

| DESCRIZIONE DELL'AMBIENTE |
|----------------------------------|
| Bagnato raramente asciutto |

| Esempi informativi di situazioni a cui possono applicarsi le classi di esposizione |
|-------------------------------------------------------------------------------------------|
|-------------------------------------------------------------------------------------------|

| | | | |
|--------------------------------------|----------------------------------------------------------------------------------------------------------------------|----------------------------------------------------------------------------------|-------------|
| COMMITTENTE: Mecca Antonio | CODICE COMMESSA: | NOME ELABORATO: S1.5 - Relazione Geotecnica e delle Fondazioni | CONSULENTE: |
| DATA: Aprile 2023 | TITOLO: Lavori ultimazione di un fabbricato adibito ad albergo-ristorante– C.da Case Nuove Chicone Avigliano (PZ) | | |

Superfici di Calcestruzzo a contatto con acqua per lungo tempo. Molte Fondazioni

La scelta del calcestruzzo adeguatamente durevole per la protezione dell'armatura dalla corrosione e per la protezione del calcestruzzo dagli attacchi, richiede considerazioni sulla composizione del calcestruzzo. Questo può comportare una resistenza a compressione del calcestruzzo maggiore di quella richiesta dal progetto strutturale.

Pertanto per la struttura si richiede una classe di resistenza minima di: **C25/30**

4.2.3. Calcolo del copriferro

Il copriferro è la distanza tra la superficie esterna dell'armatura (inclusi staffe, Il copriferro è la distanza tra la superficie esterna dell'armatura (inclusi staffe, collegamenti e rinforzi superficiali, se presenti) più prossima alla superficie del calcestruzzo e la superficie stessa del calcestruzzo.

Questa distanza dovrà essere maggiore o al massimo uguale al copriferro nominale di seguito definito.

Il copriferro nominale deve essere indicato sui disegni. Esso è definito nel modo seguente:



Dove "**C_{nom}**" è il valore nominale di progetto, "**C_{min}**" è il valore minimo del copriferro e "**ΔC_{dev}**" è la tolleranza di esecuzione relativa al copriferro.

Per le costruzioni ordinarie è assunta pari a 10mm, mentre nel caso di produzione in stabilimento con controlli molto rigorosi si assume 5mm.

Tolleranza di esecuzione relativa al copriferro: **ΔC_{dev} = 5 mm**

ore minimo del copriferro è dato dal massimo valore contenuto nella parentesi:



"**C_{min,b}**" è il copriferro necessario alla trasmissione delle tensioni tangenziali di aderenza; esso è da assumersi pari al diametro della barra quando l'armatura è isolata e nel caso di armature raggruppate si dovrà uguagliare al diametro equivalente delle barre:



Se la dimensione massima nominale dell'aggregato è maggiore di 32 allora "**C_{min,b}**" deve essere aumentato di 5mm.

Relazione Geotecnica e delle Fondazioni

Il numero di barre raggruppate è: **2**
 Il diametro equivalente delle barre è: **23 mm**
 Copriferro minimo per la trasmissione delle tensioni tangenziali di aderenza:
 $C_{min,b} = 23 \text{ mm}$

" **$C_{min,dur}$** " è il copriferro minimo correlato alle condizioni ambientali, la sua determinazione è legata alla classe strutturale, parametro che tiene conto della vita nominale della struttura, e alla classe ambientale, parametri che tengono conto della degradazione a cui potrebbe essere sottoposto il manufatto a causa dell'esposizione ambientale; essi sono stabiliti attraverso le classi di esposizione ambientali.

La classe strutturale di riferimento è la "S4" e sulla base delle indicazioni del prospetto 4.3N dell'Eurocodice2, si definisce la classe strutturale per la costruzione in esame.

| | Classi di esposizione | | | |
|-----------------------------------------------------------------|-----------------------------------|-----------------------------------|-----------------------------------|-----------------------------------|
| | X0/XC1 | XC2/XC3 | XC4/ XD1/ XD2/XS1 | XD3/ XS2/XS3 |
| Vita utile nominale di 100 anni | Aumentare di 2 classi | Aumentare di 2 classi | Aumentare di 2 classi | Aumentare di 2 classi |
| Classe di resistenza del calcestruzzo | $\geq C32/40$ Ridurre 1 classe | $\geq C35/45$ Ridurre 1 classe | $\geq C40/50$ Ridurre 1 classe | $\geq C45/55$ Ridurre 1 classe |
| Elemento di forma simile ad una soletta | Ridurre 1 classe | Ridurre 1 classe | Ridurre 1 classe | Ridurre 1 classe |
| Controllo di qualità speciale della produzione del calcestruzzo | Ridurre 1 classe | Ridurre 1 classe | Ridurre 1 classe | Ridurre 1 classe |

Prospetto 4.3N -Classificazione strutturale raccomandata

Sulla base della precedente classificazione (pr.4.3N) si adotta la seguente classe strutturale:
S2

Definita la classe strutturale il valore del copriferro minimo " **$C_{min,dur}$** " si ricava attraverso il prospetto 4.4N per acciai ad armatura ordinaria; ovvero al prospetto 4.5N per acciai da precompressione.

Di seguito il valore ricavato dalla tabella:

Copriferro minimo per requisiti con riferimento alla durabilità: **$C_{min,dur} = 15 \text{ mm}$**

Sulla base della formula 1.4-2 si definisce il copriferro minimo che soddisfi i requisiti di durabilità e trasmissione degli sforzi

Copriferro minimo adottato: **$C_{min} = 23 \text{ mm}$**

| | | | |
|--------------------------------------|------------------------------------------------------------------------------------------------------------------------------|----------------------------------------------------------------------------------|-------------|
| COMMITTENTE: Mecca Antonio | CODICE COMMESSA: | NOME ELABORATO: S1.5 - Relazione Geotecnica e delle Fondazioni | CONSULENTE: |
| DATA: Aprile 2023 | TITOLO: Lavori ultimazione di un fabbricato adibito ad albergo-ristorante- C.da Case Nuove Chicone Avigliano (PZ) | | |

Il copriferro nominale si ricava dalla formula 1.4-1, esso rappresenta il valore di progetto necessario per la definizione dell'altezza utile della sezione, riportato anche sui disegni strutturali.

Copriferro nominale

$C_{nom} = 28 \text{ mm}$

| Resoconto | | |
|-------------------------------------------------------------------------------|-------|-----|
| Classe strutturale e classe di esposizione | S2 | XC2 |
| Tolleranza di esecuzione relativa al copriferro ΔC_{dev} | 5 mm | |
| Copriferro minimo per garantire l'aderenza $C_{min,b}$ | 23 mm | |
| Copriferro minimo per garantire la durabilità $C_{min,dur}$ | 15 mm | |
| Copriferro minimo adottato C_{min} | 23 mm | |
| Copriferro nominale C_{nom} | 28 mm | |

Si adotta **50mm** di copriferro per le struttura di Fondazione (Platea) riferita alla scala in carpenteria metallica

4.2.4. Riepilogo valori

Nello stesso modo esplicitato nei paragrafi precedenti si procede nel verificare il copriferro minimo per le travi, pilastri, solette e setti. Di seguito si riporta una tabella riepilogativa dei copriferri impiegati per ogni elemento strutturale e distinguendo tra i corpi di fabbrica

| Resoconto riepilogativo Copriferri impiegati Scala in carpenteria metallica | |
|------------------------------------------------------------------------------------|-------|
| Fondazioni | 50 mm |

| Resoconto riepilogativo Copriferri impiegati Edificio in c.a. | |
|----------------------------------------------------------------------|-------|
| Fondazioni | 35 mm |
| Travi e Pilastri | 35 mm |
| Solette e Setti | 35 mm |

4.3. Acciaio per armature

Si adopera per il caso in esame acciaio tipo B450C come specificato nella tabella seguente:

| Tipo di armatura | Tipo acciaio | $f_{y,nom}$ [N/mm ²] | $f_{t,nom}$ [N/mm ²] |
|---------------------|--------------|-------------------------------------|-------------------------------------|
| BARRE | B450C | 450 | 540 |
| RETE ELETTRISALDATA | B450C | 450 | 540 |

Vengono di seguito riportate le caratteristiche meccaniche dell'acciaio per armature:

| Acciaio Tipo | | B450C | | | (11.3.2.1) |
|---------------------|-------|--------------|-------------------|--|-------------------|
| Modulo elastico | E_s | = 210000 | N/mm ² | | |

Relazione Geotecnica e delle Fondazioni

| | | | | | | |
|---------------------------------------------------------------|------------|---|--------|-------------------|--------------------------|---------------|
| Coefficiente parziale di sicurezza relativo all'acciaio | γ_s | = | 1.15 | | | (4.1.2.1.1.3) |
| Tensione caratteristica di snervamento dell'acciaio | f_{yk} | = | 450.00 | N/mm ² | | |
| Tensione caratteristica a rottura dell'acciaio | f_{tk} | = | 540.00 | N/mm ² | | (11.3.2.1) |
| Resistenza di calcolo dell'acciaio | f_{yd} | = | 391.30 | N/mm ² | $f_{yd}=f_{yk}/\gamma_s$ | (4.1.2.1.1.3) |
| Resistenza tangenziale caratteristica di aderenza acciaio-cla | f_{bk} | = | 2.48 | N/mm ² | $f_{bk}=2,25hf_{ctk}$ | (4.1.2.1.1.4) |
| Resistenza tangenziale di calcolo di aderenza acciaio-cla | f_{bd} | = | 1.65 | N/mm ² | $f_{bd}=f_{bk}/g_c$ | (4.1.2.1.1.4) |

In accordo alle indicazioni di del §"4.1.2.2.4.3 SENSIBILITA' DELLE ARMATURA ALLA CORROSIONE" delle NTC2018 si definiscono le armature come poco sensibili alla corrosione.

4.4. Acciaio per carpenteria metallica

Vengono di seguito elencate le caratteristiche meccaniche dell'acciaio da carpenteria:

| | |
|-----------------------------------------|------------------------------------------|
| Tipo di acciaio: | S 275 |
| Tensione di snervamento caratteristica: | $f_{yk} = 275$ MPa |
| Tensione a rottura del materiale: | $f_u = 430$ MPa |
| Modulo elastico: | $E = 210000$ MPa (§ 3.2.6 EC3 parte 1-1) |
| Coefficiente di Poisson: | $\nu = 0,3$ (§ 3.2.6 EC3 parte 1-1) |
| Modulo a taglio: | $G = 80769$ MPa (§ 3.2.6 EC3 parte 1-1) |
| Coefficiente ε | $\varepsilon = 0,924$ |

4.5. Bulloni

Si adoperano per il caso in esame bulloni con caratteristiche meccaniche di seguito riportate ed in accordo alle indicazioni del §"11.3.4.6 BULLONI E CHIODI" delle NTC2018:

| | |
|--------------------------|--------------------|
| Classe Vite: | 8.8 |
| Tensione di rottura: | $f_{tb} = 800$ MPa |
| Tensione di snervamento: | $f_{yb} = 640$ MPa |

4.6. Classe di Esecuzione delle Strutture in Carpenteria Metallica

La classe di esecuzione viene definita in accordo alle indicazioni della Norma UNI –EN 1090 – 2:2018 come di seguito riportato:

La scelta della classe di esecuzione di una struttura/componente/dettaglio (EXC1, EXC2, EXC3, o EXC4) si basa su criteri di affidabilità, sul tipo di struttura/componente/dettaglio e

| | | | |
|--------------------------------------|------------------------------------------------------------------------------------------------------------------------------|----------------------------------------------------------------------------------|-------------|
| COMMITTENTE: Mecca Antonio | CODICE COMMESSA: | NOME ELABORATO: S1.5 - Relazione Geotecnica e delle Fondazioni | CONSULENTE: |
| DATA: Aprile 2023 | TITOLO: Lavori ultimazione di un fabbricato adibito ad albergo-ristorante– C.da Case Nuove Chicone Avigliano (PZ) | | |

sulla tipologia di carico di progetto Una volta definita la struttura da realizzare, è necessario individuare la Classe di Conseguenza (CC), o in alternativa la Classe di Affidabilità (RC), secondo quanto specificato nella UNI EN 1990 (Appendice B – Differenziazione dell'affidabilità strutturale per le costruzioni):

| Prospetto B.1 – Definizione della classe di conseguenze | | |
|---------------------------------------------------------|------------------------------------------------------------------------------------------------------------------------------|-------------------------------------------------------------------------------------------------------------------------------------------|
| Classe di conseguenze | Descrizione | Esempi di edifici e di opere di ingegneria civile |
| CC3 | Elevate conseguenze per perdita di vite umane, o conseguenze molto gravi in termini economici, sociali o ambientali | Gradinate in impianti sportivi, edifici pubblici nei quali le conseguenze del collasso sono alte (per esempio, una sala concerti) |
| CC2 | Conseguenze medie per perdita di vite umane, conseguenze considerevoli in termini economici, sociali o ambientali | Edifici residenziali e per uffici, edifici pubblici nei quali le conseguenze del collasso sono medie (per esempio un edificio per uffici) |
| CC1 | Conseguenze basse per perdita di vite umane, e conseguenze modeste o trascurabili in termini economici, sociali o ambientali | Costruzioni agricole, nei quali generalmente nessuno entra (per esempio, i magazzini), serre |

Tabella tratta da Prospetto B.1 – UNI EN 1990:2006

È inoltre possibile valutare alternativamente la classe di affidabilità (RC), definendola attraverso il concetto di indice di affidabilità β . Le tre classi di affidabilità RC1, RC2, RC3 possono essere associate alle tre classi di conseguenze CC1, CC2, CC3. Il prospetto B.2 fornisce i valori minimi raccomandati dell'indice di affidabilità associati con le classi di affidabilità (vedere anche l'Appendice C – Criteri generali per il progetto ai coefficienti parziali e l'analisi dell'affidabilità).

| Prospetto B.2 - Valori minimi raccomandati per l'indice di affidabilità β (stati limite ultimi) | | |
|-------------------------------------------------------------------------------------------------------|-------------------------------|--------------------------------|
| Classe di affidabilità | Valori minimi di β | |
| | Periodo di riferimento 1 anno | Periodo di riferimento 50 anni |
| RC3 | 5,2 | 4,3 |
| RC2 | 4,7 | 3,8 |
| RC1 | 4,2 | 3,3 |

Tabella tratta da Prospetto B.2 – UNI EN 1990:2006

Individuata la Classe di Conseguenza o la Classe di Affidabilità, è possibile determinare la Classe di Esecuzione dalla Tabella C.1 della UNI EN 1993-1-1:2014 (Annex C – Selection of execution class):

| Table C.1 - Choice of execution class (EXC) | | |
|---------------------------------------------------|--------------------------------------------------|---------------------------------------------------------|
| Reliability Class (RC) or Consequences Class (CC) | Type of loading | |
| | Static, quasi-static or seismic DCL ^a | Fatigue ^b or seismic DCM or DCH ^a |
| RC3 or CC3 | EXC3 ^c | EXC3 ^c |
| RC2 or CC2 | EXC2 | EXC3 |
| RC1 or CC1 | EXC1 | EXC2 |

^a Seismic ductility classes are defined in EN 1998-1: Low=DCL; Medium=DCM; High=DCH.

^b See EN 1993-1-9.

^c EXC4 may be specify for structures with extreme consequences of structural failure.

Tabella tratta da Table C.1 – UNI EN 1993-1-1:2005/A1:2014

Per il caso in esame si ha quanto segue:

Classe di conseguenza: CC: **CC2**
 Tipo di carico: DCM (bassa duttilità)

Per quanto riportato sopra si ottiene:
 Classe di esecuzione – EXC: **EXC3**

Relazione Geotecnica e delle Fondazioni

4.7. Legno lamellare

Vengono di seguito riportate le caratteristiche meccaniche del legno lamellare adoperato:

Norma: EN 14080: 2013

| | | | | |
|---------------|---|--------|--------------------|--------------------------------------------------------------------------|
| $f_{m,k}$ | = | 24.00 | N/mm ² | Resistenza caratteristica per flessione |
| $f_{t,0k}$ | = | 19.20 | N/mm ² | Resistenza caratteristica per trazione parallela alla fibratura |
| $f_{t,90,k}$ | = | 0.50 | N/mm ² | Resistenza caratteristica per trazione perpendicolare alla fibratura |
| $f_{c,0,k}$ | = | 24.00 | N/mm ² | Resistenza caratteristica per compressione parallela alla fibratura |
| $f_{c,90,k}$ | = | 2.50 | N/mm ² | Resistenza caratteristica per compressione perpendicolare alla fibratura |
| $f_{v,k}$ | = | 3.50 | N/mm ² | Resistenza caratteristica a taglio |
| $E_{0,mean}$ | = | 11.50 | kN/mm ² | Modulo elastico parallelo medio |
| $E_{0,05}$ | = | 9.60 | kN/mm ² | Modulo elastico parallelo caratteristico |
| $E_{90,mean}$ | = | 0.30 | kN/mm ² | Modulo elastico perpendicolare medio |
| G_{mean} | = | 0.65 | kN/mm ² | Modulo elastico tangenziale medio |
| ρ_k | = | 385.00 | kg/m ³ | Massa volumica caratteristica |
| ρ_m | = | 420.00 | kg/m ³ | Massa volumica media |

5. Caratterizzazione geotecnica

I valori numerici delle proprietà meccaniche del terreno sono stati desunti dalla Relazione Geologica redatta dal Geologo Dott. Massimo Coviello e per le informazioni non riportate nel presente documento si rimanda alla stessa Relazione Geologica. Il sito oggetto L'intervento si andrà a realizzare entro i terreni censiti in catasto del Comune di Avigliano (PZ) entro il Foglio 35 particelle 2815 e 2189.

5.1. Campagna di indagine

Per le finalità della presente relazione, lo scrivente, di concerto con il progettista strutturale e geotecnico ha seguito un piano di indagini in cui, atteso l'affioramento dei litotipi interessanti ai fini strutturali, non sono state eseguite indagini geognostiche dirette. Esse avrebbero condotto ad un'osservazione del tutto simile a quanto già affiorante e soprattutto non avrebbero aggiunto nulla alla conoscenza litotecnica dei materiali. Per la determinazione della categoria di suolo di riferimento è stata eseguita una indagine sismica a rifrazione con metodo MASW/Re.Mi che, oltre ad identificare la categoria di Suolo di riferimento per il sito in esame da utilizzarsi per la stima della pericolosità sismica di base del sito, ha permesso di identificare lo spessore dei materiali di copertura posti al di sopra del substrato geologico e sismico. Nell'immagine seguente si riporta l'ubicazione delle indagini eseguite:

| | | | |
|--------------------------------------|----------------------------------------------------------------------------------------------------------------------|----------------------------------------------------------------------------------|-------------|
| COMMITTENTE: Mecca Antonio | CODICE COMMESSA: | NOME ELABORATO: S1.5 - Relazione Geotecnica e delle Fondazioni | CONSULENTE: |
| DATA: Aprile 2023 | TITOLO: Lavori ultimazione di un fabbricato adibito ad albergo-ristorante– C.da Case Nuove Chicone Avigliano (PZ) | | |



Figura 11 – Planimetria ubicativa indagini

5.2. Classificazione sismica del sottosuolo

Al fine di individuare la categoria di suolo di riferimento per il sito in esame è stata eseguita un'indagine sismica a rifrazione con metodo MASW e passiva con metodo Re.MI in cui è stata identificato il substrato sismico di riferimento caratterizzato dalla velocità delle onde S superiore a 800 m/sec e, pertanto è stato identificato il valore del parametro $V_{s,eq}$ (0,0÷5,4 m) correlabile al suolo di tipo E; nella tabella seguente si riportano i valori identificati:

| Linea sismica | $V_{s,eq}$ (m/sec) | Categoria di Suolo |
|---------------|--------------------|--------------------|
| MASW 1 | 227 | "E" |

Rispetto alle norme tecniche per le costruzioni (DM 17 gennaio 2018) la categoria di suolo di riferimento per il sito in esame è **SUOLO E**.

5.3. Stratigrafia di progetto

Vengono di seguito riepilogati i valori dei parametri meccanici adoperati per le verifiche geotecniche:

| Unità litotecnica | Coesione c' (Kg/cm ²) | Attrito interno ϕ' (°) | Peso di volume naturale γ_v (kN/m ³) |
|-----------------------------------|----------------------------------------|-----------------------------|---------------------------------------------------------------|
| Litotipo 1: Coltre di alterazione | 0,2 – 0,3 | 22 - 26 | 19 – 21 |
| Parametri caratteristici | 0,25 | 24 | 20 |
| Litotipo 2: Substrato geologico | 0,05 – 0,1 | 28-32 | 18– 20 |
| Parametri caratteristici | 0,05 | 30 | 19 |

Relazione Geotecnica e delle Fondazioni

6. Analisi dei carichi

Viene di seguito riportata l'analisi dei carichi inerenti i fabbricati in esame.

6.1. Analisi dei carichi fabbricato in c.a.

Nel seguito si riporta l'analisi dei carichi per il fabbricato in in c.a.:

| | | | |
|------------------------------------------------------------------------------|----------|------------|-------|
| SOLETTA DI FONDAZIONE SPERROSE 35 cm | | | |
| | spessore | P.U.V. | |
| | m | kg/m3 | kg/mq |
| Pavimento | 0,02 | 2500 | 50 |
| Isolante+barriere | 0,1 | 1800 | 180 |
| | | Tot. G2k = | 230 |
| G1k Elementi in c.a. calcolati in base al valore del peso di unità di volume | | | |
| QK | CAT C3 | | 500 |

| | | | |
|-------------------------------|----------|------------|-------|
| PRIMO IMPALCATO | | | |
| | spessore | P.U.V. | |
| | m | kg/m3 | kg/mq |
| Pavimento | 0,02 | 2500 | 50 |
| Isolante+barriere | 0,05 | 1800 | 90 |
| Intonaco | | | 30 |
| | | Tot. G2k = | 170 |
| Solaio latero-cemento 20+5 cm | | G1k = | 325 |
| G1k | | | |
| QK | CAT C3 | | 500 |

| | | | |
|--------------------------------------|------------------------------------------------------------------------------------------------------------------------------|----------------------------------------------------------------------------------|-------------|
| COMMITTENTE: Mecca Antonio | CODICE COMMESSA: | NOME ELABORATO: S1.5 - Relazione Geotecnica e delle Fondazioni | CONSULENTE: |
| DATA: Aprile 2023 | TITOLO: Lavori ultimazione di un fabbricato adibito ad albergo-ristorante– C.da Case Nuove Chicone Avigliano (PZ) | | |

RAMPE SOLETTA SPESSORE 16 cm

| | spessore | P.U.V. | |
|------------------------------------------------------------------------------|----------|------------|-------|
| | m | kg/m3 | kg/mq |
| Pavimento | 0,02 | 2500 | 50 |
| Gradino | | | 200 |
| Intonaco | | | 30 |
| Alzata | | | 20 |
| Pedata | | | 130 |
| | | Tot. G2k = | 430 |
| G1k Elementi in c.a. calcolati in base al valore del peso di unità di volume | | | |
| QK | CAT C3 | | 500 |

PIANEROTTOLO SOLETTA SPESSORE 16 cm

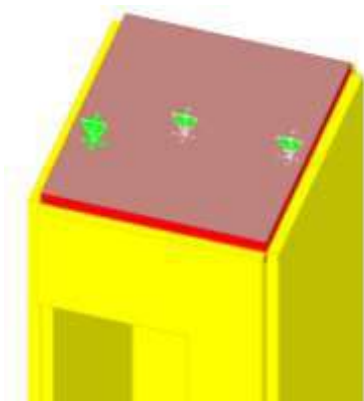
| | spessore | P.U.V. | |
|------------------------------------------------------------------------------|----------|------------|-------|
| | m | kg/m3 | kg/mq |
| Pavimento | 0,02 | 2500 | 50 |
| Allettamento | 0,06 | 1800 | 108 |
| Intonaco | | | 30 |
| | | Tot. G2k = | 188 |
| G1k Elementi in c.a. calcolati in base al valore del peso di unità di volume | | | |
| QK | CAT C3 | | 500 |

COPERTURA

| | spessore | P.U.V. | |
|-------------------------------------------------------------------------------|----------|------------|-----------------------------------------|
| | m | kg/m3 | kg/mq |
| Tegole | | | 55 |
| Isolante+barriera | | | 3 |
| Tavolato (Perline Abete) | 0,02 | 600 | 12 |
| | | Tot. G2k = | 70 |
| G1k Elementi in legno calcolati in base al valore del peso di unità di volume | | | |
| QK | NEVE | | Valore riportato nel paragrafo dedicato |

Alla soletta di copertura del vano ascensore vengono assegnati i carichi ganci la cui posizione è schematizzata nella seguente immagine e sono stati desunti da scheda tecnica:

Relazione Geotecnica e delle Fondazioni



Il valore numerico è assunto, a vantaggio di sicurezza per le tre posizioni, pari a 20 kN.

In accordo alla tabella 2.5.I delle NTC2018 si hanno i seguenti valori dei coefficienti di combinazione per le azioni variabili:

| Azione Variabile | ψ_0 | ψ_1 | ψ_2 |
|-----------------------------------|----------|----------|----------|
| Neve (a quota ≤ 1000 s.l.m.) | 0,5 | 0,2 | 0,0 |
| Variabili Cat. C | 0,7 | 0,7 | 0,6 |

6.2. Analisi dei carichi scala in acciaio

Nel seguito si riporta l'analisi dei carichi per la scala in carpenteria metallica ricordando che il peso degli elementi strutturali è calcolato in automatico dal programma di calcolo assumendo un valore del peso dell'unità di volume pari a 78,5 kN/mc per acciaio e 25 kN/mc per il c.a.. Alle rampe ed ai pianerottoli si assegnano i seguenti carichi:

G1k = 0,10 kN/mq
G2k (grigliato Keller) = 0,40 kN/mq
G2k (peso corrimano) = 1,00 kN/m
Carico variabile (Categoria C3): Qk = 5,00kN/mq.

Sulla platea di fondazione si considerano agire i seguenti carichi:

G2k (finiture) = 1,00 kN/mq
Carico variabile (Categoria C3): Qk = 5,00kN/mq.

In accordo alla tabella 2.5.I per la Categoria C si hanno i seguenti valori dei coefficienti di combinazione per le azioni variabili:

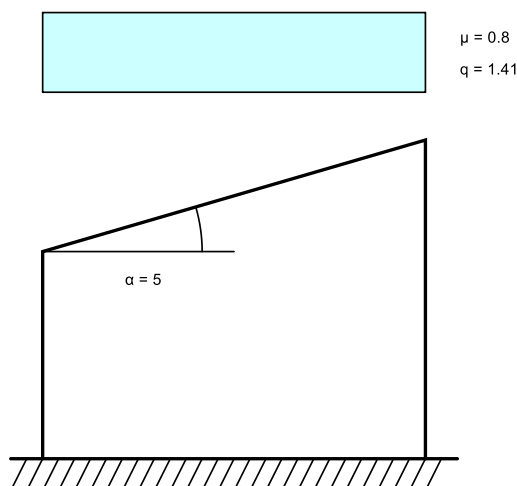
| Azione Variabile | ψ_0 | ψ_1 | ψ_2 |
|------------------|----------|----------|----------|
| Variabili Cat. C | 0,7 | 0,7 | 0,6 |

| | | | |
|--------------------------------------|------------------------------------------------------------------------------------------------------------------------------|----------------------------------------------------------------------------------|-------------|
| COMMITTENTE: Mecca Antonio | CODICE COMMESSA: | NOME ELABORATO: S1.5 - Relazione Geotecnica e delle Fondazioni | CONSULENTE: |
| DATA: Aprile 2023 | TITOLO: Lavori ultimazione di un fabbricato adibito ad albergo-ristorante– C.da Case Nuove Chicone Avigliano (PZ) | | |

6.1. Carico neve

Si riportano di seguito i valori utili al calcolo del carico neve:

| | | |
|-----------------------------------------------|------------------------------------------------------------------------------------------------------------------------------------------------------|---------|
| Zona | Zona III | |
| Classe topografica | Aree in cui non è presente una significativa rimozione di neve sulla costruzione prodotta dal vento, a causa del terreno, altre costruzioni o alberi | |
| Ce | 1 | |
| Ct | 1 | |
| Tr | 50 | |
| qsk | 1.76 | [kN/m²] |
| Copertura ad una falda D.M. 17-01-18 §3.4.3.2 | | |
| $\alpha=5$ | [deg] | |
| $\mu=0.8$ | | |
| q= | 1.41 | [kN/m²] |



Nella modellazione del fabbricato si assume il valore del carico neve pari a 1.5 kN/mq.

7. Azione sismica

L'analisi sismica è stata condotta facendo riferimento alle prescrizioni contenute nel Capitolo 7 "Progettazione per azioni sismiche" delle N.T.C. 2018. Essa implica che venga riconosciuto come obiettivo fondamentale il conseguimento di una protezione adeguata nei confronti dei seguenti stati limite legati all'azione sismica:

- Stato Limite di Danno (S.L.O.)
- Stato Limite di Danno (S.L.D.)
- Stato Limite di salvaguardia della Vita (S.L.V.)

7.1. Vita nominale di progetto

Relazione Geotecnica e delle Fondazioni

Il paragrafo 2.4.1 delle N.T.C. 2018 riporta la definizione di vita nominale di progetto, V_N , di un'opera strutturale come " il numero di anni nel quale è previsto che l'opera, purché soggetta alla necessaria manutenzione, mantenga specifici livelli prestazionali."

Allo stesso punto viene riportata la tabella 2.4.I che riporta il valore di V_N a seconda del tipo di costruzione:

Tab. 2.4.I – Valori minimi della Vita nominale V_N di progetto per i diversi tipi di costruzioni

| TIPI DI COSTRUZIONI | | Valori minimi di V_N (anni) |
|---------------------|-------------------------------------------------|-------------------------------|
| 1 | Costruzioni temporanee e provvisorie | 10 |
| 2 | Costruzioni con livelli di prestazioni ordinari | 50 |
| 3 | Costruzioni con livelli di prestazioni elevati | 100 |

nel caso in esame il tipo di costruzione ricade nella categoria 2 "Costruzioni con livello di prestazioni ordinari" per cui:

$V_N = 50$ anni.

7.2. Classe d'uso

Al punto 2.4.2 delle N.T.C. 2018 vengono definite le quattro classi d'uso per le strutture. Il fabbricato in esame appartiene alla Classe III:

"Costruzioni il cui uso preveda affollamenti significativi. Industrie con attività pericolose per l'ambiente. Reti viarie extraurbane non ricadenti in Classe d'uso IV. Ponti e reti ferroviarie la cui interruzione provochi situazioni di emergenza. Dighe rilevanti per le conseguenze di un loro eventuale collasso."

7.3. Coefficiente d'uso

Con riferimento al paragrafo 2.4.3 delle N.T.C. 2018 si valuta il coefficiente d'uso della struttura C_u in ragione della classe d'uso adoperando la tabella 2.4.II

Tab. 2.4.II – Valori del coefficiente d'uso C_u

| CLASSE D'USO | I | II | III | IV |
|--------------------|-----|-----|-----|-----|
| COEFFICIENTE C_u | 0,7 | 1,0 | 1,5 | 2,0 |

Nel caso in esame:

$C_u = 1,5$

7.4. Periodo di riferimento per l'azione sismica

| | | | |
|--------------------------------------|------------------------------------------------------------------------------------------------------------------------------|----------------------------------------------------------------------------------|-------------|
| COMMITTENTE: Mecca Antonio | CODICE COMMESSA: | NOME ELABORATO: S1.5 - Relazione Geotecnica e delle Fondazioni | CONSULENTE: |
| DATA: Aprile 2023 | TITOLO: Lavori ultimazione di un fabbricato adibito ad albergo-ristorante– C.da Case Nuove Chicone Avigliano (PZ) | | |

L'azione sismica sulla costruzione viene valutata in relazione al periodo di riferimento V_R che si ricava, per ciascun tipo di costruzione, moltiplicandone la vita nominale V_N per il coefficiente d'uso C_u :

$$V_R = V_N \cdot C_U$$

Nel caso in esame:

$$V_R = 75 \text{ anni}$$

Tale valore del periodo di riferimento viene utilizzato per il calcolo del periodo di ritorno T_R dell'azione sismica cui fare riferimento per la verifica dell'edificio.

7.5. Coefficienti azione sismica

Ai fini della progettazione la normativa al punto 3.2 delle N.T.C. 2018 definisce gli elementi utili alla definizione delle forme spettrali, per ciascuna delle probabilità di superamento nel periodo di riferimento P_{VR} , a partire dai valori dei seguenti parametri su sito di riferimento rigido orizzontale:

ag accelerazione orizzontale massima al sito;

Fo valore massimo del fattore di amplificazione dello spettro in accelerazione orizzontale.

TC* periodo di inizio del tratto a velocità costante dello spettro in accelerazione orizzontale.

Le probabilità di superamento nel periodo di riferimento P_{VR} , a cui si farà riferimento per individuare l'azione sismica agente in ciascuno degli stati limite considerati sono quelle riportate nella tabella 3.2.I delle N.T.C. 2018 e di seguito riportata:

Tab. 3.2.I – Probabilità di superamento P_{VR} in funzione dello stato limite considerato

| Stati Limite | P_{VR} : Probabilità di superamento nel periodo di riferimento V_R | |
|---------------------------|------------------------------------------------------------------------|-----|
| Stati limite di esercizio | SLO | 81% |
| | SLD | 63% |
| Stati limite ultimi | SLV | 10% |
| | SLC | 5% |

La struttura verrà realizzata nel Comune di Avigliano (PZ) in contrada Case Nuove Chicone. Vengono di seguito riportati i parametri utili alla definizione degli spettri per il sito in esame:

Relazione Geotecnica e delle Fondazioni

| Stato limite | ag/g | Fo | Tc* (sec) |
|-----------------|--------|-------|--------------|
| SLO (eserc.) | 0,0579 | 2,425 | 0,317 |
| SLD (eserc.) | 0,073 | 2,479 | 0,341 |
| SLV (ultimo) | 0,184 | 2,572 | 0,446 |

Nei paragrafi seguenti sono riportati i dati necessari alla definizione dell'azione sismica e per quanto non contenuto nel presente documento si rimanda alla relazione geologica.

7.6. Categoria di sottosuolo

Ai fini della definizione dell'azione sismica di progetto, si rende necessario individuare a quale categoria di sottosuolo fare riferimento in accordo alle indicazioni della tabella 3.2.II delle NTC2018. La categoria di sottosuolo, come riportato al §11 della Relazione Geologica, è:

“Categoria E”

7.7. Condizioni topografiche e coefficiente di amplificazione stratigrafica

Per la definizione delle condizioni topografiche si fa riferimento alla tabella 3.2.III delle N.T.C. 2018 di seguito riportata:

Tab. 3.2.III – *Categorie topografiche*

| Categoria | Caratteristiche della superficie topografica |
|-----------|-----------------------------------------------------------------------------------------------------------------|
| T1 | Superficie pianeggiante, pendii e rilievi isolati con inclinazione media $i \leq 15^\circ$ |
| T2 | Pendii con inclinazione media $i > 15^\circ$ |
| T3 | Rilievi con larghezza in cresta molto minore che alla base e inclinazione media $15^\circ \leq i \leq 30^\circ$ |
| T4 | Rilievi con larghezza in cresta molto minore che alla base e inclinazione media $i > 30^\circ$ |

Nel caso in esame l'orografia del sito di costruzione ricade nella **categoria T1** come riportato al §6.2 della Relazione Geologica.

Definite le condizioni topografiche si fa riferimento alla tabella 3.2.V delle N.T.C. 2018 per la quantificazione del coefficiente di amplificazione topografica che per il caso in esame è pari a $St = 1$.

7.8. Comportamento strutturale

Il comportamento della struttura sarà di tipo non dissipativo in accordo alle indicazioni del §7.3.1 delle NTC2018.

| | | | |
|--------------------------------------|----------------------------------------------------------------------------------------------------------------------|----------------------------------------------------------------------------------|-------------|
| COMMITTENTE: Mecca Antonio | CODICE COMMESSA: | NOME ELABORATO: S1.5 - Relazione Geotecnica e delle Fondazioni | CONSULENTE: |
| DATA: Aprile 2023 | TITOLO: Lavori ultimazione di un fabbricato adibito ad albergo-ristorante– C.da Case Nuove Chicone Avigliano (PZ) | | |

7.9. Amplificazione stratigrafica

Per la categoria di sottosuolo in cui ricadono le opere, Categoria E, i coefficienti S_s e C_c sono calcolati con riferimento alle indicazioni della tabella 3.2.IV del punto 3.2.3.2.1 delle N.T.C. 2018 e di seguito riportati:

Tab. 3.2.II – *Categorie di sottosuolo che permettono l'utilizzo dell'approccio semplificato.*

| Categoria | Caratteristiche della superficie topografica |
|-----------|------------------------------------------------------------------------------------------------------------------------------------------------------------------------------------------------------------------------------------------------------------------------------------------------------------|
| A | Ammassi rocciosi affioranti o terreni molto rigidi caratterizzati da valori di velocità delle onde di taglio superiori a 800 m/s, eventualmente comprendenti in superficie terreni di caratteristiche meccaniche più scadenti con spessore massimo pari a 3 m. |
| B | Rocce tenere e depositi di terreni a grana grossa molto addensati o terreni a grana fina molto consistenti, caratterizzati da un miglioramento delle proprietà meccaniche con la profondità e da valori di velocità equivalente compresi tra 360 m/s e 800 m/s. |
| C | Depositi di terreni a grana grossa mediamente addensati o terreni a grana fina mediamente consistenti con profondità del substrato superiori a 30 m, caratterizzati da un miglioramento delle proprietà meccaniche con la profondità e da valori di velocità equivalente compresi tra 180 m/s e 360 m/s. |
| D | Depositi di terreni a grana grossa scarsamente addensati o di terreni a grana fina scarsamente consistenti, con profondità del substrato superiori a 30 m, caratterizzati da un miglioramento delle proprietà meccaniche con la profondità e da valori di velocità equivalente compresi tra 100 e 180 m/s. |
| E | Terreni con caratteristiche e valori di velocità equivalente riconducibili a quelle definite per le categorie C o D, con profondità del substrato non superiore a 30 m. |

Si riportano nella tabella seguente i valori calcolati ed i valori assegnati nella fase di calcolo ai coefficienti S_s e C_c per gli stati limite considerati in funzione dei valori di a_g/g , F_0 , T_C^* :

| Stato limite | a_g/g | F_0 | T_C^* (sec) | S_s | C_c |
|-----------------|---------|-------|------------------|-------|-------|
| SLO (eserc.) | 0,0579 | 2,425 | 0,317 | 1,60 | 1,821 |
| SLD (eserc.) | 0,073 | 2,479 | 0,341 | 1,60 | 1,768 |
| SLV (ultimo) | 0,184 | 2,572 | 0,446 | 1,48 | 1,588 |

7.10. Valutazione dello spettro elastico in accelerazione delle componenti orizzontali

Quale che sia la probabilità di superamento nel periodo di riferimento P_{VR} considerata, lo spettro di risposta elastico della componente orizzontale, in accordo con il punto 3.2.3.2.1 delle N.T.C. 2018 è definito dalle espressioni seguenti:

Relazione Geotecnica e delle Fondazioni

$$\begin{aligned}
 0 \leq T < T_B & \quad S_e(T) = a_{\xi} \cdot S \cdot \eta \cdot F_o \cdot \left[\frac{T}{T_B} + \frac{1}{\eta \cdot F_o} \left(1 - \frac{T}{T_B} \right) \right] \\
 T_B \leq T < T_C & \quad S_e(T) = a_{\xi} \cdot S \cdot \eta \cdot F_o \\
 T_C \leq T < T_D & \quad S_e(T) = a_{\xi} \cdot S \cdot \eta \cdot F_o \cdot \left(\frac{T_C}{T} \right) \\
 T_D \leq T & \quad S_e(T) = a_{\xi} \cdot S \cdot \eta \cdot F_o \cdot \left(\frac{T_C T_D}{T^2} \right)
 \end{aligned}$$

in cui:

S è il coefficiente che tiene conto della categoria di sottosuolo e delle condizioni topografiche mediante la relazione seguente:

$$S = S_s \cdot S_T$$

η è il fattore che altera lo spettro elastico per coefficienti di smorzamento viscosi convenzionali ξ diversi dal 5%, mediante la relazione:

$$\eta = \sqrt{10/(5 + \xi)} \geq 0,55$$

Si assume $\xi = 5\%$ e conseguentemente $\eta = 1$.

F_o è il fattore che quantifica l'amplificazione spettrale massima, su sito di riferimento rigido orizzontale;

T_c è il periodo corrispondente all'inizio del tratto a velocità costante dello spettro, dato da:

$$T_c = C_c \cdot T_c^*$$

T_B è il periodo corrispondente all'inizio del tratto dello spettro ad accelerazione costante, dato da:

$$T_B = T_c / 3$$

T_D è il periodo corrispondente all'inizio del tratto a spostamento costante dello spettro, espresso in secondi mediante la relazione:

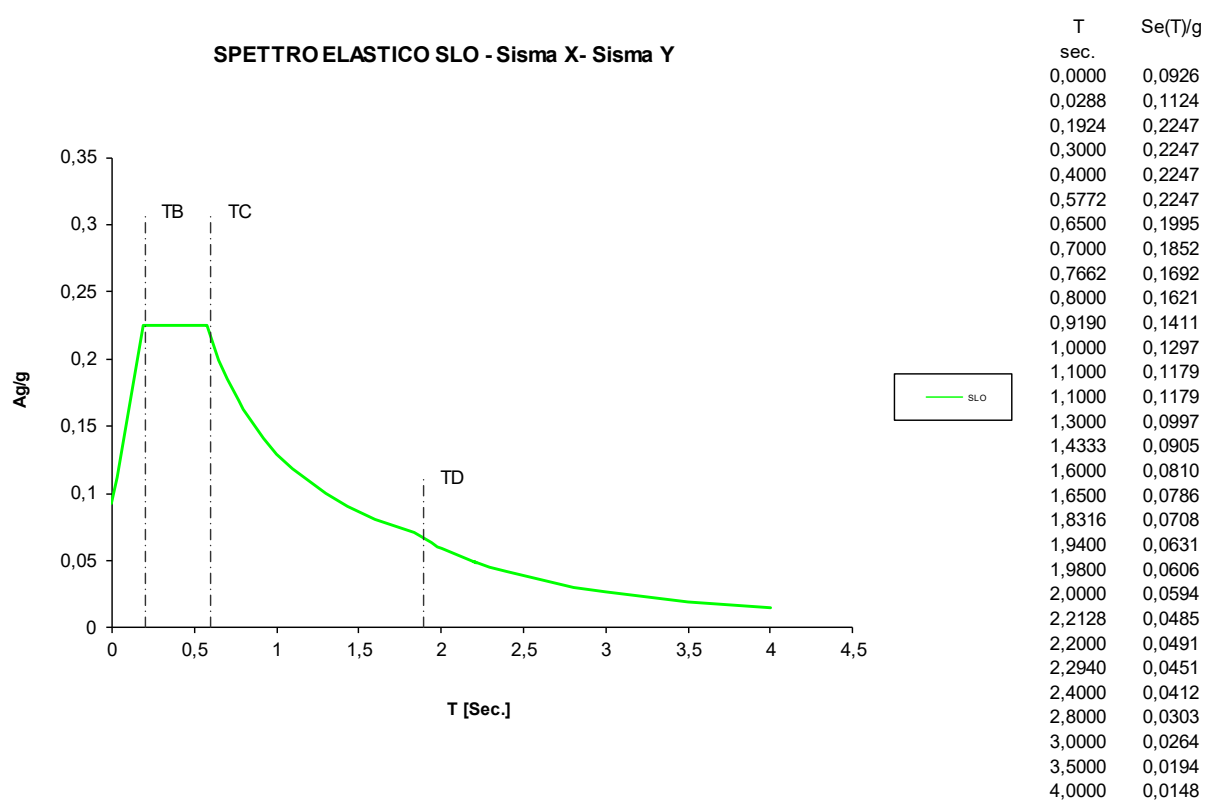
$$T_D = 4,0 \cdot \frac{a_{\xi}}{g} + 1,6$$

| | | | |
|--------------------------------------|------------------------------------------------------------------------------------------------------------------------------|----------------------------------------------------------------------------------|-------------|
| COMMITTENTE: Mecca Antonio | CODICE COMMESSA: | NOME ELABORATO: S1.5 - Relazione Geotecnica e delle Fondazioni | CONSULENTE: |
| DATA: Aprile 2023 | TITOLO: Lavori ultimazione di un fabbricato adibito ad albergo-ristorante- C.da Case Nuove Chicone Avigliano (PZ) | | |

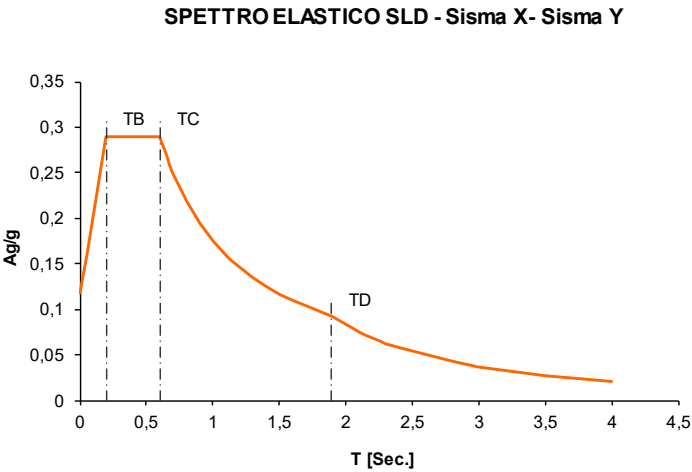
Con le espressioni precedentemente riportate si determinano i valori utili alla definizione degli spettri per i vari stati limite analizzati nell'analisi della struttura e nelle tabelle seguenti vengono riportati gli stessi:

| Stato limite | ag/g | Fo | Tc* (sec) | Ss | Cc | S | TB (sec) | TC (sec) | TD (sec) |
|--------------|--------|-------|-----------|-------|-------|-------|----------|----------|----------|
| SLD (eserc.) | 0.0552 | 2.518 | 0.275 | 1.200 | 1.424 | 1.200 | 0.131 | 0.392 | 1.8208 |
| SLV (ultimo) | 0.1161 | 2.646 | 0.306 | 1.200 | 1.394 | 1.200 | 0.142 | 0.427 | 2.0644 |

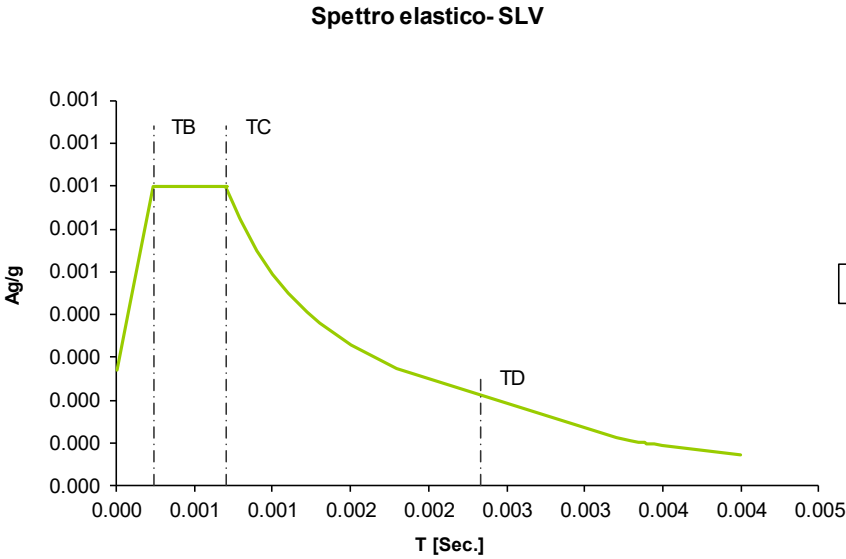
La rappresentazione grafica degli spettri elastici è di seguito riportata:



Relazione Geotecnica e delle Fondazioni



| T | Se(T)/g |
|-------|---------|
| sec. | |
| 0,000 | 0,117 |
| 0,050 | 0,160 |
| 0,201 | 0,290 |
| 0,220 | 0,290 |
| 0,300 | 0,290 |
| 0,603 | 0,290 |
| 0,650 | 0,269 |
| 0,680 | 0,257 |
| 0,700 | 0,250 |
| 0,803 | 0,218 |
| 0,900 | 0,195 |
| 1,000 | 0,175 |
| 1,100 | 0,159 |
| 1,130 | 0,155 |
| 1,300 | 0,135 |
| 1,400 | 0,125 |
| 1,500 | 0,117 |
| 1,600 | 0,109 |
| 1,893 | 0,093 |
| 2,050 | 0,079 |
| 2,100 | 0,075 |
| 2,150 | 0,072 |
| 2,200 | 0,068 |
| 2,250 | 0,065 |
| 2,300 | 0,063 |
| 2,417 | 0,057 |
| 2,800 | 0,042 |
| 3,000 | 0,037 |
| 3,500 | 0,027 |
| 4,000 | 0,021 |



| T | Se(T)/g |
|-------|---------|
| sec. | |
| 0,000 | 0,272 |
| 0,083 | 0,422 |
| 0,236 | 0,699 |
| 0,260 | 0,699 |
| 0,320 | 0,699 |
| 0,708 | 0,699 |
| 0,700 | 0,699 |
| 0,750 | 0,660 |
| 0,790 | 0,627 |
| 0,800 | 0,619 |
| 0,900 | 0,550 |
| 1,000 | 0,495 |
| 1,100 | 0,450 |
| 1,223 | 0,405 |
| 1,300 | 0,381 |
| 1,400 | 0,354 |
| 1,500 | 0,330 |
| 1,800 | 0,275 |
| 2,334 | 0,212 |
| 3,200 | 0,113 |
| 3,300 | 0,106 |
| 3,350 | 0,103 |
| 3,380 | 0,101 |
| 3,385 | 0,101 |
| 3,392 | 0,100 |
| 3,395 | 0,100 |
| 3,400 | 0,100 |
| 3,450 | 0,097 |
| 3,500 | 0,094 |
| 4,000 | 0,072 |

| | | | |
|--------------------------------------|------------------------------------------------------------------------------------------------------------------------------|----------------------------------------------------------------------------------|-------------|
| COMMITTENTE: Mecca Antonio | CODICE COMMESSA: | NOME ELABORATO: S1.5 - Relazione Geotecnica e delle Fondazioni | CONSULENTE: |
| DATA: Aprile 2023 | TITOLO: Lavori ultimazione di un fabbricato adibito ad albergo-ristorante– C.da Case Nuove Chicone Avigliano (PZ) | | |

7.11. Fattore di comportamento fabbricato in c.a.

La valutazione della tipologia strutturale è condotta in accordo alle indicazioni del §7.4.3.1 Tipologie strutturali” delle NTC2018; allo stesso paragrafo tra le tipologie si ritrova quella denominata “strutture deformabili torsionalmente” quelle per le quali la rigidezza torsionale non soddisfa ad ogni piano la relazione $r^2 / I_s^2 \geq 1$ e nella tabella seguente viene riportato, unitamente al significato dei simboli adoperati, l'esito della verifica:

Nodo inf.: nodo inferiore.

Nodo sup.: nodo superiore.

Quota inferiore: quota inferiore dell'interpiano per il quale è stata valutata la rigidezza relativa. esprimibile come livello, falda, piano orizzontale alla Z specificata. [m]

Quota superiore: quota superiore dell'interpiano per il quale è stata valutata la rigidezza relativa. esprimibile come livello, falda, piano orizzontale alla Z specificata. [m]

KUx: rigidezza relativa alla traslazione in direzione globale X. [kN/m]

KUy: rigidezza relativa alla traslazione in direzione globale Y. [kN/m]

KRz: rigidezza relativa alla rotazione attorno l'asse globale Z. [daN*cm/rad]

I_s²: rapporto fra il momento d'inerzia polare delle masse del piano, rispetto al baricentro, e la massa complessiva del piano. [m²]

rx²/I_s²: rapporto rx²/I_s². Il valore è adimensionale.

ry²/I_s²: rapporto ry²/I_s². Il valore è adimensionale.

L: dimensione in pianta, lungo l'asse globale X, dell'edificio. [m]

B: dimensione in pianta, lungo l'asse globale Y, dell'edificio. [m]

I_s²(L, B): (L²+B²)/12. [m²]

rx²/I_s²(L, B): rapporto rx²/I_s²(L, B). Il valore è adimensionale.

ry²/I_s²(L, B): rapporto ry²/I_s²(L, B). Il valore è adimensionale.

| Nodo inf. | Nodo sup. | Quota inferiore | Quota superiore | KUx | KUy | KRz | I _s ² | rx ² /I _s ² | ry ² /I _s ² | L | B | I _s ² (L, B) | rx ² /I _s ² (L, B) | ry ² /I _s ² (L, B) |
|-----------|-----------|-----------------|-----------------|--------|--------|---------|-----------------------------|----------------------------------------------|----------------------------------------------|------|------|------------------------------------|-----------------------------------------------------|-----------------------------------------------------|
| 103 | 531 | Livello 1 | Livello 2 | 171438 | 198718 | 2.40E12 | 18.0225 | 77.58 | 66.93 | 5.95 | 10.3 | 11.791 | 118.58 | 102.3 |
| 531 | 637 | Livello 2 | Livello 9 | 27114 | 26747 | 1.62E9 | 0.6928 | 8.64 | 8.76 | 2.1 | 1.8 | 0.6401 | 9.35 | 9.48 |

Il valore del rapporto r^2 / I_s^2 per i vari livelli risulta superiore all'unità.

Per quanto sopra la struttura non risulta essere deformabile torsionalmente.

Alle strutture in esame si è assegnato un comportamento strutturale non dissipativo ed in accordo alle indicazioni del §7.3.1 delle NTC2018 si sceglie di adottare un valore del fattore di comportamento q_{ND} , in accordo alla relazione 7.3.2 delle NTC2018, di seguito riportata:

$$1 \leq q_{ND} = \frac{2}{3} q_{CD \cdot B} \leq 1,5$$

In definitiva il valore di q_{ND} è valutato riducendo il valore del fattore di comportamento in $CD \cdot B$, corrispondente alla tipologia strutturale propria del fabbricato; per il caso in esame si ha una struttura mista che, in accordo alle indicazioni della Tabella 7.3.II, ha un valore di q_0 pari a 3 (assumendo unitario il valore del rapporto α_u/α_1). Considerando la struttura non regolare in altezza ($KR = 0.8$) si ottiene quanto segue:

$$q_{ND} = (2/3) \cdot 3 \cdot 0.8 = 1.6$$

Si assume $q_{ND} = 1,5$.

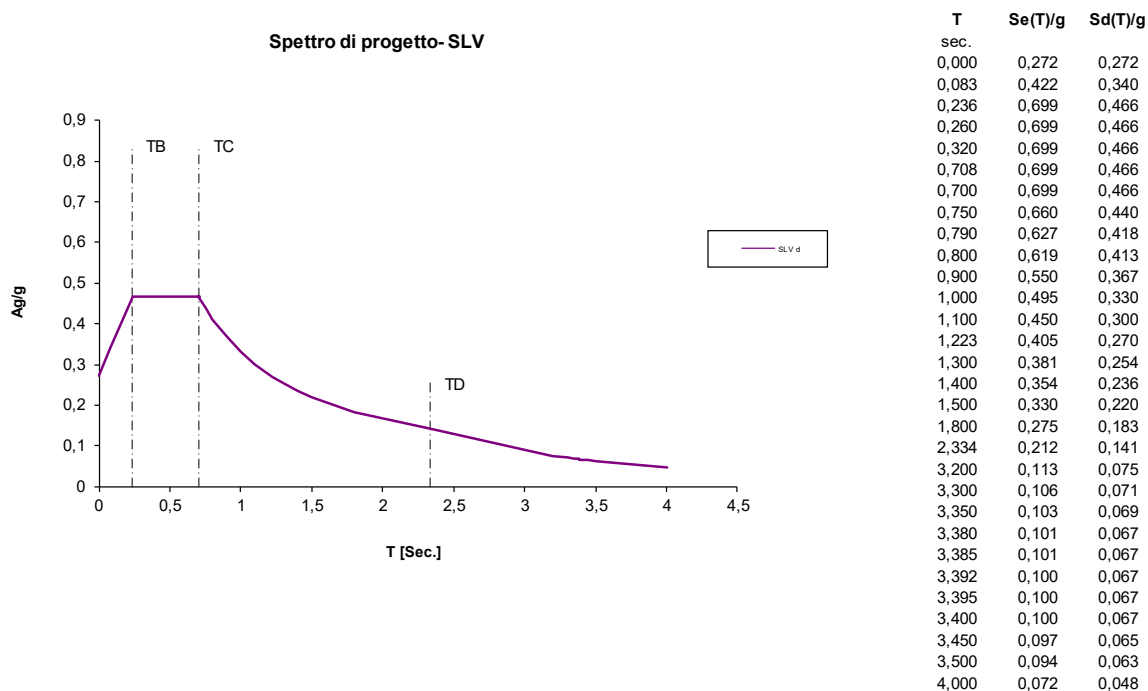
7.12. Fattore di comportamento scala in carpenteria metallica

Per la scala di emergenza in carpenteria metallica si assume un valore unitario del fattore di comportamento.

7.13. Spettro di progetto della componente orizzontale

In accordo al § “3.2.3.5 SPETTRI DI RISPOSTA DI PROGETTO PER GLI STATI LIMITE DI DANNO (SLD), DI SALVAGUARDIA DELLA VITA (SLV) E DI PREVENZIONE DEL COLLASSO (SLC)” delle N.T.C.2018 ai fini del progetto o della verifica delle strutture le capacità dissipative delle strutture possono essere messe in conto attraverso una riduzione delle forze elastiche, che tiene conto in modo semplificato della capacità dissipativa anelastica della struttura, della sua sovraresistenza, dell’incremento del suo periodo proprio a seguito delle plasticizzazioni. In tal caso, lo spettro di progetto $S_d(T)$ da utilizzare, sia per le componenti orizzontali, sia per la componente verticale, è lo spettro elastico corrispondente riferito alla probabilità di superamento nel periodo di riferimento P_{VR} considerata, con le ordinate ridotte sostituendo nelle formule 3.2.2 e 3.2.8 delle N.T.C.2018 η con $1/q$, dove q è il fattore di comportamento definito nel capitolo 7 delle N.T.C.2018.

Nell’immagine seguente si riporta la rappresentazione grafica dello spettro di progetto della componente orizzontale relativamente alla struttura in c.a.:



Per la scala in carpenteria metallica, avendo adottato un valore unitario del fattore di comportamento, lo spettro di progetto coincide con lo spettro elastico.

7.14. Valutazione degli spostamenti

La valutazione degli spostamenti orizzontali d_E è stata condotta in accordo alle prescrizioni normative contenute al §”7.3.3.3 Valutazioni degli spostamenti della struttura” a mezzo della seguente relazione:

$$d_E = \pm \mu_d \cdot d_{Ee} \quad (7.3.8)$$

In cui:

| | | | |
|--------------------------------------|------------------------------------------------------------------------------------------------------------------------------|----------------------------------------------------------------------------------|-------------|
| COMMITTENTE: Mecca Antonio | CODICE COMMESSA: | NOME ELABORATO: S1.5 - Relazione Geotecnica e delle Fondazioni | CONSULENTE: |
| DATA: Aprile 2023 | TITOLO: Lavori ultimazione di un fabbricato adibito ad albergo-ristorante– C.da Case Nuove Chicone Avigliano (PZ) | | |

$$\mu_d = q \quad \text{se } T_1 \geq T_c$$

$$\mu_d = 1 + (q - 1) \cdot T_c / T_1 \quad \text{se } T_1 < T_c$$

8. Combinazioni di carico

Le azioni saranno cumulate secondo condizioni di carico tali da risultare il più sfavorevoli ai fini delle singole verifiche, tenendo conto della ridotta probabilità di intervento simultaneo di tutte le azioni con i rispettivi valori più sfavorevoli.

8.1. Combinazioni di carico per stati limite ultimi

Ai fine delle verifiche degli stati limite le combinazioni delle azioni sono state ottenute come indicato al §2.5.3 COMBINAZIONI DELLE AZIONI delle NTC2018.

Ai fini delle verifiche degli stati limite si definiscono le seguenti combinazioni delle azioni.

– Combinazione fondamentale impiegata generalmente agli SLU:

$$\gamma_{G1} \cdot G_1 + \gamma_{G2} \cdot G_2 + \gamma_P \cdot P + \gamma_{Q1} \cdot Q_{k1} + \gamma_{Q2} \cdot \psi_{02} \cdot Q_{k2} + \gamma_{Q3} \cdot \psi_{03} \cdot Q_{k3} + \dots \quad [2.5.1]$$

– Combinazione sismica, impiegata per gli SLU e gli SLE connessi all'azione sismica E:

$$E + G_1 + G_2 + P + \psi_{21} \cdot Q_{k1} + \psi_{22} \cdot Q_{k2} + \dots \quad [2.5.5]$$

G_{kj} è il valore caratteristico delle azioni permanenti;

Q_{k1} è il valore caratteristico dell'azioni variabile valutata come principale;

Q_{ki} è il valore caratteristico delle altre azioni variabili;

γ_{Gj} è il coefficiente parziale di sicurezza per l'azione permanente G_{kj} ;

γ_{Q1} è il coefficiente parziale di sicurezza per l'azione variabile principale Q_{k1} ;

γ_{Qi} è il coefficiente parziale di sicurezza per l'azione variabile Q_{ki} ;

ψ_{0i} , ψ_{1i} , ψ_{2i} sono i fattori di combinazione;

E azione sismica per lo stato limite in esame.

Gli effetti dell'azione sismica E sono valutati tenendo conto delle masse associate ai seguenti carichi gravitazionali:

$$G_1 + G_2 + \sum_j \psi_{2j} Q_{kj}$$

I valori massimi della risposta ottenuti da ciascuna delle due azioni orizzontali applicate separatamente potranno essere combinati sommando ai massimi ottenuti per la direzione applicata in una direzione il 30% dei massimi ottenuti per l'azione applicata nell'altra direzione.

I valori dei coefficienti parziali di sicurezza le azioni sono definiti in accordo alla Tabella 2.6.I di seguito riportata:

Relazione Geotecnica e delle Fondazioni

Tab. 2.6.I – Coefficienti parziali per le azioni o per l'effetto delle azioni nelle verifiche SLU

| | | Coefficiente γ_F | EQU | A1 | A2 |
|------------------------------------------------|-------------|----------------------------|-----|-----|-----|
| Carichi permanenti G_1 | Favorevoli | γ_{G1} | 0,9 | 1,0 | 1,0 |
| | Sfavorevoli | | 1,1 | 1,3 | 1,0 |
| Carichi permanenti non strutturali $G_2^{(1)}$ | Favorevoli | γ_{G2} | 0,8 | 0,8 | 0,8 |
| | Sfavorevoli | | 1,5 | 1,5 | 1,3 |
| Azioni variabili Q | Favorevoli | γ_{Q1} | 0,0 | 0,0 | 0,0 |
| | Sfavorevoli | | 1,5 | 1,5 | 1,3 |

I valori dei coefficienti di combinazione assumono i seguenti valori:

| Azione Variabile | ψ_0 | ψ_1 | ψ_2 |
|-----------------------------------|----------|----------|----------|
| Neve (a quota ≤ 1000 s.l.m.) | 0,5 | 0,2 | 0,0 |
| Variabili Cat. C | 0,7 | 0,7 | 0,6 |

8.2. Combinazioni di carico per stati limite di esercizio

Per gli stati limite di servizio si definiscono le combinazioni delle azioni di seguito riportate in accordo alle indicazioni del §"2.5.3 COMBINAZIONI DELLE AZIONI" delle NTC 2018:

– Combinazione caratteristica (rara):

$$G_1 + G_2 + P + Q_{k1} + \psi_{02} \cdot Q_{k2} + \psi_{03} \cdot Q_{k3} + \dots \quad [2.5.2]$$

– Combinazione frequente:

$$G_1 + G_2 + P + \psi_{11} \cdot Q_{k1} + \psi_{22} \cdot Q_{k2} + \psi_{23} \cdot Q_{k3} + \dots \quad [2.5.3]$$

– Combinazione quasi permanente:

$$G_1 + G_2 + P + \psi_{21} \cdot Q_{k1} + \psi_{22} \cdot Q_{k2} + \psi_{23} \cdot Q_{k3} + \dots \quad [2.5.4]$$

9. Fabbricato in c.a.

Nei paragrafi seguenti vengono riportate le verifiche inerenti il corpo di fabbrica in c.a..

9.1. Risultati delle Analisi strutturali

Le analisi strutturali sono state condotte per mezzo di modellazioni agli elementi finiti (F.E.M.). Esse sono stata sviluppate sia per ottenere valutazioni di tipo globale sul comportamento delle strutture e di tipo locale ovvero riferite ai singoli elementi strutturali.

9.2. Modello F.E.M. della struttura

Dopo una serie di analisi di primo e secondo livello, utili per definire le dimensioni strutturali degli elementi portanti, è stata eseguita l'analisi mediante la modellazione FEM. Si riportano nelle pagine seguenti alcune immagini relative al modello della struttura in esame.

| | | | |
|--------------------------------------|----------------------------------------------------------------------------------------------------------------------|----------------------------------------------------------------------------------|-------------|
| COMMITTENTE: Mecca Antonio | CODICE COMMESSA: | NOME ELABORATO: S1.5 - Relazione Geotecnica e delle Fondazioni | CONSULENTE: |
| DATA: Aprile 2023 | TITOLO: Lavori ultimazione di un fabbricato adibito ad albergo-ristorante– C.da Case Nuove Chicone Avigliano (PZ) | | |

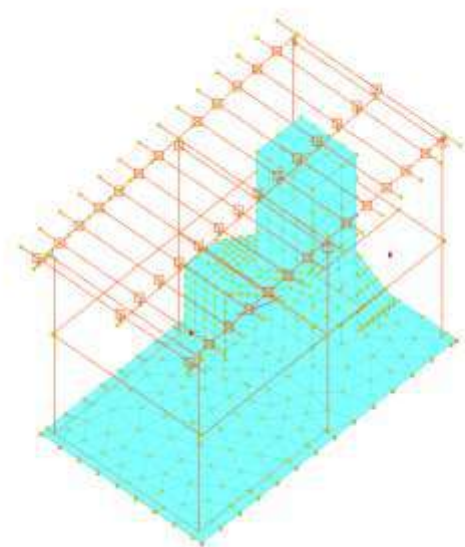


Figura 12 - Modello F.E.M. unifilare



Figura 13 - Modello F.E.M. solido

9.3. Risultati delle analisi strutturali con modellazione F.E.M.

10. Verifica degli elementi strutturali

Le prestazioni degli elementi strutturali vengono di seguito sintetizzate attraverso diagrammi di sfruttamento e quantificazioni numeriche.

11. Elementi di fondazione fabbricato in c.a.

Nei paragrafi seguenti vengono riportate le verifiche inerenti la platea di fondazione realizzata con sezione di spessore pari a 35 cm.

11.1. Approccio progettuale

Per la valutazione degli elementi di fondazione si è adottato l'Approccio 2 così come definiti al §6.4.2.1 VERIFICE AGLI STATI LIMITE ULTIMI (SLU)".

11.2. Pressioni su elementi di fondazione

Nelle immagini seguenti a mezzo di mappa di colori vengono riportati i valori delle pressioni massime e minime ottenute da modello F.E.M. e relative allo stato limite ultimo (S.L.U.) della piastra di fondazione:

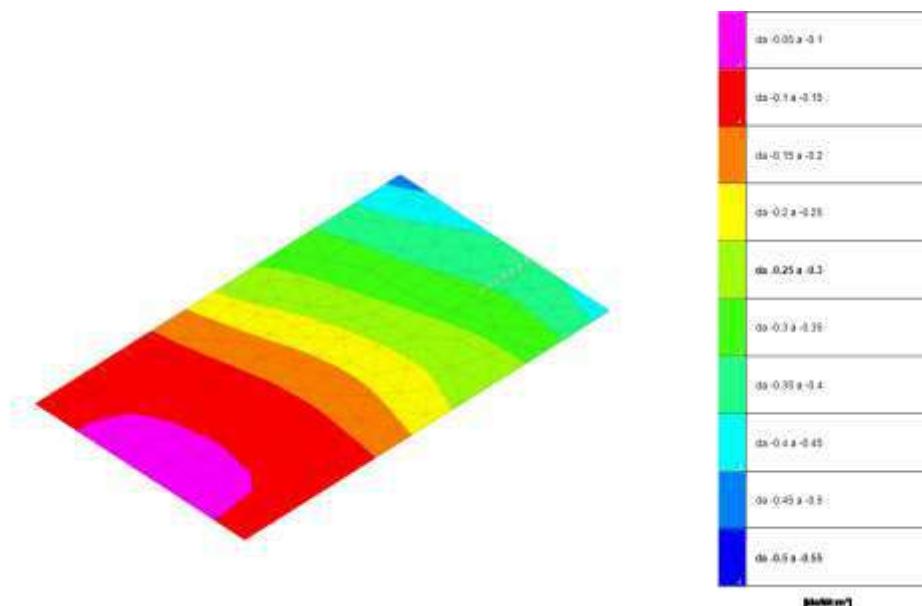


Figura 14 - Press. [daN/cm²] Max.

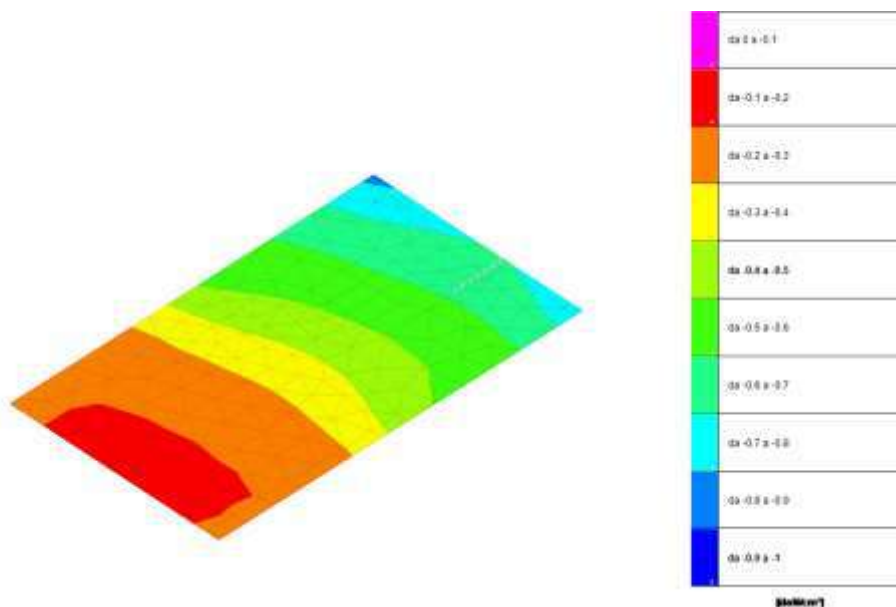


Figura 15 - Press. [daN/cm²] Min.

Relativamente allo stato limite ultimo (S.L.U.) il valore massimo di pressione è pari a 0,83 kg/cmq.

| | | | |
|--------------------------------------|------------------------------------------------------------------------------------------------------------------------------|----------------------------------------------------------------------------------|-------------|
| COMMITTENTE: Mecca Antonio | CODICE COMMESSA: | NOME ELABORATO: S1.5 - Relazione Geotecnica e delle Fondazioni | CONSULENTE: |
| DATA: Aprile 2023 | TITOLO: Lavori ultimazione di un fabbricato adibito ad albergo-ristorante– C.da Case Nuove Chicone Avigliano (PZ) | | |

Nelle immagini seguenti a mezzo di mappa di colori vengono riportati i valori delle pressioni massime e minime ottenute da modello F.E.M. e relative agli stati limite S.L.V. ed S.L.D. della piastra di fondazione:

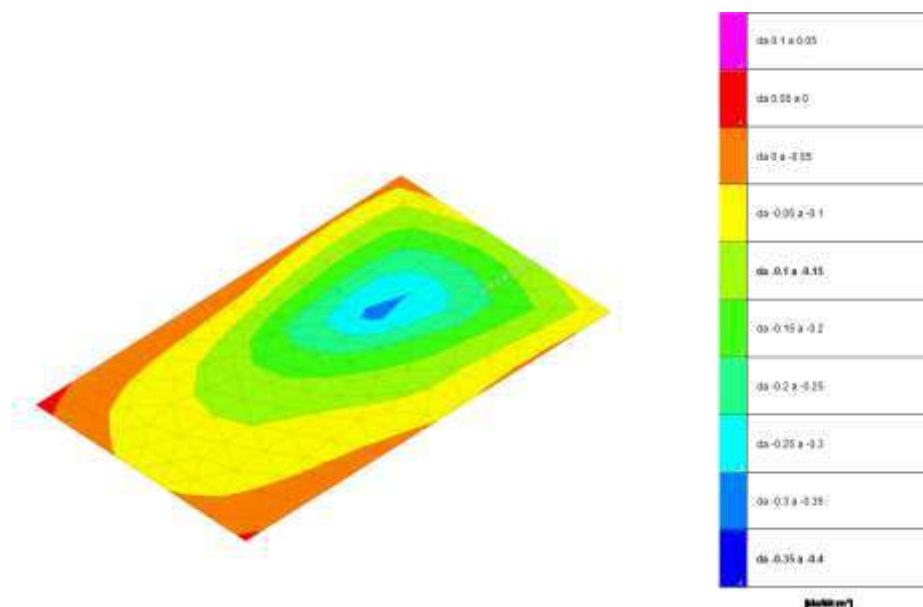


Figura 16 - Press. [daN/cm²] Max.

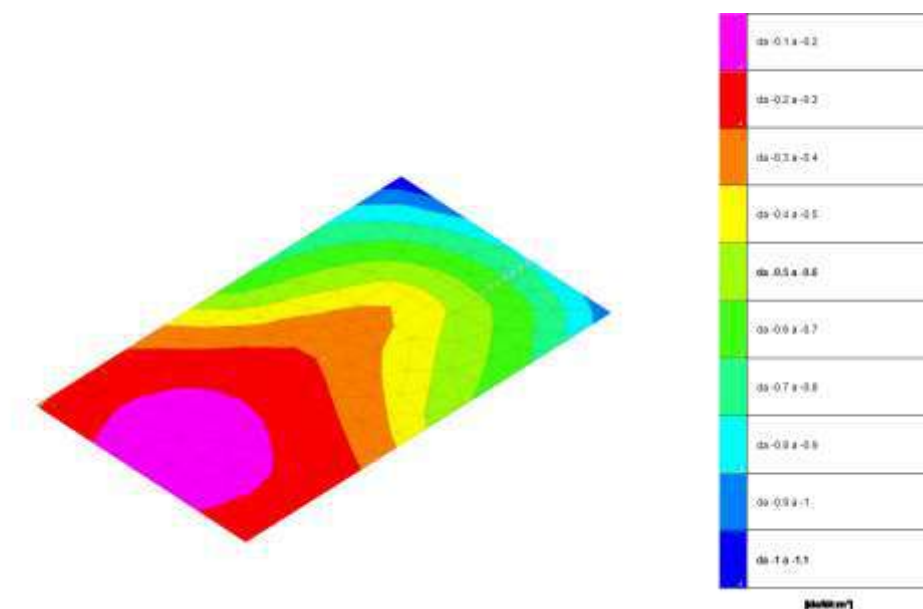


Figura 17 - Press. [daN/cm²] Min.

Relativamente agli stati limite S.L.V. ed S.L.D. il valore massimo di pressione è pari a 1,09 kg/cmq.

Relazione Geotecnica e delle Fondazioni

11.3. Verifica carico limite verticale ed a scorrimento – platea

Nell'immagine seguente a mezzo di mappa di colori viene riportata la verifica a carico limite verticale per la platea di fondazione avendo adottato per il calcolo la formulazione di Vesic:



Proprietà

da 1.5 a 1.45
da 1.25 a 1.2
da 1.1 a 1.05
da 1 a 0.95
da 0.85 a 0.8
da 0.7 a 0.65
da 0.55 a 0.5

Verifica di platea C.A.

| Titolo | Default (Platea a "Livello 1") |
|---------------------------------------|--------------------------------|
| Sicurezza minima | 1.018 |
| Sicurezza minima non sismica | 1.039 |
| Sicurezza minima sismica | 1.018 |
| Verifica a flessione | 1.146 |
| Verifica a flessione non sismica | 1.835 |
| Verifica a flessione sismica | 1.146 |
| Verifica a taglio | 1.018 |
| Verifica a taglio non sismica | 1.139 |
| Verifica a taglio sismica | 1.018 |
| Verifica di portanza | 4.621 |
| Verifica di portanza non sismica | 4.621 |
| Verifica di portanza sismica | 4.621 |
| Verifica di scorrimento | 1.467 |
| Verifica di scorrimento non sismica | 6351.73 |
| Verifica di scorrimento sismica | 1.467 |
| Verifica in SLS Rd | 2.212 |
| Verifica in SLS Rd | 3.448 |
| Verifica in SLS Qd | 2.677 |
| Sicurezza minima platea/platea | 1.018 |
| Scorrimento non sismico platea/platea | 6351.73 |
| Scorrimento sismico platea/platea | 1.467 |
| Portanza sismica platea/platea | 4.621 |
| Prestazione platea/platea | 1.146 |

Tabella
Previsione dell'effortamento calcolato, occorrenza anche il valore Default.

Figura 18 - Verifica di portanza verticale

La verifica è intesa come rapporto tra carico limite del terreno e carico agente ed essendo tale rapporto maggiore dell'unità la verifica si ritiene superata (rapporto circa 4,621).

Verifica a scorrimento:



Proprietà

da 0.55 a 0.5

Verifica di platea C.A.

| Titolo | Default (Platea a "Livello 1") |
|---------------------------------------|--------------------------------|
| Sicurezza minima | 1.018 |
| Sicurezza minima non sismica | 1.039 |
| Sicurezza minima sismica | 1.018 |
| Verifica a flessione | 1.146 |
| Verifica a flessione non sismica | 1.835 |
| Verifica a flessione sismica | 1.146 |
| Verifica a taglio | 1.018 |
| Verifica a taglio non sismica | 1.139 |
| Verifica a taglio sismica | 1.018 |
| Verifica di portanza | 4.621 |
| Verifica di portanza non sismica | 4.621 |
| Verifica di portanza sismica | 4.621 |
| Verifica di scorrimento | 1.467 |
| Verifica di scorrimento non sismica | 6351.73 |
| Verifica di scorrimento sismica | 1.467 |
| Verifica in SLS Rd | 2.212 |
| Verifica in SLS Rd | 3.448 |
| Verifica in SLS Qd | 2.677 |
| Sicurezza minima platea/platea | 1.018 |
| Scorrimento non sismico platea/platea | 6351.73 |
| Scorrimento sismico platea/platea | 1.467 |
| Portanza sismica platea/platea | 4.621 |
| Prestazione platea/platea | 1.146 |
| Taglio platea/platea | 1.046 |
| Pancureamento platea/platea | 1.038 |

Scorrimento sismico platea/platea
Visualizza per la platea/platea il valore sismico di sicurezza per scorrimento in combinazioni sismiche. Il valore è adimensionale.

Figura 19 - Verifica scorrimento

| | | | |
|--------------------------------------|----------------------------------------------------------------------------------------------------------------------|----------------------------------------------------------------------------------|-------------|
| COMMITTENTE: Mecca Antonio | CODICE COMMESSA: | NOME ELABORATO: S1.5 - Relazione Geotecnica e delle Fondazioni | CONSULENTE: |
| DATA: Aprile 2023 | TITOLO: Lavori ultimazione di un fabbricato adibito ad albergo-ristorante- C.da Case Nuove Chicone Avigliano (PZ) | | |

La verifica è intesa come rapporto tra carico limite del terreno e carico agente ed essendo tale rapporto maggiore dell'unità la verifica si ritiene superata (rapporto circa 1,467).

Si riportano di seguito le evidenze numeriche delle verifiche eseguite.

Verifiche geotecniche

Dati geometrici dell'impronta di calcolo

Forma dell'impronta di calcolo: rettangolare di area equivalente

Centro impronta, nel sistema globale: 3; -5.2; -0.4

Lato minore B dell'impronta: 6.1

Lato maggiore L dell'impronta: 10.4

Area dell'impronta rettangolare di calcolo: 63.7

Verifica di scorrimento sul piano di posa

Coefficiente di sicurezza minimo per scorrimento 1.467

| Comb. | Fh | Fv | Cnd | Ad | Phi | RPI | yR | Rd | Ed | Rd/Ed | Verifica |
|-------|--------|----------|-----|----|-----|-----|-----|--------|--------|---------|----------|
| SLU 4 | 0.08 | -1534.05 | LT | 0 | 20 | 0 | 1.1 | 507.59 | 0.08 | 6351.73 | Si |
| SLV 1 | 371.76 | -1648.11 | LT | 0 | 20 | 0 | 1.1 | 545.33 | 371.76 | 1.47 | Si |

Verifiche geotecniche di capacità portante sul piano di posa

Profondità massima del bulbo di rottura considerato: 5.14 m

Peso specifico efficace del terreno di progetto γ_s : 1922 daN/m³

Accelerazione normalizzata massima attesa al suolo Amax per verifiche in SLD: 0.035

Accelerazione normalizzata massima attesa al suolo Amax per verifiche in SLV: 0.082

Coefficiente di sicurezza minimo per portanza 4.62

| ID | Comb. | Fx | Fy | Fz | Mx | My | ix | iy | ex | ey | B' | L' | Cnd | C | Phi | Qs | yR | Rd | Ed | Rd/Ed | Verifica |
|----|--------|--------|-------|----|----|-----------|----|----|------|------|------|------|-----|---|-----|----|-----|----------|---------|-------|----------|
| 1 | SLU 18 | 0.05 | -0.06 | - | - | -150.8616 | 0 | 0 | 0.06 | 1.29 | 5.99 | 7.87 | LT | 9 | 29 | 0 | 2.3 | 22853.31 | 2636.73 | 8.67 | Si |
| 2 | SLV 3 | -316.4 | 95.1 | - | - | -1632.884 | - | 3 | - | - | 4.23 | 7.1 | LT | 9 | 29 | 0 | 2.3 | 8081.31 | 1748.97 | 4.62 | Si |
| 3 | SLD 3 | - | 59.25 | - | - | - | - | 2 | - | - | 4.88 | 7.36 | LT | 9 | 29 | 0 | 2.3 | 12441.2 | 1738.97 | 7.15 | Si |

Verifiche geotecniche di capacità portante - Fattori utilizzati nel calcolo di Rd

| ID | N | | | S | | | D | | | I | | | B | | | G | | | P | | | E | | |
|----|----|----|----|------|------|------|----|----|----|------|------|------|----|----|----|----|----|----|----|----|----|------|------|------|
| | Nq | Nc | Ng | Sq | Sc | Sg | Dq | Dc | Dg | Iq | Ic | Ig | Bq | Bc | Bg | Gq | Gc | Gg | Pq | Pc | Pg | Eq | Ec | Eg |
| 1 | 16 | 27 | 19 | 1.42 | 1.44 | 0.7 | 1 | 1 | 1 | 1 | 1 | 1 | 1 | 1 | 1 | 1 | 1 | 1 | 1 | 1 | 1 | 1 | 1 | 1 |
| 2 | 16 | 27 | 19 | 1.33 | 1.35 | 0.76 | 1 | 1 | 1 | 0.78 | 0.76 | 0.66 | 1 | 1 | 1 | 1 | 1 | 1 | 1 | 1 | 1 | 0.95 | 0.97 | 0.95 |
| 3 | 16 | 27 | 19 | 1.36 | 1.39 | 0.73 | 1 | 1 | 1 | 0.87 | 0.86 | 0.79 | 1 | 1 | 1 | 1 | 1 | 1 | 1 | 1 | 1 | 0.98 | 0.99 | 0.98 |

Significato dei simboli utilizzati:

Le unità di misura elencate sono in [m, kN, deg] ove non espressamente specificato.

Nodo: indice del nodo di verifica.

Dir.: direzione della sezione di verifica.

B: base della sezione rettangolare di verifica. [m]

H: altezza della sezione rettangolare di verifica. [m]

A. sup.: area barre armatura superiori. [m²]

C. sup.: distanza media delle barre superiori dal bordo superiore della sezione. [m]

A. inf.: area barre armatura inferiori. [m²]

C. inf.: distanza media delle barre inferiori dal bordo inferiore della sezione. [m]

Comb.: combinazione di verifica.

M: momento flettente. [kN*m]

N: sforzo normale. [kN]

Mu: momento flettente ultimo. [kN*m]

Nu: sforzo normale ultimo. [kN]

c.s.: coefficiente di sicurezza.

Verifica: stato di verifica.

A. st.: area staffe su interasse. [m]

A. sag.: area sagomati su interasse. [m]

Ved: taglio agente. [kN]

Vrd: taglio resistente. [kN]

Vrdc: resistenza di calcolo a taglio per elementi privi di armature trasversali. [kN]

Vrds: resistenza di calcolo a taglio trazione. [kN]

Relazione Geotecnica e delle Fondazioni

V_{rcd}: resistenza di calcolo a taglio compressione. [kN]
cotg θ : cotangente dell'inclinazione dei puntoni di calcestruzzo rispetto all'asse dell'elemento.
Asl: area longitudinale tesa nella combinazione di verifica di Ved. [m²]
 σ_c : tensione nel calcestruzzo. [kN/m²]
 σ_{lim} : tensione limite. [kN/m²]
Es/Ec: coefficiente di omogenizzazione.
 σ_f : tensione nell'acciaio d'armatura. [kN/m²]
 ϵ_{sm} : deformazione unitaria media delle barre di armatura.
 Δ_{max} : distanza massima tra le fessure. [m]
W_d: valore di calcolo di apertura delle fessure. [m]
Nome: nome attribuito alla zona di punzonamento.
Lato punzonante: lato considerato come punzonante in verifica.
Verticali inferiori: elementi punzonanti inferiori.
Verticali superiori: elementi punzonanti superiori.
Zona: nome della zona di punzonamento.
 \emptyset [mm]: diametro.
Distanza: distanza della prima barra di ciascun raggio dal perimetro dell'elemento punzonante. [m]
Passo radiale: passo radiale barre verticali. [m]
Numero per raggio: numero di barre per raggio di armatura.
Angolo iniziale: angolo iniziale posa raggi di armatura. [deg]
Numero raggi: numero di raggi di armatura.
Lato: lato su cui agisce l'azione punzonante.
ved: tensione tangenziale per punzonamento. [kN/m²]
vr_{d,max}: resistenza a punzonamento. [kN/m²]
d: media delle altezze utili nelle due direzioni ortogonali. [m]
U₀: lunghezza efficace del perimetro di verifica. [m]
VE_d: forza netta di taglio-punzonamento. [kN]
Peso: peso del blocco di cls e dell'eventuale carico superficiale. [kN]
Suolo: reazione trasmessa dal suolo. [kN]
 β : formula per il calcolo del coefficiente.
M₁: momento di calcolo secondo l'asse principale di verifica 1. [kN*m]
M₂: momento di calcolo secondo l'asse principale di verifica 2. [kN*m]
W₁₁: w₁ secondo l'asse principale di verifica 1. [m²]
W₁₂: w₁ secondo l'asse principale di verifica 2. [m²]
 β : coefficiente per reazione eccentrica rispetto al perimetro di verifica.
vr_{d,c}: resistenza a punzonamento. [kN/m²]
Offset: distanza del perimetro di verifica dall'area caricata. [m]
U₁: lunghezza efficace del perimetro di verifica. [m]
vr_{d,cs}: resistenza a punzonamento. [kN/m²]
U_{Out}: lunghezza efficace perimetro U_{out}. [m]
F_{ywd,ef}: resistenza di progetto efficace dell'armatura a taglio-punzonamento. [kN/m²]
Passo: passo spille a punzonamento. [m]
As_w: area di armatura a punzonamento posta su di un perimetro. [m²]
Passo max: passo massimo spille a punzonamento. [m]
Distanza trasversale: distanza trasversale spille a punzonamento. [m]
Distanza trasversale max: distanza trasversale massima spille a punzonamento. [m]
Distanza: distanza prima spilla da perimetro elemento punzonante. [m]
Limite: distanza minima prima spilla da perimetro elemento punzonante. [m]
Distanza U_{out}: distanza ultima armatura di cucitura da perimetro U_{out}. [m]
Distanza U_{out} max: distanza massima ultima armatura di cucitura da perimetro U_{out}. [m]
As_w: area di un braccio di cucitura. [m²]
As_{w,min}: area minima di un braccio di cucitura a punzonamento. [m²]
Comb.: combinazione.
F_h: componente orizzontale del carico. [kN]
F_v: componente verticale del carico. [kN]
C_{nd}: resistenza valutata a breve o lungo termine (BT - LT).
Ad: adesione di progetto. [kN/m²]
 Φ : angolo di attrito di progetto. [deg]
R_{PI}: resistenza passiva laterale unitaria di progetto. [kN/m]
 γ_R : coefficiente parziale sulla resistenza di progetto.
R_d: resistenza alla traslazione di progetto. [kN]
Ed: azione di progetto. [kN]
R_d/Ed: coefficiente di sicurezza allo scorrimento.
ID: indice della verifica di capacità portante.
F_x: componente lungo x del carico. [kN]
F_y: componente lungo y del carico. [kN]
F_z: componente verticale del carico. [kN]
M_x: componente lungo x del momento. [kN*m]
M_y: componente lungo y del momento. [kN*m]
ix: inclinazione del carico in x. [deg]
iy: inclinazione del carico in y. [deg]
ex: eccentricità del carico in x. [m]
ey: eccentricità del carico in y. [m]
B*: larghezza efficace. [m]

| | | | |
|--------------------------------------|------------------------------------------------------------------------------------------------------------------------------|----------------------------------------------------------------------------------|-------------|
| COMMITTENTE: Mecca Antonio | CODICE COMMESSA: | NOME ELABORATO: S1.5 - Relazione Geotecnica e delle Fondazioni | CONSULENTE: |
| DATA: Aprile 2023 | TITOLO: Lavori ultimazione di un fabbricato adibito ad albergo-ristorante– C.da Case Nuove Chicone Avigliano (PZ) | | |

L': lunghezza efficace. [m]

Cnd: resistenza valutata per condizione a breve o lungo termine (BT - LT).

C: coesione di progetto. [kN/m²]

Qs: sovraccarico laterale da piano di posa. [kN/m²]

Rd: resistenza alla rottura del complesso di progetto. [kN]

Ed: azione di progetto (sforzo normale al piano di posa). [kN]

Rd/Ed: coefficiente di sicurezza alla capacità portante.

N:

Nq: fattore di capacità portante per il termine di sovraccarico.

Nc: fattore di capacità portante per il termine coesivo.

Ng: fattore di capacità portante per il termine attritivo.

S:

Sq: fattore correttivo di capacità portante per forma (shape), per il termine di sovraccarico.

Sc: fattore correttivo di capacità portante per forma (shape), per il termine coesivo.

Sg: fattore correttivo di capacità portante per forma (shape), per il termine attritivo.

D:

Dq: fattore correttivo di capacità portante per approfondimento (deep), per il termine di sovraccarico.

Dc: fattore correttivo di capacità portante per approfondimento (deep), per il termine coesivo.

Dg: fattore correttivo di capacità portante per approfondimento (deep), per il termine attritivo.

I:

Iq: fattore correttivo di capacità portante per inclinazione del carico, per il termine di sovraccarico.

Ic: fattore correttivo di capacità portante per inclinazione del carico, per il termine coesivo.

Ig: fattore correttivo di capacità portante per inclinazione del carico, per il termine attritivo.

B:

Bq: fattore correttivo di capacità portante per inclinazione della base, per il termine di sovraccarico.

Bc: fattore correttivo di capacità portante per inclinazione della base, per il termine coesivo.

Bg: fattore correttivo di capacità portante per inclinazione della base, per il termine attritivo.

G:

Gq: fattore correttivo di capacità portante per inclinazione del pendio, per il termine di sovraccarico.

Gc: fattore correttivo di capacità portante per inclinazione del pendio, per il termine coesivo.

Gg: fattore correttivo di capacità portante per inclinazione del pendio, per il termine attritivo.

P:

Pq: fattore correttivo di capacità portante per punzonamento, per il termine di sovraccarico.

Pc: fattore correttivo di capacità portante per punzonamento, per il termine coesivo.

Pg: fattore correttivo di capacità portante per punzonamento, per il termine attritivo.

E:

Eq: fattore correttivo di capacità portante per sisma (earthquake), per il termine di sovraccarico.

Ec: fattore correttivo di capacità portante per sisma (earthquake), per il termine coesivo.

Eg: fattore correttivo di capacità portante per sisma (earthquake), per il termine attritivo.

11.4. Verifica strutturale della platea di fondazione.

Nel presente paragrafo vengono riportate le verifiche inerenti gli elementi della fondazione riferite all'intervento del nuovo corpo in c.a esterno al fabbricato oggetto di intervento.

La fondazione sarà di tipo diretta a platea avente spessore pari a 35 cm e copriferro pari a 5,0 cm. Gli elementi in oggetto vengono armati con maglia base realizzata adoperando ferri Ø16 a passo 20 cm disposti nelle due direzioni principali per entrambe le facce degli elementi

Nell'immagine seguente viene riportato l'esito della verifica a pressoflessione come rapporto tra resistenza e sollecitazione:

[illegible]

Nell'immagine seguente viene riportato l'esito della verifica a taglio come rapporto tra resistenza e sollecitazione:

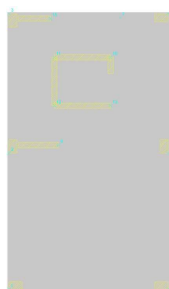


| Colore | Valore |
|--------|--------------|
| Verde | da 2 a 9 |
| Verde | da 10 a 14 |
| Verde | da 15 a 19 |
| Verde | da 20 a 24 |
| Verde | da 25 a 29 |
| Verde | da 30 a 34 |
| Verde | da 35 a 39 |
| Verde | da 40 a 44 |
| Verde | da 45 a 49 |
| Verde | da 50 a 54 |
| Verde | da 55 a 59 |
| Verde | da 60 a 64 |
| Verde | da 65 a 69 |
| Verde | da 70 a 74 |
| Verde | da 75 a 79 |
| Verde | da 80 a 84 |
| Verde | da 85 a 89 |
| Verde | da 90 a 94 |
| Verde | da 95 a 99 |
| Verde | da 100 a 104 |
| Verde | da 105 a 109 |
| Verde | da 110 a 114 |
| Verde | da 115 a 119 |
| Verde | da 120 a 124 |
| Verde | da 125 a 129 |
| Verde | da 130 a 134 |
| Verde | da 135 a 139 |
| Verde | da 140 a 144 |
| Verde | da 145 a 149 |
| Verde | da 150 a 154 |
| Verde | da 155 a 159 |
| Verde | da 160 a 164 |
| Verde | da 165 a 169 |
| Verde | da 170 a 174 |
| Verde | da 175 a 179 |
| Verde | da 180 a 184 |
| Verde | da 185 a 189 |
| Verde | da 190 a 194 |
| Verde | da 195 a 199 |
| Verde | da 200 a 204 |
| Verde | da 205 a 209 |
| Verde | da 210 a 214 |
| Verde | da 215 a 219 |
| Verde | da 220 a 224 |
| Verde | da 225 a 229 |
| Verde | da 230 a 234 |
| Verde | da 235 a 239 |
| Verde | da 240 a 244 |
| Verde | da 245 a 249 |
| Verde | da 250 a 254 |
| Verde | da 255 a 259 |
| Verde | da 260 a 264 |
| Verde | da 265 a 269 |
| Verde | da 270 a 274 |
| Verde | da 275 a 279 |
| Verde | da 280 a 284 |
| Verde | da 285 a 289 |
| Verde | da 290 a 294 |
| Verde | da 295 a 299 |
| Verde | da 300 a 304 |
| Verde | da 305 a 309 |
| Verde | da 310 a 314 |
| Verde | da 315 a 319 |
| Verde | da 320 a 324 |
| Verde | da 325 a 329 |
| Verde | da 330 a 334 |
| Verde | da 335 a 339 |
| Verde | da 340 a 344 |
| Verde | da 345 a 349 |
| Verde | da 350 a 354 |
| Verde | da 355 a 359 |
| Verde | da 360 a 364 |
| Verde | da 365 a 369 |
| Verde | da 370 a 374 |
| Verde | da 375 a 379 |
| Verde | da 380 a 384 |
| Verde | da 385 a 389 |
| Verde | da 390 a 394 |
| Verde | da 395 a 399 |
| Verde | da 400 a 404 |
| Verde | da 405 a 409 |
| Verde | da 410 a 414 |
| Verde | da 415 a 419 |
| Verde | da 420 a 424 |
| Verde | da 425 a 429 |
| Verde | da 430 a 434 |
| Verde | da 435 a 439 |
| Verde | da 440 a 444 |
| Verde | da 445 a 449 |
| Verde | da 450 a 454 |
| Verde | da 455 a 459 |
| Verde | da 460 a 464 |
| Verde | da 465 a 469 |
| Verde | da 470 a 474 |
| Verde | da 475 a 479 |
| Verde | da 480 a 484 |
| Verde | da 485 a 489 |
| Verde | da 490 a 494 |
| Verde | da 495 a 499 |
| Verde | da 500 a 504 |
| Verde | da 505 a 509 |
| Verde | da 510 a 514 |
| Verde | da 515 a 519 |
| Verde | da 520 a 524 |
| Verde | da 525 a 529 |
| Verde | da 530 a 534 |
| Verde | da 535 a 539 |
| Verde | da 540 a 544 |
| Verde | da 545 a 549 |
| Verde | da 550 a 554 |
| Verde | da 555 a 559 |
| Verde | da 560 a 564 |
| Verde | da 565 a 569 |
| Verde | da 570 a 574 |
| Verde | da 575 a 579 |
| Verde | da 580 a 584 |
| Verde | da 585 a 589 |
| Verde | da 590 a 594 |
| Verde | da 595 a 599 |
| Verde | da 600 a 604 |
| Verde | da 605 a 609 |
| Verde | da 610 a 614 |
| Verde | da 615 a 619 |
| Verde | da 620 a 624 |
| Verde | da 625 a 629 |
| Verde | da 630 a 634 |
| Verde | da 635 a 639 |
| Verde | da 640 a 644 |
| Verde | da 645 a 649 |
| Verde | da 650 a 654 |
| Verde | da 655 a 659 |
| Verde | da 660 a 664 |
| | |

Vengono di seguito riportate le evidenze numeriche delle verifiche condotte:

Geometria

| | | | |
|--------------------------------------|------------------------------------------------------------------------------------------------------------------------------|----------------------------------------------------------------------------------|-------------|
| COMMITTENTE: Mecca Antonio | CODICE COMMESSA: | NOME ELABORATO: S1.5 - Relazione Geotecnica e delle Fondazioni | CONSULENTE: |
| DATA: Aprile 2023 | TITOLO: Lavori ultimazione di un fabbricato adibito ad albergo-ristorante- C.da Case Nuove Chicone Avigliano (PZ) | | |



Sistema di riferimento e direzioni di armatura

Le coordinate citate nel seguito sono espresse in un sistema di riferimento cartesiano con origine in (-5; -1040; 0), direzione dell'asse X = (1; 0; 0), direzione dell'asse Y = (0; 1; 0).

Le direzioni X/Y di armatura e le sezioni X/Y di verifica sono individuate dagli assi del sistema di riferimento.

Verifiche nei nodi

Verifiche SLU flessione nei nodi

La struttura è stata dichiarata come non dissipativa pertanto la verifica a pressoflessione, per le combinazioni SLV, viene eseguita calcolando i momenti resistenti in campo sostanzialmente elastico secondo D.M. 17-01-2018 §7.4.1

| Nodo | Dir. | B | H | A. sup. | C. sup. | A. inf. | C. inf. | Comb. | M | N | Mu | Nu | c.s. | Verifica |
|------|------|-----|----|---------|---------|---------|---------|--------|---------|---|---------|----|--------|----------|
| 12 | Y | 60 | 35 | 6.03 | 4.3 | 6.03 | 4.3 | SLV 15 | -579743 | 0 | -664097 | 0 | 1.1455 | Si |
| 113 | X | 100 | 35 | 10.05 | 5.9 | 20.11 | 5.9 | SLV 4 | 1576241 | 0 | 1982340 | 0 | 1.2576 | Si |
| 136 | X | 120 | 35 | 12.06 | 5.9 | 12.06 | 5.9 | SLV 5 | 992446 | 0 | 1254935 | 0 | 1.2645 | Si |
| 96 | Y | 120 | 35 | 12.06 | 4.3 | 12.06 | 4.3 | SLV 3 | - | 0 | - | 0 | 1.2726 | Si |
| | | | | | | | | | 1043648 | | 1328194 | | | |
| 138 | X | 120 | 35 | 12.06 | 5.9 | 12.06 | 5.9 | SLV 10 | 957224 | 0 | 1254935 | 0 | 1.311 | Si |

Verifiche SLD Resistenza flessione nei nodi

La struttura è stata dichiarata come non dissipativa pertanto la verifica a pressoflessione viene eseguita calcolando i momenti resistenti in campo sostanzialmente elastico secondo D.M. 17-01-2018 §7.4.1

| Nodo | Dir. | B | H | A. sup. | C. sup. | A. inf. | C. inf. | Comb. | M | N | Mu | Nu | c.s. | Verifica |
|------|------|-----|----|---------|---------|---------|---------|--------|---------|---|---------|----|--------|----------|
| 12 | Y | 60 | 35 | 6.03 | 4.3 | 6.03 | 4.3 | SLD 15 | -414685 | 0 | -664097 | 0 | 1.6014 | Si |
| 113 | X | 100 | 35 | 10.05 | 5.9 | 20.11 | 5.9 | SLD 4 | 1215476 | 0 | 1982340 | 0 | 1.6309 | Si |
| 106 | X | 60 | 35 | 6.03 | 5.9 | 12.06 | 5.9 | SLD 4 | 694999 | 0 | 1179216 | 0 | 1.6967 | Si |
| 136 | X | 120 | 35 | 12.06 | 5.9 | 12.06 | 5.9 | SLD 5 | 686750 | 0 | 1254935 | 0 | 1.8274 | Si |
| 212 | Y | 60 | 35 | 6.03 | 4.3 | 6.03 | 4.3 | SLD 3 | 352861 | 0 | 664097 | 0 | 1.882 | Si |

Verifiche SLU taglio nei nodi

| Nodo | Dir. | B | H | A. sup. | C. sup. | A. inf. | C. inf. | A. st. | A. sag. | Comb. | Ved | N | Vrd | Vrdc | Vrsd | Vrcd | cotgθ | Asl | c.s. | Verifica |
|------|------|----|----|---------|---------|---------|---------|--------|---------|--------|-------|---|-------|-------|------|-------|-------|--------|--------|----------|
| 191 | X | 60 | 35 | 6.03 | 5.9 | 6.03 | 5.9 | 0 | 0 | SLV 12 | - | 0 | 9238 | 9238 | 0 | 57343 | 2.5 | 6.032 | 0.2628 | Si |
| | | | | | | | | | | | 35157 | | | | | | | | | |
| 191 | X | 60 | 35 | 6.03 | 5.9 | 6.03 | 5.9 | 0 | 0 | SLV 5 | 28190 | 0 | 9238 | 9238 | 0 | 57343 | 2.5 | 6.032 | 0.3277 | Si |
| 106 | X | 60 | 35 | 6.03 | 5.9 | 12.06 | 5.9 | 0 | 0 | SLV 1 | 27233 | 0 | 11325 | 11325 | 0 | 57343 | 2.5 | 12.064 | 0.4158 | Si |
| 202 | X | 60 | 35 | 6.03 | 5.9 | 6.03 | 5.9 | 0 | 0 | SLV 14 | - | 0 | 9238 | 9238 | 0 | 57343 | 2.5 | 6.032 | 0.507 | Si |
| | | | | | | | | | | | 18223 | | | | | | | | | |
| 202 | X | 60 | 35 | 6.03 | 5.9 | 6.03 | 5.9 | 0 | 0 | SLV 3 | 18001 | 0 | 9238 | 9238 | 0 | 57343 | 2.5 | 6.032 | 0.5132 | Si |

Verifiche SLD Resistenza taglio nei nodi

| Nodo | Dir. | B | H | A. sup. | C. sup. | A. inf. | C. inf. | A. st. | A. sag. | Comb. | Ved | N | Vrd | Vrdc | Vrsd | Vrcd | cotgθ | Asl | c.s. | Verifica |
|------|------|-----|----|---------|---------|---------|---------|--------|---------|--------|-------|---|-------|-------|------|--------|-------|--------|--------|----------|
| 191 | X | 60 | 35 | 6.03 | 5.9 | 6.03 | 5.9 | 0 | 0 | SLD 12 | - | 0 | 13482 | 13482 | 0 | 57343 | 2.5 | 6.032 | 0.5799 | Si |
| | | | | | | | | | | | 23251 | | | | | | | | | |
| 191 | X | 60 | 35 | 6.03 | 5.9 | 6.03 | 5.9 | 0 | 0 | SLD 5 | 16284 | 0 | 13482 | 13482 | 0 | 57343 | 2.5 | 6.032 | 0.8279 | Si |
| 106 | X | 60 | 35 | 6.03 | 5.9 | 12.06 | 5.9 | 0 | 0 | SLD 1 | 19279 | 0 | 16987 | 16987 | 0 | 57343 | 2.5 | 12.064 | 0.8811 | Si |
| 106 | Y | 120 | 35 | 12.06 | 4.3 | 12.06 | 4.3 | 0 | 0 | SLD 16 | - | 0 | 27610 | 27610 | 0 | 120991 | 2.5 | 12.064 | 1.1207 | Si |
| | | | | | | | | | | | 24636 | | | | | | | | | |
| 212 | X | 95 | 35 | 9.55 | 5.9 | 9.55 | 5.9 | 0 | 0 | SLD 7 | - | 0 | 21347 | 21347 | 0 | 90792 | 2.5 | 9.55 | 1.1374 | Si |
| | | | | | | | | | | | 18769 | | | | | | | | | |

Verifiche SLE tensione calcestruzzo nei nodi

| Nodo | Dir. | B | H | A. sup. | C. sup. | A. inf. | C. inf. | Comb. | M | N | σc | olim | Es/Ec | Verifica |
|------|------|-----|----|---------|---------|---------|---------|----------|--------|---|-------|-------|-------|----------|
| 106 | X | 60 | 35 | 6.03 | 5.9 | 12.06 | 5.9 | SLE QP 2 | 413608 | 0 | -47.7 | 168.1 | 15 | Si |
| 106 | X | 60 | 35 | 6.03 | 5.9 | 12.06 | 5.9 | SLE RA 3 | 499724 | 0 | -57.7 | 224.1 | 15 | Si |
| 113 | X | 100 | 35 | 10.05 | 5.9 | 20.11 | 5.9 | SLE QP 2 | 637176 | 0 | -27.4 | 168.1 | 15 | Si |
| 113 | X | 100 | 35 | 10.05 | 5.9 | 20.11 | 5.9 | SLE RA 3 | 765367 | 0 | -32.9 | 224.1 | 15 | Si |

Relazione Geotecnica e delle Fondazioni

| Nodo | Dir. | B | H | A. sup. | C. sup. | A. inf. | C. inf. | Comb. | M | N | σ_c | σ_{lim} | Es/Ec | Verifica |
|------|------|-----|----|---------|---------|---------|---------|-------------|--------|---|------------|----------------|-------|----------|
| 114 | X | 120 | 35 | 12.06 | 5.9 | 24.13 | 5.9 | SLE QP 2 | 592178 | 0 | -21.2 | 168.1 | 15 | Si |

Verifiche SLE tensione acciaio nei nodi

| Nodo | Dir. | B | H | A. sup. | C. sup. | A. inf. | C. inf. | Comb. | M | N | σ_f | σ_{lim} | Es/Ec | Verifica |
|------|------|-----|----|---------|---------|---------|---------|-------------|--------|---|------------|----------------|-------|----------|
| 106 | X | 60 | 35 | 6.03 | 5.9 | 12.06 | 5.9 | SLE RA 3 | 499724 | 0 | 1627.4 | 3600 | 15 | Si |
| 113 | X | 100 | 35 | 10.05 | 5.9 | 20.11 | 5.9 | SLE RA 3 | 765367 | 0 | 306.9 | 3600 | 15 | Si |
| 114 | X | 120 | 35 | 12.06 | 5.9 | 24.13 | 5.9 | SLE RA 3 | 711947 | 0 | 237.9 | 3600 | 15 | Si |
| 110 | X | 60 | 35 | 6.03 | 5.9 | 12.06 | 5.9 | SLE RA 3 | 347570 | 0 | 232.3 | 3600 | 15 | Si |
| 109 | X | 85 | 35 | 8.55 | 5.9 | 16.59 | 5.9 | SLE RA 3 | 419898 | 0 | 199.1 | 3600 | 15 | Si |

Verifiche SLE fessurazione nei nodi

| Nodo | Dir. | B | H | A. sup. | C. sup. | A. inf. | C. inf. | Comb. | M | N | ε_{sm} | Δ_{max} | Wd | Es/Ec | Verifica |
|------|------|----|----|---------|---------|---------|---------|-------------|--------|---|--------------------|----------------|--------|-------|----------|
| 106 | X | 60 | 35 | 6.03 | 5.9 | 12.06 | 5.9 | SLE QP 2 | 413608 | 0 | 0.00039 | 28.6 | 0.0112 | 15 | Si |
| 106 | X | 60 | 35 | 6.03 | 5.9 | 12.06 | 5.9 | SLE FR 2 | 428381 | 0 | 0.00041 | 28.6 | 0.0116 | 15 | Si |

Significato dei simboli utilizzati:

Le unità di misura elencate sono in [cm, daN, deg] ove non espressamente specificato.

Nodo: indice del nodo di verifica.

Dir.: direzione della sezione di verifica.

B: base della sezione rettangolare di verifica. [cm]

H: altezza della sezione rettangolare di verifica. [cm]

A. sup.: area barre armatura superiori. [cm²]

C. sup.: distanza media delle barre superiori dal bordo superiore della sezione. [cm]

A. inf.: area barre armatura inferiori. [cm²]

C. inf.: distanza media delle barre inferiori dal bordo inferiore della sezione. [cm]

Comb.: combinazione di verifica.

M: momento flettente. [daN*cm]

N: sforzo normale. [daN]

Mu: momento flettente ultimo. [daN*cm]

Nu: sforzo normale ultimo. [daN]

c.s.: coefficiente di sicurezza.

Verifica: stato di verifica.

A. st.: area staffe su interasse. [cm]

A. sag.: area sagomati su interasse. [cm]

Ved: taglio agente. [daN]

Vrd: taglio resistente. [daN]

Vrdc: resistenza di calcolo a taglio per elementi privi di armature trasversali. [daN]

Vrds: resistenza di calcolo a taglio trazione. [daN]

Vrsc: resistenza di calcolo a taglio compressione. [daN]

cotg θ : cotangente dell'inclinazione dei puntoni di calcestruzzo rispetto all'asse dell'elemento.

Asl: area longitudinale tesa nella combinazione di verifica di Ved. [cm²]

σ_c : tensione nel calcestruzzo. [daN/cm²]

σ_{lim} : tensione limite. [daN/cm²]

Es/Ec: coefficiente di omogenizzazione.

σ_f : tensione nell'acciaio d'armatura. [daN/cm²]

ε_{sm} : deformazione unitaria media delle barre di armatura.

Δ_{max} : distanza massima tra le fessure. [cm]

Wd: valore di calcolo di apertura delle fessure. [cm]

Nome: nome attribuito alla zona di punzonamento.

Lato punzonante: lato considerato come punzonante in verifica.

Verticali inferiori: elementi punzonanti inferiori.

Verticali superiori: elementi punzonanti superiori.

Zona: nome della zona di punzonamento.

\emptyset [mm]: diametro.

Distanza: distanza della prima barra di ciascun raggio dal perimetro dell'elemento punzonante. [cm]

Passo radiale: passo radiale barre verticali. [cm]

Numero per raggio: numero di barre per raggio di armatura.

Angolo iniziale: angolo iniziale posa raggi di armatura. [deg]

Numero raggi: numero di raggi di armatura.

Lato: lato su cui agisce l'azione punzonante.

ved: tensione tangenziale per punzonamento. [daN/cm²]

vrd,max: resistenza a punzonamento. [daN/cm²]

d: media delle altezze utili nelle due direzioni ortogonali. [cm]

U0: lunghezza efficace del perimetro di verifica. [cm]

VEd: forza netta di taglio-punzonamento. [daN]

Peso: peso del blocco di cls e dell'eventuale carico superficiale. [daN]

Suolo: reazione trasmessa dal suolo. [daN]

β : formula per il calcolo del coefficiente.

M1: momento di calcolo secondo l'asse principale di verifica 1. [daN*cm]

| | | | |
|--------------------------------------|------------------------------------------------------------------------------------------------------------------------------|----------------------------------------------------------------------------------|-------------|
| COMMITTENTE: Mecca Antonio | CODICE COMMESSA: | NOME ELABORATO: S1.5 - Relazione Geotecnica e delle Fondazioni | CONSULENTE: |
| DATA: Aprile 2023 | TITOLO: Lavori ultimazione di un fabbricato adibito ad albergo-ristorante– C.da Case Nuove Chicone Avigliano (PZ) | | |

M2: momento di calcolo secondo l'asse principale di verifica 2. [daN*cm]

W11: w1 secondo l'asse principale di verifica 1. [cm²]

W12: w1 secondo l'asse principale di verifica 2. [cm²]

β: coefficiente per reazione eccentrica rispetto al perimetro di verifica.

vr_{d,c}: resistenza a punzonamento. [daN/cm²]

Offset: distanza del perimetro di verifica dall'area caricata. [cm]

U1: lunghezza efficace del perimetro di verifica. [cm]

vr_{d,cs}: resistenza a punzonamento. [daN/cm²]

U_{Out}: lunghezza efficace perimetro U_{out}. [cm]

Fy_{wd,ef}: resistenza di progetto efficace dell'armatura a taglio-punzonamento. [daN/cm²]

Passo: passo spille a punzonamento. [cm]

As_w: area di armatura a punzonamento posta su di un perimetro. [cm²]

Passo max: passo massimo spille a punzonamento. [cm]

Distanza trasversale: distanza trasversale spille a punzonamento. [cm]

Distanza trasversale max: distanza trasversale massima spille a punzonamento. [cm]

Distanza: distanza prima spilla da perimetro elemento punzonante. [cm]

Limite: distanza minima prima spilla da perimetro elemento punzonante. [cm]

Distanza U_{out}: distanza ultima armatura di cucitura da perimetro U_{out}. [cm]

Distanza U_{out} max: distanza massima ultima armatura di cucitura da perimetro U_{out}. [cm]

As_w: area di un braccio di cucitura. [cm²]

As_{w,min}: area minima di un braccio di cucitura a punzonamento. [cm²]

Comb.: combinazione.

F_h: componente orizzontale del carico. [daN]

F_v: componente verticale del carico. [daN]

C_{nd}: resistenza valutata a breve o lungo termine (BT - LT).

Ad: adesione di progetto. [daN/cm²]

Phi: angolo di attrito di progetto. [deg]

R_{PI}: resistenza passiva laterale unitaria di progetto. [daN/cm]

γ_R: coefficiente parziale sulla resistenza di progetto.

R_d: resistenza alla traslazione di progetto. [daN]

Ed: azione di progetto. [daN]

R_d/Ed: coefficiente di sicurezza allo scorrimento.

ID: indice della verifica di capacità portante.

F_x: componente lungo x del carico. [daN]

F_y: componente lungo y del carico. [daN]

F_z: componente verticale del carico. [daN]

M_x: componente lungo x del momento. [daN*cm]

M_y: componente lungo y del momento. [daN*cm]

ix: inclinazione del carico in x. [deg]

iy: inclinazione del carico in y. [deg]

ex: eccentricità del carico in x. [cm]

ey: eccentricità del carico in y. [cm]

B*: larghezza efficace. [cm]

L*: lunghezza efficace. [cm]

C_{nd}: resistenza valutata per condizione a breve o lungo termine (BT - LT).

C: coesione di progetto. [daN/cm²]

Q_s: sovraccarico laterale da piano di posa. [daN/cm²]

R_d: resistenza alla rottura del complesso di progetto. [daN]

Ed: azione di progetto (sforzo normale al piano di posa). [daN]

R_d/Ed: coefficiente di sicurezza alla capacità portante.

N:

N_q: fattore di capacità portante per il termine di sovraccarico.

N_c: fattore di capacità portante per il termine coesivo.

N_g: fattore di capacità portante per il termine attritivo.

S:

S_q: fattore correttivo di capacità portante per forma (shape), per il termine di sovraccarico.

S_c: fattore correttivo di capacità portante per forma (shape), per il termine coesivo.

S_g: fattore correttivo di capacità portante per forma (shape), per il termine attritivo.

D:

D_q: fattore correttivo di capacità portante per approfondimento (deep), per il termine di sovraccarico.

D_c: fattore correttivo di capacità portante per approfondimento (deep), per il termine coesivo.

D_g: fattore correttivo di capacità portante per approfondimento (deep), per il termine attritivo.

I:

I_q: fattore correttivo di capacità portante per inclinazione del carico, per il termine di sovraccarico.

I_c: fattore correttivo di capacità portante per inclinazione del carico, per il termine coesivo.

I_g: fattore correttivo di capacità portante per inclinazione del carico, per il termine attritivo.

B:

B_q: fattore correttivo di capacità portante per inclinazione della base, per il termine di sovraccarico.

B_c: fattore correttivo di capacità portante per inclinazione della base, per il termine coesivo.

B_g: fattore correttivo di capacità portante per inclinazione della base, per il termine attritivo.

G:

G_q: fattore correttivo di capacità portante per inclinazione del pendio, per il termine di sovraccarico.

Relazione Geotecnica e delle Fondazioni

Gc: fattore correttivo di capacità portante per inclinazione del pendio, per il termine coesivo.

Gg: fattore correttivo di capacità portante per inclinazione del pendio, per il termine attritivo.

P:

Pq: fattore correttivo di capacità portante per punzonamento, per il termine di sovraccarico.

Pc: fattore correttivo di capacità portante per punzonamento, per il termine coesivo.

Pg: fattore correttivo di capacità portante per punzonamento, per il termine attritivo.

E:

Eq: fattore correttivo di capacità portante per sisma (earthquake), per il termine di sovraccarico.

Ec: fattore correttivo di capacità portante per sisma (earthquake), per il termine coesivo.

Eg: fattore correttivo di capacità portante per sisma (earthquake), per il termine attritivo.

11.5. Verifica a punzonamento

Nell'immagine seguente viene riportato l'esito della verifica a punzonamento mediante mappa di colori condotta in accordo alle norme UNI EN 1992:

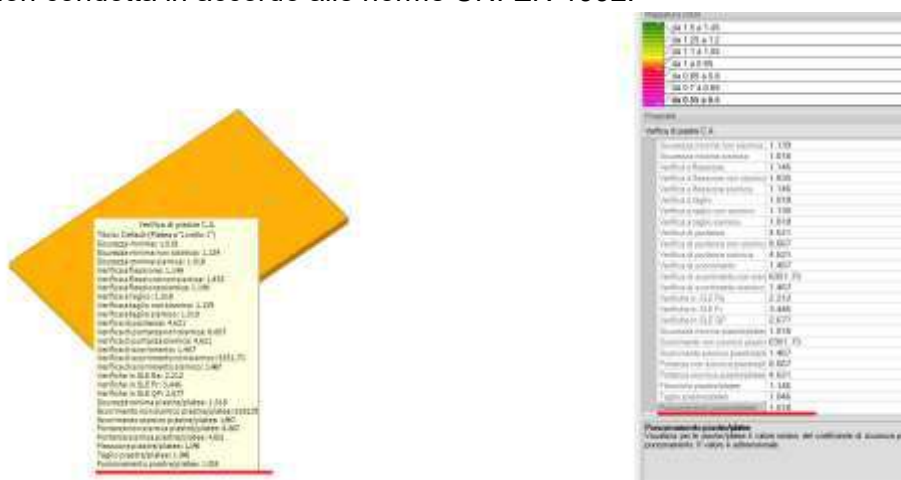


Figura 22 - Verifica punzonamento

Essendo il rapporto tra resistenza e sollecitazione maggiore dell'unità la verifica si ritiene soddisfatta con un minimo valore dell'indice di sicurezza pari a 1,018.

Si riportano di seguito le evidenze numeriche delle verifiche eseguite avendo adottato lo sche di podizioamento dei pilastri sintetizzato nell'immagine seguente:

| | | | |
|--------------------------------------|----------------------------------------------------------------------------------------------------------------------|----------------------------------------------------------------------------------|-------------|
| COMMITTENTE: Mecca Antonio | CODICE COMMESSA: | NOME ELABORATO: S1.5 - Relazione Geotecnica e delle Fondazioni | CONSULENTE: |
| DATA: Aprile 2023 | TITOLO: Lavori ultimazione di un fabbricato adibito ad albergo-ristorante– C.da Case Nuove Chicone Avigliano (PZ) | | |

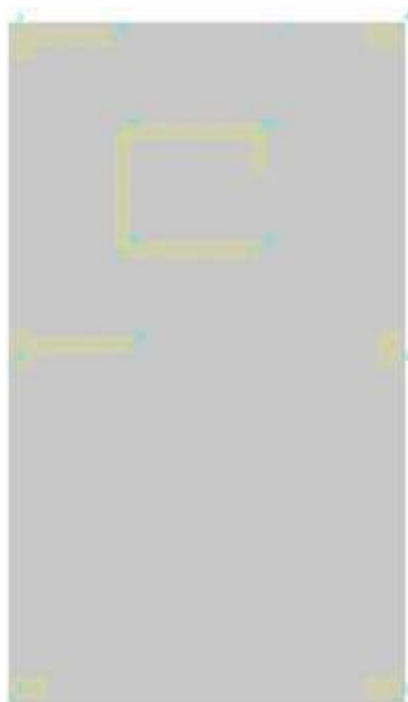
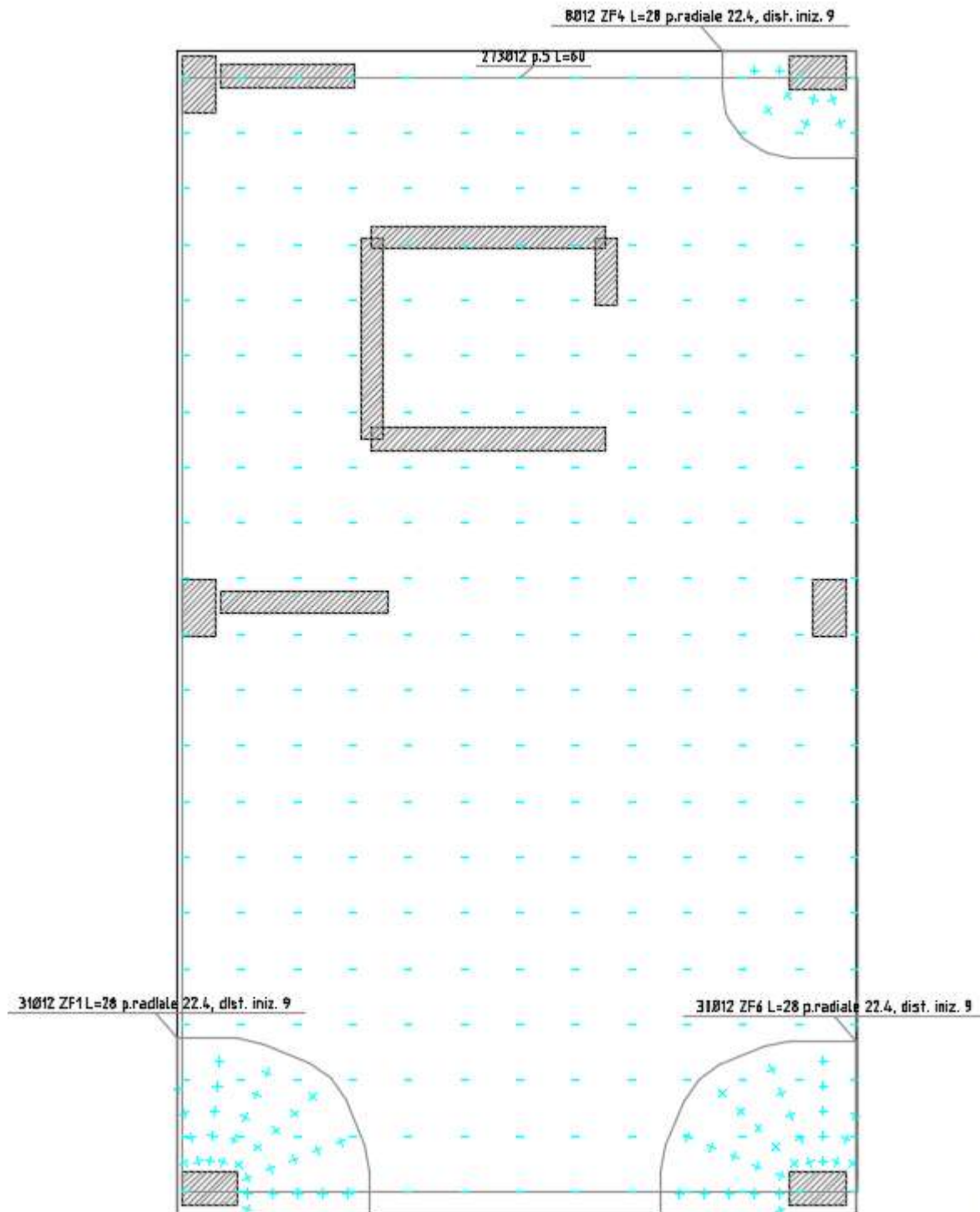


Figura 23 - Posizione elementi

Si riporta di seguito lo schema di armatura a punzonamento adottato:

Relazione Geotecnica e delle Fondazioni



Verifiche punzonamento

Zone di punzonamento considerate

| Nome | Lato punzonante | Verticali inferiori | Verticali superiori |
|------|-----------------|---------------------|-----------------------------------------------------|
| ZF6 | Superiore | | Pilastro C.A. a tronco Livello 1 - Livello 2 filo 6 |
| ZF1 | Superiore | | Pilastro C.A. a tronco Livello 1 - Livello 2 filo 1 |
| ZF2 | Superiore | | Pilastro C.A. a tronco Livello 1 - Livello 2 filo 2 |
| ZF5 | Superiore | | Pilastro C.A. a tronco Livello 1 - Livello 2 filo 5 |
| ZF3 | Superiore | | Pilastro C.A. a tronco Livello 1 - Livello 2 filo 3 |
| ZF4 | Superiore | | Pilastro C.A. a tronco Livello 1 - Livello 2 filo 4 |

| | | | |
|--------------------------------------|----------------------------------------------------------------------------------------------------------------------|----------------------------------------------------------------------------------|-------------|
| COMMITTENTE: Mecca Antonio | CODICE COMMESSA: | NOME ELABORATO: S1.5 - Relazione Geotecnica e delle Fondazioni | CONSULENTE: |
| DATA: Aprile 2023 | TITOLO: Lavori ultimazione di un fabbricato adibito ad albergo-ristorante- C.da Case Nuove Chicone Avigliano (PZ) | | |

Armature radiali a punzonamento

| Zona | Ø [mm] | Distanza | Passo radiale | Numero per raggio | Angolo iniziale | Numero raggi |
|------|--------|----------|---------------|-------------------|-----------------|--------------|
| ZF6 | 12 | 0.09 | 0.224 | 5 | 0 | 16 |
| ZF1 | 12 | 0.09 | 0.224 | 5 | 0 | 17 |
| ZF4 | 12 | 0.09 | 0.224 | 2 | 0 | 10 |

Verifiche punzonamento U0 SLU

| Zona | Lato | Comb. | ved | vrđ,max | d | U0 | VEđ | Peso | Suolo | β | M1 | M2 | W11 | W12 | β | c.s. | Verifica |
|------|------|-------|-------|---------|-------|------|--------|------|-------|--------|---------|----------|--------|--------|------|--------|----------|
| ZF6 | Sup. | SLV 6 | -3082 | 4233 | 0.299 | 1 | -160.5 | 2.1 | 2.71 | (6.39) | 57.1857 | - | 0.1024 | 0.1764 | 5.15 | 1.3736 | Si |
| ZF1 | Sup. | SLV 9 | -3031 | 4233 | 0.299 | 0.95 | - | 1.93 | 2.27 | (6.39) | 58.4366 | 105.3037 | 0.0997 | 0.1527 | 4.49 | 1.3966 | Si |
| ZF4 | Sup. | SLV 7 | -2562 | 4233 | 0.299 | 0.95 | - | 1.84 | 15.13 | (6.39) | - | -68.3461 | 0.0815 | 0.1685 | 5.24 | 1.6523 | Si |

Verifiche punzonamento U0 SLD Resistenza

| Zona | Lato | Comb. | ved | vrđ,max | d | U0 | VEđ | Peso | Suolo | β | M1 | M2 | W11 | W12 | β | c.s. | Verifica |
|------|------|-------|-------|---------|-------|------|-----|------|-------|--------|---------|---------|--------|--------|------|--------|----------|
| ZF1 | Sup. | SLD 9 | -2102 | 4233 | 0.299 | 0.95 | - | 1.93 | 1.99 | (6.39) | 32.4532 | 61.4855 | 0.0997 | 0.1527 | 3.51 | 2.0133 | Si |
| ZF6 | Sup. | SLD 6 | -2089 | 4233 | 0.299 | 1 | - | 2.1 | 2.5 | (6.39) | 30.6859 | - | 0.1024 | 0.1764 | 3.87 | 2.0262 | Si |

Verifiche punzonamento U1 SLU

| Zona | Lato | Comb. | ved | vrđ,c | d | Offset | U1 | VEđ | Peso | Suolo | β | M1 | M2 | W11 | W12 | β | c.s. | Verifica |
|------|------|--------|-----|-------|-------|--------|-------|-------|------|-------|--------|----------|----------|--------|--------|------|--------|----------|
| ZF1 | Sup. | SLV 9 | 772 | 524 | 0.299 | 0.598 | 1.883 | - | 5.61 | 34.27 | (6.39) | 58.4366 | 87.976 | 0.5209 | 0.6106 | 2.85 | 0.6789 | Si |
| ZF6 | Sup. | SLV 6 | 755 | 524 | 0.299 | 0.598 | 1.933 | - | 5.91 | 36.31 | (6.39) | 57.1857 | - | 0.5316 | 0.6601 | 3.34 | 0.6949 | Si |
| ZF4 | Sup. | SLV 7 | 637 | 598 | 0.299 | 0.525 | 1.769 | -87.6 | 4.94 | 61.65 | (6.39) | -53.5011 | -68.3461 | 0.4213 | 0.57 | 3.84 | 0.9386 | Si |
| ZF5 | Sup. | SLV 7 | 632 | 669 | 0.299 | 0.506 | 2.88 | - | 6.13 | 49.19 | (6.39) | - | -34.4458 | 1.5648 | 0.7368 | 2.87 | 1.0591 | Si |
| ZF2 | Sup. | SLV 12 | 503 | 685 | 0.299 | 0.506 | 2.78 | - | 5.79 | 28.47 | (6.39) | - | 8.4316 | 1.4892 | 0.6703 | 2.32 | 1.362 | Si |

Verifiche punzonamento U1 SLD Resistenza

| Zona | Lato | Comb. | ved | vrđ,c | d | Offset | U1 | VEđ | Peso | Suolo | β | M1 | M2 | W11 | W12 | β | c.s. | Verifica |
|------|------|--------|-----|-------|-------|--------|-------|--------|------|-------|--------|----------|---------|--------|--------|------|--------|----------|
| ZF1 | Sup. | SLD 9 | 565 | 524 | 0.299 | 0.598 | 1.883 | - | 5.61 | 30.75 | (6.39) | 32.4532 | 61.4855 | 0.5209 | 0.6106 | 2.35 | 0.9279 | Si |
| ZF6 | Sup. | SLD 6 | 538 | 524 | 0.299 | 0.598 | 1.933 | - | 5.91 | 33.89 | (6.39) | 30.6859 | - | 0.5316 | 0.6601 | 2.65 | 0.9738 | Si |
| ZF4 | Sup. | SLD 7 | 458 | 598 | 0.299 | 0.525 | 1.769 | -78.73 | 4.94 | 54.75 | (6.39) | -33.0924 | - | 0.4213 | 0.57 | 3.08 | 1.3042 | Si |
| ZF5 | Sup. | SLD 7 | 462 | 669 | 0.299 | 0.506 | 2.88 | - | 6.13 | 62.59 | (6.39) | - | - | 1.5648 | 0.7368 | 2.31 | 1.4483 | Si |
| ZF2 | Sup. | SLD 12 | 390 | 711 | 0.299 | 0.488 | 2.722 | - | 5.58 | 36.72 | (6.39) | - | 6.5795 | 1.4262 | 0.6429 | 1.94 | 1.8231 | Si |

Verifiche punzonamento Uout SLU

| Zona | Lato | Comb. | ved | vrđ,cs | d | UOut | VEđ | Fywd,ef | Passo | Asw | c.s. | Verifica |
|------|------|-------|-----|--------|-------|-------|---------|---------|-------|----------|-------|----------|
| ZF1 | Sup. | SLV 9 | 772 | 786 | 0.299 | 2.773 | -152.54 | 324750 | 0.224 | 0.000679 | 1.018 | Si |
| ZF6 | Sup. | SLV 6 | 755 | 786 | 0.299 | 2.781 | -130.71 | 324750 | 0.224 | 0.000565 | 1.042 | Si |
| ZF4 | Sup. | SLV 7 | 637 | 897 | 0.299 | 1.885 | -87.6 | 324750 | 0.224 | 0.000452 | 1.408 | Si |

Verifiche punzonamento Uout SLD Resistenza

| Zona | Lato | Comb. | ved | vrđ,cs | d | UOut | VEđ | Fywd,ef | Passo | Asw | c.s. | Verifica |
|------|------|-------|-----|--------|-------|-------|---------|---------|-------|----------|-------|----------|
| ZF1 | Sup. | SLD 9 | 565 | 786 | 0.299 | 2.03 | -135.43 | 324750 | 0.224 | 0.000679 | 1.392 | Si |
| ZF6 | Sup. | SLD 6 | 538 | 786 | 0.299 | 1.986 | -117.39 | 324750 | 0.224 | 0.000565 | 1.461 | Si |

Verifiche passo armatura radiale

| Zona | Passo | Passo max | Verifica |
|------|-------|-----------|----------|
| ZF6 | 0.224 | 0.224 | Si |
| ZF1 | 0.224 | 0.224 | Si |
| ZF4 | 0.224 | 0.224 | Si |

Verifiche distanza periferica tondi verticali armatura radiale

| Zona | Distanza trasversale | Distanza trasversale max | Verifica |
|------|----------------------|--------------------------|----------|
| ZF4 | 0.379 | 0.598 | Si |
| ZF1 | 0.471 | 0.598 | Si |
| ZF6 | 0.507 | 0.598 | Si |

Verifiche distanza apicale tondi verticali armatura radiale

| Zona | Distanza | Limite | Verifica |
|------|----------|--------|----------|
| ZF6 | 0.09 | 0.09 | Si |
| ZF1 | 0.09 | 0.09 | Si |
| ZF4 | 0.09 | 0.09 | Si |

Verifiche distanza uOut SLU armatura a punzonamento

| Zona | Distanza Uout | Distanza Uout max | Verifica |
|------|---------------|-------------------|----------|
| ZF6 | 0.222 | 0.449 | Si |
| ZF1 | 0.23 | 0.449 | Si |
| ZF4 | 0.325 | 0.449 | Si |

Verifiche distanza uOut SLD Resistenza armatura a punzonamento

| Zona | Distanza Uout | Distanza Uout max | Verifica |
|------|---------------|-------------------|----------|
| ZF6 | 0 | 0.449 | Si |
| ZF1 | 0 | 0.449 | Si |

Verifiche area minima di un braccio di cucitura a punzonamento

| Zona | Asw | Asw,min | Verifica |
|------|----------|----------|----------|
| ZF6 | 0.000113 | 0.000082 | Si |

Relazione Geotecnica e delle Fondazioni

| Zona | Asw | Asw,min | Verifica |
|------|----------|----------|----------|
| ZF1 | 0.000113 | 0.000077 | Si |
| ZF4 | 0.000113 | 0.000062 | Si |

Significato dei simboli utilizzati:

Le unità di misura elencate sono in [m, kN, deg] ove non espressamente specificato.

Nodo: indice del nodo di verifica.

Dir.: direzione della sezione di verifica.

B: base della sezione rettangolare di verifica. [m]

H: altezza della sezione rettangolare di verifica. [m]

A. sup.: area barre armatura superiori. [m²]

C. sup.: distanza media delle barre superiori dal bordo superiore della sezione. [m]

A. inf.: area barre armatura inferiori. [m²]

C. inf.: distanza media delle barre inferiori dal bordo inferiore della sezione. [m]

Comb.: combinazione di verifica.

M: momento flettente. [kN*m]

N: sforzo normale. [kN]

Mu: momento flettente ultimo. [kN*m]

Nu: sforzo normale ultimo. [kN]

c.s.: coefficiente di sicurezza.

Verifica: stato di verifica.

A. st.: area staffe su interasse. [m]

A. sag.: area sagomati su interasse. [m]

Ved: taglio agente. [kN]

Vrd: taglio resistente. [kN]

Vrdc: resistenza di calcolo a taglio per elementi privi di armature trasversali. [kN]

Vrsd: resistenza di calcolo a taglio trazione. [kN]

Vrcd: resistenza di calcolo a taglio compressione. [kN]

cotgθ: cotangente dell'inclinazione dei puntoni di calcestruzzo rispetto all'asse dell'elemento.

Asl: area longitudinale tesa nella combinazione di verifica di Ved. [m²]

σc: tensione nel calcestruzzo. [kN/m²]

σlim: tensione limite. [kN/m²]

Es/Ec: coefficiente di omogenizzazione.

σf: tensione nell'acciaio d'armatura. [kN/m²]

εsm: deformazione unitaria media delle barre di armatura.

Δmax: distanza massima tra le fessure. [m]

Wd: valore di calcolo di apertura delle fessure. [m]

Nome: nome attribuito alla zona di punzonamento.

Lato punzonante: lato considerato come punzonante in verifica.

Verticali inferiori: elementi punzonanti inferiori.

Verticali superiori: elementi punzonanti superiori.

Zona: nome della zona di punzonamento.

Ø [mm]: diametro.

Distanza: distanza della prima barra di ciascun raggio dal perimetro dell'elemento punzonante. [m]

Passo radiale: passo radiale barre verticali. [m]

Numero per raggio: numero di barre per raggio di armatura.

Angolo iniziale: angolo iniziale posa raggi di armatura. [deg]

Numero raggi: numero di raggi di armatura.

Lato: lato su cui agisce l'azione punzonante.

ved: tensione tangenziale per punzonamento. [kN/m²]

vrd,max: resistenza a punzonamento. [kN/m²]

d: media delle altezze utili nelle due direzioni ortogonali. [m]

U0: lunghezza efficace del perimetro di verifica. [m]

VEd: forza netta di taglio-punzonamento. [kN]

Peso: peso del blocco di cls e dell'eventuale carico superficiale. [kN]

Suolo: reazione trasmessa dal suolo. [kN]

β: formula per il calcolo del coefficiente.

M1: momento di calcolo secondo l'asse principale di verifica 1. [kN*m]

M2: momento di calcolo secondo l'asse principale di verifica 2. [kN*m]

W11: w1 secondo l'asse principale di verifica 1. [m²]

W12: w1 secondo l'asse principale di verifica 2. [m²]

β: coefficiente per reazione eccentrica rispetto al perimetro di verifica.

vrd,c: resistenza a punzonamento. [kN/m²]

Offset: distanza del perimetro di verifica dall'area caricata. [m]

U1: lunghezza efficace del perimetro di verifica. [m]

vrd,cs: resistenza a punzonamento. [kN/m²]

UOut: lunghezza efficace perimetro Uout. [m]

Fywd,ef: resistenza di progetto efficace dell'armatura a taglio-punzonamento. [kN/m²]

Passo: passo spille a punzonamento. [m]

Asw: area di armatura a punzonamento posta su di un perimetro. [m²]

Passo max: passo massimo spille a punzonamento. [m]

Distanza trasversale: distanza trasversale spille a punzonamento. [m]

| | | | |
|--------------------------------------|------------------------------------------------------------------------------------------------------------------------------|----------------------------------------------------------------------------------|-------------|
| COMMITTENTE: Mecca Antonio | CODICE COMMESSA: | NOME ELABORATO: S1.5 - Relazione Geotecnica e delle Fondazioni | CONSULENTE: |
| DATA: Aprile 2023 | TITOLO: Lavori ultimazione di un fabbricato adibito ad albergo-ristorante– C.da Case Nuove Chicone Avigliano (PZ) | | |

Distanza trasversale max: distanza trasversale massima spille a punzonamento. [m]

Distanza: distanza prima spilla da perimetro elemento punzonante. [m]

Limite: distanza minima prima spilla da perimetro elemento punzonante. [m]

Distanza Uout: distanza ultima armatura di cucitura da perimetro Uout. [m]

Distanza Uout max: distanza massima ultima armatura di cucitura da perimetro Uout. [m]

Asw: area di un braccio di cucitura. [m²]

Asw,min: area minima di un braccio di cucitura a punzonamento. [m²]

Comb.: combinazione.

Fh: componente orizzontale del carico. [kN]

Fv: componente verticale del carico. [kN]

Cnd: resistenza valutata a breve o lungo termine (BT - LT).

Ad: adesione di progetto. [kN/m²]

Phi: angolo di attrito di progetto. [deg]

RPI: resistenza passiva laterale unitaria di progetto. [kN/m]

yR: coefficiente parziale sulla resistenza di progetto.

Rd: resistenza alla traslazione di progetto. [kN]

Ed: azione di progetto. [kN]

Rd/Ed: coefficiente di sicurezza allo scorrimento.

ID: indice della verifica di capacità portante.

Fx: componente lungo x del carico. [kN]

Fy: componente lungo y del carico. [kN]

Fz: componente verticale del carico. [kN]

Mx: componente lungo x del momento. [kN*m]

My: componente lungo y del momento. [kN*m]

ix: inclinazione del carico in x. [deg]

iy: inclinazione del carico in y. [deg]

ex: eccentricità del carico in x. [m]

ey: eccentricità del carico in y. [m]

B': larghezza efficace. [m]

L': lunghezza efficace. [m]

Cnd: resistenza valutata per condizione a breve o lungo termine (BT - LT).

C: coesione di progetto. [kN/m²]

Qs: sovraccarico laterale da piano di posa. [kN/m²]

Rd: resistenza alla rottura del complesso di progetto. [kN]

Ed: azione di progetto (sforzo normale al piano di posa). [kN]

Rd/Ed: coefficiente di sicurezza alla capacità portante.

N:

Nq: fattore di capacità portante per il termine di sovraccarico.

Nc: fattore di capacità portante per il termine coesivo.

Ng: fattore di capacità portante per il termine attritivo.

S:

Sq: fattore correttivo di capacità portante per forma (shape), per il termine di sovraccarico.

Sc: fattore correttivo di capacità portante per forma (shape), per il termine coesivo.

Sg: fattore correttivo di capacità portante per forma (shape), per il termine attritivo.

D:

Dq: fattore correttivo di capacità portante per approfondimento (deep), per il termine di sovraccarico.

Dc: fattore correttivo di capacità portante per approfondimento (deep), per il termine coesivo.

Dg: fattore correttivo di capacità portante per approfondimento (deep), per il termine attritivo.

I:

Iq: fattore correttivo di capacità portante per inclinazione del carico, per il termine di sovraccarico.

Ic: fattore correttivo di capacità portante per inclinazione del carico, per il termine coesivo.

Ig: fattore correttivo di capacità portante per inclinazione del carico, per il termine attritivo.

B:

Bq: fattore correttivo di capacità portante per inclinazione della base, per il termine di sovraccarico.

Bc: fattore correttivo di capacità portante per inclinazione della base, per il termine coesivo.

Bg: fattore correttivo di capacità portante per inclinazione della base, per il termine attritivo.

G:

Gq: fattore correttivo di capacità portante per inclinazione del pendio, per il termine di sovraccarico.

Gc: fattore correttivo di capacità portante per inclinazione del pendio, per il termine coesivo.

Gg: fattore correttivo di capacità portante per inclinazione del pendio, per il termine attritivo.

P:

Pq: fattore correttivo di capacità portante per punzonamento, per il termine di sovraccarico.

Pc: fattore correttivo di capacità portante per punzonamento, per il termine coesivo.

Pg: fattore correttivo di capacità portante per punzonamento, per il termine attritivo.

E:

Eq: fattore correttivo di capacità portante per sisma (earthquake), per il termine di sovraccarico.

Ec: fattore correttivo di capacità portante per sisma (earthquake), per il termine coesivo.

Eg: fattore correttivo di capacità portante per sisma (earthquake), per il termine attritivo.

11.6. Fondazione verifiche agli stati limite di esercizio (S.L.E.)

Nei paragrafi seguenti vengono riportate le verifiche inerenti gli stati limite di esercizio in accordo alle indicazioni del §"6.4.3.2 VERIFICHE AGLI STATI LIMITE DI ESERCIZIO (S.L.E.)" delle NTC2018. Gli stati limite di esercizio considerati sono:

- Cedimenti;

11.6.1. Cedimenti

Nell'immagine seguente a mezzo di mappa di colori vengono riportati i valori dei cedimenti massimi e minimi ottenuti da modello F.E.M. per la platea di fondazione:

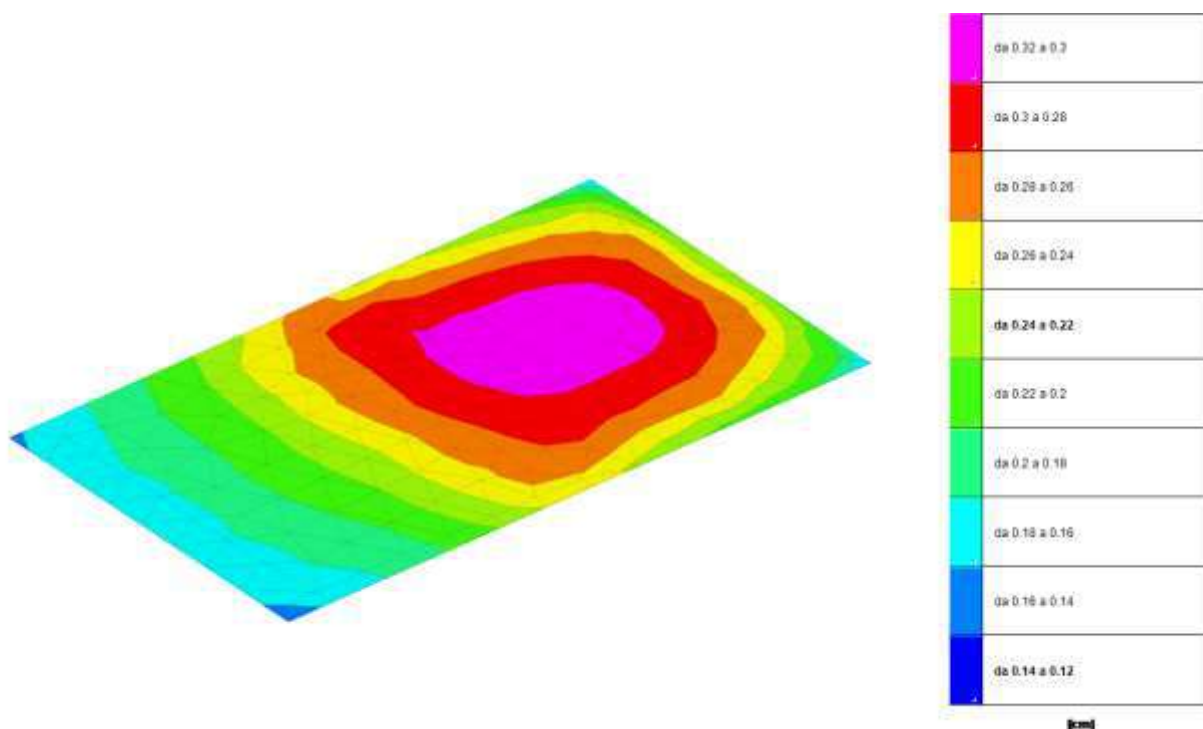


Figura 24 - Cedimento elastico massimo

Il valore del cedimento massimo è pari a 0,35 cm.

| | | | |
|--------------------------------------|----------------------------------------------------------------------------------------------------------------------|----------------------------------------------------------------------------------|-------------|
| COMMITTENTE: Mecca Antonio | CODICE COMMESSA: | NOME ELABORATO: S1.5 - Relazione Geotecnica e delle Fondazioni | CONSULENTE: |
| DATA: Aprile 2023 | TITOLO: Lavori ultimazione di un fabbricato adibito ad albergo-ristorante– C.da Case Nuove Chicone Avigliano (PZ) | | |

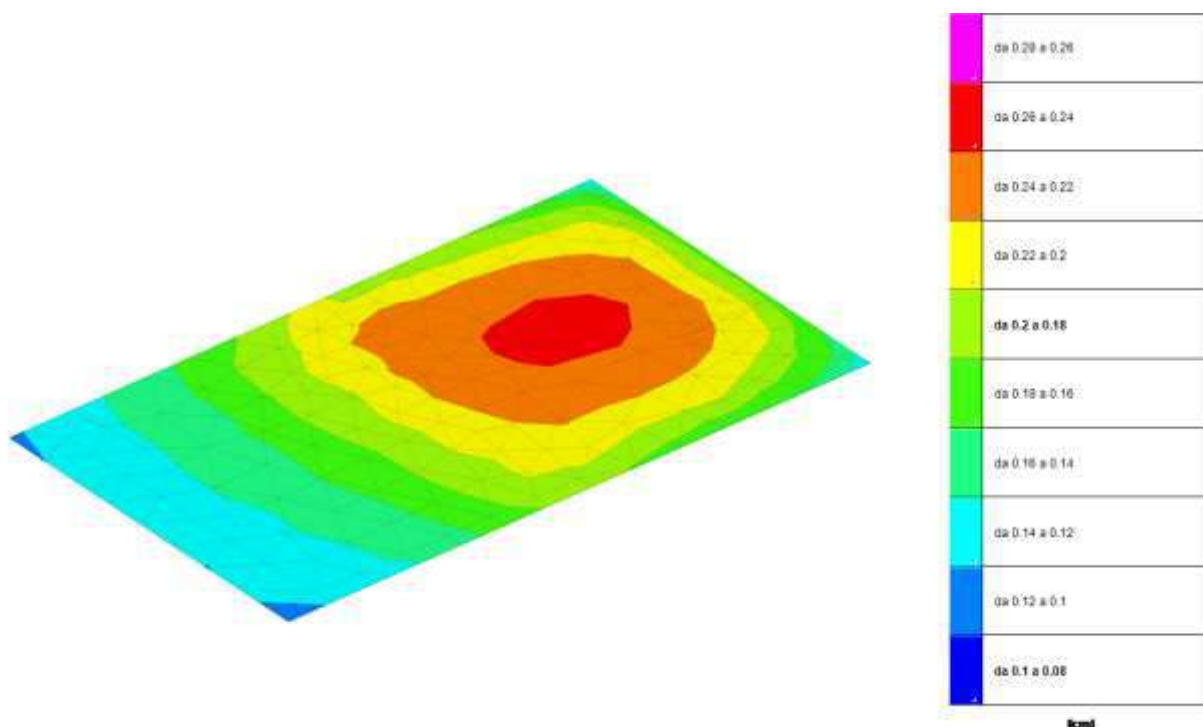


Figura 25 - Cedimento elastico minimo

Il valore del cedimento minimo è pari a 0,2449 cm.

12. Scala emergenza in carpenteria metallica

Nei paragrafi seguenti vengono riportate le verifiche inerenti gli elementi in carpenteria metallica adoperati per la realizzazione della scala in acciaio.

12.1. Descrizione della struttura

Nei paragrafi seguenti vengono riportate le verifiche inerenti gli elementi in carpenteria metallica adoperati per la realizzazione della scala in acciaio. La cui geometria viene riportata nelle seguenti immagini:

Relazione Geotecnica e delle Fondazioni

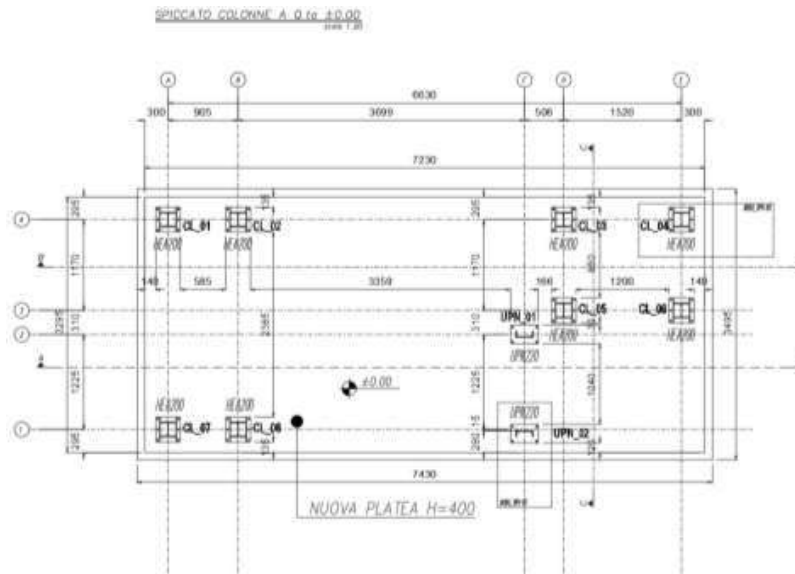


Figura 26 - Fondazione

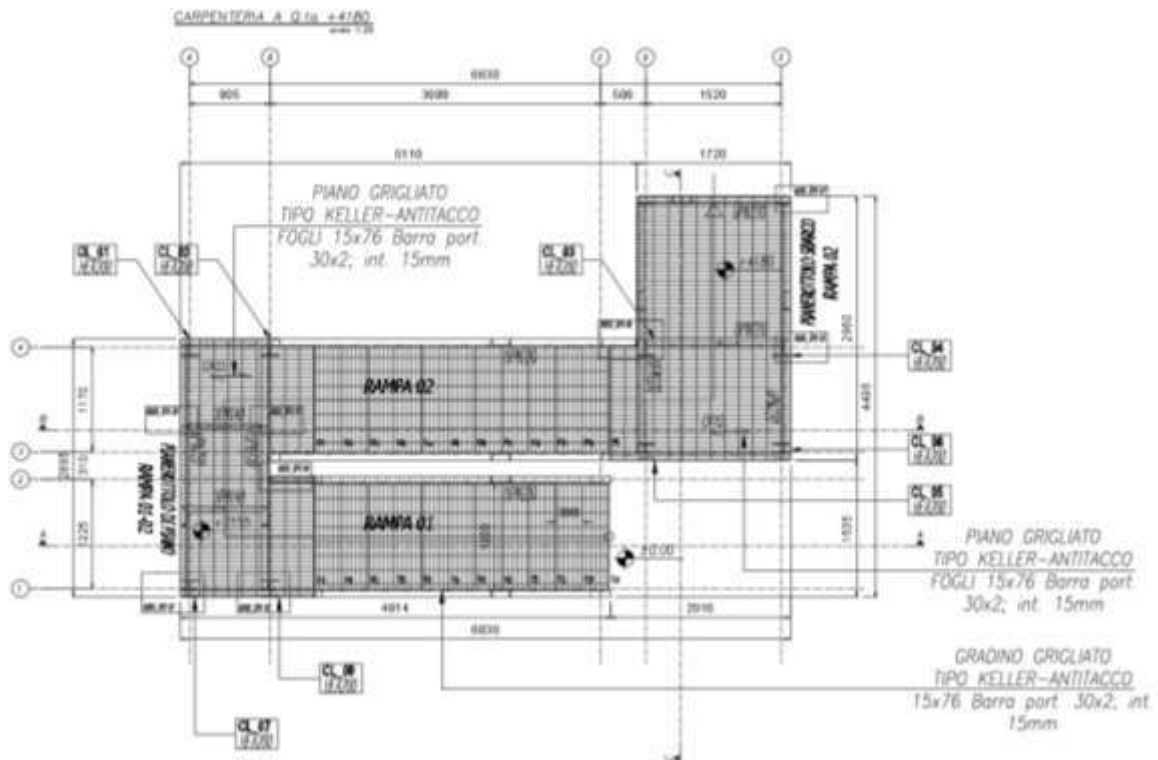


Figura 27 - Pianta

| | | | |
|--------------------------------------|---------------------------------------------------------------------------------------------------------------------------------------|----------------------------------------------------------------------------------------------------|-------------|
| COMMITTENTE: Mecca Antonio | CODICE COMMESSA: | NOME ELABORATO: S1.5 - Relazione Geotecnica e delle Fondazioni | CONSULENTE: |
| DATA: Aprile 2023 | TITOLO: Lavori ultimazione di un fabbricato adibito ad albergo-ristorante– C.da Case Nuove Chicone Avigliano (PZ) | | |

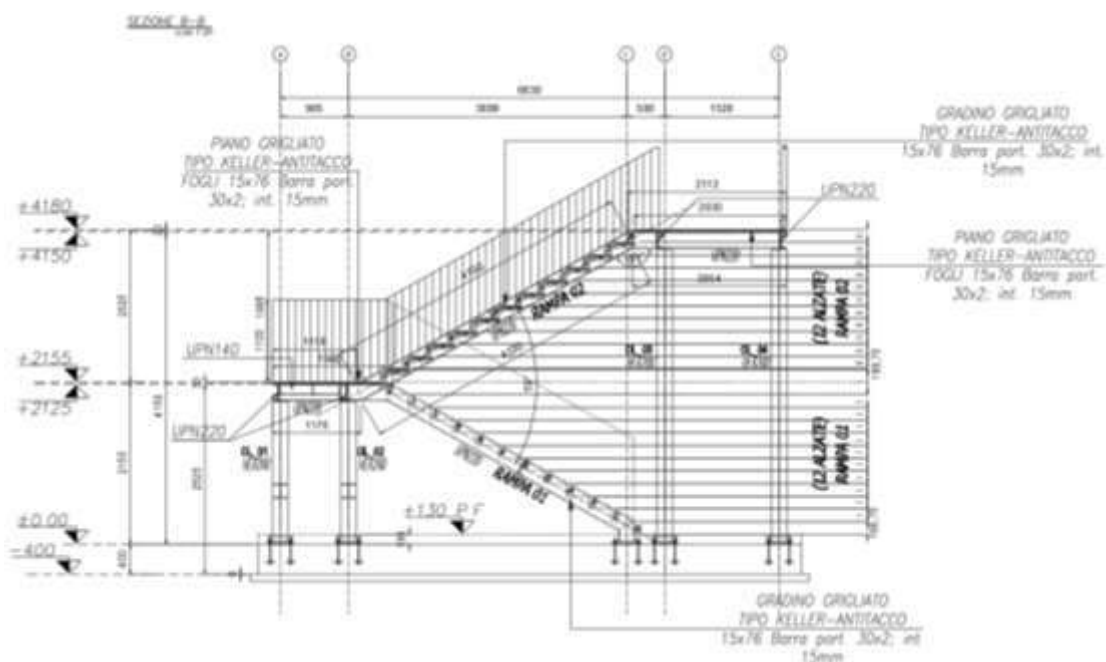


Figura 28 - Prospetto

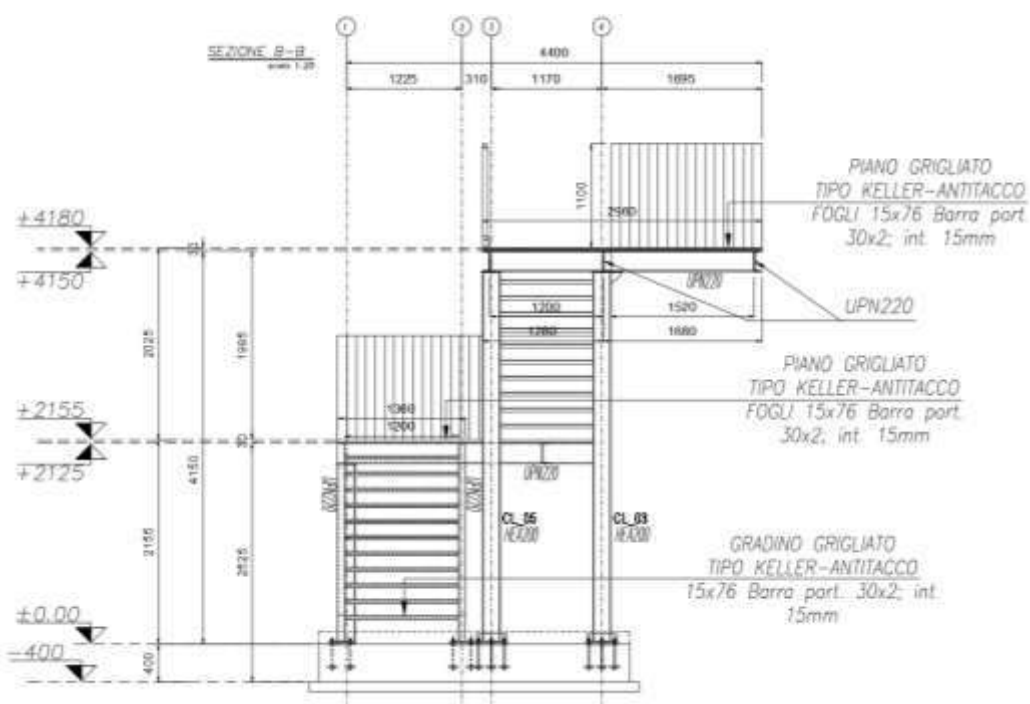


Figura 29 - Prospetto

Le colonne delle strutture in esame sono realizzate adoperando profili tipo HEA200 mentre per la realizzazione dei cosciali della scala e degli elementi di piano si sono adoperati profili UPN 200.

Relazione Geotecnica e delle Fondazioni

12.2. Risultati delle Analisi strutturali

Le analisi strutturali sono state condotte per mezzo di modellazioni agli elementi finiti (F.E.M.). Esse sono state sviluppate sia per ottenere valutazioni di tipo globale sul comportamento delle strutture e di tipo locale ovvero riferite ai singoli elementi strutturali.

12.3. Modello F.E.M. della struttura

Dopo una serie di analisi di primo e secondo livello, utili per definire le dimensioni strutturali degli elementi portanti, è stata eseguita l'analisi mediante la modellazione FEM. Si riportano nelle pagine seguenti alcune immagini relative al modello della struttura in esame.

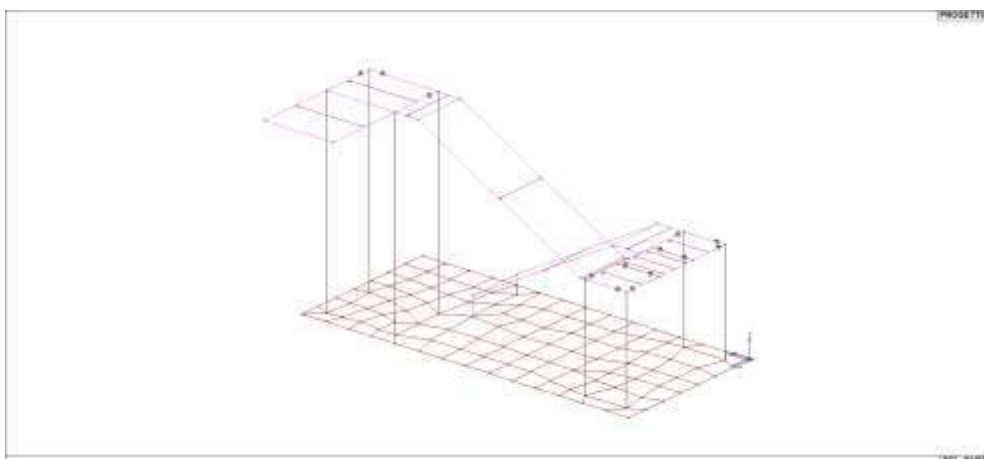


Figura 30 - Modello F.E.M. unifilare

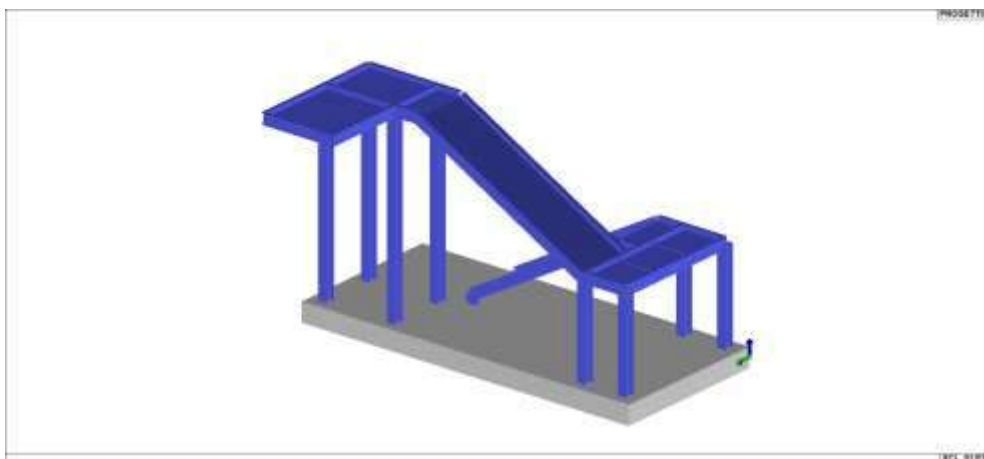


Figura 31 - Modello F.E.M. solido

12.4. Risultati delle analisi strutturali con modellazione F.E.M.

13. Elementi di fondazione scala in acciaio

Nei paragrafi seguenti vengono riportate le verifiche inerenti la platea di fondazione realizzata con sezione di spessore pari a 40 cm.

| | | | |
|--------------------------------------|----------------------------------------------------------------------------------------------------------------------|----------------------------------------------------------------------------------|-------------|
| COMMITTENTE: Mecca Antonio | CODICE COMMESSA: | NOME ELABORATO: S1.5 - Relazione Geotecnica e delle Fondazioni | CONSULENTE: |
| DATA: Aprile 2023 | TITOLO: Lavori ultimazione di un fabbricato adibito ad albergo-ristorante– C.da Case Nuove Chicone Avigliano (PZ) | | |

13.1. Approccio progettuale

Per la valutazione degli elementi di fondazione si è adottato l'Approccio 2 così come definiti al §"6.4.2.1 VERIFICHE AGLI STATI LIMITE ULTIMI (SLU)".

13.2. Pressioni su elementi di fondazione

Nelle immagini seguenti a mezzo di mappa di colori vengono riportati i valori delle pressioni massime e minime ottenute da modello F.E.M. e relative allo stato limite ultimo (S.L.U.) della piastra di fondazione:

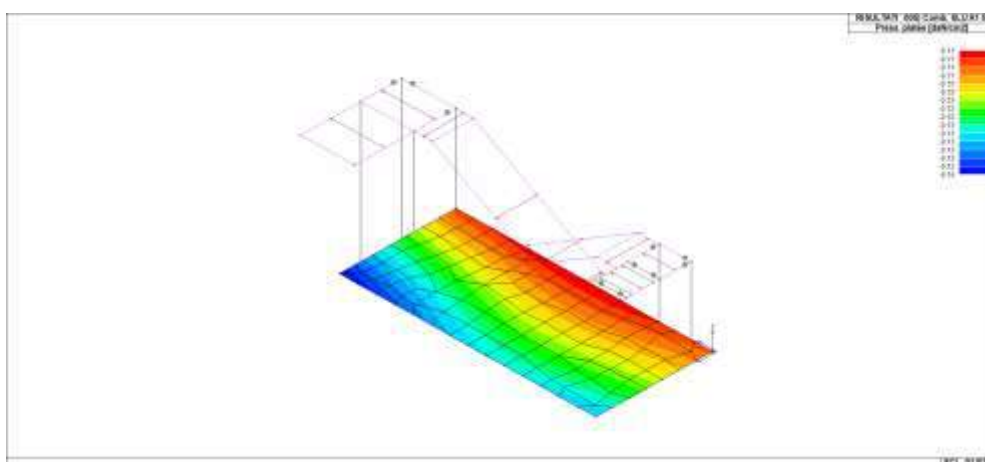


Figura 32 - Press. [daN/cm²] Max.

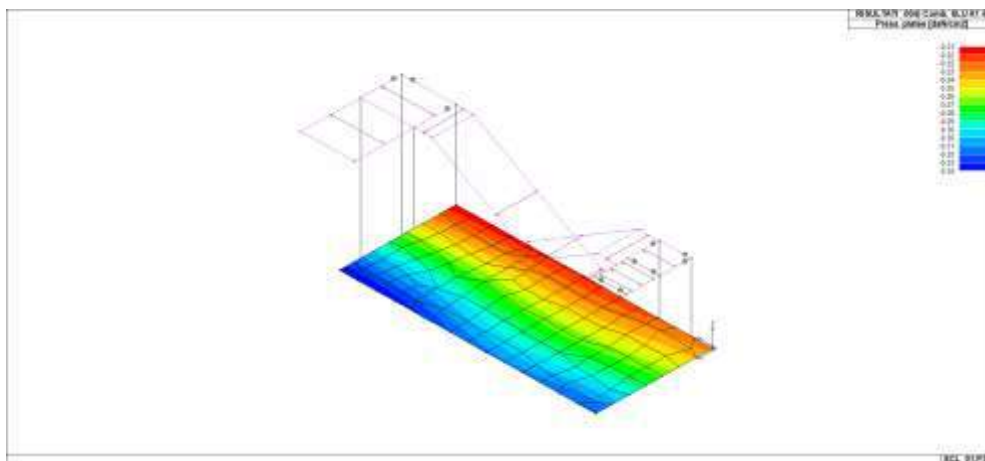


Figura 33 - Press. [daN/cm²] Min.

Relativamente allo stato limite ultimo (S.L.U.) il valore massimo di pressione è pari a 0,34 kg/cmq.

Nelle immagini seguenti a mezzo di mappa di colori vengono riportati i valori delle pressioni massime e minime ottenute da modello F.E.M. e relative allo stato limite ultimo (S.L.V.) della piastra di fondazione:

Relazione Geotecnica e delle Fondazioni

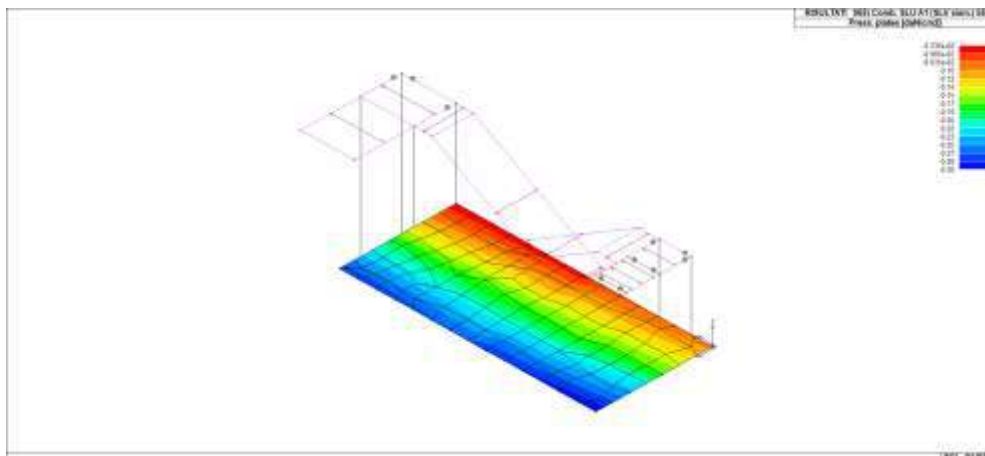


Figura 34 - Press. [daN/cm²] Max.

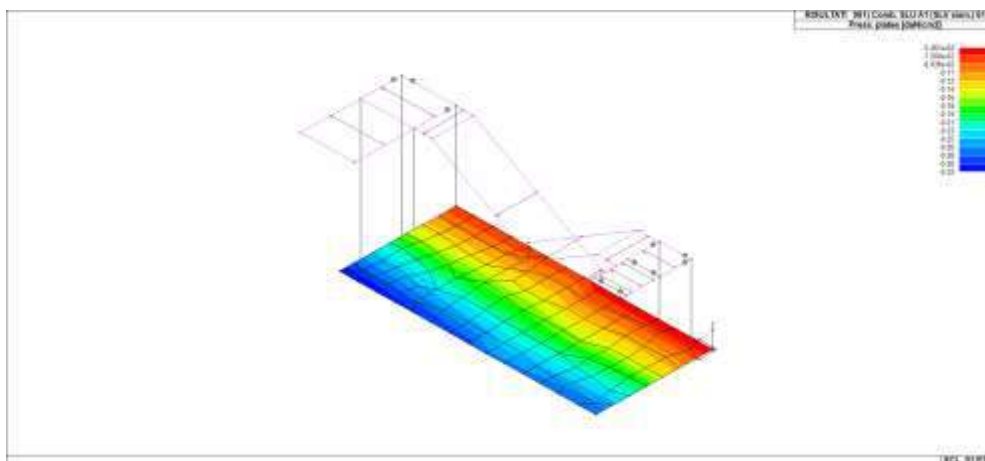


Figura 35 - Press. [daN/cm²] Min.

Relativamente allo stato limite ultimo (S.L.V.) il valore massimo di pressione è pari a 0,32 kg/cm².

13.3. Verifica carico limite verticale ed a scorrimento – platea

Nell'immagine seguente a mezzo di mappa di colori viene riportata la verifica a carico limite verticale per la platea di fondazione avendo adottato per il calcolo la formulazione di Vesic:

| | | | |
|--------------------------------------|------------------------------------------------------------------------------------------------------------------------------|----------------------------------------------------------------------------------|-------------|
| COMMITTENTE: Mecca Antonio | CODICE COMMESSA: | NOME ELABORATO: S1.5 - Relazione Geotecnica e delle Fondazioni | CONSULENTE: |
| DATA: Aprile 2023 | TITOLO: Lavori ultimazione di un fabbricato adibito ad albergo-ristorante– C.da Case Nuove Chicone Avigliano (PZ) | | |

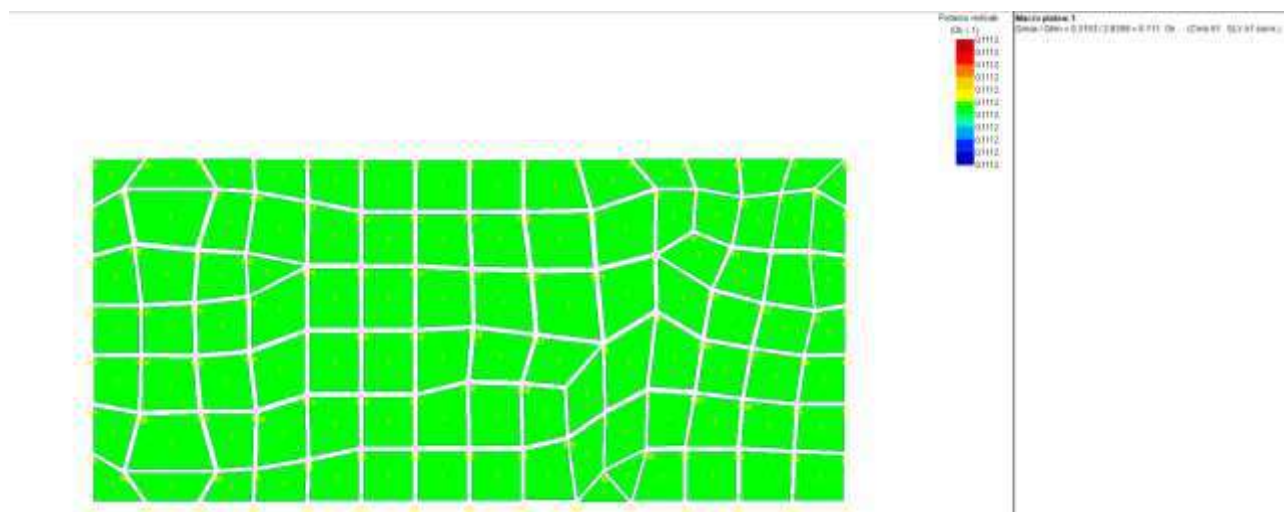


Figura 36 - Verifica di portanza verticale

La verifica è intesa come rapporto tra carico agente e carico limite del terreno ed essendo tale rapporto minore dell'unità la verifica si ritiene superata (rapporto circa 11,1%).

Verifica a scorrimento longitudinale:

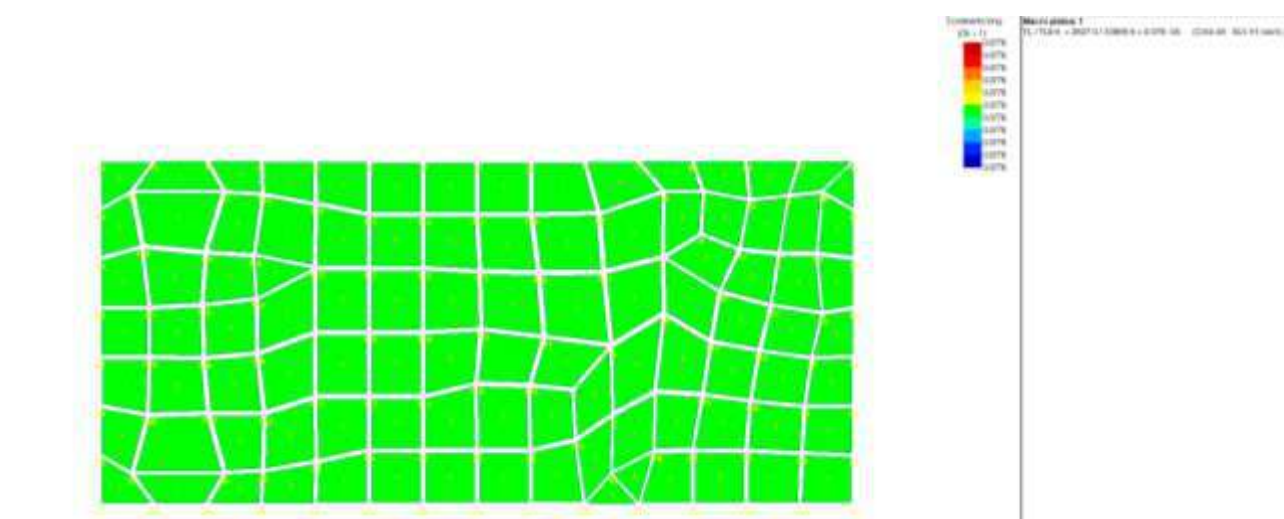


Figura 37 - Verifica scorrimento longitudinale

La verifica è intesa come rapporto tra carico agente e carico limite del terreno ed essendo tale rapporto minore dell'unità la verifica si ritiene superata (rapporto circa 7,76%).

Verifica a scorrimento trasversale:

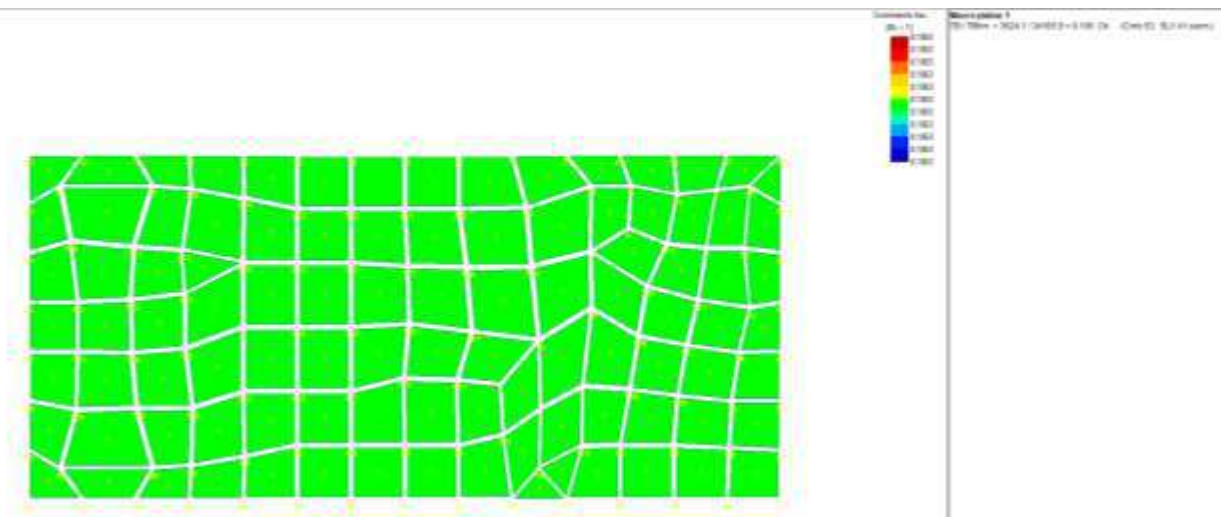


Figura 38 - Verifica scorrimento trasversale

La verifica è intesa come rapporto tra carico agente e carico limite del terreno ed essendo tale rapporto minore dell'unità la verifica si ritiene superata (rapporto 10,63%).

13.4. Verifica strutturale della platea di fondazione.

Nel presente paragrafo vengono riportate le verifiche inerenti gli elementi della fondazione riferite all'intervento del nuovo corpo in c.a esterno al fabbricato oggetto di intervento.

La fondazione sarà di tipo diretta a platea avente spessore pari a 40 cm e copriferro pari a 5,0 cm. Gli elementi in oggetto vengono armati con maglia base realizzata adoperando ferri Ø16 a passo 30 cm disposti nelle due direzioni principali per entrambe le facce degli elementi come sinteticamente riportato nell'immagine seguente:

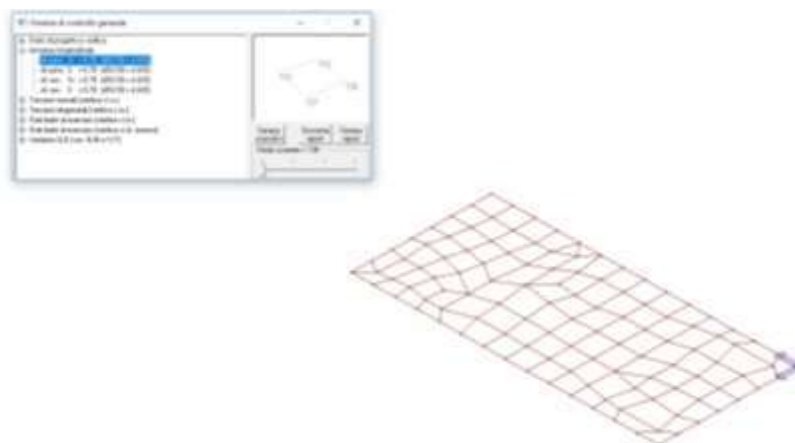


Figura 39 - Quantitativo di armatura

Come riportato nell'immagine seguente non si è inserita armatura aggiuntiva rispetto alla maglia base riportata nell'immagine seguente:

| | | | |
|--------------------------------------|----------------------------------------------------------------------------------------------------------------------|----------------------------------------------------------------------------------|-------------|
| COMMITTENTE: Mecca Antonio | CODICE COMMESSA: | NOME ELABORATO: S1.5 - Relazione Geotecnica e delle Fondazioni | CONSULENTE: |
| DATA: Aprile 2023 | TITOLO: Lavori ultimazione di un fabbricato adibito ad albergo-ristorante– C.da Case Nuove Chicone Avigliano (PZ) | | |

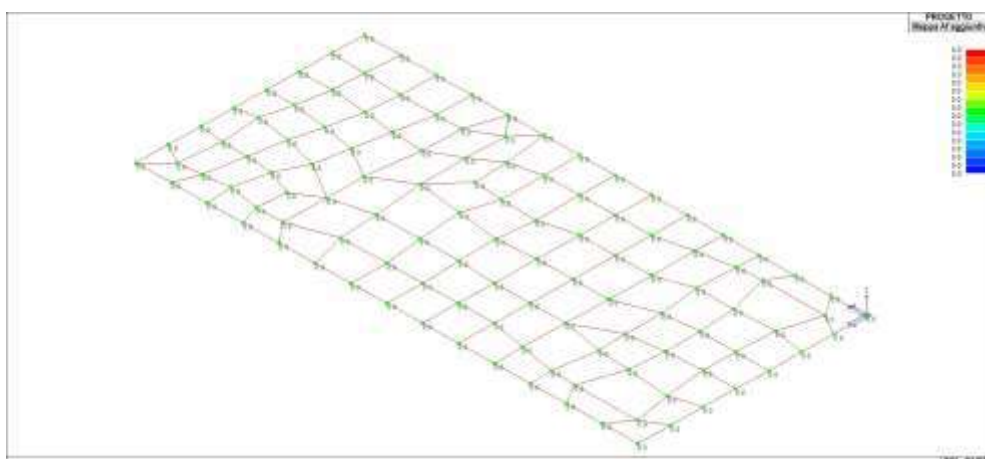


Figura 40 – Armatura Aggiuntiva

Nell'immagine seguente viene riportato l'esito della verifica a pressoflessione:

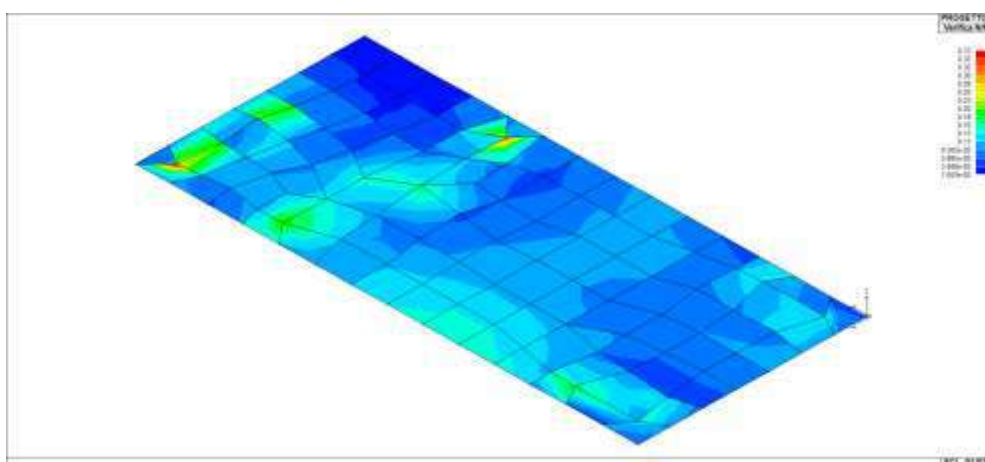


Figura 41 - Verifica a presso-flessione

Essendo il rapporto tra sollecitazione e resistenza minore dell'unità la verifica si ritiene soddisfatta con un tasso massimo di sfruttamento (rapporto tra sollecitazione e resistenza) pari al 37%.

Nell'immagine seguente viene riportata la tensione da V3 che consente di visualizzare mediante mappa cromatica la massima tensione tangenziale agente sugli elementi:

Relazione Geotecnica e delle Fondazioni

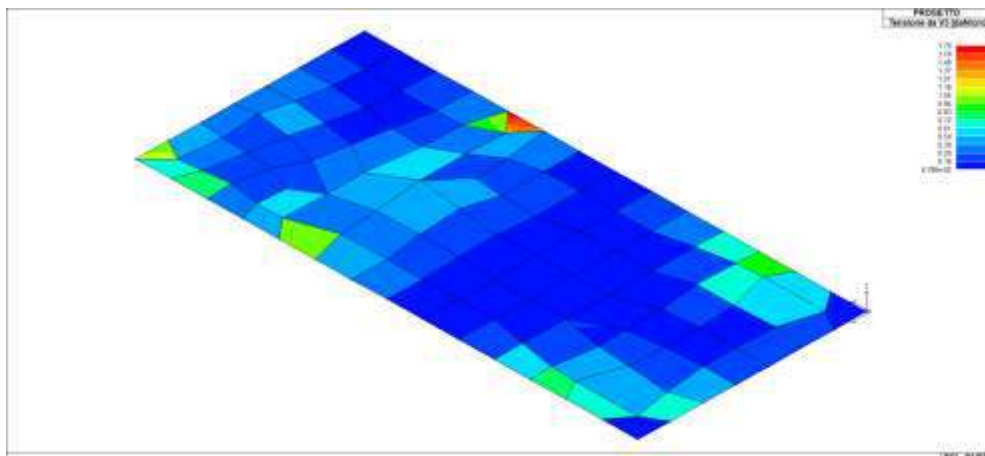


Figura 42 - Tensione da V3

Per il caso in esame il massimo valore è pari a 1,70 daN/cm² che risulta essere minore del valore di tensione massima per elementi non armati a taglio definito alla formula [4.1.23] del paragrafo 4.1.2.3.5.1 del D.M. 2018 non rendendo necessario inserire armatura a taglio.

Il valore di tensione massima per elementi non armati, espresso in MPa, per il caso in esame viene di seguito riportato:

$$R_{ck} = 30$$

$$f_{ck} = 0.83 \cdot R_{ck} = 24.9 \quad \gamma_c = 1.5$$

$$\text{Spessore/Altezza della sezione [mm]: } h = 400$$

$$\text{Copriferro [mm]: } c = 50$$

$$\text{Altezza utile della sezione [mm]: } d = h - c - 16 - 16 = 318$$

$$k = \begin{cases} 1 + \left(\frac{200}{d} \right)^{0.5} & \text{if } 1 + \left(\frac{200}{d} \right)^{0.5} < 2 \\ 2 & \text{otherwise} \end{cases} = 1.793$$

$$v_{min} = 0.035 \cdot k^{\frac{3}{2}} \cdot f_{ck}^{0.5} = 0.419$$

13.5. Fondazione verifiche agli stati limite di esercizio (S.L.E.)

Nei paragrafi seguenti vengono eseguite le verifiche inerenti gli stati limite di esercizio in accordo alle indicazioni del §"6.4.3.2 VERIFICHE AGLI STATI LIMITE DI ESERCIZIO (SLE)" delle NTC2018. Gli stati limite di esercizio considerati sono:

- Cedimenti;

| | | | |
|--------------------------------------|------------------------------------------------------------------------------------------------------------------------------|----------------------------------------------------------------------------------|-------------|
| COMMITTENTE: Mecca Antonio | CODICE COMMESSA: | NOME ELABORATO: S1.5 - Relazione Geotecnica e delle Fondazioni | CONSULENTE: |
| DATA: Aprile 2023 | TITOLO: Lavori ultimazione di un fabbricato adibito ad albergo-ristorante- C.da Case Nuove Chicone Avigliano (PZ) | | |

13.6. Cedimenti

Nell'immagine seguente a mezzo di mappa di colori vengono riportati i valori dei cedimenti edometrici massimi ottenuti da modello F.E.M. per la platea di fondazione:

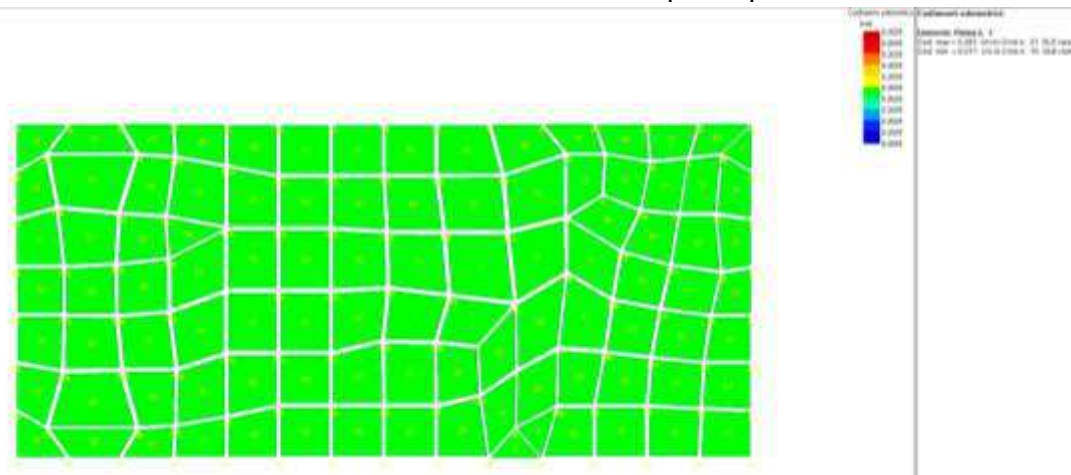


Figura 43 - Cedimenti Edometrici Max.

Per gli elementi in esame sia i cedimenti differenziali che il valore del cedimento massimo (circa 0,283 cm) risultano ingegneristicamente accettabili.

Il valore del cedimento massimo viene registrato per la combinazione rara 21 e nell'immagine seguente vengono riportati per tale combinazione i valori dei cedimenti:

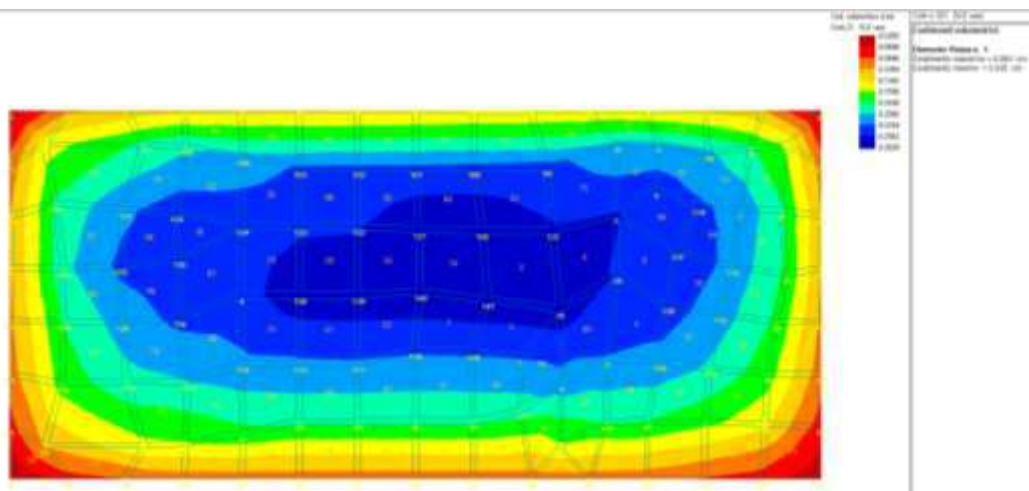


Figura 44 - Mappa dei cedimenti edometrici Max.

Nell'immagine seguente, a mezzo di mappa di colori si riportano i valori tensionali corrispondenti alla combinazione che registra il massimo valore del cedimento edometrico:

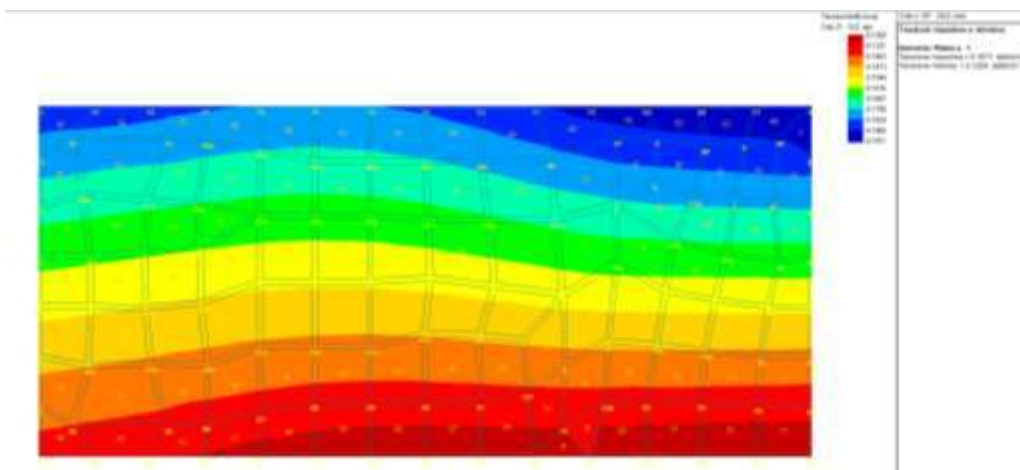


Figura 45 - Mappa Tensionale

Per la struttura in esame sia i cedimenti differenziali che il valore del cedimento massimo (circa 3 mm) risultano ingegneristicamente accettabili.

14. Verifica opera di sostegno

Per l'opera di sostegno controterra si riporta di seguito la planimetria ed alcune sezioni strutturali atte ad individuare la geometria degli elementi:

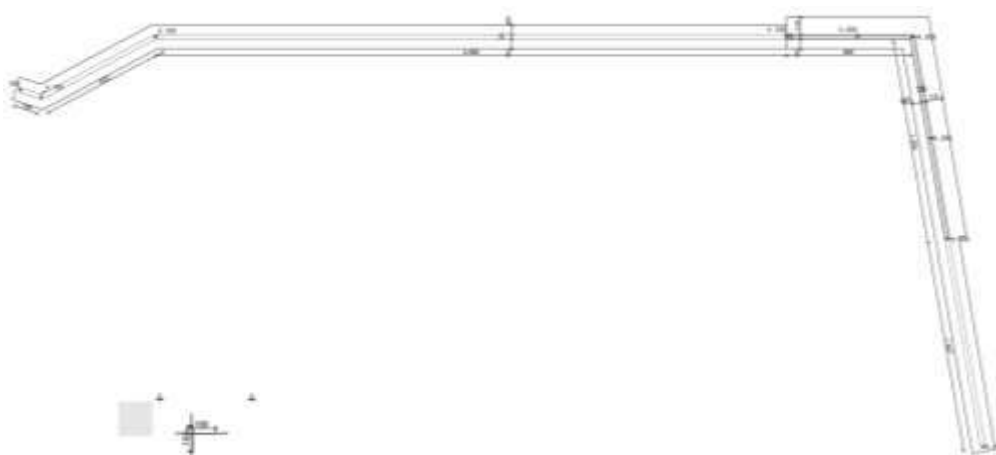


Figura 46 – Planimetria

Per le sezione del muro di maggior interesse si riporta di seguito la geometria e la nomenclatura assegnata:

| | | | |
|--------------------------------------|----------------------------------------------------------------------------------------------------------------------|----------------------------------------------------------------------------------|-------------|
| COMMITTENTE: Mecca Antonio | CODICE COMMESSA: | NOME ELABORATO: S1.5 - Relazione Geotecnica e delle Fondazioni | CONSULENTE: |
| DATA: Aprile 2023 | TITOLO: Lavori ultimazione di un fabbricato adibito ad albergo-ristorante– C.da Case Nuove Chicone Avigliano (PZ) | | |

SEZIONE F

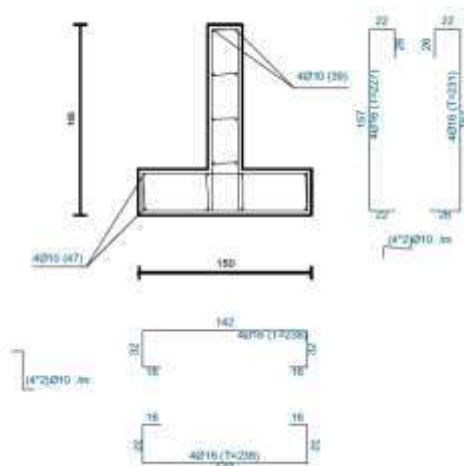


Figura 47 - Sezione strutturale

SEZIONE G (2m)

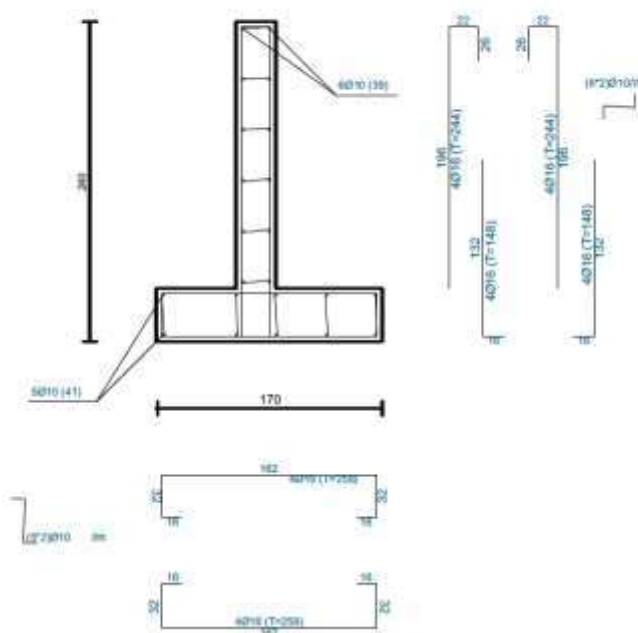


Figura 48 - Sezione strutturale

Relazione Geotecnica e delle Fondazioni

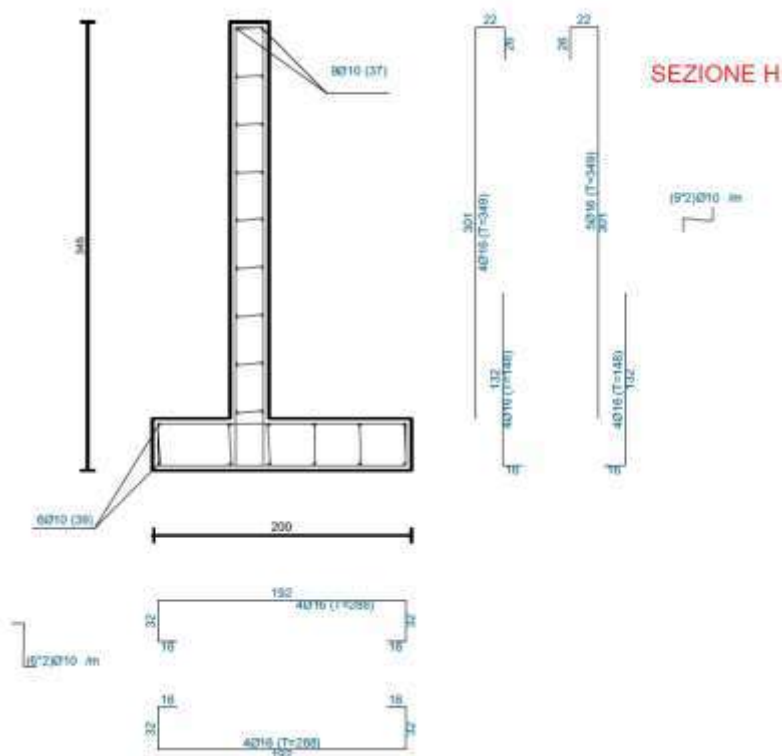


Figura 49 - Sezione strutturale

Per le sezioni precedentemente riportate si riportano i calcoli effettuati.

SEZIONE F

Normative di riferimento

- Legge nr. 1086 del 05/11/1971.
- Norme per la disciplina delle opere in conglomerato cementizio, normale e precompresso ed a struttura metallica.
- Legge nr. 64 del 02/02/1974.
- Provvedimenti per le costruzioni con particolari prescrizioni per le zone sismiche.
- D.M. LL.PP. del 11/03/1988.
- Norme tecniche riguardanti le indagini sui terreni e sulle rocce, la stabilità dei pendii naturali e delle scarpate, i criteri generali e le prescrizioni per la progettazione, l'esecuzione e il collaudo delle opere di sostegno delle terre e delle opere di fondazione.
- D.M. LL.PP. del 14/02/1992.
- Norme tecniche per l'esecuzione delle opere in cemento armato normale e precompresso e per le strutture metalliche.
- D.M. 9 Gennaio 1996
- Norme Tecniche per il calcolo, l'esecuzione ed il collaudo delle strutture in cemento armato normale e precompresso e per le strutture metalliche
- D.M. 16 Gennaio 1996
- Norme Tecniche relative ai 'Criteri generali per la verifica di sicurezza delle costruzioni e dei carichi e sovraccarichi'
- D.M. 16 Gennaio 1996
- Norme Tecniche per le costruzioni in zone sismiche
- Circolare Ministero LL.PP. 15 Ottobre 1996 N. 252 AA.GG./S.T.C.
- Istruzioni per l'applicazione delle Norme Tecniche di cui al D.M. 9 Gennaio 1996
- Circolare Ministero LL.PP. 10 Aprile 1997 N. 65/AA.GG.
- Istruzioni per l'applicazione delle Norme Tecniche per le costruzioni in zone sismiche di cui al D.M. 16 Gennaio 1996
- Norme Tecniche per le Costruzioni 2018 (D.M. 17 Gennaio 2018)
- Circolare C.S.LL.PP. 21/01/2019 n.7 - Istruzioni per l'applicazione dell'Aggiornamento delle Norme tecniche per le costruzioni di cui al D.M. 17 gennaio 2018

| | | | |
|--------------------------------------|------------------------------------------------------------------------------------------------------------------------------|----------------------------------------------------------------------------------|-------------|
| COMMITTENTE: Mecca Antonio | CODICE COMMESSA: | NOME ELABORATO: S1.5 - Relazione Geotecnica e delle Fondazioni | CONSULENTE: |
| DATA: Aprile 2023 | TITOLO: Lavori ultimazione di un fabbricato adibito ad albergo-ristorante– C.da Case Nuove Chicone Avigliano (PZ) | | |

Richiami teorici

Il calcolo dei muri di sostegno viene eseguito secondo le seguenti fasi:

- Calcolo della spinta del terreno
- Verifica a ribaltamento
- Verifica a scorrimento del muro sul piano di posa
- Verifica della stabilità complesso fondazione terreno (carico limite)
- Verifica della stabilità globale

Se il muro è in calcestruzzo armato: Calcolo delle sollecitazioni sia del muro che della fondazione, progetto delle armature e relative verifiche dei materiali.

Se il muro è a gravità: Calcolo delle sollecitazioni sia del muro che della fondazione e verifica in diverse sezioni al ribaltamento, allo scorrimento ed allo schiacciamento.

Calcolo della spinta sul muro

Valori caratteristici e valori di calcolo

Effettuando il calcolo tramite gli Eurocodici è necessario fare la distinzione fra i parametri caratteristici ed i valori di calcolo (o di progetto) sia delle azioni che delle resistenze.

I valori di calcolo si ottengono dai valori caratteristici mediante l'applicazione di opportuni coefficienti di sicurezza parziali γ . In particolare si distinguono combinazioni di carico di tipo **A1-M1** nelle quali vengono incrementati i carichi e lasciati inalterati i parametri di resistenza del terreno e combinazioni di carico di tipo **A2-M2** nelle quali vengono ridotti i parametri di resistenza del terreno e incrementati i soli carichi variabili.

Metodo di Culmann

Il metodo di Culmann adotta le stesse ipotesi di base del metodo di Coulomb. La differenza sostanziale è che mentre Coulomb considera un terrapieno con superficie a pendenza costante e carico uniformemente distribuito (il che permette di ottenere una espressione in forma chiusa per il coefficiente di spinta) il metodo di Culmann consente di analizzare situazioni con profilo di forma generica e carichi sia concentrati che distribuiti comunque disposti. Inoltre, rispetto al metodo di Coulomb, risulta più immediato e lineare tener conto della coesione del masso spingente. Il metodo di Culmann, nato come metodo essenzialmente grafico, si è evoluto per essere trattato mediante analisi numerica (noto in questa forma come metodo del cuneo di tentativo). Come il metodo di Coulomb anche questo metodo considera una superficie di rottura rettilinea.

I passi del procedimento risolutivo sono i seguenti:

- si impone una superficie di rottura (angolo di inclinazione ρ rispetto all'orizzontale) e si considera il cuneo di spinta delimitato dalla superficie di rottura stessa, dalla parete su cui si calcola la spinta e dal profilo del terreno;
- si valutano tutte le forze agenti sul cuneo di spinta e cioè peso proprio (W), carichi sul terrapieno, resistenza per attrito e per coesione lungo la superficie di rottura (R e C) e resistenza per coesione lungo la parete (A);
- dalle equazioni di equilibrio si ricava il valore della spinta S sulla parete.

Questo processo viene iterato fino a trovare l'angolo di rottura per cui la spinta risulta massima.

La convergenza non si raggiunge se il terrapieno risulta inclinato di un angolo maggiore dell'angolo d'attrito del terreno.

Nei casi in cui è applicabile il metodo di Coulomb (profilo a monte rettilineo e carico uniformemente distribuito) i risultati ottenuti col metodo di Culmann coincidono con quelli del metodo di Coulomb.

Le pressioni sulla parete di spinta si ricavano derivando l'espressione della spinta S rispetto all'ordinata z . Noto il diagramma delle pressioni è possibile ricavare il punto di applicazione della spinta.

Spinta in presenza di falda

Nel caso in cui a monte della parete sia presente la falda il diagramma delle pressioni risulta modificato a causa della sottospinta che l'acqua esercita sul terreno. Il peso di volume del terreno al di sopra della linea di falda non subisce variazioni. Viceversa, al di sotto del livello di falda va considerato il peso di volume efficace

$$\gamma' = \gamma_{\text{sat}} - \gamma_w$$

dove γ_{sat} è il peso di volume saturo del terreno (dipendente dall'indice dei pori) e γ_w è il peso specifico dell'acqua. Quindi il diagramma delle pressioni al di sotto della linea di falda ha una pendenza minore. Al diagramma così ottenuto va sommato il diagramma triangolare legato alla pressione esercitata dall'acqua.

Spinta in presenza di sisma

Per tener conto dell'incremento di spinta dovuta al sisma si fa riferimento al metodo di Mononobe-Okabe (cui fa riferimento la Normativa Italiana).

Relazione Geotecnica e delle Fondazioni

La Normativa Italiana suggerisce di tener conto di un incremento di spinta dovuto al sisma nel modo seguente.

Detta ε l'inclinazione del terrapieno rispetto all'orizzontale e β l'inclinazione della parete rispetto alla verticale, si calcola la spinta S' considerando un'inclinazione del terrapieno e della parete pari a

$$\varepsilon' = \varepsilon + \theta \quad \beta' = \beta + \theta$$

dove $\theta = \arctg(k_h/(1 \pm k_v))$ essendo k_h il coefficiente sismico orizzontale e k_v il coefficiente sismico verticale, definito in funzione di k_h .

In presenza di falda a monte, θ assume le seguenti espressioni:

Terreno a bassa permeabilità

$$\theta = \arctan\left(\frac{\gamma_{sat}}{\gamma_{sat} - \gamma_w} \frac{k_h}{1 \pm k_v}\right)$$

Terreno a permeabilità elevata

$$\theta = \arctan\left(\frac{\gamma}{\gamma_{sat} - \gamma_w} \frac{k_h}{1 \pm k_v}\right)$$

Detta S la spinta calcolata in condizioni statiche l'incremento di spinta da applicare è espresso da

$$\Delta S = AS' - S$$

dove il coefficiente A vale

$$A = \frac{\cos^2(\beta + \theta)}{\cos^2 \beta \cos \theta}$$

In presenza di falda a monte, nel coefficiente A si tiene conto dell'influenza dei pesi di volume nel calcolo di θ .

Adottando il metodo di Mononobe-Okabe per il calcolo della spinta, il coefficiente A viene posto pari a 1.

Tale incremento di spinta è applicato a metà altezza della parete di spinta nel caso di forma rettangolare del diagramma di incremento sismico, allo stesso punto di applicazione della spinta statica nel caso in cui la forma del diagramma di incremento sismico è uguale a quella del diagramma statico.

Oltre a questo incremento bisogna tener conto delle forze d'inerzia orizzontali e verticali che si destano per effetto del sisma. Tali forze vengono valutate come

$$F_{IH} = k_h W \quad F_{IV} = \pm k_v W$$

dove W è il peso del muro, del terreno soprastante la mensola di monte ed i relativi sovraccarichi e va applicata nel baricentro dei pesi.

Il metodo di Culmann tiene conto automaticamente dell'incremento di spinta. Basta inserire nell'equazione risolutiva la forza d'inerzia del cuneo di spinta. La superficie di rottura nel caso di sisma risulta meno inclinata della corrispondente superficie in assenza di sisma.

Verifica a ribaltamento

La verifica a ribaltamento consiste nel determinare il momento risultante di tutte le forze che tendono a fare ribaltare il muro (momento ribaltante M_r) ed il momento risultante di tutte le forze che tendono a stabilizzare il muro (momento stabilizzante M_s) rispetto allo spigolo a valle della fondazione e verificare che il rapporto M_s/M_r sia maggiore di un determinato coefficiente di sicurezza η_r .

Deve quindi essere verificata la seguente disuguaglianza:

$$\frac{M_s}{M_r} \geq \eta_r$$

Il momento ribaltante M_r è dato dalla componente orizzontale della spinta S , dalle forze di inerzia del muro e del terreno gravante sulla fondazione di monte (caso di presenza di sisma) per i rispettivi bracci. Nel momento stabilizzante interviene il peso del muro (applicato nel baricentro) ed il peso del terreno gravante sulla fondazione di monte. Per quanto riguarda invece la componente verticale della spinta essa sarà stabilizzante se l'angolo d'attrito terra-muro δ è positivo, ribaltante se δ è negativo. δ è positivo quando è il terrapieno che scorre rispetto al muro, negativo quando è il muro che tende a scorrere rispetto al terrapieno (questo può essere il caso di una spalla da ponte gravata da carichi notevoli). Se sono presenti dei tiranti essi contribuiscono al momento stabilizzante.

Questa verifica ha significato solo per fondazione superficiale e non per fondazione su pali.

Verifica a scorrimento

| | | | |
|--------------------------------------|------------------------------------------------------------------------------------------------------------------------------|----------------------------------------------------------------------------------|-------------|
| COMMITTENTE: Mecca Antonio | CODICE COMMESSA: | NOME ELABORATO: S1.5 - Relazione Geotecnica e delle Fondazioni | CONSULENTE: |
| DATA: Aprile 2023 | TITOLO: Lavori ultimazione di un fabbricato adibito ad albergo-ristorante– C.da Case Nuove Chicone Avigliano (PZ) | | |

Per la verifica a scorrimento del muro lungo il piano di fondazione deve risultare che la somma di tutte le forze parallele al piano di posa che tendono a fare scorrere il muro deve essere minore di tutte le forze, parallele al piano di scorrimento, che si oppongono allo scivolamento, secondo un certo coefficiente di sicurezza. La verifica a scorrimento risulta soddisfatta se il rapporto fra la risultante delle forze resistenti allo scivolamento F_r e la risultante delle forze che tendono a fare scorrere il muro F_s risulta maggiore di un determinato coefficiente di sicurezza η_s

$$\frac{F_r}{F_s} \geq \eta_s$$

Le forze che intervengono nella F_s sono: la componente della spinta parallela al piano di fondazione e la componente delle forze d'inerzia parallela al piano di fondazione.

La forza resistente è data dalla resistenza d'attrito e dalla resistenza per adesione lungo la base della fondazione. Detta N la componente normale al piano di fondazione del carico totale gravante in fondazione e indicando con δ_f l'angolo d'attrito terreno-fondazione, con c_a l'adesione terreno-fondazione e con B_f la larghezza della fondazione reagente, la forza resistente può esprimersi come

$$F_r = N \tan \delta_f + c_a B_f$$

La Normativa consente di computare, nelle forze resistenti, una aliquota dell'eventuale spinta dovuta al terreno posto a valle del muro. In tal caso, però, il coefficiente di sicurezza deve essere aumentato opportunamente. L'aliquota di spinta passiva che si può considerare ai fini della verifica a scorrimento non può comunque superare il 50 per cento.

Per quanto riguarda l'angolo d'attrito terra-fondazione, δ_f , diversi autori suggeriscono di assumere un valore di δ_f pari all'angolo d'attrito del terreno di fondazione.

Verifica al carico limite

Il rapporto fra il carico limite in fondazione e la componente normale della risultante dei carichi trasmessi dal muro sul terreno di fondazione deve essere superiore a η_q . Cioè, detto Q_u , il carico limite ed R la risultante verticale dei carichi in fondazione, deve essere:

$$\frac{Q_u}{R} \geq \eta_q$$

Le espressioni di Hansen per il calcolo della capacità portante si differenziano a secondo se siamo in presenza di un terreno puramente coesivo ($\phi=0$) o meno e si esprimono nel modo seguente:

Caso generale $\phi > 0$

$$q_u = c N_c s_c d_c i_c g_c b_c + q N_q s_q d_q i_q g_q b_q + 0.5 B \gamma N_\gamma s_\gamma d_\gamma i_\gamma g_\gamma b_\gamma$$

Caso di terreno puramente coesivo $\phi=0$

$$q_u = 5.14 c_u \left(1 + s_c + d_c - i_c - g_c - b_c \right) + q$$

I fattori che compaiono in queste espressioni sono espressi da:

- N fattori di capacità portante
- s fattori di forma
- d fattori di profondità
- i fattori di inclinazione del carico
- b fattori di inclinazione del piano di fondazione (base inclinata), con η inclinazione del piano di posa
- g fattori di inclinazione del terreno (fondazione su pendio), con β pendenza del pendio

| | | | | |
|------------------------------------|---------------|-------------------------------------------------------------|---------------------------------------------------|-----------------------------------------|
| Fattori di capacità portante | | $N_c = (N_q - 1) \cot \varphi$ | $N_q = e^{9.8 \tan \varphi} K_\gamma$ | $N_\gamma = 1.5 (N_q - 1) \tan \varphi$ |
| Fattori di forma | $\varphi = 0$ | $s_c = 0.2 \frac{B}{L}$ | | |
| | $\varphi > 0$ | $s_c = 1 + \frac{N_q B}{N_c L}$ | $s_q = 1 + \frac{B}{L} \tan \varphi$ | $s_\gamma = 1 - 0.4 \frac{B}{L}$ |
| Fattori di profondità | $\varphi = 0$ | $d_c = 0.4k$ | | |
| | $\varphi > 0$ | $d_c = 1 + 0.4k$ | $d_q = 1 + 2 \tan \varphi (1 - \sin \varphi)^2 k$ | $d_\gamma = 1$ |
| Fattori di inclinazione del carico | $\varphi = 0$ | $i_c = 0.5 \left(1 - \sqrt{1 - \frac{H}{N_c c_s}} \right)$ | | |

Relazione Geotecnica e delle Fondazioni

| | | | | |
|------------------------------------------------------------------|---------------|---------------------------------------|------------------------------------------------------------------|-------------------------------------------------------------------------------------------------------------------------------------------------------------------------------------------------|
| | $\varphi > 0$ | $i_c = i_q - \frac{1 - i_q}{N_q - 1}$ | $i_q = \left(1 - \frac{0.5H}{V + A_q c_u \cot \varphi}\right)^2$ | $i_v = \left(1 - \frac{0.7H}{V + A_q c_u \cot \varphi}\right)^3$ per $\eta = 0$ $i_v = \left(1 - \frac{(0.7 - \eta^2) / (3 \sin \varphi)}{V + A_q c_u \cot \varphi}\right)^3$ per $\eta > 0$ |
| Fattori di inclinazione del piano di fondazione (base inclinata) | $\varphi = 0$ | $b_c = \frac{\eta^2}{147}$ | | |
| | $\varphi > 0$ | $b_c = 1 - \frac{\eta^2}{147}$ | $b_q = e^{-2\eta \tan \varphi}$ | $b_v = e^{-2.7\eta \tan \varphi}$ |
| Fattori di inclinazione del terreno (fondazione su pendio) | $\varphi = 0$ | $g_c = \frac{\beta^2}{147}$ | | |
| | $\varphi > 0$ | $g_c = 1 - \frac{\beta^2}{147}$ | $g_q = (1 - 0.5 \tan \beta)^3$ | $g_v = (1 - 0.5 \tan \beta)^3$ |

Indichiamo con K_p il coefficiente di spinta passiva espresso da:

$$K_p = \tan^2 \left(45^\circ + \frac{\varphi}{2} \right)$$

Dove i coeff. k e m assumono le seguenti espressioni:

| | | |
|-------------------------------------------|------------------------------------------------|-----------------------------------------------|
| $k = \frac{v}{u}$ se $\frac{v}{u} \leq 1$ | $k = \arctan \frac{v}{u}$ se $\frac{v}{u} > 1$ | $m = \frac{2 + \frac{H}{L}}{1 + \frac{H}{L}}$ |
|-------------------------------------------|------------------------------------------------|-----------------------------------------------|

Indichiamo con V e H le componenti del carico rispettivamente perpendicolare e parallela alla base e con A_f l'area efficace della fondazione ottenuta come $A_f = B' \times L'$ (B' e L' sono legate alle dimensioni effettive della fondazione B , L e all'eccentricità del carico e_B , e_L dalle relazioni $B' = B - 2e_B$, $L' = L - 2e_L$) e con η l'angolo di inclinazione della fondazione espresso in gradi ($\eta=0$ per fondazione orizzontale).

Per poter applicare la formula di Vesic devono risultare verificate le seguenti condizioni:

| | | | |
|-------------------------------|----------------------|----------------|------------------------------|
| $H < V \tan \delta + A_q c_u$ | $\beta \leq \varphi$ | $i_q, i_v > 0$ | $\beta + \eta \leq 90^\circ$ |
|-------------------------------|----------------------|----------------|------------------------------|

Riduzione per eccentricità del carico

Nel caso in cui il carico al piano di posa della fondazione risulta eccentrico, Meyerhof propone di moltiplicare la capacità portante ultima per un fattore correttivo R_e

| | |
|----------------------------------|------------------------|
| $R_e = 1.0 - 2.0 \frac{e}{B}$ | per terreni coesivi |
| $R_e = 1.0 - \sqrt{\frac{e}{B}}$ | per terreni incoerenti |

con e eccentricità del carico e B la dimensione minore della fondazione.

Riduzione per effetto piastra

Per valori elevati di B (dimensione minore della fondazione), Bowles propone di utilizzare un fattore correttivo r_γ del solo termine sul peso di volume ($0.5 B \gamma N_q$) quando B supera i 2 m.

$$r_\gamma = 1.0 - 0.25 \log \frac{B}{2.0}$$

Il termine sul peso di volume diventa:

$$0.5 B \gamma N_q r_\gamma$$

Verifica alla stabilità globale

La verifica alla stabilità globale del complesso muro+terreno deve fornire un coefficiente di sicurezza non inferiore a η_g .

Viene usata la tecnica della suddivisione a strisce della superficie di scorrimento da analizzare. La superficie di scorrimento viene supposta circolare e determinata in modo tale da non avere intersezione con il profilo del muro.

Si adotta per la verifica di stabilità globale il metodo di Bishop.

Il coefficiente di sicurezza nel metodo di Bishop si esprime secondo la seguente formula:

| | | | |
|--------------------------------------|------------------------------------------------------------------------------------------------------------------------------|----------------------------------------------------------------------------------|-------------|
| COMMITTENTE: Mecca Antonio | CODICE COMMESSA: | NOME ELABORATO: S1.5 - Relazione Geotecnica e delle Fondazioni | CONSULENTE: |
| DATA: Aprile 2023 | TITOLO: Lavori ultimazione di un fabbricato adibito ad albergo-ristorante– C.da Case Nuove Chicone Avigliano (PZ) | | |

$$\eta = \frac{\sum_{i=0}^n \left[\frac{c_i b_i + (W_i - u_i b_i) \tan \phi_i}{m} \right]}{\sum_{i=0}^n W_i \sin \alpha_i}$$

dove il termine m è espresso da

$$m = \left(1 + \frac{\tan \phi_i \tan \alpha_i}{\eta} \right) \cos \alpha_i$$

In questa espressione n è il numero delle strisce considerate, b_i e α_i sono la larghezza e l'inclinazione della base della striscia i -esima rispetto all'orizzontale, W_i è il peso della striscia i -esima, c_i e ϕ_i sono le caratteristiche del terreno (coesione ed angolo di attrito) lungo la base della striscia ed u_i è la pressione neutra lungo la base della striscia.

L'espressione del coefficiente di sicurezza di Bishop contiene al secondo membro il termine m che è funzione di η . Quindi essa è risolta per successive approssimazioni assumendo un valore iniziale per η da inserire nell'espressione di m ed iterare fin quando il valore calcolato coincide con il valore assunto.

Relazione Geotecnica e delle Fondazioni

Dati

Materiali

Simbologia adottata

| | |
|----------------------------|-----------------------------------------------------------------------------|
| n° | Indice materiale |
| Descr | Descrizione del materiale |
| <u>Calcestruzzo armato</u> | |
| C | Classe di resistenza del cls |
| A | Classe di resistenza dell'acciaio |
| γ | Peso specifico, espresso in [kg/mc] |
| R_{ck} | Resistenza caratteristica a compressione, espressa in [kg/cm ²] |
| E | Modulo elastico, espresso in [kg/cm ²] |
| ν | Coeff. di Poisson |
| n | Coeff. di omogeneizzazione acciaio/cls |
| ntc | Coeff. di omogeneizzazione cls teso/compresso |

Calcestruzzo armato

| n° | Descr | C | A | γ | R_{ck} | E | ν | n | ntc |
|----|--------|--------|-------|----------|-----------------------|-----------------------|-------|-------|------|
| | | | | [kg/mc] | [kg/cm ²] | [kg/cm ²] | | | |
| 1 | C25/30 | C25/30 | B450C | 2500.00 | 305.91 | 320666 | 0.30 | 15.00 | 0.50 |

Acciai

| Descr | f_{yk} | f_{uk} |
|-------|-----------------------|-----------------------|
| | [kg/cm ²] | [kg/cm ²] |
| B450C | 4588.65 | 5506.38 |

Geometria profilo terreno a monte del muro

Simbologia adottata

(Sistema di riferimento con origine in testa al muro, ascissa X positiva verso monte, ordinata Y positiva verso l'alto)

| | |
|----|-----------------------------------------|
| n° | numero ordine del punto |
| X | ascissa del punto espressa in [m] |
| Y | ordinata del punto espressa in [m] |
| A | inclinazione del tratto espressa in [°] |

| n° | X | Y | A |
|----|------|------|--------|
| | [m] | [m] | [°] |
| 1 | 0.00 | 0.00 | 0.000 |
| 2 | 0.15 | 0.00 | 0.000 |
| 3 | 4.81 | 3.09 | 33.548 |
| 4 | 5.31 | 3.09 | 0.000 |

Inclinazione terreno a valle del muro rispetto all'orizzontale 0.000 [°]

Geometria muro

Geometria paramento e fondazione

Lunghezza muro 1.00 [m]

Paramento

| | | |
|----------------------------------------|--------|-----|
| Materiale | C25/30 | |
| Altezza paramento | 1.25 | [m] |
| Altezza paramento libero | 1.25 | [m] |
| Spessore in sommità | 0.30 | [m] |
| Spessore all'attacco con la fondazione | 0.30 | [m] |
| Inclinazione paramento esterno | 0.00 | [°] |
| Inclinazione paramento interno | 0.00 | [°] |

Fondazione

| | | |
|----------------------------|--------|-----|
| Materiale | C25/30 | |
| Lunghezza mensola di valle | 0.60 | [m] |
| Lunghezza mensola di monte | 0.60 | [m] |
| Lunghezza totale | 1.50 | [m] |
| Inclinazione piano di posa | 0.00 | [°] |

| | | | |
|--------------------------------------|----------------------------------------------------------------------------------------------------------------------|----------------------------------------------------------------------------------|-------------|
| COMMITTENTE: Mecca Antonio | CODICE COMMESSA: | NOME ELABORATO: S1.5 - Relazione Geotecnica e delle Fondazioni | CONSULENTE: |
| DATA: Aprile 2023 | TITOLO: Lavori ultimazione di un fabbricato adibito ad albergo-ristorante– C.da Case Nuove Chicone Avigliano (PZ) | | |

Spessore 0.40 [m]
Spessore magrone 0.00 [m]

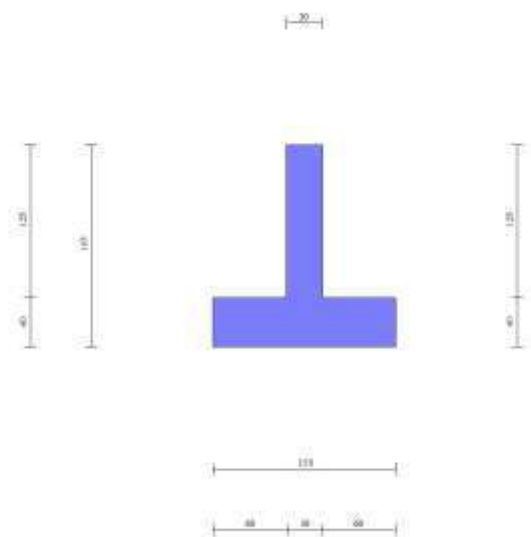


Fig. 1 - Sezione quotata del muro

Descrizione terreni

Parametri di resistenza

Simbologia adottata

| | |
|-------------------------------------------------------|-----------------------------------------------------------------------|
| n° | Indice del terreno |
| Descr | Descrizione terreno |
| γ | Peso di volume del terreno espresso in [kg/mc] |
| γ_s | Peso di volume saturo del terreno espresso in [kg/mc] |
| ϕ | Angolo d'attrito interno espresso in [°] |
| δ | Angolo d'attrito terra-muro espresso in [°] |
| c | Coesione espressa in [kg/cm ²] |
| c_a | Adesione terra-muro espressa in [kg/cm ²] |
| Per calcolo portanza con il metodo di Bustamante-Doix | |
| Cesp | Coeff. di espansione laterale (solo per il metodo di Bustamante-Doix) |
| τ_l | Tensione tangenziale limite, espressa in [kg/cm ²] |

| n° | Descr | γ [kg/mc] | γ_{sat} [kg/mc] | ϕ [°] | δ [°] | c [kg/cm ²] | c_a [kg/cm ²] | Cesp | τ_l [kg/cm ²] |
|----|---------------------|---------------------|---------------------------|---------------|-----------------|----------------------------|--------------------------------|------|-----------------------------------|
| 1 | Terreno | 1900.00 | 1900.00 | 30.000 | 20.000 | 0.05 | 0.03 | --- | --- |
| 2 | 4COLTRE ALTERAZIONE | 2000.00 | 2000.00 | 24.000 | 16.000 | 0.25 | 0.13 | --- | --- |

Stratigrafia

Simbologia adottata

| | |
|-------------------------------------|----------------------------------------------------------------------------------------------|
| n° | Indice dello strato |
| H | Spessore dello strato espresso in [m] |
| α | Inclinazione espressa in [°] |
| Terreno | Terreno dello strato |
| Kwn, Kwt | Costante di Winkler normale e tangenziale alla superficie espressa in Kg/cm ² /cm |
| Per calcolo pali (solo se presenti) | |
| Kw | Costante di Winkler orizzontale espressa in Kg/cm ² /cm |
| Ks | Coefficiente di spinta |
| Cesp | Coefficiente di espansione laterale (per tutti i metodi tranne il metodo di Bustamante-Doix) |

Per calcolo della spinta con coeff. di spinta definiti (usati solo se attiva l'opzione 'Usa coeff. di spinta da strato')
Kst_{sta}, Kst_{sis} Coeff. di spinta statico e sismico

| n° | H [m] | α [°] | Terreno | Kwn [Kg/cm ²] | Kwt [Kg/cm ²] | Kw [Kg/cm ²] | Ks | Cesp | Kst _{sta} | Kst _{sis} |
|----|----------|-----------------|---------------------|------------------------------|------------------------------|-----------------------------|-----|------|--------------------|--------------------|
| 1 | 1.65 | 0.000 | Terreno | 1.000 | 0.500 | --- | --- | --- | --- | --- |
| 2 | 1.50 | 0.000 | 4COLTRE ALTERAZIONE | 1.000 | 0.500 | --- | --- | --- | --- | --- |
| 3 | 6.50 | 0.000 | Terreno | 0.000 | 0.000 | --- | --- | --- | --- | --- |

Relazione Geotecnica e delle Fondazioni

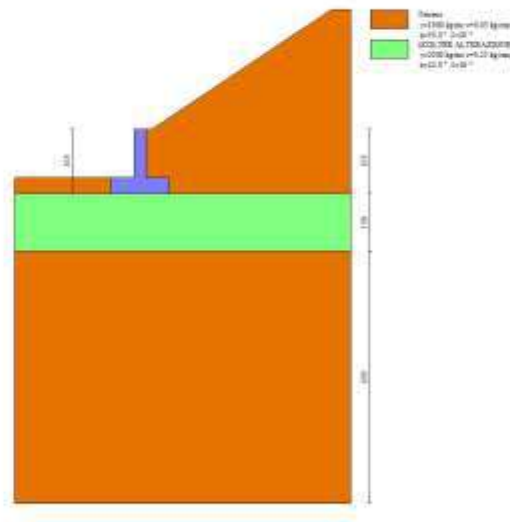


Fig. 2 - Stratigrafia

Condizioni di carico

Simbologia adottata

Carichi verticali positivi verso il basso.

Carichi orizzontali positivi verso sinistra.

Momento positivo senso antiorario.

| | |
|----------------|--------------------------------------------------------------------------|
| X | Ascissa del punto di applicazione del carico concentrato espressa in [m] |
| F _x | Componente orizzontale del carico concentrato espressa in [kg] |
| F _y | Componente verticale del carico concentrato espressa in [kg] |
| M | Momento espresso in [kgm] |
| X _i | Ascissa del punto iniziale del carico ripartito espressa in [m] |
| X _f | Ascissa del punto finale del carico ripartito espressa in [m] |
| Q _i | Intensità del carico per x=X _i espressa in [kg] |
| Q _f | Intensità del carico per x=X _f espressa in [kg] |

Condizione n° 1 (Condizione 1) - VARIABILE

Coeff. di combinazione $\Psi_0=1.00$ - $\Psi_1=1.00$ - $\Psi_2=1.00$

Normativa

Normativa usata: **Norme Tecniche sulle Costruzioni 2018 (D.M. 17.01.2018) + Circolare C.S.LL.PP. 21/01/2019 n.7**

Coeff. parziali per le azioni o per l'effetto delle azioni

| Carichi | Effetto | | Combinazioni statiche | | | | | Combinazioni sismiche | |
|----------------------------|-------------|---------------------|-----------------------|------|------|------|------|-----------------------|------|
| | | | UPL | EQU | A1 | A2 | EQU | A1 | A2 |
| Permanenti strutturali | Favorevoli | $\gamma_{G1, fav}$ | 0.90 | 1.00 | 1.00 | 1.00 | 1.00 | 1.00 | 1.00 |
| Permanenti strutturali | Sfavorevoli | $\gamma_{G1, sfav}$ | 1.10 | 1.30 | 1.30 | 1.00 | 1.00 | 1.00 | 1.00 |
| Permanenti non strutturali | Favorevoli | $\gamma_{G2, fav}$ | 0.80 | 0.80 | 0.80 | 0.80 | 0.00 | 0.00 | 0.00 |
| Permanenti non strutturali | Sfavorevoli | $\gamma_{G2, sfav}$ | 1.50 | 1.50 | 1.50 | 1.30 | 1.00 | 1.00 | 1.00 |
| Variabili | Favorevoli | $\gamma_{Q, fav}$ | 0.00 | 0.00 | 0.00 | 0.00 | 0.00 | 0.00 | 0.00 |
| Variabili | Sfavorevoli | $\gamma_{Q, sfav}$ | 1.50 | 1.50 | 1.50 | 1.30 | 1.00 | 1.00 | 1.00 |
| Variabili da traffico | Favorevoli | $\gamma_{QT, fav}$ | 0.00 | 0.00 | 0.00 | 0.00 | 0.00 | 0.00 | 0.00 |
| Variabili da traffico | Sfavorevoli | $\gamma_{QT, sfav}$ | 1.50 | 1.35 | 1.35 | 1.15 | 1.00 | 1.00 | 1.00 |

Coeff. parziali per i parametri geotecnici del terreno

| Parametro | | Combinazioni statiche | | Combinazioni sismiche | |
|---------------------------------|-----------------------|-----------------------|------|-----------------------|------|
| | | M1 | M2 | M1 | M2 |
| Tangente dell'angolo di attrito | $\gamma_{\tan(\phi)}$ | 1.00 | 1.25 | 1.00 | 1.00 |
| Coesione efficace | γ_c | 1.00 | 1.25 | 1.00 | 1.00 |
| Resistenza non drenata | γ_{cu} | 1.00 | 1.40 | 1.00 | 1.00 |
| Peso nell'unità di volume | γ_s | 1.00 | 1.00 | 1.00 | 1.00 |

Coeff. parziali γ_R per le verifiche agli stati limite ultimi STR e GEO

| Verifica | Combinazioni statiche | Combinazioni sismiche |
|----------|-----------------------|-----------------------|
|----------|-----------------------|-----------------------|

| | | | |
|--------------------------------------|------------------------------------------------------------------------------------------------------------------------------|----------------------------------------------------------------------------------|-------------|
| COMMITTENTE: Mecca Antonio | CODICE COMMESSA: | NOME ELABORATO: S1.5 - Relazione Geotecnica e delle Fondazioni | CONSULENTE: |
| DATA: Aprile 2023 | TITOLO: Lavori ultimazione di un fabbricato adibito ad albergo-ristorante- C.da Case Nuove Chicone Avigliano (PZ) | | |

| | R1 | R2 | R3 | R1 | R2 | R3 |
|----------------------------|----|------|------|----|------|------|
| Capacità portante | -- | -- | 1.40 | -- | -- | 1.20 |
| Scorrimento | -- | -- | 1.10 | -- | -- | 1.00 |
| Resistenza terreno a valle | -- | -- | 1.40 | -- | -- | 1.20 |
| Ribaltamento | -- | -- | 1.15 | -- | -- | 1.00 |
| Stabilità fronte di scavo | -- | 1.10 | -- | -- | 1.20 | -- |

Descrizione combinazioni di carico

Con riferimento alle azioni elementari prima determinate, si sono considerate le seguenti combinazioni di carico:

- Combinazione fondamentale, impiegata per gli stati limite ultimi (SLU):

$$\gamma_{G1} G_1 + \gamma_{G2} G_2 + \gamma_{Q1} Q_{k1} + \gamma_{Q2} Q_{k2} + \gamma_{Q3} Q_{k3} + \dots$$

- Combinazione caratteristica, cosiddetta rara, impiegata per gli stati limite di esercizio (SLE) irreversibili:

$$G_1 + G_2 + Q_{k1} + \Psi_{0,2} Q_{k2} + \Psi_{0,3} Q_{k3} + \dots$$

- Combinazione frequente, impiegata per gli stati limite di esercizio (SLE) reversibili:

$$G_1 + G_2 + \Psi_{1,1} Q_{k1} + \Psi_{2,2} Q_{k2} + \Psi_{2,3} Q_{k3} + \dots$$

- Combinazione quasi permanente, impiegata per gli effetti di lungo periodo:

$$G_1 + G_2 + \Psi_{2,1} Q_{k1} + \Psi_{2,2} Q_{k2} + \Psi_{2,3} Q_{k3} + \dots$$

- Combinazione sismica, impiegata per gli stati limite ultimi connessi all'azione sismica E:

$$E + G_1 + G_2 + \Psi_{2,1} Q_{k1} + \Psi_{2,2} Q_{k2} + \Psi_{2,3} Q_{k3} + \dots$$

I valori dei coeff. $\Psi_{0,j}$, $\Psi_{1,j}$, $\Psi_{2,j}$ sono definiti nelle singole condizioni variabili.

I valori dei coeff. γ_G e γ_Q , sono definiti nella tabella normativa.

In particolare si sono considerate le seguenti combinazioni:

Simbologia adottata

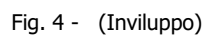
| | |
|----------|-------------------------------------------------|
| γ | Coefficiente di partecipazione della condizione |
| Ψ | Coefficiente di combinazione della condizione |

Combinazione n° 1 - STR (A1-M1-R3)

| Condizione | γ | Ψ | Effetto |
|-----------------|----------|--------|-------------|
| Peso muro | 1.00 | -- | Favorevole |
| Peso terrapieno | 1.00 | -- | Favorevole |
| Spinta terreno | 1.30 | -- | Sfavorevole |



| Condizione | γ | Ψ | Effetto |
|-----------------|----------|--------|-------------|
| Peso muro | 1.00 | -- | Favorevole |
| Peso terrapieno | 1.00 | -- | Favorevole |
| Spinta terreno | 1.00 | -- | Sfavorevole |



| Condizione | γ | Ψ | Effetto |
|-----------------|----------|--------|-------------|
| Peso muro | 1.00 | -- | Sfavorevole |
| Peso terrapieno | 1.00 | -- | Sfavorevole |
| Spinta terreno | 1.00 | -- | Sfavorevole |

| | | | |
|--------------------------------------|----------------------------------------------------------------------------------------------------------------------|----------------------------------------------------------------------------------|-------------|
| COMMITTENTE: Mecca Antonio | CODICE COMMESSA: | NOME ELABORATO: S1.5 - Relazione Geotecnica e delle Fondazioni | CONSULENTE: |
| DATA: Aprile 2023 | TITOLO: Lavori ultimazione di un fabbricato adibito ad albergo-ristorante– C.da Case Nuove Chicone Avigliano (PZ) | | |

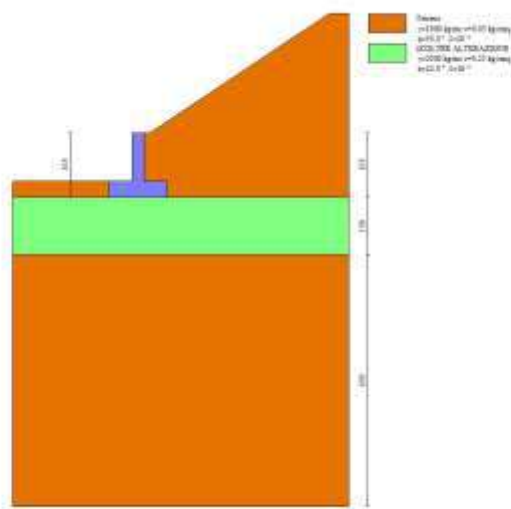


Fig. 5 - (Inviluppo)

Combinazione n° 4 - GEO (A2-M2-R2)

| Condizione | γ | Ψ | Effetto |
|-----------------|----------|--------|-------------|
| Peso muro | 1.00 | -- | Sfavorevole |
| Peso terrapieno | 1.00 | -- | Sfavorevole |
| Spinta terreno | 1.00 | -- | Sfavorevole |

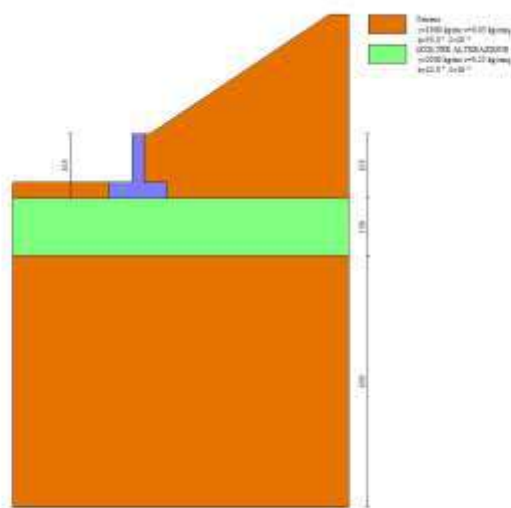


Fig. 6 - (Inviluppo)

Combinazione n° 5 - GEO (A2-M2-R2) H + V

| Condizione | γ | Ψ | Effetto |
|-----------------|----------|--------|-------------|
| Peso muro | 1.00 | -- | Sfavorevole |
| Peso terrapieno | 1.00 | -- | Sfavorevole |
| Spinta terreno | 1.00 | -- | Sfavorevole |

Relazione Geotecnica e delle Fondazioni

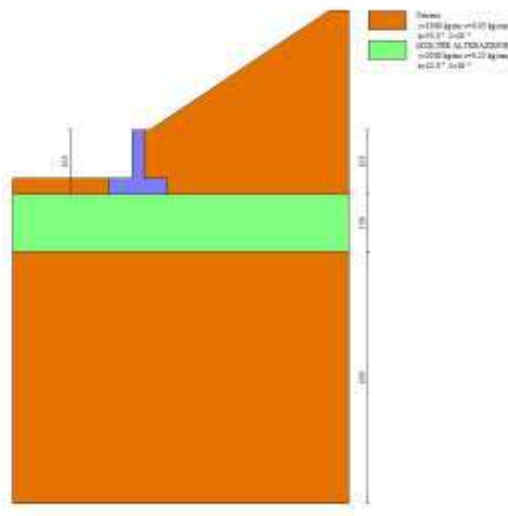


Fig. 7 - (Inviluppo)

Combinazione n° 6 - GEO (A2-M2-R2) H - V

| Condizione | γ | Ψ | Effetto |
|-----------------|----------|--------|-------------|
| Peso muro | 1.00 | -- | Sfavorevole |
| Peso terrapieno | 1.00 | -- | Sfavorevole |
| Spinta terreno | 1.00 | -- | Sfavorevole |

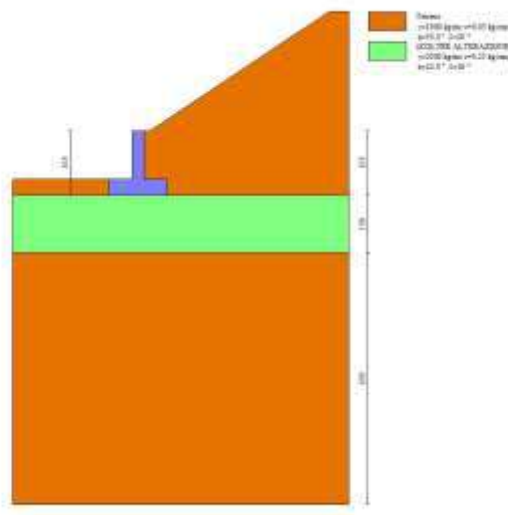


Fig. 8 - (Inviluppo)

Combinazione n° 7 - EQU (A1-M1-R3)

| Condizione | γ | Ψ | Effetto |
|-----------------|----------|--------|-------------|
| Peso muro | 1.00 | -- | Favorevole |
| Peso terrapieno | 1.00 | -- | Favorevole |
| Spinta terreno | 1.30 | -- | Sfavorevole |

| | | | |
|--------------------------------------|----------------------------------------------------------------------------------------------------------------------|----------------------------------------------------------------------------------|-------------|
| COMMITTENTE: Mecca Antonio | CODICE COMMESSA: | NOME ELABORATO: S1.5 - Relazione Geotecnica e delle Fondazioni | CONSULENTE: |
| DATA: Aprile 2023 | TITOLO: Lavori ultimazione di un fabbricato adibito ad albergo-ristorante- C.da Case Nuove Chicone Avigliano (PZ) | | |

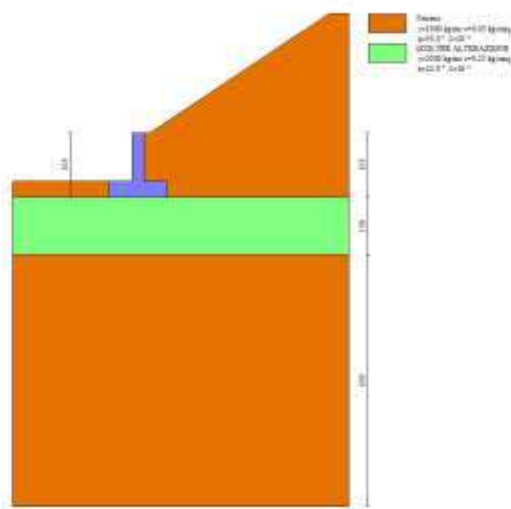


Fig. 9 - (Inviluppo)

Combinazione n° 8 - EQU (A1-M1-R3) H + V

| Condizione | γ | Ψ | Effetto |
|-----------------|----------|--------|-------------|
| Peso muro | 1.00 | -- | Favorevole |
| Peso terrapieno | 1.00 | -- | Favorevole |
| Spinta terreno | 1.00 | -- | Sfavorevole |

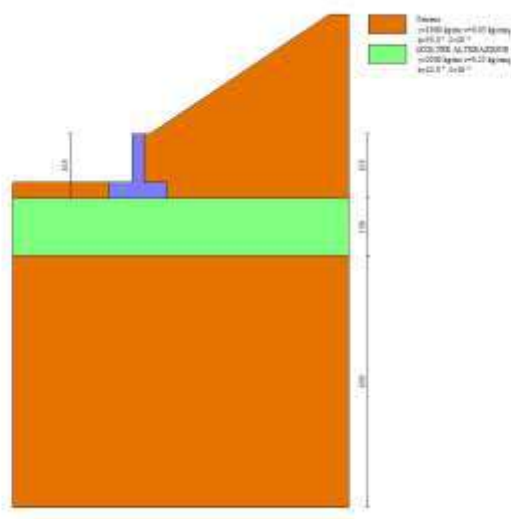


Fig. 10 - (Inviluppo)

Combinazione n° 9 - EQU (A1-M1-R3) H - V

| Condizione | γ | Ψ | Effetto |
|-----------------|----------|--------|-------------|
| Peso muro | 1.00 | -- | Favorevole |
| Peso terrapieno | 1.00 | -- | Favorevole |
| Spinta terreno | 1.00 | -- | Sfavorevole |

Relazione Geotecnica e delle Fondazioni

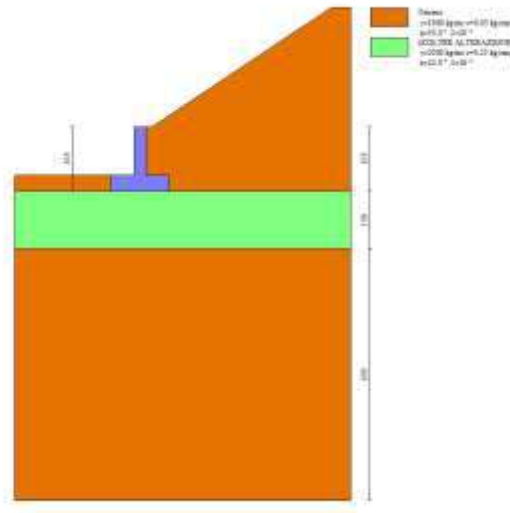


Fig. 11 - (Inviluppo)

Combinazione n° 10 - SLER

| Condizione | γ | Ψ | Effetto |
|-----------------|----------|--------|-------------|
| Peso muro | 1.00 | -- | Sfavorevole |
| Peso terrapieno | 1.00 | -- | Sfavorevole |
| Spinta terreno | 1.00 | -- | Sfavorevole |

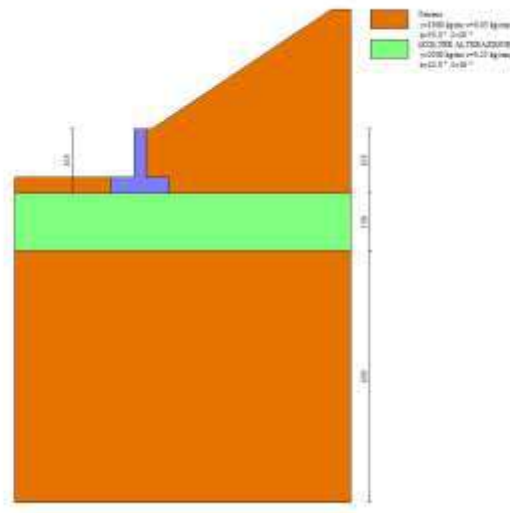


Fig. 12 - (Inviluppo)

Combinazione n° 11 - SLEF

| Condizione | γ | Ψ | Effetto |
|-----------------|----------|--------|-------------|
| Peso muro | 1.00 | -- | Sfavorevole |
| Peso terrapieno | 1.00 | -- | Sfavorevole |
| Spinta terreno | 1.00 | -- | Sfavorevole |

| | | | |
|--------------------------------------|----------------------------------------------------------------------------------------------------------------------|----------------------------------------------------------------------------------|-------------|
| COMMITTENTE: Mecca Antonio | CODICE COMMESSA: | NOME ELABORATO: S1.5 - Relazione Geotecnica e delle Fondazioni | CONSULENTE: |
| DATA: Aprile 2023 | TITOLO: Lavori ultimazione di un fabbricato adibito ad albergo-ristorante– C.da Case Nuove Chicone Avigliano (PZ) | | |

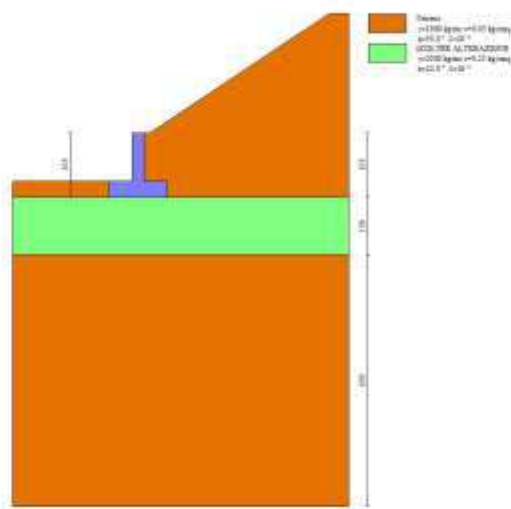


Fig. 13 - (Inviluppo)

Combinazione n° 12 - SLEQ

| Condizione | γ | Ψ | Effetto |
|-----------------|----------|--------|-------------|
| Peso muro | 1.00 | -- | Sfavorevole |
| Peso terrapieno | 1.00 | -- | Sfavorevole |
| Spinta terreno | 1.00 | -- | Sfavorevole |

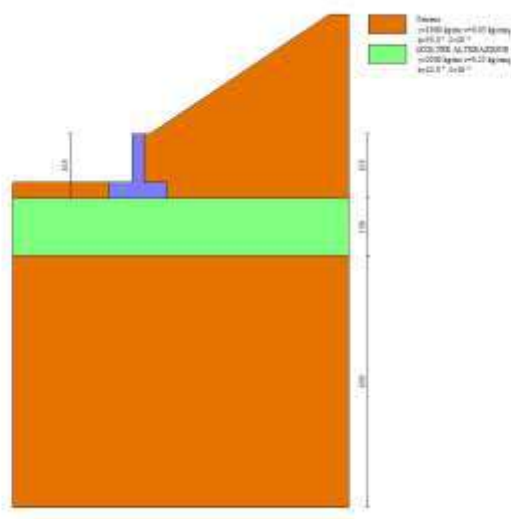


Fig. 14 - (Inviluppo)

Combinazione n° 13 - SLEQ H + V

| Condizione | γ | Ψ | Effetto |
|-----------------|----------|--------|-------------|
| Peso muro | 1.00 | -- | Sfavorevole |
| Peso terrapieno | 1.00 | -- | Sfavorevole |
| Spinta terreno | 1.00 | -- | Sfavorevole |

Relazione Geotecnica e delle Fondazioni

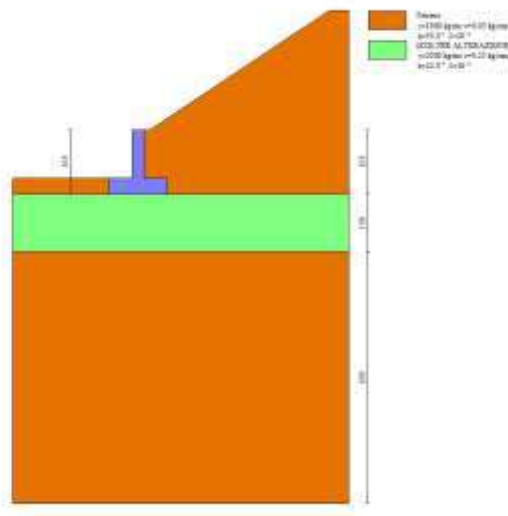


Fig. 15 - (Inviluppo)

Combinazione n° 14 - SLEQ H - V

| Condizione | γ | Ψ | Effetto |
|-----------------|----------|--------|-------------|
| Peso muro | 1.00 | -- | Sfavorevole |
| Peso terrapieno | 1.00 | -- | Sfavorevole |
| Spinta terreno | 1.00 | -- | Sfavorevole |

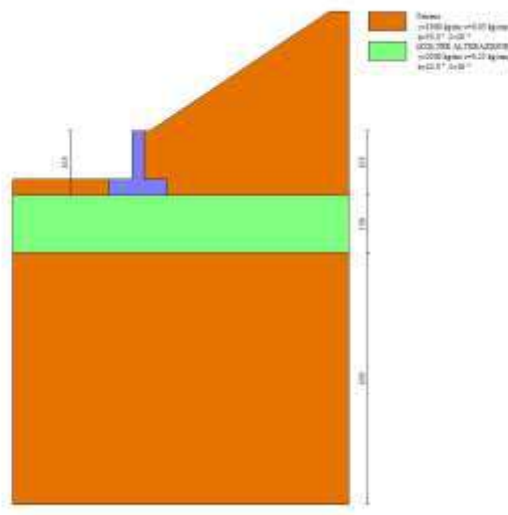


Fig. 16 - (Inviluppo)

Dati sismici

| | |
|--------------------------------|-------------------------------|
| Comune | Avigliano |
| Provincia | Potenza |
| Regione | Basilicata |
| Latitudine | 40.730796 |
| Longitudine | 15.721278 |
| Indice punti di interpolazione | 33667 - 33445 - 33444 - 33666 |
| Vita nominale | 50 anni |
| Classe d'uso | II |
| Tipo costruzione | Normali affollamenti |

| | | | |
|--------------------------------------|----------------------------------------------------------------------------------------------------------------------|----------------------------------------------------------------------------------|-------------|
| COMMITTENTE: Mecca Antonio | CODICE COMMESSA: | NOME ELABORATO: S1.5 - Relazione Geotecnica e delle Fondazioni | CONSULENTE: |
| DATA: Aprile 2023 | TITOLO: Lavori ultimazione di un fabbricato adibito ad albergo-ristorante– C.da Case Nuove Chicone Avigliano (PZ) | | |

Vita di riferimento

50 anni

| | Simbolo | U.M. | | SLU | SLE |
|-----------------------------------------------------------------|---------|---------------------|----|-------|-------|
| Accelerazione al suolo | a_g | [m/s ²] | | 1.859 | 0.668 |
| Accelerazione al suolo | a_g/g | [%] | | 0.190 | 0.068 |
| Massimo fattore amplificazione spettro orizzontale | F0 | | | 2.423 | 2.359 |
| Periodo inizio tratto spettro a velocità costante | Tc* | | | 0.412 | 0.322 |
| Tipo di sottosuolo - Coefficiente stratigrafico | Ss | | E | 1.495 | 1.600 |
| Categoria topografica - Coefficiente amplificazione topografica | St | | T1 | 1.000 | |

| Stato limite ... | Coeff. di riduzione β_m | kh [%] | kv [%] |
|-----------------------|-------------------------------|--------|--------|
| Ultimo | 0.380 | 10.765 | 5.382 |
| Ultimo - Ribaltamento | 0.570 | 16.147 | 8.074 |
| Esercizio | 0.470 | 5.119 | 2.559 |

Forma diagramma incremento sismico **Rettangolare**

Relazione Geotecnica e delle Fondazioni

Opzioni di calcolo

Spinta

| | |
|--------------------------------|---------------|
| Metodo di calcolo della spinta | Culmann |
| Tipo di spinta | Spinta attiva |
| Terreno a bassa permeabilità | NO |
| Superficie di spinta limitata | NO |

Capacità portante

| | |
|---------------------------------------------------------------------------------------------------------------------|--------------------------------|
| Metodo di calcolo della portanza | Hansen |
| Criterio di media calcolo del terreno equivalente (terreni stratificati) | Ponderata |
| Criterio di riduzione per eccentricità della portanza | Meyerhof |
| Criterio di riduzione per rottura locale (punzonamento) | Nessuna |
| Larghezza fondazione nel terzo termine della formula del carico limite ($0.5B\gamma N_{\gamma}$) | Larghezza ridotta (B') |
| Fattori di forma e inclinazione del carico | Solo i fattori di inclinazione |
| Se la fondazione ha larghezza superiore a 2.0 m viene applicato il fattore di riduzione per comportamento a piastra | |

Stabilità globale

| | |
|-------------------------------------------|--------|
| Metodo di calcolo della stabilità globale | Bishop |
|-------------------------------------------|--------|

Altro

| | |
|--------------------------------------------------------------------|-------|
| Partecipazione spinta passiva terreno antistante | 0.00 |
| Partecipazione resistenza passiva dente di fondazione | 50.00 |
| Componente verticale della spinta nel calcolo delle sollecitazioni | NO |
| Considera terreno sulla fondazione di valle | NO |
| Considera spinta e peso acqua fondazione di valle | NO |

Spostamenti

| | |
|----------------------------------------------------|-----------|
| Modello a blocchi | |
| Non è stato richiesto il calcolo degli spostamenti | |
| Spostamento limite | 5.00 [cm] |

Cedimenti

Non è stato richiesto il calcolo dei cedimenti

Specifiche per le verifiche nelle combinazioni allo Stato Limite Ultimo (SLU)

| | SLU | Eccezionale |
|--------------------------------------------------------|------|-------------|
| Coefficiente di sicurezza calcestruzzo a compressione | 1.50 | 1.00 |
| Coefficiente di sicurezza acciaio | 1.15 | 1.00 |
| Fattore di riduzione da resistenza cubica a cilindrica | 0.83 | 0.83 |
| Fattore di riduzione per carichi di lungo periodo | 0.85 | 0.85 |
| Coefficiente di sicurezza per la sezione | 1.00 | 1.00 |

Specifiche per le verifiche nelle combinazioni allo Stato Limite di Esercizio (SLE)

Paramento e fondazione muro

Verifiche strutturali nelle combinazioni SLD NO

| | |
|---------------------------------|-----------|
| Condizioni ambientali | Ordinarie |
| Armatura ad aderenza migliorata | SI |

Verifica a fessurazione

| | |
|------------------------------------------|---------------------------------------------------------|
| Sensibilità armatura | Poco sensibile |
| Metodo di calcolo aperture delle fessure | NTC 2018 - CIRCOLARE 21 gennaio 2019, n. 7 C.S.I.L.P.P. |
| Calcolo momento fessurazione | Apertura |
| Resistenza a trazione per | Flessione |
| Valori limite aperture delle fessure: | $w_1=0.20$ |
| | $w_2=0.30$ |
| | $w_3=0.40$ |

Verifica delle tensioni

Valori limite delle tensioni nei materiali:

| Combinazione | Calcestruzzo | Acciaio |
|------------------|---------------|---------------|
| Rara | $0.60 f_{ck}$ | $0.80 f_{yk}$ |
| Frequente | $1.00 f_{ck}$ | $1.00 f_{yk}$ |
| Quasi permanente | $0.45 f_{ck}$ | $1.00 f_{yk}$ |

| | | | |
|--------------------------------------|----------------------------------------------------------------------------------------------------------------------|----------------------------------------------------------------------------------|-------------|
| COMMITTENTE: Mecca Antonio | CODICE COMMESSA: | NOME ELABORATO: S1.5 - Relazione Geotecnica e delle Fondazioni | CONSULENTE: |
| DATA: Aprile 2023 | TITOLO: Lavori ultimazione di un fabbricato adibito ad albergo-ristorante– C.da Case Nuove Chicone Avigliano (PZ) | | |

Risultati per combinazione

Spinta e forze

Simbologia adottata

| | |
|---------------------------------|--------------------------------------------------------------------------|
| Ic | Indice della combinazione |
| A | Tipo azione |
| I | Inclinazione della spinta, espressa in [°] |
| V | Valore dell'azione, espressa in [kg] |
| C _x , C _y | Componente in direzione X ed Y dell'azione, espressa in [kg] |
| P _x , P _y | Coordinata X ed Y del punto di applicazione dell'azione, espressa in [m] |

| Ic | A | V [kg] | I [°] | C _x [kg] | C _y [kg] | P _x [m] | P _y [m] |
|----|------------------------------|-----------|----------|------------------------|------------------------|-----------------------|-----------------------|
| 1 | Spinta statica | 933 | 20.00 | 877 | 319 | 0.60 | -1.26 |
| | Peso/Inerzia muro | | | 0 | 2438/0 | -0.15 | -1.13 |
| | Peso/Inerzia terrapieno | | | 0 | 1553/0 | 0.31 | -0.57 |
| | Diagramma correttivo | | | 175 | | 0.00 | -0.22 |
| 2 | Spinta statica | 446 | 20.00 | 419 | 152 | 0.60 | -1.33 |
| | Incremento di spinta sismica | | 846 | 795 | 289 | 0.60 | -0.68 |
| | Peso/Inerzia muro | | | 262 | 2438/131 | -0.15 | -1.13 |
| | Peso/Inerzia terrapieno | | | 167 | 1553/84 | 0.31 | -0.57 |
| 3 | Spinta statica | 446 | 20.00 | 419 | 152 | 0.60 | -1.33 |
| | Incremento di spinta sismica | | 595 | 559 | 204 | 0.60 | -0.68 |
| | Peso/Inerzia muro | | | 262 | 2438/-131 | -0.15 | -1.13 |
| | Peso/Inerzia terrapieno | | | 167 | 1553/-84 | 0.31 | -0.57 |
| 10 | Spinta statica | 446 | 20.00 | 419 | 152 | 0.60 | -1.33 |
| | Peso/Inerzia muro | | | 0 | 2438/0 | -0.15 | -1.13 |
| | Peso/Inerzia terrapieno | | | 0 | 1553/0 | 0.31 | -0.57 |
| | Diagramma correttivo | | | 289 | | 0.00 | -0.31 |
| 11 | Spinta statica | 446 | 20.00 | 419 | 152 | 0.60 | -1.33 |
| | Peso/Inerzia muro | | | 0 | 2438/0 | -0.15 | -1.13 |
| | Peso/Inerzia terrapieno | | | 0 | 1553/0 | 0.31 | -0.57 |
| | Diagramma correttivo | | | 289 | | 0.00 | -0.31 |
| 12 | Spinta statica | 446 | 20.00 | 419 | 152 | 0.60 | -1.33 |
| | Peso/Inerzia muro | | | 0 | 2438/0 | -0.15 | -1.13 |
| | Peso/Inerzia terrapieno | | | 0 | 1553/0 | 0.31 | -0.57 |
| | Diagramma correttivo | | | 289 | | 0.00 | -0.31 |

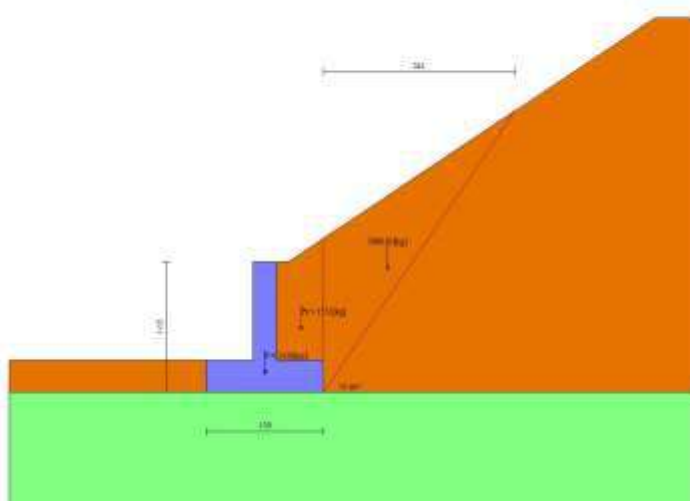


Fig. 17 - Cuneo di spinta (combinazione statica) (Combinazione n° 1)

Relazione Geotecnica e delle Fondazioni

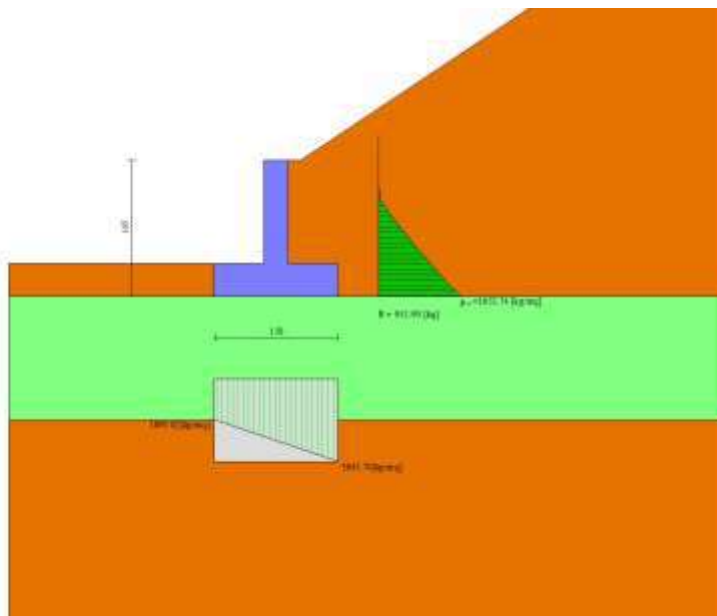


Fig. 18 - Diagramma delle pressioni (combinazione statica) (Combinazione n° 1)

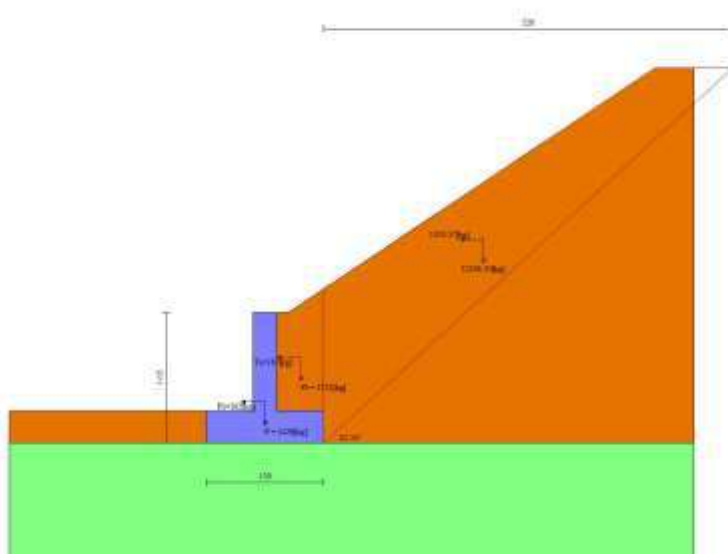


Fig. 19 - Cuneo di spinta (combinazione sismica) (Combinazione n° 2)

| | | | |
|--------------------------------------|----------------------------------------------------------------------------------------------------------------------|----------------------------------------------------------------------------------|-------------|
| COMMITTENTE: Mecca Antonio | CODICE COMMESSA: | NOME ELABORATO: S1.5 - Relazione Geotecnica e delle Fondazioni | CONSULENTE: |
| DATA: Aprile 2023 | TITOLO: Lavori ultimazione di un fabbricato adibito ad albergo-ristorante- C.da Case Nuove Chicone Avigliano (PZ) | | |

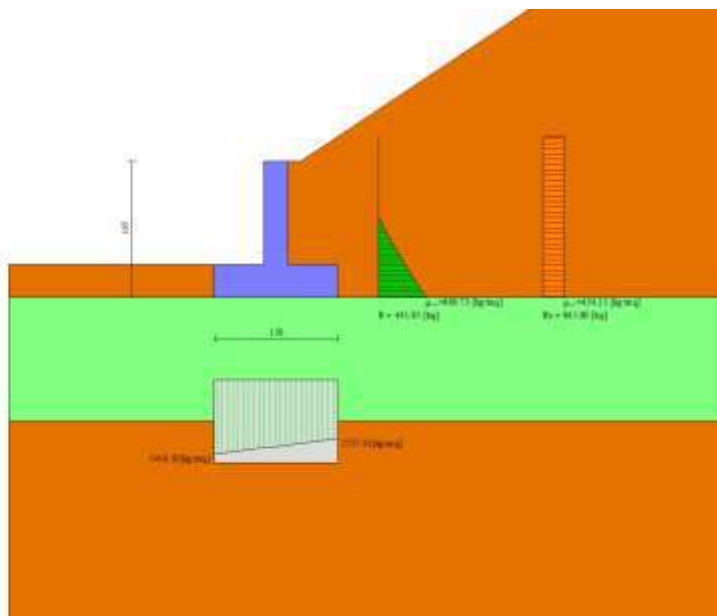


Fig. 20 - Diagramma delle pressioni (combinazione sismica) (Combinazione n° 2)

Verifiche geotecniche

Quadro riassuntivo coeff. di sicurezza calcolati

Simbologia adottata

| | |
|---------------------|------------------------------------------------------------|
| Cmb | Indice/Tipo combinazione |
| S | Sisma (H: componente orizzontale, V: componente verticale) |
| FS _{SCO} | Coeff. di sicurezza allo scorrimento |
| FS _{RIB} | Coeff. di sicurezza al ribaltamento |
| FS _{QILIM} | Coeff. di sicurezza a carico limite |
| FS _{STAB} | Coeff. di sicurezza a stabilità globale |
| FS _{HYD} | Coeff. di sicurezza a sifonamento |
| FS _{UPL} | Coeff. di sicurezza a sollevamento |

| Cmb | Sismica | FS _{SCO} | FS _{RIB} | FS _{QILIM} | FS _{STAB} | FS _{HYD} | FS _{UPL} |
|--------------------|---------|-------------------|-------------------|---------------------|--------------------|-------------------|-------------------|
| 1 - STR (A1-M1-R3) | | 2.957 | | 8.647 | | | |
| 2 - STR (A1-M1-R3) | H + V | 1.952 | | 7.427 | | | |
| 3 - STR (A1-M1-R3) | H - V | 2.173 | | 9.352 | | | |
| 4 - GEO (A2-M2-R2) | | | | | 1.678 | | |
| 5 - GEO (A2-M2-R2) | H + V | | | | 1.736 | | |
| 6 - GEO (A2-M2-R2) | H - V | | | | 1.779 | | |
| 7 - EQU (A1-M1-R3) | | | 12.328 | | | | |
| 8 - EQU (A1-M1-R3) | H + V | | 2.446 | | | | |
| 9 - EQU (A1-M1-R3) | H - V | | 2.252 | | | | |

Verifica a scorrimento fondazione

Simbologia adottata

| | |
|-----|-------------------------------------------------------------------------------------|
| n° | Indice combinazione |
| Rsa | Resistenza allo scorrimento per attrito, espresso in [kg] |
| Rpt | Resistenza passiva terreno antistante, espresso in [kg] |
| Rps | Resistenza passiva sperone, espresso in [kg] |
| Rp | Resistenza a carichi orizzontali pali (solo per fondazione mista), espresso in [kg] |
| Rt | Resistenza a carichi orizzontali tiranti (solo se presenti), espresso in [kg] |
| R | Resistenza allo scorrimento (somma di Rsa+Rpt+Rps+Rp), espresso in [kg] |
| T | Carico parallelo al piano di posa, espresso in [kg] |
| FS | Fattore di sicurezza (rapporto R/T) |

| n° | Rsa [kg] | Rpt [kg] | Rps [kg] | Rp [kg] | Rt [kg] | R [kg] | T [kg] | FS |
|--------------------------|-------------|-------------|-------------|------------|------------|-----------|-----------|-------|
| 1 - STR (A1-M1-R3) | 3111 | 0 | 0 | -- | -- | 3111 | 1052 | 2.957 |
| 2 - STR (A1-M1-R3) H + V | 3207 | 0 | 0 | -- | -- | 3207 | 1643 | 1.952 |
| 3 - STR (A1-M1-R3) H - V | 3060 | 0 | 0 | -- | -- | 3060 | 1408 | 2.173 |

Verifica a carico limite

Relazione Geotecnica e delle Fondazioni

Simbologia adottata

| | |
|----|--------------------------------------------------------------------------------------|
| n° | Indice combinazione |
| N | Carico normale totale al piano di posa, espresso in [kg] |
| Qu | carico limite del terreno, espresso in [kg] |
| Qd | Portanza di progetto, espresso in [kg] |
| FS | Fattore di sicurezza (rapporto tra il carico limie e carico agente al piano di posa) |

| n° | N [kg] | Qu [kg] | Qd [kg] | FS |
|--------------------------|-----------|------------|------------|-------|
| 1 - STR (A1-M1-R3) | 4309 | 37262 | 26616 | 8.647 |
| 2 - STR (A1-M1-R3) H + V | 4647 | 34511 | 28759 | 7.427 |
| 3 - STR (A1-M1-R3) H - V | 4131 | 38637 | 32197 | 9.352 |

Dettagli calcolo portanza

Simbologia adottata

| | |
|------------|---------------------------------------------------------------------------------------------------------------------------------------------------------------------------------------------|
| n° | Indice combinazione |
| Nc, Nq, Ny | Fattori di capacità portante |
| ic, iq, iy | Fattori di inclinazione del carico |
| dc, dq, dy | Fattori di profondità del piano di posa |
| gc, gq, gy | Fattori di inclinazione del profilo topografico |
| bc, bq, by | Fattori di inclinazione del piano di posa |
| sc, sq, sy | Fattori di forma della fondazione |
| pc, pq, py | Fattori di riduzione per punzonamento secondo Vesic |
| Re | Fattore di riduzione capacità portante per eccentricità secondo Meyerhof |
| Ir, Irc | Indici di rigidezza per punzonamento secondo Vesic |
| ry | Fattori per tener conto dell'effetto piastra. Per fondazioni che hanno larghezza maggiore di 2 m, il terzo termine della formula trinomia $0.5B_yN_y$ viene moltiplicato per questo fattore |
| D | Affondamento del piano di posa, espresso in [m] |
| B' | Larghezza fondazione ridotta, espresso in [m] |
| H | Altezza del cuneo di rottura, espresso in [m] |
| γ | Peso di volume del terreno medio, espresso in [kg/mc] |
| φ | Angolo di attrito del terreno medio, espresso in [°] |
| c | Coesione del terreno medio, espresso in [kg/cm ^q] |

Per i coeff. che in tabella sono indicati con il simbolo '-' sono coeff. non presenti nel metodo scelto (Hansen).

| n° | Nc Nq Ny | ic iq iy | dc dq dy | gc gq gy | bc bq by | sc sq sy | pc pq py | Ir | Irc | Re | ry |
|----|--------------------------|-------------------------|-------------------------|-------------------------|-------------------------|----------------|----------------|----|-----|-------|-------|
| 1 | 19.324 9.603 5.746 | 0.695 0.727 0.636 | 1.160 1.125 1.000 | 1.000 1.000 1.000 | 1.000 1.000 1.000 | -- -- -- | -- -- -- | -- | -- | 0.762 | 1.000 |
| 2 | 19.324 9.603 5.746 | 0.570 0.615 0.499 | 1.160 1.125 1.000 | 1.000 1.000 1.000 | 1.000 1.000 1.000 | -- -- -- | -- -- -- | -- | -- | 0.860 | 1.000 |
| 3 | 19.324 9.603 5.746 | 0.602 0.644 0.533 | 1.160 1.125 1.000 | 1.000 1.000 1.000 | 1.000 1.000 1.000 | -- -- -- | -- -- -- | -- | -- | 0.912 | 1.000 |

| n° | D [m] | B' [m] | H [m] | γ [°] | φ [kg/mc] | c [kg/cm ^q] |
|----|----------|-----------|----------|----------|--------------|----------------------------|
| 1 | 0.40 | 1.00 | 0.77 | 2000 | 24.00 | 0.25 |
| 2 | 0.40 | 1.00 | 0.77 | 2000 | 24.00 | 0.25 |
| 3 | 0.40 | 1.00 | 0.77 | 2000 | 24.00 | 0.25 |

Verifica a ribaltamento

Simbologia adottata

| | |
|----|--------------------------------------------------------------------------------|
| n° | Indice combinazione |
| Ms | Momento stabilizzante, espresso in [kgm] |
| Mr | Momento ribaltante, espresso in [kgm] |
| FS | Fattore di sicurezza (rapporto tra momento stabilizzante e momento ribaltante) |

La verifica viene eseguita rispetto allo spigolo inferiore esterno della fondazione

| n° | Ms [kgm] | Mr [kgm] | FS |
|--------------------------|-------------|-------------|--------|
| 7 - EQU (A1-M1-R3) | 4189 | 340 | 12.328 |
| 8 - EQU (A1-M1-R3) H + V | 5057 | 2068 | 2.446 |
| 9 - EQU (A1-M1-R3) H - V | 4567 | 2028 | 2.252 |

Verifica stabilità globale muro + terreno

Simbologia adottata

| | |
|----|---------------------------------------------------|
| Ic | Indice/Tipo combinazione |
| C | Centro superficie di scorrimento, espresso in [m] |
| R | Raggio, espresso in [m] |
| FS | Fattore di sicurezza |

| Ic | C [m] | R [m] | FS |
|--------------------|------------|----------|-------|
| 4 - GEO (A2-M2-R2) | 0.00; 4.50 | 6.23 | 1.678 |

| | | | |
|--------------------------------------|------------------------------------------------------------------------------------------------------------------------------|----------------------------------------------------------------------------------|-------------|
| COMMITTENTE: Mecca Antonio | CODICE COMMESSA: | NOME ELABORATO: S1.5 - Relazione Geotecnica e delle Fondazioni | CONSULENTE: |
| DATA: Aprile 2023 | TITOLO: Lavori ultimazione di un fabbricato adibito ad albergo-ristorante– C.da Case Nuove Chicone Avigliano (PZ) | | |

| Ic | C [m] | R [m] | FS |
|--------------------------|------------|----------|-------|
| 5 - GEO (A2-M2-R2) H + V | 0.00; 4.50 | 6.23 | 1.736 |
| 6 - GEO (A2-M2-R2) H - V | 0.00; 4.50 | 6.23 | 1.779 |

Dettagli strisce verifiche stabilità

Simbologia adottata

Le ascisse X sono considerate positive verso monte

Le ordinate Y sono considerate positive verso l'alto

Origine in testa al muro (spigolo contro terra)

W peso della striscia espresso in [kg]

Qy carico sulla striscia espresso in [kg]

Qf carico acqua sulla striscia espresso in [kg]

α angolo fra la base della striscia e l'orizzontale espresso in [°] (positivo antiorario)

ϕ angolo d'attrito del terreno lungo la base della striscia

c coesione del terreno lungo la base della striscia espressa in [kg/cm²]

b larghezza della striscia espressa in [m]

u pressione neutra lungo la base della striscia espressa in [kg/cm²]

Tx; Ty Resistenza al taglio fornita dai tiranti in direzione X ed Y espressa in [kg/cm²]

Combinazione n° 4 - GEO (A2-M2-R2)

| n° | W [kg] | Qy [kg] | Qf [kg] | b [m] | α [°] | ϕ [°] | c [kg/cm ²] | u [kg/cm ²] | Tx; Ty [kg] |
|----|-----------|------------|------------|--------------|-----------------|---------------|----------------------------|----------------------------|----------------|
| 1 | 327 | 0 | 0 | 6.07 - 0.34 | 71.479 | 24.791 | 0.04 | 0.000 | |
| 2 | 873 | 0 | 0 | 0.34 | 63.582 | 24.791 | 0.04 | 0.000 | |
| 3 | 1263 | 0 | 0 | 0.34 | 57.187 | 24.791 | 0.04 | 0.000 | |
| 4 | 1567 | 0 | 0 | 0.34 | 51.778 | 24.791 | 0.04 | 0.000 | |
| 5 | 1716 | 0 | 0 | 0.34 | 46.964 | 24.791 | 0.04 | 0.000 | |
| 6 | 1788 | 0 | 0 | 0.34 | 42.555 | 24.791 | 0.04 | 0.000 | |
| 7 | 1830 | 0 | 0 | 0.34 | 38.440 | 24.791 | 0.04 | 0.000 | |
| 8 | 1847 | 0 | 0 | 0.34 | 34.549 | 24.791 | 0.04 | 0.000 | |
| 9 | 1843 | 0 | 0 | 0.34 | 30.834 | 24.791 | 0.04 | 0.000 | |
| 10 | 1820 | 0 | 0 | 0.34 | 27.258 | 24.791 | 0.04 | 0.000 | |
| 11 | 1779 | 0 | 0 | 0.34 | 23.793 | 24.791 | 0.04 | 0.000 | |
| 12 | 1723 | 0 | 0 | 0.34 | 20.420 | 24.791 | 0.04 | 0.000 | |
| 13 | 1652 | 0 | 0 | 0.34 | 17.119 | 24.791 | 0.04 | 0.000 | |
| 14 | 1568 | 0 | 0 | 0.34 | 13.875 | 24.791 | 0.04 | 0.000 | |
| 15 | 1470 | 0 | 0 | 0.34 | 10.677 | 24.791 | 0.04 | 0.000 | |
| 16 | 1361 | 0 | 0 | 0.34 | 7.512 | 19.605 | 0.20 | 0.000 | |
| 17 | 1362 | 0 | 0 | 0.34 | 4.370 | 19.605 | 0.20 | 0.000 | |
| 18 | 1128 | 0 | 0 | 0.34 | 1.242 | 19.605 | 0.20 | 0.000 | |
| 19 | 1215 | 0 | 0 | 0.34 | -1.883 | 19.605 | 0.20 | 0.000 | |
| 20 | 373 | 0 | 0 | 0.34 | -5.014 | 19.605 | 0.20 | 0.000 | |
| 21 | 310 | 0 | 0 | 0.34 | -8.160 | 19.605 | 0.20 | 0.000 | |
| 22 | 227 | 0 | 0 | 0.34 | -11.331 | 24.791 | 0.04 | 0.000 | |
| 23 | 177 | 0 | 0 | 0.34 | -14.537 | 24.791 | 0.04 | 0.000 | |
| 24 | 113 | 0 | 0 | 0.34 | -17.791 | 24.791 | 0.04 | 0.000 | |
| 25 | 36 | 0 | 0 | -2.41 - 0.34 | -19.606 | 24.791 | 0.04 | 0.000 | |

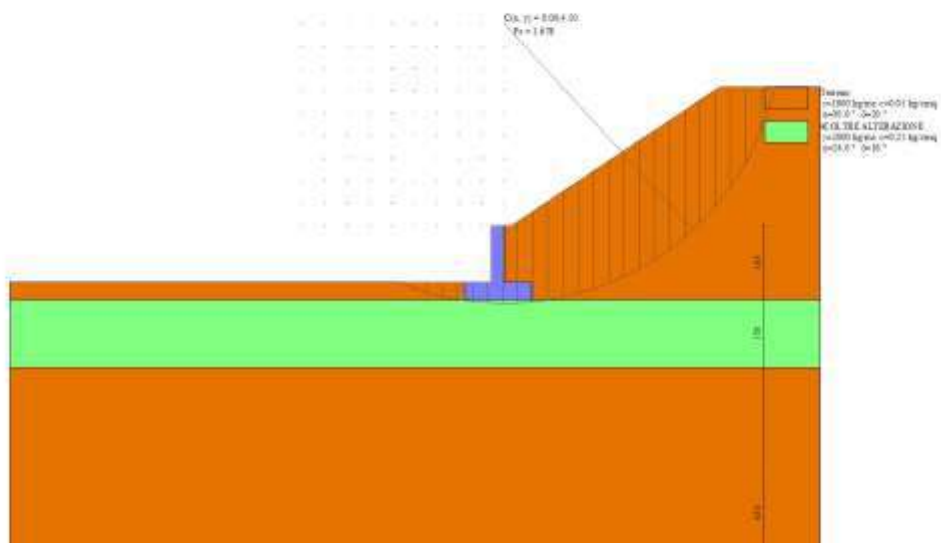


Fig. 21 - Stabilità fronte di scavo - Cerchio critico (Combinazione n° 4)

Relazione Geotecnica e delle Fondazioni

Combinazione n° 5 - GEO (A2-M2-R2) H + V

| n° | W [kg] | Qy [kg] | Qf [kg] | b [m] | α [°] | ϕ [°] | c [kg/cm²] | u [kg/cm²] | Tx; Ty [kg] |
|----|-----------|------------|------------|--------------|-----------------|---------------|---------------|---------------|----------------|
| 1 | 327 | 0 | 0 | 6.07 - 0.34 | 71.479 | 30.000 | 0.05 | 0.000 | |
| 2 | 873 | 0 | 0 | 0.34 | 63.582 | 30.000 | 0.05 | 0.000 | |
| 3 | 1263 | 0 | 0 | 0.34 | 57.187 | 30.000 | 0.05 | 0.000 | |
| 4 | 1567 | 0 | 0 | 0.34 | 51.778 | 30.000 | 0.05 | 0.000 | |
| 5 | 1716 | 0 | 0 | 0.34 | 46.964 | 30.000 | 0.05 | 0.000 | |
| 6 | 1788 | 0 | 0 | 0.34 | 42.555 | 30.000 | 0.05 | 0.000 | |
| 7 | 1830 | 0 | 0 | 0.34 | 38.440 | 30.000 | 0.05 | 0.000 | |
| 8 | 1847 | 0 | 0 | 0.34 | 34.549 | 30.000 | 0.05 | 0.000 | |
| 9 | 1843 | 0 | 0 | 0.34 | 30.834 | 30.000 | 0.05 | 0.000 | |
| 10 | 1820 | 0 | 0 | 0.34 | 27.258 | 30.000 | 0.05 | 0.000 | |
| 11 | 1779 | 0 | 0 | 0.34 | 23.793 | 30.000 | 0.05 | 0.000 | |
| 12 | 1723 | 0 | 0 | 0.34 | 20.420 | 30.000 | 0.05 | 0.000 | |
| 13 | 1652 | 0 | 0 | 0.34 | 17.119 | 30.000 | 0.05 | 0.000 | |
| 14 | 1568 | 0 | 0 | 0.34 | 13.875 | 30.000 | 0.05 | 0.000 | |
| 15 | 1470 | 0 | 0 | 0.34 | 10.677 | 30.000 | 0.05 | 0.000 | |
| 16 | 1361 | 0 | 0 | 0.34 | 7.512 | 24.000 | 0.25 | 0.000 | |
| 17 | 1362 | 0 | 0 | 0.34 | 4.370 | 24.000 | 0.25 | 0.000 | |
| 18 | 1128 | 0 | 0 | 0.34 | 1.242 | 24.000 | 0.25 | 0.000 | |
| 19 | 1215 | 0 | 0 | 0.34 | -1.883 | 24.000 | 0.25 | 0.000 | |
| 20 | 373 | 0 | 0 | 0.34 | -5.014 | 24.000 | 0.25 | 0.000 | |
| 21 | 310 | 0 | 0 | 0.34 | -8.160 | 24.000 | 0.25 | 0.000 | |
| 22 | 227 | 0 | 0 | 0.34 | -11.331 | 30.000 | 0.05 | 0.000 | |
| 23 | 177 | 0 | 0 | 0.34 | -14.537 | 30.000 | 0.05 | 0.000 | |
| 24 | 113 | 0 | 0 | 0.34 | -17.791 | 30.000 | 0.05 | 0.000 | |
| 25 | 36 | 0 | 0 | -2.41 - 0.34 | -19.606 | 30.000 | 0.05 | 0.000 | |

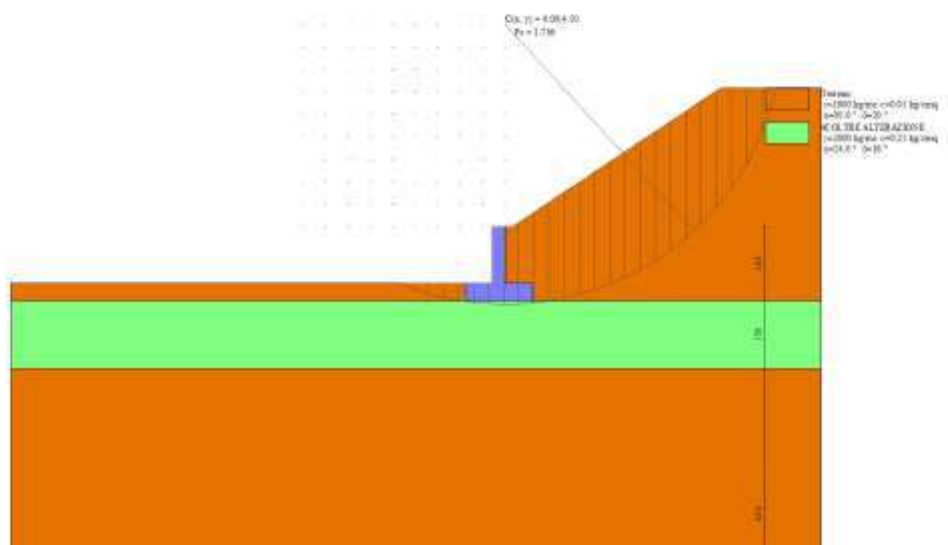


Fig. 22 - Stabilità fronte di scavo - Cerchio critico (Combinazione n° 5)

Combinazione n° 6 - GEO (A2-M2-R2) H - V

| n° | W [kg] | Qy [kg] | Qf [kg] | b [m] | α [°] | ϕ [°] | c [kg/cm²] | u [kg/cm²] | Tx; Ty [kg] |
|----|-----------|------------|------------|-------------|-----------------|---------------|---------------|---------------|----------------|
| 1 | 327 | 0 | 0 | 6.07 - 0.34 | 71.479 | 30.000 | 0.05 | 0.000 | |
| 2 | 873 | 0 | 0 | 0.34 | 63.582 | 30.000 | 0.05 | 0.000 | |
| 3 | 1263 | 0 | 0 | 0.34 | 57.187 | 30.000 | 0.05 | 0.000 | |
| 4 | 1567 | 0 | 0 | 0.34 | 51.778 | 30.000 | 0.05 | 0.000 | |
| 5 | 1716 | 0 | 0 | 0.34 | 46.964 | 30.000 | 0.05 | 0.000 | |
| 6 | 1788 | 0 | 0 | 0.34 | 42.555 | 30.000 | 0.05 | 0.000 | |
| 7 | 1830 | 0 | 0 | 0.34 | 38.440 | 30.000 | 0.05 | 0.000 | |
| 8 | 1847 | 0 | 0 | 0.34 | 34.549 | 30.000 | 0.05 | 0.000 | |
| 9 | 1843 | 0 | 0 | 0.34 | 30.834 | 30.000 | 0.05 | 0.000 | |
| 10 | 1820 | 0 | 0 | 0.34 | 27.258 | 30.000 | 0.05 | 0.000 | |
| 11 | 1779 | 0 | 0 | 0.34 | 23.793 | 30.000 | 0.05 | 0.000 | |
| 12 | 1723 | 0 | 0 | 0.34 | 20.420 | 30.000 | 0.05 | 0.000 | |
| 13 | 1652 | 0 | 0 | 0.34 | 17.119 | 30.000 | 0.05 | 0.000 | |
| 14 | 1568 | 0 | 0 | 0.34 | 13.875 | 30.000 | 0.05 | 0.000 | |
| 15 | 1470 | 0 | 0 | 0.34 | 10.677 | 30.000 | 0.05 | 0.000 | |
| 16 | 1361 | 0 | 0 | 0.34 | 7.512 | 24.000 | 0.25 | 0.000 | |
| 17 | 1362 | 0 | 0 | 0.34 | 4.370 | 24.000 | 0.25 | 0.000 | |
| 18 | 1128 | 0 | 0 | 0.34 | 1.242 | 24.000 | 0.25 | 0.000 | |
| 19 | 1215 | 0 | 0 | 0.34 | -1.883 | 24.000 | 0.25 | 0.000 | |
| 20 | 373 | 0 | 0 | 0.34 | -5.014 | 24.000 | 0.25 | 0.000 | |

| | | | |
|--------------------------------------|------------------------------------------------------------------------------------------------------------------------------|----------------------------------------------------------------------------------|-------------|
| COMMITTENTE: Mecca Antonio | CODICE COMMESSA: | NOME ELABORATO: S1.5 - Relazione Geotecnica e delle Fondazioni | CONSULENTE: |
| DATA: Aprile 2023 | TITOLO: Lavori ultimazione di un fabbricato adibito ad albergo-ristorante- C.da Case Nuove Chicone Avigliano (PZ) | | |

| n° | W [kg] | Qy [kg] | Qf [kg] | b [m] | α [°] | ϕ [°] | c [kg/cm²] | u [kg/cm²] | Tx; Ty [kg] |
|----|-----------|------------|------------|--------------|-----------------|---------------|---------------|---------------|----------------|
| 21 | 310 | 0 | 0 | 0.34 | -8.160 | 24.000 | 0.25 | 0.000 | |
| 22 | 227 | 0 | 0 | 0.34 | -11.331 | 30.000 | 0.05 | 0.000 | |
| 23 | 177 | 0 | 0 | 0.34 | -14.537 | 30.000 | 0.05 | 0.000 | |
| 24 | 113 | 0 | 0 | 0.34 | -17.791 | 30.000 | 0.05 | 0.000 | |
| 25 | 36 | 0 | 0 | -2.41 - 0.34 | -19.606 | 30.000 | 0.05 | 0.000 | |

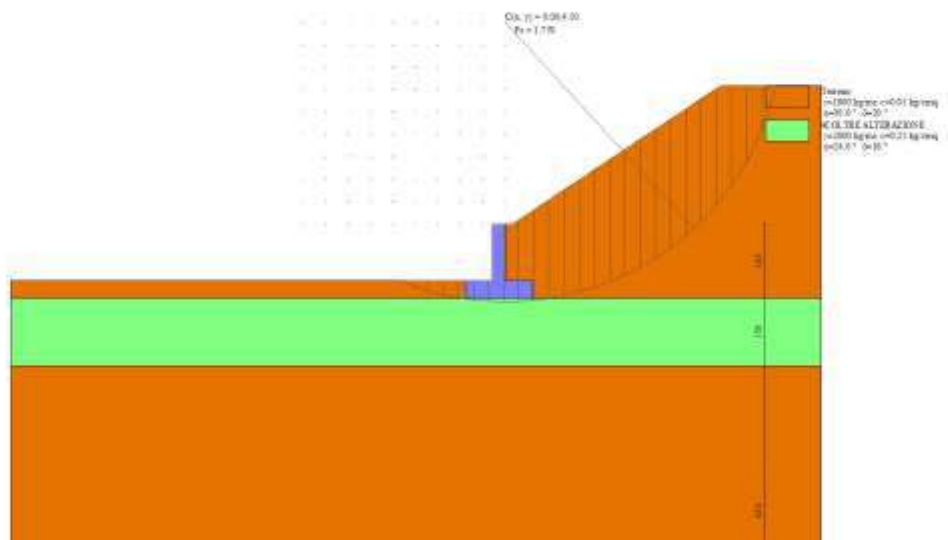


Fig. 23 - Stabilità fronte di scavo - Cerchio critico (Combinazione n° 6)

Sollecitazioni

Elementi calcolati a trave

Simbologia adottata

| | |
|----|-------------------------------------------------------------------------------|
| n° | Indice della sezione |
| X | Posizione della sezione, espresso in [m] |
| N | Sforzo normale, espresso in [kg]. Positivo se di compressione. |
| T | Taglio, espresso in [kg]. Positivo se diretto da monte verso valle |
| M | Momento, espresso in [kgm]. Positivo se tende le fibre contro terra (a monte) |

La posizione delle sezioni di verifica fanno riferimento al sistema di riferimento globale la cui origine è nello spigolo in alto a destra del paramento.

Paramento

Combinazione n° 1 - STR (A1-M1-R3)

| n° | X [m] | N [kg] | T [kg] | M [kgm] |
|----|----------|-----------|-----------|------------|
| 1 | 0.00 | 0 | 0 | 0 |
| 2 | -0.10 | 72 | 31 | 1 |
| 3 | -0.19 | 144 | 83 | 7 |
| 4 | -0.29 | 216 | 124 | 17 |
| 5 | -0.38 | 288 | 153 | 30 |
| 6 | -0.48 | 361 | 170 | 46 |
| 7 | -0.58 | 433 | 175 | 62 |
| 8 | -0.67 | 505 | 175 | 79 |
| 9 | -0.77 | 577 | 175 | 96 |
| 10 | -0.87 | 649 | 176 | 113 |
| 11 | -0.96 | 721 | 183 | 130 |
| 12 | -1.06 | 793 | 200 | 148 |
| 13 | -1.15 | 865 | 226 | 169 |
| 14 | -1.25 | 938 | 262 | 192 |

Relazione Geotecnica e delle Fondazioni

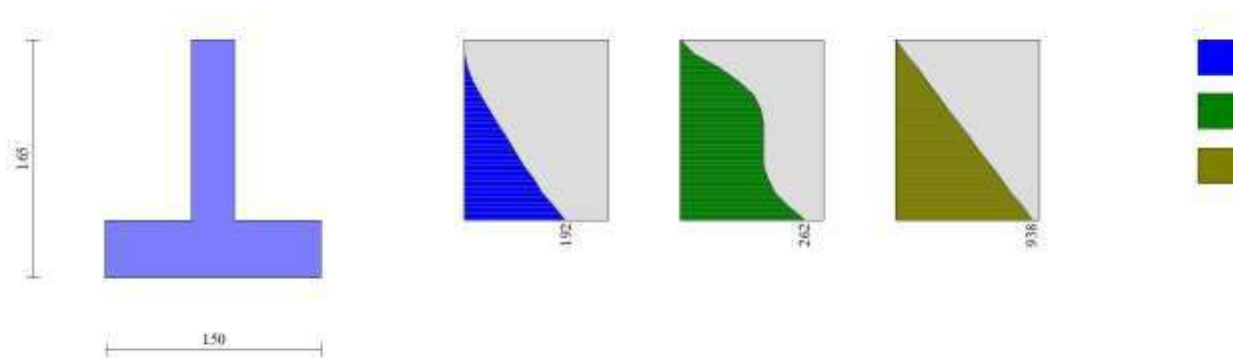


Fig. 24 - Paramento

Combinazione n° 2 - STR (A1-M1-R3) H + V

| n° | X [m] | N [kg] | T [kg] | M [kgm] |
|----|----------|-----------|-----------|------------|
| 1 | 0.00 | 0 | 0 | 0 |
| 2 | -0.10 | 76 | 12 | 1 |
| 3 | -0.19 | 152 | 25 | 2 |
| 4 | -0.29 | 228 | 37 | 5 |
| 5 | -0.38 | 304 | 49 | 9 |
| 6 | -0.48 | 380 | 61 | 15 |
| 7 | -0.58 | 456 | 74 | 21 |
| 8 | -0.67 | 532 | 86 | 29 |
| 9 | -0.77 | 608 | 98 | 38 |
| 10 | -0.87 | 684 | 111 | 48 |
| 11 | -0.96 | 760 | 123 | 59 |
| 12 | -1.06 | 836 | 135 | 71 |
| 13 | -1.15 | 912 | 151 | 85 |
| 14 | -1.25 | 988 | 172 | 101 |

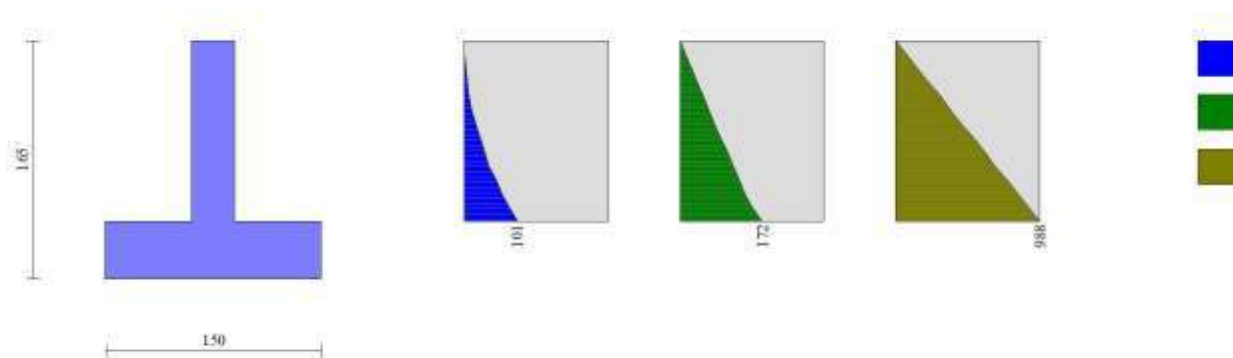


Fig. 25 - Paramento

Combinazione n° 3 - STR (A1-M1-R3) H - V

| n° | X | N | T | M |
|----|---|---|---|---|
|----|---|---|---|---|

| | | | |
|--------------------------------------|------------------------------------------------------------------------------------------------------------------------------|----------------------------------------------------------------------------------|-------------|
| COMMITTENTE: Mecca Antonio | CODICE COMMESSA: | NOME ELABORATO: S1.5 - Relazione Geotecnica e delle Fondazioni | CONSULENTE: |
| DATA: Aprile 2023 | TITOLO: Lavori ultimazione di un fabbricato adibito ad albergo-ristorante– C.da Case Nuove Chicone Avigliano (PZ) | | |

| | [m] | [kg] | [kg] | [kgm] |
|----|-------|------|------|-------|
| 1 | 0.00 | 0 | 0 | 0 |
| 2 | -0.10 | 68 | 10 | 0 |
| 3 | -0.19 | 136 | 20 | 2 |
| 4 | -0.29 | 205 | 29 | 4 |
| 5 | -0.38 | 273 | 39 | 8 |
| 6 | -0.48 | 341 | 49 | 12 |
| 7 | -0.58 | 409 | 59 | 17 |
| 8 | -0.67 | 478 | 69 | 23 |
| 9 | -0.77 | 546 | 79 | 30 |
| 10 | -0.87 | 614 | 88 | 38 |
| 11 | -0.96 | 682 | 98 | 47 |
| 12 | -1.06 | 751 | 108 | 57 |
| 13 | -1.15 | 819 | 122 | 68 |
| 14 | -1.25 | 887 | 140 | 81 |

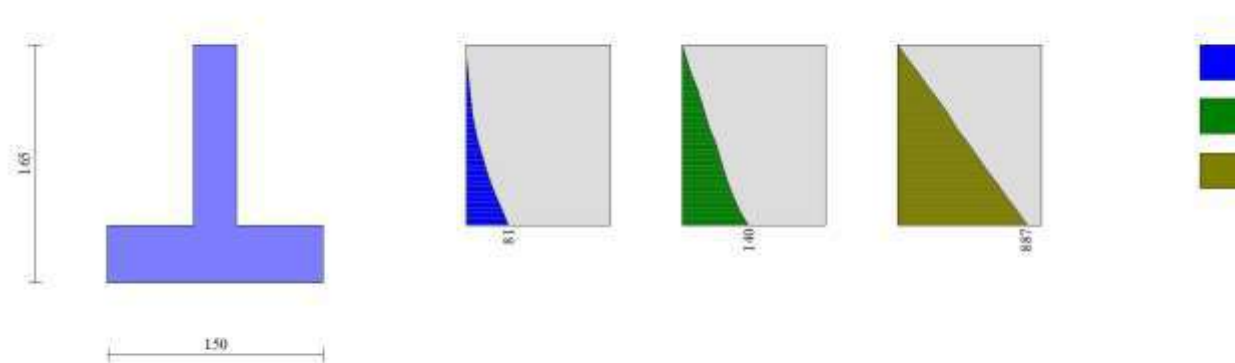


Fig. 26 - Paramento

Combinazione n° 10 - SLER

| n° | X [m] | N [kg] | T [kg] | M [kgm] |
|----|----------|-----------|-----------|------------|
| 1 | 0.00 | 0 | 0 | 0 |
| 2 | -0.10 | 72 | 26 | 1 |
| 3 | -0.19 | 144 | 91 | 6 |
| 4 | -0.29 | 216 | 149 | 18 |
| 5 | -0.38 | 288 | 197 | 35 |
| 6 | -0.48 | 361 | 236 | 56 |
| 7 | -0.58 | 433 | 263 | 80 |
| 8 | -0.67 | 505 | 281 | 106 |
| 9 | -0.77 | 577 | 289 | 134 |
| 10 | -0.87 | 649 | 289 | 161 |
| 11 | -0.96 | 721 | 289 | 189 |
| 12 | -1.06 | 793 | 290 | 217 |
| 13 | -1.15 | 865 | 293 | 245 |
| 14 | -1.25 | 938 | 302 | 274 |

Relazione Geotecnica e delle Fondazioni

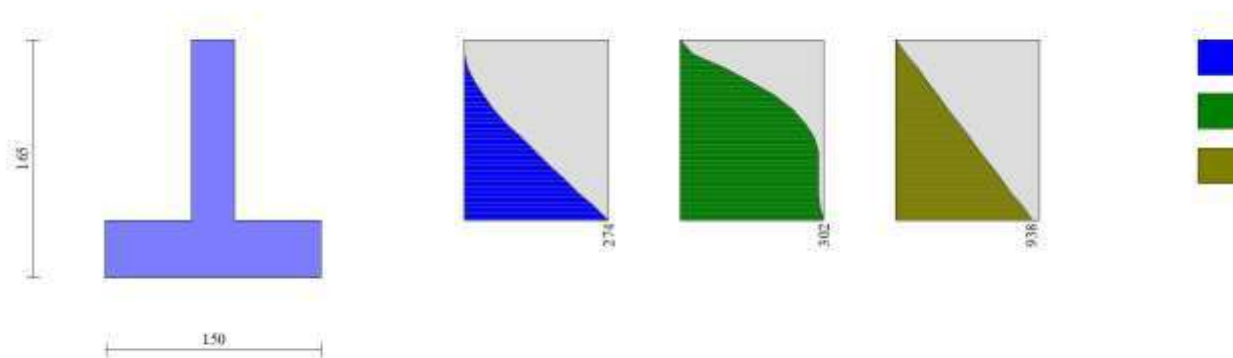


Fig. 27 - Paramento

Combinazione n° 11 - SLEF

| n° | X [m] | N [kg] | T [kg] | M [kgm] |
|----|----------|-----------|-----------|------------|
| 1 | 0.00 | 0 | 0 | 0 |
| 2 | -0.10 | 72 | 26 | 1 |
| 3 | -0.19 | 144 | 91 | 6 |
| 4 | -0.29 | 216 | 149 | 18 |
| 5 | -0.38 | 288 | 197 | 35 |
| 6 | -0.48 | 361 | 236 | 56 |
| 7 | -0.58 | 433 | 263 | 80 |
| 8 | -0.67 | 505 | 281 | 106 |
| 9 | -0.77 | 577 | 289 | 134 |
| 10 | -0.87 | 649 | 289 | 161 |
| 11 | -0.96 | 721 | 289 | 189 |
| 12 | -1.06 | 793 | 290 | 217 |
| 13 | -1.15 | 865 | 293 | 245 |
| 14 | -1.25 | 938 | 302 | 274 |

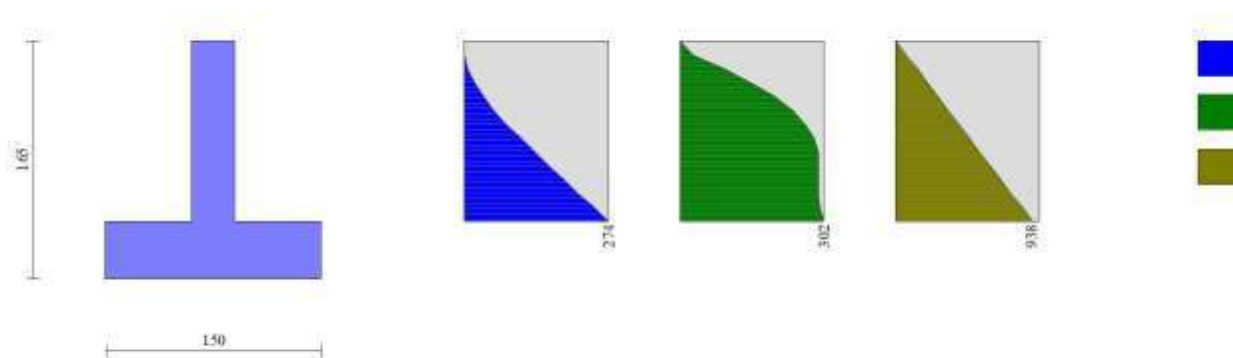


Fig. 28 - Paramento

Combinazione n° 12 - SLEQ

| n° | X | N | T | M |
|----|---|---|---|---|
|----|---|---|---|---|

| | | | |
|--------------------------------------|------------------------------------------------------------------------------------------------------------------------------|----------------------------------------------------------------------------------|-------------|
| COMMITTENTE: Mecca Antonio | CODICE COMMESSA: | NOME ELABORATO: S1.5 - Relazione Geotecnica e delle Fondazioni | CONSULENTE: |
| DATA: Aprile 2023 | TITOLO: Lavori ultimazione di un fabbricato adibito ad albergo-ristorante– C.da Case Nuove Chicone Avigliano (PZ) | | |

| | [m] | [kg] | [kg] | [kgm] |
|----|-------|------|------|-------|
| 1 | 0.00 | 0 | 0 | 0 |
| 2 | -0.10 | 72 | 26 | 1 |
| 3 | -0.19 | 144 | 91 | 6 |
| 4 | -0.29 | 216 | 149 | 18 |
| 5 | -0.38 | 288 | 197 | 35 |
| 6 | -0.48 | 361 | 236 | 56 |
| 7 | -0.58 | 433 | 263 | 80 |
| 8 | -0.67 | 505 | 281 | 106 |
| 9 | -0.77 | 577 | 289 | 134 |
| 10 | -0.87 | 649 | 289 | 161 |
| 11 | -0.96 | 721 | 289 | 189 |
| 12 | -1.06 | 793 | 290 | 217 |
| 13 | -1.15 | 865 | 293 | 245 |
| 14 | -1.25 | 938 | 302 | 274 |

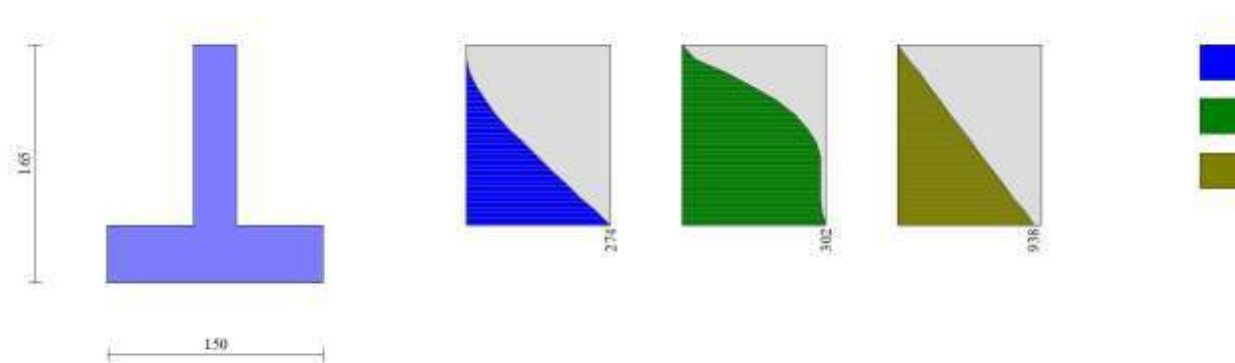


Fig. 29 - Paramento

Fondazione

Combinazione n° 1 - STR (A1-M1-R3)

| n° | X [m] | N [kg] | T [kg] | M [kgm] |
|----|----------|-----------|-----------|------------|
| 1 | -0.90 | 0 | 0 | 0 |
| 2 | -0.80 | 0 | 96 | 5 |
| 3 | -0.70 | 0 | 206 | 20 |
| 4 | -0.60 | 0 | 328 | 46 |
| 5 | -0.50 | 0 | 463 | 86 |
| 6 | -0.40 | 0 | 612 | 139 |
| 7 | -0.30 | 0 | 773 | 209 |
| 8 | 0.00 | 0 | -545 | -165 |
| 9 | 0.09 | 0 | -462 | -122 |
| 10 | 0.17 | 0 | -388 | -85 |
| 11 | 0.26 | 0 | -316 | -55 |
| 12 | 0.34 | 0 | -240 | -31 |
| 13 | 0.43 | 0 | -163 | -14 |
| 14 | 0.51 | 0 | -83 | -4 |
| 15 | 0.60 | 0 | 0 | 0 |

Relazione Geotecnica e delle Fondazioni

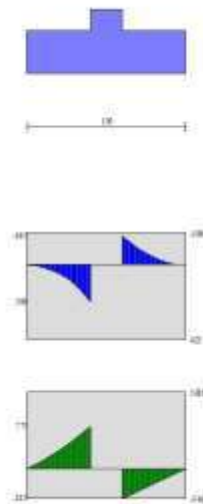


Fig. 30 - Fondazione

Combinazione n° 2 - STR (A1-M1-R3) H + V

| n° | X [m] | N [kg] | T [kg] | M [kgm] |
|----|----------|-----------|-----------|------------|
| 1 | -0.90 | 0 | 0 | 0 |
| 2 | -0.80 | 0 | 243 | 12 |
| 3 | -0.70 | 0 | 482 | 49 |
| 4 | -0.60 | 0 | 716 | 108 |
| 5 | -0.50 | 0 | 945 | 192 |
| 6 | -0.40 | 0 | 1169 | 297 |
| 7 | -0.30 | 0 | 1388 | 425 |
| 8 | 0.00 | 0 | -424 | -155 |
| 9 | 0.09 | 0 | -392 | -120 |
| 10 | 0.17 | 0 | -356 | -88 |
| 11 | 0.26 | 0 | -311 | -59 |
| 12 | 0.34 | 0 | -252 | -35 |
| 13 | 0.43 | 0 | -181 | -16 |
| 14 | 0.51 | 0 | -97 | -4 |
| 15 | 0.60 | 0 | 0 | 0 |

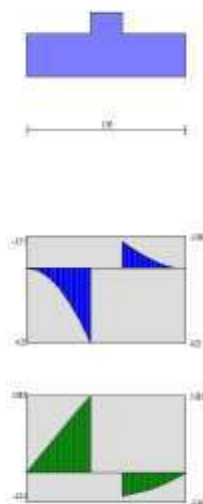


Fig. 31 - Fondazione

Combinazione n° 3 - STR (A1-M1-R3) H - V

| | | | |
|--------------------------------------|----------------------------------------------------------------------------------------------------------------------|----------------------------------------------------------------------------------|-------------|
| COMMITTENTE: Mecca Antonio | CODICE COMMESSA: | NOME ELABORATO: S1.5 - Relazione Geotecnica e delle Fondazioni | CONSULENTE: |
| DATA: Aprile 2023 | TITOLO: Lavori ultimazione di un fabbricato adibito ad albergo-ristorante– C.da Case Nuove Chicone Avigliano (PZ) | | |

| n° | X [m] | N [kg] | T [kg] | M [kgm] |
|----|----------|-----------|-----------|------------|
| 1 | -0.90 | 0 | 0 | 0 |
| 2 | -0.80 | 0 | 187 | 9 |
| 3 | -0.70 | 0 | 373 | 37 |
| 4 | -0.60 | 0 | 557 | 84 |
| 5 | -0.50 | 0 | 739 | 149 |
| 6 | -0.40 | 0 | 920 | 232 |
| 7 | -0.30 | 0 | 1098 | 333 |
| 8 | 0.00 | 0 | -546 | -186 |
| 9 | 0.09 | 0 | -490 | -142 |
| 10 | 0.17 | 0 | -432 | -102 |
| 11 | 0.26 | 0 | -367 | -68 |
| 12 | 0.34 | 0 | -291 | -39 |
| 13 | 0.43 | 0 | -204 | -18 |
| 14 | 0.51 | 0 | -107 | -5 |
| 15 | 0.60 | 0 | 0 | 0 |

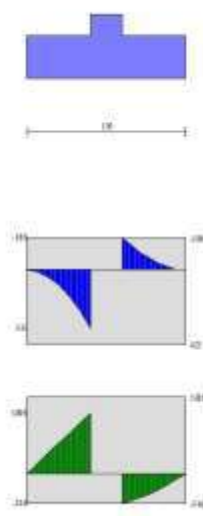


Fig. 32 - Fondazione

Combinazione n° 10 - SLER

| n° | X [m] | N [kg] | T [kg] | M [kgm] |
|----|----------|-----------|-----------|------------|
| 1 | -0.90 | 0 | 0 | 0 |
| 2 | -0.80 | 0 | 99 | 5 |
| 3 | -0.70 | 0 | 209 | 20 |
| 4 | -0.60 | 0 | 330 | 47 |
| 5 | -0.50 | 0 | 462 | 87 |
| 6 | -0.40 | 0 | 605 | 140 |
| 7 | -0.30 | 0 | 759 | 208 |
| 8 | 0.00 | 0 | -199 | -59 |
| 9 | 0.09 | 0 | -164 | -43 |
| 10 | 0.17 | 0 | -138 | -31 |
| 11 | 0.26 | 0 | -112 | -20 |
| 12 | 0.34 | 0 | -86 | -11 |
| 13 | 0.43 | 0 | -58 | -5 |
| 14 | 0.51 | 0 | -30 | -1 |
| 15 | 0.60 | 0 | 0 | 0 |

Relazione Geotecnica e delle Fondazioni

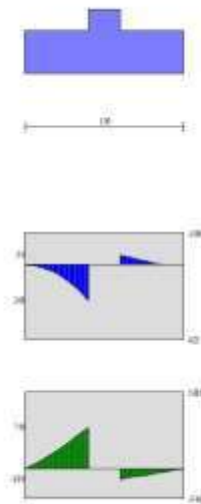


Fig. 33 - Fondazione

Combinazione n° 11 - SLEF

| n° | X [m] | N [kg] | T [kg] | M [kgm] |
|----|----------|-----------|-----------|------------|
| 1 | -0.90 | 0 | 0 | 0 |
| 2 | -0.80 | 0 | 99 | 5 |
| 3 | -0.70 | 0 | 209 | 20 |
| 4 | -0.60 | 0 | 330 | 47 |
| 5 | -0.50 | 0 | 462 | 87 |
| 6 | -0.40 | 0 | 605 | 140 |
| 7 | -0.30 | 0 | 759 | 208 |
| 8 | 0.00 | 0 | -199 | -59 |
| 9 | 0.09 | 0 | -164 | -43 |
| 10 | 0.17 | 0 | -138 | -31 |
| 11 | 0.26 | 0 | -112 | -20 |
| 12 | 0.34 | 0 | -86 | -11 |
| 13 | 0.43 | 0 | -58 | -5 |
| 14 | 0.51 | 0 | -30 | -1 |
| 15 | 0.60 | 0 | 0 | 0 |

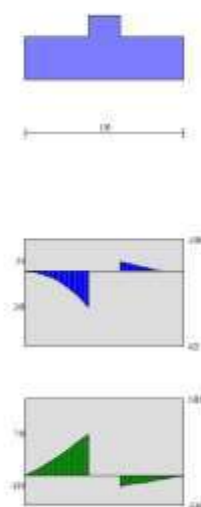


Fig. 34 - Fondazione

Combinazione n° 12 - SLEQ

| | | | |
|--------------------------------------|------------------------------------------------------------------------------------------------------------------------------|----------------------------------------------------------------------------------|-------------|
| COMMITTENTE: Mecca Antonio | CODICE COMMESSA: | NOME ELABORATO: S1.5 - Relazione Geotecnica e delle Fondazioni | CONSULENTE: |
| DATA: Aprile 2023 | TITOLO: Lavori ultimazione di un fabbricato adibito ad albergo-ristorante- C.da Case Nuove Chicone Avigliano (PZ) | | |

| n° | X [m] | N [kg] | T [kg] | M [kgm] |
|----|----------|-----------|-----------|------------|
| 1 | -0.90 | 0 | 0 | 0 |
| 2 | -0.80 | 0 | 99 | 5 |
| 3 | -0.70 | 0 | 209 | 20 |
| 4 | -0.60 | 0 | 330 | 47 |
| 5 | -0.50 | 0 | 462 | 87 |
| 6 | -0.40 | 0 | 605 | 140 |
| 7 | -0.30 | 0 | 759 | 208 |
| 8 | 0.00 | 0 | -199 | -59 |
| 9 | 0.09 | 0 | -164 | -43 |
| 10 | 0.17 | 0 | -138 | -31 |
| 11 | 0.26 | 0 | -112 | -20 |
| 12 | 0.34 | 0 | -86 | -11 |
| 13 | 0.43 | 0 | -58 | -5 |
| 14 | 0.51 | 0 | -30 | -1 |
| 15 | 0.60 | 0 | 0 | 0 |

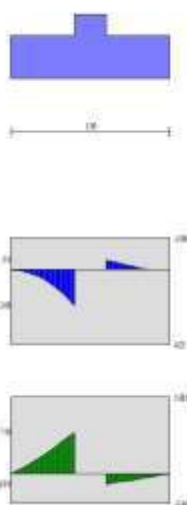


Fig. 35 - Fondazione

Verifiche strutturali

Verifiche a flessione

Elementi calcolati a trave

Simbologia adottata

| | |
|-----|-----------------------------------------------------------------------------------|
| n° | indice sezione |
| B | larghezza sezione espresso in [cm] |
| H | altezza sezione espressa in [cm] |
| Afi | area ferri inferiori espresso in [cmq] |
| Afs | area ferri superiori espressa in [cmq] |
| M | momento agente espressa in [kgm] |
| N | sforzo normale agente espressa in [kg] |
| Mrd | momento resistente espresso in [kgm] |
| Nrd | sforzo normale resistente espresso in [kg] |
| FS | fattore di sicurezza (rapporto tra sollecitazione ultima e sollecitazione agente) |

Paramento

Combinazione n° 1 - STR (A1-M1-R3)

| n° | Y [m] | B [cm] | H [cm] | Afi [cmq] | Afs [cmq] | M [kgm] | N [kg] | Mrd [kgm] | Nrd [kg] | FS |
|----|----------|-----------|-----------|--------------|--------------|------------|-----------|--------------|-------------|------------|
| 1 | 0.00 | 100 | 30 | 8.04 | 8.04 | 0 | 0 | 0 | 0 | 100000.000 |
| 2 | -0.10 | 100 | 30 | 8.04 | 8.04 | 1 | 72 | 7987 | 72 | 7517.669 |
| 3 | -0.19 | 100 | 30 | 8.04 | 8.04 | 7 | 144 | 7995 | 144 | 1214.101 |
| 4 | -0.29 | 100 | 30 | 8.04 | 8.04 | 17 | 216 | 8004 | 216 | 481.629 |
| 5 | -0.38 | 100 | 30 | 8.04 | 8.04 | 30 | 288 | 8013 | 288 | 266.906 |

Relazione Geotecnica e delle Fondazioni

| n° | Y [m] | B [cm] | H [cm] | Afi [cmq] | Afs [cmq] | M [kgm] | N [kg] | Mrd [kgm] | Nrd [kg] | FS |
|----|----------|-----------|-----------|--------------|--------------|------------|-----------|--------------|-------------|---------|
| 6 | -0.48 | 100 | 30 | 8.04 | 8.04 | 46 | 361 | 8022 | 361 | 175.762 |
| 7 | -0.58 | 100 | 30 | 8.04 | 8.04 | 62 | 433 | 8030 | 433 | 128.859 |
| 8 | -0.67 | 100 | 30 | 8.04 | 8.04 | 79 | 505 | 8039 | 505 | 101.544 |
| 9 | -0.77 | 100 | 30 | 8.04 | 8.04 | 96 | 577 | 8048 | 577 | 83.813 |
| 10 | -0.87 | 100 | 30 | 8.04 | 8.04 | 113 | 649 | 8057 | 649 | 71.373 |
| 11 | -0.96 | 100 | 30 | 8.04 | 8.04 | 130 | 721 | 8065 | 721 | 62.009 |
| 12 | -1.06 | 100 | 30 | 8.04 | 8.04 | 148 | 793 | 8074 | 793 | 54.407 |
| 13 | -1.15 | 100 | 30 | 8.04 | 8.04 | 169 | 865 | 8083 | 865 | 47.891 |
| 14 | -1.24 | 100 | 30 | 8.04 | 8.04 | 192 | 938 | 8092 | 938 | 42.114 |

Combinazione n° 2 - STR (A1-M1-R3) H + V

| n° | Y [m] | B [cm] | H [cm] | Afi [cmq] | Afs [cmq] | M [kgm] | N [kg] | Mrd [kgm] | Nrd [kg] | FS |
|----|----------|-----------|-----------|--------------|--------------|------------|-----------|--------------|-------------|------------|
| 1 | 0.00 | 100 | 30 | 8.04 | 8.04 | 0 | 0 | 0 | 0 | 100000.000 |
| 2 | -0.10 | 100 | 30 | 8.04 | 8.04 | 1 | 76 | 0 | 0 | 100000.000 |
| 3 | -0.19 | 100 | 30 | 8.04 | 8.04 | 2 | 152 | 7996 | 152 | 3384.525 |
| 4 | -0.29 | 100 | 30 | 8.04 | 8.04 | 5 | 228 | 8005 | 228 | 1505.968 |
| 5 | -0.38 | 100 | 30 | 8.04 | 8.04 | 9 | 304 | 8015 | 304 | 848.083 |
| 6 | -0.48 | 100 | 30 | 8.04 | 8.04 | 15 | 380 | 8024 | 380 | 543.398 |
| 7 | -0.58 | 100 | 30 | 8.04 | 8.04 | 21 | 456 | 8033 | 456 | 377.793 |
| 8 | -0.67 | 100 | 30 | 8.04 | 8.04 | 29 | 532 | 8042 | 532 | 277.881 |
| 9 | -0.77 | 100 | 30 | 8.04 | 8.04 | 38 | 608 | 8052 | 608 | 212.997 |
| 10 | -0.87 | 100 | 30 | 8.04 | 8.04 | 48 | 684 | 8061 | 684 | 168.487 |
| 11 | -0.96 | 100 | 30 | 8.04 | 8.04 | 59 | 760 | 8070 | 760 | 136.630 |
| 12 | -1.06 | 100 | 30 | 8.04 | 8.04 | 71 | 836 | 8079 | 836 | 113.046 |
| 13 | -1.15 | 100 | 30 | 8.04 | 8.04 | 85 | 912 | 8088 | 912 | 94.945 |
| 14 | -1.24 | 100 | 30 | 8.04 | 8.04 | 101 | 988 | 8098 | 988 | 80.412 |

Combinazione n° 3 - STR (A1-M1-R3) H - V

| n° | Y [m] | B [cm] | H [cm] | Afi [cmq] | Afs [cmq] | M [kgm] | N [kg] | Mrd [kgm] | Nrd [kg] | FS |
|----|----------|-----------|-----------|--------------|--------------|------------|-----------|--------------|-------------|------------|
| 1 | 0.00 | 100 | 30 | 8.04 | 8.04 | 0 | 0 | 0 | 0 | 100000.000 |
| 2 | -0.10 | 100 | 30 | 8.04 | 8.04 | 0 | 68 | 0 | 0 | 100000.000 |
| 3 | -0.19 | 100 | 30 | 8.04 | 8.04 | 2 | 136 | 7994 | 136 | 4233.409 |
| 4 | -0.29 | 100 | 30 | 8.04 | 8.04 | 4 | 205 | 8003 | 205 | 1883.464 |
| 5 | -0.38 | 100 | 30 | 8.04 | 8.04 | 8 | 273 | 8011 | 273 | 1060.545 |
| 6 | -0.48 | 100 | 30 | 8.04 | 8.04 | 12 | 341 | 8019 | 341 | 679.451 |
| 7 | -0.58 | 100 | 30 | 8.04 | 8.04 | 17 | 409 | 8027 | 409 | 472.328 |
| 8 | -0.67 | 100 | 30 | 8.04 | 8.04 | 23 | 478 | 8036 | 478 | 347.374 |
| 9 | -0.77 | 100 | 30 | 8.04 | 8.04 | 30 | 546 | 8044 | 546 | 266.233 |
| 10 | -0.87 | 100 | 30 | 8.04 | 8.04 | 38 | 614 | 8052 | 614 | 210.573 |
| 11 | -0.96 | 100 | 30 | 8.04 | 8.04 | 47 | 682 | 8061 | 682 | 170.740 |
| 12 | -1.06 | 100 | 30 | 8.04 | 8.04 | 57 | 751 | 8069 | 751 | 141.251 |
| 13 | -1.15 | 100 | 30 | 8.04 | 8.04 | 68 | 819 | 8077 | 819 | 118.573 |
| 14 | -1.24 | 100 | 30 | 8.04 | 8.04 | 81 | 887 | 8085 | 887 | 100.232 |

Fondazione

Combinazione n° 1 - STR (A1-M1-R3)

| n° | Y [m] | B [cm] | H [cm] | Afi [cmq] | Afs [cmq] | M [kgm] | N [kg] | Mrd [kgm] | Nrd [kg] | FS |
|----|----------|-----------|-----------|--------------|--------------|------------|-----------|--------------|-------------|------------|
| 1 | -0.90 | 100 | 40 | 8.04 | 8.04 | 0 | 0 | 0 | 0 | 100000.000 |
| 2 | -0.80 | 100 | 40 | 8.04 | 8.04 | 5 | 0 | 11100 | 0 | 2356.079 |
| 3 | -0.70 | 100 | 40 | 8.04 | 8.04 | 20 | 0 | 11100 | 0 | 563.165 |
| 4 | -0.60 | 100 | 40 | 8.04 | 8.04 | 46 | 0 | 11100 | 0 | 239.771 |
| 5 | -0.50 | 100 | 40 | 8.04 | 8.04 | 86 | 0 | 11100 | 0 | 129.429 |
| 6 | -0.40 | 100 | 40 | 8.04 | 8.04 | 139 | 0 | 11100 | 0 | 79.622 |
| 7 | -0.30 | 100 | 40 | 8.04 | 8.04 | 209 | 0 | 11100 | 0 | 53.228 |
| 8 | 0.00 | 100 | 40 | 8.04 | 8.04 | -165 | 0 | -11100 | 0 | 67.329 |
| 9 | 0.09 | 100 | 40 | 8.04 | 8.04 | -122 | 0 | -11100 | 0 | 91.130 |
| 10 | 0.17 | 100 | 40 | 8.04 | 8.04 | -85 | 0 | -11100 | 0 | 129.934 |
| 11 | 0.26 | 100 | 40 | 8.04 | 8.04 | -55 | 0 | -11100 | 0 | 200.924 |
| 12 | 0.34 | 100 | 40 | 8.04 | 8.04 | -31 | 0 | -11100 | 0 | 353.544 |
| 13 | 0.43 | 100 | 40 | 8.04 | 8.04 | -14 | 0 | -11100 | 0 | 787.418 |
| 14 | 0.51 | 100 | 40 | 8.04 | 8.04 | -4 | 0 | -11100 | 0 | 3118.094 |
| 15 | 0.60 | 100 | 40 | 8.04 | 8.04 | 0 | 0 | 0 | 0 | 100000.000 |

Combinazione n° 2 - STR (A1-M1-R3) H + V

| n° | Y [m] | B [cm] | H [cm] | Afi [cmq] | Afs [cmq] | M [kgm] | N [kg] | Mrd [kgm] | Nrd [kg] | FS |
|----|----------|-----------|-----------|--------------|--------------|------------|-----------|--------------|-------------|------------|
| 1 | -0.90 | 100 | 40 | 8.04 | 8.04 | 0 | 0 | 0 | 0 | 100000.000 |
| 2 | -0.80 | 100 | 40 | 8.04 | 8.04 | 12 | 0 | 11100 | 0 | 909.058 |
| 3 | -0.70 | 100 | 40 | 8.04 | 8.04 | 49 | 0 | 11100 | 0 | 228.765 |
| 4 | -0.60 | 100 | 40 | 8.04 | 8.04 | 108 | 0 | 11100 | 0 | 102.349 |
| 5 | -0.50 | 100 | 40 | 8.04 | 8.04 | 192 | 0 | 11100 | 0 | 57.957 |
| 6 | -0.40 | 100 | 40 | 8.04 | 8.04 | 297 | 0 | 11100 | 0 | 37.342 |
| 7 | -0.30 | 100 | 40 | 8.04 | 8.04 | 425 | 0 | 11100 | 0 | 26.108 |
| 8 | 0.00 | 100 | 40 | 8.04 | 8.04 | -155 | 0 | -11100 | 0 | 71.668 |
| 9 | 0.09 | 100 | 40 | 8.04 | 8.04 | -120 | 0 | -11100 | 0 | 92.577 |
| 10 | 0.17 | 100 | 40 | 8.04 | 8.04 | -88 | 0 | -11100 | 0 | 126.435 |

| | | | |
|--------------------------------------|----------------------------------------------------------------------------------------------------------------------|----------------------------------------------------------------------------------|-------------|
| COMMITTENTE: Mecca Antonio | CODICE COMMESSA: | NOME ELABORATO: S1.5 - Relazione Geotecnica e delle Fondazioni | CONSULENTE: |
| DATA: Aprile 2023 | TITOLO: Lavori ultimazione di un fabbricato adibito ad albergo-ristorante– C.da Case Nuove Chicone Avigliano (PZ) | | |

| n° | Y [m] | B [cm] | H [cm] | Afi [cmq] | Afs [cmq] | M [kgm] | N [kg] | Mrd [kgm] | Nrd [kg] | FS |
|----|----------|-----------|-----------|--------------|--------------|------------|-----------|--------------|-------------|------------|
| 11 | 0.26 | 100 | 40 | 8.04 | 8.04 | -59 | 0 | -11100 | 0 | 187.787 |
| 12 | 0.34 | 100 | 40 | 8.04 | 8.04 | -35 | 0 | -11100 | 0 | 318.114 |
| 13 | 0.43 | 100 | 40 | 8.04 | 8.04 | -16 | 0 | -11100 | 0 | 683.551 |
| 14 | 0.51 | 100 | 40 | 8.04 | 8.04 | -4 | 0 | -11100 | 0 | 2616.475 |
| 15 | 0.60 | 100 | 40 | 8.04 | 8.04 | 0 | 0 | 0 | 0 | 100000.000 |

Combinazione n° 3 - STR (A1-M1-R3) H - V

| n° | Y [m] | B [cm] | H [cm] | Afi [cmq] | Afs [cmq] | M [kgm] | N [kg] | Mrd [kgm] | Nrd [kg] | FS |
|----|----------|-----------|-----------|--------------|--------------|------------|-----------|--------------|-------------|------------|
| 1 | -0.90 | 100 | 40 | 8.04 | 8.04 | 0 | 0 | 0 | 0 | 100000.000 |
| 2 | -0.80 | 100 | 40 | 8.04 | 8.04 | 9 | 0 | 11100 | 0 | 1183.342 |
| 3 | -0.70 | 100 | 40 | 8.04 | 8.04 | 37 | 0 | 11100 | 0 | 296.732 |
| 4 | -0.60 | 100 | 40 | 8.04 | 8.04 | 84 | 0 | 11100 | 0 | 132.281 |
| 5 | -0.50 | 100 | 40 | 8.04 | 8.04 | 149 | 0 | 11100 | 0 | 74.635 |
| 6 | -0.40 | 100 | 40 | 8.04 | 8.04 | 232 | 0 | 11100 | 0 | 47.913 |
| 7 | -0.30 | 100 | 40 | 8.04 | 8.04 | 333 | 0 | 11100 | 0 | 33.375 |
| 8 | 0.00 | 100 | 40 | 8.04 | 8.04 | -186 | 0 | -11100 | 0 | 59.692 |
| 9 | 0.09 | 100 | 40 | 8.04 | 8.04 | -142 | 0 | -11100 | 0 | 78.414 |
| 10 | 0.17 | 100 | 40 | 8.04 | 8.04 | -102 | 0 | -11100 | 0 | 108.806 |
| 11 | 0.26 | 100 | 40 | 8.04 | 8.04 | -68 | 0 | -11100 | 0 | 163.979 |
| 12 | 0.34 | 100 | 40 | 8.04 | 8.04 | -39 | 0 | -11100 | 0 | 281.532 |
| 13 | 0.43 | 100 | 40 | 8.04 | 8.04 | -18 | 0 | -11100 | 0 | 612.466 |
| 14 | 0.51 | 100 | 40 | 8.04 | 8.04 | -5 | 0 | -11100 | 0 | 2371.323 |
| 15 | 0.60 | 100 | 40 | 8.04 | 8.04 | 0 | 0 | 0 | 0 | 100000.000 |

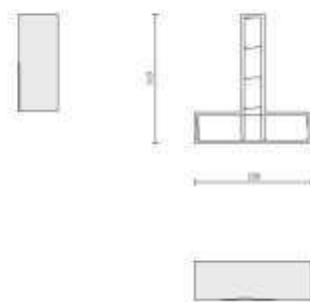


Fig. 36 - Paramento (Inviluppo)

Verifiche a taglio

Simbologia adottata

| | |
|------------------|-------------------------------------------------------------------------------------------------------------------------------------------------------------------------------------------------|
| n° (o Is) | indice sezione |
| Y | ordinata sezione espressa in [m] |
| B | larghezza sezione espressa in [cm] |
| H | altezza sezione espressa in [cm] |
| A _{sw} | area ferri a taglio espressa in [cmq] |
| cotgθ | inclinazione delle bielle compresse, θ inclinazione dei puntoni di calcestruzzo |
| V _{Rcd} | resistenza di progetto a 'taglio compressione' espressa in [kg] |
| V _{Rsd} | resistenza di progetto a 'taglio trazione' espressa in [kg] |
| V _{Rd} | resistenza di progetto a taglio espressa in [kg]. Per elementi con armature trasversali resistenti al taglio (A _{sw} >0.0) V _{Rd} =min(V _{Rcd} , V _{Rsd}). |
| T | taglio agente espressa in [kg] |
| FS | fattore di sicurezza (rapporto tra sollecitazione resistente e sollecitazione agente) |

Paramento

Combinazione n° 1 - STR (A1-M1-R3)

| n° | Y | B | H | A _{sw} | s | cotθ | V _{Rcd} | V _{Rsd} | V _{Rd} | T | FS |
|----|---|---|---|-----------------|---|------|------------------|------------------|-----------------|---|----|
|----|---|---|---|-----------------|---|------|------------------|------------------|-----------------|---|----|

Relazione Geotecnica e delle Fondazioni

| | [m] | [cm] | [cm] | [cmq] | [cm] | | [kg] | [kg] | [kg] | [kg] | |
|----|-------|------|------|-------|------|----|------|------|-------|------|---------|
| 1 | 0.00 | 100 | 30 | 0.00 | 0.00 | -- | 0 | 0 | 15214 | 0 | 100.000 |
| 2 | -0.10 | 100 | 30 | 0.00 | 0.00 | -- | 0 | 0 | 15223 | 31 | 489.711 |
| 3 | -0.19 | 100 | 30 | 0.00 | 0.00 | -- | 0 | 0 | 15233 | 83 | 183.912 |
| 4 | -0.29 | 100 | 30 | 0.00 | 0.00 | -- | 0 | 0 | 15243 | 124 | 123.059 |
| 5 | -0.38 | 100 | 30 | 0.00 | 0.00 | -- | 0 | 0 | 15252 | 153 | 99.752 |
| 6 | -0.48 | 100 | 30 | 0.00 | 0.00 | -- | 0 | 0 | 15262 | 170 | 89.808 |
| 7 | -0.58 | 100 | 30 | 0.00 | 0.00 | -- | 0 | 0 | 15272 | 175 | 87.216 |
| 8 | -0.67 | 100 | 30 | 0.00 | 0.00 | -- | 0 | 0 | 15282 | 175 | 87.191 |
| 9 | -0.77 | 100 | 30 | 0.00 | 0.00 | -- | 0 | 0 | 15291 | 175 | 87.247 |
| 10 | -0.87 | 100 | 30 | 0.00 | 0.00 | -- | 0 | 0 | 15301 | 176 | 87.055 |
| 11 | -0.96 | 100 | 30 | 0.00 | 0.00 | -- | 0 | 0 | 15311 | 183 | 83.562 |
| 12 | -1.06 | 100 | 30 | 0.00 | 0.00 | -- | 0 | 0 | 15321 | 200 | 76.733 |
| 13 | -1.15 | 100 | 30 | 0.00 | 0.00 | -- | 0 | 0 | 15330 | 226 | 67.912 |
| 14 | -1.24 | 100 | 30 | 0.00 | 0.00 | -- | 0 | 0 | 15340 | 262 | 58.589 |

Combinazione n° 2 - STR (A1-M1-R3) H + V

| n° | Y [m] | B [cm] | H [cm] | A _{sw} [cmq] | s [cm] | cotθ | V _{Rcd} [kg] | V _{Rsd} [kg] | V _{Rd} [kg] | T [kg] | FS |
|----|----------|-----------|-----------|--------------------------|-----------|------|--------------------------|--------------------------|-------------------------|-----------|----------|
| 1 | 0.00 | 100 | 30 | 0.00 | 0.00 | -- | 0 | 0 | 15214 | 0 | 100.000 |
| 2 | -0.10 | 100 | 30 | 0.00 | 0.00 | -- | 0 | 0 | 15224 | 12 | 1239.175 |
| 3 | -0.19 | 100 | 30 | 0.00 | 0.00 | -- | 0 | 0 | 15234 | 25 | 620.005 |
| 4 | -0.29 | 100 | 30 | 0.00 | 0.00 | -- | 0 | 0 | 15244 | 37 | 413.615 |
| 5 | -0.38 | 100 | 30 | 0.00 | 0.00 | -- | 0 | 0 | 15255 | 49 | 310.420 |
| 6 | -0.48 | 100 | 30 | 0.00 | 0.00 | -- | 0 | 0 | 15265 | 61 | 248.503 |
| 7 | -0.58 | 100 | 30 | 0.00 | 0.00 | -- | 0 | 0 | 15275 | 74 | 207.225 |
| 8 | -0.67 | 100 | 30 | 0.00 | 0.00 | -- | 0 | 0 | 15285 | 86 | 177.741 |
| 9 | -0.77 | 100 | 30 | 0.00 | 0.00 | -- | 0 | 0 | 15296 | 98 | 155.628 |
| 10 | -0.87 | 100 | 30 | 0.00 | 0.00 | -- | 0 | 0 | 15306 | 111 | 138.428 |
| 11 | -0.96 | 100 | 30 | 0.00 | 0.00 | -- | 0 | 0 | 15316 | 123 | 124.669 |
| 12 | -1.06 | 100 | 30 | 0.00 | 0.00 | -- | 0 | 0 | 15326 | 135 | 113.348 |
| 13 | -1.15 | 100 | 30 | 0.00 | 0.00 | -- | 0 | 0 | 15337 | 151 | 101.493 |
| 14 | -1.24 | 100 | 30 | 0.00 | 0.00 | -- | 0 | 0 | 15347 | 172 | 89.007 |

Combinazione n° 3 - STR (A1-M1-R3) H - V

| n° | Y [m] | B [cm] | H [cm] | A _{sw} [cmq] | s [cm] | cotθ | V _{Rcd} [kg] | V _{Rsd} [kg] | V _{Rd} [kg] | T [kg] | FS |
|----|----------|-----------|-----------|--------------------------|-----------|------|--------------------------|--------------------------|-------------------------|-----------|----------|
| 1 | 0.00 | 100 | 30 | 0.00 | 0.00 | -- | 0 | 0 | 15214 | 0 | 100.000 |
| 2 | -0.10 | 100 | 30 | 0.00 | 0.00 | -- | 0 | 0 | 15223 | 10 | 1550.235 |
| 3 | -0.19 | 100 | 30 | 0.00 | 0.00 | -- | 0 | 0 | 15232 | 20 | 775.587 |
| 4 | -0.29 | 100 | 30 | 0.00 | 0.00 | -- | 0 | 0 | 15241 | 29 | 517.370 |
| 5 | -0.38 | 100 | 30 | 0.00 | 0.00 | -- | 0 | 0 | 15250 | 39 | 388.262 |
| 6 | -0.48 | 100 | 30 | 0.00 | 0.00 | -- | 0 | 0 | 15260 | 49 | 310.798 |
| 7 | -0.58 | 100 | 30 | 0.00 | 0.00 | -- | 0 | 0 | 15269 | 59 | 259.154 |
| 8 | -0.67 | 100 | 30 | 0.00 | 0.00 | -- | 0 | 0 | 15278 | 69 | 222.266 |
| 9 | -0.77 | 100 | 30 | 0.00 | 0.00 | -- | 0 | 0 | 15287 | 79 | 194.600 |
| 10 | -0.87 | 100 | 30 | 0.00 | 0.00 | -- | 0 | 0 | 15296 | 88 | 173.082 |
| 11 | -0.96 | 100 | 30 | 0.00 | 0.00 | -- | 0 | 0 | 15306 | 98 | 155.868 |
| 12 | -1.06 | 100 | 30 | 0.00 | 0.00 | -- | 0 | 0 | 15315 | 108 | 141.685 |
| 13 | -1.15 | 100 | 30 | 0.00 | 0.00 | -- | 0 | 0 | 15324 | 122 | 126.102 |
| 14 | -1.24 | 100 | 30 | 0.00 | 0.00 | -- | 0 | 0 | 15333 | 140 | 109.237 |

Fondazione

Combinazione n° 1 - STR (A1-M1-R3)

| n° | Y [m] | B [cm] | H [cm] | A _{sw} [cmq] | s [cm] | cotθ | V _{Rcd} [kg] | V _{Rsd} [kg] | V _{Rd} [kg] | T [kg] | FS |
|----|----------|-----------|-----------|--------------------------|-----------|------|--------------------------|--------------------------|-------------------------|-----------|---------|
| 1 | -0.90 | 100 | 40 | 0.00 | 0.00 | -- | 0 | 0 | 17504 | 0 | 100.000 |
| 2 | -0.80 | 100 | 40 | 0.00 | 0.00 | -- | 0 | 0 | 17504 | -96 | 181.596 |
| 3 | -0.70 | 100 | 40 | 0.00 | 0.00 | -- | 0 | 0 | 17504 | -206 | 85.071 |
| 4 | -0.60 | 100 | 40 | 0.00 | 0.00 | -- | 0 | 0 | 17504 | -328 | 53.349 |
| 5 | -0.50 | 100 | 40 | 0.00 | 0.00 | -- | 0 | 0 | 17504 | -463 | 37.771 |
| 6 | -0.40 | 100 | 40 | 0.00 | 0.00 | -- | 0 | 0 | 17504 | -612 | 28.614 |
| 7 | -0.30 | 100 | 40 | 0.00 | 0.00 | -- | 0 | 0 | 17504 | -773 | 22.644 |
| 8 | 0.00 | 100 | 40 | 0.00 | 0.00 | -- | 0 | 0 | 17504 | -545 | 32.146 |
| 9 | 0.09 | 100 | 40 | 0.00 | 0.00 | -- | 0 | 0 | 17504 | -462 | 37.903 |
| 10 | 0.17 | 100 | 40 | 0.00 | 0.00 | -- | 0 | 0 | 17504 | -388 | 45.083 |
| 11 | 0.26 | 100 | 40 | 0.00 | 0.00 | -- | 0 | 0 | 17504 | -316 | 55.461 |
| 12 | 0.34 | 100 | 40 | 0.00 | 0.00 | -- | 0 | 0 | 17504 | -240 | 72.796 |
| 13 | 0.43 | 100 | 40 | 0.00 | 0.00 | -- | 0 | 0 | 17504 | -163 | 107.518 |
| 14 | 0.51 | 100 | 40 | 0.00 | 0.00 | -- | 0 | 0 | 17504 | -83 | 211.786 |
| 15 | 0.60 | 100 | 40 | 0.00 | 0.00 | -- | 0 | 0 | 17504 | 0 | 100.000 |

Combinazione n° 2 - STR (A1-M1-R3) H + V

| n° | Y [m] | B [cm] | H [cm] | A _{sw} [cmq] | s [cm] | cotθ | V _{Rcd} [kg] | V _{Rsd} [kg] | V _{Rd} [kg] | T [kg] | FS |
|----|----------|-----------|-----------|--------------------------|-----------|------|--------------------------|--------------------------|-------------------------|-----------|---------|
| 1 | -0.90 | 100 | 40 | 0.00 | 0.00 | -- | 0 | 0 | 17504 | 0 | 100.000 |
| 2 | -0.80 | 100 | 40 | 0.00 | 0.00 | -- | 0 | 0 | 17504 | -243 | 71.910 |
| 3 | -0.70 | 100 | 40 | 0.00 | 0.00 | -- | 0 | 0 | 17504 | -482 | 36.314 |
| 4 | -0.60 | 100 | 40 | 0.00 | 0.00 | -- | 0 | 0 | 17504 | -716 | 24.453 |
| 5 | -0.50 | 100 | 40 | 0.00 | 0.00 | -- | 0 | 0 | 17504 | -945 | 18.526 |
| 6 | -0.40 | 100 | 40 | 0.00 | 0.00 | -- | 0 | 0 | 17504 | -1169 | 14.973 |

| | | | |
|--------------------------------------|------------------------------------------------------------------------------------------------------------------------------|----------------------------------------------------------------------------------|-------------|
| COMMITTENTE: Mecca Antonio | CODICE COMMESSA: | NOME ELABORATO: S1.5 - Relazione Geotecnica e delle Fondazioni | CONSULENTE: |
| DATA: Aprile 2023 | TITOLO: Lavori ultimazione di un fabbricato adibito ad albergo-ristorante– C.da Case Nuove Chicone Avigliano (PZ) | | |

| n° | Y [m] | B [cm] | H [cm] | A _{sw} [cmq] | s [cm] | cotθ | V _{Rcd} [kg] | V _{Rsd} [kg] | V _{Rd} [kg] | T [kg] | FS |
|----|----------|-----------|-----------|--------------------------|-----------|------|--------------------------|--------------------------|-------------------------|-----------|---------|
| 7 | -0.30 | 100 | 40 | 0.00 | 0.00 | -- | 0 | 0 | 17504 | -1388 | 12.607 |
| 8 | 0.00 | 100 | 40 | 0.00 | 0.00 | -- | 0 | 0 | 17504 | -424 | 41.316 |
| 9 | 0.09 | 100 | 40 | 0.00 | 0.00 | -- | 0 | 0 | 17504 | -392 | 44.658 |
| 10 | 0.17 | 100 | 40 | 0.00 | 0.00 | -- | 0 | 0 | 17504 | -356 | 49.109 |
| 11 | 0.26 | 100 | 40 | 0.00 | 0.00 | -- | 0 | 0 | 17504 | -311 | 56.334 |
| 12 | 0.34 | 100 | 40 | 0.00 | 0.00 | -- | 0 | 0 | 17504 | -252 | 69.400 |
| 13 | 0.43 | 100 | 40 | 0.00 | 0.00 | -- | 0 | 0 | 17504 | -181 | 96.743 |
| 14 | 0.51 | 100 | 40 | 0.00 | 0.00 | -- | 0 | 0 | 17504 | -97 | 180.715 |
| 15 | 0.60 | 100 | 40 | 0.00 | 0.00 | -- | 0 | 0 | 17504 | 0 | 100.000 |

Combinazione n° 3 - STR (A1-M1-R3) H - V

| n° | Y [m] | B [cm] | H [cm] | A _{sw} [cmq] | s [cm] | cotθ | V _{Rcd} [kg] | V _{Rsd} [kg] | V _{Rd} [kg] | T [kg] | FS |
|----|----------|-----------|-----------|--------------------------|-----------|------|--------------------------|--------------------------|-------------------------|-----------|---------|
| 1 | -0.90 | 100 | 40 | 0.00 | 0.00 | -- | 0 | 0 | 17504 | 0 | 100.000 |
| 2 | -0.80 | 100 | 40 | 0.00 | 0.00 | -- | 0 | 0 | 17504 | -187 | 93.441 |
| 3 | -0.70 | 100 | 40 | 0.00 | 0.00 | -- | 0 | 0 | 17504 | -373 | 46.934 |
| 4 | -0.60 | 100 | 40 | 0.00 | 0.00 | -- | 0 | 0 | 17504 | -557 | 31.432 |
| 5 | -0.50 | 100 | 40 | 0.00 | 0.00 | -- | 0 | 0 | 17504 | -739 | 23.683 |
| 6 | -0.40 | 100 | 40 | 0.00 | 0.00 | -- | 0 | 0 | 17504 | -920 | 19.034 |
| 7 | -0.30 | 100 | 40 | 0.00 | 0.00 | -- | 0 | 0 | 17504 | -1098 | 15.935 |
| 8 | 0.00 | 100 | 40 | 0.00 | 0.00 | -- | 0 | 0 | 17504 | -546 | 32.065 |
| 9 | 0.09 | 100 | 40 | 0.00 | 0.00 | -- | 0 | 0 | 17504 | -490 | 35.732 |
| 10 | 0.17 | 100 | 40 | 0.00 | 0.00 | -- | 0 | 0 | 17504 | -432 | 40.489 |
| 11 | 0.26 | 100 | 40 | 0.00 | 0.00 | -- | 0 | 0 | 17504 | -367 | 47.712 |
| 12 | 0.34 | 100 | 40 | 0.00 | 0.00 | -- | 0 | 0 | 17504 | -291 | 60.170 |
| 13 | 0.43 | 100 | 40 | 0.00 | 0.00 | -- | 0 | 0 | 17504 | -204 | 85.618 |
| 14 | 0.51 | 100 | 40 | 0.00 | 0.00 | -- | 0 | 0 | 17504 | -107 | 162.867 |
| 15 | 0.60 | 100 | 40 | 0.00 | 0.00 | -- | 0 | 0 | 17504 | 0 | 100.000 |

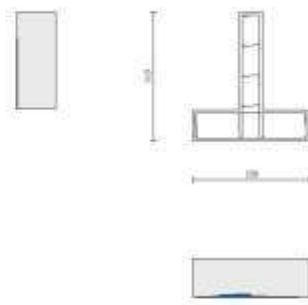


Fig. 37 - Paramento (Inviluppo)

Verifica delle tensioni

Simbologia adottata

| | |
|-----------------|--------------------------------------------------------|
| n° | indice sezione |
| Y | ordinata sezione, espressa in [m] |
| B | larghezza sezione, espressa in [cm] |
| H | altezza sezione, espressa in [cm] |
| A _{fi} | area ferri inferiori, espressa in [cmq] |
| A _{fs} | area ferri superiori, espressa in [cmq] |
| M | momento agente, espressa in [kgm] |
| N | sforzo normale agente, espressa in [kg] |
| σ _c | tensione di compressione nel cls, espressa in [kg/cmq] |
| σ _{fi} | tensione nei ferri inferiori, espressa in [kg/cmq] |
| σ _{fs} | tensione nei ferri superiori, espressa in [kg/cmq] |

Combinazioni SLER

Relazione Geotecnica e delle Fondazioni

Paramento

Combinazione n° 10 - SLER

Tensione massima di compressione nel calcestruzzo 152.34 [kg/cmq]
Tensione massima di trazione dell'acciaio 3670.92 [kg/cmq]

| n° | Y [m] | B [cm] | H [cm] | Afi [cmq] | Afs [cmq] | M [kgm] | N [kg] | σc [kg/cmq] | σfi [kg/cmq] | σfs [kg/cmq] |
|----|----------|-----------|-----------|--------------|--------------|------------|-----------|----------------|-----------------|-----------------|
| 1 | 0.00 | 100 | 30 | 8.04 | 8.04 | 0 | 0 | 0.00 | 0.00 | 0.00 |
| 2 | -0.10 | 100 | 30 | 8.04 | 8.04 | 1 | 72 | 0.03 | 0.28 | 0.39 |
| 3 | -0.19 | 100 | 30 | 8.04 | 8.04 | 6 | 144 | 0.08 | 0.24 | 1.09 |
| 4 | -0.29 | 100 | 30 | 8.04 | 8.04 | 18 | 216 | 0.18 | 0.53 | 2.28 |
| 5 | -0.38 | 100 | 30 | 8.04 | 8.04 | 35 | 288 | 0.36 | 3.64 | 4.12 |
| 6 | -0.48 | 100 | 30 | 8.04 | 8.04 | 56 | 361 | 0.60 | 9.49 | 6.36 |
| 7 | -0.58 | 100 | 30 | 8.04 | 8.04 | 80 | 433 | 0.88 | 17.33 | 8.81 |
| 8 | -0.67 | 100 | 30 | 8.04 | 8.04 | 106 | 505 | 1.19 | 26.48 | 11.40 |
| 9 | -0.77 | 100 | 30 | 8.04 | 8.04 | 134 | 577 | 1.51 | 36.35 | 14.04 |
| 10 | -0.87 | 100 | 30 | 8.04 | 8.04 | 161 | 649 | 1.83 | 46.45 | 16.70 |
| 11 | -0.96 | 100 | 30 | 8.04 | 8.04 | 189 | 721 | 2.15 | 56.59 | 19.34 |
| 12 | -1.06 | 100 | 30 | 8.04 | 8.04 | 217 | 793 | 2.47 | 66.76 | 21.97 |
| 13 | -1.15 | 100 | 30 | 8.04 | 8.04 | 245 | 865 | 2.79 | 77.00 | 24.61 |
| 14 | -1.24 | 100 | 30 | 8.04 | 8.04 | 274 | 938 | 3.12 | 87.56 | 27.29 |

Fondazione

Combinazione n° 10 - SLER

Tensione massima di compressione nel calcestruzzo 152.34 [kg/cmq]
Tensione massima di trazione dell'acciaio 3670.92 [kg/cmq]

| n° | Y [m] | B [cm] | H [cm] | Afi [cmq] | Afs [cmq] | M [kgm] | N [kg] | σc [kg/cmq] | σfi [kg/cmq] | σfs [kg/cmq] |
|----|----------|-----------|-----------|--------------|--------------|------------|-----------|----------------|-----------------|-----------------|
| 1 | -0.90 | 100 | 40 | 8.04 | 8.04 | 0 | 0 | 0.00 | 0.00 | 0.00 |
| 2 | -0.80 | 100 | 40 | 8.04 | 8.04 | 5 | 0 | 0.03 | 1.81 | 0.25 |
| 3 | -0.70 | 100 | 40 | 8.04 | 8.04 | 20 | 0 | 0.14 | 7.50 | 1.03 |
| 4 | -0.60 | 100 | 40 | 8.04 | 8.04 | 47 | 0 | 0.31 | 17.48 | 2.39 |
| 5 | -0.50 | 100 | 40 | 8.04 | 8.04 | 87 | 0 | 0.58 | 32.17 | 4.41 |
| 6 | -0.40 | 100 | 40 | 8.04 | 8.04 | 140 | 0 | 0.94 | 51.96 | 7.12 |
| 7 | -0.30 | 100 | 40 | 8.04 | 8.04 | 208 | 0 | 1.39 | 77.28 | 10.59 |
| 8 | 0.00 | 100 | 40 | 8.04 | 8.04 | -59 | 0 | 0.39 | 3.00 | 21.87 |
| 9 | 0.09 | 100 | 40 | 8.04 | 8.04 | -43 | 0 | 0.29 | 2.21 | 16.12 |
| 10 | 0.17 | 100 | 40 | 8.04 | 8.04 | -31 | 0 | 0.20 | 1.55 | 11.33 |
| 11 | 0.26 | 100 | 40 | 8.04 | 8.04 | -20 | 0 | 0.13 | 1.01 | 7.35 |
| 12 | 0.34 | 100 | 40 | 8.04 | 8.04 | -11 | 0 | 0.08 | 0.57 | 4.19 |
| 13 | 0.43 | 100 | 40 | 8.04 | 8.04 | -5 | 0 | 0.03 | 0.26 | 1.89 |
| 14 | 0.51 | 100 | 40 | 8.04 | 8.04 | -1 | 0 | 0.01 | 0.07 | 0.48 |
| 15 | 0.60 | 100 | 40 | 8.04 | 8.04 | 0 | 0 | 0.00 | 0.00 | 0.00 |

Combinazioni SLEF

Paramento

Combinazione n° 11 - SLEF

Tensione massima di compressione nel calcestruzzo 253.91 [kg/cmq]
Tensione massima di trazione dell'acciaio 4588.65 [kg/cmq]

| n° | Y [m] | B [cm] | H [cm] | Afi [cmq] | Afs [cmq] | M [kgm] | N [kg] | σc [kg/cmq] | σfi [kg/cmq] | σfs [kg/cmq] |
|----|----------|-----------|-----------|--------------|--------------|------------|-----------|----------------|-----------------|-----------------|
| 1 | 0.00 | 100 | 30 | 8.04 | 8.04 | 0 | 0 | 0.00 | 0.00 | 0.00 |
| 2 | -0.10 | 100 | 30 | 8.04 | 8.04 | 1 | 72 | 0.03 | 0.28 | 0.39 |
| 3 | -0.19 | 100 | 30 | 8.04 | 8.04 | 6 | 144 | 0.08 | 0.24 | 1.09 |
| 4 | -0.29 | 100 | 30 | 8.04 | 8.04 | 18 | 216 | 0.18 | 0.53 | 2.28 |
| 5 | -0.38 | 100 | 30 | 8.04 | 8.04 | 35 | 288 | 0.36 | 3.64 | 4.12 |
| 6 | -0.48 | 100 | 30 | 8.04 | 8.04 | 56 | 361 | 0.60 | 9.49 | 6.36 |
| 7 | -0.58 | 100 | 30 | 8.04 | 8.04 | 80 | 433 | 0.88 | 17.33 | 8.81 |
| 8 | -0.67 | 100 | 30 | 8.04 | 8.04 | 106 | 505 | 1.19 | 26.48 | 11.40 |
| 9 | -0.77 | 100 | 30 | 8.04 | 8.04 | 134 | 577 | 1.51 | 36.35 | 14.04 |
| 10 | -0.87 | 100 | 30 | 8.04 | 8.04 | 161 | 649 | 1.83 | 46.45 | 16.70 |
| 11 | -0.96 | 100 | 30 | 8.04 | 8.04 | 189 | 721 | 2.15 | 56.59 | 19.34 |
| 12 | -1.06 | 100 | 30 | 8.04 | 8.04 | 217 | 793 | 2.47 | 66.76 | 21.97 |
| 13 | -1.15 | 100 | 30 | 8.04 | 8.04 | 245 | 865 | 2.79 | 77.00 | 24.61 |

| | | | |
|--------------------------------------|----------------------------------------------------------------------------------------------------------------------|----------------------------------------------------------------------------------|-------------|
| COMMITTENTE: Mecca Antonio | CODICE COMMESSA: | NOME ELABORATO: S1.5 - Relazione Geotecnica e delle Fondazioni | CONSULENTE: |
| DATA: Aprile 2023 | TITOLO: Lavori ultimazione di un fabbricato adibito ad albergo-ristorante– C.da Case Nuove Chicone Avigliano (PZ) | | |

| n° | Y [m] | B [cm] | H [cm] | Afi [cmq] | Afs [cmq] | M [kgm] | N [kg] | σc [kg/cmq] | σfi [kg/cmq] | σfs [kg/cmq] |
|----|----------|-----------|-----------|--------------|--------------|------------|-----------|----------------|-----------------|-----------------|
| 14 | -1.24 | 100 | 30 | 8.04 | 8.04 | 274 | 938 | 3.12 | 87.56 | 27.29 |

Fondazione

Combinazione n° 11 - SLEF

Tensione massima di compressione nel calcestruzzo 253.91 [kg/cmq]
Tensione massima di trazione dell'acciaio 4588.65 [kg/cmq]

| n° | Y [m] | B [cm] | H [cm] | Afi [cmq] | Afs [cmq] | M [kgm] | N [kg] | σc [kg/cmq] | σfi [kg/cmq] | σfs [kg/cmq] |
|----|----------|-----------|-----------|--------------|--------------|------------|-----------|----------------|-----------------|-----------------|
| 1 | -0.90 | 100 | 40 | 8.04 | 8.04 | 0 | 0 | 0.00 | 0.00 | 0.00 |
| 2 | -0.80 | 100 | 40 | 8.04 | 8.04 | 5 | 0 | 0.03 | 1.81 | 0.25 |
| 3 | -0.70 | 100 | 40 | 8.04 | 8.04 | 20 | 0 | 0.14 | 7.50 | 1.03 |
| 4 | -0.60 | 100 | 40 | 8.04 | 8.04 | 47 | 0 | 0.31 | 17.48 | 2.39 |
| 5 | -0.50 | 100 | 40 | 8.04 | 8.04 | 87 | 0 | 0.58 | 32.17 | 4.41 |
| 6 | -0.40 | 100 | 40 | 8.04 | 8.04 | 140 | 0 | 0.94 | 51.96 | 7.12 |
| 7 | -0.30 | 100 | 40 | 8.04 | 8.04 | 208 | 0 | 1.39 | 77.28 | 10.59 |
| 8 | 0.00 | 100 | 40 | 8.04 | 8.04 | -59 | 0 | 0.39 | 3.00 | 21.87 |
| 9 | 0.09 | 100 | 40 | 8.04 | 8.04 | -43 | 0 | 0.29 | 2.21 | 16.12 |
| 10 | 0.17 | 100 | 40 | 8.04 | 8.04 | -31 | 0 | 0.20 | 1.55 | 11.33 |
| 11 | 0.26 | 100 | 40 | 8.04 | 8.04 | -20 | 0 | 0.13 | 1.01 | 7.35 |
| 12 | 0.34 | 100 | 40 | 8.04 | 8.04 | -11 | 0 | 0.08 | 0.57 | 4.19 |
| 13 | 0.43 | 100 | 40 | 8.04 | 8.04 | -5 | 0 | 0.03 | 0.26 | 1.89 |
| 14 | 0.51 | 100 | 40 | 8.04 | 8.04 | -1 | 0 | 0.01 | 0.07 | 0.48 |
| 15 | 0.60 | 100 | 40 | 8.04 | 8.04 | 0 | 0 | 0.00 | 0.00 | 0.00 |

Combinazioni SLEQ

Paramento

Combinazione n° 12 - SLEQ

Tensione massima di compressione nel calcestruzzo 114.26 [kg/cmq]
Tensione massima di trazione dell'acciaio 4588.65 [kg/cmq]

| n° | Y [m] | B [cm] | H [cm] | Afi [cmq] | Afs [cmq] | M [kgm] | N [kg] | σc [kg/cmq] | σfi [kg/cmq] | σfs [kg/cmq] |
|----|----------|-----------|-----------|--------------|--------------|------------|-----------|----------------|-----------------|-----------------|
| 1 | 0.00 | 100 | 30 | 8.04 | 8.04 | 0 | 0 | 0.00 | 0.00 | 0.00 |
| 2 | -0.10 | 100 | 30 | 8.04 | 8.04 | 1 | 72 | 0.03 | 0.28 | 0.39 |
| 3 | -0.19 | 100 | 30 | 8.04 | 8.04 | 6 | 144 | 0.08 | 0.24 | 1.09 |
| 4 | -0.29 | 100 | 30 | 8.04 | 8.04 | 18 | 216 | 0.18 | 0.53 | 2.28 |
| 5 | -0.38 | 100 | 30 | 8.04 | 8.04 | 35 | 288 | 0.36 | 3.64 | 4.12 |
| 6 | -0.48 | 100 | 30 | 8.04 | 8.04 | 56 | 361 | 0.60 | 9.49 | 6.36 |
| 7 | -0.58 | 100 | 30 | 8.04 | 8.04 | 80 | 433 | 0.88 | 17.33 | 8.81 |
| 8 | -0.67 | 100 | 30 | 8.04 | 8.04 | 106 | 505 | 1.19 | 26.48 | 11.40 |
| 9 | -0.77 | 100 | 30 | 8.04 | 8.04 | 134 | 577 | 1.51 | 36.35 | 14.04 |
| 10 | -0.87 | 100 | 30 | 8.04 | 8.04 | 161 | 649 | 1.83 | 46.45 | 16.70 |
| 11 | -0.96 | 100 | 30 | 8.04 | 8.04 | 189 | 721 | 2.15 | 56.59 | 19.34 |
| 12 | -1.06 | 100 | 30 | 8.04 | 8.04 | 217 | 793 | 2.47 | 66.76 | 21.97 |
| 13 | -1.15 | 100 | 30 | 8.04 | 8.04 | 245 | 865 | 2.79 | 77.00 | 24.61 |
| 14 | -1.24 | 100 | 30 | 8.04 | 8.04 | 274 | 938 | 3.12 | 87.56 | 27.29 |

Fondazione

Combinazione n° 12 - SLEQ

Tensione massima di compressione nel calcestruzzo 114.26 [kg/cmq]
Tensione massima di trazione dell'acciaio 4588.65 [kg/cmq]

| n° | Y [m] | B [cm] | H [cm] | Afi [cmq] | Afs [cmq] | M [kgm] | N [kg] | σc [kg/cmq] | σfi [kg/cmq] | σfs [kg/cmq] |
|----|----------|-----------|-----------|--------------|--------------|------------|-----------|----------------|-----------------|-----------------|
| 1 | -0.90 | 100 | 40 | 8.04 | 8.04 | 0 | 0 | 0.00 | 0.00 | 0.00 |
| 2 | -0.80 | 100 | 40 | 8.04 | 8.04 | 5 | 0 | 0.03 | 1.81 | 0.25 |
| 3 | -0.70 | 100 | 40 | 8.04 | 8.04 | 20 | 0 | 0.14 | 7.50 | 1.03 |
| 4 | -0.60 | 100 | 40 | 8.04 | 8.04 | 47 | 0 | 0.31 | 17.48 | 2.39 |
| 5 | -0.50 | 100 | 40 | 8.04 | 8.04 | 87 | 0 | 0.58 | 32.17 | 4.41 |
| 6 | -0.40 | 100 | 40 | 8.04 | 8.04 | 140 | 0 | 0.94 | 51.96 | 7.12 |
| 7 | -0.30 | 100 | 40 | 8.04 | 8.04 | 208 | 0 | 1.39 | 77.28 | 10.59 |

Relazione Geotecnica e delle Fondazioni

| n° | Y | B | H | Afi | Afs | M | N | σc | σfi | σfs |
|----|------|------|------|-------|-------|-------|------|----------|----------|----------|
| | [m] | [cm] | [cm] | [cmq] | [cmq] | [kgm] | [kg] | [kg/cmq] | [kg/cmq] | [kg/cmq] |
| 8 | 0.00 | 100 | 40 | 8.04 | 8.04 | -59 | 0 | 0.39 | 3.00 | 21.87 |
| 9 | 0.09 | 100 | 40 | 8.04 | 8.04 | -43 | 0 | 0.29 | 2.21 | 16.12 |
| 10 | 0.17 | 100 | 40 | 8.04 | 8.04 | -31 | 0 | 0.20 | 1.55 | 11.33 |
| 11 | 0.26 | 100 | 40 | 8.04 | 8.04 | -20 | 0 | 0.13 | 1.01 | 7.35 |
| 12 | 0.34 | 100 | 40 | 8.04 | 8.04 | -11 | 0 | 0.08 | 0.57 | 4.19 |
| 13 | 0.43 | 100 | 40 | 8.04 | 8.04 | -5 | 0 | 0.03 | 0.26 | 1.89 |
| 14 | 0.51 | 100 | 40 | 8.04 | 8.04 | -1 | 0 | 0.01 | 0.07 | 0.48 |
| 15 | 0.60 | 100 | 40 | 8.04 | 8.04 | 0 | 0 | 0.00 | 0.00 | 0.00 |

Verifica a fessurazione

Simbologia adottata

| | |
|------|----------------------------------------------------------|
| n° | indice sezione |
| Y | ordinata sezione espressa in [m] |
| B | larghezza sezione espressa in [cm] |
| H | altezza sezione espressa in [cm] |
| Af | area ferri zona tesa espressa in [cmq] |
| Aeff | area efficace espressa in [cmq] |
| M | momento agente espressa in [kgm] |
| Mpf | momento di formazione/apertura fessure espressa in [kgm] |
| ε | deformazione espressa in % |
| Sm | spaziatura tra le fessure espressa in [mm] |
| w | apertura delle fessure espressa in [mm] |

Combinazioni SLEF

Paramento

Combinazione n° 11 - SLEF

Apertura limite fessure $w_{lim}=0.40$

| n° | Y | B | H | Af | Aeff | M | Mpf | ε | Sm | w |
|----|-------|------|------|-------|--------|-------|-------|----------|------|-------|
| | [m] | [cm] | [cm] | [cmq] | [cmq] | [kgm] | [kgm] | [%] | [mm] | [mm] |
| 1 | 0.00 | 100 | 30 | 0.00 | 0.00 | 0 | 0 | --- | --- | 0.000 |
| 2 | -0.10 | 100 | 30 | 8.04 | 785.36 | 1 | 5331 | 0.000000 | 0.00 | 0.000 |
| 3 | -0.19 | 100 | 30 | 8.04 | 785.07 | 6 | 5335 | 0.000000 | 0.00 | 0.000 |
| 4 | -0.29 | 100 | 30 | 8.04 | 784.78 | 18 | 5338 | 0.000000 | 0.00 | 0.000 |
| 5 | -0.38 | 100 | 30 | 8.04 | 784.49 | 35 | 5342 | 0.000000 | 0.00 | 0.000 |
| 6 | -0.48 | 100 | 30 | 8.04 | 784.20 | 56 | 5346 | 0.000000 | 0.00 | 0.000 |
| 7 | -0.58 | 100 | 30 | 8.04 | 783.91 | 80 | 5350 | 0.000000 | 0.00 | 0.000 |
| 8 | -0.67 | 100 | 30 | 8.04 | 783.62 | 106 | 5353 | 0.000000 | 0.00 | 0.000 |
| 9 | -0.77 | 100 | 30 | 8.04 | 783.33 | 134 | 5357 | 0.000000 | 0.00 | 0.000 |
| 10 | -0.87 | 100 | 30 | 8.04 | 783.04 | 161 | 5361 | 0.000000 | 0.00 | 0.000 |
| 11 | -0.96 | 100 | 30 | 8.04 | 782.75 | 189 | 5365 | 0.000000 | 0.00 | 0.000 |
| 12 | -1.06 | 100 | 30 | 8.04 | 782.46 | 217 | 5368 | 0.000000 | 0.00 | 0.000 |
| 13 | -1.15 | 100 | 30 | 8.04 | 782.17 | 245 | 5372 | 0.000000 | 0.00 | 0.000 |
| 14 | -1.24 | 100 | 30 | 8.04 | 781.88 | 274 | 5376 | 0.000000 | 0.00 | 0.000 |

Fondazione

Combinazione n° 11 - SLEF

Apertura limite fessure $w_{lim}=0.40$

| n° | Y | B | H | Af | Aeff | M | Mpf | ε | Sm | w |
|----|-------|------|------|-------|--------|-------|-------|----------|------|-------|
| | [m] | [cm] | [cm] | [cmq] | [cmq] | [kgm] | [kgm] | [%] | [mm] | [mm] |
| 1 | -0.90 | 100 | 40 | 0.00 | 0.00 | 0 | 0 | --- | --- | 0.000 |
| 2 | -0.80 | 100 | 40 | 8.04 | 950.00 | 5 | 9338 | 0.000000 | 0.00 | 0.000 |
| 3 | -0.70 | 100 | 40 | 8.04 | 950.00 | 20 | 9338 | 0.000000 | 0.00 | 0.000 |
| 4 | -0.60 | 100 | 40 | 8.04 | 950.00 | 47 | 9338 | 0.000000 | 0.00 | 0.000 |
| 5 | -0.50 | 100 | 40 | 8.04 | 950.00 | 87 | 9338 | 0.000000 | 0.00 | 0.000 |
| 6 | -0.40 | 100 | 40 | 8.04 | 950.00 | 140 | 9338 | 0.000000 | 0.00 | 0.000 |
| 7 | -0.30 | 100 | 40 | 8.04 | 950.00 | 208 | 9338 | 0.000000 | 0.00 | 0.000 |
| 8 | 0.00 | 100 | 40 | 8.04 | 950.00 | -59 | -9338 | 0.000000 | 0.00 | 0.000 |
| 9 | 0.09 | 100 | 40 | 8.04 | 950.00 | -43 | -9338 | 0.000000 | 0.00 | 0.000 |
| 10 | 0.17 | 100 | 40 | 8.04 | 950.00 | -31 | -9338 | 0.000000 | 0.00 | 0.000 |
| 11 | 0.26 | 100 | 40 | 8.04 | 950.00 | -20 | -9338 | 0.000000 | 0.00 | 0.000 |
| 12 | 0.34 | 100 | 40 | 8.04 | 950.00 | -11 | -9338 | 0.000000 | 0.00 | 0.000 |
| 13 | 0.43 | 100 | 40 | 8.04 | 950.00 | -5 | -9338 | 0.000000 | 0.00 | 0.000 |
| 14 | 0.51 | 100 | 40 | 8.04 | 950.00 | -1 | -9338 | 0.000000 | 0.00 | 0.000 |
| 15 | 0.60 | 100 | 40 | 0.00 | 0.00 | 0 | 0 | --- | --- | 0.000 |

Combinazioni SLEQ

| | | | |
|--------------------------------------|----------------------------------------------------------------------------------------------------------------------|----------------------------------------------------------------------------------|-------------|
| COMMITTENTE: Mecca Antonio | CODICE COMMESSA: | NOME ELABORATO: S1.5 - Relazione Geotecnica e delle Fondazioni | CONSULENTE: |
| DATA: Aprile 2023 | TITOLO: Lavori ultimazione di un fabbricato adibito ad albergo-ristorante– C.da Case Nuove Chicone Avigliano (PZ) | | |

Paramento

Combinazione n° 12 - SLEQ

Apertura limite fessure $w_{lim}=0.30$

| n° | Y [m] | B [cm] | H [cm] | Af [cmq] | Aeff [cmq] | M [kgm] | Mpf [kgm] | ε [%] | Sm [mm] | w [mm] |
|----|----------|-----------|-----------|-------------|---------------|------------|--------------|----------|------------|-----------|
| 1 | 0.00 | 100 | 30 | 0.00 | 0.00 | 0 | 0 | --- | --- | 0.000 |
| 2 | -0.10 | 100 | 30 | 8.04 | 785.36 | 1 | 5331 | 0.000000 | 0.00 | 0.000 |
| 3 | -0.19 | 100 | 30 | 8.04 | 785.07 | 6 | 5335 | 0.000000 | 0.00 | 0.000 |
| 4 | -0.29 | 100 | 30 | 8.04 | 784.78 | 18 | 5338 | 0.000000 | 0.00 | 0.000 |
| 5 | -0.38 | 100 | 30 | 8.04 | 784.49 | 35 | 5342 | 0.000000 | 0.00 | 0.000 |
| 6 | -0.48 | 100 | 30 | 8.04 | 784.20 | 56 | 5346 | 0.000000 | 0.00 | 0.000 |
| 7 | -0.58 | 100 | 30 | 8.04 | 783.91 | 80 | 5350 | 0.000000 | 0.00 | 0.000 |
| 8 | -0.67 | 100 | 30 | 8.04 | 783.62 | 106 | 5353 | 0.000000 | 0.00 | 0.000 |
| 9 | -0.77 | 100 | 30 | 8.04 | 783.33 | 134 | 5357 | 0.000000 | 0.00 | 0.000 |
| 10 | -0.87 | 100 | 30 | 8.04 | 783.04 | 161 | 5361 | 0.000000 | 0.00 | 0.000 |
| 11 | -0.96 | 100 | 30 | 8.04 | 782.75 | 189 | 5365 | 0.000000 | 0.00 | 0.000 |
| 12 | -1.06 | 100 | 30 | 8.04 | 782.46 | 217 | 5368 | 0.000000 | 0.00 | 0.000 |
| 13 | -1.15 | 100 | 30 | 8.04 | 782.17 | 245 | 5372 | 0.000000 | 0.00 | 0.000 |
| 14 | -1.24 | 100 | 30 | 8.04 | 781.88 | 274 | 5376 | 0.000000 | 0.00 | 0.000 |

Fondazione

Combinazione n° 12 - SLEQ

Apertura limite fessure $w_{lim}=0.30$

| n° | Y [m] | B [cm] | H [cm] | Af [cmq] | Aeff [cmq] | M [kgm] | Mpf [kgm] | ε [%] | Sm [mm] | w [mm] |
|----|----------|-----------|-----------|-------------|---------------|------------|--------------|----------|------------|-----------|
| 1 | -0.90 | 100 | 40 | 0.00 | 0.00 | 0 | 0 | --- | --- | 0.000 |
| 2 | -0.80 | 100 | 40 | 8.04 | 950.00 | 5 | 9338 | 0.000000 | 0.00 | 0.000 |
| 3 | -0.70 | 100 | 40 | 8.04 | 950.00 | 20 | 9338 | 0.000000 | 0.00 | 0.000 |
| 4 | -0.60 | 100 | 40 | 8.04 | 950.00 | 47 | 9338 | 0.000000 | 0.00 | 0.000 |
| 5 | -0.50 | 100 | 40 | 8.04 | 950.00 | 87 | 9338 | 0.000000 | 0.00 | 0.000 |
| 6 | -0.40 | 100 | 40 | 8.04 | 950.00 | 140 | 9338 | 0.000000 | 0.00 | 0.000 |
| 7 | -0.30 | 100 | 40 | 8.04 | 950.00 | 208 | 9338 | 0.000000 | 0.00 | 0.000 |
| 8 | 0.00 | 100 | 40 | 8.04 | 950.00 | -59 | -9338 | 0.000000 | 0.00 | 0.000 |
| 9 | 0.09 | 100 | 40 | 8.04 | 950.00 | -43 | -9338 | 0.000000 | 0.00 | 0.000 |
| 10 | 0.17 | 100 | 40 | 8.04 | 950.00 | -31 | -9338 | 0.000000 | 0.00 | 0.000 |
| 11 | 0.26 | 100 | 40 | 8.04 | 950.00 | -20 | -9338 | 0.000000 | 0.00 | 0.000 |
| 12 | 0.34 | 100 | 40 | 8.04 | 950.00 | -11 | -9338 | 0.000000 | 0.00 | 0.000 |
| 13 | 0.43 | 100 | 40 | 8.04 | 950.00 | -5 | -9338 | 0.000000 | 0.00 | 0.000 |
| 14 | 0.51 | 100 | 40 | 8.04 | 950.00 | -1 | -9338 | 0.000000 | 0.00 | 0.000 |
| 15 | 0.60 | 100 | 40 | 0.00 | 0.00 | 0 | 0 | --- | --- | 0.000 |

Relazione Geotecnica e delle Fondazioni

Risultati per involucro

Spinta e forze

Simbologia adottata

| | |
|---------------------------------|--------------------------------------------------------------------------|
| Ic | Indice della combinazione |
| A | Tipo azione |
| I | Inclinazione della spinta, espressa in [°] |
| V | Valore dell'azione, espressa in [kg] |
| C _X , C _Y | Componente in direzione X ed Y dell'azione, espressa in [kg] |
| P _X , P _Y | Coordinata X ed Y del punto di applicazione dell'azione, espressa in [m] |

| Ic | A | V [kg] | I [°] | C _X [kg] | C _Y [kg] | P _X [m] | P _Y [m] |
|----|------------------------------|-----------|----------|------------------------|------------------------|-----------------------|-----------------------|
| 2 | Spinta statica | 446 | 20.00 | 419 | 152 | 0.60 | -1.33 |
| | Incremento di spinta sismica | | 846 | 795 | 289 | 0.60 | -0.68 |
| | Peso/Inerzia muro | | | 262 | 2438/131 | -0.15 | -1.13 |
| | Peso/Inerzia terrapieno | | | 167 | 1553/84 | 0.31 | -0.57 |

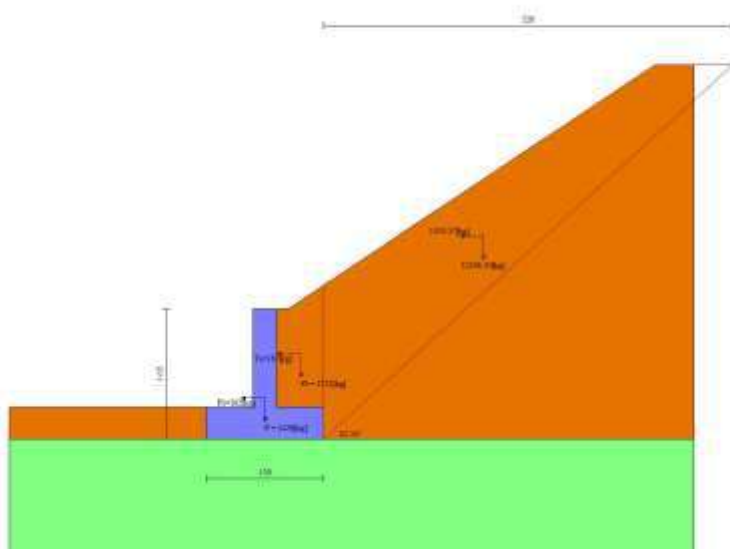


Fig. 38 - Cuneo di spinta (combinazione sismica) (Combinazione n° 2)

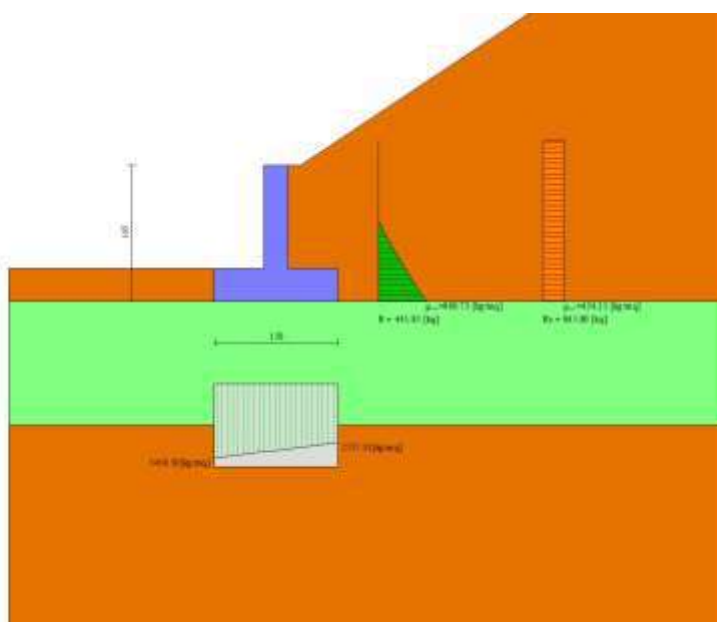


Fig. 39 - Diagramma delle pressioni (combinazione sismica) (Combinazione n° 2)

| | | | |
|--------------------------------------|------------------------------------------------------------------------------------------------------------------------------|----------------------------------------------------------------------------------|-------------|
| COMMITTENTE: Mecca Antonio | CODICE COMMESSA: | NOME ELABORATO: S1.5 - Relazione Geotecnica e delle Fondazioni | CONSULENTE: |
| DATA: Aprile 2023 | TITOLO: Lavori ultimazione di un fabbricato adibito ad albergo-ristorante– C.da Case Nuove Chicone Avigliano (PZ) | | |

Verifiche geotecniche

Quadro riassuntivo coeff. di sicurezza calcolati

Simbologia adottata

| | |
|--------------------|------------------------------------------------------------|
| Cmb | Indice/Tipo combinazione |
| S | Sisma (H: componente orizzontale, V: componente verticale) |
| FS _{SCO} | Coeff. di sicurezza allo scorrimento |
| FS _{RIB} | Coeff. di sicurezza al ribaltamento |
| FS _{QUM} | Coeff. di sicurezza a carico limite |
| FS _{STAB} | Coeff. di sicurezza a stabilità globale |
| FS _{HYD} | Coeff. di sicurezza a sifonamento |
| FS _{UPL} | Coeff. di sicurezza a sollevamento |

| Cmb | Sismica | FS _{SCO} | FS _{RIB} | FS _{QUM} | FS _{STAB} | FS _{HYD} | FS _{UPL} |
|--------------------|---------|-------------------|-------------------|-------------------|--------------------|-------------------|-------------------|
| 1 - STR (A1-M1-R3) | | 2.957 | | 8.647 | | | |
| 2 - STR (A1-M1-R3) | H + V | 1.952 | | 7.427 | | | |
| 3 - STR (A1-M1-R3) | H - V | 2.173 | | 9.352 | | | |
| 4 - GEO (A2-M2-R2) | | | | | 1.678 | | |
| 5 - GEO (A2-M2-R2) | H + V | | | | 1.736 | | |
| 6 - GEO (A2-M2-R2) | H - V | | | | 1.779 | | |
| 7 - EQU (A1-M1-R3) | | | 12.328 | | | | |
| 8 - EQU (A1-M1-R3) | H + V | | 2.446 | | | | |
| 9 - EQU (A1-M1-R3) | H - V | | 2.252 | | | | |

Verifica a scorrimento fondazione

Simbologia adottata

| | |
|-----|-------------------------------------------------------------------------------------|
| n° | Indice combinazione |
| Rsa | Resistenza allo scorrimento per attrito, espresso in [kg] |
| Rpt | Resistenza passiva terreno antistante, espresso in [kg] |
| Rps | Resistenza passiva sperone, espresso in [kg] |
| Rp | Resistenza a carichi orizzontali pali (solo per fondazione mista), espresso in [kg] |
| Rt | Resistenza a carichi orizzontali tiranti (solo se presenti), espresso in [kg] |
| R | Resistenza allo scorrimento (somma di Rsa+Rpt+Rps+Rp), espresso in [kg] |
| T | Carico parallelo al piano di posa, espresso in [kg] |
| FS | Fattore di sicurezza (rapporto R/T) |

| n° | Rsa [kg] | Rpt [kg] | Rps [kg] | Rp [kg] | Rt [kg] | R [kg] | T [kg] | FS |
|--------------------------|-------------|-------------|-------------|------------|------------|-----------|-----------|-------|
| 2 - STR (A1-M1-R3) H + V | 3207 | 0 | 0 | -- | -- | 3207 | 1643 | 1.952 |

Verifica a carico limite

Simbologia adottata

| | |
|----|---------------------------------------------------------------------------------------|
| n° | Indice combinazione |
| N | Carico normale totale al piano di posa, espresso in [kg] |
| Qu | carico limite del terreno, espresso in [kg] |
| Qd | Portanza di progetto, espresso in [kg] |
| FS | Fattore di sicurezza (rapporto tra il carico limite e carico agente al piano di posa) |

| n° | N [kg] | Qu [kg] | Qd [kg] | FS |
|--------------------------|-----------|------------|------------|-------|
| 2 - STR (A1-M1-R3) H + V | 4647 | 34511 | 28759 | 7.427 |

Dettagli calcolo portanza

Simbologia adottata

| | |
|----------------|------------------------------------------------------------------------------------------------------------------------------------------------------------------------------------------------------------------|
| n° | Indice combinazione |
| Nc, Nq, Ny | Fattori di capacità portante |
| ic, iq, iy | Fattori di inclinazione del carico |
| dc, dq, dy | Fattori di profondità del piano di posa |
| gc, gq, gy | Fattori di inclinazione del profilo topografico |
| bc, bq, by | Fattori di inclinazione del piano di posa |
| sc, sq, sy | Fattori di forma della fondazione |
| pc, pq, py | Fattori di riduzione per punzonamento secondo Vesic |
| Re | Fattore di riduzione capacità portante per eccentricità secondo Meyerhof |
| Ir, Irc | Indici di rigidità per punzonamento secondo Vesic |
| r _γ | Fattori per tener conto dell'effetto piastra. Per fondazioni che hanno larghezza maggiore di 2 m, il terzo termine della formula trinomia 0.5B _γ N _γ viene moltiplicato per questo fattore |
| D | Affondamento del piano di posa, espresso in [m] |
| B' | Larghezza fondazione ridotta, espresso in [m] |
| H | Altezza del cuneo di rottura, espresso in [m] |
| γ | Peso di volume del terreno medio, espresso in [kg/mc] |

Relazione Geotecnica e delle Fondazioni

ϕ Angolo di attrito del terreno medio, espresso in [°]
c Coesione del terreno medio, espresso in [kg/cmq]
Per i coeff. che in tabella sono indicati con il simbolo '--' sono coeff. non presenti nel metodo scelto (Hansen).

| n° | Nc Nq Ny | ic iq iy | dc dq dy | gc gq gy | bc bq by | sc sq sy | pc pq py | Ir | Irc | Re | ry |
|----|--------------------------|-------------------------|-------------------------|-------------------------|-------------------------|----------------|----------------|----|-----|-------|-------|
| 2 | 19.324 9.603 5.746 | 0.570 0.615 0.499 | 1.160 1.125 1.000 | 1.000 1.000 1.000 | 1.000 1.000 1.000 | -- -- -- | -- -- -- | -- | -- | 0.860 | 1.000 |

| n° | D [m] | B' [m] | H [m] | γ [°] | ϕ [kg/mc] | c [kg/cmq] |
|----|----------|-----------|----------|-----------------|-------------------|---------------|
| 2 | 0.40 | 1.00 | 0.77 | 2000 | 24.00 | 0.25 |

Verifica a ribaltamento

Simbologia adottata

n° Indice combinazione
Ms Momento stabilizzante, espresso in [kgm]
Mr Momento ribaltante, espresso in [kgm]
FS Fattore di sicurezza (rapporto tra momento stabilizzante e momento ribaltante)
La verifica viene eseguita rispetto allo spigolo inferiore esterno della fondazione

| n° | Ms [kgm] | Mr [kgm] | FS |
|--------------------------|-------------|-------------|-------|
| 9 - EQU (A1-M1-R3) H - V | 4567 | 2028 | 2.252 |

Verifica stabilità globale muro + terreno

Simbologia adottata

Ic Indice/Tipo combinazione
C Centro superficie di scorrimento, espresso in [m]
R Raggio, espresso in [m]
FS Fattore di sicurezza

| Ic | C [m] | R [m] | FS |
|--------------------|------------|----------|-------|
| 4 - GEO (A2-M2-R2) | 0.00; 4.50 | 6.23 | 1.678 |

Dettagli strisce verifiche stabilità

Simbologia adottata

Le ascisse X sono considerate positive verso monte
Le ordinate Y sono considerate positive verso l'alto
Origine in testa al muro (spigolo contro terra)
W peso della striscia espresso in [kg]
Qy carico sulla striscia espresso in [kg]
Qf carico acqua sulla striscia espresso in [kg]
 α angolo fra la base della striscia e l'orizzontale espresso in [°] (positivo antiorario)
 ϕ angolo d'attrito del terreno lungo la base della striscia
c coesione del terreno lungo la base della striscia espressa in [kg/cmq]
b larghezza della striscia espressa in [m]
u pressione neutra lungo la base della striscia espressa in [kg/cmq]
Tx; Ty Resistenza al taglio fornita dai tiranti in direzione X ed Y espressa in [kg/cmq]

| n° | W [kg] | Qy [kg] | Qf [kg] | b [m] | α [°] | ϕ [°] | c [kg/cmq] | u [kg/cmq] | Tx; Ty [kg] |
|----|-----------|------------|------------|-------------|-----------------|---------------|---------------|---------------|----------------|
| 1 | 327 | 0 | 0 | 6.07 - 0.34 | 71.479 | 24.791 | 0.04 | 0.000 | |
| 2 | 873 | 0 | 0 | 0.34 | 63.582 | 24.791 | 0.04 | 0.000 | |
| 3 | 1263 | 0 | 0 | 0.34 | 57.187 | 24.791 | 0.04 | 0.000 | |
| 4 | 1567 | 0 | 0 | 0.34 | 51.778 | 24.791 | 0.04 | 0.000 | |
| 5 | 1716 | 0 | 0 | 0.34 | 46.964 | 24.791 | 0.04 | 0.000 | |
| 6 | 1788 | 0 | 0 | 0.34 | 42.555 | 24.791 | 0.04 | 0.000 | |
| 7 | 1830 | 0 | 0 | 0.34 | 38.440 | 24.791 | 0.04 | 0.000 | |
| 8 | 1847 | 0 | 0 | 0.34 | 34.549 | 24.791 | 0.04 | 0.000 | |
| 9 | 1843 | 0 | 0 | 0.34 | 30.834 | 24.791 | 0.04 | 0.000 | |
| 10 | 1820 | 0 | 0 | 0.34 | 27.258 | 24.791 | 0.04 | 0.000 | |
| 11 | 1779 | 0 | 0 | 0.34 | 23.793 | 24.791 | 0.04 | 0.000 | |
| 12 | 1723 | 0 | 0 | 0.34 | 20.420 | 24.791 | 0.04 | 0.000 | |
| 13 | 1652 | 0 | 0 | 0.34 | 17.119 | 24.791 | 0.04 | 0.000 | |
| 14 | 1568 | 0 | 0 | 0.34 | 13.875 | 24.791 | 0.04 | 0.000 | |
| 15 | 1470 | 0 | 0 | 0.34 | 10.677 | 24.791 | 0.04 | 0.000 | |
| 16 | 1361 | 0 | 0 | 0.34 | 7.512 | 19.605 | 0.20 | 0.000 | |
| 17 | 1362 | 0 | 0 | 0.34 | 4.370 | 19.605 | 0.20 | 0.000 | |
| 18 | 1128 | 0 | 0 | 0.34 | 1.242 | 19.605 | 0.20 | 0.000 | |
| 19 | 1215 | 0 | 0 | 0.34 | -1.883 | 19.605 | 0.20 | 0.000 | |
| 20 | 373 | 0 | 0 | 0.34 | -5.014 | 19.605 | 0.20 | 0.000 | |
| 21 | 310 | 0 | 0 | 0.34 | -8.160 | 19.605 | 0.20 | 0.000 | |
| 22 | 227 | 0 | 0 | 0.34 | -11.331 | 24.791 | 0.04 | 0.000 | |
| 23 | 177 | 0 | 0 | 0.34 | -14.537 | 24.791 | 0.04 | 0.000 | |
| 24 | 113 | 0 | 0 | 0.34 | -17.791 | 24.791 | 0.04 | 0.000 | |

| | | | |
|--------------------------------------|------------------------------------------------------------------------------------------------------------------------------|----------------------------------------------------------------------------------|-------------|
| COMMITTENTE: Mecca Antonio | CODICE COMMESSA: | NOME ELABORATO: S1.5 - Relazione Geotecnica e delle Fondazioni | CONSULENTE: |
| DATA: Aprile 2023 | TITOLO: Lavori ultimazione di un fabbricato adibito ad albergo-ristorante- C.da Case Nuove Chicone Avigliano (PZ) | | |

| n° | W [kg] | Qy [kg] | Qf [kg] | b [m] | α [°] | ϕ [°] | c [kg/cm²] | u [kg/cm²] | Tx; Ty [kg] |
|----|-----------|------------|------------|--------------|-----------------|---------------|---------------|---------------|----------------|
| 25 | 36 | 0 | 0 | -2.41 - 0.34 | -19.606 | 24.791 | 0.04 | 0.000 | |

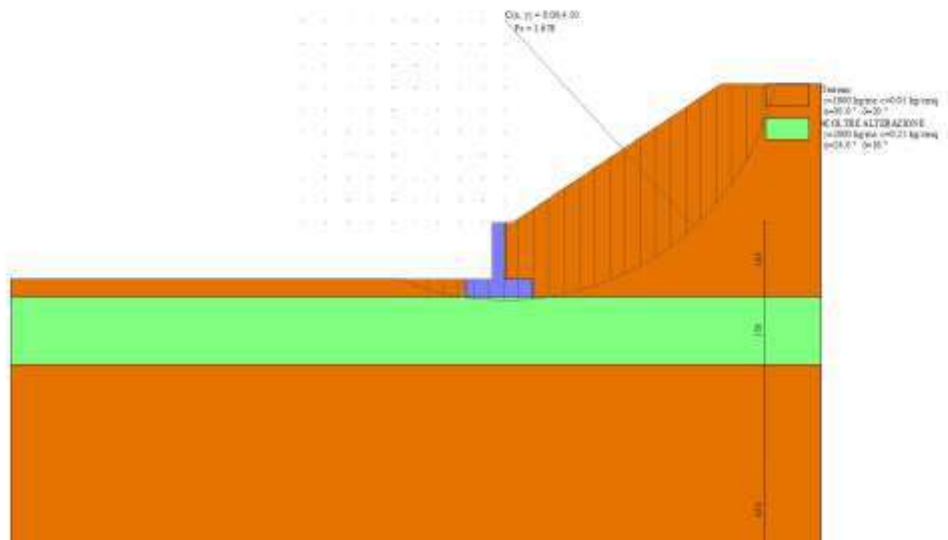


Fig. 40 - Stabilità fronte di scavo - Cerchio critico (Combinazione n° 4)

Sollecitazioni

Elementi calcolati a trave

Simbologia adottata

n° Indice della sezione
X Posizione della sezione, espresso in [m]
N Sforzo normale, espresso in [kg]. Positivo se di compressione.
T Taglio, espresso in [kg]. Positivo se diretto da monte verso valle
M Momento, espresso in [kgm]. Positivo se tende le fibre contro terra (a monte)
La posizione delle sezioni di verifica fanno riferimento al sistema di riferimento globale la cui origine è nello spigolo in alto a destra del paramento.

Paramento

| n° | X [m] | N _{min} [kg] | N _{max} [kg] | T _{min} [kg] | T _{max} [kg] | M _{min} [kgm] | M _{max} [kgm] |
|----|----------|--------------------------|--------------------------|--------------------------|--------------------------|---------------------------|---------------------------|
| 1 | 0.00 | 0 | 0 | 0 | 0 | 0 | 0 |
| 2 | -0.10 | 68 | 76 | 10 | 31 | 0 | 1 |
| 3 | -0.19 | 136 | 152 | 20 | 91 | 2 | 7 |
| 4 | -0.29 | 205 | 228 | 29 | 149 | 4 | 18 |
| 5 | -0.38 | 273 | 304 | 39 | 197 | 8 | 35 |
| 6 | -0.48 | 341 | 380 | 49 | 236 | 12 | 56 |
| 7 | -0.58 | 409 | 456 | 59 | 263 | 17 | 80 |
| 8 | -0.67 | 478 | 532 | 69 | 281 | 23 | 106 |
| 9 | -0.77 | 546 | 608 | 79 | 289 | 30 | 134 |
| 10 | -0.87 | 614 | 684 | 88 | 289 | 38 | 161 |
| 11 | -0.96 | 682 | 760 | 98 | 289 | 47 | 189 |
| 12 | -1.06 | 751 | 836 | 108 | 290 | 57 | 217 |
| 13 | -1.15 | 819 | 912 | 122 | 293 | 68 | 245 |
| 14 | -1.25 | 887 | 988 | 140 | 302 | 81 | 274 |

Fondazione

| n° | X [m] | N _{min} [kg] | N _{max} [kg] | T _{min} [kg] | T _{max} [kg] | M _{min} [kgm] | M _{max} [kgm] |
|----|----------|--------------------------|--------------------------|--------------------------|--------------------------|---------------------------|---------------------------|
| 1 | -0.90 | 0 | 0 | 0 | 0 | 0 | 0 |
| 2 | -0.80 | 0 | 0 | 96 | 243 | 5 | 12 |
| 3 | -0.70 | 0 | 0 | 206 | 482 | 20 | 49 |
| 4 | -0.60 | 0 | 0 | 328 | 716 | 46 | 108 |
| 5 | -0.50 | 0 | 0 | 462 | 945 | 86 | 192 |
| 6 | -0.40 | 0 | 0 | 605 | 1169 | 139 | 297 |
| 7 | -0.30 | 0 | 0 | 759 | 1388 | 208 | 425 |
| 8 | 0.00 | 0 | 0 | -546 | -199 | -186 | -59 |

Relazione Geotecnica e delle Fondazioni

| n° | X [m] | N _{min} [kg] | N _{max} [kg] | T _{min} [kg] | T _{max} [kg] | M _{min} [kgm] | M _{max} [kgm] |
|----|----------|--------------------------|--------------------------|--------------------------|--------------------------|---------------------------|---------------------------|
| 9 | 0.09 | 0 | 0 | -490 | -164 | -142 | -43 |
| 10 | 0.17 | 0 | 0 | -432 | -138 | -102 | -31 |
| 11 | 0.26 | 0 | 0 | -367 | -112 | -68 | -20 |
| 12 | 0.34 | 0 | 0 | -291 | -86 | -39 | -11 |
| 13 | 0.43 | 0 | 0 | -204 | -58 | -18 | -5 |
| 14 | 0.51 | 0 | 0 | -107 | -30 | -5 | -1 |
| 15 | 0.60 | 0 | 0 | 0 | 0 | 0 | 0 |

Verifiche strutturali

Verifiche a flessione

Elementi calcolati a trave

Simbologia adottata

| | |
|-----|-----------------------------------------------------------------------------------|
| n° | indice sezione |
| B | larghezza sezione espresso in [cm] |
| H | altezza sezione espressa in [cm] |
| Afi | area ferri inferiori espresso in [cmq] |
| Afs | area ferri superiori espressa in [cmq] |
| M | momento agente espressa in [kgm] |
| N | sforzo normale agente espressa in [kg] |
| Mrd | momento resistente espresso in [kgm] |
| Nrd | sforzo normale resistente espresso in [kg] |
| FS | fattore di sicurezza (rapporto tra sollecitazione ultima e sollecitazione agente) |

Paramento

| n° | B [cm] | H [cm] | Afi [cmq] | Afs [cmq] | M [kgm] | N [kg] | Mrd [kgm] | Nrd [kg] | FS |
|----|-----------|-----------|--------------|--------------|------------|-----------|--------------|-------------|------------|
| 1 | 100 | 30 | 8.04 | 8.04 | 0 | 0 | 0 | 0 | 100000.000 |
| 2 | 100 | 30 | 8.04 | 8.04 | 1 | 72 | 7987 | 72 | 7517.669 |
| 3 | 100 | 30 | 8.04 | 8.04 | 7 | 144 | 7995 | 144 | 1214.101 |
| 4 | 100 | 30 | 8.04 | 8.04 | 17 | 216 | 8004 | 216 | 481.629 |
| 5 | 100 | 30 | 8.04 | 8.04 | 30 | 288 | 8013 | 288 | 266.906 |
| 6 | 100 | 30 | 8.04 | 8.04 | 46 | 361 | 8022 | 361 | 175.762 |
| 7 | 100 | 30 | 8.04 | 8.04 | 62 | 433 | 8030 | 433 | 128.859 |
| 8 | 100 | 30 | 8.04 | 8.04 | 79 | 505 | 8039 | 505 | 101.544 |
| 9 | 100 | 30 | 8.04 | 8.04 | 96 | 577 | 8048 | 577 | 83.813 |
| 10 | 100 | 30 | 8.04 | 8.04 | 113 | 649 | 8057 | 649 | 71.373 |
| 11 | 100 | 30 | 8.04 | 8.04 | 130 | 721 | 8065 | 721 | 62.009 |
| 12 | 100 | 30 | 8.04 | 8.04 | 148 | 793 | 8074 | 793 | 54.407 |
| 13 | 100 | 30 | 8.04 | 8.04 | 169 | 865 | 8083 | 865 | 47.891 |
| 14 | 100 | 30 | 8.04 | 8.04 | 192 | 938 | 8092 | 938 | 42.114 |

Fondazione

| n° | B [cm] | H [cm] | Afi [cmq] | Afs [cmq] | M [kgm] | N [kg] | Mrd [kgm] | Nrd [kg] | FS |
|----|-----------|-----------|--------------|--------------|------------|-----------|--------------|-------------|------------|
| 1 | 100 | 40 | 8.04 | 8.04 | 0 | 0 | 0 | 0 | 100000.000 |
| 2 | 100 | 40 | 8.04 | 8.04 | 12 | 0 | 11100 | 0 | 909.058 |
| 3 | 100 | 40 | 8.04 | 8.04 | 49 | 0 | 11100 | 0 | 228.765 |
| 4 | 100 | 40 | 8.04 | 8.04 | 108 | 0 | 11100 | 0 | 102.349 |
| 5 | 100 | 40 | 8.04 | 8.04 | 192 | 0 | 11100 | 0 | 57.957 |
| 6 | 100 | 40 | 8.04 | 8.04 | 297 | 0 | 11100 | 0 | 37.342 |
| 7 | 100 | 40 | 8.04 | 8.04 | 425 | 0 | 11100 | 0 | 26.108 |
| 8 | 100 | 40 | 8.04 | 8.04 | -186 | 0 | -11100 | 0 | 59.692 |
| 9 | 100 | 40 | 8.04 | 8.04 | -142 | 0 | -11100 | 0 | 78.414 |
| 10 | 100 | 40 | 8.04 | 8.04 | -102 | 0 | -11100 | 0 | 108.806 |
| 11 | 100 | 40 | 8.04 | 8.04 | -68 | 0 | -11100 | 0 | 163.979 |
| 12 | 100 | 40 | 8.04 | 8.04 | -39 | 0 | -11100 | 0 | 281.532 |
| 13 | 100 | 40 | 8.04 | 8.04 | -18 | 0 | -11100 | 0 | 612.466 |
| 14 | 100 | 40 | 8.04 | 8.04 | -5 | 0 | -11100 | 0 | 2371.323 |
| 15 | 100 | 40 | 8.04 | 8.04 | 0 | 0 | 0 | 0 | 100000.000 |

| | | | |
|--------------------------------------|----------------------------------------------------------------------------------------------------------------------|----------------------------------------------------------------------------------|-------------|
| COMMITTENTE: Mecca Antonio | CODICE COMMESSA: | NOME ELABORATO: S1.5 - Relazione Geotecnica e delle Fondazioni | CONSULENTE: |
| DATA: Aprile 2023 | TITOLO: Lavori ultimazione di un fabbricato adibito ad albergo-ristorante- C.da Case Nuove Chicone Avigliano (PZ) | | |

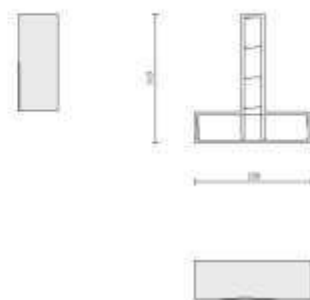


Fig. 41 - Paramento (Inviluppo)

Verifiche a taglio

Simbologia adottata

| | |
|------------------|-------------------------------------------------------------------------------------------------------------------------------------------------------------------------------------------------|
| n° (o Is) | indice sezione |
| Y | ordinata sezione espressa in [m] |
| B | larghezza sezione espressa in [cm] |
| H | altezza sezione espressa in [cm] |
| A _{sw} | area ferri a taglio espressa in [cmq] |
| cotgθ | inclinazione delle bielle compresse, θ inclinazione dei puntoni di calcestruzzo |
| V _{Rcd} | resistenza di progetto a 'taglio compressione' espressa in [kg] |
| V _{Rsd} | resistenza di progetto a 'taglio trazione' espressa in [kg] |
| V _{Rd} | resistenza di progetto a taglio espressa in [kg]. Per elementi con armature trasversali resistenti al taglio (A _{sw} >0.0) V _{Rd} =min(V _{Rcd} , V _{Rsd}). |
| T | taglio agente espressa in [kg] |
| FS | fattore di sicurezza (rapporto tra sollecitazione resistente e sollecitazione agente) |

Paramento

| n° | B [cm] | H [cm] | A _{sw} [cmq] | cotθ | V _{Rcd} [kg] | V _{Rsd} [kg] | V _{Rd} [kg] | T [kg] | FS |
|----|-----------|-----------|--------------------------|------|--------------------------|--------------------------|-------------------------|-----------|---------|
| 1 | 100 | 30 | 0.00 | -- | 0 | 0 | 15214 | 0 | 100.000 |
| 2 | 100 | 30 | 0.00 | -- | 0 | 0 | 15223 | 31 | 489.711 |
| 3 | 100 | 30 | 0.00 | -- | 0 | 0 | 15233 | 83 | 183.912 |
| 4 | 100 | 30 | 0.00 | -- | 0 | 0 | 15243 | 124 | 123.059 |
| 5 | 100 | 30 | 0.00 | -- | 0 | 0 | 15252 | 153 | 99.752 |
| 6 | 100 | 30 | 0.00 | -- | 0 | 0 | 15262 | 170 | 89.808 |
| 7 | 100 | 30 | 0.00 | -- | 0 | 0 | 15272 | 175 | 87.216 |
| 8 | 100 | 30 | 0.00 | -- | 0 | 0 | 15282 | 175 | 87.191 |
| 9 | 100 | 30 | 0.00 | -- | 0 | 0 | 15291 | 175 | 87.247 |
| 10 | 100 | 30 | 0.00 | -- | 0 | 0 | 15301 | 176 | 87.055 |
| 11 | 100 | 30 | 0.00 | -- | 0 | 0 | 15311 | 183 | 83.562 |
| 12 | 100 | 30 | 0.00 | -- | 0 | 0 | 15321 | 200 | 76.733 |
| 13 | 100 | 30 | 0.00 | -- | 0 | 0 | 15330 | 226 | 67.912 |
| 14 | 100 | 30 | 0.00 | -- | 0 | 0 | 15340 | 262 | 58.589 |

Fondazione

| n° | B [cm] | H [cm] | A _{sw} [cmq] | cotθ | V _{Rcd} [kg] | V _{Rsd} [kg] | V _{Rd} [kg] | T [kg] | FS |
|----|-----------|-----------|--------------------------|------|--------------------------|--------------------------|-------------------------|-----------|---------|
| 1 | 100 | 40 | 0.00 | -- | 0 | 0 | 17504 | 0 | 100.000 |
| 2 | 100 | 40 | 0.00 | -- | 0 | 0 | 17504 | -243 | 71.910 |
| 3 | 100 | 40 | 0.00 | -- | 0 | 0 | 17504 | -482 | 36.314 |
| 4 | 100 | 40 | 0.00 | -- | 0 | 0 | 17504 | -716 | 24.453 |
| 5 | 100 | 40 | 0.00 | -- | 0 | 0 | 17504 | -945 | 18.526 |
| 6 | 100 | 40 | 0.00 | -- | 0 | 0 | 17504 | -1169 | 14.973 |
| 7 | 100 | 40 | 0.00 | -- | 0 | 0 | 17504 | -1388 | 12.607 |
| 8 | 100 | 40 | 0.00 | -- | 0 | 0 | 17504 | -546 | 32.065 |
| 9 | 100 | 40 | 0.00 | -- | 0 | 0 | 17504 | -490 | 35.732 |
| 10 | 100 | 40 | 0.00 | -- | 0 | 0 | 17504 | -432 | 40.489 |

Relazione Geotecnica e delle Fondazioni

| n° | B [cm] | H [cm] | A _{sw} [cmq] | cotθ | V _{Rcd} [kg] | V _{Rsd} [kg] | V _{Rd} [kg] | T [kg] | FS |
|----|-----------|-----------|--------------------------|------|--------------------------|--------------------------|-------------------------|-----------|---------|
| 11 | 100 | 40 | 0.00 | -- | 0 | 0 | 17504 | -367 | 47.712 |
| 12 | 100 | 40 | 0.00 | -- | 0 | 0 | 17504 | -291 | 60.170 |
| 13 | 100 | 40 | 0.00 | -- | 0 | 0 | 17504 | -204 | 85.618 |
| 14 | 100 | 40 | 0.00 | -- | 0 | 0 | 17504 | -107 | 162.867 |
| 15 | 100 | 40 | 0.00 | -- | 0 | 0 | 17504 | 0 | 100.000 |

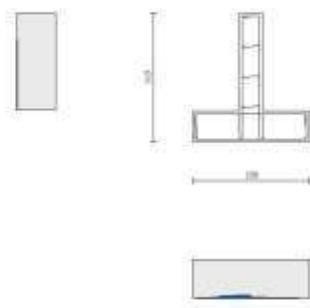


Fig. 42 - Paramento (Inviluppo)

Verifica delle tensioni

Simbologia adottata

| | |
|-----------------|--------------------------------------------------------|
| n° | indice sezione |
| Y | ordinata sezione, espressa in [m] |
| B | larghezza sezione, espressa in [cm] |
| H | altezza sezione, espressa in [cm] |
| A _{fi} | area ferri inferiori, espressa in [cmq] |
| A _{fs} | area ferri superiori, espressa in [cmq] |
| M | momento agente, espressa in [kgm] |
| N | sforzo normale agente, espressa in [kg] |
| σ _c | tensione di compressione nel cls, espressa in [kg/cmq] |
| σ _{fi} | tensione nei ferri inferiori, espressa in [kg/cmq] |
| σ _{fs} | tensione nei ferri superiori, espressa in [kg/cmq] |

Combinazioni SLER

Paramento

| | | |
|---------------------------------------------------|---------|----------|
| Tensione massima di compressione nel calcestruzzo | 152.34 | [kg/cmq] |
| Tensione massima di trazione dell'acciaio | 3670.92 | [kg/cmq] |

| n° | B [cm] | H [cm] | A _{fi} [cmq] | A _{fs} [cmq] | M [kgm] | N [kg] | σ _c [kg/cmq] | σ _{fi} [kg/cmq] | σ _{fs} [kg/cmq] |
|----|-----------|-----------|--------------------------|--------------------------|------------|-----------|----------------------------|-----------------------------|-----------------------------|
| 1 | 100 | 30 | 8.04 | 8.04 | 0 | 0 | 0.00 (10) | 0.00 (10) | 0.00 (10) |
| 2 | 100 | 30 | 8.04 | 8.04 | 1 | 72 | 0.03 (10) | 0.28 (10) | 0.39 (10) |
| 3 | 100 | 30 | 8.04 | 8.04 | 6 | 144 | 0.08 (10) | 0.24 (10) | 1.09 (10) |
| 4 | 100 | 30 | 8.04 | 8.04 | 18 | 216 | 0.18 (10) | 0.53 (10) | 2.28 (10) |
| 5 | 100 | 30 | 8.04 | 8.04 | 35 | 288 | 0.36 (10) | 3.64 (10) | 4.12 (10) |
| 6 | 100 | 30 | 8.04 | 8.04 | 56 | 361 | 0.60 (10) | 9.49 (10) | 6.36 (10) |
| 7 | 100 | 30 | 8.04 | 8.04 | 80 | 433 | 0.88 (10) | 17.33 (10) | 8.81 (10) |
| 8 | 100 | 30 | 8.04 | 8.04 | 106 | 505 | 1.19 (10) | 26.48 (10) | 11.40 (10) |
| 9 | 100 | 30 | 8.04 | 8.04 | 134 | 577 | 1.51 (10) | 36.35 (10) | 14.04 (10) |
| 10 | 100 | 30 | 8.04 | 8.04 | 161 | 649 | 1.83 (10) | 46.45 (10) | 16.70 (10) |
| 11 | 100 | 30 | 8.04 | 8.04 | 189 | 721 | 2.15 (10) | 56.59 (10) | 19.34 (10) |
| 12 | 100 | 30 | 8.04 | 8.04 | 217 | 793 | 2.47 (10) | 66.76 (10) | 21.97 (10) |
| 13 | 100 | 30 | 8.04 | 8.04 | 245 | 865 | 2.79 (10) | 77.00 (10) | 24.61 (10) |
| 14 | 100 | 30 | 8.04 | 8.04 | 274 | 938 | 3.12 (10) | 87.56 (10) | 27.29 (10) |

| | | | |
|--------------------------------------|----------------------------------------------------------------------------------------------------------------------|----------------------------------------------------------------------------------|-------------|
| COMMITTENTE: Mecca Antonio | CODICE COMMESSA: | NOME ELABORATO: S1.5 - Relazione Geotecnica e delle Fondazioni | CONSULENTE: |
| DATA: Aprile 2023 | TITOLO: Lavori ultimazione di un fabbricato adibito ad albergo-ristorante– C.da Case Nuove Chicone Avigliano (PZ) | | |

Fondazione

Tensione massima di compressione nel calcestruzzo 152.34 [kg/cmq]
Tensione massima di trazione dell'acciaio 3670.92 [kg/cmq]

| n° | B [cm] | H [cm] | Afi [cmq] | Afs [cmq] | M [kgm] | N [kg] | σc [kg/cmq] | σfi [kg/cmq] | σfs [kg/cmq] |
|----|-----------|-----------|--------------|--------------|------------|-----------|----------------|-----------------|-----------------|
| 1 | 100 | 40 | 8.04 | 8.04 | 0 | 0 | 0.00 (10) | 0.00 (10) | 0.00 (10) |
| 2 | 100 | 40 | 8.04 | 8.04 | 5 | 0 | 0.03 (10) | 1.81 (10) | 0.25 (10) |
| 3 | 100 | 40 | 8.04 | 8.04 | 20 | 0 | 0.14 (10) | 7.50 (10) | 1.03 (10) |
| 4 | 100 | 40 | 8.04 | 8.04 | 47 | 0 | 0.31 (10) | 17.48 (10) | 2.39 (10) |
| 5 | 100 | 40 | 8.04 | 8.04 | 87 | 0 | 0.58 (10) | 32.17 (10) | 4.41 (10) |
| 6 | 100 | 40 | 8.04 | 8.04 | 140 | 0 | 0.94 (10) | 51.96 (10) | 7.12 (10) |
| 7 | 100 | 40 | 8.04 | 8.04 | 208 | 0 | 1.39 (10) | 77.28 (10) | 10.59 (10) |
| 8 | 100 | 40 | 8.04 | 8.04 | -59 | 0 | 0.39 (10) | 3.00 (10) | 21.87 (10) |
| 9 | 100 | 40 | 8.04 | 8.04 | -43 | 0 | 0.29 (10) | 2.21 (10) | 16.12 (10) |
| 10 | 100 | 40 | 8.04 | 8.04 | -31 | 0 | 0.20 (10) | 1.55 (10) | 11.33 (10) |
| 11 | 100 | 40 | 8.04 | 8.04 | -20 | 0 | 0.13 (10) | 1.01 (10) | 7.35 (10) |
| 12 | 100 | 40 | 8.04 | 8.04 | -11 | 0 | 0.08 (10) | 0.57 (10) | 4.19 (10) |
| 13 | 100 | 40 | 8.04 | 8.04 | -5 | 0 | 0.03 (10) | 0.26 (10) | 1.89 (10) |
| 14 | 100 | 40 | 8.04 | 8.04 | -1 | 0 | 0.01 (10) | 0.07 (10) | 0.48 (10) |
| 15 | 100 | 40 | 8.04 | 8.04 | 0 | 0 | 0.00 (10) | 0.00 (10) | 0.00 (10) |

Combinazioni SLEF

Paramento

Tensione massima di compressione nel calcestruzzo 253.91 [kg/cmq]
Tensione massima di trazione dell'acciaio 4588.65 [kg/cmq]

| n° | B [cm] | H [cm] | Afi [cmq] | Afs [cmq] | M [kgm] | N [kg] | σc [kg/cmq] | σfi [kg/cmq] | σfs [kg/cmq] |
|----|-----------|-----------|--------------|--------------|------------|-----------|----------------|-----------------|-----------------|
| 1 | 100 | 30 | 8.04 | 8.04 | 0 | 0 | 0.00 (11) | 0.00 (11) | 0.00 (11) |
| 2 | 100 | 30 | 8.04 | 8.04 | 1 | 72 | 0.03 (11) | 0.28 (11) | 0.39 (11) |
| 3 | 100 | 30 | 8.04 | 8.04 | 6 | 144 | 0.08 (11) | 0.24 (11) | 1.09 (11) |
| 4 | 100 | 30 | 8.04 | 8.04 | 18 | 216 | 0.18 (11) | 0.53 (11) | 2.28 (11) |
| 5 | 100 | 30 | 8.04 | 8.04 | 35 | 288 | 0.36 (11) | 3.64 (11) | 4.12 (11) |
| 6 | 100 | 30 | 8.04 | 8.04 | 56 | 361 | 0.60 (11) | 9.49 (11) | 6.36 (11) |
| 7 | 100 | 30 | 8.04 | 8.04 | 80 | 433 | 0.88 (11) | 17.33 (11) | 8.81 (11) |
| 8 | 100 | 30 | 8.04 | 8.04 | 106 | 505 | 1.19 (11) | 26.48 (11) | 11.40 (11) |
| 9 | 100 | 30 | 8.04 | 8.04 | 134 | 577 | 1.51 (11) | 36.35 (11) | 14.04 (11) |
| 10 | 100 | 30 | 8.04 | 8.04 | 161 | 649 | 1.83 (11) | 46.45 (11) | 16.70 (11) |
| 11 | 100 | 30 | 8.04 | 8.04 | 189 | 721 | 2.15 (11) | 56.59 (11) | 19.34 (11) |
| 12 | 100 | 30 | 8.04 | 8.04 | 217 | 793 | 2.47 (11) | 66.76 (11) | 21.97 (11) |
| 13 | 100 | 30 | 8.04 | 8.04 | 245 | 865 | 2.79 (11) | 77.00 (11) | 24.61 (11) |
| 14 | 100 | 30 | 8.04 | 8.04 | 274 | 938 | 3.12 (11) | 87.56 (11) | 27.29 (11) |

Fondazione

Tensione massima di compressione nel calcestruzzo 253.91 [kg/cmq]
Tensione massima di trazione dell'acciaio 4588.65 [kg/cmq]

| n° | B [cm] | H [cm] | Afi [cmq] | Afs [cmq] | M [kgm] | N [kg] | σc [kg/cmq] | σfi [kg/cmq] | σfs [kg/cmq] |
|----|-----------|-----------|--------------|--------------|------------|-----------|----------------|-----------------|-----------------|
| 1 | 100 | 40 | 8.04 | 8.04 | 0 | 0 | 0.00 (11) | 0.00 (11) | 0.00 (11) |
| 2 | 100 | 40 | 8.04 | 8.04 | 5 | 0 | 0.03 (11) | 1.81 (11) | 0.25 (11) |
| 3 | 100 | 40 | 8.04 | 8.04 | 20 | 0 | 0.14 (11) | 7.50 (11) | 1.03 (11) |
| 4 | 100 | 40 | 8.04 | 8.04 | 47 | 0 | 0.31 (11) | 17.48 (11) | 2.39 (11) |
| 5 | 100 | 40 | 8.04 | 8.04 | 87 | 0 | 0.58 (11) | 32.17 (11) | 4.41 (11) |
| 6 | 100 | 40 | 8.04 | 8.04 | 140 | 0 | 0.94 (11) | 51.96 (11) | 7.12 (11) |
| 7 | 100 | 40 | 8.04 | 8.04 | 208 | 0 | 1.39 (11) | 77.28 (11) | 10.59 (11) |
| 8 | 100 | 40 | 8.04 | 8.04 | -59 | 0 | 0.39 (11) | 3.00 (11) | 21.87 (11) |
| 9 | 100 | 40 | 8.04 | 8.04 | -43 | 0 | 0.29 (11) | 2.21 (11) | 16.12 (11) |
| 10 | 100 | 40 | 8.04 | 8.04 | -31 | 0 | 0.20 (11) | 1.55 (11) | 11.33 (11) |
| 11 | 100 | 40 | 8.04 | 8.04 | -20 | 0 | 0.13 (11) | 1.01 (11) | 7.35 (11) |
| 12 | 100 | 40 | 8.04 | 8.04 | -11 | 0 | 0.08 (11) | 0.57 (11) | 4.19 (11) |
| 13 | 100 | 40 | 8.04 | 8.04 | -5 | 0 | 0.03 (11) | 0.26 (11) | 1.89 (11) |
| 14 | 100 | 40 | 8.04 | 8.04 | -1 | 0 | 0.01 (11) | 0.07 (11) | 0.48 (11) |
| 15 | 100 | 40 | 8.04 | 8.04 | 0 | 0 | 0.00 (11) | 0.00 (11) | 0.00 (11) |

Combinazioni SLEQ

Relazione Geotecnica e delle Fondazioni

Paramento

Tensione massima di compressione nel calcestruzzo 114.26 [kg/cmq]
Tensione massima di trazione dell'acciaio 4588.65 [kg/cmq]

| n° | B [cm] | H [cm] | Afi [cmq] | Afs [cmq] | M [kgm] | N [kg] | σc [kg/cmq] | σfi [kg/cmq] | σfs [kg/cmq] |
|----|-----------|-----------|--------------|--------------|------------|-----------|----------------|-----------------|-----------------|
| 1 | 100 | 30 | 8.04 | 8.04 | 0 | 0 | 0.00 (12) | 0.00 (12) | 0.00 (12) |
| 2 | 100 | 30 | 8.04 | 8.04 | 1 | 72 | 0.03 (12) | 0.28 (12) | 0.39 (12) |
| 3 | 100 | 30 | 8.04 | 8.04 | 6 | 144 | 0.08 (12) | 0.24 (12) | 1.09 (12) |
| 4 | 100 | 30 | 8.04 | 8.04 | 18 | 216 | 0.18 (12) | 0.53 (12) | 2.28 (12) |
| 5 | 100 | 30 | 8.04 | 8.04 | 35 | 288 | 0.36 (12) | 3.64 (12) | 4.12 (12) |
| 6 | 100 | 30 | 8.04 | 8.04 | 56 | 361 | 0.60 (12) | 9.49 (12) | 6.36 (12) |
| 7 | 100 | 30 | 8.04 | 8.04 | 80 | 433 | 0.88 (12) | 17.33 (12) | 8.81 (12) |
| 8 | 100 | 30 | 8.04 | 8.04 | 106 | 505 | 1.19 (12) | 26.48 (12) | 11.40 (12) |
| 9 | 100 | 30 | 8.04 | 8.04 | 134 | 577 | 1.51 (12) | 36.35 (12) | 14.04 (12) |
| 10 | 100 | 30 | 8.04 | 8.04 | 161 | 649 | 1.83 (12) | 46.45 (12) | 16.70 (12) |
| 11 | 100 | 30 | 8.04 | 8.04 | 189 | 721 | 2.15 (12) | 56.59 (12) | 19.34 (12) |
| 12 | 100 | 30 | 8.04 | 8.04 | 217 | 793 | 2.47 (12) | 66.76 (12) | 21.97 (12) |
| 13 | 100 | 30 | 8.04 | 8.04 | 245 | 865 | 2.79 (12) | 77.00 (12) | 24.61 (12) |
| 14 | 100 | 30 | 8.04 | 8.04 | 274 | 938 | 3.12 (12) | 87.56 (12) | 27.29 (12) |

Fondazione

Tensione massima di compressione nel calcestruzzo 114.26 [kg/cmq]
Tensione massima di trazione dell'acciaio 4588.65 [kg/cmq]

| n° | B [cm] | H [cm] | Afi [cmq] | Afs [cmq] | M [kgm] | N [kg] | σc [kg/cmq] | σfi [kg/cmq] | σfs [kg/cmq] |
|----|-----------|-----------|--------------|--------------|------------|-----------|----------------|-----------------|-----------------|
| 1 | 100 | 40 | 8.04 | 8.04 | 0 | 0 | 0.00 (12) | 0.00 (12) | 0.00 (12) |
| 2 | 100 | 40 | 8.04 | 8.04 | 5 | 0 | 0.03 (12) | 1.81 (12) | 0.25 (12) |
| 3 | 100 | 40 | 8.04 | 8.04 | 20 | 0 | 0.14 (12) | 7.50 (12) | 1.03 (12) |
| 4 | 100 | 40 | 8.04 | 8.04 | 47 | 0 | 0.31 (12) | 17.48 (12) | 2.39 (12) |
| 5 | 100 | 40 | 8.04 | 8.04 | 87 | 0 | 0.58 (12) | 32.17 (12) | 4.41 (12) |
| 6 | 100 | 40 | 8.04 | 8.04 | 140 | 0 | 0.94 (12) | 51.96 (12) | 7.12 (12) |
| 7 | 100 | 40 | 8.04 | 8.04 | 208 | 0 | 1.39 (12) | 77.28 (12) | 10.59 (12) |
| 8 | 100 | 40 | 8.04 | 8.04 | -59 | 0 | 0.39 (12) | 3.00 (12) | 21.87 (12) |
| 9 | 100 | 40 | 8.04 | 8.04 | -43 | 0 | 0.29 (12) | 2.21 (12) | 16.12 (12) |
| 10 | 100 | 40 | 8.04 | 8.04 | -31 | 0 | 0.20 (12) | 1.55 (12) | 11.33 (12) |
| 11 | 100 | 40 | 8.04 | 8.04 | -20 | 0 | 0.13 (12) | 1.01 (12) | 7.35 (12) |
| 12 | 100 | 40 | 8.04 | 8.04 | -11 | 0 | 0.08 (12) | 0.57 (12) | 4.19 (12) |
| 13 | 100 | 40 | 8.04 | 8.04 | -5 | 0 | 0.03 (12) | 0.26 (12) | 1.89 (12) |
| 14 | 100 | 40 | 8.04 | 8.04 | -1 | 0 | 0.01 (12) | 0.07 (12) | 0.48 (12) |
| 15 | 100 | 40 | 8.04 | 8.04 | 0 | 0 | 0.00 (12) | 0.00 (12) | 0.00 (12) |

Verifica a fessurazione

Simbologia adottata

n° indice sezione
Y ordinata sezione espressa in [m]
B larghezza sezione espressa in [cm]
H altezza sezione espressa in [cm]
Af area ferri zona tesa espressa in [cmq]
Aeff area efficace espressa in [cmq]
M momento agente espressa in [kgm]
Mpf momento di formazione/apertura fessure espressa in [kgm]
ε deformazione espressa in %
Sm spaziatura tra le fessure espressa in [mm]
w apertura delle fessure espressa in [mm]

Combinazioni SLEF

Paramento

Apertura limite fessure $w_{lim}=0.40$

| n° | B [cm] | H [cm] | Af [cmq] | Aeff [cmq] | M [kgm] | Mpf [kgm] | ε [%] | Sm [mm] | w [mm] |
|----|-----------|-----------|-------------|---------------|------------|--------------|----------|------------|------------|
| 1 | 100 | 30 | 0.00 | 0.00 | 0 | 0 | --- | --- | 0.000 (11) |
| 2 | 100 | 30 | 8.04 | 785.36 | 1 | 5331 | 0.000000 | 0.00 | 0.000 (11) |
| 3 | 100 | 30 | 8.04 | 785.07 | 6 | 5335 | 0.000000 | 0.00 | 0.000 (11) |
| 4 | 100 | 30 | 8.04 | 784.78 | 18 | 5338 | 0.000000 | 0.00 | 0.000 (11) |
| 5 | 100 | 30 | 8.04 | 784.49 | 35 | 5342 | 0.000000 | 0.00 | 0.000 (11) |
| 6 | 100 | 30 | 8.04 | 784.20 | 56 | 5346 | 0.000000 | 0.00 | 0.000 (11) |

| | | | |
|--------------------------------------|------------------------------------------------------------------------------------------------------------------------------|----------------------------------------------------------------------------------|-------------|
| COMMITTENTE: Mecca Antonio | CODICE COMMESSA: | NOME ELABORATO: S1.5 - Relazione Geotecnica e delle Fondazioni | CONSULENTE: |
| DATA: Aprile 2023 | TITOLO: Lavori ultimazione di un fabbricato adibito ad albergo-ristorante– C.da Case Nuove Chicone Avigliano (PZ) | | |

| n° | B [cm] | H [cm] | Af [cmq] | Aeff [cmq] | M [kgm] | Mpf [kgm] | ε [%] | Sm [mm] | w [mm] |
|----|-----------|-----------|-------------|---------------|------------|--------------|----------|------------|------------|
| 7 | 100 | 30 | 8.04 | 783.91 | 80 | 5350 | 0.000000 | 0.00 | 0.000 (11) |
| 8 | 100 | 30 | 8.04 | 783.62 | 106 | 5353 | 0.000000 | 0.00 | 0.000 (11) |
| 9 | 100 | 30 | 8.04 | 783.33 | 134 | 5357 | 0.000000 | 0.00 | 0.000 (11) |
| 10 | 100 | 30 | 8.04 | 783.04 | 161 | 5361 | 0.000000 | 0.00 | 0.000 (11) |
| 11 | 100 | 30 | 8.04 | 782.75 | 189 | 5365 | 0.000000 | 0.00 | 0.000 (11) |
| 12 | 100 | 30 | 8.04 | 782.46 | 217 | 5368 | 0.000000 | 0.00 | 0.000 (11) |
| 13 | 100 | 30 | 8.04 | 782.17 | 245 | 5372 | 0.000000 | 0.00 | 0.000 (11) |
| 14 | 100 | 30 | 8.04 | 781.88 | 274 | 5376 | 0.000000 | 0.00 | 0.000 (11) |

Fondazione

Apertura limite fessure $w_{lim}=0.40$

| n° | B [cm] | H [cm] | Af [cmq] | Aeff [cmq] | M [kgm] | Mpf [kgm] | ε [%] | Sm [mm] | w [mm] |
|----|-----------|-----------|-------------|---------------|------------|--------------|----------|------------|------------|
| 1 | 100 | 40 | 0.00 | 0.00 | 0 | 0 | --- | --- | 0.000 (11) |
| 2 | 100 | 40 | 8.04 | 950.00 | 5 | 9338 | 0.000000 | 0.00 | 0.000 (11) |
| 3 | 100 | 40 | 8.04 | 950.00 | 20 | 9338 | 0.000000 | 0.00 | 0.000 (11) |
| 4 | 100 | 40 | 8.04 | 950.00 | 47 | 9338 | 0.000000 | 0.00 | 0.000 (11) |
| 5 | 100 | 40 | 8.04 | 950.00 | 87 | 9338 | 0.000000 | 0.00 | 0.000 (11) |
| 6 | 100 | 40 | 8.04 | 950.00 | 140 | 9338 | 0.000000 | 0.00 | 0.000 (11) |
| 7 | 100 | 40 | 8.04 | 950.00 | 208 | 9338 | 0.000000 | 0.00 | 0.000 (11) |
| 8 | 100 | 40 | 8.04 | 950.00 | -59 | -9338 | 0.000000 | 0.00 | 0.000 (11) |
| 9 | 100 | 40 | 8.04 | 950.00 | -43 | -9338 | 0.000000 | 0.00 | 0.000 (11) |
| 10 | 100 | 40 | 8.04 | 950.00 | -31 | -9338 | 0.000000 | 0.00 | 0.000 (11) |
| 11 | 100 | 40 | 8.04 | 950.00 | -20 | -9338 | 0.000000 | 0.00 | 0.000 (11) |
| 12 | 100 | 40 | 8.04 | 950.00 | -11 | -9338 | 0.000000 | 0.00 | 0.000 (11) |
| 13 | 100 | 40 | 8.04 | 950.00 | -5 | -9338 | 0.000000 | 0.00 | 0.000 (11) |
| 14 | 100 | 40 | 8.04 | 950.00 | -1 | -9338 | 0.000000 | 0.00 | 0.000 (11) |
| 15 | 100 | 40 | 0.00 | 0.00 | 0 | 0 | --- | --- | 0.000 (11) |

Combinazioni SLEQ

Paramento

Apertura limite fessure $w_{lim}=0.30$

| n° | B [cm] | H [cm] | Af [cmq] | Aeff [cmq] | M [kgm] | Mpf [kgm] | ε [%] | Sm [mm] | w [mm] |
|----|-----------|-----------|-------------|---------------|------------|--------------|----------|------------|------------|
| 1 | 100 | 30 | 0.00 | 0.00 | 0 | 0 | --- | --- | 0.000 (12) |
| 2 | 100 | 30 | 8.04 | 785.36 | 1 | 5331 | 0.000000 | 0.00 | 0.000 (12) |
| 3 | 100 | 30 | 8.04 | 785.07 | 6 | 5335 | 0.000000 | 0.00 | 0.000 (12) |
| 4 | 100 | 30 | 8.04 | 784.78 | 18 | 5338 | 0.000000 | 0.00 | 0.000 (12) |
| 5 | 100 | 30 | 8.04 | 784.49 | 35 | 5342 | 0.000000 | 0.00 | 0.000 (12) |
| 6 | 100 | 30 | 8.04 | 784.20 | 56 | 5346 | 0.000000 | 0.00 | 0.000 (12) |
| 7 | 100 | 30 | 8.04 | 783.91 | 80 | 5350 | 0.000000 | 0.00 | 0.000 (12) |
| 8 | 100 | 30 | 8.04 | 783.62 | 106 | 5353 | 0.000000 | 0.00 | 0.000 (12) |
| 9 | 100 | 30 | 8.04 | 783.33 | 134 | 5357 | 0.000000 | 0.00 | 0.000 (12) |
| 10 | 100 | 30 | 8.04 | 783.04 | 161 | 5361 | 0.000000 | 0.00 | 0.000 (12) |
| 11 | 100 | 30 | 8.04 | 782.75 | 189 | 5365 | 0.000000 | 0.00 | 0.000 (12) |
| 12 | 100 | 30 | 8.04 | 782.46 | 217 | 5368 | 0.000000 | 0.00 | 0.000 (12) |
| 13 | 100 | 30 | 8.04 | 782.17 | 245 | 5372 | 0.000000 | 0.00 | 0.000 (12) |
| 14 | 100 | 30 | 8.04 | 781.88 | 274 | 5376 | 0.000000 | 0.00 | 0.000 (12) |

Fondazione

Apertura limite fessure $w_{lim}=0.30$

| n° | B [cm] | H [cm] | Af [cmq] | Aeff [cmq] | M [kgm] | Mpf [kgm] | ε [%] | Sm [mm] | w [mm] |
|----|-----------|-----------|-------------|---------------|------------|--------------|----------|------------|------------|
| 1 | 100 | 40 | 0.00 | 0.00 | 0 | 0 | --- | --- | 0.000 (12) |
| 2 | 100 | 40 | 8.04 | 950.00 | 5 | 9338 | 0.000000 | 0.00 | 0.000 (12) |
| 3 | 100 | 40 | 8.04 | 950.00 | 20 | 9338 | 0.000000 | 0.00 | 0.000 (12) |
| 4 | 100 | 40 | 8.04 | 950.00 | 47 | 9338 | 0.000000 | 0.00 | 0.000 (12) |
| 5 | 100 | 40 | 8.04 | 950.00 | 87 | 9338 | 0.000000 | 0.00 | 0.000 (12) |
| 6 | 100 | 40 | 8.04 | 950.00 | 140 | 9338 | 0.000000 | 0.00 | 0.000 (12) |
| 7 | 100 | 40 | 8.04 | 950.00 | 208 | 9338 | 0.000000 | 0.00 | 0.000 (12) |
| 8 | 100 | 40 | 8.04 | 950.00 | -59 | -9338 | 0.000000 | 0.00 | 0.000 (12) |
| 9 | 100 | 40 | 8.04 | 950.00 | -43 | -9338 | 0.000000 | 0.00 | 0.000 (12) |
| 10 | 100 | 40 | 8.04 | 950.00 | -31 | -9338 | 0.000000 | 0.00 | 0.000 (12) |
| 11 | 100 | 40 | 8.04 | 950.00 | -20 | -9338 | 0.000000 | 0.00 | 0.000 (12) |
| 12 | 100 | 40 | 8.04 | 950.00 | -11 | -9338 | 0.000000 | 0.00 | 0.000 (12) |
| 13 | 100 | 40 | 8.04 | 950.00 | -5 | -9338 | 0.000000 | 0.00 | 0.000 (12) |
| 14 | 100 | 40 | 8.04 | 950.00 | -1 | -9338 | 0.000000 | 0.00 | 0.000 (12) |
| 15 | 100 | 40 | 0.00 | 0.00 | 0 | 0 | --- | --- | 0.000 (12) |

Relazione Geotecnica e delle Fondazioni

| | | | |
|--------------------------------------|----------------------------------------------------------------------------------------------------------------------|----------------------------------------------------------------------------------|-------------|
| COMMITTENTE: Mecca Antonio | CODICE COMMESSA: | NOME ELABORATO: S1.5 - Relazione Geotecnica e delle Fondazioni | CONSULENTE: |
| DATA: Aprile 2023 | TITOLO: Lavori ultimazione di un fabbricato adibito ad albergo-ristorante– C.da Case Nuove Chicone Avigliano (PZ) | | |

Elenco ferri

Simbologia adottata

| | |
|--------------------|---------------------------------|
| n° | Indice del ferro |
| nf | numero ferri |
| D | diametro ferro espresso in [mm] |
| L | Lunghezza ferro espresso in [m] |
| P _{ferro} | Peso ferro espresso in [kg] |

Paramento

| n° | Tipo | nf | D [mm] | L [m] | P _f [kg] | P _{af} [kg] | V _{cls} [mc] |
|----|------------------------|----|-----------|----------|------------------------|-------------------------|--------------------------|
| 1 | Dritto superiore | 4 | 16.00 | 2.31 | 3.65 | 14.60 | |
| 2 | Dritto inferiore | 4 | 16.00 | 2.27 | 3.59 | 14.34 | |
| 3 | Ripartitore | 8 | 10.00 | 1.00 | 0.62 | 4.93 | |
| 4 | Gancio | 8 | 10.00 | 0.41 | 0.25 | 2.01 | |
| | Totale al metro | | | | | 35.89 | 0.38 |
| | Totale | | | | | 35.89 | 0.38 |

Fondazione

| n° | Tipo | nf | D [mm] | L [m] | P _f [kg] | P _{af} [kg] | V _{cls} [mc] |
|----|------------------------|----|-----------|----------|------------------------|-------------------------|--------------------------|
| 1 | Dritto superiore | 4 | 16.00 | 2.38 | 3.76 | 15.05 | |
| 2 | Dritto inferiore | 4 | 16.00 | 2.38 | 3.76 | 15.05 | |
| 3 | Ripartitore | 8 | 10.00 | 1.00 | 0.62 | 4.93 | |
| 4 | Gancio | 8 | 10.00 | 0.51 | 0.31 | 2.51 | |
| | Totale al metro | | | | | 37.54 | 0.60 |
| | Totale | | | | | 33.82 | 0.60 |

Computo metrico

| | U.M. | Quantità | Prezzo unitario [Euro] | Importo [Euro] |
|----------------------------|------|----------|---------------------------|-------------------|
| Calcestruzzo in elevazione | [mc] | 0.38 | 72.30 | 27.11 |
| Calcestruzzo in fondazione | [mc] | 0.60 | 61.97 | 37.18 |
| Acciaio per armatura | [kg] | 69.71 | 0.90 | 62.74 |
| Casseformi | [mq] | 2.50 | 13.94 | 34.85 |
| Scavo a sezione obbligata | [mc] | 0.60 | 9.30 | 5.58 |
| Totale muro | | | | 167.46 |
| Totale | | | | 167.46 |

Relazione Geotecnica e delle Fondazioni

Dichiarazioni secondo N.T.C. 2018 (punto 10.2)

Analisi e verifiche svolte con l'ausilio di codici di calcolo

Il sottoscritto, in qualità di calcolatore delle opere in progetto, dichiara quanto segue.

Tipo di analisi svolta

L'analisi strutturale e le verifiche sono condotte con l'ausilio di un codice di calcolo automatico. La verifica della sicurezza degli elementi strutturali è stata valutata con i metodi della scienza delle costruzioni.

Il calcolo dei muri di sostegno viene eseguito secondo le seguenti fasi:

- Calcolo della spinta del terreno
- Verifica a ribaltamento
- Verifica a scorrimento del muro sul piano di posa
- Verifica della stabilità complessa fondazione terreno (carico limite)
- Verifica della stabilità globale
- Calcolo delle sollecitazioni sia del muro che della fondazione, progetto delle armature e relative verifiche dei materiali.

L'analisi strutturale sotto le azioni sismiche è condotta con il metodo dell'analisi statica equivalente secondo le disposizioni del capitolo 7 del D.M. 17/01/2018.

La verifica delle sezioni degli elementi strutturali è eseguita con il metodo degli Stati Limite. Le combinazioni di carico adottate sono esaustive relativamente agli scenari di carico più gravosi cui l'opera sarà soggetta.

Origine e caratteristiche dei codici di calcolo

| | |
|------------|-------------------------------------------------------------------|
| Titolo | MAX - Analisi e Calcolo Muri di Sostegno |
| Versione | 16.0 |
| Produttore | Aztec Informatica srl, Casali del Manco - loc. Casole Bruzio (CS) |
| Utente | ING. LISANTI VITO |
| Licenza | AIU5936U5 |

Affidabilità dei codici di calcolo

Un attento esame preliminare della documentazione a corredo del software ha consentito di valutarne l'affidabilità. La documentazione fornita dal produttore del software contiene un'esauriente descrizione delle basi teoriche, degli algoritmi impiegati e l'individuazione dei campi d'impiego. La società produttrice Aztec Informatica srl ha verificato l'affidabilità e la robustezza del codice di calcolo attraverso un numero significativo di casi prova in cui i risultati dell'analisi numerica sono stati confrontati con soluzioni teoriche.

Modalità di presentazione dei risultati

La relazione di calcolo strutturale presenta i dati di calcolo tale da garantirne la leggibilità, la corretta interpretazione e la riproducibilità. La relazione di calcolo illustra in modo esaustivo i dati in ingresso ed i risultati delle analisi in forma tabellare.

Informazioni generali sull'elaborazione

Il software prevede una serie di controlli automatici che consentono l'individuazione di errori di modellazione, di non rispetto di limitazioni geometriche e di armatura e di presenza di elementi non verificati. Il codice di calcolo consente di visualizzare e controllare, sia in forma grafica che tabellare, i dati del modello strutturale, in modo da avere una visione consapevole del comportamento corretto del modello strutturale.

SEZIONE G

Normative di riferimento

- Legge nr. 1086 del 05/11/1971.
Norme per la disciplina delle opere in conglomerato cementizio, normale e precompresso ed a struttura metallica.
- Legge nr. 64 del 02/02/1974.
Provvedimenti per le costruzioni con particolari prescrizioni per le zone sismiche.
- D.M. LL.PP. del 11/03/1988.
Norme tecniche riguardanti le indagini sui terreni e sulle rocce, la stabilità dei pendii naturali e delle scarpate, i criteri generali e le prescrizioni per la progettazione, l'esecuzione e il collaudo delle opere di sostegno delle terre e delle opere di fondazione.
- D.M. LL.PP. del 14/02/1992.
Norme tecniche per l'esecuzione delle opere in cemento armato normale e precompresso e per le strutture metalliche.
- D.M. 9 Gennaio 1996
Norme Tecniche per il calcolo, l'esecuzione ed il collaudo delle strutture in cemento armato normale e precompresso e per le strutture metalliche
- D.M. 16 Gennaio 1996
Norme Tecniche relative ai 'Criteri generali per la verifica di sicurezza delle costruzioni e dei carichi e sovraccarichi'

| | | | |
|--------------------------------------|------------------------------------------------------------------------------------------------------------------------------|----------------------------------------------------------------------------------|-------------|
| COMMITTENTE: Mecca Antonio | CODICE COMMESSA: | NOME ELABORATO: S1.5 - Relazione Geotecnica e delle Fondazioni | CONSULENTE: |
| DATA: Aprile 2023 | TITOLO: Lavori ultimazione di un fabbricato adibito ad albergo-ristorante– C.da Case Nuove Chicone Avigliano (PZ) | | |

- D.M. 16 Gennaio 1996

Norme Tecniche per le costruzioni in zone sismiche

- Circolare Ministero LL.PP. 15 Ottobre 1996 N. 252 AA.GG./S.T.C.

Istruzioni per l'applicazione delle Norme Tecniche di cui al D.M. 9 Gennaio 1996

- Circolare Ministero LL.PP. 10 Aprile 1997 N. 65/AA.GG.

Istruzioni per l'applicazione delle Norme Tecniche per le costruzioni in zone sismiche di cui al D.M. 16 Gennaio 1996

- Norme Tecniche per le Costruzioni 2018 (D.M. 17 Gennaio 2018)

- Circolare C.S.LL.PP. 21/01/2019 n.7 - Istruzioni per l'applicazione dell'Aggiornamento delle Norme tecniche per le costruzioni di cui al D.M. 17 gennaio 2018

Relazione Geotecnica e delle Fondazioni

Richiami teorici

Il calcolo dei muri di sostegno viene eseguito secondo le seguenti fasi:

- Calcolo della spinta del terreno
- Verifica a ribaltamento
- Verifica a scorrimento del muro sul piano di posa
- Verifica della stabilità complesso fondazione terreno (carico limite)
- Verifica della stabilità globale

Se il muro è in calcestruzzo armato: Calcolo delle sollecitazioni sia del muro che della fondazione, progetto delle armature e relative verifiche dei materiali.

Se il muro è a gravità: Calcolo delle sollecitazioni sia del muro che della fondazione e verifica in diverse sezioni al ribaltamento, allo scorrimento ed allo schiacciamento.

Calcolo della spinta sul muro

Valori caratteristici e valori di calcolo

Effettuando il calcolo tramite gli Eurocodici è necessario fare la distinzione fra i parametri caratteristici ed i valori di calcolo (o di progetto) sia delle azioni che delle resistenze.

I valori di calcolo si ottengono dai valori caratteristici mediante l'applicazione di opportuni coefficienti di sicurezza parziali γ . In particolare si distinguono combinazioni di carico di tipo **A1-M1** nelle quali vengono incrementati i carichi e lasciati inalterati i parametri di resistenza del terreno e combinazioni di carico di tipo **A2-M2** nelle quali vengono ridotti i parametri di resistenza del terreno e incrementati i soli carichi variabili.

Metodo di Culmann

Il metodo di Culmann adotta le stesse ipotesi di base del metodo di Coulomb. La differenza sostanziale è che mentre Coulomb considera un terrapieno con superficie a pendenza costante e carico uniformemente distribuito (il che permette di ottenere una espressione in forma chiusa per il coefficiente di spinta) il metodo di Culmann consente di analizzare situazioni con profilo di forma generica e carichi sia concentrati che distribuiti comunque disposti. Inoltre, rispetto al metodo di Coulomb, risulta più immediato e lineare tener conto della coesione del masso spingente. Il metodo di Culmann, nato come metodo essenzialmente grafico, si è evoluto per essere trattato mediante analisi numerica (noto in questa forma come metodo del cuneo di tentativo). Come il metodo di Coulomb anche questo metodo considera una superficie di rottura rettilinea.

I passi del procedimento risolutivo sono i seguenti:

- si impone una superficie di rottura (angolo di inclinazione ρ rispetto all'orizzontale) e si considera il cuneo di spinta delimitato dalla superficie di rottura stessa, dalla parete su cui si calcola la spinta e dal profilo del terreno;
- si valutano tutte le forze agenti sul cuneo di spinta e cioè peso proprio (W), carichi sul terrapieno, resistenza per attrito e per coesione lungo la superficie di rottura (R e C) e resistenza per coesione lungo la parete (A);
- dalle equazioni di equilibrio si ricava il valore della spinta S sulla parete.

Questo processo viene iterato fino a trovare l'angolo di rottura per cui la spinta risulta massima.

La convergenza non si raggiunge se il terrapieno risulta inclinato di un angolo maggiore dell'angolo d'attrito del terreno.

Nei casi in cui è applicabile il metodo di Coulomb (profilo a monte rettilineo e carico uniformemente distribuito) i risultati ottenuti col metodo di Culmann coincidono con quelli del metodo di Coulomb.

Le pressioni sulla parete di spinta si ricavano derivando l'espressione della spinta S rispetto all'ordinata z . Noto il diagramma delle pressioni è possibile ricavare il punto di applicazione della spinta.

Spinta in presenza di falda

Nel caso in cui a monte della parete sia presente la falda il diagramma delle pressioni risulta modificato a causa della sottospinta che l'acqua esercita sul terreno. Il peso di volume del terreno al di sopra della linea di falda non subisce variazioni. Viceversa, al di sotto del livello di falda va considerato il peso di volume efficace

$$\gamma' = \gamma_{\text{sat}} - \gamma_w$$

dove γ_{sat} è il peso di volume saturo del terreno (dipendente dall'indice dei pori) e γ_w è il peso specifico dell'acqua. Quindi il diagramma delle pressioni al di sotto della linea di falda ha una pendenza minore. Al diagramma così ottenuto va sommato il diagramma triangolare legato alla pressione esercitata dall'acqua.

Spinta in presenza di sisma

Per tener conto dell'incremento di spinta dovuta al sisma si fa riferimento al metodo di Mononobe-Okabe (cui fa riferimento la Normativa Italiana).

La Normativa Italiana suggerisce di tener conto di un incremento di spinta dovuto al sisma nel modo seguente.

| | | | |
|--------------------------------------|------------------------------------------------------------------------------------------------------------------------------|----------------------------------------------------------------------------------|-------------|
| COMMITTENTE: Mecca Antonio | CODICE COMMESSA: | NOME ELABORATO: S1.5 - Relazione Geotecnica e delle Fondazioni | CONSULENTE: |
| DATA: Aprile 2023 | TITOLO: Lavori ultimazione di un fabbricato adibito ad albergo-ristorante– C.da Case Nuove Chicone Avigliano (PZ) | | |

Detta ε l'inclinazione del terrapieno rispetto all'orizzontale e β l'inclinazione della parete rispetto alla verticale, si calcola la spinta S' considerando un'inclinazione del terrapieno e della parte pari a

$$\varepsilon' = \varepsilon + \theta \quad \beta' = \beta + \theta$$

dove $\theta = \arctg(k_h/(1 \pm k_v))$ essendo k_h il coefficiente sismico orizzontale e k_v il coefficiente sismico verticale, definito in funzione di k_h .

In presenza di falda a monte, θ assume le seguenti espressioni:

Terreno a bassa permeabilità

$$\theta = \arctan\left(\frac{\gamma_{sat}}{\gamma_{sat} - \gamma_w} \frac{k_h}{1 \pm k_v}\right)$$

Terreno a permeabilità elevata

$$\theta = \arctan\left(\frac{\gamma}{\gamma_{sat} - \gamma_w} \frac{k_h}{1 \pm k_v}\right)$$

Detta S la spinta calcolata in condizioni statiche l'incremento di spinta da applicare è espresso da

$$\Delta S = AS' - S$$

dove il coefficiente A vale

$$A = \frac{\cos^2(\beta + \theta)}{\cos^2 \beta \cos \theta}$$

In presenza di falda a monte, nel coefficiente A si tiene conto dell'influenza dei pesi di volume nel calcolo di θ .

Adottando il metodo di Mononobe-Okabe per il calcolo della spinta, il coefficiente A viene posto pari a 1.

Tale incremento di spinta è applicato a metà altezza della parete di spinta nel caso di forma rettangolare del diagramma di incremento sismico, allo stesso punto di applicazione della spinta statica nel caso in cui la forma del diagramma di incremento sismico è uguale a quella del diagramma statico.

Oltre a questo incremento bisogna tener conto delle forze d'inerzia orizzontali e verticali che si destano per effetto del sisma. Tali forze vengono valutate come

$$F_{IH} = k_h W \quad F_{IV} = \pm k_v W$$

dove W è il peso del muro, del terreno soprastante la mensola di monte ed i relativi sovraccarichi e va applicata nel baricentro dei pesi.

Il metodo di Culmann tiene conto automaticamente dell'incremento di spinta. Basta inserire nell'equazione risolutiva la forza d'inerzia del cuneo di spinta. La superficie di rottura nel caso di sisma risulta meno inclinata della corrispondente superficie in assenza di sisma.

Verifica a ribaltamento

La verifica a ribaltamento consiste nel determinare il momento risultante di tutte le forze che tendono a fare ribaltare il muro (momento ribaltante M_r) ed il momento risultante di tutte le forze che tendono a stabilizzare il muro (momento stabilizzante M_s) rispetto allo spigolo a valle della fondazione e verificare che il rapporto M_s/M_r sia maggiore di un determinato coefficiente di sicurezza η_r .

Deve quindi essere verificata la seguente disequaglianza:

$$\frac{M_s}{M_r} \geq \eta_r$$

Il momento ribaltante M_r è dato dalla componente orizzontale della spinta S , dalle forze di inerzia del muro e del terreno gravante sulla fondazione di monte (caso di presenza di sisma) per i rispettivi bracci. Nel momento stabilizzante interviene il peso del muro (applicato nel baricentro) ed il peso del terreno gravante sulla fondazione di monte. Per quanto riguarda invece la componente verticale della spinta essa sarà stabilizzante se l'angolo d'attrito terra-muro δ è positivo, ribaltante se δ è negativo. δ è positivo quando è il terrapieno che scorre rispetto al muro, negativo quando è il muro che tende a scorrere rispetto al terrapieno (questo può essere il caso di una spalla da ponte gravata da carichi notevoli). Se sono presenti dei tiranti essi contribuiscono al momento stabilizzante.

Questa verifica ha significato solo per fondazione superficiale e non per fondazione su pali.

Verifica a scorrimento

Relazione Geotecnica e delle Fondazioni

Per la verifica a scorrimento del muro lungo il piano di fondazione deve risultare che la somma di tutte le forze parallele al piano di posa che tendono a fare scorrere il muro deve essere minore di tutte le forze, parallele al piano di scorrimento, che si oppongono allo scivolamento, secondo un certo coefficiente di sicurezza. La verifica a scorrimento risulta soddisfatta se il rapporto fra la risultante delle forze resistenti allo scivolamento F_r e la risultante delle forze che tendono a fare scorrere il muro F_s risulta maggiore di un determinato coefficiente di sicurezza η_s

$$\frac{F_r}{F_s} \geq \eta_s$$

Le forze che intervengono nella F_s sono: la componente della spinta parallela al piano di fondazione e la componente delle forze d'inerzia parallela al piano di fondazione.

La forza resistente è data dalla resistenza d'attrito e dalla resistenza per adesione lungo la base della fondazione. Detta N la componente normale al piano di fondazione del carico totale gravante in fondazione e indicando con δ_f l'angolo d'attrito terreno-fondazione, con c_a l'adesione terreno-fondazione e con B_f la larghezza della fondazione reagente, la forza resistente può esprimersi come

$$F_r = N \tan \delta_f + c_a B_f$$

La Normativa consente di computare, nelle forze resistenti, una aliquota dell'eventuale spinta dovuta al terreno posto a valle del muro. In tal caso, però, il coefficiente di sicurezza deve essere aumentato opportunamente. L'aliquota di spinta passiva che si può considerare ai fini della verifica a scorrimento non può comunque superare il 50 per cento.

Per quanto riguarda l'angolo d'attrito terra-fondazione, δ_f , diversi autori suggeriscono di assumere un valore di δ_f pari all'angolo d'attrito del terreno di fondazione.

Verifica al carico limite

Il rapporto fra il carico limite in fondazione e la componente normale della risultante dei carichi trasmessi dal muro sul terreno di fondazione deve essere superiore a η_q . Cioè, detto Q_u , il carico limite ed R la risultante verticale dei carichi in fondazione, deve essere:

$$\frac{Q_u}{R} \geq \eta_q$$

Le espressioni di Hansen per il calcolo della capacità portante si differenziano a secondo se siamo in presenza di un terreno puramente coesivo ($\phi=0$) o meno e si esprimono nel modo seguente:

Caso generale $\phi > 0$

$$q_u = c N_{c_s} d_{c_i} g_{c_i} b_{c_i} + q N_{q_s} d_{q_i} g_{q_i} b_{q_i} + 0.5 B \gamma N_{\gamma_s} d_{\gamma_i} g_{\gamma_i} b_{\gamma_i}$$

Caso di terreno puramente coesivo $\phi=0$

$$q_u = 5.14 c_u \left(1 + s_c + d_c - i_c - g_c - b_c \right) + q$$

I fattori che compaiono in queste espressioni sono espressi da:

- N fattori di capacità portante
- s fattori di forma
- d fattori di profondità
- i fattori di inclinazione del carico
- b fattori di inclinazione del piano di fondazione (base inclinata), con η inclinazione del piano di posa
- g fattori di inclinazione del terreno (fondazione su pendio), con β pendenza del pendio

| Fattori di capacità portante | | $N_c = (N_q - 1) \cot \varphi$ | $N_q = e^{N \tan \varphi} K_p$ | $N_\gamma = 1.5(N_q - 1) \tan \varphi$ |
|------------------------------------|---------------|-------------------------------------------------------------|--------------------------------------------------------------------|----------------------------------------------------------------------------------------|
| Fattori di forma | $\varphi = 0$ | $s_c = 0.2 \frac{B}{L}$ | | |
| | $\varphi > 0$ | $s_c = 1 + \frac{N_q B}{L}$ | $s_q = 1 + \frac{B}{L} \tan \varphi$ | $s_\gamma = 1 - 0.4 \frac{B}{L}$ |
| Fattori di profondità | $\varphi = 0$ | $d_c = 0.4k$ | | |
| | $\varphi > 0$ | $d_c = 1 + 0.4k$ | $d_q = 1 + 2 \tan \varphi (1 - \sin \varphi)^2 k$ | $d_\gamma = 1$ |
| Fattori di inclinazione del carico | $\varphi = 0$ | $i_c = 0.5 \left(1 - \sqrt{1 - \frac{H}{A_c c_s}} \right)$ | | |
| | $\varphi > 0$ | $i_c = i_q - \frac{1 - i_q}{N_q - 1}$ | $i_q = \left(1 - \frac{0.5H}{V + A_c c_s \cot \varphi} \right)^2$ | $i_\gamma = \left(1 - \frac{0.7H}{V + A_c c_s \cot \varphi} \right)^2$ per $\eta = 0$ |

| | | | |
|--------------------------------------|------------------------------------------------------------------------------------------------------------------------------|----------------------------------------------------------------------------------|-------------|
| COMMITTENTE: Mecca Antonio | CODICE COMMESSA: | NOME ELABORATO: S1.5 - Relazione Geotecnica e delle Fondazioni | CONSULENTE: |
| DATA: Aprile 2023 | TITOLO: Lavori ultimazione di un fabbricato adibito ad albergo-ristorante– C.da Case Nuove Chicone Avigliano (PZ) | | |

| | | | | |
|------------------------------------------------------------------|---------------|-----------------------------------|---------------------------------|-----------------------------------------------------------------------------------------------|
| | | | | $i_v = \left(1 - \frac{(n-1)\eta^2 \tan^2 \beta}{1 + 0.5 \tan \beta}\right)^3$ per $\eta > 0$ |
| Fattori di inclinazione del piano di fondazione (base inclinata) | $\varphi = 0$ | $b_c = \frac{\eta^2}{147^2}$ | | |
| | $\varphi > 0$ | $b_c = 1 - \frac{\eta^2}{147^2}$ | $b_q = e^{-2\eta \tan \varphi}$ | $b_v = e^{-2.7\eta \tan \varphi}$ |
| Fattori di inclinazione del terreno (fondazione su pendio) | $\varphi = 0$ | $g_c = \frac{\beta^2}{147^2}$ | | |
| | $\varphi > 0$ | $g_c = 1 - \frac{\beta^2}{147^2}$ | $g_q = (1 - 0.5 \tan \beta)^3$ | $g_v = (1 - 0.5 \tan \beta)^3$ |

Indichiamo con K_p il coefficiente di spinta passiva espresso da:

$$K_p = \tan^2 \left(45^\circ + \frac{\varphi}{2} \right)$$

Dove i coeff. k e m assumono le seguenti espressioni:

| | | |
|-------------------------------------------|------------------------------------------------|-----------------------------------------------|
| $k = \frac{e}{B}$ se $\frac{e}{B} \leq 1$ | $k = \arctan \frac{e}{B}$ se $\frac{e}{B} > 1$ | $m = \frac{2 + \frac{B}{L}}{1 + \frac{B}{L}}$ |
|-------------------------------------------|------------------------------------------------|-----------------------------------------------|

Indichiamo con V e H le componenti del carico rispettivamente perpendicolare e parallela alla base e con A_f l'area efficace della fondazione ottenuta come $A_f = B' \times L'$ (B' e L' sono legate alle dimensioni effettive della fondazione B , L e all'eccentricità del carico e_B , e_L dalle relazioni $B' = B - 2e_B$, $L' = L - 2e_L$) e con η l'angolo di inclinazione della fondazione espresso in gradi ($\eta=0$ per fondazione orizzontale).

Per poter applicare la formula di Vesic devono risultare verificate le seguenti condizioni:

| | | | |
|-------------------------------|----------------------|----------------|------------------------------|
| $H < V \tan \delta + A_f c_u$ | $\beta \leq \varphi$ | $i_q, i_v > 0$ | $\beta + \eta \leq 90^\circ$ |
|-------------------------------|----------------------|----------------|------------------------------|

Riduzione per eccentricità del carico

Nel caso in cui il carico al piano di posa della fondazione risulta eccentrico, Meyerhof propone di moltiplicare la capacità portante ultima per un fattore correttivo R_e

| | |
|----------------------------------|------------------------|
| $R_e = 1.0 - 2.0 \frac{e}{B}$ | per terreni coesivi |
| $R_e = 1.0 - \sqrt{\frac{e}{B}}$ | per terreni incoerenti |

con e eccentricità del carico e B la dimensione minore della fondazione.

Riduzione per effetto piastra

Per valori elevati di B (dimensione minore della fondazione), Bowles propone di utilizzare un fattore correttivo r_γ del solo termine sul peso di volume ($0.5 B \gamma N_\gamma$) quando B supera i 2 m.

$$r_\gamma = 1.0 - 0.25 \log \frac{B}{2.0}$$

Il termine sul peso di volume diventa:

$$0.5 B \gamma N_\gamma r_\gamma$$

Verifica alla stabilità globale

La verifica alla stabilità globale del complesso muro+terreno deve fornire un coefficiente di sicurezza non inferiore a η_g .

Viene usata la tecnica della suddivisione a strisce della superficie di scorrimento da analizzare. La superficie di scorrimento viene supposta circolare e determinata in modo tale da non avere intersezione con il profilo del muro.

Si adotta per la verifica di stabilità globale il metodo di Bishop.

Il coefficiente di sicurezza nel metodo di Bishop si esprime secondo la seguente formula:

Relazione Geotecnica e delle Fondazioni

$$\eta = \frac{\sum_{i=0}^n \left[\frac{c_i b_i + (W_i - u_i b_i) \tan \varphi_i}{m} \right]}{\sum_{i=0}^n W_i \sin \alpha_i}$$

dove il termine m è espresso da

$$m = \left(1 + \frac{\tan \varphi_i \tan \alpha_i}{\eta} \right) \cos \alpha_i$$

In questa espressione n è il numero delle strisce considerate, b_i e α_i sono la larghezza e l'inclinazione della base della striscia i -esima rispetto all'orizzontale, W_i è il peso della striscia i -esima, c_i e φ_i sono le caratteristiche del terreno (coesione ed angolo di attrito) lungo la base della striscia ed u_i è la pressione neutra lungo la base della striscia.

L'espressione del coefficiente di sicurezza di Bishop contiene al secondo membro il termine m che è funzione di η . Quindi essa è risolta per successive approssimazioni assumendo un valore iniziale per η da inserire nell'espressione di m ed iterare fin quando il valore calcolato coincide con il valore assunto.

| | | | |
|--------------------------------------|------------------------------------------------------------------------------------------------------------------------------|----------------------------------------------------------------------------------|-------------|
| COMMITTENTE: Mecca Antonio | CODICE COMMESSA: | NOME ELABORATO: S1.5 - Relazione Geotecnica e delle Fondazioni | CONSULENTE: |
| DATA: Aprile 2023 | TITOLO: Lavori ultimazione di un fabbricato adibito ad albergo-ristorante- C.da Case Nuove Chicone Avigliano (PZ) | | |

Dati

Materiali

Simbologia adottata

| | |
|----------------------------|-----------------------------------------------------------------------------|
| n° | Indice materiale |
| Descr | Descrizione del materiale |
| <u>Calcestruzzo armato</u> | |
| C | Classe di resistenza del cls |
| A | Classe di resistenza dell'acciaio |
| γ | Peso specifico, espresso in [kg/mc] |
| R_{ck} | Resistenza caratteristica a compressione, espressa in [kg/cm ²] |
| E | Modulo elastico, espresso in [kg/cm ²] |
| ν | Coeff. di Poisson |
| n | Coeff. di omogenizzazione acciaio/cls |
| ntc | Coeff. di omogenizzazione cls teso/compresso |

Calcestruzzo armato

| n° | Descr | C | A | γ [kg/mc] | R_{ck} [kg/cm ²] | E [kg/cm ²] | ν | n | ntc |
|----|--------|--------|-------|---------------------|-----------------------------------|----------------------------|-------|-------|------|
| 1 | C25/30 | C25/30 | B450C | 2500.00 | 305.91 | 320666 | 0.30 | 15.00 | 0.50 |

Acciai

| Descr | f_{yk} [kg/cm ²] | f_{uk} [kg/cm ²] |
|-------|-----------------------------------|-----------------------------------|
| B450C | 4588.65 | 5506.38 |

Geometria profilo terreno a monte del muro

Simbologia adottata

(Sistema di riferimento con origine in testa al muro, ascissa X positiva verso monte, ordinata Y positiva verso l'alto)

| | |
|----|-----------------------------------------|
| n° | numero ordine del punto |
| X | ascissa del punto espressa in [m] |
| Y | ordinata del punto espressa in [m] |
| A | inclinazione del tratto espressa in [°] |

| n° | X [m] | Y [m] | A [°] |
|----|----------|----------|----------|
| 1 | 0.00 | 0.00 | 0.000 |
| 2 | 5.03 | 1.15 | 12.878 |
| 3 | 7.42 | 1.42 | 6.445 |

Inclinazione terreno a valle del muro rispetto all'orizzontale 0.000 [°]

Geometria muro

Geometria paramento e fondazione

| | | |
|----------------------------------------|--------|-----|
| Lunghezza muro | 1.00 | [m] |
| <u>Paramento</u> | | |
| Materiale | C25/30 | |
| Altezza paramento | 2.00 | [m] |
| Altezza paramento libero | 2.00 | [m] |
| Spessore in sommità | 0.30 | [m] |
| Spessore all'attacco con la fondazione | 0.30 | [m] |
| Inclinazione paramento esterno | 0.00 | [°] |
| Inclinazione paramento interno | 0.00 | [°] |
| <u>Fondazione</u> | | |
| Materiale | C25/30 | |
| Lunghezza mensola di valle | 0.60 | [m] |
| Lunghezza mensola di monte | 0.80 | [m] |

Relazione Geotecnica e delle Fondazioni

| | | |
|----------------------------|------|-----|
| Lunghezza totale | 1.70 | [m] |
| Inclinazione piano di posa | 0.00 | [°] |
| Spessore | 0.40 | [m] |
| Spessore magrone | 0.00 | [m] |

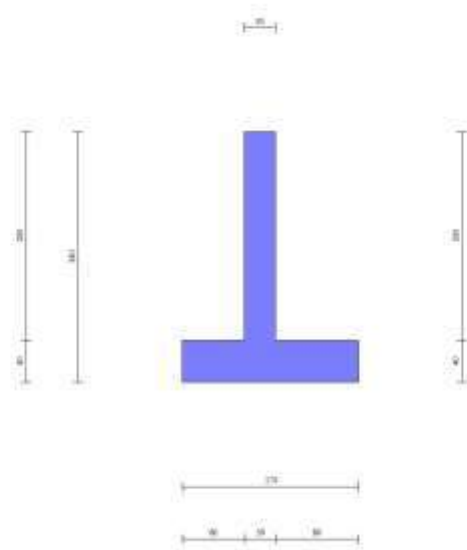


Fig. 1 - Sezione quotata del muro

Descrizione terreni

Parametri di resistenza

Simbologia adottata

| | |
|-------------------------------------------------------|-----------------------------------------------------------------------|
| n° | Indice del terreno |
| Descr | Descrizione terreno |
| γ | Peso di volume del terreno espresso in [kg/mc] |
| γ_s | Peso di volume saturo del terreno espresso in [kg/mc] |
| ϕ | Angolo d'attrito interno espresso in [°] |
| δ | Angolo d'attrito terra-muro espresso in [°] |
| c | Coesione espressa in [kg/cm ²] |
| c_a | Adesione terra-muro espressa in [kg/cm ²] |
| Per calcolo portanza con il metodo di Bustamante-Doix | |
| Cesp | Coeff. di espansione laterale (solo per il metodo di Bustamante-Doix) |
| τ_l | Tensione tangenziale limite, espressa in [kg/cm ²] |

| n° | Descr | γ [kg/mc] | γ_{sat} [kg/mc] | ϕ [°] | δ [°] | c [kg/cm ²] | c_a [kg/cm ²] | Cesp | τ_l [kg/cm ²] |
|----|---------------------|---------------------|---------------------------|---------------|-----------------|----------------------------|--------------------------------|------|-----------------------------------|
| 1 | Terreno | 1900.00 | 1900.00 | 30.000 | 20.000 | 0.05 | 0.03 | --- | --- |
| 2 | 4COLTRE ALTERAZIONE | 2000.00 | 2000.00 | 24.000 | 16.000 | 0.25 | 0.13 | --- | --- |

Stratigrafia

Simbologia adottata

| | |
|--------------------------------------------------------------------------------------------------------------------------|----------------------------------------------------------------------------------------------|
| n° | Indice dello strato |
| H | Spessore dello strato espresso in [m] |
| α | Inclinazione espressa in [°] |
| Terreno | Terreno dello strato |
| Kwn, Kwt | Costante di Winkler normale e tangenziale alla superficie espressa in Kg/cm ² /cm |
| Per calcolo pali (solo se presenti) | |
| Kw | Costante di Winkler orizzontale espressa in Kg/cm ² /cm |
| Ks | Coefficiente di spinta |
| Cesp | Coefficiente di espansione laterale (per tutti i metodi tranne il metodo di Bustamante-Doix) |
| Per calcolo della spinta con coeff. di spinta definiti (usati solo se attiva l'opzione 'Usa coeff. di spinta da strato') | |
| Kst_{sta} , Kst_{sis} | Coeff. di spinta statico e sismico |

| n° | H [m] | α [°] | Terreno | Kwn [Kg/cm ²] | Kwt [Kg/cm ²] | Kw [Kg/cm ²] | Ks | Cesp | Kst_{sta} | Kst_{sis} |
|----|----------|-----------------|---------------------|------------------------------|------------------------------|-----------------------------|-----|------|-------------|-------------|
| 1 | 2.40 | 0.000 | Terreno | 1.000 | 0.500 | --- | --- | --- | --- | --- |
| 2 | 1.50 | 0.000 | 4COLTRE ALTERAZIONE | 1.000 | 0.500 | --- | --- | --- | --- | --- |
| 3 | 6.50 | 0.000 | Terreno | 0.000 | 0.000 | --- | --- | --- | --- | --- |

| | | | |
|--------------------------------------|------------------------------------------------------------------------------------------------------------------------------|----------------------------------------------------------------------------------|-------------|
| COMMITTENTE: Mecca Antonio | CODICE COMMESSA: | NOME ELABORATO: S1.5 - Relazione Geotecnica e delle Fondazioni | CONSULENTE: |
| DATA: Aprile 2023 | TITOLO: Lavori ultimazione di un fabbricato adibito ad albergo-ristorante- C.da Case Nuove Chicone Avigliano (PZ) | | |

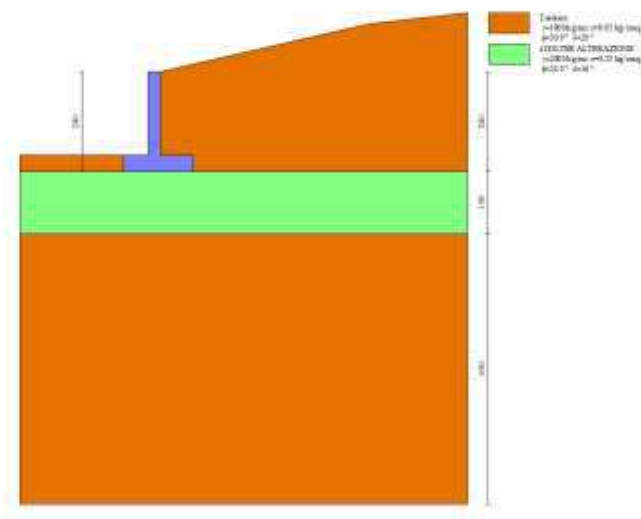


Fig. 2 - Stratigrafia

Condizioni di carico

Simbologia adottata

Carichi verticali positivi verso il basso.

Carichi orizzontali positivi verso sinistra.

Momento positivo senso antiorario.

| | |
|----------------|--------------------------------------------------------------------------|
| X | Ascissa del punto di applicazione del carico concentrato espressa in [m] |
| F _x | Componente orizzontale del carico concentrato espressa in [kg] |
| F _y | Componente verticale del carico concentrato espressa in [kg] |
| M | Momento espresso in [kgm] |
| X _i | Ascissa del punto iniziale del carico ripartito espressa in [m] |
| X _f | Ascissa del punto finale del carico ripartito espressa in [m] |
| Q _i | Intensità del carico per x=X _i espressa in [kg] |
| Q _f | Intensità del carico per x=X _f espressa in [kg] |

Condizione n° 1 (Condizione 1) - VARIABILE

Coeff. di combinazione $\Psi_0=1.00$ - $\Psi_1=1.00$ - $\Psi_2=1.00$

Normativa

Normativa usata: **Norme Tecniche sulle Costruzioni 2018 (D.M. 17.01.2018) + Circolare C.S.LL.PP. 21/01/2019 n.7**

Coeff. parziali per le azioni o per l'effetto delle azioni

| Carichi | Effetto | | Combinazioni statiche | | | | | Combinazioni sismiche | |
|----------------------------|-------------|---------------------|-----------------------|------|------|------|------|-----------------------|------|
| | | | UPL | EQU | A1 | A2 | EQU | A1 | A2 |
| Permanenti strutturali | Favorevoli | $\gamma_{G1, fav}$ | 0.90 | 1.00 | 1.00 | 1.00 | 1.00 | 1.00 | 1.00 |
| Permanenti strutturali | Sfavorevoli | $\gamma_{G1, sfav}$ | 1.10 | 1.30 | 1.30 | 1.00 | 1.00 | 1.00 | 1.00 |
| Permanenti non strutturali | Favorevoli | $\gamma_{G2, fav}$ | 0.80 | 0.80 | 0.80 | 0.80 | 0.00 | 0.00 | 0.00 |
| Permanenti non strutturali | Sfavorevoli | $\gamma_{G2, sfav}$ | 1.50 | 1.50 | 1.50 | 1.30 | 1.00 | 1.00 | 1.00 |
| Variabili | Favorevoli | $\gamma_{Q, fav}$ | 0.00 | 0.00 | 0.00 | 0.00 | 0.00 | 0.00 | 0.00 |
| Variabili | Sfavorevoli | $\gamma_{Q, sfav}$ | 1.50 | 1.50 | 1.50 | 1.30 | 1.00 | 1.00 | 1.00 |
| Variabili da traffico | Favorevoli | $\gamma_{QT, fav}$ | 0.00 | 0.00 | 0.00 | 0.00 | 0.00 | 0.00 | 0.00 |
| Variabili da traffico | Sfavorevoli | $\gamma_{QT, sfav}$ | 1.50 | 1.35 | 1.35 | 1.15 | 1.00 | 1.00 | 1.00 |

Coeff. parziali per i parametri geotecnici del terreno

| Parametro | | Combinazioni statiche | | Combinazioni sismiche | |
|---------------------------------|--------------------------|-----------------------|------|-----------------------|------|
| | | M1 | M2 | M1 | M2 |
| Tangente dell'angolo di attrito | $\gamma_{\tan(\alpha')}$ | 1.00 | 1.25 | 1.00 | 1.00 |
| Coesione efficace | γ_c | 1.00 | 1.25 | 1.00 | 1.00 |
| Resistenza non drenata | γ_{cu} | 1.00 | 1.40 | 1.00 | 1.00 |
| Peso nell'unità di volume | γ_r | 1.00 | 1.00 | 1.00 | 1.00 |

Relazione Geotecnica e delle Fondazioni

Coeff. parziali γ_R per le verifiche agli stati limite ultimi STR e GEO

| Verifica | Combinazioni statiche | | | Combinazioni sismiche | | |
|----------------------------|-----------------------|------|------|-----------------------|------|------|
| | R1 | R2 | R3 | R1 | R2 | R3 |
| Capacità portante | -- | -- | 1.40 | -- | -- | 1.20 |
| Scorrimento | -- | -- | 1.10 | -- | -- | 1.00 |
| Resistenza terreno a valle | -- | -- | 1.40 | -- | -- | 1.20 |
| Ribaltamento | -- | -- | 1.15 | -- | -- | 1.00 |
| Stabilità fronte di scavo | -- | 1.10 | -- | -- | 1.20 | -- |

Descrizione combinazioni di carico

Con riferimento alle azioni elementari prima determinate, si sono considerate le seguenti combinazioni di carico:

- Combinazione fondamentale, impiegata per gli stati limite ultimi (SLU):

$$\gamma_{G1} G_1 + \gamma_{G2} G_2 + \gamma_{Q1} Q_{k1} + \gamma_{Q2} Q_{k2} + \gamma_{Q3} Q_{k3} + \dots$$

- Combinazione caratteristica, cosiddetta rara, impiegata per gli stati limite di esercizio (SLE) irreversibili:

$$G_1 + G_2 + Q_{k1} + \Psi_{0,2} Q_{k2} + \Psi_{0,3} Q_{k3} + \dots$$

- Combinazione frequente, impiegata per gli stati limite di esercizio (SLE) reversibili:

$$G_1 + G_2 + \Psi_{1,1} Q_{k1} + \Psi_{2,2} Q_{k2} + \Psi_{2,3} Q_{k3} + \dots$$

- Combinazione quasi permanente, impiegata per gli effetti di lungo periodo:

$$G_1 + G_2 + \Psi_{2,1} Q_{k1} + \Psi_{2,2} Q_{k2} + \Psi_{2,3} Q_{k3} + \dots$$

- Combinazione sismica, impiegata per gli stati limite ultimi connessi all'azione sismica E:

$$E + G_1 + G_2 + \Psi_{2,1} Q_{k1} + \Psi_{2,2} Q_{k2} + \Psi_{2,3} Q_{k3} + \dots$$

I valori dei coeff. $\Psi_{0,j}$, $\Psi_{1,j}$, $\Psi_{2,j}$ sono definiti nelle singole condizioni variabili.

I valori dei coeff. γ_G e γ_Q , sono definiti nella tabella normativa.

In particolare si sono considerate le seguenti combinazioni:

Simbologia adottata

γ Coefficiente di partecipazione della condizione
 Ψ Coefficiente di combinazione della condizione

Combinazione n° 1 - STR (A1-M1-R3)

| Condizione | γ | Ψ | Effetto |
|-----------------|----------|--------|-------------|
| Peso muro | 1.00 | -- | Favorevole |
| Peso terrapieno | 1.00 | -- | Favorevole |
| Spinta terreno | 1.30 | -- | Sfavorevole |

| | | | |
|--------------------------------------|----------------------------------------------------------------------------------------------------------------------|----------------------------------------------------------------------------------|-------------|
| COMMITTENTE: Mecca Antonio | CODICE COMMESSA: | NOME ELABORATO: S1.5 - Relazione Geotecnica e delle Fondazioni | CONSULENTE: |
| DATA: Aprile 2023 | TITOLO: Lavori ultimazione di un fabbricato adibito ad albergo-ristorante- C.da Case Nuove Chicone Avigliano (PZ) | | |

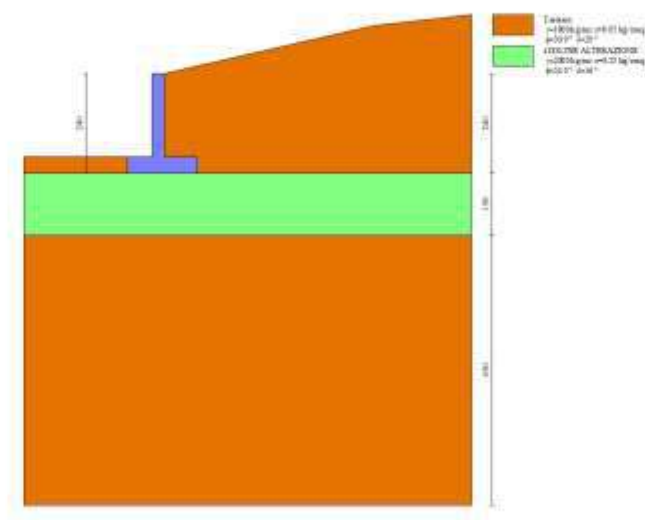


Fig. 3 -

Combinazione n° 2 - STR (A1-M1-R3) H + V

| Condizione | γ | Ψ | Effetto |
|-----------------|----------|--------|-------------|
| Peso muro | 1.00 | -- | Favorevole |
| Peso terrapieno | 1.00 | -- | Favorevole |
| Spinta terreno | 1.00 | -- | Sfavorevole |

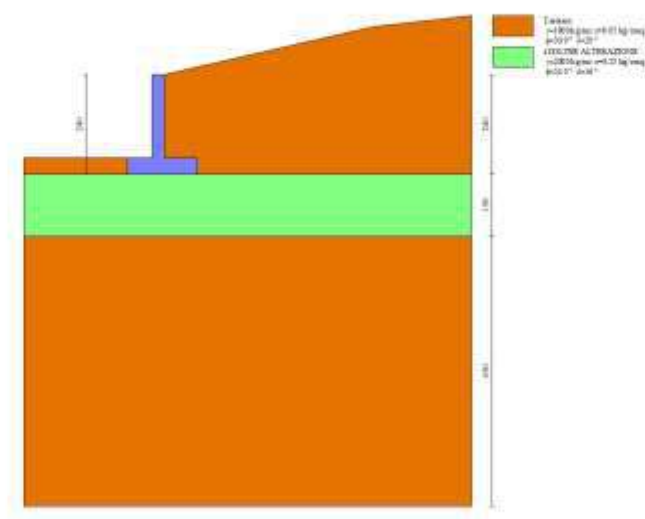


Fig. 4 - (Inviluppo)

Combinazione n° 3 - STR (A1-M1-R3) H - V

| Condizione | γ | Ψ | Effetto |
|-----------------|----------|--------|-------------|
| Peso muro | 1.00 | -- | Sfavorevole |
| Peso terrapieno | 1.00 | -- | Sfavorevole |
| Spinta terreno | 1.00 | -- | Sfavorevole |

Relazione Geotecnica e delle Fondazioni

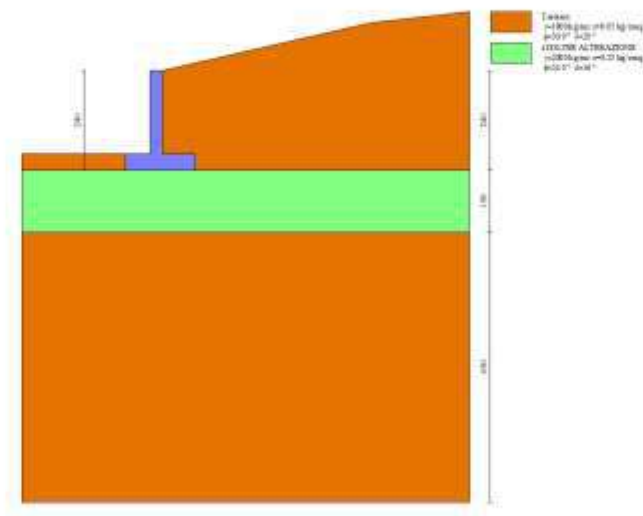


Fig. 5 - (Inviluppo)

Combinazione n° 4 - GEO (A2-M2-R2)

| Condizione | γ | Ψ | Effetto |
|-----------------|----------|--------|-------------|
| Peso muro | 1.00 | -- | Sfavorevole |
| Peso terrapieno | 1.00 | -- | Sfavorevole |
| Spinta terreno | 1.00 | -- | Sfavorevole |

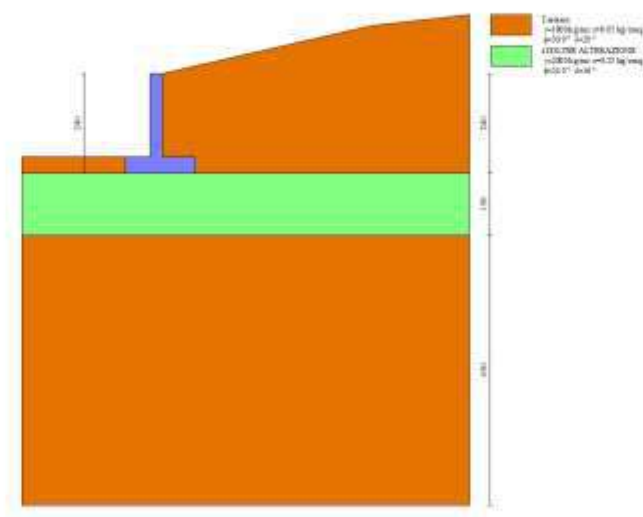


Fig. 6 - (Inviluppo)

Combinazione n° 5 - GEO (A2-M2-R2) H + V

| Condizione | γ | Ψ | Effetto |
|-----------------|----------|--------|-------------|
| Peso muro | 1.00 | -- | Sfavorevole |
| Peso terrapieno | 1.00 | -- | Sfavorevole |
| Spinta terreno | 1.00 | -- | Sfavorevole |

| | | | |
|--------------------------------------|----------------------------------------------------------------------------------------------------------------------|----------------------------------------------------------------------------------|-------------|
| COMMITTENTE: Mecca Antonio | CODICE COMMESSA: | NOME ELABORATO: S1.5 - Relazione Geotecnica e delle Fondazioni | CONSULENTE: |
| DATA: Aprile 2023 | TITOLO: Lavori ultimazione di un fabbricato adibito ad albergo-ristorante– C.da Case Nuove Chicone Avigliano (PZ) | | |

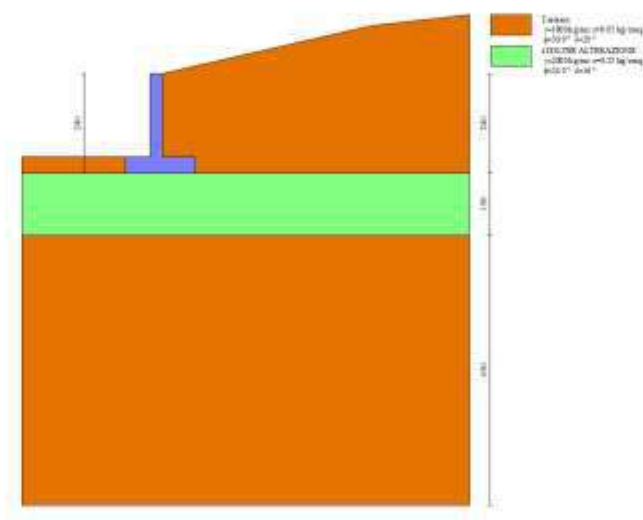


Fig. 7 - (Inviluppo)

Combinazione n° 6 - GEO (A2-M2-R2) H - V

| Condizione | γ | Ψ | Effetto |
|-----------------|----------|--------|-------------|
| Peso muro | 1.00 | -- | Sfavorevole |
| Peso terrapieno | 1.00 | -- | Sfavorevole |
| Spinta terreno | 1.00 | -- | Sfavorevole |

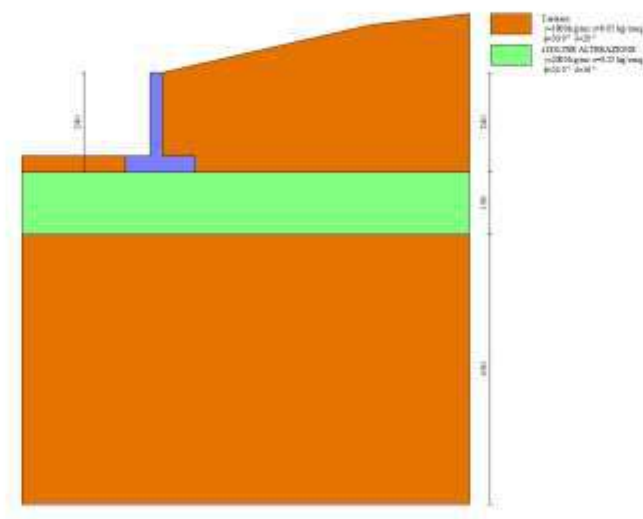


Fig. 8 - (Inviluppo)

Combinazione n° 7 - EQU (A1-M1-R3)

| Condizione | γ | Ψ | Effetto |
|-----------------|----------|--------|-------------|
| Peso muro | 1.00 | -- | Favorevole |
| Peso terrapieno | 1.00 | -- | Favorevole |
| Spinta terreno | 1.30 | -- | Sfavorevole |

Relazione Geotecnica e delle Fondazioni

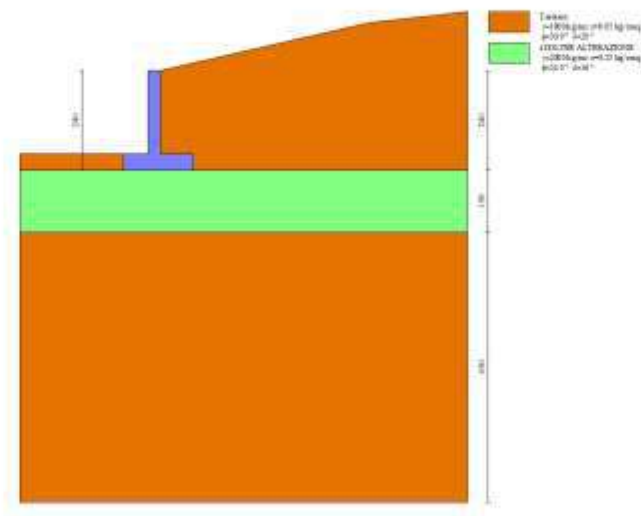


Fig. 9 - (Inviluppo)

Combinazione n° 8 - EQU (A1-M1-R3) H + V

| Condizione | γ | Ψ | Effetto |
|-----------------|----------|--------|-------------|
| Peso muro | 1.00 | -- | Favorevole |
| Peso terrapieno | 1.00 | -- | Favorevole |
| Spinta terreno | 1.00 | -- | Sfavorevole |

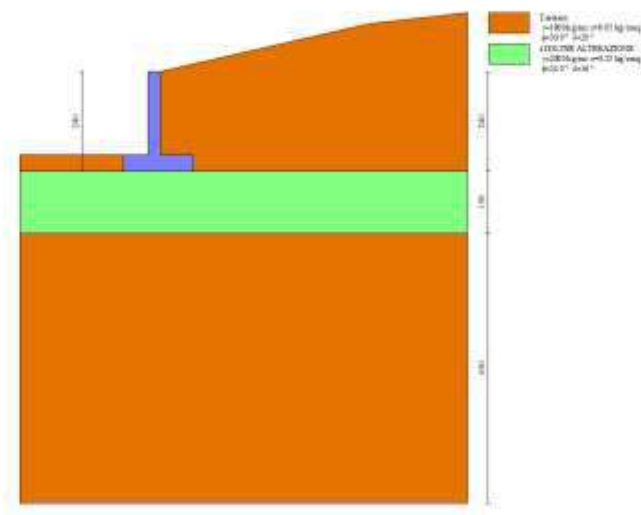


Fig. 10 - (Inviluppo)

Combinazione n° 9 - EQU (A1-M1-R3) H - V

| Condizione | γ | Ψ | Effetto |
|-----------------|----------|--------|-------------|
| Peso muro | 1.00 | -- | Favorevole |
| Peso terrapieno | 1.00 | -- | Favorevole |
| Spinta terreno | 1.00 | -- | Sfavorevole |

| | | | |
|--------------------------------------|----------------------------------------------------------------------------------------------------------------------|----------------------------------------------------------------------------------|-------------|
| COMMITTENTE: Mecca Antonio | CODICE COMMESSA: | NOME ELABORATO: S1.5 - Relazione Geotecnica e delle Fondazioni | CONSULENTE: |
| DATA: Aprile 2023 | TITOLO: Lavori ultimazione di un fabbricato adibito ad albergo-ristorante– C.da Case Nuove Chicone Avigliano (PZ) | | |

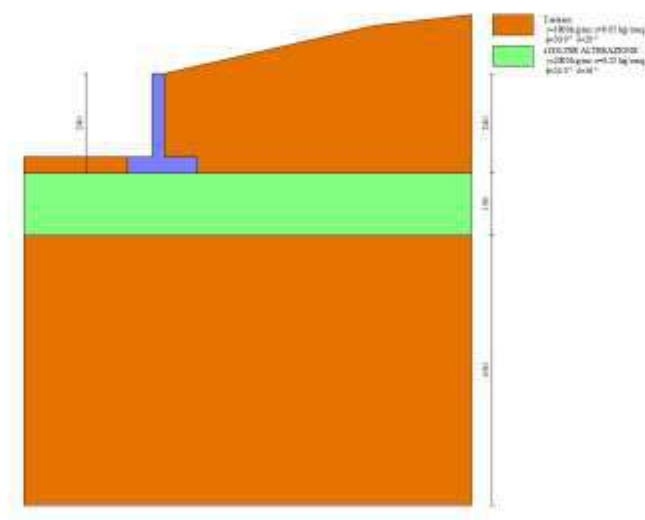


Fig. 11 - (Inviluppo)

Combinazione n° 10 - SLER

| Condizione | γ | Ψ | Effetto |
|-----------------|----------|--------|-------------|
| Peso muro | 1.00 | -- | Sfavorevole |
| Peso terrapieno | 1.00 | -- | Sfavorevole |
| Spinta terreno | 1.00 | -- | Sfavorevole |

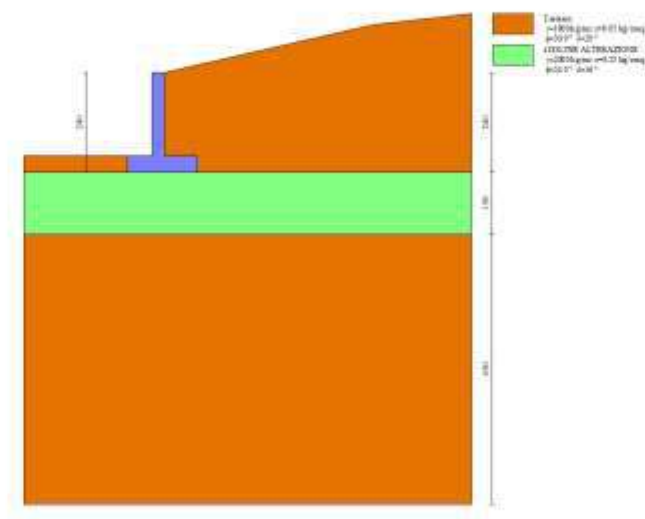
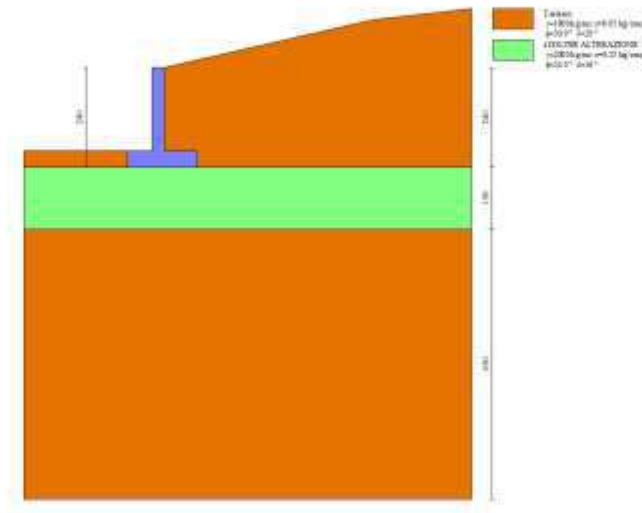


Fig. 12 - (Inviluppo)

Combinazione n° 11 - SLEF

| Condizione | γ | Ψ | Effetto |
|-----------------|----------|--------|-------------|
| Peso muro | 1.00 | -- | Sfavorevole |
| Peso terrapieno | 1.00 | -- | Sfavorevole |
| Spinta terreno | 1.00 | -- | Sfavorevole |

Relazione Geotecnica e delle Fondazioni



Combinazione n° 12 - SLEQ

| Condizione | γ | Ψ | Effetto |
|-----------------|----------|--------|-------------|
| Peso muro | 1.00 | -- | Sfavorevole |
| Peso terrapieno | 1.00 | -- | Sfavorevole |
| Spinta terreno | 1.00 | -- | Sfavorevole |

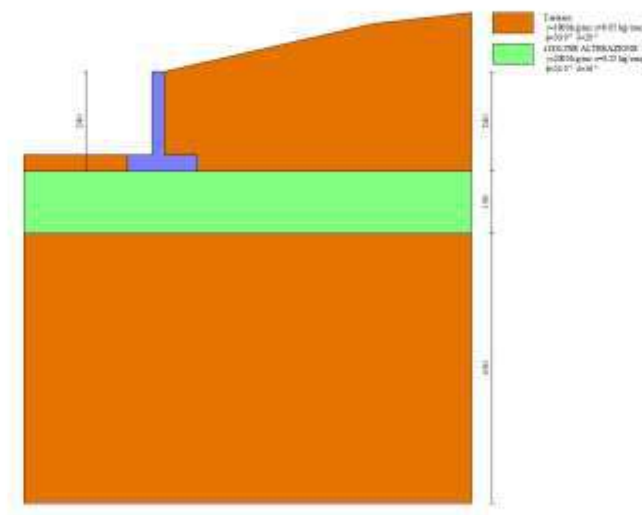


Fig. 14 - (Inviluppo)

Combinazione n° 13 - SLEQ H + V

| Condizione | γ | Ψ | Effetto |
|-----------------|----------|--------|-------------|
| Peso muro | 1.00 | -- | Sfavorevole |
| Peso terrapieno | 1.00 | -- | Sfavorevole |
| Spinta terreno | 1.00 | -- | Sfavorevole |

| | | | |
|--------------------------------------|----------------------------------------------------------------------------------------------------------------------|----------------------------------------------------------------------------------|-------------|
| COMMITTENTE: Mecca Antonio | CODICE COMMESSA: | NOME ELABORATO: S1.5 - Relazione Geotecnica e delle Fondazioni | CONSULENTE: |
| DATA: Aprile 2023 | TITOLO: Lavori ultimazione di un fabbricato adibito ad albergo-ristorante– C.da Case Nuove Chicone Avigliano (PZ) | | |

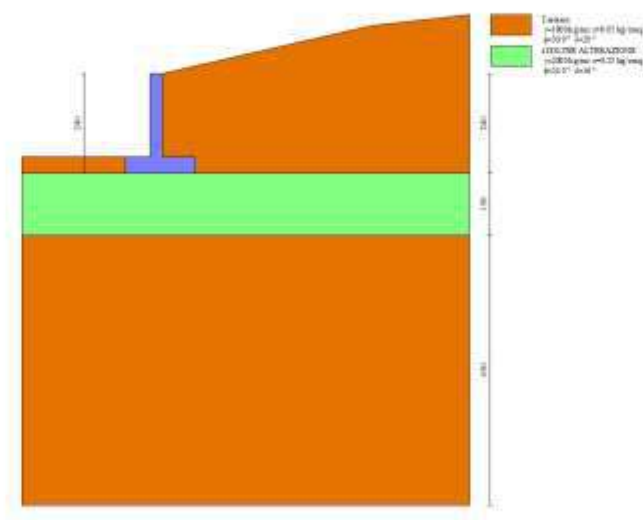


Fig. 15 - (Inviluppo)

Combinazione n° 14 - SLEQ H - V

| Condizione | γ | Ψ | Effetto |
|-----------------|----------|--------|-------------|
| Peso muro | 1.00 | -- | Sfavorevole |
| Peso terrapieno | 1.00 | -- | Sfavorevole |
| Spinta terreno | 1.00 | -- | Sfavorevole |

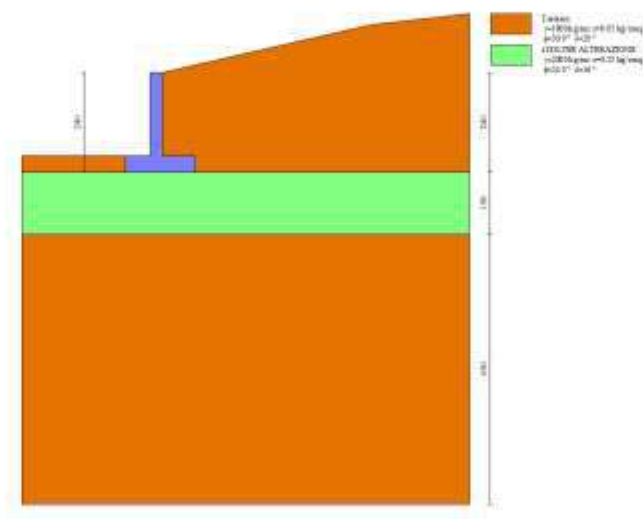


Fig. 16 - (Inviluppo)

Dati sismici

| | |
|--------------------------------|-------------------------------|
| Comune | Avigliano |
| Provincia | Potenza |
| Regione | Basilicata |
| Latitudine | 40.730796 |
| Longitudine | 15.721278 |
| Indice punti di interpolazione | 33667 - 33445 - 33444 - 33666 |

Relazione Geotecnica e delle Fondazioni

Vita nominale
Classe d'uso
Tipo costruzione
Vita di riferimento

50 anni
II
Normali affollamenti
50 anni

| | Simbolo | U.M. | | SLU | SLE |
|-----------------------------------------------------------------|---------|---------------------|----|-------|-------|
| Accelerazione al suolo | a_g | [m/s ²] | | 1.859 | 0.668 |
| Accelerazione al suolo | a_g/g | [%] | | 0.190 | 0.068 |
| Massimo fattore amplificazione spettro orizzontale | F0 | | | 2.423 | 2.359 |
| Periodo inizio tratto spettro a velocità costante | Tc* | | | 0.412 | 0.322 |
| Tipo di sottosuolo - Coefficiente stratigrafico | Ss | | E | 1.495 | 1.600 |
| Categoria topografica - Coefficiente amplificazione topografica | St | | T1 | 1.000 | |

| Stato limite ... | Coeff. di riduzione β_m | kh [%] | kv [%] |
|-----------------------|-------------------------------|--------|--------|
| Ultimo | 0.380 | 10.765 | 5.382 |
| Ultimo - Ribaltamento | 0.570 | 16.147 | 8.074 |
| Esercizio | 0.470 | 5.119 | 2.559 |

Forma diagramma incremento sismico **Rettangolare**

| | | | |
|--------------------------------------|------------------------------------------------------------------------------------------------------------------------------|----------------------------------------------------------------------------------|-------------|
| COMMITTENTE: Mecca Antonio | CODICE COMMESSA: | NOME ELABORATO: S1.5 - Relazione Geotecnica e delle Fondazioni | CONSULENTE: |
| DATA: Aprile 2023 | TITOLO: Lavori ultimazione di un fabbricato adibito ad albergo-ristorante– C.da Case Nuove Chicone Avigliano (PZ) | | |

Opzioni di calcolo

Spinta

| | |
|--------------------------------|---------------|
| Metodo di calcolo della spinta | Culmann |
| Tipo di spinta | Spinta attiva |
| Terreno a bassa permeabilità | NO |
| Superficie di spinta limitata | NO |

Capacità portante

| | |
|---------------------------------------------------------------------------------------------------------------------|--------------------------------|
| Metodo di calcolo della portanza | Hansen |
| Criterio di media calcolo del terreno equivalente (terreni stratificati) | Ponderata |
| Criterio di riduzione per eccentricità della portanza | Meyerhof |
| Criterio di riduzione per rottura locale (punzonamento) | Nessuna |
| Larghezza fondazione nel terzo termine della formula del carico limite ($0.5B_f N_c$) | Larghezza ridotta (B') |
| Fattori di forma e inclinazione del carico | Solo i fattori di inclinazione |
| Se la fondazione ha larghezza superiore a 2.0 m viene applicato il fattore di riduzione per comportamento a piastra | |
| Stabilità globale | |
| Metodo di calcolo della stabilità globale | Bishop |

Altro

| | |
|--------------------------------------------------------------------|-------|
| Partecipazione spinta passiva terreno antistante | 0.00 |
| Partecipazione resistenza passiva dente di fondazione | 50.00 |
| Componente verticale della spinta nel calcolo delle sollecitazioni | NO |
| Considera terreno sulla fondazione di valle | NO |
| Considera spinta e peso acqua fondazione di valle | NO |

Spostamenti

| | |
|----------------------------------------------------|-----------|
| Modello a blocchi | |
| Non è stato richiesto il calcolo degli spostamenti | |
| Spostamento limite | 5.00 [cm] |

Cedimenti

Non è stato richiesto il calcolo dei cedimenti

Specifiche per le verifiche nelle combinazioni allo Stato Limite Ultimo (SLU)

| | SLU | Eccezionale |
|--------------------------------------------------------|------|-------------|
| Coefficiente di sicurezza calcestruzzo a compressione | 1.50 | 1.00 |
| Coefficiente di sicurezza acciaio | 1.15 | 1.00 |
| Fattore di riduzione da resistenza cubica a cilindrica | 0.83 | 0.83 |
| Fattore di riduzione per carichi di lungo periodo | 0.85 | 0.85 |
| Coefficiente di sicurezza per la sezione | 1.00 | 1.00 |

Specifiche per le verifiche nelle combinazioni allo Stato Limite di Esercizio (SLE)

Paramento e fondazione muro

Verifiche strutturali nelle combinazioni SLD NO

| | |
|---------------------------------|-----------|
| Condizioni ambientali | Ordinarie |
| Armatura ad aderenza migliorata | SI |

Verifica a fessurazione

| | |
|------------------------------------------|-------------------------------------------------------|
| Sensibilità armatura | Poco sensibile |
| Metodo di calcolo aperture delle fessure | NTC 2018 - CIRCOLARE 21 gennaio 2019, n. 7 C.S.LL.PP. |
| Calcolo momento fessurazione | Apertura |
| Resistenza a trazione per | Flessione |
| Valori limite aperture delle fessure: | $w_1=0.20$ |
| | $w_2=0.30$ |
| | $w_3=0.40$ |

Verifica delle tensioni

Valori limite delle tensioni nei materiali:

| Combinazione | Calcestruzzo | Acciaio |
|------------------|---------------|---------------|
| Rara | $0.60 f_{ck}$ | $0.80 f_{yk}$ |
| Frequente | $1.00 f_{ck}$ | $1.00 f_{yk}$ |
| Quasi permanente | $0.45 f_{ck}$ | $1.00 f_{yk}$ |

Relazione Geotecnica e delle Fondazioni

Risultati per combinazione

Spinta e forze

Simbologia adottata

| | |
|---------------------------------|--------------------------------------------------------------------------|
| Ic | Indice della combinazione |
| A | Tipo azione |
| I | Inclinazione della spinta, espressa in [°] |
| V | Valore dell'azione, espressa in [kg] |
| C _X , C _Y | Componente in direzione X ed Y dell'azione, espressa in [kg] |
| P _X , P _Y | Coordinata X ed Y del punto di applicazione dell'azione, espressa in [m] |

| Ic | A | V [kg] | I [°] | C _X [kg] | C _Y [kg] | P _X [m] | P _Y [m] |
|----|------------------------------|-----------|----------|------------------------|------------------------|-----------------------|-----------------------|
| 1 | Spinta statica | 1500 | 20.00 | 1410 | 513 | 0.80 | -1.78 |
| | Peso/Inerzia muro | | | 0 | 3200/0 | -0.10 | -1.64 |
| | Peso/Inerzia terrapieno | | | 0 | 3179/0 | 0.41 | -0.95 |
| | Diagramma correttivo | | | 250 | | 0.00 | -0.27 |
| 2 | Spinta statica | 900 | 20.00 | 845 | 308 | 0.80 | -1.85 |
| | Incremento di spinta sismica | | 575 | 540 | 197 | 0.80 | -1.11 |
| | Peso/Inerzia muro | | | 344 | 3200/172 | -0.10 | -1.64 |
| | Peso/Inerzia terrapieno | | | 342 | 3179/171 | 0.41 | -0.95 |
| 3 | Spinta statica | 900 | 20.00 | 845 | 308 | 0.80 | -1.85 |
| | Incremento di spinta sismica | | 351 | 330 | 120 | 0.80 | -1.11 |
| | Peso/Inerzia muro | | | 344 | 3200/-172 | -0.10 | -1.64 |
| | Peso/Inerzia terrapieno | | | 342 | 3179/-171 | 0.41 | -0.95 |
| 10 | Spinta statica | 900 | 20.00 | 845 | 308 | 0.80 | -1.85 |
| | Peso/Inerzia muro | | | 0 | 3200/0 | -0.10 | -1.64 |
| | Peso/Inerzia terrapieno | | | 0 | 3179/0 | 0.41 | -0.95 |
| | Diagramma correttivo | | | 406 | | 0.00 | -0.38 |
| 11 | Spinta statica | 900 | 20.00 | 845 | 308 | 0.80 | -1.85 |
| | Peso/Inerzia muro | | | 0 | 3200/0 | -0.10 | -1.64 |
| | Peso/Inerzia terrapieno | | | 0 | 3179/0 | 0.41 | -0.95 |
| | Diagramma correttivo | | | 406 | | 0.00 | -0.38 |
| 12 | Spinta statica | 900 | 20.00 | 845 | 308 | 0.80 | -1.85 |
| | Peso/Inerzia muro | | | 0 | 3200/0 | -0.10 | -1.64 |
| | Peso/Inerzia terrapieno | | | 0 | 3179/0 | 0.41 | -0.95 |
| | Diagramma correttivo | | | 406 | | 0.00 | -0.38 |

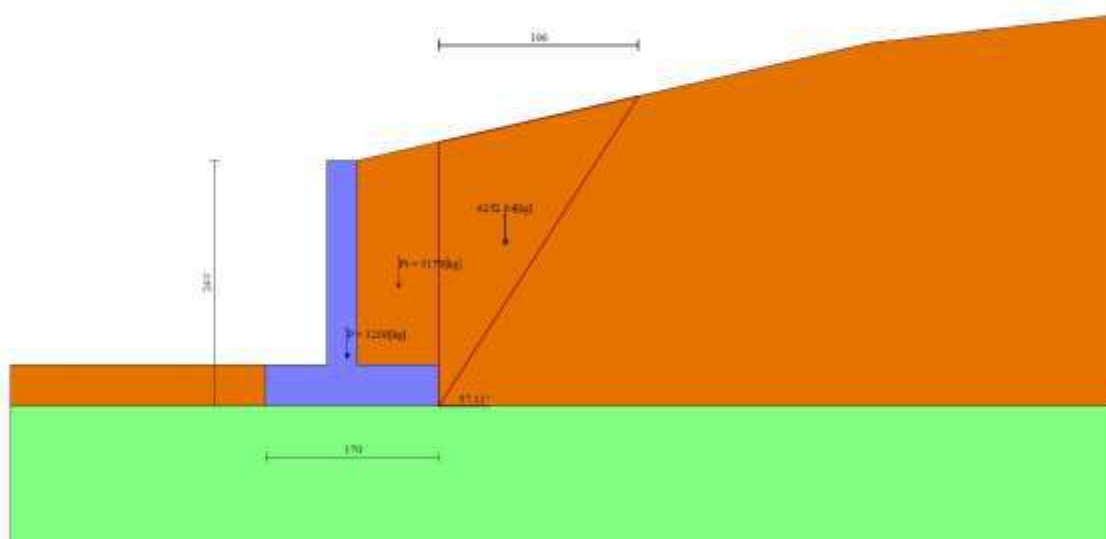


Fig. 17 - Cuneo di spinta (combinazione statica) (Combinazione n° 1)

| | | | |
|--------------------------------------|----------------------------------------------------------------------------------------------------------------------|----------------------------------------------------------------------------------|-------------|
| COMMITTENTE: Mecca Antonio | CODICE COMMESSA: | NOME ELABORATO: S1.5 - Relazione Geotecnica e delle Fondazioni | CONSULENTE: |
| DATA: Aprile 2023 | TITOLO: Lavori ultimazione di un fabbricato adibito ad albergo-ristorante– C.da Case Nuove Chicone Avigliano (PZ) | | |

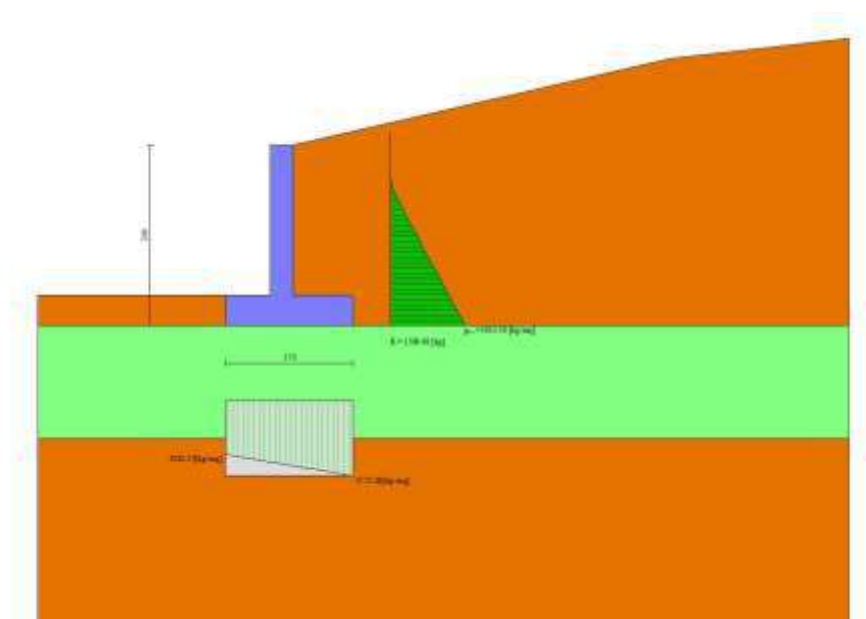


Fig. 18 - Diagramma delle pressioni (combinazione statica) (Combinazione n° 1)

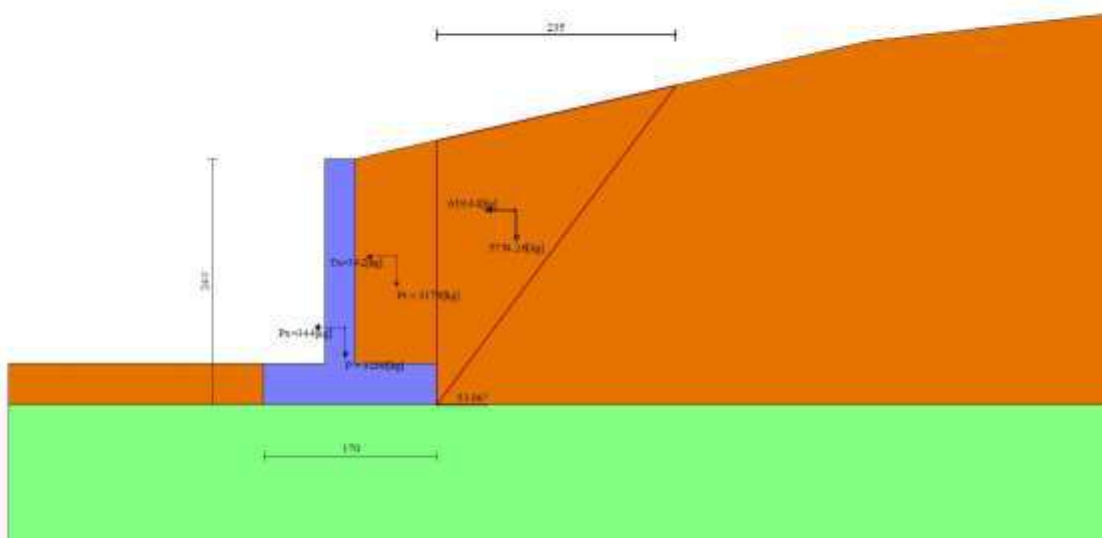
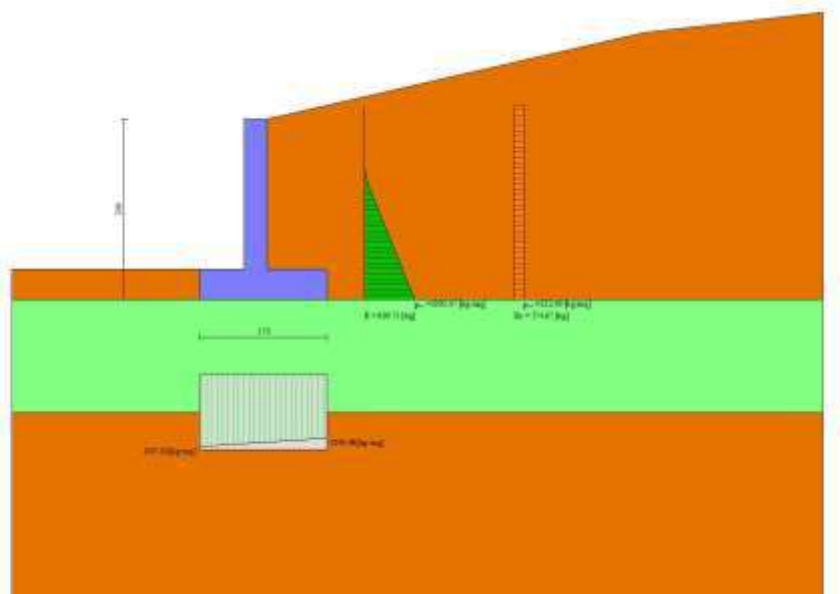


Fig. 19 - Cuneo di spinta (combinazione sismica) (Combinazione n° 2)



| | | | |
|--------------------------------------|------------------------------------------------------------------------------------------------------------------------------|----------------------------------------------------------------------------------|-------------|
| COMMITTENTE: Mecca Antonio | CODICE COMMESSA: | NOME ELABORATO: S1.5 - Relazione Geotecnica e delle Fondazioni | CONSULENTE: |
| DATA: Aprile 2023 | TITOLO: Lavori ultimazione di un fabbricato adibito ad albergo-ristorante- C.da Case Nuove Chicone Avigliano (PZ) | | |

N Carico normale totale al piano di posa, espresso in [kg]
 Qu carico limite del terreno, espresso in [kg]
 Qd Portanza di progetto, espresso in [kg]
 FS Fattore di sicurezza (rapporto tra il carico limie e carico agente al piano di posa)

| n° | N [kg] | Qu [kg] | Qd [kg] | FS |
|--------------------------|-----------|------------|------------|-------|
| 1 - STR (A1-M1-R3) | 6892 | 38436 | 27454 | 5.577 |
| 2 - STR (A1-M1-R3) H + V | 7227 | 37623 | 31353 | 5.206 |
| 3 - STR (A1-M1-R3) H - V | 6463 | 39687 | 33073 | 6.140 |

Dettagli calcolo portanza

Simbologia adottata

n° Indice combinazione
 Nc, Nq, N_γ Fattori di capacità portante
 ic, iq, i_γ Fattori di inclinazione del carico
 dc, dq, d_γ Fattori di profondità del piano di posa
 gc, gq, g_γ Fattori di inclinazione del profilo topografico
 bc, bq, b_γ Fattori di inclinazione del piano di posa
 sc, sq, s_γ Fattori di forma della fondazione
 pc, pq, p_γ Fattori di riduzione per punzonamento secondo Vesic
 Re Fattore di riduzione capacità portante per eccentricità secondo Meyerhof
 Ir, Irc Indici di rigidità per punzonamento secondo Vesic
 r_γ Fattori per tener conto dell'effetto piastra. Per fondazioni che hanno larghezza maggiore di 2 m, il terzo termine della formula trinomia 0.5B_γN_γ viene moltiplicato per questo fattore
 D Affondamento del piano di posa, espresso in [m]
 B' Larghezza fondazione ridotta, espresso in [m]
 H Altezza del cuneo di rottura, espresso in [m]
 γ Peso di volume del terreno medio, espresso in [kg/mc]
 φ Angolo di attrito del terreno medio, espresso in [°]
 c Coesione del terreno medio, espresso in [kg/cm²]
 Per i coeff. che in tabella sono indicati con il simbolo '-' sono coeff. non presenti nel metodo scelto (Hansen).

| n° | Nc Nq N _γ | ic iq i _γ | dc dq d _γ | gc gq g _γ | bc bq b _γ | sc sq s _γ | pc pq p _γ | Ir | Irc | Re | r _γ |
|----|----------------------------|----------------------------|----------------------------|----------------------------|----------------------------|----------------------------|----------------------------|----|-----|-------|----------------|
| 1 | 19.324 | 0.656 | 1.160 | 1.000 | 1.000 | -- | -- | -- | -- | 0.833 | 1.000 |
| | 9.603 | 0.691 | 1.125 | 1.000 | 1.000 | -- | -- | -- | -- | | |
| | 5.746 | 0.592 | 1.000 | 1.000 | 1.000 | -- | -- | -- | -- | | |
| 2 | 19.324 | 0.594 | 1.160 | 1.000 | 1.000 | -- | -- | -- | -- | 0.899 | 1.000 |
| | 9.603 | 0.637 | 1.125 | 1.000 | 1.000 | -- | -- | -- | -- | | |
| | 5.746 | 0.525 | 1.000 | 1.000 | 1.000 | -- | -- | -- | -- | | |
| 3 | 19.324 | 0.608 | 1.160 | 1.000 | 1.000 | -- | -- | -- | -- | 0.927 | 1.000 |
| | 9.603 | 0.649 | 1.125 | 1.000 | 1.000 | -- | -- | -- | -- | | |
| | 5.746 | 0.540 | 1.000 | 1.000 | 1.000 | -- | -- | -- | -- | | |

| n° | D [m] | B' [m] | H [m] | γ [°] | φ [kg/mc] | c [kg/cm ²] |
|----|----------|-----------|----------|----------|--------------|----------------------------|
| 1 | 0.40 | 1.00 | 0.77 | 2000 | 24.00 | 0.25 |
| 2 | 0.40 | 1.00 | 0.77 | 2000 | 24.00 | 0.25 |
| 3 | 0.40 | 1.00 | 0.77 | 2000 | 24.00 | 0.25 |

Verifica a ribaltamento

Simbologia adottata

n° Indice combinazione
 Ms Momento stabilizzante, espresso in [kgm]
 Mr Momento ribaltante, espresso in [kgm]
 FS Fattore di sicurezza (rapporto tra momento stabilizzante e momento ribaltante)
 La verifica viene eseguita rispetto allo spigolo inferiore esterno della fondazione

| n° | Ms [kgm] | Mr [kgm] | FS |
|--------------------------|-------------|-------------|-------|
| 7 - EQU (A1-M1-R3) | 7594 | 879 | 8.641 |
| 8 - EQU (A1-M1-R3) H + V | 8325 | 2727 | 3.053 |
| 9 - EQU (A1-M1-R3) H - V | 7585 | 2857 | 2.655 |

Verifica stabilità globale muro + terreno

Simbologia adottata

Ic Indice/Tipo combinazione
 C Centro superficie di scorrimento, espresso in [m]
 R Raggio, espresso in [m]
 FS Fattore di sicurezza

| Ic | C [m] | R [m] | FS |
|--------------------------|------------|----------|-------|
| 4 - GEO (A2-M2-R2) | 0.00; 4.00 | 6.47 | 2.144 |
| 5 - GEO (A2-M2-R2) H + V | 0.00; 4.00 | 6.47 | 2.096 |

Relazione Geotecnica e delle Fondazioni

| Ic | C | R | FS |
|--------------------------|------------|------|-------|
| | [m] | [m] | |
| 6 - GEO (A2-M2-R2) H - V | 0.00; 4.00 | 6.47 | 2.132 |

Dettagli strisce verifiche stabilità

Simbologia adottata

Le ascisse X sono considerate positive verso monte

Le ordinate Y sono considerate positive verso l'alto

Origine in testa al muro (spigolo contro terra)

W peso della striscia espresso in [kg]

Qy carico sulla striscia espresso in [kg]

Qf carico acqua sulla striscia espresso in [kg]

α angolo fra la base della striscia e l'orizzontale espresso in [°] (positivo antiorario)

ϕ angolo d'attrito del terreno lungo la base della striscia

c coesione del terreno lungo la base della striscia espressa in [kg/cmq]

b larghezza della striscia espressa in [m]

u pressione neutra lungo la base della striscia espressa in [kg/cmq]

Tx; Ty Resistenza al taglio fornita dai tiranti in direzione X ed Y espressa in [kg/cmq]

Combinazione n° 4 - GEO (A2-M2-R2)

| n° | W [kg] | Qy [kg] | Qf [kg] | b [m] | α [°] | ϕ [°] | c [kg/cmq] | u [kg/cmq] | Tx; Ty [kg] |
|----|-----------|------------|------------|--------------|-----------------|---------------|---------------|---------------|----------------|
| 1 | 178 | 0 | 0 | 5.87 - 0.33 | 60.980 | 24.791 | 0.04 | 0.000 | |
| 2 | 501 | 0 | 0 | 0.33 | 56.134 | 24.791 | 0.04 | 0.000 | |
| 3 | 761 | 0 | 0 | 0.33 | 51.141 | 24.791 | 0.04 | 0.000 | |
| 4 | 959 | 0 | 0 | 0.33 | 46.646 | 24.791 | 0.04 | 0.000 | |
| 5 | 1119 | 0 | 0 | 0.33 | 42.501 | 24.791 | 0.04 | 0.000 | |
| 6 | 1251 | 0 | 0 | 0.33 | 38.617 | 24.791 | 0.04 | 0.000 | |
| 7 | 1360 | 0 | 0 | 0.33 | 34.934 | 24.791 | 0.04 | 0.000 | |
| 8 | 1450 | 0 | 0 | 0.33 | 31.410 | 24.791 | 0.04 | 0.000 | |
| 9 | 1522 | 0 | 0 | 0.33 | 28.015 | 24.791 | 0.04 | 0.000 | |
| 10 | 1579 | 0 | 0 | 0.33 | 24.724 | 24.791 | 0.04 | 0.000 | |
| 11 | 1620 | 0 | 0 | 0.33 | 21.518 | 24.791 | 0.04 | 0.000 | |
| 12 | 1649 | 0 | 0 | 0.33 | 18.382 | 24.791 | 0.04 | 0.000 | |
| 13 | 1664 | 0 | 0 | 0.33 | 15.302 | 24.791 | 0.04 | 0.000 | |
| 14 | 1668 | 0 | 0 | 0.33 | 12.267 | 24.791 | 0.04 | 0.000 | |
| 15 | 1660 | 0 | 0 | 0.33 | 9.267 | 24.791 | 0.04 | 0.000 | |
| 16 | 1778 | 0 | 0 | 0.33 | 6.292 | 19.605 | 0.20 | 0.000 | |
| 17 | 1692 | 0 | 0 | 0.33 | 3.334 | 19.605 | 0.20 | 0.000 | |
| 18 | 1802 | 0 | 0 | 0.33 | 0.384 | 19.605 | 0.20 | 0.000 | |
| 19 | 1261 | 0 | 0 | 0.33 | -2.564 | 19.605 | 0.20 | 0.000 | |
| 20 | 360 | 0 | 0 | 0.33 | -5.519 | 19.605 | 0.20 | 0.000 | |
| 21 | 280 | 0 | 0 | 0.33 | -8.488 | 24.791 | 0.04 | 0.000 | |
| 22 | 216 | 0 | 0 | 0.33 | -11.481 | 24.791 | 0.04 | 0.000 | |
| 23 | 167 | 0 | 0 | 0.33 | -14.506 | 24.791 | 0.04 | 0.000 | |
| 24 | 107 | 0 | 0 | 0.33 | -17.574 | 24.791 | 0.04 | 0.000 | |
| 25 | 34 | 0 | 0 | -2.45 - 0.33 | -19.201 | 24.791 | 0.04 | 0.000 | |

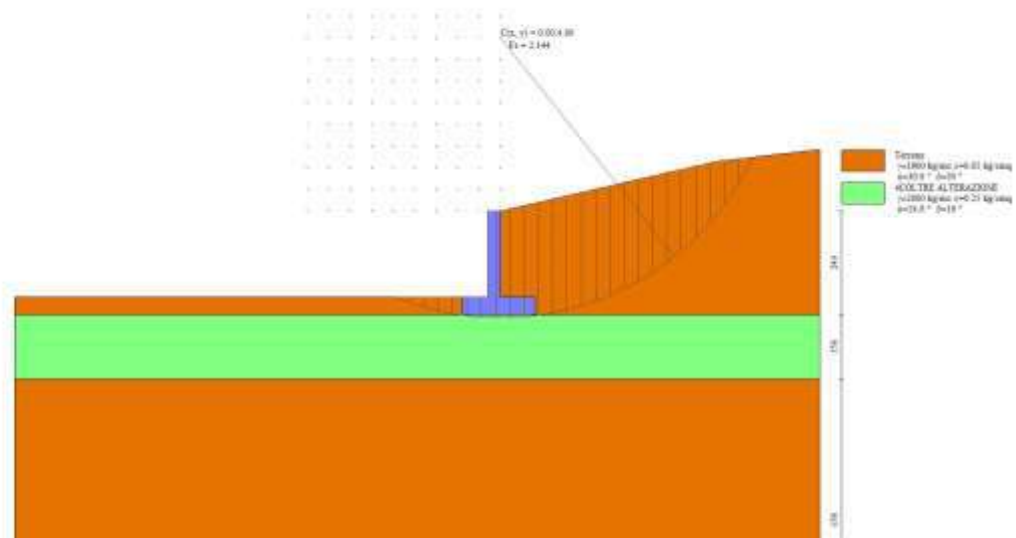


Fig. 21 - Stabilità fronte di scavo - Cerchio critico (Combinazione n° 4)

Combinazione n° 5 - GEO (A2-M2-R2) H + V

| n° | W | Qy | Qf | b | α | ϕ | c | u | Tx; Ty |
|----|---|----|----|---|----------|--------|---|---|--------|
|----|---|----|----|---|----------|--------|---|---|--------|

| | | | |
|--------------------------------------|------------------------------------------------------------------------------------------------------------------------------|----------------------------------------------------------------------------------|-------------|
| COMMITTENTE: Mecca Antonio | CODICE COMMESSA: | NOME ELABORATO: S1.5 - Relazione Geotecnica e delle Fondazioni | CONSULENTE: |
| DATA: Aprile 2023 | TITOLO: Lavori ultimazione di un fabbricato adibito ad albergo-ristorante- C.da Case Nuove Chicone Avigliano (PZ) | | |

| | [kg] | [kg] | [kg] | [m] | [°] | [°] | [kg/cmq] | [kg/cmq] | [kg] |
|----|------|------|------|--------------|---------|--------|----------|----------|------|
| 1 | 178 | 0 | 0 | 5.87 - 0.33 | 60.980 | 30.000 | 0.05 | 0.000 | |
| 2 | 501 | 0 | 0 | 0.33 | 56.134 | 30.000 | 0.05 | 0.000 | |
| 3 | 761 | 0 | 0 | 0.33 | 51.141 | 30.000 | 0.05 | 0.000 | |
| 4 | 959 | 0 | 0 | 0.33 | 46.646 | 30.000 | 0.05 | 0.000 | |
| 5 | 1119 | 0 | 0 | 0.33 | 42.501 | 30.000 | 0.05 | 0.000 | |
| 6 | 1251 | 0 | 0 | 0.33 | 38.617 | 30.000 | 0.05 | 0.000 | |
| 7 | 1360 | 0 | 0 | 0.33 | 34.934 | 30.000 | 0.05 | 0.000 | |
| 8 | 1450 | 0 | 0 | 0.33 | 31.410 | 30.000 | 0.05 | 0.000 | |
| 9 | 1522 | 0 | 0 | 0.33 | 28.015 | 30.000 | 0.05 | 0.000 | |
| 10 | 1579 | 0 | 0 | 0.33 | 24.724 | 30.000 | 0.05 | 0.000 | |
| 11 | 1620 | 0 | 0 | 0.33 | 21.518 | 30.000 | 0.05 | 0.000 | |
| 12 | 1649 | 0 | 0 | 0.33 | 18.382 | 30.000 | 0.05 | 0.000 | |
| 13 | 1664 | 0 | 0 | 0.33 | 15.302 | 30.000 | 0.05 | 0.000 | |
| 14 | 1668 | 0 | 0 | 0.33 | 12.267 | 30.000 | 0.05 | 0.000 | |
| 15 | 1660 | 0 | 0 | 0.33 | 9.267 | 30.000 | 0.05 | 0.000 | |
| 16 | 1778 | 0 | 0 | 0.33 | 6.292 | 24.000 | 0.25 | 0.000 | |
| 17 | 1692 | 0 | 0 | 0.33 | 3.334 | 24.000 | 0.25 | 0.000 | |
| 18 | 1802 | 0 | 0 | 0.33 | 0.384 | 24.000 | 0.25 | 0.000 | |
| 19 | 1261 | 0 | 0 | 0.33 | -2.564 | 24.000 | 0.25 | 0.000 | |
| 20 | 360 | 0 | 0 | 0.33 | -5.519 | 24.000 | 0.25 | 0.000 | |
| 21 | 280 | 0 | 0 | 0.33 | -8.488 | 30.000 | 0.05 | 0.000 | |
| 22 | 216 | 0 | 0 | 0.33 | -11.481 | 30.000 | 0.05 | 0.000 | |
| 23 | 167 | 0 | 0 | 0.33 | -14.506 | 30.000 | 0.05 | 0.000 | |
| 24 | 107 | 0 | 0 | 0.33 | -17.574 | 30.000 | 0.05 | 0.000 | |
| 25 | 34 | 0 | 0 | -2.45 - 0.33 | -19.201 | 30.000 | 0.05 | 0.000 | |

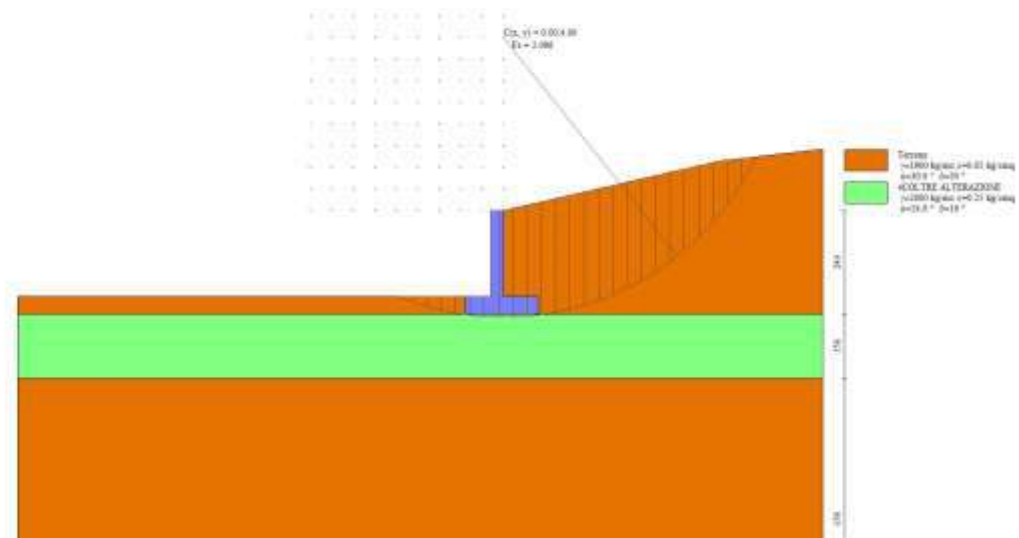


Fig. 22 - Stabilità fronte di scavo - Cerchio critico (Combinazione n° 5)

Combinazione n° 6 - GEO (A2-M2-R2) H - V

| n° | w [kg] | Qy [kg] | Qf [kg] | b [m] | α [°] | φ [°] | c [kg/cmq] | u [kg/cmq] | Tx; Ty [kg] |
|----|-----------|------------|------------|-------------|----------|----------|---------------|---------------|----------------|
| 1 | 178 | 0 | 0 | 5.87 - 0.33 | 60.980 | 30.000 | 0.05 | 0.000 | |
| 2 | 501 | 0 | 0 | 0.33 | 56.134 | 30.000 | 0.05 | 0.000 | |
| 3 | 761 | 0 | 0 | 0.33 | 51.141 | 30.000 | 0.05 | 0.000 | |
| 4 | 959 | 0 | 0 | 0.33 | 46.646 | 30.000 | 0.05 | 0.000 | |
| 5 | 1119 | 0 | 0 | 0.33 | 42.501 | 30.000 | 0.05 | 0.000 | |
| 6 | 1251 | 0 | 0 | 0.33 | 38.617 | 30.000 | 0.05 | 0.000 | |
| 7 | 1360 | 0 | 0 | 0.33 | 34.934 | 30.000 | 0.05 | 0.000 | |
| 8 | 1450 | 0 | 0 | 0.33 | 31.410 | 30.000 | 0.05 | 0.000 | |
| 9 | 1522 | 0 | 0 | 0.33 | 28.015 | 30.000 | 0.05 | 0.000 | |
| 10 | 1579 | 0 | 0 | 0.33 | 24.724 | 30.000 | 0.05 | 0.000 | |
| 11 | 1620 | 0 | 0 | 0.33 | 21.518 | 30.000 | 0.05 | 0.000 | |
| 12 | 1649 | 0 | 0 | 0.33 | 18.382 | 30.000 | 0.05 | 0.000 | |
| 13 | 1664 | 0 | 0 | 0.33 | 15.302 | 30.000 | 0.05 | 0.000 | |
| 14 | 1668 | 0 | 0 | 0.33 | 12.267 | 30.000 | 0.05 | 0.000 | |
| 15 | 1660 | 0 | 0 | 0.33 | 9.267 | 30.000 | 0.05 | 0.000 | |
| 16 | 1778 | 0 | 0 | 0.33 | 6.292 | 24.000 | 0.25 | 0.000 | |
| 17 | 1692 | 0 | 0 | 0.33 | 3.334 | 24.000 | 0.25 | 0.000 | |
| 18 | 1802 | 0 | 0 | 0.33 | 0.384 | 24.000 | 0.25 | 0.000 | |
| 19 | 1261 | 0 | 0 | 0.33 | -2.564 | 24.000 | 0.25 | 0.000 | |
| 20 | 360 | 0 | 0 | 0.33 | -5.519 | 24.000 | 0.25 | 0.000 | |
| 21 | 280 | 0 | 0 | 0.33 | -8.488 | 30.000 | 0.05 | 0.000 | |
| 22 | 216 | 0 | 0 | 0.33 | -11.481 | 30.000 | 0.05 | 0.000 | |

Relazione Geotecnica e delle Fondazioni

| n° | w [kg] | Qy [kg] | Qf [kg] | b [m] | α [°] | ϕ [°] | c [kg/cm²] | u [kg/cm²] | Tx; Ty [kg] |
|----|-----------|------------|------------|--------------|-----------------|---------------|---------------|---------------|----------------|
| 23 | 167 | 0 | 0 | 0.33 | -14.506 | 30.000 | 0.05 | 0.000 | |
| 24 | 107 | 0 | 0 | 0.33 | -17.574 | 30.000 | 0.05 | 0.000 | |
| 25 | 34 | 0 | 0 | -2.45 - 0.33 | -19.201 | 30.000 | 0.05 | 0.000 | |

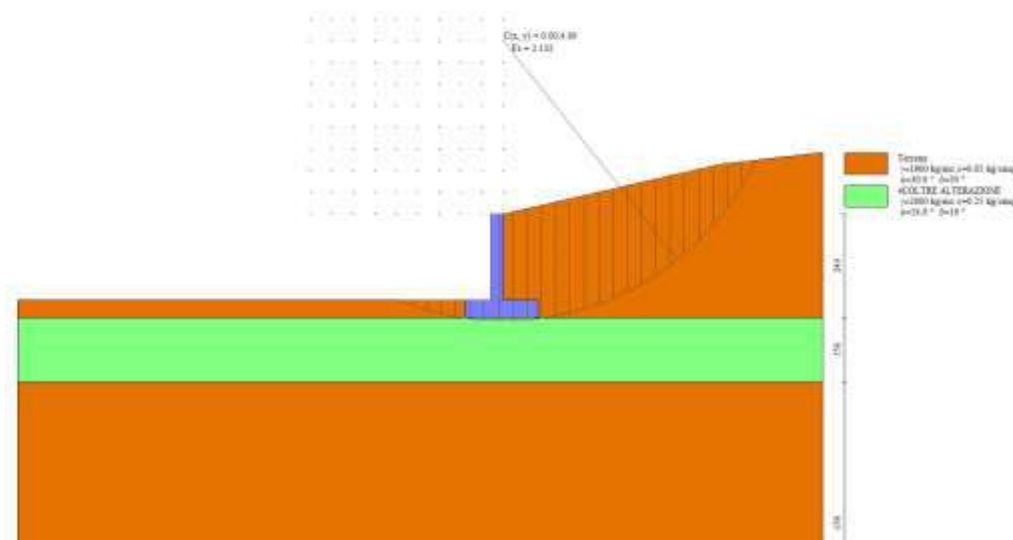


Fig. 23 - Stabilità fronte di scavo - Cerchio critico (Combinazione n° 6)

Sollecitazioni

Elementi calcolati a trave

Simbologia adottata

- n° Indice della sezione
X Posizione della sezione, espresso in [m]
N Sforzo normale, espresso in [kg]. Positivo se di compressione.
T Taglio, espresso in [kg]. Positivo se diretto da monte verso valle
M Momento, espresso in [kgm]. Positivo se tende le fibre contro terra (a monte)
La posizione delle sezioni di verifica fanno riferimento al sistema di riferimento globale la cui origine è nello spigolo in alto a destra del paramento.

Paramento

Combinazione n° 1 - STR (A1-M1-R3)

| n° | X [m] | N [kg] | T [kg] | M [kgm] |
|----|----------|-----------|-----------|------------|
| 1 | 0.00 | 0 | 0 | 0 |
| 2 | -0.10 | 75 | 35 | 1 |
| 3 | -0.20 | 150 | 100 | 8 |
| 4 | -0.30 | 225 | 153 | 21 |
| 5 | -0.40 | 300 | 194 | 38 |
| 6 | -0.50 | 375 | 224 | 59 |
| 7 | -0.60 | 450 | 242 | 83 |
| 8 | -0.70 | 525 | 251 | 107 |
| 9 | -0.80 | 600 | 256 | 133 |
| 10 | -0.90 | 675 | 267 | 159 |
| 11 | -1.00 | 750 | 286 | 186 |
| 12 | -1.10 | 825 | 312 | 216 |
| 13 | -1.20 | 900 | 347 | 249 |
| 14 | -1.30 | 975 | 389 | 286 |
| 15 | -1.40 | 1050 | 440 | 327 |
| 16 | -1.50 | 1125 | 499 | 374 |
| 17 | -1.60 | 1200 | 566 | 427 |
| 18 | -1.70 | 1275 | 641 | 487 |
| 19 | -1.80 | 1350 | 724 | 556 |
| 20 | -1.90 | 1425 | 816 | 633 |
| 21 | -2.00 | 1500 | 915 | 719 |

| | | | |
|--------------------------------------|----------------------------------------------------------------------------------------------------------------------|----------------------------------------------------------------------------------|-------------|
| COMMITTENTE: Mecca Antonio | CODICE COMMESSA: | NOME ELABORATO: S1.5 - Relazione Geotecnica e delle Fondazioni | CONSULENTE: |
| DATA: Aprile 2023 | TITOLO: Lavori ultimazione di un fabbricato adibito ad albergo-ristorante– C.da Case Nuove Chicone Avigliano (PZ) | | |

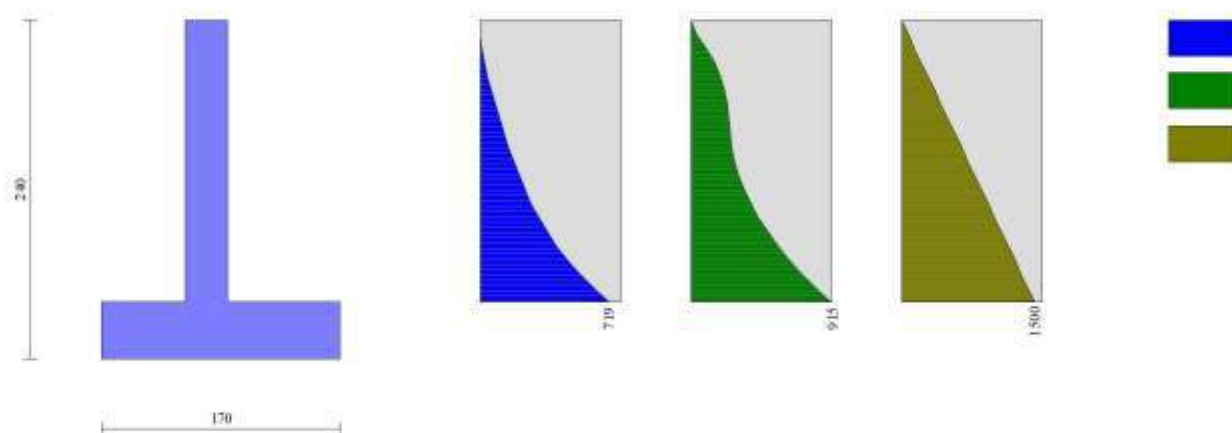


Fig. 24 - Paramento

Combinazione n° 2 - STR (A1-M1-R3) H + V

| n° | X [m] | N [kg] | T [kg] | M [kgm] |
|----|----------|-----------|-----------|------------|
| 1 | 0.00 | 0 | 0 | 0 |
| 2 | -0.10 | 79 | 22 | 1 |
| 3 | -0.20 | 158 | 45 | 4 |
| 4 | -0.30 | 237 | 67 | 10 |
| 5 | -0.40 | 316 | 89 | 18 |
| 6 | -0.50 | 395 | 112 | 28 |
| 7 | -0.60 | 474 | 134 | 40 |
| 8 | -0.70 | 553 | 156 | 55 |
| 9 | -0.80 | 632 | 179 | 71 |
| 10 | -0.90 | 711 | 202 | 90 |
| 11 | -1.00 | 790 | 228 | 112 |
| 12 | -1.10 | 869 | 257 | 136 |
| 13 | -1.20 | 948 | 293 | 164 |
| 14 | -1.30 | 1027 | 335 | 195 |
| 15 | -1.40 | 1107 | 383 | 231 |
| 16 | -1.50 | 1186 | 437 | 272 |
| 17 | -1.60 | 1265 | 497 | 318 |
| 18 | -1.70 | 1344 | 564 | 371 |
| 19 | -1.80 | 1423 | 636 | 431 |
| 20 | -1.90 | 1502 | 715 | 499 |
| 21 | -2.00 | 1581 | 801 | 575 |

Relazione Geotecnica e delle Fondazioni

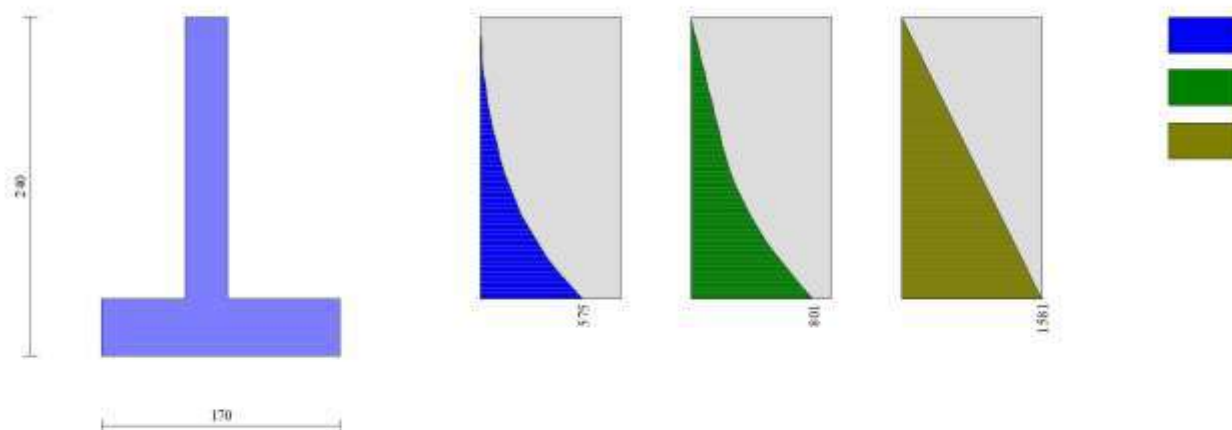


Fig. 25 - Paramento

Combinazione n° 3 - STR (A1-M1-R3) H - V

| n° | X [m] | N [kg] | T [kg] | M [kgm] |
|----|----------|-----------|-----------|------------|
| 1 | 0.00 | 0 | 0 | 0 |
| 2 | -0.10 | 71 | 16 | 1 |
| 3 | -0.20 | 142 | 33 | 3 |
| 4 | -0.30 | 213 | 49 | 7 |
| 5 | -0.40 | 284 | 66 | 13 |
| 6 | -0.50 | 355 | 82 | 21 |
| 7 | -0.60 | 426 | 98 | 30 |
| 8 | -0.70 | 497 | 115 | 40 |
| 9 | -0.80 | 568 | 131 | 52 |
| 10 | -0.90 | 639 | 149 | 66 |
| 11 | -1.00 | 710 | 168 | 82 |
| 12 | -1.10 | 781 | 192 | 100 |
| 13 | -1.20 | 852 | 222 | 121 |
| 14 | -1.30 | 923 | 258 | 145 |
| 15 | -1.40 | 993 | 300 | 173 |
| 16 | -1.50 | 1064 | 348 | 205 |
| 17 | -1.60 | 1135 | 402 | 242 |
| 18 | -1.70 | 1206 | 463 | 286 |
| 19 | -1.80 | 1277 | 530 | 335 |
| 20 | -1.90 | 1348 | 603 | 392 |
| 21 | -2.00 | 1419 | 682 | 456 |

| | | | |
|--------------------------------------|----------------------------------------------------------------------------------------------------------------------|----------------------------------------------------------------------------------|-------------|
| COMMITTENTE: Mecca Antonio | CODICE COMMESSA: | NOME ELABORATO: S1.5 - Relazione Geotecnica e delle Fondazioni | CONSULENTE: |
| DATA: Aprile 2023 | TITOLO: Lavori ultimazione di un fabbricato adibito ad albergo-ristorante– C.da Case Nuove Chicone Avigliano (PZ) | | |

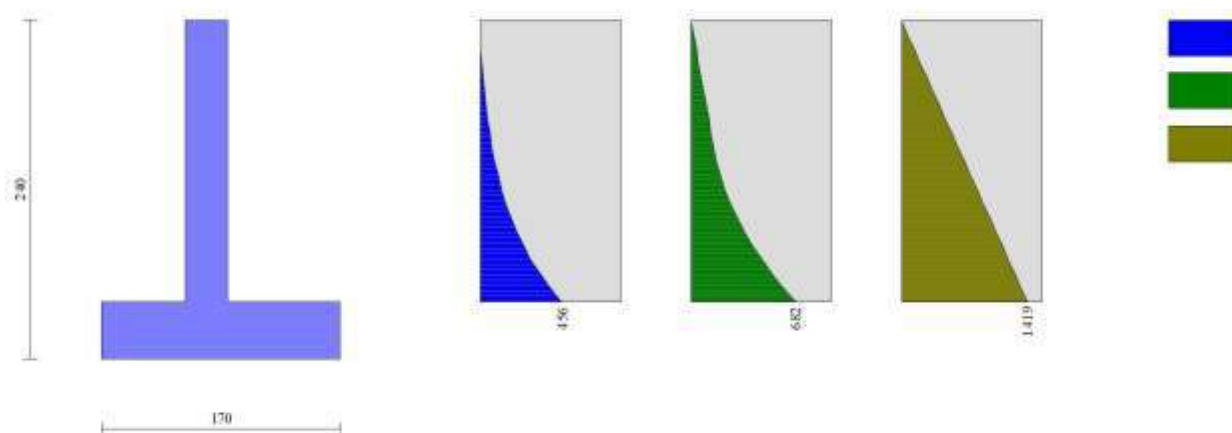


Fig. 26 - Paramento

Combinazione n° 10 - SLER

| n° | X [m] | N [kg] | T [kg] | M [kgm] |
|----|----------|-----------|-----------|------------|
| 1 | 0.00 | 0 | 0 | 0 |
| 2 | -0.10 | 75 | 28 | 1 |
| 3 | -0.20 | 150 | 97 | 7 |
| 4 | -0.30 | 225 | 171 | 21 |
| 5 | -0.40 | 300 | 236 | 41 |
| 6 | -0.50 | 375 | 289 | 67 |
| 7 | -0.60 | 450 | 333 | 98 |
| 8 | -0.70 | 525 | 366 | 134 |
| 9 | -0.80 | 600 | 389 | 171 |
| 10 | -0.90 | 675 | 403 | 211 |
| 11 | -1.00 | 750 | 410 | 252 |
| 12 | -1.10 | 825 | 417 | 293 |
| 13 | -1.20 | 900 | 431 | 335 |
| 14 | -1.30 | 975 | 450 | 379 |
| 15 | -1.40 | 1050 | 476 | 426 |
| 16 | -1.50 | 1125 | 508 | 475 |
| 17 | -1.60 | 1200 | 546 | 527 |
| 18 | -1.70 | 1275 | 590 | 584 |
| 19 | -1.80 | 1350 | 640 | 646 |
| 20 | -1.90 | 1425 | 697 | 712 |
| 21 | -2.00 | 1500 | 760 | 785 |

Relazione Geotecnica e delle Fondazioni

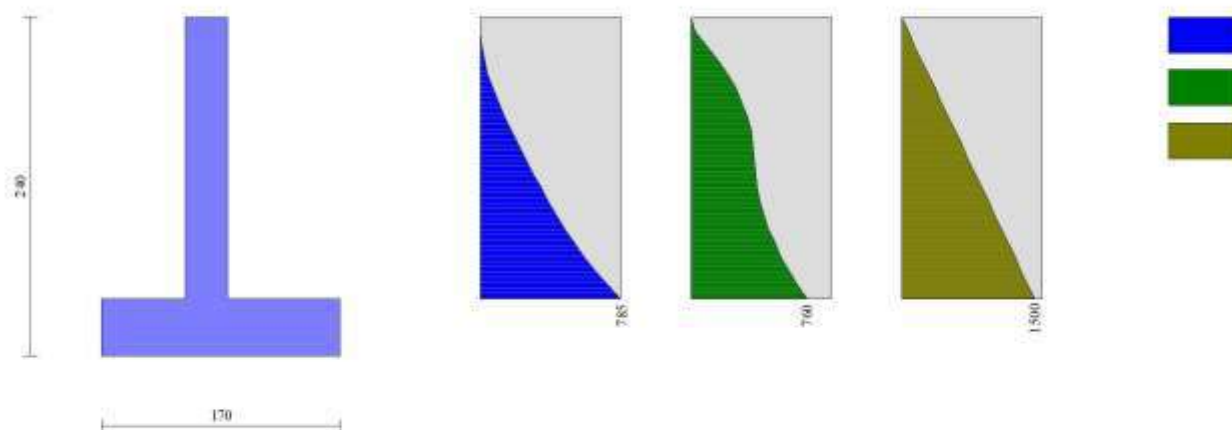


Fig. 27 - Paramento

Combinazione n° 11 - SLEF

| n° | X [m] | N [kg] | T [kg] | M [kgm] |
|----|----------|-----------|-----------|------------|
| 1 | 0.00 | 0 | 0 | 0 |
| 2 | -0.10 | 75 | 28 | 1 |
| 3 | -0.20 | 150 | 97 | 7 |
| 4 | -0.30 | 225 | 171 | 21 |
| 5 | -0.40 | 300 | 236 | 41 |
| 6 | -0.50 | 375 | 289 | 67 |
| 7 | -0.60 | 450 | 333 | 98 |
| 8 | -0.70 | 525 | 366 | 134 |
| 9 | -0.80 | 600 | 389 | 171 |
| 10 | -0.90 | 675 | 403 | 211 |
| 11 | -1.00 | 750 | 410 | 252 |
| 12 | -1.10 | 825 | 417 | 293 |
| 13 | -1.20 | 900 | 431 | 335 |
| 14 | -1.30 | 975 | 450 | 379 |
| 15 | -1.40 | 1050 | 476 | 426 |
| 16 | -1.50 | 1125 | 508 | 475 |
| 17 | -1.60 | 1200 | 546 | 527 |
| 18 | -1.70 | 1275 | 590 | 584 |
| 19 | -1.80 | 1350 | 640 | 646 |
| 20 | -1.90 | 1425 | 697 | 712 |
| 21 | -2.00 | 1500 | 760 | 785 |

| | | | |
|--------------------------------------|----------------------------------------------------------------------------------------------------------------------|----------------------------------------------------------------------------------|-------------|
| COMMITTENTE: Mecca Antonio | CODICE COMMESSA: | NOME ELABORATO: S1.5 - Relazione Geotecnica e delle Fondazioni | CONSULENTE: |
| DATA: Aprile 2023 | TITOLO: Lavori ultimazione di un fabbricato adibito ad albergo-ristorante– C.da Case Nuove Chicone Avigliano (PZ) | | |

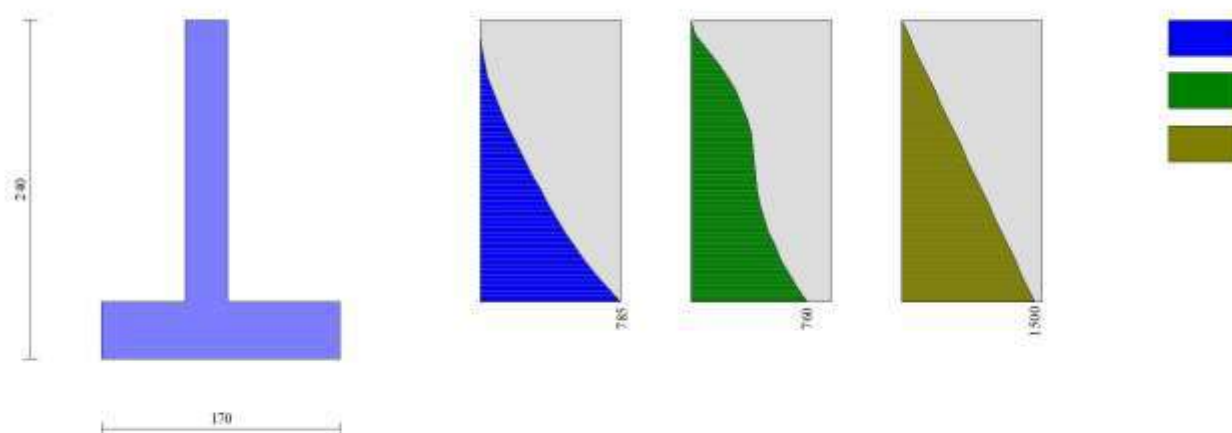


Fig. 28 - Paramento

Combinazione n° 12 - SLEQ

| n° | X [m] | N [kg] | T [kg] | M [kgm] |
|----|----------|-----------|-----------|------------|
| 1 | 0.00 | 0 | 0 | 0 |
| 2 | -0.10 | 75 | 28 | 1 |
| 3 | -0.20 | 150 | 97 | 7 |
| 4 | -0.30 | 225 | 171 | 21 |
| 5 | -0.40 | 300 | 236 | 41 |
| 6 | -0.50 | 375 | 289 | 67 |
| 7 | -0.60 | 450 | 333 | 98 |
| 8 | -0.70 | 525 | 366 | 134 |
| 9 | -0.80 | 600 | 389 | 171 |
| 10 | -0.90 | 675 | 403 | 211 |
| 11 | -1.00 | 750 | 410 | 252 |
| 12 | -1.10 | 825 | 417 | 293 |
| 13 | -1.20 | 900 | 431 | 335 |
| 14 | -1.30 | 975 | 450 | 379 |
| 15 | -1.40 | 1050 | 476 | 426 |
| 16 | -1.50 | 1125 | 508 | 475 |
| 17 | -1.60 | 1200 | 546 | 527 |
| 18 | -1.70 | 1275 | 590 | 584 |
| 19 | -1.80 | 1350 | 640 | 646 |
| 20 | -1.90 | 1425 | 697 | 712 |
| 21 | -2.00 | 1500 | 760 | 785 |

Relazione Geotecnica e delle Fondazioni

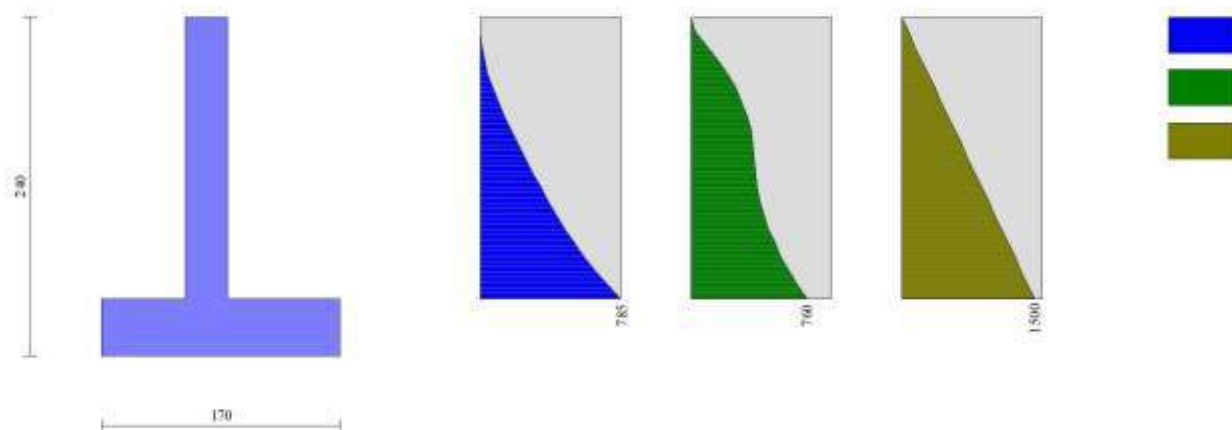
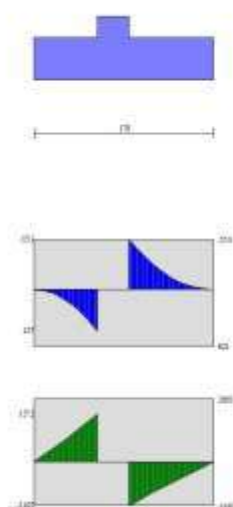


Fig. 29 - Paramento

Fondazione

Combinazione n° 1 - STR (A1-M1-R3)

| n° | X [m] | N [kg] | T [kg] | M [kgm] |
|----|----------|-----------|-----------|------------|
| 1 | -0.90 | 0 | 0 | 0 |
| 2 | -0.80 | 0 | 242 | 12 |
| 3 | -0.70 | 0 | 492 | 49 |
| 4 | -0.60 | 0 | 750 | 111 |
| 5 | -0.50 | 0 | 1016 | 199 |
| 6 | -0.40 | 0 | 1290 | 314 |
| 7 | -0.30 | 0 | 1572 | 457 |
| 8 | 0.00 | 0 | -1405 | -553 |
| 9 | 0.10 | 0 | -1222 | -421 |
| 10 | 0.20 | 0 | -1040 | -308 |
| 11 | 0.30 | 0 | -861 | -213 |
| 12 | 0.40 | 0 | -685 | -136 |
| 13 | 0.50 | 0 | -510 | -76 |
| 14 | 0.60 | 0 | -338 | -34 |
| 15 | 0.70 | 0 | -168 | -8 |
| 16 | 0.80 | 0 | 0 | 0 |



| | | | |
|--------------------------------------|------------------------------------------------------------------------------------------------------------------------------|----------------------------------------------------------------------------------|-------------|
| COMMITTENTE: Mecca Antonio | CODICE COMMESSA: | NOME ELABORATO: S1.5 - Relazione Geotecnica e delle Fondazioni | CONSULENTE: |
| DATA: Aprile 2023 | TITOLO: Lavori ultimazione di un fabbricato adibito ad albergo-ristorante– C.da Case Nuove Chicone Avigliano (PZ) | | |

Fig. 30 - Fondazione

Combinazione n° 2 - STR (A1-M1-R3) H + V

| n° | X [m] | N [kg] | T [kg] | M [kgm] |
|----|----------|-----------|-----------|------------|
| 1 | -0.90 | 0 | 0 | 0 |
| 2 | -0.80 | 0 | 349 | 17 |
| 3 | -0.70 | 0 | 696 | 70 |
| 4 | -0.60 | 0 | 1039 | 156 |
| 5 | -0.50 | 0 | 1379 | 277 |
| 6 | -0.40 | 0 | 1716 | 432 |
| 7 | -0.30 | 0 | 2050 | 621 |
| 8 | 0.00 | 0 | -687 | -306 |
| 9 | 0.10 | 0 | -627 | -240 |
| 10 | 0.20 | 0 | -559 | -181 |
| 11 | 0.30 | 0 | -485 | -129 |
| 12 | 0.40 | 0 | -402 | -84 |
| 13 | 0.50 | 0 | -313 | -49 |
| 14 | 0.60 | 0 | -216 | -22 |
| 15 | 0.70 | 0 | -112 | -6 |
| 16 | 0.80 | 0 | 0 | 0 |

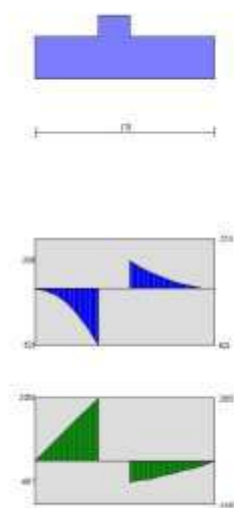


Fig. 31 - Fondazione

Combinazione n° 3 - STR (A1-M1-R3) H - V

| n° | X [m] | N [kg] | T [kg] | M [kgm] |
|----|----------|-----------|-----------|------------|
| 1 | -0.90 | 0 | 0 | 0 |
| 2 | -0.80 | 0 | 291 | 15 |
| 3 | -0.70 | 0 | 581 | 58 |
| 4 | -0.60 | 0 | 870 | 131 |
| 5 | -0.50 | 0 | 1157 | 232 |
| 6 | -0.40 | 0 | 1443 | 362 |
| 7 | -0.30 | 0 | 1727 | 521 |
| 8 | 0.00 | 0 | -988 | -420 |
| 9 | 0.10 | 0 | -885 | -326 |
| 10 | 0.20 | 0 | -775 | -243 |
| 11 | 0.30 | 0 | -661 | -171 |
| 12 | 0.40 | 0 | -540 | -111 |
| 13 | 0.50 | 0 | -414 | -63 |
| 14 | 0.60 | 0 | -281 | -29 |
| 15 | 0.70 | 0 | -144 | -7 |
| 16 | 0.80 | 0 | 0 | 0 |

Relazione Geotecnica e delle Fondazioni

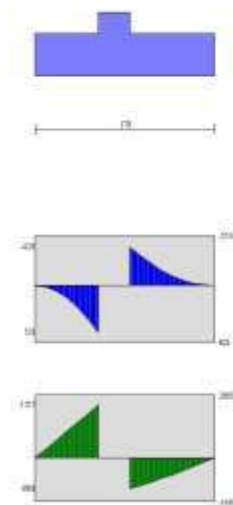


Fig. 32 - Fondazione

Combinazione n° 10 - SLER

| n° | X [m] | N [kg] | T [kg] | M [kgm] |
|----|----------|-----------|-----------|------------|
| 1 | -0.90 | 0 | 0 | 0 |
| 2 | -0.80 | 0 | 240 | 12 |
| 3 | -0.70 | 0 | 487 | 48 |
| 4 | -0.60 | 0 | 740 | 109 |
| 5 | -0.50 | 0 | 1000 | 196 |
| 6 | -0.40 | 0 | 1266 | 310 |
| 7 | -0.30 | 0 | 1540 | 450 |
| 8 | 0.00 | 0 | -593 | -227 |
| 9 | 0.10 | 0 | -511 | -172 |
| 10 | 0.20 | 0 | -431 | -125 |
| 11 | 0.30 | 0 | -353 | -86 |
| 12 | 0.40 | 0 | -278 | -54 |
| 13 | 0.50 | 0 | -205 | -30 |
| 14 | 0.60 | 0 | -134 | -13 |
| 15 | 0.70 | 0 | -66 | -3 |
| 16 | 0.80 | 0 | 0 | 0 |

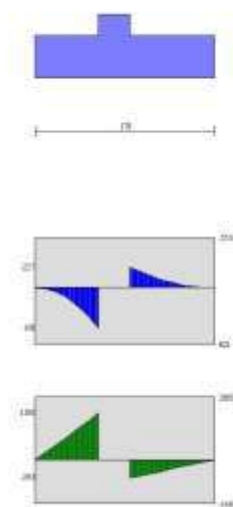


Fig. 33 - Fondazione

Combinazione n° 11 - SLEF

| | | | |
|--------------------------------------|----------------------------------------------------------------------------------------------------------------------|----------------------------------------------------------------------------------|-------------|
| COMMITTENTE: Mecca Antonio | CODICE COMMESSA: | NOME ELABORATO: S1.5 - Relazione Geotecnica e delle Fondazioni | CONSULENTE: |
| DATA: Aprile 2023 | TITOLO: Lavori ultimazione di un fabbricato adibito ad albergo-ristorante– C.da Case Nuove Chicone Avigliano (PZ) | | |

| n° | X [m] | N [kg] | T [kg] | M [kgm] |
|----|----------|-----------|-----------|------------|
| 1 | -0.90 | 0 | 0 | 0 |
| 2 | -0.80 | 0 | 240 | 12 |
| 3 | -0.70 | 0 | 487 | 48 |
| 4 | -0.60 | 0 | 740 | 109 |
| 5 | -0.50 | 0 | 1000 | 196 |
| 6 | -0.40 | 0 | 1266 | 310 |
| 7 | -0.30 | 0 | 1540 | 450 |
| 8 | 0.00 | 0 | -593 | -227 |
| 9 | 0.10 | 0 | -511 | -172 |
| 10 | 0.20 | 0 | -431 | -125 |
| 11 | 0.30 | 0 | -353 | -86 |
| 12 | 0.40 | 0 | -278 | -54 |
| 13 | 0.50 | 0 | -205 | -30 |
| 14 | 0.60 | 0 | -134 | -13 |
| 15 | 0.70 | 0 | -66 | -3 |
| 16 | 0.80 | 0 | 0 | 0 |

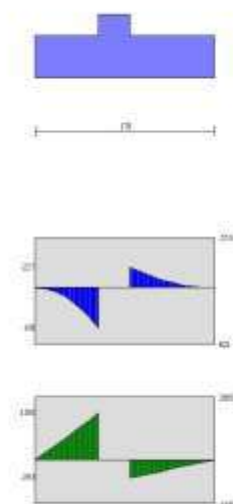


Fig. 34 - Fondazione

Combinazione n° 12 - SLEQ

| n° | X [m] | N [kg] | T [kg] | M [kgm] |
|----|----------|-----------|-----------|------------|
| 1 | -0.90 | 0 | 0 | 0 |
| 2 | -0.80 | 0 | 240 | 12 |
| 3 | -0.70 | 0 | 487 | 48 |
| 4 | -0.60 | 0 | 740 | 109 |
| 5 | -0.50 | 0 | 1000 | 196 |
| 6 | -0.40 | 0 | 1266 | 310 |
| 7 | -0.30 | 0 | 1540 | 450 |
| 8 | 0.00 | 0 | -593 | -227 |
| 9 | 0.10 | 0 | -511 | -172 |
| 10 | 0.20 | 0 | -431 | -125 |
| 11 | 0.30 | 0 | -353 | -86 |
| 12 | 0.40 | 0 | -278 | -54 |
| 13 | 0.50 | 0 | -205 | -30 |
| 14 | 0.60 | 0 | -134 | -13 |
| 15 | 0.70 | 0 | -66 | -3 |
| 16 | 0.80 | 0 | 0 | 0 |

Relazione Geotecnica e delle Fondazioni

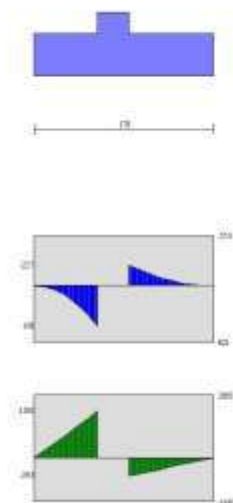


Fig. 35 - Fondazione

Verifiche strutturali

Verifiche a flessione

Elementi calcolati a trave

Simbologia adottata

| | |
|-----|-----------------------------------------------------------------------------------|
| n° | indice sezione |
| B | larghezza sezione espresso in [cm] |
| H | altezza sezione espressa in [cm] |
| Afi | area ferri inferiori espresso in [cmq] |
| Afs | area ferri superiori espressa in [cmq] |
| M | momento agente espressa in [kgm] |
| N | sforzo normale agente espressa in [kg] |
| Mrd | momento resistente espresso in [kgm] |
| Nrd | sforzo normale resistente espresso in [kg] |
| FS | fattore di sicurezza (rapporto tra sollecitazione ultima e sollecitazione agente) |

Paramento

Combinazione n° 1 - STR (A1-M1-R3)

| n° | Y [m] | B [cm] | H [cm] | Afi [cmq] | Afs [cmq] | M [kgm] | N [kg] | Mrd [kgm] | Nrd [kg] | FS |
|----|----------|-----------|-----------|--------------|--------------|------------|-----------|--------------|-------------|------------|
| 1 | 0.00 | 100 | 30 | 8.04 | 8.04 | 0 | 0 | 0 | 0 | 100000.000 |
| 2 | -0.10 | 100 | 30 | 8.04 | 8.04 | 1 | 75 | 7987 | 75 | 6817.424 |
| 3 | -0.20 | 100 | 30 | 8.04 | 8.04 | 8 | 150 | 7996 | 150 | 998.455 |
| 4 | -0.30 | 100 | 30 | 8.04 | 8.04 | 21 | 225 | 8005 | 225 | 386.348 |
| 5 | -0.40 | 100 | 30 | 8.04 | 8.04 | 38 | 300 | 8014 | 300 | 210.061 |
| 6 | -0.50 | 100 | 30 | 8.04 | 8.04 | 59 | 375 | 8023 | 375 | 135.645 |
| 7 | -0.60 | 100 | 30 | 8.04 | 8.04 | 83 | 450 | 8032 | 450 | 97.294 |
| 8 | -0.70 | 100 | 30 | 8.04 | 8.04 | 107 | 525 | 8041 | 525 | 74.958 |
| 9 | -0.80 | 100 | 30 | 8.04 | 8.04 | 133 | 600 | 8051 | 600 | 60.707 |
| 10 | -0.90 | 100 | 30 | 8.04 | 8.04 | 159 | 675 | 8060 | 675 | 50.781 |
| 11 | -1.00 | 100 | 30 | 8.04 | 8.04 | 186 | 750 | 8069 | 750 | 43.315 |
| 12 | -1.10 | 100 | 30 | 8.04 | 8.04 | 216 | 825 | 8078 | 825 | 37.380 |
| 13 | -1.20 | 100 | 30 | 8.04 | 8.04 | 249 | 900 | 8087 | 900 | 32.480 |
| 14 | -1.30 | 100 | 30 | 8.04 | 8.04 | 286 | 975 | 8096 | 975 | 28.335 |
| 15 | -1.40 | 100 | 30 | 8.04 | 8.04 | 327 | 1050 | 8105 | 1050 | 24.776 |
| 16 | -1.50 | 100 | 30 | 8.04 | 8.04 | 374 | 1125 | 8114 | 1125 | 21.694 |
| 17 | -1.60 | 100 | 30 | 8.04 | 8.04 | 427 | 1200 | 8123 | 1200 | 19.015 |
| 18 | -1.70 | 100 | 30 | 8.04 | 8.04 | 487 | 1275 | 8133 | 1275 | 16.682 |
| 19 | -1.80 | 100 | 30 | 8.04 | 8.04 | 556 | 1350 | 8142 | 1350 | 14.651 |
| 20 | -1.90 | 100 | 30 | 8.04 | 8.04 | 633 | 1425 | 8151 | 1425 | 12.883 |
| 21 | -1.99 | 100 | 30 | 8.04 | 8.04 | 719 | 1500 | 8160 | 1500 | 11.347 |

Combinazione n° 2 - STR (A1-M1-R3) H + V

| n° | Y [m] | B [cm] | H [cm] | Afi [cmq] | Afs [cmq] | M [kgm] | N [kg] | Mrd [kgm] | Nrd [kg] | FS |
|----|----------|-----------|-----------|--------------|--------------|------------|-----------|--------------|-------------|------------|
| 1 | 0.00 | 100 | 30 | 8.04 | 8.04 | 0 | 0 | 0 | 0 | 100000.000 |

| | | | |
|--------------------------------------|----------------------------------------------------------------------------------------------------------------------|----------------------------------------------------------------------------------|-------------|
| COMMITTENTE: Mecca Antonio | CODICE COMMESSA: | NOME ELABORATO: S1.5 - Relazione Geotecnica e delle Fondazioni | CONSULENTE: |
| DATA: Aprile 2023 | TITOLO: Lavori ultimazione di un fabbricato adibito ad albergo-ristorante– C.da Case Nuove Chicone Avigliano (PZ) | | |

| n° | Y [m] | B [cm] | H [cm] | Afi [cmq] | Afs [cmq] | M [kgm] | N [kg] | Mrd [kgm] | Nrd [kg] | FS |
|----|----------|-----------|-----------|--------------|--------------|------------|-----------|--------------|-------------|----------|
| 2 | -0.10 | 100 | 30 | 8.04 | 8.04 | 1 | 79 | 7987 | 79 | 7154.760 |
| 3 | -0.20 | 100 | 30 | 8.04 | 8.04 | 4 | 158 | 7997 | 158 | 1790.838 |
| 4 | -0.30 | 100 | 30 | 8.04 | 8.04 | 10 | 237 | 8007 | 237 | 796.883 |
| 5 | -0.40 | 100 | 30 | 8.04 | 8.04 | 18 | 316 | 8016 | 316 | 448.784 |
| 6 | -0.50 | 100 | 30 | 8.04 | 8.04 | 28 | 395 | 8026 | 395 | 287.565 |
| 7 | -0.60 | 100 | 30 | 8.04 | 8.04 | 40 | 474 | 8035 | 474 | 199.937 |
| 8 | -0.70 | 100 | 30 | 8.04 | 8.04 | 55 | 553 | 8045 | 553 | 147.068 |
| 9 | -0.80 | 100 | 30 | 8.04 | 8.04 | 71 | 632 | 8054 | 632 | 112.733 |
| 10 | -0.90 | 100 | 30 | 8.04 | 8.04 | 90 | 711 | 8064 | 711 | 89.144 |
| 11 | -1.00 | 100 | 30 | 8.04 | 8.04 | 112 | 790 | 8074 | 790 | 72.136 |
| 12 | -1.10 | 100 | 30 | 8.04 | 8.04 | 136 | 869 | 8083 | 869 | 59.387 |
| 13 | -1.20 | 100 | 30 | 8.04 | 8.04 | 164 | 948 | 8093 | 948 | 49.477 |
| 14 | -1.30 | 100 | 30 | 8.04 | 8.04 | 195 | 1027 | 8102 | 1027 | 41.572 |
| 15 | -1.40 | 100 | 30 | 8.04 | 8.04 | 231 | 1107 | 8112 | 1107 | 35.159 |
| 16 | -1.50 | 100 | 30 | 8.04 | 8.04 | 272 | 1186 | 8122 | 1186 | 29.897 |
| 17 | -1.60 | 100 | 30 | 8.04 | 8.04 | 318 | 1265 | 8131 | 1265 | 25.546 |
| 18 | -1.70 | 100 | 30 | 8.04 | 8.04 | 371 | 1344 | 8141 | 1344 | 21.926 |
| 19 | -1.80 | 100 | 30 | 8.04 | 8.04 | 431 | 1423 | 8150 | 1423 | 18.900 |
| 20 | -1.90 | 100 | 30 | 8.04 | 8.04 | 499 | 1502 | 8160 | 1502 | 16.360 |
| 21 | -1.99 | 100 | 30 | 8.04 | 8.04 | 575 | 1581 | 8170 | 1581 | 14.220 |

Combinazione n° 3 - STR (A1-M1-R3) H - V

| n° | Y [m] | B [cm] | H [cm] | Afi [cmq] | Afs [cmq] | M [kgm] | N [kg] | Mrd [kgm] | Nrd [kg] | FS |
|----|----------|-----------|-----------|--------------|--------------|------------|-----------|--------------|-------------|------------|
| 1 | 0.00 | 100 | 30 | 8.04 | 8.04 | 0 | 0 | 0 | 0 | 100000.000 |
| 2 | -0.10 | 100 | 30 | 8.04 | 8.04 | 1 | 71 | 0 | 0 | 100000.000 |
| 3 | -0.20 | 100 | 30 | 8.04 | 8.04 | 3 | 142 | 7995 | 142 | 2437.067 |
| 4 | -0.30 | 100 | 30 | 8.04 | 8.04 | 7 | 213 | 8004 | 213 | 1084.308 |
| 5 | -0.40 | 100 | 30 | 8.04 | 8.04 | 13 | 284 | 8012 | 284 | 610.579 |
| 6 | -0.50 | 100 | 30 | 8.04 | 8.04 | 21 | 355 | 8021 | 355 | 391.191 |
| 7 | -0.60 | 100 | 30 | 8.04 | 8.04 | 30 | 426 | 8029 | 426 | 271.952 |
| 8 | -0.70 | 100 | 30 | 8.04 | 8.04 | 40 | 497 | 8038 | 497 | 200.016 |
| 9 | -0.80 | 100 | 30 | 8.04 | 8.04 | 52 | 568 | 8047 | 568 | 153.301 |
| 10 | -0.90 | 100 | 30 | 8.04 | 8.04 | 66 | 639 | 8055 | 639 | 121.191 |
| 11 | -1.00 | 100 | 30 | 8.04 | 8.04 | 82 | 710 | 8064 | 710 | 97.981 |
| 12 | -1.10 | 100 | 30 | 8.04 | 8.04 | 100 | 781 | 8072 | 781 | 80.509 |
| 13 | -1.20 | 100 | 30 | 8.04 | 8.04 | 121 | 852 | 8081 | 852 | 66.835 |
| 14 | -1.30 | 100 | 30 | 8.04 | 8.04 | 145 | 923 | 8090 | 923 | 55.853 |
| 15 | -1.40 | 100 | 30 | 8.04 | 8.04 | 173 | 993 | 8098 | 993 | 46.902 |
| 16 | -1.50 | 100 | 30 | 8.04 | 8.04 | 205 | 1064 | 8107 | 1064 | 39.546 |
| 17 | -1.60 | 100 | 30 | 8.04 | 8.04 | 242 | 1135 | 8116 | 1135 | 33.471 |
| 18 | -1.70 | 100 | 30 | 8.04 | 8.04 | 286 | 1206 | 8124 | 1206 | 28.438 |
| 19 | -1.80 | 100 | 30 | 8.04 | 8.04 | 335 | 1277 | 8133 | 1277 | 24.258 |
| 20 | -1.90 | 100 | 30 | 8.04 | 8.04 | 392 | 1348 | 8141 | 1348 | 20.777 |
| 21 | -1.99 | 100 | 30 | 8.04 | 8.04 | 456 | 1419 | 8150 | 1419 | 17.872 |

Fondazione

Combinazione n° 1 - STR (A1-M1-R3)

| n° | Y [m] | B [cm] | H [cm] | Afi [cmq] | Afs [cmq] | M [kgm] | N [kg] | Mrd [kgm] | Nrd [kg] | FS |
|----|----------|-----------|-----------|--------------|--------------|------------|-----------|--------------|-------------|------------|
| 1 | -0.90 | 100 | 40 | 8.04 | 8.04 | 0 | 0 | 0 | 0 | 100000.000 |
| 2 | -0.80 | 100 | 40 | 8.04 | 8.04 | 12 | 0 | 11100 | 0 | 921.692 |
| 3 | -0.70 | 100 | 40 | 8.04 | 8.04 | 49 | 0 | 11100 | 0 | 227.931 |
| 4 | -0.60 | 100 | 40 | 8.04 | 8.04 | 111 | 0 | 11100 | 0 | 100.219 |
| 5 | -0.50 | 100 | 40 | 8.04 | 8.04 | 199 | 0 | 11100 | 0 | 55.777 |
| 6 | -0.40 | 100 | 40 | 8.04 | 8.04 | 314 | 0 | 11100 | 0 | 35.323 |
| 7 | -0.30 | 100 | 40 | 8.04 | 8.04 | 457 | 0 | 11100 | 0 | 24.276 |
| 8 | 0.00 | 100 | 40 | 8.04 | 8.04 | -553 | 0 | -11100 | 0 | 20.091 |
| 9 | 0.10 | 100 | 40 | 8.04 | 8.04 | -421 | 0 | -11100 | 0 | 26.356 |
| 10 | 0.20 | 100 | 40 | 8.04 | 8.04 | -308 | 0 | -11100 | 0 | 36.031 |
| 11 | 0.30 | 100 | 40 | 8.04 | 8.04 | -213 | 0 | -11100 | 0 | 52.113 |
| 12 | 0.40 | 100 | 40 | 8.04 | 8.04 | -136 | 0 | -11100 | 0 | 81.787 |
| 13 | 0.50 | 100 | 40 | 8.04 | 8.04 | -76 | 0 | -11100 | 0 | 146.045 |
| 14 | 0.60 | 100 | 40 | 8.04 | 8.04 | -34 | 0 | -11100 | 0 | 330.069 |
| 15 | 0.70 | 100 | 40 | 8.04 | 8.04 | -8 | 0 | -11100 | 0 | 1326.197 |
| 16 | 0.80 | 100 | 40 | 8.04 | 8.04 | 0 | 0 | 0 | 0 | 100000.000 |

Combinazione n° 2 - STR (A1-M1-R3) H + V

| n° | Y [m] | B [cm] | H [cm] | Afi [cmq] | Afs [cmq] | M [kgm] | N [kg] | Mrd [kgm] | Nrd [kg] | FS |
|----|----------|-----------|-----------|--------------|--------------|------------|-----------|--------------|-------------|------------|
| 1 | -0.90 | 100 | 40 | 8.04 | 8.04 | 0 | 0 | 0 | 0 | 100000.000 |
| 2 | -0.80 | 100 | 40 | 8.04 | 8.04 | 17 | 0 | 11100 | 0 | 634.718 |
| 3 | -0.70 | 100 | 40 | 8.04 | 8.04 | 70 | 0 | 11100 | 0 | 159.138 |
| 4 | -0.60 | 100 | 40 | 8.04 | 8.04 | 156 | 0 | 11100 | 0 | 70.933 |
| 5 | -0.50 | 100 | 40 | 8.04 | 8.04 | 277 | 0 | 11100 | 0 | 40.016 |
| 6 | -0.40 | 100 | 40 | 8.04 | 8.04 | 432 | 0 | 11100 | 0 | 25.685 |
| 7 | -0.30 | 100 | 40 | 8.04 | 8.04 | 621 | 0 | 11100 | 0 | 17.889 |
| 8 | 0.00 | 100 | 40 | 8.04 | 8.04 | -306 | 0 | -11100 | 0 | 36.247 |

Relazione Geotecnica e delle Fondazioni

| n° | Y [m] | B [cm] | H [cm] | Afi [cmq] | Afs [cmq] | M [kgm] | N [kg] | Mrd [kgm] | Nrd [kg] | FS |
|----|----------|-----------|-----------|--------------|--------------|------------|-----------|--------------|-------------|------------|
| 9 | 0.10 | 100 | 40 | 8.04 | 8.04 | -240 | 0 | -11100 | 0 | 46.159 |
| 10 | 0.20 | 100 | 40 | 8.04 | 8.04 | -181 | 0 | -11100 | 0 | 61.294 |
| 11 | 0.30 | 100 | 40 | 8.04 | 8.04 | -129 | 0 | -11100 | 0 | 86.161 |
| 12 | 0.40 | 100 | 40 | 8.04 | 8.04 | -84 | 0 | -11100 | 0 | 131.495 |
| 13 | 0.50 | 100 | 40 | 8.04 | 8.04 | -49 | 0 | -11100 | 0 | 228.453 |
| 14 | 0.60 | 100 | 40 | 8.04 | 8.04 | -22 | 0 | -11100 | 0 | 502.590 |
| 15 | 0.70 | 100 | 40 | 8.04 | 8.04 | -6 | 0 | -11100 | 0 | 1966.635 |
| 16 | 0.80 | 100 | 40 | 8.04 | 8.04 | 0 | 0 | 0 | 0 | 100000.000 |

Combinazione n° 3 - STR (A1-M1-R3) H - V

| n° | Y [m] | B [cm] | H [cm] | Afi [cmq] | Afs [cmq] | M [kgm] | N [kg] | Mrd [kgm] | Nrd [kg] | FS |
|----|----------|-----------|-----------|--------------|--------------|------------|-----------|--------------|-------------|------------|
| 1 | -0.90 | 100 | 40 | 8.04 | 8.04 | 0 | 0 | 0 | 0 | 100000.000 |
| 2 | -0.80 | 100 | 40 | 8.04 | 8.04 | 15 | 0 | 11100 | 0 | 761.194 |
| 3 | -0.70 | 100 | 40 | 8.04 | 8.04 | 58 | 0 | 11100 | 0 | 190.604 |
| 4 | -0.60 | 100 | 40 | 8.04 | 8.04 | 131 | 0 | 11100 | 0 | 84.849 |
| 5 | -0.50 | 100 | 40 | 8.04 | 8.04 | 232 | 0 | 11100 | 0 | 47.805 |
| 6 | -0.40 | 100 | 40 | 8.04 | 8.04 | 362 | 0 | 11100 | 0 | 30.644 |
| 7 | -0.30 | 100 | 40 | 8.04 | 8.04 | 521 | 0 | 11100 | 0 | 21.315 |
| 8 | 0.00 | 100 | 40 | 8.04 | 8.04 | -420 | 0 | -11100 | 0 | 26.450 |
| 9 | 0.10 | 100 | 40 | 8.04 | 8.04 | -326 | 0 | -11100 | 0 | 34.049 |
| 10 | 0.20 | 100 | 40 | 8.04 | 8.04 | -243 | 0 | -11100 | 0 | 45.687 |
| 11 | 0.30 | 100 | 40 | 8.04 | 8.04 | -171 | 0 | -11100 | 0 | 64.868 |
| 12 | 0.40 | 100 | 40 | 8.04 | 8.04 | -111 | 0 | -11100 | 0 | 99.958 |
| 13 | 0.50 | 100 | 40 | 8.04 | 8.04 | -63 | 0 | -11100 | 0 | 175.285 |
| 14 | 0.60 | 100 | 40 | 8.04 | 8.04 | -29 | 0 | -11100 | 0 | 389.094 |
| 15 | 0.70 | 100 | 40 | 8.04 | 8.04 | -7 | 0 | -11100 | 0 | 1535.753 |
| 16 | 0.80 | 100 | 40 | 8.04 | 8.04 | 0 | 0 | 0 | 0 | 100000.000 |

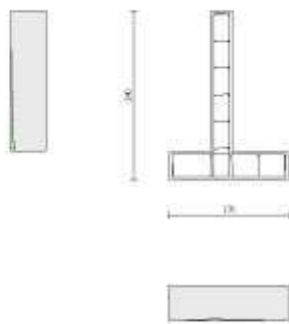


Fig. 36 - Paramento (Involuppo)

Verifiche a taglio

Simbologia adottata

| | |
|------------------|-------------------------------------------------------------------------------------------------------------------------------------------------------------------------------------------------|
| n° (o Is) | indice sezione |
| Y | ordinata sezione espressa in [m] |
| B | larghezza sezione espressa in [cm] |
| H | altezza sezione espressa in [cm] |
| A _{sw} | area ferri a taglio espressa in [cmq] |
| cotgθ | inclinazione delle bielle compresse, θ inclinazione dei puntoni di calcestruzzo |
| V _{Rcd} | resistenza di progetto a 'taglio compressione' espressa in [kg] |
| V _{Rsd} | resistenza di progetto a 'taglio trazione' espressa in [kg] |
| V _{Rd} | resistenza di progetto a taglio espressa in [kg]. Per elementi con armature trasversali resistenti al taglio (A _{sw} >0.0) V _{Rd} =min(V _{Rcd} , V _{Rsd}). |
| T | taglio agente espressa in [kg] |
| FS | fattore di sicurezza (rapporto tra sollecitazione resistente e sollecitazione agente) |

Paramento

Combinazione n° 1 - STR (A1-M1-R3)

| | | | |
|--------------------------------------|------------------------------------------------------------------------------------------------------------------------------|----------------------------------------------------------------------------------|-------------|
| COMMITTENTE: Mecca Antonio | CODICE COMMESSA: | NOME ELABORATO: S1.5 - Relazione Geotecnica e delle Fondazioni | CONSULENTE: |
| DATA: Aprile 2023 | TITOLO: Lavori ultimazione di un fabbricato adibito ad albergo-ristorante– C.da Case Nuove Chicone Avigliano (PZ) | | |

| n° | Y [m] | B [cm] | H [cm] | A _{sw} [cmq] | s [cm] | cotθ | V _{Rcd} [kg] | V _{Rsd} [kg] | V _{Rd} [kg] | T [kg] | FS |
|----|----------|-----------|-----------|--------------------------|-----------|------|--------------------------|--------------------------|-------------------------|-----------|---------|
| 1 | 0.00 | 100 | 30 | 0.00 | 0.00 | -- | 0 | 0 | 15214 | 0 | 100.000 |
| 2 | -0.10 | 100 | 30 | 0.00 | 0.00 | -- | 0 | 0 | 15224 | 35 | 433.153 |
| 3 | -0.20 | 100 | 30 | 0.00 | 0.00 | -- | 0 | 0 | 15234 | 100 | 152.848 |
| 4 | -0.30 | 100 | 30 | 0.00 | 0.00 | -- | 0 | 0 | 15244 | 153 | 99.868 |
| 5 | -0.40 | 100 | 30 | 0.00 | 0.00 | -- | 0 | 0 | 15254 | 194 | 78.601 |
| 6 | -0.50 | 100 | 30 | 0.00 | 0.00 | -- | 0 | 0 | 15264 | 224 | 68.157 |
| 7 | -0.60 | 100 | 30 | 0.00 | 0.00 | -- | 0 | 0 | 15274 | 242 | 63.040 |
| 8 | -0.70 | 100 | 30 | 0.00 | 0.00 | -- | 0 | 0 | 15284 | 251 | 60.950 |
| 9 | -0.80 | 100 | 30 | 0.00 | 0.00 | -- | 0 | 0 | 15295 | 256 | 59.669 |
| 10 | -0.90 | 100 | 30 | 0.00 | 0.00 | -- | 0 | 0 | 15305 | 267 | 57.319 |
| 11 | -1.00 | 100 | 30 | 0.00 | 0.00 | -- | 0 | 0 | 15315 | 286 | 53.621 |
| 12 | -1.10 | 100 | 30 | 0.00 | 0.00 | -- | 0 | 0 | 15325 | 312 | 49.089 |
| 13 | -1.20 | 100 | 30 | 0.00 | 0.00 | -- | 0 | 0 | 15335 | 347 | 44.221 |
| 14 | -1.30 | 100 | 30 | 0.00 | 0.00 | -- | 0 | 0 | 15345 | 389 | 39.404 |
| 15 | -1.40 | 100 | 30 | 0.00 | 0.00 | -- | 0 | 0 | 15355 | 440 | 34.886 |
| 16 | -1.50 | 100 | 30 | 0.00 | 0.00 | -- | 0 | 0 | 15365 | 499 | 30.792 |
| 17 | -1.60 | 100 | 30 | 0.00 | 0.00 | -- | 0 | 0 | 15376 | 566 | 27.166 |
| 18 | -1.70 | 100 | 30 | 0.00 | 0.00 | -- | 0 | 0 | 15386 | 641 | 23.999 |
| 19 | -1.80 | 100 | 30 | 0.00 | 0.00 | -- | 0 | 0 | 15396 | 724 | 21.253 |
| 20 | -1.90 | 100 | 30 | 0.00 | 0.00 | -- | 0 | 0 | 15406 | 816 | 18.883 |
| 21 | -1.99 | 100 | 30 | 0.00 | 0.00 | -- | 0 | 0 | 15416 | 915 | 16.840 |

Combinazione n° 2 - STR (A1-M1-R3) H + V

| n° | Y [m] | B [cm] | H [cm] | A _{sw} [cmq] | s [cm] | cotθ | V _{Rcd} [kg] | V _{Rsd} [kg] | V _{Rd} [kg] | T [kg] | FS |
|----|----------|-----------|-----------|--------------------------|-----------|------|--------------------------|--------------------------|-------------------------|-----------|---------|
| 1 | 0.00 | 100 | 30 | 0.00 | 0.00 | -- | 0 | 0 | 15214 | 0 | 100.000 |
| 2 | -0.10 | 100 | 30 | 0.00 | 0.00 | -- | 0 | 0 | 15224 | 22 | 681.862 |
| 3 | -0.20 | 100 | 30 | 0.00 | 0.00 | -- | 0 | 0 | 15235 | 45 | 341.170 |
| 4 | -0.30 | 100 | 30 | 0.00 | 0.00 | -- | 0 | 0 | 15246 | 67 | 227.606 |
| 5 | -0.40 | 100 | 30 | 0.00 | 0.00 | -- | 0 | 0 | 15256 | 89 | 170.824 |
| 6 | -0.50 | 100 | 30 | 0.00 | 0.00 | -- | 0 | 0 | 15267 | 112 | 136.755 |
| 7 | -0.60 | 100 | 30 | 0.00 | 0.00 | -- | 0 | 0 | 15278 | 134 | 114.042 |
| 8 | -0.70 | 100 | 30 | 0.00 | 0.00 | -- | 0 | 0 | 15288 | 156 | 97.818 |
| 9 | -0.80 | 100 | 30 | 0.00 | 0.00 | -- | 0 | 0 | 15299 | 179 | 85.651 |
| 10 | -0.90 | 100 | 30 | 0.00 | 0.00 | -- | 0 | 0 | 15310 | 202 | 75.783 |
| 11 | -1.00 | 100 | 30 | 0.00 | 0.00 | -- | 0 | 0 | 15320 | 228 | 67.323 |
| 12 | -1.10 | 100 | 30 | 0.00 | 0.00 | -- | 0 | 0 | 15331 | 257 | 59.603 |
| 13 | -1.20 | 100 | 30 | 0.00 | 0.00 | -- | 0 | 0 | 15342 | 293 | 52.372 |
| 14 | -1.30 | 100 | 30 | 0.00 | 0.00 | -- | 0 | 0 | 15352 | 335 | 45.861 |
| 15 | -1.40 | 100 | 30 | 0.00 | 0.00 | -- | 0 | 0 | 15363 | 383 | 40.142 |
| 16 | -1.50 | 100 | 30 | 0.00 | 0.00 | -- | 0 | 0 | 15374 | 437 | 35.193 |
| 17 | -1.60 | 100 | 30 | 0.00 | 0.00 | -- | 0 | 0 | 15384 | 497 | 30.945 |
| 18 | -1.70 | 100 | 30 | 0.00 | 0.00 | -- | 0 | 0 | 15395 | 564 | 27.312 |
| 19 | -1.80 | 100 | 30 | 0.00 | 0.00 | -- | 0 | 0 | 15406 | 636 | 24.207 |
| 20 | -1.90 | 100 | 30 | 0.00 | 0.00 | -- | 0 | 0 | 15416 | 715 | 21.550 |
| 21 | -1.99 | 100 | 30 | 0.00 | 0.00 | -- | 0 | 0 | 15427 | 801 | 19.270 |

Combinazione n° 3 - STR (A1-M1-R3) H - V

| n° | Y [m] | B [cm] | H [cm] | A _{sw} [cmq] | s [cm] | cotθ | V _{Rcd} [kg] | V _{Rsd} [kg] | V _{Rd} [kg] | T [kg] | FS |
|----|----------|-----------|-----------|--------------------------|-----------|------|--------------------------|--------------------------|-------------------------|-----------|---------|
| 1 | 0.00 | 100 | 30 | 0.00 | 0.00 | -- | 0 | 0 | 15214 | 0 | 100.000 |
| 2 | -0.10 | 100 | 30 | 0.00 | 0.00 | -- | 0 | 0 | 15223 | 16 | 928.074 |
| 3 | -0.20 | 100 | 30 | 0.00 | 0.00 | -- | 0 | 0 | 15233 | 33 | 464.329 |
| 4 | -0.30 | 100 | 30 | 0.00 | 0.00 | -- | 0 | 0 | 15242 | 49 | 309.747 |
| 5 | -0.40 | 100 | 30 | 0.00 | 0.00 | -- | 0 | 0 | 15252 | 66 | 232.457 |
| 6 | -0.50 | 100 | 30 | 0.00 | 0.00 | -- | 0 | 0 | 15261 | 82 | 186.082 |
| 7 | -0.60 | 100 | 30 | 0.00 | 0.00 | -- | 0 | 0 | 15271 | 98 | 155.166 |
| 8 | -0.70 | 100 | 30 | 0.00 | 0.00 | -- | 0 | 0 | 15281 | 115 | 133.083 |
| 9 | -0.80 | 100 | 30 | 0.00 | 0.00 | -- | 0 | 0 | 15290 | 131 | 116.520 |
| 10 | -0.90 | 100 | 30 | 0.00 | 0.00 | -- | 0 | 0 | 15300 | 149 | 102.891 |
| 11 | -1.00 | 100 | 30 | 0.00 | 0.00 | -- | 0 | 0 | 15309 | 168 | 90.954 |
| 12 | -1.10 | 100 | 30 | 0.00 | 0.00 | -- | 0 | 0 | 15319 | 192 | 79.767 |
| 13 | -1.20 | 100 | 30 | 0.00 | 0.00 | -- | 0 | 0 | 15328 | 222 | 69.097 |
| 14 | -1.30 | 100 | 30 | 0.00 | 0.00 | -- | 0 | 0 | 15338 | 258 | 59.510 |
| 15 | -1.40 | 100 | 30 | 0.00 | 0.00 | -- | 0 | 0 | 15348 | 300 | 51.198 |
| 16 | -1.50 | 100 | 30 | 0.00 | 0.00 | -- | 0 | 0 | 15357 | 348 | 44.134 |
| 17 | -1.60 | 100 | 30 | 0.00 | 0.00 | -- | 0 | 0 | 15367 | 402 | 38.192 |
| 18 | -1.70 | 100 | 30 | 0.00 | 0.00 | -- | 0 | 0 | 15376 | 463 | 33.214 |
| 19 | -1.80 | 100 | 30 | 0.00 | 0.00 | -- | 0 | 0 | 15386 | 530 | 29.043 |
| 20 | -1.90 | 100 | 30 | 0.00 | 0.00 | -- | 0 | 0 | 15396 | 603 | 25.540 |
| 21 | -1.99 | 100 | 30 | 0.00 | 0.00 | -- | 0 | 0 | 15405 | 682 | 22.586 |

Fondazione

Combinazione n° 1 - STR (A1-M1-R3)

| n° | Y [m] | B [cm] | H [cm] | A _{sw} [cmq] | s [cm] | cotθ | V _{Rcd} [kg] | V _{Rsd} [kg] | V _{Rd} [kg] | T [kg] | FS |
|----|----------|-----------|-----------|--------------------------|-----------|------|--------------------------|--------------------------|-------------------------|-----------|----|
|----|----------|-----------|-----------|--------------------------|-----------|------|--------------------------|--------------------------|-------------------------|-----------|----|

Relazione Geotecnica e delle Fondazioni

| n° | Y [m] | B [cm] | H [cm] | A _{sw} [cmq] | s [cm] | cotθ | V _{Rcd} [kg] | V _{Rsd} [kg] | V _{Rd} [kg] | T [kg] | FS |
|----|----------|-----------|-----------|--------------------------|-----------|------|--------------------------|--------------------------|-------------------------|-----------|---------|
| 1 | -0.90 | 100 | 40 | 0.00 | 0.00 | -- | 0 | 0 | 17504 | 0 | 100.000 |
| 2 | -0.80 | 100 | 40 | 0.00 | 0.00 | -- | 0 | 0 | 17504 | -242 | 72.275 |
| 3 | -0.70 | 100 | 40 | 0.00 | 0.00 | -- | 0 | 0 | 17504 | -492 | 35.558 |
| 4 | -0.60 | 100 | 40 | 0.00 | 0.00 | -- | 0 | 0 | 17504 | -750 | 23.331 |
| 5 | -0.50 | 100 | 40 | 0.00 | 0.00 | -- | 0 | 0 | 17504 | -1016 | 17.226 |
| 6 | -0.40 | 100 | 40 | 0.00 | 0.00 | -- | 0 | 0 | 17504 | -1290 | 13.570 |
| 7 | -0.30 | 100 | 40 | 0.00 | 0.00 | -- | 0 | 0 | 17504 | -1572 | 11.138 |
| 8 | 0.00 | 100 | 40 | 0.00 | 0.00 | -- | 0 | 0 | 17504 | -1405 | 12.456 |
| 9 | 0.10 | 100 | 40 | 0.00 | 0.00 | -- | 0 | 0 | 17504 | -1222 | 14.327 |
| 10 | 0.20 | 100 | 40 | 0.00 | 0.00 | -- | 0 | 0 | 17504 | -1040 | 16.824 |
| 11 | 0.30 | 100 | 40 | 0.00 | 0.00 | -- | 0 | 0 | 17504 | -861 | 20.320 |
| 12 | 0.40 | 100 | 40 | 0.00 | 0.00 | -- | 0 | 0 | 17504 | -685 | 25.568 |
| 13 | 0.50 | 100 | 40 | 0.00 | 0.00 | -- | 0 | 0 | 17504 | -510 | 34.316 |
| 14 | 0.60 | 100 | 40 | 0.00 | 0.00 | -- | 0 | 0 | 17504 | -338 | 51.817 |
| 15 | 0.70 | 100 | 40 | 0.00 | 0.00 | -- | 0 | 0 | 17504 | -168 | 104.330 |
| 16 | 0.80 | 100 | 40 | 0.00 | 0.00 | -- | 0 | 0 | 17504 | 0 | 100.000 |

Combinazione n° 2 - STR (A1-M1-R3) H + V

| n° | Y [m] | B [cm] | H [cm] | A _{sw} [cmq] | s [cm] | cotθ | V _{Rcd} [kg] | V _{Rsd} [kg] | V _{Rd} [kg] | T [kg] | FS |
|----|----------|-----------|-----------|--------------------------|-----------|------|--------------------------|--------------------------|-------------------------|-----------|---------|
| 1 | -0.90 | 100 | 40 | 0.00 | 0.00 | -- | 0 | 0 | 17504 | 0 | 100.000 |
| 2 | -0.80 | 100 | 40 | 0.00 | 0.00 | -- | 0 | 0 | 17504 | -349 | 50.116 |
| 3 | -0.70 | 100 | 40 | 0.00 | 0.00 | -- | 0 | 0 | 17504 | -696 | 25.167 |
| 4 | -0.60 | 100 | 40 | 0.00 | 0.00 | -- | 0 | 0 | 17504 | -1039 | 16.851 |
| 5 | -0.50 | 100 | 40 | 0.00 | 0.00 | -- | 0 | 0 | 17504 | -1379 | 12.694 |
| 6 | -0.40 | 100 | 40 | 0.00 | 0.00 | -- | 0 | 0 | 17504 | -1716 | 10.200 |
| 7 | -0.30 | 100 | 40 | 0.00 | 0.00 | -- | 0 | 0 | 17504 | -2050 | 8.537 |
| 8 | 0.00 | 100 | 40 | 0.00 | 0.00 | -- | 0 | 0 | 17504 | -687 | 25.478 |
| 9 | 0.10 | 100 | 40 | 0.00 | 0.00 | -- | 0 | 0 | 17504 | -627 | 27.920 |
| 10 | 0.20 | 100 | 40 | 0.00 | 0.00 | -- | 0 | 0 | 17504 | -559 | 31.287 |
| 11 | 0.30 | 100 | 40 | 0.00 | 0.00 | -- | 0 | 0 | 17504 | -485 | 36.118 |
| 12 | 0.40 | 100 | 40 | 0.00 | 0.00 | -- | 0 | 0 | 17504 | -402 | 43.495 |
| 13 | 0.50 | 100 | 40 | 0.00 | 0.00 | -- | 0 | 0 | 17504 | -313 | 55.945 |
| 14 | 0.60 | 100 | 40 | 0.00 | 0.00 | -- | 0 | 0 | 17504 | -216 | 81.055 |
| 15 | 0.70 | 100 | 40 | 0.00 | 0.00 | -- | 0 | 0 | 17504 | -112 | 156.763 |
| 16 | 0.80 | 100 | 40 | 0.00 | 0.00 | -- | 0 | 0 | 17504 | 0 | 100.000 |

Combinazione n° 3 - STR (A1-M1-R3) H - V

| n° | Y [m] | B [cm] | H [cm] | A _{sw} [cmq] | s [cm] | cotθ | V _{Rcd} [kg] | V _{Rsd} [kg] | V _{Rd} [kg] | T [kg] | FS |
|----|----------|-----------|-----------|--------------------------|-----------|------|--------------------------|--------------------------|-------------------------|-----------|---------|
| 1 | -0.90 | 100 | 40 | 0.00 | 0.00 | -- | 0 | 0 | 17504 | 0 | 100.000 |
| 2 | -0.80 | 100 | 40 | 0.00 | 0.00 | -- | 0 | 0 | 17504 | -291 | 60.064 |
| 3 | -0.70 | 100 | 40 | 0.00 | 0.00 | -- | 0 | 0 | 17504 | -581 | 30.105 |
| 4 | -0.60 | 100 | 40 | 0.00 | 0.00 | -- | 0 | 0 | 17504 | -870 | 20.118 |
| 5 | -0.50 | 100 | 40 | 0.00 | 0.00 | -- | 0 | 0 | 17504 | -1157 | 15.125 |
| 6 | -0.40 | 100 | 40 | 0.00 | 0.00 | -- | 0 | 0 | 17504 | -1443 | 12.130 |
| 7 | -0.30 | 100 | 40 | 0.00 | 0.00 | -- | 0 | 0 | 17504 | -1727 | 10.133 |
| 8 | 0.00 | 100 | 40 | 0.00 | 0.00 | -- | 0 | 0 | 17504 | -988 | 17.718 |
| 9 | 0.10 | 100 | 40 | 0.00 | 0.00 | -- | 0 | 0 | 17504 | -885 | 19.789 |
| 10 | 0.20 | 100 | 40 | 0.00 | 0.00 | -- | 0 | 0 | 17504 | -775 | 22.574 |
| 11 | 0.30 | 100 | 40 | 0.00 | 0.00 | -- | 0 | 0 | 17504 | -661 | 26.500 |
| 12 | 0.40 | 100 | 40 | 0.00 | 0.00 | -- | 0 | 0 | 17504 | -540 | 32.419 |
| 13 | 0.50 | 100 | 40 | 0.00 | 0.00 | -- | 0 | 0 | 17504 | -414 | 42.325 |
| 14 | 0.60 | 100 | 40 | 0.00 | 0.00 | -- | 0 | 0 | 17504 | -281 | 62.191 |
| 15 | 0.70 | 100 | 40 | 0.00 | 0.00 | -- | 0 | 0 | 17504 | -144 | 121.893 |
| 16 | 0.80 | 100 | 40 | 0.00 | 0.00 | -- | 0 | 0 | 17504 | 0 | 100.000 |

| | | | |
|--------------------------------------|----------------------------------------------------------------------------------------------------------------------|----------------------------------------------------------------------------------|-------------|
| COMMITTENTE: Mecca Antonio | CODICE COMMESSA: | NOME ELABORATO: S1.5 - Relazione Geotecnica e delle Fondazioni | CONSULENTE: |
| DATA: Aprile 2023 | TITOLO: Lavori ultimazione di un fabbricato adibito ad albergo-ristorante- C.da Case Nuove Chicone Avigliano (PZ) | | |

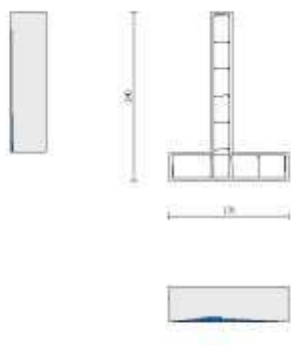


Fig. 37 - Paramento (Inviluppo)

Verifica delle tensioni

Simbologia adottata

| | |
|-----|--------------------------------------------------------|
| n° | indice sezione |
| Y | ordinata sezione, espressa in [m] |
| B | larghezza sezione, espressa in [cm] |
| H | altezza sezione, espressa in [cm] |
| Afi | area ferri inferiori, espressa in [cmq] |
| Afs | area ferri superiori, espressa in [cmq] |
| M | momento agente, espressa in [kgm] |
| N | sforzo normale agente, espressa in [kg] |
| σc | tensione di compressione nel cls, espressa in [kg/cmq] |
| σfi | tensione nei ferri inferiori, espressa in [kg/cmq] |
| σfs | tensione nei ferri superiori, espressa in [kg/cmq] |

Combinazioni SLER

Paramento

Combinazione n° 10 - SLER

| | | |
|---------------------------------------------------|---------|----------|
| Tensione massima di compressione nel calcestruzzo | 152.34 | [kg/cmq] |
| Tensione massima di trazione dell'acciaio | 3670.92 | [kg/cmq] |

| n° | Y | B | H | Afi | Afs | M | N | σc | σfi | σfs |
|----|-------|------|------|-------|-------|-------|------|----------|----------|----------|
| | [m] | [cm] | [cm] | [cmq] | [cmq] | [kgm] | [kg] | [kg/cmq] | [kg/cmq] | [kg/cmq] |
| 1 | 0.00 | 100 | 30 | 8.04 | 8.04 | 0 | 0 | 0.00 | 0.00 | 0.00 |
| 2 | -0.10 | 100 | 30 | 8.04 | 8.04 | 1 | 75 | 0.03 | 0.28 | 0.41 |
| 3 | -0.20 | 100 | 30 | 8.04 | 8.04 | 7 | 150 | 0.09 | 0.23 | 1.16 |
| 4 | -0.30 | 100 | 30 | 8.04 | 8.04 | 21 | 225 | 0.21 | 0.90 | 2.54 |
| 5 | -0.40 | 100 | 30 | 8.04 | 8.04 | 41 | 300 | 0.44 | 5.61 | 4.77 |
| 6 | -0.50 | 100 | 30 | 8.04 | 8.04 | 67 | 375 | 0.74 | 14.15 | 7.47 |
| 7 | -0.60 | 100 | 30 | 8.04 | 8.04 | 98 | 450 | 1.11 | 25.56 | 10.49 |
| 8 | -0.70 | 100 | 30 | 8.04 | 8.04 | 134 | 525 | 1.51 | 39.10 | 13.75 |
| 9 | -0.80 | 100 | 30 | 8.04 | 8.04 | 171 | 600 | 1.95 | 54.18 | 17.18 |
| 10 | -0.90 | 100 | 30 | 8.04 | 8.04 | 211 | 675 | 2.41 | 70.25 | 20.73 |
| 11 | -1.00 | 100 | 30 | 8.04 | 8.04 | 252 | 750 | 2.88 | 86.87 | 24.33 |
| 12 | -1.10 | 100 | 30 | 8.04 | 8.04 | 293 | 825 | 3.36 | 103.84 | 27.97 |
| 13 | -1.20 | 100 | 30 | 8.04 | 8.04 | 335 | 900 | 3.84 | 121.35 | 31.68 |
| 14 | -1.30 | 100 | 30 | 8.04 | 8.04 | 379 | 975 | 4.35 | 139.72 | 35.50 |
| 15 | -1.40 | 100 | 30 | 8.04 | 8.04 | 426 | 1050 | 4.88 | 159.26 | 39.49 |
| 16 | -1.50 | 100 | 30 | 8.04 | 8.04 | 475 | 1125 | 5.44 | 180.30 | 43.68 |
| 17 | -1.60 | 100 | 30 | 8.04 | 8.04 | 527 | 1200 | 6.05 | 203.14 | 48.12 |
| 18 | -1.70 | 100 | 30 | 8.04 | 8.04 | 584 | 1275 | 6.70 | 228.12 | 52.85 |
| 19 | -1.80 | 100 | 30 | 8.04 | 8.04 | 646 | 1350 | 7.41 | 255.56 | 57.91 |
| 20 | -1.90 | 100 | 30 | 8.04 | 8.04 | 712 | 1425 | 8.17 | 285.78 | 63.36 |

Relazione Geotecnica e delle Fondazioni

| n° | Y [m] | B [cm] | H [cm] | Afi [cmq] | Afs [cmq] | M [kgm] | N [kg] | σc [kg/cmq] | σfi [kg/cmq] | σfs [kg/cmq] |
|----|----------|-----------|-----------|--------------|--------------|------------|-----------|----------------|-----------------|-----------------|
| 21 | -1.99 | 100 | 30 | 8.04 | 8.04 | 785 | 1500 | 9.01 | 319.11 | 69.23 |

Fondazione

Combinazione n° 10 - SLER

Tensione massima di compressione nel calcestruzzo 152.34 [kg/cmq]
Tensione massima di trazione dell'acciaio 3670.92 [kg/cmq]

| n° | Y [m] | B [cm] | H [cm] | Afi [cmq] | Afs [cmq] | M [kgm] | N [kg] | σc [kg/cmq] | σfi [kg/cmq] | σfs [kg/cmq] |
|----|----------|-----------|-----------|--------------|--------------|------------|-----------|----------------|-----------------|-----------------|
| 1 | -0.90 | 100 | 40 | 8.04 | 8.04 | 0 | 0 | 0.00 | 0.00 | 0.00 |
| 2 | -0.80 | 100 | 40 | 8.04 | 8.04 | 12 | 0 | 0.08 | 4.44 | 0.61 |
| 3 | -0.70 | 100 | 40 | 8.04 | 8.04 | 48 | 0 | 0.32 | 17.91 | 2.45 |
| 4 | -0.60 | 100 | 40 | 8.04 | 8.04 | 109 | 0 | 0.73 | 40.68 | 5.57 |
| 5 | -0.50 | 100 | 40 | 8.04 | 8.04 | 196 | 0 | 1.32 | 72.98 | 10.00 |
| 6 | -0.40 | 100 | 40 | 8.04 | 8.04 | 310 | 0 | 2.07 | 115.06 | 15.76 |
| 7 | -0.30 | 100 | 40 | 8.04 | 8.04 | 450 | 0 | 3.01 | 167.18 | 22.90 |
| 8 | 0.00 | 100 | 40 | 8.04 | 8.04 | -227 | 0 | 1.52 | 11.56 | 84.42 |
| 9 | 0.10 | 100 | 40 | 8.04 | 8.04 | -172 | 0 | 1.15 | 8.76 | 63.93 |
| 10 | 0.20 | 100 | 40 | 8.04 | 8.04 | -125 | 0 | 0.84 | 6.36 | 46.45 |
| 11 | 0.30 | 100 | 40 | 8.04 | 8.04 | -86 | 0 | 0.57 | 4.37 | 31.90 |
| 12 | 0.40 | 100 | 40 | 8.04 | 8.04 | -54 | 0 | 0.36 | 2.76 | 20.19 |
| 13 | 0.50 | 100 | 40 | 8.04 | 8.04 | -30 | 0 | 0.20 | 1.54 | 11.23 |
| 14 | 0.60 | 100 | 40 | 8.04 | 8.04 | -13 | 0 | 0.09 | 0.68 | 4.93 |
| 15 | 0.70 | 100 | 40 | 8.04 | 8.04 | -3 | 0 | 0.02 | 0.17 | 1.22 |
| 16 | 0.80 | 100 | 40 | 8.04 | 8.04 | 0 | 0 | 0.00 | 0.00 | 0.00 |

Combinazioni SLEF

Paramento

Combinazione n° 11 - SLEF

Tensione massima di compressione nel calcestruzzo 253.91 [kg/cmq]
Tensione massima di trazione dell'acciaio 4588.65 [kg/cmq]

| n° | Y [m] | B [cm] | H [cm] | Afi [cmq] | Afs [cmq] | M [kgm] | N [kg] | σc [kg/cmq] | σfi [kg/cmq] | σfs [kg/cmq] |
|----|----------|-----------|-----------|--------------|--------------|------------|-----------|----------------|-----------------|-----------------|
| 1 | 0.00 | 100 | 30 | 8.04 | 8.04 | 0 | 0 | 0.00 | 0.00 | 0.00 |
| 2 | -0.10 | 100 | 30 | 8.04 | 8.04 | 1 | 75 | 0.03 | 0.28 | 0.41 |
| 3 | -0.20 | 100 | 30 | 8.04 | 8.04 | 7 | 150 | 0.09 | 0.23 | 1.16 |
| 4 | -0.30 | 100 | 30 | 8.04 | 8.04 | 21 | 225 | 0.21 | 0.90 | 2.54 |
| 5 | -0.40 | 100 | 30 | 8.04 | 8.04 | 41 | 300 | 0.44 | 5.61 | 4.77 |
| 6 | -0.50 | 100 | 30 | 8.04 | 8.04 | 67 | 375 | 0.74 | 14.15 | 7.47 |
| 7 | -0.60 | 100 | 30 | 8.04 | 8.04 | 98 | 450 | 1.11 | 25.56 | 10.49 |
| 8 | -0.70 | 100 | 30 | 8.04 | 8.04 | 134 | 525 | 1.51 | 39.10 | 13.75 |
| 9 | -0.80 | 100 | 30 | 8.04 | 8.04 | 171 | 600 | 1.95 | 54.18 | 17.18 |
| 10 | -0.90 | 100 | 30 | 8.04 | 8.04 | 211 | 675 | 2.41 | 70.25 | 20.73 |
| 11 | -1.00 | 100 | 30 | 8.04 | 8.04 | 252 | 750 | 2.88 | 86.87 | 24.33 |
| 12 | -1.10 | 100 | 30 | 8.04 | 8.04 | 293 | 825 | 3.36 | 103.84 | 27.97 |
| 13 | -1.20 | 100 | 30 | 8.04 | 8.04 | 335 | 900 | 3.84 | 121.35 | 31.68 |
| 14 | -1.30 | 100 | 30 | 8.04 | 8.04 | 379 | 975 | 4.35 | 139.72 | 35.50 |
| 15 | -1.40 | 100 | 30 | 8.04 | 8.04 | 426 | 1050 | 4.88 | 159.26 | 39.49 |
| 16 | -1.50 | 100 | 30 | 8.04 | 8.04 | 475 | 1125 | 5.44 | 180.30 | 43.68 |
| 17 | -1.60 | 100 | 30 | 8.04 | 8.04 | 527 | 1200 | 6.05 | 203.14 | 48.12 |
| 18 | -1.70 | 100 | 30 | 8.04 | 8.04 | 584 | 1275 | 6.70 | 228.12 | 52.85 |
| 19 | -1.80 | 100 | 30 | 8.04 | 8.04 | 646 | 1350 | 7.41 | 255.56 | 57.91 |
| 20 | -1.90 | 100 | 30 | 8.04 | 8.04 | 712 | 1425 | 8.17 | 285.78 | 63.36 |
| 21 | -1.99 | 100 | 30 | 8.04 | 8.04 | 785 | 1500 | 9.01 | 319.11 | 69.23 |

Fondazione

Combinazione n° 11 - SLEF

Tensione massima di compressione nel calcestruzzo 253.91 [kg/cmq]
Tensione massima di trazione dell'acciaio 4588.65 [kg/cmq]

| n° | Y [m] | B [cm] | H [cm] | Afi [cmq] | Afs [cmq] | M [kgm] | N [kg] | σc [kg/cmq] | σfi [kg/cmq] | σfs [kg/cmq] |
|----|----------|-----------|-----------|--------------|--------------|------------|-----------|----------------|-----------------|-----------------|
| 1 | -0.90 | 100 | 40 | 8.04 | 8.04 | 0 | 0 | 0.00 | 0.00 | 0.00 |
| 2 | -0.80 | 100 | 40 | 8.04 | 8.04 | 12 | 0 | 0.08 | 4.44 | 0.61 |

| | | | |
|--------------------------------------|----------------------------------------------------------------------------------------------------------------------|----------------------------------------------------------------------------------|-------------|
| COMMITTENTE: Mecca Antonio | CODICE COMMESSA: | NOME ELABORATO: S1.5 - Relazione Geotecnica e delle Fondazioni | CONSULENTE: |
| DATA: Aprile 2023 | TITOLO: Lavori ultimazione di un fabbricato adibito ad albergo-ristorante– C.da Case Nuove Chicone Avigliano (PZ) | | |

| n° | Y [m] | B [cm] | H [cm] | Afi [cmq] | Afs [cmq] | M [kgm] | N [kg] | σc [kg/cmq] | σfi [kg/cmq] | σfs [kg/cmq] |
|----|----------|-----------|-----------|--------------|--------------|------------|-----------|----------------|-----------------|-----------------|
| 3 | -0.70 | 100 | 40 | 8.04 | 8.04 | 48 | 0 | 0.32 | 17.91 | 2.45 |
| 4 | -0.60 | 100 | 40 | 8.04 | 8.04 | 109 | 0 | 0.73 | 40.68 | 5.57 |
| 5 | -0.50 | 100 | 40 | 8.04 | 8.04 | 196 | 0 | 1.32 | 72.98 | 10.00 |
| 6 | -0.40 | 100 | 40 | 8.04 | 8.04 | 310 | 0 | 2.07 | 115.06 | 15.76 |
| 7 | -0.30 | 100 | 40 | 8.04 | 8.04 | 450 | 0 | 3.01 | 167.18 | 22.90 |
| 8 | 0.00 | 100 | 40 | 8.04 | 8.04 | -227 | 0 | 1.52 | 11.56 | 84.42 |
| 9 | 0.10 | 100 | 40 | 8.04 | 8.04 | -172 | 0 | 1.15 | 8.76 | 63.93 |
| 10 | 0.20 | 100 | 40 | 8.04 | 8.04 | -125 | 0 | 0.84 | 6.36 | 46.45 |
| 11 | 0.30 | 100 | 40 | 8.04 | 8.04 | -86 | 0 | 0.57 | 4.37 | 31.90 |
| 12 | 0.40 | 100 | 40 | 8.04 | 8.04 | -54 | 0 | 0.36 | 2.76 | 20.19 |
| 13 | 0.50 | 100 | 40 | 8.04 | 8.04 | -30 | 0 | 0.20 | 1.54 | 11.23 |
| 14 | 0.60 | 100 | 40 | 8.04 | 8.04 | -13 | 0 | 0.09 | 0.68 | 4.93 |
| 15 | 0.70 | 100 | 40 | 8.04 | 8.04 | -3 | 0 | 0.02 | 0.17 | 1.22 |
| 16 | 0.80 | 100 | 40 | 8.04 | 8.04 | 0 | 0 | 0.00 | 0.00 | 0.00 |

Combinazioni SLEQ

Paramento

Combinazione n° 12 - SLEQ

Tensione massima di compressione nel calcestruzzo 114.26 [kg/cmq]
Tensione massima di trazione dell'acciaio 4588.65 [kg/cmq]

| n° | Y [m] | B [cm] | H [cm] | Afi [cmq] | Afs [cmq] | M [kgm] | N [kg] | σc [kg/cmq] | σfi [kg/cmq] | σfs [kg/cmq] |
|----|----------|-----------|-----------|--------------|--------------|------------|-----------|----------------|-----------------|-----------------|
| 1 | 0.00 | 100 | 30 | 8.04 | 8.04 | 0 | 0 | 0.00 | 0.00 | 0.00 |
| 2 | -0.10 | 100 | 30 | 8.04 | 8.04 | 1 | 75 | 0.03 | 0.28 | 0.41 |
| 3 | -0.20 | 100 | 30 | 8.04 | 8.04 | 7 | 150 | 0.09 | 0.23 | 1.16 |
| 4 | -0.30 | 100 | 30 | 8.04 | 8.04 | 21 | 225 | 0.21 | 0.90 | 2.54 |
| 5 | -0.40 | 100 | 30 | 8.04 | 8.04 | 41 | 300 | 0.44 | 5.61 | 4.77 |
| 6 | -0.50 | 100 | 30 | 8.04 | 8.04 | 67 | 375 | 0.74 | 14.15 | 7.47 |
| 7 | -0.60 | 100 | 30 | 8.04 | 8.04 | 98 | 450 | 1.11 | 25.56 | 10.49 |
| 8 | -0.70 | 100 | 30 | 8.04 | 8.04 | 134 | 525 | 1.51 | 39.10 | 13.75 |
| 9 | -0.80 | 100 | 30 | 8.04 | 8.04 | 171 | 600 | 1.95 | 54.18 | 17.18 |
| 10 | -0.90 | 100 | 30 | 8.04 | 8.04 | 211 | 675 | 2.41 | 70.25 | 20.73 |
| 11 | -1.00 | 100 | 30 | 8.04 | 8.04 | 252 | 750 | 2.88 | 86.87 | 24.33 |
| 12 | -1.10 | 100 | 30 | 8.04 | 8.04 | 293 | 825 | 3.36 | 103.84 | 27.97 |
| 13 | -1.20 | 100 | 30 | 8.04 | 8.04 | 335 | 900 | 3.84 | 121.35 | 31.68 |
| 14 | -1.30 | 100 | 30 | 8.04 | 8.04 | 379 | 975 | 4.35 | 139.72 | 35.50 |
| 15 | -1.40 | 100 | 30 | 8.04 | 8.04 | 426 | 1050 | 4.88 | 159.26 | 39.49 |
| 16 | -1.50 | 100 | 30 | 8.04 | 8.04 | 475 | 1125 | 5.44 | 180.30 | 43.68 |
| 17 | -1.60 | 100 | 30 | 8.04 | 8.04 | 527 | 1200 | 6.05 | 203.14 | 48.12 |
| 18 | -1.70 | 100 | 30 | 8.04 | 8.04 | 584 | 1275 | 6.70 | 228.12 | 52.85 |
| 19 | -1.80 | 100 | 30 | 8.04 | 8.04 | 646 | 1350 | 7.41 | 255.56 | 57.91 |
| 20 | -1.90 | 100 | 30 | 8.04 | 8.04 | 712 | 1425 | 8.17 | 285.78 | 63.36 |
| 21 | -1.99 | 100 | 30 | 8.04 | 8.04 | 785 | 1500 | 9.01 | 319.11 | 69.23 |

Fondazione

Combinazione n° 12 - SLEQ

Tensione massima di compressione nel calcestruzzo 114.26 [kg/cmq]
Tensione massima di trazione dell'acciaio 4588.65 [kg/cmq]

| n° | Y [m] | B [cm] | H [cm] | Afi [cmq] | Afs [cmq] | M [kgm] | N [kg] | σc [kg/cmq] | σfi [kg/cmq] | σfs [kg/cmq] |
|----|----------|-----------|-----------|--------------|--------------|------------|-----------|----------------|-----------------|-----------------|
| 1 | -0.90 | 100 | 40 | 8.04 | 8.04 | 0 | 0 | 0.00 | 0.00 | 0.00 |
| 2 | -0.80 | 100 | 40 | 8.04 | 8.04 | 12 | 0 | 0.08 | 4.44 | 0.61 |
| 3 | -0.70 | 100 | 40 | 8.04 | 8.04 | 48 | 0 | 0.32 | 17.91 | 2.45 |
| 4 | -0.60 | 100 | 40 | 8.04 | 8.04 | 109 | 0 | 0.73 | 40.68 | 5.57 |
| 5 | -0.50 | 100 | 40 | 8.04 | 8.04 | 196 | 0 | 1.32 | 72.98 | 10.00 |
| 6 | -0.40 | 100 | 40 | 8.04 | 8.04 | 310 | 0 | 2.07 | 115.06 | 15.76 |
| 7 | -0.30 | 100 | 40 | 8.04 | 8.04 | 450 | 0 | 3.01 | 167.18 | 22.90 |
| 8 | 0.00 | 100 | 40 | 8.04 | 8.04 | -227 | 0 | 1.52 | 11.56 | 84.42 |
| 9 | 0.10 | 100 | 40 | 8.04 | 8.04 | -172 | 0 | 1.15 | 8.76 | 63.93 |
| 10 | 0.20 | 100 | 40 | 8.04 | 8.04 | -125 | 0 | 0.84 | 6.36 | 46.45 |
| 11 | 0.30 | 100 | 40 | 8.04 | 8.04 | -86 | 0 | 0.57 | 4.37 | 31.90 |
| 12 | 0.40 | 100 | 40 | 8.04 | 8.04 | -54 | 0 | 0.36 | 2.76 | 20.19 |
| 13 | 0.50 | 100 | 40 | 8.04 | 8.04 | -30 | 0 | 0.20 | 1.54 | 11.23 |
| 14 | 0.60 | 100 | 40 | 8.04 | 8.04 | -13 | 0 | 0.09 | 0.68 | 4.93 |
| 15 | 0.70 | 100 | 40 | 8.04 | 8.04 | -3 | 0 | 0.02 | 0.17 | 1.22 |
| 16 | 0.80 | 100 | 40 | 8.04 | 8.04 | 0 | 0 | 0.00 | 0.00 | 0.00 |

Relazione Geotecnica e delle Fondazioni

Verifica a fessurazione

Simbologia adottata

| | |
|------|----------------------------------------------------------|
| n° | indice sezione |
| Y | ordinata sezione espressa in [m] |
| B | larghezza sezione espresso in [cm] |
| H | altezza sezione espressa in [cm] |
| Af | area ferri zona tesa espresso in [cmq] |
| Aeff | area efficace espressa in [cmq] |
| M | momento agente espressa in [kgm] |
| Mpf | momento di formazione/apertura fessure espressa in [kgm] |
| ε | deformazione espresso in % |
| Sm | spaziatura tra le fessure espressa in [mm] |
| w | apertura delle fessure espressa in [mm] |

Combinazioni SLEF

Paramento

Combinazione n° 11 - SLEF

Apertura limite fessure $w_{lim}=0.40$

| n° | Y [m] | B [cm] | H [cm] | Af [cmq] | Aeff [cmq] | M [kgm] | Mpf [kgm] | ε [%] | Sm [mm] | w [mm] |
|----|----------|-----------|-----------|-------------|---------------|------------|--------------|----------|------------|-----------|
| 1 | 0.00 | 100 | 30 | 0.00 | 0.00 | 0 | 0 | --- | --- | 0.000 |
| 2 | -0.10 | 100 | 30 | 8.04 | 785.35 | 1 | 5331 | 0.000000 | 0.00 | 0.000 |
| 3 | -0.20 | 100 | 30 | 8.04 | 785.05 | 7 | 5335 | 0.000000 | 0.00 | 0.000 |
| 4 | -0.30 | 100 | 30 | 8.04 | 784.74 | 21 | 5339 | 0.000000 | 0.00 | 0.000 |
| 5 | -0.40 | 100 | 30 | 8.04 | 784.44 | 41 | 5343 | 0.000000 | 0.00 | 0.000 |
| 6 | -0.50 | 100 | 30 | 8.04 | 784.14 | 67 | 5347 | 0.000000 | 0.00 | 0.000 |
| 7 | -0.60 | 100 | 30 | 8.04 | 783.84 | 98 | 5350 | 0.000000 | 0.00 | 0.000 |
| 8 | -0.70 | 100 | 30 | 8.04 | 783.54 | 134 | 5354 | 0.000000 | 0.00 | 0.000 |
| 9 | -0.80 | 100 | 30 | 8.04 | 783.24 | 171 | 5358 | 0.000000 | 0.00 | 0.000 |
| 10 | -0.90 | 100 | 30 | 8.04 | 782.93 | 211 | 5362 | 0.000000 | 0.00 | 0.000 |
| 11 | -1.00 | 100 | 30 | 8.04 | 782.63 | 252 | 5366 | 0.000000 | 0.00 | 0.000 |
| 12 | -1.10 | 100 | 30 | 8.04 | 782.33 | 293 | 5370 | 0.000000 | 0.00 | 0.000 |
| 13 | -1.20 | 100 | 30 | 8.04 | 782.03 | 335 | 5374 | 0.000000 | 0.00 | 0.000 |
| 14 | -1.30 | 100 | 30 | 8.04 | 781.73 | 379 | 5378 | 0.000000 | 0.00 | 0.000 |
| 15 | -1.40 | 100 | 30 | 8.04 | 781.43 | 426 | 5382 | 0.000000 | 0.00 | 0.000 |
| 16 | -1.50 | 100 | 30 | 8.04 | 781.13 | 475 | 5386 | 0.000000 | 0.00 | 0.000 |
| 17 | -1.60 | 100 | 30 | 8.04 | 780.82 | 527 | 5390 | 0.000000 | 0.00 | 0.000 |
| 18 | -1.70 | 100 | 30 | 8.04 | 780.52 | 584 | 5394 | 0.000000 | 0.00 | 0.000 |
| 19 | -1.80 | 100 | 30 | 8.04 | 780.22 | 646 | 5398 | 0.000000 | 0.00 | 0.000 |
| 20 | -1.90 | 100 | 30 | 8.04 | 779.92 | 712 | 5402 | 0.000000 | 0.00 | 0.000 |
| 21 | -1.99 | 100 | 30 | 8.04 | 779.62 | 785 | 5406 | 0.000000 | 0.00 | 0.000 |

Fondazione

Combinazione n° 11 - SLEF

Apertura limite fessure $w_{lim}=0.40$

| n° | Y [m] | B [cm] | H [cm] | Af [cmq] | Aeff [cmq] | M [kgm] | Mpf [kgm] | ε [%] | Sm [mm] | w [mm] |
|----|----------|-----------|-----------|-------------|---------------|------------|--------------|----------|------------|-----------|
| 1 | -0.90 | 100 | 40 | 0.00 | 0.00 | 0 | 0 | --- | --- | 0.000 |
| 2 | -0.80 | 100 | 40 | 8.04 | 950.00 | 12 | 9338 | 0.000000 | 0.00 | 0.000 |
| 3 | -0.70 | 100 | 40 | 8.04 | 950.00 | 48 | 9338 | 0.000000 | 0.00 | 0.000 |
| 4 | -0.60 | 100 | 40 | 8.04 | 950.00 | 109 | 9338 | 0.000000 | 0.00 | 0.000 |
| 5 | -0.50 | 100 | 40 | 8.04 | 950.00 | 196 | 9338 | 0.000000 | 0.00 | 0.000 |
| 6 | -0.40 | 100 | 40 | 8.04 | 950.00 | 310 | 9338 | 0.000000 | 0.00 | 0.000 |
| 7 | -0.30 | 100 | 40 | 8.04 | 950.00 | 450 | 9338 | 0.000000 | 0.00 | 0.000 |
| 8 | 0.00 | 100 | 40 | 8.04 | 950.00 | -227 | -9338 | 0.000000 | 0.00 | 0.000 |
| 9 | 0.10 | 100 | 40 | 8.04 | 950.00 | -172 | -9338 | 0.000000 | 0.00 | 0.000 |
| 10 | 0.20 | 100 | 40 | 8.04 | 950.00 | -125 | -9338 | 0.000000 | 0.00 | 0.000 |
| 11 | 0.30 | 100 | 40 | 8.04 | 950.00 | -86 | -9338 | 0.000000 | 0.00 | 0.000 |
| 12 | 0.40 | 100 | 40 | 8.04 | 950.00 | -54 | -9338 | 0.000000 | 0.00 | 0.000 |
| 13 | 0.50 | 100 | 40 | 8.04 | 950.00 | -30 | -9338 | 0.000000 | 0.00 | 0.000 |
| 14 | 0.60 | 100 | 40 | 8.04 | 950.00 | -13 | -9338 | 0.000000 | 0.00 | 0.000 |
| 15 | 0.70 | 100 | 40 | 8.04 | 950.00 | -3 | -9338 | 0.000000 | 0.00 | 0.000 |
| 16 | 0.80 | 100 | 40 | 0.00 | 0.00 | 0 | 0 | --- | --- | 0.000 |

Combinazioni SLEQ

Paramento

| | | | |
|--------------------------------------|----------------------------------------------------------------------------------------------------------------------|----------------------------------------------------------------------------------|-------------|
| COMMITTENTE: Mecca Antonio | CODICE COMMESSA: | NOME ELABORATO: S1.5 - Relazione Geotecnica e delle Fondazioni | CONSULENTE: |
| DATA: Aprile 2023 | TITOLO: Lavori ultimazione di un fabbricato adibito ad albergo-ristorante– C.da Case Nuove Chicone Avigliano (PZ) | | |

Combinazione n° 12 - SLEQ

Apertura limite fessure $w_{lim}=0.30$

| n° | Y [m] | B [cm] | H [cm] | Af [cmq] | Aeff [cmq] | M [kgm] | Mpf [kgm] | ε [%] | Sm [mm] | w [mm] |
|----|----------|-----------|-----------|-------------|---------------|------------|--------------|----------|------------|-----------|
| 1 | 0.00 | 100 | 30 | 0.00 | 0.00 | 0 | 0 | --- | --- | 0.000 |
| 2 | -0.10 | 100 | 30 | 8.04 | 785.35 | 1 | 5331 | 0.000000 | 0.00 | 0.000 |
| 3 | -0.20 | 100 | 30 | 8.04 | 785.05 | 7 | 5335 | 0.000000 | 0.00 | 0.000 |
| 4 | -0.30 | 100 | 30 | 8.04 | 784.74 | 21 | 5339 | 0.000000 | 0.00 | 0.000 |
| 5 | -0.40 | 100 | 30 | 8.04 | 784.44 | 41 | 5343 | 0.000000 | 0.00 | 0.000 |
| 6 | -0.50 | 100 | 30 | 8.04 | 784.14 | 67 | 5347 | 0.000000 | 0.00 | 0.000 |
| 7 | -0.60 | 100 | 30 | 8.04 | 783.84 | 98 | 5350 | 0.000000 | 0.00 | 0.000 |
| 8 | -0.70 | 100 | 30 | 8.04 | 783.54 | 134 | 5354 | 0.000000 | 0.00 | 0.000 |
| 9 | -0.80 | 100 | 30 | 8.04 | 783.24 | 171 | 5358 | 0.000000 | 0.00 | 0.000 |
| 10 | -0.90 | 100 | 30 | 8.04 | 782.93 | 211 | 5362 | 0.000000 | 0.00 | 0.000 |
| 11 | -1.00 | 100 | 30 | 8.04 | 782.63 | 252 | 5366 | 0.000000 | 0.00 | 0.000 |
| 12 | -1.10 | 100 | 30 | 8.04 | 782.33 | 293 | 5370 | 0.000000 | 0.00 | 0.000 |
| 13 | -1.20 | 100 | 30 | 8.04 | 782.03 | 335 | 5374 | 0.000000 | 0.00 | 0.000 |
| 14 | -1.30 | 100 | 30 | 8.04 | 781.73 | 379 | 5378 | 0.000000 | 0.00 | 0.000 |
| 15 | -1.40 | 100 | 30 | 8.04 | 781.43 | 426 | 5382 | 0.000000 | 0.00 | 0.000 |
| 16 | -1.50 | 100 | 30 | 8.04 | 781.13 | 475 | 5386 | 0.000000 | 0.00 | 0.000 |
| 17 | -1.60 | 100 | 30 | 8.04 | 780.82 | 527 | 5390 | 0.000000 | 0.00 | 0.000 |
| 18 | -1.70 | 100 | 30 | 8.04 | 780.52 | 584 | 5394 | 0.000000 | 0.00 | 0.000 |
| 19 | -1.80 | 100 | 30 | 8.04 | 780.22 | 646 | 5398 | 0.000000 | 0.00 | 0.000 |
| 20 | -1.90 | 100 | 30 | 8.04 | 779.92 | 712 | 5402 | 0.000000 | 0.00 | 0.000 |
| 21 | -1.99 | 100 | 30 | 8.04 | 779.62 | 785 | 5406 | 0.000000 | 0.00 | 0.000 |

Fondazione

Combinazione n° 12 - SLEQ

Apertura limite fessure $w_{lim}=0.30$

| n° | Y [m] | B [cm] | H [cm] | Af [cmq] | Aeff [cmq] | M [kgm] | Mpf [kgm] | ε [%] | Sm [mm] | w [mm] |
|----|----------|-----------|-----------|-------------|---------------|------------|--------------|----------|------------|-----------|
| 1 | -0.90 | 100 | 40 | 0.00 | 0.00 | 0 | 0 | --- | --- | 0.000 |
| 2 | -0.80 | 100 | 40 | 8.04 | 950.00 | 12 | 9338 | 0.000000 | 0.00 | 0.000 |
| 3 | -0.70 | 100 | 40 | 8.04 | 950.00 | 48 | 9338 | 0.000000 | 0.00 | 0.000 |
| 4 | -0.60 | 100 | 40 | 8.04 | 950.00 | 109 | 9338 | 0.000000 | 0.00 | 0.000 |
| 5 | -0.50 | 100 | 40 | 8.04 | 950.00 | 196 | 9338 | 0.000000 | 0.00 | 0.000 |
| 6 | -0.40 | 100 | 40 | 8.04 | 950.00 | 310 | 9338 | 0.000000 | 0.00 | 0.000 |
| 7 | -0.30 | 100 | 40 | 8.04 | 950.00 | 450 | 9338 | 0.000000 | 0.00 | 0.000 |
| 8 | 0.00 | 100 | 40 | 8.04 | 950.00 | -227 | -9338 | 0.000000 | 0.00 | 0.000 |
| 9 | 0.10 | 100 | 40 | 8.04 | 950.00 | -172 | -9338 | 0.000000 | 0.00 | 0.000 |
| 10 | 0.20 | 100 | 40 | 8.04 | 950.00 | -125 | -9338 | 0.000000 | 0.00 | 0.000 |
| 11 | 0.30 | 100 | 40 | 8.04 | 950.00 | -86 | -9338 | 0.000000 | 0.00 | 0.000 |
| 12 | 0.40 | 100 | 40 | 8.04 | 950.00 | -54 | -9338 | 0.000000 | 0.00 | 0.000 |
| 13 | 0.50 | 100 | 40 | 8.04 | 950.00 | -30 | -9338 | 0.000000 | 0.00 | 0.000 |
| 14 | 0.60 | 100 | 40 | 8.04 | 950.00 | -13 | -9338 | 0.000000 | 0.00 | 0.000 |
| 15 | 0.70 | 100 | 40 | 8.04 | 950.00 | -3 | -9338 | 0.000000 | 0.00 | 0.000 |
| 16 | 0.80 | 100 | 40 | 0.00 | 0.00 | 0 | 0 | --- | --- | 0.000 |

Relazione Geotecnica e delle Fondazioni

Risultati per inviluppo

Spinta e forze

Simbologia adottata

| | |
|---------------------------------|--------------------------------------------------------------------------|
| Ic | Indice della combinazione |
| A | Tipo azione |
| I | Inclinazione della spinta, espressa in [°] |
| V | Valore dell'azione, espressa in [kg] |
| C _X , C _Y | Componente in direzione X ed Y dell'azione, espressa in [kg] |
| P _X , P _Y | Coordinata X ed Y del punto di applicazione dell'azione, espressa in [m] |

| Ic | A | V [kg] | I [°] | C _X [kg] | C _Y [kg] | P _X [m] | P _Y [m] |
|----|-------------------------|-----------|----------|------------------------|------------------------|-----------------------|-----------------------|
| 1 | Spinta statica | 1500 | 20.00 | 1410 | 513 | 0.80 | -1.78 |
| | Peso/Inerzia muro | | | 0 | 3200/0 | -0.10 | -1.64 |
| | Peso/Inerzia terrapieno | | | 0 | 3179/0 | 0.41 | -0.95 |
| | Diagramma correttivo | | | 250 | | 0.00 | -0.27 |

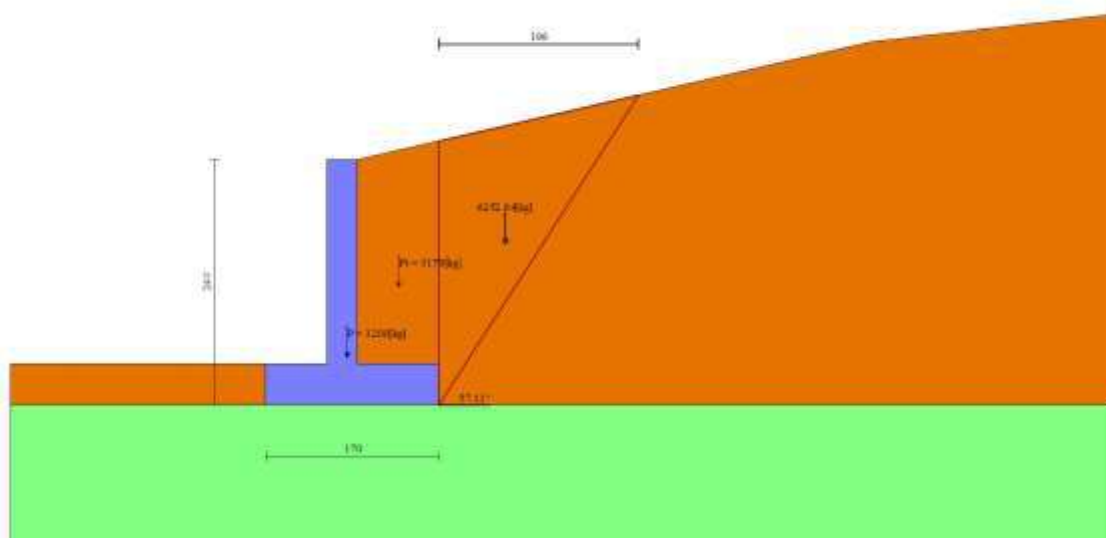


Fig. 38 - Cuneo di spinta (combinazione statica) (Combinazione n° 1)

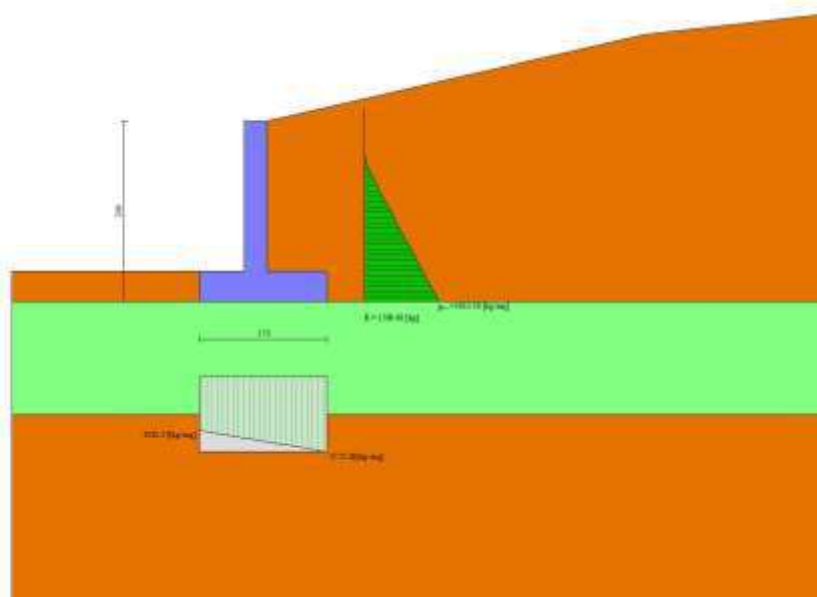


Fig. 39 - Diagramma delle pressioni (combinazione statica) (Combinazione n° 1)

| | | | |
|--------------------------------------|------------------------------------------------------------------------------------------------------------------------------|----------------------------------------------------------------------------------|-------------|
| COMMITTENTE: Mecca Antonio | CODICE COMMESSA: | NOME ELABORATO: S1.5 - Relazione Geotecnica e delle Fondazioni | CONSULENTE: |
| DATA: Aprile 2023 | TITOLO: Lavori ultimazione di un fabbricato adibito ad albergo-ristorante– C.da Case Nuove Chicone Avigliano (PZ) | | |

Verifiche geotecniche

Quadro riassuntivo coeff. di sicurezza calcolati

Simbologia adottata

| | |
|--------------------|------------------------------------------------------------|
| Cmb | Indice/Tipo combinazione |
| S | Sisma (H: componente orizzontale, V: componente verticale) |
| FS _{SCO} | Coeff. di sicurezza allo scorrimento |
| FS _{RIB} | Coeff. di sicurezza al ribaltamento |
| FS _{QUM} | Coeff. di sicurezza a carico limite |
| FS _{STAB} | Coeff. di sicurezza a stabilità globale |
| FS _{HYD} | Coeff. di sicurezza a sifonamento |
| FS _{UPL} | Coeff. di sicurezza a sollevamento |

| Cmb | Sismica | FS _{SCO} | FS _{RIB} | FS _{QUM} | FS _{STAB} | FS _{HYD} | FS _{UPL} |
|--------------------|---------|-------------------|-------------------|-------------------|--------------------|-------------------|-------------------|
| 1 - STR (A1-M1-R3) | | 2.471 | | 5.577 | | | |
| 2 - STR (A1-M1-R3) | H + V | 2.026 | | 5.206 | | | |
| 3 - STR (A1-M1-R3) | H - V | 2.137 | | 6.140 | | | |
| 4 - GEO (A2-M2-R2) | | | | | 2.144 | | |
| 5 - GEO (A2-M2-R2) | H + V | | | | 2.096 | | |
| 6 - GEO (A2-M2-R2) | H - V | | | | 2.132 | | |
| 7 - EQU (A1-M1-R3) | | | 8.641 | | | | |
| 8 - EQU (A1-M1-R3) | H + V | | 3.053 | | | | |
| 9 - EQU (A1-M1-R3) | H - V | | 2.655 | | | | |

Verifica a scorrimento fondazione

Simbologia adottata

| | |
|-----|-------------------------------------------------------------------------------------|
| n° | Indice combinazione |
| Rsa | Resistenza allo scorrimento per attrito, espresso in [kg] |
| Rpt | Resistenza passiva terreno antistante, espresso in [kg] |
| Rps | Resistenza passiva sperone, espresso in [kg] |
| Rp | Resistenza a carichi orizzontali pali (solo per fondazione mista), espresso in [kg] |
| Rt | Resistenza a carichi orizzontali tiranti (solo se presenti), espresso in [kg] |
| R | Resistenza allo scorrimento (somma di Rsa+Rpt+Rps+Rp), espresso in [kg] |
| T | Carico parallelo al piano di posa, espresso in [kg] |
| FS | Fattore di sicurezza (rapporto R/T) |

| n° | Rsa [kg] | Rpt [kg] | Rps [kg] | Rp [kg] | Rt [kg] | R [kg] | T [kg] | FS |
|--------------------------|-------------|-------------|-------------|------------|------------|-----------|-----------|-------|
| 2 - STR (A1-M1-R3) H + V | 4197 | 0 | 0 | -- | -- | 4197 | 2072 | 2.026 |

Verifica a carico limite

Simbologia adottata

| | |
|----|---------------------------------------------------------------------------------------|
| n° | Indice combinazione |
| N | Carico normale totale al piano di posa, espresso in [kg] |
| Qu | carico limite del terreno, espresso in [kg] |
| Qd | Portanza di progetto, espresso in [kg] |
| FS | Fattore di sicurezza (rapporto tra il carico limite e carico agente al piano di posa) |

| n° | N [kg] | Qu [kg] | Qd [kg] | FS |
|--------------------------|-----------|------------|------------|-------|
| 2 - STR (A1-M1-R3) H + V | 7227 | 37623 | 31353 | 5.206 |

Dettagli calcolo portanza

Simbologia adottata

| | |
|------------------------|------------------------------------------------------------------------------------------------------------------------------------------------------------------------------------------------------------------|
| n° | Indice combinazione |
| Nc, Nq, N _γ | Fattori di capacità portante |
| ic, iq, i _γ | Fattori di inclinazione del carico |
| dc, dq, d _γ | Fattori di profondità del piano di posa |
| gc, gq, g _γ | Fattori di inclinazione del profilo topografico |
| bc, bq, b _γ | Fattori di inclinazione del piano di posa |
| sc, sq, s _γ | Fattori di forma della fondazione |
| pc, pq, p _γ | Fattori di riduzione per punzonamento secondo Vesic |
| Re | Fattore di riduzione capacità portante per eccentricità secondo Meyerhof |
| Ir, Irc | Indici di rigidità per punzonamento secondo Vesic |
| r _γ | Fattori per tener conto dell'effetto piastra. Per fondazioni che hanno larghezza maggiore di 2 m, il terzo termine della formula trinomia 0.5B _γ N _γ viene moltiplicato per questo fattore |
| D | Affondamento del piano di posa, espresso in [m] |
| B' | Larghezza fondazione ridotta, espresso in [m] |
| H | Altezza del cuneo di rottura, espresso in [m] |
| γ | Peso di volume del terreno medio, espresso in [kg/mc] |

Relazione Geotecnica e delle Fondazioni

ϕ Angolo di attrito del terreno medio, espresso in [°]
c Coesione del terreno medio, espresso in [kg/cmq]
Per i coeff. che in tabella sono indicati con il simbolo '--' sono coeff. non presenti nel metodo scelto (Hansen).

| n° | Nc Nq Ny | ic iq iy | dc dq dy | gc gq gy | bc bq by | sc sq sy | pc pq py | Ir | Irc | Re | ry |
|----|--------------------------|-------------------------|-------------------------|-------------------------|-------------------------|----------------|----------------|----|-----|-------|-------|
| 2 | 19.324 9.603 5.746 | 0.594 0.637 0.525 | 1.160 1.125 1.000 | 1.000 1.000 1.000 | 1.000 1.000 1.000 | -- -- -- | -- -- -- | -- | -- | 0.899 | 1.000 |

| n° | D [m] | B' [m] | H [m] | γ [°] | ϕ [kg/mc] | c [kg/cmq] |
|----|----------|-----------|----------|-----------------|-------------------|---------------|
| 2 | 0.40 | 1.00 | 0.77 | 2000 | 24.00 | 0.25 |

Verifica a ribaltamento

Simbologia adottata

n° Indice combinazione
Ms Momento stabilizzante, espresso in [kgm]
Mr Momento ribaltante, espresso in [kgm]
FS Fattore di sicurezza (rapporto tra momento stabilizzante e momento ribaltante)
La verifica viene eseguita rispetto allo spigolo inferiore esterno della fondazione

| n° | Ms [kgm] | Mr [kgm] | FS |
|--------------------------|-------------|-------------|-------|
| 9 - EQU (A1-M1-R3) H - V | 7585 | 2857 | 2.655 |

Verifica stabilità globale muro + terreno

Simbologia adottata

Ic Indice/Tipo combinazione
C Centro superficie di scorrimento, espresso in [m]
R Raggio, espresso in [m]
FS Fattore di sicurezza

| Ic | C [m] | R [m] | FS |
|--------------------------|------------|----------|-------|
| 5 - GEO (A2-M2-R2) H + V | 0.00; 4.00 | 6.47 | 2.096 |

Dettagli strisce verifiche stabilità

Simbologia adottata

Le ascisse X sono considerate positive verso monte
Le ordinate Y sono considerate positive verso l'alto
Origine in testa al muro (spigolo contro terra)
W peso della striscia espresso in [kg]
Qy carico sulla striscia espresso in [kg]
Qf carico acqua sulla striscia espresso in [kg]
 α angolo fra la base della striscia e l'orizzontale espresso in [°] (positivo antiorario)
 ϕ angolo d'attrito del terreno lungo la base della striscia
c coesione del terreno lungo la base della striscia espressa in [kg/cmq]
b larghezza della striscia espressa in [m]
u pressione neutra lungo la base della striscia espressa in [kg/cmq]
Tx; Ty Resistenza al taglio fornita dai tiranti in direzione X ed Y espressa in [kg/cmq]

| n° | W [kg] | Qy [kg] | Qf [kg] | b [m] | α [°] | ϕ [°] | c [kg/cmq] | u [kg/cmq] | Tx; Ty [kg] |
|----|-----------|------------|------------|-------------|-----------------|---------------|---------------|---------------|----------------|
| 1 | 178 | 0 | 0 | 5.87 - 0.33 | 60.980 | 30.000 | 0.05 | 0.000 | |
| 2 | 501 | 0 | 0 | 0.33 | 56.134 | 30.000 | 0.05 | 0.000 | |
| 3 | 761 | 0 | 0 | 0.33 | 51.141 | 30.000 | 0.05 | 0.000 | |
| 4 | 959 | 0 | 0 | 0.33 | 46.646 | 30.000 | 0.05 | 0.000 | |
| 5 | 1119 | 0 | 0 | 0.33 | 42.501 | 30.000 | 0.05 | 0.000 | |
| 6 | 1251 | 0 | 0 | 0.33 | 38.617 | 30.000 | 0.05 | 0.000 | |
| 7 | 1360 | 0 | 0 | 0.33 | 34.934 | 30.000 | 0.05 | 0.000 | |
| 8 | 1450 | 0 | 0 | 0.33 | 31.410 | 30.000 | 0.05 | 0.000 | |
| 9 | 1522 | 0 | 0 | 0.33 | 28.015 | 30.000 | 0.05 | 0.000 | |
| 10 | 1579 | 0 | 0 | 0.33 | 24.724 | 30.000 | 0.05 | 0.000 | |
| 11 | 1620 | 0 | 0 | 0.33 | 21.518 | 30.000 | 0.05 | 0.000 | |
| 12 | 1649 | 0 | 0 | 0.33 | 18.382 | 30.000 | 0.05 | 0.000 | |
| 13 | 1664 | 0 | 0 | 0.33 | 15.302 | 30.000 | 0.05 | 0.000 | |
| 14 | 1668 | 0 | 0 | 0.33 | 12.267 | 30.000 | 0.05 | 0.000 | |
| 15 | 1660 | 0 | 0 | 0.33 | 9.267 | 30.000 | 0.05 | 0.000 | |
| 16 | 1778 | 0 | 0 | 0.33 | 6.292 | 24.000 | 0.25 | 0.000 | |
| 17 | 1692 | 0 | 0 | 0.33 | 3.334 | 24.000 | 0.25 | 0.000 | |
| 18 | 1802 | 0 | 0 | 0.33 | 0.384 | 24.000 | 0.25 | 0.000 | |
| 19 | 1261 | 0 | 0 | 0.33 | -2.564 | 24.000 | 0.25 | 0.000 | |
| 20 | 360 | 0 | 0 | 0.33 | -5.519 | 24.000 | 0.25 | 0.000 | |
| 21 | 280 | 0 | 0 | 0.33 | -8.488 | 30.000 | 0.05 | 0.000 | |
| 22 | 216 | 0 | 0 | 0.33 | -11.481 | 30.000 | 0.05 | 0.000 | |
| 23 | 167 | 0 | 0 | 0.33 | -14.506 | 30.000 | 0.05 | 0.000 | |
| 24 | 107 | 0 | 0 | 0.33 | -17.574 | 30.000 | 0.05 | 0.000 | |

| | | | |
|--------------------------------------|----------------------------------------------------------------------------------------------------------------------|----------------------------------------------------------------------------------|-------------|
| COMMITTENTE: Mecca Antonio | CODICE COMMESSA: | NOME ELABORATO: S1.5 - Relazione Geotecnica e delle Fondazioni | CONSULENTE: |
| DATA: Aprile 2023 | TITOLO: Lavori ultimazione di un fabbricato adibito ad albergo-ristorante- C.da Case Nuove Chicone Avigliano (PZ) | | |

| n° | W [kg] | Qy [kg] | Qf [kg] | b [m] | α [°] | ϕ [°] | c [kg/cm ²] | u [kg/cm ²] | Tx; Ty [kg] |
|----|-----------|------------|------------|--------------|-----------------|---------------|----------------------------|----------------------------|----------------|
| 25 | 34 | 0 | 0 | -2.45 - 0.33 | -19.201 | 30.000 | 0.05 | 0.000 | |

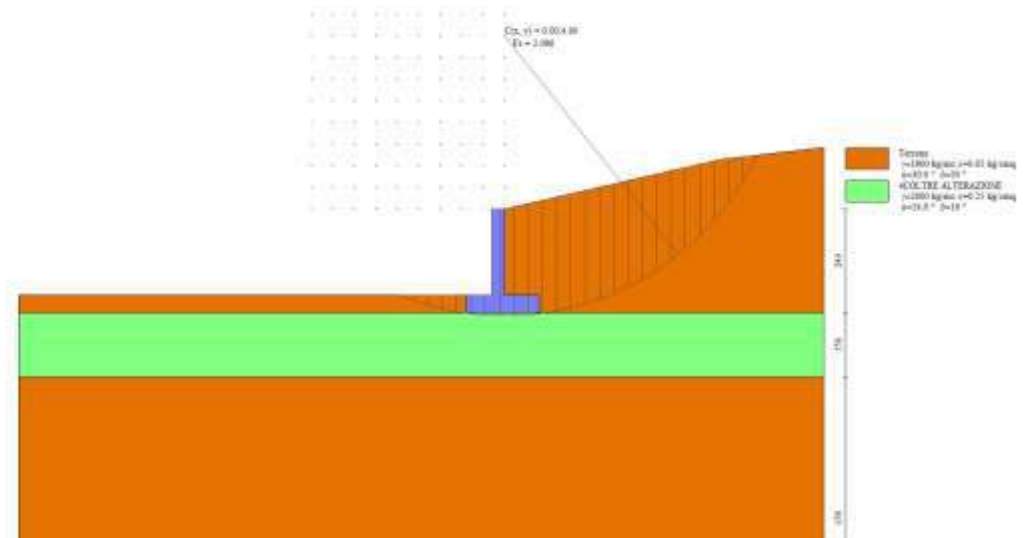


Fig. 40 - Stabilità fronte di scavo - Cerchio critico (Combinazione n° 5)

Sollecitazioni

Elementi calcolati a trave

Simbologia adottata

n° Indice della sezione
X Posizione della sezione, espresso in [m]
N Sforzo normale, espresso in [kg]. Positivo se di compressione.
T Taglio, espresso in [kg]. Positivo se diretto da monte verso valle
M Momento, espresso in [kgm]. Positivo se tende le fibre contro terra (a monte)
La posizione delle sezioni di verifica fanno riferimento al sistema di riferimento globale la cui origine è nello spigolo in alto a destra del paramento.

Paramento

| n° | X [m] | N _{min} [kg] | N _{max} [kg] | T _{min} [kg] | T _{max} [kg] | M _{min} [kgm] | M _{max} [kgm] |
|----|----------|--------------------------|--------------------------|--------------------------|--------------------------|---------------------------|---------------------------|
| 1 | 0.00 | 0 | 0 | 0 | 0 | 0 | 0 |
| 2 | -0.10 | 71 | 79 | 16 | 35 | 1 | 1 |
| 3 | -0.20 | 142 | 158 | 33 | 100 | 3 | 8 |
| 4 | -0.30 | 213 | 237 | 49 | 171 | 7 | 21 |
| 5 | -0.40 | 284 | 316 | 66 | 236 | 13 | 41 |
| 6 | -0.50 | 355 | 395 | 82 | 289 | 21 | 67 |
| 7 | -0.60 | 426 | 474 | 98 | 333 | 30 | 98 |
| 8 | -0.70 | 497 | 553 | 115 | 366 | 40 | 134 |
| 9 | -0.80 | 568 | 632 | 131 | 389 | 52 | 171 |
| 10 | -0.90 | 639 | 711 | 149 | 403 | 66 | 211 |
| 11 | -1.00 | 710 | 790 | 168 | 410 | 82 | 252 |
| 12 | -1.10 | 781 | 869 | 192 | 417 | 100 | 293 |
| 13 | -1.20 | 852 | 948 | 222 | 431 | 121 | 335 |
| 14 | -1.30 | 923 | 1027 | 258 | 450 | 145 | 379 |
| 15 | -1.40 | 993 | 1107 | 300 | 476 | 173 | 426 |
| 16 | -1.50 | 1064 | 1186 | 348 | 508 | 205 | 475 |
| 17 | -1.60 | 1135 | 1265 | 402 | 566 | 242 | 527 |
| 18 | -1.70 | 1206 | 1344 | 463 | 641 | 286 | 584 |
| 19 | -1.80 | 1277 | 1423 | 530 | 724 | 335 | 646 |
| 20 | -1.90 | 1348 | 1502 | 603 | 816 | 392 | 712 |
| 21 | -2.00 | 1419 | 1581 | 682 | 915 | 456 | 785 |

Fondazione

| n° | X [m] | N _{min} [kg] | N _{max} [kg] | T _{min} [kg] | T _{max} [kg] | M _{min} [kgm] | M _{max} [kgm] |
|----|----------|--------------------------|--------------------------|--------------------------|--------------------------|---------------------------|---------------------------|
| 1 | -0.90 | 0 | 0 | 0 | 0 | 0 | 0 |

Relazione Geotecnica e delle Fondazioni

| n° | X [m] | N _{min} [kg] | N _{max} [kg] | T _{min} [kg] | T _{max} [kg] | M _{min} [kgm] | M _{max} [kgm] |
|----|----------|--------------------------|--------------------------|--------------------------|--------------------------|---------------------------|---------------------------|
| 2 | -0.80 | 0 | 0 | 240 | 349 | 12 | 17 |
| 3 | -0.70 | 0 | 0 | 487 | 696 | 48 | 70 |
| 4 | -0.60 | 0 | 0 | 740 | 1039 | 109 | 156 |
| 5 | -0.50 | 0 | 0 | 1000 | 1379 | 196 | 277 |
| 6 | -0.40 | 0 | 0 | 1266 | 1716 | 310 | 432 |
| 7 | -0.30 | 0 | 0 | 1540 | 2050 | 450 | 621 |
| 8 | 0.00 | 0 | 0 | -1405 | -593 | -553 | -227 |
| 9 | 0.10 | 0 | 0 | -1222 | -511 | -421 | -172 |
| 10 | 0.20 | 0 | 0 | -1040 | -431 | -308 | -125 |
| 11 | 0.30 | 0 | 0 | -861 | -353 | -213 | -86 |
| 12 | 0.40 | 0 | 0 | -685 | -278 | -136 | -54 |
| 13 | 0.50 | 0 | 0 | -510 | -205 | -76 | -30 |
| 14 | 0.60 | 0 | 0 | -338 | -134 | -34 | -13 |
| 15 | 0.70 | 0 | 0 | -168 | -66 | -8 | -3 |
| 16 | 0.80 | 0 | 0 | 0 | 0 | 0 | 0 |

Verifiche strutturali

Verifiche a flessione

Elementi calcolati a trave

Simbologia adottata

| | |
|-----|-----------------------------------------------------------------------------------|
| n° | indice sezione |
| B | larghezza sezione espresso in [cm] |
| H | altezza sezione espressa in [cm] |
| Afi | area ferri inferiori espresso in [cmq] |
| Afs | area ferri superiori espresso in [cmq] |
| M | momento agente espressa in [kgm] |
| N | sforzo normale agente espressa in [kg] |
| Mrd | momento resistente espresso in [kgm] |
| Nrd | sforzo normale resistente espresso in [kg] |
| FS | fattore di sicurezza (rapporto tra sollecitazione ultima e sollecitazione agente) |

Paramento

| n° | B [cm] | H [cm] | Afi [cmq] | Afs [cmq] | M [kgm] | N [kg] | Mrd [kgm] | Nrd [kg] | FS |
|----|-----------|-----------|--------------|--------------|------------|-----------|--------------|-------------|------------|
| 1 | 100 | 30 | 8.04 | 8.04 | 0 | 0 | 0 | 0 | 100000.000 |
| 2 | 100 | 30 | 8.04 | 8.04 | 1 | 75 | 7987 | 75 | 6817.424 |
| 3 | 100 | 30 | 8.04 | 8.04 | 8 | 150 | 7996 | 150 | 998.455 |
| 4 | 100 | 30 | 8.04 | 8.04 | 21 | 225 | 8005 | 225 | 386.348 |
| 5 | 100 | 30 | 8.04 | 8.04 | 38 | 300 | 8014 | 300 | 210.061 |
| 6 | 100 | 30 | 8.04 | 8.04 | 59 | 375 | 8023 | 375 | 135.645 |
| 7 | 100 | 30 | 8.04 | 8.04 | 83 | 450 | 8032 | 450 | 97.294 |
| 8 | 100 | 30 | 8.04 | 8.04 | 107 | 525 | 8041 | 525 | 74.958 |
| 9 | 100 | 30 | 8.04 | 8.04 | 133 | 600 | 8051 | 600 | 60.707 |
| 10 | 100 | 30 | 8.04 | 8.04 | 159 | 675 | 8060 | 675 | 50.781 |
| 11 | 100 | 30 | 8.04 | 8.04 | 186 | 750 | 8069 | 750 | 43.315 |
| 12 | 100 | 30 | 8.04 | 8.04 | 216 | 825 | 8078 | 825 | 37.380 |
| 13 | 100 | 30 | 8.04 | 8.04 | 249 | 900 | 8087 | 900 | 32.480 |
| 14 | 100 | 30 | 8.04 | 8.04 | 286 | 975 | 8096 | 975 | 28.335 |
| 15 | 100 | 30 | 8.04 | 8.04 | 327 | 1050 | 8105 | 1050 | 24.776 |
| 16 | 100 | 30 | 8.04 | 8.04 | 374 | 1125 | 8114 | 1125 | 21.694 |
| 17 | 100 | 30 | 8.04 | 8.04 | 427 | 1200 | 8123 | 1200 | 19.015 |
| 18 | 100 | 30 | 8.04 | 8.04 | 487 | 1275 | 8133 | 1275 | 16.682 |
| 19 | 100 | 30 | 8.04 | 8.04 | 556 | 1350 | 8142 | 1350 | 14.651 |
| 20 | 100 | 30 | 8.04 | 8.04 | 633 | 1425 | 8151 | 1425 | 12.883 |
| 21 | 100 | 30 | 8.04 | 8.04 | 719 | 1500 | 8160 | 1500 | 11.347 |

Fondazione

| n° | B [cm] | H [cm] | Afi [cmq] | Afs [cmq] | M [kgm] | N [kg] | Mrd [kgm] | Nrd [kg] | FS |
|----|-----------|-----------|--------------|--------------|------------|-----------|--------------|-------------|------------|
| 1 | 100 | 40 | 8.04 | 8.04 | 0 | 0 | 0 | 0 | 100000.000 |
| 2 | 100 | 40 | 8.04 | 8.04 | 17 | 0 | 11100 | 0 | 634.718 |
| 3 | 100 | 40 | 8.04 | 8.04 | 70 | 0 | 11100 | 0 | 159.138 |
| 4 | 100 | 40 | 8.04 | 8.04 | 156 | 0 | 11100 | 0 | 70.933 |
| 5 | 100 | 40 | 8.04 | 8.04 | 277 | 0 | 11100 | 0 | 40.016 |
| 6 | 100 | 40 | 8.04 | 8.04 | 432 | 0 | 11100 | 0 | 25.685 |
| 7 | 100 | 40 | 8.04 | 8.04 | 621 | 0 | 11100 | 0 | 17.889 |
| 8 | 100 | 40 | 8.04 | 8.04 | -553 | 0 | -11100 | 0 | 20.091 |
| 9 | 100 | 40 | 8.04 | 8.04 | -421 | 0 | -11100 | 0 | 26.356 |
| 10 | 100 | 40 | 8.04 | 8.04 | -308 | 0 | -11100 | 0 | 36.031 |
| 11 | 100 | 40 | 8.04 | 8.04 | -213 | 0 | -11100 | 0 | 52.113 |
| 12 | 100 | 40 | 8.04 | 8.04 | -136 | 0 | -11100 | 0 | 81.787 |
| 13 | 100 | 40 | 8.04 | 8.04 | -76 | 0 | -11100 | 0 | 146.045 |
| 14 | 100 | 40 | 8.04 | 8.04 | -34 | 0 | -11100 | 0 | 330.069 |
| 15 | 100 | 40 | 8.04 | 8.04 | -8 | 0 | -11100 | 0 | 1326.197 |
| 16 | 100 | 40 | 8.04 | 8.04 | 0 | 0 | 0 | 0 | 100000.000 |

| | | | |
|--------------------------------------|----------------------------------------------------------------------------------------------------------------------|----------------------------------------------------------------------------------|-------------|
| COMMITTENTE: Mecca Antonio | CODICE COMMESSA: | NOME ELABORATO: S1.5 - Relazione Geotecnica e delle Fondazioni | CONSULENTE: |
| DATA: Aprile 2023 | TITOLO: Lavori ultimazione di un fabbricato adibito ad albergo-ristorante- C.da Case Nuove Chicone Avigliano (PZ) | | |

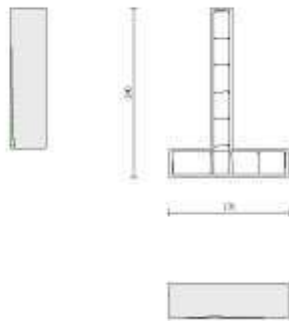


Fig. 41 - Paramento (Inviluppo)

Verifiche a taglio

Simbologia adottata

| | |
|--------------|-----------------------------------------------------------------------------------------------------------------------------------------------------------------|
| n° (o Is) | indice sezione |
| Y | ordinata sezione espressa in [m] |
| B | larghezza sezione espressa in [cm] |
| H | altezza sezione espressa in [cm] |
| A_{sw} | area ferri a taglio espressa in [cmq] |
| $\cot\theta$ | inclinazione delle bielle compresse, θ inclinazione dei puntoni di calcestruzzo |
| V_{Rcd} | resistenza di progetto a 'taglio compressione' espressa in [kg] |
| V_{Rsd} | resistenza di progetto a 'taglio trazione' espressa in [kg] |
| V_{Rd} | resistenza di progetto a taglio espressa in [kg]. Per elementi con armature trasversali resistenti al taglio ($A_{sw}>0.0$) $V_{Rd}=\min(V_{Rcd}, V_{Rsd})$. |
| T | taglio agente espressa in [kg] |
| FS | fattore di sicurezza (rapporto tra sollecitazione resistente e sollecitazione agente) |

Paramento

| n° | B [cm] | H [cm] | A_{sw} [cmq] | $\cot\theta$ | V_{Rcd} [kg] | V_{Rsd} [kg] | V_{Rd} [kg] | T [kg] | FS |
|----|-----------|-----------|-------------------|--------------|-------------------|-------------------|------------------|-----------|---------|
| 1 | 100 | 30 | 0.00 | -- | 0 | 0 | 15214 | 0 | 100.000 |
| 2 | 100 | 30 | 0.00 | -- | 0 | 0 | 15224 | 35 | 433.153 |
| 3 | 100 | 30 | 0.00 | -- | 0 | 0 | 15234 | 100 | 152.848 |
| 4 | 100 | 30 | 0.00 | -- | 0 | 0 | 15244 | 153 | 99.868 |
| 5 | 100 | 30 | 0.00 | -- | 0 | 0 | 15254 | 194 | 78.601 |
| 6 | 100 | 30 | 0.00 | -- | 0 | 0 | 15264 | 224 | 68.157 |
| 7 | 100 | 30 | 0.00 | -- | 0 | 0 | 15274 | 242 | 63.040 |
| 8 | 100 | 30 | 0.00 | -- | 0 | 0 | 15284 | 251 | 60.950 |
| 9 | 100 | 30 | 0.00 | -- | 0 | 0 | 15295 | 256 | 59.669 |
| 10 | 100 | 30 | 0.00 | -- | 0 | 0 | 15305 | 267 | 57.319 |
| 11 | 100 | 30 | 0.00 | -- | 0 | 0 | 15315 | 286 | 53.621 |
| 12 | 100 | 30 | 0.00 | -- | 0 | 0 | 15325 | 312 | 49.089 |
| 13 | 100 | 30 | 0.00 | -- | 0 | 0 | 15335 | 347 | 44.221 |
| 14 | 100 | 30 | 0.00 | -- | 0 | 0 | 15345 | 389 | 39.404 |
| 15 | 100 | 30 | 0.00 | -- | 0 | 0 | 15355 | 440 | 34.886 |
| 16 | 100 | 30 | 0.00 | -- | 0 | 0 | 15365 | 499 | 30.792 |
| 17 | 100 | 30 | 0.00 | -- | 0 | 0 | 15376 | 566 | 27.166 |
| 18 | 100 | 30 | 0.00 | -- | 0 | 0 | 15386 | 641 | 23.999 |
| 19 | 100 | 30 | 0.00 | -- | 0 | 0 | 15396 | 724 | 21.253 |
| 20 | 100 | 30 | 0.00 | -- | 0 | 0 | 15406 | 816 | 18.883 |
| 21 | 100 | 30 | 0.00 | -- | 0 | 0 | 15416 | 915 | 16.840 |

Fondazione

| n° | B [cm] | H [cm] | A_{sw} [cmq] | $\cot\theta$ | V_{Rcd} [kg] | V_{Rsd} [kg] | V_{Rd} [kg] | T [kg] | FS |
|----|-----------|-----------|-------------------|--------------|-------------------|-------------------|------------------|-----------|---------|
| 1 | 100 | 40 | 0.00 | -- | 0 | 0 | 17504 | 0 | 100.000 |

Relazione Geotecnica e delle Fondazioni

| n° | B [cm] | H [cm] | A _{sw} [cmq] | cotθ | V _{Rcd} [kg] | V _{Rsd} [kg] | V _{Rd} [kg] | T [kg] | FS |
|----|-----------|-----------|--------------------------|------|--------------------------|--------------------------|-------------------------|-----------|---------|
| 2 | 100 | 40 | 0.00 | -- | 0 | 0 | 17504 | -349 | 50.116 |
| 3 | 100 | 40 | 0.00 | -- | 0 | 0 | 17504 | -696 | 25.167 |
| 4 | 100 | 40 | 0.00 | -- | 0 | 0 | 17504 | -1039 | 16.851 |
| 5 | 100 | 40 | 0.00 | -- | 0 | 0 | 17504 | -1379 | 12.694 |
| 6 | 100 | 40 | 0.00 | -- | 0 | 0 | 17504 | -1716 | 10.200 |
| 7 | 100 | 40 | 0.00 | -- | 0 | 0 | 17504 | -2050 | 8.537 |
| 8 | 100 | 40 | 0.00 | -- | 0 | 0 | 17504 | -1405 | 12.456 |
| 9 | 100 | 40 | 0.00 | -- | 0 | 0 | 17504 | -1222 | 14.327 |
| 10 | 100 | 40 | 0.00 | -- | 0 | 0 | 17504 | -1040 | 16.824 |
| 11 | 100 | 40 | 0.00 | -- | 0 | 0 | 17504 | -861 | 20.320 |
| 12 | 100 | 40 | 0.00 | -- | 0 | 0 | 17504 | -685 | 25.568 |
| 13 | 100 | 40 | 0.00 | -- | 0 | 0 | 17504 | -510 | 34.316 |
| 14 | 100 | 40 | 0.00 | -- | 0 | 0 | 17504 | -338 | 51.817 |
| 15 | 100 | 40 | 0.00 | -- | 0 | 0 | 17504 | -168 | 104.330 |
| 16 | 100 | 40 | 0.00 | -- | 0 | 0 | 17504 | 0 | 100.000 |

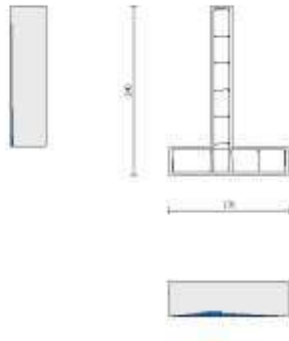


Fig. 42 - Paramento (Inviluppo)

Verifica delle tensioni

Simbologia adottata

| | |
|-----------------|--------------------------------------------------------|
| n° | indice sezione |
| Y | ordinata sezione, espresso in [m] |
| B | larghezza sezione, espresso in [cm] |
| H | altezza sezione, espresso in [cm] |
| A _{fi} | area ferri inferiori, espresso in [cmq] |
| A _{fs} | area ferri superiori, espresso in [cmq] |
| M | momento agente, espresso in [kgm] |
| N | sforzo normale agente, espresso in [kg] |
| σ _c | tensione di compressione nel cls, espresso in [kg/cmq] |
| σ _{fi} | tensione nei ferri inferiori, espresso in [kg/cmq] |
| σ _{fs} | tensione nei ferri superiori, espresso in [kg/cmq] |

Combinazioni SLER

Paramento

| | | |
|---------------------------------------------------|---------|----------|
| Tensione massima di compressione nel calcestruzzo | 152.34 | [kg/cmq] |
| Tensione massima di trazione dell'acciaio | 3670.92 | [kg/cmq] |

| n° | B [cm] | H [cm] | A _{fi} [cmq] | A _{fs} [cmq] | M [kgm] | N [kg] | σ _c [kg/cmq] | σ _{fi} [kg/cmq] | σ _{fs} [kg/cmq] |
|----|-----------|-----------|--------------------------|--------------------------|------------|-----------|----------------------------|-----------------------------|-----------------------------|
| 1 | 100 | 30 | 8.04 | 8.04 | 0 | 0 | 0.00 (10) | 0.00 (10) | 0.00 (10) |
| 2 | 100 | 30 | 8.04 | 8.04 | 1 | 75 | 0.03 (10) | 0.28 (10) | 0.41 (10) |
| 3 | 100 | 30 | 8.04 | 8.04 | 7 | 150 | 0.09 (10) | 0.23 (10) | 1.16 (10) |
| 4 | 100 | 30 | 8.04 | 8.04 | 21 | 225 | 0.21 (10) | 0.90 (10) | 2.54 (10) |
| 5 | 100 | 30 | 8.04 | 8.04 | 41 | 300 | 0.44 (10) | 5.61 (10) | 4.77 (10) |
| 6 | 100 | 30 | 8.04 | 8.04 | 67 | 375 | 0.74 (10) | 14.15 (10) | 7.47 (10) |

| | | | |
|--------------------------------------|----------------------------------------------------------------------------------------------------------------------|----------------------------------------------------------------------------------|-------------|
| COMMITTENTE: Mecca Antonio | CODICE COMMESSA: | NOME ELABORATO: S1.5 - Relazione Geotecnica e delle Fondazioni | CONSULENTE: |
| DATA: Aprile 2023 | TITOLO: Lavori ultimazione di un fabbricato adibito ad albergo-ristorante– C.da Case Nuove Chicone Avigliano (PZ) | | |

| n° | B [cm] | H [cm] | Afi [cmq] | Afs [cmq] | M [kgm] | N [kg] | σc [kg/cmq] | σfi [kg/cmq] | σfs [kg/cmq] |
|----|-----------|-----------|--------------|--------------|------------|-----------|----------------|-----------------|-----------------|
| 7 | 100 | 30 | 8.04 | 8.04 | 98 | 450 | 1.11 (10) | 25.56 (10) | 10.49 (10) |
| 8 | 100 | 30 | 8.04 | 8.04 | 134 | 525 | 1.51 (10) | 39.10 (10) | 13.75 (10) |
| 9 | 100 | 30 | 8.04 | 8.04 | 171 | 600 | 1.95 (10) | 54.18 (10) | 17.18 (10) |
| 10 | 100 | 30 | 8.04 | 8.04 | 211 | 675 | 2.41 (10) | 70.25 (10) | 20.73 (10) |
| 11 | 100 | 30 | 8.04 | 8.04 | 252 | 750 | 2.88 (10) | 86.87 (10) | 24.33 (10) |
| 12 | 100 | 30 | 8.04 | 8.04 | 293 | 825 | 3.36 (10) | 103.84 (10) | 27.97 (10) |
| 13 | 100 | 30 | 8.04 | 8.04 | 335 | 900 | 3.84 (10) | 121.35 (10) | 31.68 (10) |
| 14 | 100 | 30 | 8.04 | 8.04 | 379 | 975 | 4.35 (10) | 139.72 (10) | 35.50 (10) |
| 15 | 100 | 30 | 8.04 | 8.04 | 426 | 1050 | 4.88 (10) | 159.26 (10) | 39.49 (10) |
| 16 | 100 | 30 | 8.04 | 8.04 | 475 | 1125 | 5.44 (10) | 180.30 (10) | 43.68 (10) |
| 17 | 100 | 30 | 8.04 | 8.04 | 527 | 1200 | 6.05 (10) | 203.14 (10) | 48.12 (10) |
| 18 | 100 | 30 | 8.04 | 8.04 | 584 | 1275 | 6.70 (10) | 228.12 (10) | 52.85 (10) |
| 19 | 100 | 30 | 8.04 | 8.04 | 646 | 1350 | 7.41 (10) | 255.56 (10) | 57.91 (10) |
| 20 | 100 | 30 | 8.04 | 8.04 | 712 | 1425 | 8.17 (10) | 285.78 (10) | 63.36 (10) |
| 21 | 100 | 30 | 8.04 | 8.04 | 785 | 1500 | 9.01 (10) | 319.11 (10) | 69.23 (10) |

Fondazione

Tensione massima di compressione nel calcestruzzo 152.34 [kg/cmq]
Tensione massima di trazione dell'acciaio 3670.92 [kg/cmq]

| n° | B [cm] | H [cm] | Afi [cmq] | Afs [cmq] | M [kgm] | N [kg] | σc [kg/cmq] | σfi [kg/cmq] | σfs [kg/cmq] |
|----|-----------|-----------|--------------|--------------|------------|-----------|----------------|-----------------|-----------------|
| 1 | 100 | 40 | 8.04 | 8.04 | 0 | 0 | 0.00 (10) | 0.00 (10) | 0.00 (10) |
| 2 | 100 | 40 | 8.04 | 8.04 | 12 | 0 | 0.08 (10) | 4.44 (10) | 0.61 (10) |
| 3 | 100 | 40 | 8.04 | 8.04 | 48 | 0 | 0.32 (10) | 17.91 (10) | 2.45 (10) |
| 4 | 100 | 40 | 8.04 | 8.04 | 109 | 0 | 0.73 (10) | 40.68 (10) | 5.57 (10) |
| 5 | 100 | 40 | 8.04 | 8.04 | 196 | 0 | 1.32 (10) | 72.98 (10) | 10.00 (10) |
| 6 | 100 | 40 | 8.04 | 8.04 | 310 | 0 | 2.07 (10) | 115.06 (10) | 15.76 (10) |
| 7 | 100 | 40 | 8.04 | 8.04 | 450 | 0 | 3.01 (10) | 167.18 (10) | 22.90 (10) |
| 8 | 100 | 40 | 8.04 | 8.04 | -227 | 0 | 1.52 (10) | 11.56 (10) | 84.42 (10) |
| 9 | 100 | 40 | 8.04 | 8.04 | -172 | 0 | 1.15 (10) | 8.76 (10) | 63.93 (10) |
| 10 | 100 | 40 | 8.04 | 8.04 | -125 | 0 | 0.84 (10) | 6.36 (10) | 46.45 (10) |
| 11 | 100 | 40 | 8.04 | 8.04 | -86 | 0 | 0.57 (10) | 4.37 (10) | 31.90 (10) |
| 12 | 100 | 40 | 8.04 | 8.04 | -54 | 0 | 0.36 (10) | 2.76 (10) | 20.19 (10) |
| 13 | 100 | 40 | 8.04 | 8.04 | -30 | 0 | 0.20 (10) | 1.54 (10) | 11.23 (10) |
| 14 | 100 | 40 | 8.04 | 8.04 | -13 | 0 | 0.09 (10) | 0.68 (10) | 4.93 (10) |
| 15 | 100 | 40 | 8.04 | 8.04 | -3 | 0 | 0.02 (10) | 0.17 (10) | 1.22 (10) |
| 16 | 100 | 40 | 8.04 | 8.04 | 0 | 0 | 0.00 (10) | 0.00 (10) | 0.00 (10) |

Combinazioni SLEF

Paramento

Tensione massima di compressione nel calcestruzzo 253.91 [kg/cmq]
Tensione massima di trazione dell'acciaio 4588.65 [kg/cmq]

| n° | B [cm] | H [cm] | Afi [cmq] | Afs [cmq] | M [kgm] | N [kg] | σc [kg/cmq] | σfi [kg/cmq] | σfs [kg/cmq] |
|----|-----------|-----------|--------------|--------------|------------|-----------|----------------|-----------------|-----------------|
| 1 | 100 | 30 | 8.04 | 8.04 | 0 | 0 | 0.00 (11) | 0.00 (11) | 0.00 (11) |
| 2 | 100 | 30 | 8.04 | 8.04 | 1 | 75 | 0.03 (11) | 0.28 (11) | 0.41 (11) |
| 3 | 100 | 30 | 8.04 | 8.04 | 7 | 150 | 0.09 (11) | 0.23 (11) | 1.16 (11) |
| 4 | 100 | 30 | 8.04 | 8.04 | 21 | 225 | 0.21 (11) | 0.90 (11) | 2.54 (11) |
| 5 | 100 | 30 | 8.04 | 8.04 | 41 | 300 | 0.44 (11) | 5.61 (11) | 4.77 (11) |
| 6 | 100 | 30 | 8.04 | 8.04 | 67 | 375 | 0.74 (11) | 14.15 (11) | 7.47 (11) |
| 7 | 100 | 30 | 8.04 | 8.04 | 98 | 450 | 1.11 (11) | 25.56 (11) | 10.49 (11) |
| 8 | 100 | 30 | 8.04 | 8.04 | 134 | 525 | 1.51 (11) | 39.10 (11) | 13.75 (11) |
| 9 | 100 | 30 | 8.04 | 8.04 | 171 | 600 | 1.95 (11) | 54.18 (11) | 17.18 (11) |
| 10 | 100 | 30 | 8.04 | 8.04 | 211 | 675 | 2.41 (11) | 70.25 (11) | 20.73 (11) |
| 11 | 100 | 30 | 8.04 | 8.04 | 252 | 750 | 2.88 (11) | 86.87 (11) | 24.33 (11) |
| 12 | 100 | 30 | 8.04 | 8.04 | 293 | 825 | 3.36 (11) | 103.84 (11) | 27.97 (11) |
| 13 | 100 | 30 | 8.04 | 8.04 | 335 | 900 | 3.84 (11) | 121.35 (11) | 31.68 (11) |
| 14 | 100 | 30 | 8.04 | 8.04 | 379 | 975 | 4.35 (11) | 139.72 (11) | 35.50 (11) |
| 15 | 100 | 30 | 8.04 | 8.04 | 426 | 1050 | 4.88 (11) | 159.26 (11) | 39.49 (11) |
| 16 | 100 | 30 | 8.04 | 8.04 | 475 | 1125 | 5.44 (11) | 180.30 (11) | 43.68 (11) |
| 17 | 100 | 30 | 8.04 | 8.04 | 527 | 1200 | 6.05 (11) | 203.14 (11) | 48.12 (11) |
| 18 | 100 | 30 | 8.04 | 8.04 | 584 | 1275 | 6.70 (11) | 228.12 (11) | 52.85 (11) |
| 19 | 100 | 30 | 8.04 | 8.04 | 646 | 1350 | 7.41 (11) | 255.56 (11) | 57.91 (11) |
| 20 | 100 | 30 | 8.04 | 8.04 | 712 | 1425 | 8.17 (11) | 285.78 (11) | 63.36 (11) |
| 21 | 100 | 30 | 8.04 | 8.04 | 785 | 1500 | 9.01 (11) | 319.11 (11) | 69.23 (11) |

Fondazione

Relazione Geotecnica e delle Fondazioni

Tensione massima di compressione nel calcestruzzo 253.91 [kg/cmq]
Tensione massima di trazione dell'acciaio 4588.65 [kg/cmq]

| n° | B [cm] | H [cm] | Afi [cmq] | Afs [cmq] | M [kgm] | N [kg] | σc [kg/cmq] | σfi [kg/cmq] | σfs [kg/cmq] |
|----|-----------|-----------|--------------|--------------|------------|-----------|----------------|-----------------|-----------------|
| 1 | 100 | 40 | 8.04 | 8.04 | 0 | 0 | 0.00 (11) | 0.00 (11) | 0.00 (11) |
| 2 | 100 | 40 | 8.04 | 8.04 | 12 | 0 | 0.08 (11) | 4.44 (11) | 0.61 (11) |
| 3 | 100 | 40 | 8.04 | 8.04 | 48 | 0 | 0.32 (11) | 17.91 (11) | 2.45 (11) |
| 4 | 100 | 40 | 8.04 | 8.04 | 109 | 0 | 0.73 (11) | 40.68 (11) | 5.57 (11) |
| 5 | 100 | 40 | 8.04 | 8.04 | 196 | 0 | 1.32 (11) | 72.98 (11) | 10.00 (11) |
| 6 | 100 | 40 | 8.04 | 8.04 | 310 | 0 | 2.07 (11) | 115.06 (11) | 15.76 (11) |
| 7 | 100 | 40 | 8.04 | 8.04 | 450 | 0 | 3.01 (11) | 167.18 (11) | 22.90 (11) |
| 8 | 100 | 40 | 8.04 | 8.04 | -227 | 0 | 1.52 (11) | 11.56 (11) | 84.42 (11) |
| 9 | 100 | 40 | 8.04 | 8.04 | -172 | 0 | 1.15 (11) | 8.76 (11) | 63.93 (11) |
| 10 | 100 | 40 | 8.04 | 8.04 | -125 | 0 | 0.84 (11) | 6.36 (11) | 46.45 (11) |
| 11 | 100 | 40 | 8.04 | 8.04 | -86 | 0 | 0.57 (11) | 4.37 (11) | 31.90 (11) |
| 12 | 100 | 40 | 8.04 | 8.04 | -54 | 0 | 0.36 (11) | 2.76 (11) | 20.19 (11) |
| 13 | 100 | 40 | 8.04 | 8.04 | -30 | 0 | 0.20 (11) | 1.54 (11) | 11.23 (11) |
| 14 | 100 | 40 | 8.04 | 8.04 | -13 | 0 | 0.09 (11) | 0.68 (11) | 4.93 (11) |
| 15 | 100 | 40 | 8.04 | 8.04 | -3 | 0 | 0.02 (11) | 0.17 (11) | 1.22 (11) |
| 16 | 100 | 40 | 8.04 | 8.04 | 0 | 0 | 0.00 (11) | 0.00 (11) | 0.00 (11) |

Combinazioni SLEQ

Paramento

Tensione massima di compressione nel calcestruzzo 114.26 [kg/cmq]
Tensione massima di trazione dell'acciaio 4588.65 [kg/cmq]

| n° | B [cm] | H [cm] | Afi [cmq] | Afs [cmq] | M [kgm] | N [kg] | σc [kg/cmq] | σfi [kg/cmq] | σfs [kg/cmq] |
|----|-----------|-----------|--------------|--------------|------------|-----------|----------------|-----------------|-----------------|
| 1 | 100 | 30 | 8.04 | 8.04 | 0 | 0 | 0.00 (12) | 0.00 (12) | 0.00 (12) |
| 2 | 100 | 30 | 8.04 | 8.04 | 1 | 75 | 0.03 (12) | 0.28 (12) | 0.41 (12) |
| 3 | 100 | 30 | 8.04 | 8.04 | 7 | 150 | 0.09 (12) | 0.23 (12) | 1.16 (12) |
| 4 | 100 | 30 | 8.04 | 8.04 | 21 | 225 | 0.21 (12) | 0.90 (12) | 2.54 (12) |
| 5 | 100 | 30 | 8.04 | 8.04 | 41 | 300 | 0.44 (12) | 5.61 (12) | 4.77 (12) |
| 6 | 100 | 30 | 8.04 | 8.04 | 67 | 375 | 0.74 (12) | 14.15 (12) | 7.47 (12) |
| 7 | 100 | 30 | 8.04 | 8.04 | 98 | 450 | 1.11 (12) | 25.56 (12) | 10.49 (12) |
| 8 | 100 | 30 | 8.04 | 8.04 | 134 | 525 | 1.51 (12) | 39.10 (12) | 13.75 (12) |
| 9 | 100 | 30 | 8.04 | 8.04 | 171 | 600 | 1.95 (12) | 54.18 (12) | 17.18 (12) |
| 10 | 100 | 30 | 8.04 | 8.04 | 211 | 675 | 2.41 (12) | 70.25 (12) | 20.73 (12) |
| 11 | 100 | 30 | 8.04 | 8.04 | 252 | 750 | 2.88 (12) | 86.87 (12) | 24.33 (12) |
| 12 | 100 | 30 | 8.04 | 8.04 | 293 | 825 | 3.36 (12) | 103.84 (12) | 27.97 (12) |
| 13 | 100 | 30 | 8.04 | 8.04 | 335 | 900 | 3.84 (12) | 121.35 (12) | 31.68 (12) |
| 14 | 100 | 30 | 8.04 | 8.04 | 379 | 975 | 4.35 (12) | 139.72 (12) | 35.50 (12) |
| 15 | 100 | 30 | 8.04 | 8.04 | 426 | 1050 | 4.88 (12) | 159.26 (12) | 39.49 (12) |
| 16 | 100 | 30 | 8.04 | 8.04 | 475 | 1125 | 5.44 (12) | 180.30 (12) | 43.68 (12) |
| 17 | 100 | 30 | 8.04 | 8.04 | 527 | 1200 | 6.05 (12) | 203.14 (12) | 48.12 (12) |
| 18 | 100 | 30 | 8.04 | 8.04 | 584 | 1275 | 6.70 (12) | 228.12 (12) | 52.85 (12) |
| 19 | 100 | 30 | 8.04 | 8.04 | 646 | 1350 | 7.41 (12) | 255.56 (12) | 57.91 (12) |
| 20 | 100 | 30 | 8.04 | 8.04 | 712 | 1425 | 8.17 (12) | 285.78 (12) | 63.36 (12) |
| 21 | 100 | 30 | 8.04 | 8.04 | 785 | 1500 | 9.01 (12) | 319.11 (12) | 69.23 (12) |

Fondazione

Tensione massima di compressione nel calcestruzzo 114.26 [kg/cmq]
Tensione massima di trazione dell'acciaio 4588.65 [kg/cmq]

| n° | B [cm] | H [cm] | Afi [cmq] | Afs [cmq] | M [kgm] | N [kg] | σc [kg/cmq] | σfi [kg/cmq] | σfs [kg/cmq] |
|----|-----------|-----------|--------------|--------------|------------|-----------|----------------|-----------------|-----------------|
| 1 | 100 | 40 | 8.04 | 8.04 | 0 | 0 | 0.00 (12) | 0.00 (12) | 0.00 (12) |
| 2 | 100 | 40 | 8.04 | 8.04 | 12 | 0 | 0.08 (12) | 4.44 (12) | 0.61 (12) |
| 3 | 100 | 40 | 8.04 | 8.04 | 48 | 0 | 0.32 (12) | 17.91 (12) | 2.45 (12) |
| 4 | 100 | 40 | 8.04 | 8.04 | 109 | 0 | 0.73 (12) | 40.68 (12) | 5.57 (12) |
| 5 | 100 | 40 | 8.04 | 8.04 | 196 | 0 | 1.32 (12) | 72.98 (12) | 10.00 (12) |
| 6 | 100 | 40 | 8.04 | 8.04 | 310 | 0 | 2.07 (12) | 115.06 (12) | 15.76 (12) |
| 7 | 100 | 40 | 8.04 | 8.04 | 450 | 0 | 3.01 (12) | 167.18 (12) | 22.90 (12) |
| 8 | 100 | 40 | 8.04 | 8.04 | -227 | 0 | 1.52 (12) | 11.56 (12) | 84.42 (12) |
| 9 | 100 | 40 | 8.04 | 8.04 | -172 | 0 | 1.15 (12) | 8.76 (12) | 63.93 (12) |
| 10 | 100 | 40 | 8.04 | 8.04 | -125 | 0 | 0.84 (12) | 6.36 (12) | 46.45 (12) |
| 11 | 100 | 40 | 8.04 | 8.04 | -86 | 0 | 0.57 (12) | 4.37 (12) | 31.90 (12) |
| 12 | 100 | 40 | 8.04 | 8.04 | -54 | 0 | 0.36 (12) | 2.76 (12) | 20.19 (12) |
| 13 | 100 | 40 | 8.04 | 8.04 | -30 | 0 | 0.20 (12) | 1.54 (12) | 11.23 (12) |
| 14 | 100 | 40 | 8.04 | 8.04 | -13 | 0 | 0.09 (12) | 0.68 (12) | 4.93 (12) |
| 15 | 100 | 40 | 8.04 | 8.04 | -3 | 0 | 0.02 (12) | 0.17 (12) | 1.22 (12) |
| 16 | 100 | 40 | 8.04 | 8.04 | 0 | 0 | 0.00 (12) | 0.00 (12) | 0.00 (12) |

| | | | |
|--------------------------------------|------------------------------------------------------------------------------------------------------------------------------|----------------------------------------------------------------------------------|-------------|
| COMMITTENTE: Mecca Antonio | CODICE COMMESSA: | NOME ELABORATO: S1.5 - Relazione Geotecnica e delle Fondazioni | CONSULENTE: |
| DATA: Aprile 2023 | TITOLO: Lavori ultimazione di un fabbricato adibito ad albergo-ristorante– C.da Case Nuove Chicone Avigliano (PZ) | | |

Verifica a fessurazione

Simbologia adottata

| | |
|------|----------------------------------------------------------|
| n° | indice sezione |
| Y | ordinata sezione espressa in [m] |
| B | larghezza sezione espresso in [cm] |
| H | altezza sezione espressa in [cm] |
| Af | area ferri zona tesa espresso in [cmq] |
| Aeff | area efficace espressa in [cmq] |
| M | momento agente espressa in [kgm] |
| Mpf | momento di formazione/apertura fessure espressa in [kgm] |
| ε | deformazione espresso in % |
| Sm | spaziatura tra le fessure espressa in [mm] |
| w | apertura delle fessure espressa in [mm] |

Combinazioni SLEF

Paramento

Apertura limite fessure $w_{lim}=0.40$

| n° | B [cm] | H [cm] | Af [cmq] | Aeff [cmq] | M [kgm] | Mpf [kgm] | ε [%] | Sm [mm] | w [mm] |
|----|-----------|-----------|-------------|---------------|------------|--------------|----------|------------|------------|
| 1 | 100 | 30 | 0.00 | 0.00 | 0 | 0 | --- | --- | 0.000 (11) |
| 2 | 100 | 30 | 8.04 | 785.35 | 1 | 5331 | 0.000000 | 0.00 | 0.000 (11) |
| 3 | 100 | 30 | 8.04 | 785.05 | 7 | 5335 | 0.000000 | 0.00 | 0.000 (11) |
| 4 | 100 | 30 | 8.04 | 784.74 | 21 | 5339 | 0.000000 | 0.00 | 0.000 (11) |
| 5 | 100 | 30 | 8.04 | 784.44 | 41 | 5343 | 0.000000 | 0.00 | 0.000 (11) |
| 6 | 100 | 30 | 8.04 | 784.14 | 67 | 5347 | 0.000000 | 0.00 | 0.000 (11) |
| 7 | 100 | 30 | 8.04 | 783.84 | 98 | 5350 | 0.000000 | 0.00 | 0.000 (11) |
| 8 | 100 | 30 | 8.04 | 783.54 | 134 | 5354 | 0.000000 | 0.00 | 0.000 (11) |
| 9 | 100 | 30 | 8.04 | 783.24 | 171 | 5358 | 0.000000 | 0.00 | 0.000 (11) |
| 10 | 100 | 30 | 8.04 | 782.93 | 211 | 5362 | 0.000000 | 0.00 | 0.000 (11) |
| 11 | 100 | 30 | 8.04 | 782.63 | 252 | 5366 | 0.000000 | 0.00 | 0.000 (11) |
| 12 | 100 | 30 | 8.04 | 782.33 | 293 | 5370 | 0.000000 | 0.00 | 0.000 (11) |
| 13 | 100 | 30 | 8.04 | 782.03 | 335 | 5374 | 0.000000 | 0.00 | 0.000 (11) |
| 14 | 100 | 30 | 8.04 | 781.73 | 379 | 5378 | 0.000000 | 0.00 | 0.000 (11) |
| 15 | 100 | 30 | 8.04 | 781.43 | 426 | 5382 | 0.000000 | 0.00 | 0.000 (11) |
| 16 | 100 | 30 | 8.04 | 781.13 | 475 | 5386 | 0.000000 | 0.00 | 0.000 (11) |
| 17 | 100 | 30 | 8.04 | 780.82 | 527 | 5390 | 0.000000 | 0.00 | 0.000 (11) |
| 18 | 100 | 30 | 8.04 | 780.52 | 584 | 5394 | 0.000000 | 0.00 | 0.000 (11) |
| 19 | 100 | 30 | 8.04 | 780.22 | 646 | 5398 | 0.000000 | 0.00 | 0.000 (11) |
| 20 | 100 | 30 | 8.04 | 779.92 | 712 | 5402 | 0.000000 | 0.00 | 0.000 (11) |
| 21 | 100 | 30 | 8.04 | 779.62 | 785 | 5406 | 0.000000 | 0.00 | 0.000 (11) |

Fondazione

Apertura limite fessure $w_{lim}=0.40$

| n° | B [cm] | H [cm] | Af [cmq] | Aeff [cmq] | M [kgm] | Mpf [kgm] | ε [%] | Sm [mm] | w [mm] |
|----|-----------|-----------|-------------|---------------|------------|--------------|----------|------------|------------|
| 1 | 100 | 40 | 0.00 | 0.00 | 0 | 0 | --- | --- | 0.000 (11) |
| 2 | 100 | 40 | 8.04 | 950.00 | 12 | 9338 | 0.000000 | 0.00 | 0.000 (11) |
| 3 | 100 | 40 | 8.04 | 950.00 | 48 | 9338 | 0.000000 | 0.00 | 0.000 (11) |
| 4 | 100 | 40 | 8.04 | 950.00 | 109 | 9338 | 0.000000 | 0.00 | 0.000 (11) |
| 5 | 100 | 40 | 8.04 | 950.00 | 196 | 9338 | 0.000000 | 0.00 | 0.000 (11) |
| 6 | 100 | 40 | 8.04 | 950.00 | 310 | 9338 | 0.000000 | 0.00 | 0.000 (11) |
| 7 | 100 | 40 | 8.04 | 950.00 | 450 | 9338 | 0.000000 | 0.00 | 0.000 (11) |
| 8 | 100 | 40 | 8.04 | 950.00 | -227 | -9338 | 0.000000 | 0.00 | 0.000 (11) |
| 9 | 100 | 40 | 8.04 | 950.00 | -172 | -9338 | 0.000000 | 0.00 | 0.000 (11) |
| 10 | 100 | 40 | 8.04 | 950.00 | -125 | -9338 | 0.000000 | 0.00 | 0.000 (11) |
| 11 | 100 | 40 | 8.04 | 950.00 | -86 | -9338 | 0.000000 | 0.00 | 0.000 (11) |
| 12 | 100 | 40 | 8.04 | 950.00 | -54 | -9338 | 0.000000 | 0.00 | 0.000 (11) |
| 13 | 100 | 40 | 8.04 | 950.00 | -30 | -9338 | 0.000000 | 0.00 | 0.000 (11) |
| 14 | 100 | 40 | 8.04 | 950.00 | -13 | -9338 | 0.000000 | 0.00 | 0.000 (11) |
| 15 | 100 | 40 | 8.04 | 950.00 | -3 | -9338 | 0.000000 | 0.00 | 0.000 (11) |
| 16 | 100 | 40 | 0.00 | 0.00 | 0 | 0 | --- | --- | 0.000 (11) |

Combinazioni SLEQ

Paramento

Apertura limite fessure $w_{lim}=0.30$

Relazione Geotecnica e delle Fondazioni

| n° | B [cm] | H [cm] | Af [cmq] | Aeff [cmq] | M [kgm] | Mpf [kgm] | ε [%] | Sm [mm] | w [mm] |
|----|-----------|-----------|-------------|---------------|------------|--------------|----------|------------|------------|
| 1 | 100 | 30 | 0.00 | 0.00 | 0 | 0 | --- | --- | 0.000 (12) |
| 2 | 100 | 30 | 8.04 | 785.35 | 1 | 5331 | 0.000000 | 0.00 | 0.000 (12) |
| 3 | 100 | 30 | 8.04 | 785.05 | 7 | 5335 | 0.000000 | 0.00 | 0.000 (12) |
| 4 | 100 | 30 | 8.04 | 784.74 | 21 | 5339 | 0.000000 | 0.00 | 0.000 (12) |
| 5 | 100 | 30 | 8.04 | 784.44 | 41 | 5343 | 0.000000 | 0.00 | 0.000 (12) |
| 6 | 100 | 30 | 8.04 | 784.14 | 67 | 5347 | 0.000000 | 0.00 | 0.000 (12) |
| 7 | 100 | 30 | 8.04 | 783.84 | 98 | 5350 | 0.000000 | 0.00 | 0.000 (12) |
| 8 | 100 | 30 | 8.04 | 783.54 | 134 | 5354 | 0.000000 | 0.00 | 0.000 (12) |
| 9 | 100 | 30 | 8.04 | 783.24 | 171 | 5358 | 0.000000 | 0.00 | 0.000 (12) |
| 10 | 100 | 30 | 8.04 | 782.93 | 211 | 5362 | 0.000000 | 0.00 | 0.000 (12) |
| 11 | 100 | 30 | 8.04 | 782.63 | 252 | 5366 | 0.000000 | 0.00 | 0.000 (12) |
| 12 | 100 | 30 | 8.04 | 782.33 | 293 | 5370 | 0.000000 | 0.00 | 0.000 (12) |
| 13 | 100 | 30 | 8.04 | 782.03 | 335 | 5374 | 0.000000 | 0.00 | 0.000 (12) |
| 14 | 100 | 30 | 8.04 | 781.73 | 379 | 5378 | 0.000000 | 0.00 | 0.000 (12) |
| 15 | 100 | 30 | 8.04 | 781.43 | 426 | 5382 | 0.000000 | 0.00 | 0.000 (12) |
| 16 | 100 | 30 | 8.04 | 781.13 | 475 | 5386 | 0.000000 | 0.00 | 0.000 (12) |
| 17 | 100 | 30 | 8.04 | 780.82 | 527 | 5390 | 0.000000 | 0.00 | 0.000 (12) |
| 18 | 100 | 30 | 8.04 | 780.52 | 584 | 5394 | 0.000000 | 0.00 | 0.000 (12) |
| 19 | 100 | 30 | 8.04 | 780.22 | 646 | 5398 | 0.000000 | 0.00 | 0.000 (12) |
| 20 | 100 | 30 | 8.04 | 779.92 | 712 | 5402 | 0.000000 | 0.00 | 0.000 (12) |
| 21 | 100 | 30 | 8.04 | 779.62 | 785 | 5406 | 0.000000 | 0.00 | 0.000 (12) |

Fondazione

Apertura limite fessure $w_{lim}=0.30$

| n° | B [cm] | H [cm] | Af [cmq] | Aeff [cmq] | M [kgm] | Mpf [kgm] | ε [%] | Sm [mm] | w [mm] |
|----|-----------|-----------|-------------|---------------|------------|--------------|----------|------------|------------|
| 1 | 100 | 40 | 0.00 | 0.00 | 0 | 0 | --- | --- | 0.000 (12) |
| 2 | 100 | 40 | 8.04 | 950.00 | 12 | 9338 | 0.000000 | 0.00 | 0.000 (12) |
| 3 | 100 | 40 | 8.04 | 950.00 | 48 | 9338 | 0.000000 | 0.00 | 0.000 (12) |
| 4 | 100 | 40 | 8.04 | 950.00 | 109 | 9338 | 0.000000 | 0.00 | 0.000 (12) |
| 5 | 100 | 40 | 8.04 | 950.00 | 196 | 9338 | 0.000000 | 0.00 | 0.000 (12) |
| 6 | 100 | 40 | 8.04 | 950.00 | 310 | 9338 | 0.000000 | 0.00 | 0.000 (12) |
| 7 | 100 | 40 | 8.04 | 950.00 | 450 | 9338 | 0.000000 | 0.00 | 0.000 (12) |
| 8 | 100 | 40 | 8.04 | 950.00 | -227 | -9338 | 0.000000 | 0.00 | 0.000 (12) |
| 9 | 100 | 40 | 8.04 | 950.00 | -172 | -9338 | 0.000000 | 0.00 | 0.000 (12) |
| 10 | 100 | 40 | 8.04 | 950.00 | -125 | -9338 | 0.000000 | 0.00 | 0.000 (12) |
| 11 | 100 | 40 | 8.04 | 950.00 | -86 | -9338 | 0.000000 | 0.00 | 0.000 (12) |
| 12 | 100 | 40 | 8.04 | 950.00 | -54 | -9338 | 0.000000 | 0.00 | 0.000 (12) |
| 13 | 100 | 40 | 8.04 | 950.00 | -30 | -9338 | 0.000000 | 0.00 | 0.000 (12) |
| 14 | 100 | 40 | 8.04 | 950.00 | -13 | -9338 | 0.000000 | 0.00 | 0.000 (12) |
| 15 | 100 | 40 | 8.04 | 950.00 | -3 | -9338 | 0.000000 | 0.00 | 0.000 (12) |
| 16 | 100 | 40 | 0.00 | 0.00 | 0 | 0 | --- | --- | 0.000 (12) |

| | | | |
|--------------------------------------|----------------------------------------------------------------------------------------------------------------------|----------------------------------------------------------------------------------|-------------|
| COMMITTENTE: Mecca Antonio | CODICE COMMESSA: | NOME ELABORATO: S1.5 - Relazione Geotecnica e delle Fondazioni | CONSULENTE: |
| DATA: Aprile 2023 | TITOLO: Lavori ultimazione di un fabbricato adibito ad albergo-ristorante– C.da Case Nuove Chicone Avigliano (PZ) | | |

Elenco ferri

Simbologia adottata

| | |
|--------------------|---------------------------------|
| n° | Indice del ferro |
| nf | numero ferri |
| D | diametro ferro espresso in [mm] |
| L | Lunghezza ferro espresso in [m] |
| P _{ferro} | Peso ferro espresso in [kg] |

Paramento

| n° | Tipo | nf | D [mm] | L [m] | P _f [kg] | P _{af} [kg] | V _{cls} [mc] |
|----|------------------------|----|-----------|----------|------------------------|-------------------------|--------------------------|
| 1 | Dritto inferiore | 4 | 16.00 | 1.48 | 2.33 | 9.33 | |
| 2 | Dritto superiore | 4 | 16.00 | 2.44 | 3.85 | 15.42 | |
| 3 | Dritto superiore | 4 | 16.00 | 1.48 | 2.33 | 9.33 | |
| 4 | Dritto inferiore | 4 | 16.00 | 2.44 | 3.85 | 15.42 | |
| 5 | Ripartitore | 12 | 10.00 | 1.00 | 0.62 | 7.40 | |
| 6 | Gancio | 12 | 10.00 | 0.41 | 0.25 | 3.02 | |
| | Totale al metro | | | | | 59.91 | 0.60 |
| | Totale | | | | | 59.91 | 0.60 |

Fondazione

| n° | Tipo | nf | D [mm] | L [m] | P _f [kg] | P _{af} [kg] | V _{cls} [mc] |
|----|------------------------|----|-----------|----------|------------------------|-------------------------|--------------------------|
| 1 | Dritto superiore | 4 | 16.00 | 2.58 | 4.08 | 16.31 | |
| 2 | Dritto inferiore | 4 | 16.00 | 2.58 | 4.08 | 16.31 | |
| 3 | Ripartitore | 10 | 10.00 | 1.00 | 0.62 | 6.17 | |
| 4 | Gancio | 10 | 10.00 | 0.51 | 0.31 | 3.13 | |
| | Totale al metro | | | | | 41.92 | 0.68 |
| | Totale | | | | | 37.28 | 0.68 |

Computo metrico

| | U.M. | Quantità | Prezzo unitario [Euro] | Importo [Euro] |
|----------------------------|------|----------|---------------------------|-------------------|
| Calcestruzzo in elevazione | [mc] | 0.60 | 72.30 | 43.38 |
| Calcestruzzo in fondazione | [mc] | 0.68 | 61.97 | 42.14 |
| Acciaio per armatura | [kg] | 97.19 | 0.90 | 87.47 |
| Casseformi | [mq] | 4.00 | 13.94 | 55.76 |
| Scavo a sezione obbligata | [mc] | 0.68 | 9.30 | 6.32 |
| Totale muro | | | | 235.07 |
| Totale | | | | 235.07 |

Relazione Geotecnica e delle Fondazioni

Dichiarazioni secondo N.T.C. 2018 (punto 10.2)

Analisi e verifiche svolte con l'ausilio di codici di calcolo

Il sottoscritto, in qualità di calcolatore delle opere in progetto, dichiara quanto segue.

Tipo di analisi svolta

L'analisi strutturale e le verifiche sono condotte con l'ausilio di un codice di calcolo automatico. La verifica della sicurezza degli elementi strutturali è stata valutata con i metodi della scienza delle costruzioni.

Il calcolo dei muri di sostegno viene eseguito secondo le seguenti fasi:

- Calcolo della spinta del terreno
- Verifica a ribaltamento
- Verifica a scorrimento del muro sul piano di posa
- Verifica della stabilità complessa fondazione terreno (carico limite)
- Verifica della stabilità globale
- Calcolo delle sollecitazioni sia del muro che della fondazione, progetto delle armature e relative verifiche dei materiali.

L'analisi strutturale sotto le azioni sismiche è condotta con il metodo dell'analisi statica equivalente secondo le disposizioni del capitolo 7 del D.M. 17/01/2018.

La verifica delle sezioni degli elementi strutturali è eseguita con il metodo degli Stati Limite. Le combinazioni di carico adottate sono esaustive relativamente agli scenari di carico più gravosi cui l'opera sarà soggetta.

Origine e caratteristiche dei codici di calcolo

| | |
|------------|-------------------------------------------------------------------|
| Titolo | MAX - Analisi e Calcolo Muri di Sostegno |
| Versione | 16.0 |
| Produttore | Aztec Informatica srl, Casali del Manco - loc. Casole Bruzio (CS) |
| Utente | ING. LISANTI VITO |
| Licenza | AIU5936U5 |

Affidabilità dei codici di calcolo

Un attento esame preliminare della documentazione a corredo del software ha consentito di valutarne l'affidabilità. La documentazione fornita dal produttore del software contiene un'esauriente descrizione delle basi teoriche, degli algoritmi impiegati e l'individuazione dei campi d'impiego. La società produttrice Aztec Informatica srl ha verificato l'affidabilità e la robustezza del codice di calcolo attraverso un numero significativo di casi prova in cui i risultati dell'analisi numerica sono stati confrontati con soluzioni teoriche.

Modalità di presentazione dei risultati

La relazione di calcolo strutturale presenta i dati di calcolo tale da garantirne la leggibilità, la corretta interpretazione e la riproducibilità. La relazione di calcolo illustra in modo esaustivo i dati in ingresso ed i risultati delle analisi in forma tabellare.

Informazioni generali sull'elaborazione

Il software prevede una serie di controlli automatici che consentono l'individuazione di errori di modellazione, di non rispetto di limitazioni geometriche e di armatura e di presenza di elementi non verificati. Il codice di calcolo consente di visualizzare e controllare, sia in forma grafica che tabellare, i dati del modello strutturale, in modo da avere una visione consapevole del comportamento corretto del modello strutturale.

SEZIONE H

Normative di riferimento

- Legge nr. 1086 del 05/11/1971.
Norme per la disciplina delle opere in conglomerato cementizio, normale e precompresso ed a struttura metallica.
- Legge nr. 64 del 02/02/1974.
Provvedimenti per le costruzioni con particolari prescrizioni per le zone sismiche.
- D.M. LL.PP. del 11/03/1988.
Norme tecniche riguardanti le indagini sui terreni e sulle rocce, la stabilità dei pendii naturali e delle scarpate, i criteri generali e le prescrizioni per la progettazione, l'esecuzione e il collaudo delle opere di sostegno delle terre e delle opere di fondazione.
- D.M. LL.PP. del 14/02/1992.
Norme tecniche per l'esecuzione delle opere in cemento armato normale e precompresso e per le strutture metalliche.
- D.M. 9 Gennaio 1996
Norme Tecniche per il calcolo, l'esecuzione ed il collaudo delle strutture in cemento armato normale e precompresso e per le strutture metalliche
- D.M. 16 Gennaio 1996
Norme Tecniche relative ai 'Criteri generali per la verifica di sicurezza delle costruzioni e dei carichi e sovraccarichi'

| | | | |
|--------------------------------------|------------------------------------------------------------------------------------------------------------------------------|----------------------------------------------------------------------------------|-------------|
| COMMITTENTE: Mecca Antonio | CODICE COMMESSA: | NOME ELABORATO: S1.5 - Relazione Geotecnica e delle Fondazioni | CONSULENTE: |
| DATA: Aprile 2023 | TITOLO: Lavori ultimazione di un fabbricato adibito ad albergo-ristorante– C.da Case Nuove Chicone Avigliano (PZ) | | |

- D.M. 16 Gennaio 1996

Norme Tecniche per le costruzioni in zone sismiche

- Circolare Ministero LL.PP. 15 Ottobre 1996 N. 252 AA.GG./S.T.C.

Istruzioni per l'applicazione delle Norme Tecniche di cui al D.M. 9 Gennaio 1996

- Circolare Ministero LL.PP. 10 Aprile 1997 N. 65/AA.GG.

Istruzioni per l'applicazione delle Norme Tecniche per le costruzioni in zone sismiche di cui al D.M. 16 Gennaio 1996

- Norme Tecniche per le Costruzioni 2018 (D.M. 17 Gennaio 2018)

- Circolare C.S.LL.PP. 21/01/2019 n.7 - Istruzioni per l'applicazione dell'Aggiornamento delle Norme tecniche per le costruzioni di cui al D.M. 17 gennaio 2018

Relazione Geotecnica e delle Fondazioni

Richiami teorici

Il calcolo dei muri di sostegno viene eseguito secondo le seguenti fasi:

- Calcolo della spinta del terreno
- Verifica a ribaltamento
- Verifica a scorrimento del muro sul piano di posa
- Verifica della stabilità complesso fondazione terreno (carico limite)
- Verifica della stabilità globale

Se il muro è in calcestruzzo armato: Calcolo delle sollecitazioni sia del muro che della fondazione, progetto delle armature e relative verifiche dei materiali.

Se il muro è a gravità: Calcolo delle sollecitazioni sia del muro che della fondazione e verifica in diverse sezioni al ribaltamento, allo scorrimento ed allo schiacciamento.

Calcolo della spinta sul muro

Valori caratteristici e valori di calcolo

Effettuando il calcolo tramite gli Eurocodici è necessario fare la distinzione fra i parametri caratteristici ed i valori di calcolo (o di progetto) sia delle azioni che delle resistenze.

I valori di calcolo si ottengono dai valori caratteristici mediante l'applicazione di opportuni coefficienti di sicurezza parziali γ . In particolare si distinguono combinazioni di carico di tipo **A1-M1** nelle quali vengono incrementati i carichi e lasciati inalterati i parametri di resistenza del terreno e combinazioni di carico di tipo **A2-M2** nelle quali vengono ridotti i parametri di resistenza del terreno e incrementati i soli carichi variabili.

Metodo di Coulomb

La teoria di Coulomb considera l'ipotesi di un cuneo di spinta a monte del muro che si muove rigidamente lungo una superficie di rottura rettilinea. Dall'equilibrio del cuneo si ricava la spinta che il terreno esercita sull'opera di sostegno. In particolare Coulomb ammette, al contrario della teoria di Rankine, l'esistenza di attrito fra il terreno e il paramento del muro, e quindi la retta di spinta risulta inclinata rispetto alla normale al paramento stesso di un angolo di attrito terra-muro.

L'espressione della spinta esercitata da un terrapieno, di peso di volume γ , su una parete di altezza H , risulta espressa secondo la teoria di Coulomb dalla seguente relazione

$$S = \frac{1}{2} \gamma H^2 K_a$$

K_a rappresenta il coefficiente di spinta attiva di Coulomb nella versione riveduta da Muller-Breslau, espresso come

$$K_a = \frac{\sin(\alpha + \varphi)}{\sin^2 \alpha \sin(\alpha - \delta) \left[1 + \sqrt{\frac{\sin(\varphi + \delta) \sin(\varphi - \beta)}{\sin(\alpha - \delta) \sin(\alpha + \beta)}} \right]^2}$$

dove ϕ è l'angolo d'attrito del terreno, α rappresenta l'angolo che la parete forma con l'orizzontale ($\alpha = 90^\circ$ per parete verticale), δ è l'angolo d'attrito terreno-parete, β è l'inclinazione del terrapieno rispetto all'orizzontale.

La spinta risulta inclinata dell'angolo d'attrito terreno-parete δ rispetto alla normale alla parete.

Il diagramma delle pressioni del terreno sulla parete risulta triangolare con il vertice in alto. Il punto di applicazione della spinta si trova in corrispondenza del baricentro del diagramma delle pressioni ($1/3 H$ rispetto alla base della parete). L'espressione di K_a perde di significato per $\beta > \phi$. Questo coincide con quanto si intuisce fisicamente: la pendenza del terreno a monte della parete non può superare l'angolo di natural declivio del terreno stesso.

Nel caso in cui il terrapieno sia gravato di un sovraccarico uniforme Q l'espressione della pressione e della spinta diventano

$$\sigma_a = (\gamma z + q) K_a$$

$$S = \frac{1}{2} \gamma H^2 K_a$$

Al carico Q corrisponde un diagramma delle pressioni rettangolare con risultante applicata a $1/2H$.

Nel caso di terreno dotato di coesione c l'espressione della pressione esercitata sulla parete, alla generica profondità z , diventa

$$\sigma_a = \gamma z K_a - 2c \sqrt{K_a}$$

| | | | |
|--------------------------------------|------------------------------------------------------------------------------------------------------------------------------|----------------------------------------------------------------------------------|-------------|
| COMMITTENTE: Mecca Antonio | CODICE COMMESSA: | NOME ELABORATO: S1.5 - Relazione Geotecnica e delle Fondazioni | CONSULENTE: |
| DATA: Aprile 2023 | TITOLO: Lavori ultimazione di un fabbricato adibito ad albergo-ristorante– C.da Case Nuove Chicone Avigliano (PZ) | | |

Al diagramma triangolare, espresso dal termine $\gamma z K_a$, si sottrae il diagramma rettangolare legato al termine con la coesione. La pressione σ_a risulta negativa per valori di z minori di

$$h_c = \frac{2c}{\gamma \sqrt{K_a}}$$

La grandezza h_c è detta altezza critica e rappresenta la profondità di potenziale frattura del terreno. E' chiaro che se l'altezza della parete è inferiore ad h_c non abbiamo nessuna spinta sulla parete.

Spinta in presenza di falda

Nel caso in cui a monte della parete sia presente la falda il diagramma delle pressioni risulta modificato a causa della sottospinta che l'acqua esercita sul terreno. Il peso di volume del terreno al di sopra della linea di falda non subisce variazioni. Viceversa, al di sotto del livello di falda va considerato il peso di volume efficace

$$\gamma' = \gamma_{sat} - \gamma_w$$

dove γ_{sat} è il peso di volume saturo del terreno (dipendente dall'indice dei pori) e γ_w è il peso specifico dell'acqua. Quindi il diagramma delle pressioni al di sotto della linea di falda ha una pendenza minore. Al diagramma così ottenuto va sommato il diagramma triangolare legato alla pressione esercitata dall'acqua.

Spinta in presenza di sisma

Per tener conto dell'incremento di spinta dovuta al sisma si fa riferimento al metodo di Mononobe-Okabe (cui fa riferimento la Normativa Italiana).

La Normativa Italiana suggerisce di tener conto di un incremento di spinta dovuto al sisma nel modo seguente.

Detta ε l'inclinazione del terrapieno rispetto all'orizzontale e β l'inclinazione della parete rispetto alla verticale, si calcola la spinta S' considerando un'inclinazione del terrapieno e della parte pari a

$$\varepsilon' = \varepsilon + \theta \quad \beta' = \beta + \theta$$

dove $\theta = \arctg(k_h/(1 \pm k_v))$ essendo k_h il coefficiente sismico orizzontale e k_v il coefficiente sismico verticale, definito in funzione di k_h .

In presenza di falda a monte, θ assume le seguenti espressioni:

Terreno a bassa permeabilità

$$\theta = \arctan\left(\frac{\gamma_{sat}}{\gamma_{sat} - \gamma_w} \frac{k_h}{1 \pm k_v}\right)$$

Terreno a permeabilità elevata

$$\theta = \arctan\left(\frac{\gamma}{\gamma_{sat} - \gamma_w} \frac{k_h}{1 \pm k_v}\right)$$

Detta S la spinta calcolata in condizioni statiche l'incremento di spinta da applicare è espresso da

$$\Delta S = AS' - S$$

dove il coefficiente A vale

$$A = \frac{\cos^2(\beta + \theta)}{\cos^2 \beta \cos \theta}$$

In presenza di falda a monte, nel coefficiente A si tiene conto dell'influenza dei pesi di volume nel calcolo di θ .

Adottando il metodo di Mononobe-Okabe per il calcolo della spinta, il coefficiente A viene posto pari a 1.

Tale incremento di spinta è applicato a metà altezza della parete di spinta nel caso di forma rettangolare del diagramma di incremento sismico, allo stesso punto di applicazione della spinta statica nel caso in cui la forma del diagramma di incremento sismico è uguale a quella del diagramma statico.

Oltre a questo incremento bisogna tener conto delle forze d'inerzia orizzontali e verticali che si destano per effetto del sisma. Tali forze vengono valutate come

$$F_{IH} = k_h W \quad F_{IV} = \pm k_v W$$

Relazione Geotecnica e delle Fondazioni

dove W è il peso del muro, del terreno soprastante la mensola di monte ed i relativi sovraccarichi e va applicata nel baricentro dei pesi.

Verifica a ribaltamento

La verifica a ribaltamento consiste nel determinare il momento risultante di tutte le forze che tendono a fare ribaltare il muro (momento ribaltante M_r) ed il momento risultante di tutte le forze che tendono a stabilizzare il muro (momento stabilizzante M_s) rispetto allo spigolo a valle della fondazione e verificare che il rapporto M_s/M_r sia maggiore di un determinato coefficiente di sicurezza η_r .

Deve quindi essere verificata la seguente disequaglianza:

$$\frac{M_s}{M_r} \geq \eta_r$$

Il momento ribaltante M_r è dato dalla componente orizzontale della spinta S , dalle forze di inerzia del muro e del terreno gravante sulla fondazione di monte (caso di presenza di sisma) per i rispettivi bracci. Nel momento stabilizzante interviene il peso del muro (applicato nel baricentro) ed il peso del terreno gravante sulla fondazione di monte. Per quanto riguarda invece la componente verticale della spinta essa sarà stabilizzante se l'angolo d'attrito terra-muro δ è positivo, ribaltante se δ è negativo. δ è positivo quando è il terrapieno che scorre rispetto al muro, negativo quando è il muro che tende a scorrere rispetto al terrapieno (questo può essere il caso di una spalla da ponte gravata da carichi notevoli). Se sono presenti dei tiranti essi contribuiscono al momento stabilizzante.

Questa verifica ha significato solo per fondazione superficiale e non per fondazione su pali.

Verifica a scorrimento

Per la verifica a scorrimento del muro lungo il piano di fondazione deve risultare che la somma di tutte le forze parallele al piano di posa che tendono a fare scorrere il muro deve essere minore di tutte le forze, parallele al piano di scorrimento, che si oppongono allo scivolamento, secondo un certo coefficiente di sicurezza. La verifica a scorrimento risulta soddisfatta se il rapporto fra la risultante delle forze resistenti allo scivolamento F_r e la risultante delle forze che tendono a fare scorrere il muro F_s risulta maggiore di un determinato coefficiente di sicurezza η_s .

$$\frac{F_r}{F_s} \geq \eta_s$$

Le forze che intervengono nella F_s sono: la componente della spinta parallela al piano di fondazione e la componente delle forze d'inerzia parallela al piano di fondazione.

La forza resistente è data dalla resistenza d'attrito e dalla resistenza per adesione lungo la base della fondazione. Detta N la componente normale al piano di fondazione del carico totale gravante in fondazione e indicando con δ_f l'angolo d'attrito terreno-fondazione, con c_a l'adesione terreno-fondazione e con B_f la larghezza della fondazione reagente, la forza resistente può esprimersi come

$$F_r = N \tan \delta_f + c_a B_f$$

La Normativa consente di computare, nelle forze resistenti, una aliquota dell'eventuale spinta dovuta al terreno posto a valle del muro. In tal caso, però, il coefficiente di sicurezza deve essere aumentato opportunamente. L'aliquota di spinta passiva che si può considerare ai fini della verifica a scorrimento non può comunque superare il 50 per cento.

Per quanto riguarda l'angolo d'attrito terra-fondazione, δ_f , diversi autori suggeriscono di assumere un valore di δ_f pari all'angolo d'attrito del terreno di fondazione.

Verifica al carico limite

Il rapporto fra il carico limite in fondazione e la componente normale della risultante dei carichi trasmessi dal muro sul terreno di fondazione deve essere superiore a η_q . Cioè, detto Q_u , il carico limite ed R la risultante verticale dei carichi in fondazione, deve essere:

$$\frac{Q_u}{R} \geq \eta_q$$

La formula di Vesic è analoga alla formula di Hansen. Cambia solo il fattore N_c , e l'espressione di alcuni coefficienti. Di seguito sono riportate per intero tutte le espressioni.

Caso generale $\phi > 0$

$$q_u = c N_c s_c d_c i_c g_c b_c + q N_q s_q d_q i_q g_q b_q + 0.5 B \gamma N_\gamma s_\gamma d_\gamma i_\gamma g_\gamma b_\gamma$$

| | | | |
|--------------------------------------|------------------------------------------------------------------------------------------------------------------------------|----------------------------------------------------------------------------------|-------------|
| COMMITTENTE: Mecca Antonio | CODICE COMMESSA: | NOME ELABORATO: S1.5 - Relazione Geotecnica e delle Fondazioni | CONSULENTE: |
| DATA: Aprile 2023 | TITOLO: Lavori ultimazione di un fabbricato adibito ad albergo-ristorante– C.da Case Nuove Chicone Avigliano (PZ) | | |

Caso di terreno puramente coesivo $\phi=0$

$$q_u = 5.14 c_u \left(1 + s_c + d_c - i_c - g_c - b_c \right) + q$$

I fattori che compaiono in queste espressioni sono espressi da:

- N fattori di capacità portante
s fattori di forma
d fattori di profondità
i fattori di inclinazione del carico
b fattori di inclinazione del piano di fondazione (base inclinata), con η inclinazione del piano di posa
g fattori di inclinazione del terreno (fondazione su pendio), con β pendenza del pendio

| | | | | |
|------------------------------------------------------------------|---------------|------------------------------------------|---------------------------------------------------------------------------|----------------------------------------------------------------------------------|
| Fattori di capacità portante | | $N_c = (N_q - 1) \cot \varphi$ | $N_q = e^{K \tan \varphi} K_p$ | $N_\gamma = 2(N_q + 1) \tan \varphi$ |
| Fattori di forma | $\varphi = 0$ | $s_c = 0.2 \frac{B}{L}$ | | |
| | $\varphi > 0$ | $s_c = 1 + \frac{N_q B}{N_c L}$ | $s_q = 1 + \frac{B}{L} \tan \varphi$ | $s_\gamma = 1 - 0.4 \frac{B}{L}$ |
| Fattori di profondità | $\varphi = 0$ | $d_c = 0.4k$ | | |
| | $\varphi > 0$ | $d_c = 1 + 0.4k$ | $d_q = 1 + 2 \tan \varphi (1 - \sin \varphi)^2 k$ | $d_\gamma = 1$ |
| Fattori di inclinazione del carico | $\varphi = 0$ | $i_c = 1 - \frac{mH}{\lambda_y c_u N_c}$ | | |
| | $\varphi > 0$ | $i_c = i_q - \frac{1 - i_q}{N_q - 1}$ | $i_q = \left(1 - \frac{H}{V + \lambda_y c_u \cot \varphi} \right)^{100}$ | $i_\gamma = \left(1 - \frac{H}{V + \lambda_y c_u \cot \varphi} \right)^{100+1}$ |
| Fattori di inclinazione del piano di fondazione (base inclinata) | $\varphi = 0$ | $b_c = \frac{\eta^2}{147^\circ}$ | | |
| | $\varphi > 0$ | $b_c = 1 - \frac{\eta^2}{147^\circ}$ | $b_q = (1 - \eta \tan \varphi)^2$ | $b_\gamma = (1 - \eta \tan \varphi)^2$ |
| Fattori di inclinazione del terreno (fondazione su pendio) | $\varphi = 0$ | $g_c = \frac{\beta^2}{147^\circ}$ | | |
| | $\varphi > 0$ | $g_c = 1 - \frac{\beta^2}{147^\circ}$ | $g_q = (1 - \tan \beta)^2$ | $g_\gamma = (1 - \tan \beta)^2$ |

Indichiamo con K_p il coefficiente di spinta passiva espresso da:

$$K_p = \tan^2 \left(45^\circ + \frac{\varphi}{2} \right)$$

Dove i coeff. k e m assumono le seguenti espressioni:

| | | |
|-------------------------------------------|------------------------------------------------|-----------------------------------------------|
| $k = \frac{u}{a}$ se $\frac{u}{a} \leq 1$ | $k = \arctan \frac{u}{a}$ se $\frac{u}{a} > 1$ | $m = \frac{2 + \frac{B}{L}}{1 + \frac{B}{L}}$ |
|-------------------------------------------|------------------------------------------------|-----------------------------------------------|

Per poter applicare la formula di Vesic devono risultare verificate le seguenti condizioni:

| | | | |
|-------------------------------------|----------------------|---------------------|------------------------------|
| $H < V \tan \delta + \lambda_y c_u$ | $\beta \leq \varphi$ | $i_q, i_\gamma > 0$ | $\beta + \eta \leq 90^\circ$ |
|-------------------------------------|----------------------|---------------------|------------------------------|

Riduzione per eccentricità del carico

Nel caso in cui il carico al piano di posa della fondazione risulta eccentrico, Meyerhof propone di moltiplicare la capacità portante ultima per un fattore correttivo R_e

| | |
|----------------------------------|------------------------|
| $R_e = 1.0 - 2.0 \frac{e}{B}$ | per terreni coesivi |
| $R_e = 1.0 - \sqrt{\frac{e}{B}}$ | per terreni incoerenti |

con e eccentricità del carico e B la dimensione minore della fondazione.

Riduzione per effetto piastra

Per valori elevati di B (dimensione minore della fondazione), Bowles propone di utilizzare un fattore correttivo r_f del solo termine sul peso di volume ($0.5 B \gamma N_\gamma$) quando B supera i 2 m.

Relazione Geotecnica e delle Fondazioni

$$r_v = 1.0 - 0.25 \log \frac{B}{2.0}$$

Il termine sul peso di volume diventa:

$$0.5B\gamma N_v r_v$$

Verifica alla stabilità globale

La verifica alla stabilità globale del complesso muro+terreno deve fornire un coefficiente di sicurezza non inferiore a η_g .

Viene usata la tecnica della suddivisione a strisce della superficie di scorrimento da analizzare. La superficie di scorrimento viene supposta circolare e determinata in modo tale da non avere intersezione con il profilo del muro.

Si adotta per la verifica di stabilità globale il metodo di Bishop.

Il coefficiente di sicurezza nel metodo di Bishop si esprime secondo la seguente formula:

$$\eta = \frac{\sum_{i=0}^n \left[\frac{c_i b_i + (W_i - u_i b_i) \tan \phi_i}{m} \right]}{\sum_{i=0}^n W_i \sin \alpha_i}$$

dove il termine m è espresso da

$$m = \left(1 + \frac{\tan \phi_i \tan \alpha_i}{\eta} \right) \cos \alpha_i$$

In questa espressione n è il numero delle strisce considerate, b_i e α_i sono la larghezza e l'inclinazione della base della striscia i -esima rispetto all'orizzontale, W_i è il peso della striscia i -esima, c_i e ϕ_i sono le caratteristiche del terreno (coesione ed angolo di attrito) lungo la base della striscia ed u_i è la pressione neutra lungo la base della striscia.

L'espressione del coefficiente di sicurezza di Bishop contiene al secondo membro il termine m che è funzione di η . Quindi essa è risolta per successive approssimazioni assumendo un valore iniziale per η da inserire nell'espressione di m ed iterare fin quando il valore calcolato coincide con il valore assunto.

| | | | |
|--------------------------------------|------------------------------------------------------------------------------------------------------------------------------|----------------------------------------------------------------------------------|-------------|
| COMMITTENTE: Mecca Antonio | CODICE COMMESSA: | NOME ELABORATO: S1.5 - Relazione Geotecnica e delle Fondazioni | CONSULENTE: |
| DATA: Aprile 2023 | TITOLO: Lavori ultimazione di un fabbricato adibito ad albergo-ristorante- C.da Case Nuove Chicone Avigliano (PZ) | | |

Dati

Materiali

Simbologia adottata

| | |
|----------------------------|-----------------------------------------------------------------------------|
| n° | Indice materiale |
| Descr | Descrizione del materiale |
| <u>Calcestruzzo armato</u> | |
| C | Classe di resistenza del cls |
| A | Classe di resistenza dell'acciaio |
| γ | Peso specifico, espresso in [kg/mc] |
| R_{ck} | Resistenza caratteristica a compressione, espressa in [kg/cm ²] |
| E | Modulo elastico, espresso in [kg/cm ²] |
| ν | Coeff. di Poisson |
| n | Coeff. di omogenizzazione acciaio/cls |
| ntc | Coeff. di omogenizzazione cls teso/compresso |

Calcestruzzo armato

| n° | Descr | C | A | γ [kg/mc] | R_{ck} [kg/cm ²] | E [kg/cm ²] | ν | n | ntc |
|----|--------|--------|-------|---------------------|-----------------------------------|----------------------------|-------|-------|------|
| 1 | C25/30 | C25/30 | B450C | 2500.00 | 305.91 | 320666 | 0.30 | 15.00 | 0.50 |

Acciai

| Descr | f_{yk} [kg/cm ²] | f_{uk} [kg/cm ²] |
|-------|-----------------------------------|-----------------------------------|
| B450C | 4588.65 | 5506.38 |

Geometria profilo terreno a monte del muro

Simbologia adottata

(Sistema di riferimento con origine in testa al muro, ascissa X positiva verso monte, ordinata Y positiva verso l'alto)

| | |
|----|-----------------------------------------|
| n° | numero ordine del punto |
| X | ascissa del punto espressa in [m] |
| Y | ordinata del punto espressa in [m] |
| A | inclinazione del tratto espressa in [°] |

| n° | X [m] | Y [m] | A [°] |
|----|----------|----------|----------|
| 1 | 0.00 | 0.00 | 0.000 |
| 2 | 0.26 | 0.00 | 0.000 |
| 3 | 0.40 | 0.00 | 0.000 |
| 4 | 1.80 | 0.00 | 0.000 |
| 5 | 3.20 | 0.00 | 0.000 |
| 6 | 5.00 | 0.00 | 0.000 |
| 7 | 6.00 | 0.00 | 0.000 |
| 8 | 6.40 | 0.00 | 0.000 |
| 9 | 7.00 | 0.00 | 0.000 |

Inclinazione terreno a valle del muro rispetto all'orizzontale 0.000 [°]

Geometria muro

Geometria paramento e fondazione

| | | |
|----------------------------------------|--------|-----|
| Lunghezza muro | 10.00 | [m] |
| <u>Paramento</u> | | |
| Materiale | C25/30 | |
| Altezza paramento | 2.65 | [m] |
| Altezza paramento libero | 2.35 | [m] |
| Spessore in sommità | 0.30 | [m] |
| Spessore all'attacco con la fondazione | 0.30 | [m] |
| Inclinazione paramento esterno | 0.00 | [°] |
| Inclinazione paramento interno | 0.00 | [°] |

Relazione Geotecnica e delle Fondazioni

Fondazione

| | | |
|----------------------------|--------|-----|
| Materiale | C25/30 | |
| Lunghezza mensola di valle | 0.60 | [m] |
| Lunghezza mensola di monte | 1.00 | [m] |
| Lunghezza totale | 1.90 | [m] |
| Inclinazione piano di posa | 0.00 | [°] |
| Spessore | 0.40 | [m] |
| Spessore magrone | 0.00 | [m] |

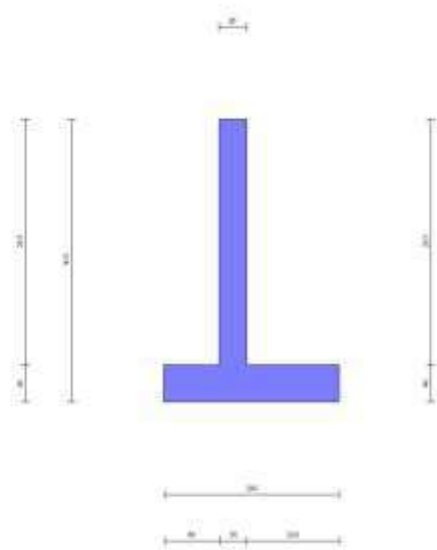


Fig. 1 - Sezione quotata del muro

Descrizione terreni

Parametri di resistenza

Simbologia adottata

| | |
|-------------------------------------------------------|-----------------------------------------------------------------------|
| n° | Indice del terreno |
| Descr | Descrizione terreno |
| γ | Peso di volume del terreno espresso in [kg/mc] |
| γ_s | Peso di volume saturo del terreno espresso in [kg/mc] |
| ϕ | Angolo d'attrito interno espresso in [°] |
| δ | Angolo d'attrito terra-muro espresso in [°] |
| c | Coesione espressa in [kg/cm ²] |
| c_a | Adesione terra-muro espressa in [kg/cm ²] |
| Per calcolo portanza con il metodo di Bustamante-Doix | |
| Cesp | Coeff. di espansione laterale (solo per il metodo di Bustamante-Doix) |
| τ_l | Tensione tangenziale limite, espressa in [kg/cm ²] |

| n° | Descr | γ [kg/mc] | γ_{sat} [kg/mc] | ϕ [°] | δ [°] | c [kg/cm ²] | c_a [kg/cm ²] | Cesp | τ_l [kg/cm ²] |
|----|---------|---------------------|---------------------------|---------------|-----------------|----------------------------|--------------------------------|------|-----------------------------------|
| 1 | Terreno | 2000.00 | 2000.00 | 30.000 | 20.000 | 0.05 | 0.03 | --- | --- |

Stratigrafia

Simbologia adottata

| | |
|-------------------------------------|----------------------------------------------------------------------------------------------|
| n° | Indice dello strato |
| H | Spessore dello strato espresso in [m] |
| α | Inclinazione espressa in [°] |
| Terreno | Terreno dello strato |
| Per calcolo pali (solo se presenti) | |
| Kw | Costante di Winkler orizzontale espressa in Kg/cm ² /cm |
| Ks | Coefficiente di spinta |
| Cesp | Coefficiente di espansione laterale (per tutti i metodi tranne il metodo di Bustamante-Doix) |

Per calcolo della spinta con coeff. di spinta definiti (usati solo se attiva l'opzione 'Usa coeff. di spinta da strato')

Kst_{sta}, Kst_{sis} Coeff. di spinta statico e sismico

| n° | H [m] | α [°] | Terreno | Kw [Kg/cm ²] | Ks | Cesp | Kst _{sta} | Kst _{sis} |
|----|----------|-----------------|---------|-----------------------------|----|------|--------------------|--------------------|
|----|----------|-----------------|---------|-----------------------------|----|------|--------------------|--------------------|

| | | | |
|--------------------------------------|------------------------------------------------------------------------------------------------------------------------------|----------------------------------------------------------------------------------|-------------|
| COMMITTENTE: Mecca Antonio | CODICE COMMESSA: | NOME ELABORATO: S1.5 - Relazione Geotecnica e delle Fondazioni | CONSULENTE: |
| DATA: Aprile 2023 | TITOLO: Lavori ultimazione di un fabbricato adibito ad albergo-ristorante- C.da Case Nuove Chicone Avigliano (PZ) | | |

| n° | H [m] | α [°] | Terreno | Kw [Kg/cm²] | Ks | Cesp | Kst _{sta} | Kst _{sis} |
|----|----------|-----------------|---------|----------------|-----|------|--------------------|--------------------|
| 1 | 2.65 | 0.000 | Terreno | --- | --- | --- | --- | --- |
| 2 | 6.00 | 0.000 | Terreno | --- | --- | --- | --- | --- |

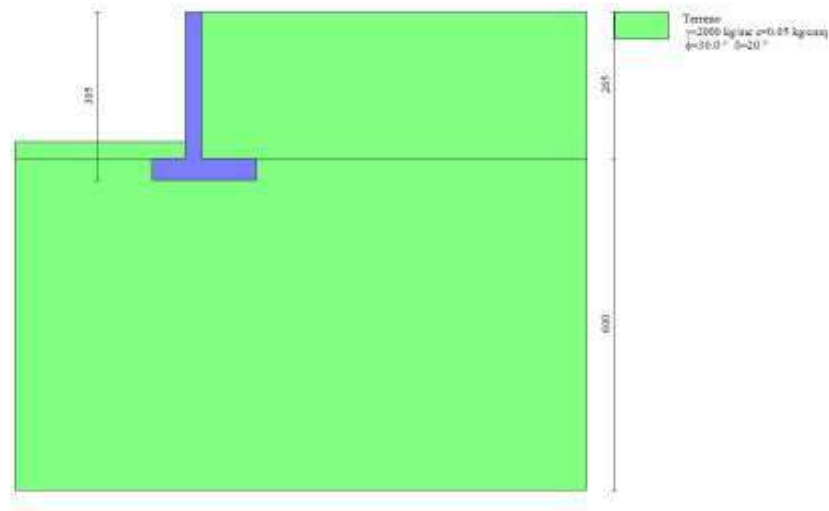


Fig. 2 - Stratigrafia

Normativa

Normativa usata: **Norme Tecniche sulle Costruzioni 2018 (D.M. 17.01.2018) + Circolare C.S.LL.PP. 21/01/2019 n.7**

Coeff. parziali per le azioni o per l'effetto delle azioni

| Carichi | Effetto | | Combinazioni statiche | | | | | Combinazioni sismiche | |
|----------------------------|-------------|---------------------|-----------------------|------|------|------|------|-----------------------|------|
| | | | UPL | EQU | A1 | A2 | EQU | A1 | A2 |
| Permanenti strutturali | Favorevoli | $\gamma_{G1, fav}$ | 0.90 | 1.00 | 1.00 | 1.00 | 1.00 | 1.00 | 1.00 |
| Permanenti strutturali | Sfavorevoli | $\gamma_{G1, sfav}$ | 1.10 | 1.30 | 1.30 | 1.00 | 1.00 | 1.00 | 1.00 |
| Permanenti non strutturali | Favorevoli | $\gamma_{G2, fav}$ | 0.80 | 0.80 | 0.80 | 0.80 | 0.00 | 0.00 | 0.00 |
| Permanenti non strutturali | Sfavorevoli | $\gamma_{G2, sfav}$ | 1.50 | 1.50 | 1.50 | 1.30 | 1.00 | 1.00 | 1.00 |
| Variabili | Favorevoli | $\gamma_{Q, fav}$ | 0.00 | 0.00 | 0.00 | 0.00 | 0.00 | 0.00 | 0.00 |
| Variabili | Sfavorevoli | $\gamma_{Q, sfav}$ | 1.50 | 1.50 | 1.50 | 1.30 | 1.00 | 1.00 | 1.00 |
| Variabili da traffico | Favorevoli | $\gamma_{OT, fav}$ | 0.00 | 0.00 | 0.00 | 0.00 | 0.00 | 0.00 | 0.00 |
| Variabili da traffico | Sfavorevoli | $\gamma_{OT, sfav}$ | 1.50 | 1.35 | 1.35 | 1.15 | 1.00 | 1.00 | 1.00 |

Coeff. parziali per i parametri geotecnici del terreno

| Parametro | | Combinazioni statiche | | Combinazioni sismiche | |
|---------------------------------|------------------------|-----------------------|------|-----------------------|------|
| | | M1 | M2 | M1 | M2 |
| Tangente dell'angolo di attrito | $\gamma_{\tan(\phi')}$ | 1.00 | 1.25 | 1.00 | 1.00 |
| Coesione efficace | γ_c | 1.00 | 1.25 | 1.00 | 1.00 |
| Resistenza non drenata | γ_{cu} | 1.00 | 1.40 | 1.00 | 1.00 |
| Peso nell'unità di volume | γ_γ | 1.00 | 1.00 | 1.00 | 1.00 |

Coeff. parziali γ_R per le verifiche agli stati limite ultimi STR e GEO

| Verifica | Combinazioni statiche | | | Combinazioni sismiche | | |
|----------------------------|-----------------------|------|------|-----------------------|------|------|
| | R1 | R2 | R3 | R1 | R2 | R3 |
| Capacità portante | -- | -- | 1.40 | -- | -- | 1.20 |
| Scorrimento | -- | -- | 1.10 | -- | -- | 1.00 |
| Resistenza terreno a valle | -- | -- | 1.40 | -- | -- | 1.20 |
| Ribaltamento | -- | -- | 1.15 | -- | -- | 1.00 |
| Stabilità fronte di scavo | -- | 1.10 | -- | -- | 1.20 | -- |

Descrizione combinazioni di carico

Con riferimento alle azioni elementari prima determinate, si sono considerate le seguenti combinazioni di carico:
- Combinazione fondamentale, impiegata per gli stati limite ultimi (SLU):

Relazione Geotecnica e delle Fondazioni

$$\gamma_{G1} G_1 + \gamma_{G2} G_2 + \gamma_{Q1} Q_{k1} + \gamma_{Q2} Q_{k2} + \gamma_{Q3} Q_{k3} + \dots$$

- Combinazione sismica, impiegata per gli stati limite ultimi connessi all'azione sismica E:

$$E + G_1 + G_2 + \Psi_{2,1} Q_{k1} + \Psi_{2,2} Q_{k2} + \Psi_{2,3} Q_{k3} + \dots$$

I valori dei coeff. $\Psi_{0,j}$, $\Psi_{1,j}$, $\Psi_{2,j}$ sono definiti nelle singole condizioni variabili.

I valori dei coeff. γ_G e γ_Q , sono definiti nella tabella normativa.

In particolare si sono considerate le seguenti combinazioni:

Simbologia adottata

γ Coefficiente di partecipazione della condizione
 Ψ Coefficiente di combinazione della condizione

Combinazione n° 1 - STR (A1-M1-R3)

| Condizione | γ | Ψ | Effetto |
|-----------------|----------|--------|-------------|
| Peso muro | 1.00 | -- | Favorevole |
| Peso terrapieno | 1.00 | -- | Favorevole |
| Spinta terreno | 1.30 | -- | Sfavorevole |

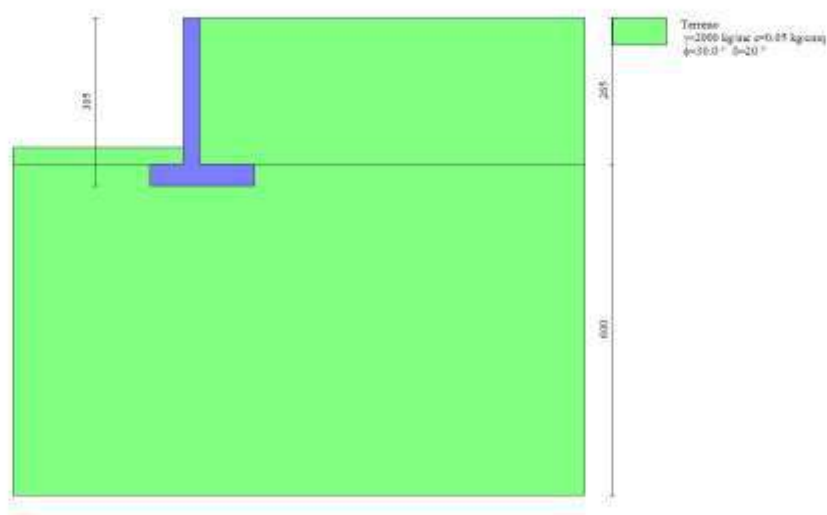


Fig. 3 -

Combinazione n° 2 - STR (A1-M1-R3) H + V

| Condizione | γ | Ψ | Effetto |
|-----------------|----------|--------|-------------|
| Peso muro | 1.00 | -- | Favorevole |
| Peso terrapieno | 1.00 | -- | Favorevole |
| Spinta terreno | 1.00 | -- | Sfavorevole |

| | | | |
|--------------------------------------|----------------------------------------------------------------------------------------------------------------------|----------------------------------------------------------------------------------|-------------|
| COMMITTENTE: Mecca Antonio | CODICE COMMESSA: | NOME ELABORATO: S1.5 - Relazione Geotecnica e delle Fondazioni | CONSULENTE: |
| DATA: Aprile 2023 | TITOLO: Lavori ultimazione di un fabbricato adibito ad albergo-ristorante- C.da Case Nuove Chicone Avigliano (PZ) | | |

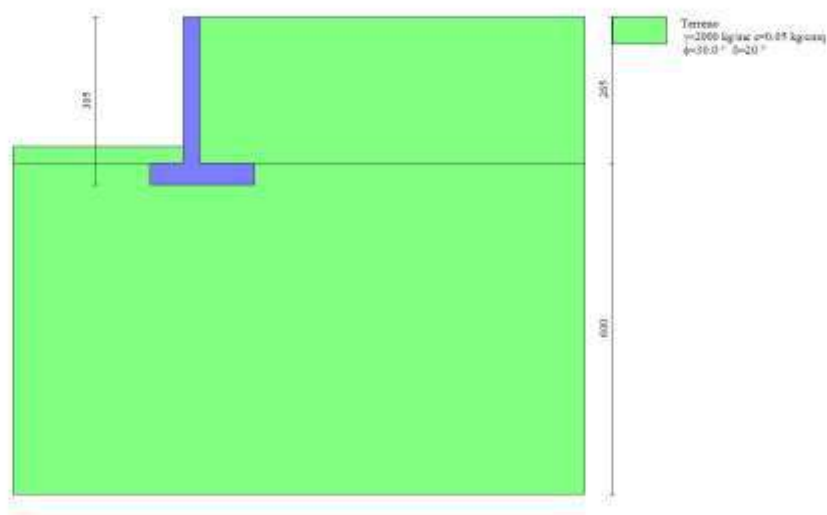


Fig. 4 - (Inviluppo)

Combinazione n° 3 - STR (A1-M1-R3) H - V

| Condizione | γ | Ψ | Effetto |
|-----------------|----------|--------|-------------|
| Peso muro | 1.00 | -- | Sfavorevole |
| Peso terrapieno | 1.00 | -- | Sfavorevole |
| Spinta terreno | 1.00 | -- | Sfavorevole |

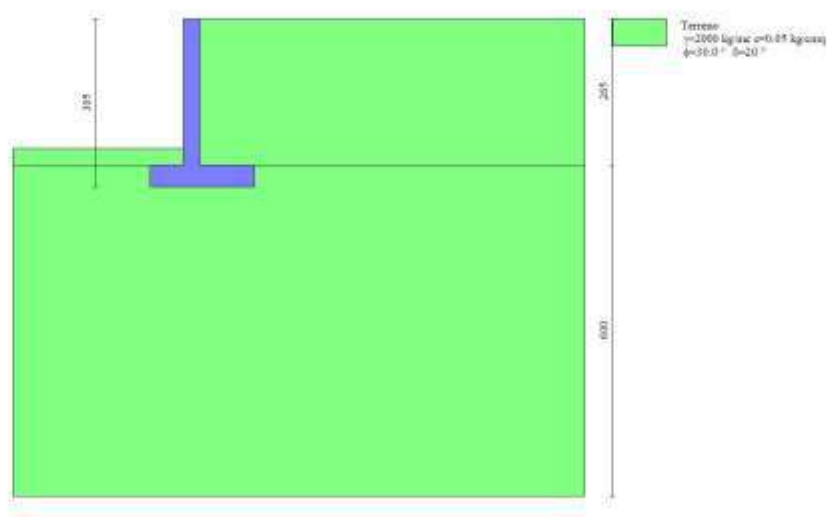


Fig. 5 - (Inviluppo)

Combinazione n° 4 - GEO (A2-M2-R2)

| Condizione | γ | Ψ | Effetto |
|-----------------|----------|--------|-------------|
| Peso muro | 1.00 | -- | Sfavorevole |
| Peso terrapieno | 1.00 | -- | Sfavorevole |
| Spinta terreno | 1.00 | -- | Sfavorevole |

Relazione Geotecnica e delle Fondazioni

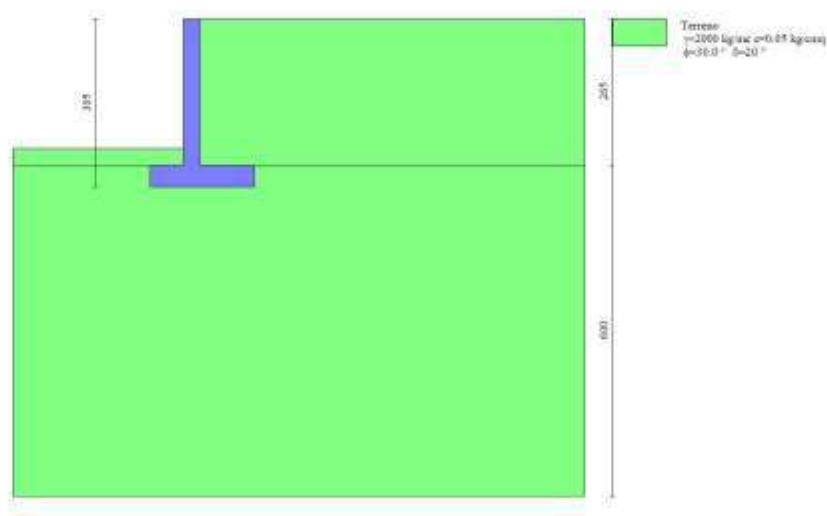


Fig. 6 - (Inviluppo)

Combinazione n° 5 - GEO (A2-M2-R2) H + V

| Condizione | γ | Ψ | Effetto |
|-----------------|----------|--------|-------------|
| Peso muro | 1.00 | -- | Sfavorevole |
| Peso terrapieno | 1.00 | -- | Sfavorevole |
| Spinta terreno | 1.00 | -- | Sfavorevole |

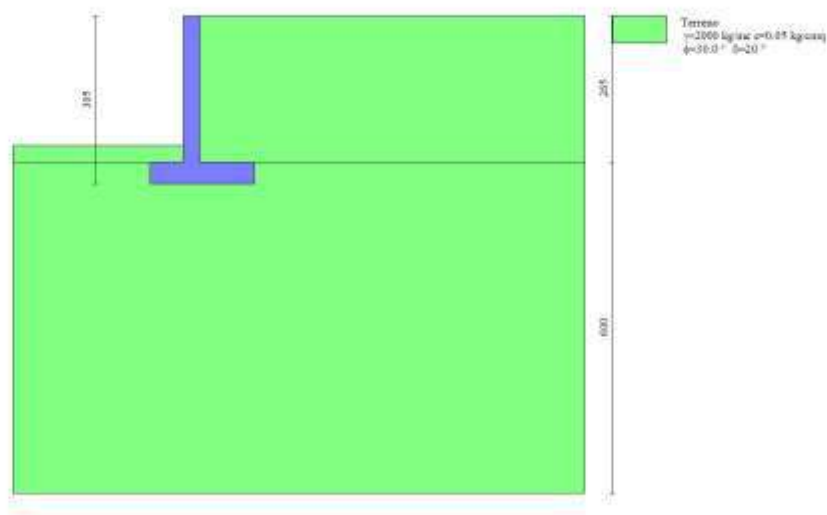


Fig. 7 - (Inviluppo)

Combinazione n° 6 - GEO (A2-M2-R2) H - V

| Condizione | γ | Ψ | Effetto |
|-----------------|----------|--------|-------------|
| Peso muro | 1.00 | -- | Sfavorevole |
| Peso terrapieno | 1.00 | -- | Sfavorevole |
| Spinta terreno | 1.00 | -- | Sfavorevole |

| | | | |
|--------------------------------------|----------------------------------------------------------------------------------------------------------------------|----------------------------------------------------------------------------------|-------------|
| COMMITTENTE: Mecca Antonio | CODICE COMMESSA: | NOME ELABORATO: S1.5 - Relazione Geotecnica e delle Fondazioni | CONSULENTE: |
| DATA: Aprile 2023 | TITOLO: Lavori ultimazione di un fabbricato adibito ad albergo-ristorante– C.da Case Nuove Chicone Avigliano (PZ) | | |

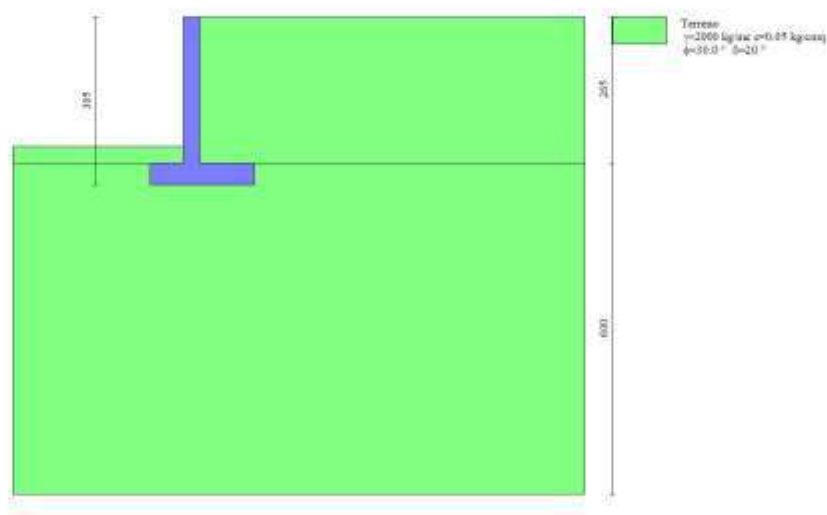


Fig. 8 - (Inviluppo)

Combinazione n° 7 - EQU (A1-M1-R3)

| Condizione | γ | Ψ | Effetto |
|-----------------|----------|--------|-------------|
| Peso muro | 1.00 | -- | Favorevole |
| Peso terrapieno | 1.00 | -- | Favorevole |
| Spinta terreno | 1.30 | -- | Sfavorevole |

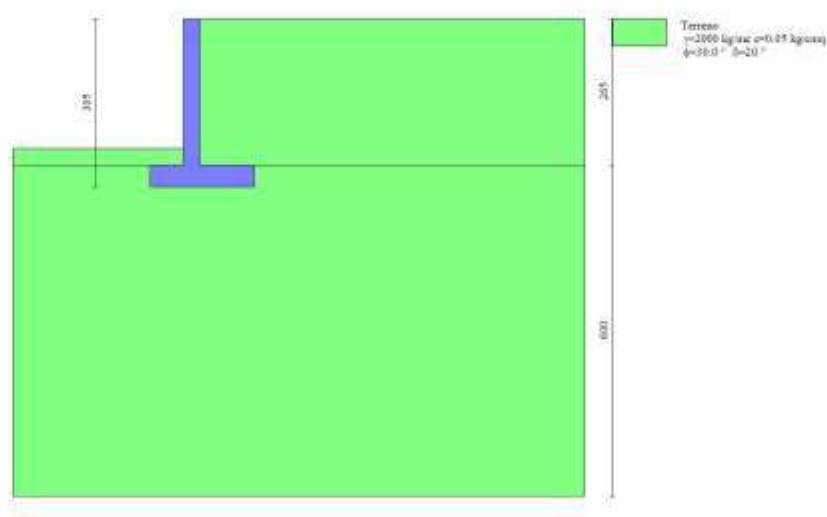


Fig. 9 - (Inviluppo)

Combinazione n° 8 - EQU (A1-M1-R3) H + V

| Condizione | γ | Ψ | Effetto |
|-----------------|----------|--------|-------------|
| Peso muro | 1.00 | -- | Favorevole |
| Peso terrapieno | 1.00 | -- | Favorevole |
| Spinta terreno | 1.00 | -- | Sfavorevole |

Relazione Geotecnica e delle Fondazioni

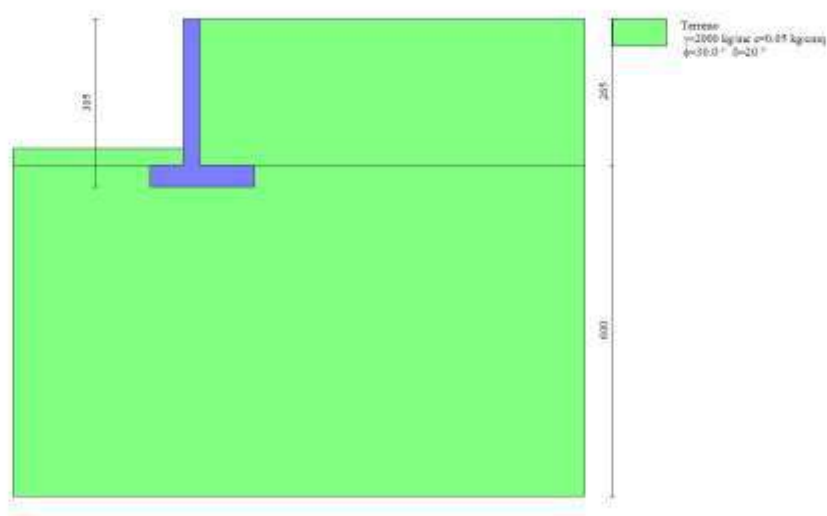


Fig. 10 - (Inviluppo)

Combinazione n° 9 - EQU (A1-M1-R3) H - V

| Condizione | γ | Ψ | Effetto |
|-----------------|----------|--------|-------------|
| Peso muro | 1.00 | -- | Favorevole |
| Peso terrapieno | 1.00 | -- | Favorevole |
| Spinta terreno | 1.00 | -- | Sfavorevole |

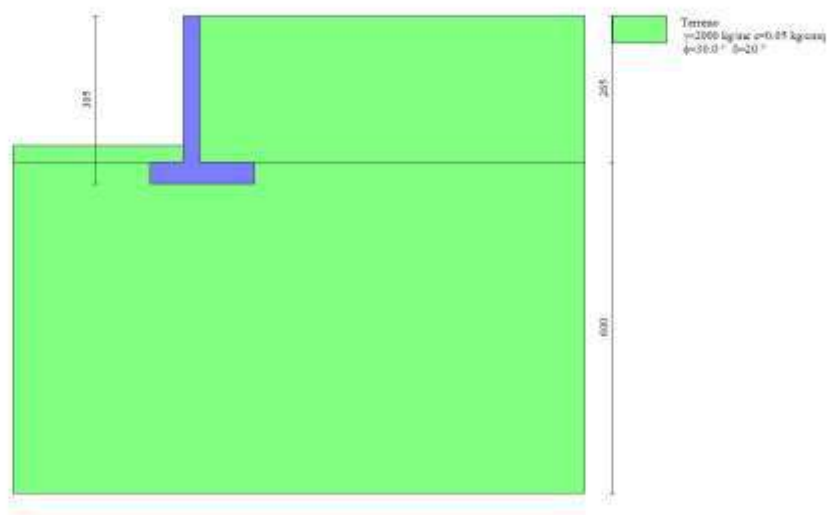


Fig. 11 - (Inviluppo)

Dati sismici

| | |
|--------------------------------|-------------------------------|
| Comune | Avigliano |
| Provincia | Potenza |
| Regione | Basilicata |
| Latitudine | 40.730796 |
| Longitudine | 15.721278 |
| Indice punti di interpolazione | 33667 - 33445 - 33444 - 33666 |
| Vita nominale | 50 anni |
| Classe d'uso | II |
| Tipo costruzione | Normali affollamenti |

| | | | |
|--------------------------------------|----------------------------------------------------------------------------------------------------------------------|----------------------------------------------------------------------------------|-------------|
| COMMITTENTE: Mecca Antonio | CODICE COMMESSA: | NOME ELABORATO: S1.5 - Relazione Geotecnica e delle Fondazioni | CONSULENTE: |
| DATA: Aprile 2023 | TITOLO: Lavori ultimazione di un fabbricato adibito ad albergo-ristorante– C.da Case Nuove Chicone Avigliano (PZ) | | |

Vita di riferimento

50 anni

| | Simbolo | U.M. | | SLU | SLE |
|-----------------------------------------------------------------|---------|---------------------|----|-------|-------|
| Accelerazione al suolo | a_g | [m/s ²] | | 1.859 | 0.668 |
| Accelerazione al suolo | a_g/g | [%] | | 0.190 | 0.068 |
| Massimo fattore amplificazione spettro orizzontale | F0 | | | 2.423 | 2.359 |
| Periodo inizio tratto spettro a velocità costante | Tc* | | | 0.412 | 0.322 |
| Tipo di sottosuolo - Coefficiente stratigrafico | Ss | | E | 1.495 | 1.600 |
| Categoria topografica - Coefficiente amplificazione topografica | St | | T1 | 1.000 | |

| Stato limite ... | Coeff. di riduzione β_m | kh [%] | kv [%] |
|-----------------------|-------------------------------|--------|--------|
| Ultimo | 0.380 | 10.765 | 5.382 |
| Ultimo - Ribaltamento | 0.570 | 16.147 | 8.074 |
| Esercizio | 0.470 | 5.119 | 2.559 |

Forma diagramma incremento sismico **Rettangolare**

Relazione Geotecnica e delle Fondazioni

Opzioni di calcolo

Spinta

| | |
|--------------------------------|---------------|
| Metodo di calcolo della spinta | Coulomb |
| Tipo di spinta | Spinta attiva |
| Terreno a bassa permeabilità | NO |
| Superficie di spinta limitata | NO |

Capacità portante

| | |
|---------------------------------------------------------------------------------------------------------------------|--------------------------------|
| Metodo di calcolo della portanza | Vesic |
| Criterio di media calcolo del terreno equivalente (terreni stratificati) | Ponderata |
| Criterio di riduzione per eccentricità della portanza | Meyerhof |
| Criterio di riduzione per rottura locale (punzonamento) | Nessuna |
| Larghezza fondazione nel terzo termine della formula del carico limite ($0.5B\gamma N_c$) | Larghezza ridotta (B') |
| Fattori di forma e inclinazione del carico | Solo i fattori di inclinazione |
| Se la fondazione ha larghezza superiore a 2.0 m viene applicato il fattore di riduzione per comportamento a piastra | |

Stabilità globale

| | |
|-------------------------------------------|--------|
| Metodo di calcolo della stabilità globale | Bishop |
|-------------------------------------------|--------|

Altro

| | |
|--------------------------------------------------------------------|-------|
| Partecipazione spinta passiva terreno antistante | 0.00 |
| Partecipazione resistenza passiva dente di fondazione | 50.00 |
| Componente verticale della spinta nel calcolo delle sollecitazioni | NO |
| Considera terreno sulla fondazione di valle | NO |
| Considera spinta e peso acqua fondazione di valle | NO |

Spostamenti

Non è stato richiesto il calcolo degli spostamenti

Cedimenti

Non è stato richiesto il calcolo dei cedimenti

| | | | |
|--------------------------------------|------------------------------------------------------------------------------------------------------------------------------|----------------------------------------------------------------------------------|-------------|
| COMMITTENTE: Mecca Antonio | CODICE COMMESSA: | NOME ELABORATO: S1.5 - Relazione Geotecnica e delle Fondazioni | CONSULENTE: |
| DATA: Aprile 2023 | TITOLO: Lavori ultimazione di un fabbricato adibito ad albergo-ristorante– C.da Case Nuove Chicone Avigliano (PZ) | | |

Risultati per combinazione

Spinta e forze

Simbologia adottata

| | |
|---------------------------------|--------------------------------------------------------------------------|
| Ic | Indice della combinazione |
| A | Tipo azione |
| I | Inclinazione della spinta, espressa in [°] |
| V | Valore dell'azione, espressa in [kg] |
| C _x , C _y | Componente in direzione X ed Y dell'azione, espressa in [kg] |
| P _x , P _y | Coordinata X ed Y del punto di applicazione dell'azione, espressa in [m] |

| Ic | A | V [kg] | I [°] | C _x [kg] | C _y [kg] | P _x [m] | P _y [m] |
|----|------------------------------|-----------|----------|------------------------|------------------------|-----------------------|-----------------------|
| 1 | Spinta statica | 2129 | 20.00 | 2000 | 728 | 1.00 | -2.27 |
| | Peso/Inerzia muro | | | 0 | 3887/0 | -0.05 | -2.07 |
| | Peso/Inerzia terrapieno | | | 0 | 5300/0 | 0.50 | -1.33 |
| 2 | Spinta statica | 1356 | 20.00 | 1274 | 464 | 1.00 | -2.34 |
| | Incremento di spinta sismica | | 566 | 532 | 194 | 1.00 | -1.53 |
| | Peso/Inerzia muro | | | 418 | 3887/209 | -0.05 | -2.07 |
| | Peso/Inerzia terrapieno | | | 571 | 5300/285 | 0.50 | -1.33 |
| 3 | Spinta statica | 1356 | 20.00 | 1274 | 464 | 1.00 | -2.34 |
| | Incremento di spinta sismica | | 429 | 404 | 147 | 1.00 | -1.53 |
| | Peso/Inerzia muro | | | 418 | 3887/-209 | -0.05 | -2.07 |
| | Peso/Inerzia terrapieno | | | 571 | 5300/-285 | 0.50 | -1.33 |

Verifiche geotecniche

Quadro riassuntivo coeff. di sicurezza calcolati

Simbologia adottata

| | |
|--------------------|------------------------------------------------------------|
| Cmb | Indice/Tipo combinazione |
| S | Sisma (H: componente orizzontale, V: componente verticale) |
| FS _{SCO} | Coeff. di sicurezza allo scorrimento |
| FS _{RIB} | Coeff. di sicurezza al ribaltamento |
| FS _{QLIM} | Coeff. di sicurezza a carico limite |
| FS _{STAB} | Coeff. di sicurezza a stabilità globale |
| FS _{HYD} | Coeff. di sicurezza a sifonamento |
| FS _{UPL} | Coeff. di sicurezza a sollevamento |

| Cmb | Sismica | FS _{SCO} | FS _{RIB} | FS _{OLIM} | FS _{STAB} | FS _{HYD} | FS _{UPL} |
|--------------------|---------|-------------------|-------------------|--------------------|--------------------|-------------------|-------------------|
| 1 - STR (A1-M1-R3) | | 2.042 | | 9.764 | | | |
| 2 - STR (A1-M1-R3) | H + V | 1.516 | | 9.528 | | | |
| 3 - STR (A1-M1-R3) | H - V | 1.448 | | 10.309 | | | |
| 4 - GEO (A2-M2-R2) | | | | | 2.027 | | |
| 5 - GEO (A2-M2-R2) | H + V | | | | 2.072 | | |
| 6 - GEO (A2-M2-R2) | H - V | | | | 2.078 | | |
| 7 - EQU (A1-M1-R3) | | | 7.710 | | | | |
| 8 - EQU (A1-M1-R3) | H + V | | 3.033 | | | | |
| 9 - EQU (A1-M1-R3) | H - V | | 2.460 | | | | |

Verifica a scorrimento fondazione

Simbologia adottata

| | |
|-----|-------------------------------------------------------------------------------------|
| n° | Indice combinazione |
| Rsa | Resistenza allo scorrimento per attrito, espresso in [kg] |
| Rpt | Resistenza passiva terreno antistante, espresso in [kg] |
| Rps | Resistenza passiva sperone, espresso in [kg] |
| Rp | Resistenza a carichi orizzontali pali (solo per fondazione mista), espresso in [kg] |
| Rt | Resistenza a carichi orizzontali tiranti (solo se presenti), espresso in [kg] |
| R | Resistenza allo scorrimento (somma di Rsa+Rpt+Rps+Rp), espresso in [kg] |
| T | Carico parallelo al piano di posa, espresso in [kg] |
| FS | Fattore di sicurezza (rapporto R/T) |

| n° | Rsa [kg] | Rpt [kg] | Rps [kg] | Rp [kg] | Rt [kg] | R [kg] | T [kg] | FS |
|--------------------------|-------------|-------------|-------------|------------|------------|-----------|-----------|-------|
| 1 - STR (A1-M1-R3) | 4084 | 0 | 0 | -- | -- | 4084 | 2000 | 2.042 |
| 2 - STR (A1-M1-R3) H + V | 4238 | 0 | 0 | -- | -- | 4238 | 2795 | 1.516 |
| 3 - STR (A1-M1-R3) H - V | 3861 | 0 | 0 | -- | -- | 3861 | 2667 | 1.448 |

Verifica a carico limite

Relazione Geotecnica e delle Fondazioni

Simbologia adottata

| | |
|----|--------------------------------------------------------------------------------------|
| n° | Indice combinazione |
| N | Carico normale totale al piano di posa, espresso in [kg] |
| Qu | carico limite del terreno, espresso in [kg] |
| Qd | Portanza di progetto, espresso in [kg] |
| FS | Fattore di sicurezza (rapporto tra il carico limie e carico agente al piano di posa) |

| n° | N | Qu | Qd | FS |
|--------------------------|-------|-------|-------|--------|
| | [kg] | [kg] | [kg] | |
| 1 - STR (A1-M1-R3) | 9916 | 96813 | 69152 | 9.764 |
| 2 - STR (A1-M1-R3) H + V | 10339 | 98516 | 82097 | 9.528 |
| 3 - STR (A1-M1-R3) H - V | 9304 | 95914 | 79928 | 10.309 |

Dettagli calcolo portanza

Simbologia adottata

| | |
|------------------------------------------------------------------------------------------------------------------|----------------------------------------------------------------------------------------------------------------------------------------------------------------------------------------------|
| n° | Indice combinazione |
| Nc, Nq, Ny | Fattori di capacità portante |
| ic, iq, iy | Fattori di inclinazione del carico |
| dc, dq, dy | Fattori di profondità del piano di posa |
| gc, gq, gy | Fattori di inclinazione del profilo topografico |
| bc, bq, by | Fattori di inclinazione del piano di posa |
| sc, sq, sy | Fattori di forma della fondazione |
| pc, pq, py | Fattori di riduzione per punzonamento secondo Vesic |
| Re | Fattore di riduzione capacità portante per eccentricità secondo Meyerhof |
| Ir, Irc | Indici di rigidezza per punzonamento secondo Vesic |
| ry | Fattori per tener conto dell'effetto piastra. Per fondazioni che hanno larghezza maggiore di 2 m, il terzo termine della formula trinomia $0.5B_y N_y$ viene moltiplicato per questo fattore |
| D | Affondamento del piano di posa, espresso in [m] |
| B' | Larghezza fondazione ridotta, espresso in [m] |
| H | Altezza del cuneo di rottura, espresso in [m] |
| γ | Peso di volume del terreno medio, espresso in [kg/mc] |
| φ | Angolo di attrito del terreno medio, espresso in [°] |
| c | Coesione del terreno medio, espresso in [kg/cm ^q] |
| Per i coeff. che in tabella sono indicati con il simbolo '-' sono coeff. non presenti nel metodo scelto (Vesic). | |

| n° | Nc Nq Ny | ic iq iy | dc dq dy | gc gq gy | bc bq by | sc sq sy | pc pq py | Ir | Irc | Re | ry |
|----|----------------------------|-------------------------|-------------------------|-------------------------|-------------------------|----------------|----------------|----|-----|-------|-------|
| 1 | 30.140 18.401 22.402 | 0.795 0.807 0.718 | 1.147 1.106 1.000 | 1.000 1.000 1.000 | 1.000 1.000 1.000 | -- -- -- | -- -- -- | -- | -- | 0.757 | 1.000 |
| 2 | 30.140 18.401 22.402 | 0.726 0.741 0.629 | 1.147 1.106 1.000 | 1.000 1.000 1.000 | 1.000 1.000 1.000 | -- -- -- | -- -- -- | -- | -- | 0.858 | 1.000 |
| 3 | 30.140 18.401 22.402 | 0.723 0.738 0.626 | 1.147 1.106 1.000 | 1.000 1.000 1.000 | 1.000 1.000 1.000 | -- -- -- | -- -- -- | -- | -- | 0.839 | 1.000 |

| n° | D [m] | B' [m] | H [m] | γ [°] | φ [kg/mc] | c [kg/cm ^q] |
|----|----------|-----------|----------|----------|--------------|----------------------------|
| 1 | 0.70 | 1.90 | 1.65 | 2000 | 30.00 | 0.05 |
| 2 | 0.70 | 1.90 | 1.65 | 2000 | 30.00 | 0.05 |
| 3 | 0.70 | 1.90 | 1.65 | 2000 | 30.00 | 0.05 |

Verifica a ribaltamento

Simbologia adottata

| | |
|-------------------------------------------------------------------------------------|--------------------------------------------------------------------------------|
| n° | Indice combinazione |
| Ms | Momento stabilizzante, espresso in [kgm] |
| Mr | Momento ribaltante, espresso in [kgm] |
| FS | Fattore di sicurezza (rapporto tra momento stabilizzante e momento ribaltante) |
| La verifica viene eseguita rispetto allo spigolo inferiore esterno della fondazione | |

| n° | Ms | Mr | FS |
|--------------------------|-------|-------|-------|
| | [kgm] | [kgm] | |
| 7 - EQU (A1-M1-R3) | 12099 | 1569 | 7.710 |
| 8 - EQU (A1-M1-R3) H + V | 13052 | 4303 | 3.033 |
| 9 - EQU (A1-M1-R3) H - V | 12068 | 4905 | 2.460 |

Verifica stabilità globale muro + terreno

Simbologia adottata

| | |
|----|---------------------------------------------------|
| Ic | Indice/Tipo combinazione |
| C | Centro superficie di scorrimento, espresso in [m] |
| R | Raggio, espresso in [m] |
| FS | Fattore di sicurezza |

| Ic | C | R | FS |
|--------------------------|-------------|------|-------|
| | [m] | [m] | |
| 4 - GEO (A2-M2-R2) | -0.50; 0.50 | 3.86 | 2.027 |
| 5 - GEO (A2-M2-R2) H + V | -1.00; 2.00 | 5.44 | 2.072 |

| | | | |
|--------------------------------------|------------------------------------------------------------------------------------------------------------------------------|----------------------------------------------------------------------------------|-------------|
| COMMITTENTE: Mecca Antonio | CODICE COMMESSA: | NOME ELABORATO: S1.5 - Relazione Geotecnica e delle Fondazioni | CONSULENTE: |
| DATA: Aprile 2023 | TITOLO: Lavori ultimazione di un fabbricato adibito ad albergo-ristorante– C.da Case Nuove Chicone Avigliano (PZ) | | |

| Ic | C | R | FS |
|--------------------------|-------------|------|-------|
| | [m] | [m] | |
| 6 - GEO (A2-M2-R2) H - V | -1.00; 2.00 | 5.44 | 2.078 |

Dettagli strisce verifiche stabilità

Simbologia adottata
Le ascisse X sono considerate positive verso monte
Le ordinate Y sono considerate positive verso l'alto
Origine in testa al muro (spigolo contro terra)
W peso della striscia espresso in [kg]
Qy carico sulla striscia espresso in [kg]
Qf carico acqua sulla striscia espresso in [kg]
 α angolo fra la base della striscia e l'orizzontale espresso in [°] (positivo antiorario)
 ϕ angolo d'attrito del terreno lungo la base della striscia
c coesione del terreno lungo la base della striscia espressa in [kg/cm²]
b larghezza della striscia espressa in [m]
u pressione neutra lungo la base della striscia espressa in [kg/cm²]
Tx; Ty Resistenza al taglio fornita dai tiranti in direzione X ed Y espressa in [kg/cm²]

Combinazione n° 4 - GEO (A2-M2-R2)

| n° | W | Qy | Qf | b | α | ϕ | c | u | Tx; Ty |
|----|------|------|------|--------------|----------|--------|-----------------------|-----------------------|--------|
| | [kg] | [kg] | [kg] | [m] | [°] | [°] | [kg/cm ²] | [kg/cm ²] | [kg] |
| 1 | 244 | 0 | 0 | 3.34 - 0.26 | 74.723 | 24.791 | 0.04 | 0.000 | |
| 2 | 624 | 0 | 0 | 0.26 | 63.694 | 24.791 | 0.04 | 0.000 | |
| 3 | 858 | 0 | 0 | 0.26 | 55.943 | 24.791 | 0.04 | 0.000 | |
| 4 | 1035 | 0 | 0 | 0.26 | 49.564 | 24.791 | 0.04 | 0.000 | |
| 5 | 1178 | 0 | 0 | 0.26 | 43.947 | 24.791 | 0.04 | 0.000 | |
| 6 | 1296 | 0 | 0 | 0.26 | 38.825 | 24.791 | 0.04 | 0.000 | |
| 7 | 1395 | 0 | 0 | 0.26 | 34.052 | 24.791 | 0.04 | 0.000 | |
| 8 | 1478 | 0 | 0 | 0.26 | 29.536 | 24.791 | 0.04 | 0.000 | |
| 9 | 1547 | 0 | 0 | 0.26 | 25.215 | 24.791 | 0.04 | 0.000 | |
| 10 | 1653 | 0 | 0 | 0.26 | 21.043 | 24.791 | 0.04 | 0.000 | |
| 11 | 1702 | 0 | 0 | 0.26 | 16.986 | 24.791 | 0.04 | 0.000 | |
| 12 | 1738 | 0 | 0 | 0.26 | 13.016 | 24.791 | 0.04 | 0.000 | |
| 13 | 1712 | 0 | 0 | 0.26 | 9.108 | 24.791 | 0.04 | 0.000 | |
| 14 | 2123 | 0 | 0 | 0.26 | 5.243 | 24.791 | 0.04 | 0.000 | |
| 15 | 634 | 0 | 0 | 0.26 | 1.402 | 24.791 | 0.04 | 0.000 | |
| 16 | 573 | 0 | 0 | 0.26 | -2.433 | 24.791 | 0.04 | 0.000 | |
| 17 | 532 | 0 | 0 | 0.26 | -6.279 | 24.791 | 0.04 | 0.000 | |
| 18 | 492 | 0 | 0 | 0.26 | -10.154 | 24.791 | 0.04 | 0.000 | |
| 19 | 463 | 0 | 0 | 0.26 | -14.076 | 24.791 | 0.04 | 0.000 | |
| 20 | 424 | 0 | 0 | 0.26 | -18.068 | 24.791 | 0.04 | 0.000 | |
| 21 | 375 | 0 | 0 | 0.26 | -22.153 | 24.791 | 0.04 | 0.000 | |
| 22 | 315 | 0 | 0 | 0.26 | -26.360 | 24.791 | 0.04 | 0.000 | |
| 23 | 242 | 0 | 0 | 0.26 | -30.729 | 24.791 | 0.04 | 0.000 | |
| 24 | 155 | 0 | 0 | 0.26 | -35.307 | 24.791 | 0.04 | 0.000 | |
| 25 | 52 | 0 | 0 | -3.12 - 0.26 | -38.972 | 24.791 | 0.04 | 0.000 | |

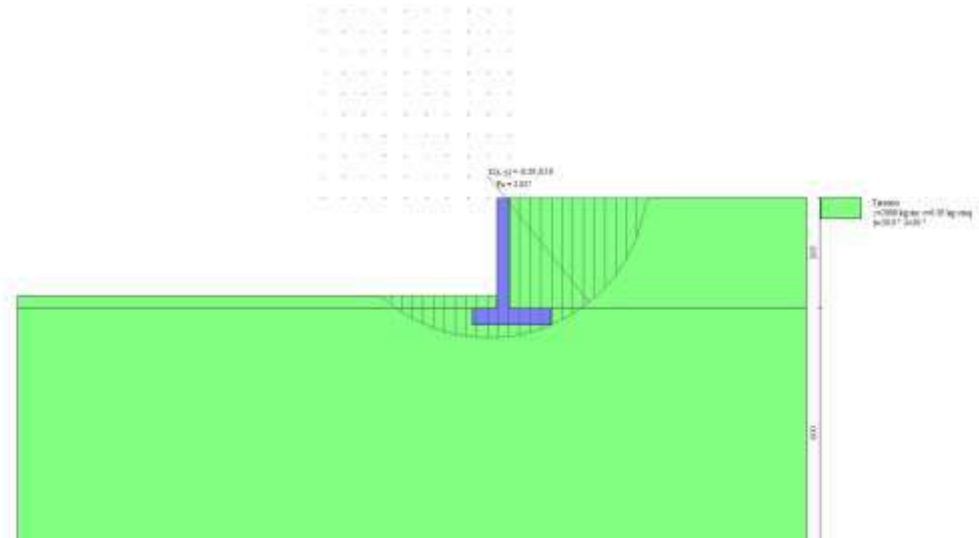


Fig. 12 - Stabilità fronte di scavo - Cerchio critico (Combinazione n° 4)

Relazione Geotecnica e delle Fondazioni

Combinazione n° 5 - GEO (A2-M2-R2) H + V

| n° | W [kg] | Qy [kg] | Qf [kg] | b [m] | α [°] | φ [°] | c [kg/cm²] | u [kg/cm²] | Tx; Ty [kg] |
|----|-----------|------------|------------|--------------|----------|----------|---------------|---------------|----------------|
| 1 | 226 | 0 | 0 | 4.07 - 0.33 | 63.745 | 30.000 | 0.05 | 0.000 | |
| 2 | 626 | 0 | 0 | 0.33 | 57.271 | 30.000 | 0.05 | 0.000 | |
| 3 | 939 | 0 | 0 | 0.33 | 51.207 | 30.000 | 0.05 | 0.000 | |
| 4 | 1193 | 0 | 0 | 0.33 | 45.871 | 30.000 | 0.05 | 0.000 | |
| 5 | 1405 | 0 | 0 | 0.33 | 41.012 | 30.000 | 0.05 | 0.000 | |
| 6 | 1585 | 0 | 0 | 0.33 | 36.492 | 30.000 | 0.05 | 0.000 | |
| 7 | 1738 | 0 | 0 | 0.33 | 32.224 | 30.000 | 0.05 | 0.000 | |
| 8 | 1868 | 0 | 0 | 0.33 | 28.148 | 30.000 | 0.05 | 0.000 | |
| 9 | 1978 | 0 | 0 | 0.33 | 24.224 | 30.000 | 0.05 | 0.000 | |
| 10 | 2124 | 0 | 0 | 0.33 | 20.417 | 30.000 | 0.05 | 0.000 | |
| 11 | 2211 | 0 | 0 | 0.33 | 16.703 | 30.000 | 0.05 | 0.000 | |
| 12 | 2271 | 0 | 0 | 0.33 | 13.060 | 30.000 | 0.05 | 0.000 | |
| 13 | 2676 | 0 | 0 | 0.33 | 9.471 | 30.000 | 0.05 | 0.000 | |
| 14 | 839 | 0 | 0 | 0.33 | 5.918 | 30.000 | 0.05 | 0.000 | |
| 15 | 906 | 0 | 0 | 0.33 | 2.389 | 30.000 | 0.05 | 0.000 | |
| 16 | 727 | 0 | 0 | 0.33 | -1.132 | 30.000 | 0.05 | 0.000 | |
| 17 | 716 | 0 | 0 | 0.33 | -4.657 | 30.000 | 0.05 | 0.000 | |
| 18 | 691 | 0 | 0 | 0.33 | -8.199 | 30.000 | 0.05 | 0.000 | |
| 19 | 651 | 0 | 0 | 0.33 | -11.774 | 30.000 | 0.05 | 0.000 | |
| 20 | 597 | 0 | 0 | 0.33 | -15.396 | 30.000 | 0.05 | 0.000 | |
| 21 | 528 | 0 | 0 | 0.33 | -19.082 | 30.000 | 0.05 | 0.000 | |
| 22 | 442 | 0 | 0 | 0.33 | -22.853 | 30.000 | 0.05 | 0.000 | |
| 23 | 339 | 0 | 0 | 0.33 | -26.732 | 30.000 | 0.05 | 0.000 | |
| 24 | 216 | 0 | 0 | 0.33 | -30.749 | 30.000 | 0.05 | 0.000 | |
| 25 | 72 | 0 | 0 | -4.28 - 0.33 | -33.864 | 30.000 | 0.05 | 0.000 | |

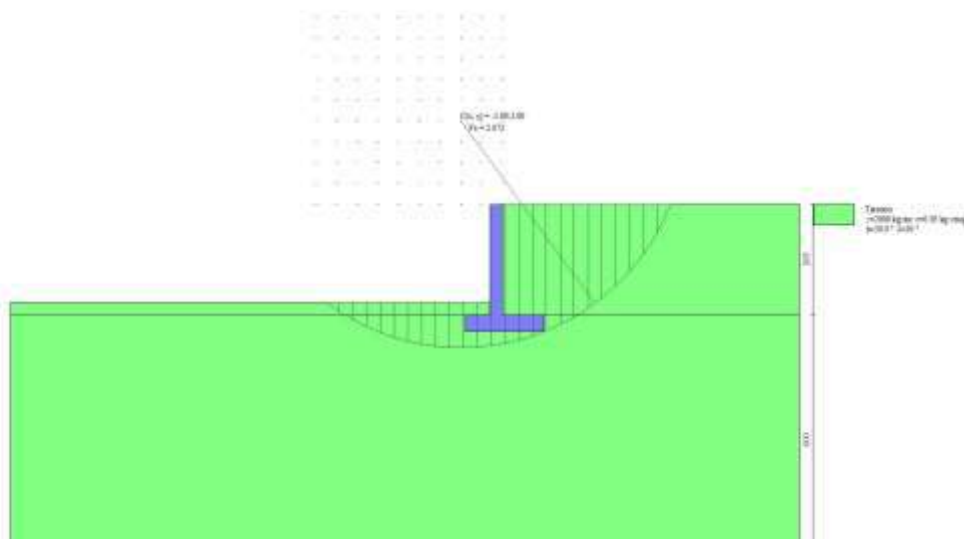


Fig. 13 - Stabilità fronte di scavo - Cerchio critico (Combinazione n° 5)

Combinazione n° 6 - GEO (A2-M2-R2) H - V

| n° | W [kg] | Qy [kg] | Qf [kg] | b [m] | α [°] | φ [°] | c [kg/cm²] | u [kg/cm²] | Tx; Ty [kg] |
|----|-----------|------------|------------|-------------|----------|----------|---------------|---------------|----------------|
| 1 | 226 | 0 | 0 | 4.07 - 0.33 | 63.745 | 30.000 | 0.05 | 0.000 | |
| 2 | 626 | 0 | 0 | 0.33 | 57.271 | 30.000 | 0.05 | 0.000 | |
| 3 | 939 | 0 | 0 | 0.33 | 51.207 | 30.000 | 0.05 | 0.000 | |
| 4 | 1193 | 0 | 0 | 0.33 | 45.871 | 30.000 | 0.05 | 0.000 | |
| 5 | 1405 | 0 | 0 | 0.33 | 41.012 | 30.000 | 0.05 | 0.000 | |
| 6 | 1585 | 0 | 0 | 0.33 | 36.492 | 30.000 | 0.05 | 0.000 | |
| 7 | 1738 | 0 | 0 | 0.33 | 32.224 | 30.000 | 0.05 | 0.000 | |
| 8 | 1868 | 0 | 0 | 0.33 | 28.148 | 30.000 | 0.05 | 0.000 | |
| 9 | 1978 | 0 | 0 | 0.33 | 24.224 | 30.000 | 0.05 | 0.000 | |
| 10 | 2124 | 0 | 0 | 0.33 | 20.417 | 30.000 | 0.05 | 0.000 | |
| 11 | 2211 | 0 | 0 | 0.33 | 16.703 | 30.000 | 0.05 | 0.000 | |
| 12 | 2271 | 0 | 0 | 0.33 | 13.060 | 30.000 | 0.05 | 0.000 | |
| 13 | 2676 | 0 | 0 | 0.33 | 9.471 | 30.000 | 0.05 | 0.000 | |
| 14 | 839 | 0 | 0 | 0.33 | 5.918 | 30.000 | 0.05 | 0.000 | |
| 15 | 906 | 0 | 0 | 0.33 | 2.389 | 30.000 | 0.05 | 0.000 | |
| 16 | 727 | 0 | 0 | 0.33 | -1.132 | 30.000 | 0.05 | 0.000 | |
| 17 | 716 | 0 | 0 | 0.33 | -4.657 | 30.000 | 0.05 | 0.000 | |
| 18 | 691 | 0 | 0 | 0.33 | -8.199 | 30.000 | 0.05 | 0.000 | |
| 19 | 651 | 0 | 0 | 0.33 | -11.774 | 30.000 | 0.05 | 0.000 | |
| 20 | 597 | 0 | 0 | 0.33 | -15.396 | 30.000 | 0.05 | 0.000 | |
| 21 | 528 | 0 | 0 | 0.33 | -19.082 | 30.000 | 0.05 | 0.000 | |

| | | | |
|--------------------------------------|------------------------------------------------------------------------------------------------------------------------------|----------------------------------------------------------------------------------|-------------|
| COMMITTENTE: Mecca Antonio | CODICE COMMESSA: | NOME ELABORATO: S1.5 - Relazione Geotecnica e delle Fondazioni | CONSULENTE: |
| DATA: Aprile 2023 | TITOLO: Lavori ultimazione di un fabbricato adibito ad albergo-ristorante- C.da Case Nuove Chicone Avigliano (PZ) | | |

| n° | W [kg] | Qy [kg] | Qf [kg] | b [m] | α [°] | ϕ [°] | c [kg/cm²] | u [kg/cm²] | Tx; Ty [kg] |
|----|-----------|------------|------------|--------------|-----------------|---------------|---------------|---------------|----------------|
| 22 | 442 | 0 | 0 | 0.33 | -22.853 | 30.000 | 0.05 | 0.000 | |
| 23 | 339 | 0 | 0 | 0.33 | -26.732 | 30.000 | 0.05 | 0.000 | |
| 24 | 216 | 0 | 0 | 0.33 | -30.749 | 30.000 | 0.05 | 0.000 | |
| 25 | 72 | 0 | 0 | -4.28 - 0.33 | -33.864 | 30.000 | 0.05 | 0.000 | |

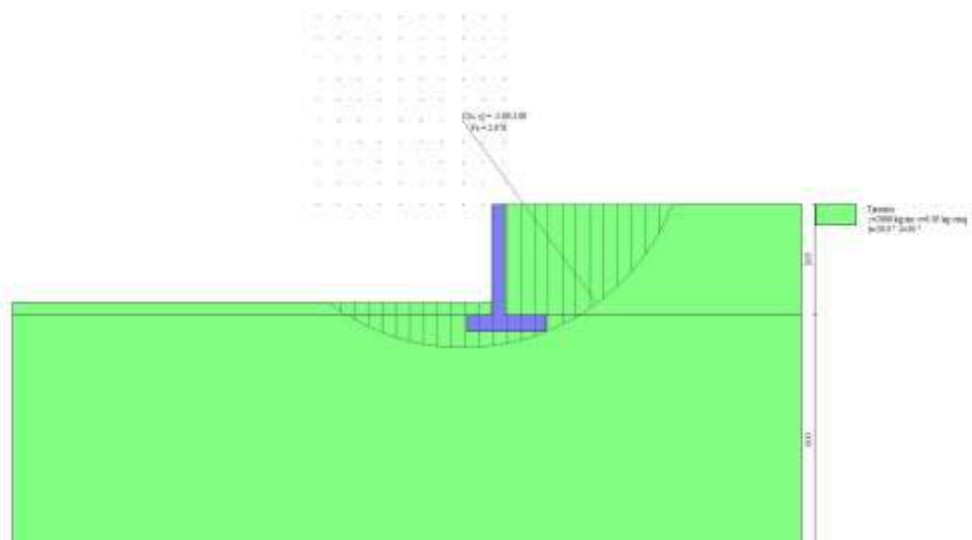


Fig. 14 - Stabilità fronte di scavo - Cerchio critico (Combinazione n° 6)

Sollecitazioni

Elementi calcolati a trave

Simbologia adottata

| | |
|----|-------------------------------------------------------------------------------|
| n° | Indice della sezione |
| X | Posizione della sezione, espresso in [m] |
| N | Sforzo normale, espresso in [kg]. Positivo se di compressione. |
| T | Taglio, espresso in [kg]. Positivo se diretto da monte verso valle |
| M | Momento, espresso in [kgm]. Positivo se tende le fibre contro terra (a monte) |

La posizione delle sezioni di verifica fanno riferimento al sistema di riferimento globale la cui origine è nello spigolo in alto a destra del paramento.

Paramento

Combinazione n° 1 - STR (A1-M1-R3)

| n° | X [m] | N [kg] | T [kg] | M [kgm] |
|----|----------|-----------|-----------|------------|
| 1 | 0.00 | 0 | 0 | 0 |
| 2 | -0.10 | 74 | 0 | 0 |
| 3 | -0.20 | 147 | 0 | 0 |
| 4 | -0.29 | 221 | 0 | 0 |
| 5 | -0.39 | 294 | 0 | 0 |
| 6 | -0.49 | 368 | 0 | 0 |
| 7 | -0.59 | 442 | 0 | 0 |
| 8 | -0.69 | 515 | 1 | 0 |
| 9 | -0.79 | 589 | 6 | 0 |
| 10 | -0.88 | 662 | 15 | 1 |
| 11 | -0.98 | 736 | 31 | 4 |
| 12 | -1.08 | 810 | 55 | 8 |
| 13 | -1.18 | 883 | 85 | 15 |
| 14 | -1.28 | 957 | 122 | 25 |
| 15 | -1.37 | 1031 | 166 | 39 |
| 16 | -1.47 | 1104 | 217 | 57 |
| 17 | -1.57 | 1178 | 276 | 82 |
| 18 | -1.67 | 1251 | 341 | 112 |
| 19 | -1.77 | 1325 | 413 | 149 |
| 20 | -1.86 | 1399 | 492 | 193 |
| 21 | -1.96 | 1472 | 578 | 245 |
| 22 | -2.06 | 1546 | 671 | 307 |
| 23 | -2.16 | 1619 | 771 | 377 |
| 24 | -2.26 | 1693 | 879 | 458 |

Relazione Geotecnica e delle Fondazioni

| n° | X [m] | N [kg] | T [kg] | M [kgm] |
|----|----------|-----------|-----------|------------|
| 25 | -2.36 | 1767 | 993 | 550 |
| 26 | -2.45 | 1840 | 1114 | 654 |
| 27 | -2.55 | 1914 | 1242 | 769 |
| 28 | -2.65 | 1987 | 1377 | 898 |

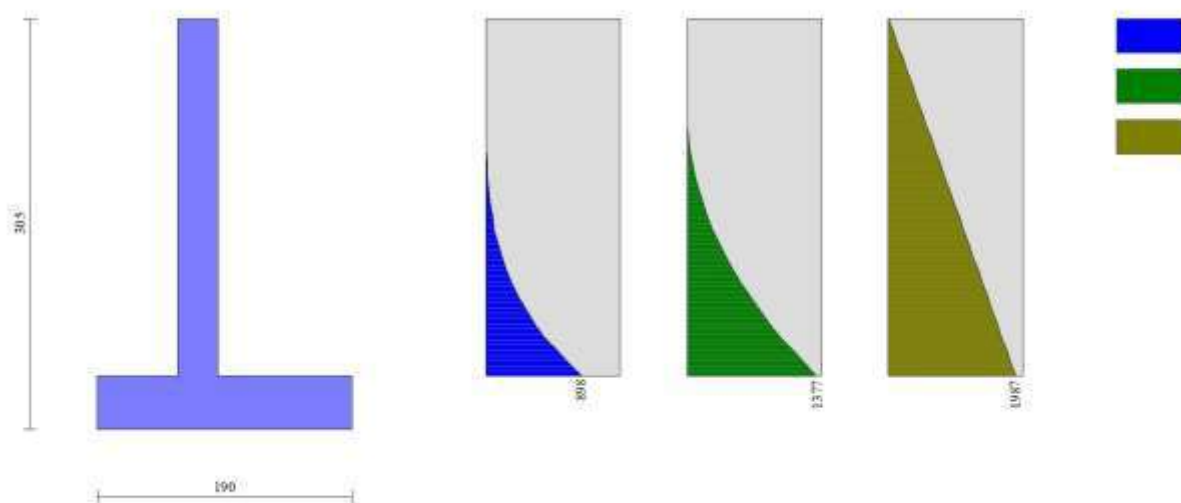


Fig. 15 - Paramento

Combinazione n° 2 - STR (A1-M1-R3) H + V

| n° | X [m] | N [kg] | T [kg] | M [kgm] |
|----|----------|-----------|-----------|------------|
| 1 | 0.00 | 0 | 0 | 0 |
| 2 | -0.10 | 78 | 22 | 1 |
| 3 | -0.20 | 155 | 44 | 4 |
| 4 | -0.29 | 233 | 65 | 10 |
| 5 | -0.39 | 310 | 87 | 17 |
| 6 | -0.49 | 388 | 109 | 27 |
| 7 | -0.59 | 465 | 131 | 38 |
| 8 | -0.69 | 543 | 152 | 52 |
| 9 | -0.79 | 621 | 174 | 68 |
| 10 | -0.88 | 698 | 197 | 87 |
| 11 | -0.98 | 776 | 221 | 107 |
| 12 | -1.08 | 853 | 250 | 130 |
| 13 | -1.18 | 931 | 283 | 156 |
| 14 | -1.28 | 1008 | 322 | 186 |
| 15 | -1.37 | 1086 | 366 | 220 |
| 16 | -1.47 | 1164 | 415 | 258 |
| 17 | -1.57 | 1241 | 470 | 301 |
| 18 | -1.67 | 1319 | 531 | 350 |
| 19 | -1.77 | 1396 | 596 | 406 |
| 20 | -1.86 | 1474 | 667 | 468 |
| 21 | -1.96 | 1551 | 744 | 537 |
| 22 | -2.06 | 1629 | 826 | 614 |
| 23 | -2.16 | 1707 | 913 | 699 |
| 24 | -2.26 | 1784 | 1005 | 793 |
| 25 | -2.36 | 1862 | 1103 | 897 |
| 26 | -2.45 | 1939 | 1207 | 1010 |
| 27 | -2.55 | 2017 | 1315 | 1134 |
| 28 | -2.65 | 2094 | 1430 | 1268 |

| | | | |
|--------------------------------------|----------------------------------------------------------------------------------------------------------------------|----------------------------------------------------------------------------------|-------------|
| COMMITTENTE: Mecca Antonio | CODICE COMMESSA: | NOME ELABORATO: S1.5 - Relazione Geotecnica e delle Fondazioni | CONSULENTE: |
| DATA: Aprile 2023 | TITOLO: Lavori ultimazione di un fabbricato adibito ad albergo-ristorante– C.da Case Nuove Chicone Avigliano (PZ) | | |

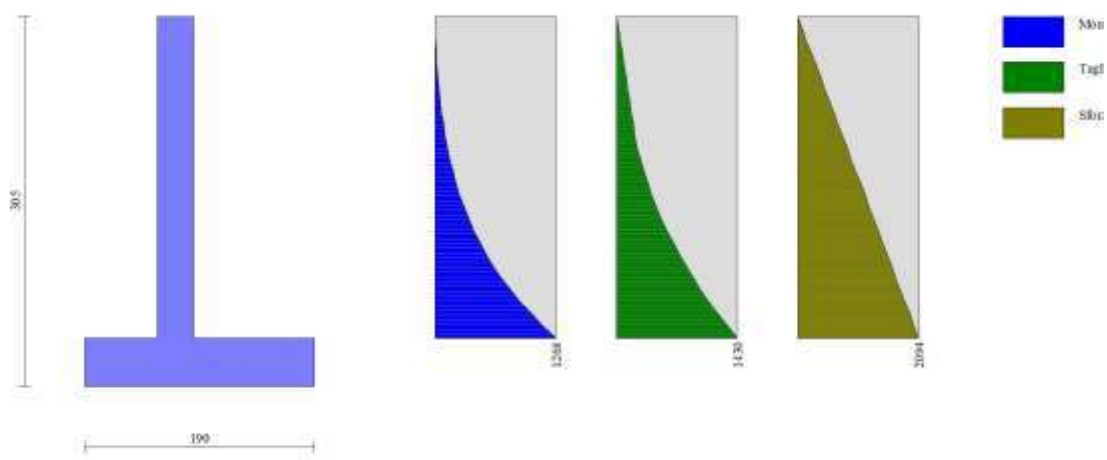


Fig. 16 - Paramento

Combinazione n° 3 - STR (A1-M1-R3) H - V

| n° | X [m] | N [kg] | T [kg] | M [kgm] |
|----|----------|-----------|-----------|------------|
| 1 | 0.00 | 0 | 0 | 0 |
| 2 | -0.10 | 70 | 19 | 1 |
| 3 | -0.20 | 139 | 37 | 4 |
| 4 | -0.29 | 209 | 56 | 8 |
| 5 | -0.39 | 279 | 75 | 15 |
| 6 | -0.49 | 348 | 93 | 23 |
| 7 | -0.59 | 418 | 112 | 33 |
| 8 | -0.69 | 488 | 131 | 45 |
| 9 | -0.79 | 557 | 149 | 59 |
| 10 | -0.88 | 627 | 168 | 74 |
| 11 | -0.98 | 696 | 190 | 92 |
| 12 | -1.08 | 766 | 215 | 112 |
| 13 | -1.18 | 836 | 246 | 134 |
| 14 | -1.28 | 905 | 281 | 160 |
| 15 | -1.37 | 975 | 322 | 190 |
| 16 | -1.47 | 1045 | 369 | 223 |
| 17 | -1.57 | 1114 | 421 | 262 |
| 18 | -1.67 | 1184 | 478 | 306 |
| 19 | -1.77 | 1254 | 540 | 356 |
| 20 | -1.86 | 1323 | 608 | 412 |
| 21 | -1.96 | 1393 | 682 | 476 |
| 22 | -2.06 | 1463 | 760 | 546 |
| 23 | -2.16 | 1532 | 844 | 625 |
| 24 | -2.26 | 1602 | 934 | 712 |
| 25 | -2.36 | 1672 | 1029 | 809 |
| 26 | -2.45 | 1741 | 1129 | 914 |
| 27 | -2.55 | 1811 | 1234 | 1030 |
| 28 | -2.65 | 1881 | 1345 | 1157 |

Relazione Geotecnica e delle Fondazioni

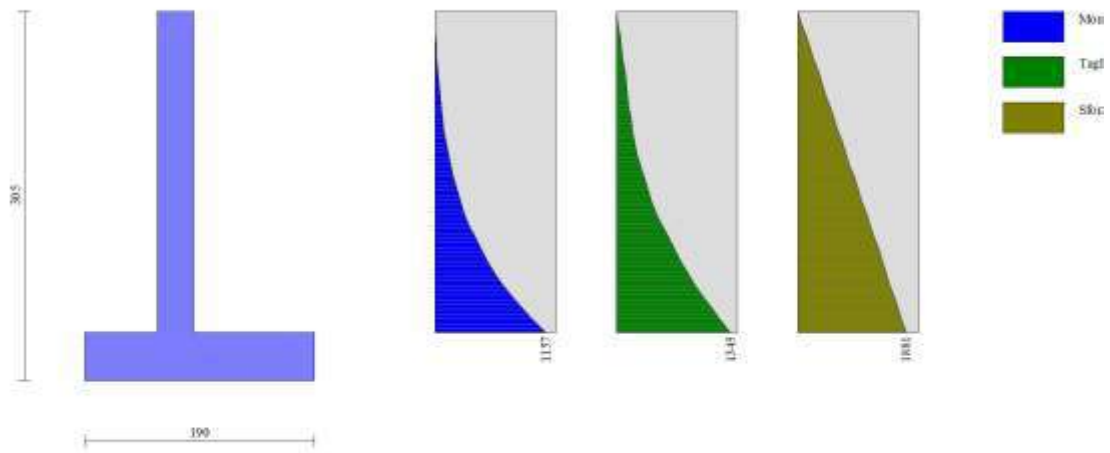


Fig. 17 - Paramento

Fondazione

Combinazione n° 1 - STR (A1-M1-R3)

| n° | X [m] | N [kg] | T [kg] | M [kgm] |
|----|----------|-----------|-----------|------------|
| 1 | -0.90 | 0 | 0 | 0 |
| 2 | -0.80 | 0 | 247 | 12 |
| 3 | -0.70 | 0 | 514 | 50 |
| 4 | -0.60 | 0 | 800 | 116 |
| 5 | -0.50 | 0 | 1105 | 211 |
| 6 | -0.40 | 0 | 1430 | 337 |
| 7 | -0.30 | 0 | 1774 | 497 |
| 8 | 0.00 | 0 | -1797 | -737 |
| 9 | 0.09 | 0 | -1554 | -585 |
| 10 | 0.18 | 0 | -1326 | -454 |
| 11 | 0.27 | 0 | -1115 | -343 |
| 12 | 0.36 | 0 | -919 | -251 |
| 13 | 0.45 | 0 | -740 | -175 |
| 14 | 0.55 | 0 | -576 | -116 |
| 15 | 0.64 | 0 | -429 | -70 |
| 16 | 0.73 | 0 | -298 | -37 |
| 17 | 0.82 | 0 | -182 | -16 |
| 18 | 0.91 | 0 | -83 | -4 |
| 19 | 1.00 | 0 | 0 | 0 |

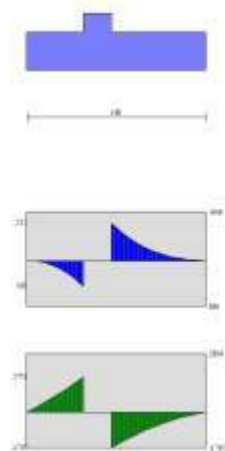


Fig. 18 - Fondazione

Combinazione n° 2 - STR (A1-M1-R3) H + V

| | | | |
|--------------------------------------|------------------------------------------------------------------------------------------------------------------------------|----------------------------------------------------------------------------------|-------------|
| COMMITTENTE: Mecca Antonio | CODICE COMMESSA: | NOME ELABORATO: S1.5 - Relazione Geotecnica e delle Fondazioni | CONSULENTE: |
| DATA: Aprile 2023 | TITOLO: Lavori ultimazione di un fabbricato adibito ad albergo-ristorante– C.da Case Nuove Chicone Avigliano (PZ) | | |

| n° | X [m] | N [kg] | T [kg] | M [kgm] |
|----|----------|-----------|-----------|------------|
| 1 | -0.90 | 0 | 0 | 0 |
| 2 | -0.80 | 0 | 507 | 25 |
| 3 | -0.70 | 0 | 1006 | 101 |
| 4 | -0.60 | 0 | 1499 | 226 |
| 5 | -0.50 | 0 | 1985 | 401 |
| 6 | -0.40 | 0 | 2464 | 623 |
| 7 | -0.30 | 0 | 2936 | 893 |
| 8 | 0.00 | 0 | -1170 | -643 |
| 9 | 0.09 | 0 | -1093 | -540 |
| 10 | 0.18 | 0 | -1009 | -444 |
| 11 | 0.27 | 0 | -920 | -357 |
| 12 | 0.36 | 0 | -825 | -277 |
| 13 | 0.45 | 0 | -724 | -207 |
| 14 | 0.55 | 0 | -618 | -146 |
| 15 | 0.64 | 0 | -506 | -95 |
| 16 | 0.73 | 0 | -388 | -54 |
| 17 | 0.82 | 0 | -264 | -24 |
| 18 | 0.91 | 0 | -135 | -6 |
| 19 | 1.00 | 0 | 0 | 0 |

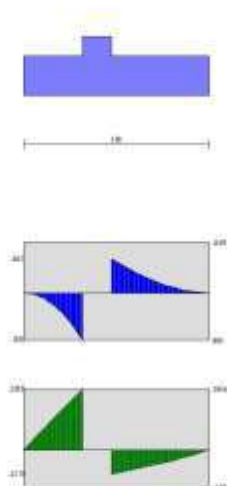


Fig. 19 - Fondazione

Combinazione n° 3 - STR (A1-M1-R3) H - V

| n° | X [m] | N [kg] | T [kg] | M [kgm] |
|----|----------|-----------|-----------|------------|
| 1 | -0.90 | 0 | 0 | 0 |
| 2 | -0.80 | 0 | 462 | 23 |
| 3 | -0.70 | 0 | 916 | 92 |
| 4 | -0.60 | 0 | 1362 | 206 |
| 5 | -0.50 | 0 | 1800 | 364 |
| 6 | -0.40 | 0 | 2229 | 566 |
| 7 | -0.30 | 0 | 2651 | 810 |
| 8 | 0.00 | 0 | -1765 | -949 |
| 9 | 0.09 | 0 | -1637 | -795 |
| 10 | 0.18 | 0 | -1504 | -652 |
| 11 | 0.27 | 0 | -1363 | -521 |
| 12 | 0.36 | 0 | -1216 | -404 |
| 13 | 0.45 | 0 | -1062 | -301 |
| 14 | 0.55 | 0 | -902 | -211 |
| 15 | 0.64 | 0 | -735 | -137 |
| 16 | 0.73 | 0 | -561 | -78 |
| 17 | 0.82 | 0 | -381 | -35 |
| 18 | 0.91 | 0 | -194 | -9 |
| 19 | 1.00 | 0 | 0 | 0 |

Relazione Geotecnica e delle Fondazioni

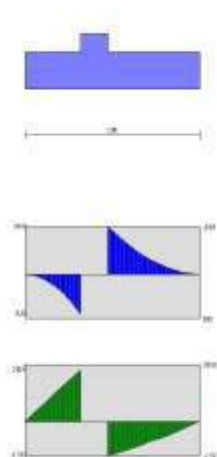


Fig. 20 - Fondazione

| | | | |
|--------------------------------------|----------------------------------------------------------------------------------------------------------------------|----------------------------------------------------------------------------------|-------------|
| COMMITTENTE: Mecca Antonio | CODICE COMMESSA: | NOME ELABORATO: S1.5 - Relazione Geotecnica e delle Fondazioni | CONSULENTE: |
| DATA: Aprile 2023 | TITOLO: Lavori ultimazione di un fabbricato adibito ad albergo-ristorante- C.da Case Nuove Chicone Avigliano (PZ) | | |

Risultati per inviluppo

Spinta e forze

Simbologia adottata

| | |
|---------------------------------|--------------------------------------------------------------------------|
| Ic | Indice della combinazione |
| A | Tipo azione |
| I | Inclinazione della spinta, espressa in [°] |
| V | Valore dell'azione, espressa in [kg] |
| C _x , C _y | Componente in direzione X ed Y dell'azione, espressa in [kg] |
| P _x , P _y | Coordinata X ed Y del punto di applicazione dell'azione, espressa in [m] |

| Ic | A | V [kg] | I [°] | C _x [kg] | C _y [kg] | P _x [m] | P _y [m] |
|----|-------------------------|-----------|----------|------------------------|------------------------|-----------------------|-----------------------|
| 1 | Spinta statica | 2129 | 20.00 | 2000 | 728 | 1.00 | -2.27 |
| | Peso/Inerzia muro | | | 0 | 3887/0 | -0.05 | -2.07 |
| | Peso/Inerzia terrapieno | | | 0 | 5300/0 | 0.50 | -1.33 |

Verifiche geotecniche

Quadro riassuntivo coeff. di sicurezza calcolati

Simbologia adottata

| | |
|--------------------|------------------------------------------------------------|
| Cmb | Indice/Tipo combinazione |
| S | Sisma (H: componente orizzontale, V: componente verticale) |
| FS _{SCO} | Coeff. di sicurezza allo scorrimento |
| FS _{RIB} | Coeff. di sicurezza al ribaltamento |
| FS _{OLIM} | Coeff. di sicurezza a carico limite |
| FS _{STAB} | Coeff. di sicurezza a stabilità globale |
| FS _{HYD} | Coeff. di sicurezza a sifonamento |
| FS _{UPL} | Coeff. di sicurezza a sollevamento |

| Cmb | Sismica | FS _{SCO} | FS _{RIB} | FS _{OLIM} | FS _{STAB} | FS _{HYD} | FS _{UPL} |
|--------------------|---------|-------------------|-------------------|--------------------|--------------------|-------------------|-------------------|
| 1 - STR (A1-M1-R3) | | 2.042 | | 9.764 | | | |
| 2 - STR (A1-M1-R3) | H + V | 1.516 | | 9.528 | | | |
| 3 - STR (A1-M1-R3) | H - V | 1.448 | | 10.309 | | | |
| 4 - GEO (A2-M2-R2) | | | | | 2.027 | | |
| 5 - GEO (A2-M2-R2) | H + V | | | | 2.072 | | |
| 6 - GEO (A2-M2-R2) | H - V | | | | 2.078 | | |
| 7 - EQU (A1-M1-R3) | | | 7.710 | | | | |
| 8 - EQU (A1-M1-R3) | H + V | | 3.033 | | | | |
| 9 - EQU (A1-M1-R3) | H - V | | 2.460 | | | | |

Verifica a scorrimento fondazione

Simbologia adottata

| | |
|-----|-------------------------------------------------------------------------------------|
| n° | Indice combinazione |
| Rsa | Resistenza allo scorrimento per attrito, espresso in [kg] |
| Rpt | Resistenza passiva terreno antistante, espresso in [kg] |
| Rps | Resistenza passiva sperone, espresso in [kg] |
| Rp | Resistenza a carichi orizzontali pali (solo per fondazione mista), espresso in [kg] |
| Rt | Resistenza a carichi orizzontali tiranti (solo se presenti), espresso in [kg] |
| R | Resistenza allo scorrimento (somma di Rsa+Rpt+Rps+Rp), espresso in [kg] |
| T | Carico parallelo al piano di posa, espresso in [kg] |
| FS | Fattore di sicurezza (rapporto R/T) |

| n° | Rsa [kg] | Rpt [kg] | Rps [kg] | Rp [kg] | Rt [kg] | R [kg] | T [kg] | FS |
|--------------------------|-------------|-------------|-------------|------------|------------|-----------|-----------|-------|
| 3 - STR (A1-M1-R3) H - V | 3861 | 0 | 0 | -- | -- | 3861 | 2667 | 1.448 |

Verifica a carico limite

Simbologia adottata

| | |
|----|--------------------------------------------------------------------------------------|
| n° | Indice combinazione |
| N | Carico normale totale al piano di posa, espresso in [kg] |
| Qu | carico limite del terreno, espresso in [kg] |
| Qd | Portanza di progetto, espresso in [kg] |
| FS | Fattore di sicurezza (rapporto tra il carico limie e carico agente al piano di posa) |

| n° | N [kg] | Qu [kg] | Qd [kg] | FS |
|--------------------------|-----------|------------|------------|-------|
| 2 - STR (A1-M1-R3) H + V | 10339 | 98516 | 82097 | 9.528 |

Relazione Geotecnica e delle Fondazioni

Dettagli calcolo portanza

Simbologia adottata

n° Indice combinazione
Nc, Nq, N_γ Fattori di capacità portante
ic, iq, i_γ Fattori di inclinazione del carico
dc, dq, d_γ Fattori di profondità del piano di posa
gc, gq, g_γ Fattori di inclinazione del profilo topografico
bc, bq, b_γ Fattori di inclinazione del piano di posa
sc, sq, s_γ Fattori di forma della fondazione
pc, pq, p_γ Fattori di riduzione per punzonamento secondo Vesic
Re Fattore di riduzione capacità portante per eccentricità secondo Meyerhof
Ir, Irc Indici di rigidità per punzonamento secondo Vesic
r_γ Fattori per tener conto dell'effetto piastra. Per fondazioni che hanno larghezza maggiore di 2 m, il terzo termine della formula trinomia 0.5B_γN_γ viene moltiplicato per questo fattore

D Affondamento del piano di posa, espresso in [m]
B' Larghezza fondazione ridotta, espresso in [m]
H Altezza del cuneo di rottura, espresso in [m]
γ Peso di volume del terreno medio, espresso in [kg/mc]
φ Angolo di attrito del terreno medio, espresso in [°]
c Coesione del terreno medio, espresso in [kg/cm²]

Per i coeff. che in tabella sono indicati con il simbolo '-' sono coeff. non presenti nel metodo scelto (Vesic).

| n° | Nc Nq N _γ | ic iq i _γ | dc dq d _γ | gc gq g _γ | bc bq b _γ | sc sq s _γ | pc pq p _γ | Ir | Irc | Re | r _γ |
|----|----------------------------|----------------------------|----------------------------|----------------------------|----------------------------|----------------------------|----------------------------|----|-----|-------|----------------|
| 2 | 30.140 18.401 22.402 | 0.726 0.741 0.629 | 1.147 1.106 1.000 | 1.000 1.000 1.000 | 1.000 1.000 1.000 | -- -- -- | -- -- -- | -- | -- | 0.858 | 1.000 |

| n° | D [m] | B' [m] | H [m] | γ [°] | φ [kg/mc] | c [kg/cm ²] |
|----|----------|-----------|----------|----------|--------------|----------------------------|
| 2 | 0.70 | 1.90 | 1.65 | 2000 | 30.00 | 0.05 |

Verifica a ribaltamento

Simbologia adottata

n° Indice combinazione
Ms Momento stabilizzante, espresso in [kgm]
Mr Momento ribaltante, espresso in [kgm]
FS Fattore di sicurezza (rapporto tra momento stabilizzante e momento ribaltante)
La verifica viene eseguita rispetto allo spigolo inferiore esterno della fondazione

| n° | Ms [kgm] | Mr [kgm] | FS |
|--------------------------|-------------|-------------|-------|
| 9 - EQU (A1-M1-R3) H - V | 12068 | 4905 | 2.460 |

Verifica stabilità globale muro + terreno

Simbologia adottata

Ic Indice/Tipo combinazione
C Centro superficie di scorrimento, espresso in [m]
R Raggio, espresso in [m]
FS Fattore di sicurezza

| Ic | C [m] | R [m] | FS |
|--------------------|-------------|----------|-------|
| 4 - GEO (A2-M2-R2) | -0.50; 0.50 | 3.86 | 2.027 |

Dettagli strisce verifiche stabilità

Simbologia adottata

Le ascisse X sono considerate positive verso monte
Le ordinate Y sono considerate positive verso l'alto
Origine in testa al muro (spigolo contro terra)
W peso della striscia espresso in [kg]
Qy carico sulla striscia espresso in [kg]
Qf carico acqua sulla striscia espresso in [kg]
α angolo fra la base della striscia e l'orizzontale espresso in [°] (positivo antiorario)
φ angolo d'attrito del terreno lungo la base della striscia
c coesione del terreno lungo la base della striscia espressa in [kg/cm²]
b larghezza della striscia espressa in [m]
u pressione neutra lungo la base della striscia espressa in [kg/cm²]
Tx; Ty Resistenza al taglio fornita dai tiranti in direzione X ed Y espressa in [kg/cm²]

| n° | W [kg] | Qy [kg] | Qf [kg] | b [m] | α [°] | φ [°] | c [kg/cm ²] | u [kg/cm ²] | Tx; Ty [kg] |
|----|-----------|------------|------------|-------------|----------|----------|----------------------------|----------------------------|----------------|
| 1 | 244 | 0 | 0 | 3.34 - 0.26 | 74.723 | 24.791 | 0.04 | 0.000 | |
| 2 | 624 | 0 | 0 | 0.26 | 63.694 | 24.791 | 0.04 | 0.000 | |
| 3 | 858 | 0 | 0 | 0.26 | 55.943 | 24.791 | 0.04 | 0.000 | |
| 4 | 1035 | 0 | 0 | 0.26 | 49.564 | 24.791 | 0.04 | 0.000 | |
| 5 | 1178 | 0 | 0 | 0.26 | 43.947 | 24.791 | 0.04 | 0.000 | |

| | | | |
|--------------------------------------|------------------------------------------------------------------------------------------------------------------------------|----------------------------------------------------------------------------------|-------------|
| COMMITTENTE: Mecca Antonio | CODICE COMMESSA: | NOME ELABORATO: S1.5 - Relazione Geotecnica e delle Fondazioni | CONSULENTE: |
| DATA: Aprile 2023 | TITOLO: Lavori ultimazione di un fabbricato adibito ad albergo-ristorante- C.da Case Nuove Chicone Avigliano (PZ) | | |

| n° | W [kg] | Qy [kg] | Qf [kg] | b [m] | α [°] | φ [°] | c [kg/cm²] | u [kg/cm²] | Tx; Ty [kg] |
|----|-----------|------------|------------|--------------|----------|----------|---------------|---------------|----------------|
| 6 | 1296 | 0 | 0 | 0.26 | 38.825 | 24.791 | 0.04 | 0.000 | |
| 7 | 1395 | 0 | 0 | 0.26 | 34.052 | 24.791 | 0.04 | 0.000 | |
| 8 | 1478 | 0 | 0 | 0.26 | 29.536 | 24.791 | 0.04 | 0.000 | |
| 9 | 1547 | 0 | 0 | 0.26 | 25.215 | 24.791 | 0.04 | 0.000 | |
| 10 | 1653 | 0 | 0 | 0.26 | 21.043 | 24.791 | 0.04 | 0.000 | |
| 11 | 1702 | 0 | 0 | 0.26 | 16.986 | 24.791 | 0.04 | 0.000 | |
| 12 | 1738 | 0 | 0 | 0.26 | 13.016 | 24.791 | 0.04 | 0.000 | |
| 13 | 1712 | 0 | 0 | 0.26 | 9.108 | 24.791 | 0.04 | 0.000 | |
| 14 | 2123 | 0 | 0 | 0.26 | 5.243 | 24.791 | 0.04 | 0.000 | |
| 15 | 634 | 0 | 0 | 0.26 | 1.402 | 24.791 | 0.04 | 0.000 | |
| 16 | 573 | 0 | 0 | 0.26 | -2.433 | 24.791 | 0.04 | 0.000 | |
| 17 | 532 | 0 | 0 | 0.26 | -6.279 | 24.791 | 0.04 | 0.000 | |
| 18 | 492 | 0 | 0 | 0.26 | -10.154 | 24.791 | 0.04 | 0.000 | |
| 19 | 463 | 0 | 0 | 0.26 | -14.076 | 24.791 | 0.04 | 0.000 | |
| 20 | 424 | 0 | 0 | 0.26 | -18.068 | 24.791 | 0.04 | 0.000 | |
| 21 | 375 | 0 | 0 | 0.26 | -22.153 | 24.791 | 0.04 | 0.000 | |
| 22 | 315 | 0 | 0 | 0.26 | -26.360 | 24.791 | 0.04 | 0.000 | |
| 23 | 242 | 0 | 0 | 0.26 | -30.729 | 24.791 | 0.04 | 0.000 | |
| 24 | 155 | 0 | 0 | 0.26 | -35.307 | 24.791 | 0.04 | 0.000 | |
| 25 | 52 | 0 | 0 | -3.12 - 0.26 | -38.972 | 24.791 | 0.04 | 0.000 | |

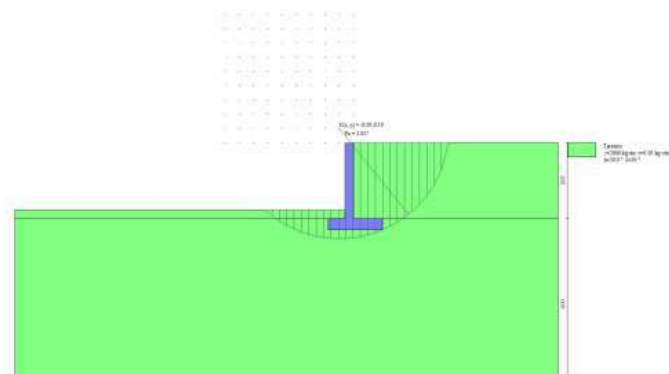


Fig. 21 - Stabilità fronte di scavo - Cerchio critico (Combinazione n° 4)

Sollecitazioni

Elementi calcolati a trave

Simbologia adottata

n° Indice della sezione
X Posizione della sezione, espresso in [m]
N Sforzo normale, espresso in [kg]. Positivo se di compressione.
T Taglio, espresso in [kg]. Positivo se diretto da monte verso valle
M Momento, espresso in [kgm]. Positivo se tende le fibre contro terra (a monte)
La posizione delle sezioni di verifica fanno riferimento al sistema di riferimento globale la cui origine è nello spigolo in alto a destra del paramento.

Paramento

| n° | X [m] | N _{min} [kg] | N _{max} [kg] | T _{min} [kg] | T _{max} [kg] | M _{min} [kgm] | M _{max} [kgm] |
|----|----------|--------------------------|--------------------------|--------------------------|--------------------------|---------------------------|---------------------------|
| 1 | 0.00 | 0 | 0 | 0 | 0 | 0 | 0 |
| 2 | -0.10 | 70 | 78 | 0 | 22 | 0 | 1 |
| 3 | -0.20 | 139 | 155 | 0 | 44 | 0 | 4 |
| 4 | -0.29 | 209 | 233 | 0 | 65 | 0 | 10 |
| 5 | -0.39 | 279 | 310 | 0 | 87 | 0 | 17 |
| 6 | -0.49 | 348 | 388 | 0 | 109 | 0 | 27 |
| 7 | -0.59 | 418 | 465 | 0 | 131 | 0 | 38 |
| 8 | -0.69 | 488 | 543 | 1 | 152 | 0 | 52 |
| 9 | -0.79 | 557 | 621 | 6 | 174 | 0 | 68 |
| 10 | -0.88 | 627 | 698 | 15 | 197 | 1 | 87 |
| 11 | -0.98 | 696 | 776 | 31 | 221 | 4 | 107 |
| 12 | -1.08 | 766 | 853 | 55 | 250 | 8 | 130 |
| 13 | -1.18 | 836 | 931 | 85 | 283 | 15 | 156 |
| 14 | -1.28 | 905 | 1008 | 122 | 322 | 25 | 186 |
| 15 | -1.37 | 975 | 1086 | 166 | 366 | 39 | 220 |
| 16 | -1.47 | 1045 | 1164 | 217 | 415 | 57 | 258 |
| 17 | -1.57 | 1114 | 1241 | 276 | 470 | 82 | 301 |
| 18 | -1.67 | 1184 | 1319 | 341 | 531 | 112 | 350 |
| 19 | -1.77 | 1254 | 1396 | 413 | 596 | 149 | 406 |
| 20 | -1.86 | 1323 | 1474 | 492 | 667 | 193 | 468 |

Relazione Geotecnica e delle Fondazioni

| n° | X [m] | N _{min} [kg] | N _{max} [kg] | T _{min} [kg] | T _{max} [kg] | M _{min} [kgm] | M _{max} [kgm] |
|----|----------|--------------------------|--------------------------|--------------------------|--------------------------|---------------------------|---------------------------|
| 21 | -1.96 | 1393 | 1551 | 578 | 744 | 245 | 537 |
| 22 | -2.06 | 1463 | 1629 | 671 | 826 | 307 | 614 |
| 23 | -2.16 | 1532 | 1707 | 771 | 913 | 377 | 699 |
| 24 | -2.26 | 1602 | 1784 | 879 | 1005 | 458 | 793 |
| 25 | -2.36 | 1672 | 1862 | 993 | 1103 | 550 | 897 |
| 26 | -2.45 | 1741 | 1939 | 1114 | 1207 | 654 | 1010 |
| 27 | -2.55 | 1811 | 2017 | 1234 | 1315 | 769 | 1134 |
| 28 | -2.65 | 1881 | 2094 | 1345 | 1430 | 898 | 1268 |

Fondazione

| n° | X [m] | N _{min} [kg] | N _{max} [kg] | T _{min} [kg] | T _{max} [kg] | M _{min} [kgm] | M _{max} [kgm] |
|----|----------|--------------------------|--------------------------|--------------------------|--------------------------|---------------------------|---------------------------|
| 1 | -0.90 | 0 | 0 | 0 | 0 | 0 | 0 |
| 2 | -0.80 | 0 | 0 | 247 | 507 | 12 | 25 |
| 3 | -0.70 | 0 | 0 | 514 | 1006 | 50 | 101 |
| 4 | -0.60 | 0 | 0 | 800 | 1499 | 116 | 226 |
| 5 | -0.50 | 0 | 0 | 1105 | 1985 | 211 | 401 |
| 6 | -0.40 | 0 | 0 | 1430 | 2464 | 337 | 623 |
| 7 | -0.30 | 0 | 0 | 1774 | 2936 | 497 | 893 |
| 8 | 0.00 | 0 | 0 | -1797 | -1170 | -949 | -643 |
| 9 | 0.09 | 0 | 0 | -1637 | -1093 | -795 | -540 |
| 10 | 0.18 | 0 | 0 | -1504 | -1009 | -652 | -444 |
| 11 | 0.27 | 0 | 0 | -1363 | -920 | -521 | -343 |
| 12 | 0.36 | 0 | 0 | -1216 | -825 | -404 | -251 |
| 13 | 0.45 | 0 | 0 | -1062 | -724 | -301 | -175 |
| 14 | 0.55 | 0 | 0 | -902 | -576 | -211 | -116 |
| 15 | 0.64 | 0 | 0 | -735 | -429 | -137 | -70 |
| 16 | 0.73 | 0 | 0 | -561 | -298 | -78 | -37 |
| 17 | 0.82 | 0 | 0 | -381 | -182 | -35 | -16 |
| 18 | 0.91 | 0 | 0 | -194 | -83 | -9 | -4 |
| 19 | 1.00 | 0 | 0 | 0 | 0 | 0 | 0 |

| | | | |
|--------------------------------------|----------------------------------------------------------------------------------------------------------------------|----------------------------------------------------------------------------------|-------------|
| COMMITTENTE: Mecca Antonio | CODICE COMMESSA: | NOME ELABORATO: S1.5 - Relazione Geotecnica e delle Fondazioni | CONSULENTE: |
| DATA: Aprile 2023 | TITOLO: Lavori ultimazione di un fabbricato adibito ad albergo-ristorante– C.da Case Nuove Chicone Avigliano (PZ) | | |

Elenco ferri

Simbologia adottata

| | |
|--------------------|---------------------------------|
| n° | Indice del ferro |
| nf | numero ferri |
| D | diametro ferro espresso in [mm] |
| L | Lunghezza ferro espresso in [m] |
| P _{ferro} | Peso ferro espresso in [kg] |

Computo metrico

| | U.M. | Quantità | Prezzo unitario [Euro] | Importo [Euro] |
|----------------------------|------|----------|---------------------------|-------------------|
| Calcestruzzo in elevazione | [mc] | 7.95 | 72.30 | 574.79 |
| Calcestruzzo in fondazione | [mc] | 7.60 | 61.97 | 470.97 |
| Casseformi | [mq] | 53.00 | 13.94 | 738.82 |
| Scavo a sezione obbligata | [mc] | 13.30 | 9.30 | 123.69 |
| Totale muro | | | | 1908.27 |
| Totale | | | | 1908.27 |

Relazione Geotecnica e delle Fondazioni

Dichiarazioni secondo N.T.C. 2018 (punto 10.2)

Analisi e verifiche svolte con l'ausilio di codici di calcolo

Il sottoscritto, in qualità di calcolatore delle opere in progetto, dichiara quanto segue.

Tipo di analisi svolta

L'analisi strutturale e le verifiche sono condotte con l'ausilio di un codice di calcolo automatico. La verifica della sicurezza degli elementi strutturali è stata valutata con i metodi della scienza delle costruzioni.

Il calcolo dei muri di sostegno viene eseguito secondo le seguenti fasi:

- Calcolo della spinta del terreno
- Verifica a ribaltamento
- Verifica a scorrimento del muro sul piano di posa
- Verifica della stabilità complesso fondazione terreno (carico limite)
- Verifica della stabilità globale
- Calcolo delle sollecitazioni sia del muro che della fondazione, progetto delle armature e relative verifiche dei materiali.

L'analisi strutturale sotto le azioni sismiche è condotta con il metodo dell'analisi statica equivalente secondo le disposizioni del capitolo 7 del D.M. 17/01/2018.

La verifica delle sezioni degli elementi strutturali è eseguita con il metodo degli Stati Limite. Le combinazioni di carico adottate sono esaustive relativamente agli scenari di carico più gravosi cui l'opera sarà soggetta.

Origine e caratteristiche dei codici di calcolo

| | |
|------------|-------------------------------------------------------------------|
| Titolo | MAX - Analisi e Calcolo Muri di Sostegno |
| Versione | 16.0 |
| Produttore | Aztec Informatica srl, Casali del Manco - loc. Casole Bruzio (CS) |
| Utente | ING. LISANTI VITO |
| Licenza | AIU5936U5 |

Affidabilità dei codici di calcolo

Un attento esame preliminare della documentazione a corredo del software ha consentito di valutarne l'affidabilità. La documentazione fornita dal produttore del software contiene un'esauriente descrizione delle basi teoriche, degli algoritmi impiegati e l'individuazione dei campi d'impiego. La società produttrice Aztec Informatica srl ha verificato l'affidabilità e la robustezza del codice di calcolo attraverso un numero significativo di casi prova in cui i risultati dell'analisi numerica sono stati confrontati con soluzioni teoriche.

Modalità di presentazione dei risultati

La relazione di calcolo strutturale presenta i dati di calcolo tale da garantirne la leggibilità, la corretta interpretazione e la riproducibilità. La relazione di calcolo illustra in modo esaustivo i dati in ingresso ed i risultati delle analisi in forma tabellare.

Informazioni generali sull'elaborazione

Il software prevede una serie di controlli automatici che consentono l'individuazione di errori di modellazione, di non rispetto di limitazioni geometriche e di armatura e di presenza di elementi non verificati. Il codice di calcolo consente di visualizzare e controllare, sia in forma grafica che tabellare, i dati del modello strutturale, in modo da avere una visione consapevole del comportamento corretto del modello strutturale.

15. Allegato B – Fascicolo dei calcoli

EDIFICIO IN C.A.

| | | | |
|--------------------------------------|----------------------------------------------------------------------------------------------------------------------|----------------------------------------------------------------------------------|-------------|
| COMMITTENTE: Mecca Antonio | CODICE COMMESSA: | NOME ELABORATO: S1.5 - Relazione Geotecnica e delle Fondazioni | CONSULENTE: |
| DATA: Aprile 2023 | TITOLO: Lavori ultimazione di un fabbricato adibito ad albergo-ristorante– C.da Case Nuove Chicone Avigliano (PZ) | | |

Sommario

| | |
|-------------------------------------------------------------------|-----|
| 1 Normative | 212 |
| 2.1 Normativa di riferimento per la geotecnica | 213 |
| 2.2 Premessa | 214 |
| 2.3 Descrizione delle opere in sito | 214 |
| 2.4 Problemi geotecnici e scelte tipologiche | 221 |
| 2.5 Caratterizzazione geotecnica dei terreni in sito | 224 |
| 2.6 Modellazione del sottosuolo e metodi di analisi e di verifica | 224 |
| 2.7 Verifiche delle fondazioni | 228 |

1 Normative

D.M. 17-01-18

Norme Tecniche per le Costruzioni

Circolare 7 21-01-19 C.S.LL.PP

Istruzioni per l'applicazione dell'Aggiornamento delle N.T.C. di cui al decreto ministeriale 17 gennaio 2018.

Eurocodici

EN 1995-1-1:2004 +AC:2006 + A1:2008 + A2:2014

ETA-03/0050

ETA-07/0086

ETA-08/0147

Relazione Geotecnica e delle Fondazioni

Sommario

2.1 Normativa di riferimento per la geotecnica

NORME TECNICHE PER LE COSTRUZIONI NTC 2018

Norme tecniche per le costruzioni D.M. 17 gennaio 2018.

CONSIGLIO SUPERIORE DEI LAVORI PUBBLICI

Istruzioni per l'applicazione dell'"Aggiornamento delle "Norme tecniche per le costruzioni"" di cui al D.M. 17 gennaio 2018. Circolare 21 gennaio 2019, n.7.

NORME TECNICHE PER LE COSTRUZIONI NTC 2008

Norme tecniche per le costruzioni D.M. 14 gennaio 2008.

CONSIGLIO SUPERIORE DEI LAVORI PUBBLICI

Istruzioni per l'applicazione delle "Norme tecniche per le costruzioni" di cui al D.M. 14 gennaio 2008. Circolare 2 febbraio 2009.

CONSIGLIO SUPERIORE DEI LAVORI PUBBLICI

Pericolosità sismica e Criteri generali per la classificazione sismica del territorio nazionale. Allegato al voto n. 36 del 27.07.2007

NORMA TECNICA UNI EN 1997-1:2005 (EUROCODICE 7 - PROGETTAZIONE GEOTECNICA)

Progettazione geotecnica - Parte 1: Regole generali.

NORMA TECNICA UNI EN 1998:2005 (EUROCODICE 8 - PROGETTAZIONE SISMICA)

Indicazioni progettuali per la resistenza sismica delle strutture - Parte 5: Fondazioni, strutture di contenimento ed aspetti geotecnici.

D.M. 11/03/1988

Norme tecniche riguardanti le indagini sui terreni e sulle rocce, la stabilità dei pendii naturali e delle scarpate, i criteri generali e le prescrizioni per la progettazione, l'esecuzione e il collaudo delle opere di sostegno delle terre e delle opere di fondazione (norma possibile se si opera in Zona sismica 4, attuali Classi I e II).

| | | | |
|--------------------------------------|----------------------------------------------------------------------------------------------------------------------|----------------------------------------------------------------------------------|-------------|
| COMMITTENTE: Mecca Antonio | CODICE COMMESSA: | NOME ELABORATO: S1.5 - Relazione Geotecnica e delle Fondazioni | CONSULENTE: |
| DATA: Aprile 2023 | TITOLO: Lavori ultimazione di un fabbricato adibito ad albergo-ristorante– C.da Case Nuove Chicone Avigliano (PZ) | | |

2.2 Premessa

Premessa: contenente la descrizione dei lavori in progetto, i riferimenti normativi adottati, la localizzazione dei terreni interessati, i nominativi dei committenti, del progettista architettonico, del progettista strutturale, del redattore della relazione geologica, le indagini eseguite e le problematiche emerse in quest'ultima.

<testo utente: si consiglia l'inserimento di una premessa con la descrizione generale dell'opera (clic dx per modificare il paragrafo)>

2.3 Descrizione delle opere in sito

Descrizione delle opere in sito: contiene la descrizione delle opere esistenti in sito e da edificare, la tipologia strutturale presente, la tipologia di intervento previsto, la localizzazione geografica e la pericolosità sismica di base.

La **struttura in oggetto** è stata analizzata secondo la norma D.M. 17-01-18 (N.T.C.), considerandola come tipo di costruzione 2 - Costruzioni con livelli di prestazioni ordinari. In particolare si è prevista, in accordo con il committente, una vita nominale dell'opera di $V_n=50$ anni per una classe d'uso III, e quindi una vita di riferimento di 75 anni (NTC18 e NTC08 §2.4.3).

L'opera è edificata in località Potenza, Avigliano, Chicone; Latitudine ED50 40.8062° (40° 48' 22"); Longitudine ED50 15.7497° (15° 44' 59"); Altitudine s.l.m. 753.59 m. (coordinate esatte: 40.806232 15.749678).

La pericolosità sismica di base del sito di costruzione è definita in termini di accelerazione orizzontale massima attesa al suolo in condizioni ideali su sito di riferimento rigido e superficie topografica orizzontale. Le azioni di progetto si ricavano, ai sensi delle NTC, dalle accelerazioni a_g e dalle relative forme spettrali. I tre parametri fondamentali (accelerazione a_g , fattore di amplificazione F_o e periodo T^*C) si ricavano per ciascun nodo del del reticolo di riferimento in funzione del periodo di ritorno dell'azione sismica T_R previsto, espresso in anni; quest'ultimo è noto una volta fissate la vita di riferimento V_r della costruzione e la probabilità di superamento attesa nell'arco della vita di riferimento. Le probabilità di superamento nel periodo di riferimento P_{Vr} cui riferirsi per individuare l'azione sismica agente in ciascuno degli stati limite considerati sono riportate nella tabella 3.2.I del §3.2.1 della norma; i valori di P_{Vr} forniti in tabella possono essere ridotti in funzione del grado di protezione che si vuole raggiungere.

Nella presente progettazione si sono considerati i seguenti parametri sismici:

| | |
|-------------|--------|
| PVr SLD (%) | 63 |
| Tr SLD | 75.43 |
| Ag/g SLD | 0.0732 |
| Fo SLD | 2.479 |

Relazione Geotecnica e delle Fondazioni

| | | |
|-------------|--------|-----|
| Tc* SLD | 0.341 | [s] |
| PVr SLV (%) | 10 | |
| Tr SLV | 711.84 | |
| Ag/g SLV | 0.1835 | |
| Fo SLV | 2.572 | |
| Tc* SLV | 0.446 | [s] |

Risposta sismica locale

Le condizioni stratigrafiche del volume di terreno interessato dall'opera e le condizioni topografiche concorrono a modificare l'azione sismica in superficie rispetto a quella attesa su un sito rigido con superficie orizzontale. Tali modifiche, in ampiezza, durata e contenuto in frequenza, sono il risultato della risposta sismica locale.

Gli effetti stratigrafici sono legati alla successione stratigrafica, alle proprietà meccaniche dei terreni, alla geometria del contatto tra il substrato rigido e i terreni sovrastanti ed alla geometria dei contatti tra gli strati di terreno. Gli effetti topografici sono invece legati alla configurazione topografica del piano campagna ed alla possibile focalizzazione delle onde sismiche in punti particolari (pendii, creste).

Nella presente progettazione l'effetto della risposta sismica locale è stato valutato individuando la categoria di sottosuolo di riferimento corrispondente alla situazione in sito e considerando le condizioni topografiche locali (NTC18 e NTC08 §3.2.2). Per la valutazione del coefficiente di amplificazione stratigrafica SS la caratterizzazione geotecnica condotta nel volume significativo consente di identificare il sottosuolo prevalente nella categoria E - Terreni con caratteristiche e valori di velocità equivalente riconducibili a quelle definite per le categorie C o D, con profondità del substrato non superiore a 30 m. Si riporta per completezza la corrispondente descrizione indicata nella norma (NTC18 e NTC08 Tab. 3.2.II).

Categoria suolo E: Terreni con caratteristiche riconducibili a quelle dei sottosuoli di tipo C o D, con profondità del substrato non superiore a 30 m.

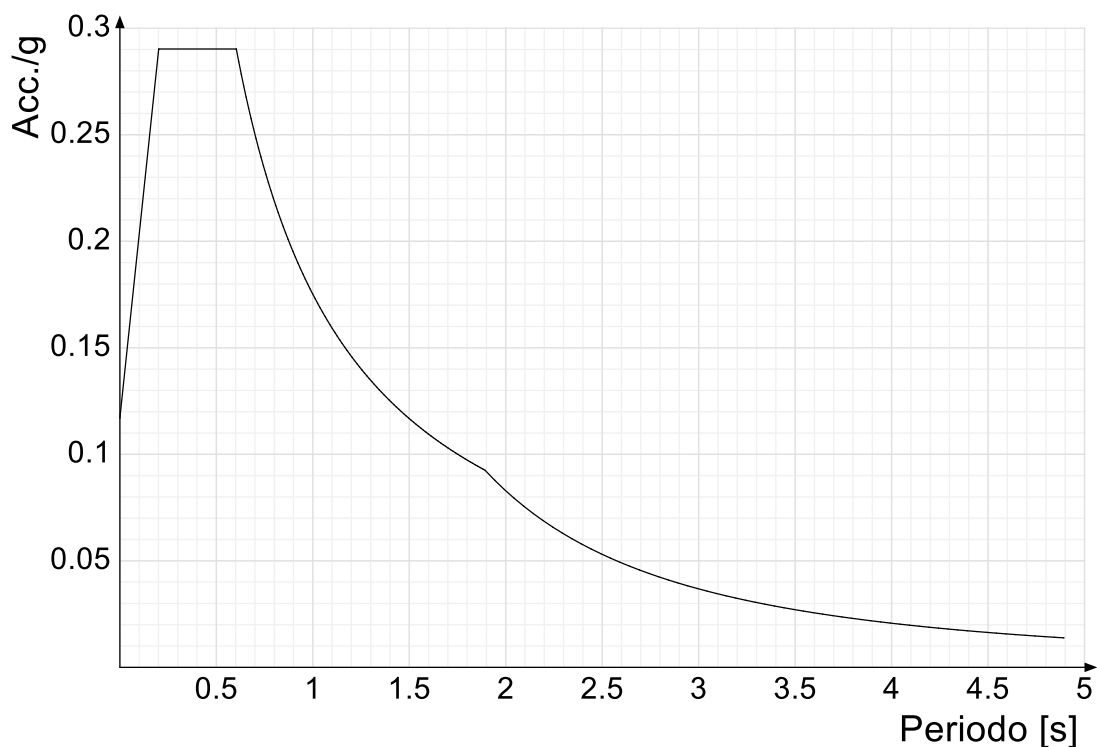
Categoria topografica T1: Superficie pianeggiante, pendii e rilievi isolati con inclinazione media $i \leq 15^\circ$

In base alle categorie scelte si sono infine adottati i seguenti coefficienti di amplificazione e spettrali:

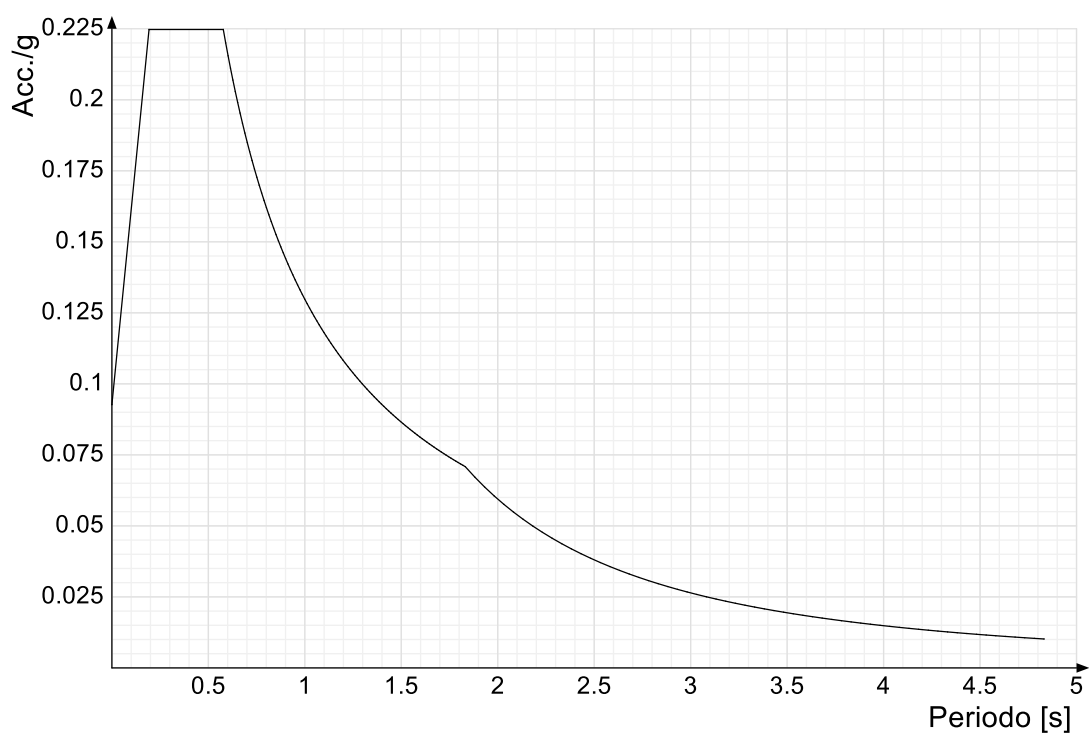
Si riportano infine gli spettri di risposta elastici delle componenti orizzontali per gli stati limite considerati.

Viene mostrato lo spettro "Spettro di risposta elastico in accelerazione delle componenti orizzontali SLD § 3.2.3.2.1 [3.2.2]".

| | | | |
|--------------------------------------|----------------------------------------------------------------------------------------------------------------------|----------------------------------------------------------------------------------|-------------|
| COMMITTENTE: Mecca Antonio | CODICE COMMESSA: | NOME ELABORATO: S1.5 - Relazione Geotecnica e delle Fondazioni | CONSULENTE: |
| DATA: Aprile 2023 | TITOLO: Lavori ultimazione di un fabbricato adibito ad albergo-ristorante– C.da Case Nuove Chicone Avigliano (PZ) | | |

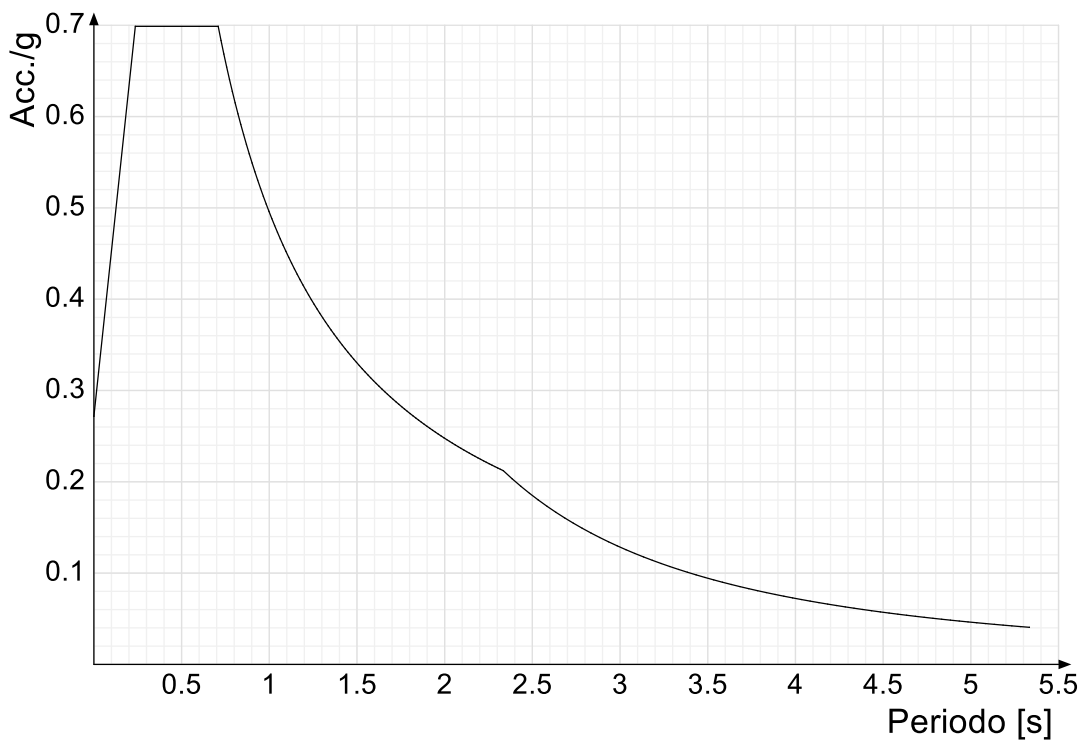


Viene mostrato lo spettro "Spettro di risposta elastico in accelerazione delle componenti orizzontali SLO § 3.2.3.2.1 [3.2.2]".



Viene mostrato lo spettro "Spettro di risposta elastico in accelerazione delle componenti orizzontali SLV § 3.2.3.2.1 [3.2.2]".

Relazione Geotecnica e delle Fondazioni



Parametri di analisi

Si è condotta una analisi di tipo Lineare dinamica su una costruzione di calcestruzzo.

Le parti strutturali in c.a. sono inquadrabili nella tipologia Strutture a telaio $q_0=3.0 \cdot \alpha_u/\alpha_1$, con rapporto α_u/α_1 corrispondente a Strutture a telaio di un piano $\alpha_u/\alpha_1=(1.0+1.1)/2$.

Si è considerata una classe di duttilità Non dissipativa, a cui corrispondono per la struttura in esame i seguenti fattori di struttura:

| | |
|------------------------------------------|-----|
| Fattore di comportamento per sisma SLD X | 1 |
| Fattore di comportamento per sisma SLD Y | 1 |
| Fattore di comportamento per sisma SLV X | 1.5 |
| Fattore di comportamento per sisma SLV Y | 1.5 |

Altri parametri che influenzano l'azione sismica di progetto sono riassunti in questo prospetto:

| | | |
|-------------------------|---|-------|
| Smorzamento viscoso (%) | 5 | |
| Rotazione del sisma | 0 | [deg] |
| Quota dello '0' sismico | 0 | [cm] |

Nell'analisi dinamica modale si sono analizzati 20 modi di vibrare.

Per tenere conto della variabilità spaziale del moto sismico, nonché di eventuali incertezze nella localizzazione delle masse, la normativa richiede di attribuire al centro di massa una eccentricità accidentale, in aggiunta alla eccentricità naturale della costruzione, mediante l'applicazione di carichi statici costituiti da momenti torcenti di valore pari alla risultante

| | | | |
|--------------------------------------|----------------------------------------------------------------------------------------------------------------------|----------------------------------------------------------------------------------|-------------|
| COMMITTENTE: Mecca Antonio | CODICE COMMESSA: | NOME ELABORATO: S1.5 - Relazione Geotecnica e delle Fondazioni | CONSULENTE: |
| DATA: Aprile 2023 | TITOLO: Lavori ultimazione di un fabbricato adibito ad albergo-ristorante– C.da Case Nuove Chicone Avigliano (PZ) | | |

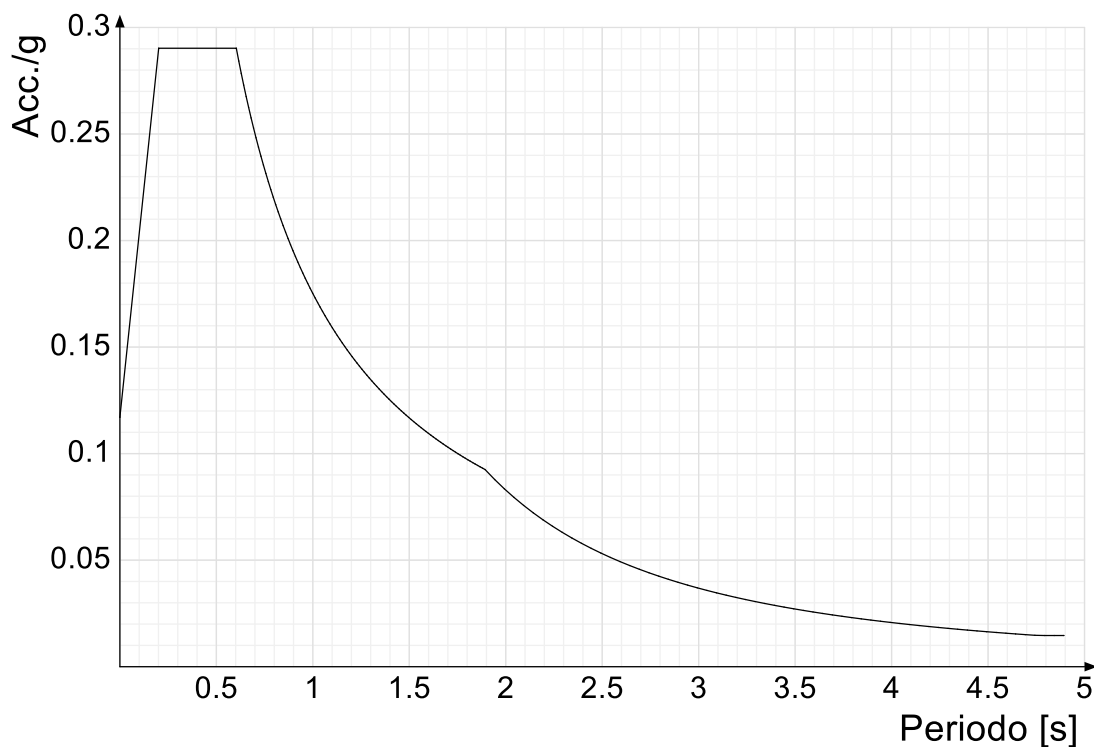
orizzontale della forza agente al piano, moltiplicata per l'eccentricità accidentale del baricentro delle masse rispetto alla sua posizione di calcolo.

Nella struttura in oggetto si è applicata una eccentricità accidentale secondo il seguente prospetto:

| | | |
|---------------------------------------------------|------|-------|
| Eccentricità X (per sisma Y) livello "Livello 1" | 0 | [cm] |
| Eccentricità Y (per sisma X) livello "Livello 1" | 0 | [cm] |
| Eccentricità X (per sisma Y) livello "Livello 10" | 0 | [cm] |
| Eccentricità Y (per sisma X) livello "Livello 10" | 0 | [cm] |
| Eccentricità X (per sisma Y) livello "Piano 10" | 0 | [cm] |
| Eccentricità Y (per sisma X) livello "Piano 10" | 0 | [cm] |
| Eccentricità X (per sisma Y) livello "Livello 2" | 28.2 | [cm] |
| Eccentricità Y (per sisma X) livello "Livello 2" | 50.2 | [cm] |
| Eccentricità X (per sisma Y) livello "Livello 9" | 0 | [cm] |
| Eccentricità Y (per sisma X) livello "Livello 9" | 0 | [cm] |
| Eccentricità X (per sisma Y) livello "Livello 5" | 0 | [cm] |
| Eccentricità Y (per sisma X) livello "Livello 5" | 0 | [cm] |
| Eccentricità X (per sisma Y) livello "Livello 6" | 0 | [cm] |
| Eccentricità Y (per sisma X) livello "Livello 6" | 0 | [cm] |

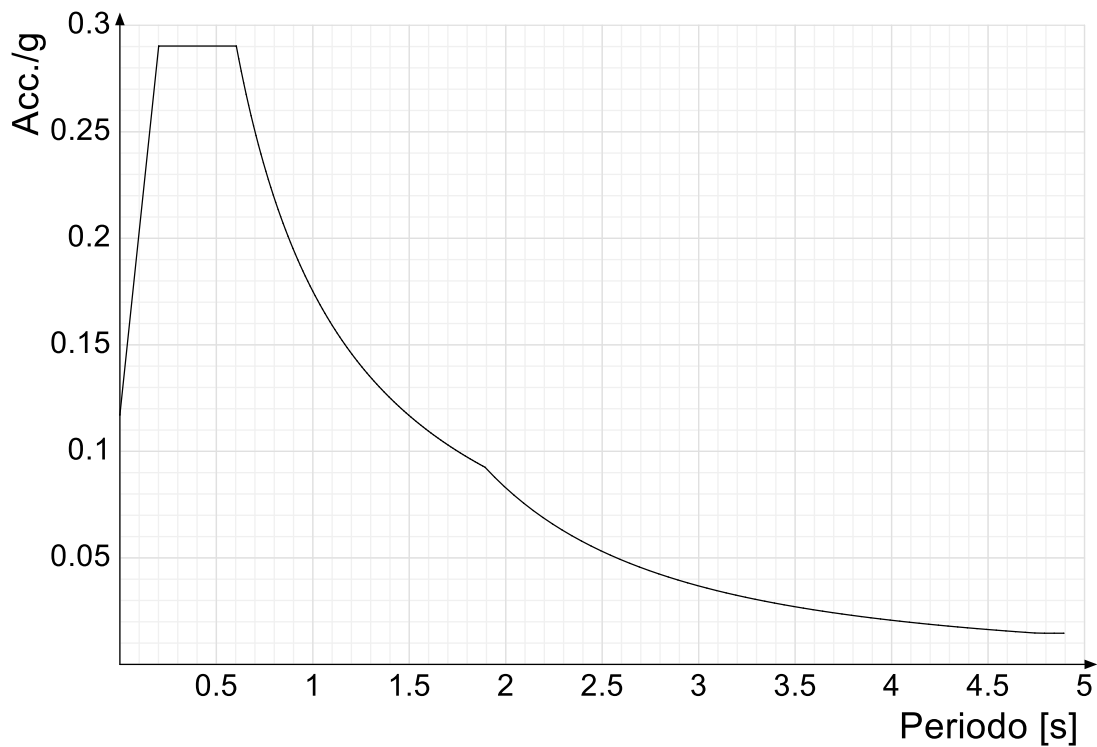
Si riportano infine gli spettri di risposta di progetto delle componenti orizzontali per gli stati limite considerati.

Viene mostrato lo spettro "Spettro di risposta di progetto in accelerazione della componente X SLD § 3.2.3.5".

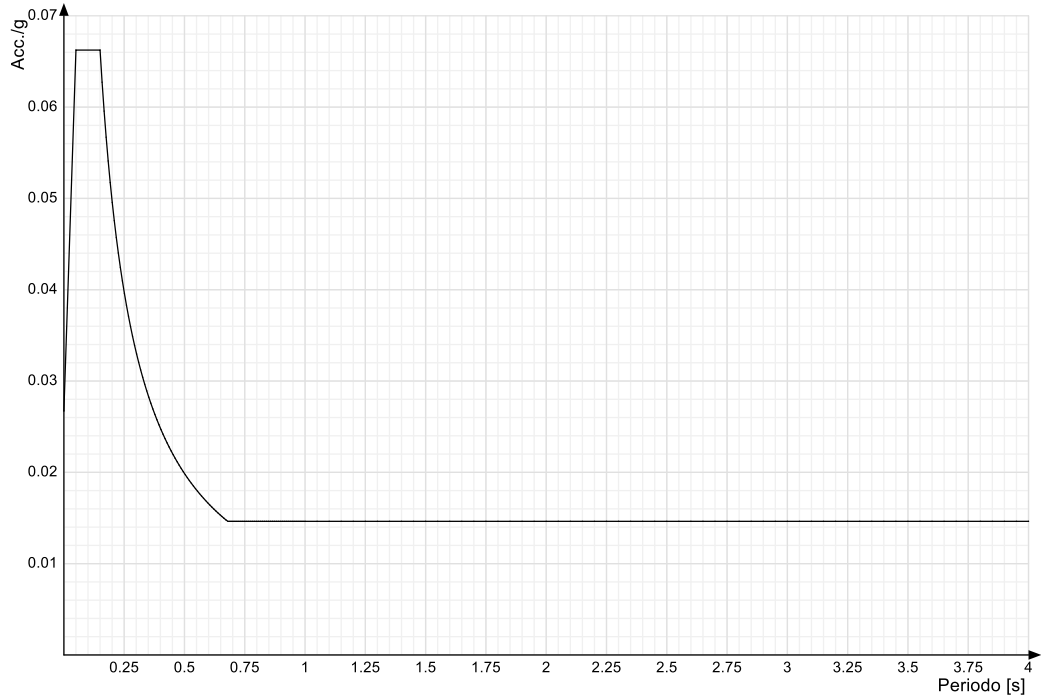


Viene mostrato lo spettro "Spettro di risposta di progetto in accelerazione della componente Y SLD § 3.2.3.5".

Relazione Geotecnica e delle Fondazioni

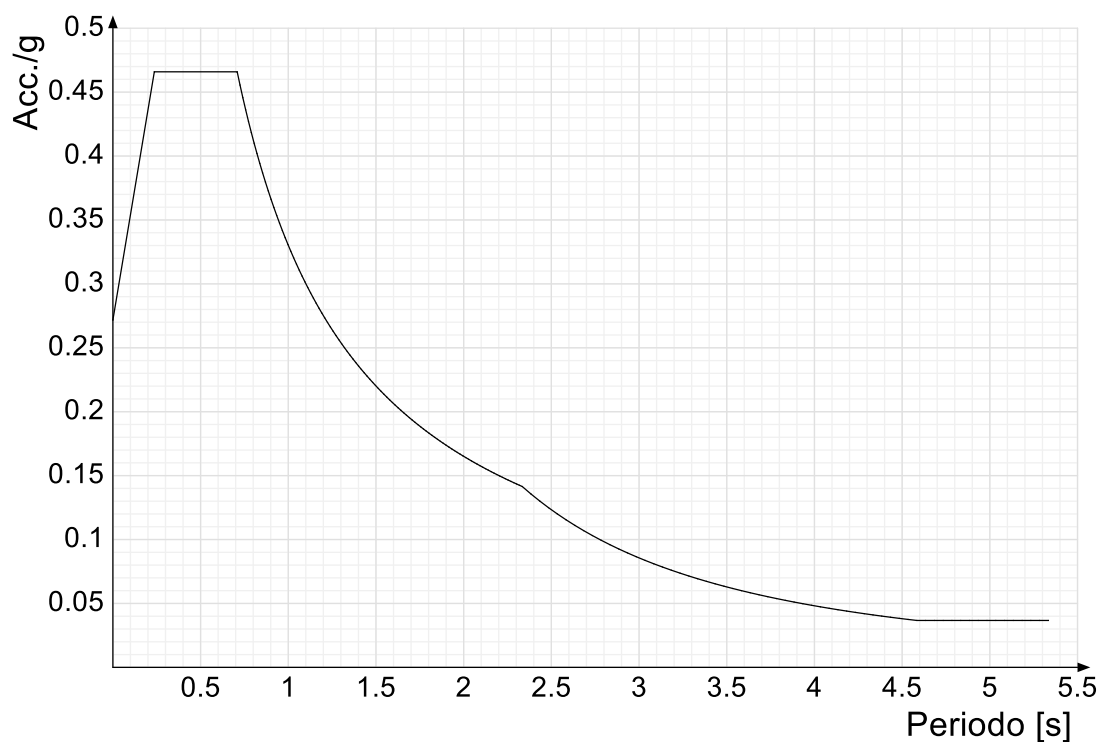


Viene mostrato lo spettro "Spettro di risposta di progetto in accelerazione della componente verticale SLD § 3.2.3.5".

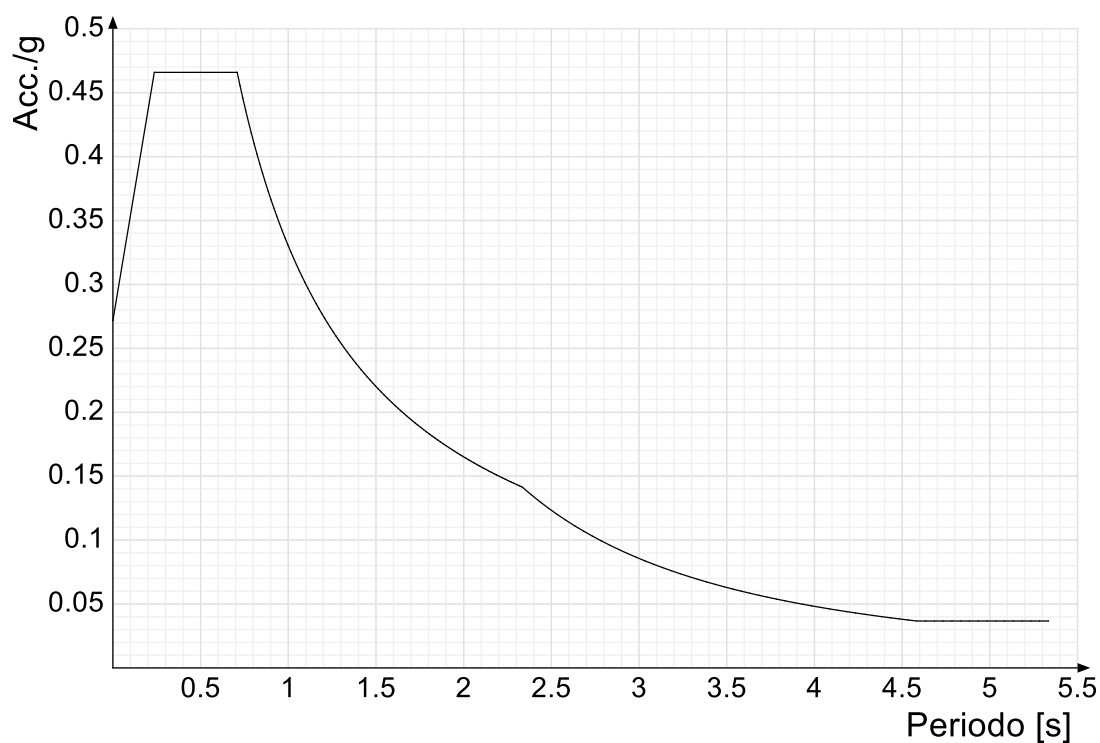


Viene mostrato lo spettro "Spettro di risposta di progetto in accelerazione della componente X SLV § 3.2.3.5".

| | | | |
|--------------------------------------|----------------------------------------------------------------------------------------------------------------------|----------------------------------------------------------------------------------|-------------|
| COMMITTENTE: Mecca Antonio | CODICE COMMESSA: | NOME ELABORATO: S1.5 - Relazione Geotecnica e delle Fondazioni | CONSULENTE: |
| DATA: Aprile 2023 | TITOLO: Lavori ultimazione di un fabbricato adibito ad albergo-ristorante- C.da Case Nuove Chicone Avigliano (PZ) | | |

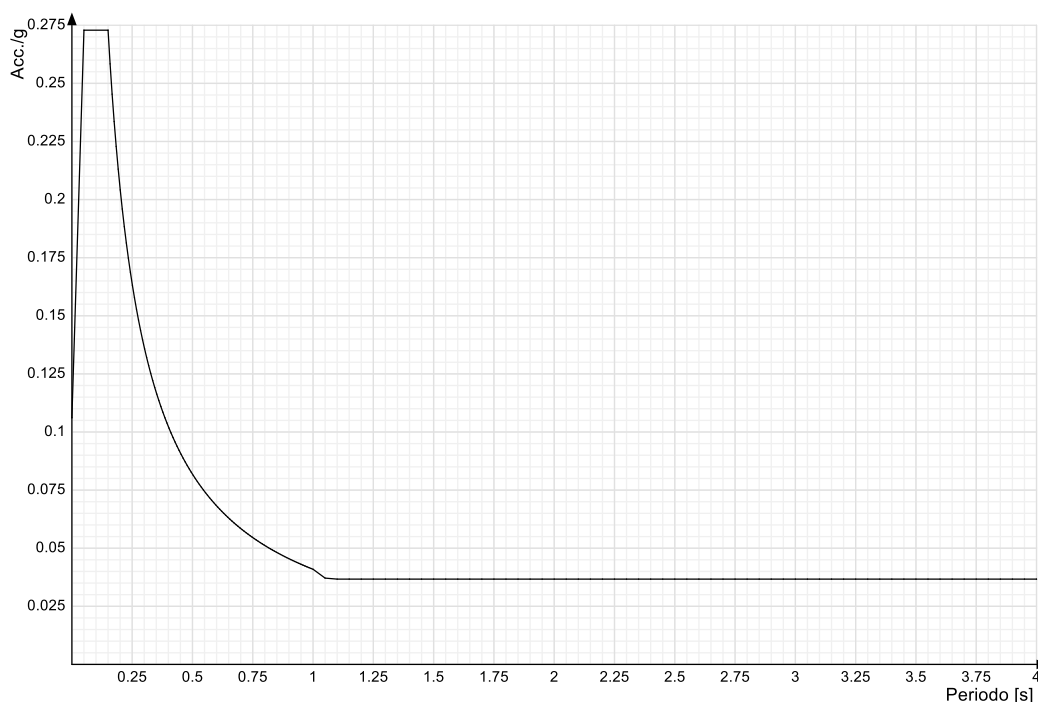


Viene mostrato lo spettro "Spettro di risposta di progetto in accelerazione della componente Y SLV § 3.2.3.5".



Viene mostrato lo spettro "Spettro di risposta di progetto in accelerazione della componente verticale SLV § 3.2.3.5".

Relazione Geotecnica e delle Fondazioni



Nella presente progettazione si sono considerati i seguenti parametri geotecnici di verifica:

| | |
|--------------------------------------------------------------------------------------------|------|
| Coefficiente di sicurezza per carico limite (fondazioni superficiali) | 2.3 |
| Coefficiente di sicurezza per scorrimento (fondazioni superficiali) | 1.1 |
| Coefficiente di sicurezza portanza verticale pali infissi, punta | 1.15 |
| Coefficiente di sicurezza portanza verticale pali infissi, laterale compressione | 1.15 |
| Coefficiente di sicurezza portanza verticale pali infissi, laterale trazione | 1.25 |
| Coefficiente di sicurezza portanza verticale pali trivellati, punta | 1.35 |
| Coefficiente di sicurezza portanza verticale pali trivellati, laterale compressione | 1.15 |
| Coefficiente di sicurezza portanza verticale pali trivellati, laterale trazione | 1.25 |
| Coefficiente di sicurezza portanza verticale micropali, punta | 1.35 |
| Coefficiente di sicurezza portanza verticale micropali, laterale compressione | 1.15 |
| Coefficiente di sicurezza portanza verticale micropali, laterale trazione | 1.25 |
| Coefficiente di sicurezza portanza trasversale pali | 1.3 |
| Fattore di correlazione resistenza caratteristica dei pali in base alle verticali indagate | 1.7 |
| Coefficiente di sicurezza per ribaltamento (plinti superficiali) | 1.15 |

2.4 Problemi geotecnici e scelte tipologiche

Problemi geotecnici e scelte tipologiche: contiene la valutazione eseguita dal progettista sulle problematiche geotecniche inerenti l'opera in oggetto, sulla base di quanto emerso dalle documentazioni esistenti, in particolare dalla relazione geologica del sito; a questo proposito è possibile richiamare i termini presenti nella carta geologica. Viene indicata la tipologia di fondazioni previste, le modalità costruttive, gli accertamenti preliminari necessari, gli eventuali interventi aggiuntivi richiesti (sbancamenti, consolidamenti, sistemi di drenaggio, abbassamento di falda, ecc.).

Tipologia di fondazione

Nella modellazione si è considerata la presenza di fondazioni superficiali, schematizzando il suolo con un letto di molle elastiche di assegnata rigidezza. In direzione orizzontale si è considerata una rigidezza pari a 0.5 volte quella verticale, includendo nella determinazione

| | | | |
|--------------------------------------|----------------------------------------------------------------------------------------------------------------------|----------------------------------------------------------------------------------|-------------|
| COMMITTENTE: Mecca Antonio | CODICE COMMESSA: | NOME ELABORATO: S1.5 - Relazione Geotecnica e delle Fondazioni | CONSULENTE: |
| DATA: Aprile 2023 | TITOLO: Lavori ultimazione di un fabbricato adibito ad albergo-ristorante– C.da Case Nuove Chicone Avigliano (PZ) | | |

delle azioni anche il peso sismico delle fondazioni.

I valori di default dei parametri di modellazione del suolo, cioè quelli adottati dove non diversamente specificato, sono i seguenti:, includendo nella determinazione delle azioni anche il peso sismico delle fondazioni.

| | | |
|----------------------------------------------------------------------------|----|------------------------|
| Coefficiente di sottofondo verticale per fondazioni superficiali (default) | 2 | [daN/cm ³] |
| K punta palo (default) | 4 | [daN/cm ³] |
| Pressione limite punta palo (default) | 10 | [daN/cm ²] |

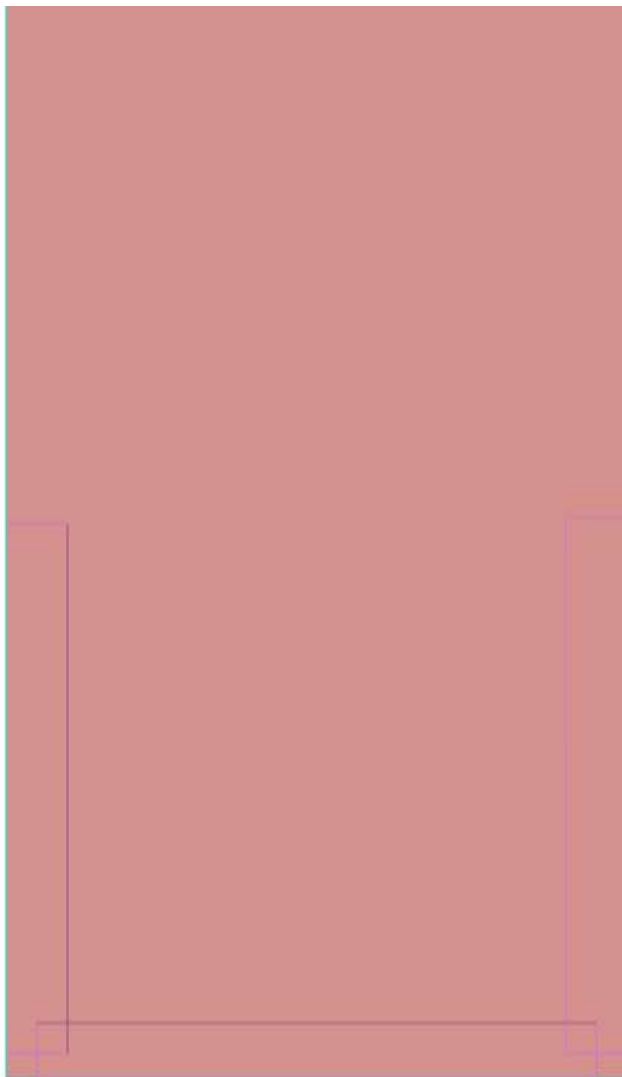
Per elementi nei quali si sono valutati i parametri geotecnici in funzione della stratigrafia sottostante si sono adottate le seguenti formulazioni di letteratura:

| | |
|-----------------------------------------------------|-------|
| Metodo di calcolo della K verticale | Vesic |
| Metodo di calcolo della capacità portante | Vesic |
| Metodo di calcolo della pressione limite punta palo | Vesic |

La resistenza limite offerta dai pali in direzione orizzontale e verticale è funzione dell'attrito e della coesione che si può sviluppare all'interfaccia con il terreno. Oltre ai dati del suolo, descritti nelle seguenti stratigrafie, hanno influenza anche i seguenti parametri:

| | |
|--------------------------------------------------------------------------------------------|------|
| Coefficiente di sicurezza per carico limite (fondazioni superficiali) | 2.3 |
| Coefficiente di sicurezza per scorrimento (fondazioni superficiali) | 1.1 |
| Coefficiente di sicurezza portanza verticale pali infissi, punta | 1.15 |
| Coefficiente di sicurezza portanza verticale pali infissi, laterale compressione | 1.15 |
| Coefficiente di sicurezza portanza verticale pali infissi, laterale trazione | 1.25 |
| Coefficiente di sicurezza portanza verticale pali trivellati, punta | 1.35 |
| Coefficiente di sicurezza portanza verticale pali trivellati, laterale compressione | 1.15 |
| Coefficiente di sicurezza portanza verticale pali trivellati, laterale trazione | 1.25 |
| Coefficiente di sicurezza portanza verticale micropali, punta | 1.35 |
| Coefficiente di sicurezza portanza verticale micropali, laterale compressione | 1.15 |
| Coefficiente di sicurezza portanza verticale micropali, laterale trazione | 1.25 |
| Fattore di correlazione resistenza caratteristica dei pali in base alle verticali indagate | 1.7 |

Relazione Geotecnica e delle Fondazioni



Rappresentazione in pianta di tutti gli elementi strutturali di fondazione.

2.4.1 Elementi di fondazione

2.4.1.1 Fondazioni di piastre

Descrizione breve: descrizione breve usata nelle tabelle dei capitoli delle piastre di fondazione.

Stratigrafia: stratigrafia del terreno nel punto medio in pianta dell'elemento.

Sondaggio: è possibile indicare esplicitamente un sondaggio definito nelle preferenze oppure richiedere di estrapolare il sondaggio dalla definizione del sito espressa nelle preferenze.

Estradosso: distanza dalla quota superiore del sondaggio misurata in verticale con verso positivo verso l'alto. [cm]

Deformazione volumetrica: valore della deformazione volumetrica impiegato nel calcolo della pressione limite a rottura con la formula di Vesic. Il valore è adimensionale. Accetta anche il valore di default espresso nelle preferenze.

Angolo pendio: angolo del pendio rispetto l'orizzontale; il valore deve essere positivo per opere in sommità di un pendio mentre deve essere negativo per opere al piede di un pendio. [deg]

K verticale: coefficiente di sottofondo verticale del letto di molle. [daN/cm³]

Limite compressione: pressione limite di plasticizzazione a compressione del letto di molle. [daN/cm²]

Limite trazione: pressione limite di plasticizzazione a trazione del letto di molle. [daN/cm²]

| Descrizione breve | Stratigrafia | | | Angolo pendio | K verticale | Limite compressione | Limite trazione |
|-------------------|--------------|------------|--------------------------|---------------|-------------|---------------------|-----------------|
| | Sondaggio | Estradosso | Deformazione volumetrica | | | | |

| | | | |
|--------------------------------------|----------------------------------------------------------------------------------------------------------------------|----------------------------------------------------------------------------------|-------------|
| COMMITTENTE: Mecca Antonio | CODICE COMMESSA: | NOME ELABORATO: S1.5 - Relazione Geotecnica e delle Fondazioni | CONSULENTE: |
| DATA: Aprile 2023 | TITOLO: Lavori ultimazione di un fabbricato adibito ad albergo-ristorante– C.da Case Nuove Chicone Avigliano (PZ) | | |

| Descrizione breve | Stratigrafia | | | Angolo pendio | K verticale | Limite compressione | Limite trazione |
|-------------------|---------------------|------------|--------------------------|---------------|-------------|---------------------|-----------------|
| | Sondaggio | Estradosso | Deformazione volumetrica | | | | |
| FS1 | Piu' vicino in sito | 0 | | 0 | 1.361 | 10 | 0.001 |

2.5 Caratterizzazione geotecnica dei terreni in sito

2.5.1 Terreni

Descrizione: descrizione o nome assegnato all'elemento.

Natura geologica: natura geologica del terreno (granulare, coesivo, roccia).

Coesione (c'): coesione efficace del terreno. [daN/cm²]

Coesione non drenata (Cu): coesione non drenata (Cu), per terreni eminentemente coesivi (argille). [daN/cm²]

Angolo di attrito interno ϕ : angolo di attrito interno del terreno. [deg]

Angolo di attrito di interfaccia δ : angolo di attrito all'interfaccia tra terreno-cla. [deg]

Coeff. α di adesione della coesione (0;1): coeff. di adesione della coesione all'interfaccia terreno-cla, compreso tra 0 ed 1. Il valore è adimensionale.

Coeff. di spinta K0: coefficiente di spinta a riposo del terreno. Il valore è adimensionale.

γ naturale: peso specifico naturale del terreno in sito, assegnato alle zone non immerse. [daN/cm³]

γ saturo: peso specifico saturo del terreno in sito, assegnato alle zone immerse. [daN/cm³]

E: modulo elastico longitudinale del terreno. [daN/cm²]

v: coefficiente di Poisson del terreno. Il valore è adimensionale.

Qualità roccia RQD (0;1): rock quality degree. Indice di qualità della roccia, assume valori nell'intervallo (0;1). Il valore è adimensionale.

| Descrizione | Natura geologica | Coesione (c') | Coesione non drenata (Cu) | Angolo di attrito interno ϕ | Angolo di attrito di interfaccia δ | Coeff. α di adesione della coesione (0;1) | Coeff. di spinta K0 | γ naturale | γ saturo | E | v | Qualità roccia RQD (0;1) |
|---------------------------------|-------------------------------|---------------|---------------------------|----------------------------------|-------------------------------------------|--------------------------------------------------|---------------------|-------------------|-----------------|-----|-----|--------------------------|
| Coltre di alterazione substrato | Granulare incoerente (Sabbie) | 0.25 | 0 | 24 | 20 | 1 | 0.38 | 0.002 | 0.00215 | 900 | 0.3 | 0 |
| Arenarie quarzose | Granulare incoerente (Sabbie) | 0.05 | 0 | 30 | 20 | 1 | 0.5 | 0.0019 | 0.00215 | 900 | 0.3 | 0 |

2.6 Modellazione del sottosuolo e metodi di analisi e di verifica

Modellazione del sottosuolo e metodi di analisi e di verifica: contiene la descrizione del modello di calcolo adottato per il suolo, con i relativi parametri di modellazione; sono indicati anche gli eventuali metodi adottati per ricavare i parametri di modellazione ed i metodi e le condizioni con cui sono condotte le verifiche geotecniche.

Modello di fondazione

Le travi di fondazione sono modellate tramite uno specifico elemento finito che gestisce il suolo elastico alla Winkler. Le fondazioni a plinto superficiale sono modellate con un numero elevato di molle verticali elastiche agenti su nodi collegati rigidamente al nodo centrale. Le fondazioni a platea sono modellate con l'inserimento di molle verticali elastiche agenti nei nodi delle mesh.

Verifica di scorrimento

La verifica di scorrimento della fondazione superficiale viene eseguita considerando le caratteristiche del terreno immediatamente sottostante al piano di posa della fondazione, ricavato in base alla stratigrafia associata all'elemento, e trascurando, a favore di sicurezza,

Relazione Geotecnica e delle Fondazioni

l'eventuale spinta passiva laterale.

Qualora l'elemento in verifica sia formato da parti non omogenee tra loro, ad esempio una travata in cui le singole travi di fondazione siano associate ad un differente sondaggio, verranno condotte verifiche geotecniche distinte sui singoli tratti.

Lo scorrimento di una fondazione avviene nel momento in cui le componenti delle forze parallele al piano di contatto tra fondazione e terreno vincono l'attrito e la coesione terreno-fondazione e, qualora fosse presente, la spinta passiva laterale.

Il coefficiente di sicurezza a scorrimento si ottiene dal rapporto tra le forze stabilizzanti di progetto (R_d) e quelle instabilizzanti (E_d):

$$R_d = (N \cdot \tan(\varphi) + c_a \cdot B \cdot L + \alpha \cdot S_p) / \gamma_{Rs}$$
$$E_d = \sqrt{T_x^2 + T_y^2}$$

dove:

- N = risultante delle forze normali al piano di scorrimento;
- T_x, T_y = componenti delle forze tangenziali al piano di scorrimento;
- $\tan(\varphi)$ = coefficiente di attrito terreno-fondazione;
- c_a = aderenza alla base, pari alla coesione del terreno di fondazione o ad una sua frazione;
- B, L = dimensioni della fondazione;
- alpha = fattore di riduzione della spinta passiva;
- S_p = spinta passiva dell'eventuale terreno laterale;
- γ_{rs} = fattore di sicurezza parziale per lo scorrimento;

Le normative prevedono che il fattore di sicurezza a scorrimento $FS = R_d/E_d$ sia non minore di un prefissato limite.

Verifica di capacità portante

La verifica di capacità portante della fondazione superficiale viene eseguita mediante formulazioni di letteratura geotecnica considerando le caratteristiche dei terreni sottostanti al piano di posa della fondazione, ricavati in base alla stratigrafia associata all'elemento.

Qualora l'elemento in verifica sia formato da parti non omogenee tra loro, ad esempio una travata in cui le singole travi di fondazione siano associate ad un differente sondaggio, verranno condotte verifiche geotecniche distinte sui singoli tratti.

La verifica viene fatta raffrontando la portanza di progetto (R_d) con la sollecitazione di progetto (E_d); la prima deriva dalla portanza calcolata con metodi della letteratura geotecnica, ridotta da opportuni fattori di sicurezza parziali; la seconda viene valutata ricavando la risultante della sollecitazione scaricata al suolo con una integrazione delle pressioni nel tratto di calcolo. Le normative prevedono che il fattore di sicurezza alla capacità portante, espresso come rapporto tra il carico ultimo di progetto della fondazione (R_d) ed il carico agente (E_d), sia non minore di un prefissato limite.

La portanza di una fondazione rappresenta il carico ultimo trasmissibile al suolo prima di arrivare alla rottura del terreno. Le formule di calcolo presenti in letteratura sono nate per la

| | | | |
|--------------------------------------|----------------------------------------------------------------------------------------------------------------------|----------------------------------------------------------------------------------|-------------|
| COMMITTENTE: Mecca Antonio | CODICE COMMESSA: | NOME ELABORATO: S1.5 - Relazione Geotecnica e delle Fondazioni | CONSULENTE: |
| DATA: Aprile 2023 | TITOLO: Lavori ultimazione di un fabbricato adibito ad albergo-ristorante– C.da Case Nuove Chicone Avigliano (PZ) | | |

fondazione nastriforme indefinita ma aggiungono una serie di termini correttivi per considerare le effettive condizioni al contorno della fondazione, esprimendo la capacità portante ultima in termini di pressione limite agente su di una fondazione equivalente soggetta a carico centrato.

La determinazione della capacità portante ai fini della verifica è stata condotta secondo il metodo di Vesic, che viene descritto nei paragrafi successivi.

Metodo di Vesic

La capacità portante valutata attraverso la formula di Vesic risulta, nel caso generale:

$$Q_{lim} = c \cdot N_c \cdot s_c \cdot d_c \cdot i_c \cdot b_c \cdot g_c + q \cdot N_q \cdot s_q \cdot d_q \cdot i_q \cdot b_q \cdot g_q + \frac{1}{2} \gamma \cdot B \cdot N_\gamma \cdot s_\gamma \cdot d_\gamma \cdot i_\gamma \cdot b_\gamma \cdot g_\gamma$$

Nel caso di terreno eminentemente coesivo ($\phi = 0$) tale relazione diventa:

$$Q_{lim} = (2 + \pi) \cdot c_u \cdot (1 + s'_c + d'_c - i'_c - b'_c - g'_c) + q$$

dove:

| | |
|--------------------------------------------------|----------------------------------------------------------------|
| gamma' | = peso di volume efficace dello strato di fondazione; |
| B | = larghezza efficace della fondazione ($B = B_f - 2e$); |
| L | = lunghezza efficace della fondazione ($L = L_f - 2e$); |
| c | = coesione dello strato di fondazione; |
| c _u | = coesione non drenata dello strato di fondazione; |
| q | = sovraccarico del terreno sovrastante il piano di fondazione; |
| N _c , N _q , N _γ | = fattori di capacità portante; |
| s _c , s _q , s _γ | = fattori di forma della fondazione; |
| d _c , d _q , d _γ | = fattori di profondità del piano di posa della fondazione; |
| i _c , i _q , i _γ | = fattori di inclinazione del carico; |
| b _c , b _q , b _γ | = fattori di inclinazione della base della fondazione; |
| g _c , g _q , g _γ | = fattori di inclinazione del piano campagna; |

Nel caso di piano di campagna inclinato ($\beta > 0$) e $\phi = 0$, Vesic propone l'aggiunta, nella formula sopra definita, del termine

$0.5 \cdot \gamma \cdot B \cdot N_\gamma$ con $N_\gamma = -2 \cdot \tan \beta$

Per la teoria di Vesic i coefficienti sopra definiti assumono le espressioni che seguono:

Relazione Geotecnica e delle Fondazioni

$$\begin{aligned}
 N_c &= (N_q - 1) \cdot \operatorname{ctg} \phi; \quad N_q = \operatorname{tg}^2 \left(45^\circ + \frac{\phi}{2} \right) \cdot e^{(\pi \cdot \operatorname{tg} \phi)}; \quad N_\gamma = 2 \cdot (N_q + 1) \cdot \operatorname{tg} \phi \\
 s_c &= 1 + \frac{B}{L} \cdot \frac{N_q}{N_c}; \quad s'_c = 0.2 \cdot \frac{B}{L}; \quad s_q = 1 + \frac{B}{L} \cdot \operatorname{tg} \phi; \quad s_\gamma = 1 - 0.4 \cdot \frac{B}{L} \\
 d_c &= 1 + 0.4 \cdot k; \quad d'_c = 0.4 \cdot k; \quad d_q = 1 + 2 \cdot k \cdot \operatorname{tg} \phi \cdot (1 - \sin \phi)^2; \quad d_\gamma = 1 \\
 i_c &= i_q - \frac{1 - i_q}{N_q - 1}; \quad i'_c = \frac{m \cdot H}{B \cdot L \cdot c_a \cdot N_c}; \quad i_q = \left(1 - \frac{H}{V + B \cdot L \cdot c_a \cdot \operatorname{ctg} \phi} \right)^m; \\
 i_\gamma &= \left(1 - \frac{H}{V + B \cdot L \cdot c_a \cdot \operatorname{ctg} \phi} \right)^{m+1} \\
 g_c &= 1 - \frac{\beta^\circ}{147^\circ}; \quad g'_c = \frac{\beta^\circ}{147^\circ}; \quad g_q = (1 - \operatorname{tg} \beta)^2; \quad g_\gamma = g_q \\
 b_c &= 1 - \frac{\eta^\circ}{147^\circ}; \quad b'_c = \frac{\eta^\circ}{147^\circ}; \quad b_q = (1 - \eta \cdot \operatorname{tg} \phi)^2; \quad b_\gamma = b_q \\
 k &= \frac{D}{B_f} \quad (\text{se } \frac{D}{B_f} \leq 1); \quad k = \operatorname{arctg} \left(\frac{D}{B_f} \right) \quad (\text{se } \frac{D}{B_f} > 1); \quad m = \frac{2 + \frac{B}{L}}{1 + \frac{B}{L}}
 \end{aligned}$$

nelle quali si sono considerati i seguenti dati:

phi = angolo di attrito dello strato di fondazione;

ca = aderenza alla base della fondazione;

nu = inclinazione del piano di posa della fondazione sull'orizzontale (nu = 0 se orizzontale);

beta = inclinazione del pendio;

H = componente orizzontale del carico trasmesso sul piano di posa della fondazione;

V = componente verticale del carico trasmesso sul piano di posa della fondazione;

D = profondità del piano di posa della fondazione dal piano campagna;

Influenza degli strati sulla capacità portante

Le formulazioni utilizzate per la portanza prevedono la presenza di uno stesso terreno nella zona interessata dalla potenziale rottura. In prima approssimazione lo spessore di tale zona è pari a:

$$H = \frac{1}{2} \cdot B \cdot \operatorname{Tan}(45^\circ + \phi / 2)$$

In presenza di stratificazioni di terreni diversi all'interno di tale zona, il calcolo diventa più complesso; non esiste una metodologia univoca per questi casi, differenti autori hanno proposto soluzioni diverse a seconda dei casi che si possono presentare. In prima approssimazione, nel caso di stratificazioni, viene trovata una media delle caratteristiche dei terreni, pesata sullo spessore degli strati interessati. Nel caso in cui il primo strato incontrato sia coesivo viene anche verificato che la compressione media agente sulla fondazione non

| | | | |
|--------------------------------------|------------------------------------------------------------------------------------------------------------------------------|----------------------------------------------------------------------------------|-------------|
| COMMITTENTE: Mecca Antonio | CODICE COMMESSA: | NOME ELABORATO: S1.5 - Relazione Geotecnica e delle Fondazioni | CONSULENTE: |
| DATA: Aprile 2023 | TITOLO: Lavori ultimazione di un fabbricato adibito ad albergo-ristorante– C.da Case Nuove Chicone Avigliano (PZ) | | |

superi la tensione limite di espulsione, circostanza che provocherebbe il rifluimento del terreno da sotto la fondazione, rendendo impossibile la portanza.

La tensione limite di espulsione q_{ult} per terreno coesivo viene calcolata come:

$$q_{ult} = 4c + q$$

dove c è la coesione e q è il sovraccarico agente sul piano di posa.

Influenza del sisma sulla capacità portante

La capacità portante nelle combinazioni sismiche viene valutata mediante l'estensione di procedure classiche al caso di azione sismica.

L'**effetto inerziale** prodotto dalla struttura in elevazione sulla fondazione può essere considerato tenendo conto dell'effetto dell'inclinazione (rapporto tra forze T parallele al piano di posa e carico normale N) e dell'eccentricità (rapporto tra momento M e carico normale N) delle azioni in fondazione, e produce variazioni di tutti i coefficienti di capacità portante del carico limite, oltre alla riduzione dell'area efficace.

L'**effetto cinematico** si manifesta per effetto dell'inerzia delle masse del suolo sotto la fondazione come una riduzione della resistenza teorica calcolata in condizioni statiche; tale riduzione è in funzione del coefficiente sismico orizzontale k_h , cioè dell'accelerazione normalizzata massima attesa al suolo, e delle caratteristiche del suolo. L'effetto è più marcato su terreni granulari, mentre nei suoli coesivi è poco rilevante.

Per tener conto nella determinazione del carico limite di tali effetti inerziali vengono introdotti nelle combinazioni sismiche anche i fattori correttivi e (earthquake), valutati secondo **Paolucci e Pecker**:

$$e_g = \left(1 - \frac{k_h}{\tan \phi}\right)^{0.35}; \quad e_c = 1 - 0.32 \cdot k_h; \quad e_y = e_g$$

2.7 Verifiche delle fondazioni

2.7.1 Verifiche piastre C.A. di fondazione

Le unità di misura elencate nel capitolo sono in [cm, daN, deg] ove non espressamente specificato.

Nodo: indice del nodo di verifica.

Dir.: direzione della sezione di verifica.

B: base della sezione rettangolare di verifica. [cm]

H: altezza della sezione rettangolare di verifica. [cm]

A. sup.: area barre armatura superiori. [cm²]

C. sup.: distanza media delle barre superiori dal bordo superiore della sezione. [cm]

A. inf.: area barre armatura inferiori. [cm²]

C. inf.: distanza media delle barre inferiori dal bordo inferiore della sezione. [cm]

Comb.: combinazione di verifica.

M: momento flettente. [daN*cm]

N: sforzo normale. [daN]

Mu: momento flettente ultimo. [daN*cm]

Nu: sforzo normale ultimo. [daN]

c.s.: coefficiente di sicurezza.

Verifica: stato di verifica.

Relazione Geotecnica e delle Fondazioni

A. st.: area staffe su interasse. [cm]
A. sag.: area sagomati su interasse. [cm]
Ved: taglio agente. [daN]
Vrd: taglio resistente. [daN]
Vrdc: resistenza di calcolo a taglio per elementi privi di armature trasversali. [daN]
Vrds: resistenza di calcolo a taglio trazione. [daN]
Vrcd: resistenza di calcolo a taglio compressione. [daN]
cotgθ: cotangente dell'inclinazione dei puntoni di calcestruzzo rispetto all'asse dell'elemento.
Asl: area longitudinale tesa nella combinazione di verifica di Ved. [cm²]
σc: tensione nel calcestruzzo. [daN/cm²]
σlim: tensione limite. [daN/cm²]
Es/Ec: coefficiente di omogenizzazione.
σf: tensione nell'acciaio d'armatura. [daN/cm²]
εsm: deformazione unitaria media delle barre di armatura.
Δmax: distanza massima tra le fessure. [cm]
Wd: valore di calcolo di apertura delle fessure. [cm]
Nome: nome attribuito alla zona di punzonamento.
Lato punzonante: lato considerato come punzonante in verifica.
Verticali inferiori: elementi punzonanti inferiori.
Verticali superiori: elementi punzonanti superiori.
Zona: nome della zona di punzonamento.
Ø [mm]: diametro.
Distanza: distanza della prima barra di ciascun raggio dal perimetro dell'elemento punzonante. [cm]
Passo radiale: passo radiale barre verticali. [cm]
Numero per raggio: numero di barre per raggio di armatura.
Angolo iniziale: angolo iniziale posa raggi di armatura. [deg]
Numero raggi: numero di raggi di armatura.
Lato: lato su cui agisce l'azione punzonante.
ved: tensione tangenziale per punzonamento. [daN/cm²]
vrds,max: resistenza a punzonamento. [daN/cm²]
d: media delle altezze utili nelle due direzioni ortogonali. [cm]
U0: lunghezza efficace del perimetro di verifica. [cm]
VEd: forza netta di taglio-punzonamento. [daN]
Peso: peso del blocco di cls e dell'eventuale carico superficiale. [daN]
Suolo: reazione trasmessa dal suolo. [daN]
β: formula per il calcolo del coefficiente.
M1: momento di calcolo secondo l'asse principale di verifica 1. [daN*cm]
M2: momento di calcolo secondo l'asse principale di verifica 2. [daN*cm]
W11: w1 secondo l'asse principale di verifica 1. [cm²]
W12: w1 secondo l'asse principale di verifica 2. [cm²]
β: coefficiente per reazione eccentrica rispetto al perimetro di verifica.
vrds,c: resistenza a punzonamento. [daN/cm²]
Offset: distanza del perimetro di verifica dall'area caricata. [cm]
U1: lunghezza efficace del perimetro di verifica. [cm]
vrds,cs: resistenza a punzonamento. [daN/cm²]
UOut: lunghezza efficace perimetro Uout. [cm]
Fywd,ef: resistenza di progetto efficace dell'armatura a taglio-punzonamento. [daN/cm²]
Passo: passo spille a punzonamento. [cm]
Asw: area di armatura a punzonamento posta su di un perimetro. [cm²]
Passo max: passo massimo spille a punzonamento. [cm]
Distanza trasversale: distanza trasversale spille a punzonamento. [cm]
Distanza trasversale max: distanza trasversale massima spille a punzonamento. [cm]
Distanza: distanza prima spilla da perimetro elemento punzonante. [cm]
Limite: distanza minima prima spilla da perimetro elemento punzonante. [cm]
Distanza Uout: distanza ultima armatura di cucitura da perimetro Uout. [cm]
Distanza Uout max: distanza massima ultima armatura di cucitura da perimetro Uout. [cm]
Asw: area di un braccio di cucitura. [cm²]
Asw,min: area minima di un braccio di cucitura a punzonamento. [cm²]
Comb.: combinazione.
Fh: componente orizzontale del carico. [daN]
Fv: componente verticale del carico. [daN]
Cnd: resistenza valutata a breve o lungo termine (BT - LT).
Ad: adesione di progetto. [daN/cm²]
Phi: angolo di attrito di progetto. [deg]
RPI: resistenza passiva laterale unitaria di progetto. [daN/cm]
γR: coefficiente parziale sulla resistenza di progetto.
Rd: resistenza alla traslazione di progetto. [daN]
Ed: azione di progetto. [daN]
Rd/Ed: coefficiente di sicurezza allo scorrimento.
ID: indice della verifica di capacità portante.
Fx: componente lungo x del carico. [daN]
Fy: componente lungo y del carico. [daN]
Fz: componente verticale del carico. [daN]
Mx: componente lungo x del momento. [daN*cm]

| | | | |
|--------------------------------------|------------------------------------------------------------------------------------------------------------------------------|----------------------------------------------------------------------------------|-------------|
| COMMITTENTE: Mecca Antonio | CODICE COMMESSA: | NOME ELABORATO: S1.5 - Relazione Geotecnica e delle Fondazioni | CONSULENTE: |
| DATA: Aprile 2023 | TITOLO: Lavori ultimazione di un fabbricato adibito ad albergo-ristorante– C.da Case Nuove Chicone Avigliano (PZ) | | |

My: componente lungo y del momento. [daN*cm]

ix: inclinazione del carico in x. [deg]

iy: inclinazione del carico in y. [deg]

ex: eccentricità del carico in x. [cm]

ey: eccentricità del carico in y. [cm]

B': larghezza efficace. [cm]

L': lunghezza efficace. [cm]

Cnd: resistenza valutata per condizione a breve o lungo termine (BT - LT).

C: coesione di progetto. [daN/cm²]

Qs: sovraccarico laterale da piano di posa. [daN/cm²]

Rd: resistenza alla rottura del complesso di progetto. [daN]

Ed: azione di progetto (sforzo normale al piano di posa). [daN]

Rd/Ed: coefficiente di sicurezza alla capacità portante.

N:

Nq: fattore di capacità portante per il termine di sovraccarico.

Nc: fattore di capacità portante per il termine coesivo.

Ng: fattore di capacità portante per il termine attritivo.

S:

Sq: fattore correttivo di capacità portante per forma (shape), per il termine di sovraccarico.

Sc: fattore correttivo di capacità portante per forma (shape), per il termine coesivo.

Sg: fattore correttivo di capacità portante per forma (shape), per il termine attritivo.

D:

Dq: fattore correttivo di capacità portante per approfondimento (deep), per il termine di sovraccarico.

Dc: fattore correttivo di capacità portante per approfondimento (deep), per il termine coesivo.

Dg: fattore correttivo di capacità portante per approfondimento (deep), per il termine attritivo.

I:

Iq: fattore correttivo di capacità portante per inclinazione del carico, per il termine di sovraccarico.

Ic: fattore correttivo di capacità portante per inclinazione del carico, per il termine coesivo.

Ig: fattore correttivo di capacità portante per inclinazione del carico, per il termine attritivo.

B:

Bq: fattore correttivo di capacità portante per inclinazione della base, per il termine di sovraccarico.

Bc: fattore correttivo di capacità portante per inclinazione della base, per il termine coesivo.

Bg: fattore correttivo di capacità portante per inclinazione della base, per il termine attritivo.

G:

Gq: fattore correttivo di capacità portante per inclinazione del pendio, per il termine di sovraccarico.

Gc: fattore correttivo di capacità portante per inclinazione del pendio, per il termine coesivo.

Gg: fattore correttivo di capacità portante per inclinazione del pendio, per il termine attritivo.

P:

Pq: fattore correttivo di capacità portante per punzonamento, per il termine di sovraccarico.

Pc: fattore correttivo di capacità portante per punzonamento, per il termine coesivo.

Pg: fattore correttivo di capacità portante per punzonamento, per il termine attritivo.

E:

Eq: fattore correttivo di capacità portante per sisma (earthquake), per il termine di sovraccarico.

Ec: fattore correttivo di capacità portante per sisma (earthquake), per il termine coesivo.

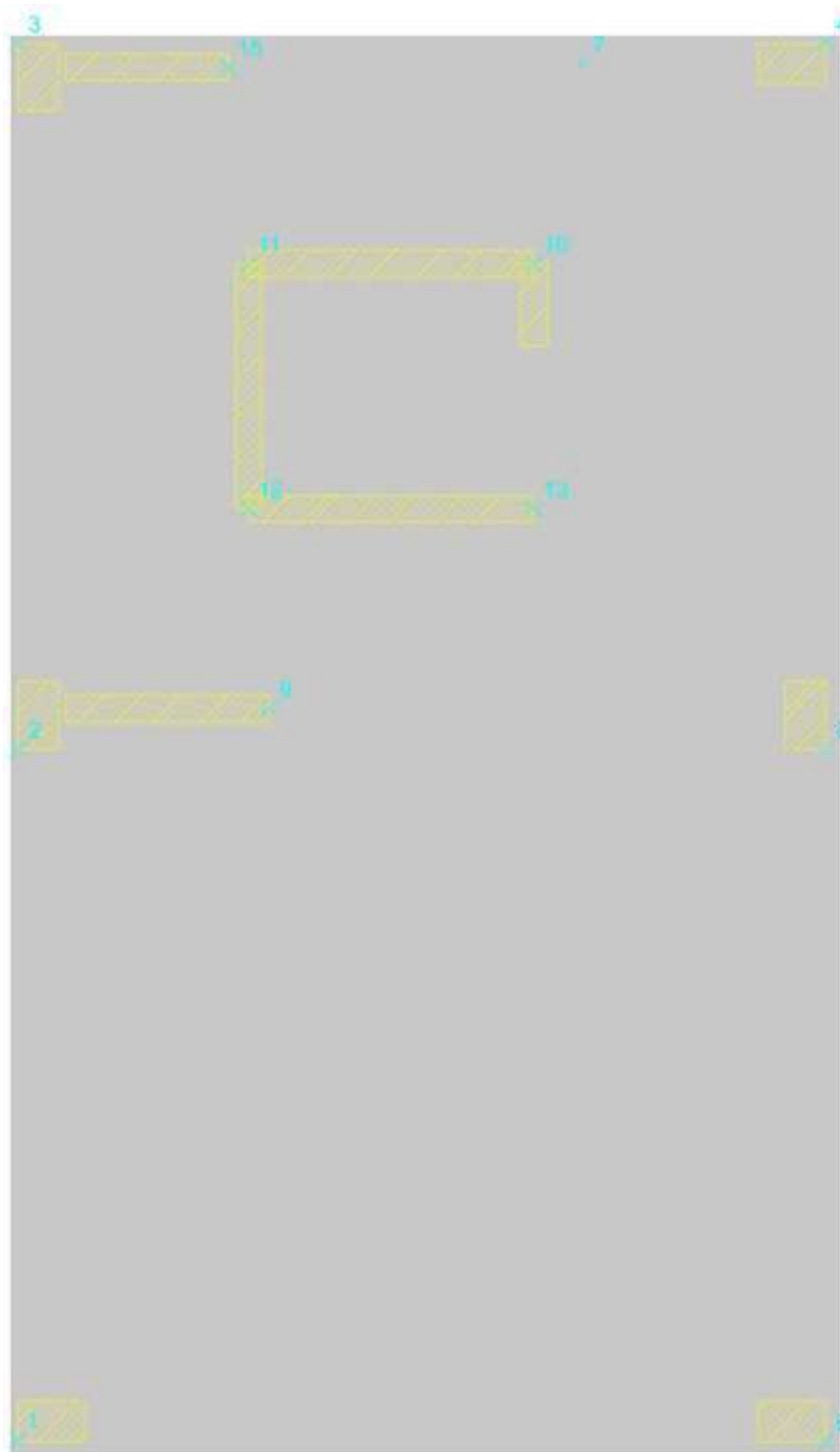
Eg: fattore correttivo di capacità portante per sisma (earthquake), per il termine attritivo.

Platea a "Livello 1"

Verifiche condotte secondo D.M. 17-01-18 (N.T.C.)

Geometria

Relazione Geotecnica e delle Fondazioni



Caratteristiche dei materiali

Acciaio: B450C Fyk 4500

Calcestruzzo: C35/45 Rck 450

Sistema di riferimento e direzioni di armatura

Le coordinate citate nel seguito sono espresse in un sistema di riferimento cartesiano con origine in (-5; -1040; 0), direzione dell'asse X = (1; 0; 0), direzione dell'asse Y = (0; 1; 0).

Le direzioni X/Y di armatura e le sezioni X/Y di verifica sono individuate dagli assi del sistema di riferimento.

| | | | |
|--------------------------------------|----------------------------------------------------------------------------------------------------------------------|----------------------------------------------------------------------------------|-------------|
| COMMITTENTE: Mecca Antonio | CODICE COMMESSA: | NOME ELABORATO: S1.5 - Relazione Geotecnica e delle Fondazioni | CONSULENTE: |
| DATA: Aprile 2023 | TITOLO: Lavori ultimazione di un fabbricato adibito ad albergo-ristorante– C.da Case Nuove Chicone Avigliano (PZ) | | |

Verifiche nei nodi

Verifiche SLU flessione nei nodi

La struttura è stata dichiarata come non dissipativa pertanto la verifica a pressoflessione, per le combinazioni SLV, viene eseguita calcolando i momenti resistenti in campo sostanzialmente elastico secondo D.M. 17-01-2018 §7.4.1

| Nodo | Dir. | B | H | A. sup. | C. sup. | A. inf. | C. inf. | Comb. | M | N | Mu | Nu | c.s. | Verifica |
|------|------|-----|----|---------|---------|---------|---------|--------|----------|---|----------|----|--------|----------|
| 12 | Y | 60 | 35 | 6.03 | 4.3 | 6.03 | 4.3 | SLV 15 | -579743 | 0 | -664097 | 0 | 1.1455 | Si |
| 113 | X | 100 | 35 | 10.05 | 5.9 | 20.11 | 5.9 | SLV 4 | 1576241 | 0 | 1982340 | 0 | 1.2576 | Si |
| 136 | X | 120 | 35 | 12.06 | 5.9 | 12.06 | 5.9 | SLV 5 | 992446 | 0 | 1254935 | 0 | 1.2645 | Si |
| 96 | Y | 120 | 35 | 12.06 | 4.3 | 12.06 | 4.3 | SLV 3 | -1043648 | 0 | -1328194 | 0 | 1.2726 | Si |
| 138 | X | 120 | 35 | 12.06 | 5.9 | 12.06 | 5.9 | SLV 10 | 957224 | 0 | 1254935 | 0 | 1.311 | Si |

Verifiche SLD Resistenza flessione nei nodi

La struttura è stata dichiarata come non dissipativa pertanto la verifica a pressoflessione viene eseguita calcolando i momenti resistenti in campo sostanzialmente elastico secondo D.M. 17-01-2018 §7.4.1

| Nodo | Dir. | B | H | A. sup. | C. sup. | A. inf. | C. inf. | Comb. | M | N | Mu | Nu | c.s. | Verifica |
|------|------|-----|----|---------|---------|---------|---------|--------|---------|---|---------|----|--------|----------|
| 12 | Y | 60 | 35 | 6.03 | 4.3 | 6.03 | 4.3 | SLD 15 | -414685 | 0 | -664097 | 0 | 1.6014 | Si |
| 113 | X | 100 | 35 | 10.05 | 5.9 | 20.11 | 5.9 | SLD 4 | 1215476 | 0 | 1982340 | 0 | 1.6309 | Si |
| 106 | X | 60 | 35 | 6.03 | 5.9 | 12.06 | 5.9 | SLD 4 | 694999 | 0 | 1179216 | 0 | 1.6967 | Si |
| 136 | X | 120 | 35 | 12.06 | 5.9 | 12.06 | 5.9 | SLD 5 | 686750 | 0 | 1254935 | 0 | 1.8274 | Si |
| 212 | Y | 60 | 35 | 6.03 | 4.3 | 6.03 | 4.3 | SLD 3 | 352861 | 0 | 664097 | 0 | 1.882 | Si |

Verifiche SLU taglio nei nodi

| Nodo | Dir. | B | H | A. sup. | C. sup. | A. inf. | C. inf. | A. st. | A. sag. | Comb. | Ved | N | Vrd | Vrdc | Vrsd | Vrcd | cotgθ | Asl | c.s. | Verifica |
|------|------|----|----|---------|---------|---------|---------|--------|---------|--------|--------|---|-------|-------|------|-------|-------|--------|--------|----------|
| 191 | X | 60 | 35 | 6.03 | 5.9 | 6.03 | 5.9 | 0 | 0 | SLV 12 | -35157 | 0 | 9238 | 9238 | 0 | 57343 | 2.5 | 6.032 | 0.2628 | Si |
| 191 | X | 60 | 35 | 6.03 | 5.9 | 6.03 | 5.9 | 0 | 0 | SLV 5 | 28190 | 0 | 9238 | 9238 | 0 | 57343 | 2.5 | 6.032 | 0.3277 | Si |
| 106 | X | 60 | 35 | 6.03 | 5.9 | 12.06 | 5.9 | 0 | 0 | SLV 1 | 27233 | 0 | 11325 | 11325 | 0 | 57343 | 2.5 | 12.064 | 0.4158 | Si |
| 202 | X | 60 | 35 | 6.03 | 5.9 | 6.03 | 5.9 | 0 | 0 | SLV 14 | -18223 | 0 | 9238 | 9238 | 0 | 57343 | 2.5 | 6.032 | 0.507 | Si |
| 202 | X | 60 | 35 | 6.03 | 5.9 | 6.03 | 5.9 | 0 | 0 | SLV 3 | 18001 | 0 | 9238 | 9238 | 0 | 57343 | 2.5 | 6.032 | 0.5132 | Si |

Verifiche SLD Resistenza taglio nei nodi

| Nodo | Dir. | B | H | A. sup. | C. sup. | A. inf. | C. inf. | A. st. | A. sag. | Comb. | Ved | N | Vrd | Vrdc | Vrsd | Vrcd | cotgθ | Asl | c.s. | Verifica |
|------|------|-----|----|---------|---------|---------|---------|--------|---------|--------|--------|---|-------|-------|------|--------|-------|--------|--------|----------|
| 191 | X | 60 | 35 | 6.03 | 5.9 | 6.03 | 5.9 | 0 | 0 | SLD 12 | -23251 | 0 | 13482 | 13482 | 0 | 57343 | 2.5 | 6.032 | 0.5799 | Si |
| 191 | X | 60 | 35 | 6.03 | 5.9 | 6.03 | 5.9 | 0 | 0 | SLD 5 | 16284 | 0 | 13482 | 13482 | 0 | 57343 | 2.5 | 6.032 | 0.8279 | Si |
| 106 | X | 60 | 35 | 6.03 | 5.9 | 12.06 | 5.9 | 0 | 0 | SLD 1 | 19279 | 0 | 16987 | 16987 | 0 | 57343 | 2.5 | 12.064 | 0.8811 | Si |
| 106 | Y | 120 | 35 | 12.06 | 4.3 | 12.06 | 4.3 | 0 | 0 | SLD 16 | -24636 | 0 | 27610 | 27610 | 0 | 120991 | 2.5 | 12.064 | 1.1207 | Si |
| 212 | X | 95 | 35 | 9.55 | 5.9 | 9.55 | 5.9 | 0 | 0 | SLD 7 | -18769 | 0 | 21347 | 21347 | 0 | 90792 | 2.5 | 9.55 | 1.1374 | Si |

Relazione Geotecnica e delle Fondazioni

Verifiche SLE tensione calcestruzzo nei nodi

| Nodo | Dir. | B | H | A. sup. | C. sup. | A. inf. | C. inf. | Comb. | M | N | σ_c | σ_{lim} | Es/Ec | Verifica |
|------|------|-----|----|---------|---------|---------|---------|-------------|--------|---|------------|----------------|-------|----------|
| 106 | X | 60 | 35 | 6.03 | 5.9 | 12.06 | 5.9 | SLE QP 2 | 413608 | 0 | -47.7 | 168.1 | 15 | Si |
| 106 | X | 60 | 35 | 6.03 | 5.9 | 12.06 | 5.9 | SLE RA 3 | 499724 | 0 | -57.7 | 224.1 | 15 | Si |
| 113 | X | 100 | 35 | 10.05 | 5.9 | 20.11 | 5.9 | SLE QP 2 | 637176 | 0 | -27.4 | 168.1 | 15 | Si |
| 113 | X | 100 | 35 | 10.05 | 5.9 | 20.11 | 5.9 | SLE RA 3 | 765367 | 0 | -32.9 | 224.1 | 15 | Si |
| 114 | X | 120 | 35 | 12.06 | 5.9 | 24.13 | 5.9 | SLE QP 2 | 592178 | 0 | -21.2 | 168.1 | 15 | Si |

Verifiche SLE tensione acciaio nei nodi

| Nodo | Dir. | B | H | A. sup. | C. sup. | A. inf. | C. inf. | Comb. | M | N | σ_f | σ_{lim} | Es/Ec | Verifica |
|------|------|-----|----|---------|---------|---------|---------|-------------|--------|---|------------|----------------|-------|----------|
| 106 | X | 60 | 35 | 6.03 | 5.9 | 12.06 | 5.9 | SLE RA 3 | 499724 | 0 | 1627.4 | 3600 | 15 | Si |
| 113 | X | 100 | 35 | 10.05 | 5.9 | 20.11 | 5.9 | SLE RA 3 | 765367 | 0 | 306.9 | 3600 | 15 | Si |
| 114 | X | 120 | 35 | 12.06 | 5.9 | 24.13 | 5.9 | SLE RA 3 | 711947 | 0 | 237.9 | 3600 | 15 | Si |
| 110 | X | 60 | 35 | 6.03 | 5.9 | 12.06 | 5.9 | SLE RA 3 | 347570 | 0 | 232.3 | 3600 | 15 | Si |
| 109 | X | 85 | 35 | 8.55 | 5.9 | 16.59 | 5.9 | SLE RA 3 | 419898 | 0 | 199.1 | 3600 | 15 | Si |

Verifiche SLE fessurazione nei nodi

| Nodo | Dir. | B | H | A. sup. | C. sup. | A. inf. | C. inf. | Comb. | M | N | ϵ_{sm} | Δ_{max} | Wd | Es/Ec | Verifica |
|------|------|----|----|---------|---------|---------|---------|-------------|--------|---|-----------------|----------------|--------|-------|----------|
| 106 | X | 60 | 35 | 6.03 | 5.9 | 12.06 | 5.9 | SLE QP 2 | 413608 | 0 | 0.00039 | 28.6 | 0.0112 | 15 | Si |
| 106 | X | 60 | 35 | 6.03 | 5.9 | 12.06 | 5.9 | SLE FR 2 | 428381 | 0 | 0.00041 | 28.6 | 0.0116 | 15 | Si |

Verifiche punzonamento

Zone di punzonamento considerate

| Nome | Lato punzonante | Verticali inferiori | Verticali superiori |
|------|-----------------|---------------------|-----------------------------------------------------|
| ZF6 | Superiore | | Pilastro C.A. a tronco Livello 1 - Livello 2 filo 6 |
| ZF1 | Superiore | | Pilastro C.A. a tronco Livello 1 - Livello 2 filo 1 |
| ZF2 | Superiore | | Pilastro C.A. a tronco Livello 1 - Livello 2 filo 2 |
| ZF5 | Superiore | | Pilastro C.A. a tronco Livello 1 - Livello 2 filo 5 |
| ZF3 | Superiore | | Pilastro C.A. a tronco Livello 1 - Livello 2 filo 3 |
| ZF4 | Superiore | | Pilastro C.A. a tronco Livello 1 - Livello 2 filo 4 |

Armature radiali a punzonamento

| Zona | \varnothing [mm] | Distanza | Passo radiale | Numero per raggio | Angolo iniziale | Numero raggi |
|------|--------------------|----------|---------------|-------------------|-----------------|--------------|
| ZF6 | 12 | 9 | 22.4 | 5 | 0 | 16 |

| | | | |
|--------------------------------------|----------------------------------------------------------------------------------------------------------------------|----------------------------------------------------------------------------------|-------------|
| COMMITTENTE: Mecca Antonio | CODICE COMMESSA: | NOME ELABORATO: S1.5 - Relazione Geotecnica e delle Fondazioni | CONSULENTE: |
| DATA: Aprile 2023 | TITOLO: Lavori ultimazione di un fabbricato adibito ad albergo-ristorante– C.da Case Nuove Chicone Avigliano (PZ) | | |

| Zona | Ø [mm] | Distanza | Passo radiale | Numero per raggio | Angolo iniziale | Numero raggi |
|------|--------|----------|---------------|-------------------|-----------------|--------------|
| ZF1 | 12 | 9 | 22.4 | 5 | 0 | 17 |
| ZF4 | 12 | 9 | 22.4 | 2 | 0 | 10 |

Verifiche punzonamento U0 SLU

| Zona | Lato | Comb. | ved | vrđ,max | d | U0 | VEđ | Peso | Suolo | β | M1 | M2 | W11 | W12 | β | c.s. | Verifica |
|------|------|-------|--------|---------|------|-----|--------|------|-------|--------|---------|----------|------|------|------|--------|----------|
| ZF6 | Sup. | SLV 6 | -30.82 | 42.33 | 29.9 | 100 | -16050 | 210 | 271 | (6.39) | 571857 | -1053037 | 1024 | 1764 | 5.15 | 1.3736 | Si |
| ZF1 | Sup. | SLV 9 | -30.31 | 42.33 | 29.9 | 95 | -18086 | 193 | 227 | (6.39) | 584366 | 879760 | 997 | 1527 | 4.49 | 1.3966 | Si |
| ZF4 | Sup. | SLV 7 | -25.62 | 42.33 | 29.9 | 95 | -13102 | 184 | 1513 | (6.39) | -535011 | -683461 | 815 | 1685 | 5.24 | 1.6523 | Si |

Verifiche punzonamento U0 SLD Resistenza

| Zona | Lato | Comb. | ved | vrđ,max | d | U0 | VEđ | Peso | Suolo | β | M1 | M2 | W11 | W12 | β | c.s. | Verifica |
|------|------|-------|--------|---------|------|-----|--------|------|-------|--------|--------|---------|------|------|------|--------|----------|
| ZF1 | Sup. | SLD 9 | -21.02 | 42.33 | 29.9 | 95 | -16051 | 193 | 199 | (6.39) | 324532 | 614855 | 997 | 1527 | 3.51 | 2.0133 | Si |
| ZF6 | Sup. | SLD 6 | -20.89 | 42.33 | 29.9 | 100 | -14496 | 210 | 250 | (6.39) | 306859 | -718404 | 1024 | 1764 | 3.87 | 2.0262 | Si |

Verifiche punzonamento U1 SLU

| Zona | Lato | Comb. | ved | vrđ,c | d | Offset | U1 | VEđ | Peso | Suolo | β | M1 | M2 | W11 | W12 | β | c.s. | Verifica |
|------|------|--------|------|-------|------|--------|-------|--------|------|-------|--------|----------|----------|-------|------|------|--------|----------|
| ZF1 | Sup. | SLV 9 | 7.72 | 5.24 | 29.9 | 59.8 | 188.3 | -15254 | 561 | 3427 | (6.39) | 584366 | 879760 | 5209 | 6106 | 2.85 | 0.6789 | Si |
| ZF6 | Sup. | SLV 6 | 7.55 | 5.24 | 29.9 | 59.8 | 193.3 | -13071 | 591 | 3631 | (6.39) | 571857 | -1053037 | 5316 | 6601 | 3.34 | 0.6949 | Si |
| ZF4 | Sup. | SLV 7 | 6.37 | 5.98 | 29.9 | 52.5 | 176.9 | -8760 | 494 | 6165 | (6.39) | -535011 | -683461 | 4213 | 5700 | 3.84 | 0.9386 | Si |
| ZF5 | Sup. | SLV 7 | 6.32 | 6.69 | 29.9 | 50.6 | 288 | -18981 | 613 | 4919 | (6.39) | -2360178 | -344458 | 15648 | 7368 | 2.87 | 1.0591 | Si |
| ZF2 | Sup. | SLV 12 | 5.03 | 6.85 | 29.9 | 50.6 | 278 | -18009 | 579 | 2847 | (6.39) | -1777416 | 84316 | 14892 | 6703 | 2.32 | 1.362 | Si |

Verifiche punzonamento U1 SLD Resistenza

| Zona | Lato | Comb. | ved | vrđ,c | d | Offset | U1 | VEđ | Peso | Suolo | β | M1 | M2 | W11 | W12 | β | c.s. | Verifica |
|------|------|--------|------|-------|------|--------|-------|--------|------|-------|--------|----------|---------|-------|------|------|--------|----------|
| ZF1 | Sup. | SLD 9 | 5.65 | 5.24 | 29.9 | 59.8 | 188.3 | -13543 | 561 | 3075 | (6.39) | 324532 | 614855 | 5209 | 6106 | 2.35 | 0.9279 | Si |
| ZF6 | Sup. | SLD 6 | 5.38 | 5.24 | 29.9 | 59.8 | 193.3 | -11739 | 591 | 3389 | (6.39) | 306859 | -718404 | 5316 | 6601 | 2.65 | 0.9738 | Si |
| ZF4 | Sup. | SLD 7 | 4.58 | 5.98 | 29.9 | 52.5 | 176.9 | -7873 | 494 | 5475 | (6.39) | -330924 | -468749 | 4213 | 5700 | 3.08 | 1.3042 | Si |
| ZF5 | Sup. | SLD 7 | 4.62 | 6.69 | 29.9 | 50.6 | 288 | -17256 | 613 | 6259 | (6.39) | -1490919 | -225742 | 15648 | 7368 | 2.31 | 1.4483 | Si |
| ZF2 | Sup. | SLD 12 | 3.9 | 7.11 | 29.9 | 48.8 | 272.2 | -16351 | 558 | 3672 | (6.39) | -1104195 | 65795 | 14262 | 6429 | 1.94 | 1.8231 | Si |

Verifiche punzonamento Uout SLU

| Zona | Lato | Comb. | ved | vrđ,cs | d | UOut | VEđ | Fywd,ef | Passo | Asw | c.s. | Verifica |
|------|------|-------|------|--------|------|-------|--------|---------|-------|------|-------|----------|
| ZF1 | Sup. | SLV 9 | 7.72 | 7.86 | 29.9 | 277.3 | -15254 | 3248 | 22.4 | 6.79 | 1.018 | Si |
| ZF6 | Sup. | SLV 6 | 7.55 | 7.86 | 29.9 | 278.1 | -13071 | 3248 | 22.4 | 5.65 | 1.042 | Si |
| ZF4 | Sup. | SLV 7 | 6.37 | 8.97 | 29.9 | 188.5 | -8760 | 3248 | 22.4 | 4.52 | 1.408 | Si |

Relazione Geotecnica e delle Fondazioni

Verifiche punzonamento Uout SLD Resistenza

| Zona | Lato | Comb. | ved | vrd,cs | d | UOut | VEd | Fywd,ef | Passo | Asw | c.s. | Verifica |
|------|------|-------|------|--------|------|-------|--------|---------|-------|------|-------|----------|
| ZF1 | Sup. | SLD 9 | 5.65 | 7.86 | 29.9 | 203 | -13543 | 3248 | 22.4 | 6.79 | 1.392 | Si |
| ZF6 | Sup. | SLD 6 | 5.38 | 7.86 | 29.9 | 198.6 | -11739 | 3248 | 22.4 | 5.65 | 1.461 | Si |

Verifiche passo armatura radiale

| Zona | Passo | Passo max | Verifica |
|------|-------|-----------|----------|
| ZF6 | 22.4 | 22.4 | Si |
| ZF1 | 22.4 | 22.4 | Si |
| ZF4 | 22.4 | 22.4 | Si |

Verifiche distanza periferica tondi verticali armatura radiale

| Zona | Distanza trasversale | Distanza trasversale max | Verifica |
|------|----------------------|--------------------------|----------|
| ZF4 | 37.9 | 59.8 | Si |
| ZF1 | 47.1 | 59.8 | Si |
| ZF6 | 50.7 | 59.8 | Si |

Verifiche distanza apicale tondi verticali armatura radiale

| Zona | Distanza | Limite | Verifica |
|------|----------|--------|----------|
| ZF6 | 9 | 9 | Si |
| ZF1 | 9 | 9 | Si |
| ZF4 | 9 | 9 | Si |

Verifiche distanza uOut SLU armatura a punzonamento

| Zona | Distanza Uout | Distanza Uout max | Verifica |
|------|---------------|-------------------|----------|
| ZF6 | 22.2 | 44.9 | Si |
| ZF1 | 23 | 44.9 | Si |
| ZF4 | 32.5 | 44.9 | Si |

Verifiche distanza uOut SLD Resistenza armatura a punzonamento

| Zona | Distanza Uout | Distanza Uout max | Verifica |
|------|---------------|-------------------|----------|
| ZF6 | 0 | 44.9 | Si |
| ZF1 | 0 | 44.9 | Si |

Verifiche area minima di un braccio di cucitura a punzonamento

| Zona | Asw | Asw,min | Verifica |
|------|------|---------|----------|
| ZF6 | 1.13 | 0.82 | Si |
| ZF1 | 1.13 | 0.77 | Si |
| ZF4 | 1.13 | 0.62 | Si |

Verifiche geotecniche

Dati geometrici dell'impronta di calcolo

Forma dell'impronta di calcolo: rettangolare di area equivalente

| | | | |
|--------------------------------------|----------------------------------------------------------------------------------------------------------------------|----------------------------------------------------------------------------------|-------------|
| COMMITTENTE: Mecca Antonio | CODICE COMMESSA: | NOME ELABORATO: S1.5 - Relazione Geotecnica e delle Fondazioni | CONSULENTE: |
| DATA: Aprile 2023 | TITOLO: Lavori ultimazione di un fabbricato adibito ad albergo-ristorante– C.da Case Nuove Chicone Avigliano (PZ) | | |

Centro impronta, nel sistema globale: 300; -517.5; -35

Lato minore B dell'impronta: 610

Lato maggiore L dell'impronta: 1045

Area dell'impronta rettangolare di calcolo: 637450

Verifica di scorrimento sul piano di posa

Coefficiente di sicurezza minimo per scorrimento 1.47

| Comb. | Fh | Fv | Cnd | Ad | Phi | RPI | γR | Rd | Ed | Rd/Ed | Verifica |
|-------|-------|---------|-----|----|-----|-----|-----|-------|-------|---------|----------|
| SLU 4 | 8 | -153405 | LT | 0 | 20 | 0 | 1.1 | 50759 | 8 | 6351.73 | Si |
| SLV 1 | 37176 | -164811 | LT | 0 | 20 | 0 | 1.1 | 54533 | 37176 | 1.47 | Si |

Verifiche geotecniche di capacità portante sul piano di posa

Profondità massima del bulbo di rottura considerato: 5.14 m

Peso specifico efficace del terreno di progetto γs: 1922 daN/m³

Accelerazione normalizzata massima attesa al suolo Amax per verifiche in SLD: 0.035

Accelerazione normalizzata massima attesa al suolo Amax per verifiche in SLV: 0.082

Coefficiente di sicurezza minimo per portanza 4.62

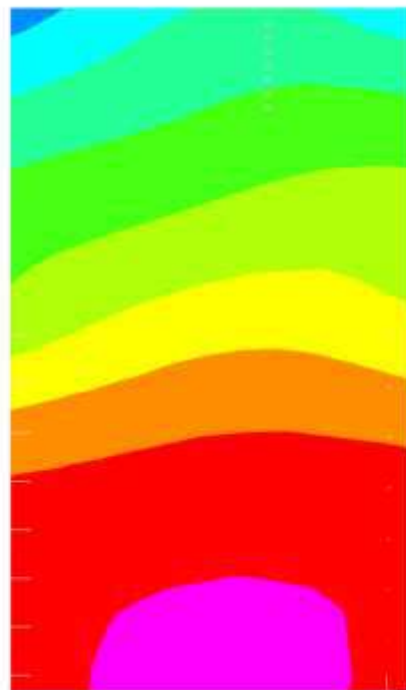
| ID | Comb. | Fx | Fy | Fz | Mx | My | ix | iy | ex | ey | B' | L' | Cnd | C | Phi | Qs | γR | Rd | Ed | Rd/Ed | Verifica |
|----|--------|--------|------|---------|-----------|-----------|-----|----|-----|------|-----|-----|-----|------|-----|----|-----|---------|--------|-------|----------|
| 1 | SLU 18 | 5 | -6 | -263673 | -33968747 | -1508616 | 0 | 0 | -6 | -129 | 599 | 787 | LT | 0.09 | 29 | 0 | 2.3 | 2285331 | 263673 | 8.67 | Si |
| 2 | SLV 3 | -31640 | 9510 | -174897 | -29315531 | -16328840 | -10 | 3 | -93 | -168 | 423 | 710 | LT | 0.09 | 29 | 0 | 2.3 | 808131 | 174897 | 4.62 | Si |
| 3 | SLD 3 | -19696 | 5925 | -173897 | -26888274 | -10600999 | -6 | 2 | -61 | -155 | 488 | 736 | LT | 0.09 | 29 | 0 | 2.3 | 1244120 | 173897 | 7.15 | Si |

Verifiche geotecniche di capacità portante - Fattori utilizzati nel calcolo di Rd

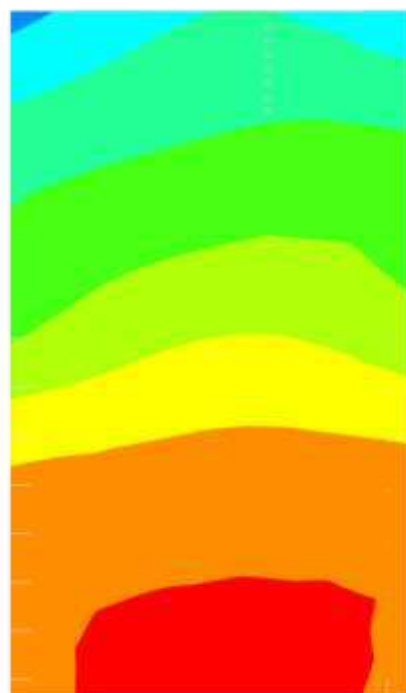
| ID | N | | | S | | | D | | | I | | | B | | | G | | | P | | | E | | |
|----|----|----|----|------|------|------|----|----|----|------|------|------|----|----|----|----|----|----|----|----|----|------|------|------|
| | Nq | Nc | Ng | Sq | Sc | Sg | Dq | Dc | Dg | Iq | Ic | Ig | Bq | Bc | Bg | Gq | Gc | Gg | Pq | Pc | Pg | Eq | Ec | Eg |
| 1 | 16 | 27 | 19 | 1.42 | 1.44 | 0.7 | 1 | 1 | 1 | 1 | 1 | 1 | 1 | 1 | 1 | 1 | 1 | 1 | 1 | 1 | 1 | 1 | 1 | 1 |
| 2 | 16 | 27 | 19 | 1.33 | 1.35 | 0.76 | 1 | 1 | 1 | 0.78 | 0.76 | 0.66 | 1 | 1 | 1 | 1 | 1 | 1 | 1 | 1 | 1 | 0.95 | 0.97 | 0.95 |
| 3 | 16 | 27 | 19 | 1.36 | 1.39 | 0.73 | 1 | 1 | 1 | 0.87 | 0.86 | 0.79 | 1 | 1 | 1 | 1 | 1 | 1 | 1 | 1 | 1 | 0.98 | 0.99 | 0.98 |

2.7.2 Pressioni terreno in SLU

Relazione Geotecnica e delle Fondazioni



Rappresentazione in pianta delle massime compressioni sul terreno in famiglia SLU.



Rappresentazione in pianta delle minime compressioni sul terreno in famiglia SLU

Compressione estrema massima -0.4726

Compressione estrema minima -0.8305

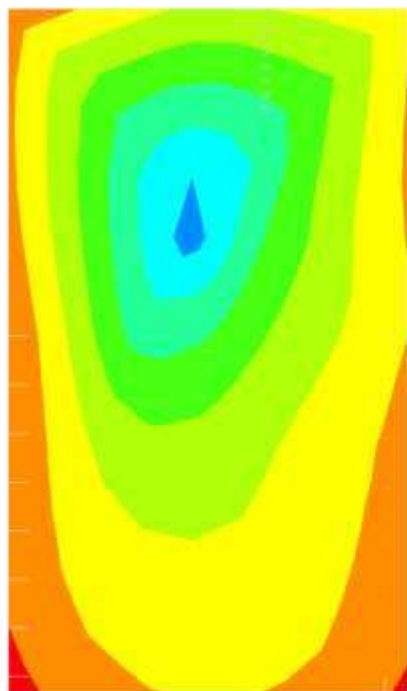
Spostamento estremo minimo -0.61011 al nodo di indice 203, di coordinate x = -5, y = 5, z =

| | | | |
|--------------------------------------|----------------------------------------------------------------------------------------------------------------------|----------------------------------------------------------------------------------|-------------|
| COMMITTENTE: Mecca Antonio | CODICE COMMESSA: | NOME ELABORATO: S1.5 - Relazione Geotecnica e delle Fondazioni | CONSULENTE: |
| DATA: Aprile 2023 | TITOLO: Lavori ultimazione di un fabbricato adibito ad albergo-ristorante– C.da Case Nuove Chicone Avigliano (PZ) | | |

-18, nel contesto SLU 18.

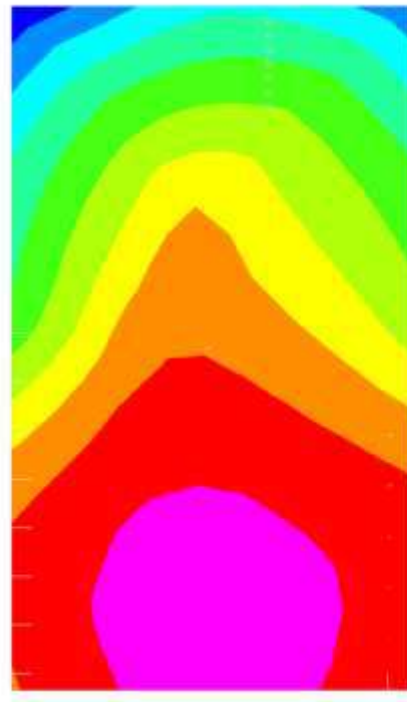
Spostamento estremo massimo -0.05503 al nodo di indice 17, di coordinate x = 298, y = -1015, z = -18, nel contesto SLU 1.

2.7.3 Pressioni terreno in SLV



Rappresentazione in pianta delle massime compressioni sul terreno in famiglie SLV

Relazione Geotecnica e delle Fondazioni



Rappresentazione in pianta delle minime compressioni sul terreno in famiglie SLV

Compressione estrema massima -0.3224

Compressione estrema minima -1.0954

Spostamento estremo minimo -0.80472 al nodo di indice 203, di coordinate x = -5, y = 5, z = -18, nel contesto SLV 7.

Spostamento estremo massimo 0.01556 al nodo di indice 4, di coordinate x = -5, y = -1040, z = -18, nel contesto SLV 15.

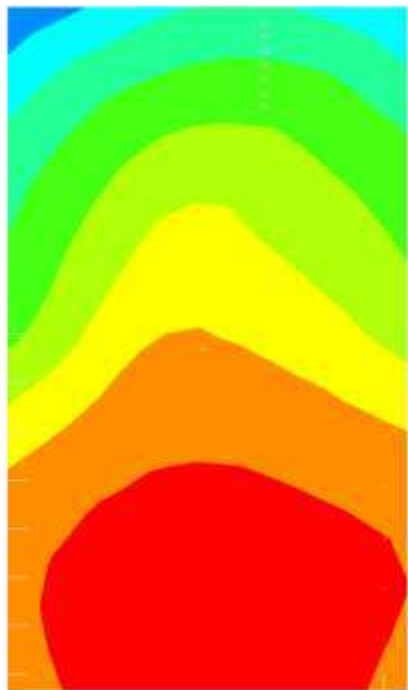
2.7.4 Pressioni terreno in SLE/SLD

| | | | |
|--------------------------------------|----------------------------------------------------------------------------------------------------------------------|----------------------------------------------------------------------------------|-------------|
| COMMITTENTE: Mecca Antonio | CODICE COMMESSA: | NOME ELABORATO: S1.5 - Relazione Geotecnica e delle Fondazioni | CONSULENTE: |
| DATA: Aprile 2023 | TITOLO: Lavori ultimazione di un fabbricato adibito ad albergo-ristorante– C.da Case Nuove Chicone Avigliano (PZ) | | |



[da 0.05 a -0.45]

Rappresentazione in pianta delle massime compressioni sul terreno in famiglie SLE/SLD.



[da 0 a -1]

Rappresentazione in pianta delle minime compressioni sul terreno in famiglie SLE/SLD.

Compressione estrema massima -0.3288
 Compressione estrema minima -8904

Relazione Geotecnica e delle Fondazioni

Spostamento estremo minimo -0.65411 al nodo di indice 203, di coordinate x = -5, y = 5, z = -18, nel contesto SLD 7.

Spostamento estremo massimo -0.03024 al nodo di indice 4, di coordinate x = -5, y = -1040, z = -18, nel contesto SLD 15.

2.7.5 Cedimenti fondazioni superficiali

Nodo: nodo che interagisce col terreno.

Ind.: indice del nodo.

spostamento nodale massimo: situazione in cui si verifica lo spostamento massimo verticale nel nodo calcolato dal solutore ad elementi finiti. Lo spostamento massimo con segno è quello con valore massimo lungo l'asse Z, dove valori positivi rappresentano spostamenti verso l'alto.

Cont.: nome breve della condizione o combinazione di carico a cui si riferisce lo spostamento.

uz: spostamento verticale del nodo calcolato dal solutore ad elementi finiti. Lo spostamento è dotato di segno. [cm]

Press.: pressione sul terreno corrispondente allo spostamento. Valori positivi indicano trazione, valori negativi indicano compressione. [daN/cm²]

spostamento nodale minimo: situazione in cui si verifica lo spostamento minimo verticale del nodo calcolato dal solutore ad elementi finiti. Lo spostamento minimo con segno è quello con valore minimo lungo l'asse Z, dove valori negativi rappresentano spostamenti verso il basso.

Cont.: nome breve della condizione o combinazione di carico a cui si riferisce lo spostamento.

uz: spostamento verticale del nodo calcolato dal solutore ad elementi finiti. Lo spostamento è dotato di segno. [cm]

Press.: pressione sul terreno corrispondente allo spostamento. Valori positivi indicano trazione, valori negativi indicano compressione. [daN/cm²]

Cedimento elastico: cedimento teorico elastico massimo.

Cont.: nome breve della combinazione di carico in cui è stato calcolato il cedimento teorico elastico massimo.

v.: valore del cedimento teorico elastico massimo. [cm]

Cedimento edometrico: cedimento teorico edometrico massimo.

Cont.: nome breve della combinazione di carico in cui è stato calcolato il cedimento teorico edometrico massimo.

v.: valore del cedimento teorico edometrico massimo. [cm]

Cedimento di consolidazione: cedimento teorico di consolidazione massimo.

Cont.: nome breve della combinazione di carico in cui è stato calcolato il cedimento teorico di consolidazione massimo.

v.: valore del cedimento teorico di consolidazione massimo. [cm]

Spostamento estremo minimo -0.65411 al nodo di indice 203, di coordinate x = -5, y = 5, z = -18, nel contesto SLD 7.

Spostamento estremo massimo -0.03024 al nodo di indice 4, di coordinate x = -5, y = -1040, z = -18, nel contesto SLD 15.

Cedimento elastico estremo massimo 0.35049 al nodo di indice 108, di coordinate x = 25, y = -495, z = -18, nel contesto SLE rara 3.

| Nodo | spostamento nodale massimo | | | spostamento nodale minimo | | | Cedimento elastico | | Cedimento edometrico | | Cedimento di consolidazione | |
|------|----------------------------|----------|----------|---------------------------|----------|----------|--------------------|---------|----------------------|----|-----------------------------|----|
| Ind. | Cont. | uz | Press. | Cont. | uz | Press. | Cont. | v. | Cont. | v. | Cont. | v. |
| 4 | SLD 15 | -0.03024 | -0.04117 | SLD 2 | -0.18181 | -0.24748 | SLE RA 3 | 0.15333 | | | | |
| 5 | SLD 11 | -0.04161 | -0.05664 | SLD 6 | -0.15043 | -0.20478 | SLE RA 3 | 0.1653 | | | | |
| 6 | SLD 11 | -0.04886 | -0.06651 | SLD 6 | -0.12845 | -0.17485 | SLE RA 3 | 0.16537 | | | | |

| | | | |
|--------------------------------------|----------------------------------------------------------------------------------------------------------------------|----------------------------------------------------------------------------------|-------------|
| COMMITTENTE: Mecca Antonio | CODICE COMMESSA: | NOME ELABORATO: S1.5 - Relazione Geotecnica e delle Fondazioni | CONSULENTE: |
| DATA: Aprile 2023 | TITOLO: Lavori ultimazione di un fabbricato adibito ad albergo-ristorante– C.da Case Nuove Chicone Avigliano (PZ) | | |

| Nodo | spostamento nodale massimo | | | spostamento nodale minimo | | | Cedimento elastico | | Cedimento edometrico | | Cedimento di consolidazione | |
|------|----------------------------|----------|----------|---------------------------|----------|----------|--------------------|---------|----------------------|----|-----------------------------|----|
| Ind. | Cont. | uz | Press. | Cont. | uz | Press. | Cont. | v. | Cont. | v. | Cont. | v. |
| 7 | SLD 11 | -0.0539 | -0.07337 | SLD 6 | -0.11415 | -0.15539 | SLE RA 3 | 0.16373 | | | | |
| 8 | SLD 7 | -0.05611 | -0.07638 | SLD 10 | -0.10779 | -0.14672 | SLE RA 3 | 0.16424 | | | | |
| 9 | SLD 8 | -0.0552 | -0.07514 | SLD 9 | -0.10911 | -0.14853 | SLE RA 3 | 0.17641 | | | | |
| 10 | SLD 8 | -0.05254 | -0.07152 | SLD 9 | -0.11683 | -0.15903 | SLE RA 3 | 0.1648 | | | | |
| 11 | SLD 4 | -0.04873 | -0.06633 | SLD 13 | -0.13058 | -0.17775 | SLE RA 3 | 0.17047 | | | | |
| 12 | SLD 4 | -0.03886 | -0.05289 | SLD 13 | -0.15606 | -0.21244 | SLE RA 3 | 0.15578 | | | | |
| 13 | SLD 4 | -0.03356 | -0.04569 | SLD 13 | -0.17012 | -0.23157 | SLE RA 3 | 0.14887 | | | | |
| 14 | SLD 15 | -0.03249 | -0.04423 | SLD 2 | -0.17856 | -0.24306 | SLE RA 3 | 0.16079 | | | | |
| 15 | SLD 15 | -0.03886 | -0.23314 | SLD 2 | -0.16297 | -0.97781 | SLE RA 3 | 0.20302 | | | | |
| 16 | SLD 11 | -0.04634 | -0.27803 | SLD 6 | -0.10949 | -0.65697 | SLE RA 3 | 0.20966 | | | | |
| 17 | SLD 7 | -0.04482 | -0.26893 | SLD 10 | -0.08711 | -0.52263 | SLE RA 3 | 0.20417 | | | | |
| 18 | SLD 8 | -0.04709 | -0.28254 | SLD 9 | -0.10377 | -0.62262 | SLE RA 3 | 0.20618 | | | | |
| 19 | SLD 4 | -0.04134 | -0.24803 | SLD 13 | -0.15217 | -0.91299 | SLE RA 3 | 0.1983 | | | | |
| 20 | SLD 15 | -0.04523 | -0.06157 | SLD 2 | -0.15118 | -0.20579 | SLE RA 3 | 0.1728 | | | | |
| 21 | SLD 11 | -0.05898 | -0.08028 | SLD 6 | -0.11783 | -0.1604 | SLE RA 3 | 0.17713 | | | | |
| 22 | SLD 11 | -0.05352 | -0.07286 | SLD 6 | -0.13224 | -0.18001 | SLE RA 3 | 0.17342 | | | | |
| 23 | SLD 11 | -0.06282 | -0.08551 | SLD 6 | -0.10894 | -0.14829 | SLE RA 2 | 0.17575 | | | | |
| 24 | SLD 7 | -0.0633 | -0.08616 | SLD 10 | -0.10673 | -0.14529 | SLE RA 3 | 0.17428 | | | | |
| 25 | SLD 8 | -0.06146 | -0.08366 | SLD 9 | -0.11028 | -0.15011 | SLE RA 3 | 0.17773 | | | | |
| 26 | SLD 4 | -0.05682 | -0.07734 | SLD 13 | -0.12082 | -0.16447 | SLE RA 3 | 0.17379 | | | | |
| 27 | SLD 4 | -0.04576 | -0.27459 | SLD 13 | -0.14443 | -0.86658 | SLE RA 3 | 0.21564 | | | | |
| 28 | SLD 4 | -0.04557 | -0.06203 | SLD 13 | -0.14483 | -0.19714 | SLE RA 3 | 0.16965 | | | | |
| 29 | SLD 4 | -0.04096 | -0.05576 | SLD 13 | -0.15443 | -0.21021 | SLE RA 3 | 0.16373 | | | | |
| 30 | SLD 15 | -0.03839 | -0.05226 | SLD 2 | -0.16592 | -0.22586 | SLE RA 3 | 0.17316 | | | | |
| 31 | SLD 15 | -0.04456 | -0.26738 | SLD 2 | -0.15417 | -0.92502 | SLE RA 3 | 0.22643 | | | | |
| 32 | SLD 11 | -0.06741 | -0.09176 | SLD 6 | -0.11283 | -0.15359 | SLE RA 3 | 0.18423 | | | | |
| 33 | SLD 8 | -0.06842 | -0.09314 | SLD 9 | -0.10833 | -0.14747 | SLE RA 3 | 0.18477 | | | | |
| 34 | SLD 15 | -0.05239 | -0.07132 | SLD 2 | -0.14182 | -0.19305 | SLE RA 3 | 0.18134 | | | | |
| 35 | SLD 11 | -0.06399 | -0.08711 | SLD 6 | -0.12251 | -0.16676 | SLE RA 3 | 0.18922 | | | | |
| 36 | SLD 4 | -0.05626 | -0.07659 | SLD 13 | -0.12745 | -0.17348 | SLE RA 3 | 0.18197 | | | | |
| 37 | SLD 7 | -0.07206 | -0.09809 | SLD 10 | -0.10855 | -0.14776 | SLE RA 3 | 0.18993 | | | | |
| 38 | SLD 4 | -0.06577 | -0.08953 | SLD 13 | -0.11533 | -0.15699 | SLE RA 3 | 0.18549 | | | | |
| 39 | SLD 4 | -0.05043 | -0.30258 | SLD 13 | -0.13888 | -0.83329 | SLE RA 3 | 0.23191 | | | | |
| 40 | SLD 4 | -0.05005 | -0.06813 | SLD 13 | -0.13945 | -0.18983 | SLE RA 3 | 0.17857 | | | | |
| 41 | SLD 4 | -0.04589 | -0.06247 | SLD 13 | -0.14576 | -0.19842 | SLE RA 3 | 0.17791 | | | | |
| 42 | SLD 15 | -0.04244 | -0.05777 | SLD 2 | -0.16364 | -0.22275 | SLE RA 3 | 0.18757 | | | | |

Relazione Geotecnica e delle Fondazioni

| Nodo | spostamento nodale massimo | | | spostamento nodale minimo | | | Cedimento elastico | | Cedimento edometrico | | Cedimento di consolidazione | |
|------|----------------------------|----------|----------|---------------------------|----------|----------|--------------------|---------|----------------------|----|-----------------------------|----|
| Ind. | Cont. | uz | Press. | Cont. | uz | Press. | Cont. | v. | Cont. | v. | Cont. | v. |
| 43 | SLD 15 | -0.04909 | -0.29454 | SLD 2 | -0.15339 | -0.92031 | SLE RA 3 | 0.24307 | | | | |
| 44 | SLD 8 | -0.07583 | -0.10323 | SLD 9 | -0.11269 | -0.15339 | SLE RA 3 | 0.19846 | | | | |
| 45 | SLD 4 | -0.06115 | -0.08323 | SLD 13 | -0.12957 | -0.17638 | SLE RA 3 | 0.18877 | | | | |
| 46 | SLD 11 | -0.07623 | -0.10376 | SLD 6 | -0.1189 | -0.16185 | SLE RA 3 | 0.19916 | | | | |
| 47 | SLD 15 | -0.06334 | -0.08621 | SLD 2 | -0.13992 | -0.19047 | SLE RA 3 | 0.19997 | | | | |
| 48 | SLD 4 | -0.07264 | -0.09887 | SLD 13 | -0.12524 | -0.17049 | SLE RA 3 | 0.20239 | | | | |
| 49 | SLE RA 1 | -0.08261 | -0.11245 | SLD 10 | -0.11789 | -0.16048 | SLE RA 3 | 0.20865 | | | | |
| 50 | SLD 4 | -0.05539 | -0.33232 | SLD 13 | -0.1455 | -0.87303 | SLE RA 3 | 0.24973 | | | | |
| 51 | SLD 4 | -0.0548 | -0.0746 | SLD 13 | -0.14621 | -0.19903 | SLE RA 3 | 0.19196 | | | | |
| 52 | SLD 4 | -0.05069 | -0.069 | SLD 13 | -0.1512 | -0.20581 | SLE RA 3 | 0.18621 | | | | |
| 53 | SLD 15 | -0.04678 | -0.06368 | SLD 2 | -0.17682 | -0.24069 | SLE RA 3 | 0.20228 | | | | |
| 54 | SLD 15 | -0.05436 | -0.32618 | SLD 2 | -0.16642 | -0.99849 | SLE RA 3 | 0.26274 | | | | |
| 55 | SLD 15 | -0.08138 | -0.11078 | SLD 2 | -0.13749 | -0.18715 | SLE RA 3 | 0.21007 | | | | |
| 56 | SLD 3 | -0.08587 | -0.11688 | SLD 14 | -0.12588 | -0.17135 | SLE RA 3 | 0.21507 | | | | |
| 57 | SLD 4 | -0.06779 | -0.09228 | SLD 13 | -0.14366 | -0.19556 | SLE RA 3 | 0.20366 | | | | |
| 58 | SLD 11 | -0.09137 | -0.12437 | SLD 6 | -0.1322 | -0.17995 | SLE RA 3 | 0.21849 | | | | |
| 59 | SLD 15 | -0.06959 | -0.09473 | SLD 2 | -0.16642 | -0.22654 | SLE RA 3 | 0.2166 | | | | |
| 60 | SLD 3 | -0.08171 | -0.11122 | SLD 14 | -0.14475 | -0.19705 | SLE RA 3 | 0.21892 | | | | |
| 61 | SLD 3 | -0.06285 | -0.37711 | SLD 14 | -0.16747 | -1.00485 | SLE RA 3 | 0.27192 | | | | |
| 62 | SLD 3 | -0.06204 | -0.08445 | SLD 14 | -0.16854 | -0.22942 | SLE RA 3 | 0.20669 | | | | |
| 63 | SLD 4 | -0.05795 | -0.07889 | SLD 13 | -0.17385 | -0.23665 | SLE RA 3 | 0.20663 | | | | |
| 64 | SLE RA 1 | -0.09614 | -0.13086 | SLD 10 | -0.13538 | -0.18428 | SLE RA 3 | 0.22613 | | | | |
| 65 | SLD 16 | -0.05284 | -0.07193 | SLD 1 | -0.20852 | -0.28384 | SLE RA 3 | 0.21785 | | | | |
| 66 | SLD 16 | -0.06169 | -0.37012 | SLD 1 | -0.19648 | -1.17889 | SLE RA 3 | 0.28729 | | | | |
| 67 | SLD 16 | -0.09539 | -0.12985 | SLD 1 | -0.16171 | -0.22012 | SLE RA 3 | 0.23519 | | | | |
| 68 | SLD 3 | -0.09814 | -0.13359 | SLD 14 | -0.14813 | -0.20163 | SLE RA 3 | 0.2318 | | | | |
| 69 | SLD 3 | -0.07789 | -0.10603 | SLD 14 | -0.17106 | -0.23285 | SLE RA 3 | 0.22753 | | | | |
| 70 | SLD 12 | -0.10904 | -0.14842 | SLD 5 | -0.15305 | -0.20833 | SLE RA 3 | 0.24397 | | | | |
| 71 | SLD 16 | -0.07879 | -0.10725 | SLD 1 | -0.20564 | -0.27993 | SLE RA 3 | 0.24151 | | | | |
| 72 | SLD 3 | -0.09492 | -0.12921 | SLD 14 | -0.17272 | -0.23511 | SLE RA 3 | 0.24365 | | | | |
| 73 | SLE RA 1 | -0.11411 | -0.15534 | SLD 10 | -0.15887 | -0.21626 | SLE RA 3 | 0.25082 | | | | |
| 74 | SLD 3 | -0.07408 | -0.44449 | SLD 14 | -0.20538 | -1.2323 | SLE RA 3 | 0.29682 | | | | |
| 75 | SLD 3 | -0.07299 | -0.09935 | SLD 14 | -0.2073 | -0.28219 | SLE RA 3 | 0.22903 | | | | |
| 76 | SLD 3 | -0.06882 | -0.09367 | SLD 14 | -0.21454 | -0.29204 | SLE RA 3 | 0.22179 | | | | |
| 77 | SLD 12 | -0.11726 | -0.15961 | SLD 5 | -0.17561 | -0.23904 | SLE RA 3 | 0.25063 | | | | |
| 78 | SLD 16 | -0.06188 | -0.08423 | SLD 1 | -0.25857 | -0.35197 | SLE RA 3 | 0.23376 | | | | |
| 79 | SLD 16 | -0.07212 | -0.43274 | SLD 1 | -0.24352 | -1.46114 | SLE RA 3 | 0.31412 | | | | |

| | | | |
|--------------------------------------|----------------------------------------------------------------------------------------------------------------------|----------------------------------------------------------------------------------|-------------|
| COMMITTENTE: Mecca Antonio | CODICE COMMESSA: | NOME ELABORATO: S1.5 - Relazione Geotecnica e delle Fondazioni | CONSULENTE: |
| DATA: Aprile 2023 | TITOLO: Lavori ultimazione di un fabbricato adibito ad albergo-ristorante– C.da Case Nuove Chicone Avigliano (PZ) | | |

| Nodo | spostamento nodale massimo | | | spostamento nodale minimo | | | Cedimento elastico | | Cedimento edometrico | | Cedimento di consolidazione | |
|------|----------------------------|----------|----------|---------------------------|----------|----------|--------------------|---------|----------------------|----|-----------------------------|----|
| Ind. | Cont. | uz | Press. | Cont. | uz | Press. | Cont. | v. | Cont. | v. | Cont. | v. |
| 80 | SLD 16 | -0.10521 | -0.14321 | SLD 1 | -0.20547 | -0.27969 | SLE RA 3 | 0.25811 | | | | |
| 81 | SLD 3 | -0.11418 | -0.15543 | SLD 14 | -0.17496 | -0.23816 | SLE RA 3 | 0.25542 | | | | |
| 82 | SLE RA 1 | -0.1319 | -0.17955 | SLD 5 | -0.18082 | -0.24614 | SLE RA 3 | 0.26835 | | | | |
| 83 | SLD 16 | -0.09092 | -0.12376 | SLD 1 | -0.25637 | -0.34898 | SLE RA 3 | 0.25566 | | | | |
| 84 | SLD 3 | -0.09491 | -0.12919 | SLD 14 | -0.21163 | -0.28808 | SLE RA 3 | 0.25397 | | | | |
| 85 | SLD 16 | -0.128 | -0.17423 | SLD 1 | -0.20248 | -0.27563 | SLE RA 3 | 0.26824 | | | | |
| 86 | SLE RA 1 | -0.13459 | -0.18322 | SLD 10 | -0.18452 | -0.25117 | SLE RA 3 | 0.27237 | | | | |
| 87 | SLD 3 | -0.11221 | -0.15274 | SLD 14 | -0.20177 | -0.27466 | SLE RA 3 | 0.26646 | | | | |
| 88 | SLD 16 | -0.12049 | -0.16401 | SLD 1 | -0.24533 | -0.33395 | SLE RA 3 | 0.27018 | | | | |
| 89 | SLD 3 | -0.09063 | -0.54379 | SLD 14 | -0.25451 | -1.52706 | SLE RA 3 | 0.31637 | | | | |
| 90 | SLD 3 | -0.08923 | -0.12147 | SLD 14 | -0.25792 | -0.35109 | SLE RA 3 | 0.25176 | | | | |
| 91 | SLD 3 | -0.08494 | -0.11562 | SLD 14 | -0.26842 | -0.36539 | SLE RA 3 | 0.24212 | | | | |
| 92 | SLD 16 | -0.07555 | -0.10285 | SLD 1 | -0.32152 | -0.43766 | SLE RA 3 | 0.25539 | | | | |
| 93 | SLD 16 | -0.08687 | -0.52124 | SLD 1 | -0.30253 | -1.81517 | SLE RA 3 | 0.33438 | | | | |
| 94 | SLD 3 | -0.13239 | -0.18021 | SLD 14 | -0.20182 | -0.27473 | SLE RA 3 | 0.27545 | | | | |
| 95 | SLE RA 1 | -0.15189 | -0.20676 | SLD 6 | -0.2024 | -0.27551 | SLE RA 3 | 0.28063 | | | | |
| 96 | SLD 16 | -0.15275 | -0.20792 | SLD 1 | -0.22245 | -0.30281 | SLE RA 3 | 0.27991 | | | | |
| 97 | SLD 3 | -0.10734 | -0.14611 | SLD 14 | -0.25621 | -0.34876 | SLE RA 3 | 0.2701 | | | | |
| 98 | SLD 3 | -0.1168 | -0.15899 | SLD 14 | -0.2353 | -0.32029 | SLE RA 3 | 0.27021 | | | | |
| 99 | SLD 16 | -0.10682 | -0.14541 | SLD 1 | -0.31236 | -0.42519 | SLE RA 3 | 0.27755 | | | | |
| 100 | SLD 3 | -0.12878 | -0.1753 | SLD 14 | -0.22323 | -0.30386 | SLE RA 3 | 0.27673 | | | | |
| 101 | SLD 16 | -0.1359 | -0.18499 | SLD 1 | -0.27827 | -0.37879 | SLE RA 3 | 0.28787 | | | | |
| 102 | SLE RA 1 | -0.15551 | -0.21169 | SLD 10 | -0.20866 | -0.28404 | SLE RA 3 | 0.28869 | | | | |
| 104 | SLE RA 1 | -0.16437 | -0.22375 | SLD 5 | -0.21849 | -0.29741 | SLE RA 3 | 0.29098 | | | | |
| 105 | SLD 3 | -0.11126 | -0.66754 | SLD 14 | -0.30545 | -1.83268 | SLE RA 3 | 0.33525 | | | | |
| 106 | SLD 16 | -0.09316 | -0.12682 | SLD 1 | -0.38665 | -0.52632 | SLE RA 3 | 0.26868 | | | | |
| 108 | SLD 16 | -0.10629 | -0.63772 | SLD 1 | -0.36321 | -2.17928 | SLE RA 3 | 0.35049 | | | | |
| 109 | SLD 3 | -0.10907 | -0.14847 | SLD 14 | -0.31149 | -0.42401 | SLE RA 3 | 0.25654 | | | | |
| 110 | SLD 3 | -0.10382 | -0.14132 | SLD 14 | -0.32537 | -0.44291 | SLE RA 3 | 0.2539 | | | | |
| 111 | SLE RA 1 | -0.16939 | -0.23058 | SLD 6 | -0.22052 | -0.30018 | SLE RA 3 | 0.29418 | | | | |
| 112 | SLD 3 | -0.15115 | -0.20575 | SLD 14 | -0.22884 | -0.3115 | SLE RA 3 | 0.29058 | | | | |
| 113 | SLD 16 | -0.1095 | -0.14906 | SLD 1 | -0.35909 | -0.48881 | SLE RA 3 | 0.27481 | | | | |
| 114 | SLD 16 | -0.12529 | -0.17054 | SLD 1 | -0.32828 | -0.44686 | SLE RA 3 | 0.28418 | | | | |
| 115 | SLD 16 | -0.14343 | -0.19524 | SLD 1 | -0.29589 | -0.40278 | SLE RA 3 | 0.29008 | | | | |
| 116 | SLD 16 | -0.16123 | -0.21948 | SLD 1 | -0.26442 | -0.35993 | SLE RA 3 | 0.29325 | | | | |
| 117 | SLD 16 | -0.17553 | -0.23894 | SLD 1 | -0.2373 | -0.32302 | SLE RA 3 | 0.29458 | | | | |

Relazione Geotecnica e delle Fondazioni

| Nodo | spostamento nodale massimo | | | spostamento nodale minimo | | | Cedimento elastico | | Cedimento edometrico | | Cedimento di consolidazione | |
|------|----------------------------|----------|----------|---------------------------|----------|----------|--------------------|---------|----------------------|----|-----------------------------|----|
| Ind. | Cont. | uz | Press. | Cont. | uz | Press. | Cont. | v. | Cont. | v. | Cont. | v. |
| 118 | SLD 3 | -0.12402 | -0.16882 | SLD 14 | -0.27419 | -0.37323 | SLE RA 3 | 0.27851 | | | | |
| 119 | SLD 3 | -0.13751 | -0.18718 | SLD 14 | -0.25131 | -0.3421 | SLE RA 3 | 0.2875 | | | | |
| 120 | SLD 16 | -0.15027 | -0.20455 | SLD 1 | -0.31853 | -0.43359 | SLE RA 3 | 0.29727 | | | | |
| 121 | SLE RA 1 | -0.18025 | -0.24537 | SLE RA 3 | -0.23282 | -0.31693 | SLE RA 3 | 0.30199 | | | | |
| 122 | SLE RA 1 | -0.18991 | -0.25851 | SLE RA 3 | -0.24409 | -0.33227 | SLE RA 3 | 0.30409 | | | | |
| 123 | SLD 3 | -0.12699 | -0.17287 | SLD 14 | -0.31261 | -0.42554 | SLE RA 3 | 0.27646 | | | | |
| 124 | SLD 16 | -0.12875 | -0.17526 | SLD 1 | -0.37511 | -0.51061 | SLE RA 3 | 0.28069 | | | | |
| 125 | SLD 16 | -0.18065 | -0.24591 | SLD 1 | -0.28584 | -0.38909 | SLE RA 3 | 0.30244 | | | | |
| 126 | SLD 3 | -0.14411 | -0.19617 | SLD 14 | -0.28779 | -0.39175 | SLE RA 3 | 0.29081 | | | | |
| 127 | SLD 14 | -0.10717 | -0.14589 | SLD 3 | -0.4227 | -0.57539 | SLE RA 3 | 0.23748 | | | | |
| 128 | SLD 3 | -0.17247 | -0.23477 | SLD 14 | -0.26145 | -0.35589 | SLE RA 3 | 0.30174 | | | | |
| 129 | SLD 1 | -0.11352 | -0.15452 | SLD 16 | -0.35834 | -0.48779 | SLE RA 3 | 0.23493 | | | | |
| 130 | SLE RA 1 | -0.20313 | -0.2765 | SLE RA 3 | -0.25875 | -0.35222 | SLE RA 3 | 0.3094 | | | | |
| 131 | SLD 16 | -0.20647 | -0.28105 | SLD 1 | -0.274 | -0.37298 | SLE RA 3 | 0.30794 | | | | |
| 132 | SLE RA 1 | -0.19991 | -0.27212 | SLE RA 3 | -0.25532 | -0.34756 | SLE RA 3 | 0.30879 | | | | |
| 133 | SLD 16 | -0.15776 | -0.21474 | SLD 1 | -0.356 | -0.4846 | SLE RA 3 | 0.28925 | | | | |
| 134 | SLD 1 | -0.1385 | -0.18853 | SLD 16 | -0.33342 | -0.45386 | SLE RA 3 | 0.27519 | | | | |
| 135 | SLD 16 | -0.1993 | -0.27129 | SLD 1 | -0.31801 | -0.43288 | SLE RA 3 | 0.30531 | | | | |
| 136 | SLE RA 1 | -0.22159 | -0.30164 | SLD 1 | -0.28325 | -0.38557 | SLE RA 3 | 0.31118 | | | | |
| 137 | SLE RA 1 | -0.2169 | -0.29525 | SLE RA 3 | -0.27444 | -0.37357 | SLE RA 3 | 0.31242 | | | | |
| 138 | SLE RA 1 | -0.21218 | -0.28883 | SLD 14 | -0.27546 | -0.37496 | SLE RA 3 | 0.30988 | | | | |
| 139 | SLD 3 | -0.1842 | -0.25074 | SLD 14 | -0.29622 | -0.40323 | SLE RA 3 | 0.30347 | | | | |
| 140 | SLD 14 | -0.11888 | -0.16182 | SLD 3 | -0.44193 | -0.60157 | SLE RA 3 | 0.24226 | | | | |
| 141 | SLD 1 | -0.11474 | -0.15618 | SLD 16 | -0.3804 | -0.51782 | SLE RA 3 | 0.22512 | | | | |
| 142 | SLD 14 | -0.16543 | -0.22519 | SLD 3 | -0.39288 | -0.5348 | SLE RA 3 | 0.28146 | | | | |
| 143 | SLD 1 | -0.16692 | -0.22722 | SLD 16 | -0.34252 | -0.46625 | SLE RA 3 | 0.28852 | | | | |
| 144 | SLD 1 | -0.14053 | -0.19129 | SLD 16 | -0.37222 | -0.50668 | SLE RA 3 | 0.2617 | | | | |
| 145 | SLD 14 | -0.12976 | -0.17664 | SLD 3 | -0.4669 | -0.63556 | SLE RA 3 | 0.23269 | | | | |
| 146 | SLD 1 | -0.11885 | -0.16178 | SLD 16 | -0.4075 | -0.5547 | SLE RA 3 | 0.21516 | | | | |
| 147 | SLD 14 | -0.21071 | -0.28683 | SLD 3 | -0.35858 | -0.48811 | SLE RA 3 | 0.30403 | | | | |
| 148 | SLD 10 | -0.23507 | -0.31998 | SLD 7 | -0.32598 | -0.44373 | SLE RA 3 | 0.3112 | | | | |
| 149 | SLD 10 | -0.24152 | -0.32877 | SLD 7 | -0.31156 | -0.4241 | SLE RA 3 | 0.31298 | | | | |
| 150 | SLD 6 | -0.23284 | -0.31695 | SLD 11 | -0.31462 | -0.42827 | SLE RA 3 | 0.31043 | | | | |
| 151 | SLD 1 | -0.21302 | -0.28996 | SLD 16 | -0.33849 | -0.46077 | SLE RA 3 | 0.30336 | | | | |
| 152 | SLD 14 | -0.17409 | -0.23698 | SLD 3 | -0.43144 | -0.58729 | SLE RA 3 | 0.27532 | | | | |
| 153 | SLD 1 | -0.14314 | -0.19484 | SLD 16 | -0.40538 | -0.55181 | SLE RA 3 | 0.25621 | | | | |
| 154 | SLD 1 | -0.17287 | -0.23531 | SLD 16 | -0.38033 | -0.51772 | SLE RA 3 | 0.2795 | | | | |

| | | | |
|--------------------------------------|----------------------------------------------------------------------------------------------------------------------|----------------------------------------------------------------------------------|-------------|
| COMMITTENTE: Mecca Antonio | CODICE COMMESSA: | NOME ELABORATO: S1.5 - Relazione Geotecnica e delle Fondazioni | CONSULENTE: |
| DATA: Aprile 2023 | TITOLO: Lavori ultimazione di un fabbricato adibito ad albergo-ristorante– C.da Case Nuove Chicone Avigliano (PZ) | | |

| Nodo | spostamento nodale massimo | | | spostamento nodale minimo | | | Cedimento elastico | | Cedimento edometrico | | Cedimento di consolidazione | |
|------|----------------------------|----------|----------|---------------------------|----------|----------|--------------------|---------|----------------------|----|-----------------------------|----|
| Ind. | Cont. | uz | Press. | Cont. | uz | Press. | Cont. | v. | Cont. | v. | Cont. | v. |
| 155 | SLD 14 | -0.14084 | -0.19172 | SLD 3 | -0.50616 | -0.689 | SLE RA 3 | 0.22417 | | | | |
| 156 | SLD 1 | -0.12902 | -0.17562 | SLD 16 | -0.4474 | -0.60902 | SLE RA 3 | 0.20871 | | | | |
| 157 | SLD 10 | -0.21301 | -0.28995 | SLD 7 | -0.40836 | -0.55587 | SLE RA 3 | 0.29584 | | | | |
| 158 | SLD 10 | -0.22027 | -0.29984 | SLD 7 | -0.39178 | -0.5333 | SLE RA 3 | 0.30326 | | | | |
| 159 | SLD 10 | -0.22473 | -0.30591 | SLD 7 | -0.37837 | -0.51505 | SLE RA 3 | 0.30537 | | | | |
| 160 | SLD 6 | -0.22082 | -0.30059 | SLD 11 | -0.37375 | -0.50876 | SLE RA 3 | 0.30356 | | | | |
| 161 | SLD 5 | -0.21123 | -0.28753 | SLD 12 | -0.37568 | -0.51138 | SLE RA 3 | 0.29783 | | | | |
| 162 | SLD 5 | -0.20422 | -0.27799 | SLD 12 | -0.3829 | -0.52121 | SLE RA 3 | 0.29069 | | | | |
| 163 | SLD 5 | -0.20774 | -0.28278 | SLD 12 | -0.38673 | -0.52643 | SLE RA 3 | 0.29399 | | | | |
| 164 | SLD 1 | -0.16012 | -0.21796 | SLD 16 | -0.43244 | -0.58865 | SLE RA 3 | 0.24925 | | | | |
| 165 | SLD 14 | -0.17969 | -0.24461 | SLD 3 | -0.48297 | -0.65744 | SLE RA 3 | 0.261 | | | | |
| 166 | SLD 5 | -0.20834 | -0.2836 | SLD 12 | -0.39878 | -0.54283 | SLE RA 3 | 0.29306 | | | | |
| 167 | SLD 5 | -0.20418 | -0.27794 | SLD 12 | -0.40233 | -0.54766 | SLE RA 3 | 0.28904 | | | | |
| 168 | SLD 1 | -0.19108 | -0.2601 | SLD 16 | -0.41352 | -0.5629 | SLE RA 3 | 0.27074 | | | | |
| 169 | SLD 10 | -0.21309 | -0.29006 | SLD 7 | -0.41576 | -0.56594 | SLE RA 3 | 0.2948 | | | | |
| 170 | SLD 6 | -0.21068 | -0.28678 | SLD 11 | -0.41203 | -0.56087 | SLE RA 3 | 0.29157 | | | | |
| 171 | SLD 5 | -0.19998 | -0.27222 | SLD 12 | -0.41829 | -0.56939 | SLE RA 3 | 0.2826 | | | | |
| 172 | SLD 5 | -0.19614 | -0.267 | SLD 12 | -0.42203 | -0.57448 | SLE RA 3 | 0.27767 | | | | |
| 173 | SLD 14 | -0.15233 | -0.20736 | SLD 3 | -0.56163 | -0.76451 | SLE RA 3 | 0.20985 | | | | |
| 174 | SLD 10 | -0.20323 | -0.27664 | SLD 7 | -0.44891 | -0.61107 | SLE RA 3 | 0.28435 | | | | |
| 175 | SLD 1 | -0.14476 | -0.19705 | SLD 16 | -0.50275 | -0.68437 | SLE RA 3 | 0.20305 | | | | |
| 176 | SLD 5 | -0.20001 | -0.27226 | SLD 12 | -0.42735 | -0.58173 | SLE RA 3 | 0.2804 | | | | |
| 177 | SLD 10 | -0.19413 | -0.26426 | SLD 7 | -0.48455 | -0.65958 | SLE RA 3 | 0.26863 | | | | |
| 178 | SLD 5 | -0.1953 | -0.26585 | SLD 12 | -0.43461 | -0.59161 | SLE RA 3 | 0.27455 | | | | |
| 179 | SLD 5 | -0.18242 | -0.24831 | SLD 12 | -0.46795 | -0.63699 | SLE RA 3 | 0.23925 | | | | |
| 180 | SLD 5 | -0.18539 | -0.25236 | SLD 12 | -0.45864 | -0.62431 | SLE RA 3 | 0.26533 | | | | |
| 181 | SLD 5 | -0.19029 | -0.25903 | SLD 12 | -0.45126 | -0.61427 | SLE RA 3 | 0.27447 | | | | |
| 182 | SLD 5 | -0.18874 | -0.25692 | SLD 12 | -0.45285 | -0.61643 | SLE RA 3 | 0.27162 | | | | |
| 183 | SLD 10 | -0.19741 | -0.26873 | SLD 7 | -0.45958 | -0.6256 | SLE RA 3 | 0.27078 | | | | |
| 184 | SLD 10 | -0.18033 | -0.24547 | SLD 7 | -0.55038 | -0.74919 | SLE RA 3 | 0.24758 | | | | |
| 185 | SLD 5 | -0.1931 | -0.26286 | SLD 12 | -0.45465 | -0.61888 | SLE RA 3 | 0.27276 | | | | |
| 186 | SLD 10 | -0.1873 | -0.25496 | SLD 7 | -0.50922 | -0.69317 | SLE RA 3 | 0.26789 | | | | |
| 187 | SLD 10 | -0.1892 | -0.25755 | SLD 7 | -0.49437 | -0.67296 | SLE RA 3 | 0.26373 | | | | |
| 188 | SLD 5 | -0.18511 | -0.25197 | SLD 12 | -0.46824 | -0.63738 | SLE RA 3 | 0.26168 | | | | |
| 189 | SLD 10 | -0.18029 | -0.24542 | SLD 7 | -0.54413 | -0.74069 | SLE RA 3 | 0.25031 | | | | |
| 190 | SLD 10 | -0.16778 | -0.22839 | SLD 7 | -0.60809 | -0.82775 | SLE RA 3 | 0.19886 | | | | |

Relazione Geotecnica e delle Fondazioni

| Nodo | spostamento nodale massimo | | | spostamento nodale minimo | | | Cedimento elastico | | Cedimento edometrico | | Cedimento di consolidazione | |
|------|----------------------------|----------|----------|---------------------------|----------|----------|--------------------|---------|----------------------|----|-----------------------------|----|
| Ind. | Cont. | uz | Press. | Cont. | uz | Press. | Cont. | v. | Cont. | v. | Cont. | v. |
| 191 | SLD 14 | -0.16135 | -0.21964 | SLD 3 | -0.62705 | -0.85357 | SLE RA 3 | 0.17699 | | | | |
| 192 | SLD 10 | -0.16589 | -0.22582 | SLD 7 | -0.61537 | -0.83766 | SLE RA 3 | 0.19579 | | | | |
| 193 | SLD 10 | -0.16802 | -0.22872 | SLD 7 | -0.60547 | -0.82419 | SLE RA 3 | 0.20857 | | | | |
| 194 | SLD 10 | -0.17 | -0.23141 | SLD 7 | -0.59434 | -0.80904 | SLE RA 3 | 0.21827 | | | | |
| 195 | SLD 10 | -0.17176 | -0.2338 | SLD 7 | -0.58351 | -0.79429 | SLE RA 3 | 0.22518 | | | | |
| 196 | SLD 10 | -0.17338 | -0.23601 | SLD 7 | -0.57288 | -0.77983 | SLE RA 3 | 0.23044 | | | | |
| 197 | SLD 10 | -0.17494 | -0.23813 | SLD 7 | -0.56238 | -0.76553 | SLE RA 3 | 0.23526 | | | | |
| 198 | SLD 10 | -0.17647 | -0.24021 | SLD 7 | -0.55188 | -0.75124 | SLE RA 3 | 0.24026 | | | | |
| 199 | SLD 10 | -0.17801 | -0.24232 | SLD 7 | -0.54137 | -0.73693 | SLE RA 3 | 0.24257 | | | | |
| 200 | SLD 5 | -0.1799 | -0.24489 | SLD 12 | -0.48547 | -0.66084 | SLE RA 3 | 0.245 | | | | |
| 201 | SLD 5 | -0.17416 | -0.23708 | SLD 12 | -0.54737 | -0.7451 | SLE RA 3 | 0.19868 | | | | |
| 202 | SLD 1 | -0.16237 | -0.22103 | SLD 16 | -0.56837 | -0.77368 | SLE RA 3 | 0.16902 | | | | |
| 203 | SLD 10 | -0.15606 | -0.21244 | SLD 7 | -0.65411 | -0.8904 | SLE RA 3 | 0.16046 | | | | |
| 204 | SLD 10 | -0.15873 | -0.21607 | SLD 7 | -0.64277 | -0.87496 | SLE RA 3 | 0.17542 | | | | |
| 205 | SLD 10 | -0.16109 | -0.21928 | SLD 7 | -0.63128 | -0.85932 | SLE RA 3 | 0.18582 | | | | |
| 206 | SLD 10 | -0.16649 | -0.22663 | SLD 7 | -0.59718 | -0.8129 | SLE RA 3 | 0.20435 | | | | |
| 207 | SLD 10 | -0.17135 | -0.23325 | SLD 7 | -0.56346 | -0.767 | SLE RA 3 | 0.21395 | | | | |
| 208 | SLD 10 | -0.17718 | -0.24118 | SLD 7 | -0.52436 | -0.71377 | SLE RA 3 | 0.2216 | | | | |
| 209 | SLD 6 | -0.17917 | -0.24389 | SLD 11 | -0.50269 | -0.68428 | SLE RA 3 | 0.22301 | | | | |
| 210 | SLD 5 | -0.17445 | -0.23747 | SLD 12 | -0.50359 | -0.6855 | SLE RA 3 | 0.21739 | | | | |
| 211 | SLD 5 | -0.17276 | -0.23517 | SLD 12 | -0.52879 | -0.7198 | SLE RA 3 | 0.21174 | | | | |
| 212 | SLD 5 | -0.17142 | -0.23334 | SLD 12 | -0.56975 | -0.77556 | SLE RA 3 | 0.1815 | | | | |
| 213 | SLD 1 | -0.16699 | -0.22732 | SLD 16 | -0.58419 | -0.79522 | SLE RA 3 | 0.15759 | | | | |

SCALA DI EMERGENZA

NORMATIVE DI RIFERIMENTO

In quanto di seguito riportato viene fatto esplicito riferimento alle seguenti Normative:

- **LEGGE n° 64 del 02/02/1974.** "Provvedimenti per le costruzioni, con particolari prescrizioni per le zone sismiche.";
- **D.M. LL.PP. del 11/03/1988.** "Norme tecniche riguardanti le indagini sui terreni e sulle rocce, la stabilità dei pendii naturali e delle scarpate, i criteri generali e le prescrizioni per la progettazione, l'esecuzione e il collaudo delle opere di sostegno delle terre e delle opere di fondazione.";
- **D.M. LL.PP. del 16/01/1996.** "Norme tecniche per le costruzioni in zone sismiche.";
- **Circolare Ministeriale LL.PP. n° 65/AA.GG. del 10/04/1997.** "Istruzioni per l'applicazione delle "Norme Tecniche per le costruzioni in zone sismiche" di cui al D.M. 16/01/1996.";
- **Eurocodice 1 - Parte 1** - "Basi di calcolo ed azioni sulle strutture - Basi di calcolo -";
- **Eurocodice 7 - Parte 1** - "Progettazione geotecnica - Regole generali -";

| | | | |
|--------------------------------------|------------------------------------------------------------------------------------------------------------------------------|----------------------------------------------------------------------------------|-------------|
| COMMITTENTE: Mecca Antonio | CODICE COMMESSA: | NOME ELABORATO: S1.5 - Relazione Geotecnica e delle Fondazioni | CONSULENTE: |
| DATA: Aprile 2023 | TITOLO: Lavori ultimazione di un fabbricato adibito ad albergo-ristorante– C.da Case Nuove Chicone Avigliano (PZ) | | |

- **Eurocodice 8 - Parte 5** -"Indicazioni progettuali per la resistenza sismica delle strutture - Fondazioni, strutture di contenimento ed aspetti geotecnici -";
- **D.M. 17/01/2018 - NUOVE NORME TECNICHE PER LE COSTRUZIONI**
- **Circolare n. 7 del 21/01/2019**

INDAGINI IN SITO E CARATTERIZZAZIONE GEOTECNICA DEI TERRENI DI FONDAZIONE

La finalità della presente relazione è quella di definire il comportamento meccanico del volume di terreno (volume significativo) influenzato direttamente o indirettamente dalla costruzione di un manufatto e che a sua volta influenza il comportamento strutturale del manufatto stesso. Di seguito si illustrano i risultati delle indagini geologiche eseguite, nonché l'interpretazione dei risultati ottenuti. Dal quadro generale in tal modo scaturito si definiscono le caratteristiche della fondazione da adottare ed il modello da utilizzare per le elaborazioni relative alla interazione sovrastruttura-fondazione e fondazione-terreno.

.....

.....

Le risultanze dell'indagine in sito hanno evidenziato che:

.....

.....

Di seguito si riportano alcuni cenni teorici relativi alle modalità di calcolo implementate e la descrizione della simbologia adottata nei tabulati.

CARICO LIMITE DI FONDAZIONI SUPERFICIALI SU TERRENI

Per la determinazione del carico limite del complesso terreno-fondazione (inteso come valore asintotico del diagramma carico-cedimento) si fa riferimento a due principali meccanismi di rottura: il "meccanismo generale" e quello di "punzonamento". Il primo è caratterizzato dalla formazione di una superficie di scorrimento: il terreno sottostante la fondazione rifluisce lateralmente e verso l'alto, conseguentemente il terreno circostante la fondazione è interessato da un meccanismo di sollevamento ed emersione della superficie di scorrimento. Il secondo meccanismo è caratterizzato dall'assenza di una superficie di scorrimento ben definita: il terreno sotto la fondazione si comprime ed in corrispondenza della superficie del terreno circostante la fondazione si osserva un abbassamento generalizzato. Quest'ultimo meccanismo non consente una precisa individuazione del carico limite in quanto la curva cedimenti-carico applicato non raggiunge mai un valore asintotico ma cresce indefinitamente. Vesic ha studiato il fenomeno della rottura per punzonamento assimilando il terreno ad un mezzo elasto-plastico e la rottura per carico limite all'espansione di una cavità cilindrica. In questo caso il fenomeno risulta retto da un indice di rigidezza " I_r " così definito:

$$I_r = \frac{G}{c' + \sigma' \cdot \tan(\varphi)}$$

Per la determinazione del modulo di rigidezza a taglio si utilizzeranno le seguenti relazioni:

$$G = \frac{E}{2 \cdot (1 + \nu)}; \quad E = E_{ed} \frac{1 - \nu - 2 \cdot \nu^2}{1 - \nu}; \quad \nu = \frac{k_0}{1 + k_0}; \quad k_0 = 1 - \sin(\varphi).$$

L'indice di rigidezza viene confrontato con l'indice di rigidezza critico " $I_{r,crit}$ ":

$$I_{r,crit} = \frac{e^{\left[\left(3.3 - 0.45 \frac{B}{L} \right) \cdot \tan \left(45^\circ - \frac{\varphi}{2} \right) \right]}}{2}$$

La rottura per punzonamento del terreno di fondazione avviene quando l'indice di rigidezza è minore di quello critico. Tale teoria comporta l'introduzione di coefficienti correttivi all'interno della formula trinomia del carico limite detti "coefficienti di punzonamento" i quali sono funzione dell'indice di rigidezza, dell'angolo d'attrito e della geometria dell'elemento di fondazione. La loro espressione è la seguente:

- se $I_r < I_{r,crit}$ si ha :

$$\Psi_\gamma = \Psi_q = e^{\left[\left(0.6 \frac{B}{L} - 4.4 \right) \cdot \tan(\varphi) + \frac{3.07 \cdot \sin(\varphi) \log_{10}(2 \cdot I_r)}{1 + \sin(\varphi)} \right]} \quad \text{se } \varphi = 0 \Rightarrow \Psi_\gamma = \Psi_q = 1$$

Relazione Geotecnica e delle Fondazioni

$$\Psi_c = \Psi_q - \frac{1 - \Psi_q}{N_c \cdot \tan(\varphi)} \quad \text{se } \varphi = 0 \Rightarrow \Psi_c = 0.32 + 0.12 \cdot \frac{B}{L} + 0.6 \cdot \log_{10}(I_r)$$

- se $I_r > I_{r,crit}$ si ha che $\Psi_r = \Psi_q = \Psi_c = 1$.

Il significato dei simboli adottati nelle equazioni sopra riportate è il seguente:

- E_{ed} modulo edometrico del terreno sottostante la fondazione
- ν coefficiente di Poisson del terreno sottostante la fondazione
- k_0 coefficiente di spinta a riposo del terreno sottostante la fondazione
- φ angolo d'attrito efficace del terreno sottostante il piano di posa
- c' coesione (espressa in termini di tensioni efficaci)
- σ' tensione litostatica effettiva a profondità $D+B/2$
- L luce delle singole travi di fondazione
- D profondità del piano di posa della fondazione a partire dal piano campagna
- B larghezza della trave di fondazione

Definito il meccanismo di rottura, il calcolo del carico limite viene eseguito modellando il terreno come un mezzo rigido perfettamente plastico con la seguente espressione:

$$q_{ult} = \gamma_1 \cdot D \cdot N_q \cdot s_q \cdot d_q \cdot i_q \cdot \Psi_q + c \cdot N_c \cdot s_c \cdot d_c \cdot i_c \cdot \Psi_c + \gamma_2 \cdot \frac{B}{2} \cdot N_\gamma \cdot s_\gamma \cdot d_\gamma \cdot i_\gamma \cdot \Psi_\gamma \cdot r_\gamma$$

Il significato dei termini presenti nella relazione trinomia sopra riportata è il seguente:

- N_q, N_c, N_γ fattori adimensionali di portanza funzione dell'angolo d'attrito interno φ del terreno
- s_q, s_c, s_γ coefficienti che rappresentano il fattore di forma
- d_q, d_c, d_γ coefficienti che rappresentano il fattore dell'approfondimento
- i_q, i_c, i_γ coefficienti che rappresentano il fattore di inclinazione del carico
- γ_1 peso per unità di volume del terreno sovrastante il piano di posa
- γ_2 peso per unità di volume del terreno sottostante il piano di posa

Per fondazioni aventi larghezza modesta si dimostra che il terzo termine non aumenta indefinitamente e per valori elevati di "B", sia secondo Vesic che secondo de Beer, il valore limite è prossimo a quello di una fondazione profonda. Bowles per fondazioni di larghezza maggiore di 2.00 metri propone il seguente fattore riduttivo:

$$r_\gamma = 1 - 0.25 \cdot \log_{10}\left(\frac{B}{2}\right) \quad \text{dove "B" va espresso in metri.}$$

Questa relazione risulta particolarmente utile per fondazioni larghe con rapporto D/B basso (platee e simili), caso nel quale il terzo termine dell'equazione trinomia è predominante.

Nel caso di carico eccentrico Meyerhof consiglia di ridurre le dimensioni della superficie di contatto (A_f) tra fondazione e terreno (B, L) in tutte le formule del calcolo del carico limite. Tale riduzione è espressa dalle seguenti relazioni:

$$B_{rid} = B - 2 \cdot e_B \quad L_{rid} = L - 2 \cdot e_L \quad \text{dove } e_B, e_L \text{ sono le eccentricità relative alle dimensioni in esame.}$$

L'equazione trinomia del carico limite può essere risolta secondo varie formulazioni, di seguito si riportano quelle che sono state implementate:

Formulazione di Hansen (1970)

$$N_q = tg^2\left(\frac{90^\circ + \varphi}{2}\right) \cdot e^{\pi \cdot tg(\varphi)} \quad N_\gamma = 1.5 \cdot (N_q - 1) \cdot tg(\varphi) \quad N_c = (N_q - 1) \cdot ctg(\varphi)$$

- se $\varphi \neq 0$ si ha:

$$s_q = 1 + \frac{B}{L} \cdot tg(\varphi) \quad s_\gamma = 1 - 0.4 \cdot \frac{B}{L} \quad s_c = 1 + \frac{N_q \cdot B}{N_c \cdot L}$$

$$d_q = 1 + 2 \cdot tg(\varphi) \cdot (1 - \sin(\varphi))^2 \cdot \Theta \quad d_\gamma = 1.0 \quad d_c = 1 + 0.4 \cdot \Theta$$

$$\text{dove: se } \frac{D}{B} \leq 1 \Rightarrow \Theta = \frac{D}{B}, \text{ se } \frac{D}{B} > 1 \Rightarrow \Theta = \arctg\left(\frac{D}{B}\right)$$

| | | | |
|--------------------------------------|------------------------------------------------------------------------------------------------------------------------------|----------------------------------------------------------------------------------|-------------|
| COMMITTENTE: Mecca Antonio | CODICE COMMESSA: | NOME ELABORATO: S1.5 - Relazione Geotecnica e delle Fondazioni | CONSULENTE: |
| DATA: Aprile 2023 | TITOLO: Lavori ultimazione di un fabbricato adibito ad albergo-ristorante- C.da Case Nuove Chicone Avigliano (PZ) | | |

$$i_q = \left[1 - \frac{0.5 \cdot H}{V + A_f \cdot c_a \cdot ctg(\varphi)} \right]^{\alpha_1} \quad i_\gamma = \left[1 - \frac{0.7 \cdot H}{V + A_f \cdot c_a \cdot ctg(\varphi)} \right]^{\alpha_2} \quad i_c = i_q - \frac{1 - i_q}{N_q - 1}$$

- se $\varphi = 0$ si ha:

$$s_q = 1.0 \quad s_\gamma = 1.0 \quad s_c = 1 + 0.2 \cdot \frac{B}{L}$$

$$d_q = 1.0 \quad d_\gamma = 1.0 \quad d_c = 1 + 0.4 \cdot \Theta$$

$$i_q = 1.0 \quad i_\gamma = 1.0 \quad i_c = 0.5 \cdot \left(1 + \sqrt{1 - \frac{H}{A_f \cdot c_a}} \right)$$

Formulazione di Vesic (1975)

$$N_q = tg^2 \left(\frac{90^\circ + \varphi}{2} \right) \cdot e^{\pi \cdot tg(\varphi)} \quad N_\gamma = 2 \cdot (N_q + 1) \cdot tg(\varphi) \quad N_c = (N_q - 1) \cdot ctg(\varphi)$$

- se $\varphi \neq 0$ si ha:

$$s_q = 1 + \frac{B}{L} \cdot tg(\varphi) \quad s_\gamma = 1 - 0.4 \cdot \frac{B}{L} \quad s_c = 1 + \frac{N_q \cdot B}{N_c \cdot L}$$

$$d_q = 1 + 2 \cdot tg(\varphi) \cdot (1 - \sin(\varphi))^2 \cdot \Theta \quad d_\gamma = 1.0 \quad d_c = 1 + 0.4 \cdot \Theta$$

dove: se $\frac{D}{B} \leq 1 \Rightarrow \Theta = \frac{D}{B}$, se $\frac{D}{B} > 1 \Rightarrow \Theta = \arctg\left(\frac{D}{B}\right)$

$$i_q = \left[1 - \frac{H}{V + A_f \cdot c_a \cdot ctg(\varphi)} \right]^m \quad i_\gamma = \left[1 - \frac{H}{V + A_f \cdot c_a \cdot ctg(\varphi)} \right]^{m+1} \quad i_c = i_q - \frac{1 - i_q}{N_q - 1}$$

dove: $m = m_B = \frac{2 + \frac{B}{L}}{1 + \frac{B}{L}} \quad m = m_L = \frac{2 + \frac{L}{B}}{1 + \frac{L}{B}}$

- se $\varphi = 0$ si ha:

$$s_q = 1.0 \quad s_\gamma = 1.0 \quad s_c = 1 + 0.2 \cdot \frac{B}{L}$$

$$d_q = 1.0 \quad d_\gamma = 1.0 \quad d_c = 1 + 0.4 \cdot \Theta$$

$$i_q = 1.0 \quad i_\gamma = 1.0 \quad i_c = 1 - \frac{m \cdot H}{A_f \cdot c_a \cdot N_c}$$

Formulazione di Brinch-Hansen

$$N_q = tg^2 \left(\frac{90^\circ + \varphi}{2} \right) \cdot e^{\pi \cdot tg(\varphi)} \quad N_\gamma = 2 \cdot (N_q + 1) \cdot tg(\varphi) \quad N_c = (N_q - 1) \cdot ctg(\varphi)$$

- se $\varphi \neq 0$ si ha:

$$s_q = 1 + 0.1 \cdot \frac{B \cdot (1 + \sin(\varphi))}{L \cdot (1 - \sin(\varphi))} \quad s_\gamma = 1 + 0.1 \cdot \frac{B \cdot (1 + \sin(\varphi))}{L \cdot (1 - \sin(\varphi))} \quad s_c = 1 + 0.2 \cdot \frac{B \cdot (1 + \sin(\varphi))}{L \cdot (1 - \sin(\varphi))}$$

$$d_q = 1 + 2 \cdot tg(\varphi) \cdot (1 - \sin(\varphi))^2 \cdot \Theta \quad d_\gamma = 1.0 \quad d_c = d_q - \frac{1 - d_q}{N_c \cdot tg(\varphi)}$$

dove: se $\frac{D}{B} \leq 1 \Rightarrow \Theta = \frac{D}{B}$, se $\frac{D}{B} > 1 \Rightarrow \Theta = \arctg\left(\frac{D}{B}\right)$

$$i_q = \left[1 - \frac{H}{V + A_f \cdot c_a \cdot ctg(\varphi)} \right]^m \quad i_\gamma = \left[1 - \frac{H}{V + A_f \cdot c_a \cdot ctg(\varphi)} \right]^{m+1} \quad i_c = i_q - \frac{1 - i_q}{N_q - 1}$$

Relazione Geotecnica e delle Fondazioni

$$\text{dove: } m = m_B = \frac{2 + \frac{B}{L}}{1 + \frac{L}{B}} \quad m = m_L = \frac{2 + \frac{L}{B}}{1 + \frac{L}{B}}$$

- se $\varphi = 0$ si ha:

$$\begin{aligned} s_q &= 1.0 \quad s_\gamma = 1.0 \quad s_c = 1 + 0.2 \cdot \frac{B}{L} \\ d_q &= 1.0 \quad d_\gamma = 1.0 \quad d_c = 1 + 0.4 \cdot \Theta \\ i_q &= 1.0 \quad i_\gamma = 1.0 \quad i_c = 1 - \frac{m \cdot H}{A_f \cdot c_a \cdot N_c} \end{aligned}$$

Formulazione Eurocode 7

$$N_q = tg^2\left(\frac{90^\circ + \varphi}{2}\right) \cdot e^{\pi \cdot tg(\varphi)} \quad N_\gamma = 2 \cdot (N_q - 1) \cdot tg(\varphi) \quad N_c = (N_q - 1) \cdot ctg(\varphi)$$

- se $\varphi \neq 0$ si ha:

$$\begin{aligned} s_q &= 1 + \frac{B}{L} \cdot sen(\varphi) \quad s_\gamma = 1 - 0.3 \cdot \frac{B}{L} \quad s_c = \frac{s_q \cdot (N_q - 1)}{N_q - 1} \\ d_q &= 1 + 2 \cdot tg(\varphi) \cdot (1 - sen(\varphi))^2 \cdot \Theta \quad d_\gamma = 1.0 \quad d_c = 1 + 0.4 \cdot \Theta \\ \text{dove: se } \frac{D}{B} \leq 1 &\Rightarrow \Theta = \frac{D}{B}, \text{ se } \frac{D}{B} > 1 \Rightarrow \Theta = arctg\left(\frac{D}{B}\right) \end{aligned}$$

- se H è parallela al lato B si ha:

$$i_q = \left[1 - \frac{0.7 \cdot H}{V + A_f \cdot c_a \cdot ctg(\varphi)}\right]^3 \quad i_\gamma = \left[1 - \frac{H}{V + A_f \cdot c_a \cdot ctg(\varphi)}\right]^3 \quad i_c = \frac{i_q \cdot N_q - 1}{N_q - 1}$$

- se H è parallela al lato L si ha:

$$i_q = 1 - \frac{H}{V + A_f \cdot c_a \cdot ctg(\varphi)} \quad i_\gamma = 1 - \frac{H}{V + A_f \cdot c_a \cdot ctg(\varphi)} \quad i_c = \frac{i_q \cdot N_q - 1}{N_q - 1}$$

- se $\varphi = 0$ si ha:

$$\begin{aligned} s_q &= 1.0 \quad s_\gamma = 1.0 \quad s_c = 1 + 0.2 \cdot \frac{B}{L} \\ d_q &= 1.0 \quad d_\gamma = 1.0 \quad d_c = 1 + 0.4 \cdot \Theta \\ i_q &= 1.0 \quad i_\gamma = 1.0 \quad i_c = 0.5 \cdot \left(1 + \sqrt{1 - \frac{H}{A_f \cdot c_a}}\right) \end{aligned}$$

Si ricorda che per le relazioni sopra riportate nel caso in cui $\varphi = 0 \Rightarrow N_q = 1.0$, $N_\gamma = 1.0$ e $N_c = 2 + \pi$.

Il significato dei termini presenti nelle relazioni su descritte è il seguente:

- V componente verticale del carico agente sulla fondazione
- H componente orizzontale del carico agente sulla fondazione (sia lungo B che lungo L)
- c_a adesione fondazione-terreno (valore variabile tra il 60% e 100% della coesione)
- α_1, α_2 esponenti di potenza che variano tra 2 e 5

Nel caso in cui il cuneo di fondazione sia interessato da falda idrica il valore di γ_2 nella formula trinomia assume la seguente espressione:

$$\gamma_2 = \frac{\gamma \cdot z + \gamma_{sat} \cdot (h_c - z)}{h_c} \quad h_c = \frac{B}{2} \cdot tg\left(\frac{90^\circ + \varphi}{2}\right)$$

dove i termini dell'espressione hanno il seguente significato:

- γ peso per unità di volume del terreno sottostante il piano di posa
- γ_{sat} peso per unità di volume saturo del terreno sottostante il piano di posa
- z profondità della falda dal piano di posa
- h_c altezza del cuneo di rottura della fondazione

Tutto ciò che è stato detto sopra è valido nell'ipotesi di terreno con caratteristiche geotecniche

| | | | |
|--------------------------------------|------------------------------------------------------------------------------------------------------------------------------|----------------------------------------------------------------------------------|-------------|
| COMMITTENTE: Mecca Antonio | CODICE COMMESSA: | NOME ELABORATO: S1.5 - Relazione Geotecnica e delle Fondazioni | CONSULENTE: |
| DATA: Aprile 2023 | TITOLO: Lavori ultimazione di un fabbricato adibito ad albergo-ristorante– C.da Case Nuove Chicone Avigliano (PZ) | | |

omogenee. Nella realtà i terreni costituenti il piano di posa delle fondazioni sono quasi sempre composti, o comunque riconducibili, a formazioni di terreno omogenee di spessore variabile che si sovrappongono (caso di terreni stratificati). In queste condizioni i parametri vengono determinati con la seguente procedura:

- viene determinata l'altezza del cuneo di rottura in funzione delle caratteristiche geotecniche degli strati attraversati; quindi si determina il numero degli strati interessati da esso
- in corrispondenza di ogni superficie di separazione, partendo da quella immediatamente sottostante il piano di posa della fondazione, fino a raggiungere l'altezza del cuneo di rottura, viene determinata la capacità portante di ogni singolo strato come somma di due valori: il primo dato dall'applicazione della formula trinomia alla quota i-esima dello strato; il secondo dato dalla resistenza al punzonamento del terreno sovrastante lo strato in esame
- il minimo di questi due valori sarà assunto come valore massimo della capacità portante della fondazione stratificata

Si può formulare il procedimento anche in forma analitica:

$$q'_{ult} = [q''_{ult} + q_{resT}]_{\min} = \left[q''_{ult} + \frac{P}{A_f} (P_V \cdot K_s \cdot tg(\varphi) + d \cdot c) \right]_{\min}$$

dove i termini dell'espressione hanno il seguente significato:

- q''_{ult} carico limite per un'ipotetica fondazione posta alla quota dello strato interessato
- p perimetro della fondazione
- P_V spinta verticale del terreno dal piano di posa allo strato interessato
- K_s coefficiente di spinta laterale del terreno
- d distanza dal piano di posa allo strato interessato

CARICO LIMITE DI FONDAZIONI SUPERFICIALI SU ROCCIA

Per la determinazione del carico limite nel caso di presenza di ammasso roccioso bisogna valutare molto attentamente il grado di solidità della roccia stessa. Tale valutazione viene in genere eseguita stimando l'indice *RQD* (Rock Quality Designation) che rappresenta una misura della qualità di un ammasso roccioso. Tale indice può variare da un minimo di 0 (caso in cui la lunghezza dei pezzi di roccia estratti dal carotiere è inferiore a 100 mm) ad un massimo di 1 (caso in cui la carota risulta integra) ed è calcolato nel seguente modo:

$$RQD = \frac{\sum \text{lunghezze dei pezzi di roccia intatta} > 100\text{mm}}{\text{lunghezza del carotiere}}$$

Se il valore di *RQD* è molto basso la roccia è molto fratturata ed il calcolo della capacità portante dell'ammasso roccioso va condotto alla stregua di un terreno sciolto utilizzando tutte le formulazioni sopra descritte.

Per ricavare la capacità portante di rocce non assimilabili ad ammassi di terreno sciolto sono state implementate due formulazioni: quella di Terzaghi (1943) e quella di Stagg-Zienkiewicz (1968), entrambe correlate all'indice *RQD*. In definitiva il valore della capacità portante sarà espresso dalla seguente relazione:

$$q'_{ult} = q''_{ult} \cdot RQD^2$$

dove i termini dell'espressione hanno il seguente significato:

- q'_{ult} carico limite dell'ammasso roccioso
- q''_{ult} carico limite calcolato alla Terzaghi o alla Stagg-Zienkiewicz

In questo caso l'equazione trinomia del carico limite assume la seguente forma:

$$q''_{ult} = \gamma_1 \cdot D \cdot N_q + c \cdot N_c \cdot s_c + \gamma_2 \cdot \frac{B}{2} \cdot N_\gamma \cdot s_\gamma$$

I termini presenti nell'equazione hanno lo stesso significato già visto in precedenza; i coefficienti di forma assumeranno i seguenti valori:

$s_c = 1.0$ per fondazioni di tipo nastriforme

$s_c = 1.3$ per fondazioni di tipo quadrato;

$s_\gamma = 1.0$ per fondazioni di tipo nastriforme

$s_\gamma = 0.8$ per fondazioni di tipo quadrato.

Relazione Geotecnica e delle Fondazioni

I fattori adimensionali di portanza a seconda della formulazione adottata saranno:

Formulazione di Terzaghi (1943)

$$N_q = \frac{e^{2 \cdot \left(0.75 \cdot \pi - \frac{\varphi}{2}\right) \cdot \tan(\varphi)}}{2 \cdot \cos^2\left(\frac{90^\circ + \varphi}{2}\right)} \quad N_\gamma = \frac{\tan(\varphi)}{2} \left(\frac{K_{py}}{\cos^2(\varphi)} - 1 \right) \quad N_c = (N_q - 1) \cdot \tan(\varphi)$$

se $\varphi = 0 \Rightarrow N_c = 1.5 \cdot \pi + 1$

| φ | 0 | 5 | 10 | 15 | 20 | 25 | 30 | 35 | 40 | 45 | 50 |
|-----------|------|------|------|------|------|------|------|------|-------|-------|-------|
| K_{py} | 10.8 | 12.2 | 14.7 | 18.6 | 25.0 | 35.0 | 52.0 | 82.0 | 141.0 | 298.0 | 800.0 |

Formulazione di Stagg-Zienkiewicz (1968)

$$N_q = \tan^6\left(\frac{90^\circ + \varphi}{2}\right) \quad N_\gamma = N_q + 1 \quad N_c = 5 \cdot \tan^4\left(\frac{90^\circ + \varphi}{2}\right)$$

VERIFICA A ROTTURA PER SCORRIMENTO DI FONDAZIONI SUPERFICIALI

Se il carico applicato alla base della fondazione non è normale alla stessa bisogna effettuare anche una verifica per rottura a scorrimento. Rispetto al collasso per scorrimento la resistenza offerta dal sistema fondale viene valutata come somma di due componenti: la prima derivante dall'attrito fondazione-terreno, la seconda derivante dall'adesione. In generale, oltre a queste due componenti, può essere tenuto in conto anche l'effetto della spinta passiva del terreno di ricoprimento esercita sulla fondazione fino ad un massimo del 30%. La formulazione analitica della verifica può essere esposta nel seguente modo:

$$T_{Sd} \leq T_{Rd} = N_{Sd} \cdot \tan(\delta) + A_f \cdot c_a + S_p \cdot f_{Sp}$$

dove i termini dell'espressione hanno il seguente significato:

- T_{Sd} componente orizzontale del carico agente sulla fondazione (sia lungo B che lungo L)
- N_{Sd} componente verticale del carico agente sulla fondazione
- c_a adesione fondazione-terreno (valore variabile tra il 60% e 100% della coesione)
- δ angolo d'attrito fondazione-terreno (valore variabile tra il 60% e 100% dell'angolo di attrito)
- S_p spinta passiva del terreno di ricoprimento della fondazione
- f_{Sp} percentuale di partecipazione della spinta passiva
- A_f superficie di contatto del piano di posa della fondazione

La verifica deve essere effettuata sia per componenti taglianti parallele alla base della fondazione che per quelle ortogonali.

DETERMINAZIONE DELLE TENSIONI INDOTTE NEL TERRENO

Ai fini del calcolo dei cedimenti è essenziale conoscere lo stato tensionale indotto nel terreno a varie profondità da un carico applicato in superficie. Tale determinazione viene eseguita ipotizzando che il terreno si comporti come un mezzo continuo, elastico-lineare, omogeneo e isotopo. Tale assunzione, utilizzata per la determinazione della variazione delle tensioni verticali dovuta all'applicazione di un carico in superficie, è confortata dalla letteratura (Morgenstern e Phukan) perché la non linearità del materiale poco influenza la distribuzione delle tensioni verticali. Per ottenere un profilo verticale di pressioni si possono utilizzare tre metodi di calcolo: quello di Boussinesq, quello di Westergaard oppure quello di Mindlin; tutti basati sulla teoria del continuo elastico. Il metodo di Westergaard differisce da quello di Boussinesq per la presenza del coefficiente di Poisson "u", quindi si adatta meglio ai terreni stratificati. Il metodo di Mindlin differisce dai primi due per la possibilità di posizionare il carico all'interno del continuo elastico mentre i primi due lo pongono esclusivamente sulla frontiera quindi si presta meglio al caso di fondazioni molto profonde. Nel caso di fondazioni poste sulla frontiera del continuo elastico il metodo di Mindlin risulta equivalente a quello di Boussinesq. Le espressioni analitiche dei tre metodi di calcolo sono:

| | | | |
|--------------------------------------|------------------------------------------------------------------------------------------------------------------------------|----------------------------------------------------------------------------------|-------------|
| COMMITTENTE: Mecca Antonio | CODICE COMMESSA: | NOME ELABORATO: S1.5 - Relazione Geotecnica e delle Fondazioni | CONSULENTE: |
| DATA: Aprile 2023 | TITOLO: Lavori ultimazione di un fabbricato adibito ad albergo-ristorante– C.da Case Nuove Chicone Avigliano (PZ) | | |

$$\text{Boussinesq} \Rightarrow \Delta\sigma_v = \frac{3 \cdot Q \cdot z^3}{2 \cdot \pi \cdot (r^2 + z^2)^{\frac{5}{2}}} \quad \text{Westergaard} \Rightarrow \Delta\sigma_v = \frac{Q}{2 \cdot \pi \cdot z^2} \cdot \frac{\sqrt{\frac{1-2 \cdot \nu}{2-2 \cdot \nu}}}{\left(\frac{1-2 \cdot \nu}{2-2 \cdot \nu} + \frac{r^2}{z^2}\right)^{\frac{3}{2}}}$$

dove i termini dell'espressioni hanno il seguente significato:

- Q carico puntiforme applicato sulla frontiera del mezzo
- r proiezione orizzontale della distanza del punto di applicazione del carico dal punto in esame
- z proiezione verticale della distanza del punto di applicazione del carico dal punto in esame

$$\text{Mindlin} \Rightarrow \Delta\sigma_v = \frac{Q}{8 \cdot \pi \cdot (1-\nu) \cdot D^2} \left(-\frac{(1-2 \cdot \nu) \cdot (m-1)}{A^3} + \frac{(1-2 \cdot \nu) \cdot (m-1)}{B^3} - \frac{3 \cdot (m-1)^3}{A^5} - \frac{30 \cdot m \cdot (m+1)^3}{B^7} - \frac{3 \cdot (3-4 \cdot \nu) \cdot m \cdot (m+1)^2 - 3 \cdot (m+1) \cdot (5 \cdot m-1)}{B^5} \right)$$

$$n = \frac{r}{D}; \quad m = \frac{z}{D}; \quad A^2 = n^2 + (m-1)^2; \quad B^2 = n^2 + (m+1)^2$$

dove i termini dell'espressioni hanno il seguente significato:

- Q carico puntiforme applicato sulla frontiera o all'interno del mezzo
- D proiezione verticale della distanza del punto di applicazione del carico dalla frontiera del mezzo
- r proiezione orizzontale della distanza del punto di applicazione del carico dal punto in esame
- z proiezione verticale della distanza del punto di applicazione del carico dal punto in esame

Basandosi sulle ben note equazioni ricavate per un carico puntiforme, l'algoritmo implementato esegue un'integrazione delle equazioni di cui sopra lungo la verticale di ogni punto notevole degli elementi fondali estesa a tutte le aree di carico presenti sulla superficie del terreno; questo consente di determinare la variazione dello stato tensionale verticale " $\Delta\sigma_v$ ". Bisogna sottolineare che, nel caso di pressione, " Q " va definito come "pressione netta", ossia la pressione in eccesso rispetto a quella geostatica esistente che può essere sopportata con sicurezza alla profondità " D " del piano di posa delle fondazioni. Questo perché i cedimenti sono causati solo da incrementi netti di pressione che si aggiungono all'esistente pressione geostatica.

CALCOLO DEI CEDIMENTI DELLA FONDAZIONE

La determinazione dei cedimenti delle fondazioni assume una rilevanza notevole per il manufatto da realizzarsi, in special modo nella fase di esercizio. Nell'evolversi della fase di cedimento il terreno passa da uno stato di sforzo corrente dovuto al peso proprio ad uno nuovo dovuto all'effetto del carico addizionale applicato. Questa variazione dello stato tensionale produce una serie di movimenti di rotolamento e scorrimento relativo tra i granuli del terreno, nonché deformazioni elastiche e rotture delle particelle costituenti il mezzo localizzate in una limitata zona d'influenza a ridosso dell'area di carico. L'insieme di questi fenomeni costituisce il cedimento che nel caso in esame è verticale. Nonostante la frazione elastica sia modesta, l'esperienza ha dimostrato che ai fini del calcolo dei cedimenti modellare il terreno come materiale pseudoelastico permette di ottenere risultati soddisfacenti. In letteratura sono descritti diversi metodi per il calcolo dei cedimenti ma si ricorda che, qualunque sia il metodo di calcolo, la determinazione del valore del cedimento deve intendersi come la miglior stima delle deformazioni subite dal terreno da attendersi all'applicazione dei carichi. Nel seguito vengono descritte le teorie implementate:

Metodo edometrico, che si basa sulla nota relazione:

$$w_{ed} = \sum_{i=1}^n \frac{\Delta\sigma_{v,i}}{E_{ed,i}} \cdot \Delta z_i$$

dove i termini dell'espressioni hanno il seguente significato:

- $\Delta\sigma_{v,i}$ variazione dello stato tensionale verticale alla profondità " z_i " dello strato i-esimo per

Relazione Geotecnica e delle Fondazioni

- l'applicazione del carico
- $E_{ed, i}$ modulo edometrico del terreno relativo allo strato i-esimo
- Δz_i spessore dello strato i-esimo

Si ricorda che questo metodo si basa sull'ipotesi edometrica quindi l'accuratezza del risultato è maggiore quando il rapporto tra lo spessore dello strato deformabile e la dimensione in pianta delle fondazioni è ridotto, tuttavia il metodo edometrico consente una buona approssimazione anche nel caso di strati deformabili di spessore notevole.

Metodo dell'elasticità, che si basa sulle note relazioni:

$$w_{\text{Imp.}} = \sum_{i=1}^n \frac{\Delta \sigma_{v,i}}{E_i} \cdot \Delta z_i \quad w_{\text{Lib.}} = \sum_{i=1}^n \frac{\Delta \sigma_{v,i}}{E_i} \cdot \frac{1-2 \cdot \nu^2}{1-\nu} \cdot \Delta z_i$$

dove i termini dell'espressioni hanno il seguente significato:

- $w_{\text{Imp.}}$ cedimento in condizioni di deformazione laterale impedita
- $w_{\text{Lib.}}$ cedimento in condizioni di deformazione laterale libera
- $\Delta \sigma_{v,i}$ variazione stato tensionale verticale alla profondità " z_i " dello strato i-esimo per l'applicazione del carico
- E_i modulo elastico del terreno relativo allo strato i-esimo
- Δz_i spessore dello strato i-esimo

La doppia formulazione adottata consente di ottenere un intervallo di valori del cedimento elastico per la fondazione in esame (valore minimo per $w_{\text{Imp.}}$ e valore massimo per $w_{\text{Lib.}}$).

SIMBOLOGIA ADOTTATA NEI TABULATI DI CALCOLO

Per maggior chiarezza nella lettura dei tabulati di calcolo viene riportata la descrizione dei simboli principali utilizzati nella stesura degli stessi. Per comodità di lettura la legenda è suddivisa in paragrafi con la stessa modalità in cui sono stampati i tabulati di calcolo.

Dati geometrici degli elementi costituenti le fondazioni superficiali

per tipologie travi e plinti superficiali:

- Indice Strat. indice della stratigrafia associata all'elemento
- Prof. Fon. profondità del piano di posa dell'elemento a partire dal piano campagna
- Base larghezza della sezione trasversale dell'elemento
- Altezza altezza della sezione trasversale dell'elemento
- Lung. Elem. dimensione dello sviluppo longitudinale dell'elemento
- Lung. Travata nel caso l'elemento appartenga ad un macroelemento, rappresenta la dimensione dello sviluppo longitudinale del macroelemento

per tipologia platea:

- Indice Strat. indice della stratigrafia associata all'elemento
- Prof. Fon. profondità del piano di posa dell'elemento dal piano campagna
- Dia. Eq. diametro del cerchio equivalente alla superficie dell'elemento
- Spessore spessore dell'elemento
- Superficie superficie dell'elemento
- Vert. Elem. Numero dei vertici che costituiscono l'elemento
- Macro nel caso l'elemento appartenga ad un macroelemento, rappresenta il numero del macroelemento

Nel caso si avesse scelto di determinare la portanza anche per gli elementi platea è presente un ulteriore riga nella quale sono riportate le caratteristiche geometriche del plinto equivalente alla macro/platea in esame.

Dati di carico degli elementi costituenti le fondazioni superficiali

per tipologie travi e plinti superficiali:

- Cmb numero della combinazione di carico

| | | | |
|--------------------------------------|------------------------------------------------------------------------------------------------------------------------------|----------------------------------------------------------------------------------|-------------|
| COMMITTENTE: Mecca Antonio | CODICE COMMESSA: | NOME ELABORATO: S1.5 - Relazione Geotecnica e delle Fondazioni | CONSULENTE: |
| DATA: Aprile 2023 | TITOLO: Lavori ultimazione di un fabbricato adibito ad albergo-ristorante– C.da Case Nuove Chicone Avigliano (PZ) | | |

- Tipologia tipologia della combinazione di carico
- Sismica flag per l'applicazione della riduzione sismica alle caratteristiche meccaniche del terreno di fondazione per la combinazione di carico in esame
- Ecc. B eccentricità del carico normale agente sul piano di fondazione in direzione parallela alla sezione trasversale dell'elemento
- Ecc. L eccentricità del carico normale agente sul piano di fondazione in direzione parallela allo sviluppo longitudinale dell'elemento
- S.Taglio B sforzo di taglio agente sul piano di fondazione in direzione parallela alla sezione trasversale dell'elemento
- S.Taglio L sforzo di taglio agente sul piano di fondazione in direzione parallela allo sviluppo longitudinale dell'elemento
- S.Normale carico normale agente sul piano di fondazione
- T.T.min minimo valore della distribuzione tensionale di contatto tra terreno ed elemento fondale
- T.T.max massimo valore della distribuzione tensionale di contatto tra terreno ed elemento fondale

per tipologia platea:

- Cmb numero della combinazione di carico
- Tipologia tipologia della combinazione di carico
- Sismica flag per l'applicazione della riduzione sismica alle caratteristiche meccaniche del terreno di fondazione per la combinazione di carico in esame
- Press. N1 tensione di contatto tra terreno e fondazione nel vertice n° 1 dell'elemento
- Press. N2 tensione di contatto tra terreno e fondazione nel vertice n° 2 dell'elemento
- Press. N3 tensione di contatto tra terreno e fondazione nel vertice n° 3 dell'elemento
- Press. N4 tensione di contatto tra terreno e fondazione nel vertice n° 4 dell'elemento
- S.Taglio X sforzo di taglio agente sul piano di fondazione in direzione parallela all'asse X del riferimento globale
- S.Taglio Y sforzo di taglio agente sul piano di fondazione in direzione parallela all'asse Y del riferimento globale

Nel caso si avesse scelto di determinare la portanza anche per gli elementi platea è presente un'ulteriore riga nella quale sono riportate le macroazioni (integrale delle azioni applicate sui singoli elementi che compongono la platea) agenti sul plinto equivalente alla macro/platea in esame.

Valori di calcolo della portanza per fondazioni superficiali

- Cmb numero della combinazione di carico
- Qlim capacità portante totale data dalla somma di Qlim q, Qlim g, Qlim c e di Qres P (nel caso in cui si operi alle tensioni ammissibili corrisponde alla portanza ammissibile)
- Qlim q termine relativo al sovraccarico della formula trinomia per il calcolo della capacità portante (nel caso in cui si operi alle tensioni ammissibili corrisponde alla relativa parte della portanza ammissibile)
- Qlim g termine relativo alla larghezza della base di fondazione della formula trinomia per il calcolo della capacità portante (nel caso in cui si operi alle tensioni ammissibili corrisponde alla relativa parte della portanza ammissibile)
- Qlim c termine relativo alla coesione della formula trinomia per il calcolo della capacità portante (nel caso in cui si operi alle tensioni ammissibili corrisponde alla relativa parte della portanza ammissibile)
- Qres P termine relativo alla resistenza al punzonamento del terreno sovrastante lo strato di rottura. Diverso da zero solo nel caso di terreni stratificati dove lo strato di rottura è diverso dal primo (nel caso in cui si operi alle tensioni ammissibili corrisponde alla relativa parte della portanza ammissibile)
- Qmax / Qlim rapporto tra il massimo valore della distribuzione tensionale di contatto tra terreno ed elemento fondale ed il valore della capacità portante (verifica positiva se il rapporto è < 1.0).
- TBlim valore limite della resistenza a scorrimento in direzione parallela alla sezione

Relazione Geotecnica e delle Fondazioni

- TB / TBlim trasversale dell'elemento
rapporto tra lo sforzo di taglio agente ed il valore limite della resistenza a scorrimento in direzione parallela alla sezione trasversale dell'elemento (verifica positiva se il rapporto è < 1.0)
- TLlim valore limite della resistenza a scorrimento in direzione parallela allo sviluppo longitudinale dell'elemento
- TL / TLlim rapporto tra lo sforzo di taglio agente ed il valore limite della resistenza a scorrimento in direzione parallela allo sviluppo longitudinale dell'elemento (verifica positiva se il rapporto è < 1.0)
- Sgm. Lt. tensione litostatica agente alla quota del piano di posa dell'elemento fondale

Nel caso si avesse scelto di determinare la portanza anche per gli elementi platea è presente un'ulteriore riga nella quale sono riportate le verifiche di portanza del plinto equivalente alla macro/platea in esame.

Valori di calcolo dei cedimenti per fondazioni superficiali

- Cmb numero della combinazione di carico e tipologia
- Nodo vertice dell'elemento in cui viene calcolato il cedimento
- Car. Netto valore del carico netto applicato sulla superficie del terreno
- Cedimento/i valore del cedimento (nel caso di calcolo di cedimenti elastici i valori riportati sono due, il primo corrisponde al cedimento $w_{Imp.}$, mentre il secondo al cedimento $w_{Lib.}$)

PARAMETRI DI CALCOLO

Metodi di calcolo della portanza per fondazioni superficiali:

- Per terreni sciolti: Vesic
- Per terreni lapidei: Terzaghi

Fattori utilizzati per il calcolo della portanza per fondazioni superficiali :

- Riduzione dimensioni per eccentricità: si
- Fattori di forma della fondazione: si
- Fattori di profondità del piano di posa: si
- Fattori di inclinazione del carico: si
- Fattori di punzonamento (Vesic): si
- Fattore riduzione effetto piastra (Bowles): si
- Fattore di riduzione dimensione Base equivalente platea: 20.0 %
- Fattore di riduzione dimensione Lunghezza equivalente platea: 20.0 %

Coefficienti parziali di sicurezza per Tensioni Ammissibili, SLE nel calcolo della portanza per fondazioni superficiali:

- Coeff. parziale di sicurezza F_c (statico): 2.50
- Coeff. parziale di sicurezza F_q (statico): 2.50
- Coeff. parziale di sicurezza F_g (statico): 2.50
- Coeff. parziale di sicurezza F_c (sismico): 3.00
- Coeff. parziale di sicurezza F_q (sismico): 3.00
- Coeff. parziale di sicurezza F_g (sismico): 3.00

Combinazioni di carico:

APPROCCIO PROGETTUALE TIPO 2 - Comb. (A1+M1+R3)

Coefficienti parziali di sicurezza per SLU nel calcolo della portanza per fondazioni superficiali :

I coeff. A1 risultano combinati secondo lo schema presente nella relazione di calcolo della struttura.

- Coeff. M1 per $\tan \phi$ (statico): 1
- Coeff. M1 per c' (statico): 1
- Coeff. M1 per C_u (statico): 1
- Coeff. M1 per $\tan \phi$ (sismico): 1
- Coeff. M1 per c' (sismico): 1
- Coeff. M1 per C_u (sismico): 1

| | | | |
|--------------------------------------|------------------------------------------------------------------------------------------------------------------------------|----------------------------------------------------------------------------------|-------------|
| COMMITTENTE: Mecca Antonio | CODICE COMMESSA: | NOME ELABORATO: S1.5 - Relazione Geotecnica e delle Fondazioni | CONSULENTE: |
| DATA: Aprile 2023 | TITOLO: Lavori ultimazione di un fabbricato adibito ad albergo-ristorante- C.da Case Nuove Chicone Avigliano (PZ) | | |

- Coeff. R3 capacità portante (statico e sismico): 2.30
- Coeff. R3 scorrimento (statico e sismico): 1.10

Parametri per la verifica a scorrimento delle fondazioni superficiali:

- Fattore per l'adesione ($6 < Ca < 10$): 8
- Fattore per attrito terreno-fondazione ($5 < \Delta < 10$): 7
- Frazione di spinta passiva fSp : 50.00 %
- Coeff. resistenza sulle sup. laterali: 1.30

Metodi e parametri per il calcolo dei cedimenti delle fondazioni superficiali:

- Metodo di calcolo tensioni superficiali: Boussinesq
- Modalità d'interferenza dei bulbi tensionali: sovrapposizione dei bulbi
- Metodo di calcolo dei cedimenti del terreno: cedimenti edometrici

ARCHIVIO STRATIGRAFIE

Indice / Descrizione: 001 / Nuova stratigrafia n. 1

Numero strati: 2

Profondità falda: assente

| Strato n. | Quota di riferimento Attrito Neg. | Spessore | Indice | / | Descrizione | terreno |
|-----------|--------------------------------------|-----------|--------|---|-------------------|-------------|
| 1 | da 0.0 a -150.0 cm Assente | 150.0 cm | 001 | / | Coltre di | alterazione |
| 2 | da -150.0 a -3150.0 cm Assente | 3000.0 cm | 002 | / | Arenarie quarzose | ben |

ARCHIVIO TERRENI

Indice / Descrizione terreno: **001 / Coltre di alterazione**

Comportamento del terreno: condizione drenata

| Peso Spec. | P. Spec. Sat. | Angolo Res. | Coesione | Mod.Elast. | Mod.Edom. | Dens.Rel. | Poisson | C. Ades. |
|---------------------|---------------------|-------------|---------------------|---------------------|---------------------|-----------|---------|----------|
| daN/cm ² | daN/cm ² | Gradi° | daN/cm ² | daN/cm ² | daN/cm ² | % | % | |
| 2.000 E-3 | 2.000 E-3 | 24.000 | 0.250 | 55.929 | 100.000 | 60.0 | 0.372 | 0.75 |

Indice / Descrizione terreno: **002 / Arenarie quarzose ben**

Comportamento del terreno: condizione drenata

| Peso Spec. | P. Spec. Sat. | Angolo Res. | Coesione | Mod.Elast. | Mod.Edom. | Dens.Rel. | Poisson | C. Ades. |
|---------------------|---------------------|-------------|---------------------|---------------------|---------------------|-----------|---------|----------|
| daN/cm ² | daN/cm ² | Gradi° | daN/cm ² | daN/cm ² | daN/cm ² | % | % | |
| 1.900 E-3 | 2.000 E-3 | 30.000 | 0.050 | 133.500 | 200.000 | 60.0 | 0.333 | 0.95 |

DATI GEOMETRICI DEGLI ELEMENTI COSTITUENTI LE FONDAZIONI SUPERFICIALI

| Elemento n. | Tipologia | Id.Strat. | Prof. Fon. cm | Dia. Eq. cm | Spessore cm | Superficie cm ² | Vertici n. per elem. | Macro n. |
|----------------|-----------|-----------|------------------|----------------|----------------|-------------------------------|-------------------------|-------------|
| Platea n. 1 | Platea | 001 | 20.000 | 59.505 | 40.000 | 2780.999 | 4 | 1 |
| Platea n. 2 | Platea | 001 | 20.000 | 73.101 | 40.000 | 4197.000 | 4 | 1 |
| Platea n. 3 | Platea | 001 | 20.000 | 56.170 | 40.000 | 2478.003 | 4 | 1 |
| Platea n. 4 | Platea | 001 | 20.000 | 61.793 | 40.000 | 2998.944 | 4 | 1 |
| Platea n. 5 | Platea | 001 | 20.000 | 66.214 | 40.000 | 3443.365 | 4 | 1 |
| Platea n. 6 | Platea | 001 | 20.000 | 58.066 | 40.000 | 2648.115 | 4 | 1 |
| Platea n. 7 | Platea | 001 | 20.000 | 29.983 | 40.000 | 706.072 | 3 | 1 |
| Platea n. 8 | Platea | 001 | 20.000 | 31.143 | 40.000 | 761.733 | 3 | 1 |
| Platea n. 9 | Platea | 001 | 20.000 | 33.565 | 40.000 | 884.852 | 3 | 1 |
| Platea n. 10 | Platea | 001 | 20.000 | 38.865 | 40.000 | 1186.313 | 3 | 1 |
| Platea n. 11 | Platea | 001 | 20.000 | 55.689 | 40.000 | 2435.752 | 4 | 1 |
| Platea n. 12 | Platea | 001 | 20.000 | 58.075 | 40.000 | 2648.953 | 4 | 1 |
| Platea n. 13 | Platea | 001 | 20.000 | 44.440 | 40.000 | 1551.080 | 4 | 1 |
| Platea n. 14 | Platea | 001 | 20.000 | 65.896 | 40.000 | 3410.403 | 4 | 1 |
| Platea n. 15 | Platea | 001 | 20.000 | 47.529 | 40.000 | 1774.222 | 4 | 1 |
| Platea n. 16 | Platea | 001 | 20.000 | 55.236 | 40.000 | 2396.233 | 4 | 1 |
| Platea n. 17 | Platea | 001 | 20.000 | 58.273 | 40.000 | 2666.986 | 4 | 1 |
| Platea n. 18 | Platea | 001 | 20.000 | 54.295 | 40.000 | 2315.305 | 4 | 1 |
| Platea n. 19 | Platea | 001 | 20.000 | 40.905 | 40.000 | 1314.127 | 4 | 1 |
| Platea n. 20 | Platea | 001 | 20.000 | 53.941 | 40.000 | 2285.260 | 4 | 1 |
| Platea n. 21 | Platea | 001 | 20.000 | 55.909 | 40.000 | 2455.039 | 4 | 1 |
| Platea n. 22 | Platea | 001 | 20.000 | 56.120 | 40.000 | 2473.615 | 4 | 1 |

Relazione Geotecnica e delle Fondazioni

| | | | | | | | | |
|--------------|--------|-----|--------|--------|--------|----------|---|---|
| Platea n. 23 | Platea | 001 | 20.000 | 67.666 | 40.000 | 3596.088 | 4 | 1 |
| Platea n. 24 | Platea | 001 | 20.000 | 58.814 | 40.000 | 2716.757 | 4 | 1 |
| Platea n. 25 | Platea | 001 | 20.000 | 58.273 | 40.000 | 2666.984 | 4 | 1 |
| Platea n. 26 | Platea | 001 | 20.000 | 54.661 | 40.000 | 2346.626 | 4 | 1 |
| Platea n. 27 | Platea | 001 | 20.000 | 46.598 | 40.000 | 1705.380 | 4 | 1 |
| Platea n. 28 | Platea | 001 | 20.000 | 60.994 | 40.000 | 2921.849 | 4 | 1 |
| Platea n. 29 | Platea | 001 | 20.000 | 63.595 | 40.000 | 3176.386 | 4 | 1 |
| Platea n. 30 | Platea | 001 | 20.000 | 58.273 | 40.000 | 2666.984 | 4 | 1 |
| Platea n. 31 | Platea | 001 | 20.000 | 63.632 | 40.000 | 3180.085 | 4 | 1 |
| Platea n. 32 | Platea | 001 | 20.000 | 62.506 | 40.000 | 3068.587 | 4 | 1 |
| Platea n. 33 | Platea | 001 | 20.000 | 41.114 | 40.000 | 1327.583 | 4 | 1 |
| Platea n. 34 | Platea | 001 | 20.000 | 51.667 | 40.000 | 2096.607 | 4 | 1 |
| Platea n. 35 | Platea | 001 | 20.000 | 61.180 | 40.000 | 2939.751 | 4 | 1 |
| Platea n. 36 | Platea | 001 | 20.000 | 60.924 | 40.000 | 2915.198 | 4 | 1 |
| Platea n. 37 | Platea | 001 | 20.000 | 49.133 | 40.000 | 1896.021 | 4 | 1 |
| Platea n. 38 | Platea | 001 | 20.000 | 43.230 | 40.000 | 1467.804 | 4 | 1 |
| Platea n. 39 | Platea | 001 | 20.000 | 55.890 | 40.000 | 2453.345 | 4 | 1 |
| Platea n. 40 | Platea | 001 | 20.000 | 61.772 | 40.000 | 2996.924 | 4 | 1 |
| Platea n. 41 | Platea | 001 | 20.000 | 63.595 | 40.000 | 3176.387 | 4 | 1 |
| Platea n. 42 | Platea | 001 | 20.000 | 54.787 | 40.000 | 2357.459 | 4 | 1 |
| Platea n. 43 | Platea | 001 | 20.000 | 41.114 | 40.000 | 1327.583 | 4 | 1 |
| Platea n. 44 | Platea | 001 | 20.000 | 73.536 | 40.000 | 4247.100 | 4 | 1 |
| Platea n. 45 | Platea | 001 | 20.000 | 43.230 | 40.000 | 1467.804 | 4 | 1 |
| Platea n. 46 | Platea | 001 | 20.000 | 56.929 | 40.000 | 2545.380 | 4 | 1 |
| Platea n. 47 | Platea | 001 | 20.000 | 54.663 | 40.000 | 2346.815 | 4 | 1 |
| Platea n. 48 | Platea | 001 | 20.000 | 40.383 | 40.000 | 1280.821 | 4 | 1 |
| Platea n. 49 | Platea | 001 | 20.000 | 56.163 | 40.000 | 2477.385 | 4 | 1 |
| Platea n. 50 | Platea | 001 | 20.000 | 44.742 | 40.000 | 1572.239 | 4 | 1 |
| Platea n. 51 | Platea | 001 | 20.000 | 49.977 | 40.000 | 1961.698 | 4 | 1 |
| Platea n. 52 | Platea | 001 | 20.000 | 61.874 | 40.000 | 3006.769 | 4 | 1 |
| Platea n. 53 | Platea | 001 | 20.000 | 48.553 | 40.000 | 1851.454 | 4 | 1 |
| Platea n. 54 | Platea | 001 | 20.000 | 49.214 | 40.000 | 1902.218 | 4 | 1 |
| Platea n. 55 | Platea | 001 | 20.000 | 64.078 | 40.000 | 3224.860 | 4 | 1 |
| Platea n. 56 | Platea | 001 | 20.000 | 58.273 | 40.000 | 2666.984 | 4 | 1 |
| Platea n. 57 | Platea | 001 | 20.000 | 58.273 | 40.000 | 2666.984 | 4 | 1 |
| Platea n. 58 | Platea | 001 | 20.000 | 53.719 | 40.000 | 2266.470 | 4 | 1 |
| Platea n. 59 | Platea | 001 | 20.000 | 51.990 | 40.000 | 2122.904 | 4 | 1 |
| Platea n. 60 | Platea | 001 | 20.000 | 53.899 | 40.000 | 2281.665 | 4 | 1 |
| Platea n. 61 | Platea | 001 | 20.000 | 53.371 | 40.000 | 2237.185 | 4 | 1 |
| Platea n. 62 | Platea | 001 | 20.000 | 51.033 | 40.000 | 2045.494 | 4 | 1 |
| Platea n. 63 | Platea | 001 | 20.000 | 44.598 | 40.000 | 1562.109 | 4 | 1 |
| Platea n. 64 | Platea | 001 | 20.000 | 51.226 | 40.000 | 2060.927 | 4 | 1 |
| Platea n. 65 | Platea | 001 | 20.000 | 61.728 | 40.000 | 2992.621 | 4 | 1 |
| Platea n. 66 | Platea | 001 | 20.000 | 58.273 | 40.000 | 2666.984 | 4 | 1 |
| Platea n. 67 | Platea | 001 | 20.000 | 58.273 | 40.000 | 2666.984 | 4 | 1 |
| Platea n. 68 | Platea | 001 | 20.000 | 55.072 | 40.000 | 2382.017 | 4 | 1 |
| Platea n. 69 | Platea | 001 | 20.000 | 48.679 | 40.000 | 1861.115 | 4 | 1 |
| Platea n. 70 | Platea | 001 | 20.000 | 48.292 | 40.000 | 1831.671 | 4 | 1 |
| Platea n. 71 | Platea | 001 | 20.000 | 54.528 | 40.000 | 2335.265 | 4 | 1 |
| Platea n. 72 | Platea | 001 | 20.000 | 53.287 | 40.000 | 2230.181 | 4 | 1 |
| Platea n. 73 | Platea | 001 | 20.000 | 51.214 | 40.000 | 2059.974 | 4 | 1 |
| Platea n. 74 | Platea | 001 | 20.000 | 50.217 | 40.000 | 1980.581 | 4 | 1 |
| Platea n. 75 | Platea | 001 | 20.000 | 67.627 | 40.000 | 3591.985 | 4 | 1 |
| Platea n. 76 | Platea | 001 | 20.000 | 53.710 | 40.000 | 2265.715 | 4 | 1 |
| Platea n. 77 | Platea | 001 | 20.000 | 52.960 | 40.000 | 2202.820 | 4 | 1 |
| Platea n. 78 | Platea | 001 | 20.000 | 60.713 | 40.000 | 2895.054 | 4 | 1 |
| Platea n. 79 | Platea | 001 | 20.000 | 63.632 | 40.000 | 3180.085 | 4 | 1 |
| Platea n. 80 | Platea | 001 | 20.000 | 58.273 | 40.000 | 2666.984 | 4 | 1 |
| Platea n. 81 | Platea | 001 | 20.000 | 61.442 | 40.000 | 2965.014 | 4 | 1 |
| Platea n. 82 | Platea | 001 | 20.000 | 56.048 | 40.000 | 2467.208 | 4 | 1 |
| Platea n. 83 | Platea | 001 | 20.000 | 65.772 | 40.000 | 3397.618 | 4 | 1 |
| Platea n. 84 | Platea | 001 | 20.000 | 61.508 | 40.000 | 2971.355 | 4 | 1 |
| Platea n. 85 | Platea | 001 | 20.000 | 59.899 | 40.000 | 2817.922 | 4 | 1 |
| Platea n. 86 | Platea | 001 | 20.000 | 58.273 | 40.000 | 2666.985 | 4 | 1 |
| Platea n. 87 | Platea | 001 | 20.000 | 63.829 | 40.000 | 3199.855 | 4 | 1 |
| Platea n. 88 | Platea | 001 | 20.000 | 56.784 | 40.000 | 2532.454 | 4 | 1 |
| Platea n. 89 | Platea | 001 | 20.000 | 63.031 | 40.000 | 3120.270 | 4 | 1 |
| Platea n. 90 | Platea | 001 | 20.000 | 51.526 | 40.000 | 2085.188 | 4 | 1 |
| Platea n. 91 | Platea | 001 | 20.000 | 64.527 | 40.000 | 3270.162 | 4 | 1 |
| Platea n. 92 | Platea | 001 | 20.000 | 51.667 | 40.000 | 2096.607 | 4 | 1 |
| Platea n. 93 | Platea | 001 | 20.000 | 73.812 | 40.000 | 4278.958 | 4 | 1 |
| Platea n. 94 | Platea | 001 | 20.000 | 53.019 | 40.000 | 2207.797 | 4 | 1 |
| Platea n. 95 | Platea | 001 | 20.000 | 63.519 | 40.000 | 3168.824 | 4 | 1 |
| Platea n. 96 | Platea | 001 | 20.000 | 58.335 | 40.000 | 2672.684 | 4 | 1 |

| | | | |
|--------------------------------------|----------------------------------------------------------------------------------------------------------------------|----------------------------------------------------------------------------------|-------------|
| COMMITTENTE: Mecca Antonio | CODICE COMMESSA: | NOME ELABORATO: S1.5 - Relazione Geotecnica e delle Fondazioni | CONSULENTE: |
| DATA: Aprile 2023 | TITOLO: Lavori ultimazione di un fabbricato adibito ad albergo-ristorante- C.da Case Nuove Chicone Avigliano (PZ) | | |

| | | | | | | | | |
|-------------------------|------------------|------------------|-------------------|-----------------|-----------------|------------------|----------------------|---|
| Platea n. 97 | Platea | 001 | 20.000 | 49.075 | 40.000 | 1891.539 | 4 | 1 |
| Elemento Eq. | Tipologia | Id.Strat. | Prof. Fon. | Base Eq. | Spessore | Lung. Eq. | Lung. Travata | |
| n. | | | cm | cm | cm | cm | cm | |
| Macro n. 1 | Macro-Platea | 001 | 20.000 | 263.600 | 40.000 | 578.400 | 578.400 | |

DATI DI CARICO DEGLI ELEMENTI COSTITUENTI LE FONDAZIONI SUPERFICIALI

Elemento: Platea n. 1

| Cmb | Tipo | Sism. | Press. N1 | Press. N2 | Press. N3 | Press. N4 | S. Taglio X | S. Taglio Y |
|-----|----------|-------|---------------------|---------------------|---------------------|---------------------|-------------|-------------|
| n. | | | daN/cm ² | daN/cm ² | daN/cm ² | daN/cm ² | daN | daN |
| 001 | SLU STR | No | -0.1565 | -0.1570 | -0.1611 | -0.1607 | 0.0 | 0.0 |
| 002 | SLU STR | No | -0.2090 | -0.2095 | -0.2136 | -0.2132 | 0.0 | 0.0 |
| 003 | SLU STR | No | -0.1978 | -0.1987 | -0.2146 | -0.2144 | 0.1 | 0.2 |
| 004 | SLU STR | No | -0.2503 | -0.2512 | -0.2671 | -0.2669 | 0.1 | 0.2 |
| 005 | SLU STR | No | -0.1160 | -0.1164 | -0.1193 | -0.1190 | 0.0 | 0.0 |
| 006 | SLU STR | No | -0.1685 | -0.1689 | -0.1718 | -0.1715 | 0.0 | 0.0 |
| 007 | SLU STR | No | -0.1574 | -0.1582 | -0.1728 | -0.1728 | 0.1 | 0.2 |
| 008 | SLU STR | No | -0.2099 | -0.2107 | -0.2253 | -0.2253 | 0.1 | 0.2 |
| 009 | SLU STR | No | -0.2315 | -0.2320 | -0.2361 | -0.2357 | 0.0 | 0.0 |
| 010 | SLU STR | No | -0.1854 | -0.1862 | -0.1985 | -0.1983 | 0.0 | 0.1 |
| 011 | SLU STR | No | -0.2604 | -0.2612 | -0.2735 | -0.2733 | 0.0 | 0.1 |
| 012 | SLU STR | No | -0.1910 | -0.1914 | -0.1943 | -0.1940 | 0.0 | 0.0 |
| 013 | SLU STR | No | -0.1450 | -0.1456 | -0.1568 | -0.1566 | 0.0 | 0.1 |
| 014 | SLU STR | No | -0.2200 | -0.2206 | -0.2318 | -0.2316 | 0.0 | 0.1 |
| 015 | SLE rare | No | -0.1185 | -0.1188 | -0.1219 | -0.1216 | 0.0 | 0.0 |
| 016 | SLE rare | No | -0.1535 | -0.1538 | -0.1569 | -0.1566 | 0.0 | 0.0 |
| 017 | SLE rare | No | -0.1460 | -0.1467 | -0.1576 | -0.1574 | 0.0 | 0.1 |
| 018 | SLE rare | No | -0.1810 | -0.1817 | -0.1926 | -0.1924 | 0.0 | 0.1 |
| 019 | SLE rare | No | -0.1685 | -0.1688 | -0.1719 | -0.1716 | 0.0 | 0.0 |
| 020 | SLE rare | No | -0.1378 | -0.1383 | -0.1469 | -0.1467 | 0.0 | 0.1 |
| 021 | SLE rare | No | -0.1878 | -0.1883 | -0.1969 | -0.1967 | 0.0 | 0.1 |
| 022 | SLE freq | No | -0.1185 | -0.1188 | -0.1219 | -0.1216 | 0.0 | 0.0 |
| 023 | SLE freq | No | -0.1485 | -0.1488 | -0.1519 | -0.1516 | 0.0 | 0.0 |
| 024 | SLE freq | No | -0.1378 | -0.1383 | -0.1469 | -0.1467 | 0.0 | 0.1 |
| 025 | SLE freq | No | -0.1678 | -0.1683 | -0.1769 | -0.1767 | 0.0 | 0.1 |
| 026 | SLE freq | No | -0.1535 | -0.1538 | -0.1569 | -0.1566 | 0.0 | 0.0 |
| 027 | SLE freq | No | -0.1350 | -0.1356 | -0.1433 | -0.1431 | 0.0 | 0.1 |
| 028 | SLE freq | No | -0.1700 | -0.1706 | -0.1783 | -0.1781 | 0.0 | 0.1 |
| 029 | SLE q.p. | No | -0.1185 | -0.1188 | -0.1219 | -0.1216 | 0.0 | 0.0 |
| 030 | SLE q.p. | No | -0.1485 | -0.1488 | -0.1519 | -0.1516 | 0.0 | 0.0 |
| 031 | SLE q.p. | No | -0.1350 | -0.1356 | -0.1433 | -0.1431 | 0.0 | 0.1 |
| 032 | SLE q.p. | No | -0.1650 | -0.1656 | -0.1733 | -0.1731 | 0.0 | 0.1 |
| 033 | SLV A1 | Si | -0.1642 | -0.1630 | -0.1784 | -0.1761 | 30.6 | 1.7 |
| 034 | SLV A1 | Si | -0.1781 | -0.1775 | -0.1805 | -0.1747 | 23.2 | -20.3 |
| 035 | SLV A1 | Si | -0.1519 | -0.1536 | -0.1661 | -0.1715 | -23.2 | 20.5 |
| 036 | SLV A1 | Si | -0.1658 | -0.1681 | -0.1682 | -0.1701 | -30.5 | -1.5 |
| 037 | SLV A1 | Si | -0.1641 | -0.1630 | -0.1784 | -0.1761 | 27.1 | 1.6 |
| 038 | SLV A1 | Si | -0.1781 | -0.1776 | -0.1805 | -0.1747 | 26.8 | -20.3 |
| 039 | SLV A1 | Si | -0.1519 | -0.1536 | -0.1662 | -0.1715 | -26.7 | 20.4 |
| 040 | SLV A1 | Si | -0.1659 | -0.1681 | -0.1682 | -0.1701 | -27.0 | -1.4 |
| 041 | SLV A1 | Si | -0.1669 | -0.1654 | -0.1783 | -0.1762 | 30.7 | -2.4 |
| 042 | SLV A1 | Si | -0.1808 | -0.1799 | -0.1803 | -0.1748 | 23.3 | -24.4 |
| 043 | SLV A1 | Si | -0.1492 | -0.1512 | -0.1663 | -0.1715 | -23.2 | 24.6 |
| 044 | SLV A1 | Si | -0.1631 | -0.1657 | -0.1683 | -0.1701 | -30.6 | 2.6 |
| 045 | SLV A1 | Si | -0.1669 | -0.1654 | -0.1783 | -0.1762 | 27.1 | -2.5 |
| 046 | SLV A1 | Si | -0.1808 | -0.1800 | -0.1803 | -0.1748 | 26.8 | -24.4 |
| 047 | SLV A1 | Si | -0.1492 | -0.1512 | -0.1663 | -0.1715 | -26.8 | 24.5 |
| 048 | SLV A1 | Si | -0.1631 | -0.1657 | -0.1683 | -0.1701 | -27.1 | 2.7 |
| 049 | SLV A1 | Si | -0.1437 | -0.1428 | -0.1717 | -0.1761 | 20.3 | 33.9 |
| 050 | SLV A1 | Si | -0.1900 | -0.1912 | -0.1786 | -0.1715 | -4.2 | -39.4 |
| 051 | SLV A1 | Si | -0.1400 | -0.1400 | -0.1680 | -0.1748 | 4.2 | 39.6 |
| 052 | SLV A1 | Si | -0.1863 | -0.1883 | -0.1749 | -0.1701 | -20.3 | -33.7 |
| 053 | SLV A1 | Si | -0.1445 | -0.1435 | -0.1717 | -0.1762 | 20.4 | 32.7 |
| 054 | SLV A1 | Si | -0.1908 | -0.1919 | -0.1785 | -0.1715 | -4.1 | -40.6 |
| 055 | SLV A1 | Si | -0.1392 | -0.1392 | -0.1681 | -0.1747 | 4.2 | 40.8 |
| 056 | SLV A1 | Si | -0.1855 | -0.1876 | -0.1749 | -0.1701 | -20.3 | -32.5 |
| 057 | SLV A1 | Si | -0.1436 | -0.1427 | -0.1718 | -0.1761 | 8.6 | 33.7 |
| 058 | SLV A1 | Si | -0.1901 | -0.1912 | -0.1785 | -0.1715 | 7.6 | -39.2 |

Relazione Geotecnica e delle Fondazioni

| | | | | | | | | |
|-----|--------|----|---------|---------|---------|---------|-------|-------|
| 059 | SLV A1 | Si | -0.1399 | -0.1399 | -0.1681 | -0.1747 | -7.5 | 39.4 |
| 060 | SLV A1 | Si | -0.1864 | -0.1884 | -0.1748 | -0.1701 | -8.5 | -33.6 |
| 061 | SLV A1 | Si | -0.1444 | -0.1434 | -0.1717 | -0.1761 | 8.6 | 32.5 |
| 062 | SLV A1 | Si | -0.1909 | -0.1919 | -0.1785 | -0.1715 | 7.6 | -40.4 |
| 063 | SLV A1 | Si | -0.1391 | -0.1392 | -0.1681 | -0.1747 | -7.6 | 40.6 |
| 064 | SLV A1 | Si | -0.1856 | -0.1877 | -0.1749 | -0.1701 | -8.6 | -32.3 |
| 065 | SLD | Si | -0.1646 | -0.1644 | -0.1756 | -0.1744 | 13.8 | 0.8 |
| 066 | SLD | Si | -0.1709 | -0.1710 | -0.1765 | -0.1738 | 10.5 | -9.2 |
| 067 | SLD | Si | -0.1591 | -0.1601 | -0.1701 | -0.1724 | -10.5 | 9.4 |
| 068 | SLD | Si | -0.1654 | -0.1667 | -0.1710 | -0.1718 | -13.8 | -0.7 |
| 069 | SLD | Si | -0.1646 | -0.1644 | -0.1756 | -0.1744 | 12.3 | 0.8 |
| 070 | SLD | Si | -0.1710 | -0.1710 | -0.1765 | -0.1738 | 12.1 | -9.2 |
| 071 | SLD | Si | -0.1591 | -0.1601 | -0.1701 | -0.1724 | -12.1 | 9.3 |
| 072 | SLD | Si | -0.1654 | -0.1667 | -0.1710 | -0.1718 | -12.2 | -0.6 |
| 073 | SLD | Si | -0.1659 | -0.1655 | -0.1756 | -0.1745 | 13.9 | -1.0 |
| 074 | SLD | Si | -0.1722 | -0.1721 | -0.1765 | -0.1738 | 10.6 | -11.1 |
| 075 | SLD | Si | -0.1578 | -0.1590 | -0.1701 | -0.1724 | -10.5 | 11.2 |
| 076 | SLD | Si | -0.1642 | -0.1656 | -0.1711 | -0.1717 | -13.8 | 1.2 |
| 077 | SLD | Si | -0.1658 | -0.1655 | -0.1756 | -0.1745 | 12.3 | -1.1 |
| 078 | SLD | Si | -0.1722 | -0.1721 | -0.1765 | -0.1738 | 12.2 | -11.1 |
| 079 | SLD | Si | -0.1578 | -0.1590 | -0.1701 | -0.1724 | -12.1 | 11.2 |
| 080 | SLD | Si | -0.1642 | -0.1656 | -0.1710 | -0.1717 | -12.2 | 1.2 |
| 081 | SLD | Si | -0.1553 | -0.1552 | -0.1726 | -0.1745 | 9.2 | 15.5 |
| 082 | SLD | Si | -0.1764 | -0.1772 | -0.1757 | -0.1724 | -1.9 | -17.9 |
| 083 | SLD | Si | -0.1536 | -0.1539 | -0.1709 | -0.1739 | 1.9 | 18.1 |
| 084 | SLD | Si | -0.1747 | -0.1760 | -0.1740 | -0.1718 | -9.2 | -15.4 |
| 085 | SLD | Si | -0.1557 | -0.1555 | -0.1726 | -0.1745 | 9.2 | 15.0 |
| 086 | SLD | Si | -0.1768 | -0.1776 | -0.1757 | -0.1724 | -1.9 | -18.5 |
| 087 | SLD | Si | -0.1532 | -0.1536 | -0.1709 | -0.1739 | 1.9 | 18.7 |
| 088 | SLD | Si | -0.1744 | -0.1756 | -0.1740 | -0.1717 | -9.2 | -14.8 |
| 089 | SLD | Si | -0.1552 | -0.1551 | -0.1726 | -0.1745 | 3.9 | 15.4 |
| 090 | SLD | Si | -0.1765 | -0.1773 | -0.1757 | -0.1724 | 3.4 | -17.8 |
| 091 | SLD | Si | -0.1536 | -0.1539 | -0.1709 | -0.1739 | -3.4 | 18.0 |
| 092 | SLD | Si | -0.1748 | -0.1760 | -0.1740 | -0.1718 | -3.9 | -15.3 |
| 093 | SLD | Si | -0.1556 | -0.1555 | -0.1726 | -0.1745 | 3.9 | 14.9 |
| 094 | SLD | Si | -0.1768 | -0.1776 | -0.1756 | -0.1724 | 3.5 | -18.4 |
| 095 | SLD | Si | -0.1532 | -0.1535 | -0.1710 | -0.1738 | -3.4 | 18.6 |
| 096 | SLD | Si | -0.1744 | -0.1757 | -0.1740 | -0.1717 | -3.9 | -14.7 |
| 097 | SLO | Si | -0.1647 | -0.1647 | -0.1751 | -0.1742 | 11.0 | 0.6 |
| 098 | SLO | Si | -0.1697 | -0.1699 | -0.1759 | -0.1737 | 8.4 | -7.2 |
| 099 | SLO | Si | -0.1603 | -0.1613 | -0.1707 | -0.1726 | -8.3 | 7.4 |
| 100 | SLO | Si | -0.1653 | -0.1665 | -0.1715 | -0.1721 | -10.9 | -0.5 |
| 101 | SLO | Si | -0.1647 | -0.1646 | -0.1751 | -0.1742 | 9.7 | 0.7 |
| 102 | SLO | Si | -0.1697 | -0.1699 | -0.1759 | -0.1737 | 9.6 | -7.3 |
| 103 | SLO | Si | -0.1603 | -0.1612 | -0.1707 | -0.1726 | -9.6 | 7.4 |
| 104 | SLO | Si | -0.1653 | -0.1665 | -0.1715 | -0.1721 | -9.7 | -0.5 |
| 105 | SLO | Si | -0.1657 | -0.1655 | -0.1751 | -0.1742 | 11.0 | -0.8 |
| 106 | SLO | Si | -0.1707 | -0.1707 | -0.1758 | -0.1737 | 8.4 | -8.7 |
| 107 | SLO | Si | -0.1593 | -0.1604 | -0.1708 | -0.1725 | -8.3 | 8.9 |
| 108 | SLO | Si | -0.1643 | -0.1656 | -0.1715 | -0.1720 | -11.0 | 1.0 |
| 109 | SLO | Si | -0.1657 | -0.1655 | -0.1751 | -0.1742 | 9.8 | -0.8 |
| 110 | SLO | Si | -0.1707 | -0.1707 | -0.1758 | -0.1737 | 9.7 | -8.7 |
| 111 | SLO | Si | -0.1593 | -0.1604 | -0.1708 | -0.1725 | -9.6 | 8.9 |
| 112 | SLO | Si | -0.1644 | -0.1656 | -0.1715 | -0.1720 | -9.7 | 1.0 |
| 113 | SLO | Si | -0.1574 | -0.1574 | -0.1727 | -0.1742 | 7.3 | 12.2 |
| 114 | SLO | Si | -0.1740 | -0.1747 | -0.1752 | -0.1725 | -1.5 | -14.1 |
| 115 | SLO | Si | -0.1561 | -0.1564 | -0.1714 | -0.1737 | 1.5 | 14.2 |
| 116 | SLO | Si | -0.1726 | -0.1737 | -0.1739 | -0.1720 | -7.3 | -12.0 |
| 117 | SLO | Si | -0.1577 | -0.1577 | -0.1727 | -0.1742 | 7.3 | 11.8 |
| 118 | SLO | Si | -0.1743 | -0.1750 | -0.1752 | -0.1725 | -1.5 | -14.5 |
| 119 | SLO | Si | -0.1558 | -0.1561 | -0.1714 | -0.1737 | 1.5 | 14.7 |
| 120 | SLO | Si | -0.1723 | -0.1735 | -0.1739 | -0.1720 | -7.3 | -11.6 |
| 121 | SLO | Si | -0.1572 | -0.1573 | -0.1728 | -0.1742 | 3.1 | 12.3 |
| 122 | SLO | Si | -0.1741 | -0.1749 | -0.1752 | -0.1725 | 2.7 | -14.1 |
| 123 | SLO | Si | -0.1559 | -0.1563 | -0.1714 | -0.1737 | -2.7 | 14.3 |
| 124 | SLO | Si | -0.1728 | -0.1738 | -0.1739 | -0.1720 | -3.1 | -12.1 |
| 125 | SLO | Si | -0.1575 | -0.1575 | -0.1727 | -0.1742 | 3.1 | 11.8 |
| 126 | SLO | Si | -0.1744 | -0.1751 | -0.1752 | -0.1725 | 2.7 | -14.6 |
| 127 | SLO | Si | -0.1556 | -0.1560 | -0.1714 | -0.1737 | -2.7 | 14.7 |
| 128 | SLO | Si | -0.1725 | -0.1736 | -0.1739 | -0.1720 | -3.1 | -11.7 |

Elemento: Platea n. 2

| Cmb | Tipo | Sism. | Press. N1 | Press. N2 | Press. N3 | Press. N4 | S. Taglio X | S. Taglio Y |
|-----|------|-------|-----------|-----------|-----------|-----------|-------------|-------------|
|-----|------|-------|-----------|-----------|-----------|-----------|-------------|-------------|

| | | | |
|--------------------------------------|------------------------------------------------------------------------------------------------------------------------------|----------------------------------------------------------------------------------|-------------|
| COMMITTENTE: Mecca Antonio | CODICE COMMESSA: | NOME ELABORATO: S1.5 - Relazione Geotecnica e delle Fondazioni | CONSULENTE: |
| DATA: Aprile 2023 | TITOLO: Lavori ultimazione di un fabbricato adibito ad albergo-ristorante– C.da Case Nuove Chicone Avigliano (PZ) | | |

| n. | | | daN/cm ² | daN/cm ² | daN/cm ² | daN/cm ² | daN | daN |
|-----|----------|----|---------------------|---------------------|---------------------|---------------------|-------|-------|
| 001 | SLU STR | No | -0.1611 | -0.1617 | -0.1678 | -0.1662 | 0.0 | 0.0 |
| 002 | SLU STR | No | -0.2136 | -0.2142 | -0.2203 | -0.2187 | 0.0 | 0.0 |
| 003 | SLU STR | No | -0.2146 | -0.2146 | -0.2391 | -0.2349 | 0.2 | 0.2 |
| 004 | SLU STR | No | -0.2671 | -0.2671 | -0.2916 | -0.2874 | 0.2 | 0.2 |
| 005 | SLU STR | No | -0.1193 | -0.1198 | -0.1242 | -0.1230 | 0.0 | 0.0 |
| 006 | SLU STR | No | -0.1718 | -0.1723 | -0.1767 | -0.1755 | 0.0 | 0.0 |
| 007 | SLU STR | No | -0.1728 | -0.1727 | -0.1954 | -0.1917 | 0.2 | 0.2 |
| 008 | SLU STR | No | -0.2253 | -0.2252 | -0.2479 | -0.2442 | 0.2 | 0.2 |
| 009 | SLU STR | No | -0.2361 | -0.2367 | -0.2428 | -0.2412 | 0.0 | 0.0 |
| 010 | SLU STR | No | -0.1985 | -0.1987 | -0.2177 | -0.2143 | 0.2 | 0.2 |
| 011 | SLU STR | No | -0.2735 | -0.2737 | -0.2927 | -0.2893 | 0.2 | 0.2 |
| 012 | SLU STR | No | -0.1943 | -0.1948 | -0.1992 | -0.1980 | 0.0 | 0.0 |
| 013 | SLU STR | No | -0.1568 | -0.1569 | -0.1740 | -0.1711 | 0.2 | 0.1 |
| 014 | SLU STR | No | -0.2318 | -0.2319 | -0.2490 | -0.2461 | 0.2 | 0.1 |
| 015 | SLE rare | No | -0.1219 | -0.1224 | -0.1270 | -0.1257 | 0.0 | 0.0 |
| 016 | SLE rare | No | -0.1569 | -0.1574 | -0.1620 | -0.1607 | 0.0 | 0.0 |
| 017 | SLE rare | No | -0.1576 | -0.1577 | -0.1744 | -0.1715 | 0.2 | 0.1 |
| 018 | SLE rare | No | -0.1926 | -0.1927 | -0.2094 | -0.2065 | 0.2 | 0.1 |
| 019 | SLE rare | No | -0.1719 | -0.1724 | -0.1770 | -0.1757 | 0.0 | 0.0 |
| 020 | SLE rare | No | -0.1469 | -0.1471 | -0.1602 | -0.1578 | 0.1 | 0.1 |
| 021 | SLE rare | No | -0.1969 | -0.1971 | -0.2102 | -0.2078 | 0.1 | 0.1 |
| 022 | SLE freq | No | -0.1219 | -0.1224 | -0.1270 | -0.1257 | 0.0 | 0.0 |
| 023 | SLE freq | No | -0.1519 | -0.1524 | -0.1570 | -0.1557 | 0.0 | 0.0 |
| 024 | SLE freq | No | -0.1469 | -0.1471 | -0.1602 | -0.1578 | 0.1 | 0.1 |
| 025 | SLE freq | No | -0.1769 | -0.1771 | -0.1902 | -0.1878 | 0.1 | 0.1 |
| 026 | SLE freq | No | -0.1569 | -0.1574 | -0.1620 | -0.1607 | 0.0 | 0.0 |
| 027 | SLE freq | No | -0.1433 | -0.1436 | -0.1555 | -0.1532 | 0.1 | 0.1 |
| 028 | SLE freq | No | -0.1783 | -0.1786 | -0.1905 | -0.1882 | 0.1 | 0.1 |
| 029 | SLE q.p. | No | -0.1219 | -0.1224 | -0.1270 | -0.1257 | 0.0 | 0.0 |
| 030 | SLE q.p. | No | -0.1519 | -0.1524 | -0.1570 | -0.1557 | 0.0 | 0.0 |
| 031 | SLE q.p. | No | -0.1433 | -0.1436 | -0.1555 | -0.1532 | 0.1 | 0.1 |
| 032 | SLE q.p. | No | -0.1733 | -0.1736 | -0.1855 | -0.1832 | 0.1 | 0.1 |
| 033 | SLV A1 | Si | -0.1784 | -0.1824 | -0.2115 | -0.2039 | 44.9 | 8.1 |
| 034 | SLV A1 | Si | -0.1805 | -0.1873 | -0.1944 | -0.1871 | 47.1 | -30.8 |
| 035 | SLV A1 | Si | -0.1661 | -0.1599 | -0.1765 | -0.1793 | -46.9 | 31.0 |
| 036 | SLV A1 | Si | -0.1682 | -0.1647 | -0.1594 | -0.1625 | -44.7 | -8.0 |
| 037 | SLV A1 | Si | -0.1784 | -0.1824 | -0.2117 | -0.2040 | 52.7 | 7.6 |
| 038 | SLV A1 | Si | -0.1805 | -0.1872 | -0.1942 | -0.1870 | 39.3 | -30.3 |
| 039 | SLV A1 | Si | -0.1662 | -0.1599 | -0.1767 | -0.1794 | -39.1 | 30.4 |
| 040 | SLV A1 | Si | -0.1682 | -0.1647 | -0.1592 | -0.1624 | -52.5 | -7.4 |
| 041 | SLV A1 | Si | -0.1783 | -0.1820 | -0.2145 | -0.2070 | 46.0 | 1.2 |
| 042 | SLV A1 | Si | -0.1803 | -0.1869 | -0.1973 | -0.1902 | 48.3 | -37.7 |
| 043 | SLV A1 | Si | -0.1663 | -0.1602 | -0.1736 | -0.1762 | -48.1 | 37.9 |
| 044 | SLV A1 | Si | -0.1683 | -0.1651 | -0.1565 | -0.1594 | -45.8 | -1.1 |
| 045 | SLV A1 | Si | -0.1783 | -0.1821 | -0.2146 | -0.2071 | 53.9 | 0.7 |
| 046 | SLV A1 | Si | -0.1803 | -0.1869 | -0.1972 | -0.1901 | 40.5 | -37.2 |
| 047 | SLV A1 | Si | -0.1663 | -0.1602 | -0.1737 | -0.1763 | -40.2 | 37.3 |
| 048 | SLV A1 | Si | -0.1683 | -0.1650 | -0.1563 | -0.1593 | -53.6 | -0.5 |
| 049 | SLV A1 | Si | -0.1717 | -0.1688 | -0.2192 | -0.2149 | 10.2 | 61.5 |
| 050 | SLV A1 | Si | -0.1786 | -0.1851 | -0.1622 | -0.1589 | 17.6 | -68.2 |
| 051 | SLV A1 | Si | -0.1680 | -0.1621 | -0.2087 | -0.2075 | -17.4 | 68.4 |
| 052 | SLV A1 | Si | -0.1749 | -0.1783 | -0.1517 | -0.1515 | -10.0 | -61.4 |
| 053 | SLV A1 | Si | -0.1717 | -0.1687 | -0.2201 | -0.2158 | 10.5 | 59.5 |
| 054 | SLV A1 | Si | -0.1785 | -0.1850 | -0.1630 | -0.1598 | 17.9 | -70.3 |
| 055 | SLV A1 | Si | -0.1681 | -0.1622 | -0.2079 | -0.2066 | -17.7 | 70.5 |
| 056 | SLV A1 | Si | -0.1749 | -0.1784 | -0.1508 | -0.1506 | -10.3 | -59.3 |
| 057 | SLV A1 | Si | -0.1718 | -0.1689 | -0.2198 | -0.2153 | 36.2 | 59.8 |
| 058 | SLV A1 | Si | -0.1785 | -0.1850 | -0.1616 | -0.1585 | -8.4 | -66.5 |
| 059 | SLV A1 | Si | -0.1681 | -0.1622 | -0.2093 | -0.2079 | 8.7 | 66.6 |
| 060 | SLV A1 | Si | -0.1748 | -0.1782 | -0.1511 | -0.1511 | -36.0 | -59.6 |
| 061 | SLV A1 | Si | -0.1717 | -0.1688 | -0.2207 | -0.2162 | 36.5 | 57.7 |
| 062 | SLV A1 | Si | -0.1785 | -0.1849 | -0.1625 | -0.1594 | -8.1 | -68.5 |
| 063 | SLV A1 | Si | -0.1681 | -0.1623 | -0.2084 | -0.2070 | 8.3 | 68.7 |
| 064 | SLV A1 | Si | -0.1749 | -0.1783 | -0.1502 | -0.1502 | -36.3 | -57.5 |
| 065 | SLD | Si | -0.1756 | -0.1775 | -0.1973 | -0.1926 | 20.4 | 3.8 |
| 066 | SLD | Si | -0.1765 | -0.1798 | -0.1895 | -0.1849 | 21.4 | -14.0 |
| 067 | SLD | Si | -0.1701 | -0.1674 | -0.1814 | -0.1815 | -21.2 | 14.2 |
| 068 | SLD | Si | -0.1710 | -0.1696 | -0.1736 | -0.1738 | -20.2 | -3.6 |
| 069 | SLD | Si | -0.1756 | -0.1776 | -0.1974 | -0.1927 | 23.9 | 3.5 |
| 070 | SLD | Si | -0.1765 | -0.1797 | -0.1894 | -0.1849 | 17.9 | -13.7 |
| 071 | SLD | Si | -0.1701 | -0.1674 | -0.1815 | -0.1815 | -17.6 | 13.9 |

Relazione Geotecnica e delle Fondazioni

| | | | | | | | | |
|-----|-----|----|---------|---------|---------|---------|-------|-------|
| 072 | SLD | Si | -0.1710 | -0.1696 | -0.1735 | -0.1738 | -23.7 | -3.4 |
| 073 | SLD | Si | -0.1756 | -0.1774 | -0.1986 | -0.1940 | 20.9 | 0.6 |
| 074 | SLD | Si | -0.1765 | -0.1796 | -0.1908 | -0.1863 | 21.9 | -17.1 |
| 075 | SLD | Si | -0.1701 | -0.1675 | -0.1801 | -0.1801 | -21.7 | 17.3 |
| 076 | SLD | Si | -0.1711 | -0.1697 | -0.1723 | -0.1724 | -20.7 | -0.4 |
| 077 | SLD | Si | -0.1756 | -0.1774 | -0.1987 | -0.1941 | 24.5 | 0.4 |
| 078 | SLD | Si | -0.1765 | -0.1796 | -0.1907 | -0.1863 | 18.4 | -16.9 |
| 079 | SLD | Si | -0.1701 | -0.1675 | -0.1802 | -0.1801 | -18.2 | 17.1 |
| 080 | SLD | Si | -0.1710 | -0.1697 | -0.1722 | -0.1723 | -24.3 | -0.2 |
| 081 | SLD | Si | -0.1726 | -0.1714 | -0.2009 | -0.1977 | 4.6 | 28.2 |
| 082 | SLD | Si | -0.1757 | -0.1788 | -0.1748 | -0.1721 | 8.0 | -31.1 |
| 083 | SLD | Si | -0.1709 | -0.1683 | -0.1961 | -0.1943 | -7.8 | 31.3 |
| 084 | SLD | Si | -0.1740 | -0.1757 | -0.1700 | -0.1687 | -4.4 | -28.0 |
| 085 | SLD | Si | -0.1726 | -0.1713 | -0.2013 | -0.1981 | 4.8 | 27.2 |
| 086 | SLD | Si | -0.1757 | -0.1787 | -0.1752 | -0.1725 | 8.2 | -32.0 |
| 087 | SLD | Si | -0.1709 | -0.1684 | -0.1957 | -0.1939 | -8.0 | 32.2 |
| 088 | SLD | Si | -0.1740 | -0.1758 | -0.1696 | -0.1683 | -4.6 | -27.0 |
| 089 | SLD | Si | -0.1726 | -0.1714 | -0.2011 | -0.1978 | 16.5 | 27.3 |
| 090 | SLD | Si | -0.1757 | -0.1787 | -0.1746 | -0.1719 | -3.8 | -30.3 |
| 091 | SLD | Si | -0.1709 | -0.1684 | -0.1963 | -0.1945 | 4.0 | 30.5 |
| 092 | SLD | Si | -0.1740 | -0.1757 | -0.1698 | -0.1686 | -16.3 | -27.2 |
| 093 | SLD | Si | -0.1726 | -0.1714 | -0.2015 | -0.1983 | 16.6 | 26.4 |
| 094 | SLD | Si | -0.1756 | -0.1787 | -0.1750 | -0.1723 | -3.6 | -31.2 |
| 095 | SLD | Si | -0.1710 | -0.1684 | -0.1959 | -0.1941 | 3.8 | 31.4 |
| 096 | SLD | Si | -0.1740 | -0.1757 | -0.1694 | -0.1681 | -16.4 | -26.2 |
| 097 | SLO | Si | -0.1751 | -0.1767 | -0.1948 | -0.1906 | 16.2 | 3.0 |
| 098 | SLO | Si | -0.1759 | -0.1785 | -0.1887 | -0.1846 | 17.0 | -11.0 |
| 099 | SLO | Si | -0.1707 | -0.1686 | -0.1822 | -0.1818 | -16.8 | 11.2 |
| 100 | SLO | Si | -0.1715 | -0.1704 | -0.1761 | -0.1758 | -16.0 | -2.8 |
| 101 | SLO | Si | -0.1751 | -0.1767 | -0.1949 | -0.1907 | 19.0 | 2.8 |
| 102 | SLO | Si | -0.1759 | -0.1785 | -0.1886 | -0.1845 | 14.2 | -10.9 |
| 103 | SLO | Si | -0.1707 | -0.1687 | -0.1823 | -0.1819 | -14.0 | 11.1 |
| 104 | SLO | Si | -0.1715 | -0.1704 | -0.1760 | -0.1757 | -18.8 | -2.7 |
| 105 | SLO | Si | -0.1751 | -0.1766 | -0.1959 | -0.1918 | 16.6 | 0.5 |
| 106 | SLO | Si | -0.1758 | -0.1784 | -0.1897 | -0.1857 | 17.4 | -13.5 |
| 107 | SLO | Si | -0.1708 | -0.1688 | -0.1812 | -0.1807 | -17.2 | 13.7 |
| 108 | SLO | Si | -0.1715 | -0.1705 | -0.1750 | -0.1747 | -16.4 | -0.3 |
| 109 | SLO | Si | -0.1751 | -0.1766 | -0.1960 | -0.1918 | 19.4 | 0.4 |
| 110 | SLO | Si | -0.1758 | -0.1784 | -0.1896 | -0.1857 | 14.6 | -13.4 |
| 111 | SLO | Si | -0.1708 | -0.1688 | -0.1813 | -0.1808 | -14.4 | 13.5 |
| 112 | SLO | Si | -0.1715 | -0.1705 | -0.1749 | -0.1746 | -19.2 | -0.2 |
| 113 | SLO | Si | -0.1727 | -0.1719 | -0.1976 | -0.1946 | 3.7 | 22.1 |
| 114 | SLO | Si | -0.1752 | -0.1777 | -0.1771 | -0.1745 | 6.4 | -24.4 |
| 115 | SLO | Si | -0.1714 | -0.1694 | -0.1938 | -0.1919 | -6.2 | 24.6 |
| 116 | SLO | Si | -0.1739 | -0.1753 | -0.1733 | -0.1718 | -3.5 | -21.9 |
| 117 | SLO | Si | -0.1727 | -0.1718 | -0.1979 | -0.1949 | 3.9 | 21.4 |
| 118 | SLO | Si | -0.1752 | -0.1776 | -0.1774 | -0.1748 | 6.5 | -25.1 |
| 119 | SLO | Si | -0.1714 | -0.1695 | -0.1935 | -0.1916 | -6.3 | 25.3 |
| 120 | SLO | Si | -0.1739 | -0.1753 | -0.1730 | -0.1715 | -3.6 | -21.2 |
| 121 | SLO | Si | -0.1728 | -0.1719 | -0.1979 | -0.1948 | 13.1 | 21.7 |
| 122 | SLO | Si | -0.1752 | -0.1777 | -0.1768 | -0.1742 | -3.0 | -24.0 |
| 123 | SLO | Si | -0.1714 | -0.1694 | -0.1941 | -0.1922 | 3.2 | 24.2 |
| 124 | SLO | Si | -0.1739 | -0.1752 | -0.1730 | -0.1716 | -12.9 | -21.5 |
| 125 | SLO | Si | -0.1727 | -0.1718 | -0.1982 | -0.1952 | 13.2 | 21.0 |
| 126 | SLO | Si | -0.1752 | -0.1776 | -0.1771 | -0.1746 | -2.9 | -24.8 |
| 127 | SLO | Si | -0.1714 | -0.1695 | -0.1938 | -0.1918 | 3.1 | 24.9 |
| 128 | SLO | Si | -0.1739 | -0.1753 | -0.1727 | -0.1713 | -13.0 | -20.8 |

Elemento: Platea n. 3

| Cmb | Tipo | Sism. | Press. N1 | Press. N2 | Press. N3 | Press. N4 | S. Taglio X | S. Taglio Y |
|-----|---------|-------|---------------------|---------------------|---------------------|---------------------|-------------|-------------|
| n. | | | daN/cm ² | daN/cm ² | daN/cm ² | daN/cm ² | daN | daN |
| 001 | SLU STR | No | -0.1570 | -0.1572 | -0.1617 | -0.1611 | 0.0 | 0.0 |
| 002 | SLU STR | No | -0.2095 | -0.2097 | -0.2142 | -0.2136 | 0.0 | 0.0 |
| 003 | SLU STR | No | -0.1987 | -0.1985 | -0.2146 | -0.2146 | 0.1 | 0.1 |
| 004 | SLU STR | No | -0.2512 | -0.2510 | -0.2671 | -0.2671 | 0.1 | 0.1 |
| 005 | SLU STR | No | -0.1164 | -0.1166 | -0.1198 | -0.1193 | 0.0 | 0.0 |
| 006 | SLU STR | No | -0.1689 | -0.1691 | -0.1723 | -0.1718 | 0.0 | 0.0 |
| 007 | SLU STR | No | -0.1582 | -0.1579 | -0.1727 | -0.1728 | 0.1 | 0.1 |
| 008 | SLU STR | No | -0.2107 | -0.2104 | -0.2252 | -0.2253 | 0.1 | 0.1 |
| 009 | SLU STR | No | -0.2320 | -0.2322 | -0.2367 | -0.2361 | 0.0 | 0.0 |
| 010 | SLU STR | No | -0.1862 | -0.1861 | -0.1987 | -0.1985 | 0.1 | 0.1 |
| 011 | SLU STR | No | -0.2612 | -0.2611 | -0.2737 | -0.2735 | 0.1 | 0.1 |
| 012 | SLU STR | No | -0.1914 | -0.1916 | -0.1948 | -0.1943 | 0.0 | 0.0 |

| COMMITTENTE: Mecca Antonio | | CODICE COMMESSA: | NOME ELABORATO: S1.5 - Relazione Geotecnica e delle Fondazioni | | | CONSULENTE: | | |
|-------------------------------|----------|----------------------------------------------------------------------------------------------------------------------|-------------------------------------------------------------------------|---------|---------|-------------|-------|-------|
| DATA: Aprile 2023 | | TITOLO: Lavori ultimazione di un fabbricato adibito ad albergo-ristorante– C.da Case Nuove Chicone Avigliano (PZ) | | | | | | |
| 013 | SLU STR | No | -0.1456 | -0.1455 | -0.1569 | -0.1568 | 0.1 | 0.1 |
| 014 | SLU STR | No | -0.2206 | -0.2205 | -0.2319 | -0.2318 | 0.1 | 0.1 |
| 015 | SLE rare | No | -0.1188 | -0.1191 | -0.1224 | -0.1219 | 0.0 | 0.0 |
| 016 | SLE rare | No | -0.1538 | -0.1541 | -0.1574 | -0.1569 | 0.0 | 0.0 |
| 017 | SLE rare | No | -0.1467 | -0.1466 | -0.1577 | -0.1576 | 0.1 | 0.1 |
| 018 | SLE rare | No | -0.1817 | -0.1816 | -0.1927 | -0.1926 | 0.1 | 0.1 |
| 019 | SLE rare | No | -0.1688 | -0.1691 | -0.1724 | -0.1719 | 0.0 | 0.0 |
| 020 | SLE rare | No | -0.1383 | -0.1383 | -0.1471 | -0.1469 | 0.1 | 0.1 |
| 021 | SLE rare | No | -0.1883 | -0.1883 | -0.1971 | -0.1969 | 0.1 | 0.1 |
| 022 | SLE freq | No | -0.1188 | -0.1191 | -0.1224 | -0.1219 | 0.0 | 0.0 |
| 023 | SLE freq | No | -0.1488 | -0.1491 | -0.1524 | -0.1519 | 0.0 | 0.0 |
| 024 | SLE freq | No | -0.1383 | -0.1383 | -0.1471 | -0.1469 | 0.1 | 0.1 |
| 025 | SLE freq | No | -0.1683 | -0.1683 | -0.1771 | -0.1769 | 0.1 | 0.1 |
| 026 | SLE freq | No | -0.1538 | -0.1541 | -0.1574 | -0.1569 | 0.0 | 0.0 |
| 027 | SLE freq | No | -0.1356 | -0.1356 | -0.1436 | -0.1433 | 0.0 | 0.1 |
| 028 | SLE freq | No | -0.1706 | -0.1706 | -0.1786 | -0.1783 | 0.0 | 0.1 |
| 029 | SLE q.p. | No | -0.1188 | -0.1191 | -0.1224 | -0.1219 | 0.0 | 0.0 |
| 030 | SLE q.p. | No | -0.1488 | -0.1491 | -0.1524 | -0.1519 | 0.0 | 0.0 |
| 031 | SLE q.p. | No | -0.1356 | -0.1356 | -0.1436 | -0.1433 | 0.0 | 0.1 |
| 032 | SLE q.p. | No | -0.1656 | -0.1656 | -0.1736 | -0.1733 | 0.0 | 0.1 |
| 033 | SLV A1 | Si | -0.1630 | -0.1640 | -0.1824 | -0.1784 | 27.0 | 4.5 |
| 034 | SLV A1 | Si | -0.1775 | -0.1800 | -0.1873 | -0.1805 | 20.5 | -17.9 |
| 035 | SLV A1 | Si | -0.1536 | -0.1511 | -0.1599 | -0.1661 | -20.4 | 18.1 |
| 036 | SLV A1 | Si | -0.1681 | -0.1672 | -0.1647 | -0.1682 | -26.9 | -4.4 |
| 037 | SLV A1 | Si | -0.1630 | -0.1640 | -0.1824 | -0.1784 | 23.8 | 4.3 |
| 038 | SLV A1 | Si | -0.1776 | -0.1800 | -0.1872 | -0.1805 | 23.6 | -17.7 |
| 039 | SLV A1 | Si | -0.1536 | -0.1511 | -0.1599 | -0.1662 | -23.5 | 17.8 |
| 040 | SLV A1 | Si | -0.1681 | -0.1672 | -0.1647 | -0.1682 | -23.7 | -4.1 |
| 041 | SLV A1 | Si | -0.1654 | -0.1655 | -0.1820 | -0.1783 | 27.0 | 0.5 |
| 042 | SLV A1 | Si | -0.1799 | -0.1815 | -0.1869 | -0.1803 | 20.5 | -22.0 |
| 043 | SLV A1 | Si | -0.1512 | -0.1496 | -0.1602 | -0.1663 | -20.4 | 22.1 |
| 044 | SLV A1 | Si | -0.1657 | -0.1657 | -0.1651 | -0.1683 | -26.9 | -0.4 |
| 045 | SLV A1 | Si | -0.1654 | -0.1655 | -0.1821 | -0.1783 | 23.8 | 0.2 |
| 046 | SLV A1 | Si | -0.1800 | -0.1815 | -0.1869 | -0.1803 | 23.6 | -21.7 |
| 047 | SLV A1 | Si | -0.1512 | -0.1496 | -0.1602 | -0.1663 | -23.5 | 21.8 |
| 048 | SLV A1 | Si | -0.1657 | -0.1657 | -0.1650 | -0.1683 | -23.7 | -0.1 |
| 049 | SLV A1 | Si | -0.1428 | -0.1407 | -0.1688 | -0.1717 | 17.9 | 35.5 |
| 050 | SLV A1 | Si | -0.1912 | -0.1942 | -0.1851 | -0.1786 | -3.6 | -39.4 |
| 051 | SLV A1 | Si | -0.1400 | -0.1369 | -0.1621 | -0.1680 | 3.7 | 39.5 |
| 052 | SLV A1 | Si | -0.1883 | -0.1904 | -0.1783 | -0.1749 | -17.8 | -35.4 |
| 053 | SLV A1 | Si | -0.1435 | -0.1412 | -0.1687 | -0.1717 | 17.9 | 34.3 |
| 054 | SLV A1 | Si | -0.1919 | -0.1947 | -0.1850 | -0.1785 | -3.6 | -40.6 |
| 055 | SLV A1 | Si | -0.1392 | -0.1364 | -0.1622 | -0.1681 | 3.7 | 40.8 |
| 056 | SLV A1 | Si | -0.1876 | -0.1899 | -0.1784 | -0.1749 | -17.8 | -34.2 |
| 057 | SLV A1 | Si | -0.1427 | -0.1407 | -0.1689 | -0.1718 | 7.4 | 34.6 |
| 058 | SLV A1 | Si | -0.1912 | -0.1943 | -0.1850 | -0.1785 | 6.9 | -38.5 |
| 059 | SLV A1 | Si | -0.1399 | -0.1369 | -0.1622 | -0.1681 | -6.8 | 38.6 |
| 060 | SLV A1 | Si | -0.1884 | -0.1904 | -0.1782 | -0.1748 | -7.3 | -34.5 |
| 061 | SLV A1 | Si | -0.1434 | -0.1412 | -0.1688 | -0.1717 | 7.4 | 33.4 |
| 062 | SLV A1 | Si | -0.1919 | -0.1947 | -0.1849 | -0.1785 | 6.9 | -39.7 |
| 063 | SLV A1 | Si | -0.1392 | -0.1364 | -0.1623 | -0.1681 | -6.8 | 39.8 |
| 064 | SLV A1 | Si | -0.1877 | -0.1900 | -0.1783 | -0.1749 | -7.3 | -33.2 |
| 065 | SLD | Si | -0.1644 | -0.1648 | -0.1775 | -0.1756 | 12.2 | 2.1 |
| 066 | SLD | Si | -0.1710 | -0.1721 | -0.1798 | -0.1765 | 9.3 | -8.1 |
| 067 | SLD | Si | -0.1601 | -0.1590 | -0.1674 | -0.1701 | -9.2 | 8.3 |
| 068 | SLD | Si | -0.1667 | -0.1663 | -0.1696 | -0.1710 | -12.1 | -2.0 |
| 069 | SLD | Si | -0.1644 | -0.1648 | -0.1776 | -0.1756 | 10.8 | 2.0 |
| 070 | SLD | Si | -0.1710 | -0.1721 | -0.1797 | -0.1765 | 10.7 | -8.0 |
| 071 | SLD | Si | -0.1601 | -0.1590 | -0.1674 | -0.1701 | -10.6 | 8.1 |
| 072 | SLD | Si | -0.1667 | -0.1663 | -0.1696 | -0.1710 | -10.7 | -1.9 |
| 073 | SLD | Si | -0.1655 | -0.1655 | -0.1774 | -0.1756 | 12.2 | 0.3 |
| 074 | SLD | Si | -0.1721 | -0.1728 | -0.1796 | -0.1765 | 9.3 | -10.0 |
| 075 | SLD | Si | -0.1590 | -0.1583 | -0.1675 | -0.1701 | -9.2 | 10.1 |
| 076 | SLD | Si | -0.1656 | -0.1656 | -0.1697 | -0.1711 | -12.1 | -0.2 |
| 077 | SLD | Si | -0.1655 | -0.1655 | -0.1774 | -0.1756 | 10.8 | 0.1 |
| 078 | SLD | Si | -0.1721 | -0.1728 | -0.1796 | -0.1765 | 10.7 | -9.9 |
| 079 | SLD | Si | -0.1590 | -0.1583 | -0.1675 | -0.1701 | -10.6 | 10.0 |
| 080 | SLD | Si | -0.1656 | -0.1656 | -0.1697 | -0.1710 | -10.7 | 0.0 |
| 081 | SLD | Si | -0.1552 | -0.1542 | -0.1714 | -0.1726 | 8.1 | 16.2 |
| 082 | SLD | Si | -0.1772 | -0.1786 | -0.1788 | -0.1757 | -1.6 | -18.0 |
| 083 | SLD | Si | -0.1539 | -0.1525 | -0.1683 | -0.1709 | 1.7 | 18.1 |
| 084 | SLD | Si | -0.1760 | -0.1769 | -0.1757 | -0.1740 | -8.0 | -16.1 |

Relazione Geotecnica e delle Fondazioni

| | | | | | | | | |
|-----|-----|----|---------|---------|---------|---------|------|-------|
| 085 | SLD | Si | -0.1555 | -0.1544 | -0.1713 | -0.1726 | 8.1 | 15.7 |
| 086 | SLD | Si | -0.1776 | -0.1789 | -0.1787 | -0.1757 | -1.6 | -18.5 |
| 087 | SLD | Si | -0.1536 | -0.1523 | -0.1684 | -0.1709 | 1.7 | 18.6 |
| 088 | SLD | Si | -0.1756 | -0.1767 | -0.1758 | -0.1740 | -8.0 | -15.6 |
| 089 | SLD | Si | -0.1551 | -0.1542 | -0.1714 | -0.1726 | 3.4 | 15.8 |
| 090 | SLD | Si | -0.1773 | -0.1787 | -0.1787 | -0.1757 | 3.1 | -17.5 |
| 091 | SLD | Si | -0.1539 | -0.1525 | -0.1684 | -0.1709 | -3.0 | 17.7 |
| 092 | SLD | Si | -0.1760 | -0.1769 | -0.1757 | -0.1740 | -3.3 | -15.7 |
| 093 | SLD | Si | -0.1555 | -0.1544 | -0.1714 | -0.1726 | 3.4 | 15.3 |
| 094 | SLD | Si | -0.1776 | -0.1789 | -0.1787 | -0.1756 | 3.1 | -18.1 |
| 095 | SLD | Si | -0.1535 | -0.1523 | -0.1684 | -0.1710 | -3.0 | 18.2 |
| 096 | SLD | Si | -0.1757 | -0.1767 | -0.1757 | -0.1740 | -3.3 | -15.1 |
| 097 | SLO | Si | -0.1647 | -0.1650 | -0.1767 | -0.1751 | 9.7 | 1.6 |
| 098 | SLO | Si | -0.1699 | -0.1707 | -0.1785 | -0.1759 | 7.4 | -6.4 |
| 099 | SLO | Si | -0.1613 | -0.1604 | -0.1686 | -0.1707 | -7.3 | 6.5 |
| 100 | SLO | Si | -0.1665 | -0.1661 | -0.1704 | -0.1715 | -9.6 | -1.5 |
| 101 | SLO | Si | -0.1646 | -0.1650 | -0.1767 | -0.1751 | 8.6 | 1.6 |
| 102 | SLO | Si | -0.1699 | -0.1708 | -0.1785 | -0.1759 | 8.5 | -6.3 |
| 103 | SLO | Si | -0.1612 | -0.1603 | -0.1687 | -0.1707 | -8.4 | 6.5 |
| 104 | SLO | Si | -0.1665 | -0.1662 | -0.1704 | -0.1715 | -8.5 | -1.5 |
| 105 | SLO | Si | -0.1655 | -0.1655 | -0.1766 | -0.1751 | 9.7 | 0.2 |
| 106 | SLO | Si | -0.1707 | -0.1713 | -0.1784 | -0.1758 | 7.4 | -7.8 |
| 107 | SLO | Si | -0.1604 | -0.1598 | -0.1688 | -0.1708 | -7.3 | 8.0 |
| 108 | SLO | Si | -0.1656 | -0.1656 | -0.1705 | -0.1715 | -9.6 | -0.1 |
| 109 | SLO | Si | -0.1655 | -0.1655 | -0.1766 | -0.1751 | 8.6 | 0.2 |
| 110 | SLO | Si | -0.1707 | -0.1713 | -0.1784 | -0.1758 | 8.5 | -7.8 |
| 111 | SLO | Si | -0.1604 | -0.1598 | -0.1688 | -0.1708 | -8.4 | 7.9 |
| 112 | SLO | Si | -0.1656 | -0.1656 | -0.1705 | -0.1715 | -8.5 | 0.0 |
| 113 | SLO | Si | -0.1574 | -0.1567 | -0.1719 | -0.1727 | 6.5 | 12.7 |
| 114 | SLO | Si | -0.1747 | -0.1758 | -0.1777 | -0.1752 | -1.3 | -14.1 |
| 115 | SLO | Si | -0.1564 | -0.1553 | -0.1694 | -0.1714 | 1.4 | 14.2 |
| 116 | SLO | Si | -0.1737 | -0.1745 | -0.1753 | -0.1739 | -6.4 | -12.6 |
| 117 | SLO | Si | -0.1577 | -0.1568 | -0.1718 | -0.1727 | 6.5 | 12.3 |
| 118 | SLO | Si | -0.1750 | -0.1760 | -0.1776 | -0.1752 | -1.3 | -14.5 |
| 119 | SLO | Si | -0.1561 | -0.1551 | -0.1695 | -0.1714 | 1.4 | 14.6 |
| 120 | SLO | Si | -0.1735 | -0.1743 | -0.1753 | -0.1739 | -6.4 | -12.2 |
| 121 | SLO | Si | -0.1573 | -0.1566 | -0.1719 | -0.1728 | 2.7 | 12.6 |
| 122 | SLO | Si | -0.1749 | -0.1760 | -0.1777 | -0.1752 | 2.5 | -13.9 |
| 123 | SLO | Si | -0.1563 | -0.1552 | -0.1694 | -0.1714 | -2.4 | 14.0 |
| 124 | SLO | Si | -0.1738 | -0.1746 | -0.1752 | -0.1739 | -2.6 | -12.5 |
| 125 | SLO | Si | -0.1575 | -0.1567 | -0.1718 | -0.1727 | 2.7 | 12.1 |
| 126 | SLO | Si | -0.1751 | -0.1761 | -0.1776 | -0.1752 | 2.5 | -14.3 |
| 127 | SLO | Si | -0.1560 | -0.1550 | -0.1695 | -0.1714 | -2.4 | 14.5 |
| 128 | SLO | Si | -0.1736 | -0.1744 | -0.1753 | -0.1739 | -2.6 | -12.0 |

Elemento: Platea n. 4

| Cmb | Tipo | Sism. | Press. N1 | Press. N2 | Press. N3 | Press. N4 | S. Taglio X | S. Taglio Y |
|-----|----------|-------|---------------------|---------------------|---------------------|---------------------|-------------|-------------|
| n. | | | daN/cm ² | daN/cm ² | daN/cm ² | daN/cm ² | daN | daN |
| 001 | SLU STR | No | -0.1583 | -0.1587 | -0.1638 | -0.1656 | 0.0 | 0.0 |
| 002 | SLU STR | No | -0.2108 | -0.2112 | -0.2163 | -0.2181 | 0.0 | 0.0 |
| 003 | SLU STR | No | -0.1988 | -0.1974 | -0.2170 | -0.2272 | 0.1 | 0.0 |
| 004 | SLU STR | No | -0.2513 | -0.2499 | -0.2695 | -0.2797 | 0.1 | 0.0 |
| 005 | SLU STR | No | -0.1174 | -0.1178 | -0.1214 | -0.1227 | 0.0 | 0.0 |
| 006 | SLU STR | No | -0.1699 | -0.1703 | -0.1739 | -0.1752 | 0.0 | 0.0 |
| 007 | SLU STR | No | -0.1579 | -0.1565 | -0.1746 | -0.1843 | 0.1 | 0.0 |
| 008 | SLU STR | No | -0.2104 | -0.2090 | -0.2271 | -0.2368 | 0.1 | 0.0 |
| 009 | SLU STR | No | -0.2333 | -0.2337 | -0.2388 | -0.2406 | 0.0 | 0.0 |
| 010 | SLU STR | No | -0.1866 | -0.1858 | -0.2010 | -0.2088 | 0.1 | 0.0 |
| 011 | SLU STR | No | -0.2616 | -0.2608 | -0.2760 | -0.2838 | 0.1 | 0.0 |
| 012 | SLU STR | No | -0.1924 | -0.1928 | -0.1964 | -0.1977 | 0.0 | 0.0 |
| 013 | SLU STR | No | -0.1458 | -0.1449 | -0.1587 | -0.1658 | 0.1 | 0.0 |
| 014 | SLU STR | No | -0.2208 | -0.2199 | -0.2337 | -0.2408 | 0.1 | 0.0 |
| 015 | SLE rare | No | -0.1199 | -0.1202 | -0.1240 | -0.1253 | 0.0 | 0.0 |
| 016 | SLE rare | No | -0.1549 | -0.1552 | -0.1590 | -0.1603 | 0.0 | 0.0 |
| 017 | SLE rare | No | -0.1469 | -0.1460 | -0.1595 | -0.1664 | 0.1 | 0.0 |
| 018 | SLE rare | No | -0.1819 | -0.1810 | -0.1945 | -0.2014 | 0.1 | 0.0 |
| 019 | SLE rare | No | -0.1699 | -0.1702 | -0.1740 | -0.1753 | 0.0 | 0.0 |
| 020 | SLE rare | No | -0.1388 | -0.1383 | -0.1488 | -0.1541 | 0.0 | 0.0 |
| 021 | SLE rare | No | -0.1888 | -0.1883 | -0.1988 | -0.2041 | 0.0 | 0.0 |
| 022 | SLE freq | No | -0.1199 | -0.1202 | -0.1240 | -0.1253 | 0.0 | 0.0 |
| 023 | SLE freq | No | -0.1499 | -0.1502 | -0.1540 | -0.1553 | 0.0 | 0.0 |
| 024 | SLE freq | No | -0.1388 | -0.1383 | -0.1488 | -0.1541 | 0.0 | 0.0 |
| 025 | SLE freq | No | -0.1688 | -0.1683 | -0.1788 | -0.1841 | 0.0 | 0.0 |

| | | | | | | | | |
|--------------------------------------|----------|----------------------------------------------------------------------------------------------------------------------|----------------------------------------------------------------------------------|---------|---------|-------------|-------|-------|
| COMMITTENTE: Mecca Antonio | | CODICE COMMESSA: | NOME ELABORATO: S1.5 - Relazione Geotecnica e delle Fondazioni | | | CONSULENTE: | | |
| DATA: Aprile 2023 | | TITOLO: Lavori ultimazione di un fabbricato adibito ad albergo-ristorante– C.da Case Nuove Chicone Avigliano (PZ) | | | | | | |
| 026 | SLE freq | No | -0.1549 | -0.1552 | -0.1590 | -0.1603 | 0.0 | 0.0 |
| 027 | SLE freq | No | -0.1361 | -0.1357 | -0.1453 | -0.1500 | 0.0 | 0.0 |
| 028 | SLE freq | No | -0.1711 | -0.1707 | -0.1803 | -0.1850 | 0.0 | 0.0 |
| 029 | SLE q.p. | No | -0.1199 | -0.1202 | -0.1240 | -0.1253 | 0.0 | 0.0 |
| 030 | SLE q.p. | No | -0.1499 | -0.1502 | -0.1540 | -0.1553 | 0.0 | 0.0 |
| 031 | SLE q.p. | No | -0.1361 | -0.1357 | -0.1453 | -0.1500 | 0.0 | 0.0 |
| 032 | SLE q.p. | No | -0.1661 | -0.1657 | -0.1753 | -0.1800 | 0.0 | 0.0 |
| 033 | SLV A1 | Si | -0.1693 | -0.1716 | -0.1919 | -0.2016 | 30.8 | 5.4 |
| 034 | SLV A1 | Si | -0.1869 | -0.1906 | -0.1979 | -0.1952 | 27.2 | -29.7 |
| 035 | SLV A1 | Si | -0.1452 | -0.1408 | -0.1527 | -0.1648 | -27.1 | 29.7 |
| 036 | SLV A1 | Si | -0.1628 | -0.1598 | -0.1587 | -0.1584 | -30.7 | -5.5 |
| 037 | SLV A1 | Si | -0.1693 | -0.1716 | -0.1919 | -0.2017 | 29.2 | 4.6 |
| 038 | SLV A1 | Si | -0.1869 | -0.1905 | -0.1979 | -0.1950 | 28.8 | -28.8 |
| 039 | SLV A1 | Si | -0.1452 | -0.1408 | -0.1527 | -0.1650 | -28.7 | 28.8 |
| 040 | SLV A1 | Si | -0.1628 | -0.1598 | -0.1587 | -0.1582 | -29.1 | -4.6 |
| 041 | SLV A1 | Si | -0.1693 | -0.1712 | -0.1916 | -0.2023 | 30.8 | 0.5 |
| 042 | SLV A1 | Si | -0.1869 | -0.1902 | -0.1976 | -0.1959 | 27.2 | -34.7 |
| 043 | SLV A1 | Si | -0.1452 | -0.1412 | -0.1529 | -0.1641 | -27.2 | 34.6 |
| 044 | SLV A1 | Si | -0.1629 | -0.1602 | -0.1590 | -0.1577 | -30.8 | -0.5 |
| 045 | SLV A1 | Si | -0.1693 | -0.1712 | -0.1916 | -0.2025 | 29.2 | -0.4 |
| 046 | SLV A1 | Si | -0.1868 | -0.1901 | -0.1976 | -0.1957 | 28.9 | -33.8 |
| 047 | SLV A1 | Si | -0.1453 | -0.1412 | -0.1529 | -0.1642 | -28.8 | 33.7 |
| 048 | SLV A1 | Si | -0.1628 | -0.1602 | -0.1590 | -0.1575 | -29.2 | 0.4 |
| 049 | SLV A1 | Si | -0.1403 | -0.1386 | -0.1712 | -0.1962 | 14.7 | 54.9 |
| 050 | SLV A1 | Si | -0.1990 | -0.2020 | -0.1912 | -0.1749 | 2.7 | -62.2 |
| 051 | SLV A1 | Si | -0.1331 | -0.1294 | -0.1594 | -0.1851 | -2.6 | 62.2 |
| 052 | SLV A1 | Si | -0.1918 | -0.1928 | -0.1794 | -0.1638 | -14.6 | -54.9 |
| 053 | SLV A1 | Si | -0.1403 | -0.1385 | -0.1711 | -0.1964 | 14.7 | 53.4 |
| 054 | SLV A1 | Si | -0.1990 | -0.2019 | -0.1911 | -0.1751 | 2.7 | -63.7 |
| 055 | SLV A1 | Si | -0.1331 | -0.1295 | -0.1595 | -0.1849 | -2.7 | 63.7 |
| 056 | SLV A1 | Si | -0.1918 | -0.1929 | -0.1795 | -0.1636 | -14.7 | -53.4 |
| 057 | SLV A1 | Si | -0.1404 | -0.1388 | -0.1712 | -0.1967 | 9.4 | 51.9 |
| 058 | SLV A1 | Si | -0.1989 | -0.2019 | -0.1912 | -0.1743 | 8.1 | -59.2 |
| 059 | SLV A1 | Si | -0.1332 | -0.1295 | -0.1594 | -0.1857 | -8.0 | 59.2 |
| 060 | SLV A1 | Si | -0.1917 | -0.1926 | -0.1794 | -0.1633 | -9.3 | -51.9 |
| 061 | SLV A1 | Si | -0.1404 | -0.1386 | -0.1711 | -0.1969 | 9.4 | 50.4 |
| 062 | SLV A1 | Si | -0.1989 | -0.2017 | -0.1911 | -0.1745 | 8.1 | -60.7 |
| 063 | SLV A1 | Si | -0.1332 | -0.1296 | -0.1595 | -0.1854 | -8.0 | 60.7 |
| 064 | SLV A1 | Si | -0.1917 | -0.1928 | -0.1795 | -0.1631 | -9.3 | -50.4 |
| 065 | SLD | Si | -0.1675 | -0.1683 | -0.1828 | -0.1898 | 13.9 | 2.5 |
| 066 | SLD | Si | -0.1755 | -0.1770 | -0.1855 | -0.1869 | 12.3 | -13.5 |
| 067 | SLD | Si | -0.1566 | -0.1544 | -0.1651 | -0.1731 | -12.2 | 13.5 |
| 068 | SLD | Si | -0.1646 | -0.1631 | -0.1678 | -0.1702 | -13.9 | -2.5 |
| 069 | SLD | Si | -0.1675 | -0.1683 | -0.1828 | -0.1898 | 13.2 | 2.1 |
| 070 | SLD | Si | -0.1755 | -0.1770 | -0.1855 | -0.1868 | 13.0 | -13.1 |
| 071 | SLD | Si | -0.1566 | -0.1544 | -0.1651 | -0.1732 | -13.0 | 13.1 |
| 072 | SLD | Si | -0.1646 | -0.1630 | -0.1678 | -0.1701 | -13.1 | -2.1 |
| 073 | SLD | Si | -0.1675 | -0.1681 | -0.1827 | -0.1901 | 14.0 | 0.2 |
| 074 | SLD | Si | -0.1755 | -0.1768 | -0.1854 | -0.1872 | 12.4 | -15.8 |
| 075 | SLD | Si | -0.1566 | -0.1546 | -0.1652 | -0.1728 | -12.3 | 15.8 |
| 076 | SLD | Si | -0.1646 | -0.1632 | -0.1679 | -0.1699 | -13.9 | -0.2 |
| 077 | SLD | Si | -0.1675 | -0.1682 | -0.1827 | -0.1902 | 13.3 | -0.2 |
| 078 | SLD | Si | -0.1755 | -0.1768 | -0.1854 | -0.1871 | 13.1 | -15.4 |
| 079 | SLD | Si | -0.1566 | -0.1546 | -0.1652 | -0.1728 | -13.0 | 15.4 |
| 080 | SLD | Si | -0.1646 | -0.1632 | -0.1679 | -0.1698 | -13.2 | 0.2 |
| 081 | SLD | Si | -0.1543 | -0.1533 | -0.1734 | -0.1873 | 6.7 | 25.1 |
| 082 | SLD | Si | -0.1811 | -0.1823 | -0.1825 | -0.1776 | 1.3 | -28.4 |
| 083 | SLD | Si | -0.1510 | -0.1491 | -0.1681 | -0.1823 | -1.2 | 28.4 |
| 084 | SLD | Si | -0.1778 | -0.1781 | -0.1772 | -0.1727 | -6.6 | -25.1 |
| 085 | SLD | Si | -0.1543 | -0.1533 | -0.1734 | -0.1874 | 6.7 | 24.4 |
| 086 | SLD | Si | -0.1811 | -0.1822 | -0.1825 | -0.1777 | 1.3 | -29.1 |
| 087 | SLD | Si | -0.1510 | -0.1492 | -0.1681 | -0.1822 | -1.2 | 29.1 |
| 088 | SLD | Si | -0.1778 | -0.1781 | -0.1772 | -0.1725 | -6.6 | -24.4 |
| 089 | SLD | Si | -0.1543 | -0.1534 | -0.1734 | -0.1876 | 4.3 | 23.7 |
| 090 | SLD | Si | -0.1810 | -0.1822 | -0.1825 | -0.1774 | 3.7 | -27.0 |
| 091 | SLD | Si | -0.1511 | -0.1492 | -0.1681 | -0.1826 | -3.6 | 27.0 |
| 092 | SLD | Si | -0.1778 | -0.1780 | -0.1772 | -0.1724 | -4.2 | -23.7 |
| 093 | SLD | Si | -0.1543 | -0.1533 | -0.1734 | -0.1877 | 4.3 | 23.0 |
| 094 | SLD | Si | -0.1810 | -0.1821 | -0.1825 | -0.1775 | 3.7 | -27.7 |
| 095 | SLD | Si | -0.1511 | -0.1493 | -0.1681 | -0.1825 | -3.6 | 27.7 |
| 096 | SLD | Si | -0.1778 | -0.1780 | -0.1772 | -0.1723 | -4.2 | -23.0 |
| 097 | SLO | Si | -0.1672 | -0.1678 | -0.1812 | -0.1877 | 11.1 | 1.9 |

Relazione Geotecnica e delle Fondazioni

| | | | | | | | | |
|-----|-----|----|---------|---------|---------|---------|-------|-------|
| 098 | SLO | Si | -0.1735 | -0.1746 | -0.1834 | -0.1854 | 9.8 | -10.7 |
| 099 | SLO | Si | -0.1586 | -0.1568 | -0.1672 | -0.1745 | -9.7 | 10.6 |
| 100 | SLO | Si | -0.1649 | -0.1636 | -0.1693 | -0.1722 | -11.0 | -1.9 |
| 101 | SLO | Si | -0.1672 | -0.1678 | -0.1812 | -0.1878 | 10.5 | 1.7 |
| 102 | SLO | Si | -0.1736 | -0.1746 | -0.1834 | -0.1854 | 10.4 | -10.4 |
| 103 | SLO | Si | -0.1585 | -0.1567 | -0.1672 | -0.1746 | -10.3 | 10.4 |
| 104 | SLO | Si | -0.1649 | -0.1636 | -0.1693 | -0.1722 | -10.4 | -1.7 |
| 105 | SLO | Si | -0.1672 | -0.1677 | -0.1812 | -0.1880 | 11.1 | 0.1 |
| 106 | SLO | Si | -0.1735 | -0.1745 | -0.1833 | -0.1857 | 9.8 | -12.4 |
| 107 | SLO | Si | -0.1586 | -0.1569 | -0.1673 | -0.1743 | -9.7 | 12.4 |
| 108 | SLO | Si | -0.1649 | -0.1637 | -0.1694 | -0.1720 | -11.0 | -0.2 |
| 109 | SLO | Si | -0.1672 | -0.1676 | -0.1812 | -0.1881 | 10.5 | -0.1 |
| 110 | SLO | Si | -0.1735 | -0.1745 | -0.1833 | -0.1857 | 10.4 | -12.2 |
| 111 | SLO | Si | -0.1586 | -0.1569 | -0.1673 | -0.1743 | -10.3 | 12.2 |
| 112 | SLO | Si | -0.1649 | -0.1637 | -0.1694 | -0.1719 | -10.5 | 0.1 |
| 113 | SLO | Si | -0.1568 | -0.1560 | -0.1738 | -0.1858 | 5.3 | 19.7 |
| 114 | SLO | Si | -0.1779 | -0.1787 | -0.1810 | -0.1781 | 1.0 | -22.3 |
| 115 | SLO | Si | -0.1542 | -0.1527 | -0.1696 | -0.1818 | -0.9 | 22.3 |
| 116 | SLO | Si | -0.1753 | -0.1754 | -0.1768 | -0.1742 | -5.2 | -19.7 |
| 117 | SLO | Si | -0.1568 | -0.1559 | -0.1738 | -0.1859 | 5.3 | 19.1 |
| 118 | SLO | Si | -0.1779 | -0.1787 | -0.1810 | -0.1782 | 1.0 | -22.8 |
| 119 | SLO | Si | -0.1542 | -0.1527 | -0.1696 | -0.1817 | -0.9 | 22.8 |
| 120 | SLO | Si | -0.1753 | -0.1754 | -0.1768 | -0.1741 | -5.2 | -19.1 |
| 121 | SLO | Si | -0.1568 | -0.1559 | -0.1738 | -0.1860 | 3.4 | 18.8 |
| 122 | SLO | Si | -0.1780 | -0.1788 | -0.1810 | -0.1779 | 2.9 | -21.5 |
| 123 | SLO | Si | -0.1542 | -0.1526 | -0.1696 | -0.1820 | -2.8 | 21.4 |
| 124 | SLO | Si | -0.1754 | -0.1755 | -0.1768 | -0.1740 | -3.3 | -18.8 |
| 125 | SLO | Si | -0.1567 | -0.1559 | -0.1738 | -0.1861 | 3.4 | 18.3 |
| 126 | SLO | Si | -0.1779 | -0.1787 | -0.1810 | -0.1780 | 2.9 | -22.0 |
| 127 | SLO | Si | -0.1542 | -0.1527 | -0.1696 | -0.1820 | -2.8 | 22.0 |
| 128 | SLO | Si | -0.1754 | -0.1755 | -0.1768 | -0.1739 | -3.3 | -18.3 |

Elemento: Platea n. 5

| Cmb | Tipo | Sism. | Press. N1 | Press. N2 | Press. N3 | Press. N4 | S. Taglio X | S. Taglio Y |
|-----|----------|-------|---------------------|---------------------|---------------------|---------------------|-------------|-------------|
| n. | | | daN/cm ² | daN/cm ² | daN/cm ² | daN/cm ² | daN | daN |
| 001 | SLU STR | No | -0.1617 | -0.1656 | -0.1706 | -0.1678 | 0.0 | 0.0 |
| 002 | SLU STR | No | -0.2142 | -0.2181 | -0.2231 | -0.2203 | 0.0 | 0.0 |
| 003 | SLU STR | No | -0.2146 | -0.2272 | -0.2471 | -0.2391 | 0.2 | 0.1 |
| 004 | SLU STR | No | -0.2671 | -0.2797 | -0.2996 | -0.2916 | 0.2 | 0.1 |
| 005 | SLU STR | No | -0.1198 | -0.1227 | -0.1262 | -0.1242 | 0.0 | 0.0 |
| 006 | SLU STR | No | -0.1723 | -0.1752 | -0.1787 | -0.1767 | 0.0 | 0.0 |
| 007 | SLU STR | No | -0.1727 | -0.1843 | -0.2027 | -0.1954 | 0.2 | 0.1 |
| 008 | SLU STR | No | -0.2252 | -0.2368 | -0.2552 | -0.2479 | 0.2 | 0.1 |
| 009 | SLU STR | No | -0.2367 | -0.2406 | -0.2456 | -0.2428 | 0.0 | 0.0 |
| 010 | SLU STR | No | -0.1987 | -0.2088 | -0.2242 | -0.2177 | 0.2 | 0.1 |
| 011 | SLU STR | No | -0.2737 | -0.2838 | -0.2992 | -0.2927 | 0.2 | 0.1 |
| 012 | SLU STR | No | -0.1948 | -0.1977 | -0.2012 | -0.1992 | 0.0 | 0.0 |
| 013 | SLU STR | No | -0.1569 | -0.1658 | -0.1797 | -0.1740 | 0.2 | 0.1 |
| 014 | SLU STR | No | -0.2319 | -0.2408 | -0.2547 | -0.2490 | 0.2 | 0.1 |
| 015 | SLE rare | No | -0.1224 | -0.1253 | -0.1291 | -0.1270 | 0.0 | 0.0 |
| 016 | SLE rare | No | -0.1574 | -0.1603 | -0.1641 | -0.1620 | 0.0 | 0.0 |
| 017 | SLE rare | No | -0.1577 | -0.1664 | -0.1800 | -0.1744 | 0.2 | 0.0 |
| 018 | SLE rare | No | -0.1927 | -0.2014 | -0.2150 | -0.2094 | 0.2 | 0.0 |
| 019 | SLE rare | No | -0.1724 | -0.1753 | -0.1791 | -0.1770 | 0.0 | 0.0 |
| 020 | SLE rare | No | -0.1471 | -0.1541 | -0.1647 | -0.1602 | 0.1 | 0.0 |
| 021 | SLE rare | No | -0.1971 | -0.2041 | -0.2147 | -0.2102 | 0.1 | 0.0 |
| 022 | SLE freq | No | -0.1224 | -0.1253 | -0.1291 | -0.1270 | 0.0 | 0.0 |
| 023 | SLE freq | No | -0.1524 | -0.1553 | -0.1591 | -0.1570 | 0.0 | 0.0 |
| 024 | SLE freq | No | -0.1471 | -0.1541 | -0.1647 | -0.1602 | 0.1 | 0.0 |
| 025 | SLE freq | No | -0.1771 | -0.1841 | -0.1947 | -0.1902 | 0.1 | 0.0 |
| 026 | SLE freq | No | -0.1574 | -0.1603 | -0.1641 | -0.1620 | 0.0 | 0.0 |
| 027 | SLE freq | No | -0.1436 | -0.1500 | -0.1596 | -0.1555 | 0.1 | 0.0 |
| 028 | SLE freq | No | -0.1786 | -0.1850 | -0.1946 | -0.1905 | 0.1 | 0.0 |
| 029 | SLE q.p. | No | -0.1224 | -0.1253 | -0.1291 | -0.1270 | 0.0 | 0.0 |
| 030 | SLE q.p. | No | -0.1524 | -0.1553 | -0.1591 | -0.1570 | 0.0 | 0.0 |
| 031 | SLE q.p. | No | -0.1436 | -0.1500 | -0.1596 | -0.1555 | 0.1 | 0.0 |
| 032 | SLE q.p. | No | -0.1736 | -0.1800 | -0.1896 | -0.1855 | 0.1 | 0.0 |
| 033 | SLV A1 | Si | -0.1824 | -0.2016 | -0.2242 | -0.2115 | 35.1 | 7.6 |
| 034 | SLV A1 | Si | -0.1873 | -0.1952 | -0.2027 | -0.1944 | 42.1 | -29.0 |
| 035 | SLV A1 | Si | -0.1599 | -0.1648 | -0.1766 | -0.1765 | -41.9 | 29.1 |
| 036 | SLV A1 | Si | -0.1647 | -0.1584 | -0.1551 | -0.1594 | -34.9 | -7.5 |
| 037 | SLV A1 | Si | -0.1824 | -0.2017 | -0.2244 | -0.2117 | 44.3 | 6.8 |
| 038 | SLV A1 | Si | -0.1872 | -0.1950 | -0.2024 | -0.1942 | 32.9 | -28.2 |

| | | | | | | | | |
|--------------------------------------|--------|----------------------------------------------------------------------------------------------------------------------|----------------------------------------------------------------------------------|---------|---------|-------------|-------|-------|
| COMMITTENTE: Mecca Antonio | | CODICE COMMESSA: | NOME ELABORATO: S1.5 - Relazione Geotecnica e delle Fondazioni | | | CONSULENTE: | | |
| DATA: Aprile 2023 | | TITOLO: Lavori ultimazione di un fabbricato adibito ad albergo-ristorante– C.da Case Nuove Chicone Avigliano (PZ) | | | | | | |
| 039 | SLV A1 | Si | -0.1599 | -0.1650 | -0.1769 | -0.1767 | -32.7 | 28.3 |
| 040 | SLV A1 | Si | -0.1647 | -0.1582 | -0.1549 | -0.1592 | -44.1 | -6.8 |
| 041 | SLV A1 | Si | -0.1820 | -0.2023 | -0.2278 | -0.2145 | 36.2 | 1.8 |
| 042 | SLV A1 | Si | -0.1869 | -0.1959 | -0.2063 | -0.1973 | 43.2 | -34.8 |
| 043 | SLV A1 | Si | -0.1602 | -0.1641 | -0.1730 | -0.1736 | -43.0 | 34.9 |
| 044 | SLV A1 | Si | -0.1651 | -0.1577 | -0.1515 | -0.1565 | -36.0 | -1.7 |
| 045 | SLV A1 | Si | -0.1821 | -0.2025 | -0.2280 | -0.2146 | 45.4 | 1.0 |
| 046 | SLV A1 | Si | -0.1869 | -0.1957 | -0.2060 | -0.1972 | 34.0 | -34.0 |
| 047 | SLV A1 | Si | -0.1602 | -0.1642 | -0.1733 | -0.1737 | -33.8 | 34.1 |
| 048 | SLV A1 | Si | -0.1650 | -0.1575 | -0.1513 | -0.1563 | -45.2 | -1.0 |
| 049 | SLV A1 | Si | -0.1688 | -0.1962 | -0.2326 | -0.2192 | 0.0 | 57.8 |
| 050 | SLV A1 | Si | -0.1851 | -0.1749 | -0.1610 | -0.1622 | 23.4 | -64.1 |
| 051 | SLV A1 | Si | -0.1621 | -0.1851 | -0.2183 | -0.2087 | -23.2 | 64.2 |
| 052 | SLV A1 | Si | -0.1783 | -0.1638 | -0.1467 | -0.1517 | 0.2 | -57.7 |
| 053 | SLV A1 | Si | -0.1687 | -0.1964 | -0.2337 | -0.2201 | 0.3 | 56.0 |
| 054 | SLV A1 | Si | -0.1850 | -0.1751 | -0.1621 | -0.1630 | 23.7 | -65.9 |
| 055 | SLV A1 | Si | -0.1622 | -0.1849 | -0.2172 | -0.2079 | -23.5 | 65.9 |
| 056 | SLV A1 | Si | -0.1784 | -0.1636 | -0.1456 | -0.1508 | -0.1 | -56.0 |
| 057 | SLV A1 | Si | -0.1689 | -0.1967 | -0.2334 | -0.2198 | 30.7 | 55.2 |
| 058 | SLV A1 | Si | -0.1850 | -0.1743 | -0.1602 | -0.1616 | -7.4 | -61.6 |
| 059 | SLV A1 | Si | -0.1622 | -0.1857 | -0.2191 | -0.2093 | 7.6 | 61.7 |
| 060 | SLV A1 | Si | -0.1782 | -0.1633 | -0.1459 | -0.1511 | -30.5 | -55.1 |
| 061 | SLV A1 | Si | -0.1688 | -0.1969 | -0.2344 | -0.2207 | 31.0 | 53.5 |
| 062 | SLV A1 | Si | -0.1849 | -0.1745 | -0.1613 | -0.1625 | -7.1 | -63.3 |
| 063 | SLV A1 | Si | -0.1623 | -0.1854 | -0.2180 | -0.2084 | 7.3 | 63.4 |
| 064 | SLV A1 | Si | -0.1783 | -0.1631 | -0.1449 | -0.1502 | -30.8 | -53.4 |
| 065 | SLD | Si | -0.1775 | -0.1898 | -0.2053 | -0.1973 | 15.9 | 3.5 |
| 066 | SLD | Si | -0.1798 | -0.1869 | -0.1955 | -0.1895 | 19.1 | -13.2 |
| 067 | SLD | Si | -0.1674 | -0.1731 | -0.1838 | -0.1814 | -18.9 | 13.3 |
| 068 | SLD | Si | -0.1696 | -0.1702 | -0.1740 | -0.1736 | -15.7 | -3.4 |
| 069 | SLD | Si | -0.1776 | -0.1898 | -0.2054 | -0.1974 | 20.1 | 3.1 |
| 070 | SLD | Si | -0.1797 | -0.1868 | -0.1954 | -0.1894 | 14.9 | -12.8 |
| 071 | SLD | Si | -0.1674 | -0.1732 | -0.1839 | -0.1815 | -14.7 | 12.9 |
| 072 | SLD | Si | -0.1696 | -0.1701 | -0.1739 | -0.1735 | -19.9 | -3.1 |
| 073 | SLD | Si | -0.1774 | -0.1901 | -0.2070 | -0.1986 | 16.4 | 0.8 |
| 074 | SLD | Si | -0.1796 | -0.1872 | -0.1972 | -0.1908 | 19.6 | -15.9 |
| 075 | SLD | Si | -0.1675 | -0.1728 | -0.1821 | -0.1801 | -19.4 | 15.9 |
| 076 | SLD | Si | -0.1697 | -0.1699 | -0.1723 | -0.1723 | -16.2 | -0.8 |
| 077 | SLD | Si | -0.1774 | -0.1902 | -0.2071 | -0.1987 | 20.6 | 0.5 |
| 078 | SLD | Si | -0.1796 | -0.1871 | -0.1971 | -0.1907 | 15.5 | -15.5 |
| 079 | SLD | Si | -0.1675 | -0.1728 | -0.1822 | -0.1802 | -15.3 | 15.6 |
| 080 | SLD | Si | -0.1697 | -0.1698 | -0.1722 | -0.1722 | -20.4 | -0.4 |
| 081 | SLD | Si | -0.1714 | -0.1873 | -0.2092 | -0.2009 | 0.0 | 26.4 |
| 082 | SLD | Si | -0.1788 | -0.1776 | -0.1765 | -0.1748 | 10.7 | -29.3 |
| 083 | SLD | Si | -0.1683 | -0.1823 | -0.2028 | -0.1961 | -10.5 | 29.3 |
| 084 | SLD | Si | -0.1757 | -0.1727 | -0.1701 | -0.1700 | 0.2 | -26.3 |
| 085 | SLD | Si | -0.1713 | -0.1874 | -0.2097 | -0.2013 | 0.2 | 25.6 |
| 086 | SLD | Si | -0.1787 | -0.1777 | -0.1770 | -0.1752 | 10.8 | -30.1 |
| 087 | SLD | Si | -0.1684 | -0.1822 | -0.2023 | -0.1957 | -10.6 | 30.1 |
| 088 | SLD | Si | -0.1758 | -0.1725 | -0.1696 | -0.1696 | 0.0 | -25.5 |
| 089 | SLD | Si | -0.1714 | -0.1876 | -0.2096 | -0.2011 | 14.0 | 25.2 |
| 090 | SLD | Si | -0.1787 | -0.1774 | -0.1762 | -0.1746 | -3.3 | -28.1 |
| 091 | SLD | Si | -0.1684 | -0.1826 | -0.2031 | -0.1963 | 3.5 | 28.1 |
| 092 | SLD | Si | -0.1757 | -0.1724 | -0.1697 | -0.1698 | -13.8 | -25.2 |
| 093 | SLD | Si | -0.1714 | -0.1877 | -0.2101 | -0.2015 | 14.1 | 24.4 |
| 094 | SLD | Si | -0.1787 | -0.1775 | -0.1767 | -0.1750 | -3.2 | -28.9 |
| 095 | SLD | Si | -0.1684 | -0.1825 | -0.2026 | -0.1959 | 3.4 | 28.9 |
| 096 | SLD | Si | -0.1757 | -0.1723 | -0.1692 | -0.1694 | -13.9 | -24.4 |
| 097 | SLO | Si | -0.1767 | -0.1877 | -0.2020 | -0.1948 | 12.7 | 2.7 |
| 098 | SLO | Si | -0.1785 | -0.1854 | -0.1943 | -0.1887 | 15.2 | -10.4 |
| 099 | SLO | Si | -0.1686 | -0.1745 | -0.1850 | -0.1822 | -15.0 | 10.5 |
| 100 | SLO | Si | -0.1704 | -0.1722 | -0.1773 | -0.1761 | -12.5 | -2.6 |
| 101 | SLO | Si | -0.1767 | -0.1878 | -0.2022 | -0.1949 | 16.0 | 2.5 |
| 102 | SLO | Si | -0.1785 | -0.1854 | -0.1942 | -0.1886 | 11.9 | -10.2 |
| 103 | SLO | Si | -0.1687 | -0.1746 | -0.1851 | -0.1823 | -11.7 | 10.3 |
| 104 | SLO | Si | -0.1704 | -0.1722 | -0.1771 | -0.1760 | -15.8 | -2.4 |
| 105 | SLO | Si | -0.1766 | -0.1880 | -0.2033 | -0.1959 | 13.1 | 0.6 |
| 106 | SLO | Si | -0.1784 | -0.1857 | -0.1956 | -0.1897 | 15.6 | -12.5 |
| 107 | SLO | Si | -0.1688 | -0.1743 | -0.1837 | -0.1812 | -15.4 | 12.5 |
| 108 | SLO | Si | -0.1705 | -0.1720 | -0.1760 | -0.1750 | -12.9 | -0.6 |
| 109 | SLO | Si | -0.1766 | -0.1881 | -0.2035 | -0.1960 | 16.4 | 0.4 |
| 110 | SLO | Si | -0.1784 | -0.1857 | -0.1955 | -0.1896 | 12.3 | -12.3 |

Relazione Geotecnica e delle Fondazioni

| | | | | | | | | |
|-----|-----|----|---------|---------|---------|---------|-------|-------|
| 111 | SLO | Si | -0.1688 | -0.1743 | -0.1838 | -0.1813 | -12.1 | 12.3 |
| 112 | SLO | Si | -0.1705 | -0.1719 | -0.1758 | -0.1749 | -16.2 | -0.4 |
| 113 | SLO | Si | -0.1719 | -0.1719 | -0.1858 | -0.1976 | 0.0 | 20.7 |
| 114 | SLO | Si | -0.1777 | -0.1781 | -0.1794 | -0.1771 | 8.4 | -23.0 |
| 115 | SLO | Si | -0.1694 | -0.1818 | -0.1999 | -0.1938 | -8.3 | 23.0 |
| 116 | SLO | Si | -0.1753 | -0.1742 | -0.1743 | -0.1733 | 0.1 | -20.6 |
| 117 | SLO | Si | -0.1718 | -0.1859 | -0.2054 | -0.1979 | 0.2 | 20.1 |
| 118 | SLO | Si | -0.1776 | -0.1782 | -0.1798 | -0.1774 | 8.6 | -23.6 |
| 119 | SLO | Si | -0.1695 | -0.1817 | -0.1995 | -0.1935 | -8.4 | 23.7 |
| 120 | SLO | Si | -0.1753 | -0.1741 | -0.1739 | -0.1730 | 0.0 | -20.0 |
| 121 | SLO | Si | -0.1719 | -0.1860 | -0.2055 | -0.1979 | 11.1 | 20.0 |
| 122 | SLO | Si | -0.1777 | -0.1779 | -0.1790 | -0.1768 | -2.6 | -22.3 |
| 123 | SLO | Si | -0.1694 | -0.1820 | -0.2003 | -0.1941 | 2.8 | 22.4 |
| 124 | SLO | Si | -0.1752 | -0.1740 | -0.1738 | -0.1730 | -10.9 | -20.0 |
| 125 | SLO | Si | -0.1718 | -0.1861 | -0.2059 | -0.1982 | 11.2 | 19.4 |
| 126 | SLO | Si | -0.1776 | -0.1780 | -0.1794 | -0.1771 | -2.5 | -22.9 |
| 127 | SLO | Si | -0.1695 | -0.1820 | -0.1999 | -0.1938 | 2.7 | 23.0 |
| 128 | SLO | Si | -0.1753 | -0.1739 | -0.1734 | -0.1727 | -11.0 | -19.3 |

Elemento: Platea n. 6

| Cmb | Tipo | Sism. | Press. N1 | Press. N2 | Press. N3 | Press. N4 | S. Taglio X | S. Taglio Y |
|-----|----------|-------|---------------------|---------------------|---------------------|---------------------|-------------|-------------|
| n. | | | daN/cm ² | daN/cm ² | daN/cm ² | daN/cm ² | daN | daN |
| 001 | SLU STR | No | -0.1656 | -0.1638 | -0.1686 | -0.1706 | 0.0 | 0.0 |
| 002 | SLU STR | No | -0.2181 | -0.2163 | -0.2211 | -0.2231 | 0.0 | 0.0 |
| 003 | SLU STR | No | -0.2272 | -0.2170 | -0.2355 | -0.2471 | 0.1 | 0.0 |
| 004 | SLU STR | No | -0.2797 | -0.2695 | -0.2880 | -0.2996 | 0.1 | 0.0 |
| 005 | SLU STR | No | -0.1227 | -0.1214 | -0.1249 | -0.1262 | 0.0 | 0.0 |
| 006 | SLU STR | No | -0.1752 | -0.1739 | -0.1774 | -0.1787 | 0.0 | 0.0 |
| 007 | SLU STR | No | -0.1843 | -0.1746 | -0.1917 | -0.2027 | 0.1 | 0.0 |
| 008 | SLU STR | No | -0.2368 | -0.2271 | -0.2442 | -0.2552 | 0.1 | 0.0 |
| 009 | SLU STR | No | -0.2406 | -0.2388 | -0.2436 | -0.2456 | 0.0 | 0.0 |
| 010 | SLU STR | No | -0.2088 | -0.2010 | -0.2154 | -0.2242 | 0.1 | 0.0 |
| 011 | SLU STR | No | -0.2838 | -0.2760 | -0.2904 | -0.2992 | 0.1 | 0.0 |
| 012 | SLU STR | No | -0.1977 | -0.1964 | -0.1999 | -0.2012 | 0.0 | 0.0 |
| 013 | SLU STR | No | -0.1658 | -0.1587 | -0.1717 | -0.1797 | 0.1 | 0.0 |
| 014 | SLU STR | No | -0.2408 | -0.2337 | -0.2467 | -0.2547 | 0.1 | 0.0 |
| 015 | SLE rare | No | -0.1253 | -0.1240 | -0.1276 | -0.1291 | 0.0 | 0.0 |
| 016 | SLE rare | No | -0.1603 | -0.1590 | -0.1626 | -0.1641 | 0.0 | 0.0 |
| 017 | SLE rare | No | -0.1664 | -0.1595 | -0.1722 | -0.1800 | 0.1 | 0.0 |
| 018 | SLE rare | No | -0.2014 | -0.1945 | -0.2072 | -0.2150 | 0.1 | 0.0 |
| 019 | SLE rare | No | -0.1753 | -0.1740 | -0.1776 | -0.1791 | 0.0 | 0.0 |
| 020 | SLE rare | No | -0.1541 | -0.1488 | -0.1588 | -0.1647 | 0.1 | 0.0 |
| 021 | SLE rare | No | -0.2041 | -0.1988 | -0.2088 | -0.2147 | 0.1 | 0.0 |
| 022 | SLE freq | No | -0.1253 | -0.1240 | -0.1276 | -0.1291 | 0.0 | 0.0 |
| 023 | SLE freq | No | -0.1553 | -0.1540 | -0.1576 | -0.1591 | 0.0 | 0.0 |
| 024 | SLE freq | No | -0.1541 | -0.1488 | -0.1588 | -0.1647 | 0.1 | 0.0 |
| 025 | SLE freq | No | -0.1841 | -0.1788 | -0.1888 | -0.1947 | 0.1 | 0.0 |
| 026 | SLE freq | No | -0.1603 | -0.1590 | -0.1626 | -0.1641 | 0.0 | 0.0 |
| 027 | SLE freq | No | -0.1500 | -0.1453 | -0.1544 | -0.1596 | 0.1 | 0.0 |
| 028 | SLE freq | No | -0.1850 | -0.1803 | -0.1894 | -0.1946 | 0.1 | 0.0 |
| 029 | SLE q.p. | No | -0.1253 | -0.1240 | -0.1276 | -0.1291 | 0.0 | 0.0 |
| 030 | SLE q.p. | No | -0.1553 | -0.1540 | -0.1576 | -0.1591 | 0.0 | 0.0 |
| 031 | SLE q.p. | No | -0.1500 | -0.1453 | -0.1544 | -0.1596 | 0.1 | 0.0 |
| 032 | SLE q.p. | No | -0.1800 | -0.1753 | -0.1844 | -0.1896 | 0.1 | 0.0 |
| 033 | SLV A1 | Si | -0.2016 | -0.1919 | -0.2151 | -0.2242 | 26.8 | 4.6 |
| 034 | SLV A1 | Si | -0.1952 | -0.1979 | -0.2030 | -0.2027 | 31.9 | -26.8 |
| 035 | SLV A1 | Si | -0.1648 | -0.1527 | -0.1657 | -0.1766 | -31.8 | 26.8 |
| 036 | SLV A1 | Si | -0.1584 | -0.1587 | -0.1536 | -0.1551 | -26.7 | -4.6 |
| 037 | SLV A1 | Si | -0.2017 | -0.1919 | -0.2153 | -0.2244 | 33.7 | 3.8 |
| 038 | SLV A1 | Si | -0.1950 | -0.1979 | -0.2027 | -0.2024 | 25.1 | -26.0 |
| 039 | SLV A1 | Si | -0.1650 | -0.1527 | -0.1660 | -0.1769 | -25.0 | 26.0 |
| 040 | SLV A1 | Si | -0.1582 | -0.1587 | -0.1534 | -0.1549 | -33.6 | -3.8 |
| 041 | SLV A1 | Si | -0.2023 | -0.1916 | -0.2168 | -0.2278 | 27.6 | 0.2 |
| 042 | SLV A1 | Si | -0.1959 | -0.1976 | -0.2047 | -0.2063 | 32.7 | -31.2 |
| 043 | SLV A1 | Si | -0.1641 | -0.1529 | -0.1640 | -0.1730 | -32.6 | 31.2 |
| 044 | SLV A1 | Si | -0.1577 | -0.1590 | -0.1519 | -0.1515 | -27.5 | -0.2 |
| 045 | SLV A1 | Si | -0.2025 | -0.1916 | -0.2170 | -0.2280 | 34.5 | -0.6 |
| 046 | SLV A1 | Si | -0.1957 | -0.1976 | -0.2044 | -0.2060 | 25.9 | -30.4 |
| 047 | SLV A1 | Si | -0.1642 | -0.1529 | -0.1643 | -0.1733 | -25.8 | 30.4 |
| 048 | SLV A1 | Si | -0.1575 | -0.1590 | -0.1517 | -0.1513 | -34.3 | 0.6 |
| 049 | SLV A1 | Si | -0.1962 | -0.1712 | -0.2119 | -0.2326 | 0.3 | 49.0 |
| 050 | SLV A1 | Si | -0.1749 | -0.1912 | -0.1716 | -0.1610 | 17.4 | -55.7 |
| 051 | SLV A1 | Si | -0.1851 | -0.1594 | -0.1971 | -0.2183 | -17.3 | 55.7 |

| COMMITTENTE: Mecca Antonio | | CODICE COMMESSA: | NOME ELABORATO: S1.5 - Relazione Geotecnica e delle Fondazioni | | | CONSULENTE: | | |
|-------------------------------|--------|----------------------------------------------------------------------------------------------------------------------|-------------------------------------------------------------------------|---------|---------|-------------|-------|-------|
| DATA: Aprile 2023 | | TITOLO: Lavori ultimazione di un fabbricato adibito ad albergo-ristorante– C.da Case Nuove Chicone Avigliano (PZ) | | | | | | |
| 052 | SLV A1 | Si | -0.1638 | -0.1794 | -0.1568 | -0.1467 | -0.2 | -49.0 |
| 053 | SLV A1 | Si | -0.1964 | -0.1711 | -0.2124 | -0.2337 | 0.5 | 47.7 |
| 054 | SLV A1 | Si | -0.1751 | -0.1911 | -0.1721 | -0.1621 | 17.6 | -57.0 |
| 055 | SLV A1 | Si | -0.1849 | -0.1595 | -0.1966 | -0.2172 | -17.5 | 57.0 |
| 056 | SLV A1 | Si | -0.1636 | -0.1795 | -0.1563 | -0.1456 | -0.4 | -47.7 |
| 057 | SLV A1 | Si | -0.1967 | -0.1712 | -0.2127 | -0.2334 | 23.2 | 46.3 |
| 058 | SLV A1 | Si | -0.1743 | -0.1912 | -0.1708 | -0.1602 | -5.5 | -53.0 |
| 059 | SLV A1 | Si | -0.1857 | -0.1594 | -0.1979 | -0.2191 | 5.6 | 52.9 |
| 060 | SLV A1 | Si | -0.1633 | -0.1794 | -0.1560 | -0.1459 | -23.1 | -46.3 |
| 061 | SLV A1 | Si | -0.1969 | -0.1711 | -0.2132 | -0.2344 | 23.4 | 45.0 |
| 062 | SLV A1 | Si | -0.1745 | -0.1911 | -0.1713 | -0.1613 | -5.2 | -54.3 |
| 063 | SLV A1 | Si | -0.1854 | -0.1595 | -0.1974 | -0.2180 | 5.4 | 54.3 |
| 064 | SLV A1 | Si | -0.1631 | -0.1795 | -0.1555 | -0.1449 | -23.3 | -45.0 |
| 065 | SLD | Si | -0.1898 | -0.1828 | -0.1983 | -0.2053 | 12.2 | 2.1 |
| 066 | SLD | Si | -0.1869 | -0.1855 | -0.1928 | -0.1955 | 14.5 | -12.2 |
| 067 | SLD | Si | -0.1731 | -0.1651 | -0.1759 | -0.1838 | -14.4 | 12.2 |
| 068 | SLD | Si | -0.1702 | -0.1678 | -0.1704 | -0.1740 | -12.0 | -2.2 |
| 069 | SLD | Si | -0.1898 | -0.1828 | -0.1984 | -0.2054 | 15.3 | 1.8 |
| 070 | SLD | Si | -0.1868 | -0.1855 | -0.1927 | -0.1954 | 11.4 | -11.8 |
| 071 | SLD | Si | -0.1732 | -0.1651 | -0.1760 | -0.1839 | -11.3 | 11.8 |
| 072 | SLD | Si | -0.1701 | -0.1678 | -0.1703 | -0.1739 | -15.2 | -1.8 |
| 073 | SLD | Si | -0.1901 | -0.1827 | -0.1991 | -0.2070 | 12.5 | 0.1 |
| 074 | SLD | Si | -0.1872 | -0.1854 | -0.1936 | -0.1972 | 14.9 | -14.2 |
| 075 | SLD | Si | -0.1728 | -0.1652 | -0.1751 | -0.1821 | -14.8 | 14.2 |
| 076 | SLD | Si | -0.1699 | -0.1679 | -0.1696 | -0.1723 | -12.4 | -0.1 |
| 077 | SLD | Si | -0.1902 | -0.1827 | -0.1992 | -0.2071 | 15.7 | -0.3 |
| 078 | SLD | Si | -0.1871 | -0.1854 | -0.1934 | -0.1971 | 11.7 | -13.9 |
| 079 | SLD | Si | -0.1728 | -0.1652 | -0.1753 | -0.1822 | -11.6 | 13.8 |
| 080 | SLD | Si | -0.1698 | -0.1679 | -0.1695 | -0.1722 | -15.5 | 0.2 |
| 081 | SLD | Si | -0.1873 | -0.1734 | -0.1969 | -0.2092 | 0.1 | 22.4 |
| 082 | SLD | Si | -0.1776 | -0.1825 | -0.1785 | -0.1765 | 7.9 | -25.4 |
| 083 | SLD | Si | -0.1823 | -0.1681 | -0.1902 | -0.2028 | -7.8 | 25.4 |
| 084 | SLD | Si | -0.1727 | -0.1772 | -0.1718 | -0.1701 | 0.0 | -22.4 |
| 085 | SLD | Si | -0.1874 | -0.1734 | -0.1971 | -0.2097 | 0.3 | 21.8 |
| 086 | SLD | Si | -0.1777 | -0.1825 | -0.1788 | -0.1770 | 8.0 | -26.0 |
| 087 | SLD | Si | -0.1822 | -0.1681 | -0.1899 | -0.2023 | -7.9 | 26.0 |
| 088 | SLD | Si | -0.1725 | -0.1772 | -0.1716 | -0.1696 | -0.1 | -21.8 |
| 089 | SLD | Si | -0.1876 | -0.1734 | -0.1972 | -0.2096 | 10.5 | 21.1 |
| 090 | SLD | Si | -0.1774 | -0.1825 | -0.1782 | -0.1762 | -2.5 | -24.2 |
| 091 | SLD | Si | -0.1826 | -0.1681 | -0.1905 | -0.2031 | 2.6 | 24.1 |
| 092 | SLD | Si | -0.1724 | -0.1772 | -0.1715 | -0.1697 | -10.4 | -21.2 |
| 093 | SLD | Si | -0.1877 | -0.1734 | -0.1975 | -0.2101 | 10.7 | 20.5 |
| 094 | SLD | Si | -0.1775 | -0.1825 | -0.1784 | -0.1767 | -2.4 | -24.8 |
| 095 | SLD | Si | -0.1825 | -0.1681 | -0.1903 | -0.2026 | 2.5 | 24.8 |
| 096 | SLD | Si | -0.1723 | -0.1772 | -0.1712 | -0.1692 | -10.5 | -20.5 |
| 097 | SLO | Si | -0.1877 | -0.1812 | -0.1954 | -0.2020 | 9.7 | 1.6 |
| 098 | SLO | Si | -0.1854 | -0.1834 | -0.1910 | -0.1943 | 11.5 | -9.6 |
| 099 | SLO | Si | -0.1745 | -0.1672 | -0.1777 | -0.1850 | -11.4 | 9.6 |
| 100 | SLO | Si | -0.1722 | -0.1693 | -0.1733 | -0.1773 | -9.6 | -1.6 |
| 101 | SLO | Si | -0.1878 | -0.1812 | -0.1955 | -0.2022 | 12.1 | 1.4 |
| 102 | SLO | Si | -0.1854 | -0.1834 | -0.1909 | -0.1942 | 9.0 | -9.4 |
| 103 | SLO | Si | -0.1746 | -0.1672 | -0.1778 | -0.1851 | -8.9 | 9.4 |
| 104 | SLO | Si | -0.1722 | -0.1693 | -0.1732 | -0.1771 | -12.0 | -1.4 |
| 105 | SLO | Si | -0.1880 | -0.1812 | -0.1960 | -0.2033 | 10.0 | 0.0 |
| 106 | SLO | Si | -0.1857 | -0.1833 | -0.1917 | -0.1956 | 11.8 | -11.2 |
| 107 | SLO | Si | -0.1743 | -0.1673 | -0.1770 | -0.1837 | -11.7 | 11.2 |
| 108 | SLO | Si | -0.1720 | -0.1694 | -0.1727 | -0.1760 | -9.8 | -0.1 |
| 109 | SLO | Si | -0.1881 | -0.1812 | -0.1961 | -0.2035 | 12.4 | -0.2 |
| 110 | SLO | Si | -0.1857 | -0.1833 | -0.1916 | -0.1955 | 9.3 | -11.0 |
| 111 | SLO | Si | -0.1743 | -0.1673 | -0.1771 | -0.1838 | -9.2 | 11.0 |
| 112 | SLO | Si | -0.1719 | -0.1694 | -0.1726 | -0.1758 | -12.3 | 0.2 |
| 113 | SLO | Si | -0.1858 | -0.1738 | -0.1942 | -0.2050 | 0.1 | 17.5 |
| 114 | SLO | Si | -0.1781 | -0.1810 | -0.1798 | -0.1794 | 6.3 | -20.0 |
| 115 | SLO | Si | -0.1818 | -0.1696 | -0.1889 | -0.1999 | -6.2 | 19.9 |
| 116 | SLO | Si | -0.1742 | -0.1768 | -0.1745 | -0.1743 | 0.0 | -17.6 |
| 117 | SLO | Si | -0.1859 | -0.1738 | -0.1944 | -0.2054 | 0.2 | 17.1 |
| 118 | SLO | Si | -0.1782 | -0.1810 | -0.1800 | -0.1798 | 6.4 | -20.4 |
| 119 | SLO | Si | -0.1817 | -0.1696 | -0.1887 | -0.1995 | -6.3 | 20.4 |
| 120 | SLO | Si | -0.1741 | -0.1768 | -0.1743 | -0.1739 | -0.1 | -17.1 |
| 121 | SLO | Si | -0.1860 | -0.1738 | -0.1946 | -0.2055 | 8.4 | 16.8 |
| 122 | SLO | Si | -0.1779 | -0.1810 | -0.1794 | -0.1790 | -1.9 | -19.2 |
| 123 | SLO | Si | -0.1820 | -0.1696 | -0.1893 | -0.2003 | 2.1 | 19.2 |

Relazione Geotecnica e delle Fondazioni

| | | | | | | | | |
|-----|-----|----|---------|---------|---------|---------|------|-------|
| 124 | SLO | Si | -0.1740 | -0.1768 | -0.1741 | -0.1738 | -8.3 | -16.8 |
| 125 | SLO | Si | -0.1861 | -0.1738 | -0.1948 | -0.2059 | 8.5 | 16.3 |
| 126 | SLO | Si | -0.1780 | -0.1810 | -0.1796 | -0.1794 | -1.9 | -19.7 |
| 127 | SLO | Si | -0.1820 | -0.1696 | -0.1891 | -0.1999 | 2.0 | 19.6 |
| 128 | SLO | Si | -0.1739 | -0.1768 | -0.1739 | -0.1734 | -8.4 | -16.3 |

Elemento: Platea n. 7

| Cmb | Tipo | Sism. | Press. N1 | Press. N2 | Press. N3 | Press. N4 | S. Taglio X | S. Taglio Y |
|-----|----------|-------|---------------------|---------------------|---------------------|---------------------|-------------|-------------|
| n. | | | daN/cm ² | daN/cm ² | daN/cm ² | daN/cm ² | daN | daN |
| 001 | SLU STR | No | -0.1806 | -0.1794 | -0.1842 | 0.0000 | 0.0 | 0.0 |
| 002 | SLU STR | No | -0.2331 | -0.2319 | -0.2367 | 0.0000 | 0.0 | 0.0 |
| 003 | SLU STR | No | -0.2747 | -0.2676 | -0.2866 | 0.0000 | 0.1 | -0.1 |
| 004 | SLU STR | No | -0.3272 | -0.3201 | -0.3391 | 0.0000 | 0.1 | -0.1 |
| 005 | SLU STR | No | -0.1335 | -0.1328 | -0.1362 | 0.0000 | 0.0 | 0.0 |
| 006 | SLU STR | No | -0.1860 | -0.1853 | -0.1887 | 0.0000 | 0.0 | 0.0 |
| 007 | SLU STR | No | -0.2277 | -0.2209 | -0.2386 | 0.0000 | 0.1 | -0.1 |
| 008 | SLU STR | No | -0.2802 | -0.2734 | -0.2911 | 0.0000 | 0.1 | -0.1 |
| 009 | SLU STR | No | -0.2556 | -0.2544 | -0.2592 | 0.0000 | 0.0 | 0.0 |
| 010 | SLU STR | No | -0.2465 | -0.2411 | -0.2559 | 0.0000 | 0.0 | 0.0 |
| 011 | SLU STR | No | -0.3215 | -0.3161 | -0.3309 | 0.0000 | 0.0 | 0.0 |
| 012 | SLU STR | No | -0.2085 | -0.2078 | -0.2112 | 0.0000 | 0.0 | 0.0 |
| 013 | SLU STR | No | -0.1994 | -0.1945 | -0.2079 | 0.0000 | 0.0 | 0.0 |
| 014 | SLU STR | No | -0.2744 | -0.2695 | -0.2829 | 0.0000 | 0.0 | 0.0 |
| 015 | SLE rare | No | -0.1366 | -0.1357 | -0.1393 | 0.0000 | 0.0 | 0.0 |
| 016 | SLE rare | No | -0.1716 | -0.1707 | -0.1743 | 0.0000 | 0.0 | 0.0 |
| 017 | SLE rare | No | -0.1993 | -0.1945 | -0.2076 | 0.0000 | 0.0 | 0.0 |
| 018 | SLE rare | No | -0.2343 | -0.2295 | -0.2426 | 0.0000 | 0.0 | 0.0 |
| 019 | SLE rare | No | -0.1866 | -0.1857 | -0.1893 | 0.0000 | 0.0 | 0.0 |
| 020 | SLE rare | No | -0.1805 | -0.1769 | -0.1871 | 0.0000 | 0.0 | 0.0 |
| 021 | SLE rare | No | -0.2305 | -0.2269 | -0.2371 | 0.0000 | 0.0 | 0.0 |
| 022 | SLE freq | No | -0.1366 | -0.1357 | -0.1393 | 0.0000 | 0.0 | 0.0 |
| 023 | SLE freq | No | -0.1666 | -0.1657 | -0.1693 | 0.0000 | 0.0 | 0.0 |
| 024 | SLE freq | No | -0.1805 | -0.1769 | -0.1871 | 0.0000 | 0.0 | 0.0 |
| 025 | SLE freq | No | -0.2105 | -0.2069 | -0.2171 | 0.0000 | 0.0 | 0.0 |
| 026 | SLE freq | No | -0.1716 | -0.1707 | -0.1743 | 0.0000 | 0.0 | 0.0 |
| 027 | SLE freq | No | -0.1742 | -0.1710 | -0.1803 | 0.0000 | 0.0 | 0.0 |
| 028 | SLE freq | No | -0.2092 | -0.2060 | -0.2153 | 0.0000 | 0.0 | 0.0 |
| 029 | SLE q.p. | No | -0.1366 | -0.1357 | -0.1393 | 0.0000 | 0.0 | 0.0 |
| 030 | SLE q.p. | No | -0.1666 | -0.1657 | -0.1693 | 0.0000 | 0.0 | 0.0 |
| 031 | SLE q.p. | No | -0.1742 | -0.1710 | -0.1803 | 0.0000 | 0.0 | 0.0 |
| 032 | SLE q.p. | No | -0.2042 | -0.2010 | -0.2103 | 0.0000 | 0.0 | 0.0 |
| 033 | SLV A1 | Si | -0.2676 | -0.2621 | -0.2842 | 0.0000 | 7.9 | -0.4 |
| 034 | SLV A1 | Si | -0.2255 | -0.2256 | -0.2321 | 0.0000 | 11.9 | -11.4 |
| 035 | SLV A1 | Si | -0.1829 | -0.1764 | -0.1884 | 0.0000 | -11.9 | 11.4 |
| 036 | SLV A1 | Si | -0.1409 | -0.1399 | -0.1364 | 0.0000 | -7.9 | 0.3 |
| 037 | SLV A1 | Si | -0.2679 | -0.2624 | -0.2846 | 0.0000 | 11.8 | -0.8 |
| 038 | SLV A1 | Si | -0.2251 | -0.2252 | -0.2317 | 0.0000 | 8.1 | -11.0 |
| 039 | SLV A1 | Si | -0.1833 | -0.1768 | -0.1888 | 0.0000 | -8.0 | 11.0 |
| 040 | SLV A1 | Si | -0.1405 | -0.1395 | -0.1360 | 0.0000 | -11.7 | 0.7 |
| 041 | SLV A1 | Si | -0.2746 | -0.2679 | -0.2929 | 0.0000 | 8.5 | -1.7 |
| 042 | SLV A1 | Si | -0.2325 | -0.2314 | -0.2408 | 0.0000 | 12.5 | -12.8 |
| 043 | SLV A1 | Si | -0.1759 | -0.1705 | -0.1797 | 0.0000 | -12.5 | 12.7 |
| 044 | SLV A1 | Si | -0.1339 | -0.1341 | -0.1276 | 0.0000 | -8.5 | 1.7 |
| 045 | SLV A1 | Si | -0.2749 | -0.2683 | -0.2933 | 0.0000 | 12.4 | -2.1 |
| 046 | SLV A1 | Si | -0.2321 | -0.2311 | -0.2405 | 0.0000 | 8.7 | -12.4 |
| 047 | SLV A1 | Si | -0.1763 | -0.1709 | -0.1801 | 0.0000 | -8.6 | 12.3 |
| 048 | SLV A1 | Si | -0.1335 | -0.1337 | -0.1272 | 0.0000 | -12.3 | 2.1 |
| 049 | SLV A1 | Si | -0.2870 | -0.2746 | -0.3115 | 0.0000 | -3.6 | 16.6 |
| 050 | SLV A1 | Si | -0.1468 | -0.1531 | -0.1378 | 0.0000 | 9.6 | -20.2 |
| 051 | SLV A1 | Si | -0.2616 | -0.2489 | -0.2827 | 0.0000 | -9.6 | 20.1 |
| 052 | SLV A1 | Si | -0.1214 | -0.1274 | -0.1091 | 0.0000 | 3.7 | -16.6 |
| 053 | SLV A1 | Si | -0.2891 | -0.2764 | -0.3141 | 0.0000 | -3.4 | 16.2 |
| 054 | SLV A1 | Si | -0.1489 | -0.1548 | -0.1404 | 0.0000 | 9.8 | -20.6 |
| 055 | SLV A1 | Si | -0.2595 | -0.2471 | -0.2801 | 0.0000 | -9.7 | 20.5 |
| 056 | SLV A1 | Si | -0.1193 | -0.1256 | -0.1065 | 0.0000 | 3.5 | -16.2 |
| 057 | SLV A1 | Si | -0.2882 | -0.2759 | -0.3127 | 0.0000 | 9.2 | 15.3 |
| 058 | SLV A1 | Si | -0.1456 | -0.1518 | -0.1366 | 0.0000 | -3.2 | -18.9 |
| 059 | SLV A1 | Si | -0.2628 | -0.2502 | -0.2840 | 0.0000 | 3.3 | 18.8 |
| 060 | SLV A1 | Si | -0.1202 | -0.1261 | -0.1078 | 0.0000 | -9.1 | -15.4 |
| 061 | SLV A1 | Si | -0.2903 | -0.2776 | -0.3153 | 0.0000 | 9.4 | 14.9 |
| 062 | SLV A1 | Si | -0.1477 | -0.1536 | -0.1392 | 0.0000 | -3.0 | -19.3 |
| 063 | SLV A1 | Si | -0.2608 | -0.2484 | -0.2814 | 0.0000 | 3.1 | 19.2 |
| 064 | SLV A1 | Si | -0.1181 | -0.1243 | -0.1052 | 0.0000 | -9.3 | -14.9 |

| | | | |
|--------------------------------------|------------------------------------------------------------------------------------------------------------------------------|----------------------------------------------------------------------------------|-------------|
| COMMITTENTE: Mecca Antonio | CODICE COMMESSA: | NOME ELABORATO: S1.5 - Relazione Geotecnica e delle Fondazioni | CONSULENTE: |
| DATA: Aprile 2023 | TITOLO: Lavori ultimazione di un fabbricato adibito ad albergo-ristorante- C.da Case Nuove Chicone Avigliano (PZ) | | |

| | | | | | | | | |
|-----|-----|----|---------|---------|---------|--------|------|------|
| 065 | SLD | Si | -0.2330 | -0.2287 | -0.2439 | 0.0000 | 3.6 | -0.2 |
| 066 | SLD | Si | -0.2138 | -0.2121 | -0.2201 | 0.0000 | 5.4 | -5.2 |
| 067 | SLD | Si | -0.1946 | -0.1899 | -0.2005 | 0.0000 | -5.4 | 5.1 |
| 068 | SLD | Si | -0.1755 | -0.1733 | -0.1767 | 0.0000 | -3.6 | 0.1 |
| 069 | SLD | Si | -0.2332 | -0.2289 | -0.2440 | 0.0000 | 5.4 | -0.4 |
| 070 | SLD | Si | -0.2136 | -0.2119 | -0.2199 | 0.0000 | 3.7 | -5.0 |
| 071 | SLD | Si | -0.1948 | -0.1901 | -0.2006 | 0.0000 | -3.6 | 5.0 |
| 072 | SLD | Si | -0.1753 | -0.1731 | -0.1765 | 0.0000 | -5.3 | 0.3 |
| 073 | SLD | Si | -0.2362 | -0.2314 | -0.2479 | 0.0000 | 3.9 | -0.8 |
| 074 | SLD | Si | -0.2170 | -0.2148 | -0.2241 | 0.0000 | 5.7 | -5.8 |
| 075 | SLD | Si | -0.1915 | -0.1872 | -0.1965 | 0.0000 | -5.6 | 5.8 |
| 076 | SLD | Si | -0.1723 | -0.1706 | -0.1727 | 0.0000 | -3.8 | 0.7 |
| 077 | SLD | Si | -0.2364 | -0.2316 | -0.2480 | 0.0000 | 5.6 | -1.0 |
| 078 | SLD | Si | -0.2168 | -0.2146 | -0.2239 | 0.0000 | 3.9 | -5.7 |
| 079 | SLD | Si | -0.1916 | -0.1874 | -0.1966 | 0.0000 | -3.9 | 5.6 |
| 080 | SLD | Si | -0.1721 | -0.1704 | -0.1725 | 0.0000 | -5.6 | 0.9 |
| 081 | SLD | Si | -0.2420 | -0.2345 | -0.2564 | 0.0000 | -1.6 | 7.6 |
| 082 | SLD | Si | -0.1780 | -0.1791 | -0.1772 | 0.0000 | 4.4 | -9.2 |
| 083 | SLD | Si | -0.2305 | -0.2229 | -0.2434 | 0.0000 | -4.3 | 9.2 |
| 084 | SLD | Si | -0.1665 | -0.1674 | -0.1641 | 0.0000 | 1.7 | -7.6 |
| 085 | SLD | Si | -0.2429 | -0.2353 | -0.2576 | 0.0000 | -1.6 | 7.4 |
| 086 | SLD | Si | -0.1789 | -0.1799 | -0.1784 | 0.0000 | 4.5 | -9.4 |
| 087 | SLD | Si | -0.2295 | -0.2221 | -0.2422 | 0.0000 | -4.4 | 9.3 |
| 088 | SLD | Si | -0.1655 | -0.1666 | -0.1629 | 0.0000 | 1.6 | -7.4 |
| 089 | SLD | Si | -0.2425 | -0.2351 | -0.2570 | 0.0000 | 4.2 | 7.0 |
| 090 | SLD | Si | -0.1774 | -0.1785 | -0.1766 | 0.0000 | -1.5 | -8.6 |
| 091 | SLD | Si | -0.2310 | -0.2235 | -0.2440 | 0.0000 | 1.5 | 8.6 |
| 092 | SLD | Si | -0.1659 | -0.1669 | -0.1636 | 0.0000 | -4.1 | -7.0 |
| 093 | SLD | Si | -0.2435 | -0.2359 | -0.2582 | 0.0000 | 4.3 | 6.8 |
| 094 | SLD | Si | -0.1784 | -0.1793 | -0.1778 | 0.0000 | -1.4 | -8.8 |
| 095 | SLD | Si | -0.2300 | -0.2227 | -0.2428 | 0.0000 | 1.4 | 8.7 |
| 096 | SLD | Si | -0.1650 | -0.1661 | -0.1624 | 0.0000 | -4.2 | -6.8 |
| 097 | SLO | Si | -0.2270 | -0.2229 | -0.2368 | 0.0000 | 2.9 | -0.2 |
| 098 | SLO | Si | -0.2119 | -0.2099 | -0.2182 | 0.0000 | 4.3 | -4.1 |
| 099 | SLO | Si | -0.1965 | -0.1921 | -0.2024 | 0.0000 | -4.2 | 4.1 |
| 100 | SLO | Si | -0.1815 | -0.1791 | -0.1837 | 0.0000 | -2.8 | 0.1 |
| 101 | SLO | Si | -0.2272 | -0.2231 | -0.2371 | 0.0000 | 4.3 | -0.3 |
| 102 | SLO | Si | -0.2117 | -0.2096 | -0.2179 | 0.0000 | 2.9 | -4.0 |
| 103 | SLO | Si | -0.1968 | -0.1923 | -0.2026 | 0.0000 | -2.9 | 3.9 |
| 104 | SLO | Si | -0.1813 | -0.1789 | -0.1835 | 0.0000 | -4.2 | 0.2 |
| 105 | SLO | Si | -0.2295 | -0.2250 | -0.2400 | 0.0000 | 3.1 | -0.7 |
| 106 | SLO | Si | -0.2144 | -0.2120 | -0.2213 | 0.0000 | 4.5 | -4.6 |
| 107 | SLO | Si | -0.1940 | -0.1900 | -0.1992 | 0.0000 | -4.5 | 4.5 |
| 108 | SLO | Si | -0.1789 | -0.1769 | -0.1806 | 0.0000 | -3.0 | 0.6 |
| 109 | SLO | Si | -0.2297 | -0.2252 | -0.2402 | 0.0000 | 4.5 | -0.8 |
| 110 | SLO | Si | -0.2142 | -0.2118 | -0.2211 | 0.0000 | 3.1 | -4.5 |
| 111 | SLO | Si | -0.1942 | -0.1902 | -0.1995 | 0.0000 | -3.1 | 4.4 |
| 112 | SLO | Si | -0.1787 | -0.1767 | -0.1803 | 0.0000 | -4.4 | 0.7 |
| 113 | SLO | Si | -0.2339 | -0.2274 | -0.2465 | 0.0000 | -1.3 | 5.9 |
| 114 | SLO | Si | -0.1837 | -0.1838 | -0.1843 | 0.0000 | 3.5 | -7.2 |
| 115 | SLO | Si | -0.2248 | -0.2181 | -0.2362 | 0.0000 | -3.4 | 7.2 |
| 116 | SLO | Si | -0.1745 | -0.1746 | -0.1740 | 0.0000 | 1.3 | -6.0 |
| 117 | SLO | Si | -0.2347 | -0.2280 | -0.2475 | 0.0000 | -1.2 | 5.8 |
| 118 | SLO | Si | -0.1844 | -0.1845 | -0.1853 | 0.0000 | 3.5 | -7.4 |
| 119 | SLO | Si | -0.2240 | -0.2175 | -0.2353 | 0.0000 | -3.5 | 7.3 |
| 120 | SLO | Si | -0.1738 | -0.1740 | -0.1731 | 0.0000 | 1.3 | -5.8 |
| 121 | SLO | Si | -0.2346 | -0.2281 | -0.2473 | 0.0000 | 3.3 | 5.5 |
| 122 | SLO | Si | -0.1830 | -0.1831 | -0.1835 | 0.0000 | -1.1 | -6.9 |
| 123 | SLO | Si | -0.2255 | -0.2188 | -0.2370 | 0.0000 | 1.2 | 6.8 |
| 124 | SLO | Si | -0.1738 | -0.1739 | -0.1732 | 0.0000 | -3.3 | -5.6 |
| 125 | SLO | Si | -0.2354 | -0.2287 | -0.2483 | 0.0000 | 3.4 | 5.4 |
| 126 | SLO | Si | -0.1837 | -0.1838 | -0.1845 | 0.0000 | -1.1 | -7.0 |
| 127 | SLO | Si | -0.2247 | -0.2182 | -0.2361 | 0.0000 | 1.1 | 6.9 |
| 128 | SLO | Si | -0.1731 | -0.1733 | -0.1723 | 0.0000 | -3.3 | -5.4 |

Elemento: Platea n. 8

| Cmb | Tipo | Sism. | Press. N1 | Press. N2 | Press. N3 | Press. N4 | S. Taglio X | S. Taglio Y |
|-----|---------|-------|---------------------|---------------------|---------------------|---------------------|-------------|-------------|
| n. | | | daN/cm ² | daN/cm ² | daN/cm ² | daN/cm ² | daN | daN |
| 001 | SLU STR | No | -0.1476 | -0.1480 | -0.1505 | 0.0000 | 0.0 | 0.0 |
| 002 | SLU STR | No | -0.2001 | -0.2005 | -0.2030 | 0.0000 | 0.0 | 0.0 |
| 003 | SLU STR | No | -0.1605 | -0.1593 | -0.1705 | 0.0000 | 0.0 | 0.0 |

Relazione Geotecnica e delle Fondazioni

| | | | | | | | | |
|-----|----------|----|---------|---------|---------|--------|------|-------|
| 004 | SLU STR | No | -0.2130 | -0.2118 | -0.2230 | 0.0000 | 0.0 | 0.0 |
| 005 | SLU STR | No | -0.1098 | -0.1100 | -0.1118 | 0.0000 | 0.0 | 0.0 |
| 006 | SLU STR | No | -0.1623 | -0.1625 | -0.1643 | 0.0000 | 0.0 | 0.0 |
| 007 | SLU STR | No | -0.1226 | -0.1214 | -0.1318 | 0.0000 | 0.0 | 0.0 |
| 008 | SLU STR | No | -0.1751 | -0.1739 | -0.1843 | 0.0000 | 0.0 | 0.0 |
| 009 | SLU STR | No | -0.2226 | -0.2230 | -0.2255 | 0.0000 | 0.0 | 0.0 |
| 010 | SLU STR | No | -0.1566 | -0.1559 | -0.1645 | 0.0000 | 0.0 | 0.0 |
| 011 | SLU STR | No | -0.2316 | -0.2309 | -0.2395 | 0.0000 | 0.0 | 0.0 |
| 012 | SLU STR | No | -0.1848 | -0.1850 | -0.1868 | 0.0000 | 0.0 | 0.0 |
| 013 | SLU STR | No | -0.1188 | -0.1180 | -0.1258 | 0.0000 | 0.0 | 0.0 |
| 014 | SLU STR | No | -0.1938 | -0.1930 | -0.2008 | 0.0000 | 0.0 | 0.0 |
| 015 | SLE rare | No | -0.1119 | -0.1122 | -0.1140 | 0.0000 | 0.0 | 0.0 |
| 016 | SLE rare | No | -0.1469 | -0.1472 | -0.1490 | 0.0000 | 0.0 | 0.0 |
| 017 | SLE rare | No | -0.1205 | -0.1197 | -0.1274 | 0.0000 | 0.0 | 0.0 |
| 018 | SLE rare | No | -0.1555 | -0.1547 | -0.1624 | 0.0000 | 0.0 | 0.0 |
| 019 | SLE rare | No | -0.1619 | -0.1622 | -0.1640 | 0.0000 | 0.0 | 0.0 |
| 020 | SLE rare | No | -0.1179 | -0.1175 | -0.1234 | 0.0000 | 0.0 | 0.0 |
| 021 | SLE rare | No | -0.1679 | -0.1675 | -0.1734 | 0.0000 | 0.0 | 0.0 |
| 022 | SLE freq | No | -0.1119 | -0.1122 | -0.1140 | 0.0000 | 0.0 | 0.0 |
| 023 | SLE freq | No | -0.1419 | -0.1422 | -0.1440 | 0.0000 | 0.0 | 0.0 |
| 024 | SLE freq | No | -0.1179 | -0.1175 | -0.1234 | 0.0000 | 0.0 | 0.0 |
| 025 | SLE freq | No | -0.1479 | -0.1475 | -0.1534 | 0.0000 | 0.0 | 0.0 |
| 026 | SLE freq | No | -0.1469 | -0.1472 | -0.1490 | 0.0000 | 0.0 | 0.0 |
| 027 | SLE freq | No | -0.1171 | -0.1167 | -0.1220 | 0.0000 | 0.0 | 0.0 |
| 028 | SLE freq | No | -0.1521 | -0.1517 | -0.1570 | 0.0000 | 0.0 | 0.0 |
| 029 | SLE q.p. | No | -0.1119 | -0.1122 | -0.1140 | 0.0000 | 0.0 | 0.0 |
| 030 | SLE q.p. | No | -0.1419 | -0.1422 | -0.1440 | 0.0000 | 0.0 | 0.0 |
| 031 | SLE q.p. | No | -0.1171 | -0.1167 | -0.1220 | 0.0000 | 0.0 | 0.0 |
| 032 | SLE q.p. | No | -0.1471 | -0.1467 | -0.1520 | 0.0000 | 0.0 | 0.0 |
| 033 | SLV A1 | Si | -0.1387 | -0.1375 | -0.1445 | 0.0000 | 6.9 | 1.7 |
| 034 | SLV A1 | Si | -0.1870 | -0.1865 | -0.1845 | 0.0000 | 3.8 | -5.9 |
| 035 | SLV A1 | Si | -0.1071 | -0.1069 | -0.1196 | 0.0000 | -3.8 | 6.0 |
| 036 | SLV A1 | Si | -0.1554 | -0.1558 | -0.1596 | 0.0000 | -6.9 | -1.7 |
| 037 | SLV A1 | Si | -0.1386 | -0.1374 | -0.1444 | 0.0000 | 3.9 | 1.6 |
| 038 | SLV A1 | Si | -0.1871 | -0.1866 | -0.1846 | 0.0000 | 6.8 | -5.8 |
| 039 | SLV A1 | Si | -0.1070 | -0.1068 | -0.1195 | 0.0000 | -6.8 | 5.8 |
| 040 | SLV A1 | Si | -0.1556 | -0.1560 | -0.1597 | 0.0000 | -3.9 | -1.6 |
| 041 | SLV A1 | Si | -0.1483 | -0.1465 | -0.1517 | 0.0000 | 6.5 | 0.4 |
| 042 | SLV A1 | Si | -0.1966 | -0.1954 | -0.1917 | 0.0000 | 3.4 | -7.2 |
| 043 | SLV A1 | Si | -0.0975 | -0.0980 | -0.1124 | 0.0000 | -3.5 | 7.3 |
| 044 | SLV A1 | Si | -0.1458 | -0.1469 | -0.1524 | 0.0000 | -6.6 | -0.4 |
| 045 | SLV A1 | Si | -0.1482 | -0.1463 | -0.1516 | 0.0000 | 3.5 | 0.3 |
| 046 | SLV A1 | Si | -0.1968 | -0.1955 | -0.1918 | 0.0000 | 6.4 | -7.1 |
| 047 | SLV A1 | Si | -0.0973 | -0.0979 | -0.1123 | 0.0000 | -6.5 | 7.1 |
| 048 | SLV A1 | Si | -0.1459 | -0.1471 | -0.1525 | 0.0000 | -3.6 | -0.3 |
| 049 | SLV A1 | Si | -0.0713 | -0.0698 | -0.0892 | 0.0000 | 6.7 | 12.2 |
| 050 | SLV A1 | Si | -0.2322 | -0.2328 | -0.2224 | 0.0000 | -3.6 | -13.4 |
| 051 | SLV A1 | Si | -0.0619 | -0.0606 | -0.0817 | 0.0000 | 3.5 | 13.5 |
| 052 | SLV A1 | Si | -0.2228 | -0.2236 | -0.2149 | 0.0000 | -6.8 | -12.2 |
| 053 | SLV A1 | Si | -0.0742 | -0.0725 | -0.0913 | 0.0000 | 6.6 | 11.8 |
| 054 | SLV A1 | Si | -0.2351 | -0.2355 | -0.2246 | 0.0000 | -3.7 | -13.8 |
| 055 | SLV A1 | Si | -0.0590 | -0.0579 | -0.0795 | 0.0000 | 3.6 | 13.9 |
| 056 | SLV A1 | Si | -0.2199 | -0.2209 | -0.2128 | 0.0000 | -6.7 | -11.8 |
| 057 | SLV A1 | Si | -0.0708 | -0.0693 | -0.0888 | 0.0000 | -3.3 | 11.7 |
| 058 | SLV A1 | Si | -0.2327 | -0.2333 | -0.2227 | 0.0000 | 6.4 | -13.0 |
| 059 | SLV A1 | Si | -0.0614 | -0.0601 | -0.0813 | 0.0000 | -6.5 | 13.0 |
| 060 | SLV A1 | Si | -0.2233 | -0.2241 | -0.2153 | 0.0000 | 3.2 | -11.7 |
| 061 | SLV A1 | Si | -0.0737 | -0.0720 | -0.0910 | 0.0000 | -3.4 | 11.3 |
| 062 | SLV A1 | Si | -0.2356 | -0.2359 | -0.2249 | 0.0000 | 6.3 | -13.4 |
| 063 | SLV A1 | Si | -0.0585 | -0.0575 | -0.0792 | 0.0000 | -6.4 | 13.4 |
| 064 | SLV A1 | Si | -0.2204 | -0.2214 | -0.2131 | 0.0000 | 3.3 | -11.3 |
| 065 | SLD | Si | -0.1432 | -0.1425 | -0.1486 | 0.0000 | 3.1 | 0.8 |
| 066 | SLD | Si | -0.1652 | -0.1648 | -0.1668 | 0.0000 | 1.7 | -2.7 |
| 067 | SLD | Si | -0.1289 | -0.1286 | -0.1373 | 0.0000 | -1.7 | 2.7 |
| 068 | SLD | Si | -0.1509 | -0.1509 | -0.1555 | 0.0000 | -3.1 | -0.8 |
| 069 | SLD | Si | -0.1431 | -0.1424 | -0.1485 | 0.0000 | 1.7 | 0.7 |
| 070 | SLD | Si | -0.1653 | -0.1649 | -0.1669 | 0.0000 | 3.0 | -2.6 |
| 071 | SLD | Si | -0.1288 | -0.1285 | -0.1372 | 0.0000 | -3.1 | 2.7 |
| 072 | SLD | Si | -0.1510 | -0.1510 | -0.1556 | 0.0000 | -1.8 | -0.7 |
| 073 | SLD | Si | -0.1476 | -0.1466 | -0.1519 | 0.0000 | 2.9 | 0.2 |
| 074 | SLD | Si | -0.1696 | -0.1689 | -0.1701 | 0.0000 | 1.5 | -3.3 |
| 075 | SLD | Si | -0.1245 | -0.1245 | -0.1340 | 0.0000 | -1.6 | 3.3 |
| 076 | SLD | Si | -0.1465 | -0.1468 | -0.1522 | 0.0000 | -3.0 | -0.2 |
| 077 | SLD | Si | -0.1475 | -0.1465 | -0.1518 | 0.0000 | 1.6 | 0.1 |

| | | | |
|--------------------------------------|----------------------------------------------------------------------------------------------------------------------|----------------------------------------------------------------------------------|-------------|
| COMMITTENTE: Mecca Antonio | CODICE COMMESSA: | NOME ELABORATO: S1.5 - Relazione Geotecnica e delle Fondazioni | CONSULENTE: |
| DATA: Aprile 2023 | TITOLO: Lavori ultimazione di un fabbricato adibito ad albergo-ristorante- C.da Case Nuove Chicone Avigliano (PZ) | | |

| | | | | | | | | |
|-----|-----|----|---------|---------|---------|--------|------|------|
| 078 | SLD | Si | -0.1697 | -0.1689 | -0.1702 | 0.0000 | 2.9 | -3.2 |
| 079 | SLD | Si | -0.1244 | -0.1245 | -0.1339 | 0.0000 | -2.9 | 3.3 |
| 080 | SLD | Si | -0.1466 | -0.1469 | -0.1523 | 0.0000 | -1.6 | -0.1 |
| 081 | SLD | Si | -0.1125 | -0.1116 | -0.1233 | 0.0000 | 3.0 | 5.6 |
| 082 | SLD | Si | -0.1859 | -0.1860 | -0.1841 | 0.0000 | -1.6 | -6.1 |
| 083 | SLD | Si | -0.1082 | -0.1074 | -0.1199 | 0.0000 | 1.6 | 6.2 |
| 084 | SLD | Si | -0.1816 | -0.1818 | -0.1808 | 0.0000 | -3.1 | -5.5 |
| 085 | SLD | Si | -0.1138 | -0.1128 | -0.1243 | 0.0000 | 3.0 | 5.4 |
| 086 | SLD | Si | -0.1873 | -0.1872 | -0.1851 | 0.0000 | -1.7 | -6.3 |
| 087 | SLD | Si | -0.1069 | -0.1062 | -0.1190 | 0.0000 | 1.6 | 6.3 |
| 088 | SLD | Si | -0.1803 | -0.1806 | -0.1798 | 0.0000 | -3.0 | -5.4 |
| 089 | SLD | Si | -0.1123 | -0.1114 | -0.1232 | 0.0000 | -1.5 | 5.4 |
| 090 | SLD | Si | -0.1861 | -0.1862 | -0.1843 | 0.0000 | 2.9 | -5.9 |
| 091 | SLD | Si | -0.1080 | -0.1072 | -0.1198 | 0.0000 | -2.9 | 5.9 |
| 092 | SLD | Si | -0.1818 | -0.1820 | -0.1809 | 0.0000 | 1.5 | -5.3 |
| 093 | SLD | Si | -0.1136 | -0.1126 | -0.1242 | 0.0000 | -1.5 | 5.2 |
| 094 | SLD | Si | -0.1875 | -0.1874 | -0.1853 | 0.0000 | 2.9 | -6.1 |
| 095 | SLD | Si | -0.1066 | -0.1060 | -0.1188 | 0.0000 | -2.9 | 6.1 |
| 096 | SLD | Si | -0.1805 | -0.1808 | -0.1799 | 0.0000 | 1.5 | -5.2 |
| 097 | SLO | Si | -0.1441 | -0.1434 | -0.1494 | 0.0000 | 2.4 | 0.6 |
| 098 | SLO | Si | -0.1614 | -0.1610 | -0.1637 | 0.0000 | 1.3 | -2.1 |
| 099 | SLO | Si | -0.1327 | -0.1324 | -0.1404 | 0.0000 | -1.4 | 2.2 |
| 100 | SLO | Si | -0.1500 | -0.1500 | -0.1547 | 0.0000 | -2.5 | -0.6 |
| 101 | SLO | Si | -0.1439 | -0.1433 | -0.1492 | 0.0000 | 1.4 | 0.6 |
| 102 | SLO | Si | -0.1615 | -0.1611 | -0.1638 | 0.0000 | 2.4 | -2.1 |
| 103 | SLO | Si | -0.1326 | -0.1323 | -0.1403 | 0.0000 | -2.5 | 2.1 |
| 104 | SLO | Si | -0.1502 | -0.1501 | -0.1548 | 0.0000 | -1.4 | -0.6 |
| 105 | SLO | Si | -0.1476 | -0.1466 | -0.1520 | 0.0000 | 2.3 | 0.2 |
| 106 | SLO | Si | -0.1648 | -0.1642 | -0.1663 | 0.0000 | 1.2 | -2.6 |
| 107 | SLO | Si | -0.1293 | -0.1292 | -0.1378 | 0.0000 | -1.3 | 2.6 |
| 108 | SLO | Si | -0.1466 | -0.1468 | -0.1521 | 0.0000 | -2.4 | -0.1 |
| 109 | SLO | Si | -0.1474 | -0.1465 | -0.1518 | 0.0000 | 1.2 | 0.1 |
| 110 | SLO | Si | -0.1650 | -0.1643 | -0.1664 | 0.0000 | 2.3 | -2.6 |
| 111 | SLO | Si | -0.1291 | -0.1291 | -0.1377 | 0.0000 | -2.3 | 2.6 |
| 112 | SLO | Si | -0.1467 | -0.1469 | -0.1523 | 0.0000 | -1.3 | -0.1 |
| 113 | SLO | Si | -0.1199 | -0.1192 | -0.1295 | 0.0000 | 2.4 | 4.4 |
| 114 | SLO | Si | -0.1776 | -0.1775 | -0.1772 | 0.0000 | -1.3 | -4.8 |
| 115 | SLO | Si | -0.1165 | -0.1158 | -0.1268 | 0.0000 | 1.2 | 4.8 |
| 116 | SLO | Si | -0.1742 | -0.1742 | -0.1746 | 0.0000 | -2.4 | -4.3 |
| 117 | SLO | Si | -0.1210 | -0.1201 | -0.1303 | 0.0000 | 2.4 | 4.2 |
| 118 | SLO | Si | -0.1786 | -0.1785 | -0.1780 | 0.0000 | -1.3 | -4.9 |
| 119 | SLO | Si | -0.1155 | -0.1149 | -0.1261 | 0.0000 | 1.3 | 5.0 |
| 120 | SLO | Si | -0.1731 | -0.1733 | -0.1738 | 0.0000 | -2.4 | -4.2 |
| 121 | SLO | Si | -0.1194 | -0.1186 | -0.1291 | 0.0000 | -1.2 | 4.3 |
| 122 | SLO | Si | -0.1781 | -0.1780 | -0.1776 | 0.0000 | 2.3 | -4.7 |
| 123 | SLO | Si | -0.1160 | -0.1153 | -0.1264 | 0.0000 | -2.3 | 4.7 |
| 124 | SLO | Si | -0.1747 | -0.1747 | -0.1750 | 0.0000 | 1.1 | -4.2 |
| 125 | SLO | Si | -0.1205 | -0.1196 | -0.1299 | 0.0000 | -1.2 | 4.1 |
| 126 | SLO | Si | -0.1791 | -0.1790 | -0.1784 | 0.0000 | 2.3 | -4.8 |
| 127 | SLO | Si | -0.1150 | -0.1144 | -0.1257 | 0.0000 | -2.3 | 4.9 |
| 128 | SLO | Si | -0.1736 | -0.1738 | -0.1742 | 0.0000 | 1.2 | -4.1 |

Elemento: Platea n. 9

| Cmb | Tipo | Sism. | Press. N1 | Press. N2 | Press. N3 | Press. N4 | S. Taglio X | S. Taglio Y |
|-----|----------|-------|---------------------|---------------------|---------------------|---------------------|-------------|-------------|
| n. | | | daN/cm ² | daN/cm ² | daN/cm ² | daN/cm ² | daN | daN |
| 001 | SLU STR | No | -0.1505 | -0.1480 | -0.1529 | 0.0000 | 0.0 | 0.0 |
| 002 | SLU STR | No | -0.2030 | -0.2005 | -0.2054 | 0.0000 | 0.0 | 0.0 |
| 003 | SLU STR | No | -0.1705 | -0.1593 | -0.1777 | 0.0000 | 0.0 | 0.0 |
| 004 | SLU STR | No | -0.2230 | -0.2118 | -0.2302 | 0.0000 | 0.0 | 0.0 |
| 005 | SLU STR | No | -0.1118 | -0.1100 | -0.1136 | 0.0000 | 0.0 | 0.0 |
| 006 | SLU STR | No | -0.1643 | -0.1625 | -0.1661 | 0.0000 | 0.0 | 0.0 |
| 007 | SLU STR | No | -0.1318 | -0.1214 | -0.1384 | 0.0000 | 0.0 | 0.0 |
| 008 | SLU STR | No | -0.1843 | -0.1739 | -0.1909 | 0.0000 | 0.0 | 0.0 |
| 009 | SLU STR | No | -0.2255 | -0.2230 | -0.2279 | 0.0000 | 0.0 | 0.0 |
| 010 | SLU STR | No | -0.1645 | -0.1559 | -0.1702 | 0.0000 | 0.0 | 0.0 |
| 011 | SLU STR | No | -0.2395 | -0.2309 | -0.2452 | 0.0000 | 0.0 | 0.0 |
| 012 | SLU STR | No | -0.1868 | -0.1850 | -0.1886 | 0.0000 | 0.0 | 0.0 |
| 013 | SLU STR | No | -0.1258 | -0.1180 | -0.1309 | 0.0000 | 0.0 | 0.0 |
| 014 | SLU STR | No | -0.2008 | -0.1930 | -0.2059 | 0.0000 | 0.0 | 0.0 |
| 015 | SLE rare | No | -0.1140 | -0.1122 | -0.1158 | 0.0000 | 0.0 | 0.0 |
| 016 | SLE rare | No | -0.1490 | -0.1472 | -0.1508 | 0.0000 | 0.0 | 0.0 |

Relazione Geotecnica e delle Fondazioni

| | | | | | | | | |
|-----|----------|----|---------|---------|---------|--------|------|-------|
| 017 | SLE rare | No | -0.1274 | -0.1197 | -0.1324 | 0.0000 | 0.0 | 0.0 |
| 018 | SLE rare | No | -0.1624 | -0.1547 | -0.1674 | 0.0000 | 0.0 | 0.0 |
| 019 | SLE rare | No | -0.1640 | -0.1622 | -0.1658 | 0.0000 | 0.0 | 0.0 |
| 020 | SLE rare | No | -0.1234 | -0.1175 | -0.1274 | 0.0000 | 0.0 | 0.0 |
| 021 | SLE rare | No | -0.1734 | -0.1675 | -0.1774 | 0.0000 | 0.0 | 0.0 |
| 022 | SLE freq | No | -0.1140 | -0.1122 | -0.1158 | 0.0000 | 0.0 | 0.0 |
| 023 | SLE freq | No | -0.1440 | -0.1422 | -0.1458 | 0.0000 | 0.0 | 0.0 |
| 024 | SLE freq | No | -0.1234 | -0.1175 | -0.1274 | 0.0000 | 0.0 | 0.0 |
| 025 | SLE freq | No | -0.1534 | -0.1475 | -0.1574 | 0.0000 | 0.0 | 0.0 |
| 026 | SLE freq | No | -0.1490 | -0.1472 | -0.1508 | 0.0000 | 0.0 | 0.0 |
| 027 | SLE freq | No | -0.1220 | -0.1167 | -0.1258 | 0.0000 | 0.0 | 0.0 |
| 028 | SLE freq | No | -0.1570 | -0.1517 | -0.1608 | 0.0000 | 0.0 | 0.0 |
| 029 | SLE q.p. | No | -0.1140 | -0.1122 | -0.1158 | 0.0000 | 0.0 | 0.0 |
| 030 | SLE q.p. | No | -0.1440 | -0.1422 | -0.1458 | 0.0000 | 0.0 | 0.0 |
| 031 | SLE q.p. | No | -0.1220 | -0.1167 | -0.1258 | 0.0000 | 0.0 | 0.0 |
| 032 | SLE q.p. | No | -0.1520 | -0.1467 | -0.1558 | 0.0000 | 0.0 | 0.0 |
| 033 | SLV A1 | Si | -0.1445 | -0.1375 | -0.1506 | 0.0000 | 8.1 | 2.0 |
| 034 | SLV A1 | Si | -0.1845 | -0.1865 | -0.1847 | 0.0000 | 4.8 | -7.4 |
| 035 | SLV A1 | Si | -0.1196 | -0.1069 | -0.1268 | 0.0000 | -4.8 | 7.4 |
| 036 | SLV A1 | Si | -0.1596 | -0.1558 | -0.1609 | 0.0000 | -8.1 | -2.0 |
| 037 | SLV A1 | Si | -0.1444 | -0.1374 | -0.1506 | 0.0000 | 4.9 | 1.8 |
| 038 | SLV A1 | Si | -0.1846 | -0.1866 | -0.1848 | 0.0000 | 8.0 | -7.2 |
| 039 | SLV A1 | Si | -0.1195 | -0.1068 | -0.1268 | 0.0000 | -8.1 | 7.2 |
| 040 | SLV A1 | Si | -0.1597 | -0.1560 | -0.1609 | 0.0000 | -4.9 | -1.8 |
| 041 | SLV A1 | Si | -0.1517 | -0.1465 | -0.1549 | 0.0000 | 7.7 | 0.5 |
| 042 | SLV A1 | Si | -0.1917 | -0.1954 | -0.1890 | 0.0000 | 4.4 | -8.9 |
| 043 | SLV A1 | Si | -0.1124 | -0.0980 | -0.1225 | 0.0000 | -4.5 | 8.9 |
| 044 | SLV A1 | Si | -0.1524 | -0.1469 | -0.1566 | 0.0000 | -7.8 | -0.5 |
| 045 | SLV A1 | Si | -0.1516 | -0.1463 | -0.1549 | 0.0000 | 4.5 | 0.3 |
| 046 | SLV A1 | Si | -0.1918 | -0.1955 | -0.1891 | 0.0000 | 7.7 | -8.7 |
| 047 | SLV A1 | Si | -0.1123 | -0.0979 | -0.1224 | 0.0000 | -7.7 | 8.7 |
| 048 | SLV A1 | Si | -0.1525 | -0.1471 | -0.1566 | 0.0000 | -4.6 | -0.3 |
| 049 | SLV A1 | Si | -0.0892 | -0.0698 | -0.1025 | 0.0000 | 7.4 | 14.8 |
| 050 | SLV A1 | Si | -0.2224 | -0.2328 | -0.2161 | 0.0000 | -3.6 | -16.4 |
| 051 | SLV A1 | Si | -0.0817 | -0.0606 | -0.0954 | 0.0000 | 3.5 | 16.5 |
| 052 | SLV A1 | Si | -0.2149 | -0.2236 | -0.2090 | 0.0000 | -7.4 | -14.8 |
| 053 | SLV A1 | Si | -0.0913 | -0.0725 | -0.1038 | 0.0000 | 7.3 | 14.4 |
| 054 | SLV A1 | Si | -0.2246 | -0.2355 | -0.2174 | 0.0000 | -3.7 | -16.9 |
| 055 | SLV A1 | Si | -0.0795 | -0.0579 | -0.0941 | 0.0000 | 3.6 | 16.9 |
| 056 | SLV A1 | Si | -0.2128 | -0.2209 | -0.2077 | 0.0000 | -7.3 | -14.4 |
| 057 | SLV A1 | Si | -0.0888 | -0.0693 | -0.1024 | 0.0000 | -3.3 | 14.2 |
| 058 | SLV A1 | Si | -0.2227 | -0.2333 | -0.2163 | 0.0000 | 7.1 | -15.8 |
| 059 | SLV A1 | Si | -0.0813 | -0.0601 | -0.0952 | 0.0000 | -7.2 | 15.8 |
| 060 | SLV A1 | Si | -0.2153 | -0.2241 | -0.2092 | 0.0000 | 3.3 | -14.2 |
| 061 | SLV A1 | Si | -0.0910 | -0.0720 | -0.1037 | 0.0000 | -3.4 | 13.7 |
| 062 | SLV A1 | Si | -0.2249 | -0.2359 | -0.2176 | 0.0000 | 7.0 | -16.2 |
| 063 | SLV A1 | Si | -0.0792 | -0.0575 | -0.0939 | 0.0000 | -7.1 | 16.3 |
| 064 | SLV A1 | Si | -0.2131 | -0.2214 | -0.2079 | 0.0000 | 3.4 | -13.7 |
| 065 | SLD | Si | -0.1486 | -0.1425 | -0.1534 | 0.0000 | 3.6 | 0.9 |
| 066 | SLD | Si | -0.1668 | -0.1648 | -0.1689 | 0.0000 | 2.2 | -3.4 |
| 067 | SLD | Si | -0.1373 | -0.1286 | -0.1426 | 0.0000 | -2.2 | 3.4 |
| 068 | SLD | Si | -0.1555 | -0.1509 | -0.1581 | 0.0000 | -3.7 | -0.9 |
| 069 | SLD | Si | -0.1485 | -0.1424 | -0.1534 | 0.0000 | 2.2 | 0.8 |
| 070 | SLD | Si | -0.1669 | -0.1649 | -0.1690 | 0.0000 | 3.6 | -3.3 |
| 071 | SLD | Si | -0.1372 | -0.1285 | -0.1426 | 0.0000 | -3.6 | 3.3 |
| 072 | SLD | Si | -0.1556 | -0.1510 | -0.1582 | 0.0000 | -2.2 | -0.8 |
| 073 | SLD | Si | -0.1519 | -0.1466 | -0.1554 | 0.0000 | 3.5 | 0.2 |
| 074 | SLD | Si | -0.1701 | -0.1689 | -0.1709 | 0.0000 | 2.0 | -4.1 |
| 075 | SLD | Si | -0.1340 | -0.1245 | -0.1406 | 0.0000 | -2.0 | 4.1 |
| 076 | SLD | Si | -0.1522 | -0.1468 | -0.1562 | 0.0000 | -3.5 | -0.2 |
| 077 | SLD | Si | -0.1518 | -0.1465 | -0.1553 | 0.0000 | 2.0 | 0.1 |
| 078 | SLD | Si | -0.1702 | -0.1689 | -0.1709 | 0.0000 | 3.4 | -4.0 |
| 079 | SLD | Si | -0.1339 | -0.1245 | -0.1406 | 0.0000 | -3.5 | 4.0 |
| 080 | SLD | Si | -0.1523 | -0.1469 | -0.1562 | 0.0000 | -2.1 | -0.1 |
| 081 | SLD | Si | -0.1233 | -0.1116 | -0.1315 | 0.0000 | 3.3 | 6.8 |
| 082 | SLD | Si | -0.1841 | -0.1860 | -0.1833 | 0.0000 | -1.6 | -7.5 |
| 083 | SLD | Si | -0.1199 | -0.1074 | -0.1282 | 0.0000 | 1.6 | 7.5 |
| 084 | SLD | Si | -0.1808 | -0.1818 | -0.1801 | 0.0000 | -3.4 | -6.8 |
| 085 | SLD | Si | -0.1243 | -0.1128 | -0.1321 | 0.0000 | 3.3 | 6.6 |
| 086 | SLD | Si | -0.1851 | -0.1872 | -0.1839 | 0.0000 | -1.7 | -7.7 |
| 087 | SLD | Si | -0.1190 | -0.1062 | -0.1276 | 0.0000 | 1.6 | 7.7 |
| 088 | SLD | Si | -0.1798 | -0.1806 | -0.1795 | 0.0000 | -3.3 | -6.6 |
| 089 | SLD | Si | -0.1232 | -0.1114 | -0.1314 | 0.0000 | -1.5 | 6.5 |
| 090 | SLD | Si | -0.1843 | -0.1862 | -0.1834 | 0.0000 | 3.2 | -7.2 |

| | | | |
|--------------------------------------|----------------------------------------------------------------------------------------------------------------------|----------------------------------------------------------------------------------|-------------|
| COMMITTENTE: Mecca Antonio | CODICE COMMESSA: | NOME ELABORATO: S1.5 - Relazione Geotecnica e delle Fondazioni | CONSULENTE: |
| DATA: Aprile 2023 | TITOLO: Lavori ultimazione di un fabbricato adibito ad albergo-ristorante- C.da Case Nuove Chicone Avigliano (PZ) | | |

| | | | | | | | | |
|-----|-----|----|---------|---------|---------|--------|------|------|
| 091 | SLD | Si | -0.1198 | -0.1072 | -0.1282 | 0.0000 | -3.3 | 7.2 |
| 092 | SLD | Si | -0.1809 | -0.1820 | -0.1801 | 0.0000 | 1.5 | -6.5 |
| 093 | SLD | Si | -0.1242 | -0.1126 | -0.1320 | 0.0000 | -1.5 | 6.3 |
| 094 | SLD | Si | -0.1853 | -0.1874 | -0.1840 | 0.0000 | 3.2 | -7.4 |
| 095 | SLD | Si | -0.1188 | -0.1060 | -0.1276 | 0.0000 | -3.2 | 7.4 |
| 096 | SLD | Si | -0.1799 | -0.1808 | -0.1795 | 0.0000 | 1.5 | -6.3 |
| 097 | SLO | Si | -0.1494 | -0.1434 | -0.1539 | 0.0000 | 2.9 | 0.7 |
| 098 | SLO | Si | -0.1637 | -0.1610 | -0.1661 | 0.0000 | 1.7 | -2.6 |
| 099 | SLO | Si | -0.1404 | -0.1324 | -0.1454 | 0.0000 | -1.7 | 2.7 |
| 100 | SLO | Si | -0.1547 | -0.1500 | -0.1576 | 0.0000 | -2.9 | -0.7 |
| 101 | SLO | Si | -0.1492 | -0.1433 | -0.1538 | 0.0000 | 1.7 | 0.7 |
| 102 | SLO | Si | -0.1638 | -0.1611 | -0.1662 | 0.0000 | 2.9 | -2.6 |
| 103 | SLO | Si | -0.1403 | -0.1323 | -0.1453 | 0.0000 | -2.9 | 2.6 |
| 104 | SLO | Si | -0.1548 | -0.1501 | -0.1577 | 0.0000 | -1.8 | -0.6 |
| 105 | SLO | Si | -0.1520 | -0.1466 | -0.1555 | 0.0000 | 2.8 | 0.2 |
| 106 | SLO | Si | -0.1663 | -0.1642 | -0.1677 | 0.0000 | 1.6 | -3.2 |
| 107 | SLO | Si | -0.1378 | -0.1292 | -0.1438 | 0.0000 | -1.6 | 3.2 |
| 108 | SLO | Si | -0.1521 | -0.1468 | -0.1560 | 0.0000 | -2.8 | -0.2 |
| 109 | SLO | Si | -0.1518 | -0.1465 | -0.1554 | 0.0000 | 1.6 | 0.1 |
| 110 | SLO | Si | -0.1664 | -0.1643 | -0.1678 | 0.0000 | 2.7 | -3.1 |
| 111 | SLO | Si | -0.1377 | -0.1291 | -0.1437 | 0.0000 | -2.8 | 3.1 |
| 112 | SLO | Si | -0.1523 | -0.1469 | -0.1561 | 0.0000 | -1.6 | -0.1 |
| 113 | SLO | Si | -0.1295 | -0.1192 | -0.1367 | 0.0000 | 2.6 | 5.3 |
| 114 | SLO | Si | -0.1772 | -0.1775 | -0.1774 | 0.0000 | -1.3 | -5.9 |
| 115 | SLO | Si | -0.1268 | -0.1158 | -0.1341 | 0.0000 | 1.2 | 5.9 |
| 116 | SLO | Si | -0.1746 | -0.1742 | -0.1748 | 0.0000 | -2.7 | -5.3 |
| 117 | SLO | Si | -0.1303 | -0.1201 | -0.1372 | 0.0000 | 2.6 | 5.2 |
| 118 | SLO | Si | -0.1780 | -0.1785 | -0.1778 | 0.0000 | -1.3 | -6.0 |
| 119 | SLO | Si | -0.1261 | -0.1149 | -0.1337 | 0.0000 | 1.3 | 6.1 |
| 120 | SLO | Si | -0.1738 | -0.1733 | -0.1744 | 0.0000 | -2.6 | -5.1 |
| 121 | SLO | Si | -0.1291 | -0.1186 | -0.1364 | 0.0000 | -1.2 | 5.1 |
| 122 | SLO | Si | -0.1776 | -0.1780 | -0.1777 | 0.0000 | 2.5 | -5.7 |
| 123 | SLO | Si | -0.1264 | -0.1153 | -0.1338 | 0.0000 | -2.6 | 5.7 |
| 124 | SLO | Si | -0.1750 | -0.1747 | -0.1751 | 0.0000 | 1.2 | -5.1 |
| 125 | SLO | Si | -0.1299 | -0.1196 | -0.1369 | 0.0000 | -1.2 | 5.0 |
| 126 | SLO | Si | -0.1784 | -0.1790 | -0.1781 | 0.0000 | 2.5 | -5.9 |
| 127 | SLO | Si | -0.1257 | -0.1144 | -0.1334 | 0.0000 | -2.5 | 5.9 |
| 128 | SLO | Si | -0.1742 | -0.1738 | -0.1746 | 0.0000 | 1.2 | -5.0 |

Elemento: Platea n. 10

| Cmb | Tipo | Sism. | Press. N1 | Press. N2 | Press. N3 | Press. N4 | S. Taglio X | S. Taglio Y |
|-----|----------|-------|---------------------|---------------------|---------------------|---------------------|-------------|-------------|
| n. | | | daN/cm ² | daN/cm ² | daN/cm ² | daN/cm ² | daN | daN |
| 001 | SLU STR | No | -0.1660 | -0.1629 | -0.1646 | 0.0000 | 0.0 | 0.0 |
| 002 | SLU STR | No | -0.2185 | -0.2154 | -0.2171 | 0.0000 | 0.0 | 0.0 |
| 003 | SLU STR | No | -0.2368 | -0.2243 | -0.2312 | 0.0000 | -0.1 | 0.0 |
| 004 | SLU STR | No | -0.2893 | -0.2768 | -0.2837 | 0.0000 | -0.1 | 0.0 |
| 005 | SLU STR | No | -0.1227 | -0.1205 | -0.1217 | 0.0000 | 0.0 | 0.0 |
| 006 | SLU STR | No | -0.1752 | -0.1730 | -0.1742 | 0.0000 | 0.0 | 0.0 |
| 007 | SLU STR | No | -0.1936 | -0.1820 | -0.1883 | 0.0000 | -0.1 | 0.0 |
| 008 | SLU STR | No | -0.2461 | -0.2345 | -0.2408 | 0.0000 | -0.1 | 0.0 |
| 009 | SLU STR | No | -0.2410 | -0.2379 | -0.2396 | 0.0000 | 0.0 | 0.0 |
| 010 | SLU STR | No | -0.2155 | -0.2059 | -0.2112 | 0.0000 | 0.0 | 0.0 |
| 011 | SLU STR | No | -0.2905 | -0.2809 | -0.2862 | 0.0000 | 0.0 | 0.0 |
| 012 | SLU STR | No | -0.1977 | -0.1955 | -0.1967 | 0.0000 | 0.0 | 0.0 |
| 013 | SLU STR | No | -0.1723 | -0.1635 | -0.1684 | 0.0000 | 0.0 | 0.0 |
| 014 | SLU STR | No | -0.2473 | -0.2385 | -0.2434 | 0.0000 | 0.0 | 0.0 |
| 015 | SLE rare | No | -0.1255 | -0.1232 | -0.1245 | 0.0000 | 0.0 | 0.0 |
| 016 | SLE rare | No | -0.1605 | -0.1582 | -0.1595 | 0.0000 | 0.0 | 0.0 |
| 017 | SLE rare | No | -0.1727 | -0.1642 | -0.1689 | 0.0000 | 0.0 | 0.0 |
| 018 | SLE rare | No | -0.2077 | -0.1992 | -0.2039 | 0.0000 | 0.0 | 0.0 |
| 019 | SLE rare | No | -0.1755 | -0.1732 | -0.1745 | 0.0000 | 0.0 | 0.0 |
| 020 | SLE rare | No | -0.1586 | -0.1519 | -0.1556 | 0.0000 | 0.0 | 0.0 |
| 021 | SLE rare | No | -0.2086 | -0.2019 | -0.2056 | 0.0000 | 0.0 | 0.0 |
| 022 | SLE freq | No | -0.1255 | -0.1232 | -0.1245 | 0.0000 | 0.0 | 0.0 |
| 023 | SLE freq | No | -0.1555 | -0.1532 | -0.1545 | 0.0000 | 0.0 | 0.0 |
| 024 | SLE freq | No | -0.1586 | -0.1519 | -0.1556 | 0.0000 | 0.0 | 0.0 |
| 025 | SLE freq | No | -0.1886 | -0.1819 | -0.1856 | 0.0000 | 0.0 | 0.0 |
| 026 | SLE freq | No | -0.1605 | -0.1582 | -0.1595 | 0.0000 | 0.0 | 0.0 |
| 027 | SLE freq | No | -0.1539 | -0.1478 | -0.1511 | 0.0000 | 0.0 | 0.0 |
| 028 | SLE freq | No | -0.1889 | -0.1828 | -0.1861 | 0.0000 | 0.0 | 0.0 |
| 029 | SLE q.p. | No | -0.1255 | -0.1232 | -0.1245 | 0.0000 | 0.0 | 0.0 |

Relazione Geotecnica e delle Fondazioni

| | | | | | | | | |
|-----|----------|----|---------|---------|---------|--------|-------|-------|
| 030 | SLE q.p. | No | -0.1555 | -0.1532 | -0.1545 | 0.0000 | 0.0 | 0.0 |
| 031 | SLE q.p. | No | -0.1539 | -0.1478 | -0.1511 | 0.0000 | 0.0 | 0.0 |
| 032 | SLE q.p. | No | -0.1839 | -0.1778 | -0.1811 | 0.0000 | 0.0 | 0.0 |
| 033 | SLV A1 | Si | -0.1799 | -0.1659 | -0.1800 | 0.0000 | 11.7 | 14.6 |
| 034 | SLV A1 | Si | -0.1558 | -0.1534 | -0.1606 | 0.0000 | 16.1 | 8.0 |
| 035 | SLV A1 | Si | -0.2119 | -0.2022 | -0.2017 | 0.0000 | -16.2 | -8.0 |
| 036 | SLV A1 | Si | -0.1878 | -0.1897 | -0.1822 | 0.0000 | -11.7 | -14.5 |
| 037 | SLV A1 | Si | -0.1798 | -0.1658 | -0.1800 | 0.0000 | 16.1 | 14.7 |
| 038 | SLV A1 | Si | -0.1559 | -0.1535 | -0.1606 | 0.0000 | 11.7 | 7.9 |
| 039 | SLV A1 | Si | -0.2118 | -0.2021 | -0.2016 | 0.0000 | -11.8 | -7.8 |
| 040 | SLV A1 | Si | -0.1879 | -0.1898 | -0.1822 | 0.0000 | -16.1 | -14.7 |
| 041 | SLV A1 | Si | -0.1799 | -0.1667 | -0.1795 | 0.0000 | 12.2 | 16.5 |
| 042 | SLV A1 | Si | -0.1558 | -0.1543 | -0.1601 | 0.0000 | 16.6 | 10.0 |
| 043 | SLV A1 | Si | -0.2119 | -0.2013 | -0.2022 | 0.0000 | -16.7 | -10.0 |
| 044 | SLV A1 | Si | -0.1878 | -0.1889 | -0.1827 | 0.0000 | -12.2 | -16.5 |
| 045 | SLV A1 | Si | -0.1798 | -0.1667 | -0.1795 | 0.0000 | 16.6 | 16.7 |
| 046 | SLV A1 | Si | -0.1559 | -0.1543 | -0.1601 | 0.0000 | 12.2 | 9.8 |
| 047 | SLV A1 | Si | -0.2118 | -0.2012 | -0.2021 | 0.0000 | -12.3 | -9.8 |
| 048 | SLV A1 | Si | -0.1879 | -0.1889 | -0.1827 | 0.0000 | -16.6 | -16.7 |
| 049 | SLV A1 | Si | -0.2192 | -0.1931 | -0.2103 | 0.0000 | -3.2 | 14.3 |
| 050 | SLV A1 | Si | -0.1389 | -0.1516 | -0.1454 | 0.0000 | 11.5 | -7.5 |
| 051 | SLV A1 | Si | -0.2288 | -0.2040 | -0.2168 | 0.0000 | -11.6 | 7.5 |
| 052 | SLV A1 | Si | -0.1485 | -0.1625 | -0.1519 | 0.0000 | 3.2 | -14.2 |
| 053 | SLV A1 | Si | -0.2192 | -0.1933 | -0.2102 | 0.0000 | -3.1 | 14.8 |
| 054 | SLV A1 | Si | -0.1389 | -0.1519 | -0.1453 | 0.0000 | 11.7 | -6.9 |
| 055 | SLV A1 | Si | -0.2288 | -0.2037 | -0.2170 | 0.0000 | -11.7 | 6.9 |
| 056 | SLV A1 | Si | -0.1485 | -0.1622 | -0.1521 | 0.0000 | 3.0 | -14.8 |
| 057 | SLV A1 | Si | -0.2189 | -0.1929 | -0.2102 | 0.0000 | 11.3 | 14.9 |
| 058 | SLV A1 | Si | -0.1392 | -0.1518 | -0.1455 | 0.0000 | -3.0 | -8.1 |
| 059 | SLV A1 | Si | -0.2285 | -0.2038 | -0.2167 | 0.0000 | 3.0 | 8.1 |
| 060 | SLV A1 | Si | -0.1488 | -0.1627 | -0.1520 | 0.0000 | -11.4 | -14.9 |
| 061 | SLV A1 | Si | -0.2189 | -0.1932 | -0.2101 | 0.0000 | 11.5 | 15.5 |
| 062 | SLV A1 | Si | -0.1392 | -0.1521 | -0.1454 | 0.0000 | -2.9 | -7.5 |
| 063 | SLV A1 | Si | -0.2285 | -0.2035 | -0.2169 | 0.0000 | 2.8 | 7.5 |
| 064 | SLV A1 | Si | -0.1488 | -0.1624 | -0.1522 | 0.0000 | -11.5 | -15.4 |
| 065 | SLD | Si | -0.1821 | -0.1724 | -0.1807 | 0.0000 | 5.3 | 6.6 |
| 066 | SLD | Si | -0.1711 | -0.1667 | -0.1718 | 0.0000 | 7.3 | 3.6 |
| 067 | SLD | Si | -0.1966 | -0.1888 | -0.1905 | 0.0000 | -7.3 | -3.6 |
| 068 | SLD | Si | -0.1856 | -0.1832 | -0.1816 | 0.0000 | -5.3 | -6.6 |
| 069 | SLD | Si | -0.1821 | -0.1724 | -0.1806 | 0.0000 | 7.3 | 6.7 |
| 070 | SLD | Si | -0.1712 | -0.1668 | -0.1718 | 0.0000 | 5.3 | 3.6 |
| 071 | SLD | Si | -0.1966 | -0.1888 | -0.1904 | 0.0000 | -5.4 | -3.5 |
| 072 | SLD | Si | -0.1856 | -0.1832 | -0.1816 | 0.0000 | -7.3 | -6.7 |
| 073 | SLD | Si | -0.1821 | -0.1728 | -0.1804 | 0.0000 | 5.5 | 7.5 |
| 074 | SLD | Si | -0.1711 | -0.1671 | -0.1715 | 0.0000 | 7.5 | 4.5 |
| 075 | SLD | Si | -0.1966 | -0.1885 | -0.1907 | 0.0000 | -7.6 | -4.5 |
| 076 | SLD | Si | -0.1856 | -0.1828 | -0.1818 | 0.0000 | -5.6 | -7.5 |
| 077 | SLD | Si | -0.1821 | -0.1728 | -0.1804 | 0.0000 | 7.5 | 7.6 |
| 078 | SLD | Si | -0.1711 | -0.1671 | -0.1715 | 0.0000 | 5.5 | 4.4 |
| 079 | SLD | Si | -0.1966 | -0.1884 | -0.1907 | 0.0000 | -5.6 | -4.4 |
| 080 | SLD | Si | -0.1857 | -0.1828 | -0.1818 | 0.0000 | -7.5 | -7.6 |
| 081 | SLD | Si | -0.2000 | -0.1848 | -0.1944 | 0.0000 | -1.5 | 6.4 |
| 082 | SLD | Si | -0.1634 | -0.1659 | -0.1648 | 0.0000 | 5.2 | -3.4 |
| 083 | SLD | Si | -0.2043 | -0.1897 | -0.1974 | 0.0000 | -5.3 | 3.4 |
| 084 | SLD | Si | -0.1677 | -0.1708 | -0.1678 | 0.0000 | 1.4 | -6.4 |
| 085 | SLD | Si | -0.2000 | -0.1849 | -0.1944 | 0.0000 | -1.4 | 6.7 |
| 086 | SLD | Si | -0.1634 | -0.1660 | -0.1648 | 0.0000 | 5.3 | -3.1 |
| 087 | SLD | Si | -0.2043 | -0.1896 | -0.1975 | 0.0000 | -5.3 | 3.1 |
| 088 | SLD | Si | -0.1677 | -0.1707 | -0.1679 | 0.0000 | 1.4 | -6.7 |
| 089 | SLD | Si | -0.1999 | -0.1847 | -0.1944 | 0.0000 | 5.1 | 6.7 |
| 090 | SLD | Si | -0.1635 | -0.1660 | -0.1649 | 0.0000 | -1.4 | -3.6 |
| 091 | SLD | Si | -0.2042 | -0.1896 | -0.1973 | 0.0000 | 1.3 | 3.7 |
| 092 | SLD | Si | -0.1678 | -0.1709 | -0.1678 | 0.0000 | -5.2 | -6.7 |
| 093 | SLD | Si | -0.1999 | -0.1848 | -0.1943 | 0.0000 | 5.2 | 7.0 |
| 094 | SLD | Si | -0.1635 | -0.1661 | -0.1648 | 0.0000 | -1.3 | -3.4 |
| 095 | SLD | Si | -0.2042 | -0.1895 | -0.1974 | 0.0000 | 1.3 | 3.4 |
| 096 | SLD | Si | -0.1678 | -0.1708 | -0.1679 | 0.0000 | -5.3 | -7.0 |
| 097 | SLO | Si | -0.1824 | -0.1735 | -0.1807 | 0.0000 | 4.2 | 5.2 |
| 098 | SLO | Si | -0.1738 | -0.1690 | -0.1737 | 0.0000 | 5.8 | 2.9 |
| 099 | SLO | Si | -0.1939 | -0.1865 | -0.1885 | 0.0000 | -5.8 | -2.9 |
| 100 | SLO | Si | -0.1853 | -0.1821 | -0.1815 | 0.0000 | -4.2 | -5.2 |
| 101 | SLO | Si | -0.1824 | -0.1735 | -0.1807 | 0.0000 | 5.8 | 5.3 |
| 102 | SLO | Si | -0.1738 | -0.1690 | -0.1737 | 0.0000 | 4.2 | 2.8 |
| 103 | SLO | Si | -0.1939 | -0.1865 | -0.1885 | 0.0000 | -4.3 | -2.8 |

| | | | |
|--------------------------------------|------------------------------------------------------------------------------------------------------------------------------|----------------------------------------------------------------------------------|-------------|
| COMMITTENTE: Mecca Antonio | CODICE COMMESSA: | NOME ELABORATO: S1.5 - Relazione Geotecnica e delle Fondazioni | CONSULENTE: |
| DATA: Aprile 2023 | TITOLO: Lavori ultimazione di un fabbricato adibito ad albergo-ristorante- C.da Case Nuove Chicone Avigliano (PZ) | | |

| | | | | | | | | |
|-----|-----|----|---------|---------|---------|--------|------|------|
| 104 | SLO | Si | -0.1853 | -0.1821 | -0.1815 | 0.0000 | -5.8 | -5.3 |
| 105 | SLO | Si | -0.1824 | -0.1738 | -0.1805 | 0.0000 | 4.4 | 5.9 |
| 106 | SLO | Si | -0.1738 | -0.1693 | -0.1736 | 0.0000 | 6.0 | 3.6 |
| 107 | SLO | Si | -0.1939 | -0.1862 | -0.1887 | 0.0000 | -6.0 | -3.6 |
| 108 | SLO | Si | -0.1853 | -0.1818 | -0.1817 | 0.0000 | -4.4 | -5.9 |
| 109 | SLO | Si | -0.1824 | -0.1738 | -0.1806 | 0.0000 | 5.9 | 6.0 |
| 110 | SLO | Si | -0.1738 | -0.1693 | -0.1735 | 0.0000 | 4.4 | 3.5 |
| 111 | SLO | Si | -0.1939 | -0.1862 | -0.1887 | 0.0000 | -4.4 | -3.5 |
| 112 | SLO | Si | -0.1853 | -0.1818 | -0.1817 | 0.0000 | -6.0 | -6.0 |
| 113 | SLO | Si | -0.1965 | -0.1833 | -0.1916 | 0.0000 | -1.2 | 5.1 |
| 114 | SLO | Si | -0.1678 | -0.1684 | -0.1683 | 0.0000 | 4.1 | -2.7 |
| 115 | SLO | Si | -0.1999 | -0.1872 | -0.1939 | 0.0000 | -4.2 | 2.7 |
| 116 | SLO | Si | -0.1712 | -0.1723 | -0.1707 | 0.0000 | 1.1 | -5.1 |
| 117 | SLO | Si | -0.1965 | -0.1834 | -0.1915 | 0.0000 | -1.1 | 5.3 |
| 118 | SLO | Si | -0.1678 | -0.1685 | -0.1683 | 0.0000 | 4.2 | -2.4 |
| 119 | SLO | Si | -0.1999 | -0.1871 | -0.1940 | 0.0000 | -4.2 | 2.5 |
| 120 | SLO | Si | -0.1712 | -0.1722 | -0.1707 | 0.0000 | 1.1 | -5.3 |
| 121 | SLO | Si | -0.1966 | -0.1833 | -0.1917 | 0.0000 | 4.1 | 5.3 |
| 122 | SLO | Si | -0.1677 | -0.1684 | -0.1682 | 0.0000 | -1.1 | -2.9 |
| 123 | SLO | Si | -0.2000 | -0.1872 | -0.1940 | 0.0000 | 1.1 | 2.9 |
| 124 | SLO | Si | -0.1711 | -0.1723 | -0.1706 | 0.0000 | -4.1 | -5.3 |
| 125 | SLO | Si | -0.1966 | -0.1834 | -0.1916 | 0.0000 | 4.1 | 5.5 |
| 126 | SLO | Si | -0.1677 | -0.1685 | -0.1682 | 0.0000 | -1.1 | -2.7 |
| 127 | SLO | Si | -0.2000 | -0.1871 | -0.1941 | 0.0000 | 1.0 | 2.7 |
| 128 | SLO | Si | -0.1711 | -0.1722 | -0.1706 | 0.0000 | -4.2 | -5.5 |

Elemento: Platea n. 11

| Cmb | Tipo | Sism. | Press. N1 | Press. N2 | Press. N3 | Press. N4 | S. Taglio X | S. Taglio Y |
|-----|----------|-------|---------------------|---------------------|---------------------|---------------------|-------------|-------------|
| n. | | | daN/cm ² | daN/cm ² | daN/cm ² | daN/cm ² | daN | daN |
| 001 | SLU STR | No | -0.1496 | -0.1502 | -0.1550 | -0.1545 | 0.0 | 0.0 |
| 002 | SLU STR | No | -0.2021 | -0.2027 | -0.2075 | -0.2070 | 0.0 | 0.0 |
| 003 | SLU STR | No | -0.1556 | -0.1545 | -0.1727 | -0.1744 | -0.1 | -0.2 |
| 004 | SLU STR | No | -0.2081 | -0.2070 | -0.2252 | -0.2269 | -0.1 | -0.2 |
| 005 | SLU STR | No | -0.1114 | -0.1119 | -0.1153 | -0.1149 | 0.0 | 0.0 |
| 006 | SLU STR | No | -0.1639 | -0.1644 | -0.1678 | -0.1674 | 0.0 | 0.0 |
| 007 | SLU STR | No | -0.1175 | -0.1162 | -0.1331 | -0.1348 | -0.1 | -0.2 |
| 008 | SLU STR | No | -0.1700 | -0.1687 | -0.1856 | -0.1873 | -0.1 | -0.2 |
| 009 | SLU STR | No | -0.2246 | -0.2252 | -0.2300 | -0.2295 | 0.0 | 0.0 |
| 010 | SLU STR | No | -0.1538 | -0.1533 | -0.1674 | -0.1684 | -0.1 | -0.1 |
| 011 | SLU STR | No | -0.2288 | -0.2283 | -0.2424 | -0.2434 | -0.1 | -0.1 |
| 012 | SLU STR | No | -0.1864 | -0.1869 | -0.1903 | -0.1899 | 0.0 | 0.0 |
| 013 | SLU STR | No | -0.1156 | -0.1150 | -0.1277 | -0.1289 | -0.1 | -0.1 |
| 014 | SLU STR | No | -0.1906 | -0.1900 | -0.2027 | -0.2039 | -0.1 | -0.1 |
| 015 | SLE rare | No | -0.1135 | -0.1140 | -0.1175 | -0.1171 | 0.0 | 0.0 |
| 016 | SLE rare | No | -0.1485 | -0.1490 | -0.1525 | -0.1521 | 0.0 | 0.0 |
| 017 | SLE rare | No | -0.1175 | -0.1169 | -0.1293 | -0.1304 | -0.1 | -0.1 |
| 018 | SLE rare | No | -0.1525 | -0.1519 | -0.1643 | -0.1654 | -0.1 | -0.1 |
| 019 | SLE rare | No | -0.1635 | -0.1640 | -0.1675 | -0.1671 | 0.0 | 0.0 |
| 020 | SLE rare | No | -0.1163 | -0.1160 | -0.1258 | -0.1264 | 0.0 | -0.1 |
| 021 | SLE rare | No | -0.1663 | -0.1660 | -0.1758 | -0.1764 | 0.0 | -0.1 |
| 022 | SLE freq | No | -0.1135 | -0.1140 | -0.1175 | -0.1171 | 0.0 | 0.0 |
| 023 | SLE freq | No | -0.1435 | -0.1440 | -0.1475 | -0.1471 | 0.0 | 0.0 |
| 024 | SLE freq | No | -0.1163 | -0.1160 | -0.1258 | -0.1264 | 0.0 | -0.1 |
| 025 | SLE freq | No | -0.1463 | -0.1460 | -0.1558 | -0.1564 | 0.0 | -0.1 |
| 026 | SLE freq | No | -0.1485 | -0.1490 | -0.1525 | -0.1521 | 0.0 | 0.0 |
| 027 | SLE freq | No | -0.1159 | -0.1157 | -0.1246 | -0.1251 | 0.0 | -0.1 |
| 028 | SLE freq | No | -0.1509 | -0.1507 | -0.1596 | -0.1601 | 0.0 | -0.1 |
| 029 | SLE q.p. | No | -0.1135 | -0.1140 | -0.1175 | -0.1171 | 0.0 | 0.0 |
| 030 | SLE q.p. | No | -0.1435 | -0.1440 | -0.1475 | -0.1471 | 0.0 | 0.0 |
| 031 | SLE q.p. | No | -0.1159 | -0.1157 | -0.1246 | -0.1251 | 0.0 | -0.1 |
| 032 | SLE q.p. | No | -0.1459 | -0.1457 | -0.1546 | -0.1551 | 0.0 | -0.1 |
| 033 | SLV A1 | Si | -0.1402 | -0.1424 | -0.1591 | -0.1569 | 22.3 | -0.8 |
| 034 | SLV A1 | Si | -0.1904 | -0.1932 | -0.1965 | -0.1931 | 13.1 | -37.7 |
| 035 | SLV A1 | Si | -0.1014 | -0.0982 | -0.1127 | -0.1171 | -13.2 | 37.5 |
| 036 | SLV A1 | Si | -0.1516 | -0.1490 | -0.1502 | -0.1533 | -22.3 | 0.6 |
| 037 | SLV A1 | Si | -0.1402 | -0.1425 | -0.1592 | -0.1569 | 13.3 | -2.0 |
| 038 | SLV A1 | Si | -0.1904 | -0.1932 | -0.1964 | -0.1930 | 22.0 | -36.4 |
| 039 | SLV A1 | Si | -0.1014 | -0.0983 | -0.1129 | -0.1172 | -22.1 | 36.3 |
| 040 | SLV A1 | Si | -0.1516 | -0.1489 | -0.1500 | -0.1533 | -13.4 | 1.8 |
| 041 | SLV A1 | Si | -0.1451 | -0.1461 | -0.1596 | -0.1580 | 21.2 | -5.3 |
| 042 | SLV A1 | Si | -0.1953 | -0.1969 | -0.1970 | -0.1942 | 12.1 | -42.3 |

Relazione Geotecnica e delle Fondazioni

| | | | | | | | | |
|-----|--------|----|---------|---------|---------|---------|-------|-------|
| 043 | SLV A1 | Si | -0.0965 | -0.0945 | -0.1122 | -0.1160 | -12.2 | 42.1 |
| 044 | SLV A1 | Si | -0.1467 | -0.1453 | -0.1496 | -0.1522 | -21.3 | 5.1 |
| 045 | SLV A1 | Si | -0.1451 | -0.1462 | -0.1597 | -0.1581 | 12.3 | -6.6 |
| 046 | SLV A1 | Si | -0.1953 | -0.1968 | -0.1969 | -0.1941 | 21.0 | -41.0 |
| 047 | SLV A1 | Si | -0.0965 | -0.0946 | -0.1123 | -0.1161 | -21.1 | 40.8 |
| 048 | SLV A1 | Si | -0.1467 | -0.1453 | -0.1495 | -0.1522 | -12.4 | 6.4 |
| 049 | SLV A1 | Si | -0.0681 | -0.0677 | -0.0992 | -0.1007 | 20.6 | 55.7 |
| 050 | SLV A1 | Si | -0.2354 | -0.2370 | -0.2239 | -0.2214 | -10.0 | -67.4 |
| 051 | SLV A1 | Si | -0.0564 | -0.0545 | -0.0853 | -0.0888 | 9.9 | 67.2 |
| 052 | SLV A1 | Si | -0.2237 | -0.2237 | -0.2100 | -0.2095 | -20.6 | -55.9 |
| 053 | SLV A1 | Si | -0.0695 | -0.0688 | -0.0994 | -0.1010 | 20.3 | 54.4 |
| 054 | SLV A1 | Si | -0.2368 | -0.2381 | -0.2241 | -0.2217 | -10.3 | -68.8 |
| 055 | SLV A1 | Si | -0.0549 | -0.0534 | -0.0852 | -0.0885 | 10.2 | 68.6 |
| 056 | SLV A1 | Si | -0.2222 | -0.2226 | -0.2098 | -0.2092 | -20.3 | -54.5 |
| 057 | SLV A1 | Si | -0.0681 | -0.0679 | -0.0996 | -0.1009 | -9.3 | 51.5 |
| 058 | SLV A1 | Si | -0.2354 | -0.2368 | -0.2235 | -0.2212 | 19.8 | -63.2 |
| 059 | SLV A1 | Si | -0.0564 | -0.0546 | -0.0857 | -0.0890 | -19.9 | 63.0 |
| 060 | SLV A1 | Si | -0.2237 | -0.2235 | -0.2096 | -0.2093 | 9.2 | -51.7 |
| 061 | SLV A1 | Si | -0.0695 | -0.0690 | -0.0997 | -0.1013 | -9.6 | 50.2 |
| 062 | SLV A1 | Si | -0.2368 | -0.2379 | -0.2237 | -0.2215 | 19.5 | -64.6 |
| 063 | SLV A1 | Si | -0.0549 | -0.0535 | -0.0855 | -0.0887 | -19.6 | 64.4 |
| 064 | SLV A1 | Si | -0.2222 | -0.2224 | -0.2095 | -0.2089 | 9.5 | -50.3 |
| 065 | SLD | Si | -0.1432 | -0.1442 | -0.1566 | -0.1558 | 10.0 | -0.3 |
| 066 | SLD | Si | -0.1661 | -0.1673 | -0.1736 | -0.1724 | 5.9 | -17.2 |
| 067 | SLD | Si | -0.1256 | -0.1241 | -0.1356 | -0.1378 | -5.9 | 17.0 |
| 068 | SLD | Si | -0.1486 | -0.1473 | -0.1527 | -0.1544 | -10.1 | 0.2 |
| 069 | SLD | Si | -0.1432 | -0.1442 | -0.1566 | -0.1559 | 6.0 | -0.9 |
| 070 | SLD | Si | -0.1661 | -0.1673 | -0.1736 | -0.1723 | 9.9 | -16.6 |
| 071 | SLD | Si | -0.1256 | -0.1241 | -0.1356 | -0.1379 | -10.0 | 16.4 |
| 072 | SLD | Si | -0.1485 | -0.1473 | -0.1526 | -0.1543 | -6.0 | 0.7 |
| 073 | SLD | Si | -0.1455 | -0.1459 | -0.1568 | -0.1564 | 9.6 | -2.4 |
| 074 | SLD | Si | -0.1684 | -0.1690 | -0.1739 | -0.1729 | 5.4 | -19.3 |
| 075 | SLD | Si | -0.1234 | -0.1224 | -0.1353 | -0.1373 | -5.5 | 19.1 |
| 076 | SLD | Si | -0.1463 | -0.1456 | -0.1524 | -0.1538 | -9.6 | 2.3 |
| 077 | SLD | Si | -0.1455 | -0.1459 | -0.1569 | -0.1564 | 5.5 | -3.0 |
| 078 | SLD | Si | -0.1684 | -0.1690 | -0.1739 | -0.1729 | 9.5 | -18.7 |
| 079 | SLD | Si | -0.1234 | -0.1224 | -0.1354 | -0.1373 | -9.5 | 18.5 |
| 080 | SLD | Si | -0.1463 | -0.1455 | -0.1523 | -0.1538 | -5.6 | 2.8 |
| 081 | SLD | Si | -0.1103 | -0.1101 | -0.1293 | -0.1303 | 9.3 | 25.4 |
| 082 | SLD | Si | -0.1867 | -0.1874 | -0.1862 | -0.1853 | -4.5 | -30.8 |
| 083 | SLD | Si | -0.1051 | -0.1041 | -0.1230 | -0.1249 | 4.5 | 30.6 |
| 084 | SLD | Si | -0.1814 | -0.1813 | -0.1799 | -0.1799 | -9.3 | -25.6 |
| 085 | SLD | Si | -0.1110 | -0.1106 | -0.1294 | -0.1304 | 9.1 | 24.8 |
| 086 | SLD | Si | -0.1874 | -0.1879 | -0.1863 | -0.1855 | -4.7 | -31.4 |
| 087 | SLD | Si | -0.1044 | -0.1036 | -0.1229 | -0.1247 | 4.6 | 31.3 |
| 088 | SLD | Si | -0.1808 | -0.1808 | -0.1798 | -0.1798 | -9.2 | -25.0 |
| 089 | SLD | Si | -0.1104 | -0.1102 | -0.1295 | -0.1304 | -4.2 | 23.5 |
| 090 | SLD | Si | -0.1867 | -0.1873 | -0.1860 | -0.1852 | 8.9 | -28.9 |
| 091 | SLD | Si | -0.1051 | -0.1042 | -0.1232 | -0.1250 | -9.0 | 28.7 |
| 092 | SLD | Si | -0.1814 | -0.1812 | -0.1797 | -0.1798 | 4.1 | -23.7 |
| 093 | SLD | Si | -0.1110 | -0.1107 | -0.1296 | -0.1305 | -4.3 | 22.9 |
| 094 | SLD | Si | -0.1874 | -0.1878 | -0.1861 | -0.1854 | 8.8 | -29.5 |
| 095 | SLD | Si | -0.1044 | -0.1037 | -0.1231 | -0.1248 | -8.9 | 29.3 |
| 096 | SLD | Si | -0.1807 | -0.1807 | -0.1796 | -0.1797 | 4.3 | -23.0 |
| 097 | SLO | Si | -0.1439 | -0.1446 | -0.1562 | -0.1558 | 7.9 | -0.3 |
| 098 | SLO | Si | -0.1619 | -0.1628 | -0.1696 | -0.1687 | 4.7 | -13.6 |
| 099 | SLO | Si | -0.1299 | -0.1287 | -0.1396 | -0.1415 | -4.7 | 13.4 |
| 100 | SLO | Si | -0.1479 | -0.1469 | -0.1530 | -0.1544 | -8.0 | 0.2 |
| 101 | SLO | Si | -0.1438 | -0.1445 | -0.1562 | -0.1557 | 4.7 | -0.7 |
| 102 | SLO | Si | -0.1620 | -0.1628 | -0.1697 | -0.1688 | 7.9 | -13.2 |
| 103 | SLO | Si | -0.1298 | -0.1286 | -0.1396 | -0.1414 | -7.9 | 13.0 |
| 104 | SLO | Si | -0.1480 | -0.1469 | -0.1530 | -0.1545 | -4.8 | 0.6 |
| 105 | SLO | Si | -0.1456 | -0.1459 | -0.1564 | -0.1562 | 7.6 | -2.0 |
| 106 | SLO | Si | -0.1636 | -0.1641 | -0.1698 | -0.1691 | 4.3 | -15.2 |
| 107 | SLO | Si | -0.1282 | -0.1274 | -0.1394 | -0.1411 | -4.4 | 15.0 |
| 108 | SLO | Si | -0.1461 | -0.1455 | -0.1528 | -0.1540 | -7.6 | 1.8 |
| 109 | SLO | Si | -0.1455 | -0.1458 | -0.1564 | -0.1561 | 4.4 | -2.4 |
| 110 | SLO | Si | -0.1637 | -0.1642 | -0.1699 | -0.1692 | 7.5 | -14.8 |
| 111 | SLO | Si | -0.1281 | -0.1273 | -0.1394 | -0.1410 | -7.6 | 14.7 |
| 112 | SLO | Si | -0.1462 | -0.1456 | -0.1528 | -0.1541 | -4.5 | 2.2 |
| 113 | SLO | Si | -0.1180 | -0.1178 | -0.1348 | -0.1356 | 7.3 | 19.9 |
| 114 | SLO | Si | -0.1779 | -0.1784 | -0.1794 | -0.1789 | -3.6 | -24.2 |
| 115 | SLO | Si | -0.1138 | -0.1130 | -0.1298 | -0.1313 | 3.5 | 24.0 |
| 116 | SLO | Si | -0.1738 | -0.1736 | -0.1744 | -0.1746 | -7.4 | -20.1 |

| | | | |
|--------------------------------------|----------------------------------------------------------------------------------------------------------------------|----------------------------------------------------------------------------------|-------------|
| COMMITTENTE: Mecca Antonio | CODICE COMMESSA: | NOME ELABORATO: S1.5 - Relazione Geotecnica e delle Fondazioni | CONSULENTE: |
| DATA: Aprile 2023 | TITOLO: Lavori ultimazione di un fabbricato adibito ad albergo-ristorante- C.da Case Nuove Chicone Avigliano (PZ) | | |

| | | | | | | | | |
|-----|-----|----|---------|---------|---------|---------|------|-------|
| 117 | SLO | Si | -0.1186 | -0.1182 | -0.1348 | -0.1357 | 7.2 | 19.4 |
| 118 | SLO | Si | -0.1785 | -0.1788 | -0.1795 | -0.1790 | -3.7 | -24.7 |
| 119 | SLO | Si | -0.1133 | -0.1126 | -0.1297 | -0.1312 | 3.6 | 24.5 |
| 120 | SLO | Si | -0.1732 | -0.1732 | -0.1744 | -0.1745 | -7.3 | -19.6 |
| 121 | SLO | Si | -0.1177 | -0.1175 | -0.1347 | -0.1355 | -3.3 | 18.6 |
| 122 | SLO | Si | -0.1783 | -0.1787 | -0.1796 | -0.1790 | 7.1 | -22.9 |
| 123 | SLO | Si | -0.1135 | -0.1127 | -0.1297 | -0.1312 | -7.1 | 22.8 |
| 124 | SLO | Si | -0.1741 | -0.1739 | -0.1746 | -0.1747 | 3.3 | -18.8 |
| 125 | SLO | Si | -0.1182 | -0.1179 | -0.1347 | -0.1356 | -3.4 | 18.1 |
| 126 | SLO | Si | -0.1788 | -0.1791 | -0.1796 | -0.1791 | 7.0 | -23.4 |
| 127 | SLO | Si | -0.1130 | -0.1123 | -0.1296 | -0.1311 | -7.0 | 23.3 |
| 128 | SLO | Si | -0.1736 | -0.1735 | -0.1745 | -0.1746 | 3.4 | -18.3 |

Elemento: Platea n. 12

| Cmb | Tipo | Sism. | Press. N1 | Press. N2 | Press. N3 | Press. N4 | S. Taglio X | S. Taglio Y |
|-----|----------|-------|---------------------|---------------------|---------------------|---------------------|-------------|-------------|
| n. | | | daN/cm ² | daN/cm ² | daN/cm ² | daN/cm ² | daN | daN |
| 001 | SLU STR | No | -0.1489 | -0.1496 | -0.1545 | -0.1540 | 0.0 | 0.0 |
| 002 | SLU STR | No | -0.2014 | -0.2021 | -0.2070 | -0.2065 | 0.0 | 0.0 |
| 003 | SLU STR | No | -0.1568 | -0.1556 | -0.1744 | -0.1765 | -0.1 | -0.1 |
| 004 | SLU STR | No | -0.2093 | -0.2081 | -0.2269 | -0.2290 | -0.1 | -0.1 |
| 005 | SLU STR | No | -0.1109 | -0.1114 | -0.1149 | -0.1145 | 0.0 | 0.0 |
| 006 | SLU STR | No | -0.1634 | -0.1639 | -0.1674 | -0.1670 | 0.0 | 0.0 |
| 007 | SLU STR | No | -0.1187 | -0.1175 | -0.1348 | -0.1369 | -0.1 | -0.1 |
| 008 | SLU STR | No | -0.1712 | -0.1700 | -0.1873 | -0.1894 | -0.1 | -0.1 |
| 009 | SLU STR | No | -0.2239 | -0.2246 | -0.2295 | -0.2290 | 0.0 | 0.0 |
| 010 | SLU STR | No | -0.1545 | -0.1538 | -0.1684 | -0.1697 | -0.1 | -0.1 |
| 011 | SLU STR | No | -0.2295 | -0.2288 | -0.2434 | -0.2447 | -0.1 | -0.1 |
| 012 | SLU STR | No | -0.1859 | -0.1864 | -0.1899 | -0.1895 | 0.0 | 0.0 |
| 013 | SLU STR | No | -0.1164 | -0.1156 | -0.1289 | -0.1302 | -0.1 | -0.1 |
| 014 | SLU STR | No | -0.1914 | -0.1906 | -0.2039 | -0.2052 | -0.1 | -0.1 |
| 015 | SLE rare | No | -0.1130 | -0.1135 | -0.1171 | -0.1167 | 0.0 | 0.0 |
| 016 | SLE rare | No | -0.1480 | -0.1485 | -0.1521 | -0.1517 | 0.0 | 0.0 |
| 017 | SLE rare | No | -0.1182 | -0.1175 | -0.1304 | -0.1317 | -0.1 | -0.1 |
| 018 | SLE rare | No | -0.1532 | -0.1525 | -0.1654 | -0.1667 | -0.1 | -0.1 |
| 019 | SLE rare | No | -0.1630 | -0.1635 | -0.1671 | -0.1667 | 0.0 | 0.0 |
| 020 | SLE rare | No | -0.1166 | -0.1163 | -0.1264 | -0.1272 | 0.0 | -0.1 |
| 021 | SLE rare | No | -0.1666 | -0.1663 | -0.1764 | -0.1772 | 0.0 | -0.1 |
| 022 | SLE freq | No | -0.1130 | -0.1135 | -0.1171 | -0.1167 | 0.0 | 0.0 |
| 023 | SLE freq | No | -0.1430 | -0.1435 | -0.1471 | -0.1467 | 0.0 | 0.0 |
| 024 | SLE freq | No | -0.1166 | -0.1163 | -0.1264 | -0.1272 | 0.0 | -0.1 |
| 025 | SLE freq | No | -0.1466 | -0.1463 | -0.1564 | -0.1572 | 0.0 | -0.1 |
| 026 | SLE freq | No | -0.1480 | -0.1485 | -0.1521 | -0.1517 | 0.0 | 0.0 |
| 027 | SLE freq | No | -0.1161 | -0.1159 | -0.1251 | -0.1257 | 0.0 | -0.1 |
| 028 | SLE freq | No | -0.1511 | -0.1509 | -0.1601 | -0.1607 | 0.0 | -0.1 |
| 029 | SLE q.p. | No | -0.1130 | -0.1135 | -0.1171 | -0.1167 | 0.0 | 0.0 |
| 030 | SLE q.p. | No | -0.1430 | -0.1435 | -0.1471 | -0.1467 | 0.0 | 0.0 |
| 031 | SLE q.p. | No | -0.1161 | -0.1159 | -0.1251 | -0.1257 | 0.0 | -0.1 |
| 032 | SLE q.p. | No | -0.1461 | -0.1459 | -0.1551 | -0.1557 | 0.0 | -0.1 |
| 033 | SLV A1 | Si | -0.1385 | -0.1402 | -0.1569 | -0.1548 | 24.2 | 1.4 |
| 034 | SLV A1 | Si | -0.1882 | -0.1904 | -0.1931 | -0.1897 | 14.3 | -35.2 |
| 035 | SLV A1 | Si | -0.1041 | -0.1014 | -0.1171 | -0.1218 | -14.4 | 35.1 |
| 036 | SLV A1 | Si | -0.1537 | -0.1516 | -0.1533 | -0.1566 | -24.3 | -1.6 |
| 037 | SLV A1 | Si | -0.1384 | -0.1402 | -0.1569 | -0.1549 | 14.5 | 0.3 |
| 038 | SLV A1 | Si | -0.1882 | -0.1904 | -0.1930 | -0.1896 | 24.0 | -34.1 |
| 039 | SLV A1 | Si | -0.1040 | -0.1014 | -0.1172 | -0.1218 | -24.1 | 34.0 |
| 040 | SLV A1 | Si | -0.1538 | -0.1516 | -0.1533 | -0.1566 | -14.6 | -0.4 |
| 041 | SLV A1 | Si | -0.1448 | -0.1451 | -0.1580 | -0.1568 | 23.2 | -3.2 |
| 042 | SLV A1 | Si | -0.1945 | -0.1953 | -0.1942 | -0.1916 | 13.2 | -39.9 |
| 043 | SLV A1 | Si | -0.0977 | -0.0965 | -0.1160 | -0.1199 | -13.3 | 39.7 |
| 044 | SLV A1 | Si | -0.1474 | -0.1467 | -0.1522 | -0.1547 | -23.2 | 3.0 |
| 045 | SLV A1 | Si | -0.1448 | -0.1451 | -0.1581 | -0.1568 | 13.5 | -4.3 |
| 046 | SLV A1 | Si | -0.1946 | -0.1953 | -0.1941 | -0.1916 | 22.9 | -38.7 |
| 047 | SLV A1 | Si | -0.0977 | -0.0965 | -0.1161 | -0.1199 | -23.0 | 38.6 |
| 048 | SLV A1 | Si | -0.1475 | -0.1467 | -0.1522 | -0.1547 | -13.5 | 4.2 |
| 049 | SLV A1 | Si | -0.0685 | -0.0681 | -0.1007 | -0.1026 | 22.3 | 56.0 |
| 050 | SLV A1 | Si | -0.2341 | -0.2354 | -0.2214 | -0.2187 | -10.8 | -66.3 |
| 051 | SLV A1 | Si | -0.0581 | -0.0564 | -0.0888 | -0.0927 | 10.7 | 66.1 |
| 052 | SLV A1 | Si | -0.2238 | -0.2237 | -0.2095 | -0.2088 | -22.4 | -56.2 |
| 053 | SLV A1 | Si | -0.0704 | -0.0695 | -0.1010 | -0.1032 | 22.0 | 54.7 |
| 054 | SLV A1 | Si | -0.2360 | -0.2368 | -0.2217 | -0.2193 | -11.1 | -67.7 |
| 055 | SLV A1 | Si | -0.0562 | -0.0549 | -0.0885 | -0.0922 | 11.0 | 67.5 |

Relazione Geotecnica e delle Fondazioni

| | | | | | | | | |
|-----|--------|----|---------|---------|---------|---------|-------|-------|
| 056 | SLV A1 | Si | -0.2219 | -0.2222 | -0.2092 | -0.2082 | -22.0 | -54.8 |
| 057 | SLV A1 | Si | -0.0683 | -0.0681 | -0.1009 | -0.1027 | -10.0 | 52.2 |
| 058 | SLV A1 | Si | -0.2343 | -0.2354 | -0.2212 | -0.2186 | 21.5 | -62.4 |
| 059 | SLV A1 | Si | -0.0580 | -0.0564 | -0.0890 | -0.0928 | -21.6 | 62.3 |
| 060 | SLV A1 | Si | -0.2239 | -0.2237 | -0.2093 | -0.2087 | 9.9 | -52.3 |
| 061 | SLV A1 | Si | -0.0702 | -0.0695 | -0.1013 | -0.1033 | -10.3 | 50.8 |
| 062 | SLV A1 | Si | -0.2362 | -0.2368 | -0.2215 | -0.2192 | 21.2 | -63.8 |
| 063 | SLV A1 | Si | -0.0561 | -0.0549 | -0.0887 | -0.0922 | -21.3 | 63.7 |
| 064 | SLV A1 | Si | -0.2220 | -0.2222 | -0.2089 | -0.2082 | 10.2 | -50.9 |
| 065 | SLD | Si | -0.1426 | -0.1432 | -0.1558 | -0.1553 | 10.9 | 0.7 |
| 066 | SLD | Si | -0.1653 | -0.1661 | -0.1724 | -0.1712 | 6.4 | -16.1 |
| 067 | SLD | Si | -0.1270 | -0.1256 | -0.1378 | -0.1403 | -6.5 | 15.9 |
| 068 | SLD | Si | -0.1497 | -0.1486 | -0.1544 | -0.1562 | -11.0 | -0.8 |
| 069 | SLD | Si | -0.1426 | -0.1432 | -0.1559 | -0.1553 | 6.5 | 0.1 |
| 070 | SLD | Si | -0.1653 | -0.1661 | -0.1723 | -0.1711 | 10.8 | -15.5 |
| 071 | SLD | Si | -0.1270 | -0.1256 | -0.1379 | -0.1403 | -10.9 | 15.4 |
| 072 | SLD | Si | -0.1497 | -0.1485 | -0.1543 | -0.1562 | -6.6 | -0.3 |
| 073 | SLD | Si | -0.1455 | -0.1455 | -0.1564 | -0.1562 | 10.4 | -1.4 |
| 074 | SLD | Si | -0.1682 | -0.1684 | -0.1729 | -0.1721 | 5.9 | -18.2 |
| 075 | SLD | Si | -0.1241 | -0.1234 | -0.1373 | -0.1394 | -6.0 | 18.1 |
| 076 | SLD | Si | -0.1467 | -0.1463 | -0.1538 | -0.1553 | -10.5 | 1.3 |
| 077 | SLD | Si | -0.1455 | -0.1455 | -0.1564 | -0.1562 | 6.0 | -2.0 |
| 078 | SLD | Si | -0.1682 | -0.1684 | -0.1729 | -0.1720 | 10.3 | -17.7 |
| 079 | SLD | Si | -0.1240 | -0.1234 | -0.1373 | -0.1394 | -10.4 | 17.5 |
| 080 | SLD | Si | -0.1468 | -0.1463 | -0.1538 | -0.1553 | -6.1 | 1.9 |
| 081 | SLD | Si | -0.1107 | -0.1103 | -0.1303 | -0.1315 | 10.0 | 25.6 |
| 082 | SLD | Si | -0.1863 | -0.1867 | -0.1853 | -0.1845 | -4.9 | -30.3 |
| 083 | SLD | Si | -0.1060 | -0.1051 | -0.1249 | -0.1270 | 4.8 | 30.2 |
| 084 | SLD | Si | -0.1816 | -0.1814 | -0.1799 | -0.1800 | -10.1 | -25.7 |
| 085 | SLD | Si | -0.1115 | -0.1110 | -0.1304 | -0.1317 | 9.9 | 24.9 |
| 086 | SLD | Si | -0.1871 | -0.1874 | -0.1855 | -0.1847 | -5.0 | -30.9 |
| 087 | SLD | Si | -0.1051 | -0.1044 | -0.1247 | -0.1267 | 5.0 | 30.8 |
| 088 | SLD | Si | -0.1807 | -0.1808 | -0.1798 | -0.1797 | -10.0 | -25.1 |
| 089 | SLD | Si | -0.1106 | -0.1104 | -0.1304 | -0.1315 | -4.5 | 23.8 |
| 090 | SLD | Si | -0.1863 | -0.1867 | -0.1852 | -0.1844 | 9.7 | -28.5 |
| 091 | SLD | Si | -0.1059 | -0.1051 | -0.1250 | -0.1270 | -9.8 | 28.4 |
| 092 | SLD | Si | -0.1816 | -0.1814 | -0.1798 | -0.1799 | 4.5 | -23.9 |
| 093 | SLD | Si | -0.1115 | -0.1110 | -0.1305 | -0.1318 | -4.7 | 23.2 |
| 094 | SLD | Si | -0.1872 | -0.1874 | -0.1854 | -0.1847 | 9.5 | -29.1 |
| 095 | SLD | Si | -0.1050 | -0.1044 | -0.1248 | -0.1268 | -9.6 | 29.0 |
| 096 | SLD | Si | -0.1808 | -0.1807 | -0.1797 | -0.1797 | 4.6 | -23.3 |
| 097 | SLO | Si | -0.1434 | -0.1439 | -0.1558 | -0.1554 | 8.6 | 0.5 |
| 098 | SLO | Si | -0.1612 | -0.1619 | -0.1687 | -0.1679 | 5.1 | -12.7 |
| 099 | SLO | Si | -0.1310 | -0.1299 | -0.1415 | -0.1436 | -5.2 | 12.6 |
| 100 | SLO | Si | -0.1488 | -0.1479 | -0.1544 | -0.1560 | -8.7 | -0.6 |
| 101 | SLO | Si | -0.1433 | -0.1438 | -0.1557 | -0.1554 | 5.2 | 0.1 |
| 102 | SLO | Si | -0.1613 | -0.1620 | -0.1688 | -0.1680 | 8.6 | -12.3 |
| 103 | SLO | Si | -0.1309 | -0.1298 | -0.1414 | -0.1435 | -8.6 | 12.2 |
| 104 | SLO | Si | -0.1489 | -0.1480 | -0.1545 | -0.1561 | -5.3 | -0.2 |
| 105 | SLO | Si | -0.1457 | -0.1456 | -0.1562 | -0.1561 | 8.3 | -1.2 |
| 106 | SLO | Si | -0.1635 | -0.1636 | -0.1691 | -0.1686 | 4.7 | -14.4 |
| 107 | SLO | Si | -0.1288 | -0.1282 | -0.1411 | -0.1429 | -4.8 | 14.2 |
| 108 | SLO | Si | -0.1466 | -0.1461 | -0.1540 | -0.1553 | -8.3 | 1.1 |
| 109 | SLO | Si | -0.1456 | -0.1455 | -0.1561 | -0.1560 | 4.8 | -1.6 |
| 110 | SLO | Si | -0.1636 | -0.1637 | -0.1692 | -0.1686 | 8.2 | -14.0 |
| 111 | SLO | Si | -0.1286 | -0.1281 | -0.1410 | -0.1428 | -8.3 | 13.9 |
| 112 | SLO | Si | -0.1467 | -0.1462 | -0.1541 | -0.1554 | -4.9 | 1.4 |
| 113 | SLO | Si | -0.1183 | -0.1180 | -0.1356 | -0.1367 | 7.9 | 20.0 |
| 114 | SLO | Si | -0.1776 | -0.1779 | -0.1789 | -0.1783 | -3.9 | -23.8 |
| 115 | SLO | Si | -0.1146 | -0.1138 | -0.1313 | -0.1332 | 3.8 | 23.7 |
| 116 | SLO | Si | -0.1739 | -0.1738 | -0.1746 | -0.1747 | -8.0 | -20.2 |
| 117 | SLO | Si | -0.1190 | -0.1186 | -0.1357 | -0.1369 | 7.8 | 19.5 |
| 118 | SLO | Si | -0.1783 | -0.1785 | -0.1790 | -0.1785 | -4.0 | -24.3 |
| 119 | SLO | Si | -0.1139 | -0.1133 | -0.1312 | -0.1330 | 3.9 | 24.2 |
| 120 | SLO | Si | -0.1732 | -0.1732 | -0.1745 | -0.1745 | -7.9 | -19.7 |
| 121 | SLO | Si | -0.1179 | -0.1177 | -0.1355 | -0.1365 | -3.6 | 18.9 |
| 122 | SLO | Si | -0.1780 | -0.1783 | -0.1790 | -0.1785 | 7.7 | -22.6 |
| 123 | SLO | Si | -0.1142 | -0.1135 | -0.1312 | -0.1329 | -7.7 | 22.5 |
| 124 | SLO | Si | -0.1743 | -0.1741 | -0.1747 | -0.1749 | 3.5 | -19.0 |
| 125 | SLO | Si | -0.1186 | -0.1182 | -0.1356 | -0.1367 | -3.7 | 18.4 |
| 126 | SLO | Si | -0.1787 | -0.1788 | -0.1791 | -0.1787 | 7.6 | -23.1 |
| 127 | SLO | Si | -0.1135 | -0.1130 | -0.1311 | -0.1327 | -7.6 | 23.0 |
| 128 | SLO | Si | -0.1736 | -0.1736 | -0.1746 | -0.1747 | 3.6 | -18.5 |

| | | | |
|--------------------------------------|----------------------------------------------------------------------------------------------------------------------|----------------------------------------------------------------------------------|-------------|
| COMMITTENTE: Mecca Antonio | CODICE COMMESSA: | NOME ELABORATO: S1.5 - Relazione Geotecnica e delle Fondazioni | CONSULENTE: |
| DATA: Aprile 2023 | TITOLO: Lavori ultimazione di un fabbricato adibito ad albergo-ristorante- C.da Case Nuove Chicone Avigliano (PZ) | | |

Elemento: Platea n. 13

| Cmb | Tipo | Sism. | Press. N1 | Press. N2 | Press. N3 | Press. N4 | S. Taglio X | S. Taglio Y |
|-----|----------|-------|---------------------|---------------------|---------------------|---------------------|-------------|-------------|
| n. | | | daN/cm ² | daN/cm ² | daN/cm ² | daN/cm ² | daN | daN |
| 001 | SLU STR | No | -0.1639 | -0.1646 | -0.1695 | -0.1684 | 0.0 | 0.0 |
| 002 | SLU STR | No | -0.2164 | -0.2171 | -0.2220 | -0.2209 | 0.0 | 0.0 |
| 003 | SLU STR | No | -0.2099 | -0.2096 | -0.2285 | -0.2266 | 0.0 | -0.1 |
| 004 | SLU STR | No | -0.2624 | -0.2621 | -0.2810 | -0.2791 | 0.0 | -0.1 |
| 005 | SLU STR | No | -0.1216 | -0.1222 | -0.1257 | -0.1249 | 0.0 | 0.0 |
| 006 | SLU STR | No | -0.1741 | -0.1747 | -0.1782 | -0.1774 | 0.0 | 0.0 |
| 007 | SLU STR | No | -0.1677 | -0.1672 | -0.1847 | -0.1831 | 0.0 | -0.1 |
| 008 | SLU STR | No | -0.2202 | -0.2197 | -0.2372 | -0.2356 | 0.0 | -0.1 |
| 009 | SLU STR | No | -0.2389 | -0.2396 | -0.2445 | -0.2434 | 0.0 | 0.0 |
| 010 | SLU STR | No | -0.1961 | -0.1961 | -0.2108 | -0.2092 | 0.0 | -0.1 |
| 011 | SLU STR | No | -0.2711 | -0.2711 | -0.2858 | -0.2842 | 0.0 | -0.1 |
| 012 | SLU STR | No | -0.1966 | -0.1972 | -0.2007 | -0.1999 | 0.0 | 0.0 |
| 013 | SLU STR | No | -0.1539 | -0.1537 | -0.1670 | -0.1656 | 0.0 | -0.1 |
| 014 | SLU STR | No | -0.2289 | -0.2287 | -0.2420 | -0.2406 | 0.0 | -0.1 |
| 015 | SLE rare | No | -0.1241 | -0.1247 | -0.1284 | -0.1275 | 0.0 | 0.0 |
| 016 | SLE rare | No | -0.1591 | -0.1597 | -0.1634 | -0.1625 | 0.0 | 0.0 |
| 017 | SLE rare | No | -0.1548 | -0.1547 | -0.1677 | -0.1663 | 0.0 | -0.1 |
| 018 | SLE rare | No | -0.1898 | -0.1897 | -0.2027 | -0.2013 | 0.0 | -0.1 |
| 019 | SLE rare | No | -0.1741 | -0.1747 | -0.1784 | -0.1775 | 0.0 | 0.0 |
| 020 | SLE rare | No | -0.1456 | -0.1457 | -0.1559 | -0.1547 | 0.0 | -0.1 |
| 021 | SLE rare | No | -0.1956 | -0.1957 | -0.2059 | -0.2047 | 0.0 | -0.1 |
| 022 | SLE freq | No | -0.1241 | -0.1247 | -0.1284 | -0.1275 | 0.0 | 0.0 |
| 023 | SLE freq | No | -0.1541 | -0.1547 | -0.1584 | -0.1575 | 0.0 | 0.0 |
| 024 | SLE freq | No | -0.1456 | -0.1457 | -0.1559 | -0.1547 | 0.0 | -0.1 |
| 025 | SLE freq | No | -0.1756 | -0.1757 | -0.1859 | -0.1847 | 0.0 | -0.1 |
| 026 | SLE freq | No | -0.1591 | -0.1597 | -0.1634 | -0.1625 | 0.0 | 0.0 |
| 027 | SLE freq | No | -0.1426 | -0.1427 | -0.1520 | -0.1508 | 0.0 | -0.1 |
| 028 | SLE freq | No | -0.1776 | -0.1777 | -0.1870 | -0.1858 | 0.0 | -0.1 |
| 029 | SLE q.p. | No | -0.1241 | -0.1247 | -0.1284 | -0.1275 | 0.0 | 0.0 |
| 030 | SLE q.p. | No | -0.1541 | -0.1547 | -0.1584 | -0.1575 | 0.0 | 0.0 |
| 031 | SLE q.p. | No | -0.1426 | -0.1427 | -0.1520 | -0.1508 | 0.0 | -0.1 |
| 032 | SLE q.p. | No | -0.1726 | -0.1727 | -0.1820 | -0.1808 | 0.0 | -0.1 |
| 033 | SLV A1 | Si | -0.1929 | -0.1959 | -0.2199 | -0.2152 | 15.7 | -0.7 |
| 034 | SLV A1 | Si | -0.2041 | -0.2078 | -0.2107 | -0.2072 | 16.1 | -24.5 |
| 035 | SLV A1 | Si | -0.1410 | -0.1376 | -0.1533 | -0.1544 | -16.1 | 24.4 |
| 036 | SLV A1 | Si | -0.1522 | -0.1495 | -0.1440 | -0.1464 | -15.7 | 0.6 |
| 037 | SLV A1 | Si | -0.1930 | -0.1960 | -0.2202 | -0.2155 | 16.1 | -1.5 |
| 038 | SLV A1 | Si | -0.2040 | -0.2077 | -0.2103 | -0.2070 | 15.8 | -23.7 |
| 039 | SLV A1 | Si | -0.1411 | -0.1377 | -0.1536 | -0.1546 | -15.7 | 23.6 |
| 040 | SLV A1 | Si | -0.1522 | -0.1494 | -0.1437 | -0.1461 | -16.0 | 1.4 |
| 041 | SLV A1 | Si | -0.1923 | -0.1954 | -0.2209 | -0.2160 | 15.9 | -3.6 |
| 042 | SLV A1 | Si | -0.2035 | -0.2073 | -0.2117 | -0.2080 | 16.3 | -27.5 |
| 043 | SLV A1 | Si | -0.1416 | -0.1381 | -0.1522 | -0.1536 | -16.3 | 27.4 |
| 044 | SLV A1 | Si | -0.1528 | -0.1500 | -0.1430 | -0.1456 | -15.9 | 3.5 |
| 045 | SLV A1 | Si | -0.1924 | -0.1955 | -0.2212 | -0.2163 | 16.3 | -4.4 |
| 046 | SLV A1 | Si | -0.2035 | -0.2072 | -0.2113 | -0.2077 | 16.0 | -26.7 |
| 047 | SLV A1 | Si | -0.1417 | -0.1382 | -0.1526 | -0.1539 | -15.9 | 26.5 |
| 048 | SLV A1 | Si | -0.1527 | -0.1499 | -0.1427 | -0.1453 | -16.2 | 4.3 |
| 049 | SLV A1 | Si | -0.1616 | -0.1615 | -0.2074 | -0.2033 | 4.2 | 36.0 |
| 050 | SLV A1 | Si | -0.1991 | -0.2013 | -0.1765 | -0.1766 | 5.4 | -43.6 |
| 051 | SLV A1 | Si | -0.1460 | -0.1440 | -0.1874 | -0.1850 | -5.4 | 43.5 |
| 052 | SLV A1 | Si | -0.1835 | -0.1838 | -0.1565 | -0.1583 | -4.1 | -36.1 |
| 053 | SLV A1 | Si | -0.1614 | -0.1614 | -0.2077 | -0.2035 | 4.2 | 35.1 |
| 054 | SLV A1 | Si | -0.1989 | -0.2012 | -0.1768 | -0.1768 | 5.5 | -44.5 |
| 055 | SLV A1 | Si | -0.1462 | -0.1442 | -0.1871 | -0.1848 | -5.4 | 44.4 |
| 056 | SLV A1 | Si | -0.1837 | -0.1840 | -0.1562 | -0.1581 | -4.2 | -35.2 |
| 057 | SLV A1 | Si | -0.1619 | -0.1619 | -0.2084 | -0.2042 | 5.3 | 33.2 |
| 058 | SLV A1 | Si | -0.1987 | -0.2010 | -0.1755 | -0.1757 | 4.3 | -40.9 |
| 059 | SLV A1 | Si | -0.1464 | -0.1444 | -0.1884 | -0.1859 | -4.2 | 40.7 |
| 060 | SLV A1 | Si | -0.1832 | -0.1835 | -0.1555 | -0.1574 | -5.3 | -33.3 |
| 061 | SLV A1 | Si | -0.1617 | -0.1617 | -0.2087 | -0.2044 | 5.4 | 32.3 |
| 062 | SLV A1 | Si | -0.1986 | -0.2008 | -0.1758 | -0.1759 | 4.3 | -41.7 |
| 063 | SLV A1 | Si | -0.1465 | -0.1445 | -0.1881 | -0.1857 | -4.3 | 41.6 |
| 064 | SLV A1 | Si | -0.1834 | -0.1836 | -0.1552 | -0.1572 | -5.3 | -32.4 |
| 065 | SLD | Si | -0.1817 | -0.1832 | -0.1991 | -0.1964 | 7.1 | -0.3 |
| 066 | SLD | Si | -0.1868 | -0.1886 | -0.1949 | -0.1928 | 7.3 | -11.2 |
| 067 | SLD | Si | -0.1583 | -0.1568 | -0.1690 | -0.1688 | -7.3 | 11.1 |
| 068 | SLD | Si | -0.1634 | -0.1622 | -0.1648 | -0.1652 | -7.1 | 0.2 |

Relazione Geotecnica e delle Fondazioni

| | | | | | | | | |
|-----|-----|----|---------|---------|---------|---------|------|-------|
| 069 | SLD | Si | -0.1818 | -0.1832 | -0.1993 | -0.1965 | 7.3 | -0.7 |
| 070 | SLD | Si | -0.1868 | -0.1885 | -0.1948 | -0.1926 | 7.1 | -10.8 |
| 071 | SLD | Si | -0.1583 | -0.1568 | -0.1691 | -0.1690 | -7.1 | 10.7 |
| 072 | SLD | Si | -0.1633 | -0.1621 | -0.1646 | -0.1651 | -7.2 | 0.6 |
| 073 | SLD | Si | -0.1815 | -0.1829 | -0.1996 | -0.1968 | 7.2 | -1.6 |
| 074 | SLD | Si | -0.1866 | -0.1884 | -0.1954 | -0.1931 | 7.4 | -12.5 |
| 075 | SLD | Si | -0.1585 | -0.1570 | -0.1685 | -0.1685 | -7.4 | 12.4 |
| 076 | SLD | Si | -0.1636 | -0.1624 | -0.1643 | -0.1648 | -7.2 | 1.5 |
| 077 | SLD | Si | -0.1815 | -0.1830 | -0.1998 | -0.1969 | 7.4 | -2.0 |
| 078 | SLD | Si | -0.1866 | -0.1883 | -0.1953 | -0.1930 | 7.2 | -12.2 |
| 079 | SLD | Si | -0.1585 | -0.1570 | -0.1686 | -0.1686 | -7.2 | 12.1 |
| 080 | SLD | Si | -0.1636 | -0.1624 | -0.1641 | -0.1647 | -7.4 | 1.9 |
| 081 | SLD | Si | -0.1675 | -0.1676 | -0.1935 | -0.1910 | 1.9 | 16.4 |
| 082 | SLD | Si | -0.1846 | -0.1857 | -0.1795 | -0.1789 | 2.5 | -19.9 |
| 083 | SLD | Si | -0.1605 | -0.1597 | -0.1844 | -0.1827 | -2.4 | 19.8 |
| 084 | SLD | Si | -0.1776 | -0.1778 | -0.1704 | -0.1706 | -1.8 | -16.5 |
| 085 | SLD | Si | -0.1675 | -0.1675 | -0.1936 | -0.1911 | 1.9 | 16.0 |
| 086 | SLD | Si | -0.1845 | -0.1856 | -0.1796 | -0.1790 | 2.5 | -20.3 |
| 087 | SLD | Si | -0.1606 | -0.1597 | -0.1843 | -0.1826 | -2.5 | 20.2 |
| 088 | SLD | Si | -0.1776 | -0.1778 | -0.1703 | -0.1705 | -1.9 | -16.1 |
| 089 | SLD | Si | -0.1677 | -0.1677 | -0.1940 | -0.1914 | 2.4 | 15.1 |
| 090 | SLD | Si | -0.1845 | -0.1855 | -0.1790 | -0.1785 | 1.9 | -18.7 |
| 091 | SLD | Si | -0.1607 | -0.1598 | -0.1849 | -0.1831 | -1.9 | 18.5 |
| 092 | SLD | Si | -0.1774 | -0.1776 | -0.1699 | -0.1702 | -2.4 | -15.2 |
| 093 | SLD | Si | -0.1676 | -0.1677 | -0.1941 | -0.1915 | 2.5 | 14.7 |
| 094 | SLD | Si | -0.1844 | -0.1855 | -0.1791 | -0.1786 | 2.0 | -19.1 |
| 095 | SLD | Si | -0.1607 | -0.1599 | -0.1848 | -0.1830 | -1.9 | 19.0 |
| 096 | SLD | Si | -0.1775 | -0.1777 | -0.1698 | -0.1701 | -2.4 | -14.8 |
| 097 | SLO | Si | -0.1799 | -0.1810 | -0.1956 | -0.1932 | 5.7 | -0.3 |
| 098 | SLO | Si | -0.1839 | -0.1853 | -0.1923 | -0.1903 | 5.8 | -8.8 |
| 099 | SLO | Si | -0.1612 | -0.1601 | -0.1716 | -0.1713 | -5.8 | 8.7 |
| 100 | SLO | Si | -0.1653 | -0.1643 | -0.1683 | -0.1684 | -5.6 | 0.2 |
| 101 | SLO | Si | -0.1799 | -0.1810 | -0.1957 | -0.1933 | 5.8 | -0.5 |
| 102 | SLO | Si | -0.1839 | -0.1853 | -0.1922 | -0.1902 | 5.7 | -8.6 |
| 103 | SLO | Si | -0.1612 | -0.1601 | -0.1718 | -0.1714 | -5.6 | 8.5 |
| 104 | SLO | Si | -0.1652 | -0.1643 | -0.1682 | -0.1683 | -5.7 | 0.4 |
| 105 | SLO | Si | -0.1797 | -0.1808 | -0.1960 | -0.1935 | 5.7 | -1.3 |
| 106 | SLO | Si | -0.1837 | -0.1851 | -0.1926 | -0.1906 | 5.9 | -9.9 |
| 107 | SLO | Si | -0.1614 | -0.1602 | -0.1713 | -0.1710 | -5.8 | 9.8 |
| 108 | SLO | Si | -0.1654 | -0.1645 | -0.1679 | -0.1681 | -5.7 | 1.2 |
| 109 | SLO | Si | -0.1797 | -0.1809 | -0.1961 | -0.1936 | 5.9 | -1.6 |
| 110 | SLO | Si | -0.1837 | -0.1851 | -0.1925 | -0.1905 | 5.8 | -9.6 |
| 111 | SLO | Si | -0.1614 | -0.1603 | -0.1714 | -0.1711 | -5.7 | 9.5 |
| 112 | SLO | Si | -0.1654 | -0.1645 | -0.1678 | -0.1680 | -5.8 | 1.5 |
| 113 | SLO | Si | -0.1686 | -0.1687 | -0.1911 | -0.1889 | 1.5 | 12.8 |
| 114 | SLO | Si | -0.1821 | -0.1829 | -0.1800 | -0.1793 | 2.0 | -15.7 |
| 115 | SLO | Si | -0.1630 | -0.1624 | -0.1839 | -0.1823 | -1.9 | 15.5 |
| 116 | SLO | Si | -0.1765 | -0.1767 | -0.1728 | -0.1727 | -1.5 | -12.9 |
| 117 | SLO | Si | -0.1686 | -0.1686 | -0.1912 | -0.1890 | 1.5 | 12.5 |
| 118 | SLO | Si | -0.1820 | -0.1829 | -0.1801 | -0.1794 | 2.0 | -16.0 |
| 119 | SLO | Si | -0.1631 | -0.1625 | -0.1838 | -0.1822 | -1.9 | 15.9 |
| 120 | SLO | Si | -0.1765 | -0.1767 | -0.1727 | -0.1726 | -1.5 | -12.6 |
| 121 | SLO | Si | -0.1687 | -0.1688 | -0.1915 | -0.1892 | 1.9 | 12.0 |
| 122 | SLO | Si | -0.1820 | -0.1829 | -0.1796 | -0.1789 | 1.5 | -14.8 |
| 123 | SLO | Si | -0.1631 | -0.1625 | -0.1843 | -0.1827 | -1.5 | 14.7 |
| 124 | SLO | Si | -0.1764 | -0.1766 | -0.1724 | -0.1724 | -1.9 | -12.1 |
| 125 | SLO | Si | -0.1686 | -0.1687 | -0.1916 | -0.1893 | 2.0 | 11.7 |
| 126 | SLO | Si | -0.1819 | -0.1828 | -0.1797 | -0.1790 | 1.6 | -15.1 |
| 127 | SLO | Si | -0.1632 | -0.1625 | -0.1842 | -0.1826 | -1.5 | 15.0 |
| 128 | SLO | Si | -0.1765 | -0.1766 | -0.1723 | -0.1723 | -1.9 | -11.8 |

Elemento: Platea n. 14

| Cmb | Tipo | Sism. | Press. N1 | Press. N2 | Press. N3 | Press. N4 | S. Taglio X | S. Taglio Y |
|-----|---------|-------|---------------------|---------------------|---------------------|---------------------|-------------|-------------|
| n. | | | daN/cm ² | daN/cm ² | daN/cm ² | daN/cm ² | daN | daN |
| 001 | SLU STR | No | -0.1607 | -0.1611 | -0.1662 | -0.1651 | 0.0 | 0.0 |
| 002 | SLU STR | No | -0.2132 | -0.2136 | -0.2187 | -0.2176 | 0.0 | 0.0 |
| 003 | SLU STR | No | -0.2144 | -0.2146 | -0.2349 | -0.2320 | 0.1 | 0.2 |
| 004 | SLU STR | No | -0.2669 | -0.2671 | -0.2874 | -0.2845 | 0.1 | 0.2 |
| 005 | SLU STR | No | -0.1190 | -0.1193 | -0.1230 | -0.1222 | 0.0 | 0.0 |
| 006 | SLU STR | No | -0.1715 | -0.1718 | -0.1755 | -0.1747 | 0.0 | 0.0 |
| 007 | SLU STR | No | -0.1728 | -0.1728 | -0.1917 | -0.1890 | 0.1 | 0.2 |
| 008 | SLU STR | No | -0.2253 | -0.2253 | -0.2442 | -0.2415 | 0.1 | 0.2 |
| 009 | SLU STR | No | -0.2357 | -0.2361 | -0.2412 | -0.2401 | 0.0 | 0.0 |

| | | | |
|--------------------------------------|------------------------------------------------------------------------------------------------------------------------------|----------------------------------------------------------------------------------|-------------|
| COMMITTENTE: Mecca Antonio | CODICE COMMESSA: | NOME ELABORATO: S1.5 - Relazione Geotecnica e delle Fondazioni | CONSULENTE: |
| DATA: Aprile 2023 | TITOLO: Lavori ultimazione di un fabbricato adibito ad albergo-ristorante- C.da Case Nuove Chicone Avigliano (PZ) | | |

| | | | | | | | | |
|-----|----------|----|---------|---------|---------|---------|-------|-------|
| 010 | SLU STR | No | -0.1983 | -0.1985 | -0.2143 | -0.2119 | 0.1 | 0.2 |
| 011 | SLU STR | No | -0.2733 | -0.2735 | -0.2893 | -0.2869 | 0.1 | 0.2 |
| 012 | SLU STR | No | -0.1940 | -0.1943 | -0.1980 | -0.1972 | 0.0 | 0.0 |
| 013 | SLU STR | No | -0.1566 | -0.1568 | -0.1711 | -0.1690 | 0.1 | 0.1 |
| 014 | SLU STR | No | -0.2316 | -0.2318 | -0.2461 | -0.2440 | 0.1 | 0.1 |
| 015 | SLE rare | No | -0.1216 | -0.1219 | -0.1257 | -0.1249 | 0.0 | 0.0 |
| 016 | SLE rare | No | -0.1566 | -0.1569 | -0.1607 | -0.1599 | 0.0 | 0.0 |
| 017 | SLE rare | No | -0.1574 | -0.1576 | -0.1715 | -0.1695 | 0.1 | 0.1 |
| 018 | SLE rare | No | -0.1924 | -0.1926 | -0.2065 | -0.2045 | 0.1 | 0.1 |
| 019 | SLE rare | No | -0.1716 | -0.1719 | -0.1757 | -0.1749 | 0.0 | 0.0 |
| 020 | SLE rare | No | -0.1467 | -0.1469 | -0.1578 | -0.1561 | 0.0 | 0.1 |
| 021 | SLE rare | No | -0.1967 | -0.1969 | -0.2078 | -0.2061 | 0.0 | 0.1 |
| 022 | SLE freq | No | -0.1216 | -0.1219 | -0.1257 | -0.1249 | 0.0 | 0.0 |
| 023 | SLE freq | No | -0.1516 | -0.1519 | -0.1557 | -0.1549 | 0.0 | 0.0 |
| 024 | SLE freq | No | -0.1467 | -0.1469 | -0.1578 | -0.1561 | 0.0 | 0.1 |
| 025 | SLE freq | No | -0.1767 | -0.1769 | -0.1878 | -0.1861 | 0.0 | 0.1 |
| 026 | SLE freq | No | -0.1566 | -0.1569 | -0.1607 | -0.1599 | 0.0 | 0.0 |
| 027 | SLE freq | No | -0.1431 | -0.1433 | -0.1532 | -0.1517 | 0.0 | 0.1 |
| 028 | SLE freq | No | -0.1781 | -0.1783 | -0.1882 | -0.1867 | 0.0 | 0.1 |
| 029 | SLE q.p. | No | -0.1216 | -0.1219 | -0.1257 | -0.1249 | 0.0 | 0.0 |
| 030 | SLE q.p. | No | -0.1516 | -0.1519 | -0.1557 | -0.1549 | 0.0 | 0.0 |
| 031 | SLE q.p. | No | -0.1431 | -0.1433 | -0.1532 | -0.1517 | 0.0 | 0.1 |
| 032 | SLE q.p. | No | -0.1731 | -0.1733 | -0.1832 | -0.1817 | 0.0 | 0.1 |
| 033 | SLV A1 | Si | -0.1761 | -0.1784 | -0.2039 | -0.1984 | 36.8 | 2.3 |
| 034 | SLV A1 | Si | -0.1747 | -0.1805 | -0.1871 | -0.1814 | 38.5 | -24.8 |
| 035 | SLV A1 | Si | -0.1715 | -0.1661 | -0.1793 | -0.1819 | -38.4 | 25.0 |
| 036 | SLV A1 | Si | -0.1701 | -0.1682 | -0.1625 | -0.1649 | -36.7 | -2.1 |
| 037 | SLV A1 | Si | -0.1761 | -0.1784 | -0.2040 | -0.1985 | 43.2 | 2.2 |
| 038 | SLV A1 | Si | -0.1747 | -0.1805 | -0.1870 | -0.1813 | 32.2 | -24.8 |
| 039 | SLV A1 | Si | -0.1715 | -0.1662 | -0.1794 | -0.1820 | -32.1 | 24.9 |
| 040 | SLV A1 | Si | -0.1701 | -0.1682 | -0.1624 | -0.1648 | -43.1 | -2.0 |
| 041 | SLV A1 | Si | -0.1762 | -0.1783 | -0.2070 | -0.2018 | 37.8 | -2.7 |
| 042 | SLV A1 | Si | -0.1748 | -0.1803 | -0.1902 | -0.1848 | 39.5 | -29.9 |
| 043 | SLV A1 | Si | -0.1715 | -0.1663 | -0.1762 | -0.1785 | -39.4 | 30.1 |
| 044 | SLV A1 | Si | -0.1701 | -0.1683 | -0.1594 | -0.1615 | -37.7 | 2.9 |
| 045 | SLV A1 | Si | -0.1762 | -0.1783 | -0.2071 | -0.2019 | 44.1 | -2.8 |
| 046 | SLV A1 | Si | -0.1748 | -0.1803 | -0.1901 | -0.1847 | 33.1 | -29.8 |
| 047 | SLV A1 | Si | -0.1715 | -0.1663 | -0.1763 | -0.1786 | -33.0 | 30.0 |
| 048 | SLV A1 | Si | -0.1701 | -0.1683 | -0.1593 | -0.1614 | -44.1 | 3.0 |
| 049 | SLV A1 | Si | -0.1761 | -0.1717 | -0.2149 | -0.2125 | 8.5 | 42.0 |
| 050 | SLV A1 | Si | -0.1715 | -0.1786 | -0.1589 | -0.1557 | 14.1 | -48.6 |
| 051 | SLV A1 | Si | -0.1748 | -0.1680 | -0.2075 | -0.2076 | -14.0 | 48.8 |
| 052 | SLV A1 | Si | -0.1701 | -0.1749 | -0.1515 | -0.1508 | -8.4 | -41.8 |
| 053 | SLV A1 | Si | -0.1762 | -0.1717 | -0.2158 | -0.2135 | 8.8 | 40.4 |
| 054 | SLV A1 | Si | -0.1715 | -0.1785 | -0.1598 | -0.1567 | 14.4 | -50.1 |
| 055 | SLV A1 | Si | -0.1747 | -0.1681 | -0.2066 | -0.2066 | -14.3 | 50.3 |
| 056 | SLV A1 | Si | -0.1701 | -0.1749 | -0.1506 | -0.1498 | -8.7 | -40.2 |
| 057 | SLV A1 | Si | -0.1761 | -0.1718 | -0.2153 | -0.2128 | 29.7 | 41.7 |
| 058 | SLV A1 | Si | -0.1715 | -0.1785 | -0.1585 | -0.1555 | -7.0 | -48.3 |
| 059 | SLV A1 | Si | -0.1747 | -0.1681 | -0.2079 | -0.2078 | 7.1 | 48.5 |
| 060 | SLV A1 | Si | -0.1701 | -0.1748 | -0.1511 | -0.1505 | -29.6 | -41.5 |
| 061 | SLV A1 | Si | -0.1761 | -0.1717 | -0.2162 | -0.2138 | 30.0 | 40.1 |
| 062 | SLV A1 | Si | -0.1715 | -0.1785 | -0.1594 | -0.1565 | -6.7 | -49.8 |
| 063 | SLV A1 | Si | -0.1747 | -0.1681 | -0.2070 | -0.2068 | 6.8 | 50.0 |
| 064 | SLV A1 | Si | -0.1701 | -0.1749 | -0.1502 | -0.1495 | -29.9 | -40.0 |
| 065 | SLD | Si | -0.1744 | -0.1756 | -0.1926 | -0.1893 | 16.7 | 1.1 |
| 066 | SLD | Si | -0.1738 | -0.1765 | -0.1849 | -0.1815 | 17.5 | -11.3 |
| 067 | SLD | Si | -0.1724 | -0.1701 | -0.1815 | -0.1818 | -17.4 | 11.4 |
| 068 | SLD | Si | -0.1718 | -0.1710 | -0.1738 | -0.1740 | -16.6 | -1.0 |
| 069 | SLD | Si | -0.1744 | -0.1756 | -0.1927 | -0.1893 | 19.6 | 1.1 |
| 070 | SLD | Si | -0.1738 | -0.1765 | -0.1849 | -0.1815 | 14.6 | -11.2 |
| 071 | SLD | Si | -0.1724 | -0.1701 | -0.1815 | -0.1818 | -14.5 | 11.4 |
| 072 | SLD | Si | -0.1718 | -0.1710 | -0.1738 | -0.1740 | -19.5 | -0.9 |
| 073 | SLD | Si | -0.1745 | -0.1756 | -0.1940 | -0.1908 | 17.1 | -1.2 |
| 074 | SLD | Si | -0.1738 | -0.1765 | -0.1863 | -0.1830 | 17.9 | -13.6 |
| 075 | SLD | Si | -0.1724 | -0.1701 | -0.1801 | -0.1803 | -17.8 | 13.8 |
| 076 | SLD | Si | -0.1717 | -0.1711 | -0.1724 | -0.1725 | -17.1 | 1.4 |
| 077 | SLD | Si | -0.1745 | -0.1756 | -0.1941 | -0.1909 | 20.0 | -1.2 |
| 078 | SLD | Si | -0.1738 | -0.1765 | -0.1863 | -0.1830 | 15.0 | -13.5 |
| 079 | SLD | Si | -0.1724 | -0.1701 | -0.1801 | -0.1803 | -14.9 | 13.7 |
| 080 | SLD | Si | -0.1717 | -0.1710 | -0.1723 | -0.1724 | -19.9 | 1.4 |
| 081 | SLD | Si | -0.1745 | -0.1726 | -0.1977 | -0.1957 | 3.9 | 19.2 |

Relazione Geotecnica e delle Fondazioni

| | | | | | | | | |
|-----|-----|----|---------|---------|---------|---------|-------|-------|
| 082 | SLD | Si | -0.1724 | -0.1757 | -0.1721 | -0.1698 | 6.4 | -22.1 |
| 083 | SLD | Si | -0.1739 | -0.1709 | -0.1943 | -0.1935 | -6.4 | 22.3 |
| 084 | SLD | Si | -0.1718 | -0.1740 | -0.1687 | -0.1676 | -3.8 | -19.0 |
| 085 | SLD | Si | -0.1745 | -0.1726 | -0.1981 | -0.1962 | 4.0 | 18.5 |
| 086 | SLD | Si | -0.1724 | -0.1757 | -0.1725 | -0.1703 | 6.6 | -22.8 |
| 087 | SLD | Si | -0.1739 | -0.1709 | -0.1939 | -0.1930 | -6.5 | 23.0 |
| 088 | SLD | Si | -0.1717 | -0.1740 | -0.1683 | -0.1671 | -3.9 | -18.3 |
| 089 | SLD | Si | -0.1745 | -0.1726 | -0.1978 | -0.1958 | 13.5 | 19.1 |
| 090 | SLD | Si | -0.1724 | -0.1757 | -0.1719 | -0.1697 | -3.2 | -22.0 |
| 091 | SLD | Si | -0.1739 | -0.1709 | -0.1945 | -0.1936 | 3.3 | 22.1 |
| 092 | SLD | Si | -0.1718 | -0.1740 | -0.1686 | -0.1675 | -13.4 | -18.9 |
| 093 | SLD | Si | -0.1745 | -0.1726 | -0.1983 | -0.1963 | 13.6 | 18.4 |
| 094 | SLD | Si | -0.1724 | -0.1756 | -0.1723 | -0.1702 | -3.0 | -22.7 |
| 095 | SLD | Si | -0.1738 | -0.1710 | -0.1941 | -0.1931 | 3.1 | 22.8 |
| 096 | SLD | Si | -0.1717 | -0.1740 | -0.1681 | -0.1670 | -13.5 | -18.2 |
| 097 | SLO | Si | -0.1742 | -0.1751 | -0.1906 | -0.1877 | 13.3 | 0.9 |
| 098 | SLO | Si | -0.1737 | -0.1759 | -0.1846 | -0.1816 | 13.9 | -8.9 |
| 099 | SLO | Si | -0.1726 | -0.1707 | -0.1818 | -0.1817 | -13.8 | 9.0 |
| 100 | SLO | Si | -0.1721 | -0.1715 | -0.1758 | -0.1756 | -13.2 | -0.7 |
| 101 | SLO | Si | -0.1742 | -0.1751 | -0.1907 | -0.1877 | 15.5 | 0.9 |
| 102 | SLO | Si | -0.1737 | -0.1759 | -0.1845 | -0.1815 | 11.6 | -8.9 |
| 103 | SLO | Si | -0.1726 | -0.1707 | -0.1819 | -0.1818 | -11.5 | 9.1 |
| 104 | SLO | Si | -0.1721 | -0.1715 | -0.1757 | -0.1756 | -15.5 | -0.7 |
| 105 | SLO | Si | -0.1742 | -0.1751 | -0.1918 | -0.1889 | 13.6 | -0.9 |
| 106 | SLO | Si | -0.1737 | -0.1758 | -0.1857 | -0.1828 | 14.2 | -10.7 |
| 107 | SLO | Si | -0.1725 | -0.1708 | -0.1807 | -0.1805 | -14.1 | 10.9 |
| 108 | SLO | Si | -0.1720 | -0.1715 | -0.1747 | -0.1744 | -13.5 | 1.1 |
| 109 | SLO | Si | -0.1742 | -0.1751 | -0.1918 | -0.1890 | 15.9 | -0.9 |
| 110 | SLO | Si | -0.1737 | -0.1758 | -0.1857 | -0.1827 | 11.9 | -10.7 |
| 111 | SLO | Si | -0.1725 | -0.1708 | -0.1808 | -0.1806 | -11.9 | 10.9 |
| 112 | SLO | Si | -0.1720 | -0.1715 | -0.1746 | -0.1744 | -15.8 | 1.1 |
| 113 | SLO | Si | -0.1742 | -0.1727 | -0.1946 | -0.1927 | 3.1 | 15.1 |
| 114 | SLO | Si | -0.1725 | -0.1752 | -0.1745 | -0.1724 | 5.1 | -17.3 |
| 115 | SLO | Si | -0.1737 | -0.1714 | -0.1919 | -0.1909 | -5.0 | 17.5 |
| 116 | SLO | Si | -0.1720 | -0.1739 | -0.1718 | -0.1706 | -3.0 | -14.9 |
| 117 | SLO | Si | -0.1742 | -0.1727 | -0.1949 | -0.1931 | 3.2 | 14.5 |
| 118 | SLO | Si | -0.1725 | -0.1752 | -0.1748 | -0.1727 | 5.2 | -17.9 |
| 119 | SLO | Si | -0.1737 | -0.1714 | -0.1916 | -0.1906 | -5.1 | 18.1 |
| 120 | SLO | Si | -0.1720 | -0.1739 | -0.1715 | -0.1702 | -3.1 | -14.3 |
| 121 | SLO | Si | -0.1742 | -0.1728 | -0.1948 | -0.1929 | 10.7 | 15.2 |
| 122 | SLO | Si | -0.1725 | -0.1752 | -0.1742 | -0.1722 | -2.5 | -17.4 |
| 123 | SLO | Si | -0.1737 | -0.1714 | -0.1922 | -0.1911 | 2.6 | 17.6 |
| 124 | SLO | Si | -0.1720 | -0.1739 | -0.1716 | -0.1704 | -10.6 | -15.0 |
| 125 | SLO | Si | -0.1742 | -0.1727 | -0.1952 | -0.1933 | 10.8 | 14.6 |
| 126 | SLO | Si | -0.1725 | -0.1752 | -0.1746 | -0.1725 | -2.4 | -18.0 |
| 127 | SLO | Si | -0.1737 | -0.1714 | -0.1918 | -0.1908 | 2.5 | 18.2 |
| 128 | SLO | Si | -0.1720 | -0.1739 | -0.1713 | -0.1700 | -10.7 | -14.4 |

Elemento: Platea n. 15

| Cmb | Tipo | Sism. | Press. N1 | Press. N2 | Press. N3 | Press. N4 | S. Taglio X | S. Taglio Y |
|-----|----------|-------|---------------------|---------------------|---------------------|---------------------|-------------|-------------|
| n. | | | daN/cm ² | daN/cm ² | daN/cm ² | daN/cm ² | daN | daN |
| 001 | SLU STR | No | -0.1742 | -0.1745 | -0.1794 | -0.1806 | 0.0 | 0.0 |
| 002 | SLU STR | No | -0.2267 | -0.2270 | -0.2319 | -0.2331 | 0.0 | 0.0 |
| 003 | SLU STR | No | -0.2501 | -0.2480 | -0.2676 | -0.2747 | 0.1 | -0.2 |
| 004 | SLU STR | No | -0.3026 | -0.3005 | -0.3201 | -0.3272 | 0.1 | -0.2 |
| 005 | SLU STR | No | -0.1290 | -0.1292 | -0.1328 | -0.1335 | 0.0 | 0.0 |
| 006 | SLU STR | No | -0.1815 | -0.1817 | -0.1853 | -0.1860 | 0.0 | 0.0 |
| 007 | SLU STR | No | -0.2048 | -0.2028 | -0.2209 | -0.2277 | 0.1 | -0.1 |
| 008 | SLU STR | No | -0.2573 | -0.2553 | -0.2734 | -0.2802 | 0.1 | -0.1 |
| 009 | SLU STR | No | -0.2492 | -0.2495 | -0.2544 | -0.2556 | 0.0 | 0.0 |
| 010 | SLU STR | No | -0.2273 | -0.2259 | -0.2411 | -0.2465 | 0.1 | -0.1 |
| 011 | SLU STR | No | -0.3023 | -0.3009 | -0.3161 | -0.3215 | 0.1 | -0.1 |
| 012 | SLU STR | No | -0.2040 | -0.2042 | -0.2078 | -0.2085 | 0.0 | 0.0 |
| 013 | SLU STR | No | -0.1821 | -0.1807 | -0.1945 | -0.1994 | 0.1 | -0.1 |
| 014 | SLU STR | No | -0.2571 | -0.2557 | -0.2695 | -0.2744 | 0.1 | -0.1 |
| 015 | SLE rare | No | -0.1318 | -0.1320 | -0.1357 | -0.1366 | 0.0 | 0.0 |
| 016 | SLE rare | No | -0.1668 | -0.1670 | -0.1707 | -0.1716 | 0.0 | 0.0 |
| 017 | SLE rare | No | -0.1824 | -0.1811 | -0.1945 | -0.1993 | 0.1 | -0.1 |
| 018 | SLE rare | No | -0.2174 | -0.2161 | -0.2295 | -0.2343 | 0.1 | -0.1 |
| 019 | SLE rare | No | -0.1818 | -0.1820 | -0.1857 | -0.1866 | 0.0 | 0.0 |
| 020 | SLE rare | No | -0.1672 | -0.1664 | -0.1769 | -0.1805 | 0.1 | -0.1 |
| 021 | SLE rare | No | -0.2172 | -0.2164 | -0.2269 | -0.2305 | 0.1 | -0.1 |
| 022 | SLE freq | No | -0.1318 | -0.1320 | -0.1357 | -0.1366 | 0.0 | 0.0 |

| COMMITTENTE: Mecca Antonio | | CODICE COMMESSA: | NOME ELABORATO: S1.5 - Relazione Geotecnica e delle Fondazioni | | | CONSULENTE: | | |
|-------------------------------|----------|----------------------------------------------------------------------------------------------------------------------|-------------------------------------------------------------------------|---------|---------|-------------|-------|-------|
| DATA: Aprile 2023 | | TITOLO: Lavori ultimazione di un fabbricato adibito ad albergo-ristorante– C.da Case Nuove Chicone Avigliano (PZ) | | | | | | |
| 023 | SLE freq | No | -0.1618 | -0.1620 | -0.1657 | -0.1666 | 0.0 | 0.0 |
| 024 | SLE freq | No | -0.1672 | -0.1664 | -0.1769 | -0.1805 | 0.1 | -0.1 |
| 025 | SLE freq | No | -0.1972 | -0.1964 | -0.2069 | -0.2105 | 0.1 | -0.1 |
| 026 | SLE freq | No | -0.1668 | -0.1670 | -0.1707 | -0.1716 | 0.0 | 0.0 |
| 027 | SLE freq | No | -0.1622 | -0.1615 | -0.1710 | -0.1742 | 0.1 | -0.1 |
| 028 | SLE freq | No | -0.1972 | -0.1965 | -0.2060 | -0.2092 | 0.1 | -0.1 |
| 029 | SLE q.p. | No | -0.1318 | -0.1320 | -0.1357 | -0.1366 | 0.0 | 0.0 |
| 030 | SLE q.p. | No | -0.1618 | -0.1620 | -0.1657 | -0.1666 | 0.0 | 0.0 |
| 031 | SLE q.p. | No | -0.1622 | -0.1615 | -0.1710 | -0.1742 | 0.1 | -0.1 |
| 032 | SLE q.p. | No | -0.1922 | -0.1915 | -0.2010 | -0.2042 | 0.1 | -0.1 |
| 033 | SLV A1 | Si | -0.2393 | -0.2402 | -0.2621 | -0.2676 | 18.8 | -0.8 |
| 034 | SLV A1 | Si | -0.2163 | -0.2186 | -0.2256 | -0.2255 | 27.1 | -28.2 |
| 035 | SLV A1 | Si | -0.1681 | -0.1643 | -0.1764 | -0.1829 | -27.0 | 28.0 |
| 036 | SLV A1 | Si | -0.1451 | -0.1428 | -0.1399 | -0.1409 | -18.7 | 0.7 |
| 037 | SLV A1 | Si | -0.2396 | -0.2405 | -0.2624 | -0.2679 | 26.9 | -1.7 |
| 038 | SLV A1 | Si | -0.2159 | -0.2182 | -0.2252 | -0.2251 | 19.0 | -27.2 |
| 039 | SLV A1 | Si | -0.1684 | -0.1647 | -0.1768 | -0.1833 | -18.9 | 27.1 |
| 040 | SLV A1 | Si | -0.1447 | -0.1424 | -0.1395 | -0.1405 | -26.8 | 1.6 |
| 041 | SLV A1 | Si | -0.2428 | -0.2434 | -0.2679 | -0.2746 | 20.0 | -4.2 |
| 042 | SLV A1 | Si | -0.2198 | -0.2218 | -0.2314 | -0.2325 | 28.3 | -31.5 |
| 043 | SLV A1 | Si | -0.1645 | -0.1611 | -0.1705 | -0.1759 | -28.2 | 31.4 |
| 044 | SLV A1 | Si | -0.1416 | -0.1395 | -0.1341 | -0.1339 | -19.9 | 4.0 |
| 045 | SLV A1 | Si | -0.2431 | -0.2437 | -0.2683 | -0.2749 | 28.1 | -5.1 |
| 046 | SLV A1 | Si | -0.2195 | -0.2214 | -0.2311 | -0.2321 | 20.2 | -30.6 |
| 047 | SLV A1 | Si | -0.1649 | -0.1615 | -0.1709 | -0.1763 | -20.1 | 30.5 |
| 048 | SLV A1 | Si | -0.1412 | -0.1392 | -0.1337 | -0.1335 | -28.0 | 5.0 |
| 049 | SLV A1 | Si | -0.2411 | -0.2388 | -0.2746 | -0.2870 | -6.9 | 41.2 |
| 050 | SLV A1 | Si | -0.1646 | -0.1669 | -0.1531 | -0.1468 | 20.8 | -50.0 |
| 051 | SLV A1 | Si | -0.2198 | -0.2160 | -0.2489 | -0.2616 | -20.7 | 49.9 |
| 052 | SLV A1 | Si | -0.1432 | -0.1441 | -0.1274 | -0.1214 | 7.0 | -41.4 |
| 053 | SLV A1 | Si | -0.2422 | -0.2397 | -0.2764 | -0.2891 | -6.6 | 40.2 |
| 054 | SLV A1 | Si | -0.1656 | -0.1678 | -0.1548 | -0.1489 | 21.1 | -51.0 |
| 055 | SLV A1 | Si | -0.2187 | -0.2151 | -0.2471 | -0.2595 | -21.0 | 50.9 |
| 056 | SLV A1 | Si | -0.1422 | -0.1432 | -0.1256 | -0.1193 | 6.7 | -40.4 |
| 057 | SLV A1 | Si | -0.2423 | -0.2401 | -0.2759 | -0.2882 | 20.1 | 38.1 |
| 058 | SLV A1 | Si | -0.1634 | -0.1656 | -0.1518 | -0.1456 | -6.2 | -46.9 |
| 059 | SLV A1 | Si | -0.2209 | -0.2173 | -0.2502 | -0.2628 | 6.3 | 46.7 |
| 060 | SLV A1 | Si | -0.1420 | -0.1429 | -0.1261 | -0.1202 | -20.0 | -38.2 |
| 061 | SLV A1 | Si | -0.2434 | -0.2410 | -0.2776 | -0.2903 | 20.4 | 37.1 |
| 062 | SLV A1 | Si | -0.1645 | -0.1666 | -0.1536 | -0.1477 | -5.9 | -47.9 |
| 063 | SLV A1 | Si | -0.2199 | -0.2163 | -0.2484 | -0.2608 | 6.0 | 47.8 |
| 064 | SLV A1 | Si | -0.1410 | -0.1419 | -0.1243 | -0.1181 | -20.3 | -37.2 |
| 065 | SLD | Si | -0.2135 | -0.2135 | -0.2287 | -0.2330 | 8.5 | -0.4 |
| 066 | SLD | Si | -0.2031 | -0.2037 | -0.2121 | -0.2138 | 12.3 | -12.9 |
| 067 | SLD | Si | -0.1813 | -0.1792 | -0.1899 | -0.1946 | -12.2 | 12.7 |
| 068 | SLD | Si | -0.1708 | -0.1694 | -0.1733 | -0.1755 | -8.4 | 0.2 |
| 069 | SLD | Si | -0.2137 | -0.2137 | -0.2289 | -0.2332 | 12.2 | -0.8 |
| 070 | SLD | Si | -0.2029 | -0.2035 | -0.2119 | -0.2136 | 8.6 | -12.4 |
| 071 | SLD | Si | -0.1814 | -0.1794 | -0.1901 | -0.1948 | -8.5 | 12.3 |
| 072 | SLD | Si | -0.1707 | -0.1692 | -0.1731 | -0.1753 | -12.1 | 0.6 |
| 073 | SLD | Si | -0.2152 | -0.2150 | -0.2314 | -0.2362 | 9.1 | -1.9 |
| 074 | SLD | Si | -0.2047 | -0.2052 | -0.2148 | -0.2170 | 12.9 | -14.4 |
| 075 | SLD | Si | -0.1797 | -0.1777 | -0.1872 | -0.1915 | -12.8 | 14.3 |
| 076 | SLD | Si | -0.1692 | -0.1679 | -0.1706 | -0.1723 | -9.0 | 1.8 |
| 077 | SLD | Si | -0.2153 | -0.2152 | -0.2316 | -0.2364 | 12.8 | -2.3 |
| 078 | SLD | Si | -0.2045 | -0.2050 | -0.2146 | -0.2168 | 9.2 | -14.0 |
| 079 | SLD | Si | -0.1798 | -0.1779 | -0.1874 | -0.1916 | -9.1 | 13.8 |
| 080 | SLD | Si | -0.1690 | -0.1677 | -0.1704 | -0.1721 | -12.7 | 2.2 |
| 081 | SLD | Si | -0.2145 | -0.2130 | -0.2345 | -0.2420 | -3.1 | 18.8 |
| 082 | SLD | Si | -0.1796 | -0.1802 | -0.1791 | -0.1780 | 9.5 | -22.9 |
| 083 | SLD | Si | -0.2048 | -0.2027 | -0.2229 | -0.2305 | -9.4 | 22.7 |
| 084 | SLD | Si | -0.1699 | -0.1699 | -0.1674 | -0.1665 | 3.2 | -18.9 |
| 085 | SLD | Si | -0.2150 | -0.2134 | -0.2353 | -0.2429 | -3.0 | 18.3 |
| 086 | SLD | Si | -0.1800 | -0.1807 | -0.1799 | -0.1789 | 9.6 | -23.3 |
| 087 | SLD | Si | -0.2043 | -0.2023 | -0.2221 | -0.2295 | -9.5 | 23.2 |
| 088 | SLD | Si | -0.1694 | -0.1695 | -0.1666 | -0.1655 | 3.1 | -18.5 |
| 089 | SLD | Si | -0.2150 | -0.2136 | -0.2351 | -0.2425 | 9.2 | 17.4 |
| 090 | SLD | Si | -0.1790 | -0.1796 | -0.1785 | -0.1774 | -2.8 | -21.4 |
| 091 | SLD | Si | -0.2053 | -0.2033 | -0.2235 | -0.2310 | 2.9 | 21.3 |
| 092 | SLD | Si | -0.1694 | -0.1693 | -0.1669 | -0.1659 | -9.0 | -17.5 |
| 093 | SLD | Si | -0.2155 | -0.2140 | -0.2359 | -0.2435 | 9.3 | 16.9 |
| 094 | SLD | Si | -0.1795 | -0.1801 | -0.1793 | -0.1784 | -2.7 | -21.9 |

Relazione Geotecnica e delle Fondazioni

| | | | | | | | | |
|-----|-----|----|---------|---------|---------|---------|-------|-------|
| 095 | SLD | Si | -0.2048 | -0.2028 | -0.2227 | -0.2300 | 2.8 | 21.7 |
| 096 | SLD | Si | -0.1689 | -0.1689 | -0.1661 | -0.1650 | -9.2 | -17.0 |
| 097 | SLO | Si | -0.2091 | -0.2089 | -0.2229 | -0.2270 | 6.8 | -0.3 |
| 098 | SLO | Si | -0.2009 | -0.2012 | -0.2099 | -0.2119 | 9.8 | -10.2 |
| 099 | SLO | Si | -0.1835 | -0.1817 | -0.1921 | -0.1965 | -9.7 | 10.0 |
| 100 | SLO | Si | -0.1753 | -0.1740 | -0.1791 | -0.1815 | -6.7 | 0.2 |
| 101 | SLO | Si | -0.2093 | -0.2091 | -0.2231 | -0.2272 | 9.7 | -0.6 |
| 102 | SLO | Si | -0.2007 | -0.2010 | -0.2096 | -0.2117 | 6.9 | -9.9 |
| 103 | SLO | Si | -0.1837 | -0.1819 | -0.1923 | -0.1968 | -6.8 | 9.7 |
| 104 | SLO | Si | -0.1751 | -0.1738 | -0.1789 | -0.1813 | -9.6 | 0.5 |
| 105 | SLO | Si | -0.2104 | -0.2101 | -0.2250 | -0.2295 | 7.2 | -1.6 |
| 106 | SLO | Si | -0.2021 | -0.2024 | -0.2120 | -0.2144 | 10.2 | -11.4 |
| 107 | SLO | Si | -0.1822 | -0.1805 | -0.1900 | -0.1940 | -10.1 | 11.2 |
| 108 | SLO | Si | -0.1740 | -0.1728 | -0.1769 | -0.1789 | -7.1 | 1.4 |
| 109 | SLO | Si | -0.2105 | -0.2103 | -0.2252 | -0.2297 | 10.1 | -1.8 |
| 110 | SLO | Si | -0.2020 | -0.2022 | -0.2118 | -0.2142 | 7.3 | -11.1 |
| 111 | SLO | Si | -0.1824 | -0.1807 | -0.1902 | -0.1942 | -7.2 | 10.9 |
| 112 | SLO | Si | -0.1738 | -0.1726 | -0.1767 | -0.1787 | -10.0 | 1.7 |
| 113 | SLO | Si | -0.2097 | -0.2084 | -0.2274 | -0.2339 | -2.4 | 14.7 |
| 114 | SLO | Si | -0.1823 | -0.1827 | -0.1838 | -0.1837 | 7.5 | -18.0 |
| 115 | SLO | Si | -0.2021 | -0.2003 | -0.2181 | -0.2248 | -7.4 | 17.8 |
| 116 | SLO | Si | -0.1746 | -0.1745 | -0.1746 | -0.1745 | 2.5 | -14.9 |
| 117 | SLO | Si | -0.2101 | -0.2088 | -0.2280 | -0.2347 | -2.3 | 14.4 |
| 118 | SLO | Si | -0.1827 | -0.1830 | -0.1845 | -0.1844 | 7.6 | -18.3 |
| 119 | SLO | Si | -0.2017 | -0.1999 | -0.2175 | -0.2240 | -7.5 | 18.2 |
| 120 | SLO | Si | -0.1742 | -0.1741 | -0.1740 | -0.1738 | 2.4 | -14.5 |
| 121 | SLO | Si | -0.2103 | -0.2090 | -0.2281 | -0.2346 | 7.3 | 13.8 |
| 122 | SLO | Si | -0.1817 | -0.1821 | -0.1831 | -0.1830 | -2.2 | -17.0 |
| 123 | SLO | Si | -0.2026 | -0.2008 | -0.2188 | -0.2255 | 2.3 | 16.9 |
| 124 | SLO | Si | -0.1741 | -0.1739 | -0.1739 | -0.1738 | -7.2 | -13.9 |
| 125 | SLO | Si | -0.2107 | -0.2094 | -0.2287 | -0.2354 | 7.4 | 13.4 |
| 126 | SLO | Si | -0.1821 | -0.1824 | -0.1838 | -0.1837 | -2.1 | -17.4 |
| 127 | SLO | Si | -0.2022 | -0.2005 | -0.2182 | -0.2247 | 2.2 | 17.2 |
| 128 | SLO | Si | -0.1737 | -0.1735 | -0.1733 | -0.1731 | -7.3 | -13.5 |

Elemento: Platea n. 16

| Cmb | Tipo | Sism. | Press. N1 | Press. N2 | Press. N3 | Press. N4 | S. Taglio X | S. Taglio Y |
|-----|----------|-------|---------------------|---------------------|---------------------|---------------------|-------------|-------------|
| n. | | | daN/cm ² | daN/cm ² | daN/cm ² | daN/cm ² | daN | daN |
| 001 | SLU STR | No | -0.1576 | -0.1564 | -0.1601 | -0.1607 | 0.0 | 0.0 |
| 002 | SLU STR | No | -0.2101 | -0.2089 | -0.2126 | -0.2132 | 0.0 | 0.0 |
| 003 | SLU STR | No | -0.2012 | -0.1973 | -0.2122 | -0.2139 | 0.0 | -0.2 |
| 004 | SLU STR | No | -0.2537 | -0.2498 | -0.2647 | -0.2664 | 0.0 | -0.2 |
| 005 | SLU STR | No | -0.1168 | -0.1160 | -0.1186 | -0.1190 | 0.0 | 0.0 |
| 006 | SLU STR | No | -0.1693 | -0.1685 | -0.1711 | -0.1715 | 0.0 | 0.0 |
| 007 | SLU STR | No | -0.1605 | -0.1568 | -0.1707 | -0.1723 | 0.0 | -0.2 |
| 008 | SLU STR | No | -0.2130 | -0.2093 | -0.2232 | -0.2248 | 0.0 | -0.2 |
| 009 | SLU STR | No | -0.2326 | -0.2314 | -0.2351 | -0.2357 | 0.0 | 0.0 |
| 010 | SLU STR | No | -0.1881 | -0.1850 | -0.1966 | -0.1980 | 0.0 | -0.1 |
| 011 | SLU STR | No | -0.2631 | -0.2600 | -0.2716 | -0.2730 | 0.0 | -0.1 |
| 012 | SLU STR | No | -0.1918 | -0.1910 | -0.1936 | -0.1940 | 0.0 | 0.0 |
| 013 | SLU STR | No | -0.1474 | -0.1446 | -0.1551 | -0.1563 | 0.0 | -0.1 |
| 014 | SLU STR | No | -0.2224 | -0.2196 | -0.2301 | -0.2313 | 0.0 | -0.1 |
| 015 | SLE rare | No | -0.1193 | -0.1184 | -0.1212 | -0.1216 | 0.0 | 0.0 |
| 016 | SLE rare | No | -0.1543 | -0.1534 | -0.1562 | -0.1566 | 0.0 | 0.0 |
| 017 | SLE rare | No | -0.1484 | -0.1457 | -0.1559 | -0.1571 | 0.0 | -0.1 |
| 018 | SLE rare | No | -0.1834 | -0.1807 | -0.1909 | -0.1921 | 0.0 | -0.1 |
| 019 | SLE rare | No | -0.1693 | -0.1684 | -0.1712 | -0.1716 | 0.0 | 0.0 |
| 020 | SLE rare | No | -0.1397 | -0.1375 | -0.1455 | -0.1465 | 0.0 | -0.1 |
| 021 | SLE rare | No | -0.1897 | -0.1875 | -0.1955 | -0.1965 | 0.0 | -0.1 |
| 022 | SLE freq | No | -0.1193 | -0.1184 | -0.1212 | -0.1216 | 0.0 | 0.0 |
| 023 | SLE freq | No | -0.1493 | -0.1484 | -0.1512 | -0.1516 | 0.0 | 0.0 |
| 024 | SLE freq | No | -0.1397 | -0.1375 | -0.1455 | -0.1465 | 0.0 | -0.1 |
| 025 | SLE freq | No | -0.1697 | -0.1675 | -0.1755 | -0.1765 | 0.0 | -0.1 |
| 026 | SLE freq | No | -0.1543 | -0.1534 | -0.1562 | -0.1566 | 0.0 | 0.0 |
| 027 | SLE freq | No | -0.1368 | -0.1348 | -0.1420 | -0.1429 | 0.0 | -0.1 |
| 028 | SLE freq | No | -0.1718 | -0.1698 | -0.1770 | -0.1779 | 0.0 | -0.1 |
| 029 | SLE q.p. | No | -0.1193 | -0.1184 | -0.1212 | -0.1216 | 0.0 | 0.0 |
| 030 | SLE q.p. | No | -0.1493 | -0.1484 | -0.1512 | -0.1516 | 0.0 | 0.0 |
| 031 | SLE q.p. | No | -0.1368 | -0.1348 | -0.1420 | -0.1429 | 0.0 | -0.1 |
| 032 | SLE q.p. | No | -0.1668 | -0.1648 | -0.1720 | -0.1729 | 0.0 | -0.1 |
| 033 | SLV A1 | Si | -0.1117 | -0.1125 | -0.1326 | -0.1277 | 24.8 | 42.1 |
| 034 | SLV A1 | Si | -0.1320 | -0.1352 | -0.1419 | -0.1380 | 18.5 | 25.0 |
| 035 | SLV A1 | Si | -0.2015 | -0.1943 | -0.2021 | -0.2079 | -18.5 | -25.2 |

| | | | |
|--------------------------------------|------------------------------------------------------------------------------------------------------------------------------|----------------------------------------------------------------------------------|-------------|
| COMMITTENTE: Mecca Antonio | CODICE COMMESSA: | NOME ELABORATO: S1.5 - Relazione Geotecnica e delle Fondazioni | CONSULENTE: |
| DATA: Aprile 2023 | TITOLO: Lavori ultimazione di un fabbricato adibito ad albergo-ristorante– C.da Case Nuove Chicone Avigliano (PZ) | | |

| | | | | | | | | |
|-----|--------|----|---------|---------|---------|---------|-------|-------|
| 036 | SLV A1 | Si | -0.2218 | -0.2170 | -0.2114 | -0.2181 | -24.8 | -42.3 |
| 037 | SLV A1 | Si | -0.1113 | -0.1122 | -0.1323 | -0.1274 | 18.4 | 42.0 |
| 038 | SLV A1 | Si | -0.1324 | -0.1356 | -0.1422 | -0.1383 | 24.8 | 25.2 |
| 039 | SLV A1 | Si | -0.2011 | -0.1940 | -0.2018 | -0.2075 | -24.9 | -25.3 |
| 040 | SLV A1 | Si | -0.2222 | -0.2174 | -0.2117 | -0.2184 | -18.5 | -42.2 |
| 041 | SLV A1 | Si | -0.1091 | -0.1093 | -0.1320 | -0.1271 | 24.6 | 47.3 |
| 042 | SLV A1 | Si | -0.1293 | -0.1321 | -0.1413 | -0.1374 | 18.3 | 30.2 |
| 043 | SLV A1 | Si | -0.2042 | -0.1975 | -0.2027 | -0.2085 | -18.3 | -30.4 |
| 044 | SLV A1 | Si | -0.2244 | -0.2202 | -0.2120 | -0.2187 | -24.6 | -47.5 |
| 045 | SLV A1 | Si | -0.1087 | -0.1090 | -0.1317 | -0.1268 | 18.3 | 47.2 |
| 046 | SLV A1 | Si | -0.1297 | -0.1324 | -0.1416 | -0.1377 | 24.6 | 30.4 |
| 047 | SLV A1 | Si | -0.2038 | -0.1971 | -0.2024 | -0.2081 | -24.7 | -30.5 |
| 048 | SLV A1 | Si | -0.2248 | -0.2206 | -0.2123 | -0.2190 | -18.3 | -47.4 |
| 049 | SLV A1 | Si | -0.1195 | -0.1146 | -0.1460 | -0.1438 | 16.9 | 38.5 |
| 050 | SLV A1 | Si | -0.1870 | -0.1904 | -0.1772 | -0.1780 | -3.9 | -18.5 |
| 051 | SLV A1 | Si | -0.1465 | -0.1391 | -0.1669 | -0.1678 | 3.9 | 18.3 |
| 052 | SLV A1 | Si | -0.2140 | -0.2149 | -0.1980 | -0.2020 | -16.9 | -38.7 |
| 053 | SLV A1 | Si | -0.1187 | -0.1137 | -0.1458 | -0.1436 | 16.9 | 40.1 |
| 054 | SLV A1 | Si | -0.1863 | -0.1895 | -0.1770 | -0.1778 | -4.0 | -16.9 |
| 055 | SLV A1 | Si | -0.1472 | -0.1401 | -0.1670 | -0.1680 | 4.0 | 16.7 |
| 056 | SLV A1 | Si | -0.2148 | -0.2159 | -0.1982 | -0.2022 | -16.9 | -40.2 |
| 057 | SLV A1 | Si | -0.1182 | -0.1134 | -0.1450 | -0.1427 | -4.2 | 38.1 |
| 058 | SLV A1 | Si | -0.1884 | -0.1916 | -0.1781 | -0.1791 | 17.1 | -18.0 |
| 059 | SLV A1 | Si | -0.1451 | -0.1380 | -0.1659 | -0.1668 | -17.1 | 17.9 |
| 060 | SLV A1 | Si | -0.2154 | -0.2161 | -0.1990 | -0.2031 | 4.1 | -38.2 |
| 061 | SLV A1 | Si | -0.1174 | -0.1125 | -0.1449 | -0.1425 | -4.2 | 39.6 |
| 062 | SLV A1 | Si | -0.1876 | -0.1906 | -0.1780 | -0.1789 | 17.1 | -16.5 |
| 063 | SLV A1 | Si | -0.1459 | -0.1389 | -0.1661 | -0.1669 | -17.1 | 16.3 |
| 064 | SLV A1 | Si | -0.2161 | -0.2171 | -0.1992 | -0.2033 | 4.2 | -39.8 |
| 065 | SLD | Si | -0.1418 | -0.1411 | -0.1542 | -0.1524 | 11.2 | 19.0 |
| 066 | SLD | Si | -0.1510 | -0.1514 | -0.1584 | -0.1571 | 8.4 | 11.3 |
| 067 | SLD | Si | -0.1825 | -0.1781 | -0.1856 | -0.1887 | -8.4 | -11.5 |
| 068 | SLD | Si | -0.1917 | -0.1885 | -0.1899 | -0.1934 | -11.2 | -19.2 |
| 069 | SLD | Si | -0.1416 | -0.1409 | -0.1540 | -0.1523 | 8.3 | 18.9 |
| 070 | SLD | Si | -0.1512 | -0.1516 | -0.1585 | -0.1572 | 11.2 | 11.3 |
| 071 | SLD | Si | -0.1823 | -0.1780 | -0.1855 | -0.1886 | -11.2 | -11.5 |
| 072 | SLD | Si | -0.1919 | -0.1886 | -0.1900 | -0.1935 | -8.4 | -19.1 |
| 073 | SLD | Si | -0.1406 | -0.1396 | -0.1539 | -0.1521 | 11.1 | 21.4 |
| 074 | SLD | Si | -0.1498 | -0.1500 | -0.1581 | -0.1568 | 8.3 | 13.7 |
| 075 | SLD | Si | -0.1837 | -0.1796 | -0.1859 | -0.1890 | -8.3 | -13.8 |
| 076 | SLD | Si | -0.1929 | -0.1899 | -0.1902 | -0.1937 | -11.1 | -21.5 |
| 077 | SLD | Si | -0.1404 | -0.1395 | -0.1537 | -0.1520 | 8.3 | 21.3 |
| 078 | SLD | Si | -0.1500 | -0.1501 | -0.1582 | -0.1569 | 11.1 | 13.7 |
| 079 | SLD | Si | -0.1835 | -0.1794 | -0.1858 | -0.1889 | -11.2 | -13.9 |
| 080 | SLD | Si | -0.1931 | -0.1901 | -0.1903 | -0.1938 | -8.3 | -21.5 |
| 081 | SLD | Si | -0.1453 | -0.1419 | -0.1602 | -0.1597 | 7.6 | 17.3 |
| 082 | SLD | Si | -0.1760 | -0.1765 | -0.1743 | -0.1752 | -1.8 | -8.3 |
| 083 | SLD | Si | -0.1575 | -0.1530 | -0.1697 | -0.1706 | 1.8 | 8.2 |
| 084 | SLD | Si | -0.1882 | -0.1876 | -0.1838 | -0.1861 | -7.7 | -17.5 |
| 085 | SLD | Si | -0.1449 | -0.1415 | -0.1601 | -0.1596 | 7.6 | 18.0 |
| 086 | SLD | Si | -0.1757 | -0.1761 | -0.1743 | -0.1751 | -1.8 | -7.6 |
| 087 | SLD | Si | -0.1578 | -0.1535 | -0.1698 | -0.1707 | 1.8 | 7.5 |
| 088 | SLD | Si | -0.1886 | -0.1881 | -0.1839 | -0.1862 | -7.6 | -18.2 |
| 089 | SLD | Si | -0.1447 | -0.1414 | -0.1598 | -0.1592 | -1.9 | 17.1 |
| 090 | SLD | Si | -0.1766 | -0.1770 | -0.1748 | -0.1757 | 7.7 | -8.1 |
| 091 | SLD | Si | -0.1569 | -0.1525 | -0.1692 | -0.1701 | -7.8 | 8.0 |
| 092 | SLD | Si | -0.1889 | -0.1881 | -0.1842 | -0.1866 | 1.9 | -17.3 |
| 093 | SLD | Si | -0.1443 | -0.1410 | -0.1597 | -0.1591 | -1.9 | 17.8 |
| 094 | SLD | Si | -0.1763 | -0.1766 | -0.1747 | -0.1756 | 7.7 | -7.4 |
| 095 | SLD | Si | -0.1572 | -0.1530 | -0.1693 | -0.1702 | -7.7 | 7.3 |
| 096 | SLD | Si | -0.1892 | -0.1886 | -0.1843 | -0.1867 | 1.9 | -18.0 |
| 097 | SLO | Si | -0.1470 | -0.1460 | -0.1578 | -0.1567 | 8.9 | 15.0 |
| 098 | SLO | Si | -0.1542 | -0.1541 | -0.1612 | -0.1603 | 6.6 | 8.9 |
| 099 | SLO | Si | -0.1793 | -0.1754 | -0.1828 | -0.1855 | -6.7 | -9.1 |
| 100 | SLO | Si | -0.1865 | -0.1836 | -0.1862 | -0.1892 | -8.9 | -15.2 |
| 101 | SLO | Si | -0.1468 | -0.1458 | -0.1577 | -0.1565 | 6.6 | 15.0 |
| 102 | SLO | Si | -0.1544 | -0.1543 | -0.1613 | -0.1605 | 8.9 | 9.0 |
| 103 | SLO | Si | -0.1791 | -0.1752 | -0.1827 | -0.1854 | -8.9 | -9.2 |
| 104 | SLO | Si | -0.1867 | -0.1837 | -0.1863 | -0.1893 | -6.6 | -15.2 |
| 105 | SLO | Si | -0.1460 | -0.1448 | -0.1576 | -0.1564 | 8.8 | 16.9 |
| 106 | SLO | Si | -0.1533 | -0.1530 | -0.1610 | -0.1601 | 6.6 | 10.8 |
| 107 | SLO | Si | -0.1802 | -0.1766 | -0.1831 | -0.1857 | -6.6 | -11.0 |

Relazione Geotecnica e delle Fondazioni

| | | | | | | | | |
|-----|-----|----|---------|---------|---------|---------|------|-------|
| 108 | SLO | Si | -0.1875 | -0.1847 | -0.1864 | -0.1894 | -8.8 | -17.1 |
| 109 | SLO | Si | -0.1458 | -0.1447 | -0.1575 | -0.1563 | 6.6 | 16.9 |
| 110 | SLO | Si | -0.1534 | -0.1532 | -0.1611 | -0.1602 | 8.8 | 10.9 |
| 111 | SLO | Si | -0.1801 | -0.1764 | -0.1829 | -0.1856 | -8.9 | -11.1 |
| 112 | SLO | Si | -0.1877 | -0.1849 | -0.1865 | -0.1895 | -6.6 | -17.1 |
| 113 | SLO | Si | -0.1498 | -0.1468 | -0.1627 | -0.1624 | 6.1 | 13.7 |
| 114 | SLO | Si | -0.1740 | -0.1740 | -0.1739 | -0.1747 | -1.4 | -6.6 |
| 115 | SLO | Si | -0.1595 | -0.1556 | -0.1702 | -0.1711 | 1.4 | 6.5 |
| 116 | SLO | Si | -0.1837 | -0.1828 | -0.1814 | -0.1834 | -6.1 | -13.9 |
| 117 | SLO | Si | -0.1495 | -0.1464 | -0.1626 | -0.1624 | 6.0 | 14.3 |
| 118 | SLO | Si | -0.1737 | -0.1736 | -0.1738 | -0.1747 | -1.4 | -6.1 |
| 119 | SLO | Si | -0.1598 | -0.1559 | -0.1702 | -0.1712 | 1.4 | 5.9 |
| 120 | SLO | Si | -0.1840 | -0.1831 | -0.1814 | -0.1834 | -6.1 | -14.4 |
| 121 | SLO | Si | -0.1492 | -0.1462 | -0.1623 | -0.1621 | -1.5 | 13.6 |
| 122 | SLO | Si | -0.1746 | -0.1745 | -0.1742 | -0.1751 | 6.1 | -6.5 |
| 123 | SLO | Si | -0.1589 | -0.1551 | -0.1698 | -0.1707 | -6.2 | 6.3 |
| 124 | SLO | Si | -0.1843 | -0.1833 | -0.1817 | -0.1838 | 1.5 | -13.7 |
| 125 | SLO | Si | -0.1489 | -0.1459 | -0.1622 | -0.1620 | -1.5 | 14.1 |
| 126 | SLO | Si | -0.1743 | -0.1741 | -0.1741 | -0.1751 | 6.1 | -5.9 |
| 127 | SLO | Si | -0.1592 | -0.1554 | -0.1699 | -0.1708 | -6.1 | 5.7 |
| 128 | SLO | Si | -0.1846 | -0.1837 | -0.1818 | -0.1838 | 1.5 | -14.3 |

Elemento: Platea n. 17

| Cmb | Tipo | Sism. | Press. N1 | Press. N2 | Press. N3 | Press. N4 | S. Taglio X | S. Taglio Y |
|-----|----------|-------|---------------------|---------------------|---------------------|---------------------|-------------|-------------|
| n. | | | daN/cm ² | daN/cm ² | daN/cm ² | daN/cm ² | daN | daN |
| 001 | SLU STR | No | -0.1484 | -0.1489 | -0.1540 | -0.1534 | 0.0 | 0.0 |
| 002 | SLU STR | No | -0.2009 | -0.2014 | -0.2065 | -0.2059 | 0.0 | 0.0 |
| 003 | SLU STR | No | -0.1580 | -0.1568 | -0.1765 | -0.1774 | -0.1 | -0.1 |
| 004 | SLU STR | No | -0.2105 | -0.2093 | -0.2290 | -0.2299 | -0.1 | -0.1 |
| 005 | SLU STR | No | -0.1104 | -0.1109 | -0.1145 | -0.1140 | 0.0 | 0.0 |
| 006 | SLU STR | No | -0.1629 | -0.1634 | -0.1670 | -0.1665 | 0.0 | 0.0 |
| 007 | SLU STR | No | -0.1200 | -0.1187 | -0.1369 | -0.1380 | -0.1 | -0.1 |
| 008 | SLU STR | No | -0.1725 | -0.1712 | -0.1894 | -0.1905 | -0.1 | -0.1 |
| 009 | SLU STR | No | -0.2234 | -0.2239 | -0.2290 | -0.2284 | 0.0 | 0.0 |
| 010 | SLU STR | No | -0.1551 | -0.1545 | -0.1697 | -0.1702 | -0.1 | -0.1 |
| 011 | SLU STR | No | -0.2301 | -0.2295 | -0.2447 | -0.2452 | -0.1 | -0.1 |
| 012 | SLU STR | No | -0.1854 | -0.1859 | -0.1895 | -0.1890 | 0.0 | 0.0 |
| 013 | SLU STR | No | -0.1172 | -0.1164 | -0.1302 | -0.1308 | -0.1 | -0.1 |
| 014 | SLU STR | No | -0.1922 | -0.1914 | -0.2052 | -0.2058 | -0.1 | -0.1 |
| 015 | SLE rare | No | -0.1125 | -0.1130 | -0.1167 | -0.1162 | 0.0 | 0.0 |
| 016 | SLE rare | No | -0.1475 | -0.1480 | -0.1517 | -0.1512 | 0.0 | 0.0 |
| 017 | SLE rare | No | -0.1190 | -0.1182 | -0.1317 | -0.1322 | -0.1 | -0.1 |
| 018 | SLE rare | No | -0.1540 | -0.1532 | -0.1667 | -0.1672 | -0.1 | -0.1 |
| 019 | SLE rare | No | -0.1625 | -0.1630 | -0.1667 | -0.1662 | 0.0 | 0.0 |
| 020 | SLE rare | No | -0.1170 | -0.1166 | -0.1272 | -0.1274 | 0.0 | 0.0 |
| 021 | SLE rare | No | -0.1670 | -0.1666 | -0.1772 | -0.1774 | 0.0 | 0.0 |
| 022 | SLE freq | No | -0.1125 | -0.1130 | -0.1167 | -0.1162 | 0.0 | 0.0 |
| 023 | SLE freq | No | -0.1425 | -0.1430 | -0.1467 | -0.1462 | 0.0 | 0.0 |
| 024 | SLE freq | No | -0.1170 | -0.1166 | -0.1272 | -0.1274 | 0.0 | 0.0 |
| 025 | SLE freq | No | -0.1470 | -0.1466 | -0.1572 | -0.1574 | 0.0 | 0.0 |
| 026 | SLE freq | No | -0.1475 | -0.1480 | -0.1517 | -0.1512 | 0.0 | 0.0 |
| 027 | SLE freq | No | -0.1164 | -0.1161 | -0.1257 | -0.1258 | 0.0 | 0.0 |
| 028 | SLE freq | No | -0.1514 | -0.1511 | -0.1607 | -0.1608 | 0.0 | 0.0 |
| 029 | SLE q.p. | No | -0.1125 | -0.1130 | -0.1167 | -0.1162 | 0.0 | 0.0 |
| 030 | SLE q.p. | No | -0.1425 | -0.1430 | -0.1467 | -0.1462 | 0.0 | 0.0 |
| 031 | SLE q.p. | No | -0.1164 | -0.1161 | -0.1257 | -0.1258 | 0.0 | 0.0 |
| 032 | SLE q.p. | No | -0.1464 | -0.1461 | -0.1557 | -0.1558 | 0.0 | 0.0 |
| 033 | SLV A1 | Si | -0.1375 | -0.1385 | -0.1548 | -0.1523 | 24.4 | 3.6 |
| 034 | SLV A1 | Si | -0.1868 | -0.1882 | -0.1897 | -0.1866 | 14.5 | -29.9 |
| 035 | SLV A1 | Si | -0.1059 | -0.1041 | -0.1218 | -0.1251 | -14.5 | 29.8 |
| 036 | SLV A1 | Si | -0.1552 | -0.1537 | -0.1566 | -0.1594 | -24.5 | -3.7 |
| 037 | SLV A1 | Si | -0.1374 | -0.1384 | -0.1549 | -0.1523 | 14.7 | 2.7 |
| 038 | SLV A1 | Si | -0.1869 | -0.1882 | -0.1896 | -0.1866 | 24.2 | -28.9 |
| 039 | SLV A1 | Si | -0.1058 | -0.1040 | -0.1218 | -0.1251 | -24.3 | 28.9 |
| 040 | SLV A1 | Si | -0.1553 | -0.1538 | -0.1566 | -0.1594 | -14.8 | -2.7 |
| 041 | SLV A1 | Si | -0.1453 | -0.1448 | -0.1568 | -0.1555 | 23.3 | -0.9 |
| 042 | SLV A1 | Si | -0.1945 | -0.1945 | -0.1916 | -0.1897 | 13.4 | -34.3 |
| 043 | SLV A1 | Si | -0.0982 | -0.0977 | -0.1199 | -0.1219 | -13.5 | 34.3 |
| 044 | SLV A1 | Si | -0.1475 | -0.1474 | -0.1547 | -0.1562 | -23.4 | 0.8 |
| 045 | SLV A1 | Si | -0.1452 | -0.1448 | -0.1568 | -0.1554 | 13.6 | -1.8 |
| 046 | SLV A1 | Si | -0.1947 | -0.1946 | -0.1916 | -0.1898 | 23.1 | -33.4 |
| 047 | SLV A1 | Si | -0.0981 | -0.0977 | -0.1199 | -0.1219 | -23.2 | 33.3 |
| 048 | SLV A1 | Si | -0.1476 | -0.1475 | -0.1547 | -0.1562 | -13.7 | 1.7 |

| COMMITTENTE: Mecca Antonio | | CODICE COMMESSA: | NOME ELABORATO: S1.5 - Relazione Geotecnica e delle Fondazioni | | | CONSULENTE: | | |
|-------------------------------|--------|----------------------------------------------------------------------------------------------------------------------|-------------------------------------------------------------------------|---------|---------|-------------|-------|-------|
| DATA: Aprile 2023 | | TITOLO: Lavori ultimazione di un fabbricato adibito ad albergo-ristorante– C.da Case Nuove Chicone Avigliano (PZ) | | | | | | |
| 049 | SLV A1 | Si | -0.0690 | -0.0685 | -0.1026 | -0.1028 | 22.4 | 51.8 |
| 050 | SLV A1 | Si | -0.2333 | -0.2341 | -0.2187 | -0.2170 | -10.8 | -59.8 |
| 051 | SLV A1 | Si | -0.0595 | -0.0581 | -0.0927 | -0.0946 | 10.7 | 59.7 |
| 052 | SLV A1 | Si | -0.2238 | -0.2238 | -0.2088 | -0.2089 | -22.5 | -51.9 |
| 053 | SLV A1 | Si | -0.0713 | -0.0704 | -0.1032 | -0.1037 | 22.1 | 50.5 |
| 054 | SLV A1 | Si | -0.2356 | -0.2360 | -0.2193 | -0.2180 | -11.1 | -61.1 |
| 055 | SLV A1 | Si | -0.0572 | -0.0562 | -0.0922 | -0.0937 | 11.0 | 61.0 |
| 056 | SLV A1 | Si | -0.2215 | -0.2219 | -0.2082 | -0.2079 | -22.2 | -50.6 |
| 057 | SLV A1 | Si | -0.0686 | -0.0683 | -0.1027 | -0.1027 | -10.0 | 48.7 |
| 058 | SLV A1 | Si | -0.2336 | -0.2343 | -0.2186 | -0.2171 | 21.6 | -56.6 |
| 059 | SLV A1 | Si | -0.0592 | -0.0580 | -0.0928 | -0.0945 | -21.7 | 56.5 |
| 060 | SLV A1 | Si | -0.2241 | -0.2239 | -0.2087 | -0.2090 | 9.9 | -48.8 |
| 061 | SLV A1 | Si | -0.0710 | -0.0702 | -0.1033 | -0.1037 | -10.4 | 47.3 |
| 062 | SLV A1 | Si | -0.2359 | -0.2362 | -0.2192 | -0.2181 | 21.3 | -58.0 |
| 063 | SLV A1 | Si | -0.0568 | -0.0561 | -0.0922 | -0.0936 | -21.4 | 57.9 |
| 064 | SLV A1 | Si | -0.2218 | -0.2220 | -0.2082 | -0.2080 | 10.3 | -47.4 |
| 065 | SLD | Si | -0.1423 | -0.1426 | -0.1553 | -0.1542 | 11.0 | 1.7 |
| 066 | SLD | Si | -0.1648 | -0.1653 | -0.1712 | -0.1698 | 6.5 | -13.6 |
| 067 | SLD | Si | -0.1280 | -0.1270 | -0.1403 | -0.1418 | -6.6 | 13.6 |
| 068 | SLD | Si | -0.1505 | -0.1497 | -0.1562 | -0.1575 | -11.1 | -1.7 |
| 069 | SLD | Si | -0.1423 | -0.1426 | -0.1553 | -0.1542 | 6.6 | 1.2 |
| 070 | SLD | Si | -0.1648 | -0.1653 | -0.1711 | -0.1698 | 10.9 | -13.2 |
| 071 | SLD | Si | -0.1279 | -0.1270 | -0.1403 | -0.1418 | -11.0 | 13.1 |
| 072 | SLD | Si | -0.1505 | -0.1497 | -0.1562 | -0.1575 | -6.7 | -1.3 |
| 073 | SLD | Si | -0.1458 | -0.1455 | -0.1562 | -0.1556 | 10.5 | -0.4 |
| 074 | SLD | Si | -0.1683 | -0.1682 | -0.1721 | -0.1713 | 6.0 | -15.7 |
| 075 | SLD | Si | -0.1244 | -0.1241 | -0.1394 | -0.1404 | -6.1 | 15.6 |
| 076 | SLD | Si | -0.1469 | -0.1467 | -0.1553 | -0.1560 | -10.6 | 0.3 |
| 077 | SLD | Si | -0.1458 | -0.1455 | -0.1562 | -0.1556 | 6.1 | -0.8 |
| 078 | SLD | Si | -0.1684 | -0.1682 | -0.1720 | -0.1713 | 10.4 | -15.2 |
| 079 | SLD | Si | -0.1244 | -0.1240 | -0.1394 | -0.1404 | -10.5 | 15.2 |
| 080 | SLD | Si | -0.1470 | -0.1468 | -0.1553 | -0.1560 | -6.2 | 0.8 |
| 081 | SLD | Si | -0.1110 | -0.1107 | -0.1315 | -0.1316 | 10.1 | 23.7 |
| 082 | SLD | Si | -0.1860 | -0.1863 | -0.1845 | -0.1837 | -4.9 | -27.3 |
| 083 | SLD | Si | -0.1067 | -0.1060 | -0.1270 | -0.1279 | 4.8 | 27.2 |
| 084 | SLD | Si | -0.1817 | -0.1816 | -0.1800 | -0.1801 | -10.2 | -23.7 |
| 085 | SLD | Si | -0.1121 | -0.1115 | -0.1317 | -0.1320 | 9.9 | 23.0 |
| 086 | SLD | Si | -0.1871 | -0.1871 | -0.1847 | -0.1842 | -5.1 | -27.9 |
| 087 | SLD | Si | -0.1057 | -0.1051 | -0.1267 | -0.1275 | 5.0 | 27.8 |
| 088 | SLD | Si | -0.1807 | -0.1807 | -0.1797 | -0.1796 | -10.0 | -23.1 |
| 089 | SLD | Si | -0.1109 | -0.1106 | -0.1315 | -0.1316 | -4.5 | 22.2 |
| 090 | SLD | Si | -0.1862 | -0.1863 | -0.1844 | -0.1838 | 9.7 | -25.8 |
| 091 | SLD | Si | -0.1066 | -0.1059 | -0.1270 | -0.1279 | -9.8 | 25.8 |
| 092 | SLD | Si | -0.1819 | -0.1816 | -0.1799 | -0.1801 | 4.5 | -22.3 |
| 093 | SLD | Si | -0.1120 | -0.1115 | -0.1318 | -0.1320 | -4.7 | 21.6 |
| 094 | SLD | Si | -0.1872 | -0.1872 | -0.1847 | -0.1842 | 9.6 | -26.5 |
| 095 | SLD | Si | -0.1055 | -0.1050 | -0.1268 | -0.1274 | -9.7 | 26.4 |
| 096 | SLD | Si | -0.1808 | -0.1808 | -0.1797 | -0.1796 | 4.6 | -21.7 |
| 097 | SLO | Si | -0.1432 | -0.1434 | -0.1554 | -0.1546 | 8.7 | 1.2 |
| 098 | SLO | Si | -0.1609 | -0.1612 | -0.1679 | -0.1668 | 5.1 | -10.7 |
| 099 | SLO | Si | -0.1319 | -0.1310 | -0.1436 | -0.1448 | -5.2 | 10.7 |
| 100 | SLO | Si | -0.1495 | -0.1488 | -0.1560 | -0.1571 | -8.8 | -1.3 |
| 101 | SLO | Si | -0.1431 | -0.1433 | -0.1554 | -0.1545 | 5.2 | 1.0 |
| 102 | SLO | Si | -0.1610 | -0.1613 | -0.1680 | -0.1669 | 8.6 | -10.5 |
| 103 | SLO | Si | -0.1317 | -0.1309 | -0.1435 | -0.1447 | -8.7 | 10.4 |
| 104 | SLO | Si | -0.1497 | -0.1489 | -0.1561 | -0.1572 | -5.3 | -1.0 |
| 105 | SLO | Si | -0.1460 | -0.1457 | -0.1561 | -0.1557 | 8.3 | -0.4 |
| 106 | SLO | Si | -0.1637 | -0.1635 | -0.1686 | -0.1680 | 4.8 | -12.3 |
| 107 | SLO | Si | -0.1291 | -0.1288 | -0.1429 | -0.1437 | -4.8 | 12.3 |
| 108 | SLO | Si | -0.1468 | -0.1466 | -0.1553 | -0.1559 | -8.4 | 0.3 |
| 109 | SLO | Si | -0.1459 | -0.1456 | -0.1560 | -0.1556 | 4.8 | -0.6 |
| 110 | SLO | Si | -0.1638 | -0.1636 | -0.1686 | -0.1681 | 8.2 | -12.1 |
| 111 | SLO | Si | -0.1290 | -0.1286 | -0.1428 | -0.1436 | -8.3 | 12.0 |
| 112 | SLO | Si | -0.1469 | -0.1467 | -0.1554 | -0.1560 | -4.9 | 0.6 |
| 113 | SLO | Si | -0.1187 | -0.1183 | -0.1367 | -0.1368 | 8.0 | 18.5 |
| 114 | SLO | Si | -0.1775 | -0.1776 | -0.1783 | -0.1777 | -3.9 | -21.4 |
| 115 | SLO | Si | -0.1153 | -0.1146 | -0.1332 | -0.1339 | 3.8 | 21.4 |
| 116 | SLO | Si | -0.1741 | -0.1739 | -0.1747 | -0.1748 | -8.1 | -18.6 |
| 117 | SLO | Si | -0.1195 | -0.1190 | -0.1369 | -0.1372 | 7.9 | 18.1 |
| 118 | SLO | Si | -0.1783 | -0.1783 | -0.1785 | -0.1781 | -4.0 | -21.9 |
| 119 | SLO | Si | -0.1144 | -0.1139 | -0.1330 | -0.1336 | 3.9 | 21.8 |
| 120 | SLO | Si | -0.1733 | -0.1732 | -0.1745 | -0.1745 | -7.9 | -18.1 |

Relazione Geotecnica e delle Fondazioni

| | | | | | | | | |
|-----|-----|----|---------|---------|---------|---------|------|-------|
| 121 | SLO | Si | -0.1182 | -0.1179 | -0.1365 | -0.1366 | -3.6 | 17.6 |
| 122 | SLO | Si | -0.1780 | -0.1780 | -0.1785 | -0.1780 | 7.7 | -20.5 |
| 123 | SLO | Si | -0.1148 | -0.1142 | -0.1329 | -0.1336 | -7.8 | 20.5 |
| 124 | SLO | Si | -0.1746 | -0.1743 | -0.1749 | -0.1751 | 3.5 | -17.7 |
| 125 | SLO | Si | -0.1190 | -0.1186 | -0.1367 | -0.1369 | -3.7 | 17.2 |
| 126 | SLO | Si | -0.1788 | -0.1787 | -0.1787 | -0.1784 | 7.6 | -21.0 |
| 127 | SLO | Si | -0.1140 | -0.1135 | -0.1327 | -0.1333 | -7.7 | 20.9 |
| 128 | SLO | Si | -0.1737 | -0.1736 | -0.1747 | -0.1747 | 3.6 | -17.2 |

Elemento: Platea n. 18

| Cmb | Tipo | Sism. | Press. N1 | Press. N2 | Press. N3 | Press. N4 | S. Taglio X | S. Taglio Y |
|-----|----------|-------|---------------------|---------------------|---------------------|---------------------|-------------|-------------|
| n. | | | daN/cm ² | daN/cm ² | daN/cm ² | daN/cm ² | daN | daN |
| 001 | SLU STR | No | -0.1682 | -0.1684 | -0.1742 | -0.1734 | 0.0 | 0.0 |
| 002 | SLU STR | No | -0.2207 | -0.2209 | -0.2267 | -0.2259 | 0.0 | 0.0 |
| 003 | SLU STR | No | -0.2300 | -0.2266 | -0.2501 | -0.2500 | 0.1 | -0.1 |
| 004 | SLU STR | No | -0.2825 | -0.2791 | -0.3026 | -0.3025 | 0.1 | -0.1 |
| 005 | SLU STR | No | -0.1247 | -0.1249 | -0.1290 | -0.1284 | 0.0 | 0.0 |
| 006 | SLU STR | No | -0.1772 | -0.1774 | -0.1815 | -0.1809 | 0.0 | 0.0 |
| 007 | SLU STR | No | -0.1865 | -0.1831 | -0.2048 | -0.2049 | 0.1 | -0.1 |
| 008 | SLU STR | No | -0.2390 | -0.2356 | -0.2573 | -0.2574 | 0.1 | -0.1 |
| 009 | SLU STR | No | -0.2432 | -0.2434 | -0.2492 | -0.2484 | 0.0 | 0.0 |
| 010 | SLU STR | No | -0.2115 | -0.2092 | -0.2273 | -0.2270 | 0.1 | -0.1 |
| 011 | SLU STR | No | -0.2865 | -0.2842 | -0.3023 | -0.3020 | 0.1 | -0.1 |
| 012 | SLU STR | No | -0.1997 | -0.1999 | -0.2040 | -0.2034 | 0.0 | 0.0 |
| 013 | SLU STR | No | -0.1679 | -0.1656 | -0.1821 | -0.1820 | 0.1 | -0.1 |
| 014 | SLU STR | No | -0.2429 | -0.2406 | -0.2571 | -0.2570 | 0.1 | -0.1 |
| 015 | SLE rare | No | -0.1273 | -0.1275 | -0.1318 | -0.1312 | 0.0 | 0.0 |
| 016 | SLE rare | No | -0.1623 | -0.1625 | -0.1668 | -0.1662 | 0.0 | 0.0 |
| 017 | SLE rare | No | -0.1685 | -0.1663 | -0.1824 | -0.1823 | 0.1 | -0.1 |
| 018 | SLE rare | No | -0.2035 | -0.2013 | -0.2174 | -0.2173 | 0.1 | -0.1 |
| 019 | SLE rare | No | -0.1773 | -0.1775 | -0.1818 | -0.1812 | 0.0 | 0.0 |
| 020 | SLE rare | No | -0.1562 | -0.1547 | -0.1672 | -0.1669 | 0.1 | -0.1 |
| 021 | SLE rare | No | -0.2062 | -0.2047 | -0.2172 | -0.2169 | 0.1 | -0.1 |
| 022 | SLE freq | No | -0.1273 | -0.1275 | -0.1318 | -0.1312 | 0.0 | 0.0 |
| 023 | SLE freq | No | -0.1573 | -0.1575 | -0.1618 | -0.1612 | 0.0 | 0.0 |
| 024 | SLE freq | No | -0.1562 | -0.1547 | -0.1672 | -0.1669 | 0.1 | -0.1 |
| 025 | SLE freq | No | -0.1862 | -0.1847 | -0.1972 | -0.1969 | 0.1 | -0.1 |
| 026 | SLE freq | No | -0.1623 | -0.1625 | -0.1668 | -0.1662 | 0.0 | 0.0 |
| 027 | SLE freq | No | -0.1521 | -0.1508 | -0.1622 | -0.1618 | 0.1 | -0.1 |
| 028 | SLE freq | No | -0.1871 | -0.1858 | -0.1972 | -0.1968 | 0.1 | -0.1 |
| 029 | SLE q.p. | No | -0.1273 | -0.1275 | -0.1318 | -0.1312 | 0.0 | 0.0 |
| 030 | SLE q.p. | No | -0.1573 | -0.1575 | -0.1618 | -0.1612 | 0.0 | 0.0 |
| 031 | SLE q.p. | No | -0.1521 | -0.1508 | -0.1622 | -0.1618 | 0.1 | -0.1 |
| 032 | SLE q.p. | No | -0.1821 | -0.1808 | -0.1922 | -0.1918 | 0.1 | -0.1 |
| 033 | SLV A1 | Si | -0.2137 | -0.2152 | -0.2393 | -0.2360 | 22.6 | 0.4 |
| 034 | SLV A1 | Si | -0.2048 | -0.2072 | -0.2163 | -0.2132 | 30.9 | -33.0 |
| 035 | SLV A1 | Si | -0.1594 | -0.1544 | -0.1681 | -0.1705 | -30.8 | 32.9 |
| 036 | SLV A1 | Si | -0.1505 | -0.1464 | -0.1451 | -0.1477 | -22.5 | -0.6 |
| 037 | SLV A1 | Si | -0.2139 | -0.2155 | -0.2396 | -0.2363 | 30.9 | -0.7 |
| 038 | SLV A1 | Si | -0.2045 | -0.2070 | -0.2159 | -0.2128 | 22.7 | -31.9 |
| 039 | SLV A1 | Si | -0.1596 | -0.1546 | -0.1684 | -0.1709 | -22.6 | 31.8 |
| 040 | SLV A1 | Si | -0.1502 | -0.1461 | -0.1447 | -0.1474 | -30.8 | 0.5 |
| 041 | SLV A1 | Si | -0.2147 | -0.2160 | -0.2428 | -0.2396 | 23.5 | -3.7 |
| 042 | SLV A1 | Si | -0.2058 | -0.2080 | -0.2198 | -0.2167 | 31.8 | -37.2 |
| 043 | SLV A1 | Si | -0.1583 | -0.1536 | -0.1645 | -0.1670 | -31.7 | 37.0 |
| 044 | SLV A1 | Si | -0.1494 | -0.1456 | -0.1416 | -0.1441 | -23.4 | 3.6 |
| 045 | SLV A1 | Si | -0.2150 | -0.2163 | -0.2431 | -0.2399 | 31.7 | -4.8 |
| 046 | SLV A1 | Si | -0.2056 | -0.2077 | -0.2195 | -0.2164 | 23.6 | -36.1 |
| 047 | SLV A1 | Si | -0.1586 | -0.1539 | -0.1649 | -0.1673 | -23.5 | 35.9 |
| 048 | SLV A1 | Si | -0.1491 | -0.1453 | -0.1412 | -0.1438 | -31.6 | 4.7 |
| 049 | SLV A1 | Si | -0.2050 | -0.2033 | -0.2411 | -0.2397 | -5.8 | 50.8 |
| 050 | SLV A1 | Si | -0.1754 | -0.1766 | -0.1646 | -0.1636 | 21.9 | -60.7 |
| 051 | SLV A1 | Si | -0.1888 | -0.1850 | -0.2198 | -0.2201 | -21.8 | 60.5 |
| 052 | SLV A1 | Si | -0.1591 | -0.1583 | -0.1432 | -0.1439 | 5.9 | -50.9 |
| 053 | SLV A1 | Si | -0.2054 | -0.2035 | -0.2422 | -0.2408 | -5.5 | 49.6 |
| 054 | SLV A1 | Si | -0.1757 | -0.1768 | -0.1656 | -0.1647 | 22.2 | -61.9 |
| 055 | SLV A1 | Si | -0.1884 | -0.1848 | -0.2187 | -0.2190 | -22.1 | 61.8 |
| 056 | SLV A1 | Si | -0.1588 | -0.1581 | -0.1422 | -0.1429 | 5.6 | -49.7 |
| 057 | SLV A1 | Si | -0.2059 | -0.2042 | -0.2423 | -0.2408 | 21.6 | 47.2 |
| 058 | SLV A1 | Si | -0.1745 | -0.1757 | -0.1634 | -0.1625 | -5.5 | -57.0 |
| 059 | SLV A1 | Si | -0.1896 | -0.1859 | -0.2209 | -0.2212 | 5.6 | 56.9 |
| 060 | SLV A1 | Si | -0.1582 | -0.1574 | -0.1420 | -0.1429 | -21.5 | -47.3 |
| 061 | SLV A1 | Si | -0.2062 | -0.2044 | -0.2434 | -0.2419 | 21.9 | 45.9 |

| | | | |
|--------------------------------------|------------------------------------------------------------------------------------------------------------------------------|----------------------------------------------------------------------------------|-------------|
| COMMITTENTE: Mecca Antonio | CODICE COMMESSA: | NOME ELABORATO: S1.5 - Relazione Geotecnica e delle Fondazioni | CONSULENTE: |
| DATA: Aprile 2023 | TITOLO: Lavori ultimazione di un fabbricato adibito ad albergo-ristorante- C.da Case Nuove Chicone Avigliano (PZ) | | |

| | | | | | | | | |
|-----|--------|----|---------|---------|---------|---------|-------|-------|
| 062 | SLV A1 | Si | -0.1748 | -0.1759 | -0.1645 | -0.1636 | -5.2 | -58.3 |
| 063 | SLV A1 | Si | -0.1893 | -0.1857 | -0.2199 | -0.2201 | 5.3 | 58.1 |
| 064 | SLV A1 | Si | -0.1579 | -0.1572 | -0.1410 | -0.1418 | -21.8 | -46.1 |
| 065 | SLD | Si | -0.1964 | -0.1964 | -0.2135 | -0.2119 | 10.3 | 0.2 |
| 066 | SLD | Si | -0.1923 | -0.1928 | -0.2031 | -0.2015 | 14.0 | -15.1 |
| 067 | SLD | Si | -0.1718 | -0.1688 | -0.1813 | -0.1822 | -13.9 | 14.9 |
| 068 | SLD | Si | -0.1677 | -0.1652 | -0.1708 | -0.1718 | -10.2 | -0.3 |
| 069 | SLD | Si | -0.1965 | -0.1965 | -0.2137 | -0.2120 | 14.0 | -0.3 |
| 070 | SLD | Si | -0.1922 | -0.1926 | -0.2029 | -0.2013 | 10.3 | -14.6 |
| 071 | SLD | Si | -0.1719 | -0.1690 | -0.1814 | -0.1824 | -10.2 | 14.4 |
| 072 | SLD | Si | -0.1676 | -0.1651 | -0.1707 | -0.1717 | -13.9 | 0.2 |
| 073 | SLD | Si | -0.1969 | -0.1968 | -0.2152 | -0.2135 | 10.7 | -1.7 |
| 074 | SLD | Si | -0.1928 | -0.1931 | -0.2047 | -0.2031 | 14.5 | -17.0 |
| 075 | SLD | Si | -0.1713 | -0.1685 | -0.1797 | -0.1806 | -14.4 | 16.8 |
| 076 | SLD | Si | -0.1673 | -0.1648 | -0.1692 | -0.1702 | -10.6 | 1.6 |
| 077 | SLD | Si | -0.1970 | -0.1969 | -0.2153 | -0.2137 | 14.4 | -2.2 |
| 078 | SLD | Si | -0.1927 | -0.1930 | -0.2045 | -0.2030 | 10.7 | -16.5 |
| 079 | SLD | Si | -0.1714 | -0.1686 | -0.1798 | -0.1807 | -10.6 | 16.3 |
| 080 | SLD | Si | -0.1671 | -0.1647 | -0.1690 | -0.1700 | -14.3 | 2.1 |
| 081 | SLD | Si | -0.1925 | -0.1910 | -0.2145 | -0.2137 | -2.6 | 23.2 |
| 082 | SLD | Si | -0.1790 | -0.1789 | -0.1796 | -0.1789 | 10.0 | -27.7 |
| 083 | SLD | Si | -0.1851 | -0.1827 | -0.2048 | -0.2048 | -9.9 | 27.6 |
| 084 | SLD | Si | -0.1716 | -0.1706 | -0.1699 | -0.1700 | 2.7 | -23.3 |
| 085 | SLD | Si | -0.1926 | -0.1911 | -0.2150 | -0.2141 | -2.5 | 22.6 |
| 086 | SLD | Si | -0.1792 | -0.1790 | -0.1800 | -0.1794 | 10.1 | -28.3 |
| 087 | SLD | Si | -0.1850 | -0.1826 | -0.2043 | -0.2043 | -10.0 | 28.2 |
| 088 | SLD | Si | -0.1715 | -0.1705 | -0.1694 | -0.1695 | 2.6 | -22.7 |
| 089 | SLD | Si | -0.1929 | -0.1914 | -0.2150 | -0.2141 | 9.8 | 21.5 |
| 090 | SLD | Si | -0.1786 | -0.1785 | -0.1790 | -0.1784 | -2.5 | -26.0 |
| 091 | SLD | Si | -0.1855 | -0.1831 | -0.2053 | -0.2052 | 2.6 | 25.9 |
| 092 | SLD | Si | -0.1712 | -0.1702 | -0.1694 | -0.1695 | -9.7 | -21.6 |
| 093 | SLD | Si | -0.1930 | -0.1915 | -0.2155 | -0.2146 | 10.0 | 20.9 |
| 094 | SLD | Si | -0.1788 | -0.1786 | -0.1795 | -0.1789 | -2.4 | -26.6 |
| 095 | SLD | Si | -0.1854 | -0.1830 | -0.2048 | -0.2048 | 2.5 | 26.5 |
| 096 | SLD | Si | -0.1711 | -0.1701 | -0.1689 | -0.1691 | -9.9 | -21.1 |
| 097 | SLO | Si | -0.1934 | -0.1932 | -0.2091 | -0.2077 | 8.2 | 0.1 |
| 098 | SLO | Si | -0.1902 | -0.1903 | -0.2009 | -0.1995 | 11.1 | -11.9 |
| 099 | SLO | Si | -0.1739 | -0.1713 | -0.1835 | -0.1842 | -11.0 | 11.8 |
| 100 | SLO | Si | -0.1707 | -0.1684 | -0.1753 | -0.1760 | -8.1 | -0.2 |
| 101 | SLO | Si | -0.1935 | -0.1933 | -0.2093 | -0.2079 | 11.1 | -0.2 |
| 102 | SLO | Si | -0.1901 | -0.1902 | -0.2007 | -0.1994 | 8.2 | -11.6 |
| 103 | SLO | Si | -0.1740 | -0.1714 | -0.1837 | -0.1843 | -8.1 | 11.4 |
| 104 | SLO | Si | -0.1706 | -0.1683 | -0.1751 | -0.1758 | -11.0 | 0.1 |
| 105 | SLO | Si | -0.1938 | -0.1935 | -0.2104 | -0.2090 | 8.5 | -1.4 |
| 106 | SLO | Si | -0.1906 | -0.1906 | -0.2021 | -0.2008 | 11.5 | -13.4 |
| 107 | SLO | Si | -0.1735 | -0.1710 | -0.1822 | -0.1829 | -11.4 | 13.3 |
| 108 | SLO | Si | -0.1703 | -0.1681 | -0.1740 | -0.1747 | -8.4 | 1.3 |
| 109 | SLO | Si | -0.1939 | -0.1936 | -0.2105 | -0.2092 | 11.5 | -1.7 |
| 110 | SLO | Si | -0.1905 | -0.1905 | -0.2020 | -0.2007 | 8.5 | -13.1 |
| 111 | SLO | Si | -0.1736 | -0.1711 | -0.1824 | -0.1830 | -8.4 | 12.9 |
| 112 | SLO | Si | -0.1702 | -0.1680 | -0.1738 | -0.1745 | -11.4 | 1.6 |
| 113 | SLO | Si | -0.1903 | -0.1889 | -0.2097 | -0.2090 | -2.0 | 18.1 |
| 114 | SLO | Si | -0.1797 | -0.1793 | -0.1823 | -0.1817 | 7.9 | -21.8 |
| 115 | SLO | Si | -0.1845 | -0.1823 | -0.2021 | -0.2020 | -7.8 | 21.7 |
| 116 | SLO | Si | -0.1738 | -0.1727 | -0.1746 | -0.1747 | 2.1 | -18.3 |
| 117 | SLO | Si | -0.1904 | -0.1890 | -0.2101 | -0.2094 | -1.9 | 17.7 |
| 118 | SLO | Si | -0.1798 | -0.1794 | -0.1827 | -0.1821 | 8.0 | -22.2 |
| 119 | SLO | Si | -0.1843 | -0.1822 | -0.2017 | -0.2016 | -7.9 | 22.1 |
| 120 | SLO | Si | -0.1737 | -0.1726 | -0.1742 | -0.1743 | 2.0 | -17.8 |
| 121 | SLO | Si | -0.1907 | -0.1892 | -0.2103 | -0.2095 | 7.8 | 17.1 |
| 122 | SLO | Si | -0.1793 | -0.1789 | -0.1817 | -0.1812 | -2.0 | -20.7 |
| 123 | SLO | Si | -0.1848 | -0.1827 | -0.2026 | -0.2025 | 2.1 | 20.6 |
| 124 | SLO | Si | -0.1735 | -0.1724 | -0.1741 | -0.1741 | -7.7 | -17.2 |
| 125 | SLO | Si | -0.1908 | -0.1893 | -0.2107 | -0.2099 | 7.9 | 16.6 |
| 126 | SLO | Si | -0.1794 | -0.1790 | -0.1821 | -0.1816 | -1.9 | -21.1 |
| 127 | SLO | Si | -0.1847 | -0.1826 | -0.2022 | -0.2021 | 2.0 | 21.0 |
| 128 | SLO | Si | -0.1733 | -0.1723 | -0.1737 | -0.1738 | -7.8 | -16.7 |

Elemento: Platea n. 19

| Cmb | Tipo | Sism. | Press. N1 | Press. N2 | Press. N3 | Press. N4 | S. Taglio X | S. Taglio Y |
|-----|------|-------|---------------------|---------------------|---------------------|---------------------|-------------|-------------|
| n. | | | daN/cm ² | daN/cm ² | daN/cm ² | daN/cm ² | daN | daN |

Relazione Geotecnica e delle Fondazioni

| | | | | | | | | |
|-----|----------|----|---------|---------|---------|---------|-------|-------|
| 001 | SLU STR | No | -0.1767 | -0.1777 | -0.1803 | -0.1786 | 0.0 | 0.0 |
| 002 | SLU STR | No | -0.2292 | -0.2302 | -0.2328 | -0.2311 | 0.0 | 0.0 |
| 003 | SLU STR | No | -0.2713 | -0.2726 | -0.2836 | -0.2802 | 0.1 | 0.0 |
| 004 | SLU STR | No | -0.3238 | -0.3251 | -0.3361 | -0.3327 | 0.1 | 0.0 |
| 005 | SLU STR | No | -0.1306 | -0.1313 | -0.1331 | -0.1319 | 0.0 | 0.0 |
| 006 | SLU STR | No | -0.1831 | -0.1838 | -0.1856 | -0.1844 | 0.0 | 0.0 |
| 007 | SLU STR | No | -0.2251 | -0.2262 | -0.2364 | -0.2335 | 0.1 | 0.0 |
| 008 | SLU STR | No | -0.2776 | -0.2787 | -0.2889 | -0.2860 | 0.1 | 0.0 |
| 009 | SLU STR | No | -0.2517 | -0.2527 | -0.2553 | -0.2536 | 0.0 | 0.0 |
| 010 | SLU STR | No | -0.2429 | -0.2441 | -0.2526 | -0.2497 | 0.1 | 0.0 |
| 011 | SLU STR | No | -0.3179 | -0.3191 | -0.3276 | -0.3247 | 0.1 | 0.0 |
| 012 | SLU STR | No | -0.2056 | -0.2063 | -0.2081 | -0.2069 | 0.0 | 0.0 |
| 013 | SLU STR | No | -0.1968 | -0.1977 | -0.2054 | -0.2030 | 0.1 | 0.0 |
| 014 | SLU STR | No | -0.2718 | -0.2727 | -0.2804 | -0.2780 | 0.1 | 0.0 |
| 015 | SLE rare | No | -0.1336 | -0.1343 | -0.1362 | -0.1350 | 0.0 | 0.0 |
| 016 | SLE rare | No | -0.1686 | -0.1693 | -0.1712 | -0.1700 | 0.0 | 0.0 |
| 017 | SLE rare | No | -0.1967 | -0.1976 | -0.2051 | -0.2027 | 0.1 | 0.0 |
| 018 | SLE rare | No | -0.2317 | -0.2326 | -0.2401 | -0.2377 | 0.1 | 0.0 |
| 019 | SLE rare | No | -0.1836 | -0.1843 | -0.1862 | -0.1850 | 0.0 | 0.0 |
| 020 | SLE rare | No | -0.1777 | -0.1786 | -0.1844 | -0.1824 | 0.1 | 0.0 |
| 021 | SLE rare | No | -0.2277 | -0.2286 | -0.2344 | -0.2324 | 0.1 | 0.0 |
| 022 | SLE freq | No | -0.1336 | -0.1343 | -0.1362 | -0.1350 | 0.0 | 0.0 |
| 023 | SLE freq | No | -0.1636 | -0.1643 | -0.1662 | -0.1650 | 0.0 | 0.0 |
| 024 | SLE freq | No | -0.1777 | -0.1786 | -0.1844 | -0.1824 | 0.1 | 0.0 |
| 025 | SLE freq | No | -0.2077 | -0.2086 | -0.2144 | -0.2124 | 0.1 | 0.0 |
| 026 | SLE freq | No | -0.1686 | -0.1693 | -0.1712 | -0.1700 | 0.0 | 0.0 |
| 027 | SLE freq | No | -0.1714 | -0.1723 | -0.1776 | -0.1756 | 0.0 | 0.0 |
| 028 | SLE freq | No | -0.2064 | -0.2073 | -0.2126 | -0.2106 | 0.0 | 0.0 |
| 029 | SLE q.p. | No | -0.1336 | -0.1343 | -0.1362 | -0.1350 | 0.0 | 0.0 |
| 030 | SLE q.p. | No | -0.1636 | -0.1643 | -0.1662 | -0.1650 | 0.0 | 0.0 |
| 031 | SLE q.p. | No | -0.1714 | -0.1723 | -0.1776 | -0.1756 | 0.0 | 0.0 |
| 032 | SLE q.p. | No | -0.2014 | -0.2023 | -0.2076 | -0.2056 | 0.0 | 0.0 |
| 033 | SLV A1 | Si | -0.2527 | -0.2565 | -0.2690 | -0.2628 | 15.0 | 2.5 |
| 034 | SLV A1 | Si | -0.2121 | -0.2156 | -0.2190 | -0.2135 | 22.8 | -12.6 |
| 035 | SLV A1 | Si | -0.1908 | -0.1890 | -0.1962 | -0.1978 | -22.7 | 12.6 |
| 036 | SLV A1 | Si | -0.1502 | -0.1481 | -0.1462 | -0.1485 | -14.9 | -2.5 |
| 037 | SLV A1 | Si | -0.2530 | -0.2569 | -0.2693 | -0.2631 | 22.5 | 2.1 |
| 038 | SLV A1 | Si | -0.2118 | -0.2153 | -0.2186 | -0.2131 | 15.3 | -12.2 |
| 039 | SLV A1 | Si | -0.1911 | -0.1893 | -0.1965 | -0.1981 | -15.2 | 12.2 |
| 040 | SLV A1 | Si | -0.1499 | -0.1477 | -0.1458 | -0.1481 | -22.4 | -2.1 |
| 041 | SLV A1 | Si | -0.2601 | -0.2639 | -0.2782 | -0.2721 | 16.2 | 0.3 |
| 042 | SLV A1 | Si | -0.2196 | -0.2229 | -0.2282 | -0.2228 | 23.9 | -14.8 |
| 043 | SLV A1 | Si | -0.1833 | -0.1817 | -0.1869 | -0.1884 | -23.8 | 14.8 |
| 044 | SLV A1 | Si | -0.1428 | -0.1407 | -0.1369 | -0.1391 | -16.1 | -0.3 |
| 045 | SLV A1 | Si | -0.2604 | -0.2642 | -0.2785 | -0.2725 | 23.7 | 0.0 |
| 046 | SLV A1 | Si | -0.2192 | -0.2226 | -0.2278 | -0.2225 | 16.4 | -14.4 |
| 047 | SLV A1 | Si | -0.1836 | -0.1820 | -0.1873 | -0.1888 | -16.3 | 14.4 |
| 048 | SLV A1 | Si | -0.1424 | -0.1404 | -0.1366 | -0.1388 | -23.6 | 0.0 |
| 049 | SLV A1 | Si | -0.2783 | -0.2807 | -0.3018 | -0.2976 | -7.2 | 23.7 |
| 050 | SLV A1 | Si | -0.1431 | -0.1442 | -0.1351 | -0.1332 | 18.6 | -26.7 |
| 051 | SLV A1 | Si | -0.2597 | -0.2604 | -0.2800 | -0.2781 | -18.5 | 26.7 |
| 052 | SLV A1 | Si | -0.1246 | -0.1239 | -0.1133 | -0.1137 | 7.3 | -23.7 |
| 053 | SLV A1 | Si | -0.2805 | -0.2829 | -0.3046 | -0.3004 | -6.9 | 23.0 |
| 054 | SLV A1 | Si | -0.1454 | -0.1464 | -0.1379 | -0.1360 | 19.0 | -27.4 |
| 055 | SLV A1 | Si | -0.2575 | -0.2582 | -0.2772 | -0.2753 | -18.9 | 27.4 |
| 056 | SLV A1 | Si | -0.1223 | -0.1217 | -0.1105 | -0.1109 | 6.9 | -23.0 |
| 057 | SLV A1 | Si | -0.2794 | -0.2818 | -0.3030 | -0.2987 | 17.8 | 22.4 |
| 058 | SLV A1 | Si | -0.1421 | -0.1431 | -0.1339 | -0.1321 | -6.4 | -25.5 |
| 059 | SLV A1 | Si | -0.2608 | -0.2615 | -0.2812 | -0.2792 | 6.5 | 25.5 |
| 060 | SLV A1 | Si | -0.1235 | -0.1228 | -0.1121 | -0.1126 | -17.7 | -22.5 |
| 061 | SLV A1 | Si | -0.2816 | -0.2840 | -0.3058 | -0.3015 | 18.1 | 21.8 |
| 062 | SLV A1 | Si | -0.1443 | -0.1453 | -0.1367 | -0.1349 | -6.0 | -26.1 |
| 063 | SLV A1 | Si | -0.2586 | -0.2593 | -0.2784 | -0.2764 | 6.1 | 26.1 |
| 064 | SLV A1 | Si | -0.1213 | -0.1206 | -0.1093 | -0.1098 | -18.0 | -21.8 |
| 065 | SLD | Si | -0.2247 | -0.2269 | -0.2355 | -0.2316 | 6.8 | 1.2 |
| 066 | SLD | Si | -0.2062 | -0.2083 | -0.2126 | -0.2091 | 10.3 | -5.7 |
| 067 | SLD | Si | -0.1967 | -0.1963 | -0.2025 | -0.2022 | -10.2 | 5.7 |
| 068 | SLD | Si | -0.1782 | -0.1777 | -0.1797 | -0.1796 | -6.7 | -1.2 |
| 069 | SLD | Si | -0.2249 | -0.2271 | -0.2356 | -0.2318 | 10.2 | 1.0 |
| 070 | SLD | Si | -0.2061 | -0.2081 | -0.2125 | -0.2089 | 6.9 | -5.6 |
| 071 | SLD | Si | -0.1968 | -0.1965 | -0.2026 | -0.2023 | -6.8 | 5.6 |
| 072 | SLD | Si | -0.1780 | -0.1775 | -0.1795 | -0.1795 | -10.1 | -1.0 |
| 073 | SLD | Si | -0.2281 | -0.2303 | -0.2397 | -0.2359 | 7.4 | 0.2 |
| 074 | SLD | Si | -0.2096 | -0.2116 | -0.2169 | -0.2134 | 10.9 | -6.8 |

| | | | |
|--------------------------------------|----------------------------------------------------------------------------------------------------------------------|----------------------------------------------------------------------------------|-------------|
| COMMITTENTE: Mecca Antonio | CODICE COMMESSA: | NOME ELABORATO: S1.5 - Relazione Geotecnica e delle Fondazioni | CONSULENTE: |
| DATA: Aprile 2023 | TITOLO: Lavori ultimazione di un fabbricato adibito ad albergo-ristorante- C.da Case Nuove Chicone Avigliano (PZ) | | |

| | | | | | | | | |
|-----|-----|----|---------|---------|---------|---------|-------|-------|
| 075 | SLD | Si | -0.1933 | -0.1930 | -0.1983 | -0.1979 | -10.8 | 6.7 |
| 076 | SLD | Si | -0.1748 | -0.1743 | -0.1754 | -0.1754 | -7.3 | -0.2 |
| 077 | SLD | Si | -0.2283 | -0.2304 | -0.2398 | -0.2360 | 10.8 | 0.0 |
| 078 | SLD | Si | -0.2095 | -0.2115 | -0.2167 | -0.2132 | 7.5 | -6.6 |
| 079 | SLD | Si | -0.1934 | -0.1931 | -0.1984 | -0.1980 | -7.4 | 6.6 |
| 080 | SLD | Si | -0.1746 | -0.1742 | -0.1753 | -0.1752 | -10.7 | 0.0 |
| 081 | SLD | Si | -0.2365 | -0.2380 | -0.2506 | -0.2476 | -3.3 | 10.8 |
| 082 | SLD | Si | -0.1748 | -0.1757 | -0.1745 | -0.1725 | 8.5 | -12.2 |
| 083 | SLD | Si | -0.2281 | -0.2288 | -0.2407 | -0.2387 | -8.4 | 12.2 |
| 084 | SLD | Si | -0.1664 | -0.1666 | -0.1646 | -0.1637 | 3.4 | -10.8 |
| 085 | SLD | Si | -0.2375 | -0.2390 | -0.2518 | -0.2489 | -3.1 | 10.5 |
| 086 | SLD | Si | -0.1758 | -0.1767 | -0.1757 | -0.1738 | 8.6 | -12.5 |
| 087 | SLD | Si | -0.2271 | -0.2278 | -0.2394 | -0.2375 | -8.6 | 12.5 |
| 088 | SLD | Si | -0.1654 | -0.1656 | -0.1633 | -0.1624 | 3.2 | -10.5 |
| 089 | SLD | Si | -0.2370 | -0.2385 | -0.2511 | -0.2480 | 8.1 | 10.2 |
| 090 | SLD | Si | -0.1743 | -0.1753 | -0.1739 | -0.1720 | -2.9 | -11.6 |
| 091 | SLD | Si | -0.2285 | -0.2293 | -0.2412 | -0.2392 | 3.0 | 11.6 |
| 092 | SLD | Si | -0.1659 | -0.1661 | -0.1640 | -0.1632 | -8.0 | -10.3 |
| 093 | SLD | Si | -0.2380 | -0.2395 | -0.2523 | -0.2493 | 8.3 | 9.9 |
| 094 | SLD | Si | -0.1754 | -0.1763 | -0.1752 | -0.1733 | -2.7 | -11.9 |
| 095 | SLD | Si | -0.2275 | -0.2283 | -0.2399 | -0.2379 | 2.8 | 11.9 |
| 096 | SLD | Si | -0.1649 | -0.1651 | -0.1628 | -0.1619 | -8.2 | -10.0 |
| 097 | SLO | Si | -0.2198 | -0.2218 | -0.2296 | -0.2261 | 5.4 | 0.9 |
| 098 | SLO | Si | -0.2053 | -0.2071 | -0.2117 | -0.2085 | 8.2 | -4.5 |
| 099 | SLO | Si | -0.1976 | -0.1975 | -0.2034 | -0.2028 | -8.1 | 4.5 |
| 100 | SLO | Si | -0.1830 | -0.1828 | -0.1855 | -0.1851 | -5.3 | -0.9 |
| 101 | SLO | Si | -0.2200 | -0.2220 | -0.2298 | -0.2264 | 8.1 | 0.8 |
| 102 | SLO | Si | -0.2051 | -0.2069 | -0.2115 | -0.2083 | 5.5 | -4.4 |
| 103 | SLO | Si | -0.1978 | -0.1977 | -0.2037 | -0.2030 | -5.4 | 4.4 |
| 104 | SLO | Si | -0.1828 | -0.1826 | -0.1853 | -0.1849 | -8.0 | -0.8 |
| 105 | SLO | Si | -0.2225 | -0.2244 | -0.2329 | -0.2295 | 5.9 | 0.1 |
| 106 | SLO | Si | -0.2080 | -0.2098 | -0.2150 | -0.2118 | 8.6 | -5.3 |
| 107 | SLO | Si | -0.1949 | -0.1948 | -0.2001 | -0.1994 | -8.5 | 5.3 |
| 108 | SLO | Si | -0.1804 | -0.1802 | -0.1822 | -0.1817 | -5.8 | -0.1 |
| 109 | SLO | Si | -0.2227 | -0.2246 | -0.2332 | -0.2297 | 8.6 | 0.0 |
| 110 | SLO | Si | -0.2078 | -0.2096 | -0.2148 | -0.2116 | 5.9 | -5.2 |
| 111 | SLO | Si | -0.1951 | -0.1950 | -0.2003 | -0.1996 | -5.8 | 5.2 |
| 112 | SLO | Si | -0.1802 | -0.1800 | -0.1820 | -0.1815 | -8.5 | 0.0 |
| 113 | SLO | Si | -0.2290 | -0.2304 | -0.2414 | -0.2386 | -2.5 | 8.5 |
| 114 | SLO | Si | -0.1806 | -0.1815 | -0.1816 | -0.1797 | 6.7 | -9.6 |
| 115 | SLO | Si | -0.2223 | -0.2231 | -0.2335 | -0.2316 | -6.6 | 9.6 |
| 116 | SLO | Si | -0.1739 | -0.1742 | -0.1738 | -0.1727 | 2.6 | -8.5 |
| 117 | SLO | Si | -0.2298 | -0.2312 | -0.2423 | -0.2396 | -2.4 | 8.2 |
| 118 | SLO | Si | -0.1814 | -0.1823 | -0.1826 | -0.1807 | 6.8 | -9.8 |
| 119 | SLO | Si | -0.2215 | -0.2223 | -0.2325 | -0.2306 | -6.7 | 9.8 |
| 120 | SLO | Si | -0.1731 | -0.1734 | -0.1728 | -0.1717 | 2.5 | -8.3 |
| 121 | SLO | Si | -0.2296 | -0.2311 | -0.2421 | -0.2393 | 6.4 | 8.1 |
| 122 | SLO | Si | -0.1799 | -0.1808 | -0.1809 | -0.1789 | -2.3 | -9.2 |
| 123 | SLO | Si | -0.2230 | -0.2238 | -0.2343 | -0.2323 | 2.4 | 9.2 |
| 124 | SLO | Si | -0.1732 | -0.1735 | -0.1730 | -0.1719 | -6.3 | -8.1 |
| 125 | SLO | Si | -0.2304 | -0.2318 | -0.2431 | -0.2403 | 6.6 | 7.9 |
| 126 | SLO | Si | -0.1807 | -0.1816 | -0.1819 | -0.1800 | -2.2 | -9.5 |
| 127 | SLO | Si | -0.2222 | -0.2230 | -0.2333 | -0.2313 | 2.2 | 9.5 |
| 128 | SLO | Si | -0.1724 | -0.1727 | -0.1720 | -0.1709 | -6.5 | -7.9 |

Elemento: Platea n. 20

| Cmb | Tipo | Sism. | Press. N1 | Press. N2 | Press. N3 | Press. N4 | S. Taglio X | S. Taglio Y |
|-----|---------|-------|---------------------|---------------------|---------------------|---------------------|-------------|-------------|
| n. | | | daN/cm ² | daN/cm ² | daN/cm ² | daN/cm ² | daN | daN |
| 001 | SLU STR | No | -0.1505 | -0.1529 | -0.1583 | -0.1556 | 0.0 | 0.0 |
| 002 | SLU STR | No | -0.2030 | -0.2054 | -0.2108 | -0.2081 | 0.0 | 0.0 |
| 003 | SLU STR | No | -0.1705 | -0.1777 | -0.1988 | -0.1906 | 0.0 | 0.1 |
| 004 | SLU STR | No | -0.2230 | -0.2302 | -0.2513 | -0.2431 | 0.0 | 0.1 |
| 005 | SLU STR | No | -0.1118 | -0.1136 | -0.1174 | -0.1155 | 0.0 | 0.0 |
| 006 | SLU STR | No | -0.1643 | -0.1661 | -0.1699 | -0.1680 | 0.0 | 0.0 |
| 007 | SLU STR | No | -0.1318 | -0.1384 | -0.1579 | -0.1504 | 0.0 | 0.0 |
| 008 | SLU STR | No | -0.1843 | -0.1909 | -0.2104 | -0.2029 | 0.0 | 0.0 |
| 009 | SLU STR | No | -0.2255 | -0.2279 | -0.2333 | -0.2306 | 0.0 | 0.0 |
| 010 | SLU STR | No | -0.1645 | -0.1702 | -0.1866 | -0.1801 | 0.0 | 0.0 |
| 011 | SLU STR | No | -0.2395 | -0.2452 | -0.2616 | -0.2551 | 0.0 | 0.0 |
| 012 | SLU STR | No | -0.1868 | -0.1886 | -0.1924 | -0.1905 | 0.0 | 0.0 |
| 013 | SLU STR | No | -0.1258 | -0.1309 | -0.1458 | -0.1400 | 0.0 | 0.0 |

Relazione Geotecnica e delle Fondazioni

| | | | | | | | | |
|-----|----------|----|---------|---------|---------|---------|-------|-------|
| 014 | SLU STR | No | -0.2008 | -0.2059 | -0.2208 | -0.2150 | 0.0 | 0.0 |
| 015 | SLE rare | No | -0.1140 | -0.1158 | -0.1199 | -0.1179 | 0.0 | 0.0 |
| 016 | SLE rare | No | -0.1490 | -0.1508 | -0.1549 | -0.1529 | 0.0 | 0.0 |
| 017 | SLE rare | No | -0.1274 | -0.1324 | -0.1469 | -0.1412 | 0.0 | 0.0 |
| 018 | SLE rare | No | -0.1624 | -0.1674 | -0.1819 | -0.1762 | 0.0 | 0.0 |
| 019 | SLE rare | No | -0.1640 | -0.1658 | -0.1699 | -0.1679 | 0.0 | 0.0 |
| 020 | SLE rare | No | -0.1234 | -0.1274 | -0.1388 | -0.1342 | 0.0 | 0.0 |
| 021 | SLE rare | No | -0.1734 | -0.1774 | -0.1888 | -0.1842 | 0.0 | 0.0 |
| 022 | SLE freq | No | -0.1140 | -0.1158 | -0.1199 | -0.1179 | 0.0 | 0.0 |
| 023 | SLE freq | No | -0.1440 | -0.1458 | -0.1499 | -0.1479 | 0.0 | 0.0 |
| 024 | SLE freq | No | -0.1234 | -0.1274 | -0.1388 | -0.1342 | 0.0 | 0.0 |
| 025 | SLE freq | No | -0.1534 | -0.1574 | -0.1688 | -0.1642 | 0.0 | 0.0 |
| 026 | SLE freq | No | -0.1490 | -0.1508 | -0.1549 | -0.1529 | 0.0 | 0.0 |
| 027 | SLE freq | No | -0.1220 | -0.1258 | -0.1361 | -0.1319 | 0.0 | 0.0 |
| 028 | SLE freq | No | -0.1570 | -0.1608 | -0.1711 | -0.1669 | 0.0 | 0.0 |
| 029 | SLE q.p. | No | -0.1140 | -0.1158 | -0.1199 | -0.1179 | 0.0 | 0.0 |
| 030 | SLE q.p. | No | -0.1440 | -0.1458 | -0.1499 | -0.1479 | 0.0 | 0.0 |
| 031 | SLE q.p. | No | -0.1220 | -0.1258 | -0.1361 | -0.1319 | 0.0 | 0.0 |
| 032 | SLE q.p. | No | -0.1520 | -0.1558 | -0.1661 | -0.1619 | 0.0 | 0.0 |
| 033 | SLV A1 | Si | -0.1445 | -0.1506 | -0.1693 | -0.1591 | 22.0 | 5.1 |
| 034 | SLV A1 | Si | -0.1845 | -0.1847 | -0.1869 | -0.1825 | 15.0 | -19.0 |
| 035 | SLV A1 | Si | -0.1196 | -0.1268 | -0.1452 | -0.1412 | -15.1 | 19.1 |
| 036 | SLV A1 | Si | -0.1596 | -0.1609 | -0.1628 | -0.1646 | -22.0 | -5.1 |
| 037 | SLV A1 | Si | -0.1444 | -0.1506 | -0.1693 | -0.1591 | 15.1 | 4.6 |
| 038 | SLV A1 | Si | -0.1846 | -0.1848 | -0.1869 | -0.1826 | 21.9 | -18.5 |
| 039 | SLV A1 | Si | -0.1195 | -0.1268 | -0.1452 | -0.1412 | -22.0 | 18.6 |
| 040 | SLV A1 | Si | -0.1597 | -0.1609 | -0.1628 | -0.1646 | -15.1 | -4.6 |
| 041 | SLV A1 | Si | -0.1517 | -0.1549 | -0.1693 | -0.1615 | 21.4 | 1.3 |
| 042 | SLV A1 | Si | -0.1917 | -0.1890 | -0.1869 | -0.1849 | 14.4 | -22.9 |
| 043 | SLV A1 | Si | -0.1124 | -0.1225 | -0.1452 | -0.1388 | -14.4 | 22.9 |
| 044 | SLV A1 | Si | -0.1524 | -0.1566 | -0.1629 | -0.1622 | -21.4 | -1.2 |
| 045 | SLV A1 | Si | -0.1516 | -0.1549 | -0.1693 | -0.1615 | 14.5 | 0.8 |
| 046 | SLV A1 | Si | -0.1918 | -0.1891 | -0.1868 | -0.1850 | 21.3 | -22.4 |
| 047 | SLV A1 | Si | -0.1123 | -0.1224 | -0.1453 | -0.1387 | -21.3 | 22.4 |
| 048 | SLV A1 | Si | -0.1525 | -0.1566 | -0.1628 | -0.1622 | -14.5 | -0.7 |
| 049 | SLV A1 | Si | -0.0892 | -0.1025 | -0.1403 | -0.1255 | 17.1 | 38.2 |
| 050 | SLV A1 | Si | -0.2224 | -0.2161 | -0.1990 | -0.2036 | -6.0 | -42.3 |
| 051 | SLV A1 | Si | -0.0817 | -0.0954 | -0.1331 | -0.1201 | 6.0 | 42.4 |
| 052 | SLV A1 | Si | -0.2149 | -0.2090 | -0.1918 | -0.1982 | -17.2 | -38.2 |
| 053 | SLV A1 | Si | -0.0913 | -0.1038 | -0.1403 | -0.1262 | 17.0 | 37.0 |
| 054 | SLV A1 | Si | -0.2246 | -0.2174 | -0.1990 | -0.2043 | -6.2 | -43.5 |
| 055 | SLV A1 | Si | -0.0795 | -0.0941 | -0.1331 | -0.1194 | 6.2 | 43.5 |
| 056 | SLV A1 | Si | -0.2128 | -0.2077 | -0.1918 | -0.1975 | -17.0 | -37.0 |
| 057 | SLV A1 | Si | -0.0888 | -0.1024 | -0.1404 | -0.1254 | -5.9 | 36.5 |
| 058 | SLV A1 | Si | -0.2227 | -0.2163 | -0.1989 | -0.2037 | 17.0 | -40.7 |
| 059 | SLV A1 | Si | -0.0813 | -0.0952 | -0.1332 | -0.1200 | -17.0 | 40.7 |
| 060 | SLV A1 | Si | -0.2153 | -0.2092 | -0.1917 | -0.1983 | 5.9 | -36.5 |
| 061 | SLV A1 | Si | -0.0910 | -0.1037 | -0.1404 | -0.1261 | -6.1 | 35.4 |
| 062 | SLV A1 | Si | -0.2249 | -0.2176 | -0.1989 | -0.2044 | 16.8 | -41.8 |
| 063 | SLV A1 | Si | -0.0792 | -0.0939 | -0.1332 | -0.1193 | -16.8 | 41.9 |
| 064 | SLV A1 | Si | -0.2131 | -0.2079 | -0.1917 | -0.1976 | 6.0 | -35.3 |
| 065 | SLD | Si | -0.1486 | -0.1534 | -0.1675 | -0.1606 | 9.9 | 2.4 |
| 066 | SLD | Si | -0.1668 | -0.1689 | -0.1755 | -0.1713 | 6.8 | -8.7 |
| 067 | SLD | Si | -0.1373 | -0.1426 | -0.1566 | -0.1525 | -6.8 | 8.7 |
| 068 | SLD | Si | -0.1555 | -0.1581 | -0.1646 | -0.1631 | -9.9 | -2.3 |
| 069 | SLD | Si | -0.1485 | -0.1534 | -0.1675 | -0.1606 | 6.8 | 2.1 |
| 070 | SLD | Si | -0.1669 | -0.1690 | -0.1755 | -0.1713 | 9.9 | -8.4 |
| 071 | SLD | Si | -0.1372 | -0.1426 | -0.1566 | -0.1524 | -9.9 | 8.5 |
| 072 | SLD | Si | -0.1556 | -0.1582 | -0.1646 | -0.1632 | -6.8 | -2.1 |
| 073 | SLD | Si | -0.1519 | -0.1554 | -0.1675 | -0.1617 | 9.6 | 0.6 |
| 074 | SLD | Si | -0.1701 | -0.1709 | -0.1755 | -0.1724 | 6.5 | -10.4 |
| 075 | SLD | Si | -0.1340 | -0.1406 | -0.1566 | -0.1513 | -6.5 | 10.5 |
| 076 | SLD | Si | -0.1522 | -0.1562 | -0.1646 | -0.1620 | -9.7 | -0.6 |
| 077 | SLD | Si | -0.1518 | -0.1553 | -0.1675 | -0.1617 | 6.5 | 0.4 |
| 078 | SLD | Si | -0.1702 | -0.1709 | -0.1755 | -0.1724 | 9.6 | -10.2 |
| 079 | SLD | Si | -0.1339 | -0.1406 | -0.1566 | -0.1513 | -9.6 | 10.2 |
| 080 | SLD | Si | -0.1523 | -0.1562 | -0.1646 | -0.1620 | -6.6 | -0.3 |
| 081 | SLD | Si | -0.1233 | -0.1315 | -0.1543 | -0.1452 | 7.7 | 17.5 |
| 082 | SLD | Si | -0.1841 | -0.1833 | -0.1811 | -0.1809 | -2.7 | -19.3 |
| 083 | SLD | Si | -0.1199 | -0.1282 | -0.1510 | -0.1428 | 2.7 | 19.4 |
| 084 | SLD | Si | -0.1808 | -0.1801 | -0.1778 | -0.1785 | -7.7 | -17.4 |
| 085 | SLD | Si | -0.1243 | -0.1321 | -0.1543 | -0.1456 | 7.6 | 16.9 |
| 086 | SLD | Si | -0.1851 | -0.1839 | -0.1811 | -0.1812 | -2.8 | -19.8 |
| 087 | SLD | Si | -0.1190 | -0.1276 | -0.1510 | -0.1425 | 2.8 | 19.9 |

| | | | |
|--------------------------------------|----------------------------------------------------------------------------------------------------------------------|----------------------------------------------------------------------------------|-------------|
| COMMITTENTE: Mecca Antonio | CODICE COMMESSA: | NOME ELABORATO: S1.5 - Relazione Geotecnica e delle Fondazioni | CONSULENTE: |
| DATA: Aprile 2023 | TITOLO: Lavori ultimazione di un fabbricato adibito ad albergo-ristorante– C.da Case Nuove Chicone Avigliano (PZ) | | |

| | | | | | | | | |
|-----|-----|----|---------|---------|---------|---------|------|-------|
| 088 | SLD | Si | -0.1798 | -0.1795 | -0.1778 | -0.1781 | -7.7 | -16.9 |
| 089 | SLD | Si | -0.1232 | -0.1314 | -0.1543 | -0.1452 | -2.6 | 16.7 |
| 090 | SLD | Si | -0.1843 | -0.1834 | -0.1810 | -0.1809 | 7.7 | -18.5 |
| 091 | SLD | Si | -0.1198 | -0.1282 | -0.1511 | -0.1428 | -7.7 | 18.6 |
| 092 | SLD | Si | -0.1809 | -0.1801 | -0.1778 | -0.1785 | 2.6 | -16.6 |
| 093 | SLD | Si | -0.1242 | -0.1320 | -0.1543 | -0.1456 | -2.7 | 16.2 |
| 094 | SLD | Si | -0.1853 | -0.1840 | -0.1810 | -0.1813 | 7.6 | -19.1 |
| 095 | SLD | Si | -0.1188 | -0.1276 | -0.1511 | -0.1425 | -7.6 | 19.1 |
| 096 | SLD | Si | -0.1799 | -0.1795 | -0.1778 | -0.1782 | 2.7 | -16.1 |
| 097 | SLO | Si | -0.1494 | -0.1539 | -0.1672 | -0.1609 | 7.9 | 1.8 |
| 098 | SLO | Si | -0.1637 | -0.1661 | -0.1735 | -0.1693 | 5.4 | -6.8 |
| 099 | SLO | Si | -0.1404 | -0.1454 | -0.1586 | -0.1544 | -5.4 | 6.9 |
| 100 | SLO | Si | -0.1547 | -0.1576 | -0.1649 | -0.1628 | -7.9 | -1.8 |
| 101 | SLO | Si | -0.1492 | -0.1538 | -0.1672 | -0.1608 | 5.4 | 1.7 |
| 102 | SLO | Si | -0.1638 | -0.1662 | -0.1736 | -0.1693 | 7.9 | -6.7 |
| 103 | SLO | Si | -0.1403 | -0.1453 | -0.1585 | -0.1544 | -7.9 | 6.7 |
| 104 | SLO | Si | -0.1548 | -0.1577 | -0.1649 | -0.1629 | -5.4 | -1.7 |
| 105 | SLO | Si | -0.1520 | -0.1555 | -0.1672 | -0.1617 | 7.7 | 0.5 |
| 106 | SLO | Si | -0.1663 | -0.1677 | -0.1735 | -0.1701 | 5.2 | -8.2 |
| 107 | SLO | Si | -0.1378 | -0.1438 | -0.1586 | -0.1536 | -5.2 | 8.2 |
| 108 | SLO | Si | -0.1521 | -0.1560 | -0.1649 | -0.1620 | -7.7 | -0.4 |
| 109 | SLO | Si | -0.1518 | -0.1554 | -0.1672 | -0.1617 | 5.2 | 0.3 |
| 110 | SLO | Si | -0.1664 | -0.1678 | -0.1735 | -0.1702 | 7.6 | -8.1 |
| 111 | SLO | Si | -0.1377 | -0.1437 | -0.1586 | -0.1535 | -7.7 | 8.1 |
| 112 | SLO | Si | -0.1523 | -0.1561 | -0.1649 | -0.1620 | -5.2 | -0.3 |
| 113 | SLO | Si | -0.1295 | -0.1367 | -0.1568 | -0.1488 | 6.1 | 13.7 |
| 114 | SLO | Si | -0.1772 | -0.1774 | -0.1779 | -0.1768 | -2.2 | -15.2 |
| 115 | SLO | Si | -0.1268 | -0.1341 | -0.1542 | -0.1469 | 2.1 | 15.2 |
| 116 | SLO | Si | -0.1746 | -0.1748 | -0.1753 | -0.1749 | -6.1 | -13.6 |
| 117 | SLO | Si | -0.1303 | -0.1372 | -0.1568 | -0.1491 | 6.1 | 13.3 |
| 118 | SLO | Si | -0.1780 | -0.1778 | -0.1779 | -0.1771 | -2.2 | -15.6 |
| 119 | SLO | Si | -0.1261 | -0.1337 | -0.1542 | -0.1466 | 2.2 | 15.6 |
| 120 | SLO | Si | -0.1738 | -0.1744 | -0.1753 | -0.1746 | -6.1 | -13.2 |
| 121 | SLO | Si | -0.1291 | -0.1364 | -0.1568 | -0.1486 | -2.1 | 13.3 |
| 122 | SLO | Si | -0.1776 | -0.1777 | -0.1780 | -0.1770 | 6.1 | -14.7 |
| 123 | SLO | Si | -0.1264 | -0.1338 | -0.1542 | -0.1467 | -6.1 | 14.8 |
| 124 | SLO | Si | -0.1750 | -0.1751 | -0.1754 | -0.1751 | 2.1 | -13.2 |
| 125 | SLO | Si | -0.1299 | -0.1369 | -0.1567 | -0.1489 | -2.2 | 12.8 |
| 126 | SLO | Si | -0.1784 | -0.1781 | -0.1779 | -0.1773 | 6.0 | -15.1 |
| 127 | SLO | Si | -0.1257 | -0.1334 | -0.1542 | -0.1465 | -6.0 | 15.2 |
| 128 | SLO | Si | -0.1742 | -0.1746 | -0.1754 | -0.1748 | 2.2 | -12.8 |

Elemento: Platea n. 21

| Cmb | Tipo | Sism. | Press. N1 | Press. N2 | Press. N3 | Press. N4 | S. Taglio X | S. Taglio Y |
|-----|----------|-------|---------------------|---------------------|---------------------|---------------------|-------------|-------------|
| n. | | | daN/cm ² | daN/cm ² | daN/cm ² | daN/cm ² | daN | daN |
| 001 | SLU STR | No | -0.1540 | -0.1545 | -0.1590 | -0.1588 | 0.0 | 0.0 |
| 002 | SLU STR | No | -0.2065 | -0.2070 | -0.2115 | -0.2113 | 0.0 | 0.0 |
| 003 | SLU STR | No | -0.1765 | -0.1744 | -0.1918 | -0.1946 | 0.0 | -0.1 |
| 004 | SLU STR | No | -0.2290 | -0.2269 | -0.2443 | -0.2471 | 0.0 | -0.1 |
| 005 | SLU STR | No | -0.1145 | -0.1149 | -0.1182 | -0.1179 | 0.0 | 0.0 |
| 006 | SLU STR | No | -0.1670 | -0.1674 | -0.1707 | -0.1704 | 0.0 | 0.0 |
| 007 | SLU STR | No | -0.1369 | -0.1348 | -0.1509 | -0.1537 | 0.0 | -0.1 |
| 008 | SLU STR | No | -0.1894 | -0.1873 | -0.2034 | -0.2062 | 0.0 | -0.1 |
| 009 | SLU STR | No | -0.2290 | -0.2295 | -0.2340 | -0.2338 | 0.0 | 0.0 |
| 010 | SLU STR | No | -0.1697 | -0.1684 | -0.1820 | -0.1839 | 0.0 | -0.1 |
| 011 | SLU STR | No | -0.2447 | -0.2434 | -0.2570 | -0.2589 | 0.0 | -0.1 |
| 012 | SLU STR | No | -0.1895 | -0.1899 | -0.1932 | -0.1929 | 0.0 | 0.0 |
| 013 | SLU STR | No | -0.1302 | -0.1289 | -0.1411 | -0.1430 | 0.0 | -0.1 |
| 014 | SLU STR | No | -0.2052 | -0.2039 | -0.2161 | -0.2180 | 0.0 | -0.1 |
| 015 | SLE rare | No | -0.1167 | -0.1171 | -0.1205 | -0.1203 | 0.0 | 0.0 |
| 016 | SLE rare | No | -0.1517 | -0.1521 | -0.1555 | -0.1553 | 0.0 | 0.0 |
| 017 | SLE rare | No | -0.1317 | -0.1304 | -0.1424 | -0.1442 | 0.0 | -0.1 |
| 018 | SLE rare | No | -0.1667 | -0.1654 | -0.1774 | -0.1792 | 0.0 | -0.1 |
| 019 | SLE rare | No | -0.1667 | -0.1671 | -0.1705 | -0.1703 | 0.0 | 0.0 |
| 020 | SLE rare | No | -0.1272 | -0.1264 | -0.1358 | -0.1370 | 0.0 | -0.1 |
| 021 | SLE rare | No | -0.1772 | -0.1764 | -0.1858 | -0.1870 | 0.0 | -0.1 |
| 022 | SLE freq | No | -0.1167 | -0.1171 | -0.1205 | -0.1203 | 0.0 | 0.0 |
| 023 | SLE freq | No | -0.1467 | -0.1471 | -0.1505 | -0.1503 | 0.0 | 0.0 |
| 024 | SLE freq | No | -0.1272 | -0.1264 | -0.1358 | -0.1370 | 0.0 | -0.1 |
| 025 | SLE freq | No | -0.1572 | -0.1564 | -0.1658 | -0.1670 | 0.0 | -0.1 |
| 026 | SLE freq | No | -0.1517 | -0.1521 | -0.1555 | -0.1553 | 0.0 | 0.0 |

Relazione Geotecnica e delle Fondazioni

| | | | | | | | | |
|-----|----------|----|---------|---------|---------|---------|-------|-------|
| 027 | SLE freq | No | -0.1257 | -0.1251 | -0.1336 | -0.1346 | 0.0 | -0.1 |
| 028 | SLE freq | No | -0.1607 | -0.1601 | -0.1686 | -0.1696 | 0.0 | -0.1 |
| 029 | SLE q.p. | No | -0.1167 | -0.1171 | -0.1205 | -0.1203 | 0.0 | 0.0 |
| 030 | SLE q.p. | No | -0.1467 | -0.1471 | -0.1505 | -0.1503 | 0.0 | 0.0 |
| 031 | SLE q.p. | No | -0.1257 | -0.1251 | -0.1336 | -0.1346 | 0.0 | -0.1 |
| 032 | SLE q.p. | No | -0.1557 | -0.1551 | -0.1636 | -0.1646 | 0.0 | -0.1 |
| 033 | SLV A1 | Si | -0.1548 | -0.1569 | -0.1739 | -0.1724 | 23.7 | 1.3 |
| 034 | SLV A1 | Si | -0.1897 | -0.1931 | -0.1974 | -0.1937 | 16.5 | -32.9 |
| 035 | SLV A1 | Si | -0.1218 | -0.1171 | -0.1298 | -0.1355 | -16.5 | 32.8 |
| 036 | SLV A1 | Si | -0.1566 | -0.1533 | -0.1533 | -0.1568 | -23.7 | -1.4 |
| 037 | SLV A1 | Si | -0.1549 | -0.1569 | -0.1740 | -0.1725 | 16.5 | 0.2 |
| 038 | SLV A1 | Si | -0.1896 | -0.1930 | -0.1973 | -0.1937 | 23.7 | -31.8 |
| 039 | SLV A1 | Si | -0.1218 | -0.1172 | -0.1300 | -0.1356 | -23.7 | 31.7 |
| 040 | SLV A1 | Si | -0.1566 | -0.1533 | -0.1532 | -0.1567 | -16.5 | -0.3 |
| 041 | SLV A1 | Si | -0.1568 | -0.1580 | -0.1732 | -0.1719 | 23.0 | -3.0 |
| 042 | SLV A1 | Si | -0.1916 | -0.1942 | -0.1967 | -0.1932 | 15.8 | -37.2 |
| 043 | SLV A1 | Si | -0.1199 | -0.1160 | -0.1305 | -0.1361 | -15.9 | 37.1 |
| 044 | SLV A1 | Si | -0.1547 | -0.1522 | -0.1540 | -0.1574 | -23.1 | 2.9 |
| 045 | SLV A1 | Si | -0.1568 | -0.1581 | -0.1733 | -0.1720 | 15.9 | -4.1 |
| 046 | SLV A1 | Si | -0.1916 | -0.1941 | -0.1966 | -0.1931 | 23.0 | -36.1 |
| 047 | SLV A1 | Si | -0.1199 | -0.1161 | -0.1306 | -0.1361 | -23.0 | 36.0 |
| 048 | SLV A1 | Si | -0.1547 | -0.1522 | -0.1539 | -0.1573 | -15.9 | 4.0 |
| 049 | SLV A1 | Si | -0.1026 | -0.1007 | -0.1311 | -0.1346 | 18.0 | 52.1 |
| 050 | SLV A1 | Si | -0.2187 | -0.2214 | -0.2094 | -0.2057 | -6.0 | -61.7 |
| 051 | SLV A1 | Si | -0.0927 | -0.0888 | -0.1179 | -0.1236 | 6.0 | 61.6 |
| 052 | SLV A1 | Si | -0.2088 | -0.2095 | -0.1962 | -0.1946 | -18.1 | -52.2 |
| 053 | SLV A1 | Si | -0.1032 | -0.1010 | -0.1309 | -0.1345 | 17.8 | 50.8 |
| 054 | SLV A1 | Si | -0.2193 | -0.2217 | -0.2092 | -0.2055 | -6.2 | -63.0 |
| 055 | SLV A1 | Si | -0.0922 | -0.0885 | -0.1181 | -0.1237 | 6.2 | 62.9 |
| 056 | SLV A1 | Si | -0.2082 | -0.2092 | -0.1964 | -0.1948 | -17.9 | -51.0 |
| 057 | SLV A1 | Si | -0.1027 | -0.1009 | -0.1315 | -0.1349 | -5.9 | 48.5 |
| 058 | SLV A1 | Si | -0.2186 | -0.2212 | -0.2090 | -0.2054 | 17.9 | -58.1 |
| 059 | SLV A1 | Si | -0.0928 | -0.0890 | -0.1182 | -0.1238 | -18.0 | 58.0 |
| 060 | SLV A1 | Si | -0.2087 | -0.2093 | -0.1958 | -0.1944 | 5.9 | -48.6 |
| 061 | SLV A1 | Si | -0.1033 | -0.1013 | -0.1313 | -0.1347 | -6.1 | 47.2 |
| 062 | SLV A1 | Si | -0.2192 | -0.2215 | -0.2088 | -0.2053 | 17.7 | -59.4 |
| 063 | SLV A1 | Si | -0.0922 | -0.0887 | -0.1184 | -0.1240 | -17.8 | 59.3 |
| 064 | SLV A1 | Si | -0.2082 | -0.2089 | -0.1960 | -0.1945 | 6.1 | -47.4 |
| 065 | SLD | Si | -0.1553 | -0.1558 | -0.1682 | -0.1681 | 10.7 | 0.6 |
| 066 | SLD | Si | -0.1712 | -0.1724 | -0.1790 | -0.1778 | 7.4 | -15.0 |
| 067 | SLD | Si | -0.1403 | -0.1378 | -0.1483 | -0.1514 | -7.5 | 14.9 |
| 068 | SLD | Si | -0.1562 | -0.1544 | -0.1590 | -0.1611 | -10.7 | -0.7 |
| 069 | SLD | Si | -0.1553 | -0.1559 | -0.1683 | -0.1682 | 7.5 | 0.1 |
| 070 | SLD | Si | -0.1711 | -0.1723 | -0.1789 | -0.1778 | 10.7 | -14.5 |
| 071 | SLD | Si | -0.1403 | -0.1379 | -0.1483 | -0.1514 | -10.7 | 14.4 |
| 072 | SLD | Si | -0.1562 | -0.1543 | -0.1590 | -0.1611 | -7.5 | -0.2 |
| 073 | SLD | Si | -0.1562 | -0.1564 | -0.1680 | -0.1679 | 10.4 | -1.4 |
| 074 | SLD | Si | -0.1721 | -0.1729 | -0.1787 | -0.1776 | 7.2 | -17.0 |
| 075 | SLD | Si | -0.1394 | -0.1373 | -0.1486 | -0.1516 | -7.2 | 16.9 |
| 076 | SLD | Si | -0.1553 | -0.1538 | -0.1593 | -0.1614 | -10.4 | 1.3 |
| 077 | SLD | Si | -0.1562 | -0.1564 | -0.1680 | -0.1679 | 7.2 | -1.9 |
| 078 | SLD | Si | -0.1720 | -0.1729 | -0.1786 | -0.1776 | 10.4 | -16.5 |
| 079 | SLD | Si | -0.1394 | -0.1373 | -0.1486 | -0.1517 | -10.4 | 16.4 |
| 080 | SLD | Si | -0.1553 | -0.1538 | -0.1592 | -0.1613 | -7.2 | 1.8 |
| 081 | SLD | Si | -0.1315 | -0.1303 | -0.1488 | -0.1509 | 8.1 | 23.8 |
| 082 | SLD | Si | -0.1845 | -0.1853 | -0.1845 | -0.1833 | -2.7 | -28.2 |
| 083 | SLD | Si | -0.1270 | -0.1249 | -0.1428 | -0.1459 | 2.7 | 28.1 |
| 084 | SLD | Si | -0.1800 | -0.1799 | -0.1785 | -0.1783 | -8.2 | -23.9 |
| 085 | SLD | Si | -0.1317 | -0.1304 | -0.1487 | -0.1509 | 8.0 | 23.2 |
| 086 | SLD | Si | -0.1847 | -0.1855 | -0.1844 | -0.1833 | -2.8 | -28.8 |
| 087 | SLD | Si | -0.1267 | -0.1247 | -0.1429 | -0.1460 | 2.8 | 28.7 |
| 088 | SLD | Si | -0.1797 | -0.1798 | -0.1786 | -0.1784 | -8.1 | -23.3 |
| 089 | SLD | Si | -0.1315 | -0.1304 | -0.1489 | -0.1511 | -2.7 | 22.1 |
| 090 | SLD | Si | -0.1844 | -0.1852 | -0.1843 | -0.1832 | 8.1 | -26.5 |
| 091 | SLD | Si | -0.1270 | -0.1250 | -0.1430 | -0.1460 | -8.1 | 26.4 |
| 092 | SLD | Si | -0.1799 | -0.1798 | -0.1783 | -0.1782 | 2.6 | -22.2 |
| 093 | SLD | Si | -0.1318 | -0.1305 | -0.1488 | -0.1510 | -2.7 | 21.5 |
| 094 | SLD | Si | -0.1847 | -0.1854 | -0.1842 | -0.1831 | 8.0 | -27.1 |
| 095 | SLD | Si | -0.1268 | -0.1248 | -0.1430 | -0.1461 | -8.0 | 27.0 |
| 096 | SLD | Si | -0.1797 | -0.1797 | -0.1784 | -0.1783 | 2.7 | -21.6 |
| 097 | SLO | Si | -0.1554 | -0.1558 | -0.1673 | -0.1674 | 8.5 | 0.4 |
| 098 | SLO | Si | -0.1679 | -0.1687 | -0.1758 | -0.1751 | 5.9 | -11.8 |
| 099 | SLO | Si | -0.1436 | -0.1415 | -0.1515 | -0.1542 | -5.9 | 11.7 |
| 100 | SLO | Si | -0.1560 | -0.1544 | -0.1599 | -0.1618 | -8.5 | -0.5 |

| | | | |
|--------------------------------------|----------------------------------------------------------------------------------------------------------------------|----------------------------------------------------------------------------------|-------------|
| COMMITTENTE: Mecca Antonio | CODICE COMMESSA: | NOME ELABORATO: S1.5 - Relazione Geotecnica e delle Fondazioni | CONSULENTE: |
| DATA: Aprile 2023 | TITOLO: Lavori ultimazione di un fabbricato adibito ad albergo-ristorante- C.da Case Nuove Chicone Avigliano (PZ) | | |

| | | | | | | | | |
|-----|-----|----|---------|---------|---------|---------|------|-------|
| 101 | SLO | Si | -0.1554 | -0.1557 | -0.1673 | -0.1674 | 5.9 | 0.1 |
| 102 | SLO | Si | -0.1680 | -0.1688 | -0.1758 | -0.1751 | 8.5 | -11.5 |
| 103 | SLO | Si | -0.1435 | -0.1414 | -0.1515 | -0.1542 | -8.5 | 11.4 |
| 104 | SLO | Si | -0.1561 | -0.1545 | -0.1599 | -0.1618 | -5.9 | -0.2 |
| 105 | SLO | Si | -0.1561 | -0.1562 | -0.1671 | -0.1672 | 8.3 | -1.2 |
| 106 | SLO | Si | -0.1686 | -0.1691 | -0.1755 | -0.1749 | 5.7 | -13.4 |
| 107 | SLO | Si | -0.1429 | -0.1411 | -0.1517 | -0.1544 | -5.7 | 13.3 |
| 108 | SLO | Si | -0.1553 | -0.1540 | -0.1602 | -0.1620 | -8.3 | 1.0 |
| 109 | SLO | Si | -0.1560 | -0.1561 | -0.1671 | -0.1672 | 5.7 | -1.5 |
| 110 | SLO | Si | -0.1686 | -0.1692 | -0.1755 | -0.1749 | 8.2 | -13.1 |
| 111 | SLO | Si | -0.1428 | -0.1410 | -0.1517 | -0.1544 | -8.3 | 12.9 |
| 112 | SLO | Si | -0.1554 | -0.1541 | -0.1602 | -0.1620 | -5.7 | 1.4 |
| 113 | SLO | Si | -0.1367 | -0.1356 | -0.1520 | -0.1539 | 6.4 | 18.6 |
| 114 | SLO | Si | -0.1783 | -0.1789 | -0.1800 | -0.1793 | -2.1 | -22.1 |
| 115 | SLO | Si | -0.1332 | -0.1313 | -0.1472 | -0.1499 | 2.1 | 22.0 |
| 116 | SLO | Si | -0.1747 | -0.1746 | -0.1753 | -0.1754 | -6.5 | -18.7 |
| 117 | SLO | Si | -0.1369 | -0.1357 | -0.1519 | -0.1538 | 6.4 | 18.2 |
| 118 | SLO | Si | -0.1785 | -0.1790 | -0.1800 | -0.1793 | -2.2 | -22.6 |
| 119 | SLO | Si | -0.1330 | -0.1312 | -0.1473 | -0.1500 | 2.2 | 22.5 |
| 120 | SLO | Si | -0.1745 | -0.1745 | -0.1754 | -0.1754 | -6.4 | -18.3 |
| 121 | SLO | Si | -0.1365 | -0.1355 | -0.1520 | -0.1538 | -2.1 | 17.6 |
| 122 | SLO | Si | -0.1785 | -0.1790 | -0.1800 | -0.1794 | 6.4 | -21.1 |
| 123 | SLO | Si | -0.1329 | -0.1312 | -0.1472 | -0.1499 | -6.4 | 21.0 |
| 124 | SLO | Si | -0.1749 | -0.1747 | -0.1753 | -0.1754 | 2.1 | -17.7 |
| 125 | SLO | Si | -0.1367 | -0.1356 | -0.1519 | -0.1538 | -2.2 | 17.1 |
| 126 | SLO | Si | -0.1787 | -0.1791 | -0.1800 | -0.1793 | 6.3 | -21.5 |
| 127 | SLO | Si | -0.1327 | -0.1311 | -0.1473 | -0.1499 | -6.4 | 21.4 |
| 128 | SLO | Si | -0.1747 | -0.1746 | -0.1754 | -0.1755 | 2.2 | -17.2 |

Elemento: Platea n. 22

| Cmb | Tipo | Sism. | Press. N1 | Press. N2 | Press. N3 | Press. N4 | S. Taglio X | S. Taglio Y |
|-----|----------|-------|---------------------|---------------------|---------------------|---------------------|-------------|-------------|
| n. | | | daN/cm ² | daN/cm ² | daN/cm ² | daN/cm ² | daN | daN |
| 001 | SLU STR | No | -0.1534 | -0.1540 | -0.1588 | -0.1587 | 0.0 | 0.0 |
| 002 | SLU STR | No | -0.2059 | -0.2065 | -0.2113 | -0.2112 | 0.0 | 0.0 |
| 003 | SLU STR | No | -0.1774 | -0.1765 | -0.1946 | -0.1974 | 0.0 | -0.1 |
| 004 | SLU STR | No | -0.2299 | -0.2290 | -0.2471 | -0.2499 | 0.0 | -0.1 |
| 005 | SLU STR | No | -0.1140 | -0.1145 | -0.1179 | -0.1178 | 0.0 | 0.0 |
| 006 | SLU STR | No | -0.1665 | -0.1670 | -0.1704 | -0.1703 | 0.0 | 0.0 |
| 007 | SLU STR | No | -0.1380 | -0.1369 | -0.1537 | -0.1565 | 0.0 | -0.1 |
| 008 | SLU STR | No | -0.1905 | -0.1894 | -0.2062 | -0.2090 | 0.0 | -0.1 |
| 009 | SLU STR | No | -0.2284 | -0.2290 | -0.2338 | -0.2337 | 0.0 | 0.0 |
| 010 | SLU STR | No | -0.1702 | -0.1697 | -0.1839 | -0.1858 | 0.0 | -0.1 |
| 011 | SLU STR | No | -0.2452 | -0.2447 | -0.2589 | -0.2608 | 0.0 | -0.1 |
| 012 | SLU STR | No | -0.1890 | -0.1895 | -0.1929 | -0.1928 | 0.0 | 0.0 |
| 013 | SLU STR | No | -0.1308 | -0.1302 | -0.1430 | -0.1449 | 0.0 | -0.1 |
| 014 | SLU STR | No | -0.2058 | -0.2052 | -0.2180 | -0.2199 | 0.0 | -0.1 |
| 015 | SLE rare | No | -0.1162 | -0.1167 | -0.1203 | -0.1202 | 0.0 | 0.0 |
| 016 | SLE rare | No | -0.1512 | -0.1517 | -0.1553 | -0.1552 | 0.0 | 0.0 |
| 017 | SLE rare | No | -0.1322 | -0.1317 | -0.1442 | -0.1460 | 0.0 | -0.1 |
| 018 | SLE rare | No | -0.1672 | -0.1667 | -0.1792 | -0.1810 | 0.0 | -0.1 |
| 019 | SLE rare | No | -0.1662 | -0.1667 | -0.1703 | -0.1702 | 0.0 | 0.0 |
| 020 | SLE rare | No | -0.1274 | -0.1272 | -0.1370 | -0.1383 | 0.0 | 0.0 |
| 021 | SLE rare | No | -0.1774 | -0.1772 | -0.1870 | -0.1883 | 0.0 | 0.0 |
| 022 | SLE freq | No | -0.1162 | -0.1167 | -0.1203 | -0.1202 | 0.0 | 0.0 |
| 023 | SLE freq | No | -0.1462 | -0.1467 | -0.1503 | -0.1502 | 0.0 | 0.0 |
| 024 | SLE freq | No | -0.1274 | -0.1272 | -0.1370 | -0.1383 | 0.0 | 0.0 |
| 025 | SLE freq | No | -0.1574 | -0.1572 | -0.1670 | -0.1683 | 0.0 | 0.0 |
| 026 | SLE freq | No | -0.1512 | -0.1517 | -0.1553 | -0.1552 | 0.0 | 0.0 |
| 027 | SLE freq | No | -0.1258 | -0.1257 | -0.1346 | -0.1357 | 0.0 | 0.0 |
| 028 | SLE freq | No | -0.1608 | -0.1607 | -0.1696 | -0.1707 | 0.0 | 0.0 |
| 029 | SLE q.p. | No | -0.1162 | -0.1167 | -0.1203 | -0.1202 | 0.0 | 0.0 |
| 030 | SLE q.p. | No | -0.1462 | -0.1467 | -0.1503 | -0.1502 | 0.0 | 0.0 |
| 031 | SLE q.p. | No | -0.1258 | -0.1257 | -0.1346 | -0.1357 | 0.0 | 0.0 |
| 032 | SLE q.p. | No | -0.1558 | -0.1557 | -0.1646 | -0.1657 | 0.0 | 0.0 |
| 033 | SLV A1 | Si | -0.1523 | -0.1548 | -0.1724 | -0.1716 | 24.0 | 3.2 |
| 034 | SLV A1 | Si | -0.1866 | -0.1897 | -0.1937 | -0.1906 | 16.8 | -28.1 |
| 035 | SLV A1 | Si | -0.1251 | -0.1218 | -0.1355 | -0.1408 | -16.8 | 28.0 |
| 036 | SLV A1 | Si | -0.1594 | -0.1566 | -0.1568 | -0.1598 | -24.0 | -3.3 |
| 037 | SLV A1 | Si | -0.1523 | -0.1549 | -0.1725 | -0.1716 | 16.9 | 2.3 |
| 038 | SLV A1 | Si | -0.1866 | -0.1896 | -0.1937 | -0.1905 | 24.0 | -27.2 |
| 039 | SLV A1 | Si | -0.1251 | -0.1218 | -0.1356 | -0.1408 | -24.0 | 27.1 |

Relazione Geotecnica e delle Fondazioni

| | | | | | | | | |
|-----|--------|----|---------|---------|---------|---------|-------|-------|
| 040 | SLV A1 | Si | -0.1594 | -0.1566 | -0.1567 | -0.1598 | -16.9 | -2.4 |
| 041 | SLV A1 | Si | -0.1555 | -0.1568 | -0.1719 | -0.1712 | 23.4 | -0.9 |
| 042 | SLV A1 | Si | -0.1897 | -0.1916 | -0.1932 | -0.1902 | 16.2 | -32.2 |
| 043 | SLV A1 | Si | -0.1219 | -0.1199 | -0.1361 | -0.1412 | -16.2 | 32.1 |
| 044 | SLV A1 | Si | -0.1562 | -0.1547 | -0.1574 | -0.1602 | -23.4 | 0.9 |
| 045 | SLV A1 | Si | -0.1554 | -0.1568 | -0.1720 | -0.1712 | 16.2 | -1.8 |
| 046 | SLV A1 | Si | -0.1898 | -0.1916 | -0.1931 | -0.1901 | 23.4 | -31.3 |
| 047 | SLV A1 | Si | -0.1219 | -0.1199 | -0.1361 | -0.1412 | -23.4 | 31.2 |
| 048 | SLV A1 | Si | -0.1562 | -0.1547 | -0.1573 | -0.1602 | -16.3 | 1.7 |
| 049 | SLV A1 | Si | -0.1028 | -0.1026 | -0.1346 | -0.1386 | 18.1 | 48.4 |
| 050 | SLV A1 | Si | -0.2170 | -0.2187 | -0.2057 | -0.2020 | -5.9 | -55.9 |
| 051 | SLV A1 | Si | -0.0946 | -0.0927 | -0.1236 | -0.1294 | 5.9 | 55.8 |
| 052 | SLV A1 | Si | -0.2089 | -0.2088 | -0.1946 | -0.1928 | -18.1 | -48.4 |
| 053 | SLV A1 | Si | -0.1037 | -0.1032 | -0.1345 | -0.1385 | 17.9 | 47.1 |
| 054 | SLV A1 | Si | -0.2180 | -0.2193 | -0.2055 | -0.2019 | -6.0 | -57.1 |
| 055 | SLV A1 | Si | -0.0937 | -0.0922 | -0.1237 | -0.1295 | 6.0 | 57.0 |
| 056 | SLV A1 | Si | -0.2079 | -0.2082 | -0.1948 | -0.1929 | -17.9 | -47.2 |
| 057 | SLV A1 | Si | -0.1027 | -0.1027 | -0.1349 | -0.1388 | -5.8 | 45.4 |
| 058 | SLV A1 | Si | -0.2171 | -0.2186 | -0.2054 | -0.2019 | 18.0 | -52.9 |
| 059 | SLV A1 | Si | -0.0945 | -0.0928 | -0.1238 | -0.1295 | -18.1 | 52.8 |
| 060 | SLV A1 | Si | -0.2090 | -0.2087 | -0.1944 | -0.1926 | 5.8 | -45.5 |
| 061 | SLV A1 | Si | -0.1037 | -0.1033 | -0.1347 | -0.1386 | -6.0 | 44.2 |
| 062 | SLV A1 | Si | -0.2181 | -0.2192 | -0.2053 | -0.2017 | 17.9 | -54.1 |
| 063 | SLV A1 | Si | -0.0936 | -0.0922 | -0.1240 | -0.1296 | -17.9 | 54.1 |
| 064 | SLV A1 | Si | -0.2080 | -0.2082 | -0.1945 | -0.1928 | 6.0 | -44.2 |
| 065 | SLD | Si | -0.1542 | -0.1553 | -0.1681 | -0.1683 | 10.8 | 1.5 |
| 066 | SLD | Si | -0.1698 | -0.1712 | -0.1778 | -0.1770 | 7.6 | -12.8 |
| 067 | SLD | Si | -0.1418 | -0.1403 | -0.1514 | -0.1544 | -7.6 | 12.7 |
| 068 | SLD | Si | -0.1575 | -0.1562 | -0.1611 | -0.1631 | -10.9 | -1.6 |
| 069 | SLD | Si | -0.1542 | -0.1553 | -0.1682 | -0.1683 | 7.6 | 1.1 |
| 070 | SLD | Si | -0.1698 | -0.1711 | -0.1778 | -0.1770 | 10.8 | -12.4 |
| 071 | SLD | Si | -0.1418 | -0.1403 | -0.1514 | -0.1544 | -10.8 | 12.3 |
| 072 | SLD | Si | -0.1575 | -0.1562 | -0.1611 | -0.1630 | -7.6 | -1.1 |
| 073 | SLD | Si | -0.1556 | -0.1562 | -0.1679 | -0.1681 | 10.6 | -0.4 |
| 074 | SLD | Si | -0.1713 | -0.1721 | -0.1776 | -0.1768 | 7.3 | -14.7 |
| 075 | SLD | Si | -0.1404 | -0.1394 | -0.1516 | -0.1546 | -7.3 | 14.6 |
| 076 | SLD | Si | -0.1560 | -0.1553 | -0.1614 | -0.1632 | -10.6 | 0.4 |
| 077 | SLD | Si | -0.1556 | -0.1562 | -0.1679 | -0.1682 | 7.3 | -0.8 |
| 078 | SLD | Si | -0.1713 | -0.1720 | -0.1776 | -0.1768 | 10.6 | -14.3 |
| 079 | SLD | Si | -0.1404 | -0.1394 | -0.1517 | -0.1546 | -10.6 | 14.2 |
| 080 | SLD | Si | -0.1560 | -0.1553 | -0.1613 | -0.1632 | -7.4 | 0.8 |
| 081 | SLD | Si | -0.1316 | -0.1315 | -0.1509 | -0.1533 | 8.2 | 22.1 |
| 082 | SLD | Si | -0.1837 | -0.1845 | -0.1833 | -0.1823 | -2.6 | -25.5 |
| 083 | SLD | Si | -0.1279 | -0.1270 | -0.1459 | -0.1491 | 2.6 | 25.5 |
| 084 | SLD | Si | -0.1801 | -0.1800 | -0.1783 | -0.1781 | -8.2 | -22.1 |
| 085 | SLD | Si | -0.1320 | -0.1317 | -0.1509 | -0.1533 | 8.1 | 21.5 |
| 086 | SLD | Si | -0.1842 | -0.1847 | -0.1833 | -0.1822 | -2.7 | -26.1 |
| 087 | SLD | Si | -0.1275 | -0.1267 | -0.1460 | -0.1492 | 2.7 | 26.0 |
| 088 | SLD | Si | -0.1796 | -0.1797 | -0.1784 | -0.1781 | -8.1 | -21.6 |
| 089 | SLD | Si | -0.1316 | -0.1315 | -0.1511 | -0.1534 | -2.6 | 20.7 |
| 090 | SLD | Si | -0.1838 | -0.1844 | -0.1832 | -0.1822 | 8.1 | -24.1 |
| 091 | SLD | Si | -0.1279 | -0.1270 | -0.1460 | -0.1492 | -8.1 | 24.1 |
| 092 | SLD | Si | -0.1801 | -0.1799 | -0.1782 | -0.1780 | 2.6 | -20.8 |
| 093 | SLD | Si | -0.1320 | -0.1318 | -0.1510 | -0.1533 | -2.7 | 20.1 |
| 094 | SLD | Si | -0.1842 | -0.1847 | -0.1831 | -0.1821 | 8.1 | -24.7 |
| 095 | SLD | Si | -0.1274 | -0.1268 | -0.1461 | -0.1493 | -8.1 | 24.7 |
| 096 | SLD | Si | -0.1796 | -0.1797 | -0.1783 | -0.1780 | 2.7 | -20.2 |
| 097 | SLO | Si | -0.1546 | -0.1554 | -0.1674 | -0.1678 | 8.6 | 1.1 |
| 098 | SLO | Si | -0.1668 | -0.1679 | -0.1751 | -0.1746 | 6.0 | -10.1 |
| 099 | SLO | Si | -0.1448 | -0.1436 | -0.1542 | -0.1568 | -6.0 | 10.0 |
| 100 | SLO | Si | -0.1571 | -0.1560 | -0.1618 | -0.1636 | -8.6 | -1.2 |
| 101 | SLO | Si | -0.1545 | -0.1554 | -0.1674 | -0.1678 | 6.0 | 0.9 |
| 102 | SLO | Si | -0.1669 | -0.1680 | -0.1751 | -0.1746 | 8.6 | -9.8 |
| 103 | SLO | Si | -0.1447 | -0.1435 | -0.1542 | -0.1567 | -8.6 | 9.8 |
| 104 | SLO | Si | -0.1572 | -0.1561 | -0.1618 | -0.1636 | -6.0 | -0.9 |
| 105 | SLO | Si | -0.1557 | -0.1561 | -0.1672 | -0.1677 | 8.4 | -0.4 |
| 106 | SLO | Si | -0.1680 | -0.1686 | -0.1749 | -0.1745 | 5.8 | -11.6 |
| 107 | SLO | Si | -0.1437 | -0.1429 | -0.1544 | -0.1569 | -5.8 | 11.5 |
| 108 | SLO | Si | -0.1559 | -0.1553 | -0.1620 | -0.1637 | -8.4 | 0.3 |
| 109 | SLO | Si | -0.1556 | -0.1560 | -0.1672 | -0.1676 | 5.8 | -0.6 |
| 110 | SLO | Si | -0.1681 | -0.1686 | -0.1749 | -0.1745 | 8.4 | -11.3 |
| 111 | SLO | Si | -0.1436 | -0.1428 | -0.1544 | -0.1569 | -8.4 | 11.3 |
| 112 | SLO | Si | -0.1560 | -0.1554 | -0.1620 | -0.1637 | -5.8 | 0.6 |
| 113 | SLO | Si | -0.1368 | -0.1367 | -0.1539 | -0.1560 | 6.5 | 17.3 |

| | | | |
|--------------------------------------|----------------------------------------------------------------------------------------------------------------------|----------------------------------------------------------------------------------|-------------|
| COMMITTENTE: Mecca Antonio | CODICE COMMESSA: | NOME ELABORATO: S1.5 - Relazione Geotecnica e delle Fondazioni | CONSULENTE: |
| DATA: Aprile 2023 | TITOLO: Lavori ultimazione di un fabbricato adibito ad albergo-ristorante- C.da Case Nuove Chicone Avigliano (PZ) | | |

| | | | | | | | | |
|-----|-----|----|---------|---------|---------|---------|------|-------|
| 114 | SLO | Si | -0.1777 | -0.1783 | -0.1793 | -0.1787 | -2.1 | -20.0 |
| 115 | SLO | Si | -0.1339 | -0.1332 | -0.1499 | -0.1527 | 2.1 | 20.0 |
| 116 | SLO | Si | -0.1748 | -0.1747 | -0.1754 | -0.1754 | -6.5 | -17.4 |
| 117 | SLO | Si | -0.1372 | -0.1369 | -0.1538 | -0.1559 | 6.4 | 16.9 |
| 118 | SLO | Si | -0.1781 | -0.1785 | -0.1793 | -0.1787 | -2.2 | -20.5 |
| 119 | SLO | Si | -0.1336 | -0.1330 | -0.1500 | -0.1527 | 2.1 | 20.4 |
| 120 | SLO | Si | -0.1745 | -0.1745 | -0.1754 | -0.1754 | -6.4 | -16.9 |
| 121 | SLO | Si | -0.1366 | -0.1365 | -0.1538 | -0.1559 | -2.1 | 16.4 |
| 122 | SLO | Si | -0.1780 | -0.1785 | -0.1794 | -0.1788 | 6.5 | -19.2 |
| 123 | SLO | Si | -0.1336 | -0.1329 | -0.1499 | -0.1526 | -6.5 | 19.1 |
| 124 | SLO | Si | -0.1751 | -0.1749 | -0.1754 | -0.1755 | 2.1 | -16.5 |
| 125 | SLO | Si | -0.1369 | -0.1367 | -0.1538 | -0.1559 | -2.1 | 16.0 |
| 126 | SLO | Si | -0.1784 | -0.1787 | -0.1793 | -0.1787 | 6.4 | -19.6 |
| 127 | SLO | Si | -0.1333 | -0.1327 | -0.1499 | -0.1527 | -6.4 | 19.6 |
| 128 | SLO | Si | -0.1747 | -0.1747 | -0.1755 | -0.1755 | 2.1 | -16.1 |

Elemento: Platea n. 23

| Cmb | Tipo | Sism. | Press. N1 | Press. N2 | Press. N3 | Press. N4 | S. Taglio X | S. Taglio Y |
|-----|----------|-------|---------------------|---------------------|---------------------|---------------------|-------------|-------------|
| n. | | | daN/cm ² | daN/cm ² | daN/cm ² | daN/cm ² | daN | daN |
| 001 | SLU STR | No | -0.1662 | -0.1678 | -0.1727 | -0.1707 | 0.0 | 0.0 |
| 002 | SLU STR | No | -0.2187 | -0.2203 | -0.2252 | -0.2232 | 0.0 | 0.0 |
| 003 | SLU STR | No | -0.2349 | -0.2391 | -0.2587 | -0.2528 | 0.2 | 0.1 |
| 004 | SLU STR | No | -0.2874 | -0.2916 | -0.3112 | -0.3053 | 0.2 | 0.1 |
| 005 | SLU STR | No | -0.1230 | -0.1242 | -0.1276 | -0.1261 | 0.0 | 0.0 |
| 006 | SLU STR | No | -0.1755 | -0.1767 | -0.1801 | -0.1786 | 0.0 | 0.0 |
| 007 | SLU STR | No | -0.1917 | -0.1954 | -0.2136 | -0.2083 | 0.2 | 0.1 |
| 008 | SLU STR | No | -0.2442 | -0.2479 | -0.2661 | -0.2608 | 0.2 | 0.1 |
| 009 | SLU STR | No | -0.2412 | -0.2428 | -0.2477 | -0.2457 | 0.0 | 0.0 |
| 010 | SLU STR | No | -0.2143 | -0.2177 | -0.2329 | -0.2282 | 0.1 | 0.1 |
| 011 | SLU STR | No | -0.2893 | -0.2927 | -0.3079 | -0.3032 | 0.1 | 0.1 |
| 012 | SLU STR | No | -0.1980 | -0.1992 | -0.2026 | -0.2011 | 0.0 | 0.0 |
| 013 | SLU STR | No | -0.1711 | -0.1740 | -0.1878 | -0.1836 | 0.1 | 0.1 |
| 014 | SLU STR | No | -0.2461 | -0.2490 | -0.2628 | -0.2586 | 0.1 | 0.1 |
| 015 | SLE rare | No | -0.1257 | -0.1270 | -0.1306 | -0.1290 | 0.0 | 0.0 |
| 016 | SLE rare | No | -0.1607 | -0.1620 | -0.1656 | -0.1640 | 0.0 | 0.0 |
| 017 | SLE rare | No | -0.1715 | -0.1744 | -0.1879 | -0.1838 | 0.1 | 0.1 |
| 018 | SLE rare | No | -0.2065 | -0.2094 | -0.2229 | -0.2188 | 0.1 | 0.1 |
| 019 | SLE rare | No | -0.1757 | -0.1770 | -0.1806 | -0.1790 | 0.0 | 0.0 |
| 020 | SLE rare | No | -0.1578 | -0.1602 | -0.1707 | -0.1674 | 0.1 | 0.1 |
| 021 | SLE rare | No | -0.2078 | -0.2102 | -0.2207 | -0.2174 | 0.1 | 0.1 |
| 022 | SLE freq | No | -0.1257 | -0.1270 | -0.1306 | -0.1290 | 0.0 | 0.0 |
| 023 | SLE freq | No | -0.1557 | -0.1570 | -0.1606 | -0.1590 | 0.0 | 0.0 |
| 024 | SLE freq | No | -0.1578 | -0.1602 | -0.1707 | -0.1674 | 0.1 | 0.1 |
| 025 | SLE freq | No | -0.1878 | -0.1902 | -0.2007 | -0.1974 | 0.1 | 0.1 |
| 026 | SLE freq | No | -0.1607 | -0.1620 | -0.1656 | -0.1640 | 0.0 | 0.0 |
| 027 | SLE freq | No | -0.1532 | -0.1555 | -0.1650 | -0.1619 | 0.1 | 0.1 |
| 028 | SLE freq | No | -0.1882 | -0.1905 | -0.2000 | -0.1969 | 0.1 | 0.1 |
| 029 | SLE q.p. | No | -0.1257 | -0.1270 | -0.1306 | -0.1290 | 0.0 | 0.0 |
| 030 | SLE q.p. | No | -0.1557 | -0.1570 | -0.1606 | -0.1590 | 0.0 | 0.0 |
| 031 | SLE q.p. | No | -0.1532 | -0.1555 | -0.1650 | -0.1619 | 0.1 | 0.1 |
| 032 | SLE q.p. | No | -0.1832 | -0.1855 | -0.1950 | -0.1919 | 0.1 | 0.1 |
| 033 | SLV A1 | Si | -0.2039 | -0.2115 | -0.2354 | -0.2268 | 37.4 | 6.6 |
| 034 | SLV A1 | Si | -0.1871 | -0.1944 | -0.2017 | -0.1939 | 53.1 | -26.2 |
| 035 | SLV A1 | Si | -0.1793 | -0.1765 | -0.1882 | -0.1899 | -52.9 | 26.3 |
| 036 | SLV A1 | Si | -0.1625 | -0.1594 | -0.1546 | -0.1570 | -37.2 | -6.5 |
| 037 | SLV A1 | Si | -0.2040 | -0.2117 | -0.2356 | -0.2269 | 52.8 | 6.2 |
| 038 | SLV A1 | Si | -0.1870 | -0.1942 | -0.2015 | -0.1937 | 37.7 | -25.8 |
| 039 | SLV A1 | Si | -0.1794 | -0.1767 | -0.1885 | -0.1901 | -37.6 | 25.9 |
| 040 | SLV A1 | Si | -0.1624 | -0.1592 | -0.1543 | -0.1569 | -52.6 | -6.1 |
| 041 | SLV A1 | Si | -0.2070 | -0.2145 | -0.2417 | -0.2332 | 39.4 | 0.8 |
| 042 | SLV A1 | Si | -0.1902 | -0.1973 | -0.2080 | -0.2004 | 55.1 | -32.0 |
| 043 | SLV A1 | Si | -0.1762 | -0.1736 | -0.1819 | -0.1834 | -55.0 | 32.2 |
| 044 | SLV A1 | Si | -0.1594 | -0.1565 | -0.1483 | -0.1506 | -39.3 | -0.7 |
| 045 | SLV A1 | Si | -0.2071 | -0.2146 | -0.2419 | -0.2334 | 54.8 | 0.4 |
| 046 | SLV A1 | Si | -0.1901 | -0.1972 | -0.2078 | -0.2002 | 39.8 | -31.6 |
| 047 | SLV A1 | Si | -0.1763 | -0.1737 | -0.1822 | -0.1836 | -39.6 | 31.8 |
| 048 | SLV A1 | Si | -0.1593 | -0.1563 | -0.1480 | -0.1504 | -54.6 | -0.2 |
| 049 | SLV A1 | Si | -0.2149 | -0.2192 | -0.2581 | -0.2522 | -12.6 | 51.8 |
| 050 | SLV A1 | Si | -0.1589 | -0.1622 | -0.1459 | -0.1426 | 39.8 | -57.6 |
| 051 | SLV A1 | Si | -0.2075 | -0.2087 | -0.2440 | -0.2412 | -39.7 | 57.7 |
| 052 | SLV A1 | Si | -0.1515 | -0.1517 | -0.1318 | -0.1316 | 12.7 | -51.7 |

Relazione Geotecnica e delle Fondazioni

| | | | | | | | | |
|-----|--------|----|---------|---------|---------|---------|-------|-------|
| 053 | SLV A1 | Si | -0.2158 | -0.2201 | -0.2600 | -0.2542 | -12.0 | 50.1 |
| 054 | SLV A1 | Si | -0.1598 | -0.1630 | -0.1478 | -0.1446 | 40.4 | -59.3 |
| 055 | SLV A1 | Si | -0.2066 | -0.2079 | -0.2421 | -0.2392 | -40.3 | 59.5 |
| 056 | SLV A1 | Si | -0.1506 | -0.1508 | -0.1299 | -0.1296 | 12.1 | -49.9 |
| 057 | SLV A1 | Si | -0.2153 | -0.2198 | -0.2589 | -0.2528 | 38.7 | 50.4 |
| 058 | SLV A1 | Si | -0.1585 | -0.1616 | -0.1452 | -0.1420 | -11.5 | -56.2 |
| 059 | SLV A1 | Si | -0.2079 | -0.2093 | -0.2448 | -0.2418 | 11.6 | 56.3 |
| 060 | SLV A1 | Si | -0.1511 | -0.1511 | -0.1310 | -0.1310 | -38.5 | -50.3 |
| 061 | SLV A1 | Si | -0.2162 | -0.2207 | -0.2608 | -0.2548 | 39.3 | 48.7 |
| 062 | SLV A1 | Si | -0.1594 | -0.1625 | -0.1470 | -0.1440 | -10.8 | -58.0 |
| 063 | SLV A1 | Si | -0.2070 | -0.2084 | -0.2429 | -0.2398 | 11.0 | 58.1 |
| 064 | SLV A1 | Si | -0.1502 | -0.1502 | -0.1291 | -0.1290 | -39.2 | -48.5 |
| 065 | SLD | Si | -0.1926 | -0.1973 | -0.2133 | -0.2078 | 16.9 | 3.1 |
| 066 | SLD | Si | -0.1849 | -0.1895 | -0.1980 | -0.1927 | 24.1 | -11.9 |
| 067 | SLD | Si | -0.1815 | -0.1814 | -0.1920 | -0.1910 | -23.9 | 12.0 |
| 068 | SLD | Si | -0.1738 | -0.1736 | -0.1766 | -0.1760 | -16.8 | -3.0 |
| 069 | SLD | Si | -0.1927 | -0.1974 | -0.2134 | -0.2078 | 23.9 | 2.9 |
| 070 | SLD | Si | -0.1849 | -0.1894 | -0.1979 | -0.1927 | 17.1 | -11.7 |
| 071 | SLD | Si | -0.1815 | -0.1815 | -0.1921 | -0.1911 | -16.9 | 11.8 |
| 072 | SLD | Si | -0.1738 | -0.1735 | -0.1765 | -0.1760 | -23.8 | -2.8 |
| 073 | SLD | Si | -0.1940 | -0.1986 | -0.2162 | -0.2107 | 17.9 | 0.4 |
| 074 | SLD | Si | -0.1863 | -0.1908 | -0.2009 | -0.1957 | 25.1 | -14.6 |
| 075 | SLD | Si | -0.1801 | -0.1801 | -0.1891 | -0.1881 | -24.9 | 14.7 |
| 076 | SLD | Si | -0.1724 | -0.1723 | -0.1737 | -0.1731 | -17.7 | -0.3 |
| 077 | SLD | Si | -0.1941 | -0.1987 | -0.2163 | -0.2108 | 24.9 | 0.2 |
| 078 | SLD | Si | -0.1863 | -0.1907 | -0.2008 | -0.1956 | 18.1 | -14.4 |
| 079 | SLD | Si | -0.1801 | -0.1802 | -0.1892 | -0.1882 | -17.9 | 14.5 |
| 080 | SLD | Si | -0.1723 | -0.1722 | -0.1736 | -0.1730 | -24.7 | -0.1 |
| 081 | SLD | Si | -0.1977 | -0.2009 | -0.2238 | -0.2194 | -5.7 | 23.7 |
| 082 | SLD | Si | -0.1721 | -0.1748 | -0.1726 | -0.1694 | 18.1 | -26.3 |
| 083 | SLD | Si | -0.1943 | -0.1961 | -0.2174 | -0.2144 | -18.0 | 26.4 |
| 084 | SLD | Si | -0.1687 | -0.1700 | -0.1662 | -0.1644 | 5.9 | -23.6 |
| 085 | SLD | Si | -0.1981 | -0.2013 | -0.2246 | -0.2203 | -5.4 | 22.9 |
| 086 | SLD | Si | -0.1725 | -0.1752 | -0.1734 | -0.1703 | 18.4 | -27.1 |
| 087 | SLD | Si | -0.1939 | -0.1957 | -0.2165 | -0.2135 | -18.3 | 27.2 |
| 088 | SLD | Si | -0.1683 | -0.1696 | -0.1653 | -0.1635 | 5.6 | -22.8 |
| 089 | SLD | Si | -0.1978 | -0.2011 | -0.2241 | -0.2197 | 17.6 | 23.1 |
| 090 | SLD | Si | -0.1719 | -0.1746 | -0.1722 | -0.1691 | -5.2 | -25.6 |
| 091 | SLD | Si | -0.1945 | -0.1963 | -0.2177 | -0.2147 | 5.4 | 25.7 |
| 092 | SLD | Si | -0.1686 | -0.1698 | -0.1658 | -0.1641 | -17.5 | -22.9 |
| 093 | SLD | Si | -0.1983 | -0.2015 | -0.2250 | -0.2206 | 17.9 | 22.3 |
| 094 | SLD | Si | -0.1723 | -0.1750 | -0.1731 | -0.1700 | -4.9 | -26.4 |
| 095 | SLD | Si | -0.1941 | -0.1959 | -0.2169 | -0.2138 | 5.1 | 26.5 |
| 096 | SLD | Si | -0.1681 | -0.1694 | -0.1649 | -0.1632 | -17.8 | -22.1 |
| 097 | SLO | Si | -0.1906 | -0.1948 | -0.2095 | -0.2044 | 13.5 | 2.4 |
| 098 | SLO | Si | -0.1846 | -0.1887 | -0.1974 | -0.1926 | 19.1 | -9.4 |
| 099 | SLO | Si | -0.1818 | -0.1822 | -0.1925 | -0.1912 | -19.0 | 9.5 |
| 100 | SLO | Si | -0.1758 | -0.1761 | -0.1805 | -0.1794 | -13.3 | -2.3 |
| 101 | SLO | Si | -0.1907 | -0.1949 | -0.2096 | -0.2045 | 19.0 | 2.3 |
| 102 | SLO | Si | -0.1845 | -0.1886 | -0.1973 | -0.1925 | 13.6 | -9.3 |
| 103 | SLO | Si | -0.1819 | -0.1823 | -0.1927 | -0.1913 | -13.4 | 9.4 |
| 104 | SLO | Si | -0.1757 | -0.1760 | -0.1803 | -0.1793 | -18.9 | -2.2 |
| 105 | SLO | Si | -0.1918 | -0.1959 | -0.2118 | -0.2067 | 14.2 | 0.3 |
| 106 | SLO | Si | -0.1857 | -0.1897 | -0.1997 | -0.1950 | 19.9 | -11.5 |
| 107 | SLO | Si | -0.1807 | -0.1812 | -0.1902 | -0.1888 | -19.7 | 11.6 |
| 108 | SLO | Si | -0.1747 | -0.1750 | -0.1782 | -0.1771 | -14.1 | -0.2 |
| 109 | SLO | Si | -0.1918 | -0.1960 | -0.2119 | -0.2069 | 19.8 | 0.2 |
| 110 | SLO | Si | -0.1857 | -0.1896 | -0.1995 | -0.1948 | 14.3 | -11.4 |
| 111 | SLO | Si | -0.1808 | -0.1813 | -0.1904 | -0.1890 | -14.2 | 11.5 |
| 112 | SLO | Si | -0.1746 | -0.1749 | -0.1780 | -0.1769 | -19.6 | -0.1 |
| 113 | SLO | Si | -0.1946 | -0.1976 | -0.2176 | -0.2135 | -4.5 | 18.6 |
| 114 | SLO | Si | -0.1745 | -0.1771 | -0.1774 | -0.1743 | 14.3 | -20.6 |
| 115 | SLO | Si | -0.1919 | -0.1938 | -0.2125 | -0.2095 | -14.2 | 20.7 |
| 116 | SLO | Si | -0.1718 | -0.1733 | -0.1723 | -0.1703 | 4.6 | -18.5 |
| 117 | SLO | Si | -0.1949 | -0.1979 | -0.2183 | -0.2142 | -4.2 | 18.0 |
| 118 | SLO | Si | -0.1748 | -0.1774 | -0.1781 | -0.1750 | 14.6 | -21.2 |
| 119 | SLO | Si | -0.1916 | -0.1935 | -0.2118 | -0.2088 | -14.4 | 21.4 |
| 120 | SLO | Si | -0.1715 | -0.1730 | -0.1716 | -0.1696 | 4.4 | -17.8 |
| 121 | SLO | Si | -0.1948 | -0.1979 | -0.2181 | -0.2140 | 14.0 | 18.3 |
| 122 | SLO | Si | -0.1742 | -0.1768 | -0.1769 | -0.1738 | -4.1 | -20.3 |
| 123 | SLO | Si | -0.1922 | -0.1941 | -0.2130 | -0.2100 | 4.3 | 20.4 |
| 124 | SLO | Si | -0.1716 | -0.1730 | -0.1718 | -0.1698 | -13.8 | -18.2 |
| 125 | SLO | Si | -0.1952 | -0.1982 | -0.2188 | -0.2147 | 14.2 | 17.7 |
| 126 | SLO | Si | -0.1746 | -0.1771 | -0.1776 | -0.1745 | -3.9 | -20.9 |

| | | | |
|--------------------------------------|------------------------------------------------------------------------------------------------------------------------------|----------------------------------------------------------------------------------|-------------|
| COMMITTENTE: Mecca Antonio | CODICE COMMESSA: | NOME ELABORATO: S1.5 - Relazione Geotecnica e delle Fondazioni | CONSULENTE: |
| DATA: Aprile 2023 | TITOLO: Lavori ultimazione di un fabbricato adibito ad albergo-ristorante- C.da Case Nuove Chicone Avigliano (PZ) | | |

| | | | | | | | | |
|-----|-----|----|---------|---------|---------|---------|-------|-------|
| 127 | SLO | Si | -0.1918 | -0.1938 | -0.2124 | -0.2093 | 4.0 | 21.1 |
| 128 | SLO | Si | -0.1713 | -0.1727 | -0.1711 | -0.1691 | -14.1 | -17.6 |

Elemento: Platea n. 24

| Cmb n. | Tipo | Sism. | Press. N1 daN/cm ² | Press. N2 daN/cm ² | Press. N3 daN/cm ² | Press. N4 daN/cm ² | S. Taglio X daN | S. Taglio Y daN |
|-----------|----------|-------|----------------------------------|----------------------------------|----------------------------------|----------------------------------|--------------------|--------------------|
| 001 | SLU STR | No | -0.1473 | -0.1476 | -0.1530 | -0.1517 | 0.0 | 0.0 |
| 002 | SLU STR | No | -0.1998 | -0.2001 | -0.2055 | -0.2042 | 0.0 | 0.0 |
| 003 | SLU STR | No | -0.1609 | -0.1605 | -0.1819 | -0.1780 | -0.1 | 0.2 |
| 004 | SLU STR | No | -0.2134 | -0.2130 | -0.2344 | -0.2305 | -0.1 | 0.2 |
| 005 | SLU STR | No | -0.1095 | -0.1098 | -0.1136 | -0.1126 | 0.0 | 0.0 |
| 006 | SLU STR | No | -0.1620 | -0.1623 | -0.1661 | -0.1651 | 0.0 | 0.0 |
| 007 | SLU STR | No | -0.1231 | -0.1226 | -0.1425 | -0.1389 | -0.1 | 0.2 |
| 008 | SLU STR | No | -0.1756 | -0.1751 | -0.1950 | -0.1914 | -0.1 | 0.2 |
| 009 | SLU STR | No | -0.2223 | -0.2226 | -0.2280 | -0.2267 | 0.0 | 0.0 |
| 010 | SLU STR | No | -0.1568 | -0.1566 | -0.1733 | -0.1701 | 0.0 | 0.1 |
| 011 | SLU STR | No | -0.2318 | -0.2316 | -0.2483 | -0.2451 | 0.0 | 0.1 |
| 012 | SLU STR | No | -0.1845 | -0.1848 | -0.1886 | -0.1876 | 0.0 | 0.0 |
| 013 | SLU STR | No | -0.1190 | -0.1188 | -0.1338 | -0.1310 | 0.0 | 0.1 |
| 014 | SLU STR | No | -0.1940 | -0.1938 | -0.2088 | -0.2060 | 0.0 | 0.1 |
| 015 | SLE rare | No | -0.1116 | -0.1119 | -0.1159 | -0.1149 | 0.0 | 0.0 |
| 016 | SLE rare | No | -0.1466 | -0.1469 | -0.1509 | -0.1499 | 0.0 | 0.0 |
| 017 | SLE rare | No | -0.1207 | -0.1205 | -0.1352 | -0.1325 | 0.0 | 0.1 |
| 018 | SLE rare | No | -0.1557 | -0.1555 | -0.1702 | -0.1675 | 0.0 | 0.1 |
| 019 | SLE rare | No | -0.1616 | -0.1619 | -0.1659 | -0.1649 | 0.0 | 0.0 |
| 020 | SLE rare | No | -0.1180 | -0.1179 | -0.1294 | -0.1272 | 0.0 | 0.1 |
| 021 | SLE rare | No | -0.1680 | -0.1679 | -0.1794 | -0.1772 | 0.0 | 0.1 |
| 022 | SLE freq | No | -0.1116 | -0.1119 | -0.1159 | -0.1149 | 0.0 | 0.0 |
| 023 | SLE freq | No | -0.1416 | -0.1419 | -0.1459 | -0.1449 | 0.0 | 0.0 |
| 024 | SLE freq | No | -0.1180 | -0.1179 | -0.1294 | -0.1272 | 0.0 | 0.1 |
| 025 | SLE freq | No | -0.1480 | -0.1479 | -0.1594 | -0.1572 | 0.0 | 0.1 |
| 026 | SLE freq | No | -0.1466 | -0.1469 | -0.1509 | -0.1499 | 0.0 | 0.0 |
| 027 | SLE freq | No | -0.1171 | -0.1171 | -0.1275 | -0.1254 | 0.0 | 0.1 |
| 028 | SLE freq | No | -0.1521 | -0.1521 | -0.1625 | -0.1604 | 0.0 | 0.1 |
| 029 | SLE q.p. | No | -0.1116 | -0.1119 | -0.1159 | -0.1149 | 0.0 | 0.0 |
| 030 | SLE q.p. | No | -0.1416 | -0.1419 | -0.1459 | -0.1449 | 0.0 | 0.0 |
| 031 | SLE q.p. | No | -0.1171 | -0.1171 | -0.1275 | -0.1254 | 0.0 | 0.1 |
| 032 | SLE q.p. | No | -0.1471 | -0.1471 | -0.1575 | -0.1554 | 0.0 | 0.1 |
| 033 | SLV A1 | Si | -0.1408 | -0.1387 | -0.1518 | -0.1504 | 24.9 | 4.7 |
| 034 | SLV A1 | Si | -0.1884 | -0.1870 | -0.1818 | -0.1830 | 14.9 | -19.4 |
| 035 | SLV A1 | Si | -0.1057 | -0.1071 | -0.1331 | -0.1279 | -14.9 | 19.6 |
| 036 | SLV A1 | Si | -0.1533 | -0.1554 | -0.1632 | -0.1605 | -25.0 | -4.6 |
| 037 | SLV A1 | Si | -0.1406 | -0.1386 | -0.1517 | -0.1503 | 15.1 | 4.5 |
| 038 | SLV A1 | Si | -0.1886 | -0.1871 | -0.1819 | -0.1831 | 24.7 | -19.1 |
| 039 | SLV A1 | Si | -0.1056 | -0.1070 | -0.1331 | -0.1278 | -24.8 | 19.3 |
| 040 | SLV A1 | Si | -0.1535 | -0.1556 | -0.1632 | -0.1606 | -15.2 | -4.3 |
| 041 | SLV A1 | Si | -0.1506 | -0.1483 | -0.1572 | -0.1570 | 23.9 | 0.3 |
| 042 | SLV A1 | Si | -0.1982 | -0.1966 | -0.1873 | -0.1897 | 13.8 | -23.8 |
| 043 | SLV A1 | Si | -0.0959 | -0.0975 | -0.1277 | -0.1212 | -13.9 | 24.0 |
| 044 | SLV A1 | Si | -0.1435 | -0.1458 | -0.1577 | -0.1538 | -23.9 | -0.2 |
| 045 | SLV A1 | Si | -0.1505 | -0.1482 | -0.1572 | -0.1569 | 14.0 | 0.1 |
| 046 | SLV A1 | Si | -0.1984 | -0.1968 | -0.1873 | -0.1898 | 23.6 | -23.5 |
| 047 | SLV A1 | Si | -0.0957 | -0.0973 | -0.1276 | -0.1211 | -23.7 | 23.7 |
| 048 | SLV A1 | Si | -0.1437 | -0.1459 | -0.1578 | -0.1539 | -14.1 | 0.1 |
| 049 | SLV A1 | Si | -0.0730 | -0.0713 | -0.1102 | -0.1044 | 22.7 | 38.1 |
| 050 | SLV A1 | Si | -0.2317 | -0.2322 | -0.2103 | -0.2132 | -10.8 | -42.3 |
| 051 | SLV A1 | Si | -0.0625 | -0.0619 | -0.1046 | -0.0977 | 10.8 | 42.5 |
| 052 | SLV A1 | Si | -0.2212 | -0.2228 | -0.2047 | -0.2064 | -22.8 | -37.9 |
| 053 | SLV A1 | Si | -0.0759 | -0.0742 | -0.1119 | -0.1064 | 22.4 | 36.7 |
| 054 | SLV A1 | Si | -0.2346 | -0.2351 | -0.2120 | -0.2152 | -11.1 | -43.7 |
| 055 | SLV A1 | Si | -0.0595 | -0.0590 | -0.1030 | -0.0957 | 11.1 | 43.8 |
| 056 | SLV A1 | Si | -0.2182 | -0.2199 | -0.2031 | -0.2044 | -22.5 | -36.6 |
| 057 | SLV A1 | Si | -0.0724 | -0.0708 | -0.1100 | -0.1041 | -10.0 | 37.2 |
| 058 | SLV A1 | Si | -0.2322 | -0.2327 | -0.2106 | -0.2135 | 22.0 | -41.5 |
| 059 | SLV A1 | Si | -0.0619 | -0.0614 | -0.1044 | -0.0974 | -22.0 | 41.6 |
| 060 | SLV A1 | Si | -0.2217 | -0.2233 | -0.2050 | -0.2068 | 10.0 | -37.0 |
| 061 | SLV A1 | Si | -0.0754 | -0.0737 | -0.1116 | -0.1061 | -10.4 | 35.9 |
| 062 | SLV A1 | Si | -0.2352 | -0.2356 | -0.2122 | -0.2155 | 21.6 | -42.8 |
| 063 | SLV A1 | Si | -0.0590 | -0.0585 | -0.1028 | -0.0954 | -21.7 | 43.0 |
| 064 | SLV A1 | Si | -0.2187 | -0.2204 | -0.2033 | -0.2048 | 10.3 | -35.7 |
| 065 | SLD | Si | -0.1442 | -0.1432 | -0.1549 | -0.1531 | 11.2 | 2.2 |

Relazione Geotecnica e delle Fondazioni

| | | | | | | | | |
|-----|-----|----|---------|---------|---------|---------|-------|-------|
| 066 | SLD | Si | -0.1659 | -0.1652 | -0.1686 | -0.1680 | 6.7 | -8.8 |
| 067 | SLD | Si | -0.1282 | -0.1289 | -0.1464 | -0.1429 | -6.7 | 9.0 |
| 068 | SLD | Si | -0.1500 | -0.1509 | -0.1601 | -0.1578 | -11.3 | -2.1 |
| 069 | SLD | Si | -0.1441 | -0.1431 | -0.1548 | -0.1531 | 6.8 | 2.1 |
| 070 | SLD | Si | -0.1660 | -0.1653 | -0.1686 | -0.1680 | 11.1 | -8.7 |
| 071 | SLD | Si | -0.1282 | -0.1288 | -0.1464 | -0.1428 | -11.2 | 8.8 |
| 072 | SLD | Si | -0.1500 | -0.1510 | -0.1601 | -0.1578 | -6.9 | -1.9 |
| 073 | SLD | Si | -0.1486 | -0.1476 | -0.1574 | -0.1561 | 10.8 | 0.2 |
| 074 | SLD | Si | -0.1704 | -0.1696 | -0.1711 | -0.1710 | 6.2 | -10.8 |
| 075 | SLD | Si | -0.1238 | -0.1245 | -0.1439 | -0.1398 | -6.3 | 11.0 |
| 076 | SLD | Si | -0.1455 | -0.1465 | -0.1576 | -0.1547 | -10.8 | 0.0 |
| 077 | SLD | Si | -0.1486 | -0.1475 | -0.1573 | -0.1561 | 6.3 | 0.1 |
| 078 | SLD | Si | -0.1704 | -0.1697 | -0.1711 | -0.1711 | 10.6 | -10.7 |
| 079 | SLD | Si | -0.1237 | -0.1244 | -0.1439 | -0.1398 | -10.7 | 10.8 |
| 080 | SLD | Si | -0.1456 | -0.1466 | -0.1576 | -0.1548 | -6.4 | 0.1 |
| 081 | SLD | Si | -0.1132 | -0.1125 | -0.1359 | -0.1321 | 10.2 | 17.4 |
| 082 | SLD | Si | -0.1857 | -0.1859 | -0.1816 | -0.1818 | -4.9 | -19.3 |
| 083 | SLD | Si | -0.1085 | -0.1082 | -0.1334 | -0.1291 | 4.8 | 19.4 |
| 084 | SLD | Si | -0.1809 | -0.1816 | -0.1791 | -0.1787 | -10.3 | -17.3 |
| 085 | SLD | Si | -0.1146 | -0.1138 | -0.1367 | -0.1330 | 10.1 | 16.8 |
| 086 | SLD | Si | -0.1870 | -0.1873 | -0.1823 | -0.1827 | -5.1 | -19.9 |
| 087 | SLD | Si | -0.1071 | -0.1069 | -0.1326 | -0.1282 | 5.0 | 20.0 |
| 088 | SLD | Si | -0.1796 | -0.1803 | -0.1783 | -0.1778 | -10.2 | -16.7 |
| 089 | SLD | Si | -0.1130 | -0.1123 | -0.1358 | -0.1320 | -4.6 | 17.0 |
| 090 | SLD | Si | -0.1859 | -0.1861 | -0.1817 | -0.1819 | 9.9 | -18.9 |
| 091 | SLD | Si | -0.1082 | -0.1080 | -0.1333 | -0.1289 | -9.9 | 19.0 |
| 092 | SLD | Si | -0.1811 | -0.1818 | -0.1792 | -0.1789 | 4.5 | -16.9 |
| 093 | SLD | Si | -0.1144 | -0.1136 | -0.1366 | -0.1329 | -4.7 | 16.4 |
| 094 | SLD | Si | -0.1872 | -0.1875 | -0.1824 | -0.1828 | 9.7 | -19.5 |
| 095 | SLD | Si | -0.1069 | -0.1066 | -0.1325 | -0.1280 | -9.8 | 19.6 |
| 096 | SLD | Si | -0.1798 | -0.1805 | -0.1784 | -0.1780 | 4.6 | -16.3 |
| 097 | SLO | Si | -0.1449 | -0.1441 | -0.1555 | -0.1536 | 8.9 | 1.7 |
| 098 | SLO | Si | -0.1619 | -0.1614 | -0.1662 | -0.1653 | 5.3 | -6.9 |
| 099 | SLO | Si | -0.1322 | -0.1327 | -0.1488 | -0.1455 | -5.4 | 7.1 |
| 100 | SLO | Si | -0.1493 | -0.1500 | -0.1595 | -0.1572 | -9.0 | -1.6 |
| 101 | SLO | Si | -0.1447 | -0.1439 | -0.1554 | -0.1535 | 5.4 | 1.7 |
| 102 | SLO | Si | -0.1621 | -0.1615 | -0.1663 | -0.1654 | 8.8 | -6.9 |
| 103 | SLO | Si | -0.1321 | -0.1326 | -0.1487 | -0.1454 | -8.9 | 7.0 |
| 104 | SLO | Si | -0.1494 | -0.1502 | -0.1596 | -0.1573 | -5.4 | -1.5 |
| 105 | SLO | Si | -0.1484 | -0.1476 | -0.1574 | -0.1560 | 8.5 | 0.2 |
| 106 | SLO | Si | -0.1654 | -0.1648 | -0.1682 | -0.1677 | 4.9 | -8.5 |
| 107 | SLO | Si | -0.1287 | -0.1293 | -0.1468 | -0.1432 | -5.0 | 8.6 |
| 108 | SLO | Si | -0.1458 | -0.1466 | -0.1576 | -0.1548 | -8.6 | 0.0 |
| 109 | SLO | Si | -0.1482 | -0.1474 | -0.1573 | -0.1559 | 5.0 | 0.1 |
| 110 | SLO | Si | -0.1656 | -0.1650 | -0.1683 | -0.1678 | 8.4 | -8.4 |
| 111 | SLO | Si | -0.1285 | -0.1291 | -0.1467 | -0.1431 | -8.5 | 8.6 |
| 112 | SLO | Si | -0.1459 | -0.1467 | -0.1576 | -0.1549 | -5.1 | 0.1 |
| 113 | SLO | Si | -0.1205 | -0.1199 | -0.1406 | -0.1372 | 8.1 | 13.7 |
| 114 | SLO | Si | -0.1774 | -0.1776 | -0.1764 | -0.1761 | -3.9 | -15.1 |
| 115 | SLO | Si | -0.1167 | -0.1165 | -0.1386 | -0.1347 | 3.8 | 15.3 |
| 116 | SLO | Si | -0.1736 | -0.1742 | -0.1744 | -0.1737 | -8.2 | -13.5 |
| 117 | SLO | Si | -0.1216 | -0.1210 | -0.1412 | -0.1379 | 8.0 | 13.2 |
| 118 | SLO | Si | -0.1784 | -0.1786 | -0.1770 | -0.1768 | -4.0 | -15.6 |
| 119 | SLO | Si | -0.1157 | -0.1155 | -0.1380 | -0.1340 | 3.9 | 15.8 |
| 120 | SLO | Si | -0.1725 | -0.1731 | -0.1738 | -0.1730 | -8.0 | -13.0 |
| 121 | SLO | Si | -0.1200 | -0.1194 | -0.1403 | -0.1368 | -3.6 | 13.5 |
| 122 | SLO | Si | -0.1779 | -0.1781 | -0.1767 | -0.1765 | 7.8 | -15.0 |
| 123 | SLO | Si | -0.1162 | -0.1160 | -0.1383 | -0.1344 | -7.9 | 15.1 |
| 124 | SLO | Si | -0.1741 | -0.1747 | -0.1747 | -0.1740 | 3.6 | -13.4 |
| 125 | SLO | Si | -0.1211 | -0.1205 | -0.1409 | -0.1375 | -3.7 | 13.1 |
| 126 | SLO | Si | -0.1790 | -0.1791 | -0.1773 | -0.1772 | 7.7 | -15.4 |
| 127 | SLO | Si | -0.1152 | -0.1150 | -0.1377 | -0.1337 | -7.8 | 15.6 |
| 128 | SLO | Si | -0.1731 | -0.1736 | -0.1741 | -0.1733 | 3.7 | -12.9 |

Elemento: Platea n. 25

| Cmb | Tipo | Sism. | Press. N1 | Press. N2 | Press. N3 | Press. N4 | S. Taglio X | S. Taglio Y |
|-----|---------|-------|---------------------|---------------------|---------------------|---------------------|-------------|-------------|
| n. | | | daN/cm ² | daN/cm ² | daN/cm ² | daN/cm ² | daN | daN |
| 001 | SLU STR | No | -0.1686 | -0.1694 | -0.1735 | -0.1726 | 0.0 | 0.0 |
| 002 | SLU STR | No | -0.2211 | -0.2219 | -0.2260 | -0.2251 | 0.0 | 0.0 |
| 003 | SLU STR | No | -0.2469 | -0.2492 | -0.2655 | -0.2627 | 0.0 | 0.1 |
| 004 | SLU STR | No | -0.2994 | -0.3017 | -0.3180 | -0.3152 | 0.0 | 0.1 |
| 005 | SLU STR | No | -0.1247 | -0.1252 | -0.1281 | -0.1275 | 0.0 | 0.0 |
| 006 | SLU STR | No | -0.1772 | -0.1777 | -0.1806 | -0.1800 | 0.0 | 0.0 |

| | | | |
|--------------------------------------|------------------------------------------------------------------------------------------------------------------------------|----------------------------------------------------------------------------------|-------------|
| COMMITTENTE: Mecca Antonio | CODICE COMMESSA: | NOME ELABORATO: S1.5 - Relazione Geotecnica e delle Fondazioni | CONSULENTE: |
| DATA: Aprile 2023 | TITOLO: Lavori ultimazione di un fabbricato adibito ad albergo-ristorante- C.da Case Nuove Chicone Avigliano (PZ) | | |

| | | | | | | | | |
|-----|----------|----|---------|---------|---------|---------|-------|-------|
| 007 | SLU STR | No | -0.2029 | -0.2050 | -0.2202 | -0.2176 | 0.0 | 0.1 |
| 008 | SLU STR | No | -0.2554 | -0.2575 | -0.2727 | -0.2701 | 0.0 | 0.1 |
| 009 | SLU STR | No | -0.2436 | -0.2444 | -0.2485 | -0.2476 | 0.0 | 0.0 |
| 010 | SLU STR | No | -0.2234 | -0.2253 | -0.2379 | -0.2357 | 0.0 | 0.1 |
| 011 | SLU STR | No | -0.2984 | -0.3003 | -0.3129 | -0.3107 | 0.0 | 0.1 |
| 012 | SLU STR | No | -0.1997 | -0.2002 | -0.2031 | -0.2025 | 0.0 | 0.0 |
| 013 | SLU STR | No | -0.1794 | -0.1811 | -0.1925 | -0.1905 | 0.0 | 0.1 |
| 014 | SLU STR | No | -0.2544 | -0.2561 | -0.2675 | -0.2655 | 0.0 | 0.1 |
| 015 | SLE rare | No | -0.1275 | -0.1281 | -0.1312 | -0.1305 | 0.0 | 0.0 |
| 016 | SLE rare | No | -0.1625 | -0.1631 | -0.1662 | -0.1655 | 0.0 | 0.0 |
| 017 | SLE rare | No | -0.1797 | -0.1813 | -0.1925 | -0.1905 | 0.0 | 0.1 |
| 018 | SLE rare | No | -0.2147 | -0.2163 | -0.2275 | -0.2255 | 0.0 | 0.1 |
| 019 | SLE rare | No | -0.1775 | -0.1781 | -0.1812 | -0.1805 | 0.0 | 0.0 |
| 020 | SLE rare | No | -0.1640 | -0.1653 | -0.1741 | -0.1725 | 0.0 | 0.1 |
| 021 | SLE rare | No | -0.2140 | -0.2153 | -0.2241 | -0.2225 | 0.0 | 0.1 |
| 022 | SLE freq | No | -0.1275 | -0.1281 | -0.1312 | -0.1305 | 0.0 | 0.0 |
| 023 | SLE freq | No | -0.1575 | -0.1581 | -0.1612 | -0.1605 | 0.0 | 0.0 |
| 024 | SLE freq | No | -0.1640 | -0.1653 | -0.1741 | -0.1725 | 0.0 | 0.1 |
| 025 | SLE freq | No | -0.1940 | -0.1953 | -0.2041 | -0.2025 | 0.0 | 0.1 |
| 026 | SLE freq | No | -0.1625 | -0.1631 | -0.1662 | -0.1655 | 0.0 | 0.0 |
| 027 | SLE freq | No | -0.1588 | -0.1600 | -0.1680 | -0.1665 | 0.0 | 0.1 |
| 028 | SLE freq | No | -0.1938 | -0.1950 | -0.2030 | -0.2015 | 0.0 | 0.1 |
| 029 | SLE q.p. | No | -0.1275 | -0.1281 | -0.1312 | -0.1305 | 0.0 | 0.0 |
| 030 | SLE q.p. | No | -0.1575 | -0.1581 | -0.1612 | -0.1605 | 0.0 | 0.0 |
| 031 | SLE q.p. | No | -0.1588 | -0.1600 | -0.1680 | -0.1665 | 0.0 | 0.1 |
| 032 | SLE q.p. | No | -0.1888 | -0.1900 | -0.1980 | -0.1965 | 0.0 | 0.1 |
| 033 | SLV A1 | Si | -0.1933 | -0.2213 | -0.2432 | -0.2020 | 29.9 | 11.0 |
| 034 | SLV A1 | Si | -0.1603 | -0.1885 | -0.1955 | -0.1542 | 45.0 | -7.3 |
| 035 | SLV A1 | Si | -0.2173 | -0.1916 | -0.2004 | -0.2388 | -45.0 | 7.4 |
| 036 | SLV A1 | Si | -0.1843 | -0.1588 | -0.1528 | -0.1910 | -29.9 | -10.9 |
| 037 | SLV A1 | Si | -0.1934 | -0.2214 | -0.2434 | -0.2022 | 44.5 | 11.2 |
| 038 | SLV A1 | Si | -0.1602 | -0.1884 | -0.1953 | -0.1540 | 30.4 | -7.4 |
| 039 | SLV A1 | Si | -0.2174 | -0.1917 | -0.2006 | -0.2390 | -30.4 | 7.6 |
| 040 | SLV A1 | Si | -0.1842 | -0.1586 | -0.1526 | -0.1908 | -44.5 | -11.1 |
| 041 | SLV A1 | Si | -0.1865 | -0.2280 | -0.2529 | -0.1921 | 32.1 | 11.0 |
| 042 | SLV A1 | Si | -0.1536 | -0.1952 | -0.2052 | -0.1443 | 47.2 | -7.3 |
| 043 | SLV A1 | Si | -0.2241 | -0.1849 | -0.1907 | -0.2487 | -47.2 | 7.4 |
| 044 | SLV A1 | Si | -0.1911 | -0.1521 | -0.1430 | -0.2009 | -32.1 | -10.8 |
| 045 | SLV A1 | Si | -0.1866 | -0.2281 | -0.2531 | -0.1923 | 46.7 | 11.1 |
| 046 | SLV A1 | Si | -0.1535 | -0.1950 | -0.2051 | -0.1441 | 32.6 | -7.5 |
| 047 | SLV A1 | Si | -0.2242 | -0.1850 | -0.1909 | -0.2489 | -32.6 | 7.6 |
| 048 | SLV A1 | Si | -0.1910 | -0.1520 | -0.1428 | -0.2007 | -46.7 | -11.0 |
| 049 | SLV A1 | Si | -0.2402 | -0.2491 | -0.2838 | -0.2707 | -13.9 | 31.1 |
| 050 | SLV A1 | Si | -0.1302 | -0.1399 | -0.1249 | -0.1112 | 36.4 | -29.9 |
| 051 | SLV A1 | Si | -0.2474 | -0.2402 | -0.2710 | -0.2818 | -36.4 | 30.0 |
| 052 | SLV A1 | Si | -0.1374 | -0.1309 | -0.1121 | -0.1223 | 13.9 | -31.0 |
| 053 | SLV A1 | Si | -0.2381 | -0.2511 | -0.2867 | -0.2678 | -13.2 | 31.1 |
| 054 | SLV A1 | Si | -0.1282 | -0.1419 | -0.1279 | -0.1083 | 37.0 | -29.9 |
| 055 | SLV A1 | Si | -0.2494 | -0.2382 | -0.2681 | -0.2847 | -37.0 | 30.0 |
| 056 | SLV A1 | Si | -0.1395 | -0.1289 | -0.1092 | -0.1252 | 13.2 | -30.9 |
| 057 | SLV A1 | Si | -0.2405 | -0.2496 | -0.2845 | -0.2712 | 34.8 | 31.6 |
| 058 | SLV A1 | Si | -0.1299 | -0.1394 | -0.1243 | -0.1107 | -12.3 | -30.4 |
| 059 | SLV A1 | Si | -0.2477 | -0.2407 | -0.2716 | -0.2823 | 12.3 | 30.5 |
| 060 | SLV A1 | Si | -0.1371 | -0.1305 | -0.1115 | -0.1218 | -34.8 | -31.5 |
| 061 | SLV A1 | Si | -0.2385 | -0.2516 | -0.2874 | -0.2683 | 35.5 | 31.6 |
| 062 | SLV A1 | Si | -0.1279 | -0.1414 | -0.1272 | -0.1078 | -11.7 | -30.4 |
| 063 | SLV A1 | Si | -0.2497 | -0.2387 | -0.2687 | -0.2852 | 11.7 | 30.6 |
| 064 | SLV A1 | Si | -0.1392 | -0.1285 | -0.1085 | -0.1247 | -35.5 | -31.5 |
| 065 | SLD | Si | -0.1909 | -0.2043 | -0.2185 | -0.1991 | 13.5 | 5.0 |
| 066 | SLD | Si | -0.1758 | -0.1893 | -0.1968 | -0.1772 | 20.4 | -3.3 |
| 067 | SLD | Si | -0.2018 | -0.1908 | -0.1992 | -0.2158 | -20.4 | 3.4 |
| 068 | SLD | Si | -0.1867 | -0.1758 | -0.1774 | -0.1939 | -13.5 | -4.9 |
| 069 | SLD | Si | -0.1909 | -0.2043 | -0.2186 | -0.1991 | 20.2 | 5.1 |
| 070 | SLD | Si | -0.1758 | -0.1892 | -0.1967 | -0.1772 | 13.7 | -3.4 |
| 071 | SLD | Si | -0.2018 | -0.1908 | -0.1992 | -0.2158 | -13.8 | 3.5 |
| 072 | SLD | Si | -0.1867 | -0.1757 | -0.1773 | -0.1939 | -20.2 | -5.0 |
| 073 | SLD | Si | -0.1878 | -0.2073 | -0.2230 | -0.1946 | 14.5 | 5.0 |
| 074 | SLD | Si | -0.1728 | -0.1923 | -0.2012 | -0.1727 | 21.4 | -3.3 |
| 075 | SLD | Si | -0.2049 | -0.1877 | -0.1947 | -0.2203 | -21.4 | 3.4 |
| 076 | SLD | Si | -0.1898 | -0.1728 | -0.1729 | -0.1984 | -14.6 | -4.9 |
| 077 | SLD | Si | -0.1878 | -0.2074 | -0.2231 | -0.1946 | 21.2 | 5.1 |
| 078 | SLD | Si | -0.1727 | -0.1923 | -0.2011 | -0.1727 | 14.8 | -3.4 |

Relazione Geotecnica e delle Fondazioni

| | | | | | | | | |
|-----|-----|----|---------|---------|---------|---------|-------|-------|
| 079 | SLD | Si | -0.2049 | -0.1878 | -0.1948 | -0.2204 | -14.8 | 3.5 |
| 080 | SLD | Si | -0.1898 | -0.1727 | -0.1729 | -0.1984 | -21.2 | -5.0 |
| 081 | SLD | Si | -0.2123 | -0.2170 | -0.2371 | -0.2304 | -6.4 | 14.2 |
| 082 | SLD | Si | -0.1621 | -0.1671 | -0.1646 | -0.1576 | 16.5 | -13.6 |
| 083 | SLD | Si | -0.2155 | -0.2129 | -0.2313 | -0.2354 | -16.5 | 13.7 |
| 084 | SLD | Si | -0.1654 | -0.1631 | -0.1588 | -0.1626 | 6.3 | -14.1 |
| 085 | SLD | Si | -0.2113 | -0.2179 | -0.2385 | -0.2290 | -6.1 | 14.2 |
| 086 | SLD | Si | -0.1612 | -0.1680 | -0.1659 | -0.1562 | 16.8 | -13.6 |
| 087 | SLD | Si | -0.2165 | -0.2120 | -0.2300 | -0.2368 | -16.9 | 13.7 |
| 088 | SLD | Si | -0.1663 | -0.1622 | -0.1575 | -0.1640 | 6.0 | -14.1 |
| 089 | SLD | Si | -0.2124 | -0.2172 | -0.2374 | -0.2306 | 15.8 | 14.4 |
| 090 | SLD | Si | -0.1620 | -0.1669 | -0.1643 | -0.1574 | -5.6 | -13.8 |
| 091 | SLD | Si | -0.2157 | -0.2131 | -0.2316 | -0.2356 | 5.6 | 13.9 |
| 092 | SLD | Si | -0.1652 | -0.1629 | -0.1585 | -0.1624 | -15.8 | -14.3 |
| 093 | SLD | Si | -0.2115 | -0.2181 | -0.2387 | -0.2293 | 16.1 | 14.4 |
| 094 | SLD | Si | -0.1610 | -0.1678 | -0.1657 | -0.1560 | -5.3 | -13.8 |
| 095 | SLD | Si | -0.2166 | -0.2122 | -0.2303 | -0.2370 | 5.3 | 14.0 |
| 096 | SLD | Si | -0.1661 | -0.1620 | -0.1572 | -0.1637 | -16.1 | -14.3 |
| 097 | SLO | Si | -0.1904 | -0.2012 | -0.2142 | -0.1984 | 10.7 | 4.0 |
| 098 | SLO | Si | -0.1786 | -0.1895 | -0.1971 | -0.1813 | 16.2 | -2.6 |
| 099 | SLO | Si | -0.1990 | -0.1906 | -0.1988 | -0.2117 | -16.2 | 2.7 |
| 100 | SLO | Si | -0.1872 | -0.1788 | -0.1817 | -0.1946 | -10.8 | -3.9 |
| 101 | SLO | Si | -0.1905 | -0.2014 | -0.2144 | -0.1986 | 16.0 | 4.1 |
| 102 | SLO | Si | -0.1785 | -0.1894 | -0.1969 | -0.1812 | 10.9 | -2.7 |
| 103 | SLO | Si | -0.1991 | -0.1907 | -0.1990 | -0.2118 | -10.9 | 2.8 |
| 104 | SLO | Si | -0.1871 | -0.1787 | -0.1816 | -0.1944 | -16.0 | -4.0 |
| 105 | SLO | Si | -0.1880 | -0.2036 | -0.2177 | -0.1949 | 11.6 | 4.0 |
| 106 | SLO | Si | -0.1762 | -0.1919 | -0.2006 | -0.1778 | 17.0 | -2.6 |
| 107 | SLO | Si | -0.2015 | -0.1882 | -0.1953 | -0.2152 | -17.0 | 2.7 |
| 108 | SLO | Si | -0.1897 | -0.1764 | -0.1782 | -0.1981 | -11.6 | -3.8 |
| 109 | SLO | Si | -0.1881 | -0.2038 | -0.2179 | -0.1950 | 16.8 | 4.1 |
| 110 | SLO | Si | -0.1761 | -0.1918 | -0.2005 | -0.1776 | 11.7 | -2.7 |
| 111 | SLO | Si | -0.2016 | -0.1883 | -0.1955 | -0.2154 | -11.7 | 2.8 |
| 112 | SLO | Si | -0.1895 | -0.1763 | -0.1781 | -0.1980 | -16.8 | -3.9 |
| 113 | SLO | Si | -0.2072 | -0.2112 | -0.2287 | -0.2231 | -5.0 | 11.2 |
| 114 | SLO | Si | -0.1678 | -0.1721 | -0.1718 | -0.1660 | 13.0 | -10.7 |
| 115 | SLO | Si | -0.2098 | -0.2080 | -0.2241 | -0.2271 | -13.1 | 10.8 |
| 116 | SLO | Si | -0.1704 | -0.1689 | -0.1672 | -0.1699 | 5.0 | -11.0 |
| 117 | SLO | Si | -0.2065 | -0.2119 | -0.2298 | -0.2220 | -4.7 | 11.2 |
| 118 | SLO | Si | -0.1671 | -0.1728 | -0.1729 | -0.1649 | 13.3 | -10.7 |
| 119 | SLO | Si | -0.2105 | -0.2073 | -0.2231 | -0.2281 | -13.3 | 10.8 |
| 120 | SLO | Si | -0.1711 | -0.1681 | -0.1661 | -0.1710 | 4.7 | -11.0 |
| 121 | SLO | Si | -0.2075 | -0.2116 | -0.2293 | -0.2236 | 12.5 | 11.5 |
| 122 | SLO | Si | -0.1675 | -0.1717 | -0.1712 | -0.1654 | -4.5 | -11.0 |
| 123 | SLO | Si | -0.2101 | -0.2084 | -0.2247 | -0.2276 | 4.5 | 11.1 |
| 124 | SLO | Si | -0.1701 | -0.1685 | -0.1666 | -0.1694 | -12.6 | -11.4 |
| 125 | SLO | Si | -0.2068 | -0.2123 | -0.2303 | -0.2225 | 12.8 | 11.5 |
| 126 | SLO | Si | -0.1668 | -0.1724 | -0.1723 | -0.1644 | -4.2 | -11.0 |
| 127 | SLO | Si | -0.2109 | -0.2077 | -0.2236 | -0.2286 | 4.2 | 11.1 |
| 128 | SLO | Si | -0.1708 | -0.1677 | -0.1656 | -0.1705 | -12.8 | -11.4 |

Elemento: Platea n. 26

| Cmb | Tipo | Sism. | Press. N1 | Press. N2 | Press. N3 | Press. N4 | S. Taglio X | S. Taglio Y |
|-----|----------|-------|---------------------|---------------------|---------------------|---------------------|-------------|-------------|
| n. | | | daN/cm ² | daN/cm ² | daN/cm ² | daN/cm ² | daN | daN |
| 001 | SLU STR | No | -0.1517 | -0.1530 | -0.1572 | -0.1570 | 0.0 | 0.0 |
| 002 | SLU STR | No | -0.2042 | -0.2055 | -0.2097 | -0.2095 | 0.0 | 0.0 |
| 003 | SLU STR | No | -0.1780 | -0.1819 | -0.1985 | -0.1987 | 0.0 | 0.1 |
| 004 | SLU STR | No | -0.2305 | -0.2344 | -0.2510 | -0.2512 | 0.0 | 0.1 |
| 005 | SLU STR | No | -0.1126 | -0.1136 | -0.1166 | -0.1164 | 0.0 | 0.0 |
| 006 | SLU STR | No | -0.1651 | -0.1661 | -0.1691 | -0.1689 | 0.0 | 0.0 |
| 007 | SLU STR | No | -0.1389 | -0.1425 | -0.1579 | -0.1582 | 0.0 | 0.1 |
| 008 | SLU STR | No | -0.1914 | -0.1950 | -0.2104 | -0.2107 | 0.0 | 0.1 |
| 009 | SLU STR | No | -0.2267 | -0.2280 | -0.2322 | -0.2320 | 0.0 | 0.0 |
| 010 | SLU STR | No | -0.1701 | -0.1733 | -0.1861 | -0.1862 | 0.0 | 0.1 |
| 011 | SLU STR | No | -0.2451 | -0.2483 | -0.2611 | -0.2612 | 0.0 | 0.1 |
| 012 | SLU STR | No | -0.1876 | -0.1886 | -0.1916 | -0.1914 | 0.0 | 0.0 |
| 013 | SLU STR | No | -0.1310 | -0.1338 | -0.1455 | -0.1456 | 0.0 | 0.1 |
| 014 | SLU STR | No | -0.2060 | -0.2088 | -0.2205 | -0.2206 | 0.0 | 0.1 |
| 015 | SLE rare | No | -0.1149 | -0.1159 | -0.1191 | -0.1188 | 0.0 | 0.0 |
| 016 | SLE rare | No | -0.1499 | -0.1509 | -0.1541 | -0.1538 | 0.0 | 0.0 |
| 017 | SLE rare | No | -0.1325 | -0.1352 | -0.1466 | -0.1467 | 0.0 | 0.1 |
| 018 | SLE rare | No | -0.1675 | -0.1702 | -0.1816 | -0.1817 | 0.0 | 0.1 |
| 019 | SLE rare | No | -0.1649 | -0.1659 | -0.1691 | -0.1688 | 0.0 | 0.0 |

| | | | |
|--------------------------------------|------------------------------------------------------------------------------------------------------------------------------|----------------------------------------------------------------------------------|-------------|
| COMMITTENTE: Mecca Antonio | CODICE COMMESSA: | NOME ELABORATO: S1.5 - Relazione Geotecnica e delle Fondazioni | CONSULENTE: |
| DATA: Aprile 2023 | TITOLO: Lavori ultimazione di un fabbricato adibito ad albergo-ristorante- C.da Case Nuove Chicone Avigliano (PZ) | | |

| | | | | | | | | |
|-----|----------|----|---------|---------|---------|---------|-------|-------|
| 020 | SLE rare | No | -0.1272 | -0.1294 | -0.1383 | -0.1383 | 0.0 | 0.1 |
| 021 | SLE rare | No | -0.1772 | -0.1794 | -0.1883 | -0.1883 | 0.0 | 0.1 |
| 022 | SLE freq | No | -0.1149 | -0.1159 | -0.1191 | -0.1188 | 0.0 | 0.0 |
| 023 | SLE freq | No | -0.1449 | -0.1459 | -0.1491 | -0.1488 | 0.0 | 0.0 |
| 024 | SLE freq | No | -0.1272 | -0.1294 | -0.1383 | -0.1383 | 0.0 | 0.1 |
| 025 | SLE freq | No | -0.1572 | -0.1594 | -0.1683 | -0.1683 | 0.0 | 0.1 |
| 026 | SLE freq | No | -0.1499 | -0.1509 | -0.1541 | -0.1538 | 0.0 | 0.0 |
| 027 | SLE freq | No | -0.1254 | -0.1275 | -0.1356 | -0.1356 | 0.0 | 0.1 |
| 028 | SLE freq | No | -0.1604 | -0.1625 | -0.1706 | -0.1706 | 0.0 | 0.1 |
| 029 | SLE q.p. | No | -0.1149 | -0.1159 | -0.1191 | -0.1188 | 0.0 | 0.0 |
| 030 | SLE q.p. | No | -0.1449 | -0.1459 | -0.1491 | -0.1488 | 0.0 | 0.0 |
| 031 | SLE q.p. | No | -0.1254 | -0.1275 | -0.1356 | -0.1356 | 0.0 | 0.1 |
| 032 | SLE q.p. | No | -0.1554 | -0.1575 | -0.1656 | -0.1656 | 0.0 | 0.1 |
| 033 | SLV A1 | Si | -0.1504 | -0.1518 | -0.1640 | -0.1630 | 23.1 | 4.0 |
| 034 | SLV A1 | Si | -0.1830 | -0.1818 | -0.1800 | -0.1775 | 16.4 | -16.7 |
| 035 | SLV A1 | Si | -0.1279 | -0.1331 | -0.1511 | -0.1536 | -16.4 | 16.8 |
| 036 | SLV A1 | Si | -0.1605 | -0.1632 | -0.1672 | -0.1681 | -23.1 | -3.9 |
| 037 | SLV A1 | Si | -0.1503 | -0.1517 | -0.1640 | -0.1630 | 16.4 | 3.8 |
| 038 | SLV A1 | Si | -0.1831 | -0.1819 | -0.1800 | -0.1776 | 23.1 | -16.5 |
| 039 | SLV A1 | Si | -0.1278 | -0.1331 | -0.1511 | -0.1536 | -23.1 | 16.6 |
| 040 | SLV A1 | Si | -0.1606 | -0.1632 | -0.1672 | -0.1681 | -16.4 | -3.6 |
| 041 | SLV A1 | Si | -0.1570 | -0.1572 | -0.1655 | -0.1654 | 22.6 | 0.2 |
| 042 | SLV A1 | Si | -0.1897 | -0.1873 | -0.1815 | -0.1799 | 15.9 | -20.5 |
| 043 | SLV A1 | Si | -0.1212 | -0.1277 | -0.1496 | -0.1512 | -15.9 | 20.6 |
| 044 | SLV A1 | Si | -0.1538 | -0.1577 | -0.1657 | -0.1657 | -22.6 | -0.1 |
| 045 | SLV A1 | Si | -0.1569 | -0.1572 | -0.1655 | -0.1654 | 15.9 | 0.0 |
| 046 | SLV A1 | Si | -0.1898 | -0.1873 | -0.1815 | -0.1800 | 22.6 | -20.2 |
| 047 | SLV A1 | Si | -0.1211 | -0.1276 | -0.1496 | -0.1512 | -22.6 | 20.4 |
| 048 | SLV A1 | Si | -0.1539 | -0.1578 | -0.1657 | -0.1657 | -15.9 | 0.1 |
| 049 | SLV A1 | Si | -0.1044 | -0.1102 | -0.1407 | -0.1428 | 17.0 | 32.6 |
| 050 | SLV A1 | Si | -0.2132 | -0.2103 | -0.1942 | -0.1912 | -5.2 | -36.3 |
| 051 | SLV A1 | Si | -0.0977 | -0.1046 | -0.1369 | -0.1400 | 5.2 | 36.4 |
| 052 | SLV A1 | Si | -0.2064 | -0.2047 | -0.1904 | -0.1883 | -17.0 | -32.5 |
| 053 | SLV A1 | Si | -0.1064 | -0.1119 | -0.1412 | -0.1435 | 16.9 | 31.4 |
| 054 | SLV A1 | Si | -0.2152 | -0.2120 | -0.1947 | -0.1919 | -5.3 | -37.4 |
| 055 | SLV A1 | Si | -0.0957 | -0.1030 | -0.1364 | -0.1392 | 5.3 | 37.6 |
| 056 | SLV A1 | Si | -0.2044 | -0.2031 | -0.1899 | -0.1876 | -16.9 | -31.3 |
| 057 | SLV A1 | Si | -0.1041 | -0.1100 | -0.1407 | -0.1427 | -5.2 | 31.9 |
| 058 | SLV A1 | Si | -0.2135 | -0.2106 | -0.1943 | -0.1912 | 17.0 | -35.6 |
| 059 | SLV A1 | Si | -0.0974 | -0.1044 | -0.1369 | -0.1399 | -17.0 | 35.7 |
| 060 | SLV A1 | Si | -0.2068 | -0.2050 | -0.1904 | -0.1884 | 5.2 | -31.8 |
| 061 | SLV A1 | Si | -0.1061 | -0.1116 | -0.1412 | -0.1434 | -5.3 | 30.7 |
| 062 | SLV A1 | Si | -0.2155 | -0.2122 | -0.1947 | -0.1919 | 16.9 | -36.7 |
| 063 | SLV A1 | Si | -0.0954 | -0.1028 | -0.1364 | -0.1392 | -16.9 | 36.9 |
| 064 | SLV A1 | Si | -0.2048 | -0.2033 | -0.1900 | -0.1877 | 5.3 | -30.6 |
| 065 | SLD | Si | -0.1531 | -0.1549 | -0.1648 | -0.1644 | 10.4 | 1.9 |
| 066 | SLD | Si | -0.1680 | -0.1686 | -0.1721 | -0.1710 | 7.4 | -7.6 |
| 067 | SLD | Si | -0.1429 | -0.1464 | -0.1590 | -0.1601 | -7.4 | 7.7 |
| 068 | SLD | Si | -0.1578 | -0.1601 | -0.1663 | -0.1667 | -10.4 | -1.7 |
| 069 | SLD | Si | -0.1531 | -0.1548 | -0.1648 | -0.1644 | 7.4 | 1.8 |
| 070 | SLD | Si | -0.1680 | -0.1686 | -0.1721 | -0.1710 | 10.4 | -7.5 |
| 071 | SLD | Si | -0.1428 | -0.1464 | -0.1590 | -0.1601 | -10.4 | 7.6 |
| 072 | SLD | Si | -0.1578 | -0.1601 | -0.1663 | -0.1667 | -7.4 | -1.6 |
| 073 | SLD | Si | -0.1561 | -0.1574 | -0.1655 | -0.1655 | 10.2 | 0.1 |
| 074 | SLD | Si | -0.1710 | -0.1711 | -0.1728 | -0.1721 | 7.2 | -9.3 |
| 075 | SLD | Si | -0.1398 | -0.1439 | -0.1583 | -0.1590 | -7.2 | 9.4 |
| 076 | SLD | Si | -0.1547 | -0.1576 | -0.1656 | -0.1656 | -10.2 | 0.0 |
| 077 | SLD | Si | -0.1561 | -0.1573 | -0.1655 | -0.1655 | 7.2 | 0.0 |
| 078 | SLD | Si | -0.1711 | -0.1711 | -0.1728 | -0.1721 | 10.2 | -9.2 |
| 079 | SLD | Si | -0.1398 | -0.1439 | -0.1583 | -0.1590 | -10.2 | 9.3 |
| 080 | SLD | Si | -0.1548 | -0.1576 | -0.1656 | -0.1656 | -7.2 | 0.1 |
| 081 | SLD | Si | -0.1321 | -0.1359 | -0.1542 | -0.1552 | 7.7 | 14.9 |
| 082 | SLD | Si | -0.1818 | -0.1816 | -0.1786 | -0.1772 | -2.3 | -16.5 |
| 083 | SLD | Si | -0.1291 | -0.1334 | -0.1525 | -0.1539 | 2.3 | 16.7 |
| 084 | SLD | Si | -0.1787 | -0.1791 | -0.1769 | -0.1760 | -7.7 | -14.8 |
| 085 | SLD | Si | -0.1330 | -0.1367 | -0.1544 | -0.1555 | 7.6 | 14.4 |
| 086 | SLD | Si | -0.1827 | -0.1823 | -0.1789 | -0.1776 | -2.4 | -17.1 |
| 087 | SLD | Si | -0.1282 | -0.1326 | -0.1523 | -0.1536 | 2.4 | 17.2 |
| 088 | SLD | Si | -0.1778 | -0.1783 | -0.1767 | -0.1756 | -7.6 | -14.3 |
| 089 | SLD | Si | -0.1320 | -0.1358 | -0.1542 | -0.1551 | -2.3 | 14.6 |
| 090 | SLD | Si | -0.1819 | -0.1817 | -0.1787 | -0.1773 | 7.7 | -16.2 |
| 091 | SLD | Si | -0.1289 | -0.1333 | -0.1525 | -0.1539 | -7.7 | 16.3 |

Relazione Geotecnica e delle Fondazioni

| | | | | | | | | |
|-----|-----|----|---------|---------|---------|---------|------|-------|
| 092 | SLD | Si | -0.1789 | -0.1792 | -0.1769 | -0.1760 | 2.3 | -14.5 |
| 093 | SLD | Si | -0.1329 | -0.1366 | -0.1544 | -0.1555 | -2.4 | 14.1 |
| 094 | SLD | Si | -0.1828 | -0.1824 | -0.1789 | -0.1776 | 7.6 | -16.7 |
| 095 | SLD | Si | -0.1280 | -0.1325 | -0.1523 | -0.1535 | -7.6 | 16.8 |
| 096 | SLD | Si | -0.1780 | -0.1784 | -0.1767 | -0.1757 | 2.4 | -13.9 |
| 097 | SLO | Si | -0.1536 | -0.1555 | -0.1650 | -0.1647 | 8.3 | 1.5 |
| 098 | SLO | Si | -0.1653 | -0.1662 | -0.1707 | -0.1699 | 5.9 | -5.9 |
| 099 | SLO | Si | -0.1455 | -0.1488 | -0.1604 | -0.1613 | -5.9 | 6.1 |
| 100 | SLO | Si | -0.1572 | -0.1595 | -0.1661 | -0.1665 | -8.3 | -1.3 |
| 101 | SLO | Si | -0.1535 | -0.1554 | -0.1650 | -0.1646 | 5.9 | 1.4 |
| 102 | SLO | Si | -0.1654 | -0.1663 | -0.1708 | -0.1699 | 8.3 | -5.9 |
| 103 | SLO | Si | -0.1454 | -0.1487 | -0.1603 | -0.1612 | -8.3 | 6.0 |
| 104 | SLO | Si | -0.1573 | -0.1596 | -0.1662 | -0.1665 | -5.9 | -1.3 |
| 105 | SLO | Si | -0.1560 | -0.1574 | -0.1655 | -0.1655 | 8.1 | 0.1 |
| 106 | SLO | Si | -0.1677 | -0.1682 | -0.1713 | -0.1707 | 5.7 | -7.3 |
| 107 | SLO | Si | -0.1432 | -0.1468 | -0.1598 | -0.1604 | -5.7 | 7.4 |
| 108 | SLO | Si | -0.1548 | -0.1576 | -0.1656 | -0.1656 | -8.1 | 0.0 |
| 109 | SLO | Si | -0.1559 | -0.1573 | -0.1655 | -0.1655 | 5.7 | 0.1 |
| 110 | SLO | Si | -0.1678 | -0.1683 | -0.1713 | -0.1707 | 8.1 | -7.3 |
| 111 | SLO | Si | -0.1431 | -0.1467 | -0.1598 | -0.1604 | -8.1 | 7.4 |
| 112 | SLO | Si | -0.1549 | -0.1576 | -0.1656 | -0.1656 | -5.7 | 0.1 |
| 113 | SLO | Si | -0.1372 | -0.1406 | -0.1567 | -0.1574 | 6.1 | 11.7 |
| 114 | SLO | Si | -0.1761 | -0.1764 | -0.1758 | -0.1747 | -1.8 | -13.0 |
| 115 | SLO | Si | -0.1347 | -0.1386 | -0.1553 | -0.1564 | 1.9 | 13.1 |
| 116 | SLO | Si | -0.1737 | -0.1744 | -0.1745 | -0.1737 | -6.1 | -11.6 |
| 117 | SLO | Si | -0.1379 | -0.1412 | -0.1568 | -0.1577 | 6.1 | 11.3 |
| 118 | SLO | Si | -0.1768 | -0.1770 | -0.1760 | -0.1750 | -1.9 | -13.4 |
| 119 | SLO | Si | -0.1340 | -0.1380 | -0.1551 | -0.1561 | 1.9 | 13.5 |
| 120 | SLO | Si | -0.1730 | -0.1738 | -0.1743 | -0.1735 | -6.0 | -11.2 |
| 121 | SLO | Si | -0.1368 | -0.1403 | -0.1566 | -0.1573 | -1.8 | 11.6 |
| 122 | SLO | Si | -0.1765 | -0.1767 | -0.1760 | -0.1749 | 6.1 | -12.9 |
| 123 | SLO | Si | -0.1344 | -0.1383 | -0.1552 | -0.1563 | -6.1 | 13.0 |
| 124 | SLO | Si | -0.1740 | -0.1747 | -0.1746 | -0.1738 | 1.9 | -11.5 |
| 125 | SLO | Si | -0.1375 | -0.1409 | -0.1567 | -0.1575 | -1.9 | 11.2 |
| 126 | SLO | Si | -0.1772 | -0.1773 | -0.1761 | -0.1751 | 6.1 | -13.3 |
| 127 | SLO | Si | -0.1337 | -0.1377 | -0.1550 | -0.1560 | -6.0 | 13.4 |
| 128 | SLO | Si | -0.1733 | -0.1741 | -0.1744 | -0.1736 | 1.9 | -11.1 |

Elemento: Platea n. 27

| Cmb | Tipo | Sism. | Press. N1 | Press. N2 | Press. N3 | Press. N4 | S. Taglio X | S. Taglio Y |
|-----|----------|-------|---------------------|---------------------|---------------------|---------------------|-------------|-------------|
| n. | | | daN/cm ² | daN/cm ² | daN/cm ² | daN/cm ² | daN | daN |
| 001 | SLU STR | No | -0.1684 | -0.1695 | -0.1745 | -0.1742 | 0.0 | 0.0 |
| 002 | SLU STR | No | -0.2209 | -0.2220 | -0.2270 | -0.2267 | 0.0 | 0.0 |
| 003 | SLU STR | No | -0.2266 | -0.2285 | -0.2480 | -0.2501 | 0.1 | -0.1 |
| 004 | SLU STR | No | -0.2791 | -0.2810 | -0.3005 | -0.3026 | 0.1 | -0.1 |
| 005 | SLU STR | No | -0.1249 | -0.1257 | -0.1292 | -0.1290 | 0.0 | 0.0 |
| 006 | SLU STR | No | -0.1774 | -0.1782 | -0.1817 | -0.1815 | 0.0 | 0.0 |
| 007 | SLU STR | No | -0.1831 | -0.1847 | -0.2028 | -0.2048 | 0.1 | -0.1 |
| 008 | SLU STR | No | -0.2356 | -0.2372 | -0.2553 | -0.2573 | 0.1 | -0.1 |
| 009 | SLU STR | No | -0.2434 | -0.2445 | -0.2495 | -0.2492 | 0.0 | 0.0 |
| 010 | SLU STR | No | -0.2092 | -0.2108 | -0.2259 | -0.2273 | 0.1 | -0.1 |
| 011 | SLU STR | No | -0.2842 | -0.2858 | -0.3009 | -0.3023 | 0.1 | -0.1 |
| 012 | SLU STR | No | -0.1999 | -0.2007 | -0.2042 | -0.2040 | 0.0 | 0.0 |
| 013 | SLU STR | No | -0.1656 | -0.1670 | -0.1807 | -0.1821 | 0.1 | -0.1 |
| 014 | SLU STR | No | -0.2406 | -0.2420 | -0.2557 | -0.2571 | 0.1 | -0.1 |
| 015 | SLE rare | No | -0.1275 | -0.1284 | -0.1320 | -0.1318 | 0.0 | 0.0 |
| 016 | SLE rare | No | -0.1625 | -0.1634 | -0.1670 | -0.1668 | 0.0 | 0.0 |
| 017 | SLE rare | No | -0.1663 | -0.1677 | -0.1811 | -0.1824 | 0.1 | -0.1 |
| 018 | SLE rare | No | -0.2013 | -0.2027 | -0.2161 | -0.2174 | 0.1 | -0.1 |
| 019 | SLE rare | No | -0.1775 | -0.1784 | -0.1820 | -0.1818 | 0.0 | 0.0 |
| 020 | SLE rare | No | -0.1547 | -0.1559 | -0.1664 | -0.1672 | 0.0 | -0.1 |
| 021 | SLE rare | No | -0.2047 | -0.2059 | -0.2164 | -0.2172 | 0.0 | -0.1 |
| 022 | SLE freq | No | -0.1275 | -0.1284 | -0.1320 | -0.1318 | 0.0 | 0.0 |
| 023 | SLE freq | No | -0.1575 | -0.1584 | -0.1620 | -0.1618 | 0.0 | 0.0 |
| 024 | SLE freq | No | -0.1547 | -0.1559 | -0.1664 | -0.1672 | 0.0 | -0.1 |
| 025 | SLE freq | No | -0.1847 | -0.1859 | -0.1964 | -0.1972 | 0.0 | -0.1 |
| 026 | SLE freq | No | -0.1625 | -0.1634 | -0.1670 | -0.1668 | 0.0 | 0.0 |
| 027 | SLE freq | No | -0.1508 | -0.1520 | -0.1615 | -0.1622 | 0.0 | -0.1 |
| 028 | SLE freq | No | -0.1858 | -0.1870 | -0.1965 | -0.1972 | 0.0 | -0.1 |
| 029 | SLE q.p. | No | -0.1275 | -0.1284 | -0.1320 | -0.1318 | 0.0 | 0.0 |
| 030 | SLE q.p. | No | -0.1575 | -0.1584 | -0.1620 | -0.1618 | 0.0 | 0.0 |
| 031 | SLE q.p. | No | -0.1508 | -0.1520 | -0.1615 | -0.1622 | 0.0 | -0.1 |
| 032 | SLE q.p. | No | -0.1808 | -0.1820 | -0.1915 | -0.1922 | 0.0 | -0.1 |

| | | | |
|--------------------------------------|------------------------------------------------------------------------------------------------------------------------------|----------------------------------------------------------------------------------|-------------|
| COMMITTENTE: Mecca Antonio | CODICE COMMESSA: | NOME ELABORATO: S1.5 - Relazione Geotecnica e delle Fondazioni | CONSULENTE: |
| DATA: Aprile 2023 | TITOLO: Lavori ultimazione di un fabbricato adibito ad albergo-ristorante- C.da Case Nuove Chicone Avigliano (PZ) | | |

| | | | | | | | | |
|-----|--------|----|---------|---------|---------|---------|-------|-------|
| 033 | SLV A1 | Si | -0.2152 | -0.2199 | -0.2402 | -0.2393 | 16.6 | -0.8 |
| 034 | SLV A1 | Si | -0.2072 | -0.2107 | -0.2186 | -0.2163 | 22.7 | -27.1 |
| 035 | SLV A1 | Si | -0.1544 | -0.1533 | -0.1643 | -0.1681 | -22.6 | 26.9 |
| 036 | SLV A1 | Si | -0.1464 | -0.1440 | -0.1428 | -0.1451 | -16.5 | 0.6 |
| 037 | SLV A1 | Si | -0.2155 | -0.2202 | -0.2405 | -0.2396 | 22.6 | -1.7 |
| 038 | SLV A1 | Si | -0.2070 | -0.2103 | -0.2182 | -0.2159 | 16.7 | -26.2 |
| 039 | SLV A1 | Si | -0.1546 | -0.1536 | -0.1647 | -0.1684 | -16.6 | 26.0 |
| 040 | SLV A1 | Si | -0.1461 | -0.1437 | -0.1424 | -0.1447 | -22.5 | 1.6 |
| 041 | SLV A1 | Si | -0.2160 | -0.2209 | -0.2434 | -0.2428 | 17.3 | -4.0 |
| 042 | SLV A1 | Si | -0.2080 | -0.2117 | -0.2218 | -0.2198 | 23.3 | -30.3 |
| 043 | SLV A1 | Si | -0.1536 | -0.1522 | -0.1611 | -0.1645 | -23.2 | 30.2 |
| 044 | SLV A1 | Si | -0.1456 | -0.1430 | -0.1395 | -0.1416 | -17.2 | 3.9 |
| 045 | SLV A1 | Si | -0.2163 | -0.2212 | -0.2437 | -0.2431 | 23.3 | -4.9 |
| 046 | SLV A1 | Si | -0.2077 | -0.2113 | -0.2214 | -0.2195 | 17.3 | -29.4 |
| 047 | SLV A1 | Si | -0.1539 | -0.1526 | -0.1615 | -0.1649 | -17.2 | 29.3 |
| 048 | SLV A1 | Si | -0.1453 | -0.1427 | -0.1392 | -0.1412 | -23.2 | 4.8 |
| 049 | SLV A1 | Si | -0.2033 | -0.2074 | -0.2388 | -0.2411 | -4.2 | 39.6 |
| 050 | SLV A1 | Si | -0.1766 | -0.1765 | -0.1669 | -0.1646 | 16.0 | -48.1 |
| 051 | SLV A1 | Si | -0.1850 | -0.1874 | -0.2160 | -0.2198 | -16.0 | 47.9 |
| 052 | SLV A1 | Si | -0.1583 | -0.1565 | -0.1441 | -0.1432 | 4.3 | -39.7 |
| 053 | SLV A1 | Si | -0.2035 | -0.2077 | -0.2397 | -0.2422 | -4.0 | 38.6 |
| 054 | SLV A1 | Si | -0.1768 | -0.1768 | -0.1678 | -0.1656 | 16.2 | -49.0 |
| 055 | SLV A1 | Si | -0.1848 | -0.1871 | -0.2151 | -0.2187 | -16.1 | 48.9 |
| 056 | SLV A1 | Si | -0.1581 | -0.1562 | -0.1432 | -0.1422 | 4.1 | -38.8 |
| 057 | SLV A1 | Si | -0.2042 | -0.2084 | -0.2401 | -0.2423 | 15.8 | 36.6 |
| 058 | SLV A1 | Si | -0.1757 | -0.1755 | -0.1656 | -0.1634 | -4.0 | -45.0 |
| 059 | SLV A1 | Si | -0.1859 | -0.1884 | -0.2173 | -0.2209 | 4.1 | 44.9 |
| 060 | SLV A1 | Si | -0.1574 | -0.1555 | -0.1429 | -0.1420 | -15.7 | -36.7 |
| 061 | SLV A1 | Si | -0.2044 | -0.2087 | -0.2410 | -0.2434 | 16.0 | 35.6 |
| 062 | SLV A1 | Si | -0.1759 | -0.1758 | -0.1666 | -0.1645 | -3.8 | -46.0 |
| 063 | SLV A1 | Si | -0.1857 | -0.1881 | -0.2163 | -0.2199 | 3.9 | 45.9 |
| 064 | SLV A1 | Si | -0.1572 | -0.1552 | -0.1419 | -0.1410 | -15.9 | -35.7 |
| 065 | SLD | Si | -0.1964 | -0.1991 | -0.2135 | -0.2135 | 7.5 | -0.3 |
| 066 | SLD | Si | -0.1928 | -0.1949 | -0.2037 | -0.2031 | 10.3 | -12.3 |
| 067 | SLD | Si | -0.1688 | -0.1690 | -0.1792 | -0.1813 | -10.2 | 12.2 |
| 068 | SLD | Si | -0.1652 | -0.1648 | -0.1694 | -0.1708 | -7.5 | 0.2 |
| 069 | SLD | Si | -0.1965 | -0.1993 | -0.2137 | -0.2137 | 10.3 | -0.8 |
| 070 | SLD | Si | -0.1926 | -0.1948 | -0.2035 | -0.2029 | 7.6 | -11.9 |
| 071 | SLD | Si | -0.1690 | -0.1691 | -0.1794 | -0.1814 | -7.5 | 11.8 |
| 072 | SLD | Si | -0.1651 | -0.1646 | -0.1692 | -0.1707 | -10.2 | 0.6 |
| 073 | SLD | Si | -0.1968 | -0.1996 | -0.2150 | -0.2152 | 7.8 | -1.8 |
| 074 | SLD | Si | -0.1931 | -0.1954 | -0.2052 | -0.2047 | 10.6 | -13.8 |
| 075 | SLD | Si | -0.1685 | -0.1685 | -0.1777 | -0.1797 | -10.5 | 13.7 |
| 076 | SLD | Si | -0.1648 | -0.1643 | -0.1679 | -0.1692 | -7.8 | 1.7 |
| 077 | SLD | Si | -0.1969 | -0.1998 | -0.2152 | -0.2153 | 10.6 | -2.2 |
| 078 | SLD | Si | -0.1930 | -0.1953 | -0.2050 | -0.2045 | 7.9 | -13.4 |
| 079 | SLD | Si | -0.1686 | -0.1686 | -0.1779 | -0.1798 | -7.8 | 13.3 |
| 080 | SLD | Si | -0.1647 | -0.1641 | -0.1677 | -0.1690 | -10.5 | 2.1 |
| 081 | SLD | Si | -0.1910 | -0.1935 | -0.2130 | -0.2145 | -1.9 | 18.1 |
| 082 | SLD | Si | -0.1789 | -0.1795 | -0.1802 | -0.1796 | 7.3 | -22.0 |
| 083 | SLD | Si | -0.1827 | -0.1844 | -0.2027 | -0.2048 | -7.2 | 21.8 |
| 084 | SLD | Si | -0.1706 | -0.1704 | -0.1699 | -0.1699 | 2.0 | -18.2 |
| 085 | SLD | Si | -0.1911 | -0.1936 | -0.2134 | -0.2150 | -1.8 | 17.6 |
| 086 | SLD | Si | -0.1790 | -0.1796 | -0.1807 | -0.1800 | 7.4 | -22.4 |
| 087 | SLD | Si | -0.1826 | -0.1843 | -0.2023 | -0.2043 | -7.3 | 22.3 |
| 088 | SLD | Si | -0.1705 | -0.1703 | -0.1695 | -0.1694 | 1.9 | -17.7 |
| 089 | SLD | Si | -0.1914 | -0.1940 | -0.2136 | -0.2150 | 7.2 | 16.7 |
| 090 | SLD | Si | -0.1785 | -0.1790 | -0.1796 | -0.1790 | -1.8 | -20.6 |
| 091 | SLD | Si | -0.1831 | -0.1849 | -0.2033 | -0.2053 | 1.9 | 20.4 |
| 092 | SLD | Si | -0.1702 | -0.1699 | -0.1693 | -0.1694 | -7.1 | -16.8 |
| 093 | SLD | Si | -0.1915 | -0.1941 | -0.2140 | -0.2155 | 7.3 | 16.2 |
| 094 | SLD | Si | -0.1786 | -0.1791 | -0.1801 | -0.1795 | -1.7 | -21.0 |
| 095 | SLD | Si | -0.1830 | -0.1848 | -0.2028 | -0.2048 | 1.8 | 20.9 |
| 096 | SLD | Si | -0.1701 | -0.1698 | -0.1689 | -0.1689 | -7.2 | -16.3 |
| 097 | SLO | Si | -0.1932 | -0.1956 | -0.2089 | -0.2091 | 6.0 | -0.3 |
| 098 | SLO | Si | -0.1903 | -0.1923 | -0.2012 | -0.2009 | 8.2 | -9.8 |
| 099 | SLO | Si | -0.1713 | -0.1716 | -0.1817 | -0.1835 | -8.1 | 9.6 |
| 100 | SLO | Si | -0.1684 | -0.1683 | -0.1740 | -0.1753 | -5.9 | 0.2 |
| 101 | SLO | Si | -0.1933 | -0.1957 | -0.2091 | -0.2093 | 8.2 | -0.6 |
| 102 | SLO | Si | -0.1902 | -0.1922 | -0.2010 | -0.2007 | 6.0 | -9.5 |
| 103 | SLO | Si | -0.1714 | -0.1718 | -0.1819 | -0.1837 | -5.9 | 9.4 |
| 104 | SLO | Si | -0.1683 | -0.1682 | -0.1738 | -0.1751 | -8.1 | 0.5 |

Relazione Geotecnica e delle Fondazioni

| | | | | | | | | |
|-----|-----|----|---------|---------|---------|---------|------|-------|
| 105 | SLO | Si | -0.1935 | -0.1960 | -0.2101 | -0.2104 | 6.2 | -1.5 |
| 106 | SLO | Si | -0.1906 | -0.1926 | -0.2024 | -0.2021 | 8.4 | -10.9 |
| 107 | SLO | Si | -0.1710 | -0.1713 | -0.1805 | -0.1822 | -8.3 | 10.8 |
| 108 | SLO | Si | -0.1681 | -0.1679 | -0.1728 | -0.1740 | -6.2 | 1.4 |
| 109 | SLO | Si | -0.1936 | -0.1961 | -0.2103 | -0.2105 | 8.4 | -1.8 |
| 110 | SLO | Si | -0.1905 | -0.1925 | -0.2022 | -0.2020 | 6.2 | -10.6 |
| 111 | SLO | Si | -0.1711 | -0.1714 | -0.1807 | -0.1824 | -6.2 | 10.5 |
| 112 | SLO | Si | -0.1680 | -0.1678 | -0.1726 | -0.1738 | -8.3 | 1.6 |
| 113 | SLO | Si | -0.1889 | -0.1911 | -0.2084 | -0.2097 | -1.5 | 14.1 |
| 114 | SLO | Si | -0.1793 | -0.1800 | -0.1827 | -0.1823 | 5.8 | -17.3 |
| 115 | SLO | Si | -0.1823 | -0.1839 | -0.2003 | -0.2021 | -5.7 | 17.1 |
| 116 | SLO | Si | -0.1727 | -0.1728 | -0.1745 | -0.1746 | 1.5 | -14.3 |
| 117 | SLO | Si | -0.1890 | -0.1912 | -0.2088 | -0.2101 | -1.4 | 13.8 |
| 118 | SLO | Si | -0.1794 | -0.1801 | -0.1830 | -0.1827 | 5.8 | -17.6 |
| 119 | SLO | Si | -0.1822 | -0.1838 | -0.1999 | -0.2017 | -5.8 | 17.5 |
| 120 | SLO | Si | -0.1726 | -0.1727 | -0.1741 | -0.1742 | 1.5 | -13.9 |
| 121 | SLO | Si | -0.1892 | -0.1915 | -0.2090 | -0.2103 | 5.7 | 13.2 |
| 122 | SLO | Si | -0.1789 | -0.1796 | -0.1821 | -0.1817 | -1.4 | -16.3 |
| 123 | SLO | Si | -0.1827 | -0.1843 | -0.2008 | -0.2026 | 1.5 | 16.2 |
| 124 | SLO | Si | -0.1724 | -0.1724 | -0.1739 | -0.1741 | -5.6 | -13.4 |
| 125 | SLO | Si | -0.1893 | -0.1916 | -0.2094 | -0.2107 | 5.8 | 12.9 |
| 126 | SLO | Si | -0.1790 | -0.1797 | -0.1824 | -0.1821 | -1.4 | -16.7 |
| 127 | SLO | Si | -0.1826 | -0.1842 | -0.2005 | -0.2022 | 1.4 | 16.6 |
| 128 | SLO | Si | -0.1723 | -0.1723 | -0.1735 | -0.1737 | -5.7 | -13.0 |

Elemento: Platea n. 28

| Cmb n. | Tipo | Sism. | Press. N1 daN/cm ² | Press. N2 daN/cm ² | Press. N3 daN/cm ² | Press. N4 daN/cm ² | S. Taglio X daN | S. Taglio Y daN |
|-----------|----------|-------|----------------------------------|----------------------------------|----------------------------------|----------------------------------|--------------------|--------------------|
| 001 | SLU STR | No | -0.1511 | -0.1514 | -0.1552 | -0.1555 | 0.0 | 0.0 |
| 002 | SLU STR | No | -0.2036 | -0.2039 | -0.2077 | -0.2080 | 0.0 | 0.0 |
| 003 | SLU STR | No | -0.1776 | -0.1788 | -0.1939 | -0.1952 | 0.0 | 0.1 |
| 004 | SLU STR | No | -0.2301 | -0.2313 | -0.2464 | -0.2477 | 0.0 | 0.1 |
| 005 | SLU STR | No | -0.1122 | -0.1124 | -0.1151 | -0.1153 | 0.0 | 0.0 |
| 006 | SLU STR | No | -0.1647 | -0.1649 | -0.1676 | -0.1678 | 0.0 | 0.0 |
| 007 | SLU STR | No | -0.1387 | -0.1398 | -0.1537 | -0.1550 | 0.0 | 0.1 |
| 008 | SLU STR | No | -0.1912 | -0.1923 | -0.2062 | -0.2075 | 0.0 | 0.1 |
| 009 | SLU STR | No | -0.2261 | -0.2264 | -0.2302 | -0.2305 | 0.0 | 0.0 |
| 010 | SLU STR | No | -0.1697 | -0.1706 | -0.1823 | -0.1833 | 0.0 | 0.1 |
| 011 | SLU STR | No | -0.2447 | -0.2456 | -0.2573 | -0.2583 | 0.0 | 0.1 |
| 012 | SLU STR | No | -0.1872 | -0.1874 | -0.1901 | -0.1903 | 0.0 | 0.0 |
| 013 | SLU STR | No | -0.1307 | -0.1315 | -0.1421 | -0.1431 | 0.0 | 0.1 |
| 014 | SLU STR | No | -0.2057 | -0.2065 | -0.2171 | -0.2181 | 0.0 | 0.1 |
| 015 | SLE rare | No | -0.1144 | -0.1147 | -0.1175 | -0.1178 | 0.0 | 0.0 |
| 016 | SLE rare | No | -0.1494 | -0.1497 | -0.1525 | -0.1528 | 0.0 | 0.0 |
| 017 | SLE rare | No | -0.1322 | -0.1329 | -0.1433 | -0.1442 | 0.0 | 0.1 |
| 018 | SLE rare | No | -0.1672 | -0.1679 | -0.1783 | -0.1792 | 0.0 | 0.1 |
| 019 | SLE rare | No | -0.1644 | -0.1647 | -0.1675 | -0.1678 | 0.0 | 0.0 |
| 020 | SLE rare | No | -0.1268 | -0.1275 | -0.1356 | -0.1363 | 0.0 | 0.1 |
| 021 | SLE rare | No | -0.1768 | -0.1775 | -0.1856 | -0.1863 | 0.0 | 0.1 |
| 022 | SLE freq | No | -0.1144 | -0.1147 | -0.1175 | -0.1178 | 0.0 | 0.0 |
| 023 | SLE freq | No | -0.1444 | -0.1447 | -0.1475 | -0.1478 | 0.0 | 0.0 |
| 024 | SLE freq | No | -0.1268 | -0.1275 | -0.1356 | -0.1363 | 0.0 | 0.1 |
| 025 | SLE freq | No | -0.1568 | -0.1575 | -0.1656 | -0.1663 | 0.0 | 0.1 |
| 026 | SLE freq | No | -0.1494 | -0.1497 | -0.1525 | -0.1528 | 0.0 | 0.0 |
| 027 | SLE freq | No | -0.1251 | -0.1256 | -0.1330 | -0.1336 | 0.0 | 0.1 |
| 028 | SLE freq | No | -0.1601 | -0.1606 | -0.1680 | -0.1686 | 0.0 | 0.1 |
| 029 | SLE q.p. | No | -0.1144 | -0.1147 | -0.1175 | -0.1178 | 0.0 | 0.0 |
| 030 | SLE q.p. | No | -0.1444 | -0.1447 | -0.1475 | -0.1478 | 0.0 | 0.0 |
| 031 | SLE q.p. | No | -0.1251 | -0.1256 | -0.1330 | -0.1336 | 0.0 | 0.1 |
| 032 | SLE q.p. | No | -0.1551 | -0.1556 | -0.1630 | -0.1636 | 0.0 | 0.1 |
| 033 | SLV A1 | Si | -0.1081 | -0.1169 | -0.1380 | -0.1333 | 28.1 | 30.4 |
| 034 | SLV A1 | Si | -0.1440 | -0.1493 | -0.1554 | -0.1510 | 19.5 | 14.0 |
| 035 | SLV A1 | Si | -0.1662 | -0.1620 | -0.1705 | -0.1763 | -19.5 | -13.9 |
| 036 | SLV A1 | Si | -0.2021 | -0.1944 | -0.1879 | -0.1939 | -28.1 | -30.3 |
| 037 | SLV A1 | Si | -0.1079 | -0.1167 | -0.1379 | -0.1332 | 19.6 | 30.8 |
| 038 | SLV A1 | Si | -0.1442 | -0.1494 | -0.1556 | -0.1511 | 28.1 | 13.5 |
| 039 | SLV A1 | Si | -0.1660 | -0.1618 | -0.1704 | -0.1761 | -28.0 | -13.4 |
| 040 | SLV A1 | Si | -0.2023 | -0.1945 | -0.1881 | -0.1941 | -19.5 | -30.7 |
| 041 | SLV A1 | Si | -0.1018 | -0.1110 | -0.1351 | -0.1307 | 27.4 | 34.7 |
| 042 | SLV A1 | Si | -0.1377 | -0.1434 | -0.1526 | -0.1483 | 18.8 | 18.3 |
| 043 | SLV A1 | Si | -0.1724 | -0.1679 | -0.1734 | -0.1790 | -18.8 | -18.2 |
| 044 | SLV A1 | Si | -0.2083 | -0.2003 | -0.1908 | -0.1966 | -27.4 | -34.6 |
| 045 | SLV A1 | Si | -0.1016 | -0.1108 | -0.1350 | -0.1305 | 18.9 | 35.1 |

| COMMITTENTE: Mecca Antonio | | CODICE COMMESSA: | NOME ELABORATO: S1.5 - Relazione Geotecnica e delle Fondazioni | | | CONSULENTE: | | |
|-------------------------------|--------|----------------------------------------------------------------------------------------------------------------------|-------------------------------------------------------------------------|---------|---------|-------------|-------|-------|
| DATA: Aprile 2023 | | TITOLO: Lavori ultimazione di un fabbricato adibito ad albergo-ristorante– C.da Case Nuove Chicone Avigliano (PZ) | | | | | | |
| 046 | SLV A1 | Si | -0.1379 | -0.1435 | -0.1527 | -0.1485 | 27.4 | 17.8 |
| 047 | SLV A1 | Si | -0.1723 | -0.1677 | -0.1733 | -0.1788 | -27.3 | -17.7 |
| 048 | SLV A1 | Si | -0.2085 | -0.2004 | -0.1910 | -0.1968 | -18.8 | -35.0 |
| 049 | SLV A1 | Si | -0.0865 | -0.0949 | -0.1291 | -0.1278 | 21.5 | 34.0 |
| 050 | SLV A1 | Si | -0.2062 | -0.2028 | -0.1872 | -0.1866 | -7.1 | -20.6 |
| 051 | SLV A1 | Si | -0.1040 | -0.1084 | -0.1388 | -0.1407 | 7.2 | 20.7 |
| 052 | SLV A1 | Si | -0.2236 | -0.2164 | -0.1969 | -0.1995 | -21.4 | -33.9 |
| 053 | SLV A1 | Si | -0.0847 | -0.0931 | -0.1282 | -0.1270 | 21.2 | 35.3 |
| 054 | SLV A1 | Si | -0.2043 | -0.2011 | -0.1863 | -0.1858 | -7.4 | -19.3 |
| 055 | SLV A1 | Si | -0.1058 | -0.1102 | -0.1397 | -0.1415 | 7.4 | 19.4 |
| 056 | SLV A1 | Si | -0.2255 | -0.2181 | -0.1978 | -0.2003 | -21.2 | -35.2 |
| 057 | SLV A1 | Si | -0.0859 | -0.0944 | -0.1287 | -0.1273 | -7.0 | 35.6 |
| 058 | SLV A1 | Si | -0.2068 | -0.2034 | -0.1875 | -0.1871 | 21.3 | -22.2 |
| 059 | SLV A1 | Si | -0.1033 | -0.1079 | -0.1384 | -0.1402 | -21.3 | 22.3 |
| 060 | SLV A1 | Si | -0.2243 | -0.2169 | -0.1973 | -0.2000 | 7.0 | -35.5 |
| 061 | SLV A1 | Si | -0.0840 | -0.0926 | -0.1278 | -0.1265 | -7.2 | 36.9 |
| 062 | SLV A1 | Si | -0.2050 | -0.2016 | -0.1867 | -0.1863 | 21.1 | -20.9 |
| 063 | SLV A1 | Si | -0.1052 | -0.1097 | -0.1393 | -0.1410 | -21.1 | 21.0 |
| 064 | SLV A1 | Si | -0.2261 | -0.2187 | -0.1982 | -0.2008 | 7.2 | -36.8 |
| 065 | SLD | Si | -0.1337 | -0.1380 | -0.1516 | -0.1499 | 12.7 | 13.8 |
| 066 | SLD | Si | -0.1501 | -0.1528 | -0.1596 | -0.1579 | 8.8 | 6.3 |
| 067 | SLD | Si | -0.1600 | -0.1585 | -0.1664 | -0.1693 | -8.8 | -6.2 |
| 068 | SLD | Si | -0.1764 | -0.1732 | -0.1743 | -0.1774 | -12.7 | -13.7 |
| 069 | SLD | Si | -0.1336 | -0.1380 | -0.1516 | -0.1498 | 8.8 | 14.0 |
| 070 | SLD | Si | -0.1502 | -0.1529 | -0.1596 | -0.1580 | 12.7 | 6.1 |
| 071 | SLD | Si | -0.1600 | -0.1584 | -0.1663 | -0.1693 | -12.7 | -6.0 |
| 072 | SLD | Si | -0.1765 | -0.1733 | -0.1744 | -0.1775 | -8.8 | -13.9 |
| 073 | SLD | Si | -0.1308 | -0.1353 | -0.1503 | -0.1487 | 12.4 | 15.7 |
| 074 | SLD | Si | -0.1472 | -0.1501 | -0.1583 | -0.1567 | 8.5 | 8.3 |
| 075 | SLD | Si | -0.1629 | -0.1612 | -0.1677 | -0.1706 | -8.5 | -8.2 |
| 076 | SLD | Si | -0.1793 | -0.1759 | -0.1756 | -0.1786 | -12.4 | -15.6 |
| 077 | SLD | Si | -0.1308 | -0.1353 | -0.1503 | -0.1486 | 8.5 | 15.9 |
| 078 | SLD | Si | -0.1473 | -0.1502 | -0.1583 | -0.1568 | 12.4 | 8.1 |
| 079 | SLD | Si | -0.1628 | -0.1611 | -0.1676 | -0.1705 | -12.3 | -8.0 |
| 080 | SLD | Si | -0.1794 | -0.1760 | -0.1757 | -0.1787 | -8.5 | -15.8 |
| 081 | SLD | Si | -0.1238 | -0.1279 | -0.1475 | -0.1473 | 9.7 | 15.4 |
| 082 | SLD | Si | -0.1784 | -0.1772 | -0.1740 | -0.1741 | -3.2 | -9.3 |
| 083 | SLD | Si | -0.1317 | -0.1341 | -0.1519 | -0.1531 | 3.2 | 9.4 |
| 084 | SLD | Si | -0.1863 | -0.1833 | -0.1785 | -0.1800 | -9.7 | -15.3 |
| 085 | SLD | Si | -0.1230 | -0.1271 | -0.1471 | -0.1469 | 9.6 | 16.0 |
| 086 | SLD | Si | -0.1776 | -0.1764 | -0.1736 | -0.1738 | -3.3 | -8.7 |
| 087 | SLD | Si | -0.1326 | -0.1349 | -0.1523 | -0.1535 | 3.3 | 8.8 |
| 088 | SLD | Si | -0.1872 | -0.1842 | -0.1789 | -0.1803 | -9.6 | -15.9 |
| 089 | SLD | Si | -0.1235 | -0.1277 | -0.1473 | -0.1471 | -3.2 | 16.2 |
| 090 | SLD | Si | -0.1787 | -0.1774 | -0.1742 | -0.1744 | 9.6 | -10.1 |
| 091 | SLD | Si | -0.1314 | -0.1338 | -0.1518 | -0.1529 | -9.6 | 10.2 |
| 092 | SLD | Si | -0.1866 | -0.1836 | -0.1786 | -0.1802 | 3.2 | -16.1 |
| 093 | SLD | Si | -0.1227 | -0.1269 | -0.1470 | -0.1467 | -3.2 | 16.7 |
| 094 | SLD | Si | -0.1779 | -0.1766 | -0.1738 | -0.1740 | 9.5 | -9.5 |
| 095 | SLD | Si | -0.1323 | -0.1346 | -0.1522 | -0.1533 | -9.5 | 9.6 |
| 096 | SLD | Si | -0.1875 | -0.1844 | -0.1790 | -0.1806 | 3.3 | -16.6 |
| 097 | SLO | Si | -0.1382 | -0.1417 | -0.1540 | -0.1528 | 10.1 | 10.9 |
| 098 | SLO | Si | -0.1511 | -0.1533 | -0.1603 | -0.1591 | 7.0 | 5.1 |
| 099 | SLO | Si | -0.1591 | -0.1579 | -0.1657 | -0.1682 | -7.0 | -5.0 |
| 100 | SLO | Si | -0.1719 | -0.1695 | -0.1720 | -0.1745 | -10.1 | -10.8 |
| 101 | SLO | Si | -0.1381 | -0.1416 | -0.1539 | -0.1527 | 7.0 | 11.1 |
| 102 | SLO | Si | -0.1512 | -0.1534 | -0.1603 | -0.1592 | 10.1 | 4.9 |
| 103 | SLO | Si | -0.1589 | -0.1578 | -0.1656 | -0.1681 | -10.0 | -4.8 |
| 104 | SLO | Si | -0.1721 | -0.1697 | -0.1720 | -0.1746 | -7.0 | -11.0 |
| 105 | SLO | Si | -0.1359 | -0.1396 | -0.1530 | -0.1518 | 9.8 | 12.5 |
| 106 | SLO | Si | -0.1488 | -0.1512 | -0.1592 | -0.1581 | 6.8 | 6.6 |
| 107 | SLO | Si | -0.1614 | -0.1601 | -0.1667 | -0.1692 | -6.7 | -6.5 |
| 108 | SLO | Si | -0.1742 | -0.1717 | -0.1730 | -0.1755 | -9.8 | -12.4 |
| 109 | SLO | Si | -0.1358 | -0.1395 | -0.1529 | -0.1517 | 6.8 | 12.7 |
| 110 | SLO | Si | -0.1489 | -0.1513 | -0.1593 | -0.1582 | 9.8 | 6.4 |
| 111 | SLO | Si | -0.1612 | -0.1600 | -0.1667 | -0.1691 | -9.8 | -6.3 |
| 112 | SLO | Si | -0.1744 | -0.1718 | -0.1731 | -0.1756 | -6.8 | -12.6 |
| 113 | SLO | Si | -0.1305 | -0.1339 | -0.1508 | -0.1508 | 7.7 | 12.2 |
| 114 | SLO | Si | -0.1734 | -0.1725 | -0.1716 | -0.1719 | -2.5 | -7.3 |
| 115 | SLO | Si | -0.1368 | -0.1387 | -0.1543 | -0.1554 | 2.6 | 7.4 |
| 116 | SLO | Si | -0.1796 | -0.1774 | -0.1751 | -0.1765 | -7.7 | -12.1 |
| 117 | SLO | Si | -0.1298 | -0.1332 | -0.1505 | -0.1505 | 7.6 | 12.7 |

Relazione Geotecnica e delle Fondazioni

| | | | | | | | | |
|-----|-----|----|---------|---------|---------|---------|------|-------|
| 118 | SLO | Si | -0.1727 | -0.1719 | -0.1713 | -0.1716 | -2.6 | -6.9 |
| 119 | SLO | Si | -0.1375 | -0.1394 | -0.1546 | -0.1557 | 2.6 | 7.0 |
| 120 | SLO | Si | -0.1803 | -0.1780 | -0.1755 | -0.1768 | -7.6 | -12.6 |
| 121 | SLO | Si | -0.1300 | -0.1335 | -0.1506 | -0.1505 | -2.5 | 12.8 |
| 122 | SLO | Si | -0.1738 | -0.1729 | -0.1719 | -0.1722 | 7.6 | -8.0 |
| 123 | SLO | Si | -0.1363 | -0.1383 | -0.1541 | -0.1551 | -7.6 | 8.1 |
| 124 | SLO | Si | -0.1801 | -0.1778 | -0.1754 | -0.1768 | 2.5 | -12.7 |
| 125 | SLO | Si | -0.1293 | -0.1328 | -0.1503 | -0.1502 | -2.6 | 13.3 |
| 126 | SLO | Si | -0.1732 | -0.1723 | -0.1716 | -0.1719 | 7.6 | -7.5 |
| 127 | SLO | Si | -0.1370 | -0.1390 | -0.1544 | -0.1554 | -7.5 | 7.6 |
| 128 | SLO | Si | -0.1808 | -0.1785 | -0.1757 | -0.1771 | 2.6 | -13.2 |

Elemento: Platea n. 29

| Cmb | Tipo | Sism. | Press. N1 | Press. N2 | Press. N3 | Press. N4 | S. Taglio X | S. Taglio Y |
|-----|----------|-------|---------------------|---------------------|---------------------|---------------------|-------------|-------------|
| n. | | | daN/cm ² | daN/cm ² | daN/cm ² | daN/cm ² | daN | daN |
| 001 | SLU STR | No | -0.1598 | -0.1599 | -0.1647 | -0.1644 | 0.0 | 0.0 |
| 002 | SLU STR | No | -0.2123 | -0.2124 | -0.2172 | -0.2169 | 0.0 | 0.0 |
| 003 | SLU STR | No | -0.2119 | -0.2121 | -0.2309 | -0.2304 | 0.0 | 0.2 |
| 004 | SLU STR | No | -0.2644 | -0.2646 | -0.2834 | -0.2829 | 0.0 | 0.2 |
| 005 | SLU STR | No | -0.1183 | -0.1184 | -0.1218 | -0.1216 | 0.0 | 0.0 |
| 006 | SLU STR | No | -0.1708 | -0.1709 | -0.1743 | -0.1741 | 0.0 | 0.0 |
| 007 | SLU STR | No | -0.1705 | -0.1706 | -0.1881 | -0.1876 | 0.0 | 0.2 |
| 008 | SLU STR | No | -0.2230 | -0.2231 | -0.2406 | -0.2401 | 0.0 | 0.2 |
| 009 | SLU STR | No | -0.2348 | -0.2349 | -0.2397 | -0.2394 | 0.0 | 0.0 |
| 010 | SLU STR | No | -0.1963 | -0.1964 | -0.2110 | -0.2106 | 0.0 | 0.1 |
| 011 | SLU STR | No | -0.2713 | -0.2714 | -0.2860 | -0.2856 | 0.0 | 0.1 |
| 012 | SLU STR | No | -0.1933 | -0.1934 | -0.1968 | -0.1966 | 0.0 | 0.0 |
| 013 | SLU STR | No | -0.1549 | -0.1550 | -0.1682 | -0.1678 | 0.0 | 0.1 |
| 014 | SLU STR | No | -0.2299 | -0.2300 | -0.2432 | -0.2428 | 0.0 | 0.1 |
| 015 | SLE rare | No | -0.1209 | -0.1210 | -0.1246 | -0.1244 | 0.0 | 0.0 |
| 016 | SLE rare | No | -0.1559 | -0.1560 | -0.1596 | -0.1594 | 0.0 | 0.0 |
| 017 | SLE rare | No | -0.1557 | -0.1558 | -0.1687 | -0.1683 | 0.0 | 0.1 |
| 018 | SLE rare | No | -0.1907 | -0.1908 | -0.2037 | -0.2033 | 0.0 | 0.1 |
| 019 | SLE rare | No | -0.1709 | -0.1710 | -0.1746 | -0.1744 | 0.0 | 0.0 |
| 020 | SLE rare | No | -0.1453 | -0.1454 | -0.1555 | -0.1551 | 0.0 | 0.1 |
| 021 | SLE rare | No | -0.1953 | -0.1954 | -0.2055 | -0.2051 | 0.0 | 0.1 |
| 022 | SLE freq | No | -0.1209 | -0.1210 | -0.1246 | -0.1244 | 0.0 | 0.0 |
| 023 | SLE freq | No | -0.1509 | -0.1510 | -0.1546 | -0.1544 | 0.0 | 0.0 |
| 024 | SLE freq | No | -0.1453 | -0.1454 | -0.1555 | -0.1551 | 0.0 | 0.1 |
| 025 | SLE freq | No | -0.1753 | -0.1754 | -0.1855 | -0.1851 | 0.0 | 0.1 |
| 026 | SLE freq | No | -0.1559 | -0.1560 | -0.1596 | -0.1594 | 0.0 | 0.0 |
| 027 | SLE freq | No | -0.1418 | -0.1419 | -0.1511 | -0.1508 | 0.0 | 0.1 |
| 028 | SLE freq | No | -0.1768 | -0.1769 | -0.1861 | -0.1858 | 0.0 | 0.1 |
| 029 | SLE q.p. | No | -0.1209 | -0.1210 | -0.1246 | -0.1244 | 0.0 | 0.0 |
| 030 | SLE q.p. | No | -0.1509 | -0.1510 | -0.1546 | -0.1544 | 0.0 | 0.0 |
| 031 | SLE q.p. | No | -0.1418 | -0.1419 | -0.1511 | -0.1508 | 0.0 | 0.1 |
| 032 | SLE q.p. | No | -0.1718 | -0.1719 | -0.1811 | -0.1808 | 0.0 | 0.1 |
| 033 | SLV A1 | Si | -0.1607 | -0.1663 | -0.1840 | -0.1830 | 32.1 | 29.0 |
| 034 | SLV A1 | Si | -0.1635 | -0.1679 | -0.1659 | -0.1643 | 38.2 | 9.6 |
| 035 | SLV A1 | Si | -0.1801 | -0.1759 | -0.1963 | -0.1972 | -38.2 | -9.5 |
| 036 | SLV A1 | Si | -0.1829 | -0.1775 | -0.1781 | -0.1785 | -32.2 | -28.9 |
| 037 | SLV A1 | Si | -0.1607 | -0.1662 | -0.1841 | -0.1830 | 40.4 | 29.4 |
| 038 | SLV A1 | Si | -0.1635 | -0.1679 | -0.1658 | -0.1643 | 30.0 | 9.2 |
| 039 | SLV A1 | Si | -0.1801 | -0.1759 | -0.1963 | -0.1972 | -30.0 | -9.1 |
| 040 | SLV A1 | Si | -0.1829 | -0.1776 | -0.1781 | -0.1785 | -40.4 | -29.3 |
| 041 | SLV A1 | Si | -0.1609 | -0.1664 | -0.1806 | -0.1809 | 33.1 | 33.4 |
| 042 | SLV A1 | Si | -0.1637 | -0.1680 | -0.1625 | -0.1623 | 39.1 | 14.0 |
| 043 | SLV A1 | Si | -0.1799 | -0.1758 | -0.1997 | -0.1992 | -39.2 | -13.9 |
| 044 | SLV A1 | Si | -0.1827 | -0.1774 | -0.1815 | -0.1806 | -33.1 | -33.2 |
| 045 | SLV A1 | Si | -0.1609 | -0.1664 | -0.1806 | -0.1810 | 41.3 | 33.8 |
| 046 | SLV A1 | Si | -0.1637 | -0.1680 | -0.1624 | -0.1623 | 30.9 | 13.6 |
| 047 | SLV A1 | Si | -0.1799 | -0.1758 | -0.1997 | -0.1992 | -30.9 | -13.5 |
| 048 | SLV A1 | Si | -0.1827 | -0.1774 | -0.1815 | -0.1805 | -41.3 | -33.7 |
| 049 | SLV A1 | Si | -0.1643 | -0.1678 | -0.2095 | -0.2097 | 0.4 | 38.1 |
| 050 | SLV A1 | Si | -0.1735 | -0.1731 | -0.1490 | -0.1476 | 20.7 | -26.4 |
| 051 | SLV A1 | Si | -0.1701 | -0.1707 | -0.2131 | -0.2139 | -20.7 | 26.6 |
| 052 | SLV A1 | Si | -0.1793 | -0.1760 | -0.1527 | -0.1518 | -0.4 | -38.0 |
| 053 | SLV A1 | Si | -0.1643 | -0.1678 | -0.2084 | -0.2091 | 0.7 | 39.4 |
| 054 | SLV A1 | Si | -0.1735 | -0.1732 | -0.1480 | -0.1470 | 21.0 | -25.1 |
| 055 | SLV A1 | Si | -0.1700 | -0.1706 | -0.2142 | -0.2145 | -21.0 | 25.3 |
| 056 | SLV A1 | Si | -0.1792 | -0.1760 | -0.1537 | -0.1524 | -0.7 | -39.3 |
| 057 | SLV A1 | Si | -0.1642 | -0.1678 | -0.2096 | -0.2097 | 27.8 | 39.5 |
| 058 | SLV A1 | Si | -0.1736 | -0.1731 | -0.1489 | -0.1475 | -6.8 | -27.8 |

| | | | | | | | | |
|--------------------------------------|--------|----------------------------------------------------------------------------------------------------------------------|----------------------------------------------------------------------------------|---------|---------|-------------|-------|-------|
| COMMITTENTE: Mecca Antonio | | CODICE COMMESSA: | NOME ELABORATO: S1.5 - Relazione Geotecnica e delle Fondazioni | | | CONSULENTE: | | |
| DATA: Aprile 2023 | | TITOLO: Lavori ultimazione di un fabbricato adibito ad albergo-ristorante– C.da Case Nuove Chicone Avigliano (PZ) | | | | | | |
| 059 | SLV A1 | Si | -0.1700 | -0.1707 | -0.2133 | -0.2140 | 6.7 | 27.9 |
| 060 | SLV A1 | Si | -0.1794 | -0.1760 | -0.1525 | -0.1518 | -27.9 | -39.3 |
| 061 | SLV A1 | Si | -0.1642 | -0.1678 | -0.2086 | -0.2091 | 28.1 | 40.8 |
| 062 | SLV A1 | Si | -0.1737 | -0.1732 | -0.1478 | -0.1469 | -6.5 | -26.5 |
| 063 | SLV A1 | Si | -0.1699 | -0.1706 | -0.2143 | -0.2146 | 6.4 | 26.6 |
| 064 | SLV A1 | Si | -0.1794 | -0.1760 | -0.1536 | -0.1524 | -28.2 | -40.6 |
| 065 | SLD | Si | -0.1668 | -0.1693 | -0.1824 | -0.1818 | 14.5 | 13.2 |
| 066 | SLD | Si | -0.1680 | -0.1701 | -0.1742 | -0.1733 | 17.3 | 4.4 |
| 067 | SLD | Si | -0.1755 | -0.1737 | -0.1880 | -0.1882 | -17.3 | -4.2 |
| 068 | SLD | Si | -0.1768 | -0.1744 | -0.1797 | -0.1797 | -14.6 | -13.0 |
| 069 | SLD | Si | -0.1668 | -0.1693 | -0.1825 | -0.1818 | 18.3 | 13.4 |
| 070 | SLD | Si | -0.1680 | -0.1701 | -0.1741 | -0.1733 | 13.5 | 4.2 |
| 071 | SLD | Si | -0.1755 | -0.1737 | -0.1880 | -0.1882 | -13.6 | -4.0 |
| 072 | SLD | Si | -0.1768 | -0.1745 | -0.1797 | -0.1797 | -18.3 | -13.2 |
| 073 | SLD | Si | -0.1669 | -0.1694 | -0.1809 | -0.1809 | 15.0 | 15.2 |
| 074 | SLD | Si | -0.1681 | -0.1701 | -0.1726 | -0.1724 | 17.7 | 6.4 |
| 075 | SLD | Si | -0.1755 | -0.1737 | -0.1895 | -0.1892 | -17.8 | -6.2 |
| 076 | SLD | Si | -0.1767 | -0.1744 | -0.1813 | -0.1806 | -15.0 | -15.0 |
| 077 | SLD | Si | -0.1668 | -0.1694 | -0.1809 | -0.1809 | 18.7 | 15.4 |
| 078 | SLD | Si | -0.1681 | -0.1701 | -0.1726 | -0.1723 | 14.0 | 6.2 |
| 079 | SLD | Si | -0.1755 | -0.1737 | -0.1896 | -0.1892 | -14.0 | -6.0 |
| 080 | SLD | Si | -0.1767 | -0.1744 | -0.1812 | -0.1806 | -18.7 | -15.2 |
| 081 | SLD | Si | -0.1684 | -0.1700 | -0.1940 | -0.1940 | 0.1 | 17.4 |
| 082 | SLD | Si | -0.1726 | -0.1724 | -0.1664 | -0.1656 | 9.4 | -12.0 |
| 083 | SLD | Si | -0.1710 | -0.1714 | -0.1957 | -0.1959 | -9.4 | 12.1 |
| 084 | SLD | Si | -0.1752 | -0.1738 | -0.1681 | -0.1675 | -0.2 | -17.2 |
| 085 | SLD | Si | -0.1684 | -0.1701 | -0.1936 | -0.1937 | 0.3 | 18.0 |
| 086 | SLD | Si | -0.1726 | -0.1725 | -0.1660 | -0.1653 | 9.5 | -11.4 |
| 087 | SLD | Si | -0.1710 | -0.1713 | -0.1962 | -0.1962 | -9.5 | 11.5 |
| 088 | SLD | Si | -0.1752 | -0.1737 | -0.1686 | -0.1678 | -0.3 | -17.8 |
| 089 | SLD | Si | -0.1683 | -0.1700 | -0.1941 | -0.1940 | 12.6 | 18.0 |
| 090 | SLD | Si | -0.1726 | -0.1725 | -0.1664 | -0.1656 | -3.1 | -12.6 |
| 091 | SLD | Si | -0.1710 | -0.1713 | -0.1958 | -0.1959 | 3.1 | 12.7 |
| 092 | SLD | Si | -0.1752 | -0.1738 | -0.1680 | -0.1675 | -12.6 | -17.8 |
| 093 | SLD | Si | -0.1684 | -0.1700 | -0.1936 | -0.1937 | 12.7 | 18.6 |
| 094 | SLD | Si | -0.1726 | -0.1725 | -0.1659 | -0.1653 | -3.0 | -12.0 |
| 095 | SLD | Si | -0.1710 | -0.1713 | -0.1962 | -0.1962 | 2.9 | 12.1 |
| 096 | SLD | Si | -0.1752 | -0.1737 | -0.1685 | -0.1678 | -12.8 | -18.4 |
| 097 | SLO | Si | -0.1678 | -0.1699 | -0.1821 | -0.1815 | 11.5 | 10.5 |
| 098 | SLO | Si | -0.1688 | -0.1704 | -0.1756 | -0.1749 | 13.7 | 3.5 |
| 099 | SLO | Si | -0.1748 | -0.1734 | -0.1865 | -0.1866 | -13.7 | -3.4 |
| 100 | SLO | Si | -0.1758 | -0.1739 | -0.1800 | -0.1800 | -11.6 | -10.3 |
| 101 | SLO | Si | -0.1678 | -0.1699 | -0.1822 | -0.1816 | 14.5 | 10.6 |
| 102 | SLO | Si | -0.1688 | -0.1705 | -0.1756 | -0.1748 | 10.7 | 3.3 |
| 103 | SLO | Si | -0.1748 | -0.1733 | -0.1866 | -0.1867 | -10.8 | -3.2 |
| 104 | SLO | Si | -0.1758 | -0.1739 | -0.1800 | -0.1799 | -14.5 | -10.5 |
| 105 | SLO | Si | -0.1679 | -0.1699 | -0.1809 | -0.1808 | 11.9 | 12.0 |
| 106 | SLO | Si | -0.1689 | -0.1705 | -0.1744 | -0.1741 | 14.1 | 5.1 |
| 107 | SLO | Si | -0.1747 | -0.1733 | -0.1877 | -0.1874 | -14.1 | -5.0 |
| 108 | SLO | Si | -0.1757 | -0.1739 | -0.1812 | -0.1807 | -11.9 | -11.9 |
| 109 | SLO | Si | -0.1679 | -0.1699 | -0.1809 | -0.1809 | 14.8 | 12.2 |
| 110 | SLO | Si | -0.1689 | -0.1705 | -0.1743 | -0.1741 | 11.1 | 4.9 |
| 111 | SLO | Si | -0.1747 | -0.1733 | -0.1878 | -0.1874 | -11.1 | -4.8 |
| 112 | SLO | Si | -0.1757 | -0.1739 | -0.1812 | -0.1806 | -14.9 | -12.1 |
| 113 | SLO | Si | -0.1691 | -0.1704 | -0.1912 | -0.1911 | 0.1 | 13.7 |
| 114 | SLO | Si | -0.1724 | -0.1723 | -0.1696 | -0.1689 | 7.4 | -9.4 |
| 115 | SLO | Si | -0.1712 | -0.1715 | -0.1926 | -0.1926 | -7.4 | 9.5 |
| 116 | SLO | Si | -0.1745 | -0.1734 | -0.1709 | -0.1704 | -0.2 | -13.5 |
| 117 | SLO | Si | -0.1691 | -0.1704 | -0.1909 | -0.1909 | 0.2 | 14.2 |
| 118 | SLO | Si | -0.1724 | -0.1723 | -0.1692 | -0.1686 | 7.5 | -8.9 |
| 119 | SLO | Si | -0.1712 | -0.1715 | -0.1929 | -0.1929 | -7.6 | 9.1 |
| 120 | SLO | Si | -0.1745 | -0.1734 | -0.1713 | -0.1706 | -0.3 | -14.0 |
| 121 | SLO | Si | -0.1691 | -0.1704 | -0.1914 | -0.1912 | 10.0 | 14.3 |
| 122 | SLO | Si | -0.1724 | -0.1723 | -0.1694 | -0.1687 | -2.5 | -10.0 |
| 123 | SLO | Si | -0.1711 | -0.1715 | -0.1927 | -0.1928 | 2.4 | 10.1 |
| 124 | SLO | Si | -0.1745 | -0.1734 | -0.1707 | -0.1703 | -10.0 | -14.1 |
| 125 | SLO | Si | -0.1691 | -0.1704 | -0.1910 | -0.1910 | 10.1 | 14.8 |
| 126 | SLO | Si | -0.1725 | -0.1724 | -0.1690 | -0.1685 | -2.4 | -9.5 |
| 127 | SLO | Si | -0.1711 | -0.1714 | -0.1931 | -0.1930 | 2.3 | 9.7 |
| 128 | SLO | Si | -0.1745 | -0.1734 | -0.1711 | -0.1705 | -10.1 | -14.6 |

Elemento: Platea n. 30

Relazione Geotecnica e delle Fondazioni

| Cmb | Tipo | Sism. | Press. N1 | Press. N2 | Press. N3 | Press. N4 | S. Taglio X | S. Taglio Y |
|-----|----------|-------|---------------------|---------------------|---------------------|---------------------|-------------|-------------|
| n. | | | daN/cm ² | daN/cm ² | daN/cm ² | daN/cm ² | daN | daN |
| 001 | SLU STR | No | -0.1475 | -0.1471 | -0.1512 | -0.1514 | 0.0 | 0.0 |
| 002 | SLU STR | No | -0.2000 | -0.1996 | -0.2037 | -0.2039 | 0.0 | 0.0 |
| 003 | SLU STR | No | -0.1636 | -0.1619 | -0.1777 | -0.1788 | 0.0 | 0.1 |
| 004 | SLU STR | No | -0.2161 | -0.2144 | -0.2302 | -0.2313 | 0.0 | 0.1 |
| 005 | SLU STR | No | -0.1096 | -0.1093 | -0.1122 | -0.1124 | 0.0 | 0.0 |
| 006 | SLU STR | No | -0.1621 | -0.1618 | -0.1647 | -0.1649 | 0.0 | 0.0 |
| 007 | SLU STR | No | -0.1257 | -0.1241 | -0.1388 | -0.1398 | 0.0 | 0.1 |
| 008 | SLU STR | No | -0.1782 | -0.1766 | -0.1913 | -0.1923 | 0.0 | 0.1 |
| 009 | SLU STR | No | -0.2225 | -0.2221 | -0.2262 | -0.2264 | 0.0 | 0.0 |
| 010 | SLU STR | No | -0.1588 | -0.1575 | -0.1698 | -0.1706 | 0.0 | 0.1 |
| 011 | SLU STR | No | -0.2338 | -0.2325 | -0.2448 | -0.2456 | 0.0 | 0.1 |
| 012 | SLU STR | No | -0.1846 | -0.1843 | -0.1872 | -0.1874 | 0.0 | 0.0 |
| 013 | SLU STR | No | -0.1209 | -0.1197 | -0.1308 | -0.1315 | 0.0 | 0.1 |
| 014 | SLU STR | No | -0.1959 | -0.1947 | -0.2058 | -0.2065 | 0.0 | 0.1 |
| 015 | SLE rare | No | -0.1118 | -0.1115 | -0.1145 | -0.1147 | 0.0 | 0.0 |
| 016 | SLE rare | No | -0.1468 | -0.1465 | -0.1495 | -0.1497 | 0.0 | 0.0 |
| 017 | SLE rare | No | -0.1225 | -0.1214 | -0.1322 | -0.1329 | 0.0 | 0.1 |
| 018 | SLE rare | No | -0.1575 | -0.1564 | -0.1672 | -0.1679 | 0.0 | 0.1 |
| 019 | SLE rare | No | -0.1618 | -0.1615 | -0.1645 | -0.1647 | 0.0 | 0.0 |
| 020 | SLE rare | No | -0.1193 | -0.1184 | -0.1269 | -0.1275 | 0.0 | 0.1 |
| 021 | SLE rare | No | -0.1693 | -0.1684 | -0.1769 | -0.1775 | 0.0 | 0.1 |
| 022 | SLE freq | No | -0.1118 | -0.1115 | -0.1145 | -0.1147 | 0.0 | 0.0 |
| 023 | SLE freq | No | -0.1418 | -0.1415 | -0.1445 | -0.1447 | 0.0 | 0.0 |
| 024 | SLE freq | No | -0.1193 | -0.1184 | -0.1269 | -0.1275 | 0.0 | 0.1 |
| 025 | SLE freq | No | -0.1493 | -0.1484 | -0.1569 | -0.1575 | 0.0 | 0.1 |
| 026 | SLE freq | No | -0.1468 | -0.1465 | -0.1495 | -0.1497 | 0.0 | 0.0 |
| 027 | SLE freq | No | -0.1182 | -0.1174 | -0.1251 | -0.1256 | 0.0 | 0.1 |
| 028 | SLE freq | No | -0.1532 | -0.1524 | -0.1601 | -0.1606 | 0.0 | 0.1 |
| 029 | SLE q.p. | No | -0.1118 | -0.1115 | -0.1145 | -0.1147 | 0.0 | 0.0 |
| 030 | SLE q.p. | No | -0.1418 | -0.1415 | -0.1445 | -0.1447 | 0.0 | 0.0 |
| 031 | SLE q.p. | No | -0.1182 | -0.1174 | -0.1251 | -0.1256 | 0.0 | 0.1 |
| 032 | SLE q.p. | No | -0.1482 | -0.1474 | -0.1551 | -0.1556 | 0.0 | 0.1 |
| 033 | SLV A1 | Si | -0.0955 | -0.0994 | -0.1211 | -0.1169 | 24.3 | 24.4 |
| 034 | SLV A1 | Si | -0.1429 | -0.1466 | -0.1534 | -0.1493 | 14.3 | 8.1 |
| 035 | SLV A1 | Si | -0.1536 | -0.1482 | -0.1569 | -0.1620 | -14.3 | -8.0 |
| 036 | SLV A1 | Si | -0.2010 | -0.1954 | -0.1892 | -0.1944 | -24.2 | -24.3 |
| 037 | SLV A1 | Si | -0.0953 | -0.0993 | -0.1210 | -0.1167 | 14.5 | 24.7 |
| 038 | SLV A1 | Si | -0.1431 | -0.1468 | -0.1535 | -0.1494 | 24.0 | 7.8 |
| 039 | SLV A1 | Si | -0.1534 | -0.1481 | -0.1568 | -0.1618 | -24.0 | -7.7 |
| 040 | SLV A1 | Si | -0.2012 | -0.1956 | -0.1893 | -0.1945 | -14.5 | -24.6 |
| 041 | SLV A1 | Si | -0.0865 | -0.0901 | -0.1149 | -0.1110 | 23.2 | 28.1 |
| 042 | SLV A1 | Si | -0.1339 | -0.1373 | -0.1471 | -0.1434 | 13.3 | 11.8 |
| 043 | SLV A1 | Si | -0.1626 | -0.1576 | -0.1632 | -0.1679 | -13.2 | -11.7 |
| 044 | SLV A1 | Si | -0.2100 | -0.2048 | -0.1954 | -0.2003 | -23.2 | -27.9 |
| 045 | SLV A1 | Si | -0.0863 | -0.0899 | -0.1147 | -0.1108 | 13.5 | 28.4 |
| 046 | SLV A1 | Si | -0.1341 | -0.1375 | -0.1473 | -0.1435 | 23.0 | 11.5 |
| 047 | SLV A1 | Si | -0.1624 | -0.1574 | -0.1630 | -0.1677 | -22.9 | -11.3 |
| 048 | SLV A1 | Si | -0.2102 | -0.2049 | -0.1955 | -0.2004 | -13.5 | -28.3 |
| 049 | SLV A1 | Si | -0.0605 | -0.0615 | -0.0960 | -0.0949 | 22.4 | 32.0 |
| 050 | SLV A1 | Si | -0.2186 | -0.2188 | -0.2035 | -0.2028 | -10.8 | -22.2 |
| 051 | SLV A1 | Si | -0.0779 | -0.0761 | -0.1068 | -0.1084 | 10.8 | 22.3 |
| 052 | SLV A1 | Si | -0.2360 | -0.2334 | -0.2143 | -0.2164 | -22.4 | -31.9 |
| 053 | SLV A1 | Si | -0.0578 | -0.0587 | -0.0942 | -0.0931 | 22.1 | 33.1 |
| 054 | SLV A1 | Si | -0.2159 | -0.2160 | -0.2017 | -0.2011 | -11.1 | -21.1 |
| 055 | SLV A1 | Si | -0.0806 | -0.0789 | -0.1086 | -0.1102 | 11.2 | 21.2 |
| 056 | SLV A1 | Si | -0.2387 | -0.2362 | -0.2161 | -0.2181 | -22.0 | -33.0 |
| 057 | SLV A1 | Si | -0.0598 | -0.0609 | -0.0956 | -0.0944 | -10.0 | 33.2 |
| 058 | SLV A1 | Si | -0.2192 | -0.2194 | -0.2040 | -0.2034 | 21.6 | -23.3 |
| 059 | SLV A1 | Si | -0.0772 | -0.0755 | -0.1063 | -0.1079 | -21.6 | 23.4 |
| 060 | SLV A1 | Si | -0.2367 | -0.2340 | -0.2147 | -0.2169 | 10.0 | -33.0 |
| 061 | SLV A1 | Si | -0.0571 | -0.0581 | -0.0937 | -0.0926 | -10.3 | 34.3 |
| 062 | SLV A1 | Si | -0.2165 | -0.2166 | -0.2021 | -0.2016 | 21.3 | -22.2 |
| 063 | SLV A1 | Si | -0.0799 | -0.0783 | -0.1082 | -0.1097 | -21.2 | 22.3 |
| 064 | SLV A1 | Si | -0.2394 | -0.2368 | -0.2166 | -0.2187 | 10.4 | -34.1 |
| 065 | SLD | Si | -0.1242 | -0.1256 | -0.1397 | -0.1380 | 11.0 | 11.1 |
| 066 | SLD | Si | -0.1459 | -0.1471 | -0.1544 | -0.1528 | 6.4 | 3.7 |
| 067 | SLD | Si | -0.1506 | -0.1477 | -0.1559 | -0.1585 | -6.4 | -3.6 |
| 068 | SLD | Si | -0.1722 | -0.1693 | -0.1706 | -0.1732 | -10.9 | -11.0 |
| 069 | SLD | Si | -0.1241 | -0.1255 | -0.1396 | -0.1380 | 6.6 | 11.2 |
| 070 | SLD | Si | -0.1460 | -0.1472 | -0.1545 | -0.1529 | 10.8 | 3.5 |
| 071 | SLD | Si | -0.1505 | -0.1476 | -0.1558 | -0.1584 | -10.8 | -3.4 |

| | | | |
|--------------------------------------|------------------------------------------------------------------------------------------------------------------------------|----------------------------------------------------------------------------------|-------------|
| COMMITTENTE: Mecca Antonio | CODICE COMMESSA: | NOME ELABORATO: S1.5 - Relazione Geotecnica e delle Fondazioni | CONSULENTE: |
| DATA: Aprile 2023 | TITOLO: Lavori ultimazione di un fabbricato adibito ad albergo-ristorante- C.da Case Nuove Chicone Avigliano (PZ) | | |

| | | | | | | | | |
|-----|-----|----|---------|---------|---------|---------|-------|-------|
| 072 | SLD | Si | -0.1723 | -0.1693 | -0.1707 | -0.1733 | -6.5 | -11.1 |
| 073 | SLD | Si | -0.1201 | -0.1213 | -0.1368 | -0.1353 | 10.5 | 12.8 |
| 074 | SLD | Si | -0.1418 | -0.1429 | -0.1515 | -0.1501 | 6.0 | 5.4 |
| 075 | SLD | Si | -0.1547 | -0.1520 | -0.1588 | -0.1612 | -5.9 | -5.2 |
| 076 | SLD | Si | -0.1763 | -0.1735 | -0.1735 | -0.1759 | -10.4 | -12.6 |
| 077 | SLD | Si | -0.1200 | -0.1213 | -0.1368 | -0.1353 | 6.1 | 12.9 |
| 078 | SLD | Si | -0.1419 | -0.1430 | -0.1516 | -0.1502 | 10.4 | 5.2 |
| 079 | SLD | Si | -0.1546 | -0.1519 | -0.1587 | -0.1611 | -10.3 | -5.1 |
| 080 | SLD | Si | -0.1764 | -0.1736 | -0.1735 | -0.1760 | -6.1 | -12.8 |
| 081 | SLD | Si | -0.1082 | -0.1082 | -0.1282 | -0.1279 | 10.1 | 14.6 |
| 082 | SLD | Si | -0.1804 | -0.1800 | -0.1773 | -0.1772 | -4.9 | -10.1 |
| 083 | SLD | Si | -0.1161 | -0.1148 | -0.1330 | -0.1341 | 4.9 | 10.2 |
| 084 | SLD | Si | -0.1883 | -0.1867 | -0.1821 | -0.1833 | -10.1 | -14.4 |
| 085 | SLD | Si | -0.1070 | -0.1069 | -0.1273 | -0.1271 | 10.0 | 15.1 |
| 086 | SLD | Si | -0.1791 | -0.1787 | -0.1764 | -0.1764 | -5.0 | -9.6 |
| 087 | SLD | Si | -0.1173 | -0.1161 | -0.1339 | -0.1349 | 5.1 | 9.7 |
| 088 | SLD | Si | -0.1895 | -0.1879 | -0.1830 | -0.1842 | -9.9 | -15.0 |
| 089 | SLD | Si | -0.1079 | -0.1080 | -0.1280 | -0.1277 | -4.5 | 15.1 |
| 090 | SLD | Si | -0.1807 | -0.1803 | -0.1774 | -0.1774 | 9.8 | -10.6 |
| 091 | SLD | Si | -0.1158 | -0.1146 | -0.1329 | -0.1338 | -9.7 | 10.7 |
| 092 | SLD | Si | -0.1886 | -0.1869 | -0.1823 | -0.1836 | 4.5 | -15.0 |
| 093 | SLD | Si | -0.1067 | -0.1067 | -0.1271 | -0.1269 | -4.6 | 15.6 |
| 094 | SLD | Si | -0.1794 | -0.1790 | -0.1766 | -0.1766 | 9.6 | -10.1 |
| 095 | SLD | Si | -0.1170 | -0.1159 | -0.1337 | -0.1346 | -9.6 | 10.2 |
| 096 | SLD | Si | -0.1898 | -0.1882 | -0.1832 | -0.1844 | 4.7 | -15.5 |
| 097 | SLO | Si | -0.1293 | -0.1302 | -0.1429 | -0.1417 | 8.7 | 8.8 |
| 098 | SLO | Si | -0.1463 | -0.1471 | -0.1545 | -0.1533 | 5.1 | 3.0 |
| 099 | SLO | Si | -0.1502 | -0.1478 | -0.1558 | -0.1579 | -5.1 | -2.8 |
| 100 | SLO | Si | -0.1672 | -0.1647 | -0.1674 | -0.1695 | -8.6 | -8.7 |
| 101 | SLO | Si | -0.1291 | -0.1300 | -0.1428 | -0.1416 | 5.2 | 8.9 |
| 102 | SLO | Si | -0.1464 | -0.1473 | -0.1546 | -0.1534 | 8.6 | 2.8 |
| 103 | SLO | Si | -0.1500 | -0.1476 | -0.1557 | -0.1578 | -8.6 | -2.7 |
| 104 | SLO | Si | -0.1674 | -0.1648 | -0.1675 | -0.1697 | -5.2 | -8.8 |
| 105 | SLO | Si | -0.1260 | -0.1268 | -0.1407 | -0.1396 | 8.3 | 10.1 |
| 106 | SLO | Si | -0.1430 | -0.1437 | -0.1522 | -0.1512 | 4.8 | 4.3 |
| 107 | SLO | Si | -0.1534 | -0.1511 | -0.1581 | -0.1601 | -4.7 | -4.2 |
| 108 | SLO | Si | -0.1704 | -0.1680 | -0.1696 | -0.1717 | -8.3 | -10.0 |
| 109 | SLO | Si | -0.1259 | -0.1267 | -0.1406 | -0.1395 | 4.8 | 10.3 |
| 110 | SLO | Si | -0.1432 | -0.1439 | -0.1523 | -0.1513 | 8.2 | 4.2 |
| 111 | SLO | Si | -0.1533 | -0.1510 | -0.1579 | -0.1600 | -8.2 | -4.0 |
| 112 | SLO | Si | -0.1706 | -0.1682 | -0.1697 | -0.1718 | -4.8 | -10.1 |
| 113 | SLO | Si | -0.1168 | -0.1166 | -0.1340 | -0.1339 | 8.0 | 11.5 |
| 114 | SLO | Si | -0.1734 | -0.1730 | -0.1725 | -0.1725 | -3.8 | -7.9 |
| 115 | SLO | Si | -0.1230 | -0.1219 | -0.1378 | -0.1387 | 3.9 | 8.0 |
| 116 | SLO | Si | -0.1797 | -0.1782 | -0.1763 | -0.1774 | -8.0 | -11.4 |
| 117 | SLO | Si | -0.1158 | -0.1156 | -0.1333 | -0.1332 | 7.9 | 11.9 |
| 118 | SLO | Si | -0.1724 | -0.1720 | -0.1718 | -0.1719 | -4.0 | -7.5 |
| 119 | SLO | Si | -0.1240 | -0.1229 | -0.1385 | -0.1394 | 4.0 | 7.6 |
| 120 | SLO | Si | -0.1807 | -0.1792 | -0.1770 | -0.1780 | -7.9 | -11.8 |
| 121 | SLO | Si | -0.1162 | -0.1161 | -0.1336 | -0.1335 | -3.6 | 12.0 |
| 122 | SLO | Si | -0.1740 | -0.1735 | -0.1729 | -0.1729 | 7.7 | -8.4 |
| 123 | SLO | Si | -0.1225 | -0.1214 | -0.1374 | -0.1383 | -7.7 | 8.5 |
| 124 | SLO | Si | -0.1803 | -0.1788 | -0.1767 | -0.1778 | 3.6 | -11.9 |
| 125 | SLO | Si | -0.1152 | -0.1151 | -0.1329 | -0.1328 | -3.7 | 12.4 |
| 126 | SLO | Si | -0.1730 | -0.1725 | -0.1722 | -0.1723 | 7.6 | -8.0 |
| 127 | SLO | Si | -0.1235 | -0.1224 | -0.1381 | -0.1390 | -7.6 | 8.1 |
| 128 | SLO | Si | -0.1812 | -0.1798 | -0.1774 | -0.1785 | 3.7 | -12.3 |

Elemento: Platea n. 31

| Cmb n. | Tipo | Sism. | Press. N1 daN/cm ² | Press. N2 daN/cm ² | Press. N3 daN/cm ² | Press. N4 daN/cm ² | S. Taglio X daN | S. Taglio Y daN |
|-----------|---------|-------|----------------------------------|----------------------------------|----------------------------------|----------------------------------|--------------------|--------------------|
| 001 | SLU STR | No | -0.1555 | -0.1552 | -0.1598 | -0.1600 | 0.0 | 0.0 |
| 002 | SLU STR | No | -0.2080 | -0.2077 | -0.2123 | -0.2125 | 0.0 | 0.0 |
| 003 | SLU STR | No | -0.1952 | -0.1939 | -0.2119 | -0.2129 | 0.0 | 0.1 |
| 004 | SLU STR | No | -0.2477 | -0.2464 | -0.2644 | -0.2654 | 0.0 | 0.1 |
| 005 | SLU STR | No | -0.1153 | -0.1151 | -0.1183 | -0.1185 | 0.0 | 0.0 |
| 006 | SLU STR | No | -0.1678 | -0.1676 | -0.1708 | -0.1710 | 0.0 | 0.0 |
| 007 | SLU STR | No | -0.1550 | -0.1537 | -0.1705 | -0.1714 | 0.0 | 0.1 |
| 008 | SLU STR | No | -0.2075 | -0.2062 | -0.2230 | -0.2239 | 0.0 | 0.1 |
| 009 | SLU STR | No | -0.2305 | -0.2302 | -0.2348 | -0.2350 | 0.0 | 0.0 |
| 010 | SLU STR | No | -0.1833 | -0.1823 | -0.1963 | -0.1970 | 0.0 | 0.1 |

Relazione Geotecnica e delle Fondazioni

| | | | | | | | | |
|-----|----------|----|---------|---------|---------|---------|-------|-------|
| 011 | SLU STR | No | -0.2583 | -0.2573 | -0.2713 | -0.2720 | 0.0 | 0.1 |
| 012 | SLU STR | No | -0.1903 | -0.1901 | -0.1933 | -0.1935 | 0.0 | 0.0 |
| 013 | SLU STR | No | -0.1431 | -0.1421 | -0.1549 | -0.1555 | 0.0 | 0.1 |
| 014 | SLU STR | No | -0.2181 | -0.2171 | -0.2299 | -0.2305 | 0.0 | 0.1 |
| 015 | SLE rare | No | -0.1178 | -0.1175 | -0.1209 | -0.1211 | 0.0 | 0.0 |
| 016 | SLE rare | No | -0.1528 | -0.1525 | -0.1559 | -0.1561 | 0.0 | 0.0 |
| 017 | SLE rare | No | -0.1442 | -0.1433 | -0.1557 | -0.1563 | 0.0 | 0.1 |
| 018 | SLE rare | No | -0.1792 | -0.1783 | -0.1907 | -0.1913 | 0.0 | 0.1 |
| 019 | SLE rare | No | -0.1678 | -0.1675 | -0.1709 | -0.1711 | 0.0 | 0.0 |
| 020 | SLE rare | No | -0.1363 | -0.1356 | -0.1453 | -0.1458 | 0.0 | 0.1 |
| 021 | SLE rare | No | -0.1863 | -0.1856 | -0.1953 | -0.1958 | 0.0 | 0.1 |
| 022 | SLE freq | No | -0.1178 | -0.1175 | -0.1209 | -0.1211 | 0.0 | 0.0 |
| 023 | SLE freq | No | -0.1478 | -0.1475 | -0.1509 | -0.1511 | 0.0 | 0.0 |
| 024 | SLE freq | No | -0.1363 | -0.1356 | -0.1453 | -0.1458 | 0.0 | 0.1 |
| 025 | SLE freq | No | -0.1663 | -0.1656 | -0.1753 | -0.1758 | 0.0 | 0.1 |
| 026 | SLE freq | No | -0.1528 | -0.1525 | -0.1559 | -0.1561 | 0.0 | 0.0 |
| 027 | SLE freq | No | -0.1336 | -0.1330 | -0.1418 | -0.1422 | 0.0 | 0.1 |
| 028 | SLE freq | No | -0.1686 | -0.1680 | -0.1768 | -0.1772 | 0.0 | 0.1 |
| 029 | SLE q.p. | No | -0.1178 | -0.1175 | -0.1209 | -0.1211 | 0.0 | 0.0 |
| 030 | SLE q.p. | No | -0.1478 | -0.1475 | -0.1509 | -0.1511 | 0.0 | 0.0 |
| 031 | SLE q.p. | No | -0.1336 | -0.1330 | -0.1418 | -0.1422 | 0.0 | 0.1 |
| 032 | SLE q.p. | No | -0.1636 | -0.1630 | -0.1718 | -0.1722 | 0.0 | 0.1 |
| 033 | SLV A1 | Si | -0.1333 | -0.1380 | -0.1607 | -0.1553 | 30.1 | 33.1 |
| 034 | SLV A1 | Si | -0.1510 | -0.1554 | -0.1635 | -0.1593 | 30.4 | 15.2 |
| 035 | SLV A1 | Si | -0.1763 | -0.1705 | -0.1801 | -0.1851 | -30.4 | -15.1 |
| 036 | SLV A1 | Si | -0.1939 | -0.1879 | -0.1829 | -0.1892 | -30.1 | -33.0 |
| 037 | SLV A1 | Si | -0.1332 | -0.1379 | -0.1607 | -0.1552 | 28.1 | 33.6 |
| 038 | SLV A1 | Si | -0.1511 | -0.1556 | -0.1635 | -0.1594 | 32.3 | 14.7 |
| 039 | SLV A1 | Si | -0.1761 | -0.1704 | -0.1801 | -0.1851 | -32.3 | -14.6 |
| 040 | SLV A1 | Si | -0.1941 | -0.1881 | -0.1829 | -0.1893 | -28.2 | -33.5 |
| 041 | SLV A1 | Si | -0.1307 | -0.1351 | -0.1609 | -0.1555 | 30.1 | 37.7 |
| 042 | SLV A1 | Si | -0.1483 | -0.1526 | -0.1637 | -0.1596 | 30.4 | 19.9 |
| 043 | SLV A1 | Si | -0.1790 | -0.1734 | -0.1799 | -0.1849 | -30.4 | -19.8 |
| 044 | SLV A1 | Si | -0.1966 | -0.1908 | -0.1827 | -0.1890 | -30.1 | -37.6 |
| 045 | SLV A1 | Si | -0.1305 | -0.1350 | -0.1609 | -0.1554 | 28.1 | 38.3 |
| 046 | SLV A1 | Si | -0.1485 | -0.1527 | -0.1637 | -0.1596 | 32.3 | 19.4 |
| 047 | SLV A1 | Si | -0.1788 | -0.1733 | -0.1799 | -0.1848 | -32.3 | -19.3 |
| 048 | SLV A1 | Si | -0.1968 | -0.1910 | -0.1827 | -0.1890 | -28.2 | -38.2 |
| 049 | SLV A1 | Si | -0.1278 | -0.1291 | -0.1643 | -0.1610 | 8.5 | 37.0 |
| 050 | SLV A1 | Si | -0.1866 | -0.1872 | -0.1735 | -0.1746 | 9.6 | -22.4 |
| 051 | SLV A1 | Si | -0.1407 | -0.1388 | -0.1701 | -0.1699 | -9.6 | 22.6 |
| 052 | SLV A1 | Si | -0.1995 | -0.1969 | -0.1793 | -0.1835 | -8.5 | -36.9 |
| 053 | SLV A1 | Si | -0.1270 | -0.1282 | -0.1643 | -0.1610 | 8.5 | 38.4 |
| 054 | SLV A1 | Si | -0.1858 | -0.1863 | -0.1735 | -0.1746 | 9.6 | -21.0 |
| 055 | SLV A1 | Si | -0.1415 | -0.1397 | -0.1700 | -0.1698 | -9.6 | 21.2 |
| 056 | SLV A1 | Si | -0.2003 | -0.1978 | -0.1792 | -0.1834 | -8.5 | -38.3 |
| 057 | SLV A1 | Si | -0.1273 | -0.1287 | -0.1642 | -0.1608 | 2.1 | 38.8 |
| 058 | SLV A1 | Si | -0.1871 | -0.1875 | -0.1736 | -0.1748 | 16.0 | -24.2 |
| 059 | SLV A1 | Si | -0.1402 | -0.1384 | -0.1700 | -0.1697 | -16.0 | 24.3 |
| 060 | SLV A1 | Si | -0.2000 | -0.1973 | -0.1794 | -0.1837 | -2.1 | -38.6 |
| 061 | SLV A1 | Si | -0.1265 | -0.1278 | -0.1642 | -0.1608 | 2.1 | 40.2 |
| 062 | SLV A1 | Si | -0.1863 | -0.1867 | -0.1737 | -0.1748 | 16.0 | -22.8 |
| 063 | SLV A1 | Si | -0.1410 | -0.1393 | -0.1699 | -0.1696 | -16.0 | 22.9 |
| 064 | SLV A1 | Si | -0.2008 | -0.1982 | -0.1794 | -0.1836 | -2.1 | -40.1 |
| 065 | SLD | Si | -0.1499 | -0.1516 | -0.1668 | -0.1645 | 13.6 | 15.0 |
| 066 | SLD | Si | -0.1579 | -0.1596 | -0.1680 | -0.1664 | 13.7 | 6.9 |
| 067 | SLD | Si | -0.1693 | -0.1664 | -0.1755 | -0.1781 | -13.8 | -6.8 |
| 068 | SLD | Si | -0.1774 | -0.1743 | -0.1768 | -0.1799 | -13.6 | -14.9 |
| 069 | SLD | Si | -0.1498 | -0.1516 | -0.1668 | -0.1645 | 12.7 | 15.2 |
| 070 | SLD | Si | -0.1580 | -0.1596 | -0.1680 | -0.1664 | 14.6 | 6.7 |
| 071 | SLD | Si | -0.1693 | -0.1663 | -0.1755 | -0.1780 | -14.6 | -6.6 |
| 072 | SLD | Si | -0.1775 | -0.1744 | -0.1768 | -0.1799 | -12.7 | -15.1 |
| 073 | SLD | Si | -0.1487 | -0.1503 | -0.1669 | -0.1646 | 13.6 | 17.1 |
| 074 | SLD | Si | -0.1567 | -0.1583 | -0.1681 | -0.1665 | 13.8 | 9.0 |
| 075 | SLD | Si | -0.1706 | -0.1677 | -0.1755 | -0.1780 | -13.8 | -8.9 |
| 076 | SLD | Si | -0.1786 | -0.1756 | -0.1767 | -0.1798 | -13.6 | -17.0 |
| 077 | SLD | Si | -0.1486 | -0.1503 | -0.1668 | -0.1646 | 12.7 | 17.4 |
| 078 | SLD | Si | -0.1568 | -0.1583 | -0.1681 | -0.1665 | 14.6 | 8.8 |
| 079 | SLD | Si | -0.1705 | -0.1676 | -0.1755 | -0.1779 | -14.6 | -8.7 |
| 080 | SLD | Si | -0.1787 | -0.1757 | -0.1767 | -0.1798 | -12.8 | -17.3 |
| 081 | SLD | Si | -0.1473 | -0.1475 | -0.1684 | -0.1671 | 3.8 | 16.8 |
| 082 | SLD | Si | -0.1741 | -0.1740 | -0.1726 | -0.1733 | 4.3 | -10.1 |
| 083 | SLD | Si | -0.1531 | -0.1519 | -0.1710 | -0.1712 | -4.4 | 10.3 |
| 084 | SLD | Si | -0.1800 | -0.1785 | -0.1752 | -0.1773 | -3.9 | -16.7 |

| | | | |
|--------------------------------------|----------------------------------------------------------------------------------------------------------------------|----------------------------------------------------------------------------------|-------------|
| COMMITTENTE: Mecca Antonio | CODICE COMMESSA: | NOME ELABORATO: S1.5 - Relazione Geotecnica e delle Fondazioni | CONSULENTE: |
| DATA: Aprile 2023 | TITOLO: Lavori ultimazione di un fabbricato adibito ad albergo-ristorante- C.da Case Nuove Chicone Avigliano (PZ) | | |

| | | | | | | | | |
|-----|-----|----|---------|---------|---------|---------|-------|-------|
| 085 | SLD | Si | -0.1469 | -0.1471 | -0.1684 | -0.1672 | 3.8 | 17.4 |
| 086 | SLD | Si | -0.1738 | -0.1736 | -0.1726 | -0.1733 | 4.4 | -9.5 |
| 087 | SLD | Si | -0.1535 | -0.1523 | -0.1710 | -0.1712 | -4.4 | 9.6 |
| 088 | SLD | Si | -0.1803 | -0.1789 | -0.1752 | -0.1773 | -3.9 | -17.3 |
| 089 | SLD | Si | -0.1471 | -0.1473 | -0.1683 | -0.1670 | 1.0 | 17.6 |
| 090 | SLD | Si | -0.1744 | -0.1742 | -0.1726 | -0.1734 | 7.2 | -10.9 |
| 091 | SLD | Si | -0.1529 | -0.1518 | -0.1710 | -0.1711 | -7.2 | 11.1 |
| 092 | SLD | Si | -0.1802 | -0.1786 | -0.1752 | -0.1774 | -1.0 | -17.5 |
| 093 | SLD | Si | -0.1467 | -0.1470 | -0.1684 | -0.1671 | 1.0 | 18.2 |
| 094 | SLD | Si | -0.1740 | -0.1738 | -0.1726 | -0.1734 | 7.2 | -10.3 |
| 095 | SLD | Si | -0.1533 | -0.1522 | -0.1710 | -0.1711 | -7.2 | 10.4 |
| 096 | SLD | Si | -0.1806 | -0.1790 | -0.1752 | -0.1774 | -1.0 | -18.1 |
| 097 | SLO | Si | -0.1528 | -0.1540 | -0.1678 | -0.1661 | 10.8 | 11.9 |
| 098 | SLO | Si | -0.1591 | -0.1603 | -0.1688 | -0.1676 | 10.9 | 5.5 |
| 099 | SLO | Si | -0.1682 | -0.1657 | -0.1748 | -0.1769 | -10.9 | -5.4 |
| 100 | SLO | Si | -0.1745 | -0.1720 | -0.1758 | -0.1783 | -10.8 | -11.8 |
| 101 | SLO | Si | -0.1527 | -0.1539 | -0.1678 | -0.1661 | 10.1 | 12.1 |
| 102 | SLO | Si | -0.1592 | -0.1603 | -0.1688 | -0.1676 | 11.6 | 5.3 |
| 103 | SLO | Si | -0.1681 | -0.1656 | -0.1748 | -0.1768 | -11.6 | -5.2 |
| 104 | SLO | Si | -0.1746 | -0.1720 | -0.1758 | -0.1783 | -10.1 | -12.0 |
| 105 | SLO | Si | -0.1518 | -0.1530 | -0.1679 | -0.1662 | 10.8 | 13.6 |
| 106 | SLO | Si | -0.1581 | -0.1592 | -0.1689 | -0.1677 | 10.9 | 7.2 |
| 107 | SLO | Si | -0.1692 | -0.1667 | -0.1747 | -0.1768 | -10.9 | -7.1 |
| 108 | SLO | Si | -0.1755 | -0.1730 | -0.1757 | -0.1783 | -10.8 | -13.5 |
| 109 | SLO | Si | -0.1517 | -0.1529 | -0.1679 | -0.1662 | 10.1 | 13.8 |
| 110 | SLO | Si | -0.1582 | -0.1593 | -0.1689 | -0.1677 | 11.6 | 7.0 |
| 111 | SLO | Si | -0.1691 | -0.1667 | -0.1747 | -0.1768 | -11.6 | -6.9 |
| 112 | SLO | Si | -0.1756 | -0.1731 | -0.1757 | -0.1783 | -10.1 | -13.7 |
| 113 | SLO | Si | -0.1508 | -0.1508 | -0.1691 | -0.1682 | 3.0 | 13.3 |
| 114 | SLO | Si | -0.1719 | -0.1716 | -0.1724 | -0.1731 | 3.4 | -8.0 |
| 115 | SLO | Si | -0.1554 | -0.1543 | -0.1712 | -0.1714 | -3.5 | 8.1 |
| 116 | SLO | Si | -0.1765 | -0.1751 | -0.1745 | -0.1763 | -3.1 | -13.2 |
| 117 | SLO | Si | -0.1505 | -0.1505 | -0.1691 | -0.1682 | 3.0 | 13.8 |
| 118 | SLO | Si | -0.1716 | -0.1713 | -0.1724 | -0.1731 | 3.4 | -7.5 |
| 119 | SLO | Si | -0.1557 | -0.1546 | -0.1712 | -0.1714 | -3.5 | 7.6 |
| 120 | SLO | Si | -0.1768 | -0.1755 | -0.1745 | -0.1763 | -3.1 | -13.7 |
| 121 | SLO | Si | -0.1505 | -0.1506 | -0.1691 | -0.1681 | 0.8 | 14.0 |
| 122 | SLO | Si | -0.1722 | -0.1719 | -0.1724 | -0.1731 | 5.7 | -8.7 |
| 123 | SLO | Si | -0.1551 | -0.1541 | -0.1711 | -0.1713 | -5.8 | 8.8 |
| 124 | SLO | Si | -0.1768 | -0.1754 | -0.1745 | -0.1764 | -0.8 | -13.9 |
| 125 | SLO | Si | -0.1502 | -0.1503 | -0.1691 | -0.1681 | 0.8 | 14.5 |
| 126 | SLO | Si | -0.1719 | -0.1716 | -0.1725 | -0.1732 | 5.7 | -8.2 |
| 127 | SLO | Si | -0.1554 | -0.1544 | -0.1711 | -0.1713 | -5.8 | 8.3 |
| 128 | SLO | Si | -0.1771 | -0.1757 | -0.1745 | -0.1763 | -0.8 | -14.4 |

Elemento: Platea n. 32

| Cmb n. | Tipo | Sism. | Press. N1 daN/cm ² | Press. N2 daN/cm ² | Press. N3 daN/cm ² | Press. N4 daN/cm ² | S. Taglio X daN | S. Taglio Y daN |
|-----------|----------|-------|----------------------------------|----------------------------------|----------------------------------|----------------------------------|--------------------|--------------------|
| 001 | SLU STR | No | -0.1634 | -0.1630 | -0.1668 | -0.1680 | 0.0 | 0.0 |
| 002 | SLU STR | No | -0.2159 | -0.2155 | -0.2193 | -0.2205 | 0.0 | 0.0 |
| 003 | SLU STR | No | -0.2257 | -0.2245 | -0.2397 | -0.2439 | -0.2 | -0.2 |
| 004 | SLU STR | No | -0.2782 | -0.2770 | -0.2922 | -0.2964 | -0.2 | -0.2 |
| 005 | SLU STR | No | -0.1210 | -0.1206 | -0.1233 | -0.1242 | 0.0 | 0.0 |
| 006 | SLU STR | No | -0.1735 | -0.1731 | -0.1758 | -0.1767 | 0.0 | 0.0 |
| 007 | SLU STR | No | -0.1832 | -0.1821 | -0.1962 | -0.2001 | -0.2 | -0.2 |
| 008 | SLU STR | No | -0.2357 | -0.2346 | -0.2487 | -0.2526 | -0.2 | -0.2 |
| 009 | SLU STR | No | -0.2384 | -0.2380 | -0.2418 | -0.2430 | 0.0 | 0.0 |
| 010 | SLU STR | No | -0.2070 | -0.2061 | -0.2178 | -0.2211 | -0.2 | -0.1 |
| 011 | SLU STR | No | -0.2820 | -0.2811 | -0.2928 | -0.2961 | -0.2 | -0.1 |
| 012 | SLU STR | No | -0.1960 | -0.1956 | -0.1983 | -0.1992 | 0.0 | 0.0 |
| 013 | SLU STR | No | -0.1646 | -0.1637 | -0.1743 | -0.1773 | -0.1 | -0.1 |
| 014 | SLU STR | No | -0.2396 | -0.2387 | -0.2493 | -0.2523 | -0.1 | -0.1 |
| 015 | SLE rare | No | -0.1237 | -0.1233 | -0.1261 | -0.1270 | 0.0 | 0.0 |
| 016 | SLE rare | No | -0.1587 | -0.1583 | -0.1611 | -0.1620 | 0.0 | 0.0 |
| 017 | SLE rare | No | -0.1652 | -0.1643 | -0.1747 | -0.1777 | -0.1 | -0.1 |
| 018 | SLE rare | No | -0.2002 | -0.1993 | -0.2097 | -0.2127 | -0.1 | -0.1 |
| 019 | SLE rare | No | -0.1737 | -0.1733 | -0.1761 | -0.1770 | 0.0 | 0.0 |
| 020 | SLE rare | No | -0.1527 | -0.1520 | -0.1601 | -0.1625 | -0.1 | -0.1 |
| 021 | SLE rare | No | -0.2027 | -0.2020 | -0.2101 | -0.2125 | -0.1 | -0.1 |
| 022 | SLE freq | No | -0.1237 | -0.1233 | -0.1261 | -0.1270 | 0.0 | 0.0 |
| 023 | SLE freq | No | -0.1537 | -0.1533 | -0.1561 | -0.1570 | 0.0 | 0.0 |

Relazione Geotecnica e delle Fondazioni

| | | | | | | | | |
|-----|----------|----|---------|---------|---------|---------|-------|-------|
| 024 | SLE freq | No | -0.1527 | -0.1520 | -0.1601 | -0.1625 | -0.1 | -0.1 |
| 025 | SLE freq | No | -0.1827 | -0.1820 | -0.1901 | -0.1925 | -0.1 | -0.1 |
| 026 | SLE freq | No | -0.1587 | -0.1583 | -0.1611 | -0.1620 | 0.0 | 0.0 |
| 027 | SLE freq | No | -0.1486 | -0.1479 | -0.1553 | -0.1574 | -0.1 | -0.1 |
| 028 | SLE freq | No | -0.1836 | -0.1829 | -0.1903 | -0.1924 | -0.1 | -0.1 |
| 029 | SLE q.p. | No | -0.1237 | -0.1233 | -0.1261 | -0.1270 | 0.0 | 0.0 |
| 030 | SLE q.p. | No | -0.1537 | -0.1533 | -0.1561 | -0.1570 | 0.0 | 0.0 |
| 031 | SLE q.p. | No | -0.1486 | -0.1479 | -0.1553 | -0.1574 | -0.1 | -0.1 |
| 032 | SLE q.p. | No | -0.1786 | -0.1779 | -0.1853 | -0.1874 | -0.1 | -0.1 |
| 033 | SLV A1 | Si | -0.1545 | -0.1595 | -0.1775 | -0.1745 | 30.0 | 48.1 |
| 034 | SLV A1 | Si | -0.1415 | -0.1474 | -0.1515 | -0.1453 | 41.3 | 28.6 |
| 035 | SLV A1 | Si | -0.2157 | -0.2085 | -0.2190 | -0.2295 | -41.5 | -28.7 |
| 036 | SLV A1 | Si | -0.2027 | -0.1963 | -0.1930 | -0.2003 | -30.2 | -48.2 |
| 037 | SLV A1 | Si | -0.1544 | -0.1595 | -0.1774 | -0.1743 | 41.2 | 48.2 |
| 038 | SLV A1 | Si | -0.1415 | -0.1474 | -0.1517 | -0.1454 | 30.1 | 28.5 |
| 039 | SLV A1 | Si | -0.2156 | -0.2084 | -0.2189 | -0.2294 | -30.3 | -28.6 |
| 040 | SLV A1 | Si | -0.2027 | -0.1964 | -0.1931 | -0.2005 | -41.4 | -48.3 |
| 041 | SLV A1 | Si | -0.1553 | -0.1604 | -0.1781 | -0.1755 | 31.2 | 54.2 |
| 042 | SLV A1 | Si | -0.1423 | -0.1483 | -0.1521 | -0.1462 | 42.5 | 34.7 |
| 043 | SLV A1 | Si | -0.2148 | -0.2076 | -0.2185 | -0.2286 | -42.7 | -34.8 |
| 044 | SLV A1 | Si | -0.2018 | -0.1954 | -0.1925 | -0.1993 | -31.4 | -54.3 |
| 045 | SLV A1 | Si | -0.1552 | -0.1604 | -0.1780 | -0.1753 | 42.4 | 54.3 |
| 046 | SLV A1 | Si | -0.1424 | -0.1483 | -0.1522 | -0.1464 | 31.4 | 34.6 |
| 047 | SLV A1 | Si | -0.2148 | -0.2075 | -0.2183 | -0.2284 | -31.6 | -34.7 |
| 048 | SLV A1 | Si | -0.2019 | -0.1955 | -0.1926 | -0.1995 | -42.6 | -54.4 |
| 049 | SLV A1 | Si | -0.1910 | -0.1908 | -0.2224 | -0.2279 | -8.2 | 43.9 |
| 050 | SLV A1 | Si | -0.1477 | -0.1503 | -0.1357 | -0.1304 | 29.5 | -21.0 |
| 051 | SLV A1 | Si | -0.2094 | -0.2055 | -0.2348 | -0.2444 | -29.6 | 20.9 |
| 052 | SLV A1 | Si | -0.1661 | -0.1650 | -0.1482 | -0.1469 | 8.0 | -44.1 |
| 053 | SLV A1 | Si | -0.1913 | -0.1911 | -0.2226 | -0.2281 | -7.8 | 45.7 |
| 054 | SLV A1 | Si | -0.1480 | -0.1506 | -0.1359 | -0.1307 | 29.8 | -19.2 |
| 055 | SLV A1 | Si | -0.2091 | -0.2053 | -0.2347 | -0.2441 | -30.0 | 19.0 |
| 056 | SLV A1 | Si | -0.1659 | -0.1647 | -0.1480 | -0.1467 | 7.6 | -45.9 |
| 057 | SLV A1 | Si | -0.1908 | -0.1906 | -0.2220 | -0.2273 | 29.0 | 44.3 |
| 058 | SLV A1 | Si | -0.1480 | -0.1505 | -0.1361 | -0.1310 | -7.7 | -21.4 |
| 059 | SLV A1 | Si | -0.2092 | -0.2053 | -0.2345 | -0.2438 | 7.6 | 21.2 |
| 060 | SLV A1 | Si | -0.1663 | -0.1652 | -0.1485 | -0.1475 | -29.2 | -44.4 |
| 061 | SLV A1 | Si | -0.1911 | -0.1909 | -0.2222 | -0.2276 | 29.4 | 46.1 |
| 062 | SLV A1 | Si | -0.1482 | -0.1508 | -0.1362 | -0.1313 | -7.4 | -19.5 |
| 063 | SLV A1 | Si | -0.2089 | -0.2051 | -0.2343 | -0.2435 | 7.2 | 19.4 |
| 064 | SLV A1 | Si | -0.1661 | -0.1650 | -0.1484 | -0.1472 | -29.6 | -46.2 |
| 065 | SLD | Si | -0.1677 | -0.1696 | -0.1818 | -0.1816 | 13.5 | 21.7 |
| 066 | SLD | Si | -0.1618 | -0.1641 | -0.1700 | -0.1683 | 18.7 | 12.9 |
| 067 | SLD | Si | -0.1954 | -0.1918 | -0.2006 | -0.2065 | -18.8 | -13.1 |
| 068 | SLD | Si | -0.1895 | -0.1862 | -0.1887 | -0.1932 | -13.7 | -21.8 |
| 069 | SLD | Si | -0.1676 | -0.1696 | -0.1818 | -0.1815 | 18.6 | 21.7 |
| 070 | SLD | Si | -0.1618 | -0.1641 | -0.1700 | -0.1683 | 13.6 | 12.9 |
| 071 | SLD | Si | -0.1954 | -0.1917 | -0.2005 | -0.2065 | -13.8 | -13.0 |
| 072 | SLD | Si | -0.1895 | -0.1863 | -0.1888 | -0.1933 | -18.8 | -21.9 |
| 073 | SLD | Si | -0.1680 | -0.1700 | -0.1820 | -0.1820 | 14.1 | 24.5 |
| 074 | SLD | Si | -0.1621 | -0.1645 | -0.1702 | -0.1687 | 19.2 | 15.7 |
| 075 | SLD | Si | -0.1950 | -0.1914 | -0.2004 | -0.2061 | -19.4 | -15.9 |
| 076 | SLD | Si | -0.1891 | -0.1859 | -0.1885 | -0.1928 | -14.3 | -24.6 |
| 077 | SLD | Si | -0.1680 | -0.1700 | -0.1820 | -0.1819 | 19.2 | 24.5 |
| 078 | SLD | Si | -0.1621 | -0.1645 | -0.1702 | -0.1688 | 14.2 | 15.6 |
| 079 | SLD | Si | -0.1950 | -0.1914 | -0.2003 | -0.2060 | -14.3 | -15.8 |
| 080 | SLD | Si | -0.1891 | -0.1859 | -0.1886 | -0.1929 | -19.4 | -24.7 |
| 081 | SLD | Si | -0.1843 | -0.1838 | -0.2022 | -0.2059 | -3.8 | 19.7 |
| 082 | SLD | Si | -0.1646 | -0.1654 | -0.1627 | -0.1614 | 13.3 | -9.5 |
| 083 | SLD | Si | -0.1926 | -0.1905 | -0.2079 | -0.2134 | -13.5 | 9.3 |
| 084 | SLD | Si | -0.1729 | -0.1720 | -0.1683 | -0.1689 | 3.6 | -19.9 |
| 085 | SLD | Si | -0.1844 | -0.1839 | -0.2023 | -0.2060 | -3.6 | 20.6 |
| 086 | SLD | Si | -0.1647 | -0.1655 | -0.1628 | -0.1616 | 13.5 | -8.6 |
| 087 | SLD | Si | -0.1925 | -0.1904 | -0.2078 | -0.2132 | -13.7 | 8.5 |
| 088 | SLD | Si | -0.1728 | -0.1719 | -0.1682 | -0.1688 | 3.4 | -20.7 |
| 089 | SLD | Si | -0.1842 | -0.1837 | -0.2021 | -0.2056 | 13.1 | 19.9 |
| 090 | SLD | Si | -0.1647 | -0.1655 | -0.1629 | -0.1617 | -3.6 | -9.6 |
| 091 | SLD | Si | -0.1925 | -0.1904 | -0.2077 | -0.2131 | 3.4 | 9.5 |
| 092 | SLD | Si | -0.1730 | -0.1721 | -0.1685 | -0.1692 | -13.3 | -20.1 |
| 093 | SLD | Si | -0.1843 | -0.1838 | -0.2021 | -0.2057 | 13.3 | 20.7 |
| 094 | SLD | Si | -0.1648 | -0.1656 | -0.1629 | -0.1618 | -3.4 | -8.8 |
| 095 | SLD | Si | -0.1924 | -0.1903 | -0.2076 | -0.2130 | 3.2 | 8.6 |
| 096 | SLD | Si | -0.1729 | -0.1720 | -0.1684 | -0.1691 | -13.5 | -20.9 |
| 097 | SLO | Si | -0.1699 | -0.1713 | -0.1825 | -0.1827 | 10.7 | 17.2 |

| | | | |
|--------------------------------------|------------------------------------------------------------------------------------------------------------------------------|----------------------------------------------------------------------------------|-------------|
| COMMITTENTE: Mecca Antonio | CODICE COMMESSA: | NOME ELABORATO: S1.5 - Relazione Geotecnica e delle Fondazioni | CONSULENTE: |
| DATA: Aprile 2023 | TITOLO: Lavori ultimazione di un fabbricato adibito ad albergo-ristorante- C.da Case Nuove Chicone Avigliano (PZ) | | |

| | | | | | | | | |
|-----|-----|----|---------|---------|---------|---------|-------|-------|
| 098 | SLO | Si | -0.1652 | -0.1670 | -0.1732 | -0.1723 | 14.8 | 10.2 |
| 099 | SLO | Si | -0.1919 | -0.1889 | -0.1974 | -0.2025 | -15.0 | -10.4 |
| 100 | SLO | Si | -0.1872 | -0.1845 | -0.1881 | -0.1921 | -10.9 | -17.3 |
| 101 | SLO | Si | -0.1699 | -0.1713 | -0.1825 | -0.1827 | 14.7 | 17.2 |
| 102 | SLO | Si | -0.1652 | -0.1670 | -0.1732 | -0.1723 | 10.8 | 10.2 |
| 103 | SLO | Si | -0.1919 | -0.1889 | -0.1974 | -0.2025 | -10.9 | -10.3 |
| 104 | SLO | Si | -0.1872 | -0.1845 | -0.1881 | -0.1921 | -14.9 | -17.4 |
| 105 | SLO | Si | -0.1702 | -0.1716 | -0.1827 | -0.1831 | 11.2 | 19.4 |
| 106 | SLO | Si | -0.1655 | -0.1673 | -0.1734 | -0.1726 | 15.2 | 12.4 |
| 107 | SLO | Si | -0.1916 | -0.1886 | -0.1972 | -0.2022 | -15.4 | -12.6 |
| 108 | SLO | Si | -0.1870 | -0.1842 | -0.1879 | -0.1917 | -11.4 | -19.6 |
| 109 | SLO | Si | -0.1702 | -0.1716 | -0.1827 | -0.1831 | 15.2 | 19.4 |
| 110 | SLO | Si | -0.1655 | -0.1673 | -0.1733 | -0.1726 | 11.2 | 12.4 |
| 111 | SLO | Si | -0.1916 | -0.1886 | -0.1972 | -0.2022 | -11.4 | -12.6 |
| 112 | SLO | Si | -0.1870 | -0.1842 | -0.1879 | -0.1917 | -15.4 | -19.6 |
| 113 | SLO | Si | -0.1830 | -0.1825 | -0.1986 | -0.2019 | -3.0 | 15.6 |
| 114 | SLO | Si | -0.1675 | -0.1680 | -0.1675 | -0.1670 | 10.5 | -7.5 |
| 115 | SLO | Si | -0.1896 | -0.1878 | -0.2030 | -0.2078 | -10.7 | 7.4 |
| 116 | SLO | Si | -0.1741 | -0.1733 | -0.1720 | -0.1729 | 2.8 | -15.8 |
| 117 | SLO | Si | -0.1831 | -0.1826 | -0.1986 | -0.2020 | -2.9 | 16.3 |
| 118 | SLO | Si | -0.1676 | -0.1681 | -0.1676 | -0.1671 | 10.7 | -6.9 |
| 119 | SLO | Si | -0.1895 | -0.1877 | -0.2030 | -0.2077 | -10.8 | 6.7 |
| 120 | SLO | Si | -0.1740 | -0.1732 | -0.1719 | -0.1728 | 2.7 | -16.5 |
| 121 | SLO | Si | -0.1830 | -0.1825 | -0.1986 | -0.2019 | 10.4 | 15.8 |
| 122 | SLO | Si | -0.1675 | -0.1680 | -0.1675 | -0.1670 | -2.9 | -7.7 |
| 123 | SLO | Si | -0.1896 | -0.1878 | -0.2031 | -0.2078 | 2.7 | 7.5 |
| 124 | SLO | Si | -0.1741 | -0.1733 | -0.1719 | -0.1729 | -10.6 | -15.9 |
| 125 | SLO | Si | -0.1831 | -0.1826 | -0.1987 | -0.2020 | 10.5 | 16.4 |
| 126 | SLO | Si | -0.1676 | -0.1681 | -0.1675 | -0.1671 | -2.7 | -7.0 |
| 127 | SLO | Si | -0.1895 | -0.1877 | -0.2030 | -0.2077 | 2.5 | 6.8 |
| 128 | SLO | Si | -0.1740 | -0.1732 | -0.1719 | -0.1728 | -10.7 | -16.6 |

Elemento: Platea n. 33

| Cmb | Tipo | Sism. | Press. N1 | Press. N2 | Press. N3 | Press. N4 | S. Taglio X | S. Taglio Y |
|-----|----------|-------|---------------------|---------------------|---------------------|---------------------|-------------|-------------|
| n. | | | daN/cm ² | daN/cm ² | daN/cm ² | daN/cm ² | daN | daN |
| 001 | SLU STR | No | -0.1712 | -0.1705 | -0.1729 | -0.1737 | 0.0 | 0.0 |
| 002 | SLU STR | No | -0.2237 | -0.2230 | -0.2254 | -0.2262 | 0.0 | 0.0 |
| 003 | SLU STR | No | -0.2579 | -0.2551 | -0.2650 | -0.2678 | -0.2 | 0.0 |
| 004 | SLU STR | No | -0.3104 | -0.3076 | -0.3175 | -0.3203 | -0.2 | 0.0 |
| 005 | SLU STR | No | -0.1265 | -0.1259 | -0.1277 | -0.1282 | 0.0 | 0.0 |
| 006 | SLU STR | No | -0.1790 | -0.1784 | -0.1802 | -0.1807 | 0.0 | 0.0 |
| 007 | SLU STR | No | -0.2132 | -0.2105 | -0.2197 | -0.2223 | -0.2 | 0.0 |
| 008 | SLU STR | No | -0.2657 | -0.2630 | -0.2722 | -0.2748 | -0.2 | 0.0 |
| 009 | SLU STR | No | -0.2462 | -0.2455 | -0.2479 | -0.2487 | 0.0 | 0.0 |
| 010 | SLU STR | No | -0.2319 | -0.2297 | -0.2374 | -0.2396 | -0.1 | 0.0 |
| 011 | SLU STR | No | -0.3069 | -0.3047 | -0.3124 | -0.3146 | -0.1 | 0.0 |
| 012 | SLU STR | No | -0.2015 | -0.2009 | -0.2027 | -0.2032 | 0.0 | 0.0 |
| 013 | SLU STR | No | -0.1872 | -0.1852 | -0.1921 | -0.1941 | -0.1 | 0.0 |
| 014 | SLU STR | No | -0.2622 | -0.2602 | -0.2671 | -0.2691 | -0.1 | 0.0 |
| 015 | SLE rare | No | -0.1294 | -0.1289 | -0.1307 | -0.1313 | 0.0 | 0.0 |
| 016 | SLE rare | No | -0.1644 | -0.1639 | -0.1657 | -0.1663 | 0.0 | 0.0 |
| 017 | SLE rare | No | -0.1872 | -0.1853 | -0.1921 | -0.1940 | -0.1 | 0.0 |
| 018 | SLE rare | No | -0.2222 | -0.2203 | -0.2271 | -0.2290 | -0.1 | 0.0 |
| 019 | SLE rare | No | -0.1794 | -0.1789 | -0.1807 | -0.1813 | 0.0 | 0.0 |
| 020 | SLE rare | No | -0.1699 | -0.1684 | -0.1736 | -0.1752 | -0.1 | 0.0 |
| 021 | SLE rare | No | -0.2199 | -0.2184 | -0.2236 | -0.2252 | -0.1 | 0.0 |
| 022 | SLE freq | No | -0.1294 | -0.1289 | -0.1307 | -0.1313 | 0.0 | 0.0 |
| 023 | SLE freq | No | -0.1594 | -0.1589 | -0.1607 | -0.1613 | 0.0 | 0.0 |
| 024 | SLE freq | No | -0.1699 | -0.1684 | -0.1736 | -0.1752 | -0.1 | 0.0 |
| 025 | SLE freq | No | -0.1999 | -0.1984 | -0.2036 | -0.2052 | -0.1 | 0.0 |
| 026 | SLE freq | No | -0.1644 | -0.1639 | -0.1657 | -0.1663 | 0.0 | 0.0 |
| 027 | SLE freq | No | -0.1641 | -0.1627 | -0.1675 | -0.1689 | -0.1 | 0.0 |
| 028 | SLE freq | No | -0.1991 | -0.1977 | -0.2025 | -0.2039 | -0.1 | 0.0 |
| 029 | SLE q.p. | No | -0.1294 | -0.1289 | -0.1307 | -0.1313 | 0.0 | 0.0 |
| 030 | SLE q.p. | No | -0.1594 | -0.1589 | -0.1607 | -0.1613 | 0.0 | 0.0 |
| 031 | SLE q.p. | No | -0.1641 | -0.1627 | -0.1675 | -0.1689 | -0.1 | 0.0 |
| 032 | SLE q.p. | No | -0.1941 | -0.1927 | -0.1975 | -0.1989 | -0.1 | 0.0 |
| 033 | SLV A1 | Si | -0.1984 | -0.1988 | -0.2068 | -0.2061 | 15.1 | 17.8 |
| 034 | SLV A1 | Si | -0.1553 | -0.1573 | -0.1559 | -0.1538 | 23.0 | 10.3 |
| 035 | SLV A1 | Si | -0.2329 | -0.2281 | -0.2391 | -0.2440 | -23.2 | -10.3 |
| 036 | SLV A1 | Si | -0.1898 | -0.1866 | -0.1882 | -0.1917 | -15.3 | -17.8 |

Relazione Geotecnica e delle Fondazioni

| | | | | | | | | |
|-----|--------|----|---------|---------|---------|---------|-------|-------|
| 037 | SLV A1 | Si | -0.1983 | -0.1988 | -0.2068 | -0.2061 | 22.8 | 18.0 |
| 038 | SLV A1 | Si | -0.1553 | -0.1573 | -0.1559 | -0.1539 | 15.4 | 10.1 |
| 039 | SLV A1 | Si | -0.2329 | -0.2281 | -0.2391 | -0.2440 | -15.5 | -10.1 |
| 040 | SLV A1 | Si | -0.1899 | -0.1866 | -0.1882 | -0.1917 | -22.9 | -18.0 |
| 041 | SLV A1 | Si | -0.1945 | -0.1938 | -0.1988 | -0.2001 | 16.3 | 20.1 |
| 042 | SLV A1 | Si | -0.1514 | -0.1523 | -0.1479 | -0.1478 | 24.2 | 12.6 |
| 043 | SLV A1 | Si | -0.2368 | -0.2332 | -0.2471 | -0.2500 | -24.4 | -12.7 |
| 044 | SLV A1 | Si | -0.1937 | -0.1917 | -0.1962 | -0.1977 | -16.5 | -20.2 |
| 045 | SLV A1 | Si | -0.1945 | -0.1937 | -0.1988 | -0.2001 | 23.9 | 20.3 |
| 046 | SLV A1 | Si | -0.1515 | -0.1523 | -0.1479 | -0.1479 | 16.5 | 12.5 |
| 047 | SLV A1 | Si | -0.2368 | -0.2331 | -0.2471 | -0.2499 | -16.7 | -12.5 |
| 048 | SLV A1 | Si | -0.1938 | -0.1917 | -0.1962 | -0.1977 | -24.1 | -20.3 |
| 049 | SLV A1 | Si | -0.2608 | -0.2575 | -0.2775 | -0.2804 | -7.5 | 16.7 |
| 050 | SLV A1 | Si | -0.1171 | -0.1192 | -0.1078 | -0.1060 | 18.8 | -8.3 |
| 051 | SLV A1 | Si | -0.2712 | -0.2663 | -0.2872 | -0.2918 | -19.0 | 8.3 |
| 052 | SLV A1 | Si | -0.1274 | -0.1280 | -0.1175 | -0.1174 | 7.3 | -16.7 |
| 053 | SLV A1 | Si | -0.2596 | -0.2560 | -0.2752 | -0.2786 | -7.2 | 17.4 |
| 054 | SLV A1 | Si | -0.1159 | -0.1177 | -0.1054 | -0.1042 | 19.2 | -7.6 |
| 055 | SLV A1 | Si | -0.2723 | -0.2678 | -0.2896 | -0.2936 | -19.3 | 7.6 |
| 056 | SLV A1 | Si | -0.1286 | -0.1295 | -0.1199 | -0.1192 | 7.0 | -17.4 |
| 057 | SLV A1 | Si | -0.2606 | -0.2574 | -0.2776 | -0.2803 | 18.0 | 17.3 |
| 058 | SLV A1 | Si | -0.1173 | -0.1192 | -0.1078 | -0.1062 | -6.7 | -8.9 |
| 059 | SLV A1 | Si | -0.2709 | -0.2662 | -0.2873 | -0.2916 | 6.5 | 8.8 |
| 060 | SLV A1 | Si | -0.1276 | -0.1280 | -0.1175 | -0.1176 | -18.1 | -17.3 |
| 061 | SLV A1 | Si | -0.2594 | -0.2559 | -0.2752 | -0.2785 | 18.3 | 18.0 |
| 062 | SLV A1 | Si | -0.1161 | -0.1177 | -0.1054 | -0.1044 | -6.3 | -8.2 |
| 063 | SLV A1 | Si | -0.2721 | -0.2677 | -0.2896 | -0.2934 | 6.1 | 8.1 |
| 064 | SLV A1 | Si | -0.1288 | -0.1295 | -0.1199 | -0.1194 | -18.5 | -18.0 |
| 065 | SLD | Si | -0.1961 | -0.1955 | -0.2018 | -0.2023 | 6.8 | 8.0 |
| 066 | SLD | Si | -0.1764 | -0.1766 | -0.1786 | -0.1784 | 10.4 | 4.7 |
| 067 | SLD | Si | -0.2118 | -0.2088 | -0.2165 | -0.2194 | -10.6 | -4.7 |
| 068 | SLD | Si | -0.1921 | -0.1899 | -0.1932 | -0.1956 | -7.0 | -8.1 |
| 069 | SLD | Si | -0.1961 | -0.1955 | -0.2018 | -0.2022 | 10.3 | 8.1 |
| 070 | SLD | Si | -0.1765 | -0.1766 | -0.1786 | -0.1784 | 6.9 | 4.6 |
| 071 | SLD | Si | -0.2117 | -0.2088 | -0.2165 | -0.2194 | -7.1 | -4.6 |
| 072 | SLD | Si | -0.1921 | -0.1899 | -0.1932 | -0.1956 | -10.4 | -8.1 |
| 073 | SLD | Si | -0.1943 | -0.1932 | -0.1981 | -0.1995 | 7.3 | 9.1 |
| 074 | SLD | Si | -0.1746 | -0.1743 | -0.1749 | -0.1756 | 10.9 | 5.7 |
| 075 | SLD | Si | -0.2136 | -0.2112 | -0.2201 | -0.2222 | -11.1 | -5.7 |
| 076 | SLD | Si | -0.1939 | -0.1922 | -0.1969 | -0.1983 | -7.5 | -9.1 |
| 077 | SLD | Si | -0.1943 | -0.1932 | -0.1981 | -0.1995 | 10.8 | 9.2 |
| 078 | SLD | Si | -0.1747 | -0.1743 | -0.1749 | -0.1756 | 7.4 | 5.6 |
| 079 | SLD | Si | -0.2135 | -0.2111 | -0.2201 | -0.2222 | -7.6 | -5.7 |
| 080 | SLD | Si | -0.1939 | -0.1922 | -0.1969 | -0.1983 | -11.0 | -9.2 |
| 081 | SLD | Si | -0.2246 | -0.2223 | -0.2341 | -0.2361 | -3.5 | 7.5 |
| 082 | SLD | Si | -0.1590 | -0.1592 | -0.1566 | -0.1565 | 8.5 | -3.7 |
| 083 | SLD | Si | -0.2293 | -0.2263 | -0.2385 | -0.2413 | -8.7 | 3.7 |
| 084 | SLD | Si | -0.1636 | -0.1631 | -0.1610 | -0.1617 | 3.3 | -7.5 |
| 085 | SLD | Si | -0.2240 | -0.2216 | -0.2330 | -0.2353 | -3.3 | 7.9 |
| 086 | SLD | Si | -0.1584 | -0.1585 | -0.1555 | -0.1557 | 8.7 | -3.4 |
| 087 | SLD | Si | -0.2298 | -0.2270 | -0.2396 | -0.2421 | -8.8 | 3.4 |
| 088 | SLD | Si | -0.1642 | -0.1638 | -0.1621 | -0.1625 | 3.2 | -7.9 |
| 089 | SLD | Si | -0.2245 | -0.2222 | -0.2340 | -0.2360 | 8.1 | 7.8 |
| 090 | SLD | Si | -0.1591 | -0.1592 | -0.1566 | -0.1566 | -3.1 | -4.0 |
| 091 | SLD | Si | -0.2291 | -0.2262 | -0.2384 | -0.2412 | 2.9 | 4.0 |
| 092 | SLD | Si | -0.1638 | -0.1632 | -0.1610 | -0.1618 | -8.3 | -7.8 |
| 093 | SLD | Si | -0.2239 | -0.2215 | -0.2329 | -0.2352 | 8.3 | 8.1 |
| 094 | SLD | Si | -0.1585 | -0.1585 | -0.1555 | -0.1558 | -2.9 | -3.7 |
| 095 | SLD | Si | -0.2297 | -0.2269 | -0.2395 | -0.2420 | 2.8 | 3.7 |
| 096 | SLD | Si | -0.1643 | -0.1639 | -0.1621 | -0.1626 | -8.5 | -8.1 |
| 097 | SLO | Si | -0.1956 | -0.1949 | -0.2008 | -0.2015 | 5.4 | 6.4 |
| 098 | SLO | Si | -0.1802 | -0.1800 | -0.1826 | -0.1827 | 8.2 | 3.7 |
| 099 | SLO | Si | -0.2080 | -0.2054 | -0.2124 | -0.2151 | -8.4 | -3.7 |
| 100 | SLO | Si | -0.1926 | -0.1906 | -0.1942 | -0.1963 | -5.6 | -6.4 |
| 101 | SLO | Si | -0.1957 | -0.1950 | -0.2009 | -0.2016 | 8.1 | 6.4 |
| 102 | SLO | Si | -0.1801 | -0.1799 | -0.1825 | -0.1826 | 5.5 | 3.6 |
| 103 | SLO | Si | -0.2081 | -0.2055 | -0.2126 | -0.2152 | -5.6 | -3.7 |
| 104 | SLO | Si | -0.1925 | -0.1905 | -0.1941 | -0.1963 | -8.3 | -6.5 |
| 105 | SLO | Si | -0.1942 | -0.1931 | -0.1980 | -0.1993 | 5.8 | 7.2 |
| 106 | SLO | Si | -0.1788 | -0.1782 | -0.1797 | -0.1806 | 8.6 | 4.5 |
| 107 | SLO | Si | -0.2094 | -0.2072 | -0.2153 | -0.2172 | -8.8 | -4.6 |
| 108 | SLO | Si | -0.1940 | -0.1924 | -0.1971 | -0.1985 | -6.0 | -7.2 |
| 109 | SLO | Si | -0.1943 | -0.1931 | -0.1981 | -0.1994 | 8.6 | 7.3 |
| 110 | SLO | Si | -0.1787 | -0.1781 | -0.1796 | -0.1805 | 5.9 | 4.5 |

| | | | |
|--------------------------------------|----------------------------------------------------------------------------------------------------------------------|----------------------------------------------------------------------------------|-------------|
| COMMITTENTE: Mecca Antonio | CODICE COMMESSA: | NOME ELABORATO: S1.5 - Relazione Geotecnica e delle Fondazioni | CONSULENTE: |
| DATA: Aprile 2023 | TITOLO: Lavori ultimazione di un fabbricato adibito ad albergo-ristorante- C.da Case Nuove Chicone Avigliano (PZ) | | |

| | | | | | | | | |
|-----|-----|----|---------|---------|---------|---------|------|------|
| 111 | SLO | Si | -0.2095 | -0.2073 | -0.2154 | -0.2173 | -6.1 | -4.5 |
| 112 | SLO | Si | -0.1939 | -0.1923 | -0.1970 | -0.1984 | -8.7 | -7.3 |
| 113 | SLO | Si | -0.2180 | -0.2159 | -0.2262 | -0.2281 | -2.7 | 6.0 |
| 114 | SLO | Si | -0.1665 | -0.1664 | -0.1654 | -0.1656 | 6.7 | -3.0 |
| 115 | SLO | Si | -0.2217 | -0.2191 | -0.2297 | -0.2322 | -6.9 | 2.9 |
| 116 | SLO | Si | -0.1702 | -0.1695 | -0.1689 | -0.1697 | 2.6 | -6.0 |
| 117 | SLO | Si | -0.2176 | -0.2154 | -0.2253 | -0.2275 | -2.6 | 6.2 |
| 118 | SLO | Si | -0.1661 | -0.1658 | -0.1645 | -0.1650 | 6.8 | -2.7 |
| 119 | SLO | Si | -0.2221 | -0.2196 | -0.2305 | -0.2328 | -7.0 | 2.7 |
| 120 | SLO | Si | -0.1706 | -0.1701 | -0.1697 | -0.1704 | 2.4 | -6.2 |
| 121 | SLO | Si | -0.2182 | -0.2162 | -0.2265 | -0.2284 | 6.4 | 6.2 |
| 122 | SLO | Si | -0.1663 | -0.1661 | -0.1650 | -0.1653 | -2.5 | -3.2 |
| 123 | SLO | Si | -0.2219 | -0.2193 | -0.2300 | -0.2325 | 2.3 | 3.2 |
| 124 | SLO | Si | -0.1700 | -0.1693 | -0.1685 | -0.1694 | -6.6 | -6.2 |
| 125 | SLO | Si | -0.2178 | -0.2156 | -0.2257 | -0.2278 | 6.6 | 6.4 |
| 126 | SLO | Si | -0.1659 | -0.1656 | -0.1642 | -0.1647 | -2.3 | -2.9 |
| 127 | SLO | Si | -0.2223 | -0.2199 | -0.2309 | -0.2331 | 2.2 | 2.9 |
| 128 | SLO | Si | -0.1704 | -0.1698 | -0.1694 | -0.1701 | -6.7 | -6.5 |

Elemento: Platea n. 34

| Cmb | Tipo | Sism. | Press. N1 | Press. N2 | Press. N3 | Press. N4 | S. Taglio X | S. Taglio Y |
|-----|----------|-------|---------------------|---------------------|---------------------|---------------------|-------------|-------------|
| n. | | | daN/cm ² | daN/cm ² | daN/cm ² | daN/cm ² | daN | daN |
| 001 | SLU STR | No | -0.1722 | -0.1712 | -0.1737 | -0.1743 | -0.1 | 0.0 |
| 002 | SLU STR | No | -0.2247 | -0.2237 | -0.2262 | -0.2268 | -0.1 | 0.0 |
| 003 | SLU STR | No | -0.2611 | -0.2579 | -0.2678 | -0.2696 | -0.3 | -0.1 |
| 004 | SLU STR | No | -0.3136 | -0.3104 | -0.3203 | -0.3221 | -0.3 | -0.1 |
| 005 | SLU STR | No | -0.1272 | -0.1265 | -0.1282 | -0.1286 | 0.0 | 0.0 |
| 006 | SLU STR | No | -0.1797 | -0.1790 | -0.1807 | -0.1811 | 0.0 | 0.0 |
| 007 | SLU STR | No | -0.2161 | -0.2132 | -0.2223 | -0.2239 | -0.3 | -0.1 |
| 008 | SLU STR | No | -0.2686 | -0.2657 | -0.2748 | -0.2764 | -0.3 | -0.1 |
| 009 | SLU STR | No | -0.2472 | -0.2462 | -0.2487 | -0.2493 | -0.1 | 0.0 |
| 010 | SLU STR | No | -0.2344 | -0.2319 | -0.2396 | -0.2410 | -0.2 | -0.1 |
| 011 | SLU STR | No | -0.3094 | -0.3069 | -0.3146 | -0.3160 | -0.2 | -0.1 |
| 012 | SLU STR | No | -0.2022 | -0.2015 | -0.2032 | -0.2036 | 0.0 | 0.0 |
| 013 | SLU STR | No | -0.1894 | -0.1872 | -0.1941 | -0.1954 | -0.2 | -0.1 |
| 014 | SLU STR | No | -0.2644 | -0.2622 | -0.2691 | -0.2704 | -0.2 | -0.1 |
| 015 | SLE rare | No | -0.1302 | -0.1294 | -0.1313 | -0.1317 | 0.0 | 0.0 |
| 016 | SLE rare | No | -0.1652 | -0.1644 | -0.1663 | -0.1667 | 0.0 | 0.0 |
| 017 | SLE rare | No | -0.1894 | -0.1872 | -0.1940 | -0.1952 | -0.2 | -0.1 |
| 018 | SLE rare | No | -0.2244 | -0.2222 | -0.2290 | -0.2302 | -0.2 | -0.1 |
| 019 | SLE rare | No | -0.1802 | -0.1794 | -0.1813 | -0.1817 | 0.0 | 0.0 |
| 020 | SLE rare | No | -0.1717 | -0.1699 | -0.1752 | -0.1762 | -0.2 | -0.1 |
| 021 | SLE rare | No | -0.2217 | -0.2199 | -0.2252 | -0.2262 | -0.2 | -0.1 |
| 022 | SLE freq | No | -0.1302 | -0.1294 | -0.1313 | -0.1317 | 0.0 | 0.0 |
| 023 | SLE freq | No | -0.1602 | -0.1594 | -0.1613 | -0.1617 | 0.0 | 0.0 |
| 024 | SLE freq | No | -0.1717 | -0.1699 | -0.1752 | -0.1762 | -0.2 | -0.1 |
| 025 | SLE freq | No | -0.2017 | -0.1999 | -0.2052 | -0.2062 | -0.2 | -0.1 |
| 026 | SLE freq | No | -0.1652 | -0.1644 | -0.1663 | -0.1667 | 0.0 | 0.0 |
| 027 | SLE freq | No | -0.1657 | -0.1641 | -0.1689 | -0.1698 | -0.1 | -0.1 |
| 028 | SLE freq | No | -0.2007 | -0.1991 | -0.2039 | -0.2048 | -0.1 | -0.1 |
| 029 | SLE q.p. | No | -0.1302 | -0.1294 | -0.1313 | -0.1317 | 0.0 | 0.0 |
| 030 | SLE q.p. | No | -0.1602 | -0.1594 | -0.1613 | -0.1617 | 0.0 | 0.0 |
| 031 | SLE q.p. | No | -0.1657 | -0.1641 | -0.1689 | -0.1698 | -0.1 | -0.1 |
| 032 | SLE q.p. | No | -0.1957 | -0.1941 | -0.1989 | -0.1998 | -0.1 | -0.1 |
| 033 | SLV A1 | Si | -0.1921 | -0.1984 | -0.2061 | -0.2034 | 23.9 | 32.5 |
| 034 | SLV A1 | Si | -0.1470 | -0.1553 | -0.1538 | -0.1499 | 36.4 | 19.3 |
| 035 | SLV A1 | Si | -0.2444 | -0.2329 | -0.2440 | -0.2497 | -36.7 | -19.4 |
| 036 | SLV A1 | Si | -0.1993 | -0.1898 | -0.1917 | -0.1963 | -24.2 | -32.7 |
| 037 | SLV A1 | Si | -0.1920 | -0.1983 | -0.2061 | -0.2033 | 36.0 | 32.6 |
| 038 | SLV A1 | Si | -0.1472 | -0.1553 | -0.1539 | -0.1500 | 24.3 | 19.2 |
| 039 | SLV A1 | Si | -0.2443 | -0.2329 | -0.2440 | -0.2496 | -24.6 | -19.3 |
| 040 | SLV A1 | Si | -0.1995 | -0.1899 | -0.1917 | -0.1964 | -36.3 | -32.7 |
| 041 | SLV A1 | Si | -0.1911 | -0.1945 | -0.2001 | -0.1995 | 25.7 | 36.7 |
| 042 | SLV A1 | Si | -0.1460 | -0.1514 | -0.1478 | -0.1460 | 38.3 | 23.4 |
| 043 | SLV A1 | Si | -0.2454 | -0.2368 | -0.2500 | -0.2536 | -38.6 | -23.6 |
| 044 | SLV A1 | Si | -0.2003 | -0.1937 | -0.1977 | -0.2002 | -26.0 | -36.8 |
| 045 | SLV A1 | Si | -0.1910 | -0.1945 | -0.2001 | -0.1994 | 37.9 | 36.8 |
| 046 | SLV A1 | Si | -0.1462 | -0.1515 | -0.1479 | -0.1461 | 26.1 | 23.4 |
| 047 | SLV A1 | Si | -0.2453 | -0.2368 | -0.2499 | -0.2535 | -26.4 | -23.5 |
| 048 | SLV A1 | Si | -0.2005 | -0.1938 | -0.1977 | -0.2003 | -38.1 | -36.9 |
| 049 | SLV A1 | Si | -0.2631 | -0.2608 | -0.2804 | -0.2820 | -11.9 | 29.8 |

Relazione Geotecnica e delle Fondazioni

| | | | | | | | | |
|-----|--------|----|---------|---------|---------|---------|-------|-------|
| 050 | SLV A1 | Si | -0.1127 | -0.1171 | -0.1060 | -0.1037 | 29.8 | -14.3 |
| 051 | SLV A1 | Si | -0.2788 | -0.2712 | -0.2918 | -0.2959 | -30.1 | 14.2 |
| 052 | SLV A1 | Si | -0.1284 | -0.1274 | -0.1174 | -0.1176 | 11.6 | -29.9 |
| 053 | SLV A1 | Si | -0.2628 | -0.2596 | -0.2786 | -0.2808 | -11.4 | 31.1 |
| 054 | SLV A1 | Si | -0.1124 | -0.1159 | -0.1042 | -0.1026 | 30.4 | -13.1 |
| 055 | SLV A1 | Si | -0.2791 | -0.2723 | -0.2936 | -0.2971 | -30.6 | 13.0 |
| 056 | SLV A1 | Si | -0.1287 | -0.1286 | -0.1192 | -0.1188 | 11.1 | -31.2 |
| 057 | SLV A1 | Si | -0.2625 | -0.2606 | -0.2803 | -0.2816 | 28.4 | 30.1 |
| 058 | SLV A1 | Si | -0.1132 | -0.1173 | -0.1062 | -0.1041 | -10.6 | -14.6 |
| 059 | SLV A1 | Si | -0.2782 | -0.2709 | -0.2916 | -0.2955 | 10.3 | 14.5 |
| 060 | SLV A1 | Si | -0.1289 | -0.1276 | -0.1176 | -0.1180 | -28.7 | -30.2 |
| 061 | SLV A1 | Si | -0.2622 | -0.2594 | -0.2785 | -0.2804 | 29.0 | 31.3 |
| 062 | SLV A1 | Si | -0.1129 | -0.1161 | -0.1044 | -0.1029 | -10.0 | -13.4 |
| 063 | SLV A1 | Si | -0.2785 | -0.2721 | -0.2934 | -0.2967 | 9.7 | 13.3 |
| 064 | SLV A1 | Si | -0.1292 | -0.1288 | -0.1194 | -0.1192 | -29.3 | -31.4 |
| 065 | SLD | Si | -0.1942 | -0.1961 | -0.2023 | -0.2015 | 10.7 | 14.7 |
| 066 | SLD | Si | -0.1736 | -0.1764 | -0.1784 | -0.1771 | 16.4 | 8.7 |
| 067 | SLD | Si | -0.2179 | -0.2118 | -0.2194 | -0.2225 | -16.7 | -8.8 |
| 068 | SLD | Si | -0.1973 | -0.1921 | -0.1956 | -0.1981 | -11.0 | -14.8 |
| 069 | SLD | Si | -0.1941 | -0.1961 | -0.2022 | -0.2015 | 16.2 | 14.7 |
| 070 | SLD | Si | -0.1737 | -0.1765 | -0.1784 | -0.1772 | 10.9 | 8.7 |
| 071 | SLD | Si | -0.2178 | -0.2117 | -0.2194 | -0.2225 | -11.2 | -8.8 |
| 072 | SLD | Si | -0.1974 | -0.1921 | -0.1956 | -0.1982 | -16.5 | -14.8 |
| 073 | SLD | Si | -0.1937 | -0.1943 | -0.1995 | -0.1997 | 11.6 | 16.6 |
| 074 | SLD | Si | -0.1731 | -0.1746 | -0.1756 | -0.1753 | 17.3 | 10.6 |
| 075 | SLD | Si | -0.2184 | -0.2136 | -0.2222 | -0.2244 | -17.6 | -10.7 |
| 076 | SLD | Si | -0.1978 | -0.1939 | -0.1983 | -0.1999 | -11.9 | -16.7 |
| 077 | SLD | Si | -0.1936 | -0.1943 | -0.1995 | -0.1996 | 17.1 | 16.6 |
| 078 | SLD | Si | -0.1732 | -0.1747 | -0.1756 | -0.1754 | 11.8 | 10.6 |
| 079 | SLD | Si | -0.2183 | -0.2135 | -0.2222 | -0.2243 | -12.1 | -10.7 |
| 080 | SLD | Si | -0.1979 | -0.1939 | -0.1983 | -0.2000 | -17.4 | -16.7 |
| 081 | SLD | Si | -0.2265 | -0.2246 | -0.2361 | -0.2374 | -5.5 | 13.4 |
| 082 | SLD | Si | -0.1579 | -0.1590 | -0.1565 | -0.1560 | 13.5 | -6.5 |
| 083 | SLD | Si | -0.2336 | -0.2293 | -0.2413 | -0.2437 | -13.8 | 6.3 |
| 084 | SLD | Si | -0.1650 | -0.1636 | -0.1617 | -0.1623 | 5.2 | -13.5 |
| 085 | SLD | Si | -0.2264 | -0.2240 | -0.2353 | -0.2368 | -5.3 | 14.0 |
| 086 | SLD | Si | -0.1577 | -0.1584 | -0.1557 | -0.1554 | 13.7 | -5.9 |
| 087 | SLD | Si | -0.2338 | -0.2298 | -0.2421 | -0.2442 | -14.0 | 5.8 |
| 088 | SLD | Si | -0.1651 | -0.1642 | -0.1625 | -0.1628 | 5.0 | -14.1 |
| 089 | SLD | Si | -0.2262 | -0.2245 | -0.2360 | -0.2372 | 12.8 | 13.5 |
| 090 | SLD | Si | -0.1581 | -0.1591 | -0.1566 | -0.1562 | -4.9 | -6.6 |
| 091 | SLD | Si | -0.2333 | -0.2291 | -0.2412 | -0.2435 | 4.6 | 6.5 |
| 092 | SLD | Si | -0.1652 | -0.1638 | -0.1618 | -0.1625 | -13.1 | -13.6 |
| 093 | SLD | Si | -0.2261 | -0.2239 | -0.2352 | -0.2366 | 13.1 | 14.1 |
| 094 | SLD | Si | -0.1580 | -0.1585 | -0.1558 | -0.1556 | -4.7 | -6.0 |
| 095 | SLD | Si | -0.2335 | -0.2297 | -0.2420 | -0.2440 | 4.4 | 5.9 |
| 096 | SLD | Si | -0.1654 | -0.1643 | -0.1626 | -0.1630 | -13.4 | -14.2 |
| 097 | SLO | Si | -0.1944 | -0.1956 | -0.2015 | -0.2011 | 8.5 | 11.6 |
| 098 | SLO | Si | -0.1783 | -0.1802 | -0.1827 | -0.1819 | 13.0 | 6.9 |
| 099 | SLO | Si | -0.2132 | -0.2080 | -0.2151 | -0.2177 | -13.3 | -7.0 |
| 100 | SLO | Si | -0.1971 | -0.1926 | -0.1963 | -0.1986 | -8.8 | -11.7 |
| 101 | SLO | Si | -0.1944 | -0.1957 | -0.2016 | -0.2011 | 12.9 | 11.7 |
| 102 | SLO | Si | -0.1782 | -0.1801 | -0.1826 | -0.1818 | 8.6 | 6.9 |
| 103 | SLO | Si | -0.2132 | -0.2081 | -0.2152 | -0.2178 | -8.9 | -7.0 |
| 104 | SLO | Si | -0.1970 | -0.1925 | -0.1963 | -0.1985 | -13.1 | -11.8 |
| 105 | SLO | Si | -0.1941 | -0.1942 | -0.1993 | -0.1997 | 9.2 | 13.1 |
| 106 | SLO | Si | -0.1779 | -0.1788 | -0.1806 | -0.1805 | 13.7 | 8.4 |
| 107 | SLO | Si | -0.2136 | -0.2094 | -0.2172 | -0.2191 | -14.0 | -8.5 |
| 108 | SLO | Si | -0.1974 | -0.1940 | -0.1985 | -0.2000 | -9.5 | -13.2 |
| 109 | SLO | Si | -0.1941 | -0.1943 | -0.1994 | -0.1997 | 13.5 | 13.2 |
| 110 | SLO | Si | -0.1779 | -0.1787 | -0.1805 | -0.1804 | 9.3 | 8.4 |
| 111 | SLO | Si | -0.2136 | -0.2095 | -0.2173 | -0.2192 | -9.6 | -8.5 |
| 112 | SLO | Si | -0.1974 | -0.1939 | -0.1984 | -0.1999 | -13.8 | -13.3 |
| 113 | SLO | Si | -0.2198 | -0.2180 | -0.2281 | -0.2292 | -4.4 | 10.6 |
| 114 | SLO | Si | -0.1660 | -0.1665 | -0.1656 | -0.1654 | 10.6 | -5.1 |
| 115 | SLO | Si | -0.2255 | -0.2217 | -0.2322 | -0.2342 | -10.9 | 5.0 |
| 116 | SLO | Si | -0.1716 | -0.1702 | -0.1697 | -0.1704 | 4.1 | -10.7 |
| 117 | SLO | Si | -0.2197 | -0.2176 | -0.2275 | -0.2288 | -4.2 | 11.1 |
| 118 | SLO | Si | -0.1659 | -0.1661 | -0.1650 | -0.1650 | 10.8 | -4.7 |
| 119 | SLO | Si | -0.2256 | -0.2221 | -0.2328 | -0.2347 | -11.1 | 4.6 |
| 120 | SLO | Si | -0.1717 | -0.1706 | -0.1704 | -0.1708 | 3.9 | -11.2 |
| 121 | SLO | Si | -0.2200 | -0.2182 | -0.2284 | -0.2295 | 10.2 | 10.7 |
| 122 | SLO | Si | -0.1659 | -0.1663 | -0.1653 | -0.1652 | -3.9 | -5.2 |
| 123 | SLO | Si | -0.2256 | -0.2219 | -0.2325 | -0.2345 | 3.6 | 5.1 |

| | | | |
|--------------------------------------|----------------------------------------------------------------------------------------------------------------------|----------------------------------------------------------------------------------|-------------|
| COMMITTENTE: Mecca Antonio | CODICE COMMESSA: | NOME ELABORATO: S1.5 - Relazione Geotecnica e delle Fondazioni | CONSULENTE: |
| DATA: Aprile 2023 | TITOLO: Lavori ultimazione di un fabbricato adibito ad albergo-ristorante- C.da Case Nuove Chicone Avigliano (PZ) | | |

| | | | | | | | | |
|-----|-----|----|---------|---------|---------|---------|-------|-------|
| 124 | SLO | Si | -0.1715 | -0.1700 | -0.1694 | -0.1702 | -10.5 | -10.8 |
| 125 | SLO | Si | -0.2198 | -0.2178 | -0.2278 | -0.2291 | 10.4 | 11.2 |
| 126 | SLO | Si | -0.1658 | -0.1659 | -0.1647 | -0.1648 | -3.7 | -4.8 |
| 127 | SLO | Si | -0.2257 | -0.2223 | -0.2331 | -0.2349 | 3.4 | 4.7 |
| 128 | SLO | Si | -0.1716 | -0.1704 | -0.1701 | -0.1706 | -10.7 | -11.3 |

Elemento: Platea n. 35

| Cmb | Tipo | Sism. | Press. N1 | Press. N2 | Press. N3 | Press. N4 | S. Taglio X | S. Taglio Y |
|-----|----------|-------|---------------------|---------------------|---------------------|---------------------|-------------|-------------|
| n. | | | daN/cm ² | daN/cm ² | daN/cm ² | daN/cm ² | daN | daN |
| 001 | SLU STR | No | -0.1512 | -0.1511 | -0.1555 | -0.1550 | 0.0 | 0.0 |
| 002 | SLU STR | No | -0.2037 | -0.2036 | -0.2080 | -0.2075 | 0.0 | 0.0 |
| 003 | SLU STR | No | -0.1780 | -0.1776 | -0.1952 | -0.1928 | 0.0 | 0.0 |
| 004 | SLU STR | No | -0.2305 | -0.2301 | -0.2477 | -0.2453 | 0.0 | 0.0 |
| 005 | SLU STR | No | -0.1123 | -0.1122 | -0.1153 | -0.1149 | 0.0 | 0.0 |
| 006 | SLU STR | No | -0.1648 | -0.1647 | -0.1678 | -0.1674 | 0.0 | 0.0 |
| 007 | SLU STR | No | -0.1390 | -0.1387 | -0.1550 | -0.1528 | 0.0 | 0.0 |
| 008 | SLU STR | No | -0.1915 | -0.1912 | -0.2075 | -0.2053 | 0.0 | 0.0 |
| 009 | SLU STR | No | -0.2262 | -0.2261 | -0.2305 | -0.2300 | 0.0 | 0.0 |
| 010 | SLU STR | No | -0.1700 | -0.1697 | -0.1833 | -0.1815 | 0.0 | 0.0 |
| 011 | SLU STR | No | -0.2450 | -0.2447 | -0.2583 | -0.2565 | 0.0 | 0.0 |
| 012 | SLU STR | No | -0.1873 | -0.1872 | -0.1903 | -0.1899 | 0.0 | 0.0 |
| 013 | SLU STR | No | -0.1310 | -0.1307 | -0.1431 | -0.1414 | 0.0 | 0.0 |
| 014 | SLU STR | No | -0.2060 | -0.2057 | -0.2181 | -0.2164 | 0.0 | 0.0 |
| 015 | SLE rare | No | -0.1146 | -0.1144 | -0.1178 | -0.1173 | 0.0 | 0.0 |
| 016 | SLE rare | No | -0.1496 | -0.1494 | -0.1528 | -0.1523 | 0.0 | 0.0 |
| 017 | SLE rare | No | -0.1324 | -0.1322 | -0.1442 | -0.1426 | 0.0 | 0.0 |
| 018 | SLE rare | No | -0.1674 | -0.1672 | -0.1792 | -0.1776 | 0.0 | 0.0 |
| 019 | SLE rare | No | -0.1646 | -0.1644 | -0.1678 | -0.1673 | 0.0 | 0.0 |
| 020 | SLE rare | No | -0.1271 | -0.1268 | -0.1363 | -0.1350 | 0.0 | 0.0 |
| 021 | SLE rare | No | -0.1771 | -0.1768 | -0.1863 | -0.1850 | 0.0 | 0.0 |
| 022 | SLE freq | No | -0.1146 | -0.1144 | -0.1178 | -0.1173 | 0.0 | 0.0 |
| 023 | SLE freq | No | -0.1446 | -0.1444 | -0.1478 | -0.1473 | 0.0 | 0.0 |
| 024 | SLE freq | No | -0.1271 | -0.1268 | -0.1363 | -0.1350 | 0.0 | 0.0 |
| 025 | SLE freq | No | -0.1571 | -0.1568 | -0.1663 | -0.1650 | 0.0 | 0.0 |
| 026 | SLE freq | No | -0.1496 | -0.1494 | -0.1528 | -0.1523 | 0.0 | 0.0 |
| 027 | SLE freq | No | -0.1253 | -0.1251 | -0.1336 | -0.1325 | 0.0 | 0.0 |
| 028 | SLE freq | No | -0.1603 | -0.1601 | -0.1686 | -0.1675 | 0.0 | 0.0 |
| 029 | SLE q.p. | No | -0.1146 | -0.1144 | -0.1178 | -0.1173 | 0.0 | 0.0 |
| 030 | SLE q.p. | No | -0.1446 | -0.1444 | -0.1478 | -0.1473 | 0.0 | 0.0 |
| 031 | SLE q.p. | No | -0.1253 | -0.1251 | -0.1336 | -0.1325 | 0.0 | 0.0 |
| 032 | SLE q.p. | No | -0.1553 | -0.1551 | -0.1636 | -0.1625 | 0.0 | 0.0 |
| 033 | SLV A1 | Si | -0.1000 | -0.1081 | -0.1333 | -0.1227 | 27.9 | 34.8 |
| 034 | SLV A1 | Si | -0.1389 | -0.1440 | -0.1510 | -0.1452 | 18.9 | 18.7 |
| 035 | SLV A1 | Si | -0.1716 | -0.1662 | -0.1763 | -0.1798 | -18.9 | -18.7 |
| 036 | SLV A1 | Si | -0.2105 | -0.2021 | -0.1939 | -0.2023 | -27.9 | -34.8 |
| 037 | SLV A1 | Si | -0.0998 | -0.1079 | -0.1332 | -0.1225 | 19.0 | 35.3 |
| 038 | SLV A1 | Si | -0.1392 | -0.1442 | -0.1511 | -0.1454 | 27.8 | 18.3 |
| 039 | SLV A1 | Si | -0.1714 | -0.1660 | -0.1761 | -0.1796 | -27.8 | -18.2 |
| 040 | SLV A1 | Si | -0.2108 | -0.2023 | -0.1941 | -0.2025 | -18.9 | -35.2 |
| 041 | SLV A1 | Si | -0.0935 | -0.1018 | -0.1307 | -0.1193 | 27.1 | 39.5 |
| 042 | SLV A1 | Si | -0.1324 | -0.1377 | -0.1483 | -0.1418 | 18.1 | 23.5 |
| 043 | SLV A1 | Si | -0.1782 | -0.1724 | -0.1790 | -0.1832 | -18.0 | -23.4 |
| 044 | SLV A1 | Si | -0.2171 | -0.2083 | -0.1966 | -0.2057 | -27.1 | -39.5 |
| 045 | SLV A1 | Si | -0.0932 | -0.1016 | -0.1305 | -0.1191 | 18.2 | 40.0 |
| 046 | SLV A1 | Si | -0.1326 | -0.1379 | -0.1485 | -0.1420 | 27.0 | 23.0 |
| 047 | SLV A1 | Si | -0.1779 | -0.1723 | -0.1788 | -0.1830 | -27.0 | -22.9 |
| 048 | SLV A1 | Si | -0.2173 | -0.2085 | -0.1968 | -0.2059 | -18.1 | -40.0 |
| 049 | SLV A1 | Si | -0.0797 | -0.0865 | -0.1278 | -0.1165 | 22.0 | 34.8 |
| 050 | SLV A1 | Si | -0.2094 | -0.2062 | -0.1866 | -0.1914 | -8.0 | -18.7 |
| 051 | SLV A1 | Si | -0.1012 | -0.1040 | -0.1407 | -0.1336 | 8.0 | 18.8 |
| 052 | SLV A1 | Si | -0.2309 | -0.2236 | -0.1995 | -0.2085 | -22.0 | -34.8 |
| 053 | SLV A1 | Si | -0.0777 | -0.0847 | -0.1270 | -0.1154 | 21.8 | 36.2 |
| 054 | SLV A1 | Si | -0.2074 | -0.2043 | -0.1858 | -0.1903 | -8.2 | -17.3 |
| 055 | SLV A1 | Si | -0.1031 | -0.1058 | -0.1415 | -0.1346 | 8.3 | 17.3 |
| 056 | SLV A1 | Si | -0.2328 | -0.2255 | -0.2003 | -0.2095 | -21.8 | -36.2 |
| 057 | SLV A1 | Si | -0.0789 | -0.0859 | -0.1273 | -0.1158 | -7.7 | 36.4 |
| 058 | SLV A1 | Si | -0.2102 | -0.2068 | -0.1871 | -0.1921 | 21.8 | -20.3 |
| 059 | SLV A1 | Si | -0.1003 | -0.1033 | -0.1402 | -0.1329 | -21.7 | 20.4 |
| 060 | SLV A1 | Si | -0.2317 | -0.2243 | -0.2000 | -0.2092 | 7.7 | -36.4 |
| 061 | SLV A1 | Si | -0.0769 | -0.0840 | -0.1265 | -0.1147 | -8.0 | 37.8 |
| 062 | SLV A1 | Si | -0.2082 | -0.2050 | -0.1863 | -0.1910 | 21.5 | -18.9 |

Relazione Geotecnica e delle Fondazioni

| | | | | | | | | |
|-----|--------|----|---------|---------|---------|---------|-------|-------|
| 063 | SLV A1 | Si | -0.1023 | -0.1052 | -0.1410 | -0.1339 | -21.5 | 19.0 |
| 064 | SLV A1 | Si | -0.2336 | -0.2261 | -0.2008 | -0.2102 | 8.0 | -37.8 |
| 065 | SLD | Si | -0.1302 | -0.1337 | -0.1499 | -0.1444 | 12.6 | 15.7 |
| 066 | SLD | Si | -0.1479 | -0.1501 | -0.1579 | -0.1547 | 8.5 | 8.5 |
| 067 | SLD | Si | -0.1626 | -0.1600 | -0.1693 | -0.1703 | -8.5 | -8.5 |
| 068 | SLD | Si | -0.1804 | -0.1764 | -0.1774 | -0.1806 | -12.6 | -15.7 |
| 069 | SLD | Si | -0.1301 | -0.1336 | -0.1498 | -0.1443 | 8.6 | 16.0 |
| 070 | SLD | Si | -0.1480 | -0.1502 | -0.1580 | -0.1548 | 12.6 | 8.3 |
| 071 | SLD | Si | -0.1625 | -0.1600 | -0.1693 | -0.1702 | -12.5 | -8.2 |
| 072 | SLD | Si | -0.1805 | -0.1765 | -0.1775 | -0.1806 | -8.5 | -15.9 |
| 073 | SLD | Si | -0.1272 | -0.1308 | -0.1487 | -0.1429 | 12.2 | 17.9 |
| 074 | SLD | Si | -0.1449 | -0.1472 | -0.1567 | -0.1531 | 8.2 | 10.6 |
| 075 | SLD | Si | -0.1656 | -0.1629 | -0.1706 | -0.1719 | -8.1 | -10.6 |
| 076 | SLD | Si | -0.1834 | -0.1793 | -0.1786 | -0.1821 | -12.2 | -17.9 |
| 077 | SLD | Si | -0.1271 | -0.1308 | -0.1486 | -0.1428 | 8.2 | 18.1 |
| 078 | SLD | Si | -0.1450 | -0.1473 | -0.1568 | -0.1532 | 12.2 | 10.4 |
| 079 | SLD | Si | -0.1655 | -0.1628 | -0.1705 | -0.1718 | -12.2 | -10.4 |
| 080 | SLD | Si | -0.1835 | -0.1794 | -0.1787 | -0.1822 | -8.2 | -18.1 |
| 081 | SLD | Si | -0.1208 | -0.1238 | -0.1473 | -0.1415 | 10.0 | 15.7 |
| 082 | SLD | Si | -0.1800 | -0.1784 | -0.1741 | -0.1757 | -3.6 | -8.4 |
| 083 | SLD | Si | -0.1305 | -0.1317 | -0.1531 | -0.1493 | 3.6 | 8.5 |
| 084 | SLD | Si | -0.1897 | -0.1863 | -0.1800 | -0.1835 | -9.9 | -15.7 |
| 085 | SLD | Si | -0.1199 | -0.1230 | -0.1469 | -0.1410 | 9.8 | 16.4 |
| 086 | SLD | Si | -0.1791 | -0.1776 | -0.1738 | -0.1752 | -3.7 | -7.8 |
| 087 | SLD | Si | -0.1314 | -0.1326 | -0.1535 | -0.1497 | 3.7 | 7.8 |
| 088 | SLD | Si | -0.1906 | -0.1872 | -0.1803 | -0.1839 | -9.8 | -16.3 |
| 089 | SLD | Si | -0.1204 | -0.1235 | -0.1471 | -0.1412 | -3.5 | 16.5 |
| 090 | SLD | Si | -0.1804 | -0.1787 | -0.1744 | -0.1760 | 9.8 | -9.2 |
| 091 | SLD | Si | -0.1302 | -0.1314 | -0.1529 | -0.1490 | -9.8 | 9.2 |
| 092 | SLD | Si | -0.1901 | -0.1866 | -0.1802 | -0.1838 | 3.5 | -16.4 |
| 093 | SLD | Si | -0.1195 | -0.1227 | -0.1467 | -0.1407 | -3.6 | 17.1 |
| 094 | SLD | Si | -0.1795 | -0.1779 | -0.1740 | -0.1755 | 9.7 | -8.5 |
| 095 | SLD | Si | -0.1311 | -0.1323 | -0.1533 | -0.1494 | -9.7 | 8.6 |
| 096 | SLD | Si | -0.1910 | -0.1875 | -0.1806 | -0.1842 | 3.6 | -17.1 |
| 097 | SLO | Si | -0.1354 | -0.1382 | -0.1528 | -0.1482 | 10.0 | 12.5 |
| 098 | SLO | Si | -0.1494 | -0.1511 | -0.1591 | -0.1562 | 6.8 | 6.8 |
| 099 | SLO | Si | -0.1612 | -0.1591 | -0.1682 | -0.1687 | -6.7 | -6.7 |
| 100 | SLO | Si | -0.1751 | -0.1719 | -0.1745 | -0.1768 | -10.0 | -12.4 |
| 101 | SLO | Si | -0.1353 | -0.1381 | -0.1527 | -0.1481 | 6.8 | 12.7 |
| 102 | SLO | Si | -0.1495 | -0.1512 | -0.1592 | -0.1564 | 10.0 | 6.6 |
| 103 | SLO | Si | -0.1610 | -0.1589 | -0.1681 | -0.1686 | -9.9 | -6.5 |
| 104 | SLO | Si | -0.1753 | -0.1721 | -0.1746 | -0.1769 | -6.8 | -12.6 |
| 105 | SLO | Si | -0.1330 | -0.1359 | -0.1518 | -0.1469 | 9.7 | 14.2 |
| 106 | SLO | Si | -0.1470 | -0.1488 | -0.1581 | -0.1550 | 6.5 | 8.5 |
| 107 | SLO | Si | -0.1635 | -0.1614 | -0.1692 | -0.1700 | -6.5 | -8.4 |
| 108 | SLO | Si | -0.1775 | -0.1742 | -0.1755 | -0.1780 | -9.7 | -14.2 |
| 109 | SLO | Si | -0.1329 | -0.1358 | -0.1517 | -0.1468 | 6.5 | 14.4 |
| 110 | SLO | Si | -0.1472 | -0.1489 | -0.1582 | -0.1551 | 9.7 | 8.3 |
| 111 | SLO | Si | -0.1634 | -0.1612 | -0.1691 | -0.1698 | -9.7 | -8.2 |
| 112 | SLO | Si | -0.1777 | -0.1744 | -0.1756 | -0.1781 | -6.5 | -14.3 |
| 113 | SLO | Si | -0.1282 | -0.1305 | -0.1508 | -0.1460 | 7.9 | 12.5 |
| 114 | SLO | Si | -0.1746 | -0.1734 | -0.1719 | -0.1728 | -2.8 | -6.7 |
| 115 | SLO | Si | -0.1359 | -0.1368 | -0.1554 | -0.1521 | 2.9 | 6.7 |
| 116 | SLO | Si | -0.1824 | -0.1796 | -0.1765 | -0.1790 | -7.9 | -12.4 |
| 117 | SLO | Si | -0.1275 | -0.1298 | -0.1505 | -0.1456 | 7.8 | 13.0 |
| 118 | SLO | Si | -0.1739 | -0.1727 | -0.1716 | -0.1725 | -2.9 | -6.1 |
| 119 | SLO | Si | -0.1366 | -0.1375 | -0.1557 | -0.1525 | 2.9 | 6.2 |
| 120 | SLO | Si | -0.1831 | -0.1803 | -0.1768 | -0.1794 | -7.8 | -12.9 |
| 121 | SLO | Si | -0.1276 | -0.1300 | -0.1505 | -0.1456 | -2.7 | 13.1 |
| 122 | SLO | Si | -0.1752 | -0.1738 | -0.1722 | -0.1732 | 7.8 | -7.3 |
| 123 | SLO | Si | -0.1353 | -0.1363 | -0.1551 | -0.1517 | -7.8 | 7.3 |
| 124 | SLO | Si | -0.1829 | -0.1801 | -0.1768 | -0.1794 | 2.8 | -13.0 |
| 125 | SLO | Si | -0.1269 | -0.1293 | -0.1502 | -0.1452 | -2.8 | 13.6 |
| 126 | SLO | Si | -0.1745 | -0.1732 | -0.1719 | -0.1728 | 7.7 | -6.8 |
| 127 | SLO | Si | -0.1361 | -0.1370 | -0.1554 | -0.1521 | -7.7 | 6.8 |
| 128 | SLO | Si | -0.1836 | -0.1808 | -0.1771 | -0.1797 | 2.9 | -13.5 |

Elemento: Platea n. 36

| Cmb | Tipo | Sism. | Press. N1 | Press. N2 | Press. N3 | Press. N4 | S. Taglio X | S. Taglio Y |
|-----|---------|-------|---------------------|---------------------|---------------------|---------------------|-------------|-------------|
| n. | | | daN/cm ² | daN/cm ² | daN/cm ² | daN/cm ² | daN | daN |
| 001 | SLU STR | No | -0.1646 | -0.1644 | -0.1683 | -0.1692 | 0.0 | 0.0 |
| 002 | SLU STR | No | -0.2171 | -0.2169 | -0.2208 | -0.2217 | 0.0 | 0.0 |
| 003 | SLU STR | No | -0.2312 | -0.2304 | -0.2461 | -0.2500 | -0.1 | 0.1 |

| | | | |
|--------------------------------------|------------------------------------------------------------------------------------------------------------------------------|----------------------------------------------------------------------------------|-------------|
| COMMITTENTE: Mecca Antonio | CODICE COMMESSA: | NOME ELABORATO: S1.5 - Relazione Geotecnica e delle Fondazioni | CONSULENTE: |
| DATA: Aprile 2023 | TITOLO: Lavori ultimazione di un fabbricato adibito ad albergo-ristorante- C.da Case Nuove Chicone Avigliano (PZ) | | |

| | | | | | | | | |
|-----|----------|----|---------|---------|---------|---------|-------|-------|
| 004 | SLU STR | No | -0.2837 | -0.2829 | -0.2986 | -0.3025 | -0.1 | 0.1 |
| 005 | SLU STR | No | -0.1217 | -0.1216 | -0.1244 | -0.1251 | 0.0 | 0.0 |
| 006 | SLU STR | No | -0.1742 | -0.1741 | -0.1769 | -0.1776 | 0.0 | 0.0 |
| 007 | SLU STR | No | -0.1883 | -0.1876 | -0.2022 | -0.2058 | -0.1 | 0.1 |
| 008 | SLU STR | No | -0.2408 | -0.2401 | -0.2547 | -0.2583 | -0.1 | 0.1 |
| 009 | SLU STR | No | -0.2396 | -0.2394 | -0.2433 | -0.2442 | 0.0 | 0.0 |
| 010 | SLU STR | No | -0.2112 | -0.2106 | -0.2227 | -0.2258 | -0.1 | 0.1 |
| 011 | SLU STR | No | -0.2862 | -0.2856 | -0.2977 | -0.3008 | -0.1 | 0.1 |
| 012 | SLU STR | No | -0.1967 | -0.1966 | -0.1994 | -0.2001 | 0.0 | 0.0 |
| 013 | SLU STR | No | -0.1684 | -0.1678 | -0.1788 | -0.1816 | -0.1 | 0.1 |
| 014 | SLU STR | No | -0.2434 | -0.2428 | -0.2538 | -0.2566 | -0.1 | 0.1 |
| 015 | SLE rare | No | -0.1245 | -0.1244 | -0.1273 | -0.1280 | 0.0 | 0.0 |
| 016 | SLE rare | No | -0.1595 | -0.1594 | -0.1623 | -0.1630 | 0.0 | 0.0 |
| 017 | SLE rare | No | -0.1689 | -0.1683 | -0.1791 | -0.1818 | -0.1 | 0.1 |
| 018 | SLE rare | No | -0.2039 | -0.2033 | -0.2141 | -0.2168 | -0.1 | 0.1 |
| 019 | SLE rare | No | -0.1745 | -0.1744 | -0.1773 | -0.1780 | 0.0 | 0.0 |
| 020 | SLE rare | No | -0.1556 | -0.1551 | -0.1636 | -0.1656 | -0.1 | 0.1 |
| 021 | SLE rare | No | -0.2056 | -0.2051 | -0.2136 | -0.2156 | -0.1 | 0.1 |
| 022 | SLE freq | No | -0.1245 | -0.1244 | -0.1273 | -0.1280 | 0.0 | 0.0 |
| 023 | SLE freq | No | -0.1545 | -0.1544 | -0.1573 | -0.1580 | 0.0 | 0.0 |
| 024 | SLE freq | No | -0.1556 | -0.1551 | -0.1636 | -0.1656 | -0.1 | 0.1 |
| 025 | SLE freq | No | -0.1856 | -0.1851 | -0.1936 | -0.1956 | -0.1 | 0.1 |
| 026 | SLE freq | No | -0.1595 | -0.1594 | -0.1623 | -0.1630 | 0.0 | 0.0 |
| 027 | SLE freq | No | -0.1511 | -0.1508 | -0.1584 | -0.1603 | -0.1 | 0.0 |
| 028 | SLE freq | No | -0.1861 | -0.1858 | -0.1934 | -0.1953 | -0.1 | 0.0 |
| 029 | SLE q.p. | No | -0.1245 | -0.1244 | -0.1273 | -0.1280 | 0.0 | 0.0 |
| 030 | SLE q.p. | No | -0.1545 | -0.1544 | -0.1573 | -0.1580 | 0.0 | 0.0 |
| 031 | SLE q.p. | No | -0.1511 | -0.1508 | -0.1584 | -0.1603 | -0.1 | 0.0 |
| 032 | SLE q.p. | No | -0.1811 | -0.1808 | -0.1884 | -0.1903 | -0.1 | 0.0 |
| 033 | SLV A1 | Si | -0.1800 | -0.1830 | -0.1946 | -0.1971 | 30.4 | 30.3 |
| 034 | SLV A1 | Si | -0.1606 | -0.1643 | -0.1611 | -0.1596 | 43.5 | 13.9 |
| 035 | SLV A1 | Si | -0.2017 | -0.1972 | -0.2157 | -0.2209 | -43.6 | -13.8 |
| 036 | SLV A1 | Si | -0.1822 | -0.1785 | -0.1822 | -0.1835 | -30.5 | -30.2 |
| 037 | SLV A1 | Si | -0.1800 | -0.1830 | -0.1946 | -0.1971 | 43.2 | 30.7 |
| 038 | SLV A1 | Si | -0.1606 | -0.1643 | -0.1610 | -0.1596 | 30.7 | 13.4 |
| 039 | SLV A1 | Si | -0.2016 | -0.1972 | -0.2157 | -0.2209 | -30.8 | -13.3 |
| 040 | SLV A1 | Si | -0.1822 | -0.1785 | -0.1821 | -0.1834 | -43.3 | -30.7 |
| 041 | SLV A1 | Si | -0.1795 | -0.1809 | -0.1883 | -0.1911 | 32.1 | 34.6 |
| 042 | SLV A1 | Si | -0.1601 | -0.1623 | -0.1547 | -0.1537 | 45.2 | 18.2 |
| 043 | SLV A1 | Si | -0.2022 | -0.1992 | -0.2220 | -0.2268 | -45.3 | -18.1 |
| 044 | SLV A1 | Si | -0.1827 | -0.1806 | -0.1885 | -0.1894 | -32.2 | -34.5 |
| 045 | SLV A1 | Si | -0.1795 | -0.1810 | -0.1883 | -0.1911 | 44.9 | 35.0 |
| 046 | SLV A1 | Si | -0.1601 | -0.1623 | -0.1547 | -0.1537 | 32.4 | 17.7 |
| 047 | SLV A1 | Si | -0.2021 | -0.1992 | -0.2221 | -0.2269 | -32.5 | -17.6 |
| 048 | SLV A1 | Si | -0.1827 | -0.1805 | -0.1884 | -0.1894 | -45.0 | -34.9 |
| 049 | SLV A1 | Si | -0.2103 | -0.2097 | -0.2411 | -0.2491 | -10.8 | 33.9 |
| 050 | SLV A1 | Si | -0.1454 | -0.1476 | -0.1293 | -0.1243 | 32.9 | -20.6 |
| 051 | SLV A1 | Si | -0.2168 | -0.2139 | -0.2474 | -0.2562 | -33.0 | 20.7 |
| 052 | SLV A1 | Si | -0.1519 | -0.1518 | -0.1357 | -0.1314 | 10.7 | -33.8 |
| 053 | SLV A1 | Si | -0.2102 | -0.2091 | -0.2392 | -0.2473 | -10.3 | 35.2 |
| 054 | SLV A1 | Si | -0.1453 | -0.1470 | -0.1274 | -0.1225 | 33.4 | -19.3 |
| 055 | SLV A1 | Si | -0.2170 | -0.2145 | -0.2493 | -0.2580 | -33.5 | 19.4 |
| 056 | SLV A1 | Si | -0.1521 | -0.1524 | -0.1376 | -0.1332 | 10.1 | -35.1 |
| 057 | SLV A1 | Si | -0.2102 | -0.2097 | -0.2413 | -0.2492 | 31.9 | 35.5 |
| 058 | SLV A1 | Si | -0.1455 | -0.1475 | -0.1292 | -0.1242 | -9.8 | -22.2 |
| 059 | SLV A1 | Si | -0.2167 | -0.2140 | -0.2476 | -0.2563 | 9.7 | 22.3 |
| 060 | SLV A1 | Si | -0.1520 | -0.1518 | -0.1355 | -0.1314 | -32.0 | -35.4 |
| 061 | SLV A1 | Si | -0.2101 | -0.2091 | -0.2394 | -0.2474 | 32.4 | 36.8 |
| 062 | SLV A1 | Si | -0.1454 | -0.1469 | -0.1273 | -0.1224 | -9.3 | -20.9 |
| 063 | SLV A1 | Si | -0.2169 | -0.2146 | -0.2495 | -0.2581 | 9.2 | 21.0 |
| 064 | SLV A1 | Si | -0.1522 | -0.1524 | -0.1374 | -0.1331 | -32.5 | -36.7 |
| 065 | SLD | Si | -0.1807 | -0.1818 | -0.1912 | -0.1934 | 13.7 | 13.7 |
| 066 | SLD | Si | -0.1718 | -0.1733 | -0.1759 | -0.1763 | 19.7 | 6.3 |
| 067 | SLD | Si | -0.1905 | -0.1882 | -0.2008 | -0.2042 | -19.8 | -6.2 |
| 068 | SLD | Si | -0.1816 | -0.1797 | -0.1855 | -0.1871 | -13.8 | -13.6 |
| 069 | SLD | Si | -0.1806 | -0.1818 | -0.1913 | -0.1934 | 19.5 | 13.9 |
| 070 | SLD | Si | -0.1718 | -0.1733 | -0.1759 | -0.1763 | 13.8 | 6.1 |
| 071 | SLD | Si | -0.1904 | -0.1882 | -0.2008 | -0.2042 | -14.0 | -6.0 |
| 072 | SLD | Si | -0.1816 | -0.1797 | -0.1855 | -0.1871 | -19.7 | -13.8 |
| 073 | SLD | Si | -0.1804 | -0.1809 | -0.1883 | -0.1907 | 14.5 | 15.7 |
| 074 | SLD | Si | -0.1715 | -0.1724 | -0.1730 | -0.1736 | 20.5 | 8.3 |
| 075 | SLD | Si | -0.1907 | -0.1892 | -0.2037 | -0.2069 | -20.6 | -8.2 |

Relazione Geotecnica e delle Fondazioni

| | | | | | | | | |
|-----|-----|----|---------|---------|---------|---------|-------|-------|
| 076 | SLD | Si | -0.1818 | -0.1806 | -0.1884 | -0.1898 | -14.6 | -15.6 |
| 077 | SLD | Si | -0.1804 | -0.1809 | -0.1884 | -0.1907 | 20.3 | 15.9 |
| 078 | SLD | Si | -0.1715 | -0.1723 | -0.1730 | -0.1736 | 14.6 | 8.1 |
| 079 | SLD | Si | -0.1907 | -0.1892 | -0.2037 | -0.2069 | -14.8 | -8.0 |
| 080 | SLD | Si | -0.1818 | -0.1806 | -0.1884 | -0.1898 | -20.5 | -15.8 |
| 081 | SLD | Si | -0.1944 | -0.1940 | -0.2124 | -0.2171 | -5.0 | 15.4 |
| 082 | SLD | Si | -0.1648 | -0.1656 | -0.1614 | -0.1601 | 14.9 | -9.3 |
| 083 | SLD | Si | -0.1974 | -0.1959 | -0.2153 | -0.2204 | -15.0 | 9.4 |
| 084 | SLD | Si | -0.1678 | -0.1675 | -0.1643 | -0.1634 | 4.8 | -15.3 |
| 085 | SLD | Si | -0.1944 | -0.1937 | -0.2116 | -0.2163 | -4.7 | 16.0 |
| 086 | SLD | Si | -0.1648 | -0.1653 | -0.1606 | -0.1593 | 15.1 | -8.7 |
| 087 | SLD | Si | -0.1975 | -0.1962 | -0.2162 | -0.2212 | -15.3 | 8.8 |
| 088 | SLD | Si | -0.1679 | -0.1678 | -0.1652 | -0.1642 | 4.6 | -15.9 |
| 089 | SLD | Si | -0.1944 | -0.1940 | -0.2125 | -0.2171 | 14.4 | 16.1 |
| 090 | SLD | Si | -0.1649 | -0.1656 | -0.1614 | -0.1601 | -4.5 | -10.0 |
| 091 | SLD | Si | -0.1973 | -0.1959 | -0.2154 | -0.2204 | 4.4 | 10.1 |
| 092 | SLD | Si | -0.1678 | -0.1675 | -0.1642 | -0.1634 | -14.6 | -16.0 |
| 093 | SLD | Si | -0.1943 | -0.1937 | -0.2116 | -0.2163 | 14.7 | 16.7 |
| 094 | SLD | Si | -0.1648 | -0.1653 | -0.1605 | -0.1593 | -4.3 | -9.5 |
| 095 | SLD | Si | -0.1974 | -0.1962 | -0.2163 | -0.2212 | 4.2 | 9.5 |
| 096 | SLD | Si | -0.1679 | -0.1678 | -0.1651 | -0.1642 | -14.8 | -16.6 |
| 097 | SLO | Si | -0.1807 | -0.1815 | -0.1906 | -0.1927 | 10.9 | 10.9 |
| 098 | SLO | Si | -0.1737 | -0.1749 | -0.1786 | -0.1793 | 15.6 | 5.0 |
| 099 | SLO | Si | -0.1885 | -0.1866 | -0.1982 | -0.2013 | -15.7 | -4.9 |
| 100 | SLO | Si | -0.1815 | -0.1800 | -0.1862 | -0.1878 | -11.0 | -10.8 |
| 101 | SLO | Si | -0.1807 | -0.1816 | -0.1907 | -0.1928 | 15.5 | 11.1 |
| 102 | SLO | Si | -0.1737 | -0.1748 | -0.1785 | -0.1792 | 11.0 | 4.8 |
| 103 | SLO | Si | -0.1885 | -0.1867 | -0.1983 | -0.2013 | -11.1 | -4.8 |
| 104 | SLO | Si | -0.1815 | -0.1799 | -0.1861 | -0.1878 | -15.6 | -11.0 |
| 105 | SLO | Si | -0.1805 | -0.1808 | -0.1883 | -0.1905 | 11.5 | 12.4 |
| 106 | SLO | Si | -0.1736 | -0.1741 | -0.1763 | -0.1771 | 16.2 | 6.6 |
| 107 | SLO | Si | -0.1887 | -0.1874 | -0.2004 | -0.2034 | -16.3 | -6.5 |
| 108 | SLO | Si | -0.1817 | -0.1807 | -0.1884 | -0.1900 | -11.6 | -12.3 |
| 109 | SLO | Si | -0.1806 | -0.1809 | -0.1884 | -0.1906 | 16.1 | 12.6 |
| 110 | SLO | Si | -0.1735 | -0.1741 | -0.1762 | -0.1771 | 11.6 | 6.4 |
| 111 | SLO | Si | -0.1887 | -0.1874 | -0.2005 | -0.2035 | -11.7 | -6.3 |
| 112 | SLO | Si | -0.1817 | -0.1806 | -0.1884 | -0.1899 | -16.2 | -12.5 |
| 113 | SLO | Si | -0.1916 | -0.1911 | -0.2072 | -0.2113 | -3.9 | 12.2 |
| 114 | SLO | Si | -0.1683 | -0.1689 | -0.1672 | -0.1666 | 11.8 | -7.3 |
| 115 | SLO | Si | -0.1939 | -0.1926 | -0.2095 | -0.2139 | -11.9 | 7.4 |
| 116 | SLO | Si | -0.1707 | -0.1704 | -0.1695 | -0.1692 | 3.8 | -12.1 |
| 117 | SLO | Si | -0.1915 | -0.1909 | -0.2066 | -0.2107 | -3.7 | 12.6 |
| 118 | SLO | Si | -0.1683 | -0.1686 | -0.1665 | -0.1660 | 11.9 | -6.9 |
| 119 | SLO | Si | -0.1940 | -0.1929 | -0.2102 | -0.2145 | -12.1 | 6.9 |
| 120 | SLO | Si | -0.1707 | -0.1706 | -0.1702 | -0.1698 | 3.6 | -12.5 |
| 121 | SLO | Si | -0.1917 | -0.1912 | -0.2075 | -0.2116 | 11.5 | 12.8 |
| 122 | SLO | Si | -0.1682 | -0.1687 | -0.1669 | -0.1663 | -3.6 | -8.0 |
| 123 | SLO | Si | -0.1940 | -0.1928 | -0.2098 | -0.2142 | 3.5 | 8.1 |
| 124 | SLO | Si | -0.1706 | -0.1703 | -0.1692 | -0.1689 | -11.6 | -12.7 |
| 125 | SLO | Si | -0.1916 | -0.1910 | -0.2069 | -0.2110 | 11.6 | 13.3 |
| 126 | SLO | Si | -0.1682 | -0.1685 | -0.1662 | -0.1657 | -3.4 | -7.5 |
| 127 | SLO | Si | -0.1941 | -0.1930 | -0.2105 | -0.2148 | 3.3 | 7.6 |
| 128 | SLO | Si | -0.1706 | -0.1705 | -0.1699 | -0.1696 | -11.8 | -13.2 |

Elemento: Platea n. 37

| Cmb | Tipo | Sism. | Press. N1 | Press. N2 | Press. N3 | Press. N4 | S. Taglio X | S. Taglio Y |
|-----|----------|-------|---------------------|---------------------|---------------------|---------------------|-------------|-------------|
| n. | | | daN/cm ² | daN/cm ² | daN/cm ² | daN/cm ² | daN | daN |
| 001 | SLU STR | No | -0.1706 | -0.1736 | -0.1777 | -0.1767 | 0.0 | 0.0 |
| 002 | SLU STR | No | -0.2231 | -0.2261 | -0.2302 | -0.2292 | 0.0 | 0.0 |
| 003 | SLU STR | No | -0.2471 | -0.2566 | -0.2726 | -0.2713 | 0.1 | 0.0 |
| 004 | SLU STR | No | -0.2996 | -0.3091 | -0.3251 | -0.3238 | 0.1 | 0.0 |
| 005 | SLU STR | No | -0.1262 | -0.1284 | -0.1313 | -0.1306 | 0.0 | 0.0 |
| 006 | SLU STR | No | -0.1787 | -0.1809 | -0.1838 | -0.1831 | 0.0 | 0.0 |
| 007 | SLU STR | No | -0.2027 | -0.2114 | -0.2262 | -0.2251 | 0.1 | 0.0 |
| 008 | SLU STR | No | -0.2552 | -0.2639 | -0.2787 | -0.2776 | 0.1 | 0.0 |
| 009 | SLU STR | No | -0.2456 | -0.2486 | -0.2527 | -0.2517 | 0.0 | 0.0 |
| 010 | SLU STR | No | -0.2242 | -0.2317 | -0.2441 | -0.2429 | 0.1 | 0.0 |
| 011 | SLU STR | No | -0.2992 | -0.3067 | -0.3191 | -0.3179 | 0.1 | 0.0 |
| 012 | SLU STR | No | -0.2012 | -0.2034 | -0.2063 | -0.2056 | 0.0 | 0.0 |
| 013 | SLU STR | No | -0.1797 | -0.1865 | -0.1977 | -0.1968 | 0.1 | 0.0 |
| 014 | SLU STR | No | -0.2547 | -0.2615 | -0.2727 | -0.2718 | 0.1 | 0.0 |
| 015 | SLE rare | No | -0.1291 | -0.1313 | -0.1343 | -0.1336 | 0.0 | 0.0 |
| 016 | SLE rare | No | -0.1641 | -0.1663 | -0.1693 | -0.1686 | 0.0 | 0.0 |

| | | | | | | | | |
|--------------------------------------|----------|------------------------------------------------------------------------------------------------------------------------------|----------------------------------------------------------------------------------|---------|---------|-------------|-------|-------|
| COMMITTENTE: Mecca Antonio | | CODICE COMMESSA: | NOME ELABORATO: S1.5 - Relazione Geotecnica e delle Fondazioni | | | CONSULENTE: | | |
| DATA: Aprile 2023 | | TITOLO: Lavori ultimazione di un fabbricato adibito ad albergo-ristorante– C.da Case Nuove Chicone Avigliano (PZ) | | | | | | |
| 017 | SLE rare | No | -0.1800 | -0.1866 | -0.1976 | -0.1967 | 0.1 | 0.0 |
| 018 | SLE rare | No | -0.2150 | -0.2216 | -0.2326 | -0.2317 | 0.1 | 0.0 |
| 019 | SLE rare | No | -0.1791 | -0.1813 | -0.1843 | -0.1836 | 0.0 | 0.0 |
| 020 | SLE rare | No | -0.1647 | -0.1700 | -0.1786 | -0.1777 | 0.1 | 0.0 |
| 021 | SLE rare | No | -0.2147 | -0.2200 | -0.2286 | -0.2277 | 0.1 | 0.0 |
| 022 | SLE freq | No | -0.1291 | -0.1313 | -0.1343 | -0.1336 | 0.0 | 0.0 |
| 023 | SLE freq | No | -0.1591 | -0.1613 | -0.1643 | -0.1636 | 0.0 | 0.0 |
| 024 | SLE freq | No | -0.1647 | -0.1700 | -0.1786 | -0.1777 | 0.1 | 0.0 |
| 025 | SLE freq | No | -0.1947 | -0.2000 | -0.2086 | -0.2077 | 0.1 | 0.0 |
| 026 | SLE freq | No | -0.1641 | -0.1663 | -0.1693 | -0.1686 | 0.0 | 0.0 |
| 027 | SLE freq | No | -0.1596 | -0.1645 | -0.1723 | -0.1714 | 0.1 | 0.0 |
| 028 | SLE freq | No | -0.1946 | -0.1995 | -0.2073 | -0.2064 | 0.1 | 0.0 |
| 029 | SLE q.p. | No | -0.1291 | -0.1313 | -0.1343 | -0.1336 | 0.0 | 0.0 |
| 030 | SLE q.p. | No | -0.1591 | -0.1613 | -0.1643 | -0.1636 | 0.0 | 0.0 |
| 031 | SLE q.p. | No | -0.1596 | -0.1645 | -0.1723 | -0.1714 | 0.1 | 0.0 |
| 032 | SLE q.p. | No | -0.1896 | -0.1945 | -0.2023 | -0.2014 | 0.1 | 0.0 |
| 033 | SLV A1 | Si | -0.2242 | -0.2376 | -0.2565 | -0.2527 | 20.4 | 3.5 |
| 034 | SLV A1 | Si | -0.2027 | -0.2094 | -0.2156 | -0.2121 | 29.7 | -18.7 |
| 035 | SLV A1 | Si | -0.1766 | -0.1796 | -0.1890 | -0.1908 | -29.6 | 18.7 |
| 036 | SLV A1 | Si | -0.1551 | -0.1514 | -0.1481 | -0.1502 | -20.3 | -3.5 |
| 037 | SLV A1 | Si | -0.2244 | -0.2379 | -0.2569 | -0.2530 | 29.5 | 2.9 |
| 038 | SLV A1 | Si | -0.2024 | -0.2091 | -0.2153 | -0.2118 | 20.7 | -18.1 |
| 039 | SLV A1 | Si | -0.1769 | -0.1799 | -0.1893 | -0.1911 | -20.6 | 18.1 |
| 040 | SLV A1 | Si | -0.1549 | -0.1511 | -0.1477 | -0.1499 | -29.4 | -2.9 |
| 041 | SLV A1 | Si | -0.2278 | -0.2425 | -0.2639 | -0.2601 | 21.7 | 0.3 |
| 042 | SLV A1 | Si | -0.2063 | -0.2142 | -0.2229 | -0.2196 | 31.0 | -21.9 |
| 043 | SLV A1 | Si | -0.1730 | -0.1748 | -0.1817 | -0.1833 | -30.9 | 21.8 |
| 044 | SLV A1 | Si | -0.1515 | -0.1466 | -0.1407 | -0.1428 | -21.6 | -0.3 |
| 045 | SLV A1 | Si | -0.2280 | -0.2427 | -0.2642 | -0.2604 | 30.8 | -0.2 |
| 046 | SLV A1 | Si | -0.2060 | -0.2139 | -0.2226 | -0.2192 | 22.0 | -21.3 |
| 047 | SLV A1 | Si | -0.1733 | -0.1751 | -0.1820 | -0.1836 | -21.9 | 21.3 |
| 048 | SLV A1 | Si | -0.1513 | -0.1463 | -0.1404 | -0.1424 | -30.7 | 0.2 |
| 049 | SLV A1 | Si | -0.2326 | -0.2503 | -0.2807 | -0.2783 | -7.9 | 34.7 |
| 050 | SLV A1 | Si | -0.1610 | -0.1561 | -0.1442 | -0.1431 | 23.1 | -39.3 |
| 051 | SLV A1 | Si | -0.2183 | -0.2329 | -0.2604 | -0.2597 | -22.9 | 39.3 |
| 052 | SLV A1 | Si | -0.1467 | -0.1387 | -0.1239 | -0.1246 | 8.1 | -34.7 |
| 053 | SLV A1 | Si | -0.2337 | -0.2518 | -0.2829 | -0.2805 | -7.5 | 33.7 |
| 054 | SLV A1 | Si | -0.1621 | -0.1576 | -0.1464 | -0.1454 | 23.5 | -40.2 |
| 055 | SLV A1 | Si | -0.2172 | -0.2315 | -0.2582 | -0.2575 | -23.3 | 40.2 |
| 056 | SLV A1 | Si | -0.1456 | -0.1373 | -0.1217 | -0.1223 | 7.7 | -33.8 |
| 057 | SLV A1 | Si | -0.2334 | -0.2513 | -0.2818 | -0.2794 | 22.2 | 32.8 |
| 058 | SLV A1 | Si | -0.1602 | -0.1552 | -0.1431 | -0.1421 | -7.1 | -37.4 |
| 059 | SLV A1 | Si | -0.2191 | -0.2339 | -0.2615 | -0.2608 | 7.2 | 37.4 |
| 060 | SLV A1 | Si | -0.1459 | -0.1378 | -0.1228 | -0.1235 | -22.1 | -32.8 |
| 061 | SLV A1 | Si | -0.2344 | -0.2527 | -0.2840 | -0.2816 | 22.6 | 31.9 |
| 062 | SLV A1 | Si | -0.1613 | -0.1566 | -0.1453 | -0.1443 | -6.7 | -38.3 |
| 063 | SLV A1 | Si | -0.2180 | -0.2324 | -0.2593 | -0.2586 | 6.8 | 38.3 |
| 064 | SLV A1 | Si | -0.1449 | -0.1363 | -0.1206 | -0.1213 | -22.5 | -31.9 |
| 065 | SLD | Si | -0.2053 | -0.2141 | -0.2269 | -0.2247 | 9.3 | 1.6 |
| 066 | SLD | Si | -0.1955 | -0.2012 | -0.2083 | -0.2062 | 13.5 | -8.5 |
| 067 | SLD | Si | -0.1838 | -0.1878 | -0.1963 | -0.1967 | -13.4 | 8.5 |
| 068 | SLD | Si | -0.1740 | -0.1749 | -0.1777 | -0.1782 | -9.2 | -1.6 |
| 069 | SLD | Si | -0.2054 | -0.2142 | -0.2271 | -0.2249 | 13.4 | 1.3 |
| 070 | SLD | Si | -0.1954 | -0.2011 | -0.2081 | -0.2061 | 9.4 | -8.3 |
| 071 | SLD | Si | -0.1839 | -0.1880 | -0.1965 | -0.1968 | -9.3 | 8.3 |
| 072 | SLD | Si | -0.1739 | -0.1748 | -0.1775 | -0.1780 | -13.3 | -1.4 |
| 073 | SLD | Si | -0.2070 | -0.2163 | -0.2303 | -0.2281 | 9.9 | 0.2 |
| 074 | SLD | Si | -0.1972 | -0.2034 | -0.2116 | -0.2096 | 14.1 | -10.0 |
| 075 | SLD | Si | -0.1821 | -0.1856 | -0.1930 | -0.1933 | -14.0 | 10.0 |
| 076 | SLD | Si | -0.1723 | -0.1727 | -0.1743 | -0.1748 | -9.8 | -0.2 |
| 077 | SLD | Si | -0.2071 | -0.2164 | -0.2304 | -0.2283 | 14.0 | -0.1 |
| 078 | SLD | Si | -0.1971 | -0.2033 | -0.2115 | -0.2095 | 10.0 | -9.7 |
| 079 | SLD | Si | -0.1822 | -0.1857 | -0.1931 | -0.1934 | -9.9 | 9.7 |
| 080 | SLD | Si | -0.1722 | -0.1726 | -0.1742 | -0.1746 | -13.9 | 0.1 |
| 081 | SLD | Si | -0.2092 | -0.2199 | -0.2380 | -0.2365 | -3.6 | 15.8 |
| 082 | SLD | Si | -0.1765 | -0.1770 | -0.1757 | -0.1748 | 10.5 | -17.9 |
| 083 | SLD | Si | -0.2028 | -0.2121 | -0.2288 | -0.2281 | -10.4 | 17.9 |
| 084 | SLD | Si | -0.1701 | -0.1691 | -0.1666 | -0.1664 | 3.7 | -15.9 |
| 085 | SLD | Si | -0.2097 | -0.2206 | -0.2390 | -0.2375 | -3.4 | 15.4 |
| 086 | SLD | Si | -0.1770 | -0.1776 | -0.1767 | -0.1758 | 10.7 | -18.4 |
| 087 | SLD | Si | -0.2023 | -0.2114 | -0.2278 | -0.2271 | -10.6 | 18.4 |
| 088 | SLD | Si | -0.1696 | -0.1684 | -0.1656 | -0.1654 | 3.5 | -15.4 |

Relazione Geotecnica e delle Fondazioni

| | | | | | | | | |
|-----|-----|----|---------|---------|---------|---------|-------|-------|
| 089 | SLD | Si | -0.2096 | -0.2204 | -0.2385 | -0.2370 | 10.1 | 15.0 |
| 090 | SLD | Si | -0.1762 | -0.1765 | -0.1753 | -0.1743 | -3.2 | -17.1 |
| 091 | SLD | Si | -0.2031 | -0.2125 | -0.2293 | -0.2285 | 3.3 | 17.0 |
| 092 | SLD | Si | -0.1697 | -0.1687 | -0.1661 | -0.1659 | -10.0 | -15.0 |
| 093 | SLD | Si | -0.2101 | -0.2210 | -0.2395 | -0.2380 | 10.3 | 14.5 |
| 094 | SLD | Si | -0.1767 | -0.1772 | -0.1763 | -0.1754 | -3.0 | -17.5 |
| 095 | SLD | Si | -0.2026 | -0.2118 | -0.2283 | -0.2275 | 3.2 | 17.5 |
| 096 | SLD | Si | -0.1692 | -0.1680 | -0.1651 | -0.1649 | -10.2 | -14.6 |
| 097 | SLO | Si | -0.2020 | -0.2100 | -0.2218 | -0.2198 | 7.4 | 1.2 |
| 098 | SLO | Si | -0.1943 | -0.1999 | -0.2071 | -0.2053 | 10.7 | -6.7 |
| 099 | SLO | Si | -0.1850 | -0.1892 | -0.1975 | -0.1976 | -10.6 | 6.7 |
| 100 | SLO | Si | -0.1773 | -0.1790 | -0.1828 | -0.1830 | -7.3 | -1.2 |
| 101 | SLO | Si | -0.2022 | -0.2102 | -0.2220 | -0.2200 | 10.6 | 1.1 |
| 102 | SLO | Si | -0.1942 | -0.1997 | -0.2069 | -0.2051 | 7.5 | -6.6 |
| 103 | SLO | Si | -0.1851 | -0.1893 | -0.1977 | -0.1978 | -7.3 | 6.5 |
| 104 | SLO | Si | -0.1771 | -0.1789 | -0.1826 | -0.1828 | -10.5 | -1.1 |
| 105 | SLO | Si | -0.2033 | -0.2117 | -0.2244 | -0.2225 | 7.9 | 0.1 |
| 106 | SLO | Si | -0.1956 | -0.2016 | -0.2098 | -0.2080 | 11.2 | -7.8 |
| 107 | SLO | Si | -0.1837 | -0.1874 | -0.1948 | -0.1949 | -11.1 | 7.8 |
| 108 | SLO | Si | -0.1760 | -0.1773 | -0.1802 | -0.1804 | -7.7 | -0.1 |
| 109 | SLO | Si | -0.2035 | -0.2119 | -0.2246 | -0.2227 | 11.1 | -0.1 |
| 110 | SLO | Si | -0.1955 | -0.2015 | -0.2096 | -0.2078 | 7.9 | -7.7 |
| 111 | SLO | Si | -0.1838 | -0.1876 | -0.1950 | -0.1951 | -7.8 | 7.7 |
| 112 | SLO | Si | -0.1758 | -0.1771 | -0.1800 | -0.1802 | -11.0 | 0.0 |
| 113 | SLO | Si | -0.2050 | -0.2145 | -0.2304 | -0.2290 | -2.8 | 12.4 |
| 114 | SLO | Si | -0.1794 | -0.1808 | -0.1815 | -0.1806 | 8.3 | -14.1 |
| 115 | SLO | Si | -0.1999 | -0.2083 | -0.2231 | -0.2223 | -8.2 | 14.1 |
| 116 | SLO | Si | -0.1743 | -0.1745 | -0.1742 | -0.1739 | 2.9 | -12.4 |
| 117 | SLO | Si | -0.2054 | -0.2150 | -0.2312 | -0.2298 | -2.7 | 12.1 |
| 118 | SLO | Si | -0.1798 | -0.1813 | -0.1823 | -0.1814 | 8.5 | -14.4 |
| 119 | SLO | Si | -0.1995 | -0.2077 | -0.2223 | -0.2215 | -8.3 | 14.4 |
| 120 | SLO | Si | -0.1739 | -0.1740 | -0.1734 | -0.1731 | 2.8 | -12.1 |
| 121 | SLO | Si | -0.2055 | -0.2150 | -0.2311 | -0.2296 | 8.1 | 11.9 |
| 122 | SLO | Si | -0.1790 | -0.1802 | -0.1808 | -0.1799 | -2.5 | -13.6 |
| 123 | SLO | Si | -0.2003 | -0.2088 | -0.2238 | -0.2230 | 2.7 | 13.5 |
| 124 | SLO | Si | -0.1738 | -0.1740 | -0.1735 | -0.1732 | -7.9 | -11.9 |
| 125 | SLO | Si | -0.2059 | -0.2156 | -0.2318 | -0.2304 | 8.2 | 11.6 |
| 126 | SLO | Si | -0.1794 | -0.1808 | -0.1816 | -0.1807 | -2.4 | -13.9 |
| 127 | SLO | Si | -0.1999 | -0.2083 | -0.2230 | -0.2222 | 2.5 | 13.9 |
| 128 | SLO | Si | -0.1734 | -0.1735 | -0.1727 | -0.1724 | -8.1 | -11.6 |

Elemento: Platea n. 38

| Cmb | Tipo | Sism. | Press. N1 | Press. N2 | Press. N3 | Press. N4 | S. Taglio X | S. Taglio Y |
|-----|----------|-------|---------------------|---------------------|---------------------|---------------------|-------------|-------------|
| n. | | | daN/cm ² | daN/cm ² | daN/cm ² | daN/cm ² | daN | daN |
| 001 | SLU STR | No | -0.1516 | -0.1508 | -0.1530 | -0.1545 | 0.0 | 0.0 |
| 002 | SLU STR | No | -0.2041 | -0.2033 | -0.2055 | -0.2070 | 0.0 | 0.0 |
| 003 | SLU STR | No | -0.1772 | -0.1751 | -0.1835 | -0.1891 | 0.0 | -0.1 |
| 004 | SLU STR | No | -0.2297 | -0.2276 | -0.2360 | -0.2416 | 0.0 | -0.1 |
| 005 | SLU STR | No | -0.1125 | -0.1120 | -0.1136 | -0.1147 | 0.0 | 0.0 |
| 006 | SLU STR | No | -0.1650 | -0.1645 | -0.1661 | -0.1672 | 0.0 | 0.0 |
| 007 | SLU STR | No | -0.1382 | -0.1363 | -0.1440 | -0.1492 | 0.0 | -0.1 |
| 008 | SLU STR | No | -0.1907 | -0.1888 | -0.1965 | -0.2017 | 0.0 | -0.1 |
| 009 | SLU STR | No | -0.2266 | -0.2258 | -0.2280 | -0.2295 | 0.0 | 0.0 |
| 010 | SLU STR | No | -0.1695 | -0.1678 | -0.1744 | -0.1787 | 0.0 | -0.1 |
| 011 | SLU STR | No | -0.2445 | -0.2428 | -0.2494 | -0.2537 | 0.0 | -0.1 |
| 012 | SLU STR | No | -0.1875 | -0.1870 | -0.1886 | -0.1897 | 0.0 | 0.0 |
| 013 | SLU STR | No | -0.1305 | -0.1290 | -0.1349 | -0.1389 | 0.0 | -0.1 |
| 014 | SLU STR | No | -0.2055 | -0.2040 | -0.2099 | -0.2139 | 0.0 | -0.1 |
| 015 | SLE rare | No | -0.1148 | -0.1143 | -0.1159 | -0.1170 | 0.0 | 0.0 |
| 016 | SLE rare | No | -0.1498 | -0.1493 | -0.1509 | -0.1520 | 0.0 | 0.0 |
| 017 | SLE rare | No | -0.1319 | -0.1304 | -0.1362 | -0.1401 | 0.0 | -0.1 |
| 018 | SLE rare | No | -0.1669 | -0.1654 | -0.1712 | -0.1751 | 0.0 | -0.1 |
| 019 | SLE rare | No | -0.1648 | -0.1643 | -0.1659 | -0.1670 | 0.0 | 0.0 |
| 020 | SLE rare | No | -0.1268 | -0.1256 | -0.1301 | -0.1332 | 0.0 | -0.1 |
| 021 | SLE rare | No | -0.1768 | -0.1756 | -0.1801 | -0.1832 | 0.0 | -0.1 |
| 022 | SLE freq | No | -0.1148 | -0.1143 | -0.1159 | -0.1170 | 0.0 | 0.0 |
| 023 | SLE freq | No | -0.1448 | -0.1443 | -0.1459 | -0.1470 | 0.0 | 0.0 |
| 024 | SLE freq | No | -0.1268 | -0.1256 | -0.1301 | -0.1332 | 0.0 | -0.1 |
| 025 | SLE freq | No | -0.1568 | -0.1556 | -0.1601 | -0.1632 | 0.0 | -0.1 |
| 026 | SLE freq | No | -0.1498 | -0.1493 | -0.1509 | -0.1520 | 0.0 | 0.0 |
| 027 | SLE freq | No | -0.1251 | -0.1240 | -0.1281 | -0.1309 | 0.0 | -0.1 |
| 028 | SLE freq | No | -0.1601 | -0.1590 | -0.1631 | -0.1659 | 0.0 | -0.1 |
| 029 | SLE q.p. | No | -0.1148 | -0.1143 | -0.1159 | -0.1170 | 0.0 | 0.0 |

| | | | |
|--------------------------------------|------------------------------------------------------------------------------------------------------------------------------|----------------------------------------------------------------------------------|-------------|
| COMMITTENTE: Mecca Antonio | CODICE COMMESSA: | NOME ELABORATO: S1.5 - Relazione Geotecnica e delle Fondazioni | CONSULENTE: |
| DATA: Aprile 2023 | TITOLO: Lavori ultimazione di un fabbricato adibito ad albergo-ristorante- C.da Case Nuove Chicone Avigliano (PZ) | | |

| | | | | | | | | |
|-----|----------|----|---------|---------|---------|---------|-------|-------|
| 030 | SLE q.p. | No | -0.1448 | -0.1443 | -0.1459 | -0.1470 | 0.0 | 0.0 |
| 031 | SLE q.p. | No | -0.1251 | -0.1240 | -0.1281 | -0.1309 | 0.0 | -0.1 |
| 032 | SLE q.p. | No | -0.1551 | -0.1540 | -0.1581 | -0.1609 | 0.0 | -0.1 |
| 033 | SLV A1 | Si | -0.0742 | -0.0782 | -0.0888 | -0.0935 | 13.2 | 26.0 |
| 034 | SLV A1 | Si | -0.1214 | -0.1261 | -0.1276 | -0.1269 | 7.5 | 15.4 |
| 035 | SLV A1 | Si | -0.1887 | -0.1818 | -0.1886 | -0.1949 | -7.5 | -15.5 |
| 036 | SLV A1 | Si | -0.2359 | -0.2298 | -0.2274 | -0.2283 | -13.1 | -26.1 |
| 037 | SLV A1 | Si | -0.0737 | -0.0778 | -0.0884 | -0.0930 | 7.7 | 25.9 |
| 038 | SLV A1 | Si | -0.1219 | -0.1265 | -0.1280 | -0.1273 | 13.0 | 15.5 |
| 039 | SLV A1 | Si | -0.1882 | -0.1814 | -0.1882 | -0.1944 | -13.0 | -15.6 |
| 040 | SLV A1 | Si | -0.2364 | -0.2302 | -0.2278 | -0.2287 | -7.6 | -26.0 |
| 041 | SLV A1 | Si | -0.0665 | -0.0702 | -0.0826 | -0.0884 | 12.6 | 29.2 |
| 042 | SLV A1 | Si | -0.1138 | -0.1182 | -0.1215 | -0.1218 | 6.9 | 18.7 |
| 043 | SLV A1 | Si | -0.1964 | -0.1898 | -0.1947 | -0.1999 | -6.9 | -18.8 |
| 044 | SLV A1 | Si | -0.2436 | -0.2377 | -0.2336 | -0.2333 | -12.5 | -29.3 |
| 045 | SLV A1 | Si | -0.0661 | -0.0698 | -0.0822 | -0.0880 | 7.1 | 29.1 |
| 046 | SLV A1 | Si | -0.1142 | -0.1186 | -0.1219 | -0.1223 | 12.4 | 18.7 |
| 047 | SLV A1 | Si | -0.1959 | -0.1894 | -0.1943 | -0.1995 | -12.4 | -18.8 |
| 048 | SLV A1 | Si | -0.2441 | -0.2381 | -0.2340 | -0.2338 | -7.0 | -29.2 |
| 049 | SLV A1 | Si | -0.0592 | -0.0585 | -0.0784 | -0.0899 | 12.6 | 23.8 |
| 050 | SLV A1 | Si | -0.2166 | -0.2183 | -0.2079 | -0.2014 | -6.3 | -11.4 |
| 051 | SLV A1 | Si | -0.0935 | -0.0896 | -0.1083 | -0.1204 | 6.4 | 11.3 |
| 052 | SLV A1 | Si | -0.2510 | -0.2494 | -0.2378 | -0.2318 | -12.5 | -23.9 |
| 053 | SLV A1 | Si | -0.0569 | -0.0562 | -0.0765 | -0.0884 | 12.4 | 24.7 |
| 054 | SLV A1 | Si | -0.2143 | -0.2159 | -0.2061 | -0.1999 | -6.5 | -10.4 |
| 055 | SLV A1 | Si | -0.0958 | -0.0920 | -0.1101 | -0.1219 | 6.5 | 10.3 |
| 056 | SLV A1 | Si | -0.2533 | -0.2518 | -0.2397 | -0.2333 | -12.3 | -24.8 |
| 057 | SLV A1 | Si | -0.0576 | -0.0572 | -0.0770 | -0.0885 | -5.8 | 23.5 |
| 058 | SLV A1 | Si | -0.2182 | -0.2197 | -0.2093 | -0.2028 | 12.1 | -11.1 |
| 059 | SLV A1 | Si | -0.0920 | -0.0883 | -0.1070 | -0.1189 | -12.0 | 11.0 |
| 060 | SLV A1 | Si | -0.2525 | -0.2507 | -0.2392 | -0.2333 | 5.9 | -23.6 |
| 061 | SLV A1 | Si | -0.0553 | -0.0548 | -0.0752 | -0.0870 | -6.0 | 24.4 |
| 062 | SLV A1 | Si | -0.2159 | -0.2173 | -0.2074 | -0.2013 | 11.9 | -10.1 |
| 063 | SLV A1 | Si | -0.0943 | -0.0907 | -0.1088 | -0.1204 | -11.8 | 10.0 |
| 064 | SLV A1 | Si | -0.2548 | -0.2531 | -0.2410 | -0.2348 | 6.0 | -24.5 |
| 065 | SLD | Si | -0.1184 | -0.1196 | -0.1266 | -0.1303 | 6.0 | 11.7 |
| 066 | SLD | Si | -0.1399 | -0.1414 | -0.1444 | -0.1455 | 3.4 | 7.0 |
| 067 | SLD | Si | -0.1702 | -0.1665 | -0.1718 | -0.1762 | -3.4 | -7.1 |
| 068 | SLD | Si | -0.1918 | -0.1884 | -0.1896 | -0.1915 | -5.9 | -11.8 |
| 069 | SLD | Si | -0.1181 | -0.1194 | -0.1264 | -0.1301 | 3.5 | 11.7 |
| 070 | SLD | Si | -0.1401 | -0.1416 | -0.1445 | -0.1457 | 5.9 | 7.0 |
| 071 | SLD | Si | -0.1700 | -0.1663 | -0.1717 | -0.1760 | -5.8 | -7.1 |
| 072 | SLD | Si | -0.1920 | -0.1886 | -0.1898 | -0.1917 | -3.4 | -11.8 |
| 073 | SLD | Si | -0.1148 | -0.1159 | -0.1238 | -0.1280 | 5.7 | 13.2 |
| 074 | SLD | Si | -0.1364 | -0.1378 | -0.1415 | -0.1432 | 3.1 | 8.4 |
| 075 | SLD | Si | -0.1738 | -0.1701 | -0.1747 | -0.1785 | -3.1 | -8.5 |
| 076 | SLD | Si | -0.1953 | -0.1920 | -0.1924 | -0.1938 | -5.6 | -13.3 |
| 077 | SLD | Si | -0.1146 | -0.1157 | -0.1236 | -0.1278 | 3.2 | 13.1 |
| 078 | SLD | Si | -0.1366 | -0.1380 | -0.1417 | -0.1434 | 5.6 | 8.5 |
| 079 | SLD | Si | -0.1735 | -0.1700 | -0.1745 | -0.1783 | -5.6 | -8.6 |
| 080 | SLD | Si | -0.1955 | -0.1922 | -0.1926 | -0.1940 | -3.2 | -13.2 |
| 081 | SLD | Si | -0.1114 | -0.1105 | -0.1218 | -0.1286 | 5.7 | 10.7 |
| 082 | SLD | Si | -0.1832 | -0.1834 | -0.1809 | -0.1794 | -2.9 | -5.1 |
| 083 | SLD | Si | -0.1269 | -0.1246 | -0.1353 | -0.1423 | 2.9 | 5.0 |
| 084 | SLD | Si | -0.1988 | -0.1975 | -0.1944 | -0.1932 | -5.6 | -10.8 |
| 085 | SLD | Si | -0.1103 | -0.1094 | -0.1209 | -0.1279 | 5.6 | 11.1 |
| 086 | SLD | Si | -0.1822 | -0.1823 | -0.1800 | -0.1787 | -2.9 | -4.7 |
| 087 | SLD | Si | -0.1280 | -0.1256 | -0.1362 | -0.1430 | 3.0 | 4.6 |
| 088 | SLD | Si | -0.1998 | -0.1986 | -0.1953 | -0.1939 | -5.6 | -11.2 |
| 089 | SLD | Si | -0.1107 | -0.1099 | -0.1212 | -0.1279 | -2.6 | 10.5 |
| 090 | SLD | Si | -0.1839 | -0.1840 | -0.1815 | -0.1800 | 5.5 | -5.0 |
| 091 | SLD | Si | -0.1262 | -0.1240 | -0.1347 | -0.1417 | -5.4 | 4.9 |
| 092 | SLD | Si | -0.1995 | -0.1981 | -0.1950 | -0.1938 | 2.7 | -10.6 |
| 093 | SLD | Si | -0.1096 | -0.1088 | -0.1203 | -0.1272 | -2.7 | 11.0 |
| 094 | SLD | Si | -0.1829 | -0.1829 | -0.1806 | -0.1794 | 5.4 | -4.6 |
| 095 | SLD | Si | -0.1273 | -0.1251 | -0.1356 | -0.1424 | -5.3 | 4.5 |
| 096 | SLD | Si | -0.2005 | -0.1992 | -0.1959 | -0.1945 | 2.7 | -11.1 |
| 097 | SLO | Si | -0.1260 | -0.1267 | -0.1332 | -0.1366 | 4.7 | 9.3 |
| 098 | SLO | Si | -0.1430 | -0.1439 | -0.1471 | -0.1486 | 2.7 | 5.5 |
| 099 | SLO | Si | -0.1672 | -0.1640 | -0.1691 | -0.1731 | -2.7 | -5.6 |
| 100 | SLO | Si | -0.1841 | -0.1812 | -0.1830 | -0.1851 | -4.7 | -9.4 |
| 101 | SLO | Si | -0.1258 | -0.1265 | -0.1330 | -0.1364 | 2.8 | 9.3 |

Relazione Geotecnica e delle Fondazioni

| | | | | | | | | |
|-----|-----|----|---------|---------|---------|---------|------|-------|
| 102 | SLO | Si | -0.1432 | -0.1442 | -0.1473 | -0.1489 | 4.7 | 5.5 |
| 103 | SLO | Si | -0.1669 | -0.1638 | -0.1689 | -0.1729 | -4.6 | -5.6 |
| 104 | SLO | Si | -0.1844 | -0.1814 | -0.1832 | -0.1853 | -2.7 | -9.4 |
| 105 | SLO | Si | -0.1232 | -0.1239 | -0.1310 | -0.1348 | 4.5 | 10.4 |
| 106 | SLO | Si | -0.1402 | -0.1410 | -0.1449 | -0.1468 | 2.5 | 6.7 |
| 107 | SLO | Si | -0.1700 | -0.1669 | -0.1713 | -0.1749 | -2.4 | -6.8 |
| 108 | SLO | Si | -0.1869 | -0.1841 | -0.1852 | -0.1869 | -4.5 | -10.6 |
| 109 | SLO | Si | -0.1230 | -0.1236 | -0.1307 | -0.1346 | 2.5 | 10.4 |
| 110 | SLO | Si | -0.1404 | -0.1413 | -0.1451 | -0.1470 | 4.5 | 6.7 |
| 111 | SLO | Si | -0.1697 | -0.1667 | -0.1711 | -0.1747 | -4.4 | -6.8 |
| 112 | SLO | Si | -0.1872 | -0.1843 | -0.1855 | -0.1872 | -2.5 | -10.5 |
| 113 | SLO | Si | -0.1207 | -0.1198 | -0.1295 | -0.1354 | 4.5 | 8.5 |
| 114 | SLO | Si | -0.1771 | -0.1770 | -0.1759 | -0.1754 | -2.2 | -4.1 |
| 115 | SLO | Si | -0.1330 | -0.1309 | -0.1403 | -0.1464 | 2.3 | 4.0 |
| 116 | SLO | Si | -0.1895 | -0.1882 | -0.1867 | -0.1863 | -4.5 | -8.6 |
| 117 | SLO | Si | -0.1199 | -0.1189 | -0.1288 | -0.1349 | 4.4 | 8.8 |
| 118 | SLO | Si | -0.1763 | -0.1761 | -0.1753 | -0.1748 | -2.3 | -3.7 |
| 119 | SLO | Si | -0.1339 | -0.1318 | -0.1409 | -0.1469 | 2.4 | 3.6 |
| 120 | SLO | Si | -0.1903 | -0.1891 | -0.1874 | -0.1869 | -4.4 | -8.9 |
| 121 | SLO | Si | -0.1198 | -0.1190 | -0.1288 | -0.1347 | -2.1 | 8.4 |
| 122 | SLO | Si | -0.1780 | -0.1778 | -0.1767 | -0.1761 | 4.3 | -4.0 |
| 123 | SLO | Si | -0.1322 | -0.1301 | -0.1395 | -0.1456 | -4.3 | 3.9 |
| 124 | SLO | Si | -0.1903 | -0.1890 | -0.1874 | -0.1870 | 2.1 | -8.5 |
| 125 | SLO | Si | -0.1190 | -0.1181 | -0.1281 | -0.1342 | -2.1 | 8.7 |
| 126 | SLO | Si | -0.1771 | -0.1769 | -0.1760 | -0.1755 | 4.3 | -3.6 |
| 127 | SLO | Si | -0.1330 | -0.1310 | -0.1402 | -0.1462 | -4.2 | 3.5 |
| 128 | SLO | Si | -0.1912 | -0.1898 | -0.1881 | -0.1876 | 2.2 | -8.8 |

Elemento: Platea n. 39

| Cmb | Tipo | Sism. | Press. N1 | Press. N2 | Press. N3 | Press. N4 | S. Taglio X | S. Taglio Y |
|-----|----------|-------|---------------------|---------------------|---------------------|---------------------|-------------|-------------|
| n. | | | daN/cm ² | daN/cm ² | daN/cm ² | daN/cm ² | daN | daN |
| 001 | SLU STR | No | -0.1668 | -0.1660 | -0.1705 | -0.1712 | 0.0 | 0.0 |
| 002 | SLU STR | No | -0.2193 | -0.2185 | -0.2230 | -0.2237 | 0.0 | 0.0 |
| 003 | SLU STR | No | -0.2397 | -0.2368 | -0.2551 | -0.2579 | -0.3 | 0.0 |
| 004 | SLU STR | No | -0.2922 | -0.2893 | -0.3076 | -0.3104 | -0.3 | 0.0 |
| 005 | SLU STR | No | -0.1233 | -0.1227 | -0.1259 | -0.1265 | 0.0 | 0.0 |
| 006 | SLU STR | No | -0.1758 | -0.1752 | -0.1784 | -0.1790 | 0.0 | 0.0 |
| 007 | SLU STR | No | -0.1962 | -0.1936 | -0.2105 | -0.2132 | -0.2 | 0.0 |
| 008 | SLU STR | No | -0.2487 | -0.2461 | -0.2630 | -0.2657 | -0.2 | 0.0 |
| 009 | SLU STR | No | -0.2418 | -0.2410 | -0.2455 | -0.2462 | 0.0 | 0.0 |
| 010 | SLU STR | No | -0.2178 | -0.2155 | -0.2297 | -0.2319 | -0.2 | 0.0 |
| 011 | SLU STR | No | -0.2928 | -0.2905 | -0.3047 | -0.3069 | -0.2 | 0.0 |
| 012 | SLU STR | No | -0.1983 | -0.1977 | -0.2009 | -0.2015 | 0.0 | 0.0 |
| 013 | SLU STR | No | -0.1743 | -0.1723 | -0.1852 | -0.1872 | -0.2 | 0.0 |
| 014 | SLU STR | No | -0.2493 | -0.2473 | -0.2602 | -0.2622 | -0.2 | 0.0 |
| 015 | SLE rare | No | -0.1261 | -0.1255 | -0.1289 | -0.1294 | 0.0 | 0.0 |
| 016 | SLE rare | No | -0.1611 | -0.1605 | -0.1639 | -0.1644 | 0.0 | 0.0 |
| 017 | SLE rare | No | -0.1747 | -0.1727 | -0.1853 | -0.1872 | -0.2 | 0.0 |
| 018 | SLE rare | No | -0.2097 | -0.2077 | -0.2203 | -0.2222 | -0.2 | 0.0 |
| 019 | SLE rare | No | -0.1761 | -0.1755 | -0.1789 | -0.1794 | 0.0 | 0.0 |
| 020 | SLE rare | No | -0.1601 | -0.1586 | -0.1684 | -0.1699 | -0.1 | 0.0 |
| 021 | SLE rare | No | -0.2101 | -0.2086 | -0.2184 | -0.2199 | -0.1 | 0.0 |
| 022 | SLE freq | No | -0.1261 | -0.1255 | -0.1289 | -0.1294 | 0.0 | 0.0 |
| 023 | SLE freq | No | -0.1561 | -0.1555 | -0.1589 | -0.1594 | 0.0 | 0.0 |
| 024 | SLE freq | No | -0.1601 | -0.1586 | -0.1684 | -0.1699 | -0.1 | 0.0 |
| 025 | SLE freq | No | -0.1901 | -0.1886 | -0.1984 | -0.1999 | -0.1 | 0.0 |
| 026 | SLE freq | No | -0.1611 | -0.1605 | -0.1639 | -0.1644 | 0.0 | 0.0 |
| 027 | SLE freq | No | -0.1553 | -0.1539 | -0.1627 | -0.1641 | -0.1 | 0.0 |
| 028 | SLE freq | No | -0.1903 | -0.1889 | -0.1977 | -0.1991 | -0.1 | 0.0 |
| 029 | SLE q.p. | No | -0.1261 | -0.1255 | -0.1289 | -0.1294 | 0.0 | 0.0 |
| 030 | SLE q.p. | No | -0.1561 | -0.1555 | -0.1589 | -0.1594 | 0.0 | 0.0 |
| 031 | SLE q.p. | No | -0.1553 | -0.1539 | -0.1627 | -0.1641 | -0.1 | 0.0 |
| 032 | SLE q.p. | No | -0.1853 | -0.1839 | -0.1927 | -0.1941 | -0.1 | 0.0 |
| 033 | SLV A1 | Si | -0.1775 | -0.1799 | -0.1988 | -0.1984 | 26.1 | 33.1 |
| 034 | SLV A1 | Si | -0.1515 | -0.1558 | -0.1573 | -0.1553 | 38.0 | 19.2 |
| 035 | SLV A1 | Si | -0.2190 | -0.2119 | -0.2281 | -0.2329 | -38.2 | -19.2 |
| 036 | SLV A1 | Si | -0.1930 | -0.1878 | -0.1866 | -0.1898 | -26.4 | -33.1 |
| 037 | SLV A1 | Si | -0.1774 | -0.1798 | -0.1988 | -0.1983 | 37.7 | 33.4 |
| 038 | SLV A1 | Si | -0.1517 | -0.1559 | -0.1573 | -0.1553 | 26.4 | 18.9 |
| 039 | SLV A1 | Si | -0.2189 | -0.2118 | -0.2281 | -0.2329 | -26.7 | -18.9 |
| 040 | SLV A1 | Si | -0.1931 | -0.1879 | -0.1866 | -0.1899 | -37.9 | -33.4 |
| 041 | SLV A1 | Si | -0.1781 | -0.1799 | -0.1938 | -0.1945 | 27.7 | 37.4 |
| 042 | SLV A1 | Si | -0.1521 | -0.1558 | -0.1523 | -0.1514 | 39.6 | 23.5 |

| | | | | | | | | |
|--------------------------------------|--------|------------------------------------------------------------------------------------------------------------------------------|----------------------------------------------------------------------------------|---------|---------|-------------|-------|-------|
| COMMITTENTE: Mecca Antonio | | CODICE COMMESSA: | NOME ELABORATO: S1.5 - Relazione Geotecnica e delle Fondazioni | | | CONSULENTE: | | |
| DATA: Aprile 2023 | | TITOLO: Lavori ultimazione di un fabbricato adibito ad albergo-ristorante– C.da Case Nuove Chicone Avigliano (PZ) | | | | | | |
| 043 | SLV A1 | Si | -0.2185 | -0.2119 | -0.2332 | -0.2368 | -39.9 | -23.5 |
| 044 | SLV A1 | Si | -0.1925 | -0.1878 | -0.1917 | -0.1937 | -28.0 | -37.4 |
| 045 | SLV A1 | Si | -0.1780 | -0.1798 | -0.1937 | -0.1945 | 39.3 | 37.7 |
| 046 | SLV A1 | Si | -0.1522 | -0.1559 | -0.1523 | -0.1515 | 28.1 | 23.2 |
| 047 | SLV A1 | Si | -0.2183 | -0.2118 | -0.2331 | -0.2368 | -28.3 | -23.2 |
| 048 | SLV A1 | Si | -0.1926 | -0.1879 | -0.1917 | -0.1938 | -39.6 | -37.7 |
| 049 | SLV A1 | Si | -0.2224 | -0.2192 | -0.2575 | -0.2608 | -10.3 | 31.0 |
| 050 | SLV A1 | Si | -0.1357 | -0.1389 | -0.1192 | -0.1171 | 29.4 | -15.3 |
| 051 | SLV A1 | Si | -0.2348 | -0.2288 | -0.2663 | -0.2712 | -29.6 | 15.3 |
| 052 | SLV A1 | Si | -0.1482 | -0.1485 | -0.1280 | -0.1274 | 10.0 | -31.0 |
| 053 | SLV A1 | Si | -0.2226 | -0.2192 | -0.2560 | -0.2596 | -9.8 | 32.3 |
| 054 | SLV A1 | Si | -0.1359 | -0.1389 | -0.1177 | -0.1159 | 29.8 | -14.0 |
| 055 | SLV A1 | Si | -0.2347 | -0.2288 | -0.2678 | -0.2723 | -30.1 | 14.0 |
| 056 | SLV A1 | Si | -0.1480 | -0.1485 | -0.1295 | -0.1286 | 9.6 | -32.3 |
| 057 | SLV A1 | Si | -0.2220 | -0.2189 | -0.2574 | -0.2606 | 28.3 | 32.0 |
| 058 | SLV A1 | Si | -0.1361 | -0.1392 | -0.1192 | -0.1173 | -9.3 | -16.4 |
| 059 | SLV A1 | Si | -0.2345 | -0.2285 | -0.2662 | -0.2709 | 9.0 | 16.3 |
| 060 | SLV A1 | Si | -0.1485 | -0.1488 | -0.1280 | -0.1276 | -28.6 | -32.0 |
| 061 | SLV A1 | Si | -0.2222 | -0.2189 | -0.2559 | -0.2594 | 28.8 | 33.3 |
| 062 | SLV A1 | Si | -0.1362 | -0.1392 | -0.1177 | -0.1161 | -8.8 | -15.1 |
| 063 | SLV A1 | Si | -0.2343 | -0.2285 | -0.2677 | -0.2721 | 8.5 | 15.0 |
| 064 | SLV A1 | Si | -0.1484 | -0.1488 | -0.1295 | -0.1288 | -29.1 | -33.3 |
| 065 | SLD | Si | -0.1818 | -0.1821 | -0.1955 | -0.1961 | 11.8 | 14.9 |
| 066 | SLD | Si | -0.1700 | -0.1711 | -0.1766 | -0.1764 | 17.2 | 8.7 |
| 067 | SLD | Si | -0.2006 | -0.1966 | -0.2088 | -0.2118 | -17.4 | -8.7 |
| 068 | SLD | Si | -0.1887 | -0.1856 | -0.1899 | -0.1921 | -12.0 | -15.0 |
| 069 | SLD | Si | -0.1818 | -0.1821 | -0.1955 | -0.1961 | 17.0 | 15.1 |
| 070 | SLD | Si | -0.1700 | -0.1712 | -0.1766 | -0.1765 | 11.9 | 8.5 |
| 071 | SLD | Si | -0.2005 | -0.1966 | -0.2088 | -0.2117 | -12.1 | -8.6 |
| 072 | SLD | Si | -0.1888 | -0.1856 | -0.1899 | -0.1921 | -17.3 | -15.1 |
| 073 | SLD | Si | -0.1820 | -0.1821 | -0.1932 | -0.1943 | 12.5 | 16.9 |
| 074 | SLD | Si | -0.1702 | -0.1711 | -0.1743 | -0.1746 | 17.9 | 10.7 |
| 075 | SLD | Si | -0.2004 | -0.1966 | -0.2112 | -0.2136 | -18.1 | -10.7 |
| 076 | SLD | Si | -0.1885 | -0.1856 | -0.1922 | -0.1939 | -12.7 | -16.9 |
| 077 | SLD | Si | -0.1820 | -0.1821 | -0.1932 | -0.1943 | 17.8 | 17.1 |
| 078 | SLD | Si | -0.1702 | -0.1711 | -0.1743 | -0.1747 | 12.6 | 10.5 |
| 079 | SLD | Si | -0.2003 | -0.1966 | -0.2111 | -0.2135 | -12.9 | -10.5 |
| 080 | SLD | Si | -0.1886 | -0.1857 | -0.1922 | -0.1939 | -18.0 | -17.1 |
| 081 | SLD | Si | -0.2022 | -0.2000 | -0.2223 | -0.2246 | -4.8 | 14.0 |
| 082 | SLD | Si | -0.1627 | -0.1634 | -0.1592 | -0.1590 | 13.3 | -6.9 |
| 083 | SLD | Si | -0.2079 | -0.2043 | -0.2263 | -0.2293 | -13.5 | 6.9 |
| 084 | SLD | Si | -0.1683 | -0.1677 | -0.1631 | -0.1636 | 4.5 | -14.0 |
| 085 | SLD | Si | -0.2023 | -0.2000 | -0.2216 | -0.2240 | -4.5 | 14.6 |
| 086 | SLD | Si | -0.1628 | -0.1634 | -0.1585 | -0.1584 | 13.5 | -6.3 |
| 087 | SLD | Si | -0.2078 | -0.2043 | -0.2270 | -0.2298 | -13.7 | 6.3 |
| 088 | SLD | Si | -0.1682 | -0.1677 | -0.1638 | -0.1642 | 4.3 | -14.6 |
| 089 | SLD | Si | -0.2021 | -0.1999 | -0.2222 | -0.2245 | 12.8 | 14.4 |
| 090 | SLD | Si | -0.1629 | -0.1635 | -0.1592 | -0.1591 | -4.3 | -7.4 |
| 091 | SLD | Si | -0.2077 | -0.2042 | -0.2262 | -0.2291 | 4.1 | 7.3 |
| 092 | SLD | Si | -0.1685 | -0.1678 | -0.1632 | -0.1638 | -13.0 | -14.5 |
| 093 | SLD | Si | -0.2021 | -0.1999 | -0.2215 | -0.2239 | 13.0 | 15.0 |
| 094 | SLD | Si | -0.1629 | -0.1635 | -0.1585 | -0.1585 | -4.1 | -6.8 |
| 095 | SLD | Si | -0.2076 | -0.2042 | -0.2269 | -0.2297 | 3.8 | 6.7 |
| 096 | SLD | Si | -0.1684 | -0.1678 | -0.1639 | -0.1643 | -13.3 | -15.1 |
| 097 | SLO | Si | -0.1825 | -0.1824 | -0.1949 | -0.1956 | 9.3 | 11.8 |
| 098 | SLO | Si | -0.1732 | -0.1738 | -0.1800 | -0.1802 | 13.6 | 6.9 |
| 099 | SLO | Si | -0.1974 | -0.1939 | -0.2054 | -0.2080 | -13.8 | -6.9 |
| 100 | SLO | Si | -0.1881 | -0.1853 | -0.1906 | -0.1926 | -9.6 | -11.9 |
| 101 | SLO | Si | -0.1825 | -0.1824 | -0.1950 | -0.1957 | 13.5 | 12.0 |
| 102 | SLO | Si | -0.1732 | -0.1738 | -0.1799 | -0.1801 | 9.4 | 6.8 |
| 103 | SLO | Si | -0.1974 | -0.1939 | -0.2055 | -0.2081 | -9.6 | -6.8 |
| 104 | SLO | Si | -0.1881 | -0.1853 | -0.1905 | -0.1925 | -13.7 | -12.0 |
| 105 | SLO | Si | -0.1827 | -0.1824 | -0.1931 | -0.1942 | 9.9 | 13.4 |
| 106 | SLO | Si | -0.1734 | -0.1738 | -0.1782 | -0.1788 | 14.2 | 8.5 |
| 107 | SLO | Si | -0.1972 | -0.1939 | -0.2072 | -0.2094 | -14.4 | -8.5 |
| 108 | SLO | Si | -0.1879 | -0.1853 | -0.1924 | -0.1940 | -10.1 | -13.5 |
| 109 | SLO | Si | -0.1827 | -0.1824 | -0.1931 | -0.1943 | 14.1 | 13.5 |
| 110 | SLO | Si | -0.1733 | -0.1738 | -0.1781 | -0.1787 | 10.0 | 8.3 |
| 111 | SLO | Si | -0.1972 | -0.1939 | -0.2073 | -0.2095 | -10.2 | -8.4 |
| 112 | SLO | Si | -0.1879 | -0.1853 | -0.1923 | -0.1939 | -14.3 | -13.6 |
| 113 | SLO | Si | -0.1986 | -0.1965 | -0.2159 | -0.2180 | -3.7 | 11.1 |
| 114 | SLO | Si | -0.1675 | -0.1678 | -0.1664 | -0.1665 | 10.5 | -5.5 |

Relazione Geotecnica e delle Fondazioni

| | | | | | | | | |
|-----|-----|----|---------|---------|---------|---------|-------|-------|
| 115 | SLO | Si | -0.2030 | -0.1999 | -0.2191 | -0.2217 | -10.7 | 5.4 |
| 116 | SLO | Si | -0.1720 | -0.1712 | -0.1695 | -0.1702 | 3.5 | -11.1 |
| 117 | SLO | Si | -0.1986 | -0.1965 | -0.2154 | -0.2176 | -3.6 | 11.5 |
| 118 | SLO | Si | -0.1676 | -0.1678 | -0.1658 | -0.1661 | 10.6 | -5.0 |
| 119 | SLO | Si | -0.2030 | -0.1999 | -0.2196 | -0.2221 | -10.9 | 5.0 |
| 120 | SLO | Si | -0.1719 | -0.1712 | -0.1701 | -0.1706 | 3.3 | -11.6 |
| 121 | SLO | Si | -0.1986 | -0.1966 | -0.2162 | -0.2182 | 10.2 | 11.4 |
| 122 | SLO | Si | -0.1675 | -0.1677 | -0.1661 | -0.1663 | -3.4 | -5.9 |
| 123 | SLO | Si | -0.2031 | -0.2000 | -0.2193 | -0.2219 | 3.2 | 5.8 |
| 124 | SLO | Si | -0.1719 | -0.1711 | -0.1693 | -0.1700 | -10.4 | -11.5 |
| 125 | SLO | Si | -0.1987 | -0.1966 | -0.2156 | -0.2178 | 10.3 | 11.9 |
| 126 | SLO | Si | -0.1675 | -0.1677 | -0.1656 | -0.1659 | -3.3 | -5.4 |
| 127 | SLO | Si | -0.2030 | -0.2000 | -0.2199 | -0.2223 | 3.0 | 5.3 |
| 128 | SLO | Si | -0.1719 | -0.1711 | -0.1698 | -0.1704 | -10.6 | -12.0 |

Elemento: Platea n. 40

| Cmb | Tipo | Sism. | Press. N1 | Press. N2 | Press. N3 | Press. N4 | S. Taglio X | S. Taglio Y |
|-----|----------|-------|---------------------|---------------------|---------------------|---------------------|-------------|-------------|
| n. | | | daN/cm ² | daN/cm ² | daN/cm ² | daN/cm ² | daN | daN |
| 001 | SLU STR | No | -0.1564 | -0.1557 | -0.1594 | -0.1601 | 0.0 | 0.0 |
| 002 | SLU STR | No | -0.2089 | -0.2082 | -0.2119 | -0.2126 | 0.0 | 0.0 |
| 003 | SLU STR | No | -0.1973 | -0.1954 | -0.2098 | -0.2122 | 0.0 | -0.1 |
| 004 | SLU STR | No | -0.2498 | -0.2479 | -0.2623 | -0.2647 | 0.0 | -0.1 |
| 005 | SLU STR | No | -0.1160 | -0.1155 | -0.1181 | -0.1186 | 0.0 | 0.0 |
| 006 | SLU STR | No | -0.1685 | -0.1680 | -0.1706 | -0.1711 | 0.0 | 0.0 |
| 007 | SLU STR | No | -0.1568 | -0.1551 | -0.1685 | -0.1707 | 0.0 | -0.1 |
| 008 | SLU STR | No | -0.2093 | -0.2076 | -0.2210 | -0.2232 | 0.0 | -0.1 |
| 009 | SLU STR | No | -0.2314 | -0.2307 | -0.2344 | -0.2351 | 0.0 | 0.0 |
| 010 | SLU STR | No | -0.1850 | -0.1835 | -0.1947 | -0.1966 | 0.0 | -0.1 |
| 011 | SLU STR | No | -0.2600 | -0.2585 | -0.2697 | -0.2716 | 0.0 | -0.1 |
| 012 | SLU STR | No | -0.1910 | -0.1905 | -0.1931 | -0.1936 | 0.0 | 0.0 |
| 013 | SLU STR | No | -0.1446 | -0.1432 | -0.1534 | -0.1551 | 0.0 | -0.1 |
| 014 | SLU STR | No | -0.2196 | -0.2182 | -0.2284 | -0.2301 | 0.0 | -0.1 |
| 015 | SLE rare | No | -0.1184 | -0.1179 | -0.1206 | -0.1212 | 0.0 | 0.0 |
| 016 | SLE rare | No | -0.1534 | -0.1529 | -0.1556 | -0.1562 | 0.0 | 0.0 |
| 017 | SLE rare | No | -0.1457 | -0.1443 | -0.1543 | -0.1559 | 0.0 | -0.1 |
| 018 | SLE rare | No | -0.1807 | -0.1793 | -0.1893 | -0.1909 | 0.0 | -0.1 |
| 019 | SLE rare | No | -0.1684 | -0.1679 | -0.1706 | -0.1712 | 0.0 | 0.0 |
| 020 | SLE rare | No | -0.1375 | -0.1364 | -0.1442 | -0.1455 | 0.0 | -0.1 |
| 021 | SLE rare | No | -0.1875 | -0.1864 | -0.1942 | -0.1955 | 0.0 | -0.1 |
| 022 | SLE freq | No | -0.1184 | -0.1179 | -0.1206 | -0.1212 | 0.0 | 0.0 |
| 023 | SLE freq | No | -0.1484 | -0.1479 | -0.1506 | -0.1512 | 0.0 | 0.0 |
| 024 | SLE freq | No | -0.1375 | -0.1364 | -0.1442 | -0.1455 | 0.0 | -0.1 |
| 025 | SLE freq | No | -0.1675 | -0.1664 | -0.1742 | -0.1755 | 0.0 | -0.1 |
| 026 | SLE freq | No | -0.1534 | -0.1529 | -0.1556 | -0.1562 | 0.0 | 0.0 |
| 027 | SLE freq | No | -0.1348 | -0.1338 | -0.1408 | -0.1420 | 0.0 | -0.1 |
| 028 | SLE freq | No | -0.1698 | -0.1688 | -0.1758 | -0.1770 | 0.0 | -0.1 |
| 029 | SLE q.p. | No | -0.1184 | -0.1179 | -0.1206 | -0.1212 | 0.0 | 0.0 |
| 030 | SLE q.p. | No | -0.1484 | -0.1479 | -0.1506 | -0.1512 | 0.0 | 0.0 |
| 031 | SLE q.p. | No | -0.1348 | -0.1338 | -0.1408 | -0.1420 | 0.0 | -0.1 |
| 032 | SLE q.p. | No | -0.1648 | -0.1638 | -0.1708 | -0.1720 | 0.0 | -0.1 |
| 033 | SLV A1 | Si | -0.1125 | -0.1182 | -0.1375 | -0.1326 | 30.9 | 46.7 |
| 034 | SLV A1 | Si | -0.1352 | -0.1406 | -0.1462 | -0.1419 | 23.0 | 27.8 |
| 035 | SLV A1 | Si | -0.1943 | -0.1869 | -0.1955 | -0.2021 | -23.0 | -27.9 |
| 036 | SLV A1 | Si | -0.2170 | -0.2093 | -0.2041 | -0.2114 | -30.9 | -46.8 |
| 037 | SLV A1 | Si | -0.1122 | -0.1180 | -0.1372 | -0.1323 | 22.9 | 46.8 |
| 038 | SLV A1 | Si | -0.1356 | -0.1409 | -0.1464 | -0.1422 | 31.0 | 27.7 |
| 039 | SLV A1 | Si | -0.1940 | -0.1867 | -0.1952 | -0.2018 | -31.0 | -27.8 |
| 040 | SLV A1 | Si | -0.2174 | -0.2096 | -0.2044 | -0.2117 | -23.0 | -46.9 |
| 041 | SLV A1 | Si | -0.1093 | -0.1150 | -0.1368 | -0.1320 | 30.6 | 52.6 |
| 042 | SLV A1 | Si | -0.1321 | -0.1374 | -0.1455 | -0.1413 | 22.7 | 33.7 |
| 043 | SLV A1 | Si | -0.1975 | -0.1901 | -0.1961 | -0.2027 | -22.8 | -33.8 |
| 044 | SLV A1 | Si | -0.2202 | -0.2125 | -0.2048 | -0.2120 | -30.6 | -52.8 |
| 045 | SLV A1 | Si | -0.1090 | -0.1148 | -0.1366 | -0.1317 | 22.7 | 52.7 |
| 046 | SLV A1 | Si | -0.1324 | -0.1377 | -0.1457 | -0.1416 | 30.7 | 33.6 |
| 047 | SLV A1 | Si | -0.1971 | -0.1899 | -0.1959 | -0.2024 | -30.7 | -33.7 |
| 048 | SLV A1 | Si | -0.2206 | -0.2128 | -0.2050 | -0.2123 | -22.7 | -52.9 |
| 049 | SLV A1 | Si | -0.1146 | -0.1162 | -0.1477 | -0.1460 | 21.2 | 42.7 |
| 050 | SLV A1 | Si | -0.1904 | -0.1908 | -0.1766 | -0.1772 | -5.0 | -20.4 |
| 051 | SLV A1 | Si | -0.1391 | -0.1368 | -0.1651 | -0.1669 | 5.0 | 20.3 |
| 052 | SLV A1 | Si | -0.2149 | -0.2114 | -0.1939 | -0.1980 | -21.2 | -42.8 |
| 053 | SLV A1 | Si | -0.1137 | -0.1152 | -0.1475 | -0.1458 | 21.1 | 44.5 |
| 054 | SLV A1 | Si | -0.1895 | -0.1898 | -0.1764 | -0.1770 | -5.1 | -18.6 |
| 055 | SLV A1 | Si | -0.1401 | -0.1377 | -0.1653 | -0.1670 | 5.1 | 18.5 |

| | | | | | | | | |
|--------------------------------------|--------|------------------------------------------------------------------------------------------------------------------------------|----------------------------------------------------------------------------------|---------|---------|-------------|-------|-------|
| COMMITTENTE: Mecca Antonio | | CODICE COMMESSA: | NOME ELABORATO: S1.5 - Relazione Geotecnica e delle Fondazioni | | | CONSULENTE: | | |
| DATA: Aprile 2023 | | TITOLO: Lavori ultimazione di un fabbricato adibito ad albergo-ristorante– C.da Case Nuove Chicone Avigliano (PZ) | | | | | | |
| 056 | SLV A1 | Si | -0.2159 | -0.2123 | -0.1941 | -0.1982 | -21.1 | -44.6 |
| 057 | SLV A1 | Si | -0.1134 | -0.1153 | -0.1468 | -0.1450 | -5.3 | 43.0 |
| 058 | SLV A1 | Si | -0.1916 | -0.1917 | -0.1774 | -0.1781 | 21.4 | -20.8 |
| 059 | SLV A1 | Si | -0.1380 | -0.1359 | -0.1642 | -0.1659 | -21.5 | 20.7 |
| 060 | SLV A1 | Si | -0.2161 | -0.2123 | -0.1948 | -0.1990 | 5.3 | -43.2 |
| 061 | SLV A1 | Si | -0.1125 | -0.1143 | -0.1466 | -0.1449 | -5.4 | 44.8 |
| 062 | SLV A1 | Si | -0.1906 | -0.1907 | -0.1772 | -0.1780 | 21.4 | -19.0 |
| 063 | SLV A1 | Si | -0.1389 | -0.1368 | -0.1644 | -0.1661 | -21.4 | 18.9 |
| 064 | SLV A1 | Si | -0.2171 | -0.2132 | -0.1950 | -0.1992 | 5.3 | -45.0 |
| 065 | SLD | Si | -0.1411 | -0.1431 | -0.1557 | -0.1542 | 13.9 | 21.1 |
| 066 | SLD | Si | -0.1514 | -0.1533 | -0.1596 | -0.1584 | 10.4 | 12.5 |
| 067 | SLD | Si | -0.1781 | -0.1742 | -0.1820 | -0.1856 | -10.4 | -12.7 |
| 068 | SLD | Si | -0.1885 | -0.1844 | -0.1859 | -0.1899 | -14.0 | -21.2 |
| 069 | SLD | Si | -0.1409 | -0.1430 | -0.1556 | -0.1540 | 10.4 | 21.1 |
| 070 | SLD | Si | -0.1516 | -0.1534 | -0.1598 | -0.1585 | 14.0 | 12.5 |
| 071 | SLD | Si | -0.1780 | -0.1741 | -0.1819 | -0.1855 | -14.0 | -12.6 |
| 072 | SLD | Si | -0.1886 | -0.1846 | -0.1860 | -0.1900 | -10.4 | -21.2 |
| 073 | SLD | Si | -0.1396 | -0.1416 | -0.1554 | -0.1539 | 13.8 | 23.8 |
| 074 | SLD | Si | -0.1500 | -0.1518 | -0.1593 | -0.1581 | 10.3 | 15.3 |
| 075 | SLD | Si | -0.1796 | -0.1757 | -0.1823 | -0.1859 | -10.3 | -15.4 |
| 076 | SLD | Si | -0.1899 | -0.1859 | -0.1862 | -0.1902 | -13.9 | -23.9 |
| 077 | SLD | Si | -0.1395 | -0.1415 | -0.1553 | -0.1537 | 10.3 | 23.8 |
| 078 | SLD | Si | -0.1501 | -0.1520 | -0.1594 | -0.1582 | 13.9 | 15.2 |
| 079 | SLD | Si | -0.1794 | -0.1756 | -0.1822 | -0.1858 | -13.9 | -15.3 |
| 080 | SLD | Si | -0.1901 | -0.1860 | -0.1863 | -0.1903 | -10.3 | -24.0 |
| 081 | SLD | Si | -0.1419 | -0.1421 | -0.1603 | -0.1602 | 9.6 | 19.2 |
| 082 | SLD | Si | -0.1765 | -0.1761 | -0.1734 | -0.1743 | -2.3 | -9.2 |
| 083 | SLD | Si | -0.1530 | -0.1514 | -0.1682 | -0.1697 | 2.3 | 9.1 |
| 084 | SLD | Si | -0.1876 | -0.1855 | -0.1813 | -0.1838 | -9.6 | -19.3 |
| 085 | SLD | Si | -0.1415 | -0.1417 | -0.1602 | -0.1601 | 9.5 | 20.0 |
| 086 | SLD | Si | -0.1761 | -0.1757 | -0.1733 | -0.1743 | -2.3 | -8.4 |
| 087 | SLD | Si | -0.1535 | -0.1519 | -0.1683 | -0.1698 | 2.3 | 8.3 |
| 088 | SLD | Si | -0.1881 | -0.1859 | -0.1814 | -0.1839 | -9.6 | -20.1 |
| 089 | SLD | Si | -0.1414 | -0.1417 | -0.1599 | -0.1598 | -2.4 | 19.4 |
| 090 | SLD | Si | -0.1770 | -0.1765 | -0.1738 | -0.1748 | 9.7 | -9.4 |
| 091 | SLD | Si | -0.1525 | -0.1510 | -0.1678 | -0.1692 | -9.7 | 9.2 |
| 092 | SLD | Si | -0.1881 | -0.1859 | -0.1817 | -0.1842 | 2.4 | -19.5 |
| 093 | SLD | Si | -0.1410 | -0.1413 | -0.1598 | -0.1597 | -2.4 | 20.2 |
| 094 | SLD | Si | -0.1766 | -0.1761 | -0.1737 | -0.1747 | 9.6 | -8.6 |
| 095 | SLD | Si | -0.1530 | -0.1515 | -0.1679 | -0.1693 | -9.7 | 8.4 |
| 096 | SLD | Si | -0.1886 | -0.1863 | -0.1818 | -0.1843 | 2.4 | -20.3 |
| 097 | SLO | Si | -0.1460 | -0.1474 | -0.1588 | -0.1578 | 11.1 | 16.7 |
| 098 | SLO | Si | -0.1541 | -0.1554 | -0.1619 | -0.1612 | 8.2 | 9.9 |
| 099 | SLO | Si | -0.1754 | -0.1721 | -0.1797 | -0.1828 | -8.3 | -10.1 |
| 100 | SLO | Si | -0.1836 | -0.1801 | -0.1828 | -0.1862 | -11.1 | -16.8 |
| 101 | SLO | Si | -0.1458 | -0.1473 | -0.1587 | -0.1577 | 8.2 | 16.7 |
| 102 | SLO | Si | -0.1543 | -0.1556 | -0.1620 | -0.1613 | 11.1 | 9.9 |
| 103 | SLO | Si | -0.1752 | -0.1720 | -0.1796 | -0.1827 | -11.1 | -10.0 |
| 104 | SLO | Si | -0.1837 | -0.1803 | -0.1829 | -0.1863 | -8.2 | -16.9 |
| 105 | SLO | Si | -0.1448 | -0.1462 | -0.1586 | -0.1576 | 11.0 | 18.8 |
| 106 | SLO | Si | -0.1530 | -0.1543 | -0.1617 | -0.1610 | 8.2 | 12.1 |
| 107 | SLO | Si | -0.1766 | -0.1733 | -0.1799 | -0.1831 | -8.2 | -12.2 |
| 108 | SLO | Si | -0.1847 | -0.1813 | -0.1830 | -0.1864 | -11.0 | -19.0 |
| 109 | SLO | Si | -0.1447 | -0.1461 | -0.1585 | -0.1575 | 8.1 | 18.9 |
| 110 | SLO | Si | -0.1532 | -0.1544 | -0.1618 | -0.1611 | 11.0 | 12.1 |
| 111 | SLO | Si | -0.1764 | -0.1731 | -0.1798 | -0.1829 | -11.0 | -12.2 |
| 112 | SLO | Si | -0.1849 | -0.1814 | -0.1831 | -0.1865 | -8.2 | -19.0 |
| 113 | SLO | Si | -0.1468 | -0.1467 | -0.1625 | -0.1627 | 7.6 | 15.2 |
| 114 | SLO | Si | -0.1740 | -0.1734 | -0.1729 | -0.1739 | -1.8 | -7.3 |
| 115 | SLO | Si | -0.1556 | -0.1541 | -0.1688 | -0.1702 | 1.8 | 7.2 |
| 116 | SLO | Si | -0.1828 | -0.1808 | -0.1791 | -0.1814 | -7.6 | -15.3 |
| 117 | SLO | Si | -0.1464 | -0.1464 | -0.1624 | -0.1626 | 7.6 | 15.9 |
| 118 | SLO | Si | -0.1736 | -0.1731 | -0.1728 | -0.1738 | -1.8 | -6.7 |
| 119 | SLO | Si | -0.1559 | -0.1545 | -0.1688 | -0.1702 | 1.8 | 6.5 |
| 120 | SLO | Si | -0.1831 | -0.1812 | -0.1792 | -0.1814 | -7.6 | -16.0 |
| 121 | SLO | Si | -0.1462 | -0.1462 | -0.1622 | -0.1623 | -1.9 | 15.4 |
| 122 | SLO | Si | -0.1745 | -0.1739 | -0.1732 | -0.1742 | 7.7 | -7.4 |
| 123 | SLO | Si | -0.1551 | -0.1537 | -0.1684 | -0.1698 | -7.7 | 7.3 |
| 124 | SLO | Si | -0.1833 | -0.1813 | -0.1794 | -0.1817 | 1.9 | -15.5 |
| 125 | SLO | Si | -0.1459 | -0.1459 | -0.1621 | -0.1622 | -1.9 | 16.0 |
| 126 | SLO | Si | -0.1741 | -0.1735 | -0.1731 | -0.1741 | 7.6 | -6.8 |
| 127 | SLO | Si | -0.1554 | -0.1540 | -0.1685 | -0.1699 | -7.7 | 6.7 |

Relazione Geotecnica e delle Fondazioni

128 SLO Si -0.1837 -0.1817 -0.1795 -0.1818 1.9 -16.1

Elemento: Platea n. 41

| Cmb | Tipo | Sism. | Press. N1 | Press. N2 | Press. N3 | Press. N4 | S. Taglio X | S. Taglio Y |
|-----|----------|-------|---------------------|---------------------|---------------------|---------------------|-------------|-------------|
| n. | | | daN/cm ² | daN/cm ² | daN/cm ² | daN/cm ² | daN | daN |
| 001 | SLU STR | No | -0.1552 | -0.1552 | -0.1599 | -0.1598 | 0.0 | 0.0 |
| 002 | SLU STR | No | -0.2077 | -0.2077 | -0.2124 | -0.2123 | 0.0 | 0.0 |
| 003 | SLU STR | No | -0.1939 | -0.1934 | -0.2121 | -0.2119 | 0.0 | 0.2 |
| 004 | SLU STR | No | -0.2464 | -0.2459 | -0.2646 | -0.2644 | 0.0 | 0.2 |
| 005 | SLU STR | No | -0.1151 | -0.1151 | -0.1184 | -0.1183 | 0.0 | 0.0 |
| 006 | SLU STR | No | -0.1676 | -0.1676 | -0.1709 | -0.1708 | 0.0 | 0.0 |
| 007 | SLU STR | No | -0.1537 | -0.1533 | -0.1706 | -0.1705 | 0.0 | 0.2 |
| 008 | SLU STR | No | -0.2062 | -0.2058 | -0.2231 | -0.2230 | 0.0 | 0.2 |
| 009 | SLU STR | No | -0.2302 | -0.2302 | -0.2349 | -0.2348 | 0.0 | 0.0 |
| 010 | SLU STR | No | -0.1823 | -0.1819 | -0.1964 | -0.1963 | 0.0 | 0.1 |
| 011 | SLU STR | No | -0.2573 | -0.2569 | -0.2714 | -0.2713 | 0.0 | 0.1 |
| 012 | SLU STR | No | -0.1901 | -0.1901 | -0.1934 | -0.1933 | 0.0 | 0.0 |
| 013 | SLU STR | No | -0.1421 | -0.1418 | -0.1550 | -0.1549 | 0.0 | 0.1 |
| 014 | SLU STR | No | -0.2171 | -0.2168 | -0.2300 | -0.2299 | 0.0 | 0.1 |
| 015 | SLE rare | No | -0.1175 | -0.1175 | -0.1210 | -0.1209 | 0.0 | 0.0 |
| 016 | SLE rare | No | -0.1525 | -0.1525 | -0.1560 | -0.1559 | 0.0 | 0.0 |
| 017 | SLE rare | No | -0.1433 | -0.1430 | -0.1558 | -0.1557 | 0.0 | 0.1 |
| 018 | SLE rare | No | -0.1783 | -0.1780 | -0.1908 | -0.1907 | 0.0 | 0.1 |
| 019 | SLE rare | No | -0.1675 | -0.1675 | -0.1710 | -0.1709 | 0.0 | 0.0 |
| 020 | SLE rare | No | -0.1356 | -0.1353 | -0.1454 | -0.1453 | 0.0 | 0.1 |
| 021 | SLE rare | No | -0.1856 | -0.1853 | -0.1954 | -0.1953 | 0.0 | 0.1 |
| 022 | SLE freq | No | -0.1175 | -0.1175 | -0.1210 | -0.1209 | 0.0 | 0.0 |
| 023 | SLE freq | No | -0.1475 | -0.1475 | -0.1510 | -0.1509 | 0.0 | 0.0 |
| 024 | SLE freq | No | -0.1356 | -0.1353 | -0.1454 | -0.1453 | 0.0 | 0.1 |
| 025 | SLE freq | No | -0.1656 | -0.1653 | -0.1754 | -0.1753 | 0.0 | 0.1 |
| 026 | SLE freq | No | -0.1525 | -0.1525 | -0.1560 | -0.1559 | 0.0 | 0.0 |
| 027 | SLE freq | No | -0.1330 | -0.1328 | -0.1419 | -0.1418 | 0.0 | 0.1 |
| 028 | SLE freq | No | -0.1680 | -0.1678 | -0.1769 | -0.1768 | 0.0 | 0.1 |
| 029 | SLE q.p. | No | -0.1175 | -0.1175 | -0.1210 | -0.1209 | 0.0 | 0.0 |
| 030 | SLE q.p. | No | -0.1475 | -0.1475 | -0.1510 | -0.1509 | 0.0 | 0.0 |
| 031 | SLE q.p. | No | -0.1330 | -0.1328 | -0.1419 | -0.1418 | 0.0 | 0.1 |
| 032 | SLE q.p. | No | -0.1630 | -0.1628 | -0.1719 | -0.1718 | 0.0 | 0.1 |
| 033 | SLV A1 | Si | -0.1380 | -0.1426 | -0.1663 | -0.1607 | 32.3 | 29.0 |
| 034 | SLV A1 | Si | -0.1554 | -0.1600 | -0.1679 | -0.1635 | 28.2 | 9.7 |
| 035 | SLV A1 | Si | -0.1705 | -0.1656 | -0.1759 | -0.1801 | -28.2 | -9.5 |
| 036 | SLV A1 | Si | -0.1879 | -0.1830 | -0.1775 | -0.1829 | -32.3 | -28.9 |
| 037 | SLV A1 | Si | -0.1379 | -0.1425 | -0.1662 | -0.1607 | 30.4 | 29.4 |
| 038 | SLV A1 | Si | -0.1556 | -0.1601 | -0.1679 | -0.1635 | 30.1 | 9.3 |
| 039 | SLV A1 | Si | -0.1704 | -0.1655 | -0.1759 | -0.1801 | -30.1 | -9.1 |
| 040 | SLV A1 | Si | -0.1881 | -0.1831 | -0.1776 | -0.1829 | -30.4 | -29.3 |
| 041 | SLV A1 | Si | -0.1351 | -0.1394 | -0.1664 | -0.1609 | 32.3 | 33.4 |
| 042 | SLV A1 | Si | -0.1526 | -0.1568 | -0.1680 | -0.1637 | 28.2 | 14.0 |
| 043 | SLV A1 | Si | -0.1734 | -0.1688 | -0.1758 | -0.1799 | -28.2 | -13.9 |
| 044 | SLV A1 | Si | -0.1908 | -0.1862 | -0.1774 | -0.1827 | -32.3 | -33.3 |
| 045 | SLV A1 | Si | -0.1350 | -0.1393 | -0.1664 | -0.1609 | 30.4 | 33.8 |
| 046 | SLV A1 | Si | -0.1527 | -0.1569 | -0.1680 | -0.1637 | 30.1 | 13.6 |
| 047 | SLV A1 | Si | -0.1733 | -0.1687 | -0.1758 | -0.1799 | -30.1 | -13.5 |
| 048 | SLV A1 | Si | -0.1910 | -0.1862 | -0.1774 | -0.1827 | -30.4 | -33.7 |
| 049 | SLV A1 | Si | -0.1291 | -0.1304 | -0.1678 | -0.1643 | 15.9 | 38.2 |
| 050 | SLV A1 | Si | -0.1872 | -0.1883 | -0.1731 | -0.1735 | 2.3 | -26.4 |
| 051 | SLV A1 | Si | -0.1388 | -0.1373 | -0.1707 | -0.1701 | -2.3 | 26.6 |
| 052 | SLV A1 | Si | -0.1969 | -0.1952 | -0.1760 | -0.1793 | -15.9 | -38.0 |
| 053 | SLV A1 | Si | -0.1282 | -0.1295 | -0.1678 | -0.1643 | 15.9 | 39.5 |
| 054 | SLV A1 | Si | -0.1863 | -0.1873 | -0.1732 | -0.1735 | 2.3 | -25.1 |
| 055 | SLV A1 | Si | -0.1397 | -0.1383 | -0.1706 | -0.1700 | -2.3 | 25.3 |
| 056 | SLV A1 | Si | -0.1978 | -0.1961 | -0.1760 | -0.1792 | -15.9 | -39.3 |
| 057 | SLV A1 | Si | -0.1287 | -0.1301 | -0.1678 | -0.1642 | 9.6 | 39.5 |
| 058 | SLV A1 | Si | -0.1875 | -0.1886 | -0.1731 | -0.1736 | 8.6 | -27.8 |
| 059 | SLV A1 | Si | -0.1384 | -0.1370 | -0.1707 | -0.1700 | -8.6 | 27.9 |
| 060 | SLV A1 | Si | -0.1973 | -0.1955 | -0.1760 | -0.1794 | -9.6 | -39.3 |
| 061 | SLV A1 | Si | -0.1278 | -0.1292 | -0.1678 | -0.1642 | 9.6 | 40.8 |
| 062 | SLV A1 | Si | -0.1867 | -0.1876 | -0.1732 | -0.1737 | 8.6 | -26.5 |
| 063 | SLV A1 | Si | -0.1393 | -0.1380 | -0.1706 | -0.1699 | -8.6 | 26.6 |
| 064 | SLV A1 | Si | -0.1982 | -0.1964 | -0.1760 | -0.1794 | -9.6 | -40.7 |
| 065 | SLD | Si | -0.1516 | -0.1536 | -0.1693 | -0.1668 | 14.6 | 13.2 |
| 066 | SLD | Si | -0.1596 | -0.1615 | -0.1701 | -0.1680 | 12.7 | 4.4 |
| 067 | SLD | Si | -0.1664 | -0.1640 | -0.1737 | -0.1755 | -12.7 | -4.2 |
| 068 | SLD | Si | -0.1743 | -0.1720 | -0.1744 | -0.1768 | -14.6 | -13.0 |

| | | | |
|--------------------------------------|------------------------------------------------------------------------------------------------------------------------------|----------------------------------------------------------------------------------|-------------|
| COMMITTENTE: Mecca Antonio | CODICE COMMESSA: | NOME ELABORATO: S1.5 - Relazione Geotecnica e delle Fondazioni | CONSULENTE: |
| DATA: Aprile 2023 | TITOLO: Lavori ultimazione di un fabbricato adibito ad albergo-ristorante- C.da Case Nuove Chicone Avigliano (PZ) | | |

| | | | | | | | | |
|-----|-----|----|---------|---------|---------|---------|-------|-------|
| 069 | SLD | Si | -0.1516 | -0.1536 | -0.1693 | -0.1668 | 13.7 | 13.4 |
| 070 | SLD | Si | -0.1596 | -0.1616 | -0.1701 | -0.1680 | 13.6 | 4.2 |
| 071 | SLD | Si | -0.1663 | -0.1640 | -0.1737 | -0.1755 | -13.6 | -4.1 |
| 072 | SLD | Si | -0.1744 | -0.1720 | -0.1745 | -0.1768 | -13.7 | -13.2 |
| 073 | SLD | Si | -0.1503 | -0.1522 | -0.1694 | -0.1669 | 14.6 | 15.2 |
| 074 | SLD | Si | -0.1583 | -0.1601 | -0.1701 | -0.1681 | 12.8 | 6.4 |
| 075 | SLD | Si | -0.1677 | -0.1655 | -0.1737 | -0.1755 | -12.8 | -6.2 |
| 076 | SLD | Si | -0.1756 | -0.1734 | -0.1744 | -0.1767 | -14.6 | -15.0 |
| 077 | SLD | Si | -0.1503 | -0.1521 | -0.1694 | -0.1668 | 13.8 | 15.4 |
| 078 | SLD | Si | -0.1583 | -0.1601 | -0.1701 | -0.1681 | 13.6 | 6.2 |
| 079 | SLD | Si | -0.1676 | -0.1655 | -0.1737 | -0.1755 | -13.6 | -6.1 |
| 080 | SLD | Si | -0.1757 | -0.1735 | -0.1744 | -0.1767 | -13.8 | -15.2 |
| 081 | SLD | Si | -0.1475 | -0.1480 | -0.1700 | -0.1684 | 7.2 | 17.4 |
| 082 | SLD | Si | -0.1740 | -0.1744 | -0.1724 | -0.1726 | 1.0 | -12.0 |
| 083 | SLD | Si | -0.1519 | -0.1511 | -0.1714 | -0.1710 | -1.0 | 12.1 |
| 084 | SLD | Si | -0.1785 | -0.1776 | -0.1738 | -0.1752 | -7.2 | -17.2 |
| 085 | SLD | Si | -0.1471 | -0.1476 | -0.1701 | -0.1684 | 7.2 | 18.0 |
| 086 | SLD | Si | -0.1736 | -0.1740 | -0.1725 | -0.1726 | 1.0 | -11.4 |
| 087 | SLD | Si | -0.1523 | -0.1516 | -0.1713 | -0.1710 | -1.0 | 11.5 |
| 088 | SLD | Si | -0.1789 | -0.1780 | -0.1737 | -0.1752 | -7.2 | -17.8 |
| 089 | SLD | Si | -0.1473 | -0.1479 | -0.1700 | -0.1683 | 4.3 | 18.0 |
| 090 | SLD | Si | -0.1742 | -0.1746 | -0.1725 | -0.1726 | 3.8 | -12.6 |
| 091 | SLD | Si | -0.1518 | -0.1510 | -0.1713 | -0.1710 | -3.9 | 12.8 |
| 092 | SLD | Si | -0.1786 | -0.1777 | -0.1738 | -0.1752 | -4.4 | -17.8 |
| 093 | SLD | Si | -0.1470 | -0.1475 | -0.1700 | -0.1684 | 4.4 | 18.6 |
| 094 | SLD | Si | -0.1738 | -0.1741 | -0.1725 | -0.1726 | 3.9 | -12.0 |
| 095 | SLD | Si | -0.1522 | -0.1515 | -0.1713 | -0.1710 | -3.9 | 12.2 |
| 096 | SLD | Si | -0.1790 | -0.1781 | -0.1737 | -0.1752 | -4.4 | -18.4 |
| 097 | SLO | Si | -0.1540 | -0.1555 | -0.1699 | -0.1678 | 11.6 | 10.5 |
| 098 | SLO | Si | -0.1603 | -0.1618 | -0.1704 | -0.1688 | 10.1 | 3.5 |
| 099 | SLO | Si | -0.1657 | -0.1638 | -0.1734 | -0.1748 | -10.1 | -3.4 |
| 100 | SLO | Si | -0.1720 | -0.1700 | -0.1739 | -0.1758 | -11.6 | -10.3 |
| 101 | SLO | Si | -0.1539 | -0.1555 | -0.1699 | -0.1678 | 10.9 | 10.6 |
| 102 | SLO | Si | -0.1603 | -0.1618 | -0.1705 | -0.1688 | 10.8 | 3.4 |
| 103 | SLO | Si | -0.1656 | -0.1638 | -0.1733 | -0.1748 | -10.8 | -3.2 |
| 104 | SLO | Si | -0.1720 | -0.1701 | -0.1739 | -0.1758 | -10.9 | -10.5 |
| 105 | SLO | Si | -0.1530 | -0.1544 | -0.1699 | -0.1679 | 11.6 | 12.0 |
| 106 | SLO | Si | -0.1592 | -0.1606 | -0.1705 | -0.1689 | 10.1 | 5.1 |
| 107 | SLO | Si | -0.1667 | -0.1650 | -0.1733 | -0.1747 | -10.1 | -5.0 |
| 108 | SLO | Si | -0.1730 | -0.1712 | -0.1739 | -0.1757 | -11.6 | -11.9 |
| 109 | SLO | Si | -0.1529 | -0.1543 | -0.1699 | -0.1679 | 10.9 | 12.2 |
| 110 | SLO | Si | -0.1593 | -0.1607 | -0.1705 | -0.1689 | 10.8 | 4.9 |
| 111 | SLO | Si | -0.1667 | -0.1649 | -0.1733 | -0.1747 | -10.8 | -4.8 |
| 112 | SLO | Si | -0.1731 | -0.1713 | -0.1739 | -0.1757 | -10.9 | -12.1 |
| 113 | SLO | Si | -0.1508 | -0.1512 | -0.1704 | -0.1691 | 5.7 | 13.7 |
| 114 | SLO | Si | -0.1716 | -0.1719 | -0.1723 | -0.1724 | 0.8 | -9.4 |
| 115 | SLO | Si | -0.1543 | -0.1537 | -0.1715 | -0.1712 | -0.8 | 9.6 |
| 116 | SLO | Si | -0.1751 | -0.1744 | -0.1734 | -0.1745 | -5.7 | -13.5 |
| 117 | SLO | Si | -0.1505 | -0.1508 | -0.1704 | -0.1691 | 5.7 | 14.2 |
| 118 | SLO | Si | -0.1713 | -0.1716 | -0.1723 | -0.1724 | 0.8 | -8.9 |
| 119 | SLO | Si | -0.1546 | -0.1540 | -0.1715 | -0.1712 | -0.8 | 9.1 |
| 120 | SLO | Si | -0.1755 | -0.1748 | -0.1734 | -0.1745 | -5.7 | -14.0 |
| 121 | SLO | Si | -0.1506 | -0.1510 | -0.1704 | -0.1691 | 3.4 | 14.3 |
| 122 | SLO | Si | -0.1719 | -0.1721 | -0.1723 | -0.1724 | 3.1 | -10.0 |
| 123 | SLO | Si | -0.1541 | -0.1535 | -0.1715 | -0.1711 | -3.1 | 10.1 |
| 124 | SLO | Si | -0.1754 | -0.1746 | -0.1734 | -0.1745 | -3.5 | -14.1 |
| 125 | SLO | Si | -0.1503 | -0.1506 | -0.1704 | -0.1691 | 3.5 | 14.8 |
| 126 | SLO | Si | -0.1716 | -0.1718 | -0.1724 | -0.1725 | 3.1 | -9.5 |
| 127 | SLO | Si | -0.1544 | -0.1538 | -0.1714 | -0.1711 | -3.1 | 9.7 |
| 128 | SLO | Si | -0.1757 | -0.1750 | -0.1734 | -0.1745 | -3.5 | -14.6 |

Elemento: Platea n. 42

| Cmb | Tipo | Sism. | Press. N1 | Press. N2 | Press. N3 | Press. N4 | S. Taglio X | S. Taglio Y |
|-----|---------|-------|---------------------|---------------------|---------------------|---------------------|-------------|-------------|
| n. | | | daN/cm ² | daN/cm ² | daN/cm ² | daN/cm ² | daN | daN |
| 001 | SLU STR | No | -0.1482 | -0.1475 | -0.1514 | -0.1511 | 0.0 | 0.0 |
| 002 | SLU STR | No | -0.2007 | -0.2000 | -0.2039 | -0.2036 | 0.0 | 0.0 |
| 003 | SLU STR | No | -0.1662 | -0.1636 | -0.1788 | -0.1776 | 0.1 | 0.1 |
| 004 | SLU STR | No | -0.2187 | -0.2161 | -0.2313 | -0.2301 | 0.1 | 0.1 |
| 005 | SLU STR | No | -0.1101 | -0.1096 | -0.1124 | -0.1122 | 0.0 | 0.0 |
| 006 | SLU STR | No | -0.1626 | -0.1621 | -0.1649 | -0.1647 | 0.0 | 0.0 |
| 007 | SLU STR | No | -0.1282 | -0.1257 | -0.1398 | -0.1387 | 0.0 | 0.1 |

Relazione Geotecnica e delle Fondazioni

| | | | | | | | | |
|-----|----------|----|---------|---------|---------|---------|-------|-------|
| 008 | SLU STR | No | -0.1807 | -0.1782 | -0.1923 | -0.1912 | 0.0 | 0.1 |
| 009 | SLU STR | No | -0.2232 | -0.2225 | -0.2264 | -0.2261 | 0.0 | 0.0 |
| 010 | SLU STR | No | -0.1608 | -0.1588 | -0.1706 | -0.1697 | 0.0 | 0.1 |
| 011 | SLU STR | No | -0.2358 | -0.2338 | -0.2456 | -0.2447 | 0.0 | 0.1 |
| 012 | SLU STR | No | -0.1851 | -0.1846 | -0.1874 | -0.1872 | 0.0 | 0.0 |
| 013 | SLU STR | No | -0.1227 | -0.1209 | -0.1315 | -0.1307 | 0.0 | 0.1 |
| 014 | SLU STR | No | -0.1977 | -0.1959 | -0.2065 | -0.2057 | 0.0 | 0.1 |
| 015 | SLE rare | No | -0.1123 | -0.1118 | -0.1147 | -0.1144 | 0.0 | 0.0 |
| 016 | SLE rare | No | -0.1473 | -0.1468 | -0.1497 | -0.1494 | 0.0 | 0.0 |
| 017 | SLE rare | No | -0.1243 | -0.1225 | -0.1329 | -0.1322 | 0.0 | 0.1 |
| 018 | SLE rare | No | -0.1593 | -0.1575 | -0.1679 | -0.1672 | 0.0 | 0.1 |
| 019 | SLE rare | No | -0.1623 | -0.1618 | -0.1647 | -0.1644 | 0.0 | 0.0 |
| 020 | SLE rare | No | -0.1207 | -0.1193 | -0.1275 | -0.1268 | 0.0 | 0.0 |
| 021 | SLE rare | No | -0.1707 | -0.1693 | -0.1775 | -0.1768 | 0.0 | 0.0 |
| 022 | SLE freq | No | -0.1123 | -0.1118 | -0.1147 | -0.1144 | 0.0 | 0.0 |
| 023 | SLE freq | No | -0.1423 | -0.1418 | -0.1447 | -0.1444 | 0.0 | 0.0 |
| 024 | SLE freq | No | -0.1207 | -0.1193 | -0.1275 | -0.1268 | 0.0 | 0.0 |
| 025 | SLE freq | No | -0.1507 | -0.1493 | -0.1575 | -0.1568 | 0.0 | 0.0 |
| 026 | SLE freq | No | -0.1473 | -0.1468 | -0.1497 | -0.1494 | 0.0 | 0.0 |
| 027 | SLE freq | No | -0.1195 | -0.1182 | -0.1256 | -0.1251 | 0.0 | 0.0 |
| 028 | SLE freq | No | -0.1545 | -0.1532 | -0.1606 | -0.1601 | 0.0 | 0.0 |
| 029 | SLE q.p. | No | -0.1123 | -0.1118 | -0.1147 | -0.1144 | 0.0 | 0.0 |
| 030 | SLE q.p. | No | -0.1423 | -0.1418 | -0.1447 | -0.1444 | 0.0 | 0.0 |
| 031 | SLE q.p. | No | -0.1195 | -0.1182 | -0.1256 | -0.1251 | 0.0 | 0.0 |
| 032 | SLE q.p. | No | -0.1495 | -0.1482 | -0.1556 | -0.1551 | 0.0 | 0.0 |
| 033 | SLV A1 | Si | -0.0912 | -0.0955 | -0.1169 | -0.1081 | 21.3 | 24.5 |
| 034 | SLV A1 | Si | -0.1391 | -0.1429 | -0.1493 | -0.1440 | 12.4 | 11.3 |
| 035 | SLV A1 | Si | -0.1599 | -0.1536 | -0.1620 | -0.1662 | -12.4 | -11.2 |
| 036 | SLV A1 | Si | -0.2078 | -0.2010 | -0.1944 | -0.2021 | -21.3 | -24.4 |
| 037 | SLV A1 | Si | -0.0910 | -0.0953 | -0.1167 | -0.1079 | 12.6 | 24.9 |
| 038 | SLV A1 | Si | -0.1393 | -0.1431 | -0.1494 | -0.1442 | 21.1 | 10.9 |
| 039 | SLV A1 | Si | -0.1597 | -0.1534 | -0.1618 | -0.1660 | -21.1 | -10.8 |
| 040 | SLV A1 | Si | -0.2081 | -0.2012 | -0.1945 | -0.2023 | -12.6 | -24.8 |
| 041 | SLV A1 | Si | -0.0825 | -0.0865 | -0.1110 | -0.1018 | 20.4 | 28.0 |
| 042 | SLV A1 | Si | -0.1304 | -0.1339 | -0.1434 | -0.1377 | 11.5 | 14.7 |
| 043 | SLV A1 | Si | -0.1686 | -0.1626 | -0.1679 | -0.1724 | -11.4 | -14.7 |
| 044 | SLV A1 | Si | -0.2165 | -0.2100 | -0.2003 | -0.2083 | -20.4 | -27.9 |
| 045 | SLV A1 | Si | -0.0823 | -0.0863 | -0.1108 | -0.1016 | 11.7 | 28.4 |
| 046 | SLV A1 | Si | -0.1306 | -0.1341 | -0.1435 | -0.1379 | 20.2 | 14.4 |
| 047 | SLV A1 | Si | -0.1684 | -0.1624 | -0.1677 | -0.1723 | -20.1 | -14.3 |
| 048 | SLV A1 | Si | -0.2168 | -0.2102 | -0.2004 | -0.2085 | -11.7 | -28.3 |
| 049 | SLV A1 | Si | -0.0594 | -0.0605 | -0.0949 | -0.0865 | 19.9 | 27.4 |
| 050 | SLV A1 | Si | -0.2190 | -0.2186 | -0.2028 | -0.2062 | -9.8 | -16.6 |
| 051 | SLV A1 | Si | -0.0800 | -0.0779 | -0.1084 | -0.1040 | 9.8 | 16.7 |
| 052 | SLV A1 | Si | -0.2397 | -0.2360 | -0.2164 | -0.2236 | -19.9 | -27.4 |
| 053 | SLV A1 | Si | -0.0568 | -0.0578 | -0.0931 | -0.0847 | 19.7 | 28.5 |
| 054 | SLV A1 | Si | -0.2164 | -0.2159 | -0.2011 | -0.2043 | -10.1 | -15.6 |
| 055 | SLV A1 | Si | -0.0826 | -0.0806 | -0.1102 | -0.1058 | 10.1 | 15.7 |
| 056 | SLV A1 | Si | -0.2423 | -0.2387 | -0.2181 | -0.2255 | -19.6 | -28.4 |
| 057 | SLV A1 | Si | -0.0586 | -0.0598 | -0.0944 | -0.0859 | -9.0 | 28.7 |
| 058 | SLV A1 | Si | -0.2198 | -0.2192 | -0.2034 | -0.2068 | 19.2 | -17.9 |
| 059 | SLV A1 | Si | -0.0792 | -0.0772 | -0.1079 | -0.1033 | -19.2 | 18.0 |
| 060 | SLV A1 | Si | -0.2404 | -0.2367 | -0.2169 | -0.2243 | 9.1 | -28.6 |
| 061 | SLV A1 | Si | -0.0560 | -0.0571 | -0.0926 | -0.0840 | -9.3 | 29.8 |
| 062 | SLV A1 | Si | -0.2172 | -0.2165 | -0.2016 | -0.2050 | 18.9 | -16.9 |
| 063 | SLV A1 | Si | -0.0818 | -0.0799 | -0.1097 | -0.1052 | -18.9 | 17.0 |
| 064 | SLV A1 | Si | -0.2430 | -0.2394 | -0.2187 | -0.2261 | 9.4 | -29.7 |
| 065 | SLD | Si | -0.1230 | -0.1242 | -0.1380 | -0.1337 | 9.6 | 11.1 |
| 066 | SLD | Si | -0.1449 | -0.1459 | -0.1528 | -0.1501 | 5.6 | 5.1 |
| 067 | SLD | Si | -0.1542 | -0.1506 | -0.1585 | -0.1600 | -5.6 | -5.0 |
| 068 | SLD | Si | -0.1760 | -0.1722 | -0.1732 | -0.1764 | -9.6 | -11.0 |
| 069 | SLD | Si | -0.1229 | -0.1241 | -0.1380 | -0.1336 | 5.7 | 11.3 |
| 070 | SLD | Si | -0.1450 | -0.1460 | -0.1529 | -0.1502 | 9.5 | 4.9 |
| 071 | SLD | Si | -0.1541 | -0.1505 | -0.1584 | -0.1600 | -9.5 | -4.9 |
| 072 | SLD | Si | -0.1761 | -0.1723 | -0.1733 | -0.1765 | -5.7 | -11.2 |
| 073 | SLD | Si | -0.1190 | -0.1201 | -0.1353 | -0.1308 | 9.2 | 12.7 |
| 074 | SLD | Si | -0.1409 | -0.1418 | -0.1501 | -0.1472 | 5.2 | 6.7 |
| 075 | SLD | Si | -0.1581 | -0.1547 | -0.1612 | -0.1629 | -5.1 | -6.6 |
| 076 | SLD | Si | -0.1800 | -0.1763 | -0.1759 | -0.1793 | -9.2 | -12.6 |
| 077 | SLD | Si | -0.1189 | -0.1200 | -0.1353 | -0.1308 | 5.3 | 12.9 |
| 078 | SLD | Si | -0.1410 | -0.1419 | -0.1502 | -0.1473 | 9.1 | 6.5 |
| 079 | SLD | Si | -0.1580 | -0.1546 | -0.1611 | -0.1628 | -9.1 | -6.4 |
| 080 | SLD | Si | -0.1801 | -0.1764 | -0.1760 | -0.1794 | -5.2 | -12.8 |
| 081 | SLD | Si | -0.1084 | -0.1082 | -0.1279 | -0.1238 | 9.0 | 12.4 |

| | | | |
|--------------------------------------|------------------------------------------------------------------------------------------------------------------------------|----------------------------------------------------------------------------------|-------------|
| COMMITTENTE: Mecca Antonio | CODICE COMMESSA: | NOME ELABORATO: S1.5 - Relazione Geotecnica e delle Fondazioni | CONSULENTE: |
| DATA: Aprile 2023 | TITOLO: Lavori ultimazione di un fabbricato adibito ad albergo-ristorante- C.da Case Nuove Chicone Avigliano (PZ) | | |

| | | | | | | | | |
|-----|-----|----|---------|---------|---------|---------|------|-------|
| 082 | SLD | Si | -0.1813 | -0.1804 | -0.1772 | -0.1784 | -4.4 | -7.5 |
| 083 | SLD | Si | -0.1177 | -0.1161 | -0.1341 | -0.1317 | 4.5 | 7.6 |
| 084 | SLD | Si | -0.1906 | -0.1883 | -0.1833 | -0.1863 | -9.0 | -12.4 |
| 085 | SLD | Si | -0.1072 | -0.1070 | -0.1271 | -0.1230 | 8.9 | 12.9 |
| 086 | SLD | Si | -0.1801 | -0.1791 | -0.1764 | -0.1776 | -4.5 | -7.0 |
| 087 | SLD | Si | -0.1189 | -0.1173 | -0.1349 | -0.1326 | 4.6 | 7.1 |
| 088 | SLD | Si | -0.1918 | -0.1895 | -0.1842 | -0.1872 | -8.8 | -12.8 |
| 089 | SLD | Si | -0.1081 | -0.1079 | -0.1277 | -0.1235 | -4.1 | 13.0 |
| 090 | SLD | Si | -0.1816 | -0.1807 | -0.1774 | -0.1787 | 8.7 | -8.1 |
| 091 | SLD | Si | -0.1174 | -0.1158 | -0.1338 | -0.1314 | -8.6 | 8.2 |
| 092 | SLD | Si | -0.1910 | -0.1886 | -0.1836 | -0.1866 | 4.1 | -13.0 |
| 093 | SLD | Si | -0.1069 | -0.1067 | -0.1269 | -0.1227 | -4.2 | 13.5 |
| 094 | SLD | Si | -0.1804 | -0.1794 | -0.1766 | -0.1779 | 8.5 | -7.6 |
| 095 | SLD | Si | -0.1186 | -0.1170 | -0.1346 | -0.1323 | -8.5 | 7.7 |
| 096 | SLD | Si | -0.1922 | -0.1898 | -0.1844 | -0.1875 | 4.2 | -13.4 |
| 097 | SLO | Si | -0.1286 | -0.1293 | -0.1417 | -0.1382 | 7.6 | 8.8 |
| 098 | SLO | Si | -0.1457 | -0.1463 | -0.1533 | -0.1511 | 4.5 | 4.1 |
| 099 | SLO | Si | -0.1533 | -0.1502 | -0.1579 | -0.1591 | -4.4 | -4.0 |
| 100 | SLO | Si | -0.1705 | -0.1672 | -0.1695 | -0.1719 | -7.6 | -8.7 |
| 101 | SLO | Si | -0.1284 | -0.1291 | -0.1416 | -0.1381 | 4.5 | 9.0 |
| 102 | SLO | Si | -0.1459 | -0.1464 | -0.1534 | -0.1512 | 7.6 | 3.9 |
| 103 | SLO | Si | -0.1531 | -0.1500 | -0.1578 | -0.1589 | -7.5 | -3.8 |
| 104 | SLO | Si | -0.1706 | -0.1674 | -0.1697 | -0.1721 | -4.5 | -8.9 |
| 105 | SLO | Si | -0.1254 | -0.1260 | -0.1396 | -0.1359 | 7.3 | 10.1 |
| 106 | SLO | Si | -0.1426 | -0.1430 | -0.1512 | -0.1488 | 4.1 | 5.3 |
| 107 | SLO | Si | -0.1564 | -0.1534 | -0.1601 | -0.1614 | -4.1 | -5.3 |
| 108 | SLO | Si | -0.1736 | -0.1704 | -0.1717 | -0.1742 | -7.3 | -10.0 |
| 109 | SLO | Si | -0.1253 | -0.1259 | -0.1395 | -0.1358 | 4.2 | 10.2 |
| 110 | SLO | Si | -0.1428 | -0.1432 | -0.1513 | -0.1489 | 7.2 | 5.2 |
| 111 | SLO | Si | -0.1563 | -0.1533 | -0.1600 | -0.1612 | -7.2 | -5.1 |
| 112 | SLO | Si | -0.1738 | -0.1706 | -0.1718 | -0.1744 | -4.2 | -10.1 |
| 113 | SLO | Si | -0.1172 | -0.1168 | -0.1339 | -0.1305 | 7.1 | 9.8 |
| 114 | SLO | Si | -0.1744 | -0.1734 | -0.1725 | -0.1734 | -3.5 | -5.9 |
| 115 | SLO | Si | -0.1246 | -0.1230 | -0.1387 | -0.1368 | 3.5 | 6.0 |
| 116 | SLO | Si | -0.1818 | -0.1797 | -0.1774 | -0.1796 | -7.1 | -9.8 |
| 117 | SLO | Si | -0.1163 | -0.1158 | -0.1332 | -0.1298 | 7.0 | 10.2 |
| 118 | SLO | Si | -0.1735 | -0.1724 | -0.1719 | -0.1727 | -3.6 | -5.5 |
| 119 | SLO | Si | -0.1256 | -0.1240 | -0.1394 | -0.1375 | 3.6 | 5.6 |
| 120 | SLO | Si | -0.1828 | -0.1807 | -0.1780 | -0.1803 | -7.0 | -10.1 |
| 121 | SLO | Si | -0.1166 | -0.1162 | -0.1335 | -0.1300 | -3.2 | 10.4 |
| 122 | SLO | Si | -0.1750 | -0.1740 | -0.1729 | -0.1738 | 6.9 | -6.4 |
| 123 | SLO | Si | -0.1240 | -0.1225 | -0.1383 | -0.1363 | -6.8 | 6.5 |
| 124 | SLO | Si | -0.1824 | -0.1803 | -0.1778 | -0.1801 | 3.3 | -10.3 |
| 125 | SLO | Si | -0.1157 | -0.1152 | -0.1328 | -0.1293 | -3.3 | 10.7 |
| 126 | SLO | Si | -0.1741 | -0.1730 | -0.1723 | -0.1732 | 6.8 | -6.1 |
| 127 | SLO | Si | -0.1250 | -0.1235 | -0.1390 | -0.1370 | -6.7 | 6.1 |
| 128 | SLO | Si | -0.1834 | -0.1812 | -0.1785 | -0.1808 | 3.4 | -10.7 |

Elemento: Platea n. 43

| Cmb | Tipo | Sism. | Press. N1 | Press. N2 | Press. N3 | Press. N4 | S. Taglio X | S. Taglio Y |
|-----|----------|-------|---------------------|---------------------|---------------------|---------------------|-------------|-------------|
| n. | | | daN/cm ² | daN/cm ² | daN/cm ² | daN/cm ² | daN | daN |
| 001 | SLU STR | No | -0.1500 | -0.1491 | -0.1512 | -0.1517 | 0.0 | 0.0 |
| 002 | SLU STR | No | -0.2025 | -0.2016 | -0.2037 | -0.2042 | 0.0 | 0.0 |
| 003 | SLU STR | No | -0.1727 | -0.1696 | -0.1780 | -0.1798 | 0.0 | 0.0 |
| 004 | SLU STR | No | -0.2252 | -0.2221 | -0.2305 | -0.2323 | 0.0 | 0.0 |
| 005 | SLU STR | No | -0.1114 | -0.1107 | -0.1123 | -0.1126 | 0.0 | 0.0 |
| 006 | SLU STR | No | -0.1639 | -0.1632 | -0.1648 | -0.1651 | 0.0 | 0.0 |
| 007 | SLU STR | No | -0.1341 | -0.1312 | -0.1390 | -0.1406 | 0.0 | 0.0 |
| 008 | SLU STR | No | -0.1866 | -0.1837 | -0.1915 | -0.1931 | 0.0 | 0.0 |
| 009 | SLU STR | No | -0.2250 | -0.2241 | -0.2262 | -0.2267 | 0.0 | 0.0 |
| 010 | SLU STR | No | -0.1659 | -0.1634 | -0.1700 | -0.1714 | 0.0 | 0.0 |
| 011 | SLU STR | No | -0.2409 | -0.2384 | -0.2450 | -0.2464 | 0.0 | 0.0 |
| 012 | SLU STR | No | -0.1864 | -0.1857 | -0.1873 | -0.1876 | 0.0 | 0.0 |
| 013 | SLU STR | No | -0.1273 | -0.1251 | -0.1310 | -0.1322 | 0.0 | 0.0 |
| 014 | SLU STR | No | -0.2023 | -0.2001 | -0.2060 | -0.2072 | 0.0 | 0.0 |
| 015 | SLE rare | No | -0.1137 | -0.1130 | -0.1146 | -0.1149 | 0.0 | 0.0 |
| 016 | SLE rare | No | -0.1487 | -0.1480 | -0.1496 | -0.1499 | 0.0 | 0.0 |
| 017 | SLE rare | No | -0.1288 | -0.1266 | -0.1324 | -0.1336 | 0.0 | 0.0 |
| 018 | SLE rare | No | -0.1638 | -0.1616 | -0.1674 | -0.1686 | 0.0 | 0.0 |
| 019 | SLE rare | No | -0.1637 | -0.1630 | -0.1646 | -0.1649 | 0.0 | 0.0 |
| 020 | SLE rare | No | -0.1243 | -0.1225 | -0.1271 | -0.1280 | 0.0 | 0.0 |

Relazione Geotecnica e delle Fondazioni

| | | | | | | | | |
|-----|----------|----|---------|---------|---------|---------|-------|-------|
| 021 | SLE rare | No | -0.1743 | -0.1725 | -0.1771 | -0.1780 | 0.0 | 0.0 |
| 022 | SLE freq | No | -0.1137 | -0.1130 | -0.1146 | -0.1149 | 0.0 | 0.0 |
| 023 | SLE freq | No | -0.1437 | -0.1430 | -0.1446 | -0.1449 | 0.0 | 0.0 |
| 024 | SLE freq | No | -0.1243 | -0.1225 | -0.1271 | -0.1280 | 0.0 | 0.0 |
| 025 | SLE freq | No | -0.1543 | -0.1525 | -0.1571 | -0.1580 | 0.0 | 0.0 |
| 026 | SLE freq | No | -0.1487 | -0.1480 | -0.1496 | -0.1499 | 0.0 | 0.0 |
| 027 | SLE freq | No | -0.1228 | -0.1212 | -0.1253 | -0.1261 | 0.0 | 0.0 |
| 028 | SLE freq | No | -0.1578 | -0.1562 | -0.1603 | -0.1611 | 0.0 | 0.0 |
| 029 | SLE q.p. | No | -0.1137 | -0.1130 | -0.1146 | -0.1149 | 0.0 | 0.0 |
| 030 | SLE q.p. | No | -0.1437 | -0.1430 | -0.1446 | -0.1449 | 0.0 | 0.0 |
| 031 | SLE q.p. | No | -0.1228 | -0.1212 | -0.1253 | -0.1261 | 0.0 | 0.0 |
| 032 | SLE q.p. | No | -0.1528 | -0.1512 | -0.1553 | -0.1561 | 0.0 | 0.0 |
| 033 | SLV A1 | Si | -0.0824 | -0.0868 | -0.1000 | -0.0962 | 11.9 | 17.8 |
| 034 | SLV A1 | Si | -0.1309 | -0.1352 | -0.1389 | -0.1359 | 6.7 | 10.3 |
| 035 | SLV A1 | Si | -0.1746 | -0.1671 | -0.1716 | -0.1764 | -6.6 | -10.3 |
| 036 | SLV A1 | Si | -0.2231 | -0.2155 | -0.2105 | -0.2161 | -11.9 | -17.8 |
| 037 | SLV A1 | Si | -0.0821 | -0.0865 | -0.0998 | -0.0959 | 6.8 | 18.0 |
| 038 | SLV A1 | Si | -0.1312 | -0.1355 | -0.1392 | -0.1362 | 11.7 | 10.1 |
| 039 | SLV A1 | Si | -0.1743 | -0.1669 | -0.1714 | -0.1761 | -11.7 | -10.1 |
| 040 | SLV A1 | Si | -0.2234 | -0.2158 | -0.2108 | -0.2164 | -6.8 | -18.0 |
| 041 | SLV A1 | Si | -0.0742 | -0.0783 | -0.0935 | -0.0896 | 11.3 | 20.1 |
| 042 | SLV A1 | Si | -0.1227 | -0.1267 | -0.1324 | -0.1293 | 6.1 | 12.6 |
| 043 | SLV A1 | Si | -0.1828 | -0.1756 | -0.1782 | -0.1830 | -6.1 | -12.7 |
| 044 | SLV A1 | Si | -0.2313 | -0.2240 | -0.2171 | -0.2227 | -11.3 | -20.2 |
| 045 | SLV A1 | Si | -0.0739 | -0.0781 | -0.0932 | -0.0893 | 6.3 | 20.3 |
| 046 | SLV A1 | Si | -0.1230 | -0.1270 | -0.1326 | -0.1296 | 11.2 | 12.5 |
| 047 | SLV A1 | Si | -0.1825 | -0.1753 | -0.1779 | -0.1827 | -11.2 | -12.5 |
| 048 | SLV A1 | Si | -0.2316 | -0.2243 | -0.2173 | -0.2230 | -6.2 | -20.3 |
| 049 | SLV A1 | Si | -0.0582 | -0.0584 | -0.0797 | -0.0779 | 11.5 | 16.7 |
| 050 | SLV A1 | Si | -0.2197 | -0.2198 | -0.2094 | -0.2103 | -5.9 | -8.3 |
| 051 | SLV A1 | Si | -0.0858 | -0.0825 | -0.1012 | -0.1020 | 5.9 | 8.3 |
| 052 | SLV A1 | Si | -0.2473 | -0.2439 | -0.2309 | -0.2344 | -11.5 | -16.7 |
| 053 | SLV A1 | Si | -0.0557 | -0.0559 | -0.0777 | -0.0760 | 11.3 | 17.4 |
| 054 | SLV A1 | Si | -0.2172 | -0.2172 | -0.2074 | -0.2083 | -6.1 | -7.6 |
| 055 | SLV A1 | Si | -0.0883 | -0.0851 | -0.1031 | -0.1040 | 6.1 | 7.6 |
| 056 | SLV A1 | Si | -0.2498 | -0.2464 | -0.2328 | -0.2363 | -11.3 | -17.4 |
| 057 | SLV A1 | Si | -0.0571 | -0.0575 | -0.0789 | -0.0770 | -5.4 | 17.3 |
| 058 | SLV A1 | Si | -0.2208 | -0.2207 | -0.2102 | -0.2112 | 11.0 | -8.9 |
| 059 | SLV A1 | Si | -0.0847 | -0.0816 | -0.1003 | -0.1011 | -11.0 | 8.8 |
| 060 | SLV A1 | Si | -0.2484 | -0.2448 | -0.2317 | -0.2353 | 5.5 | -17.3 |
| 061 | SLV A1 | Si | -0.0546 | -0.0550 | -0.0769 | -0.0750 | -5.6 | 18.0 |
| 062 | SLV A1 | Si | -0.2183 | -0.2181 | -0.2082 | -0.2093 | 10.9 | -8.2 |
| 063 | SLV A1 | Si | -0.0872 | -0.0842 | -0.1023 | -0.1030 | -10.8 | 8.1 |
| 064 | SLV A1 | Si | -0.2509 | -0.2473 | -0.2336 | -0.2373 | 5.6 | -18.0 |
| 065 | SLD | Si | -0.1208 | -0.1219 | -0.1302 | -0.1289 | 5.4 | 8.0 |
| 066 | SLD | Si | -0.1429 | -0.1440 | -0.1479 | -0.1470 | 3.0 | 4.7 |
| 067 | SLD | Si | -0.1626 | -0.1583 | -0.1626 | -0.1653 | -3.0 | -4.7 |
| 068 | SLD | Si | -0.1847 | -0.1804 | -0.1804 | -0.1834 | -5.3 | -8.1 |
| 069 | SLD | Si | -0.1207 | -0.1218 | -0.1301 | -0.1288 | 3.1 | 8.1 |
| 070 | SLD | Si | -0.1431 | -0.1441 | -0.1480 | -0.1471 | 5.3 | 4.6 |
| 071 | SLD | Si | -0.1624 | -0.1582 | -0.1625 | -0.1651 | -5.3 | -4.6 |
| 072 | SLD | Si | -0.1848 | -0.1805 | -0.1805 | -0.1835 | -3.0 | -8.1 |
| 073 | SLD | Si | -0.1171 | -0.1180 | -0.1272 | -0.1259 | 5.1 | 9.1 |
| 074 | SLD | Si | -0.1392 | -0.1401 | -0.1449 | -0.1440 | 2.8 | 5.7 |
| 075 | SLD | Si | -0.1663 | -0.1622 | -0.1656 | -0.1683 | -2.7 | -5.7 |
| 076 | SLD | Si | -0.1885 | -0.1843 | -0.1834 | -0.1864 | -5.1 | -9.1 |
| 077 | SLD | Si | -0.1169 | -0.1179 | -0.1271 | -0.1258 | 2.8 | 9.2 |
| 078 | SLD | Si | -0.1393 | -0.1403 | -0.1450 | -0.1442 | 5.1 | 5.7 |
| 079 | SLD | Si | -0.1662 | -0.1621 | -0.1655 | -0.1681 | -5.0 | -5.7 |
| 080 | SLD | Si | -0.1886 | -0.1844 | -0.1835 | -0.1865 | -2.8 | -9.2 |
| 081 | SLD | Si | -0.1096 | -0.1089 | -0.1208 | -0.1205 | 5.2 | 7.5 |
| 082 | SLD | Si | -0.1833 | -0.1825 | -0.1800 | -0.1809 | -2.7 | -3.7 |
| 083 | SLD | Si | -0.1222 | -0.1198 | -0.1305 | -0.1314 | 2.7 | 3.7 |
| 084 | SLD | Si | -0.1959 | -0.1934 | -0.1897 | -0.1918 | -5.2 | -7.5 |
| 085 | SLD | Si | -0.1085 | -0.1077 | -0.1199 | -0.1196 | 5.1 | 7.9 |
| 086 | SLD | Si | -0.1822 | -0.1814 | -0.1791 | -0.1800 | -2.7 | -3.4 |
| 087 | SLD | Si | -0.1233 | -0.1210 | -0.1314 | -0.1323 | 2.8 | 3.4 |
| 088 | SLD | Si | -0.1970 | -0.1946 | -0.1906 | -0.1927 | -5.1 | -7.9 |
| 089 | SLD | Si | -0.1091 | -0.1085 | -0.1204 | -0.1201 | -2.4 | 7.8 |
| 090 | SLD | Si | -0.1838 | -0.1829 | -0.1804 | -0.1813 | 5.0 | -4.0 |
| 091 | SLD | Si | -0.1217 | -0.1194 | -0.1302 | -0.1310 | -4.9 | 4.0 |
| 092 | SLD | Si | -0.1964 | -0.1938 | -0.1901 | -0.1922 | 2.5 | -7.8 |
| 093 | SLD | Si | -0.1080 | -0.1073 | -0.1195 | -0.1192 | -2.5 | 8.1 |
| 094 | SLD | Si | -0.1827 | -0.1818 | -0.1795 | -0.1804 | 4.9 | -3.7 |

| | | | |
|--------------------------------------|------------------------------------------------------------------------------------------------------------------------------|----------------------------------------------------------------------------------|-------------|
| COMMITTENTE: Mecca Antonio | CODICE COMMESSA: | NOME ELABORATO: S1.5 - Relazione Geotecnica e delle Fondazioni | CONSULENTE: |
| DATA: Aprile 2023 | TITOLO: Lavori ultimazione di un fabbricato adibito ad albergo-ristorante- C.da Case Nuove Chicone Avigliano (PZ) | | |

| | | | | | | | | |
|-----|-----|----|---------|---------|---------|---------|------|------|
| 095 | SLD | Si | -0.1228 | -0.1206 | -0.1311 | -0.1319 | -4.9 | 3.7 |
| 096 | SLD | Si | -0.1975 | -0.1950 | -0.1910 | -0.1931 | 2.6 | -8.1 |
| 097 | SLO | Si | -0.1275 | -0.1280 | -0.1354 | -0.1346 | 4.3 | 6.4 |
| 098 | SLO | Si | -0.1449 | -0.1454 | -0.1494 | -0.1488 | 2.4 | 3.7 |
| 099 | SLO | Si | -0.1607 | -0.1569 | -0.1612 | -0.1635 | -2.4 | -3.7 |
| 100 | SLO | Si | -0.1780 | -0.1743 | -0.1751 | -0.1777 | -4.2 | -6.4 |
| 101 | SLO | Si | -0.1273 | -0.1278 | -0.1353 | -0.1344 | 2.4 | 6.4 |
| 102 | SLO | Si | -0.1451 | -0.1456 | -0.1495 | -0.1490 | 4.2 | 3.6 |
| 103 | SLO | Si | -0.1604 | -0.1567 | -0.1610 | -0.1633 | -4.2 | -3.6 |
| 104 | SLO | Si | -0.1782 | -0.1745 | -0.1753 | -0.1779 | -2.4 | -6.5 |
| 105 | SLO | Si | -0.1245 | -0.1250 | -0.1330 | -0.1322 | 4.1 | 7.2 |
| 106 | SLO | Si | -0.1419 | -0.1423 | -0.1470 | -0.1465 | 2.2 | 4.5 |
| 107 | SLO | Si | -0.1636 | -0.1600 | -0.1635 | -0.1658 | -2.2 | -4.6 |
| 108 | SLO | Si | -0.1810 | -0.1773 | -0.1775 | -0.1801 | -4.0 | -7.2 |
| 109 | SLO | Si | -0.1243 | -0.1248 | -0.1329 | -0.1320 | 2.2 | 7.3 |
| 110 | SLO | Si | -0.1421 | -0.1425 | -0.1472 | -0.1466 | 4.0 | 4.5 |
| 111 | SLO | Si | -0.1634 | -0.1598 | -0.1634 | -0.1657 | -4.0 | -4.5 |
| 112 | SLO | Si | -0.1812 | -0.1775 | -0.1777 | -0.1802 | -2.2 | -7.3 |
| 113 | SLO | Si | -0.1188 | -0.1179 | -0.1282 | -0.1281 | 4.1 | 6.0 |
| 114 | SLO | Si | -0.1767 | -0.1757 | -0.1746 | -0.1755 | -2.1 | -3.0 |
| 115 | SLO | Si | -0.1288 | -0.1266 | -0.1359 | -0.1368 | 2.1 | 2.9 |
| 116 | SLO | Si | -0.1867 | -0.1844 | -0.1824 | -0.1842 | -4.1 | -6.0 |
| 117 | SLO | Si | -0.1180 | -0.1170 | -0.1275 | -0.1274 | 4.1 | 6.2 |
| 118 | SLO | Si | -0.1758 | -0.1748 | -0.1739 | -0.1748 | -2.2 | -2.7 |
| 119 | SLO | Si | -0.1297 | -0.1275 | -0.1366 | -0.1375 | 2.2 | 2.7 |
| 120 | SLO | Si | -0.1876 | -0.1853 | -0.1831 | -0.1849 | -4.0 | -6.2 |
| 121 | SLO | Si | -0.1181 | -0.1173 | -0.1276 | -0.1275 | -1.9 | 6.2 |
| 122 | SLO | Si | -0.1774 | -0.1764 | -0.1752 | -0.1761 | 4.0 | -3.2 |
| 123 | SLO | Si | -0.1281 | -0.1259 | -0.1353 | -0.1362 | -3.9 | 3.2 |
| 124 | SLO | Si | -0.1874 | -0.1850 | -0.1829 | -0.1848 | 2.0 | -6.2 |
| 125 | SLO | Si | -0.1172 | -0.1164 | -0.1269 | -0.1268 | -2.0 | 6.4 |
| 126 | SLO | Si | -0.1765 | -0.1755 | -0.1745 | -0.1754 | 3.9 | -2.9 |
| 127 | SLO | Si | -0.1290 | -0.1269 | -0.1361 | -0.1369 | -3.9 | 2.9 |
| 128 | SLO | Si | -0.1883 | -0.1860 | -0.1836 | -0.1855 | 2.0 | -6.4 |

Elemento: Platea n. 44

| Cmb | Tipo | Sism. | Press. N1 | Press. N2 | Press. N3 | Press. N4 | S. Taglio X | S. Taglio Y |
|-----|----------|-------|---------------------|---------------------|---------------------|---------------------|-------------|-------------|
| n. | | | daN/cm ² | daN/cm ² | daN/cm ² | daN/cm ² | daN | daN |
| 001 | SLU STR | No | -0.1530 | -0.1517 | -0.1557 | -0.1564 | 0.0 | 0.0 |
| 002 | SLU STR | No | -0.2055 | -0.2042 | -0.2082 | -0.2089 | 0.0 | 0.0 |
| 003 | SLU STR | No | -0.1835 | -0.1798 | -0.1954 | -0.1973 | 0.0 | -0.2 |
| 004 | SLU STR | No | -0.2360 | -0.2323 | -0.2479 | -0.2498 | 0.0 | -0.2 |
| 005 | SLU STR | No | -0.1136 | -0.1126 | -0.1155 | -0.1160 | 0.0 | 0.0 |
| 006 | SLU STR | No | -0.1661 | -0.1651 | -0.1680 | -0.1685 | 0.0 | 0.0 |
| 007 | SLU STR | No | -0.1440 | -0.1406 | -0.1551 | -0.1568 | 0.0 | -0.2 |
| 008 | SLU STR | No | -0.1965 | -0.1931 | -0.2076 | -0.2093 | 0.0 | -0.2 |
| 009 | SLU STR | No | -0.2280 | -0.2267 | -0.2307 | -0.2314 | 0.0 | 0.0 |
| 010 | SLU STR | No | -0.1744 | -0.1714 | -0.1835 | -0.1850 | 0.0 | -0.1 |
| 011 | SLU STR | No | -0.2494 | -0.2464 | -0.2585 | -0.2600 | 0.0 | -0.1 |
| 012 | SLU STR | No | -0.1886 | -0.1876 | -0.1905 | -0.1910 | 0.0 | 0.0 |
| 013 | SLU STR | No | -0.1349 | -0.1322 | -0.1432 | -0.1446 | 0.0 | -0.1 |
| 014 | SLU STR | No | -0.2099 | -0.2072 | -0.2182 | -0.2196 | 0.0 | -0.1 |
| 015 | SLE rare | No | -0.1159 | -0.1149 | -0.1179 | -0.1184 | 0.0 | 0.0 |
| 016 | SLE rare | No | -0.1509 | -0.1499 | -0.1529 | -0.1534 | 0.0 | 0.0 |
| 017 | SLE rare | No | -0.1362 | -0.1336 | -0.1443 | -0.1457 | 0.0 | -0.1 |
| 018 | SLE rare | No | -0.1712 | -0.1686 | -0.1793 | -0.1807 | 0.0 | -0.1 |
| 019 | SLE rare | No | -0.1659 | -0.1649 | -0.1679 | -0.1684 | 0.0 | 0.0 |
| 020 | SLE rare | No | -0.1301 | -0.1280 | -0.1364 | -0.1375 | 0.0 | -0.1 |
| 021 | SLE rare | No | -0.1801 | -0.1780 | -0.1864 | -0.1875 | 0.0 | -0.1 |
| 022 | SLE freq | No | -0.1159 | -0.1149 | -0.1179 | -0.1184 | 0.0 | 0.0 |
| 023 | SLE freq | No | -0.1459 | -0.1449 | -0.1479 | -0.1484 | 0.0 | 0.0 |
| 024 | SLE freq | No | -0.1301 | -0.1280 | -0.1364 | -0.1375 | 0.0 | -0.1 |
| 025 | SLE freq | No | -0.1601 | -0.1580 | -0.1664 | -0.1675 | 0.0 | -0.1 |
| 026 | SLE freq | No | -0.1509 | -0.1499 | -0.1529 | -0.1534 | 0.0 | 0.0 |
| 027 | SLE freq | No | -0.1281 | -0.1261 | -0.1338 | -0.1348 | 0.0 | -0.1 |
| 028 | SLE freq | No | -0.1631 | -0.1611 | -0.1688 | -0.1698 | 0.0 | -0.1 |
| 029 | SLE q.p. | No | -0.1159 | -0.1149 | -0.1179 | -0.1184 | 0.0 | 0.0 |
| 030 | SLE q.p. | No | -0.1459 | -0.1449 | -0.1479 | -0.1484 | 0.0 | 0.0 |
| 031 | SLE q.p. | No | -0.1281 | -0.1261 | -0.1338 | -0.1348 | 0.0 | -0.1 |
| 032 | SLE q.p. | No | -0.1581 | -0.1561 | -0.1638 | -0.1648 | 0.0 | -0.1 |
| 033 | SLV A1 | Si | -0.0888 | -0.0962 | -0.1182 | -0.1125 | 39.8 | 66.1 |

Relazione Geotecnica e delle Fondazioni

| | | | | | | | | |
|-----|--------|----|---------|---------|---------|---------|-------|-------|
| 034 | SLV A1 | Si | -0.1276 | -0.1359 | -0.1406 | -0.1352 | 26.3 | 39.2 |
| 035 | SLV A1 | Si | -0.1886 | -0.1764 | -0.1869 | -0.1943 | -26.3 | -39.4 |
| 036 | SLV A1 | Si | -0.2274 | -0.2161 | -0.2093 | -0.2170 | -39.7 | -66.3 |
| 037 | SLV A1 | Si | -0.0884 | -0.0959 | -0.1180 | -0.1122 | 26.5 | 66.3 |
| 038 | SLV A1 | Si | -0.1280 | -0.1362 | -0.1409 | -0.1356 | 39.6 | 39.1 |
| 039 | SLV A1 | Si | -0.1882 | -0.1761 | -0.1867 | -0.1940 | -39.6 | -39.2 |
| 040 | SLV A1 | Si | -0.2278 | -0.2164 | -0.2096 | -0.2174 | -26.5 | -66.5 |
| 041 | SLV A1 | Si | -0.0826 | -0.0896 | -0.1150 | -0.1093 | 38.5 | 74.5 |
| 042 | SLV A1 | Si | -0.1215 | -0.1293 | -0.1374 | -0.1321 | 25.1 | 47.6 |
| 043 | SLV A1 | Si | -0.1947 | -0.1830 | -0.1901 | -0.1975 | -25.0 | -47.8 |
| 044 | SLV A1 | Si | -0.2336 | -0.2227 | -0.2125 | -0.2202 | -38.4 | -74.7 |
| 045 | SLV A1 | Si | -0.0822 | -0.0893 | -0.1148 | -0.1090 | 25.2 | 74.7 |
| 046 | SLV A1 | Si | -0.1219 | -0.1296 | -0.1377 | -0.1324 | 38.3 | 47.5 |
| 047 | SLV A1 | Si | -0.1943 | -0.1827 | -0.1899 | -0.1971 | -38.3 | -47.6 |
| 048 | SLV A1 | Si | -0.2340 | -0.2230 | -0.2128 | -0.2206 | -25.2 | -74.9 |
| 049 | SLV A1 | Si | -0.0784 | -0.0779 | -0.1162 | -0.1146 | 32.3 | 60.6 |
| 050 | SLV A1 | Si | -0.2079 | -0.2103 | -0.1908 | -0.1904 | -12.5 | -29.1 |
| 051 | SLV A1 | Si | -0.1083 | -0.1020 | -0.1368 | -0.1391 | 12.5 | 29.0 |
| 052 | SLV A1 | Si | -0.2378 | -0.2344 | -0.2114 | -0.2149 | -32.3 | -60.8 |
| 053 | SLV A1 | Si | -0.0765 | -0.0760 | -0.1152 | -0.1137 | 31.9 | 63.1 |
| 054 | SLV A1 | Si | -0.2061 | -0.2083 | -0.1898 | -0.1895 | -12.8 | -26.6 |
| 055 | SLV A1 | Si | -0.1101 | -0.1040 | -0.1377 | -0.1401 | 12.9 | 26.4 |
| 056 | SLV A1 | Si | -0.2397 | -0.2363 | -0.2123 | -0.2159 | -31.9 | -63.3 |
| 057 | SLV A1 | Si | -0.0770 | -0.0770 | -0.1153 | -0.1134 | -11.9 | 61.1 |
| 058 | SLV A1 | Si | -0.2093 | -0.2112 | -0.1917 | -0.1916 | 31.8 | -29.6 |
| 059 | SLV A1 | Si | -0.1070 | -0.1011 | -0.1359 | -0.1380 | -31.7 | 29.5 |
| 060 | SLV A1 | Si | -0.2392 | -0.2353 | -0.2123 | -0.2161 | 12.0 | -61.3 |
| 061 | SLV A1 | Si | -0.0752 | -0.0750 | -0.1143 | -0.1125 | -12.3 | 63.6 |
| 062 | SLV A1 | Si | -0.2074 | -0.2093 | -0.1907 | -0.1906 | 31.4 | -27.1 |
| 063 | SLV A1 | Si | -0.1088 | -0.1030 | -0.1368 | -0.1389 | -31.4 | 26.9 |
| 064 | SLV A1 | Si | -0.2410 | -0.2373 | -0.2132 | -0.2171 | 12.4 | -63.8 |
| 065 | SLD | Si | -0.1266 | -0.1289 | -0.1431 | -0.1411 | 18.0 | 29.8 |
| 066 | SLD | Si | -0.1444 | -0.1470 | -0.1533 | -0.1514 | 11.9 | 17.7 |
| 067 | SLD | Si | -0.1718 | -0.1653 | -0.1742 | -0.1781 | -11.8 | -17.9 |
| 068 | SLD | Si | -0.1896 | -0.1834 | -0.1844 | -0.1885 | -17.9 | -30.0 |
| 069 | SLD | Si | -0.1264 | -0.1288 | -0.1430 | -0.1409 | 12.0 | 29.9 |
| 070 | SLD | Si | -0.1445 | -0.1471 | -0.1534 | -0.1516 | 17.9 | 17.6 |
| 071 | SLD | Si | -0.1717 | -0.1651 | -0.1741 | -0.1780 | -17.8 | -17.8 |
| 072 | SLD | Si | -0.1898 | -0.1835 | -0.1846 | -0.1886 | -11.9 | -30.1 |
| 073 | SLD | Si | -0.1238 | -0.1259 | -0.1416 | -0.1396 | 17.4 | 33.7 |
| 074 | SLD | Si | -0.1415 | -0.1440 | -0.1518 | -0.1500 | 11.3 | 21.6 |
| 075 | SLD | Si | -0.1747 | -0.1683 | -0.1757 | -0.1796 | -11.3 | -21.7 |
| 076 | SLD | Si | -0.1924 | -0.1864 | -0.1859 | -0.1899 | -17.4 | -33.8 |
| 077 | SLD | Si | -0.1236 | -0.1258 | -0.1415 | -0.1395 | 11.4 | 33.7 |
| 078 | SLD | Si | -0.1417 | -0.1442 | -0.1520 | -0.1501 | 17.3 | 21.5 |
| 079 | SLD | Si | -0.1745 | -0.1681 | -0.1756 | -0.1794 | -17.3 | -21.7 |
| 080 | SLD | Si | -0.1926 | -0.1865 | -0.1860 | -0.1901 | -11.4 | -33.9 |
| 081 | SLD | Si | -0.1218 | -0.1205 | -0.1421 | -0.1419 | 14.6 | 27.3 |
| 082 | SLD | Si | -0.1809 | -0.1809 | -0.1761 | -0.1765 | -5.6 | -13.1 |
| 083 | SLD | Si | -0.1353 | -0.1314 | -0.1514 | -0.1530 | 5.7 | 12.9 |
| 084 | SLD | Si | -0.1944 | -0.1918 | -0.1855 | -0.1876 | -14.6 | -27.4 |
| 085 | SLD | Si | -0.1209 | -0.1196 | -0.1417 | -0.1415 | 14.4 | 28.4 |
| 086 | SLD | Si | -0.1800 | -0.1800 | -0.1757 | -0.1761 | -5.8 | -12.0 |
| 087 | SLD | Si | -0.1362 | -0.1323 | -0.1519 | -0.1535 | 5.8 | 11.8 |
| 088 | SLD | Si | -0.1953 | -0.1927 | -0.1859 | -0.1881 | -14.4 | -28.6 |
| 089 | SLD | Si | -0.1212 | -0.1201 | -0.1417 | -0.1414 | -5.4 | 27.5 |
| 090 | SLD | Si | -0.1815 | -0.1813 | -0.1765 | -0.1770 | 14.3 | -13.4 |
| 091 | SLD | Si | -0.1347 | -0.1310 | -0.1510 | -0.1525 | -14.3 | 13.2 |
| 092 | SLD | Si | -0.1950 | -0.1922 | -0.1859 | -0.1881 | 5.4 | -27.7 |
| 093 | SLD | Si | -0.1203 | -0.1192 | -0.1413 | -0.1410 | -5.5 | 28.7 |
| 094 | SLD | Si | -0.1806 | -0.1804 | -0.1761 | -0.1766 | 14.2 | -12.2 |
| 095 | SLD | Si | -0.1356 | -0.1319 | -0.1515 | -0.1530 | -14.1 | 12.0 |
| 096 | SLD | Si | -0.1959 | -0.1931 | -0.1863 | -0.1886 | 5.6 | -28.8 |
| 097 | SLO | Si | -0.1332 | -0.1346 | -0.1474 | -0.1460 | 14.2 | 23.6 |
| 098 | SLO | Si | -0.1471 | -0.1488 | -0.1554 | -0.1541 | 9.4 | 14.0 |
| 099 | SLO | Si | -0.1691 | -0.1635 | -0.1721 | -0.1754 | -9.4 | -14.2 |
| 100 | SLO | Si | -0.1830 | -0.1777 | -0.1801 | -0.1836 | -14.2 | -23.8 |
| 101 | SLO | Si | -0.1330 | -0.1344 | -0.1473 | -0.1458 | 9.5 | 23.7 |
| 102 | SLO | Si | -0.1473 | -0.1490 | -0.1556 | -0.1543 | 14.2 | 14.0 |
| 103 | SLO | Si | -0.1689 | -0.1633 | -0.1720 | -0.1752 | -14.1 | -14.2 |
| 104 | SLO | Si | -0.1832 | -0.1779 | -0.1803 | -0.1837 | -9.5 | -23.9 |
| 105 | SLO | Si | -0.1310 | -0.1322 | -0.1462 | -0.1448 | 13.8 | 26.7 |
| 106 | SLO | Si | -0.1449 | -0.1465 | -0.1543 | -0.1530 | 9.0 | 17.1 |
| 107 | SLO | Si | -0.1713 | -0.1658 | -0.1733 | -0.1766 | -9.0 | -17.3 |

| | | | |
|--------------------------------------|------------------------------------------------------------------------------------------------------------------------------|----------------------------------------------------------------------------------|-------------|
| COMMITTENTE: Mecca Antonio | CODICE COMMESSA: | NOME ELABORATO: S1.5 - Relazione Geotecnica e delle Fondazioni | CONSULENTE: |
| DATA: Aprile 2023 | TITOLO: Lavori ultimazione di un fabbricato adibito ad albergo-ristorante- C.da Case Nuove Chicone Avigliano (PZ) | | |

| | | | | | | | | |
|-----|-----|----|---------|---------|---------|---------|-------|-------|
| 108 | SLO | Si | -0.1852 | -0.1801 | -0.1813 | -0.1847 | -13.8 | -26.9 |
| 109 | SLO | Si | -0.1307 | -0.1320 | -0.1461 | -0.1447 | 9.1 | 26.8 |
| 110 | SLO | Si | -0.1451 | -0.1466 | -0.1544 | -0.1532 | 13.7 | 17.0 |
| 111 | SLO | Si | -0.1711 | -0.1657 | -0.1731 | -0.1764 | -13.7 | -17.2 |
| 112 | SLO | Si | -0.1855 | -0.1802 | -0.1814 | -0.1849 | -9.0 | -26.9 |
| 113 | SLO | Si | -0.1295 | -0.1281 | -0.1467 | -0.1468 | 11.6 | 21.6 |
| 114 | SLO | Si | -0.1759 | -0.1755 | -0.1734 | -0.1740 | -4.4 | -10.4 |
| 115 | SLO | Si | -0.1403 | -0.1368 | -0.1541 | -0.1556 | 4.5 | 10.2 |
| 116 | SLO | Si | -0.1867 | -0.1842 | -0.1808 | -0.1828 | -11.5 | -21.8 |
| 117 | SLO | Si | -0.1288 | -0.1274 | -0.1464 | -0.1464 | 11.4 | 22.5 |
| 118 | SLO | Si | -0.1753 | -0.1748 | -0.1731 | -0.1736 | -4.6 | -9.5 |
| 119 | SLO | Si | -0.1409 | -0.1375 | -0.1545 | -0.1559 | 4.6 | 9.3 |
| 120 | SLO | Si | -0.1874 | -0.1849 | -0.1812 | -0.1831 | -11.4 | -22.7 |
| 121 | SLO | Si | -0.1288 | -0.1275 | -0.1462 | -0.1462 | -4.2 | 21.8 |
| 122 | SLO | Si | -0.1767 | -0.1761 | -0.1739 | -0.1745 | 11.4 | -10.6 |
| 123 | SLO | Si | -0.1395 | -0.1362 | -0.1537 | -0.1551 | -11.3 | 10.4 |
| 124 | SLO | Si | -0.1874 | -0.1848 | -0.1813 | -0.1833 | 4.3 | -22.0 |
| 125 | SLO | Si | -0.1281 | -0.1268 | -0.1459 | -0.1459 | -4.4 | 22.7 |
| 126 | SLO | Si | -0.1760 | -0.1754 | -0.1735 | -0.1741 | 11.3 | -9.7 |
| 127 | SLO | Si | -0.1402 | -0.1369 | -0.1540 | -0.1554 | -11.2 | 9.5 |
| 128 | SLO | Si | -0.1881 | -0.1855 | -0.1817 | -0.1837 | 4.4 | -22.9 |

Elemento: Platea n. 45

| Cmb | Tipo | Sism. | Press. N1 | Press. N2 | Press. N3 | Press. N4 | S. Taglio X | S. Taglio Y |
|-----|----------|-------|---------------------|---------------------|---------------------|---------------------|-------------|-------------|
| n. | | | daN/cm ² | daN/cm ² | daN/cm ² | daN/cm ² | daN | daN |
| 001 | SLU STR | No | -0.1712 | -0.1722 | -0.1743 | -0.1749 | 0.0 | 0.0 |
| 002 | SLU STR | No | -0.2237 | -0.2247 | -0.2268 | -0.2274 | 0.0 | 0.0 |
| 003 | SLU STR | No | -0.2567 | -0.2611 | -0.2696 | -0.2715 | -0.2 | -0.2 |
| 004 | SLU STR | No | -0.3092 | -0.3136 | -0.3221 | -0.3240 | -0.2 | -0.2 |
| 005 | SLU STR | No | -0.1265 | -0.1272 | -0.1286 | -0.1291 | 0.0 | 0.0 |
| 006 | SLU STR | No | -0.1790 | -0.1797 | -0.1811 | -0.1816 | 0.0 | 0.0 |
| 007 | SLU STR | No | -0.2119 | -0.2161 | -0.2239 | -0.2257 | -0.2 | -0.2 |
| 008 | SLU STR | No | -0.2644 | -0.2686 | -0.2764 | -0.2782 | -0.2 | -0.2 |
| 009 | SLU STR | No | -0.2462 | -0.2472 | -0.2493 | -0.2499 | 0.0 | 0.0 |
| 010 | SLU STR | No | -0.2310 | -0.2344 | -0.2410 | -0.2425 | -0.2 | -0.1 |
| 011 | SLU STR | No | -0.3060 | -0.3094 | -0.3160 | -0.3175 | -0.2 | -0.1 |
| 012 | SLU STR | No | -0.2015 | -0.2022 | -0.2036 | -0.2041 | 0.0 | 0.0 |
| 013 | SLU STR | No | -0.1863 | -0.1894 | -0.1954 | -0.1967 | -0.2 | -0.1 |
| 014 | SLU STR | No | -0.2613 | -0.2644 | -0.2704 | -0.2717 | -0.2 | -0.1 |
| 015 | SLE rare | No | -0.1294 | -0.1302 | -0.1317 | -0.1322 | 0.0 | 0.0 |
| 016 | SLE rare | No | -0.1644 | -0.1652 | -0.1667 | -0.1672 | 0.0 | 0.0 |
| 017 | SLE rare | No | -0.1864 | -0.1894 | -0.1952 | -0.1965 | -0.2 | -0.1 |
| 018 | SLE rare | No | -0.2214 | -0.2244 | -0.2302 | -0.2315 | -0.2 | -0.1 |
| 019 | SLE rare | No | -0.1794 | -0.1802 | -0.1817 | -0.1822 | 0.0 | 0.0 |
| 020 | SLE rare | No | -0.1693 | -0.1717 | -0.1762 | -0.1772 | -0.1 | -0.1 |
| 021 | SLE rare | No | -0.2193 | -0.2217 | -0.2262 | -0.2272 | -0.1 | -0.1 |
| 022 | SLE freq | No | -0.1294 | -0.1302 | -0.1317 | -0.1322 | 0.0 | 0.0 |
| 023 | SLE freq | No | -0.1594 | -0.1602 | -0.1617 | -0.1622 | 0.0 | 0.0 |
| 024 | SLE freq | No | -0.1693 | -0.1717 | -0.1762 | -0.1772 | -0.1 | -0.1 |
| 025 | SLE freq | No | -0.1993 | -0.2017 | -0.2062 | -0.2072 | -0.1 | -0.1 |
| 026 | SLE freq | No | -0.1644 | -0.1652 | -0.1667 | -0.1672 | 0.0 | 0.0 |
| 027 | SLE freq | No | -0.1636 | -0.1657 | -0.1698 | -0.1708 | -0.1 | -0.1 |
| 028 | SLE freq | No | -0.1986 | -0.2007 | -0.2048 | -0.2058 | -0.1 | -0.1 |
| 029 | SLE q.p. | No | -0.1294 | -0.1302 | -0.1317 | -0.1322 | 0.0 | 0.0 |
| 030 | SLE q.p. | No | -0.1594 | -0.1602 | -0.1617 | -0.1622 | 0.0 | 0.0 |
| 031 | SLE q.p. | No | -0.1636 | -0.1657 | -0.1698 | -0.1708 | -0.1 | -0.1 |
| 032 | SLE q.p. | No | -0.1936 | -0.1957 | -0.1998 | -0.2008 | -0.1 | -0.1 |
| 033 | SLV A1 | Si | -0.1836 | -0.1921 | -0.2034 | -0.1997 | 16.6 | 26.0 |
| 034 | SLV A1 | Si | -0.1430 | -0.1470 | -0.1499 | -0.1452 | 25.2 | 15.4 |
| 035 | SLV A1 | Si | -0.2442 | -0.2444 | -0.2497 | -0.2564 | -25.4 | -15.6 |
| 036 | SLV A1 | Si | -0.2037 | -0.1993 | -0.1963 | -0.2019 | -16.8 | -26.1 |
| 037 | SLV A1 | Si | -0.1834 | -0.1920 | -0.2033 | -0.1995 | 24.9 | 25.9 |
| 038 | SLV A1 | Si | -0.1432 | -0.1472 | -0.1500 | -0.1453 | 16.9 | 15.5 |
| 039 | SLV A1 | Si | -0.2440 | -0.2443 | -0.2496 | -0.2562 | -17.1 | -15.7 |
| 040 | SLV A1 | Si | -0.2039 | -0.1995 | -0.1964 | -0.2021 | -25.1 | -26.0 |
| 041 | SLV A1 | Si | -0.1840 | -0.1911 | -0.1995 | -0.1975 | 17.9 | 29.2 |
| 042 | SLV A1 | Si | -0.1434 | -0.1460 | -0.1460 | -0.1430 | 26.5 | 18.7 |
| 043 | SLV A1 | Si | -0.2438 | -0.2454 | -0.2536 | -0.2586 | -26.7 | -18.8 |
| 044 | SLV A1 | Si | -0.2033 | -0.2003 | -0.2002 | -0.2040 | -18.1 | -29.4 |
| 045 | SLV A1 | Si | -0.1837 | -0.1910 | -0.1994 | -0.1974 | 26.2 | 29.1 |
| 046 | SLV A1 | Si | -0.1436 | -0.1462 | -0.1461 | -0.1432 | 18.2 | 18.7 |

Relazione Geotecnica e delle Fondazioni

| | | | | | | | | |
|-----|--------|----|---------|---------|---------|---------|-------|-------|
| 047 | SLV A1 | Si | -0.2436 | -0.2453 | -0.2535 | -0.2584 | -18.4 | -18.9 |
| 048 | SLV A1 | Si | -0.2035 | -0.2005 | -0.2003 | -0.2042 | -26.4 | -29.3 |
| 049 | SLV A1 | Si | -0.2521 | -0.2631 | -0.2820 | -0.2832 | -8.1 | 23.8 |
| 050 | SLV A1 | Si | -0.1169 | -0.1127 | -0.1037 | -0.1014 | 20.5 | -11.4 |
| 051 | SLV A1 | Si | -0.2703 | -0.2788 | -0.2959 | -0.3002 | -20.7 | 11.3 |
| 052 | SLV A1 | Si | -0.1351 | -0.1284 | -0.1176 | -0.1184 | 7.9 | -23.9 |
| 053 | SLV A1 | Si | -0.2523 | -0.2628 | -0.2808 | -0.2825 | -7.7 | 24.7 |
| 054 | SLV A1 | Si | -0.1170 | -0.1124 | -0.1026 | -0.1007 | 20.9 | -10.5 |
| 055 | SLV A1 | Si | -0.2702 | -0.2791 | -0.2971 | -0.3008 | -21.1 | 10.3 |
| 056 | SLV A1 | Si | -0.1350 | -0.1287 | -0.1188 | -0.1191 | 7.5 | -24.9 |
| 057 | SLV A1 | Si | -0.2514 | -0.2625 | -0.2816 | -0.2826 | 19.6 | 23.5 |
| 058 | SLV A1 | Si | -0.1176 | -0.1132 | -0.1041 | -0.1020 | -7.2 | -11.1 |
| 059 | SLV A1 | Si | -0.2696 | -0.2782 | -0.2955 | -0.2996 | 7.0 | 11.0 |
| 060 | SLV A1 | Si | -0.1358 | -0.1289 | -0.1180 | -0.1190 | -19.8 | -23.6 |
| 061 | SLV A1 | Si | -0.2516 | -0.2622 | -0.2804 | -0.2819 | 20.0 | 24.4 |
| 062 | SLV A1 | Si | -0.1177 | -0.1129 | -0.1029 | -0.1013 | -6.8 | -10.2 |
| 063 | SLV A1 | Si | -0.2695 | -0.2785 | -0.2967 | -0.3002 | 6.6 | 10.0 |
| 064 | SLV A1 | Si | -0.1357 | -0.1292 | -0.1192 | -0.1197 | -20.2 | -24.6 |
| 065 | SLD | Si | -0.1891 | -0.1942 | -0.2015 | -0.2004 | 7.5 | 11.7 |
| 066 | SLD | Si | -0.1706 | -0.1736 | -0.1771 | -0.1755 | 11.4 | 7.0 |
| 067 | SLD | Si | -0.2166 | -0.2179 | -0.2225 | -0.2261 | -11.6 | -7.1 |
| 068 | SLD | Si | -0.1981 | -0.1973 | -0.1981 | -0.2012 | -7.7 | -11.8 |
| 069 | SLD | Si | -0.1890 | -0.1941 | -0.2015 | -0.2003 | 11.3 | 11.7 |
| 070 | SLD | Si | -0.1707 | -0.1737 | -0.1772 | -0.1756 | 7.6 | 7.0 |
| 071 | SLD | Si | -0.2165 | -0.2178 | -0.2225 | -0.2260 | -7.8 | -7.1 |
| 072 | SLD | Si | -0.1982 | -0.1974 | -0.1982 | -0.2013 | -11.5 | -11.8 |
| 073 | SLD | Si | -0.1893 | -0.1937 | -0.1997 | -0.1994 | 8.0 | 13.2 |
| 074 | SLD | Si | -0.1708 | -0.1731 | -0.1753 | -0.1745 | 12.0 | 8.4 |
| 075 | SLD | Si | -0.2165 | -0.2184 | -0.2244 | -0.2271 | -12.2 | -8.6 |
| 076 | SLD | Si | -0.1980 | -0.1978 | -0.1999 | -0.2022 | -8.2 | -13.3 |
| 077 | SLD | Si | -0.1892 | -0.1936 | -0.1996 | -0.1993 | 11.8 | 13.1 |
| 078 | SLD | Si | -0.1709 | -0.1732 | -0.1754 | -0.1746 | 8.2 | 8.5 |
| 079 | SLD | Si | -0.2164 | -0.2183 | -0.2243 | -0.2270 | -8.4 | -8.6 |
| 080 | SLD | Si | -0.1980 | -0.1979 | -0.2000 | -0.2023 | -12.0 | -13.3 |
| 081 | SLD | Si | -0.2203 | -0.2265 | -0.2374 | -0.2384 | -3.8 | 10.7 |
| 082 | SLD | Si | -0.1586 | -0.1579 | -0.1560 | -0.1554 | 9.3 | -5.2 |
| 083 | SLD | Si | -0.2286 | -0.2336 | -0.2437 | -0.2461 | -9.5 | 5.0 |
| 084 | SLD | Si | -0.1669 | -0.1650 | -0.1623 | -0.1632 | 3.6 | -10.8 |
| 085 | SLD | Si | -0.2204 | -0.2264 | -0.2368 | -0.2381 | -3.6 | 11.1 |
| 086 | SLD | Si | -0.1587 | -0.1577 | -0.1554 | -0.1551 | 9.5 | -4.7 |
| 087 | SLD | Si | -0.2285 | -0.2338 | -0.2442 | -0.2464 | -9.7 | 4.6 |
| 088 | SLD | Si | -0.1668 | -0.1651 | -0.1628 | -0.1635 | 3.4 | -11.2 |
| 089 | SLD | Si | -0.2200 | -0.2262 | -0.2372 | -0.2381 | 8.9 | 10.5 |
| 090 | SLD | Si | -0.1590 | -0.1581 | -0.1562 | -0.1557 | -3.4 | -5.0 |
| 091 | SLD | Si | -0.2283 | -0.2333 | -0.2435 | -0.2458 | 3.2 | 4.9 |
| 092 | SLD | Si | -0.1672 | -0.1652 | -0.1625 | -0.1635 | -9.1 | -10.7 |
| 093 | SLD | Si | -0.2201 | -0.2261 | -0.2366 | -0.2378 | 9.0 | 11.0 |
| 094 | SLD | Si | -0.1590 | -0.1580 | -0.1556 | -0.1554 | -3.2 | -4.6 |
| 095 | SLD | Si | -0.2282 | -0.2335 | -0.2440 | -0.2461 | 3.0 | 4.5 |
| 096 | SLD | Si | -0.1672 | -0.1654 | -0.1630 | -0.1638 | -9.2 | -11.1 |
| 097 | SLO | Si | -0.1900 | -0.1944 | -0.2011 | -0.2004 | 5.9 | 9.3 |
| 098 | SLO | Si | -0.1754 | -0.1783 | -0.1819 | -0.1808 | 9.0 | 5.5 |
| 099 | SLO | Si | -0.2118 | -0.2132 | -0.2177 | -0.2208 | -9.2 | -5.6 |
| 100 | SLO | Si | -0.1972 | -0.1971 | -0.1986 | -0.2012 | -6.1 | -9.4 |
| 101 | SLO | Si | -0.1900 | -0.1944 | -0.2011 | -0.2004 | 8.9 | 9.2 |
| 102 | SLO | Si | -0.1754 | -0.1782 | -0.1818 | -0.1808 | 6.0 | 5.5 |
| 103 | SLO | Si | -0.2118 | -0.2132 | -0.2178 | -0.2208 | -6.2 | -5.7 |
| 104 | SLO | Si | -0.1972 | -0.1970 | -0.1985 | -0.2012 | -9.1 | -9.4 |
| 105 | SLO | Si | -0.1901 | -0.1941 | -0.1997 | -0.1996 | 6.4 | 10.4 |
| 106 | SLO | Si | -0.1756 | -0.1779 | -0.1805 | -0.1801 | 9.5 | 6.7 |
| 107 | SLO | Si | -0.2116 | -0.2136 | -0.2191 | -0.2215 | -9.7 | -6.8 |
| 108 | SLO | Si | -0.1971 | -0.1974 | -0.2000 | -0.2020 | -6.6 | -10.6 |
| 109 | SLO | Si | -0.1901 | -0.1941 | -0.1997 | -0.1996 | 9.4 | 10.4 |
| 110 | SLO | Si | -0.1756 | -0.1779 | -0.1804 | -0.1800 | 6.5 | 6.7 |
| 111 | SLO | Si | -0.2116 | -0.2136 | -0.2192 | -0.2216 | -6.7 | -6.8 |
| 112 | SLO | Si | -0.1971 | -0.1974 | -0.1999 | -0.2019 | -9.6 | -10.6 |
| 113 | SLO | Si | -0.2146 | -0.2198 | -0.2292 | -0.2303 | -3.0 | 8.4 |
| 114 | SLO | Si | -0.1661 | -0.1660 | -0.1654 | -0.1652 | 7.3 | -4.1 |
| 115 | SLO | Si | -0.2211 | -0.2255 | -0.2342 | -0.2364 | -7.5 | 4.0 |
| 116 | SLO | Si | -0.1727 | -0.1716 | -0.1704 | -0.1713 | 2.8 | -8.6 |
| 117 | SLO | Si | -0.2146 | -0.2197 | -0.2288 | -0.2301 | -2.8 | 8.8 |
| 118 | SLO | Si | -0.1662 | -0.1659 | -0.1650 | -0.1649 | 7.4 | -3.8 |
| 119 | SLO | Si | -0.2211 | -0.2256 | -0.2347 | -0.2366 | -7.6 | 3.6 |
| 120 | SLO | Si | -0.1726 | -0.1717 | -0.1708 | -0.1715 | 2.6 | -8.9 |

| | | | |
|--------------------------------------|----------------------------------------------------------------------------------------------------------------------|----------------------------------------------------------------------------------|-------------|
| COMMITTENTE: Mecca Antonio | CODICE COMMESSA: | NOME ELABORATO: S1.5 - Relazione Geotecnica e delle Fondazioni | CONSULENTE: |
| DATA: Aprile 2023 | TITOLO: Lavori ultimazione di un fabbricato adibito ad albergo-ristorante- C.da Case Nuove Chicone Avigliano (PZ) | | |

| | | | | | | | | |
|-----|-----|----|---------|---------|---------|---------|------|------|
| 121 | SLO | Si | -0.2146 | -0.2200 | -0.2295 | -0.2304 | 7.0 | 8.3 |
| 122 | SLO | Si | -0.1661 | -0.1659 | -0.1652 | -0.1650 | -2.7 | -4.0 |
| 123 | SLO | Si | -0.2211 | -0.2256 | -0.2345 | -0.2366 | 2.5 | 3.9 |
| 124 | SLO | Si | -0.1726 | -0.1715 | -0.1702 | -0.1711 | -7.2 | -8.5 |
| 125 | SLO | Si | -0.2146 | -0.2198 | -0.2291 | -0.2302 | 7.2 | 8.7 |
| 126 | SLO | Si | -0.1661 | -0.1658 | -0.1648 | -0.1648 | -2.5 | -3.7 |
| 127 | SLO | Si | -0.2211 | -0.2257 | -0.2349 | -0.2368 | 2.3 | 3.5 |
| 128 | SLO | Si | -0.1726 | -0.1716 | -0.1706 | -0.1714 | -7.4 | -8.8 |

Elemento: Platea n. 46

| Cmb | Tipo | Sism. | Press. N1 | Press. N2 | Press. N3 | Press. N4 | S. Taglio X | S. Taglio Y |
|-----|----------|-------|---------------------|---------------------|---------------------|---------------------|-------------|-------------|
| n. | | | daN/cm ² | daN/cm ² | daN/cm ² | daN/cm ² | daN | daN |
| 001 | SLU STR | No | -0.1517 | -0.1512 | -0.1550 | -0.1557 | 0.0 | 0.0 |
| 002 | SLU STR | No | -0.2042 | -0.2037 | -0.2075 | -0.2082 | 0.0 | 0.0 |
| 003 | SLU STR | No | -0.1798 | -0.1780 | -0.1928 | -0.1954 | 0.0 | 0.0 |
| 004 | SLU STR | No | -0.2323 | -0.2305 | -0.2453 | -0.2479 | 0.0 | 0.0 |
| 005 | SLU STR | No | -0.1126 | -0.1123 | -0.1149 | -0.1155 | 0.0 | 0.0 |
| 006 | SLU STR | No | -0.1651 | -0.1648 | -0.1674 | -0.1680 | 0.0 | 0.0 |
| 007 | SLU STR | No | -0.1406 | -0.1390 | -0.1528 | -0.1551 | 0.0 | 0.0 |
| 008 | SLU STR | No | -0.1931 | -0.1915 | -0.2053 | -0.2076 | 0.0 | 0.0 |
| 009 | SLU STR | No | -0.2267 | -0.2262 | -0.2300 | -0.2307 | 0.0 | 0.0 |
| 010 | SLU STR | No | -0.1714 | -0.1700 | -0.1815 | -0.1835 | 0.0 | 0.0 |
| 011 | SLU STR | No | -0.2464 | -0.2450 | -0.2565 | -0.2585 | 0.0 | 0.0 |
| 012 | SLU STR | No | -0.1876 | -0.1873 | -0.1899 | -0.1905 | 0.0 | 0.0 |
| 013 | SLU STR | No | -0.1322 | -0.1310 | -0.1414 | -0.1432 | 0.0 | 0.0 |
| 014 | SLU STR | No | -0.2072 | -0.2060 | -0.2164 | -0.2182 | 0.0 | 0.0 |
| 015 | SLE rare | No | -0.1149 | -0.1146 | -0.1173 | -0.1179 | 0.0 | 0.0 |
| 016 | SLE rare | No | -0.1499 | -0.1496 | -0.1523 | -0.1529 | 0.0 | 0.0 |
| 017 | SLE rare | No | -0.1336 | -0.1324 | -0.1426 | -0.1443 | 0.0 | 0.0 |
| 018 | SLE rare | No | -0.1686 | -0.1674 | -0.1776 | -0.1793 | 0.0 | 0.0 |
| 019 | SLE rare | No | -0.1649 | -0.1646 | -0.1673 | -0.1679 | 0.0 | 0.0 |
| 020 | SLE rare | No | -0.1280 | -0.1271 | -0.1350 | -0.1364 | 0.0 | 0.0 |
| 021 | SLE rare | No | -0.1780 | -0.1771 | -0.1850 | -0.1864 | 0.0 | 0.0 |
| 022 | SLE freq | No | -0.1149 | -0.1146 | -0.1173 | -0.1179 | 0.0 | 0.0 |
| 023 | SLE freq | No | -0.1449 | -0.1446 | -0.1473 | -0.1479 | 0.0 | 0.0 |
| 024 | SLE freq | No | -0.1280 | -0.1271 | -0.1350 | -0.1364 | 0.0 | 0.0 |
| 025 | SLE freq | No | -0.1580 | -0.1571 | -0.1650 | -0.1664 | 0.0 | 0.0 |
| 026 | SLE freq | No | -0.1499 | -0.1496 | -0.1523 | -0.1529 | 0.0 | 0.0 |
| 027 | SLE freq | No | -0.1261 | -0.1253 | -0.1325 | -0.1338 | 0.0 | 0.0 |
| 028 | SLE freq | No | -0.1611 | -0.1603 | -0.1675 | -0.1688 | 0.0 | 0.0 |
| 029 | SLE q.p. | No | -0.1149 | -0.1146 | -0.1173 | -0.1179 | 0.0 | 0.0 |
| 030 | SLE q.p. | No | -0.1449 | -0.1446 | -0.1473 | -0.1479 | 0.0 | 0.0 |
| 031 | SLE q.p. | No | -0.1261 | -0.1253 | -0.1325 | -0.1338 | 0.0 | 0.0 |
| 032 | SLE q.p. | No | -0.1561 | -0.1553 | -0.1625 | -0.1638 | 0.0 | 0.0 |
| 033 | SLV A1 | Si | -0.0962 | -0.1000 | -0.1227 | -0.1182 | 23.9 | 34.1 |
| 034 | SLV A1 | Si | -0.1359 | -0.1389 | -0.1452 | -0.1406 | 15.9 | 19.7 |
| 035 | SLV A1 | Si | -0.1764 | -0.1716 | -0.1798 | -0.1869 | -15.8 | -19.7 |
| 036 | SLV A1 | Si | -0.2161 | -0.2105 | -0.2023 | -0.2093 | -23.9 | -34.1 |
| 037 | SLV A1 | Si | -0.0959 | -0.0998 | -0.1225 | -0.1180 | 16.0 | 34.4 |
| 038 | SLV A1 | Si | -0.1362 | -0.1392 | -0.1454 | -0.1409 | 23.8 | 19.4 |
| 039 | SLV A1 | Si | -0.1761 | -0.1714 | -0.1796 | -0.1867 | -23.8 | -19.4 |
| 040 | SLV A1 | Si | -0.2164 | -0.2108 | -0.2025 | -0.2096 | -15.9 | -34.4 |
| 041 | SLV A1 | Si | -0.0896 | -0.0935 | -0.1193 | -0.1150 | 23.1 | 38.5 |
| 042 | SLV A1 | Si | -0.1293 | -0.1324 | -0.1418 | -0.1374 | 15.1 | 24.2 |
| 043 | SLV A1 | Si | -0.1830 | -0.1782 | -0.1832 | -0.1901 | -15.1 | -24.2 |
| 044 | SLV A1 | Si | -0.2227 | -0.2171 | -0.2057 | -0.2125 | -23.1 | -38.6 |
| 045 | SLV A1 | Si | -0.0893 | -0.0932 | -0.1191 | -0.1148 | 15.2 | 38.8 |
| 046 | SLV A1 | Si | -0.1296 | -0.1326 | -0.1420 | -0.1377 | 23.0 | 23.8 |
| 047 | SLV A1 | Si | -0.1827 | -0.1779 | -0.1830 | -0.1899 | -23.0 | -23.9 |
| 048 | SLV A1 | Si | -0.2230 | -0.2173 | -0.2059 | -0.2128 | -15.2 | -38.9 |
| 049 | SLV A1 | Si | -0.0779 | -0.0797 | -0.1165 | -0.1162 | 19.3 | 32.0 |
| 050 | SLV A1 | Si | -0.2103 | -0.2094 | -0.1914 | -0.1908 | -7.4 | -15.9 |
| 051 | SLV A1 | Si | -0.1020 | -0.1012 | -0.1336 | -0.1368 | 7.4 | 15.9 |
| 052 | SLV A1 | Si | -0.2344 | -0.2309 | -0.2085 | -0.2114 | -19.3 | -32.0 |
| 053 | SLV A1 | Si | -0.0760 | -0.0777 | -0.1154 | -0.1152 | 19.1 | 33.4 |
| 054 | SLV A1 | Si | -0.2083 | -0.2074 | -0.1903 | -0.1898 | -7.6 | -14.6 |
| 055 | SLV A1 | Si | -0.1040 | -0.1031 | -0.1346 | -0.1377 | 7.6 | 14.5 |
| 056 | SLV A1 | Si | -0.2363 | -0.2328 | -0.2095 | -0.2123 | -19.1 | -33.4 |
| 057 | SLV A1 | Si | -0.0770 | -0.0789 | -0.1158 | -0.1153 | -7.1 | 33.1 |
| 058 | SLV A1 | Si | -0.2112 | -0.2102 | -0.1921 | -0.1917 | 19.0 | -17.0 |
| 059 | SLV A1 | Si | -0.1011 | -0.1003 | -0.1329 | -0.1359 | -19.0 | 17.0 |

Relazione Geotecnica e delle Fondazioni

| | | | | | | | | |
|-----|--------|----|---------|---------|---------|---------|-------|-------|
| 060 | SLV A1 | Si | -0.2353 | -0.2317 | -0.2092 | -0.2123 | 7.1 | -33.1 |
| 061 | SLV A1 | Si | -0.0750 | -0.0769 | -0.1147 | -0.1143 | -7.3 | 34.4 |
| 062 | SLV A1 | Si | -0.2093 | -0.2082 | -0.1910 | -0.1907 | 18.8 | -15.6 |
| 063 | SLV A1 | Si | -0.1030 | -0.1023 | -0.1339 | -0.1368 | -18.8 | 15.6 |
| 064 | SLV A1 | Si | -0.2373 | -0.2336 | -0.2102 | -0.2132 | 7.3 | -34.4 |
| 065 | SLD | Si | -0.1289 | -0.1302 | -0.1444 | -0.1431 | 10.8 | 15.4 |
| 066 | SLD | Si | -0.1470 | -0.1479 | -0.1547 | -0.1533 | 7.2 | 8.9 |
| 067 | SLD | Si | -0.1653 | -0.1626 | -0.1703 | -0.1742 | -7.1 | -8.9 |
| 068 | SLD | Si | -0.1834 | -0.1804 | -0.1806 | -0.1844 | -10.8 | -15.4 |
| 069 | SLD | Si | -0.1288 | -0.1301 | -0.1443 | -0.1430 | 7.2 | 15.5 |
| 070 | SLD | Si | -0.1471 | -0.1480 | -0.1548 | -0.1534 | 10.7 | 8.8 |
| 071 | SLD | Si | -0.1651 | -0.1625 | -0.1702 | -0.1741 | -10.7 | -8.8 |
| 072 | SLD | Si | -0.1835 | -0.1805 | -0.1806 | -0.1846 | -7.2 | -15.6 |
| 073 | SLD | Si | -0.1259 | -0.1272 | -0.1429 | -0.1416 | 10.4 | 17.4 |
| 074 | SLD | Si | -0.1440 | -0.1449 | -0.1531 | -0.1518 | 6.8 | 11.0 |
| 075 | SLD | Si | -0.1683 | -0.1656 | -0.1719 | -0.1757 | -6.8 | -11.0 |
| 076 | SLD | Si | -0.1864 | -0.1834 | -0.1821 | -0.1859 | -10.4 | -17.4 |
| 077 | SLD | Si | -0.1258 | -0.1271 | -0.1428 | -0.1415 | 6.9 | 17.6 |
| 078 | SLD | Si | -0.1442 | -0.1450 | -0.1532 | -0.1520 | 10.4 | 10.8 |
| 079 | SLD | Si | -0.1681 | -0.1655 | -0.1718 | -0.1756 | -10.4 | -10.8 |
| 080 | SLD | Si | -0.1865 | -0.1835 | -0.1822 | -0.1860 | -6.8 | -17.6 |
| 081 | SLD | Si | -0.1205 | -0.1208 | -0.1415 | -0.1421 | 8.7 | 14.4 |
| 082 | SLD | Si | -0.1809 | -0.1800 | -0.1757 | -0.1761 | -3.3 | -7.2 |
| 083 | SLD | Si | -0.1314 | -0.1305 | -0.1493 | -0.1514 | 3.4 | 7.1 |
| 084 | SLD | Si | -0.1918 | -0.1897 | -0.1835 | -0.1855 | -8.7 | -14.4 |
| 085 | SLD | Si | -0.1196 | -0.1199 | -0.1410 | -0.1417 | 8.6 | 15.0 |
| 086 | SLD | Si | -0.1800 | -0.1791 | -0.1752 | -0.1757 | -3.4 | -6.5 |
| 087 | SLD | Si | -0.1323 | -0.1314 | -0.1497 | -0.1519 | 3.5 | 6.5 |
| 088 | SLD | Si | -0.1927 | -0.1906 | -0.1839 | -0.1859 | -8.6 | -15.1 |
| 089 | SLD | Si | -0.1201 | -0.1204 | -0.1412 | -0.1417 | -3.2 | 14.9 |
| 090 | SLD | Si | -0.1813 | -0.1804 | -0.1760 | -0.1765 | 8.6 | -7.7 |
| 091 | SLD | Si | -0.1310 | -0.1302 | -0.1490 | -0.1510 | -8.6 | 7.6 |
| 092 | SLD | Si | -0.1922 | -0.1901 | -0.1838 | -0.1859 | 3.2 | -14.9 |
| 093 | SLD | Si | -0.1192 | -0.1195 | -0.1407 | -0.1413 | -3.3 | 15.5 |
| 094 | SLD | Si | -0.1804 | -0.1795 | -0.1755 | -0.1761 | 8.5 | -7.0 |
| 095 | SLD | Si | -0.1319 | -0.1311 | -0.1494 | -0.1515 | -8.5 | 7.0 |
| 096 | SLD | Si | -0.1931 | -0.1910 | -0.1842 | -0.1863 | 3.3 | -15.6 |
| 097 | SLO | Si | -0.1346 | -0.1354 | -0.1482 | -0.1474 | 8.6 | 12.2 |
| 098 | SLO | Si | -0.1488 | -0.1494 | -0.1562 | -0.1554 | 5.7 | 7.1 |
| 099 | SLO | Si | -0.1635 | -0.1612 | -0.1687 | -0.1721 | -5.7 | -7.1 |
| 100 | SLO | Si | -0.1777 | -0.1751 | -0.1768 | -0.1801 | -8.5 | -12.2 |
| 101 | SLO | Si | -0.1344 | -0.1353 | -0.1481 | -0.1473 | 5.7 | 12.3 |
| 102 | SLO | Si | -0.1490 | -0.1495 | -0.1564 | -0.1556 | 8.5 | 6.9 |
| 103 | SLO | Si | -0.1633 | -0.1610 | -0.1686 | -0.1720 | -8.5 | -7.0 |
| 104 | SLO | Si | -0.1779 | -0.1753 | -0.1769 | -0.1803 | -5.7 | -12.3 |
| 105 | SLO | Si | -0.1322 | -0.1330 | -0.1469 | -0.1462 | 8.3 | 13.8 |
| 106 | SLO | Si | -0.1465 | -0.1470 | -0.1550 | -0.1543 | 5.4 | 8.7 |
| 107 | SLO | Si | -0.1658 | -0.1635 | -0.1700 | -0.1733 | -5.4 | -8.7 |
| 108 | SLO | Si | -0.1801 | -0.1775 | -0.1780 | -0.1813 | -8.3 | -13.8 |
| 109 | SLO | Si | -0.1320 | -0.1329 | -0.1468 | -0.1461 | 5.5 | 13.9 |
| 110 | SLO | Si | -0.1466 | -0.1472 | -0.1551 | -0.1544 | 8.3 | 8.6 |
| 111 | SLO | Si | -0.1657 | -0.1634 | -0.1698 | -0.1731 | -8.2 | -8.6 |
| 112 | SLO | Si | -0.1802 | -0.1777 | -0.1781 | -0.1814 | -5.4 | -14.0 |
| 113 | SLO | Si | -0.1281 | -0.1282 | -0.1460 | -0.1467 | 6.9 | 11.4 |
| 114 | SLO | Si | -0.1755 | -0.1746 | -0.1728 | -0.1734 | -2.6 | -5.7 |
| 115 | SLO | Si | -0.1368 | -0.1359 | -0.1521 | -0.1541 | 2.7 | 5.6 |
| 116 | SLO | Si | -0.1842 | -0.1824 | -0.1790 | -0.1808 | -6.9 | -11.5 |
| 117 | SLO | Si | -0.1274 | -0.1275 | -0.1456 | -0.1464 | 6.8 | 11.9 |
| 118 | SLO | Si | -0.1748 | -0.1739 | -0.1725 | -0.1731 | -2.7 | -5.2 |
| 119 | SLO | Si | -0.1375 | -0.1366 | -0.1525 | -0.1545 | 2.7 | 5.2 |
| 120 | SLO | Si | -0.1849 | -0.1831 | -0.1794 | -0.1812 | -6.8 | -11.9 |
| 121 | SLO | Si | -0.1275 | -0.1276 | -0.1456 | -0.1462 | -2.5 | 11.8 |
| 122 | SLO | Si | -0.1761 | -0.1752 | -0.1732 | -0.1739 | 6.8 | -6.1 |
| 123 | SLO | Si | -0.1362 | -0.1353 | -0.1517 | -0.1537 | -6.8 | 6.1 |
| 124 | SLO | Si | -0.1848 | -0.1829 | -0.1794 | -0.1813 | 2.5 | -11.9 |
| 125 | SLO | Si | -0.1268 | -0.1269 | -0.1452 | -0.1459 | -2.6 | 12.3 |
| 126 | SLO | Si | -0.1754 | -0.1745 | -0.1728 | -0.1735 | 6.7 | -5.6 |
| 127 | SLO | Si | -0.1369 | -0.1361 | -0.1521 | -0.1540 | -6.7 | 5.6 |
| 128 | SLO | Si | -0.1855 | -0.1836 | -0.1797 | -0.1817 | 2.6 | -12.3 |

Elemento: Platea n. 47

| Cmb | Tipo | Sism. | Press. N1 | Press. N2 | Press. N3 | Press. N4 | S. Taglio X | S. Taglio Y |
|-----|------|-------|---------------------|---------------------|---------------------|---------------------|-------------|-------------|
| n. | | | daN/cm ² | daN/cm ² | daN/cm ² | daN/cm ² | daN | daN |

| | | | |
|--------------------------------------|------------------------------------------------------------------------------------------------------------------------------|----------------------------------------------------------------------------------|-------------|
| COMMITTENTE: Mecca Antonio | CODICE COMMESSA: | NOME ELABORATO: S1.5 - Relazione Geotecnica e delle Fondazioni | CONSULENTE: |
| DATA: Aprile 2023 | TITOLO: Lavori ultimazione di un fabbricato adibito ad albergo-ristorante– C.da Case Nuove Chicone Avigliano (PZ) | | |

| | | | | | | | | |
|-----|----------|----|---------|---------|---------|---------|-------|-------|
| 001 | SLU STR | No | -0.1587 | -0.1588 | -0.1637 | -0.1638 | 0.0 | 0.0 |
| 002 | SLU STR | No | -0.2112 | -0.2113 | -0.2162 | -0.2163 | 0.0 | 0.0 |
| 003 | SLU STR | No | -0.1974 | -0.1946 | -0.2132 | -0.2170 | 0.0 | -0.1 |
| 004 | SLU STR | No | -0.2499 | -0.2471 | -0.2657 | -0.2695 | 0.0 | -0.1 |
| 005 | SLU STR | No | -0.1178 | -0.1179 | -0.1214 | -0.1214 | 0.0 | 0.0 |
| 006 | SLU STR | No | -0.1703 | -0.1704 | -0.1739 | -0.1739 | 0.0 | 0.0 |
| 007 | SLU STR | No | -0.1565 | -0.1537 | -0.1709 | -0.1746 | 0.0 | -0.1 |
| 008 | SLU STR | No | -0.2090 | -0.2062 | -0.2234 | -0.2271 | 0.0 | -0.1 |
| 009 | SLU STR | No | -0.2337 | -0.2338 | -0.2387 | -0.2388 | 0.0 | 0.0 |
| 010 | SLU STR | No | -0.1858 | -0.1839 | -0.1984 | -0.2010 | 0.0 | -0.1 |
| 011 | SLU STR | No | -0.2608 | -0.2589 | -0.2734 | -0.2760 | 0.0 | -0.1 |
| 012 | SLU STR | No | -0.1928 | -0.1929 | -0.1964 | -0.1964 | 0.0 | 0.0 |
| 013 | SLU STR | No | -0.1449 | -0.1430 | -0.1561 | -0.1587 | 0.0 | -0.1 |
| 014 | SLU STR | No | -0.2199 | -0.2180 | -0.2311 | -0.2337 | 0.0 | -0.1 |
| 015 | SLE rare | No | -0.1202 | -0.1203 | -0.1240 | -0.1240 | 0.0 | 0.0 |
| 016 | SLE rare | No | -0.1552 | -0.1553 | -0.1590 | -0.1590 | 0.0 | 0.0 |
| 017 | SLE rare | No | -0.1460 | -0.1442 | -0.1570 | -0.1595 | 0.0 | 0.0 |
| 018 | SLE rare | No | -0.1810 | -0.1792 | -0.1920 | -0.1945 | 0.0 | 0.0 |
| 019 | SLE rare | No | -0.1702 | -0.1703 | -0.1740 | -0.1740 | 0.0 | 0.0 |
| 020 | SLE rare | No | -0.1383 | -0.1370 | -0.1471 | -0.1488 | 0.0 | 0.0 |
| 021 | SLE rare | No | -0.1883 | -0.1870 | -0.1971 | -0.1988 | 0.0 | 0.0 |
| 022 | SLE freq | No | -0.1202 | -0.1203 | -0.1240 | -0.1240 | 0.0 | 0.0 |
| 023 | SLE freq | No | -0.1502 | -0.1503 | -0.1540 | -0.1540 | 0.0 | 0.0 |
| 024 | SLE freq | No | -0.1383 | -0.1370 | -0.1471 | -0.1488 | 0.0 | 0.0 |
| 025 | SLE freq | No | -0.1683 | -0.1670 | -0.1771 | -0.1788 | 0.0 | 0.0 |
| 026 | SLE freq | No | -0.1552 | -0.1553 | -0.1590 | -0.1590 | 0.0 | 0.0 |
| 027 | SLE freq | No | -0.1357 | -0.1346 | -0.1438 | -0.1453 | 0.0 | 0.0 |
| 028 | SLE freq | No | -0.1707 | -0.1696 | -0.1788 | -0.1803 | 0.0 | 0.0 |
| 029 | SLE q.p. | No | -0.1202 | -0.1203 | -0.1240 | -0.1240 | 0.0 | 0.0 |
| 030 | SLE q.p. | No | -0.1502 | -0.1503 | -0.1540 | -0.1540 | 0.0 | 0.0 |
| 031 | SLE q.p. | No | -0.1357 | -0.1346 | -0.1438 | -0.1453 | 0.0 | 0.0 |
| 032 | SLE q.p. | No | -0.1657 | -0.1646 | -0.1738 | -0.1753 | 0.0 | 0.0 |
| 033 | SLV A1 | Si | -0.1716 | -0.1724 | -0.1920 | -0.1919 | 25.1 | 2.8 |
| 034 | SLV A1 | Si | -0.1906 | -0.1937 | -0.2006 | -0.1979 | 18.9 | -27.3 |
| 035 | SLV A1 | Si | -0.1408 | -0.1355 | -0.1469 | -0.1527 | -18.9 | 27.3 |
| 036 | SLV A1 | Si | -0.1598 | -0.1568 | -0.1556 | -0.1587 | -25.0 | -2.9 |
| 037 | SLV A1 | Si | -0.1716 | -0.1725 | -0.1920 | -0.1919 | 20.5 | 1.9 |
| 038 | SLV A1 | Si | -0.1905 | -0.1937 | -0.2006 | -0.1979 | 23.6 | -26.5 |
| 039 | SLV A1 | Si | -0.1408 | -0.1356 | -0.1470 | -0.1527 | -23.5 | 26.4 |
| 040 | SLV A1 | Si | -0.1598 | -0.1567 | -0.1555 | -0.1587 | -20.4 | -2.0 |
| 041 | SLV A1 | Si | -0.1712 | -0.1719 | -0.1915 | -0.1916 | 25.0 | -1.2 |
| 042 | SLV A1 | Si | -0.1902 | -0.1932 | -0.2002 | -0.1976 | 18.9 | -31.3 |
| 043 | SLV A1 | Si | -0.1412 | -0.1361 | -0.1474 | -0.1529 | -18.8 | 31.2 |
| 044 | SLV A1 | Si | -0.1602 | -0.1574 | -0.1560 | -0.1590 | -25.0 | 1.1 |
| 045 | SLV A1 | Si | -0.1712 | -0.1720 | -0.1916 | -0.1916 | 20.4 | -2.0 |
| 046 | SLV A1 | Si | -0.1901 | -0.1931 | -0.2001 | -0.1976 | 23.5 | -30.4 |
| 047 | SLV A1 | Si | -0.1412 | -0.1361 | -0.1474 | -0.1529 | -23.4 | 30.3 |
| 048 | SLV A1 | Si | -0.1602 | -0.1573 | -0.1560 | -0.1590 | -20.4 | 2.0 |
| 049 | SLV A1 | Si | -0.1386 | -0.1346 | -0.1661 | -0.1712 | 16.9 | 46.5 |
| 050 | SLV A1 | Si | -0.2020 | -0.2057 | -0.1950 | -0.1912 | -3.6 | -53.9 |
| 051 | SLV A1 | Si | -0.1294 | -0.1236 | -0.1526 | -0.1594 | 3.7 | 53.8 |
| 052 | SLV A1 | Si | -0.1928 | -0.1946 | -0.1815 | -0.1794 | -16.8 | -46.6 |
| 053 | SLV A1 | Si | -0.1385 | -0.1345 | -0.1659 | -0.1711 | 16.8 | 45.3 |
| 054 | SLV A1 | Si | -0.2019 | -0.2055 | -0.1949 | -0.1911 | -3.6 | -55.1 |
| 055 | SLV A1 | Si | -0.1295 | -0.1237 | -0.1527 | -0.1595 | 3.7 | 55.0 |
| 056 | SLV A1 | Si | -0.1929 | -0.1948 | -0.1816 | -0.1795 | -16.8 | -45.4 |
| 057 | SLV A1 | Si | -0.1388 | -0.1349 | -0.1662 | -0.1712 | 1.5 | 43.6 |
| 058 | SLV A1 | Si | -0.2019 | -0.2054 | -0.1948 | -0.1912 | 11.7 | -51.0 |
| 059 | SLV A1 | Si | -0.1295 | -0.1238 | -0.1527 | -0.1594 | -11.7 | 50.9 |
| 060 | SLV A1 | Si | -0.1926 | -0.1944 | -0.1813 | -0.1794 | -1.5 | -43.7 |
| 061 | SLV A1 | Si | -0.1386 | -0.1347 | -0.1661 | -0.1711 | 1.5 | 42.4 |
| 062 | SLV A1 | Si | -0.2017 | -0.2053 | -0.1947 | -0.1911 | 11.7 | -52.2 |
| 063 | SLV A1 | Si | -0.1296 | -0.1240 | -0.1529 | -0.1595 | -11.7 | 52.1 |
| 064 | SLV A1 | Si | -0.1928 | -0.1945 | -0.1814 | -0.1795 | -1.4 | -42.5 |
| 065 | SLD | Si | -0.1683 | -0.1681 | -0.1820 | -0.1828 | 11.4 | 1.3 |
| 066 | SLD | Si | -0.1770 | -0.1778 | -0.1859 | -0.1855 | 8.6 | -12.5 |
| 067 | SLD | Si | -0.1544 | -0.1514 | -0.1616 | -0.1651 | -8.5 | 12.4 |
| 068 | SLD | Si | -0.1631 | -0.1611 | -0.1656 | -0.1678 | -11.3 | -1.4 |
| 069 | SLD | Si | -0.1683 | -0.1682 | -0.1820 | -0.1828 | 9.3 | 0.9 |
| 070 | SLD | Si | -0.1770 | -0.1778 | -0.1859 | -0.1855 | 10.7 | -12.1 |
| 071 | SLD | Si | -0.1544 | -0.1514 | -0.1616 | -0.1651 | -10.6 | 12.0 |
| 072 | SLD | Si | -0.1630 | -0.1611 | -0.1655 | -0.1678 | -9.2 | -1.0 |

Relazione Geotecnica e delle Fondazioni

| | | | | | | | | |
|-----|-----|----|---------|---------|---------|---------|-------|-------|
| 073 | SLD | Si | -0.1681 | -0.1679 | -0.1818 | -0.1827 | 11.3 | -0.5 |
| 074 | SLD | Si | -0.1768 | -0.1776 | -0.1858 | -0.1854 | 8.6 | -14.3 |
| 075 | SLD | Si | -0.1546 | -0.1516 | -0.1618 | -0.1652 | -8.5 | 14.2 |
| 076 | SLD | Si | -0.1632 | -0.1614 | -0.1657 | -0.1679 | -11.3 | 0.5 |
| 077 | SLD | Si | -0.1682 | -0.1679 | -0.1818 | -0.1827 | 9.3 | -0.9 |
| 078 | SLD | Si | -0.1768 | -0.1776 | -0.1857 | -0.1854 | 10.6 | -13.9 |
| 079 | SLD | Si | -0.1546 | -0.1517 | -0.1618 | -0.1652 | -10.6 | 13.8 |
| 080 | SLD | Si | -0.1632 | -0.1613 | -0.1657 | -0.1679 | -9.2 | 0.9 |
| 081 | SLD | Si | -0.1533 | -0.1509 | -0.1703 | -0.1734 | 7.6 | 21.2 |
| 082 | SLD | Si | -0.1823 | -0.1833 | -0.1834 | -0.1825 | -1.6 | -24.6 |
| 083 | SLD | Si | -0.1491 | -0.1459 | -0.1641 | -0.1681 | 1.7 | 24.6 |
| 084 | SLD | Si | -0.1781 | -0.1783 | -0.1773 | -0.1772 | -7.6 | -21.3 |
| 085 | SLD | Si | -0.1533 | -0.1509 | -0.1702 | -0.1734 | 7.6 | 20.7 |
| 086 | SLD | Si | -0.1822 | -0.1833 | -0.1834 | -0.1825 | -1.6 | -25.2 |
| 087 | SLD | Si | -0.1492 | -0.1460 | -0.1642 | -0.1681 | 1.7 | 25.1 |
| 088 | SLD | Si | -0.1781 | -0.1784 | -0.1774 | -0.1772 | -7.6 | -20.8 |
| 089 | SLD | Si | -0.1534 | -0.1511 | -0.1703 | -0.1734 | 0.7 | 19.9 |
| 090 | SLD | Si | -0.1822 | -0.1832 | -0.1833 | -0.1825 | 5.3 | -23.3 |
| 091 | SLD | Si | -0.1492 | -0.1460 | -0.1642 | -0.1681 | -5.3 | 23.2 |
| 092 | SLD | Si | -0.1780 | -0.1782 | -0.1772 | -0.1772 | -0.7 | -20.0 |
| 093 | SLD | Si | -0.1533 | -0.1510 | -0.1703 | -0.1734 | 0.7 | 19.3 |
| 094 | SLD | Si | -0.1821 | -0.1831 | -0.1833 | -0.1825 | 5.3 | -23.8 |
| 095 | SLD | Si | -0.1493 | -0.1461 | -0.1643 | -0.1681 | -5.3 | 23.8 |
| 096 | SLD | Si | -0.1780 | -0.1783 | -0.1773 | -0.1772 | -0.6 | -19.4 |
| 097 | SLO | Si | -0.1678 | -0.1674 | -0.1803 | -0.1812 | 9.0 | 1.0 |
| 098 | SLO | Si | -0.1746 | -0.1751 | -0.1834 | -0.1834 | 6.8 | -9.8 |
| 099 | SLO | Si | -0.1568 | -0.1542 | -0.1641 | -0.1672 | -6.8 | 9.8 |
| 100 | SLO | Si | -0.1636 | -0.1618 | -0.1672 | -0.1693 | -9.0 | -1.0 |
| 101 | SLO | Si | -0.1678 | -0.1674 | -0.1803 | -0.1812 | 7.4 | 0.7 |
| 102 | SLO | Si | -0.1746 | -0.1751 | -0.1834 | -0.1834 | 8.5 | -9.6 |
| 103 | SLO | Si | -0.1567 | -0.1542 | -0.1641 | -0.1672 | -8.4 | 9.5 |
| 104 | SLO | Si | -0.1636 | -0.1618 | -0.1672 | -0.1693 | -7.3 | -0.8 |
| 105 | SLO | Si | -0.1677 | -0.1672 | -0.1802 | -0.1812 | 9.0 | -0.5 |
| 106 | SLO | Si | -0.1745 | -0.1749 | -0.1833 | -0.1833 | 6.8 | -11.2 |
| 107 | SLO | Si | -0.1569 | -0.1544 | -0.1643 | -0.1673 | -6.8 | 11.2 |
| 108 | SLO | Si | -0.1637 | -0.1620 | -0.1674 | -0.1694 | -9.0 | 0.4 |
| 109 | SLO | Si | -0.1676 | -0.1672 | -0.1802 | -0.1812 | 7.3 | -0.7 |
| 110 | SLO | Si | -0.1745 | -0.1749 | -0.1833 | -0.1833 | 8.4 | -11.0 |
| 111 | SLO | Si | -0.1569 | -0.1544 | -0.1643 | -0.1673 | -8.4 | 10.9 |
| 112 | SLO | Si | -0.1637 | -0.1620 | -0.1674 | -0.1694 | -7.3 | 0.6 |
| 113 | SLO | Si | -0.1560 | -0.1539 | -0.1710 | -0.1738 | 6.1 | 16.6 |
| 114 | SLO | Si | -0.1787 | -0.1793 | -0.1814 | -0.1810 | -1.3 | -19.3 |
| 115 | SLO | Si | -0.1527 | -0.1499 | -0.1662 | -0.1696 | 1.3 | 19.3 |
| 116 | SLO | Si | -0.1754 | -0.1754 | -0.1765 | -0.1768 | -6.0 | -16.7 |
| 117 | SLO | Si | -0.1559 | -0.1538 | -0.1710 | -0.1738 | 6.1 | 16.2 |
| 118 | SLO | Si | -0.1787 | -0.1793 | -0.1813 | -0.1810 | -1.3 | -19.8 |
| 119 | SLO | Si | -0.1527 | -0.1500 | -0.1662 | -0.1696 | 1.3 | 19.7 |
| 120 | SLO | Si | -0.1754 | -0.1754 | -0.1766 | -0.1768 | -6.0 | -16.3 |
| 121 | SLO | Si | -0.1559 | -0.1538 | -0.1710 | -0.1738 | 0.6 | 15.8 |
| 122 | SLO | Si | -0.1788 | -0.1794 | -0.1814 | -0.1810 | 4.2 | -18.5 |
| 123 | SLO | Si | -0.1526 | -0.1499 | -0.1662 | -0.1696 | -4.2 | 18.4 |
| 124 | SLO | Si | -0.1755 | -0.1754 | -0.1765 | -0.1768 | -0.5 | -15.9 |
| 125 | SLO | Si | -0.1559 | -0.1538 | -0.1710 | -0.1738 | 0.6 | 15.4 |
| 126 | SLO | Si | -0.1787 | -0.1793 | -0.1813 | -0.1810 | 4.2 | -18.9 |
| 127 | SLO | Si | -0.1527 | -0.1499 | -0.1662 | -0.1696 | -4.2 | 18.9 |
| 128 | SLO | Si | -0.1755 | -0.1755 | -0.1765 | -0.1768 | -0.5 | -15.4 |

Elemento: Platea n. 48

| Cmb | Tipo | Sism. | Press. N1 | Press. N2 | Press. N3 | Press. N4 | S. Taglio X | S. Taglio Y |
|-----|---------|-------|---------------------|---------------------|---------------------|---------------------|-------------|-------------|
| n. | | | daN/cm ² | daN/cm ² | daN/cm ² | daN/cm ² | daN | daN |
| 001 | SLU STR | No | -0.1794 | -0.1806 | -0.1842 | -0.1830 | 0.0 | 0.0 |
| 002 | SLU STR | No | -0.2319 | -0.2331 | -0.2367 | -0.2355 | 0.0 | 0.0 |
| 003 | SLU STR | No | -0.2727 | -0.2747 | -0.2866 | -0.2862 | 0.1 | -0.1 |
| 004 | SLU STR | No | -0.3252 | -0.3272 | -0.3391 | -0.3387 | 0.1 | -0.1 |
| 005 | SLU STR | No | -0.1326 | -0.1335 | -0.1362 | -0.1352 | 0.0 | 0.0 |
| 006 | SLU STR | No | -0.1851 | -0.1860 | -0.1887 | -0.1877 | 0.0 | 0.0 |
| 007 | SLU STR | No | -0.2259 | -0.2277 | -0.2386 | -0.2384 | 0.1 | -0.1 |
| 008 | SLU STR | No | -0.2784 | -0.2802 | -0.2911 | -0.2909 | 0.1 | -0.1 |
| 009 | SLU STR | No | -0.2544 | -0.2556 | -0.2592 | -0.2580 | 0.0 | 0.0 |
| 010 | SLU STR | No | -0.2447 | -0.2465 | -0.2559 | -0.2552 | 0.1 | -0.1 |
| 011 | SLU STR | No | -0.3197 | -0.3215 | -0.3309 | -0.3302 | 0.1 | -0.1 |
| 012 | SLU STR | No | -0.2076 | -0.2085 | -0.2112 | -0.2102 | 0.0 | 0.0 |
| 013 | SLU STR | No | -0.1979 | -0.1994 | -0.2079 | -0.2074 | 0.1 | -0.1 |

| COMMITTENTE: Mecca Antonio | | CODICE COMMESSA: | NOME ELABORATO: S1.5 - Relazione Geotecnica e delle Fondazioni | | | CONSULENTE: | | |
|-------------------------------|----------|----------------------------------------------------------------------------------------------------------------------|-------------------------------------------------------------------------|---------|---------|-------------|-------|-------|
| DATA: Aprile 2023 | | TITOLO: Lavori ultimazione di un fabbricato adibito ad albergo-ristorante– C.da Case Nuove Chicone Avigliano (PZ) | | | | | | |
| 014 | SLU STR | No | -0.2729 | -0.2744 | -0.2829 | -0.2824 | 0.1 | -0.1 |
| 015 | SLE rare | No | -0.1356 | -0.1366 | -0.1393 | -0.1384 | 0.0 | 0.0 |
| 016 | SLE rare | No | -0.1706 | -0.1716 | -0.1743 | -0.1734 | 0.0 | 0.0 |
| 017 | SLE rare | No | -0.1978 | -0.1993 | -0.2076 | -0.2071 | 0.1 | -0.1 |
| 018 | SLE rare | No | -0.2328 | -0.2343 | -0.2426 | -0.2421 | 0.1 | -0.1 |
| 019 | SLE rare | No | -0.1856 | -0.1866 | -0.1893 | -0.1884 | 0.0 | 0.0 |
| 020 | SLE rare | No | -0.1792 | -0.1805 | -0.1871 | -0.1865 | 0.1 | -0.1 |
| 021 | SLE rare | No | -0.2292 | -0.2305 | -0.2371 | -0.2365 | 0.1 | -0.1 |
| 022 | SLE freq | No | -0.1356 | -0.1366 | -0.1393 | -0.1384 | 0.0 | 0.0 |
| 023 | SLE freq | No | -0.1656 | -0.1666 | -0.1693 | -0.1684 | 0.0 | 0.0 |
| 024 | SLE freq | No | -0.1792 | -0.1805 | -0.1871 | -0.1865 | 0.1 | -0.1 |
| 025 | SLE freq | No | -0.2092 | -0.2105 | -0.2171 | -0.2165 | 0.1 | -0.1 |
| 026 | SLE freq | No | -0.1706 | -0.1716 | -0.1743 | -0.1734 | 0.0 | 0.0 |
| 027 | SLE freq | No | -0.1730 | -0.1742 | -0.1803 | -0.1796 | 0.1 | 0.0 |
| 028 | SLE freq | No | -0.2080 | -0.2092 | -0.2153 | -0.2146 | 0.1 | 0.0 |
| 029 | SLE q.p. | No | -0.1356 | -0.1366 | -0.1393 | -0.1384 | 0.0 | 0.0 |
| 030 | SLE q.p. | No | -0.1656 | -0.1666 | -0.1693 | -0.1684 | 0.0 | 0.0 |
| 031 | SLE q.p. | No | -0.1730 | -0.1742 | -0.1803 | -0.1796 | 0.1 | 0.0 |
| 032 | SLE q.p. | No | -0.2030 | -0.2042 | -0.2103 | -0.2096 | 0.1 | 0.0 |
| 033 | SLV A1 | Si | -0.2626 | -0.2676 | -0.2842 | -0.2792 | 14.6 | -0.2 |
| 034 | SLV A1 | Si | -0.2221 | -0.2255 | -0.2321 | -0.2277 | 22.1 | -19.3 |
| 035 | SLV A1 | Si | -0.1838 | -0.1829 | -0.1884 | -0.1915 | -22.0 | 19.2 |
| 036 | SLV A1 | Si | -0.1433 | -0.1409 | -0.1364 | -0.1400 | -14.5 | 0.1 |
| 037 | SLV A1 | Si | -0.2630 | -0.2679 | -0.2846 | -0.2796 | 21.9 | -0.8 |
| 038 | SLV A1 | Si | -0.2217 | -0.2251 | -0.2317 | -0.2274 | 14.9 | -18.6 |
| 039 | SLV A1 | Si | -0.1842 | -0.1833 | -0.1888 | -0.1919 | -14.8 | 18.5 |
| 040 | SLV A1 | Si | -0.1429 | -0.1405 | -0.1360 | -0.1396 | -21.8 | 0.7 |
| 041 | SLV A1 | Si | -0.2695 | -0.2746 | -0.2929 | -0.2881 | 15.8 | -2.5 |
| 042 | SLV A1 | Si | -0.2289 | -0.2325 | -0.2408 | -0.2366 | 23.3 | -21.6 |
| 043 | SLV A1 | Si | -0.1770 | -0.1759 | -0.1797 | -0.1826 | -23.2 | 21.5 |
| 044 | SLV A1 | Si | -0.1365 | -0.1339 | -0.1276 | -0.1311 | -15.7 | 2.4 |
| 045 | SLV A1 | Si | -0.2698 | -0.2749 | -0.2933 | -0.2885 | 23.0 | -3.2 |
| 046 | SLV A1 | Si | -0.2286 | -0.2321 | -0.2405 | -0.2363 | 16.0 | -21.0 |
| 047 | SLV A1 | Si | -0.1773 | -0.1763 | -0.1801 | -0.1830 | -15.9 | 20.9 |
| 048 | SLV A1 | Si | -0.1361 | -0.1335 | -0.1272 | -0.1307 | -22.9 | 3.1 |
| 049 | SLV A1 | Si | -0.2823 | -0.2870 | -0.3115 | -0.3086 | -7.0 | 28.9 |
| 050 | SLV A1 | Si | -0.1472 | -0.1468 | -0.1378 | -0.1370 | 18.1 | -34.8 |
| 051 | SLV A1 | Si | -0.2587 | -0.2616 | -0.2827 | -0.2823 | -18.0 | 34.7 |
| 052 | SLV A1 | Si | -0.1236 | -0.1214 | -0.1091 | -0.1106 | 7.1 | -29.0 |
| 053 | SLV A1 | Si | -0.2844 | -0.2891 | -0.3141 | -0.3113 | -6.6 | 28.2 |
| 054 | SLV A1 | Si | -0.1493 | -0.1489 | -0.1404 | -0.1396 | 18.4 | -35.5 |
| 055 | SLV A1 | Si | -0.2566 | -0.2595 | -0.2801 | -0.2796 | -18.3 | 35.4 |
| 056 | SLV A1 | Si | -0.1215 | -0.1193 | -0.1065 | -0.1080 | 6.7 | -28.3 |
| 057 | SLV A1 | Si | -0.2835 | -0.2882 | -0.3127 | -0.3098 | 17.2 | 26.8 |
| 058 | SLV A1 | Si | -0.1461 | -0.1456 | -0.1366 | -0.1357 | -6.2 | -32.7 |
| 059 | SLV A1 | Si | -0.2599 | -0.2628 | -0.2840 | -0.2835 | 6.3 | 32.6 |
| 060 | SLV A1 | Si | -0.1224 | -0.1202 | -0.1078 | -0.1094 | -17.1 | -26.9 |
| 061 | SLV A1 | Si | -0.2856 | -0.2903 | -0.3153 | -0.3125 | 17.6 | 26.1 |
| 062 | SLV A1 | Si | -0.1481 | -0.1477 | -0.1392 | -0.1384 | -5.8 | -33.4 |
| 063 | SLV A1 | Si | -0.2578 | -0.2608 | -0.2814 | -0.2808 | 5.9 | 33.3 |
| 064 | SLV A1 | Si | -0.1204 | -0.1181 | -0.1052 | -0.1067 | -17.5 | -26.2 |
| 065 | SLD | Si | -0.2301 | -0.2330 | -0.2439 | -0.2413 | 6.6 | -0.1 |
| 066 | SLD | Si | -0.2116 | -0.2138 | -0.2201 | -0.2177 | 10.1 | -8.8 |
| 067 | SLD | Si | -0.1944 | -0.1946 | -0.2005 | -0.2015 | -10.0 | 8.7 |
| 068 | SLD | Si | -0.1759 | -0.1755 | -0.1767 | -0.1780 | -6.5 | 0.0 |
| 069 | SLD | Si | -0.2302 | -0.2332 | -0.2440 | -0.2414 | 9.9 | -0.4 |
| 070 | SLD | Si | -0.2114 | -0.2136 | -0.2199 | -0.2176 | 6.7 | -8.5 |
| 071 | SLD | Si | -0.1945 | -0.1948 | -0.2006 | -0.2017 | -6.6 | 8.4 |
| 072 | SLD | Si | -0.1757 | -0.1753 | -0.1765 | -0.1778 | -9.8 | 0.3 |
| 073 | SLD | Si | -0.2332 | -0.2362 | -0.2479 | -0.2453 | 7.2 | -1.2 |
| 074 | SLD | Si | -0.2147 | -0.2170 | -0.2241 | -0.2218 | 10.6 | -9.9 |
| 075 | SLD | Si | -0.1912 | -0.1915 | -0.1965 | -0.1974 | -10.5 | 9.8 |
| 076 | SLD | Si | -0.1727 | -0.1723 | -0.1727 | -0.1739 | -7.1 | 1.1 |
| 077 | SLD | Si | -0.2333 | -0.2364 | -0.2480 | -0.2455 | 10.5 | -1.4 |
| 078 | SLD | Si | -0.2145 | -0.2168 | -0.2239 | -0.2217 | 7.3 | -9.6 |
| 079 | SLD | Si | -0.1914 | -0.1916 | -0.1966 | -0.1976 | -7.2 | 9.5 |
| 080 | SLD | Si | -0.1726 | -0.1721 | -0.1725 | -0.1738 | -10.4 | 1.4 |
| 081 | SLD | Si | -0.2391 | -0.2420 | -0.2564 | -0.2548 | -3.2 | 13.2 |
| 082 | SLD | Si | -0.1775 | -0.1780 | -0.1772 | -0.1764 | 8.2 | -15.9 |
| 083 | SLD | Si | -0.2284 | -0.2305 | -0.2434 | -0.2428 | -8.1 | 15.8 |
| 084 | SLD | Si | -0.1668 | -0.1665 | -0.1641 | -0.1645 | 3.3 | -13.3 |
| 085 | SLD | Si | -0.2401 | -0.2429 | -0.2576 | -0.2560 | -3.0 | 12.9 |

Relazione Geotecnica e delle Fondazioni

| | | | | | | | | |
|-----|-----|----|---------|---------|---------|---------|------|-------|
| 086 | SLD | Si | -0.1784 | -0.1789 | -0.1784 | -0.1776 | 8.4 | -16.2 |
| 087 | SLD | Si | -0.2275 | -0.2295 | -0.2422 | -0.2416 | -8.3 | 16.1 |
| 088 | SLD | Si | -0.1658 | -0.1655 | -0.1629 | -0.1633 | 3.1 | -13.0 |
| 089 | SLD | Si | -0.2397 | -0.2425 | -0.2570 | -0.2553 | 7.9 | 12.2 |
| 090 | SLD | Si | -0.1770 | -0.1774 | -0.1766 | -0.1759 | -2.8 | -14.9 |
| 091 | SLD | Si | -0.2290 | -0.2310 | -0.2440 | -0.2434 | 2.9 | 14.8 |
| 092 | SLD | Si | -0.1663 | -0.1659 | -0.1636 | -0.1639 | -7.8 | -12.3 |
| 093 | SLD | Si | -0.2406 | -0.2435 | -0.2582 | -0.2565 | 8.0 | 11.9 |
| 094 | SLD | Si | -0.1779 | -0.1784 | -0.1778 | -0.1771 | -2.6 | -15.2 |
| 095 | SLD | Si | -0.2280 | -0.2300 | -0.2428 | -0.2421 | 2.7 | 15.2 |
| 096 | SLD | Si | -0.1653 | -0.1650 | -0.1624 | -0.1627 | -7.9 | -12.0 |
| 097 | SLO | Si | -0.2244 | -0.2270 | -0.2368 | -0.2346 | 5.3 | -0.1 |
| 098 | SLO | Si | -0.2099 | -0.2119 | -0.2182 | -0.2162 | 8.0 | -6.9 |
| 099 | SLO | Si | -0.1961 | -0.1965 | -0.2024 | -0.2031 | -7.9 | 6.9 |
| 100 | SLO | Si | -0.1815 | -0.1815 | -0.1837 | -0.1846 | -5.2 | 0.0 |
| 101 | SLO | Si | -0.2246 | -0.2272 | -0.2371 | -0.2349 | 7.9 | -0.3 |
| 102 | SLO | Si | -0.2097 | -0.2117 | -0.2179 | -0.2159 | 5.4 | -6.8 |
| 103 | SLO | Si | -0.1963 | -0.1968 | -0.2026 | -0.2033 | -5.3 | 6.7 |
| 104 | SLO | Si | -0.1813 | -0.1813 | -0.1835 | -0.1844 | -7.8 | 0.2 |
| 105 | SLO | Si | -0.2269 | -0.2295 | -0.2400 | -0.2378 | 5.7 | -0.9 |
| 106 | SLO | Si | -0.2123 | -0.2144 | -0.2213 | -0.2194 | 8.4 | -7.8 |
| 107 | SLO | Si | -0.1936 | -0.1940 | -0.1992 | -0.1999 | -8.3 | 7.7 |
| 108 | SLO | Si | -0.1791 | -0.1789 | -0.1806 | -0.1814 | -5.6 | 0.9 |
| 109 | SLO | Si | -0.2271 | -0.2297 | -0.2402 | -0.2381 | 8.3 | -1.1 |
| 110 | SLO | Si | -0.2121 | -0.2142 | -0.2211 | -0.2192 | 5.8 | -7.6 |
| 111 | SLO | Si | -0.1938 | -0.1942 | -0.1995 | -0.2001 | -5.7 | 7.5 |
| 112 | SLO | Si | -0.1789 | -0.1787 | -0.1803 | -0.1812 | -8.2 | 1.0 |
| 113 | SLO | Si | -0.2314 | -0.2339 | -0.2465 | -0.2451 | -2.5 | 10.3 |
| 114 | SLO | Si | -0.1830 | -0.1837 | -0.1843 | -0.1836 | 6.5 | -12.5 |
| 115 | SLO | Si | -0.2229 | -0.2248 | -0.2362 | -0.2356 | -6.4 | 12.4 |
| 116 | SLO | Si | -0.1745 | -0.1745 | -0.1740 | -0.1741 | 2.6 | -10.4 |
| 117 | SLO | Si | -0.2322 | -0.2347 | -0.2475 | -0.2461 | -2.3 | 10.1 |
| 118 | SLO | Si | -0.1838 | -0.1844 | -0.1853 | -0.1846 | 6.6 | -12.8 |
| 119 | SLO | Si | -0.2222 | -0.2240 | -0.2353 | -0.2347 | -6.5 | 12.7 |
| 120 | SLO | Si | -0.1738 | -0.1738 | -0.1731 | -0.1732 | 2.4 | -10.2 |
| 121 | SLO | Si | -0.2321 | -0.2346 | -0.2473 | -0.2459 | 6.3 | 9.7 |
| 122 | SLO | Si | -0.1823 | -0.1830 | -0.1835 | -0.1828 | -2.2 | -11.9 |
| 123 | SLO | Si | -0.2236 | -0.2255 | -0.2370 | -0.2364 | 2.3 | 11.8 |
| 124 | SLO | Si | -0.1738 | -0.1738 | -0.1732 | -0.1734 | -6.2 | -9.8 |
| 125 | SLO | Si | -0.2328 | -0.2354 | -0.2483 | -0.2469 | 6.4 | 9.4 |
| 126 | SLO | Si | -0.1831 | -0.1837 | -0.1845 | -0.1838 | -2.1 | -12.1 |
| 127 | SLO | Si | -0.2229 | -0.2247 | -0.2361 | -0.2355 | 2.2 | 12.0 |
| 128 | SLO | Si | -0.1731 | -0.1731 | -0.1723 | -0.1724 | -6.3 | -9.5 |

Elemento: Platea n. 49

| Cmb | Tipo | Sism. | Press. N1 | Press. N2 | Press. N3 | Press. N4 | S. Taglio X | S. Taglio Y |
|-----|----------|-------|---------------------|---------------------|---------------------|---------------------|-------------|-------------|
| n. | | | daN/cm ² | daN/cm ² | daN/cm ² | daN/cm ² | daN | daN |
| 001 | SLU STR | No | -0.1727 | -0.1767 | -0.1786 | -0.1767 | 0.0 | 0.0 |
| 002 | SLU STR | No | -0.2252 | -0.2292 | -0.2311 | -0.2292 | 0.0 | 0.0 |
| 003 | SLU STR | No | -0.2587 | -0.2713 | -0.2802 | -0.2751 | 0.2 | 0.0 |
| 004 | SLU STR | No | -0.3112 | -0.3238 | -0.3327 | -0.3276 | 0.2 | 0.0 |
| 005 | SLU STR | No | -0.1276 | -0.1306 | -0.1319 | -0.1305 | 0.0 | 0.0 |
| 006 | SLU STR | No | -0.1801 | -0.1831 | -0.1844 | -0.1830 | 0.0 | 0.0 |
| 007 | SLU STR | No | -0.2136 | -0.2251 | -0.2335 | -0.2289 | 0.2 | 0.0 |
| 008 | SLU STR | No | -0.2661 | -0.2776 | -0.2860 | -0.2814 | 0.2 | 0.0 |
| 009 | SLU STR | No | -0.2477 | -0.2517 | -0.2536 | -0.2517 | 0.0 | 0.0 |
| 010 | SLU STR | No | -0.2329 | -0.2429 | -0.2497 | -0.2456 | 0.1 | 0.0 |
| 011 | SLU STR | No | -0.3079 | -0.3179 | -0.3247 | -0.3206 | 0.1 | 0.0 |
| 012 | SLU STR | No | -0.2026 | -0.2056 | -0.2069 | -0.2055 | 0.0 | 0.0 |
| 013 | SLU STR | No | -0.1878 | -0.1968 | -0.2030 | -0.1993 | 0.1 | 0.0 |
| 014 | SLU STR | No | -0.2628 | -0.2718 | -0.2780 | -0.2743 | 0.1 | 0.0 |
| 015 | SLE rare | No | -0.1306 | -0.1336 | -0.1350 | -0.1335 | 0.0 | 0.0 |
| 016 | SLE rare | No | -0.1656 | -0.1686 | -0.1700 | -0.1685 | 0.0 | 0.0 |
| 017 | SLE rare | No | -0.1879 | -0.1967 | -0.2027 | -0.1991 | 0.1 | 0.0 |
| 018 | SLE rare | No | -0.2229 | -0.2317 | -0.2377 | -0.2341 | 0.1 | 0.0 |
| 019 | SLE rare | No | -0.1806 | -0.1836 | -0.1850 | -0.1835 | 0.0 | 0.0 |
| 020 | SLE rare | No | -0.1707 | -0.1777 | -0.1824 | -0.1795 | 0.1 | 0.0 |
| 021 | SLE rare | No | -0.2207 | -0.2277 | -0.2324 | -0.2295 | 0.1 | 0.0 |
| 022 | SLE freq | No | -0.1306 | -0.1336 | -0.1350 | -0.1335 | 0.0 | 0.0 |
| 023 | SLE freq | No | -0.1606 | -0.1636 | -0.1650 | -0.1635 | 0.0 | 0.0 |
| 024 | SLE freq | No | -0.1707 | -0.1777 | -0.1824 | -0.1795 | 0.1 | 0.0 |
| 025 | SLE freq | No | -0.2007 | -0.2077 | -0.2124 | -0.2095 | 0.1 | 0.0 |
| 026 | SLE freq | No | -0.1656 | -0.1686 | -0.1700 | -0.1685 | 0.0 | 0.0 |

| | | | |
|--------------------------------------|------------------------------------------------------------------------------------------------------------------------------|----------------------------------------------------------------------------------|-------------|
| COMMITTENTE: Mecca Antonio | CODICE COMMESSA: | NOME ELABORATO: S1.5 - Relazione Geotecnica e delle Fondazioni | CONSULENTE: |
| DATA: Aprile 2023 | TITOLO: Lavori ultimazione di un fabbricato adibito ad albergo-ristorante- C.da Case Nuove Chicone Avigliano (PZ) | | |

| | | | | | | | | |
|-----|----------|----|---------|---------|---------|---------|-------|-------|
| 027 | SLE freq | No | -0.1650 | -0.1714 | -0.1756 | -0.1729 | 0.1 | 0.0 |
| 028 | SLE freq | No | -0.2000 | -0.2064 | -0.2106 | -0.2079 | 0.1 | 0.0 |
| 029 | SLE q.p. | No | -0.1306 | -0.1336 | -0.1350 | -0.1335 | 0.0 | 0.0 |
| 030 | SLE q.p. | No | -0.1606 | -0.1636 | -0.1650 | -0.1635 | 0.0 | 0.0 |
| 031 | SLE q.p. | No | -0.1650 | -0.1714 | -0.1756 | -0.1729 | 0.1 | 0.0 |
| 032 | SLE q.p. | No | -0.1950 | -0.2014 | -0.2056 | -0.2029 | 0.1 | 0.0 |
| 033 | SLV A1 | Si | -0.2354 | -0.2527 | -0.2628 | -0.2557 | 28.1 | 5.5 |
| 034 | SLV A1 | Si | -0.2017 | -0.2121 | -0.2135 | -0.2072 | 42.4 | -20.0 |
| 035 | SLV A1 | Si | -0.1882 | -0.1908 | -0.1978 | -0.1986 | -42.2 | 20.1 |
| 036 | SLV A1 | Si | -0.1546 | -0.1502 | -0.1485 | -0.1501 | -27.9 | -5.4 |
| 037 | SLV A1 | Si | -0.2356 | -0.2530 | -0.2631 | -0.2560 | 41.9 | 5.0 |
| 038 | SLV A1 | Si | -0.2015 | -0.2118 | -0.2131 | -0.2069 | 28.5 | -19.5 |
| 039 | SLV A1 | Si | -0.1885 | -0.1911 | -0.1981 | -0.1989 | -28.4 | 19.6 |
| 040 | SLV A1 | Si | -0.1543 | -0.1499 | -0.1481 | -0.1498 | -41.8 | -4.9 |
| 041 | SLV A1 | Si | -0.2417 | -0.2601 | -0.2721 | -0.2651 | 30.2 | 1.3 |
| 042 | SLV A1 | Si | -0.2080 | -0.2196 | -0.2228 | -0.2167 | 44.5 | -24.2 |
| 043 | SLV A1 | Si | -0.1819 | -0.1833 | -0.1884 | -0.1891 | -44.4 | 24.2 |
| 044 | SLV A1 | Si | -0.1483 | -0.1428 | -0.1391 | -0.1407 | -30.1 | -1.3 |
| 045 | SLV A1 | Si | -0.2419 | -0.2604 | -0.2725 | -0.2654 | 44.1 | 0.8 |
| 046 | SLV A1 | Si | -0.2078 | -0.2192 | -0.2225 | -0.2164 | 30.7 | -23.7 |
| 047 | SLV A1 | Si | -0.1822 | -0.1836 | -0.1888 | -0.1894 | -30.5 | 23.7 |
| 048 | SLV A1 | Si | -0.1480 | -0.1424 | -0.1388 | -0.1404 | -43.9 | -0.8 |
| 049 | SLV A1 | Si | -0.2581 | -0.2783 | -0.2976 | -0.2923 | -13.2 | 40.3 |
| 050 | SLV A1 | Si | -0.1459 | -0.1431 | -0.1332 | -0.1307 | 34.4 | -44.7 |
| 051 | SLV A1 | Si | -0.2440 | -0.2597 | -0.2781 | -0.2751 | -34.3 | 44.7 |
| 052 | SLV A1 | Si | -0.1318 | -0.1246 | -0.1137 | -0.1136 | 13.4 | -40.3 |
| 053 | SLV A1 | Si | -0.2600 | -0.2805 | -0.3004 | -0.2951 | -12.6 | 39.1 |
| 054 | SLV A1 | Si | -0.1478 | -0.1454 | -0.1360 | -0.1335 | 35.1 | -45.9 |
| 055 | SLV A1 | Si | -0.2421 | -0.2575 | -0.2753 | -0.2723 | -34.9 | 46.0 |
| 056 | SLV A1 | Si | -0.1299 | -0.1223 | -0.1109 | -0.1107 | 12.7 | -39.1 |
| 057 | SLV A1 | Si | -0.2589 | -0.2794 | -0.2987 | -0.2932 | 32.9 | 38.7 |
| 058 | SLV A1 | Si | -0.1452 | -0.1421 | -0.1321 | -0.1297 | -11.7 | -43.0 |
| 059 | SLV A1 | Si | -0.2448 | -0.2608 | -0.2792 | -0.2761 | 11.8 | 43.1 |
| 060 | SLV A1 | Si | -0.1310 | -0.1235 | -0.1126 | -0.1126 | -32.8 | -38.7 |
| 061 | SLV A1 | Si | -0.2608 | -0.2816 | -0.3015 | -0.2961 | 33.6 | 37.4 |
| 062 | SLV A1 | Si | -0.1470 | -0.1443 | -0.1349 | -0.1326 | -11.0 | -44.3 |
| 063 | SLV A1 | Si | -0.2429 | -0.2586 | -0.2764 | -0.2733 | 11.2 | 44.3 |
| 064 | SLV A1 | Si | -0.1291 | -0.1213 | -0.1098 | -0.1098 | -33.4 | -37.4 |
| 065 | SLD | Si | -0.2133 | -0.2247 | -0.2316 | -0.2269 | 12.7 | 2.5 |
| 066 | SLD | Si | -0.1980 | -0.2062 | -0.2091 | -0.2048 | 19.2 | -9.1 |
| 067 | SLD | Si | -0.1920 | -0.1967 | -0.2022 | -0.2010 | -19.1 | 9.2 |
| 068 | SLD | Si | -0.1766 | -0.1782 | -0.1796 | -0.1789 | -12.6 | -2.5 |
| 069 | SLD | Si | -0.2134 | -0.2249 | -0.2318 | -0.2270 | 19.0 | 2.3 |
| 070 | SLD | Si | -0.1979 | -0.2061 | -0.2089 | -0.2047 | 12.9 | -8.9 |
| 071 | SLD | Si | -0.1921 | -0.1968 | -0.2023 | -0.2012 | -12.8 | 8.9 |
| 072 | SLD | Si | -0.1765 | -0.1780 | -0.1795 | -0.1788 | -18.9 | -2.3 |
| 073 | SLD | Si | -0.2162 | -0.2281 | -0.2359 | -0.2312 | 13.7 | 0.6 |
| 074 | SLD | Si | -0.2009 | -0.2096 | -0.2134 | -0.2091 | 20.2 | -11.0 |
| 075 | SLD | Si | -0.1891 | -0.1933 | -0.1979 | -0.1967 | -20.1 | 11.1 |
| 076 | SLD | Si | -0.1737 | -0.1748 | -0.1754 | -0.1746 | -13.6 | -0.6 |
| 077 | SLD | Si | -0.2163 | -0.2283 | -0.2360 | -0.2314 | 20.0 | 0.4 |
| 078 | SLD | Si | -0.2008 | -0.2095 | -0.2132 | -0.2090 | 13.9 | -10.8 |
| 079 | SLD | Si | -0.1892 | -0.1934 | -0.1980 | -0.1968 | -13.8 | 10.8 |
| 080 | SLD | Si | -0.1736 | -0.1746 | -0.1752 | -0.1745 | -19.9 | -0.3 |
| 081 | SLD | Si | -0.2238 | -0.2365 | -0.2476 | -0.2437 | -6.0 | 18.4 |
| 082 | SLD | Si | -0.1726 | -0.1748 | -0.1725 | -0.1699 | 15.7 | -20.4 |
| 083 | SLD | Si | -0.2174 | -0.2281 | -0.2387 | -0.2359 | -15.5 | 20.4 |
| 084 | SLD | Si | -0.1662 | -0.1664 | -0.1637 | -0.1621 | 6.2 | -18.4 |
| 085 | SLD | Si | -0.2246 | -0.2375 | -0.2489 | -0.2450 | -5.7 | 17.9 |
| 086 | SLD | Si | -0.1734 | -0.1758 | -0.1738 | -0.1712 | 16.0 | -21.0 |
| 087 | SLD | Si | -0.2165 | -0.2271 | -0.2375 | -0.2346 | -15.8 | 21.0 |
| 088 | SLD | Si | -0.1653 | -0.1654 | -0.1624 | -0.1609 | 5.9 | -17.8 |
| 089 | SLD | Si | -0.2241 | -0.2370 | -0.2480 | -0.2441 | 15.0 | 17.7 |
| 090 | SLD | Si | -0.1722 | -0.1743 | -0.1720 | -0.1695 | -5.3 | -19.6 |
| 091 | SLD | Si | -0.2177 | -0.2285 | -0.2392 | -0.2363 | 5.4 | 19.7 |
| 092 | SLD | Si | -0.1658 | -0.1659 | -0.1632 | -0.1617 | -14.8 | -17.6 |
| 093 | SLD | Si | -0.2250 | -0.2380 | -0.2493 | -0.2454 | 15.3 | 17.1 |
| 094 | SLD | Si | -0.1731 | -0.1754 | -0.1733 | -0.1708 | -5.0 | -20.2 |
| 095 | SLD | Si | -0.2169 | -0.2275 | -0.2379 | -0.2350 | 5.2 | 20.2 |
| 096 | SLD | Si | -0.1649 | -0.1649 | -0.1619 | -0.1604 | -15.1 | -17.1 |
| 097 | SLO | Si | -0.2095 | -0.2198 | -0.2261 | -0.2219 | 10.1 | 2.0 |
| 098 | SLO | Si | -0.1974 | -0.2053 | -0.2085 | -0.2045 | 15.3 | -7.2 |

Relazione Geotecnica e delle Fondazioni

| | | | | | | | | |
|-----|-----|----|---------|---------|---------|---------|-------|-------|
| 099 | SLO | Si | -0.1925 | -0.1976 | -0.2028 | -0.2013 | -15.1 | 7.2 |
| 100 | SLO | Si | -0.1805 | -0.1830 | -0.1851 | -0.1840 | -10.0 | -1.9 |
| 101 | SLO | Si | -0.2096 | -0.2200 | -0.2264 | -0.2221 | 15.1 | 1.8 |
| 102 | SLO | Si | -0.1973 | -0.2051 | -0.2083 | -0.2043 | 10.3 | -7.1 |
| 103 | SLO | Si | -0.1927 | -0.1978 | -0.2030 | -0.2015 | -10.1 | 7.1 |
| 104 | SLO | Si | -0.1803 | -0.1828 | -0.1849 | -0.1838 | -15.0 | -1.8 |
| 105 | SLO | Si | -0.2118 | -0.2225 | -0.2295 | -0.2253 | 10.9 | 0.5 |
| 106 | SLO | Si | -0.1997 | -0.2080 | -0.2118 | -0.2079 | 16.1 | -8.7 |
| 107 | SLO | Si | -0.1902 | -0.1949 | -0.1994 | -0.1979 | -15.9 | 8.7 |
| 108 | SLO | Si | -0.1782 | -0.1804 | -0.1817 | -0.1805 | -10.8 | -0.4 |
| 109 | SLO | Si | -0.2119 | -0.2227 | -0.2297 | -0.2255 | 15.9 | 0.3 |
| 110 | SLO | Si | -0.1995 | -0.2078 | -0.2116 | -0.2077 | 11.1 | -8.6 |
| 111 | SLO | Si | -0.1904 | -0.1951 | -0.1996 | -0.1981 | -10.9 | 8.6 |
| 112 | SLO | Si | -0.1780 | -0.1802 | -0.1815 | -0.1803 | -15.8 | -0.3 |
| 113 | SLO | Si | -0.2176 | -0.2290 | -0.2386 | -0.2349 | -4.7 | 14.5 |
| 114 | SLO | Si | -0.1774 | -0.1806 | -0.1797 | -0.1770 | 12.4 | -16.0 |
| 115 | SLO | Si | -0.2125 | -0.2223 | -0.2316 | -0.2288 | -12.3 | 16.0 |
| 116 | SLO | Si | -0.1723 | -0.1739 | -0.1727 | -0.1709 | 4.8 | -14.4 |
| 117 | SLO | Si | -0.2183 | -0.2298 | -0.2396 | -0.2359 | -4.4 | 14.0 |
| 118 | SLO | Si | -0.1781 | -0.1814 | -0.1807 | -0.1781 | 12.6 | -16.4 |
| 119 | SLO | Si | -0.2118 | -0.2215 | -0.2306 | -0.2277 | -12.5 | 16.5 |
| 120 | SLO | Si | -0.1716 | -0.1731 | -0.1717 | -0.1699 | 4.6 | -14.0 |
| 121 | SLO | Si | -0.2181 | -0.2296 | -0.2393 | -0.2356 | 11.9 | 14.0 |
| 122 | SLO | Si | -0.1769 | -0.1799 | -0.1789 | -0.1764 | -4.2 | -15.6 |
| 123 | SLO | Si | -0.2130 | -0.2230 | -0.2323 | -0.2294 | 4.3 | 15.6 |
| 124 | SLO | Si | -0.1718 | -0.1732 | -0.1719 | -0.1702 | -11.8 | -14.0 |
| 125 | SLO | Si | -0.2188 | -0.2304 | -0.2403 | -0.2366 | 12.2 | 13.6 |
| 126 | SLO | Si | -0.1776 | -0.1807 | -0.1800 | -0.1774 | -4.0 | -16.0 |
| 127 | SLO | Si | -0.2124 | -0.2222 | -0.2313 | -0.2284 | 4.1 | 16.1 |
| 128 | SLO | Si | -0.1711 | -0.1724 | -0.1709 | -0.1692 | -12.0 | -13.6 |

Elemento: Platea n. 50

| Cmb | Tipo | Sism. | Press. N1 | Press. N2 | Press. N3 | Press. N4 | S. Taglio X | S. Taglio Y |
|-----|----------|-------|---------------------|---------------------|---------------------|---------------------|-------------|-------------|
| n. | | | daN/cm ² | daN/cm ² | daN/cm ² | daN/cm ² | daN | daN |
| 001 | SLU STR | No | -0.1777 | -0.1780 | -0.1817 | -0.1803 | 0.0 | 0.0 |
| 002 | SLU STR | No | -0.2302 | -0.2305 | -0.2342 | -0.2328 | 0.0 | 0.0 |
| 003 | SLU STR | No | -0.2726 | -0.2705 | -0.2852 | -0.2836 | 0.1 | 0.0 |
| 004 | SLU STR | No | -0.3251 | -0.3230 | -0.3377 | -0.3361 | 0.1 | 0.0 |
| 005 | SLU STR | No | -0.1313 | -0.1316 | -0.1342 | -0.1331 | 0.0 | 0.0 |
| 006 | SLU STR | No | -0.1838 | -0.1841 | -0.1867 | -0.1856 | 0.0 | 0.0 |
| 007 | SLU STR | No | -0.2262 | -0.2241 | -0.2377 | -0.2364 | 0.1 | 0.0 |
| 008 | SLU STR | No | -0.2787 | -0.2766 | -0.2902 | -0.2889 | 0.1 | 0.0 |
| 009 | SLU STR | No | -0.2527 | -0.2530 | -0.2567 | -0.2553 | 0.0 | 0.0 |
| 010 | SLU STR | No | -0.2441 | -0.2428 | -0.2541 | -0.2526 | 0.1 | 0.0 |
| 011 | SLU STR | No | -0.3191 | -0.3178 | -0.3291 | -0.3276 | 0.1 | 0.0 |
| 012 | SLU STR | No | -0.2063 | -0.2066 | -0.2092 | -0.2081 | 0.0 | 0.0 |
| 013 | SLU STR | No | -0.1977 | -0.1963 | -0.2066 | -0.2054 | 0.1 | 0.0 |
| 014 | SLU STR | No | -0.2727 | -0.2713 | -0.2816 | -0.2804 | 0.1 | 0.0 |
| 015 | SLE rare | No | -0.1343 | -0.1346 | -0.1373 | -0.1362 | 0.0 | 0.0 |
| 016 | SLE rare | No | -0.1693 | -0.1696 | -0.1723 | -0.1712 | 0.0 | 0.0 |
| 017 | SLE rare | No | -0.1976 | -0.1963 | -0.2063 | -0.2051 | 0.1 | 0.0 |
| 018 | SLE rare | No | -0.2326 | -0.2313 | -0.2413 | -0.2401 | 0.1 | 0.0 |
| 019 | SLE rare | No | -0.1843 | -0.1846 | -0.1873 | -0.1862 | 0.0 | 0.0 |
| 020 | SLE rare | No | -0.1786 | -0.1778 | -0.1856 | -0.1844 | 0.1 | 0.0 |
| 021 | SLE rare | No | -0.2286 | -0.2278 | -0.2356 | -0.2344 | 0.1 | 0.0 |
| 022 | SLE freq | No | -0.1343 | -0.1346 | -0.1373 | -0.1362 | 0.0 | 0.0 |
| 023 | SLE freq | No | -0.1643 | -0.1646 | -0.1673 | -0.1662 | 0.0 | 0.0 |
| 024 | SLE freq | No | -0.1786 | -0.1778 | -0.1856 | -0.1844 | 0.1 | 0.0 |
| 025 | SLE freq | No | -0.2086 | -0.2078 | -0.2156 | -0.2144 | 0.1 | 0.0 |
| 026 | SLE freq | No | -0.1693 | -0.1696 | -0.1723 | -0.1712 | 0.0 | 0.0 |
| 027 | SLE freq | No | -0.1723 | -0.1716 | -0.1787 | -0.1776 | 0.1 | 0.0 |
| 028 | SLE freq | No | -0.2073 | -0.2066 | -0.2137 | -0.2126 | 0.1 | 0.0 |
| 029 | SLE q.p. | No | -0.1343 | -0.1346 | -0.1373 | -0.1362 | 0.0 | 0.0 |
| 030 | SLE q.p. | No | -0.1643 | -0.1646 | -0.1673 | -0.1662 | 0.0 | 0.0 |
| 031 | SLE q.p. | No | -0.1723 | -0.1716 | -0.1787 | -0.1776 | 0.1 | 0.0 |
| 032 | SLE q.p. | No | -0.2023 | -0.2016 | -0.2087 | -0.2076 | 0.1 | 0.0 |
| 033 | SLV A1 | Si | -0.2565 | -0.2572 | -0.2742 | -0.2690 | 17.9 | 2.1 |
| 034 | SLV A1 | Si | -0.2156 | -0.2183 | -0.2235 | -0.2190 | 27.1 | -17.8 |
| 035 | SLV A1 | Si | -0.1890 | -0.1849 | -0.1940 | -0.1962 | -27.0 | 17.8 |
| 036 | SLV A1 | Si | -0.1481 | -0.1460 | -0.1433 | -0.1462 | -17.8 | -2.1 |
| 037 | SLV A1 | Si | -0.2569 | -0.2576 | -0.2745 | -0.2693 | 26.8 | 1.5 |
| 038 | SLV A1 | Si | -0.2153 | -0.2180 | -0.2231 | -0.2186 | 18.2 | -17.3 |
| 039 | SLV A1 | Si | -0.1893 | -0.1853 | -0.1943 | -0.1965 | -18.1 | 17.2 |

| | | | |
|--------------------------------------|------------------------------------------------------------------------------------------------------------------------------|----------------------------------------------------------------------------------|-------------|
| COMMITTENTE: Mecca Antonio | CODICE COMMESSA: | NOME ELABORATO: S1.5 - Relazione Geotecnica e delle Fondazioni | CONSULENTE: |
| DATA: Aprile 2023 | TITOLO: Lavori ultimazione di un fabbricato adibito ad albergo-ristorante- C.da Case Nuove Chicone Avigliano (PZ) | | |

| | | | | | | | | |
|-----|--------|----|---------|---------|---------|---------|-------|-------|
| 040 | SLV A1 | Si | -0.1477 | -0.1457 | -0.1429 | -0.1458 | -26.7 | -1.5 |
| 041 | SLV A1 | Si | -0.2639 | -0.2639 | -0.2832 | -0.2782 | 19.3 | -0.6 |
| 042 | SLV A1 | Si | -0.2229 | -0.2250 | -0.2325 | -0.2282 | 28.5 | -20.5 |
| 043 | SLV A1 | Si | -0.1817 | -0.1782 | -0.1849 | -0.1869 | -28.4 | 20.4 |
| 044 | SLV A1 | Si | -0.1407 | -0.1393 | -0.1342 | -0.1369 | -19.2 | 0.5 |
| 045 | SLV A1 | Si | -0.2642 | -0.2643 | -0.2836 | -0.2785 | 28.2 | -1.1 |
| 046 | SLV A1 | Si | -0.2226 | -0.2247 | -0.2322 | -0.2278 | 19.6 | -19.9 |
| 047 | SLV A1 | Si | -0.1820 | -0.1786 | -0.1853 | -0.1873 | -19.5 | 19.9 |
| 048 | SLV A1 | Si | -0.1404 | -0.1390 | -0.1339 | -0.1366 | -28.1 | 1.1 |
| 049 | SLV A1 | Si | -0.2807 | -0.2773 | -0.3052 | -0.3018 | -8.5 | 30.8 |
| 050 | SLV A1 | Si | -0.1442 | -0.1476 | -0.1363 | -0.1351 | 22.1 | -35.5 |
| 051 | SLV A1 | Si | -0.2604 | -0.2556 | -0.2811 | -0.2800 | -22.0 | 35.5 |
| 052 | SLV A1 | Si | -0.1239 | -0.1259 | -0.1122 | -0.1133 | 8.6 | -30.8 |
| 053 | SLV A1 | Si | -0.2829 | -0.2793 | -0.3079 | -0.3046 | -8.1 | 30.0 |
| 054 | SLV A1 | Si | -0.1464 | -0.1496 | -0.1390 | -0.1379 | 22.5 | -36.3 |
| 055 | SLV A1 | Si | -0.2582 | -0.2536 | -0.2784 | -0.2772 | -22.4 | 36.3 |
| 056 | SLV A1 | Si | -0.1217 | -0.1239 | -0.1095 | -0.1105 | 8.2 | -30.0 |
| 057 | SLV A1 | Si | -0.2818 | -0.2785 | -0.3064 | -0.3030 | 21.1 | 28.9 |
| 058 | SLV A1 | Si | -0.1431 | -0.1465 | -0.1351 | -0.1339 | -7.5 | -33.6 |
| 059 | SLV A1 | Si | -0.2615 | -0.2568 | -0.2824 | -0.2812 | 7.6 | 33.6 |
| 060 | SLV A1 | Si | -0.1228 | -0.1248 | -0.1110 | -0.1121 | -21.0 | -28.9 |
| 061 | SLV A1 | Si | -0.2840 | -0.2805 | -0.3091 | -0.3058 | 21.5 | 28.1 |
| 062 | SLV A1 | Si | -0.1453 | -0.1485 | -0.1378 | -0.1367 | -7.1 | -34.4 |
| 063 | SLV A1 | Si | -0.2593 | -0.2548 | -0.2796 | -0.2784 | 7.2 | 34.4 |
| 064 | SLV A1 | Si | -0.1206 | -0.1228 | -0.1083 | -0.1093 | -21.4 | -28.1 |
| 065 | SLD | Si | -0.2269 | -0.2269 | -0.2385 | -0.2355 | 8.1 | 1.0 |
| 066 | SLD | Si | -0.2083 | -0.2091 | -0.2153 | -0.2126 | 12.3 | -8.1 |
| 067 | SLD | Si | -0.1963 | -0.1941 | -0.2021 | -0.2025 | -12.2 | 8.1 |
| 068 | SLD | Si | -0.1777 | -0.1764 | -0.1790 | -0.1797 | -8.0 | -1.0 |
| 069 | SLD | Si | -0.2271 | -0.2270 | -0.2386 | -0.2356 | 12.2 | 0.7 |
| 070 | SLD | Si | -0.2081 | -0.2090 | -0.2152 | -0.2125 | 8.3 | -7.9 |
| 071 | SLD | Si | -0.1965 | -0.1943 | -0.2023 | -0.2026 | -8.1 | 7.8 |
| 072 | SLD | Si | -0.1775 | -0.1762 | -0.1788 | -0.1795 | -12.1 | -0.7 |
| 073 | SLD | Si | -0.2303 | -0.2299 | -0.2426 | -0.2397 | 8.8 | -0.3 |
| 074 | SLD | Si | -0.2116 | -0.2122 | -0.2195 | -0.2169 | 13.0 | -9.3 |
| 075 | SLD | Si | -0.1930 | -0.1911 | -0.1980 | -0.1983 | -12.8 | 9.3 |
| 076 | SLD | Si | -0.1743 | -0.1733 | -0.1748 | -0.1754 | -8.7 | 0.2 |
| 077 | SLD | Si | -0.2304 | -0.2301 | -0.2427 | -0.2398 | 12.8 | -0.5 |
| 078 | SLD | Si | -0.2115 | -0.2120 | -0.2193 | -0.2167 | 8.9 | -9.1 |
| 079 | SLD | Si | -0.1931 | -0.1912 | -0.1981 | -0.1984 | -8.8 | 9.0 |
| 080 | SLD | Si | -0.1742 | -0.1731 | -0.1747 | -0.1753 | -12.7 | 0.5 |
| 081 | SLD | Si | -0.2380 | -0.2361 | -0.2527 | -0.2506 | -3.9 | 14.0 |
| 082 | SLD | Si | -0.1757 | -0.1769 | -0.1756 | -0.1745 | 10.1 | -16.2 |
| 083 | SLD | Si | -0.2288 | -0.2263 | -0.2418 | -0.2407 | -10.0 | 16.2 |
| 084 | SLD | Si | -0.1666 | -0.1671 | -0.1647 | -0.1646 | 4.0 | -14.1 |
| 085 | SLD | Si | -0.2390 | -0.2371 | -0.2540 | -0.2518 | -3.7 | 13.7 |
| 086 | SLD | Si | -0.1767 | -0.1778 | -0.1769 | -0.1757 | 10.3 | -16.6 |
| 087 | SLD | Si | -0.2278 | -0.2254 | -0.2406 | -0.2394 | -10.2 | 16.5 |
| 088 | SLD | Si | -0.1656 | -0.1662 | -0.1635 | -0.1633 | 3.8 | -13.7 |
| 089 | SLD | Si | -0.2385 | -0.2366 | -0.2533 | -0.2511 | 9.6 | 13.2 |
| 090 | SLD | Si | -0.1753 | -0.1764 | -0.1751 | -0.1739 | -3.4 | -15.4 |
| 091 | SLD | Si | -0.2293 | -0.2268 | -0.2423 | -0.2412 | 3.5 | 15.3 |
| 092 | SLD | Si | -0.1661 | -0.1666 | -0.1642 | -0.1640 | -9.5 | -13.2 |
| 093 | SLD | Si | -0.2395 | -0.2376 | -0.2545 | -0.2523 | 9.8 | 12.8 |
| 094 | SLD | Si | -0.1763 | -0.1773 | -0.1763 | -0.1752 | -3.2 | -15.7 |
| 095 | SLD | Si | -0.2283 | -0.2259 | -0.2411 | -0.2399 | 3.3 | 15.7 |
| 096 | SLD | Si | -0.1651 | -0.1657 | -0.1629 | -0.1628 | -9.7 | -12.9 |
| 097 | SLO | Si | -0.2218 | -0.2216 | -0.2322 | -0.2296 | 6.5 | 0.7 |
| 098 | SLO | Si | -0.2071 | -0.2076 | -0.2141 | -0.2117 | 9.8 | -6.4 |
| 099 | SLO | Si | -0.1975 | -0.1956 | -0.2034 | -0.2034 | -9.7 | 6.4 |
| 100 | SLO | Si | -0.1828 | -0.1816 | -0.1852 | -0.1855 | -6.4 | -0.8 |
| 101 | SLO | Si | -0.2220 | -0.2218 | -0.2324 | -0.2298 | 9.7 | 0.6 |
| 102 | SLO | Si | -0.2069 | -0.2074 | -0.2138 | -0.2115 | 6.6 | -6.2 |
| 103 | SLO | Si | -0.1977 | -0.1958 | -0.2036 | -0.2037 | -6.5 | 6.2 |
| 104 | SLO | Si | -0.1826 | -0.1814 | -0.1850 | -0.1853 | -9.6 | -0.6 |
| 105 | SLO | Si | -0.2244 | -0.2240 | -0.2355 | -0.2329 | 7.0 | -0.2 |
| 106 | SLO | Si | -0.2098 | -0.2101 | -0.2173 | -0.2150 | 10.3 | -7.4 |
| 107 | SLO | Si | -0.1948 | -0.1932 | -0.2001 | -0.2001 | -10.2 | 7.3 |
| 108 | SLO | Si | -0.1802 | -0.1792 | -0.1820 | -0.1822 | -6.9 | 0.2 |
| 109 | SLO | Si | -0.2246 | -0.2242 | -0.2357 | -0.2332 | 10.2 | -0.4 |
| 110 | SLO | Si | -0.2096 | -0.2099 | -0.2171 | -0.2148 | 7.1 | -7.2 |
| 111 | SLO | Si | -0.1950 | -0.1934 | -0.2003 | -0.2003 | -7.0 | 7.2 |

Relazione Geotecnica e delle Fondazioni

| | | | | | | | | |
|-----|-----|----|---------|---------|---------|---------|-------|-------|
| 112 | SLO | Si | -0.1800 | -0.1790 | -0.1817 | -0.1820 | -10.1 | 0.4 |
| 113 | SLO | Si | -0.2304 | -0.2288 | -0.2433 | -0.2414 | -3.0 | 11.0 |
| 114 | SLO | Si | -0.1815 | -0.1823 | -0.1828 | -0.1816 | 8.0 | -12.7 |
| 115 | SLO | Si | -0.2231 | -0.2210 | -0.2347 | -0.2335 | -7.8 | 12.7 |
| 116 | SLO | Si | -0.1742 | -0.1745 | -0.1741 | -0.1738 | 3.1 | -11.0 |
| 117 | SLO | Si | -0.2312 | -0.2295 | -0.2443 | -0.2423 | -2.9 | 10.7 |
| 118 | SLO | Si | -0.1823 | -0.1830 | -0.1838 | -0.1826 | 8.1 | -13.0 |
| 119 | SLO | Si | -0.2223 | -0.2202 | -0.2337 | -0.2325 | -8.0 | 13.0 |
| 120 | SLO | Si | -0.1734 | -0.1737 | -0.1732 | -0.1728 | 3.0 | -10.8 |
| 121 | SLO | Si | -0.2311 | -0.2294 | -0.2441 | -0.2421 | 7.7 | 10.5 |
| 122 | SLO | Si | -0.1808 | -0.1816 | -0.1820 | -0.1809 | -2.7 | -12.2 |
| 123 | SLO | Si | -0.2238 | -0.2216 | -0.2354 | -0.2343 | 2.8 | 12.2 |
| 124 | SLO | Si | -0.1735 | -0.1738 | -0.1734 | -0.1730 | -7.5 | -10.5 |
| 125 | SLO | Si | -0.2318 | -0.2302 | -0.2451 | -0.2431 | 7.8 | 10.2 |
| 126 | SLO | Si | -0.1816 | -0.1823 | -0.1830 | -0.1819 | -2.5 | -12.5 |
| 127 | SLO | Si | -0.2230 | -0.2209 | -0.2344 | -0.2333 | 2.7 | 12.4 |
| 128 | SLO | Si | -0.1727 | -0.1731 | -0.1724 | -0.1720 | -7.7 | -10.2 |

Elemento: Platea n. 51

| Cmb | Tipo | Sism. | Press. N1 | Press. N2 | Press. N3 | Press. N4 | S. Taglio X | S. Taglio Y |
|-----|----------|-------|---------------------|---------------------|---------------------|---------------------|-------------|-------------|
| n. | | | daN/cm ² | daN/cm ² | daN/cm ² | daN/cm ² | daN | daN |
| 001 | SLU STR | No | -0.1730 | -0.1734 | -0.1794 | -0.1780 | 0.0 | 0.0 |
| 002 | SLU STR | No | -0.2255 | -0.2259 | -0.2319 | -0.2305 | 0.0 | 0.0 |
| 003 | SLU STR | No | -0.2513 | -0.2500 | -0.2727 | -0.2705 | 0.1 | -0.1 |
| 004 | SLU STR | No | -0.3038 | -0.3025 | -0.3252 | -0.3230 | 0.1 | -0.1 |
| 005 | SLU STR | No | -0.1280 | -0.1284 | -0.1326 | -0.1316 | 0.0 | 0.0 |
| 006 | SLU STR | No | -0.1805 | -0.1809 | -0.1851 | -0.1841 | 0.0 | 0.0 |
| 007 | SLU STR | No | -0.2063 | -0.2049 | -0.2259 | -0.2241 | 0.1 | -0.1 |
| 008 | SLU STR | No | -0.2588 | -0.2574 | -0.2784 | -0.2766 | 0.1 | -0.1 |
| 009 | SLU STR | No | -0.2480 | -0.2484 | -0.2544 | -0.2530 | 0.0 | 0.0 |
| 010 | SLU STR | No | -0.2278 | -0.2270 | -0.2447 | -0.2428 | 0.1 | -0.1 |
| 011 | SLU STR | No | -0.3028 | -0.3020 | -0.3197 | -0.3178 | 0.1 | -0.1 |
| 012 | SLU STR | No | -0.2030 | -0.2034 | -0.2076 | -0.2066 | 0.0 | 0.0 |
| 013 | SLU STR | No | -0.1828 | -0.1820 | -0.1979 | -0.1963 | 0.1 | -0.1 |
| 014 | SLU STR | No | -0.2578 | -0.2570 | -0.2729 | -0.2713 | 0.1 | -0.1 |
| 015 | SLE rare | No | -0.1309 | -0.1312 | -0.1356 | -0.1346 | 0.0 | 0.0 |
| 016 | SLE rare | No | -0.1659 | -0.1662 | -0.1706 | -0.1696 | 0.0 | 0.0 |
| 017 | SLE rare | No | -0.1831 | -0.1823 | -0.1978 | -0.1963 | 0.1 | -0.1 |
| 018 | SLE rare | No | -0.2181 | -0.2173 | -0.2328 | -0.2313 | 0.1 | -0.1 |
| 019 | SLE rare | No | -0.1809 | -0.1812 | -0.1856 | -0.1846 | 0.0 | 0.0 |
| 020 | SLE rare | No | -0.1674 | -0.1669 | -0.1792 | -0.1778 | 0.1 | -0.1 |
| 021 | SLE rare | No | -0.2174 | -0.2169 | -0.2292 | -0.2278 | 0.1 | -0.1 |
| 022 | SLE freq | No | -0.1309 | -0.1312 | -0.1356 | -0.1346 | 0.0 | 0.0 |
| 023 | SLE freq | No | -0.1609 | -0.1612 | -0.1656 | -0.1646 | 0.0 | 0.0 |
| 024 | SLE freq | No | -0.1674 | -0.1669 | -0.1792 | -0.1778 | 0.1 | -0.1 |
| 025 | SLE freq | No | -0.1974 | -0.1969 | -0.2092 | -0.2078 | 0.1 | -0.1 |
| 026 | SLE freq | No | -0.1659 | -0.1662 | -0.1706 | -0.1696 | 0.0 | 0.0 |
| 027 | SLE freq | No | -0.1622 | -0.1618 | -0.1730 | -0.1716 | 0.1 | 0.0 |
| 028 | SLE freq | No | -0.1972 | -0.1968 | -0.2080 | -0.2066 | 0.1 | 0.0 |
| 029 | SLE q.p. | No | -0.1309 | -0.1312 | -0.1356 | -0.1346 | 0.0 | 0.0 |
| 030 | SLE q.p. | No | -0.1609 | -0.1612 | -0.1656 | -0.1646 | 0.0 | 0.0 |
| 031 | SLE q.p. | No | -0.1622 | -0.1618 | -0.1730 | -0.1716 | 0.1 | 0.0 |
| 032 | SLE q.p. | No | -0.1922 | -0.1918 | -0.2030 | -0.2016 | 0.1 | 0.0 |
| 033 | SLV A1 | Si | -0.2343 | -0.2360 | -0.2626 | -0.2572 | 20.9 | 1.4 |
| 034 | SLV A1 | Si | -0.2105 | -0.2132 | -0.2221 | -0.2183 | 30.3 | -25.4 |
| 035 | SLV A1 | Si | -0.1739 | -0.1705 | -0.1838 | -0.1849 | -30.2 | 25.3 |
| 036 | SLV A1 | Si | -0.1500 | -0.1477 | -0.1433 | -0.1460 | -20.8 | -1.5 |
| 037 | SLV A1 | Si | -0.2346 | -0.2363 | -0.2630 | -0.2576 | 30.1 | 0.6 |
| 038 | SLV A1 | Si | -0.2102 | -0.2128 | -0.2217 | -0.2180 | 21.2 | -24.5 |
| 039 | SLV A1 | Si | -0.1742 | -0.1709 | -0.1842 | -0.1853 | -21.1 | 24.5 |
| 040 | SLV A1 | Si | -0.1497 | -0.1474 | -0.1429 | -0.1457 | -29.9 | -0.6 |
| 041 | SLV A1 | Si | -0.2382 | -0.2396 | -0.2695 | -0.2639 | 22.2 | -2.0 |
| 042 | SLV A1 | Si | -0.2143 | -0.2167 | -0.2289 | -0.2250 | 31.6 | -28.8 |
| 043 | SLV A1 | Si | -0.1700 | -0.1670 | -0.1770 | -0.1782 | -31.5 | 28.7 |
| 044 | SLV A1 | Si | -0.1462 | -0.1441 | -0.1365 | -0.1393 | -22.1 | 1.9 |
| 045 | SLV A1 | Si | -0.2385 | -0.2399 | -0.2698 | -0.2643 | 31.3 | -2.8 |
| 046 | SLV A1 | Si | -0.2140 | -0.2164 | -0.2286 | -0.2247 | 22.5 | -27.9 |
| 047 | SLV A1 | Si | -0.1703 | -0.1673 | -0.1773 | -0.1786 | -22.4 | 27.8 |
| 048 | SLV A1 | Si | -0.1459 | -0.1438 | -0.1361 | -0.1390 | -31.2 | 2.7 |
| 049 | SLV A1 | Si | -0.2410 | -0.2397 | -0.2823 | -0.2773 | -7.8 | 41.0 |
| 050 | SLV A1 | Si | -0.1615 | -0.1636 | -0.1472 | -0.1476 | 23.3 | -48.2 |
| 051 | SLV A1 | Si | -0.2229 | -0.2201 | -0.2587 | -0.2556 | -23.2 | 48.1 |
| 052 | SLV A1 | Si | -0.1433 | -0.1439 | -0.1236 | -0.1259 | 8.0 | -41.1 |

| | | | | | | | | |
|--------------------------------------|--------|----------------------------------------------------------------------------------------------------------------------|----------------------------------------------------------------------------------|---------|---------|-------------|-------|-------|
| COMMITTENTE: Mecca Antonio | | CODICE COMMESSA: | NOME ELABORATO: S1.5 - Relazione Geotecnica e delle Fondazioni | | | CONSULENTE: | | |
| DATA: Aprile 2023 | | TITOLO: Lavori ultimazione di un fabbricato adibito ad albergo-ristorante– C.da Case Nuove Chicone Avigliano (PZ) | | | | | | |
| 053 | SLV A1 | Si | -0.2422 | -0.2408 | -0.2844 | -0.2793 | -7.5 | 40.0 |
| 054 | SLV A1 | Si | -0.1626 | -0.1647 | -0.1493 | -0.1496 | 23.7 | -49.3 |
| 055 | SLV A1 | Si | -0.2217 | -0.2190 | -0.2566 | -0.2536 | -23.6 | 49.2 |
| 056 | SLV A1 | Si | -0.1422 | -0.1429 | -0.1215 | -0.1239 | 7.6 | -40.0 |
| 057 | SLV A1 | Si | -0.2420 | -0.2408 | -0.2835 | -0.2785 | 22.5 | 38.2 |
| 058 | SLV A1 | Si | -0.1605 | -0.1625 | -0.1461 | -0.1465 | -7.1 | -45.5 |
| 059 | SLV A1 | Si | -0.2239 | -0.2212 | -0.2599 | -0.2568 | 7.2 | 45.4 |
| 060 | SLV A1 | Si | -0.1424 | -0.1429 | -0.1224 | -0.1248 | -22.4 | -38.3 |
| 061 | SLV A1 | Si | -0.2432 | -0.2419 | -0.2856 | -0.2805 | 22.9 | 37.2 |
| 062 | SLV A1 | Si | -0.1616 | -0.1636 | -0.1481 | -0.1485 | -6.7 | -46.5 |
| 063 | SLV A1 | Si | -0.2227 | -0.2201 | -0.2578 | -0.2548 | 6.8 | 46.4 |
| 064 | SLV A1 | Si | -0.1412 | -0.1418 | -0.1204 | -0.1228 | -22.8 | -37.3 |
| 065 | SLD | Si | -0.2113 | -0.2119 | -0.2301 | -0.2269 | 9.5 | 0.6 |
| 066 | SLD | Si | -0.2004 | -0.2015 | -0.2116 | -0.2091 | 13.8 | -11.6 |
| 067 | SLD | Si | -0.1839 | -0.1822 | -0.1944 | -0.1941 | -13.6 | 11.5 |
| 068 | SLD | Si | -0.1731 | -0.1718 | -0.1759 | -0.1764 | -9.4 | -0.7 |
| 069 | SLD | Si | -0.2114 | -0.2120 | -0.2302 | -0.2270 | 13.7 | 0.3 |
| 070 | SLD | Si | -0.2003 | -0.2013 | -0.2114 | -0.2090 | 9.6 | -11.2 |
| 071 | SLD | Si | -0.1841 | -0.1824 | -0.1945 | -0.1943 | -9.5 | 11.1 |
| 072 | SLD | Si | -0.1729 | -0.1717 | -0.1757 | -0.1762 | -13.5 | -0.4 |
| 073 | SLD | Si | -0.2131 | -0.2135 | -0.2332 | -0.2299 | 10.1 | -0.9 |
| 074 | SLD | Si | -0.2022 | -0.2031 | -0.2147 | -0.2122 | 14.4 | -13.1 |
| 075 | SLD | Si | -0.1822 | -0.1806 | -0.1912 | -0.1911 | -14.2 | 13.0 |
| 076 | SLD | Si | -0.1713 | -0.1702 | -0.1727 | -0.1733 | -10.0 | 0.8 |
| 077 | SLD | Si | -0.2132 | -0.2137 | -0.2333 | -0.2301 | 14.3 | -1.3 |
| 078 | SLD | Si | -0.2021 | -0.2030 | -0.2145 | -0.2120 | 10.2 | -12.8 |
| 079 | SLD | Si | -0.1823 | -0.1807 | -0.1914 | -0.1912 | -10.1 | 12.7 |
| 080 | SLD | Si | -0.1712 | -0.1700 | -0.1726 | -0.1731 | -14.1 | 1.2 |
| 081 | SLD | Si | -0.2144 | -0.2137 | -0.2391 | -0.2361 | -3.6 | 18.7 |
| 082 | SLD | Si | -0.1781 | -0.1789 | -0.1775 | -0.1769 | 10.6 | -22.0 |
| 083 | SLD | Si | -0.2062 | -0.2048 | -0.2284 | -0.2263 | -10.5 | 21.9 |
| 084 | SLD | Si | -0.1699 | -0.1700 | -0.1668 | -0.1671 | 3.7 | -18.8 |
| 085 | SLD | Si | -0.2150 | -0.2141 | -0.2401 | -0.2371 | -3.4 | 18.2 |
| 086 | SLD | Si | -0.1787 | -0.1794 | -0.1784 | -0.1778 | 10.8 | -22.5 |
| 087 | SLD | Si | -0.2057 | -0.2043 | -0.2275 | -0.2254 | -10.7 | 22.4 |
| 088 | SLD | Si | -0.1694 | -0.1695 | -0.1658 | -0.1662 | 3.5 | -18.3 |
| 089 | SLD | Si | -0.2149 | -0.2141 | -0.2397 | -0.2366 | 10.3 | 17.4 |
| 090 | SLD | Si | -0.1777 | -0.1784 | -0.1770 | -0.1764 | -3.2 | -20.8 |
| 091 | SLD | Si | -0.2067 | -0.2052 | -0.2290 | -0.2268 | 3.3 | 20.7 |
| 092 | SLD | Si | -0.1695 | -0.1695 | -0.1663 | -0.1666 | -10.1 | -17.5 |
| 093 | SLD | Si | -0.2154 | -0.2146 | -0.2406 | -0.2376 | 10.4 | 17.0 |
| 094 | SLD | Si | -0.1782 | -0.1789 | -0.1779 | -0.1773 | -3.0 | -21.2 |
| 095 | SLD | Si | -0.2061 | -0.2048 | -0.2280 | -0.2259 | 3.1 | 21.1 |
| 096 | SLD | Si | -0.1690 | -0.1691 | -0.1653 | -0.1657 | -10.3 | -17.0 |
| 097 | SLO | Si | -0.2073 | -0.2077 | -0.2244 | -0.2216 | 7.6 | 0.4 |
| 098 | SLO | Si | -0.1988 | -0.1995 | -0.2099 | -0.2076 | 10.9 | -9.1 |
| 099 | SLO | Si | -0.1856 | -0.1842 | -0.1961 | -0.1956 | -10.8 | 9.0 |
| 100 | SLO | Si | -0.1770 | -0.1760 | -0.1815 | -0.1816 | -7.4 | -0.5 |
| 101 | SLO | Si | -0.2075 | -0.2079 | -0.2246 | -0.2218 | 10.8 | 0.2 |
| 102 | SLO | Si | -0.1986 | -0.1994 | -0.2097 | -0.2074 | 7.6 | -8.9 |
| 103 | SLO | Si | -0.1857 | -0.1843 | -0.1963 | -0.1958 | -7.5 | 8.8 |
| 104 | SLO | Si | -0.1769 | -0.1758 | -0.1813 | -0.1814 | -10.7 | -0.3 |
| 105 | SLO | Si | -0.2087 | -0.2090 | -0.2269 | -0.2240 | 8.0 | -0.8 |
| 106 | SLO | Si | -0.2002 | -0.2008 | -0.2123 | -0.2101 | 11.4 | -10.4 |
| 107 | SLO | Si | -0.1842 | -0.1829 | -0.1936 | -0.1932 | -11.3 | 10.3 |
| 108 | SLO | Si | -0.1756 | -0.1747 | -0.1791 | -0.1792 | -7.9 | 0.7 |
| 109 | SLO | Si | -0.2089 | -0.2092 | -0.2271 | -0.2242 | 11.3 | -1.0 |
| 110 | SLO | Si | -0.2000 | -0.2007 | -0.2121 | -0.2099 | 8.1 | -10.1 |
| 111 | SLO | Si | -0.1843 | -0.1830 | -0.1938 | -0.1934 | -8.0 | 10.0 |
| 112 | SLO | Si | -0.1755 | -0.1745 | -0.1789 | -0.1790 | -11.2 | 0.9 |
| 113 | SLO | Si | -0.2097 | -0.2090 | -0.2314 | -0.2288 | -2.8 | 14.6 |
| 114 | SLO | Si | -0.1812 | -0.1817 | -0.1830 | -0.1823 | 8.4 | -17.3 |
| 115 | SLO | Si | -0.2032 | -0.2020 | -0.2229 | -0.2210 | -8.3 | 17.2 |
| 116 | SLO | Si | -0.1747 | -0.1747 | -0.1745 | -0.1745 | 2.9 | -14.7 |
| 117 | SLO | Si | -0.2101 | -0.2094 | -0.2322 | -0.2295 | -2.6 | 14.3 |
| 118 | SLO | Si | -0.1816 | -0.1821 | -0.1838 | -0.1830 | 8.5 | -17.7 |
| 119 | SLO | Si | -0.2028 | -0.2016 | -0.2222 | -0.2202 | -8.4 | 17.6 |
| 120 | SLO | Si | -0.1743 | -0.1743 | -0.1738 | -0.1737 | 2.7 | -14.4 |
| 121 | SLO | Si | -0.2102 | -0.2095 | -0.2321 | -0.2294 | 8.2 | 13.8 |
| 122 | SLO | Si | -0.1807 | -0.1812 | -0.1823 | -0.1816 | -2.5 | -16.5 |
| 123 | SLO | Si | -0.2037 | -0.2025 | -0.2236 | -0.2216 | 2.6 | 16.4 |
| 124 | SLO | Si | -0.1742 | -0.1741 | -0.1738 | -0.1738 | -8.0 | -13.9 |

Relazione Geotecnica e delle Fondazioni

| | | | | | | | | |
|-----|-----|----|---------|---------|---------|---------|------|-------|
| 125 | SLO | Si | -0.2106 | -0.2099 | -0.2328 | -0.2302 | 8.3 | 13.5 |
| 126 | SLO | Si | -0.1811 | -0.1816 | -0.1831 | -0.1823 | -2.4 | -16.9 |
| 127 | SLO | Si | -0.2033 | -0.2021 | -0.2229 | -0.2209 | 2.5 | 16.8 |
| 128 | SLO | Si | -0.1737 | -0.1738 | -0.1731 | -0.1731 | -8.2 | -13.6 |

Elemento: Platea n. 52

| Cmb | Tipo | Sism. | Press. N1 | Press. N2 | Press. N3 | Press. N4 | S. Taglio X | S. Taglio Y |
|-----|----------|-------|---------------------|---------------------|---------------------|---------------------|-------------|-------------|
| n. | | | daN/cm ² | daN/cm ² | daN/cm ² | daN/cm ² | daN | daN |
| 001 | SLU STR | No | -0.1552 | -0.1565 | -0.1607 | -0.1599 | 0.0 | 0.0 |
| 002 | SLU STR | No | -0.2077 | -0.2090 | -0.2132 | -0.2124 | 0.0 | 0.0 |
| 003 | SLU STR | No | -0.1934 | -0.1978 | -0.2144 | -0.2121 | 0.0 | 0.2 |
| 004 | SLU STR | No | -0.2459 | -0.2503 | -0.2669 | -0.2646 | 0.0 | 0.2 |
| 005 | SLU STR | No | -0.1151 | -0.1160 | -0.1190 | -0.1184 | 0.0 | 0.0 |
| 006 | SLU STR | No | -0.1676 | -0.1685 | -0.1715 | -0.1709 | 0.0 | 0.0 |
| 007 | SLU STR | No | -0.1533 | -0.1574 | -0.1728 | -0.1706 | 0.0 | 0.2 |
| 008 | SLU STR | No | -0.2058 | -0.2099 | -0.2253 | -0.2231 | 0.0 | 0.2 |
| 009 | SLU STR | No | -0.2302 | -0.2315 | -0.2357 | -0.2349 | 0.0 | 0.0 |
| 010 | SLU STR | No | -0.1819 | -0.1854 | -0.1983 | -0.1964 | 0.0 | 0.1 |
| 011 | SLU STR | No | -0.2569 | -0.2604 | -0.2733 | -0.2714 | 0.0 | 0.1 |
| 012 | SLU STR | No | -0.1901 | -0.1910 | -0.1940 | -0.1934 | 0.0 | 0.0 |
| 013 | SLU STR | No | -0.1418 | -0.1450 | -0.1566 | -0.1550 | 0.0 | 0.1 |
| 014 | SLU STR | No | -0.2168 | -0.2200 | -0.2316 | -0.2300 | 0.0 | 0.1 |
| 015 | SLE rare | No | -0.1175 | -0.1185 | -0.1216 | -0.1210 | 0.0 | 0.0 |
| 016 | SLE rare | No | -0.1525 | -0.1535 | -0.1566 | -0.1560 | 0.0 | 0.0 |
| 017 | SLE rare | No | -0.1430 | -0.1460 | -0.1574 | -0.1558 | 0.0 | 0.1 |
| 018 | SLE rare | No | -0.1780 | -0.1810 | -0.1924 | -0.1908 | 0.0 | 0.1 |
| 019 | SLE rare | No | -0.1675 | -0.1685 | -0.1716 | -0.1710 | 0.0 | 0.0 |
| 020 | SLE rare | No | -0.1353 | -0.1378 | -0.1467 | -0.1454 | 0.0 | 0.1 |
| 021 | SLE rare | No | -0.1853 | -0.1878 | -0.1967 | -0.1954 | 0.0 | 0.1 |
| 022 | SLE freq | No | -0.1175 | -0.1185 | -0.1216 | -0.1210 | 0.0 | 0.0 |
| 023 | SLE freq | No | -0.1475 | -0.1485 | -0.1516 | -0.1510 | 0.0 | 0.0 |
| 024 | SLE freq | No | -0.1353 | -0.1378 | -0.1467 | -0.1454 | 0.0 | 0.1 |
| 025 | SLE freq | No | -0.1653 | -0.1678 | -0.1767 | -0.1754 | 0.0 | 0.1 |
| 026 | SLE freq | No | -0.1525 | -0.1535 | -0.1566 | -0.1560 | 0.0 | 0.0 |
| 027 | SLE freq | No | -0.1328 | -0.1350 | -0.1431 | -0.1419 | 0.0 | 0.1 |
| 028 | SLE freq | No | -0.1678 | -0.1700 | -0.1781 | -0.1769 | 0.0 | 0.1 |
| 029 | SLE q.p. | No | -0.1175 | -0.1185 | -0.1216 | -0.1210 | 0.0 | 0.0 |
| 030 | SLE q.p. | No | -0.1475 | -0.1485 | -0.1516 | -0.1510 | 0.0 | 0.0 |
| 031 | SLE q.p. | No | -0.1328 | -0.1350 | -0.1431 | -0.1419 | 0.0 | 0.1 |
| 032 | SLE q.p. | No | -0.1628 | -0.1650 | -0.1731 | -0.1719 | 0.0 | 0.1 |
| 033 | SLV A1 | Si | -0.1426 | -0.1642 | -0.1761 | -0.1663 | 32.9 | 12.5 |
| 034 | SLV A1 | Si | -0.1600 | -0.1781 | -0.1747 | -0.1679 | 24.9 | -8.2 |
| 035 | SLV A1 | Si | -0.1656 | -0.1519 | -0.1715 | -0.1759 | -24.9 | 8.3 |
| 036 | SLV A1 | Si | -0.1830 | -0.1658 | -0.1701 | -0.1775 | -32.9 | -12.4 |
| 037 | SLV A1 | Si | -0.1425 | -0.1641 | -0.1761 | -0.1662 | 29.1 | 12.7 |
| 038 | SLV A1 | Si | -0.1601 | -0.1781 | -0.1747 | -0.1679 | 28.8 | -8.4 |
| 039 | SLV A1 | Si | -0.1655 | -0.1519 | -0.1715 | -0.1759 | -28.7 | 8.5 |
| 040 | SLV A1 | Si | -0.1831 | -0.1659 | -0.1701 | -0.1776 | -29.1 | -12.5 |
| 041 | SLV A1 | Si | -0.1394 | -0.1669 | -0.1762 | -0.1664 | 33.0 | 12.5 |
| 042 | SLV A1 | Si | -0.1568 | -0.1808 | -0.1748 | -0.1680 | 25.0 | -8.2 |
| 043 | SLV A1 | Si | -0.1688 | -0.1492 | -0.1715 | -0.1758 | -25.0 | 8.4 |
| 044 | SLV A1 | Si | -0.1862 | -0.1631 | -0.1701 | -0.1774 | -33.0 | -12.3 |
| 045 | SLV A1 | Si | -0.1393 | -0.1669 | -0.1762 | -0.1664 | 29.2 | 12.7 |
| 046 | SLV A1 | Si | -0.1569 | -0.1808 | -0.1748 | -0.1680 | 28.8 | -8.4 |
| 047 | SLV A1 | Si | -0.1687 | -0.1492 | -0.1715 | -0.1758 | -28.8 | 8.6 |
| 048 | SLV A1 | Si | -0.1862 | -0.1631 | -0.1701 | -0.1774 | -29.1 | -12.5 |
| 049 | SLV A1 | Si | -0.1304 | -0.1437 | -0.1761 | -0.1678 | 22.1 | 35.2 |
| 050 | SLV A1 | Si | -0.1883 | -0.1900 | -0.1715 | -0.1731 | -4.7 | -33.8 |
| 051 | SLV A1 | Si | -0.1373 | -0.1400 | -0.1748 | -0.1707 | 4.7 | 33.9 |
| 052 | SLV A1 | Si | -0.1952 | -0.1863 | -0.1701 | -0.1760 | -22.0 | -35.0 |
| 053 | SLV A1 | Si | -0.1295 | -0.1445 | -0.1762 | -0.1678 | 22.1 | 35.2 |
| 054 | SLV A1 | Si | -0.1873 | -0.1908 | -0.1715 | -0.1732 | -4.7 | -33.8 |
| 055 | SLV A1 | Si | -0.1383 | -0.1392 | -0.1747 | -0.1706 | 4.7 | 34.0 |
| 056 | SLV A1 | Si | -0.1961 | -0.1855 | -0.1701 | -0.1760 | -22.0 | -35.0 |
| 057 | SLV A1 | Si | -0.1301 | -0.1436 | -0.1761 | -0.1678 | 9.2 | 35.8 |
| 058 | SLV A1 | Si | -0.1886 | -0.1901 | -0.1715 | -0.1731 | 8.1 | -34.4 |
| 059 | SLV A1 | Si | -0.1370 | -0.1399 | -0.1747 | -0.1707 | -8.1 | 34.6 |
| 060 | SLV A1 | Si | -0.1955 | -0.1864 | -0.1701 | -0.1760 | -9.2 | -35.6 |
| 061 | SLV A1 | Si | -0.1292 | -0.1444 | -0.1761 | -0.1678 | 9.3 | 35.8 |
| 062 | SLV A1 | Si | -0.1876 | -0.1909 | -0.1715 | -0.1732 | 8.1 | -34.4 |
| 063 | SLV A1 | Si | -0.1380 | -0.1391 | -0.1747 | -0.1706 | -8.1 | 34.6 |
| 064 | SLV A1 | Si | -0.1964 | -0.1856 | -0.1701 | -0.1760 | -9.2 | -35.6 |
| 065 | SLD | Si | -0.1536 | -0.1646 | -0.1744 | -0.1693 | 14.9 | 5.7 |

| | | | |
|--------------------------------------|----------------------------------------------------------------------------------------------------------------------|----------------------------------------------------------------------------------|-------------|
| COMMITTENTE: Mecca Antonio | CODICE COMMESSA: | NOME ELABORATO: S1.5 - Relazione Geotecnica e delle Fondazioni | CONSULENTE: |
| DATA: Aprile 2023 | TITOLO: Lavori ultimazione di un fabbricato adibito ad albergo-ristorante- C.da Case Nuove Chicone Avigliano (PZ) | | |

| | | | | | | | | |
|-----|-----|----|---------|---------|---------|---------|-------|-------|
| 066 | SLD | Si | -0.1615 | -0.1709 | -0.1738 | -0.1701 | 11.3 | -3.7 |
| 067 | SLD | Si | -0.1640 | -0.1591 | -0.1724 | -0.1737 | -11.3 | 3.9 |
| 068 | SLD | Si | -0.1720 | -0.1654 | -0.1718 | -0.1744 | -14.9 | -5.6 |
| 069 | SLD | Si | -0.1536 | -0.1646 | -0.1744 | -0.1693 | 13.2 | 5.8 |
| 070 | SLD | Si | -0.1616 | -0.1710 | -0.1738 | -0.1701 | 13.0 | -3.8 |
| 071 | SLD | Si | -0.1640 | -0.1591 | -0.1724 | -0.1737 | -13.0 | 3.9 |
| 072 | SLD | Si | -0.1720 | -0.1654 | -0.1718 | -0.1745 | -13.1 | -5.7 |
| 073 | SLD | Si | -0.1522 | -0.1659 | -0.1745 | -0.1694 | 14.9 | 5.7 |
| 074 | SLD | Si | -0.1601 | -0.1722 | -0.1738 | -0.1701 | 11.3 | -3.7 |
| 075 | SLD | Si | -0.1655 | -0.1578 | -0.1724 | -0.1737 | -11.3 | 3.9 |
| 076 | SLD | Si | -0.1734 | -0.1642 | -0.1717 | -0.1744 | -14.9 | -5.5 |
| 077 | SLD | Si | -0.1521 | -0.1658 | -0.1745 | -0.1694 | 13.2 | 5.8 |
| 078 | SLD | Si | -0.1601 | -0.1722 | -0.1738 | -0.1701 | 13.0 | -3.8 |
| 079 | SLD | Si | -0.1655 | -0.1578 | -0.1724 | -0.1737 | -13.0 | 4.0 |
| 080 | SLD | Si | -0.1735 | -0.1642 | -0.1717 | -0.1744 | -13.2 | -5.6 |
| 081 | SLD | Si | -0.1480 | -0.1553 | -0.1745 | -0.1700 | 10.0 | 16.1 |
| 082 | SLD | Si | -0.1744 | -0.1764 | -0.1724 | -0.1724 | -2.1 | -15.3 |
| 083 | SLD | Si | -0.1511 | -0.1536 | -0.1739 | -0.1714 | 2.1 | 15.5 |
| 084 | SLD | Si | -0.1776 | -0.1747 | -0.1718 | -0.1738 | -10.0 | -15.9 |
| 085 | SLD | Si | -0.1476 | -0.1557 | -0.1745 | -0.1701 | 10.0 | 16.1 |
| 086 | SLD | Si | -0.1740 | -0.1768 | -0.1724 | -0.1725 | -2.1 | -15.3 |
| 087 | SLD | Si | -0.1516 | -0.1532 | -0.1739 | -0.1713 | 2.1 | 15.5 |
| 088 | SLD | Si | -0.1780 | -0.1744 | -0.1717 | -0.1737 | -10.0 | -15.9 |
| 089 | SLD | Si | -0.1479 | -0.1552 | -0.1745 | -0.1700 | 4.2 | 16.4 |
| 090 | SLD | Si | -0.1746 | -0.1765 | -0.1724 | -0.1725 | 3.7 | -15.6 |
| 091 | SLD | Si | -0.1510 | -0.1536 | -0.1739 | -0.1713 | -3.6 | 15.8 |
| 092 | SLD | Si | -0.1777 | -0.1748 | -0.1718 | -0.1738 | -4.2 | -16.2 |
| 093 | SLD | Si | -0.1475 | -0.1556 | -0.1745 | -0.1700 | 4.2 | 16.4 |
| 094 | SLD | Si | -0.1741 | -0.1768 | -0.1724 | -0.1725 | 3.7 | -15.6 |
| 095 | SLD | Si | -0.1515 | -0.1532 | -0.1738 | -0.1713 | -3.7 | 15.8 |
| 096 | SLD | Si | -0.1781 | -0.1744 | -0.1717 | -0.1737 | -4.2 | -16.2 |
| 097 | SLO | Si | -0.1555 | -0.1647 | -0.1742 | -0.1699 | 11.8 | 4.5 |
| 098 | SLO | Si | -0.1618 | -0.1697 | -0.1737 | -0.1704 | 8.9 | -2.9 |
| 099 | SLO | Si | -0.1638 | -0.1603 | -0.1726 | -0.1734 | -8.9 | 3.0 |
| 100 | SLO | Si | -0.1700 | -0.1653 | -0.1721 | -0.1739 | -11.8 | -4.4 |
| 101 | SLO | Si | -0.1555 | -0.1647 | -0.1742 | -0.1699 | 10.5 | 4.6 |
| 102 | SLO | Si | -0.1618 | -0.1697 | -0.1737 | -0.1705 | 10.3 | -3.0 |
| 103 | SLO | Si | -0.1638 | -0.1603 | -0.1726 | -0.1733 | -10.3 | 3.1 |
| 104 | SLO | Si | -0.1701 | -0.1653 | -0.1721 | -0.1739 | -10.4 | -4.5 |
| 105 | SLO | Si | -0.1544 | -0.1657 | -0.1742 | -0.1699 | 11.9 | 4.5 |
| 106 | SLO | Si | -0.1606 | -0.1707 | -0.1737 | -0.1705 | 9.0 | -2.9 |
| 107 | SLO | Si | -0.1650 | -0.1593 | -0.1725 | -0.1733 | -9.0 | 3.1 |
| 108 | SLO | Si | -0.1712 | -0.1643 | -0.1720 | -0.1739 | -11.8 | -4.3 |
| 109 | SLO | Si | -0.1543 | -0.1657 | -0.1742 | -0.1699 | 10.5 | 4.6 |
| 110 | SLO | Si | -0.1607 | -0.1707 | -0.1737 | -0.1705 | 10.4 | -3.0 |
| 111 | SLO | Si | -0.1649 | -0.1593 | -0.1725 | -0.1733 | -10.3 | 3.2 |
| 112 | SLO | Si | -0.1713 | -0.1644 | -0.1720 | -0.1739 | -10.5 | -4.5 |
| 113 | SLO | Si | -0.1512 | -0.1574 | -0.1742 | -0.1704 | 7.9 | 12.7 |
| 114 | SLO | Si | -0.1719 | -0.1740 | -0.1725 | -0.1723 | -1.7 | -12.0 |
| 115 | SLO | Si | -0.1537 | -0.1561 | -0.1737 | -0.1715 | 1.7 | 12.2 |
| 116 | SLO | Si | -0.1744 | -0.1726 | -0.1720 | -0.1734 | -7.9 | -12.5 |
| 117 | SLO | Si | -0.1508 | -0.1577 | -0.1742 | -0.1704 | 7.9 | 12.7 |
| 118 | SLO | Si | -0.1716 | -0.1743 | -0.1725 | -0.1723 | -1.7 | -12.0 |
| 119 | SLO | Si | -0.1540 | -0.1558 | -0.1737 | -0.1715 | 1.7 | 12.2 |
| 120 | SLO | Si | -0.1748 | -0.1723 | -0.1720 | -0.1734 | -7.9 | -12.5 |
| 121 | SLO | Si | -0.1510 | -0.1572 | -0.1742 | -0.1704 | 3.3 | 13.0 |
| 122 | SLO | Si | -0.1721 | -0.1741 | -0.1725 | -0.1723 | 2.9 | -12.4 |
| 123 | SLO | Si | -0.1535 | -0.1559 | -0.1737 | -0.1715 | -2.9 | 12.6 |
| 124 | SLO | Si | -0.1746 | -0.1728 | -0.1720 | -0.1734 | -3.3 | -12.8 |
| 125 | SLO | Si | -0.1506 | -0.1575 | -0.1742 | -0.1704 | 3.3 | 13.0 |
| 126 | SLO | Si | -0.1718 | -0.1744 | -0.1725 | -0.1724 | 2.9 | -12.4 |
| 127 | SLO | Si | -0.1538 | -0.1556 | -0.1737 | -0.1714 | -2.9 | 12.6 |
| 128 | SLO | Si | -0.1750 | -0.1725 | -0.1720 | -0.1734 | -3.3 | -12.8 |

Elemento: Platea n. 53

| Cmb | Tipo | Sism. | Press. N1 | Press. N2 | Press. N3 | Press. N4 | S. Taglio X | S. Taglio Y |
|-----|---------|-------|---------------------|---------------------|---------------------|---------------------|-------------|-------------|
| n. | | | daN/cm ² | daN/cm ² | daN/cm ² | daN/cm ² | daN | daN |
| 001 | SLU STR | No | -0.1491 | -0.1482 | -0.1511 | -0.1512 | 0.0 | 0.0 |
| 002 | SLU STR | No | -0.2016 | -0.2007 | -0.2036 | -0.2037 | 0.0 | 0.0 |
| 003 | SLU STR | No | -0.1696 | -0.1662 | -0.1776 | -0.1780 | 0.0 | 0.0 |
| 004 | SLU STR | No | -0.2221 | -0.2187 | -0.2301 | -0.2305 | 0.0 | 0.0 |

Relazione Geotecnica e delle Fondazioni

| | | | | | | | | |
|-----|----------|----|---------|---------|---------|---------|-------|-------|
| 005 | SLU STR | No | -0.1107 | -0.1101 | -0.1122 | -0.1123 | 0.0 | 0.0 |
| 006 | SLU STR | No | -0.1632 | -0.1626 | -0.1647 | -0.1648 | 0.0 | 0.0 |
| 007 | SLU STR | No | -0.1312 | -0.1282 | -0.1387 | -0.1390 | 0.0 | 0.0 |
| 008 | SLU STR | No | -0.1837 | -0.1807 | -0.1912 | -0.1915 | 0.0 | 0.0 |
| 009 | SLU STR | No | -0.2241 | -0.2232 | -0.2261 | -0.2262 | 0.0 | 0.0 |
| 010 | SLU STR | No | -0.1634 | -0.1608 | -0.1697 | -0.1700 | 0.0 | 0.0 |
| 011 | SLU STR | No | -0.2384 | -0.2358 | -0.2447 | -0.2450 | 0.0 | 0.0 |
| 012 | SLU STR | No | -0.1857 | -0.1851 | -0.1872 | -0.1873 | 0.0 | 0.0 |
| 013 | SLU STR | No | -0.1251 | -0.1227 | -0.1307 | -0.1310 | 0.0 | 0.0 |
| 014 | SLU STR | No | -0.2001 | -0.1977 | -0.2057 | -0.2060 | 0.0 | 0.0 |
| 015 | SLE rare | No | -0.1130 | -0.1123 | -0.1144 | -0.1146 | 0.0 | 0.0 |
| 016 | SLE rare | No | -0.1480 | -0.1473 | -0.1494 | -0.1496 | 0.0 | 0.0 |
| 017 | SLE rare | No | -0.1266 | -0.1243 | -0.1322 | -0.1324 | 0.0 | 0.0 |
| 018 | SLE rare | No | -0.1616 | -0.1593 | -0.1672 | -0.1674 | 0.0 | 0.0 |
| 019 | SLE rare | No | -0.1630 | -0.1623 | -0.1644 | -0.1646 | 0.0 | 0.0 |
| 020 | SLE rare | No | -0.1225 | -0.1207 | -0.1268 | -0.1271 | 0.0 | 0.0 |
| 021 | SLE rare | No | -0.1725 | -0.1707 | -0.1768 | -0.1771 | 0.0 | 0.0 |
| 022 | SLE freq | No | -0.1130 | -0.1123 | -0.1144 | -0.1146 | 0.0 | 0.0 |
| 023 | SLE freq | No | -0.1430 | -0.1423 | -0.1444 | -0.1446 | 0.0 | 0.0 |
| 024 | SLE freq | No | -0.1225 | -0.1207 | -0.1268 | -0.1271 | 0.0 | 0.0 |
| 025 | SLE freq | No | -0.1525 | -0.1507 | -0.1568 | -0.1571 | 0.0 | 0.0 |
| 026 | SLE freq | No | -0.1480 | -0.1473 | -0.1494 | -0.1496 | 0.0 | 0.0 |
| 027 | SLE freq | No | -0.1212 | -0.1195 | -0.1251 | -0.1253 | 0.0 | 0.0 |
| 028 | SLE freq | No | -0.1562 | -0.1545 | -0.1601 | -0.1603 | 0.0 | 0.0 |
| 029 | SLE q.p. | No | -0.1130 | -0.1123 | -0.1144 | -0.1146 | 0.0 | 0.0 |
| 030 | SLE q.p. | No | -0.1430 | -0.1423 | -0.1444 | -0.1446 | 0.0 | 0.0 |
| 031 | SLE q.p. | No | -0.1212 | -0.1195 | -0.1251 | -0.1253 | 0.0 | 0.0 |
| 032 | SLE q.p. | No | -0.1512 | -0.1495 | -0.1551 | -0.1553 | 0.0 | 0.0 |
| 033 | SLV A1 | Si | -0.0868 | -0.0912 | -0.1081 | -0.1000 | 16.6 | 22.0 |
| 034 | SLV A1 | Si | -0.1352 | -0.1391 | -0.1440 | -0.1389 | 9.5 | 11.8 |
| 035 | SLV A1 | Si | -0.1671 | -0.1599 | -0.1662 | -0.1716 | -9.4 | -11.8 |
| 036 | SLV A1 | Si | -0.2155 | -0.2078 | -0.2021 | -0.2105 | -16.6 | -21.9 |
| 037 | SLV A1 | Si | -0.0865 | -0.0910 | -0.1079 | -0.0998 | 9.7 | 22.3 |
| 038 | SLV A1 | Si | -0.1355 | -0.1393 | -0.1442 | -0.1392 | 16.5 | 11.5 |
| 039 | SLV A1 | Si | -0.1669 | -0.1597 | -0.1660 | -0.1714 | -16.4 | -11.5 |
| 040 | SLV A1 | Si | -0.2158 | -0.2081 | -0.2023 | -0.2108 | -9.6 | -22.2 |
| 041 | SLV A1 | Si | -0.0783 | -0.0825 | -0.1018 | -0.0935 | 15.9 | 24.9 |
| 042 | SLV A1 | Si | -0.1267 | -0.1304 | -0.1377 | -0.1324 | 8.7 | 14.8 |
| 043 | SLV A1 | Si | -0.1756 | -0.1686 | -0.1724 | -0.1782 | -8.7 | -14.8 |
| 044 | SLV A1 | Si | -0.2240 | -0.2165 | -0.2083 | -0.2171 | -15.8 | -24.9 |
| 045 | SLV A1 | Si | -0.0781 | -0.0823 | -0.1016 | -0.0932 | 8.9 | 25.2 |
| 046 | SLV A1 | Si | -0.1270 | -0.1306 | -0.1379 | -0.1326 | 15.7 | 14.5 |
| 047 | SLV A1 | Si | -0.1753 | -0.1684 | -0.1723 | -0.1779 | -15.6 | -14.5 |
| 048 | SLV A1 | Si | -0.2243 | -0.2168 | -0.2085 | -0.2173 | -8.8 | -25.2 |
| 049 | SLV A1 | Si | -0.0584 | -0.0594 | -0.0865 | -0.0797 | 15.9 | 21.9 |
| 050 | SLV A1 | Si | -0.2198 | -0.2190 | -0.2062 | -0.2094 | -8.0 | -11.8 |
| 051 | SLV A1 | Si | -0.0825 | -0.0800 | -0.1040 | -0.1012 | 8.1 | 11.8 |
| 052 | SLV A1 | Si | -0.2439 | -0.2397 | -0.2236 | -0.2309 | -15.9 | -21.9 |
| 053 | SLV A1 | Si | -0.0559 | -0.0568 | -0.0847 | -0.0777 | 15.7 | 22.8 |
| 054 | SLV A1 | Si | -0.2172 | -0.2164 | -0.2043 | -0.2074 | -8.3 | -10.9 |
| 055 | SLV A1 | Si | -0.0851 | -0.0826 | -0.1058 | -0.1031 | 8.3 | 10.9 |
| 056 | SLV A1 | Si | -0.2464 | -0.2423 | -0.2255 | -0.2328 | -15.6 | -22.8 |
| 057 | SLV A1 | Si | -0.0575 | -0.0586 | -0.0859 | -0.0789 | -7.4 | 23.0 |
| 058 | SLV A1 | Si | -0.2207 | -0.2198 | -0.2068 | -0.2102 | 15.3 | -12.8 |
| 059 | SLV A1 | Si | -0.0816 | -0.0792 | -0.1033 | -0.1003 | -15.2 | 12.8 |
| 060 | SLV A1 | Si | -0.2448 | -0.2404 | -0.2243 | -0.2317 | 7.4 | -22.9 |
| 061 | SLV A1 | Si | -0.0550 | -0.0560 | -0.0840 | -0.0769 | -7.6 | 23.8 |
| 062 | SLV A1 | Si | -0.2181 | -0.2172 | -0.2050 | -0.2082 | 15.0 | -11.9 |
| 063 | SLV A1 | Si | -0.0842 | -0.0818 | -0.1052 | -0.1023 | -15.0 | 11.9 |
| 064 | SLV A1 | Si | -0.2473 | -0.2430 | -0.2261 | -0.2336 | 7.7 | -23.8 |
| 065 | SLD | Si | -0.1219 | -0.1230 | -0.1337 | -0.1302 | 7.5 | 9.9 |
| 066 | SLD | Si | -0.1440 | -0.1449 | -0.1501 | -0.1479 | 4.3 | 5.4 |
| 067 | SLD | Si | -0.1583 | -0.1542 | -0.1600 | -0.1626 | -4.2 | -5.3 |
| 068 | SLD | Si | -0.1804 | -0.1760 | -0.1764 | -0.1804 | -7.5 | -9.9 |
| 069 | SLD | Si | -0.1218 | -0.1229 | -0.1336 | -0.1301 | 4.4 | 10.1 |
| 070 | SLD | Si | -0.1441 | -0.1450 | -0.1502 | -0.1480 | 7.4 | 5.2 |
| 071 | SLD | Si | -0.1582 | -0.1541 | -0.1600 | -0.1625 | -7.4 | -5.2 |
| 072 | SLD | Si | -0.1805 | -0.1761 | -0.1765 | -0.1805 | -4.3 | -10.1 |
| 073 | SLD | Si | -0.1180 | -0.1190 | -0.1308 | -0.1272 | 7.2 | 11.3 |
| 074 | SLD | Si | -0.1401 | -0.1409 | -0.1472 | -0.1449 | 3.9 | 6.7 |
| 075 | SLD | Si | -0.1622 | -0.1581 | -0.1629 | -0.1656 | -3.9 | -6.7 |
| 076 | SLD | Si | -0.1843 | -0.1800 | -0.1793 | -0.1834 | -7.1 | -11.3 |
| 077 | SLD | Si | -0.1179 | -0.1189 | -0.1308 | -0.1271 | 4.0 | 11.4 |
| 078 | SLD | Si | -0.1403 | -0.1410 | -0.1473 | -0.1450 | 7.1 | 6.6 |

| | | | |
|--------------------------------------|----------------------------------------------------------------------------------------------------------------------|----------------------------------------------------------------------------------|-------------|
| COMMITTENTE: Mecca Antonio | CODICE COMMESSA: | NOME ELABORATO: S1.5 - Relazione Geotecnica e delle Fondazioni | CONSULENTE: |
| DATA: Aprile 2023 | TITOLO: Lavori ultimazione di un fabbricato adibito ad albergo-ristorante- C.da Case Nuove Chicone Avigliano (PZ) | | |

| | | | | | | | | |
|-----|-----|----|---------|---------|---------|---------|------|-------|
| 079 | SLD | Si | -0.1621 | -0.1580 | -0.1628 | -0.1655 | -7.0 | -6.6 |
| 080 | SLD | Si | -0.1844 | -0.1801 | -0.1794 | -0.1835 | -4.0 | -11.4 |
| 081 | SLD | Si | -0.1089 | -0.1084 | -0.1238 | -0.1208 | 7.2 | 9.9 |
| 082 | SLD | Si | -0.1825 | -0.1813 | -0.1784 | -0.1800 | -3.6 | -5.3 |
| 083 | SLD | Si | -0.1198 | -0.1177 | -0.1317 | -0.1305 | 3.7 | 5.3 |
| 084 | SLD | Si | -0.1934 | -0.1906 | -0.1863 | -0.1897 | -7.2 | -9.9 |
| 085 | SLD | Si | -0.1077 | -0.1072 | -0.1230 | -0.1199 | 7.1 | 10.3 |
| 086 | SLD | Si | -0.1814 | -0.1801 | -0.1776 | -0.1791 | -3.7 | -4.9 |
| 087 | SLD | Si | -0.1210 | -0.1189 | -0.1326 | -0.1314 | 3.8 | 4.9 |
| 088 | SLD | Si | -0.1946 | -0.1918 | -0.1872 | -0.1906 | -7.0 | -10.3 |
| 089 | SLD | Si | -0.1085 | -0.1081 | -0.1235 | -0.1204 | -3.3 | 10.4 |
| 090 | SLD | Si | -0.1829 | -0.1816 | -0.1787 | -0.1804 | 6.9 | -5.8 |
| 091 | SLD | Si | -0.1194 | -0.1174 | -0.1314 | -0.1302 | -6.9 | 5.8 |
| 092 | SLD | Si | -0.1938 | -0.1910 | -0.1866 | -0.1901 | 3.4 | -10.4 |
| 093 | SLD | Si | -0.1073 | -0.1069 | -0.1227 | -0.1195 | -3.4 | 10.8 |
| 094 | SLD | Si | -0.1818 | -0.1804 | -0.1779 | -0.1795 | 6.8 | -5.4 |
| 095 | SLD | Si | -0.1206 | -0.1186 | -0.1323 | -0.1311 | -6.7 | 5.4 |
| 096 | SLD | Si | -0.1950 | -0.1922 | -0.1875 | -0.1910 | 3.5 | -10.8 |
| 097 | SLO | Si | -0.1280 | -0.1286 | -0.1382 | -0.1354 | 6.0 | 7.9 |
| 098 | SLO | Si | -0.1454 | -0.1457 | -0.1511 | -0.1494 | 3.4 | 4.3 |
| 099 | SLO | Si | -0.1569 | -0.1533 | -0.1591 | -0.1612 | -3.4 | -4.2 |
| 100 | SLO | Si | -0.1743 | -0.1705 | -0.1719 | -0.1751 | -5.9 | -7.9 |
| 101 | SLO | Si | -0.1278 | -0.1284 | -0.1381 | -0.1353 | 3.5 | 8.0 |
| 102 | SLO | Si | -0.1456 | -0.1459 | -0.1512 | -0.1495 | 5.9 | 4.1 |
| 103 | SLO | Si | -0.1567 | -0.1531 | -0.1589 | -0.1610 | -5.9 | -4.1 |
| 104 | SLO | Si | -0.1745 | -0.1706 | -0.1721 | -0.1753 | -3.4 | -8.0 |
| 105 | SLO | Si | -0.1250 | -0.1254 | -0.1359 | -0.1330 | 5.7 | 9.0 |
| 106 | SLO | Si | -0.1423 | -0.1426 | -0.1488 | -0.1470 | 3.1 | 5.3 |
| 107 | SLO | Si | -0.1600 | -0.1564 | -0.1614 | -0.1635 | -3.1 | -5.3 |
| 108 | SLO | Si | -0.1773 | -0.1736 | -0.1742 | -0.1775 | -5.6 | -8.9 |
| 109 | SLO | Si | -0.1248 | -0.1253 | -0.1358 | -0.1329 | 3.2 | 9.1 |
| 110 | SLO | Si | -0.1425 | -0.1428 | -0.1489 | -0.1472 | 5.6 | 5.2 |
| 111 | SLO | Si | -0.1598 | -0.1563 | -0.1612 | -0.1634 | -5.6 | -5.2 |
| 112 | SLO | Si | -0.1775 | -0.1738 | -0.1744 | -0.1777 | -3.1 | -9.1 |
| 113 | SLO | Si | -0.1179 | -0.1172 | -0.1305 | -0.1282 | 5.7 | 7.9 |
| 114 | SLO | Si | -0.1757 | -0.1744 | -0.1734 | -0.1746 | -2.9 | -4.2 |
| 115 | SLO | Si | -0.1266 | -0.1246 | -0.1368 | -0.1359 | 2.9 | 4.2 |
| 116 | SLO | Si | -0.1844 | -0.1818 | -0.1796 | -0.1824 | -5.7 | -7.8 |
| 117 | SLO | Si | -0.1170 | -0.1163 | -0.1298 | -0.1275 | 5.6 | 8.2 |
| 118 | SLO | Si | -0.1748 | -0.1735 | -0.1727 | -0.1739 | -2.9 | -3.9 |
| 119 | SLO | Si | -0.1275 | -0.1256 | -0.1375 | -0.1366 | 3.0 | 3.9 |
| 120 | SLO | Si | -0.1853 | -0.1828 | -0.1803 | -0.1831 | -5.6 | -8.2 |
| 121 | SLO | Si | -0.1173 | -0.1166 | -0.1300 | -0.1276 | -2.6 | 8.2 |
| 122 | SLO | Si | -0.1764 | -0.1750 | -0.1738 | -0.1752 | 5.5 | -4.6 |
| 123 | SLO | Si | -0.1259 | -0.1240 | -0.1363 | -0.1353 | -5.4 | 4.6 |
| 124 | SLO | Si | -0.1850 | -0.1824 | -0.1801 | -0.1829 | 2.7 | -8.2 |
| 125 | SLO | Si | -0.1164 | -0.1157 | -0.1293 | -0.1269 | -2.7 | 8.6 |
| 126 | SLO | Si | -0.1755 | -0.1741 | -0.1732 | -0.1745 | 5.4 | -4.3 |
| 127 | SLO | Si | -0.1269 | -0.1250 | -0.1370 | -0.1361 | -5.3 | 4.3 |
| 128 | SLO | Si | -0.1860 | -0.1834 | -0.1808 | -0.1836 | 2.8 | -8.5 |

Elemento: Platea n. 54

| Cmb | Tipo | Sism. | Press. N1 | Press. N2 | Press. N3 | Press. N4 | S. Taglio X | S. Taglio Y |
|-----|----------|-------|---------------------|---------------------|---------------------|---------------------|-------------|-------------|
| n. | | | daN/cm ² | daN/cm ² | daN/cm ² | daN/cm ² | daN | daN |
| 001 | SLU STR | No | -0.1476 | -0.1505 | -0.1556 | -0.1530 | 0.0 | 0.0 |
| 002 | SLU STR | No | -0.2001 | -0.2030 | -0.2081 | -0.2055 | 0.0 | 0.0 |
| 003 | SLU STR | No | -0.1605 | -0.1705 | -0.1906 | -0.1819 | 0.0 | 0.1 |
| 004 | SLU STR | No | -0.2130 | -0.2230 | -0.2431 | -0.2344 | 0.0 | 0.1 |
| 005 | SLU STR | No | -0.1098 | -0.1118 | -0.1155 | -0.1136 | 0.0 | 0.0 |
| 006 | SLU STR | No | -0.1623 | -0.1643 | -0.1680 | -0.1661 | 0.0 | 0.0 |
| 007 | SLU STR | No | -0.1226 | -0.1318 | -0.1504 | -0.1425 | 0.0 | 0.1 |
| 008 | SLU STR | No | -0.1751 | -0.1843 | -0.2029 | -0.1950 | 0.0 | 0.1 |
| 009 | SLU STR | No | -0.2226 | -0.2255 | -0.2306 | -0.2280 | 0.0 | 0.0 |
| 010 | SLU STR | No | -0.1566 | -0.1645 | -0.1801 | -0.1733 | 0.0 | 0.1 |
| 011 | SLU STR | No | -0.2316 | -0.2395 | -0.2551 | -0.2483 | 0.0 | 0.1 |
| 012 | SLU STR | No | -0.1848 | -0.1868 | -0.1905 | -0.1886 | 0.0 | 0.0 |
| 013 | SLU STR | No | -0.1188 | -0.1258 | -0.1400 | -0.1338 | 0.0 | 0.1 |
| 014 | SLU STR | No | -0.1938 | -0.2008 | -0.2150 | -0.2088 | 0.0 | 0.1 |
| 015 | SLE rare | No | -0.1119 | -0.1140 | -0.1179 | -0.1159 | 0.0 | 0.0 |
| 016 | SLE rare | No | -0.1469 | -0.1490 | -0.1529 | -0.1509 | 0.0 | 0.0 |
| 017 | SLE rare | No | -0.1205 | -0.1274 | -0.1412 | -0.1352 | 0.0 | 0.1 |

Relazione Geotecnica e delle Fondazioni

| | | | | | | | | |
|-----|----------|----|---------|---------|---------|---------|-------|-------|
| 018 | SLE rare | No | -0.1555 | -0.1624 | -0.1762 | -0.1702 | 0.0 | 0.1 |
| 019 | SLE rare | No | -0.1619 | -0.1640 | -0.1679 | -0.1659 | 0.0 | 0.0 |
| 020 | SLE rare | No | -0.1179 | -0.1234 | -0.1342 | -0.1294 | 0.0 | 0.0 |
| 021 | SLE rare | No | -0.1679 | -0.1734 | -0.1842 | -0.1794 | 0.0 | 0.0 |
| 022 | SLE freq | No | -0.1119 | -0.1140 | -0.1179 | -0.1159 | 0.0 | 0.0 |
| 023 | SLE freq | No | -0.1419 | -0.1440 | -0.1479 | -0.1459 | 0.0 | 0.0 |
| 024 | SLE freq | No | -0.1179 | -0.1234 | -0.1342 | -0.1294 | 0.0 | 0.0 |
| 025 | SLE freq | No | -0.1479 | -0.1534 | -0.1642 | -0.1594 | 0.0 | 0.0 |
| 026 | SLE freq | No | -0.1469 | -0.1490 | -0.1529 | -0.1509 | 0.0 | 0.0 |
| 027 | SLE freq | No | -0.1171 | -0.1220 | -0.1319 | -0.1275 | 0.0 | 0.0 |
| 028 | SLE freq | No | -0.1521 | -0.1570 | -0.1669 | -0.1625 | 0.0 | 0.0 |
| 029 | SLE q.p. | No | -0.1119 | -0.1140 | -0.1179 | -0.1159 | 0.0 | 0.0 |
| 030 | SLE q.p. | No | -0.1419 | -0.1440 | -0.1479 | -0.1459 | 0.0 | 0.0 |
| 031 | SLE q.p. | No | -0.1171 | -0.1220 | -0.1319 | -0.1275 | 0.0 | 0.0 |
| 032 | SLE q.p. | No | -0.1471 | -0.1520 | -0.1619 | -0.1575 | 0.0 | 0.0 |
| 033 | SLV A1 | Si | -0.1387 | -0.1445 | -0.1591 | -0.1518 | 17.8 | 4.3 |
| 034 | SLV A1 | Si | -0.1870 | -0.1845 | -0.1825 | -0.1818 | 11.3 | -14.2 |
| 035 | SLV A1 | Si | -0.1071 | -0.1196 | -0.1412 | -0.1331 | -11.3 | 14.3 |
| 036 | SLV A1 | Si | -0.1554 | -0.1596 | -0.1646 | -0.1632 | -17.8 | -4.2 |
| 037 | SLV A1 | Si | -0.1386 | -0.1444 | -0.1591 | -0.1517 | 11.4 | 4.0 |
| 038 | SLV A1 | Si | -0.1871 | -0.1846 | -0.1826 | -0.1819 | 17.7 | -13.9 |
| 039 | SLV A1 | Si | -0.1070 | -0.1195 | -0.1412 | -0.1331 | -17.7 | 14.0 |
| 040 | SLV A1 | Si | -0.1556 | -0.1597 | -0.1646 | -0.1632 | -11.4 | -3.9 |
| 041 | SLV A1 | Si | -0.1483 | -0.1517 | -0.1615 | -0.1572 | 17.1 | 1.1 |
| 042 | SLV A1 | Si | -0.1966 | -0.1917 | -0.1849 | -0.1873 | 10.6 | -17.5 |
| 043 | SLV A1 | Si | -0.0975 | -0.1124 | -0.1388 | -0.1277 | -10.6 | 17.5 |
| 044 | SLV A1 | Si | -0.1458 | -0.1524 | -0.1622 | -0.1577 | -17.2 | -1.0 |
| 045 | SLV A1 | Si | -0.1482 | -0.1516 | -0.1615 | -0.1572 | 10.7 | 0.8 |
| 046 | SLV A1 | Si | -0.1968 | -0.1918 | -0.1850 | -0.1873 | 17.0 | -17.2 |
| 047 | SLV A1 | Si | -0.0973 | -0.1123 | -0.1387 | -0.1276 | -17.0 | 17.2 |
| 048 | SLV A1 | Si | -0.1459 | -0.1525 | -0.1622 | -0.1578 | -10.7 | -0.7 |
| 049 | SLV A1 | Si | -0.0713 | -0.0892 | -0.1255 | -0.1102 | 15.2 | 29.5 |
| 050 | SLV A1 | Si | -0.2322 | -0.2224 | -0.2036 | -0.2103 | -6.5 | -32.4 |
| 051 | SLV A1 | Si | -0.0619 | -0.0817 | -0.1201 | -0.1046 | 6.5 | 32.5 |
| 052 | SLV A1 | Si | -0.2228 | -0.2149 | -0.1982 | -0.2047 | -15.2 | -29.4 |
| 053 | SLV A1 | Si | -0.0742 | -0.0913 | -0.1262 | -0.1119 | 15.0 | 28.5 |
| 054 | SLV A1 | Si | -0.2351 | -0.2246 | -0.2043 | -0.2120 | -6.7 | -33.3 |
| 055 | SLV A1 | Si | -0.0590 | -0.0795 | -0.1194 | -0.1030 | 6.7 | 33.4 |
| 056 | SLV A1 | Si | -0.2199 | -0.2128 | -0.1975 | -0.2031 | -15.0 | -28.4 |
| 057 | SLV A1 | Si | -0.0708 | -0.0888 | -0.1254 | -0.1100 | -6.1 | 28.4 |
| 058 | SLV A1 | Si | -0.2327 | -0.2227 | -0.2037 | -0.2106 | 14.8 | -31.4 |
| 059 | SLV A1 | Si | -0.0614 | -0.0813 | -0.1200 | -0.1044 | -14.9 | 31.4 |
| 060 | SLV A1 | Si | -0.2233 | -0.2153 | -0.1983 | -0.2050 | 6.1 | -28.4 |
| 061 | SLV A1 | Si | -0.0737 | -0.0910 | -0.1261 | -0.1116 | -6.3 | 27.5 |
| 062 | SLV A1 | Si | -0.2356 | -0.2249 | -0.2044 | -0.2122 | 14.6 | -32.3 |
| 063 | SLV A1 | Si | -0.0585 | -0.0792 | -0.1193 | -0.1028 | -14.7 | 32.4 |
| 064 | SLV A1 | Si | -0.2204 | -0.2131 | -0.1976 | -0.2033 | 6.3 | -27.4 |
| 065 | SLD | Si | -0.1432 | -0.1486 | -0.1606 | -0.1549 | 8.0 | 2.0 |
| 066 | SLD | Si | -0.1652 | -0.1668 | -0.1713 | -0.1686 | 5.1 | -6.5 |
| 067 | SLD | Si | -0.1289 | -0.1373 | -0.1525 | -0.1464 | -5.1 | 6.6 |
| 068 | SLD | Si | -0.1509 | -0.1555 | -0.1631 | -0.1601 | -8.1 | -1.9 |
| 069 | SLD | Si | -0.1431 | -0.1485 | -0.1606 | -0.1548 | 5.1 | 1.9 |
| 070 | SLD | Si | -0.1653 | -0.1669 | -0.1713 | -0.1686 | 8.0 | -6.3 |
| 071 | SLD | Si | -0.1288 | -0.1372 | -0.1524 | -0.1464 | -8.0 | 6.4 |
| 072 | SLD | Si | -0.1510 | -0.1556 | -0.1632 | -0.1601 | -5.2 | -1.8 |
| 073 | SLD | Si | -0.1476 | -0.1519 | -0.1617 | -0.1574 | 7.7 | 0.5 |
| 074 | SLD | Si | -0.1696 | -0.1701 | -0.1724 | -0.1711 | 4.8 | -7.9 |
| 075 | SLD | Si | -0.1245 | -0.1340 | -0.1513 | -0.1439 | -4.8 | 8.0 |
| 076 | SLD | Si | -0.1465 | -0.1522 | -0.1620 | -0.1576 | -7.8 | -0.4 |
| 077 | SLD | Si | -0.1475 | -0.1518 | -0.1617 | -0.1573 | 4.8 | 0.4 |
| 078 | SLD | Si | -0.1697 | -0.1702 | -0.1724 | -0.1711 | 7.7 | -7.8 |
| 079 | SLD | Si | -0.1244 | -0.1339 | -0.1513 | -0.1439 | -7.7 | 7.9 |
| 080 | SLD | Si | -0.1466 | -0.1523 | -0.1620 | -0.1576 | -4.9 | -0.3 |
| 081 | SLD | Si | -0.1125 | -0.1233 | -0.1452 | -0.1359 | 6.8 | 13.5 |
| 082 | SLD | Si | -0.1859 | -0.1841 | -0.1809 | -0.1816 | -3.0 | -14.8 |
| 083 | SLD | Si | -0.1082 | -0.1199 | -0.1428 | -0.1334 | 2.9 | 14.8 |
| 084 | SLD | Si | -0.1816 | -0.1808 | -0.1785 | -0.1791 | -6.9 | -13.4 |
| 085 | SLD | Si | -0.1138 | -0.1243 | -0.1456 | -0.1367 | 6.8 | 13.0 |
| 086 | SLD | Si | -0.1873 | -0.1851 | -0.1812 | -0.1823 | -3.0 | -15.2 |
| 087 | SLD | Si | -0.1069 | -0.1190 | -0.1425 | -0.1326 | 3.0 | 15.3 |
| 088 | SLD | Si | -0.1803 | -0.1798 | -0.1781 | -0.1783 | -6.8 | -12.9 |
| 089 | SLD | Si | -0.1123 | -0.1232 | -0.1452 | -0.1358 | -2.8 | 13.0 |
| 090 | SLD | Si | -0.1861 | -0.1843 | -0.1809 | -0.1817 | 6.7 | -14.3 |
| 091 | SLD | Si | -0.1080 | -0.1198 | -0.1428 | -0.1333 | -6.7 | 14.4 |

| | | | |
|--------------------------------------|----------------------------------------------------------------------------------------------------------------------|----------------------------------------------------------------------------------|-------------|
| COMMITTENTE: Mecca Antonio | CODICE COMMESSA: | NOME ELABORATO: S1.5 - Relazione Geotecnica e delle Fondazioni | CONSULENTE: |
| DATA: Aprile 2023 | TITOLO: Lavori ultimazione di un fabbricato adibito ad albergo-ristorante- C.da Case Nuove Chicone Avigliano (PZ) | | |

| | | | | | | | | |
|-----|-----|----|---------|---------|---------|---------|------|-------|
| 092 | SLD | Si | -0.1818 | -0.1809 | -0.1785 | -0.1792 | 2.7 | -12.9 |
| 093 | SLD | Si | -0.1136 | -0.1242 | -0.1456 | -0.1366 | -2.9 | 12.6 |
| 094 | SLD | Si | -0.1875 | -0.1853 | -0.1813 | -0.1824 | 6.6 | -14.7 |
| 095 | SLD | Si | -0.1066 | -0.1188 | -0.1425 | -0.1325 | -6.6 | 14.8 |
| 096 | SLD | Si | -0.1805 | -0.1799 | -0.1782 | -0.1784 | 2.8 | -12.5 |
| 097 | SLO | Si | -0.1441 | -0.1494 | -0.1609 | -0.1555 | 6.3 | 1.6 |
| 098 | SLO | Si | -0.1614 | -0.1637 | -0.1693 | -0.1662 | 4.0 | -5.1 |
| 099 | SLO | Si | -0.1327 | -0.1404 | -0.1544 | -0.1488 | -4.1 | 5.2 |
| 100 | SLO | Si | -0.1500 | -0.1547 | -0.1628 | -0.1595 | -6.4 | -1.5 |
| 101 | SLO | Si | -0.1439 | -0.1492 | -0.1608 | -0.1554 | 4.1 | 1.5 |
| 102 | SLO | Si | -0.1615 | -0.1638 | -0.1693 | -0.1663 | 6.3 | -5.0 |
| 103 | SLO | Si | -0.1326 | -0.1403 | -0.1544 | -0.1487 | -6.4 | 5.1 |
| 104 | SLO | Si | -0.1502 | -0.1548 | -0.1629 | -0.1596 | -4.1 | -1.4 |
| 105 | SLO | Si | -0.1476 | -0.1520 | -0.1617 | -0.1574 | 6.1 | 0.4 |
| 106 | SLO | Si | -0.1648 | -0.1663 | -0.1701 | -0.1682 | 3.8 | -6.2 |
| 107 | SLO | Si | -0.1293 | -0.1378 | -0.1536 | -0.1468 | -3.8 | 6.3 |
| 108 | SLO | Si | -0.1466 | -0.1521 | -0.1620 | -0.1576 | -6.2 | -0.3 |
| 109 | SLO | Si | -0.1474 | -0.1518 | -0.1617 | -0.1573 | 3.8 | 0.3 |
| 110 | SLO | Si | -0.1650 | -0.1664 | -0.1702 | -0.1683 | 6.1 | -6.2 |
| 111 | SLO | Si | -0.1291 | -0.1377 | -0.1535 | -0.1467 | -6.1 | 6.3 |
| 112 | SLO | Si | -0.1467 | -0.1523 | -0.1620 | -0.1576 | -3.9 | -0.2 |
| 113 | SLO | Si | -0.1199 | -0.1295 | -0.1488 | -0.1406 | 5.4 | 10.6 |
| 114 | SLO | Si | -0.1776 | -0.1772 | -0.1768 | -0.1764 | -2.3 | -11.6 |
| 115 | SLO | Si | -0.1165 | -0.1268 | -0.1469 | -0.1386 | 2.3 | 11.7 |
| 116 | SLO | Si | -0.1742 | -0.1746 | -0.1749 | -0.1744 | -5.5 | -10.5 |
| 117 | SLO | Si | -0.1210 | -0.1303 | -0.1491 | -0.1412 | 5.3 | 10.2 |
| 118 | SLO | Si | -0.1786 | -0.1780 | -0.1771 | -0.1770 | -2.4 | -11.9 |
| 119 | SLO | Si | -0.1155 | -0.1261 | -0.1466 | -0.1380 | 2.4 | 12.0 |
| 120 | SLO | Si | -0.1731 | -0.1738 | -0.1746 | -0.1738 | -5.4 | -10.1 |
| 121 | SLO | Si | -0.1194 | -0.1291 | -0.1486 | -0.1403 | -2.2 | 10.3 |
| 122 | SLO | Si | -0.1781 | -0.1776 | -0.1770 | -0.1767 | 5.3 | -11.3 |
| 123 | SLO | Si | -0.1160 | -0.1264 | -0.1467 | -0.1383 | -5.3 | 11.4 |
| 124 | SLO | Si | -0.1747 | -0.1750 | -0.1751 | -0.1747 | 2.2 | -10.3 |
| 125 | SLO | Si | -0.1205 | -0.1299 | -0.1489 | -0.1409 | -2.3 | 10.0 |
| 126 | SLO | Si | -0.1791 | -0.1784 | -0.1773 | -0.1773 | 5.2 | -11.7 |
| 127 | SLO | Si | -0.1150 | -0.1257 | -0.1465 | -0.1377 | -5.3 | 11.8 |
| 128 | SLO | Si | -0.1736 | -0.1742 | -0.1748 | -0.1741 | 2.2 | -9.9 |

Elemento: Platea n. 55

| Cmb | Tipo | Sism. | Press. N1 | Press. N2 | Press. N3 | Press. N4 | S. Taglio X | S. Taglio Y |
|-----|----------|-------|---------------------|---------------------|---------------------|---------------------|-------------|-------------|
| n. | | | daN/cm ² | daN/cm ² | daN/cm ² | daN/cm ² | daN | daN |
| 001 | SLU STR | No | -0.1599 | -0.1607 | -0.1651 | -0.1647 | 0.0 | 0.0 |
| 002 | SLU STR | No | -0.2124 | -0.2132 | -0.2176 | -0.2172 | 0.0 | 0.0 |
| 003 | SLU STR | No | -0.2121 | -0.2144 | -0.2320 | -0.2309 | 0.0 | 0.2 |
| 004 | SLU STR | No | -0.2646 | -0.2669 | -0.2845 | -0.2834 | 0.0 | 0.2 |
| 005 | SLU STR | No | -0.1184 | -0.1190 | -0.1222 | -0.1218 | 0.0 | 0.0 |
| 006 | SLU STR | No | -0.1709 | -0.1715 | -0.1747 | -0.1743 | 0.0 | 0.0 |
| 007 | SLU STR | No | -0.1706 | -0.1728 | -0.1890 | -0.1881 | 0.0 | 0.2 |
| 008 | SLU STR | No | -0.2231 | -0.2253 | -0.2415 | -0.2406 | 0.0 | 0.2 |
| 009 | SLU STR | No | -0.2349 | -0.2357 | -0.2401 | -0.2397 | 0.0 | 0.0 |
| 010 | SLU STR | No | -0.1964 | -0.1983 | -0.2119 | -0.2110 | 0.0 | 0.1 |
| 011 | SLU STR | No | -0.2714 | -0.2733 | -0.2869 | -0.2860 | 0.0 | 0.1 |
| 012 | SLU STR | No | -0.1934 | -0.1940 | -0.1972 | -0.1968 | 0.0 | 0.0 |
| 013 | SLU STR | No | -0.1550 | -0.1566 | -0.1690 | -0.1682 | 0.0 | 0.1 |
| 014 | SLU STR | No | -0.2300 | -0.2316 | -0.2440 | -0.2432 | 0.0 | 0.1 |
| 015 | SLE rare | No | -0.1210 | -0.1216 | -0.1249 | -0.1246 | 0.0 | 0.0 |
| 016 | SLE rare | No | -0.1560 | -0.1566 | -0.1599 | -0.1596 | 0.0 | 0.0 |
| 017 | SLE rare | No | -0.1558 | -0.1574 | -0.1695 | -0.1687 | 0.0 | 0.1 |
| 018 | SLE rare | No | -0.1908 | -0.1924 | -0.2045 | -0.2037 | 0.0 | 0.1 |
| 019 | SLE rare | No | -0.1710 | -0.1716 | -0.1749 | -0.1746 | 0.0 | 0.0 |
| 020 | SLE rare | No | -0.1454 | -0.1467 | -0.1561 | -0.1555 | 0.0 | 0.1 |
| 021 | SLE rare | No | -0.1954 | -0.1967 | -0.2061 | -0.2055 | 0.0 | 0.1 |
| 022 | SLE freq | No | -0.1210 | -0.1216 | -0.1249 | -0.1246 | 0.0 | 0.0 |
| 023 | SLE freq | No | -0.1510 | -0.1516 | -0.1549 | -0.1546 | 0.0 | 0.0 |
| 024 | SLE freq | No | -0.1454 | -0.1467 | -0.1561 | -0.1555 | 0.0 | 0.1 |
| 025 | SLE freq | No | -0.1754 | -0.1767 | -0.1861 | -0.1855 | 0.0 | 0.1 |
| 026 | SLE freq | No | -0.1560 | -0.1566 | -0.1599 | -0.1596 | 0.0 | 0.0 |
| 027 | SLE freq | No | -0.1419 | -0.1431 | -0.1517 | -0.1511 | 0.0 | 0.1 |
| 028 | SLE freq | No | -0.1769 | -0.1781 | -0.1867 | -0.1861 | 0.0 | 0.1 |
| 029 | SLE q.p. | No | -0.1210 | -0.1216 | -0.1249 | -0.1246 | 0.0 | 0.0 |
| 030 | SLE q.p. | No | -0.1510 | -0.1516 | -0.1549 | -0.1546 | 0.0 | 0.0 |

Relazione Geotecnica e delle Fondazioni

| | | | | | | | | |
|-----|----------|----|---------|---------|---------|---------|-------|-------|
| 031 | SLE q.p. | No | -0.1419 | -0.1431 | -0.1517 | -0.1511 | 0.0 | 0.1 |
| 032 | SLE q.p. | No | -0.1719 | -0.1731 | -0.1817 | -0.1811 | 0.0 | 0.1 |
| 033 | SLV A1 | Si | -0.1663 | -0.1761 | -0.1984 | -0.1840 | 34.9 | 13.5 |
| 034 | SLV A1 | Si | -0.1679 | -0.1747 | -0.1814 | -0.1659 | 36.5 | -8.7 |
| 035 | SLV A1 | Si | -0.1759 | -0.1715 | -0.1819 | -0.1963 | -36.5 | 8.9 |
| 036 | SLV A1 | Si | -0.1775 | -0.1701 | -0.1649 | -0.1781 | -34.9 | -13.3 |
| 037 | SLV A1 | Si | -0.1662 | -0.1761 | -0.1985 | -0.1841 | 41.0 | 13.7 |
| 038 | SLV A1 | Si | -0.1679 | -0.1747 | -0.1813 | -0.1658 | 30.5 | -8.9 |
| 039 | SLV A1 | Si | -0.1759 | -0.1715 | -0.1820 | -0.1963 | -30.5 | 9.1 |
| 040 | SLV A1 | Si | -0.1776 | -0.1701 | -0.1648 | -0.1781 | -41.0 | -13.5 |
| 041 | SLV A1 | Si | -0.1664 | -0.1762 | -0.2018 | -0.1806 | 35.9 | 13.4 |
| 042 | SLV A1 | Si | -0.1680 | -0.1748 | -0.1848 | -0.1625 | 37.5 | -8.8 |
| 043 | SLV A1 | Si | -0.1758 | -0.1715 | -0.1785 | -0.1997 | -37.5 | 9.0 |
| 044 | SLV A1 | Si | -0.1774 | -0.1701 | -0.1615 | -0.1815 | -35.9 | -13.3 |
| 045 | SLV A1 | Si | -0.1664 | -0.1762 | -0.2019 | -0.1806 | 41.9 | 13.6 |
| 046 | SLV A1 | Si | -0.1680 | -0.1748 | -0.1847 | -0.1624 | 31.4 | -9.0 |
| 047 | SLV A1 | Si | -0.1758 | -0.1715 | -0.1786 | -0.1997 | -31.4 | 9.2 |
| 048 | SLV A1 | Si | -0.1774 | -0.1701 | -0.1614 | -0.1815 | -41.9 | -13.5 |
| 049 | SLV A1 | Si | -0.1678 | -0.1761 | -0.2125 | -0.2095 | 8.0 | 37.8 |
| 050 | SLV A1 | Si | -0.1731 | -0.1715 | -0.1557 | -0.1490 | 13.4 | -36.3 |
| 051 | SLV A1 | Si | -0.1707 | -0.1748 | -0.2076 | -0.2131 | -13.4 | 36.5 |
| 052 | SLV A1 | Si | -0.1760 | -0.1701 | -0.1508 | -0.1527 | -8.0 | -37.7 |
| 053 | SLV A1 | Si | -0.1678 | -0.1762 | -0.2135 | -0.2084 | 8.3 | 37.8 |
| 054 | SLV A1 | Si | -0.1732 | -0.1715 | -0.1567 | -0.1480 | 13.7 | -36.3 |
| 055 | SLV A1 | Si | -0.1706 | -0.1747 | -0.2066 | -0.2142 | -13.7 | 36.5 |
| 056 | SLV A1 | Si | -0.1760 | -0.1701 | -0.1498 | -0.1537 | -8.3 | -37.6 |
| 057 | SLV A1 | Si | -0.1678 | -0.1761 | -0.2128 | -0.2096 | 28.2 | 38.5 |
| 058 | SLV A1 | Si | -0.1731 | -0.1715 | -0.1555 | -0.1489 | -6.8 | -36.9 |
| 059 | SLV A1 | Si | -0.1707 | -0.1747 | -0.2078 | -0.2133 | 6.8 | 37.1 |
| 060 | SLV A1 | Si | -0.1760 | -0.1701 | -0.1505 | -0.1525 | -28.2 | -38.3 |
| 061 | SLV A1 | Si | -0.1678 | -0.1761 | -0.2138 | -0.2086 | 28.5 | 38.5 |
| 062 | SLV A1 | Si | -0.1732 | -0.1715 | -0.1565 | -0.1478 | -6.5 | -37.0 |
| 063 | SLV A1 | Si | -0.1706 | -0.1747 | -0.2068 | -0.2143 | 6.5 | 37.1 |
| 064 | SLV A1 | Si | -0.1760 | -0.1701 | -0.1495 | -0.1536 | -28.5 | -38.3 |
| 065 | SLD | Si | -0.1693 | -0.1744 | -0.1893 | -0.1824 | 15.8 | 6.2 |
| 066 | SLD | Si | -0.1701 | -0.1738 | -0.1815 | -0.1742 | 16.5 | -3.9 |
| 067 | SLD | Si | -0.1737 | -0.1724 | -0.1818 | -0.1880 | -16.5 | 4.1 |
| 068 | SLD | Si | -0.1744 | -0.1718 | -0.1740 | -0.1797 | -15.8 | -6.0 |
| 069 | SLD | Si | -0.1693 | -0.1744 | -0.1893 | -0.1825 | 18.6 | 6.3 |
| 070 | SLD | Si | -0.1701 | -0.1738 | -0.1815 | -0.1741 | 13.8 | -4.0 |
| 071 | SLD | Si | -0.1737 | -0.1724 | -0.1818 | -0.1880 | -13.8 | 4.2 |
| 072 | SLD | Si | -0.1745 | -0.1718 | -0.1740 | -0.1797 | -18.5 | -6.1 |
| 073 | SLD | Si | -0.1694 | -0.1745 | -0.1908 | -0.1809 | 16.3 | 6.2 |
| 074 | SLD | Si | -0.1701 | -0.1738 | -0.1830 | -0.1726 | 17.0 | -4.0 |
| 075 | SLD | Si | -0.1737 | -0.1724 | -0.1803 | -0.1895 | -17.0 | 4.1 |
| 076 | SLD | Si | -0.1744 | -0.1717 | -0.1725 | -0.1813 | -16.2 | -6.0 |
| 077 | SLD | Si | -0.1694 | -0.1745 | -0.1909 | -0.1809 | 19.0 | 6.3 |
| 078 | SLD | Si | -0.1701 | -0.1738 | -0.1830 | -0.1726 | 14.2 | -4.1 |
| 079 | SLD | Si | -0.1737 | -0.1724 | -0.1803 | -0.1896 | -14.2 | 4.2 |
| 080 | SLD | Si | -0.1744 | -0.1717 | -0.1724 | -0.1812 | -19.0 | -6.1 |
| 081 | SLD | Si | -0.1700 | -0.1745 | -0.1957 | -0.1940 | 3.6 | 17.3 |
| 082 | SLD | Si | -0.1724 | -0.1724 | -0.1698 | -0.1664 | 6.1 | -16.5 |
| 083 | SLD | Si | -0.1714 | -0.1739 | -0.1935 | -0.1957 | -6.1 | 16.7 |
| 084 | SLD | Si | -0.1738 | -0.1718 | -0.1676 | -0.1681 | -3.6 | -17.1 |
| 085 | SLD | Si | -0.1701 | -0.1745 | -0.1962 | -0.1936 | 3.8 | 17.3 |
| 086 | SLD | Si | -0.1725 | -0.1724 | -0.1703 | -0.1660 | 6.2 | -16.5 |
| 087 | SLD | Si | -0.1713 | -0.1739 | -0.1930 | -0.1962 | -6.2 | 16.7 |
| 088 | SLD | Si | -0.1737 | -0.1717 | -0.1671 | -0.1686 | -3.7 | -17.1 |
| 089 | SLD | Si | -0.1700 | -0.1745 | -0.1958 | -0.1941 | 12.8 | 17.6 |
| 090 | SLD | Si | -0.1725 | -0.1724 | -0.1697 | -0.1664 | -3.1 | -16.8 |
| 091 | SLD | Si | -0.1713 | -0.1739 | -0.1936 | -0.1958 | 3.1 | 16.9 |
| 092 | SLD | Si | -0.1738 | -0.1718 | -0.1675 | -0.1680 | -12.8 | -17.4 |
| 093 | SLD | Si | -0.1700 | -0.1745 | -0.1963 | -0.1936 | 12.9 | 17.6 |
| 094 | SLD | Si | -0.1725 | -0.1724 | -0.1702 | -0.1659 | -3.0 | -16.8 |
| 095 | SLD | Si | -0.1713 | -0.1738 | -0.1931 | -0.1962 | 3.0 | 17.0 |
| 096 | SLD | Si | -0.1737 | -0.1717 | -0.1670 | -0.1685 | -12.9 | -17.4 |
| 097 | SLO | Si | -0.1699 | -0.1742 | -0.1877 | -0.1821 | 12.5 | 4.9 |
| 098 | SLO | Si | -0.1704 | -0.1737 | -0.1816 | -0.1756 | 13.1 | -3.1 |
| 099 | SLO | Si | -0.1734 | -0.1726 | -0.1817 | -0.1865 | -13.1 | 3.2 |
| 100 | SLO | Si | -0.1739 | -0.1721 | -0.1756 | -0.1800 | -12.5 | -4.7 |
| 101 | SLO | Si | -0.1699 | -0.1742 | -0.1877 | -0.1822 | 14.7 | 5.0 |
| 102 | SLO | Si | -0.1705 | -0.1737 | -0.1815 | -0.1756 | 10.9 | -3.2 |
| 103 | SLO | Si | -0.1733 | -0.1726 | -0.1818 | -0.1866 | -10.9 | 3.3 |
| 104 | SLO | Si | -0.1739 | -0.1721 | -0.1756 | -0.1800 | -14.7 | -4.8 |

| | | | |
|--------------------------------------|------------------------------------------------------------------------------------------------------------------------------|----------------------------------------------------------------------------------|-------------|
| COMMITTENTE: Mecca Antonio | CODICE COMMESSA: | NOME ELABORATO: S1.5 - Relazione Geotecnica e delle Fondazioni | CONSULENTE: |
| DATA: Aprile 2023 | TITOLO: Lavori ultimazione di un fabbricato adibito ad albergo-ristorante- C.da Case Nuove Chicone Avigliano (PZ) | | |

| | | | | | | | | |
|-----|-----|----|---------|---------|---------|---------|-------|-------|
| 105 | SLO | Si | -0.1699 | -0.1742 | -0.1889 | -0.1809 | 12.9 | 4.9 |
| 106 | SLO | Si | -0.1705 | -0.1737 | -0.1828 | -0.1744 | 13.5 | -3.1 |
| 107 | SLO | Si | -0.1733 | -0.1725 | -0.1805 | -0.1877 | -13.5 | 3.3 |
| 108 | SLO | Si | -0.1739 | -0.1720 | -0.1744 | -0.1812 | -12.9 | -4.7 |
| 109 | SLO | Si | -0.1699 | -0.1742 | -0.1890 | -0.1809 | 15.1 | 5.0 |
| 110 | SLO | Si | -0.1705 | -0.1737 | -0.1827 | -0.1743 | 11.3 | -3.2 |
| 111 | SLO | Si | -0.1733 | -0.1725 | -0.1806 | -0.1878 | -11.3 | 3.4 |
| 112 | SLO | Si | -0.1739 | -0.1720 | -0.1744 | -0.1812 | -15.1 | -4.8 |
| 113 | SLO | Si | -0.1704 | -0.1742 | -0.1927 | -0.1912 | 2.9 | 13.6 |
| 114 | SLO | Si | -0.1723 | -0.1725 | -0.1724 | -0.1696 | 4.8 | -12.9 |
| 115 | SLO | Si | -0.1715 | -0.1737 | -0.1909 | -0.1926 | -4.8 | 13.1 |
| 116 | SLO | Si | -0.1734 | -0.1720 | -0.1706 | -0.1709 | -2.9 | -13.4 |
| 117 | SLO | Si | -0.1704 | -0.1742 | -0.1931 | -0.1909 | 3.0 | 13.6 |
| 118 | SLO | Si | -0.1723 | -0.1725 | -0.1727 | -0.1692 | 4.9 | -12.9 |
| 119 | SLO | Si | -0.1715 | -0.1737 | -0.1906 | -0.1929 | -4.9 | 13.1 |
| 120 | SLO | Si | -0.1734 | -0.1720 | -0.1702 | -0.1713 | -3.0 | -13.4 |
| 121 | SLO | Si | -0.1704 | -0.1742 | -0.1929 | -0.1914 | 10.2 | 14.0 |
| 122 | SLO | Si | -0.1723 | -0.1725 | -0.1722 | -0.1694 | -2.5 | -13.3 |
| 123 | SLO | Si | -0.1715 | -0.1737 | -0.1911 | -0.1927 | 2.5 | 13.5 |
| 124 | SLO | Si | -0.1734 | -0.1720 | -0.1704 | -0.1707 | -10.2 | -13.8 |
| 125 | SLO | Si | -0.1704 | -0.1742 | -0.1933 | -0.1910 | 10.3 | 14.0 |
| 126 | SLO | Si | -0.1724 | -0.1725 | -0.1725 | -0.1690 | -2.4 | -13.3 |
| 127 | SLO | Si | -0.1714 | -0.1737 | -0.1908 | -0.1931 | 2.4 | 13.5 |
| 128 | SLO | Si | -0.1734 | -0.1720 | -0.1700 | -0.1711 | -10.3 | -13.8 |

Elemento: Platea n. 56

| Cmb | Tipo | Sism. | Press. N1 | Press. N2 | Press. N3 | Press. N4 | S. Taglio X | S. Taglio Y |
|-----|----------|-------|---------------------|---------------------|---------------------|---------------------|-------------|-------------|
| n. | | | daN/cm ² | daN/cm ² | daN/cm ² | daN/cm ² | daN | daN |
| 001 | SLU STR | No | -0.1471 | -0.1471 | -0.1513 | -0.1512 | 0.0 | 0.0 |
| 002 | SLU STR | No | -0.1996 | -0.1996 | -0.2038 | -0.2037 | 0.0 | 0.0 |
| 003 | SLU STR | No | -0.1619 | -0.1611 | -0.1776 | -0.1777 | 0.0 | 0.2 |
| 004 | SLU STR | No | -0.2144 | -0.2136 | -0.2301 | -0.2302 | 0.0 | 0.2 |
| 005 | SLU STR | No | -0.1093 | -0.1093 | -0.1123 | -0.1122 | 0.0 | 0.0 |
| 006 | SLU STR | No | -0.1618 | -0.1618 | -0.1648 | -0.1647 | 0.0 | 0.0 |
| 007 | SLU STR | No | -0.1241 | -0.1234 | -0.1386 | -0.1388 | 0.0 | 0.2 |
| 008 | SLU STR | No | -0.1766 | -0.1759 | -0.1911 | -0.1913 | 0.0 | 0.2 |
| 009 | SLU STR | No | -0.2221 | -0.2221 | -0.2263 | -0.2262 | 0.0 | 0.0 |
| 010 | SLU STR | No | -0.1575 | -0.1569 | -0.1697 | -0.1698 | 0.0 | 0.1 |
| 011 | SLU STR | No | -0.2325 | -0.2319 | -0.2447 | -0.2448 | 0.0 | 0.1 |
| 012 | SLU STR | No | -0.1843 | -0.1843 | -0.1873 | -0.1872 | 0.0 | 0.0 |
| 013 | SLU STR | No | -0.1197 | -0.1192 | -0.1307 | -0.1308 | 0.0 | 0.1 |
| 014 | SLU STR | No | -0.1947 | -0.1942 | -0.2057 | -0.2058 | 0.0 | 0.1 |
| 015 | SLE rare | No | -0.1115 | -0.1115 | -0.1146 | -0.1145 | 0.0 | 0.0 |
| 016 | SLE rare | No | -0.1465 | -0.1465 | -0.1496 | -0.1495 | 0.0 | 0.0 |
| 017 | SLE rare | No | -0.1214 | -0.1208 | -0.1321 | -0.1322 | 0.0 | 0.1 |
| 018 | SLE rare | No | -0.1564 | -0.1558 | -0.1671 | -0.1672 | 0.0 | 0.1 |
| 019 | SLE rare | No | -0.1615 | -0.1615 | -0.1646 | -0.1645 | 0.0 | 0.0 |
| 020 | SLE rare | No | -0.1184 | -0.1180 | -0.1269 | -0.1269 | 0.0 | 0.1 |
| 021 | SLE rare | No | -0.1684 | -0.1680 | -0.1769 | -0.1769 | 0.0 | 0.1 |
| 022 | SLE freq | No | -0.1115 | -0.1115 | -0.1146 | -0.1145 | 0.0 | 0.0 |
| 023 | SLE freq | No | -0.1415 | -0.1415 | -0.1446 | -0.1445 | 0.0 | 0.0 |
| 024 | SLE freq | No | -0.1184 | -0.1180 | -0.1269 | -0.1269 | 0.0 | 0.1 |
| 025 | SLE freq | No | -0.1484 | -0.1480 | -0.1569 | -0.1569 | 0.0 | 0.1 |
| 026 | SLE freq | No | -0.1465 | -0.1465 | -0.1496 | -0.1495 | 0.0 | 0.0 |
| 027 | SLE freq | No | -0.1174 | -0.1171 | -0.1251 | -0.1251 | 0.0 | 0.1 |
| 028 | SLE freq | No | -0.1524 | -0.1521 | -0.1601 | -0.1601 | 0.0 | 0.1 |
| 029 | SLE q.p. | No | -0.1115 | -0.1115 | -0.1146 | -0.1145 | 0.0 | 0.0 |
| 030 | SLE q.p. | No | -0.1415 | -0.1415 | -0.1446 | -0.1445 | 0.0 | 0.0 |
| 031 | SLE q.p. | No | -0.1174 | -0.1171 | -0.1251 | -0.1251 | 0.0 | 0.1 |
| 032 | SLE q.p. | No | -0.1474 | -0.1471 | -0.1551 | -0.1551 | 0.0 | 0.1 |
| 033 | SLV A1 | Si | -0.0994 | -0.1440 | -0.1530 | -0.1211 | 24.3 | 11.0 |
| 034 | SLV A1 | Si | -0.1466 | -0.1912 | -0.1853 | -0.1534 | 14.3 | -7.3 |
| 035 | SLV A1 | Si | -0.1482 | -0.1030 | -0.1250 | -0.1569 | -14.3 | 7.4 |
| 036 | SLV A1 | Si | -0.1954 | -0.1502 | -0.1573 | -0.1892 | -24.3 | -10.9 |
| 037 | SLV A1 | Si | -0.0993 | -0.1438 | -0.1528 | -0.1210 | 14.6 | 11.2 |
| 038 | SLV A1 | Si | -0.1468 | -0.1914 | -0.1854 | -0.1535 | 24.1 | -7.4 |
| 039 | SLV A1 | Si | -0.1481 | -0.1028 | -0.1249 | -0.1568 | -24.1 | 7.6 |
| 040 | SLV A1 | Si | -0.1956 | -0.1504 | -0.1574 | -0.1893 | -14.6 | -11.0 |
| 041 | SLV A1 | Si | -0.0901 | -0.1536 | -0.1595 | -0.1149 | 23.3 | 11.0 |
| 042 | SLV A1 | Si | -0.1373 | -0.2009 | -0.1919 | -0.1471 | 13.3 | -7.3 |
| 043 | SLV A1 | Si | -0.1576 | -0.0933 | -0.1184 | -0.1632 | -13.3 | 7.5 |

Relazione Geotecnica e delle Fondazioni

| | | | | | | | | |
|-----|--------|----|---------|---------|---------|---------|-------|-------|
| 044 | SLV A1 | Si | -0.2048 | -0.1406 | -0.1507 | -0.1954 | -23.2 | -10.8 |
| 045 | SLV A1 | Si | -0.0899 | -0.1535 | -0.1594 | -0.1147 | 13.5 | 11.2 |
| 046 | SLV A1 | Si | -0.1375 | -0.2010 | -0.1920 | -0.1473 | 23.0 | -7.5 |
| 047 | SLV A1 | Si | -0.1574 | -0.0932 | -0.1183 | -0.1630 | -23.0 | 7.7 |
| 048 | SLV A1 | Si | -0.2049 | -0.1407 | -0.1508 | -0.1955 | -13.5 | -11.0 |
| 049 | SLV A1 | Si | -0.0615 | -0.0745 | -0.1055 | -0.0960 | 22.4 | 31.1 |
| 050 | SLV A1 | Si | -0.2188 | -0.2320 | -0.2132 | -0.2035 | -10.8 | -29.9 |
| 051 | SLV A1 | Si | -0.0761 | -0.0622 | -0.0971 | -0.1068 | 10.8 | 30.1 |
| 052 | SLV A1 | Si | -0.2334 | -0.2197 | -0.2048 | -0.2143 | -22.4 | -31.0 |
| 053 | SLV A1 | Si | -0.0587 | -0.0774 | -0.1074 | -0.0942 | 22.1 | 31.1 |
| 054 | SLV A1 | Si | -0.2160 | -0.2349 | -0.2152 | -0.2017 | -11.1 | -29.9 |
| 055 | SLV A1 | Si | -0.0789 | -0.0593 | -0.0951 | -0.1086 | 11.1 | 30.1 |
| 056 | SLV A1 | Si | -0.2362 | -0.2168 | -0.2028 | -0.2161 | -22.1 | -31.0 |
| 057 | SLV A1 | Si | -0.0609 | -0.0740 | -0.1051 | -0.0956 | -10.0 | 31.7 |
| 058 | SLV A1 | Si | -0.2194 | -0.2325 | -0.2136 | -0.2040 | 21.6 | -30.5 |
| 059 | SLV A1 | Si | -0.0755 | -0.0617 | -0.0967 | -0.1063 | -21.6 | 30.6 |
| 060 | SLV A1 | Si | -0.2340 | -0.2202 | -0.2052 | -0.2147 | 10.0 | -31.5 |
| 061 | SLV A1 | Si | -0.0581 | -0.0769 | -0.1071 | -0.0937 | -10.3 | 31.7 |
| 062 | SLV A1 | Si | -0.2166 | -0.2354 | -0.2155 | -0.2021 | 21.3 | -30.5 |
| 063 | SLV A1 | Si | -0.0783 | -0.0588 | -0.0947 | -0.1082 | -21.3 | 30.6 |
| 064 | SLV A1 | Si | -0.2368 | -0.2173 | -0.2032 | -0.2166 | 10.3 | -31.5 |
| 065 | SLD | Si | -0.1256 | -0.1456 | -0.1541 | -0.1397 | 11.0 | 5.1 |
| 066 | SLD | Si | -0.1471 | -0.1672 | -0.1689 | -0.1544 | 6.5 | -3.3 |
| 067 | SLD | Si | -0.1477 | -0.1270 | -0.1414 | -0.1559 | -6.4 | 3.4 |
| 068 | SLD | Si | -0.1693 | -0.1486 | -0.1562 | -0.1706 | -11.0 | -4.9 |
| 069 | SLD | Si | -0.1255 | -0.1455 | -0.1541 | -0.1396 | 6.6 | 5.1 |
| 070 | SLD | Si | -0.1472 | -0.1673 | -0.1689 | -0.1545 | 10.9 | -3.4 |
| 071 | SLD | Si | -0.1476 | -0.1269 | -0.1414 | -0.1558 | -10.8 | 3.5 |
| 072 | SLD | Si | -0.1693 | -0.1487 | -0.1562 | -0.1707 | -6.6 | -5.0 |
| 073 | SLD | Si | -0.1213 | -0.1500 | -0.1571 | -0.1368 | 10.5 | 5.0 |
| 074 | SLD | Si | -0.1429 | -0.1716 | -0.1719 | -0.1515 | 6.0 | -3.3 |
| 075 | SLD | Si | -0.1520 | -0.1226 | -0.1384 | -0.1588 | -6.0 | 3.5 |
| 076 | SLD | Si | -0.1735 | -0.1442 | -0.1532 | -0.1735 | -10.5 | -4.9 |
| 077 | SLD | Si | -0.1213 | -0.1499 | -0.1571 | -0.1368 | 6.1 | 5.1 |
| 078 | SLD | Si | -0.1430 | -0.1717 | -0.1719 | -0.1516 | 10.4 | -3.4 |
| 079 | SLD | Si | -0.1519 | -0.1225 | -0.1384 | -0.1587 | -10.4 | 3.5 |
| 080 | SLD | Si | -0.1736 | -0.1442 | -0.1532 | -0.1735 | -6.1 | -5.0 |
| 081 | SLD | Si | -0.1082 | -0.1139 | -0.1324 | -0.1282 | 10.1 | 14.2 |
| 082 | SLD | Si | -0.1800 | -0.1858 | -0.1816 | -0.1773 | -4.9 | -13.6 |
| 083 | SLD | Si | -0.1148 | -0.1084 | -0.1286 | -0.1330 | 4.9 | 13.7 |
| 084 | SLD | Si | -0.1867 | -0.1802 | -0.1778 | -0.1821 | -10.1 | -14.1 |
| 085 | SLD | Si | -0.1069 | -0.1153 | -0.1333 | -0.1273 | 10.0 | 14.2 |
| 086 | SLD | Si | -0.1787 | -0.1872 | -0.1825 | -0.1764 | -5.0 | -13.6 |
| 087 | SLD | Si | -0.1161 | -0.1070 | -0.1277 | -0.1339 | 5.0 | 13.7 |
| 088 | SLD | Si | -0.1879 | -0.1789 | -0.1769 | -0.1830 | -10.0 | -14.1 |
| 089 | SLD | Si | -0.1080 | -0.1137 | -0.1323 | -0.1280 | -4.5 | 14.5 |
| 090 | SLD | Si | -0.1803 | -0.1861 | -0.1818 | -0.1774 | 9.8 | -13.8 |
| 091 | SLD | Si | -0.1146 | -0.1081 | -0.1285 | -0.1329 | -9.7 | 14.0 |
| 092 | SLD | Si | -0.1869 | -0.1805 | -0.1780 | -0.1823 | 4.5 | -14.3 |
| 093 | SLD | Si | -0.1067 | -0.1150 | -0.1332 | -0.1271 | -4.7 | 14.5 |
| 094 | SLD | Si | -0.1790 | -0.1874 | -0.1827 | -0.1766 | 9.6 | -13.8 |
| 095 | SLD | Si | -0.1159 | -0.1068 | -0.1276 | -0.1337 | -9.6 | 14.0 |
| 096 | SLD | Si | -0.1882 | -0.1792 | -0.1771 | -0.1832 | 4.7 | -14.3 |
| 097 | SLO | Si | -0.1302 | -0.1460 | -0.1544 | -0.1429 | 8.7 | 4.0 |
| 098 | SLO | Si | -0.1471 | -0.1629 | -0.1660 | -0.1545 | 5.1 | -2.6 |
| 099 | SLO | Si | -0.1478 | -0.1313 | -0.1443 | -0.1558 | -5.1 | 2.7 |
| 100 | SLO | Si | -0.1647 | -0.1482 | -0.1559 | -0.1674 | -8.7 | -3.8 |
| 101 | SLO | Si | -0.1300 | -0.1459 | -0.1543 | -0.1428 | 5.2 | 4.1 |
| 102 | SLO | Si | -0.1473 | -0.1631 | -0.1661 | -0.1546 | 8.6 | -2.6 |
| 103 | SLO | Si | -0.1476 | -0.1311 | -0.1442 | -0.1557 | -8.6 | 2.8 |
| 104 | SLO | Si | -0.1648 | -0.1483 | -0.1560 | -0.1675 | -5.2 | -3.9 |
| 105 | SLO | Si | -0.1268 | -0.1495 | -0.1567 | -0.1407 | 8.3 | 4.0 |
| 106 | SLO | Si | -0.1437 | -0.1664 | -0.1683 | -0.1522 | 4.8 | -2.6 |
| 107 | SLO | Si | -0.1511 | -0.1278 | -0.1419 | -0.1581 | -4.7 | 2.7 |
| 108 | SLO | Si | -0.1680 | -0.1447 | -0.1535 | -0.1696 | -8.3 | -3.8 |
| 109 | SLO | Si | -0.1267 | -0.1493 | -0.1566 | -0.1406 | 4.8 | 4.1 |
| 110 | SLO | Si | -0.1439 | -0.1666 | -0.1684 | -0.1523 | 8.2 | -2.7 |
| 111 | SLO | Si | -0.1510 | -0.1276 | -0.1418 | -0.1579 | -8.2 | 2.8 |
| 112 | SLO | Si | -0.1682 | -0.1449 | -0.1536 | -0.1697 | -4.8 | -3.9 |
| 113 | SLO | Si | -0.1166 | -0.1211 | -0.1373 | -0.1340 | 8.0 | 11.2 |
| 114 | SLO | Si | -0.1730 | -0.1775 | -0.1759 | -0.1725 | -3.9 | -10.7 |
| 115 | SLO | Si | -0.1219 | -0.1167 | -0.1343 | -0.1378 | 3.9 | 10.8 |
| 116 | SLO | Si | -0.1782 | -0.1731 | -0.1729 | -0.1763 | -8.0 | -11.0 |
| 117 | SLO | Si | -0.1156 | -0.1222 | -0.1381 | -0.1333 | 7.9 | 11.2 |

| | | | |
|--------------------------------------|------------------------------------------------------------------------------------------------------------------------------|----------------------------------------------------------------------------------|-------------|
| COMMITTENTE: Mecca Antonio | CODICE COMMESSA: | NOME ELABORATO: S1.5 - Relazione Geotecnica e delle Fondazioni | CONSULENTE: |
| DATA: Aprile 2023 | TITOLO: Lavori ultimazione di un fabbricato adibito ad albergo-ristorante- C.da Case Nuove Chicone Avigliano (PZ) | | |

| | | | | | | | | |
|-----|-----|----|---------|---------|---------|---------|------|-------|
| 118 | SLO | Si | -0.1720 | -0.1786 | -0.1766 | -0.1718 | -4.0 | -10.7 |
| 119 | SLO | Si | -0.1229 | -0.1156 | -0.1336 | -0.1385 | 4.0 | 10.8 |
| 120 | SLO | Si | -0.1792 | -0.1720 | -0.1722 | -0.1770 | -7.9 | -11.0 |
| 121 | SLO | Si | -0.1161 | -0.1206 | -0.1370 | -0.1336 | -3.6 | 11.5 |
| 122 | SLO | Si | -0.1735 | -0.1780 | -0.1763 | -0.1729 | 7.7 | -11.0 |
| 123 | SLO | Si | -0.1214 | -0.1162 | -0.1340 | -0.1374 | -7.7 | 11.1 |
| 124 | SLO | Si | -0.1788 | -0.1736 | -0.1733 | -0.1767 | 3.6 | -11.4 |
| 125 | SLO | Si | -0.1151 | -0.1216 | -0.1377 | -0.1329 | -3.7 | 11.5 |
| 126 | SLO | Si | -0.1725 | -0.1791 | -0.1770 | -0.1722 | 7.6 | -11.0 |
| 127 | SLO | Si | -0.1224 | -0.1151 | -0.1333 | -0.1381 | -7.6 | 11.1 |
| 128 | SLO | Si | -0.1798 | -0.1726 | -0.1726 | -0.1774 | 3.7 | -11.3 |

Elemento: Platea n. 57

| Cmb | Tipo | Sism. | Press. N1 | Press. N2 | Press. N3 | Press. N4 | S. Taglio X | S. Taglio Y |
|-----|----------|-------|---------------------|---------------------|---------------------|---------------------|-------------|-------------|
| n. | | | daN/cm ² | daN/cm ² | daN/cm ² | daN/cm ² | daN | daN |
| 001 | SLU STR | No | -0.1471 | -0.1473 | -0.1517 | -0.1513 | 0.0 | 0.0 |
| 002 | SLU STR | No | -0.1996 | -0.1998 | -0.2042 | -0.2038 | 0.0 | 0.0 |
| 003 | SLU STR | No | -0.1611 | -0.1609 | -0.1780 | -0.1776 | 0.0 | 0.2 |
| 004 | SLU STR | No | -0.2136 | -0.2134 | -0.2305 | -0.2301 | 0.0 | 0.2 |
| 005 | SLU STR | No | -0.1093 | -0.1095 | -0.1126 | -0.1123 | 0.0 | 0.0 |
| 006 | SLU STR | No | -0.1618 | -0.1620 | -0.1651 | -0.1648 | 0.0 | 0.0 |
| 007 | SLU STR | No | -0.1234 | -0.1231 | -0.1389 | -0.1386 | 0.0 | 0.2 |
| 008 | SLU STR | No | -0.1759 | -0.1756 | -0.1914 | -0.1911 | 0.0 | 0.2 |
| 009 | SLU STR | No | -0.2221 | -0.2223 | -0.2267 | -0.2263 | 0.0 | 0.0 |
| 010 | SLU STR | No | -0.1569 | -0.1568 | -0.1701 | -0.1697 | 0.0 | 0.1 |
| 011 | SLU STR | No | -0.2319 | -0.2318 | -0.2451 | -0.2447 | 0.0 | 0.1 |
| 012 | SLU STR | No | -0.1843 | -0.1845 | -0.1876 | -0.1873 | 0.0 | 0.0 |
| 013 | SLU STR | No | -0.1192 | -0.1190 | -0.1310 | -0.1307 | 0.0 | 0.1 |
| 014 | SLU STR | No | -0.1942 | -0.1940 | -0.2060 | -0.2057 | 0.0 | 0.1 |
| 015 | SLE rare | No | -0.1115 | -0.1116 | -0.1149 | -0.1146 | 0.0 | 0.0 |
| 016 | SLE rare | No | -0.1465 | -0.1466 | -0.1499 | -0.1496 | 0.0 | 0.0 |
| 017 | SLE rare | No | -0.1208 | -0.1207 | -0.1325 | -0.1321 | 0.0 | 0.1 |
| 018 | SLE rare | No | -0.1558 | -0.1557 | -0.1675 | -0.1671 | 0.0 | 0.1 |
| 019 | SLE rare | No | -0.1615 | -0.1616 | -0.1649 | -0.1646 | 0.0 | 0.0 |
| 020 | SLE rare | No | -0.1180 | -0.1180 | -0.1272 | -0.1269 | 0.0 | 0.1 |
| 021 | SLE rare | No | -0.1680 | -0.1680 | -0.1772 | -0.1769 | 0.0 | 0.1 |
| 022 | SLE freq | No | -0.1115 | -0.1116 | -0.1149 | -0.1146 | 0.0 | 0.0 |
| 023 | SLE freq | No | -0.1415 | -0.1416 | -0.1449 | -0.1446 | 0.0 | 0.0 |
| 024 | SLE freq | No | -0.1180 | -0.1180 | -0.1272 | -0.1269 | 0.0 | 0.1 |
| 025 | SLE freq | No | -0.1480 | -0.1480 | -0.1572 | -0.1569 | 0.0 | 0.1 |
| 026 | SLE freq | No | -0.1465 | -0.1466 | -0.1499 | -0.1496 | 0.0 | 0.0 |
| 027 | SLE freq | No | -0.1171 | -0.1171 | -0.1254 | -0.1251 | 0.0 | 0.1 |
| 028 | SLE freq | No | -0.1521 | -0.1521 | -0.1604 | -0.1601 | 0.0 | 0.1 |
| 029 | SLE q.p. | No | -0.1115 | -0.1116 | -0.1149 | -0.1146 | 0.0 | 0.0 |
| 030 | SLE q.p. | No | -0.1415 | -0.1416 | -0.1449 | -0.1446 | 0.0 | 0.0 |
| 031 | SLE q.p. | No | -0.1171 | -0.1171 | -0.1254 | -0.1251 | 0.0 | 0.1 |
| 032 | SLE q.p. | No | -0.1471 | -0.1471 | -0.1554 | -0.1551 | 0.0 | 0.1 |
| 033 | SLV A1 | Si | -0.1440 | -0.1408 | -0.1504 | -0.1530 | 24.4 | 1.3 |
| 034 | SLV A1 | Si | -0.1912 | -0.1884 | -0.1830 | -0.1853 | 14.4 | -19.6 |
| 035 | SLV A1 | Si | -0.1030 | -0.1057 | -0.1279 | -0.1250 | -14.4 | 19.7 |
| 036 | SLV A1 | Si | -0.1502 | -0.1533 | -0.1605 | -0.1573 | -24.4 | -1.1 |
| 037 | SLV A1 | Si | -0.1438 | -0.1406 | -0.1503 | -0.1528 | 14.6 | 1.3 |
| 038 | SLV A1 | Si | -0.1914 | -0.1886 | -0.1831 | -0.1854 | 24.1 | -19.5 |
| 039 | SLV A1 | Si | -0.1028 | -0.1056 | -0.1278 | -0.1249 | -24.1 | 19.7 |
| 040 | SLV A1 | Si | -0.1504 | -0.1535 | -0.1606 | -0.1574 | -14.6 | -1.1 |
| 041 | SLV A1 | Si | -0.1536 | -0.1506 | -0.1570 | -0.1595 | 23.3 | -2.6 |
| 042 | SLV A1 | Si | -0.2009 | -0.1982 | -0.1897 | -0.1919 | 13.3 | -23.5 |
| 043 | SLV A1 | Si | -0.0933 | -0.0959 | -0.1212 | -0.1184 | -13.3 | 23.6 |
| 044 | SLV A1 | Si | -0.1406 | -0.1435 | -0.1538 | -0.1507 | -23.3 | 2.8 |
| 045 | SLV A1 | Si | -0.1535 | -0.1505 | -0.1569 | -0.1594 | 13.6 | -2.6 |
| 046 | SLV A1 | Si | -0.2010 | -0.1984 | -0.1898 | -0.1920 | 23.1 | -23.4 |
| 047 | SLV A1 | Si | -0.0932 | -0.0957 | -0.1211 | -0.1183 | -23.1 | 23.6 |
| 048 | SLV A1 | Si | -0.1407 | -0.1437 | -0.1539 | -0.1508 | -13.6 | 2.8 |
| 049 | SLV A1 | Si | -0.0745 | -0.0730 | -0.1044 | -0.1055 | 22.4 | 32.1 |
| 050 | SLV A1 | Si | -0.2320 | -0.2317 | -0.2132 | -0.2132 | -10.8 | -37.5 |
| 051 | SLV A1 | Si | -0.0622 | -0.0625 | -0.0977 | -0.0971 | 10.8 | 37.7 |
| 052 | SLV A1 | Si | -0.2197 | -0.2212 | -0.2064 | -0.2048 | -22.5 | -32.0 |
| 053 | SLV A1 | Si | -0.0774 | -0.0759 | -0.1064 | -0.1074 | 22.1 | 31.0 |
| 054 | SLV A1 | Si | -0.2349 | -0.2346 | -0.2152 | -0.2152 | -11.1 | -38.7 |
| 055 | SLV A1 | Si | -0.0593 | -0.0595 | -0.0957 | -0.0951 | 11.1 | 38.8 |
| 056 | SLV A1 | Si | -0.2168 | -0.2182 | -0.2044 | -0.2028 | -22.1 | -30.8 |

Relazione Geotecnica e delle Fondazioni

| | | | | | | | | |
|-----|--------|----|---------|---------|---------|---------|-------|-------|
| 057 | SLV A1 | Si | -0.0740 | -0.0724 | -0.1041 | -0.1051 | -10.0 | 32.0 |
| 058 | SLV A1 | Si | -0.2325 | -0.2322 | -0.2135 | -0.2136 | 21.6 | -37.4 |
| 059 | SLV A1 | Si | -0.0617 | -0.0619 | -0.0974 | -0.0967 | -21.7 | 37.5 |
| 060 | SLV A1 | Si | -0.2202 | -0.2217 | -0.2068 | -0.2052 | 10.0 | -31.8 |
| 061 | SLV A1 | Si | -0.0769 | -0.0754 | -0.1061 | -0.1071 | -10.4 | 30.8 |
| 062 | SLV A1 | Si | -0.2354 | -0.2352 | -0.2155 | -0.2155 | 21.3 | -38.5 |
| 063 | SLV A1 | Si | -0.0588 | -0.0590 | -0.0954 | -0.0947 | -21.3 | 38.7 |
| 064 | SLV A1 | Si | -0.2173 | -0.2187 | -0.2048 | -0.2032 | 10.3 | -30.7 |
| 065 | SLD | Si | -0.1456 | -0.1442 | -0.1531 | -0.1541 | 11.0 | 0.7 |
| 066 | SLD | Si | -0.1672 | -0.1659 | -0.1680 | -0.1689 | 6.5 | -8.9 |
| 067 | SLD | Si | -0.1270 | -0.1282 | -0.1429 | -0.1414 | -6.5 | 9.0 |
| 068 | SLD | Si | -0.1486 | -0.1500 | -0.1578 | -0.1562 | -11.0 | -0.5 |
| 069 | SLD | Si | -0.1455 | -0.1441 | -0.1531 | -0.1541 | 6.6 | 0.7 |
| 070 | SLD | Si | -0.1673 | -0.1660 | -0.1680 | -0.1689 | 10.9 | -8.8 |
| 071 | SLD | Si | -0.1269 | -0.1282 | -0.1428 | -0.1414 | -10.9 | 9.0 |
| 072 | SLD | Si | -0.1487 | -0.1500 | -0.1578 | -0.1562 | -6.6 | -0.5 |
| 073 | SLD | Si | -0.1500 | -0.1486 | -0.1561 | -0.1571 | 10.5 | -1.1 |
| 074 | SLD | Si | -0.1716 | -0.1704 | -0.1710 | -0.1719 | 6.0 | -10.6 |
| 075 | SLD | Si | -0.1226 | -0.1238 | -0.1398 | -0.1384 | -6.0 | 10.8 |
| 076 | SLD | Si | -0.1442 | -0.1455 | -0.1547 | -0.1532 | -10.5 | 1.3 |
| 077 | SLD | Si | -0.1499 | -0.1486 | -0.1561 | -0.1571 | 6.1 | -1.1 |
| 078 | SLD | Si | -0.1717 | -0.1704 | -0.1711 | -0.1719 | 10.4 | -10.6 |
| 079 | SLD | Si | -0.1225 | -0.1237 | -0.1398 | -0.1384 | -10.4 | 10.8 |
| 080 | SLD | Si | -0.1442 | -0.1456 | -0.1548 | -0.1532 | -6.1 | 1.3 |
| 081 | SLD | Si | -0.1139 | -0.1132 | -0.1321 | -0.1324 | 10.1 | 14.7 |
| 082 | SLD | Si | -0.1858 | -0.1857 | -0.1818 | -0.1816 | -4.9 | -17.0 |
| 083 | SLD | Si | -0.1084 | -0.1085 | -0.1291 | -0.1286 | 4.9 | 17.2 |
| 084 | SLD | Si | -0.1802 | -0.1809 | -0.1787 | -0.1778 | -10.1 | -14.5 |
| 085 | SLD | Si | -0.1153 | -0.1146 | -0.1330 | -0.1333 | 10.0 | 14.2 |
| 086 | SLD | Si | -0.1872 | -0.1870 | -0.1827 | -0.1825 | -5.0 | -17.6 |
| 087 | SLD | Si | -0.1070 | -0.1071 | -0.1282 | -0.1277 | 5.0 | 17.8 |
| 088 | SLD | Si | -0.1789 | -0.1796 | -0.1778 | -0.1769 | -10.0 | -14.0 |
| 089 | SLD | Si | -0.1137 | -0.1130 | -0.1320 | -0.1323 | -4.5 | 14.6 |
| 090 | SLD | Si | -0.1861 | -0.1859 | -0.1819 | -0.1818 | 9.8 | -17.0 |
| 091 | SLD | Si | -0.1081 | -0.1082 | -0.1289 | -0.1285 | -9.8 | 17.1 |
| 092 | SLD | Si | -0.1805 | -0.1811 | -0.1789 | -0.1780 | 4.5 | -14.5 |
| 093 | SLD | Si | -0.1150 | -0.1144 | -0.1329 | -0.1332 | -4.7 | 14.1 |
| 094 | SLD | Si | -0.1874 | -0.1872 | -0.1828 | -0.1827 | 9.6 | -17.5 |
| 095 | SLD | Si | -0.1068 | -0.1069 | -0.1280 | -0.1276 | -9.6 | 17.7 |
| 096 | SLD | Si | -0.1792 | -0.1798 | -0.1780 | -0.1771 | 4.7 | -13.9 |
| 097 | SLO | Si | -0.1460 | -0.1449 | -0.1536 | -0.1544 | 8.7 | 0.5 |
| 098 | SLO | Si | -0.1629 | -0.1619 | -0.1653 | -0.1660 | 5.1 | -7.0 |
| 099 | SLO | Si | -0.1313 | -0.1322 | -0.1455 | -0.1443 | -5.2 | 7.1 |
| 100 | SLO | Si | -0.1482 | -0.1493 | -0.1572 | -0.1559 | -8.7 | -0.3 |
| 101 | SLO | Si | -0.1459 | -0.1447 | -0.1535 | -0.1543 | 5.2 | 0.5 |
| 102 | SLO | Si | -0.1631 | -0.1621 | -0.1654 | -0.1661 | 8.6 | -7.0 |
| 103 | SLO | Si | -0.1311 | -0.1321 | -0.1454 | -0.1442 | -8.6 | 7.2 |
| 104 | SLO | Si | -0.1483 | -0.1494 | -0.1573 | -0.1560 | -5.2 | -0.4 |
| 105 | SLO | Si | -0.1495 | -0.1484 | -0.1560 | -0.1567 | 8.3 | -0.9 |
| 106 | SLO | Si | -0.1664 | -0.1654 | -0.1677 | -0.1683 | 4.8 | -8.4 |
| 107 | SLO | Si | -0.1278 | -0.1287 | -0.1432 | -0.1419 | -4.8 | 8.5 |
| 108 | SLO | Si | -0.1447 | -0.1458 | -0.1548 | -0.1535 | -8.3 | 1.1 |
| 109 | SLO | Si | -0.1493 | -0.1482 | -0.1559 | -0.1566 | 4.8 | -0.9 |
| 110 | SLO | Si | -0.1666 | -0.1656 | -0.1678 | -0.1684 | 8.2 | -8.4 |
| 111 | SLO | Si | -0.1276 | -0.1285 | -0.1431 | -0.1418 | -8.3 | 8.6 |
| 112 | SLO | Si | -0.1449 | -0.1459 | -0.1549 | -0.1536 | -4.9 | 1.0 |
| 113 | SLO | Si | -0.1211 | -0.1205 | -0.1372 | -0.1373 | 8.0 | 11.6 |
| 114 | SLO | Si | -0.1775 | -0.1774 | -0.1761 | -0.1759 | -3.9 | -13.4 |
| 115 | SLO | Si | -0.1167 | -0.1167 | -0.1347 | -0.1343 | 3.9 | 13.5 |
| 116 | SLO | Si | -0.1731 | -0.1736 | -0.1737 | -0.1729 | -8.0 | -11.4 |
| 117 | SLO | Si | -0.1222 | -0.1216 | -0.1379 | -0.1381 | 7.9 | 11.1 |
| 118 | SLO | Si | -0.1786 | -0.1784 | -0.1768 | -0.1766 | -4.0 | -13.8 |
| 119 | SLO | Si | -0.1156 | -0.1157 | -0.1340 | -0.1336 | 4.0 | 14.0 |
| 120 | SLO | Si | -0.1720 | -0.1725 | -0.1730 | -0.1722 | -7.9 | -11.0 |
| 121 | SLO | Si | -0.1206 | -0.1200 | -0.1368 | -0.1370 | -3.6 | 11.6 |
| 122 | SLO | Si | -0.1780 | -0.1779 | -0.1765 | -0.1763 | 7.7 | -13.5 |
| 123 | SLO | Si | -0.1162 | -0.1162 | -0.1344 | -0.1340 | -7.8 | 13.6 |
| 124 | SLO | Si | -0.1736 | -0.1741 | -0.1740 | -0.1733 | 3.6 | -11.5 |
| 125 | SLO | Si | -0.1216 | -0.1211 | -0.1375 | -0.1377 | -3.7 | 11.2 |
| 126 | SLO | Si | -0.1791 | -0.1790 | -0.1772 | -0.1770 | 7.6 | -13.9 |
| 127 | SLO | Si | -0.1151 | -0.1152 | -0.1337 | -0.1333 | -7.6 | 14.1 |
| 128 | SLO | Si | -0.1726 | -0.1731 | -0.1733 | -0.1726 | 3.7 | -11.1 |

Elemento: Platea n. 58

| | | | |
|--------------------------------------|----------------------------------------------------------------------------------------------------------------------|----------------------------------------------------------------------------------|-------------|
| COMMITTENTE: Mecca Antonio | CODICE COMMESSA: | NOME ELABORATO: S1.5 - Relazione Geotecnica e delle Fondazioni | CONSULENTE: |
| DATA: Aprile 2023 | TITOLO: Lavori ultimazione di un fabbricato adibito ad albergo-ristorante- C.da Case Nuove Chicone Avigliano (PZ) | | |

| Cmb | Tipo | Sism. | Press. N1 | Press. N2 | Press. N3 | Press. N4 | S. Taglio X | S. Taglio Y |
|-----|----------|-------|---------------------|---------------------|---------------------|---------------------|-------------|-------------|
| n. | | | daN/cm ² | daN/cm ² | daN/cm ² | daN/cm ² | daN | daN |
| 001 | SLU STR | No | -0.1480 | -0.1484 | -0.1534 | -0.1529 | 0.0 | 0.0 |
| 002 | SLU STR | No | -0.2005 | -0.2009 | -0.2059 | -0.2054 | 0.0 | 0.0 |
| 003 | SLU STR | No | -0.1593 | -0.1580 | -0.1774 | -0.1777 | -0.1 | 0.0 |
| 004 | SLU STR | No | -0.2118 | -0.2105 | -0.2299 | -0.2302 | -0.1 | 0.0 |
| 005 | SLU STR | No | -0.1100 | -0.1104 | -0.1140 | -0.1136 | 0.0 | 0.0 |
| 006 | SLU STR | No | -0.1625 | -0.1629 | -0.1665 | -0.1661 | 0.0 | 0.0 |
| 007 | SLU STR | No | -0.1214 | -0.1200 | -0.1380 | -0.1384 | -0.1 | 0.0 |
| 008 | SLU STR | No | -0.1739 | -0.1725 | -0.1905 | -0.1909 | -0.1 | 0.0 |
| 009 | SLU STR | No | -0.2230 | -0.2234 | -0.2284 | -0.2279 | 0.0 | 0.0 |
| 010 | SLU STR | No | -0.1559 | -0.1551 | -0.1702 | -0.1702 | -0.1 | 0.0 |
| 011 | SLU STR | No | -0.2309 | -0.2301 | -0.2452 | -0.2452 | -0.1 | 0.0 |
| 012 | SLU STR | No | -0.1850 | -0.1854 | -0.1890 | -0.1886 | 0.0 | 0.0 |
| 013 | SLU STR | No | -0.1180 | -0.1172 | -0.1308 | -0.1309 | -0.1 | 0.0 |
| 014 | SLU STR | No | -0.1930 | -0.1922 | -0.2058 | -0.2059 | -0.1 | 0.0 |
| 015 | SLE rare | No | -0.1122 | -0.1125 | -0.1162 | -0.1158 | 0.0 | 0.0 |
| 016 | SLE rare | No | -0.1472 | -0.1475 | -0.1512 | -0.1508 | 0.0 | 0.0 |
| 017 | SLE rare | No | -0.1197 | -0.1190 | -0.1322 | -0.1324 | -0.1 | 0.0 |
| 018 | SLE rare | No | -0.1547 | -0.1540 | -0.1672 | -0.1674 | -0.1 | 0.0 |
| 019 | SLE rare | No | -0.1622 | -0.1625 | -0.1662 | -0.1658 | 0.0 | 0.0 |
| 020 | SLE rare | No | -0.1175 | -0.1170 | -0.1274 | -0.1274 | 0.0 | 0.0 |
| 021 | SLE rare | No | -0.1675 | -0.1670 | -0.1774 | -0.1774 | 0.0 | 0.0 |
| 022 | SLE freq | No | -0.1122 | -0.1125 | -0.1162 | -0.1158 | 0.0 | 0.0 |
| 023 | SLE freq | No | -0.1422 | -0.1425 | -0.1462 | -0.1458 | 0.0 | 0.0 |
| 024 | SLE freq | No | -0.1175 | -0.1170 | -0.1274 | -0.1274 | 0.0 | 0.0 |
| 025 | SLE freq | No | -0.1475 | -0.1470 | -0.1574 | -0.1574 | 0.0 | 0.0 |
| 026 | SLE freq | No | -0.1472 | -0.1475 | -0.1512 | -0.1508 | 0.0 | 0.0 |
| 027 | SLE freq | No | -0.1167 | -0.1164 | -0.1258 | -0.1258 | 0.0 | 0.0 |
| 028 | SLE freq | No | -0.1517 | -0.1514 | -0.1608 | -0.1608 | 0.0 | 0.0 |
| 029 | SLE q.p. | No | -0.1122 | -0.1125 | -0.1162 | -0.1158 | 0.0 | 0.0 |
| 030 | SLE q.p. | No | -0.1422 | -0.1425 | -0.1462 | -0.1458 | 0.0 | 0.0 |
| 031 | SLE q.p. | No | -0.1167 | -0.1164 | -0.1258 | -0.1258 | 0.0 | 0.0 |
| 032 | SLE q.p. | No | -0.1467 | -0.1464 | -0.1558 | -0.1558 | 0.0 | 0.0 |
| 033 | SLV A1 | Si | -0.1375 | -0.1375 | -0.1523 | -0.1506 | 20.8 | 4.4 |
| 034 | SLV A1 | Si | -0.1865 | -0.1868 | -0.1866 | -0.1847 | 12.3 | -21.4 |
| 035 | SLV A1 | Si | -0.1069 | -0.1059 | -0.1251 | -0.1268 | -12.4 | 21.4 |
| 036 | SLV A1 | Si | -0.1558 | -0.1552 | -0.1594 | -0.1609 | -20.8 | -4.5 |
| 037 | SLV A1 | Si | -0.1374 | -0.1374 | -0.1523 | -0.1506 | 12.5 | 3.8 |
| 038 | SLV A1 | Si | -0.1866 | -0.1869 | -0.1866 | -0.1848 | 20.6 | -20.7 |
| 039 | SLV A1 | Si | -0.1068 | -0.1058 | -0.1251 | -0.1268 | -20.6 | 20.7 |
| 040 | SLV A1 | Si | -0.1560 | -0.1553 | -0.1594 | -0.1609 | -12.6 | -3.8 |
| 041 | SLV A1 | Si | -0.1465 | -0.1453 | -0.1555 | -0.1549 | 19.8 | 0.7 |
| 042 | SLV A1 | Si | -0.1954 | -0.1945 | -0.1897 | -0.1890 | 11.3 | -25.1 |
| 043 | SLV A1 | Si | -0.0980 | -0.0982 | -0.1219 | -0.1225 | -11.4 | 25.1 |
| 044 | SLV A1 | Si | -0.1469 | -0.1475 | -0.1562 | -0.1566 | -19.9 | -0.7 |
| 045 | SLV A1 | Si | -0.1463 | -0.1452 | -0.1554 | -0.1549 | 11.5 | 0.1 |
| 046 | SLV A1 | Si | -0.1955 | -0.1947 | -0.1898 | -0.1891 | 19.6 | -24.5 |
| 047 | SLV A1 | Si | -0.0979 | -0.0981 | -0.1219 | -0.1224 | -19.7 | 24.5 |
| 048 | SLV A1 | Si | -0.1471 | -0.1476 | -0.1562 | -0.1566 | -11.6 | -0.1 |
| 049 | SLV A1 | Si | -0.0698 | -0.0690 | -0.1028 | -0.1025 | 19.1 | 40.5 |
| 050 | SLV A1 | Si | -0.2328 | -0.2333 | -0.2170 | -0.2161 | -9.2 | -45.6 |
| 051 | SLV A1 | Si | -0.0606 | -0.0595 | -0.0946 | -0.0954 | 9.1 | 45.6 |
| 052 | SLV A1 | Si | -0.2236 | -0.2238 | -0.2089 | -0.2090 | -19.2 | -40.5 |
| 053 | SLV A1 | Si | -0.0725 | -0.0713 | -0.1037 | -0.1038 | 18.8 | 39.4 |
| 054 | SLV A1 | Si | -0.2355 | -0.2356 | -0.2180 | -0.2174 | -9.5 | -46.7 |
| 055 | SLV A1 | Si | -0.0579 | -0.0572 | -0.0937 | -0.0941 | 9.4 | 46.7 |
| 056 | SLV A1 | Si | -0.2209 | -0.2215 | -0.2079 | -0.2077 | -18.9 | -39.4 |
| 057 | SLV A1 | Si | -0.0693 | -0.0686 | -0.1027 | -0.1024 | -8.6 | 38.4 |
| 058 | SLV A1 | Si | -0.2333 | -0.2336 | -0.2171 | -0.2163 | 18.4 | -43.5 |
| 059 | SLV A1 | Si | -0.0601 | -0.0592 | -0.0945 | -0.0952 | -18.5 | 43.5 |
| 060 | SLV A1 | Si | -0.2241 | -0.2241 | -0.2090 | -0.2092 | 8.5 | -38.4 |
| 061 | SLV A1 | Si | -0.0720 | -0.0710 | -0.1037 | -0.1037 | -8.8 | 37.3 |
| 062 | SLV A1 | Si | -0.2359 | -0.2359 | -0.2181 | -0.2176 | 18.1 | -44.6 |
| 063 | SLV A1 | Si | -0.0575 | -0.0568 | -0.0936 | -0.0939 | -18.2 | 44.6 |
| 064 | SLV A1 | Si | -0.2214 | -0.2218 | -0.2080 | -0.2079 | 8.8 | -37.3 |
| 065 | SLD | Si | -0.1425 | -0.1423 | -0.1542 | -0.1534 | 9.3 | 2.1 |
| 066 | SLD | Si | -0.1648 | -0.1648 | -0.1698 | -0.1689 | 5.5 | -9.7 |
| 067 | SLD | Si | -0.1286 | -0.1280 | -0.1418 | -0.1426 | -5.6 | 9.7 |
| 068 | SLD | Si | -0.1509 | -0.1505 | -0.1575 | -0.1581 | -9.4 | -2.1 |
| 069 | SLD | Si | -0.1424 | -0.1423 | -0.1542 | -0.1534 | 5.6 | 1.8 |

Relazione Geotecnica e delle Fondazioni

| | | | | | | | | |
|-----|-----|----|---------|---------|---------|---------|------|-------|
| 070 | SLD | Si | -0.1649 | -0.1648 | -0.1698 | -0.1690 | 9.2 | -9.4 |
| 071 | SLD | Si | -0.1285 | -0.1279 | -0.1418 | -0.1426 | -9.3 | 9.4 |
| 072 | SLD | Si | -0.1510 | -0.1505 | -0.1575 | -0.1582 | -5.7 | -1.8 |
| 073 | SLD | Si | -0.1466 | -0.1458 | -0.1556 | -0.1554 | 8.9 | 0.3 |
| 074 | SLD | Si | -0.1689 | -0.1683 | -0.1713 | -0.1709 | 5.1 | -11.5 |
| 075 | SLD | Si | -0.1245 | -0.1244 | -0.1404 | -0.1406 | -5.2 | 11.5 |
| 076 | SLD | Si | -0.1468 | -0.1469 | -0.1560 | -0.1562 | -9.0 | -0.3 |
| 077 | SLD | Si | -0.1465 | -0.1458 | -0.1556 | -0.1553 | 5.2 | 0.0 |
| 078 | SLD | Si | -0.1689 | -0.1684 | -0.1713 | -0.1709 | 8.8 | -11.2 |
| 079 | SLD | Si | -0.1245 | -0.1244 | -0.1404 | -0.1406 | -8.9 | 11.2 |
| 080 | SLD | Si | -0.1469 | -0.1470 | -0.1560 | -0.1562 | -5.3 | 0.0 |
| 081 | SLD | Si | -0.1116 | -0.1110 | -0.1316 | -0.1315 | 8.6 | 18.5 |
| 082 | SLD | Si | -0.1860 | -0.1860 | -0.1837 | -0.1833 | -4.2 | -20.8 |
| 083 | SLD | Si | -0.1074 | -0.1067 | -0.1279 | -0.1282 | 4.1 | 20.8 |
| 084 | SLD | Si | -0.1818 | -0.1817 | -0.1801 | -0.1801 | -8.7 | -18.5 |
| 085 | SLD | Si | -0.1128 | -0.1121 | -0.1320 | -0.1321 | 8.5 | 18.0 |
| 086 | SLD | Si | -0.1872 | -0.1871 | -0.1842 | -0.1839 | -4.3 | -21.3 |
| 087 | SLD | Si | -0.1062 | -0.1057 | -0.1275 | -0.1276 | 4.2 | 21.3 |
| 088 | SLD | Si | -0.1806 | -0.1807 | -0.1796 | -0.1795 | -8.5 | -18.0 |
| 089 | SLD | Si | -0.1114 | -0.1109 | -0.1316 | -0.1314 | -3.9 | 17.5 |
| 090 | SLD | Si | -0.1862 | -0.1862 | -0.1838 | -0.1834 | 8.3 | -19.8 |
| 091 | SLD | Si | -0.1072 | -0.1066 | -0.1279 | -0.1282 | -8.4 | 19.8 |
| 092 | SLD | Si | -0.1820 | -0.1819 | -0.1801 | -0.1801 | 3.8 | -17.5 |
| 093 | SLD | Si | -0.1126 | -0.1120 | -0.1320 | -0.1320 | -4.0 | 17.0 |
| 094 | SLD | Si | -0.1874 | -0.1872 | -0.1842 | -0.1840 | 8.2 | -20.4 |
| 095 | SLD | Si | -0.1060 | -0.1055 | -0.1274 | -0.1276 | -8.2 | 20.4 |
| 096 | SLD | Si | -0.1808 | -0.1808 | -0.1796 | -0.1795 | 3.9 | -17.0 |
| 097 | SLO | Si | -0.1434 | -0.1432 | -0.1546 | -0.1539 | 7.4 | 1.6 |
| 098 | SLO | Si | -0.1610 | -0.1609 | -0.1668 | -0.1661 | 4.4 | -7.7 |
| 099 | SLO | Si | -0.1324 | -0.1319 | -0.1448 | -0.1454 | -4.4 | 7.7 |
| 100 | SLO | Si | -0.1500 | -0.1495 | -0.1571 | -0.1576 | -7.5 | -1.6 |
| 101 | SLO | Si | -0.1433 | -0.1431 | -0.1545 | -0.1538 | 4.4 | 1.4 |
| 102 | SLO | Si | -0.1611 | -0.1610 | -0.1669 | -0.1662 | 7.3 | -7.5 |
| 103 | SLO | Si | -0.1323 | -0.1317 | -0.1447 | -0.1453 | -7.4 | 7.5 |
| 104 | SLO | Si | -0.1501 | -0.1497 | -0.1572 | -0.1577 | -4.5 | -1.4 |
| 105 | SLO | Si | -0.1466 | -0.1460 | -0.1557 | -0.1555 | 7.1 | 0.2 |
| 106 | SLO | Si | -0.1642 | -0.1637 | -0.1680 | -0.1677 | 4.0 | -9.0 |
| 107 | SLO | Si | -0.1292 | -0.1291 | -0.1437 | -0.1438 | -4.1 | 9.0 |
| 108 | SLO | Si | -0.1468 | -0.1468 | -0.1559 | -0.1560 | -7.1 | -0.2 |
| 109 | SLO | Si | -0.1465 | -0.1459 | -0.1556 | -0.1554 | 4.1 | 0.1 |
| 110 | SLO | Si | -0.1643 | -0.1638 | -0.1681 | -0.1678 | 7.0 | -8.9 |
| 111 | SLO | Si | -0.1291 | -0.1290 | -0.1436 | -0.1437 | -7.1 | 8.8 |
| 112 | SLO | Si | -0.1469 | -0.1469 | -0.1560 | -0.1561 | -4.2 | -0.1 |
| 113 | SLO | Si | -0.1192 | -0.1187 | -0.1368 | -0.1367 | 6.8 | 14.5 |
| 114 | SLO | Si | -0.1775 | -0.1775 | -0.1777 | -0.1774 | -3.3 | -16.3 |
| 115 | SLO | Si | -0.1158 | -0.1153 | -0.1339 | -0.1341 | 3.2 | 16.3 |
| 116 | SLO | Si | -0.1742 | -0.1741 | -0.1748 | -0.1748 | -6.9 | -14.5 |
| 117 | SLO | Si | -0.1201 | -0.1195 | -0.1372 | -0.1372 | 6.7 | 14.1 |
| 118 | SLO | Si | -0.1785 | -0.1783 | -0.1781 | -0.1778 | -3.4 | -16.7 |
| 119 | SLO | Si | -0.1149 | -0.1144 | -0.1336 | -0.1337 | 3.3 | 16.7 |
| 120 | SLO | Si | -0.1733 | -0.1733 | -0.1745 | -0.1744 | -6.8 | -14.1 |
| 121 | SLO | Si | -0.1186 | -0.1182 | -0.1366 | -0.1364 | -3.1 | 13.9 |
| 122 | SLO | Si | -0.1780 | -0.1780 | -0.1780 | -0.1777 | 6.6 | -15.8 |
| 123 | SLO | Si | -0.1153 | -0.1148 | -0.1336 | -0.1338 | -6.6 | 15.7 |
| 124 | SLO | Si | -0.1747 | -0.1746 | -0.1751 | -0.1751 | 3.0 | -13.9 |
| 125 | SLO | Si | -0.1196 | -0.1190 | -0.1369 | -0.1369 | -3.2 | 13.5 |
| 126 | SLO | Si | -0.1790 | -0.1788 | -0.1784 | -0.1781 | 6.5 | -16.2 |
| 127 | SLO | Si | -0.1144 | -0.1140 | -0.1333 | -0.1334 | -6.5 | 16.2 |
| 128 | SLO | Si | -0.1738 | -0.1737 | -0.1747 | -0.1746 | 3.1 | -13.5 |

Elemento: Platea n. 59

| Cmb | Tipo | Sism. | Press. N1 | Press. N2 | Press. N3 | Press. N4 | S. Taglio X | S. Taglio Y |
|-----|---------|-------|---------------------|---------------------|---------------------|---------------------|-------------|-------------|
| n. | | | daN/cm ² | daN/cm ² | daN/cm ² | daN/cm ² | daN | daN |
| 001 | SLU STR | No | -0.1530 | -0.1556 | -0.1617 | -0.1572 | 0.0 | 0.0 |
| 002 | SLU STR | No | -0.2055 | -0.2081 | -0.2142 | -0.2097 | 0.0 | 0.0 |
| 003 | SLU STR | No | -0.1819 | -0.1906 | -0.2146 | -0.1985 | 0.1 | 0.1 |
| 004 | SLU STR | No | -0.2344 | -0.2431 | -0.2671 | -0.2510 | 0.1 | 0.1 |
| 005 | SLU STR | No | -0.1136 | -0.1155 | -0.1198 | -0.1166 | 0.0 | 0.0 |
| 006 | SLU STR | No | -0.1661 | -0.1680 | -0.1723 | -0.1691 | 0.0 | 0.0 |
| 007 | SLU STR | No | -0.1425 | -0.1504 | -0.1727 | -0.1579 | 0.1 | 0.1 |
| 008 | SLU STR | No | -0.1950 | -0.2029 | -0.2252 | -0.2104 | 0.1 | 0.1 |
| 009 | SLU STR | No | -0.2280 | -0.2306 | -0.2367 | -0.2322 | 0.0 | 0.0 |
| 010 | SLU STR | No | -0.1733 | -0.1801 | -0.1987 | -0.1861 | 0.1 | 0.1 |

| | | | | | | | | |
|--------------------------------------|----------|----------------------------------------------------------------------------------------------------------------------|----------------------------------------------------------------------------------|---------|---------|-------------|-------|-------|
| COMMITTENTE: Mecca Antonio | | CODICE COMMESSA: | NOME ELABORATO: S1.5 - Relazione Geotecnica e delle Fondazioni | | | CONSULENTE: | | |
| DATA: Aprile 2023 | | TITOLO: Lavori ultimazione di un fabbricato adibito ad albergo-ristorante– C.da Case Nuove Chicone Avigliano (PZ) | | | | | | |
| 011 | SLU STR | No | -0.2483 | -0.2551 | -0.2737 | -0.2611 | 0.1 | 0.1 |
| 012 | SLU STR | No | -0.1886 | -0.1905 | -0.1948 | -0.1916 | 0.0 | 0.0 |
| 013 | SLU STR | No | -0.1338 | -0.1400 | -0.1569 | -0.1455 | 0.0 | 0.1 |
| 014 | SLU STR | No | -0.2088 | -0.2150 | -0.2319 | -0.2205 | 0.0 | 0.1 |
| 015 | SLE rare | No | -0.1159 | -0.1179 | -0.1224 | -0.1191 | 0.0 | 0.0 |
| 016 | SLE rare | No | -0.1509 | -0.1529 | -0.1574 | -0.1541 | 0.0 | 0.0 |
| 017 | SLE rare | No | -0.1352 | -0.1412 | -0.1577 | -0.1466 | 0.0 | 0.1 |
| 018 | SLE rare | No | -0.1702 | -0.1762 | -0.1927 | -0.1816 | 0.0 | 0.1 |
| 019 | SLE rare | No | -0.1659 | -0.1679 | -0.1724 | -0.1691 | 0.0 | 0.0 |
| 020 | SLE rare | No | -0.1294 | -0.1342 | -0.1471 | -0.1383 | 0.0 | 0.0 |
| 021 | SLE rare | No | -0.1794 | -0.1842 | -0.1971 | -0.1883 | 0.0 | 0.0 |
| 022 | SLE freq | No | -0.1159 | -0.1179 | -0.1224 | -0.1191 | 0.0 | 0.0 |
| 023 | SLE freq | No | -0.1459 | -0.1479 | -0.1524 | -0.1491 | 0.0 | 0.0 |
| 024 | SLE freq | No | -0.1294 | -0.1342 | -0.1471 | -0.1383 | 0.0 | 0.0 |
| 025 | SLE freq | No | -0.1594 | -0.1642 | -0.1771 | -0.1683 | 0.0 | 0.0 |
| 026 | SLE freq | No | -0.1509 | -0.1529 | -0.1574 | -0.1541 | 0.0 | 0.0 |
| 027 | SLE freq | No | -0.1275 | -0.1319 | -0.1436 | -0.1356 | 0.0 | 0.0 |
| 028 | SLE freq | No | -0.1625 | -0.1669 | -0.1786 | -0.1706 | 0.0 | 0.0 |
| 029 | SLE q.p. | No | -0.1159 | -0.1179 | -0.1224 | -0.1191 | 0.0 | 0.0 |
| 030 | SLE q.p. | No | -0.1459 | -0.1479 | -0.1524 | -0.1491 | 0.0 | 0.0 |
| 031 | SLE q.p. | No | -0.1275 | -0.1319 | -0.1436 | -0.1356 | 0.0 | 0.0 |
| 032 | SLE q.p. | No | -0.1575 | -0.1619 | -0.1736 | -0.1656 | 0.0 | 0.0 |
| 033 | SLV A1 | Si | -0.1518 | -0.1591 | -0.1824 | -0.1640 | 21.7 | 4.8 |
| 034 | SLV A1 | Si | -0.1818 | -0.1825 | -0.1873 | -0.1800 | 15.9 | -15.8 |
| 035 | SLV A1 | Si | -0.1331 | -0.1412 | -0.1599 | -0.1511 | -15.8 | 15.9 |
| 036 | SLV A1 | Si | -0.1632 | -0.1646 | -0.1647 | -0.1672 | -21.6 | -4.7 |
| 037 | SLV A1 | Si | -0.1517 | -0.1591 | -0.1824 | -0.1640 | 17.3 | 4.4 |
| 038 | SLV A1 | Si | -0.1819 | -0.1826 | -0.1872 | -0.1800 | 20.3 | -15.5 |
| 039 | SLV A1 | Si | -0.1331 | -0.1412 | -0.1599 | -0.1511 | -20.2 | 15.6 |
| 040 | SLV A1 | Si | -0.1632 | -0.1646 | -0.1647 | -0.1672 | -17.2 | -4.3 |
| 041 | SLV A1 | Si | -0.1572 | -0.1615 | -0.1820 | -0.1655 | 21.4 | 1.2 |
| 042 | SLV A1 | Si | -0.1873 | -0.1849 | -0.1869 | -0.1815 | 15.6 | -19.4 |
| 043 | SLV A1 | Si | -0.1277 | -0.1388 | -0.1602 | -0.1496 | -15.5 | 19.5 |
| 044 | SLV A1 | Si | -0.1577 | -0.1622 | -0.1651 | -0.1657 | -21.4 | -1.1 |
| 045 | SLV A1 | Si | -0.1572 | -0.1615 | -0.1821 | -0.1655 | 17.0 | 0.8 |
| 046 | SLV A1 | Si | -0.1873 | -0.1850 | -0.1869 | -0.1815 | 20.0 | -19.1 |
| 047 | SLV A1 | Si | -0.1276 | -0.1387 | -0.1602 | -0.1496 | -19.9 | 19.2 |
| 048 | SLV A1 | Si | -0.1578 | -0.1622 | -0.1650 | -0.1657 | -16.9 | -0.7 |
| 049 | SLV A1 | Si | -0.1102 | -0.1255 | -0.1688 | -0.1407 | 15.4 | 32.6 |
| 050 | SLV A1 | Si | -0.2103 | -0.2036 | -0.1851 | -0.1942 | -4.0 | -35.9 |
| 051 | SLV A1 | Si | -0.1046 | -0.1201 | -0.1621 | -0.1369 | 4.1 | 36.0 |
| 052 | SLV A1 | Si | -0.2047 | -0.1982 | -0.1783 | -0.1904 | -15.3 | -32.5 |
| 053 | SLV A1 | Si | -0.1119 | -0.1262 | -0.1687 | -0.1412 | 15.3 | 31.6 |
| 054 | SLV A1 | Si | -0.2120 | -0.2043 | -0.1850 | -0.1947 | -4.1 | -37.0 |
| 055 | SLV A1 | Si | -0.1030 | -0.1194 | -0.1622 | -0.1364 | 4.2 | 37.0 |
| 056 | SLV A1 | Si | -0.2031 | -0.1975 | -0.1784 | -0.1899 | -15.2 | -31.5 |
| 057 | SLV A1 | Si | -0.1100 | -0.1254 | -0.1689 | -0.1407 | 0.7 | 31.5 |
| 058 | SLV A1 | Si | -0.2106 | -0.2037 | -0.1850 | -0.1943 | 10.7 | -34.8 |
| 059 | SLV A1 | Si | -0.1044 | -0.1200 | -0.1622 | -0.1369 | -10.6 | 34.9 |
| 060 | SLV A1 | Si | -0.2050 | -0.1983 | -0.1782 | -0.1904 | -0.6 | -31.4 |
| 061 | SLV A1 | Si | -0.1116 | -0.1261 | -0.1688 | -0.1412 | 0.6 | 30.5 |
| 062 | SLV A1 | Si | -0.2122 | -0.2044 | -0.1849 | -0.1947 | 10.6 | -35.9 |
| 063 | SLV A1 | Si | -0.1028 | -0.1193 | -0.1623 | -0.1364 | -10.5 | 36.0 |
| 064 | SLV A1 | Si | -0.2033 | -0.1976 | -0.1783 | -0.1900 | -0.5 | -30.4 |
| 065 | SLD | Si | -0.1549 | -0.1606 | -0.1775 | -0.1648 | 9.8 | 2.2 |
| 066 | SLD | Si | -0.1686 | -0.1713 | -0.1798 | -0.1721 | 7.2 | -7.2 |
| 067 | SLD | Si | -0.1464 | -0.1525 | -0.1674 | -0.1590 | -7.1 | 7.3 |
| 068 | SLD | Si | -0.1601 | -0.1631 | -0.1696 | -0.1663 | -9.8 | -2.1 |
| 069 | SLD | Si | -0.1548 | -0.1606 | -0.1776 | -0.1648 | 7.8 | 2.0 |
| 070 | SLD | Si | -0.1686 | -0.1713 | -0.1797 | -0.1721 | 9.2 | -7.0 |
| 071 | SLD | Si | -0.1464 | -0.1524 | -0.1674 | -0.1590 | -9.1 | 7.1 |
| 072 | SLD | Si | -0.1601 | -0.1632 | -0.1696 | -0.1663 | -7.8 | -2.0 |
| 073 | SLD | Si | -0.1574 | -0.1617 | -0.1774 | -0.1655 | 9.7 | 0.6 |
| 074 | SLD | Si | -0.1711 | -0.1724 | -0.1796 | -0.1728 | 7.1 | -8.8 |
| 075 | SLD | Si | -0.1439 | -0.1513 | -0.1675 | -0.1583 | -7.0 | 8.9 |
| 076 | SLD | Si | -0.1576 | -0.1620 | -0.1697 | -0.1656 | -9.6 | -0.5 |
| 077 | SLD | Si | -0.1573 | -0.1617 | -0.1774 | -0.1655 | 7.7 | 0.4 |
| 078 | SLD | Si | -0.1711 | -0.1724 | -0.1796 | -0.1728 | 9.1 | -8.7 |
| 079 | SLD | Si | -0.1439 | -0.1513 | -0.1675 | -0.1583 | -9.0 | 8.8 |
| 080 | SLD | Si | -0.1576 | -0.1620 | -0.1697 | -0.1656 | -7.6 | -0.3 |
| 081 | SLD | Si | -0.1359 | -0.1452 | -0.1714 | -0.1542 | 7.0 | 14.9 |
| 082 | SLD | Si | -0.1816 | -0.1809 | -0.1788 | -0.1786 | -1.8 | -16.4 |

Relazione Geotecnica e delle Fondazioni

| | | | | | | | | |
|-----|-----|----|---------|---------|---------|---------|------|-------|
| 083 | SLD | Si | -0.1334 | -0.1428 | -0.1683 | -0.1525 | 1.9 | 16.4 |
| 084 | SLD | Si | -0.1791 | -0.1785 | -0.1757 | -0.1769 | -6.9 | -14.8 |
| 085 | SLD | Si | -0.1367 | -0.1456 | -0.1713 | -0.1544 | 6.9 | 14.4 |
| 086 | SLD | Si | -0.1823 | -0.1812 | -0.1787 | -0.1789 | -1.8 | -16.9 |
| 087 | SLD | Si | -0.1326 | -0.1425 | -0.1684 | -0.1523 | 1.9 | 16.9 |
| 088 | SLD | Si | -0.1783 | -0.1781 | -0.1758 | -0.1767 | -6.9 | -14.3 |
| 089 | SLD | Si | -0.1358 | -0.1452 | -0.1714 | -0.1542 | 0.3 | 14.4 |
| 090 | SLD | Si | -0.1817 | -0.1809 | -0.1787 | -0.1787 | 4.8 | -15.8 |
| 091 | SLD | Si | -0.1333 | -0.1428 | -0.1684 | -0.1525 | -4.8 | 15.9 |
| 092 | SLD | Si | -0.1792 | -0.1785 | -0.1757 | -0.1769 | -0.3 | -14.3 |
| 093 | SLD | Si | -0.1366 | -0.1456 | -0.1714 | -0.1544 | 0.3 | 13.9 |
| 094 | SLD | Si | -0.1824 | -0.1813 | -0.1787 | -0.1789 | 4.8 | -16.3 |
| 095 | SLD | Si | -0.1325 | -0.1425 | -0.1684 | -0.1523 | -4.7 | 16.4 |
| 096 | SLD | Si | -0.1784 | -0.1782 | -0.1757 | -0.1767 | -0.2 | -13.8 |
| 097 | SLO | Si | -0.1555 | -0.1609 | -0.1767 | -0.1650 | 7.8 | 1.7 |
| 098 | SLO | Si | -0.1662 | -0.1693 | -0.1785 | -0.1707 | 5.7 | -5.6 |
| 099 | SLO | Si | -0.1488 | -0.1544 | -0.1686 | -0.1604 | -5.7 | 5.7 |
| 100 | SLO | Si | -0.1595 | -0.1628 | -0.1704 | -0.1661 | -7.7 | -1.6 |
| 101 | SLO | Si | -0.1554 | -0.1608 | -0.1767 | -0.1650 | 6.2 | 1.6 |
| 102 | SLO | Si | -0.1663 | -0.1693 | -0.1785 | -0.1708 | 7.3 | -5.6 |
| 103 | SLO | Si | -0.1487 | -0.1544 | -0.1687 | -0.1603 | -7.2 | 5.7 |
| 104 | SLO | Si | -0.1596 | -0.1629 | -0.1704 | -0.1662 | -6.2 | -1.6 |
| 105 | SLO | Si | -0.1574 | -0.1617 | -0.1766 | -0.1655 | 7.7 | 0.4 |
| 106 | SLO | Si | -0.1682 | -0.1701 | -0.1784 | -0.1713 | 5.6 | -6.9 |
| 107 | SLO | Si | -0.1468 | -0.1536 | -0.1688 | -0.1598 | -5.6 | 7.0 |
| 108 | SLO | Si | -0.1576 | -0.1620 | -0.1705 | -0.1656 | -7.6 | -0.3 |
| 109 | SLO | Si | -0.1573 | -0.1617 | -0.1766 | -0.1655 | 6.1 | 0.4 |
| 110 | SLO | Si | -0.1683 | -0.1702 | -0.1784 | -0.1713 | 7.2 | -6.9 |
| 111 | SLO | Si | -0.1467 | -0.1535 | -0.1688 | -0.1598 | -7.1 | 6.9 |
| 112 | SLO | Si | -0.1576 | -0.1620 | -0.1705 | -0.1656 | -6.1 | -0.3 |
| 113 | SLO | Si | -0.1406 | -0.1488 | -0.1719 | -0.1567 | 5.5 | 11.7 |
| 114 | SLO | Si | -0.1764 | -0.1768 | -0.1777 | -0.1758 | -1.4 | -12.8 |
| 115 | SLO | Si | -0.1386 | -0.1469 | -0.1694 | -0.1553 | 1.5 | 12.9 |
| 116 | SLO | Si | -0.1744 | -0.1749 | -0.1753 | -0.1745 | -5.5 | -11.6 |
| 117 | SLO | Si | -0.1412 | -0.1491 | -0.1718 | -0.1568 | 5.5 | 11.3 |
| 118 | SLO | Si | -0.1770 | -0.1771 | -0.1776 | -0.1760 | -1.5 | -13.2 |
| 119 | SLO | Si | -0.1380 | -0.1466 | -0.1695 | -0.1551 | 1.5 | 13.3 |
| 120 | SLO | Si | -0.1738 | -0.1746 | -0.1753 | -0.1743 | -5.4 | -11.2 |
| 121 | SLO | Si | -0.1403 | -0.1486 | -0.1719 | -0.1566 | 0.3 | 11.5 |
| 122 | SLO | Si | -0.1767 | -0.1770 | -0.1777 | -0.1760 | 3.8 | -12.6 |
| 123 | SLO | Si | -0.1383 | -0.1467 | -0.1694 | -0.1552 | -3.8 | 12.7 |
| 124 | SLO | Si | -0.1747 | -0.1751 | -0.1752 | -0.1746 | -0.2 | -11.4 |
| 125 | SLO | Si | -0.1409 | -0.1489 | -0.1718 | -0.1567 | 0.2 | 11.1 |
| 126 | SLO | Si | -0.1773 | -0.1773 | -0.1776 | -0.1761 | 3.8 | -13.0 |
| 127 | SLO | Si | -0.1377 | -0.1465 | -0.1695 | -0.1550 | -3.7 | 13.0 |
| 128 | SLO | Si | -0.1741 | -0.1748 | -0.1753 | -0.1744 | -0.2 | -11.0 |

Elemento: Platea n. 60

| Cmb | Tipo | Sism. | Press. N1 | Press. N2 | Press. N3 | Press. N4 | S. Taglio X | S. Taglio Y |
|-----|----------|-------|---------------------|---------------------|---------------------|---------------------|-------------|-------------|
| n. | | | daN/cm ² | daN/cm ² | daN/cm ² | daN/cm ² | daN | daN |
| 001 | SLU STR | No | -0.1529 | -0.1534 | -0.1587 | -0.1583 | 0.0 | 0.0 |
| 002 | SLU STR | No | -0.2054 | -0.2059 | -0.2112 | -0.2108 | 0.0 | 0.0 |
| 003 | SLU STR | No | -0.1777 | -0.1774 | -0.1974 | -0.1988 | 0.0 | 0.0 |
| 004 | SLU STR | No | -0.2302 | -0.2299 | -0.2499 | -0.2513 | 0.0 | 0.0 |
| 005 | SLU STR | No | -0.1136 | -0.1140 | -0.1178 | -0.1174 | 0.0 | 0.0 |
| 006 | SLU STR | No | -0.1661 | -0.1665 | -0.1703 | -0.1699 | 0.0 | 0.0 |
| 007 | SLU STR | No | -0.1384 | -0.1380 | -0.1565 | -0.1579 | 0.0 | 0.0 |
| 008 | SLU STR | No | -0.1909 | -0.1905 | -0.2090 | -0.2104 | 0.0 | 0.0 |
| 009 | SLU STR | No | -0.2279 | -0.2284 | -0.2337 | -0.2333 | 0.0 | 0.0 |
| 010 | SLU STR | No | -0.1702 | -0.1702 | -0.1858 | -0.1866 | 0.0 | 0.0 |
| 011 | SLU STR | No | -0.2452 | -0.2452 | -0.2608 | -0.2616 | 0.0 | 0.0 |
| 012 | SLU STR | No | -0.1886 | -0.1890 | -0.1928 | -0.1924 | 0.0 | 0.0 |
| 013 | SLU STR | No | -0.1309 | -0.1308 | -0.1449 | -0.1458 | 0.0 | 0.0 |
| 014 | SLU STR | No | -0.2059 | -0.2058 | -0.2199 | -0.2208 | 0.0 | 0.0 |
| 015 | SLE rare | No | -0.1158 | -0.1162 | -0.1202 | -0.1199 | 0.0 | 0.0 |
| 016 | SLE rare | No | -0.1508 | -0.1512 | -0.1552 | -0.1549 | 0.0 | 0.0 |
| 017 | SLE rare | No | -0.1324 | -0.1322 | -0.1460 | -0.1469 | 0.0 | 0.0 |
| 018 | SLE rare | No | -0.1674 | -0.1672 | -0.1810 | -0.1819 | 0.0 | 0.0 |
| 019 | SLE rare | No | -0.1658 | -0.1662 | -0.1702 | -0.1699 | 0.0 | 0.0 |
| 020 | SLE rare | No | -0.1274 | -0.1274 | -0.1383 | -0.1388 | 0.0 | 0.0 |
| 021 | SLE rare | No | -0.1774 | -0.1774 | -0.1883 | -0.1888 | 0.0 | 0.0 |
| 022 | SLE freq | No | -0.1158 | -0.1162 | -0.1202 | -0.1199 | 0.0 | 0.0 |
| 023 | SLE freq | No | -0.1458 | -0.1462 | -0.1502 | -0.1499 | 0.0 | 0.0 |

| COMMITTENTE: Mecca Antonio | | CODICE COMMESSA: | NOME ELABORATO: S1.5 - Relazione Geotecnica e delle Fondazioni | | CONSULENTE: | | | |
|-------------------------------|----------|----------------------------------------------------------------------------------------------------------------------|-------------------------------------------------------------------------|---------|-------------|---------|-------|-------|
| DATA: Aprile 2023 | | TITOLO: Lavori ultimazione di un fabbricato adibito ad albergo-ristorante– C.da Case Nuove Chicone Avigliano (PZ) | | | | | | |
| 024 | SLE freq | No | -0.1274 | -0.1274 | -0.1383 | -0.1388 | 0.0 | 0.0 |
| 025 | SLE freq | No | -0.1574 | -0.1574 | -0.1683 | -0.1688 | 0.0 | 0.0 |
| 026 | SLE freq | No | -0.1508 | -0.1512 | -0.1552 | -0.1549 | 0.0 | 0.0 |
| 027 | SLE freq | No | -0.1258 | -0.1258 | -0.1357 | -0.1361 | 0.0 | 0.0 |
| 028 | SLE freq | No | -0.1608 | -0.1608 | -0.1707 | -0.1711 | 0.0 | 0.0 |
| 029 | SLE q.p. | No | -0.1158 | -0.1162 | -0.1202 | -0.1199 | 0.0 | 0.0 |
| 030 | SLE q.p. | No | -0.1458 | -0.1462 | -0.1502 | -0.1499 | 0.0 | 0.0 |
| 031 | SLE q.p. | No | -0.1258 | -0.1258 | -0.1357 | -0.1361 | 0.0 | 0.0 |
| 032 | SLE q.p. | No | -0.1558 | -0.1558 | -0.1657 | -0.1661 | 0.0 | 0.0 |
| 033 | SLV A1 | Si | -0.1506 | -0.1523 | -0.1716 | -0.1693 | 22.3 | 4.3 |
| 034 | SLV A1 | Si | -0.1847 | -0.1866 | -0.1906 | -0.1869 | 15.7 | -22.0 |
| 035 | SLV A1 | Si | -0.1268 | -0.1251 | -0.1408 | -0.1452 | -15.7 | 22.0 |
| 036 | SLV A1 | Si | -0.1609 | -0.1594 | -0.1598 | -0.1628 | -22.3 | -4.3 |
| 037 | SLV A1 | Si | -0.1506 | -0.1523 | -0.1716 | -0.1693 | 15.7 | 3.7 |
| 038 | SLV A1 | Si | -0.1848 | -0.1866 | -0.1905 | -0.1869 | 22.3 | -21.4 |
| 039 | SLV A1 | Si | -0.1268 | -0.1251 | -0.1408 | -0.1452 | -22.3 | 21.3 |
| 040 | SLV A1 | Si | -0.1609 | -0.1594 | -0.1598 | -0.1628 | -15.7 | -3.7 |
| 041 | SLV A1 | Si | -0.1549 | -0.1555 | -0.1712 | -0.1693 | 21.7 | 0.5 |
| 042 | SLV A1 | Si | -0.1890 | -0.1897 | -0.1902 | -0.1869 | 15.1 | -25.8 |
| 043 | SLV A1 | Si | -0.1225 | -0.1219 | -0.1412 | -0.1452 | -15.1 | 25.8 |
| 044 | SLV A1 | Si | -0.1566 | -0.1562 | -0.1602 | -0.1629 | -21.7 | -0.6 |
| 045 | SLV A1 | Si | -0.1549 | -0.1554 | -0.1712 | -0.1693 | 15.1 | -0.1 |
| 046 | SLV A1 | Si | -0.1891 | -0.1898 | -0.1901 | -0.1868 | 21.7 | -25.1 |
| 047 | SLV A1 | Si | -0.1224 | -0.1219 | -0.1412 | -0.1453 | -21.7 | 25.1 |
| 048 | SLV A1 | Si | -0.1566 | -0.1562 | -0.1602 | -0.1628 | -15.1 | 0.1 |
| 049 | SLV A1 | Si | -0.1025 | -0.1028 | -0.1386 | -0.1403 | 16.7 | 41.2 |
| 050 | SLV A1 | Si | -0.2161 | -0.2170 | -0.2020 | -0.1990 | -5.3 | -46.6 |
| 051 | SLV A1 | Si | -0.0954 | -0.0946 | -0.1294 | -0.1331 | 5.3 | 46.5 |
| 052 | SLV A1 | Si | -0.2090 | -0.2089 | -0.1928 | -0.1918 | -16.7 | -41.3 |
| 053 | SLV A1 | Si | -0.1038 | -0.1037 | -0.1385 | -0.1403 | 16.5 | 40.1 |
| 054 | SLV A1 | Si | -0.2174 | -0.2180 | -0.2019 | -0.1990 | -5.5 | -47.7 |
| 055 | SLV A1 | Si | -0.0941 | -0.0937 | -0.1295 | -0.1331 | 5.5 | 47.7 |
| 056 | SLV A1 | Si | -0.2077 | -0.2079 | -0.1929 | -0.1918 | -16.5 | -40.1 |
| 057 | SLV A1 | Si | -0.1024 | -0.1027 | -0.1388 | -0.1404 | -5.3 | 39.1 |
| 058 | SLV A1 | Si | -0.2163 | -0.2171 | -0.2019 | -0.1989 | 16.7 | -44.4 |
| 059 | SLV A1 | Si | -0.0952 | -0.0945 | -0.1295 | -0.1332 | -16.7 | 44.4 |
| 060 | SLV A1 | Si | -0.2092 | -0.2090 | -0.1926 | -0.1917 | 5.3 | -39.1 |
| 061 | SLV A1 | Si | -0.1037 | -0.1037 | -0.1386 | -0.1404 | -5.4 | 37.9 |
| 062 | SLV A1 | Si | -0.2176 | -0.2181 | -0.2017 | -0.1989 | 16.5 | -45.5 |
| 063 | SLV A1 | Si | -0.0939 | -0.0936 | -0.1296 | -0.1332 | -16.5 | 45.5 |
| 064 | SLV A1 | Si | -0.2079 | -0.2080 | -0.1928 | -0.1917 | 5.4 | -37.9 |
| 065 | SLD | Si | -0.1534 | -0.1542 | -0.1683 | -0.1675 | 10.1 | 2.0 |
| 066 | SLD | Si | -0.1689 | -0.1698 | -0.1770 | -0.1755 | 7.1 | -10.0 |
| 067 | SLD | Si | -0.1426 | -0.1418 | -0.1544 | -0.1566 | -7.1 | 10.0 |
| 068 | SLD | Si | -0.1581 | -0.1575 | -0.1631 | -0.1646 | -10.1 | -2.0 |
| 069 | SLD | Si | -0.1534 | -0.1542 | -0.1683 | -0.1675 | 7.1 | 1.7 |
| 070 | SLD | Si | -0.1690 | -0.1698 | -0.1770 | -0.1755 | 10.0 | -9.7 |
| 071 | SLD | Si | -0.1426 | -0.1418 | -0.1544 | -0.1566 | -10.0 | 9.7 |
| 072 | SLD | Si | -0.1582 | -0.1575 | -0.1630 | -0.1646 | -7.1 | -1.7 |
| 073 | SLD | Si | -0.1554 | -0.1556 | -0.1681 | -0.1675 | 9.8 | 0.3 |
| 074 | SLD | Si | -0.1709 | -0.1713 | -0.1768 | -0.1755 | 6.8 | -11.8 |
| 075 | SLD | Si | -0.1406 | -0.1404 | -0.1546 | -0.1566 | -6.8 | 11.8 |
| 076 | SLD | Si | -0.1562 | -0.1560 | -0.1632 | -0.1646 | -9.8 | -0.3 |
| 077 | SLD | Si | -0.1553 | -0.1556 | -0.1682 | -0.1675 | 6.8 | 0.0 |
| 078 | SLD | Si | -0.1709 | -0.1713 | -0.1768 | -0.1755 | 9.8 | -11.5 |
| 079 | SLD | Si | -0.1406 | -0.1404 | -0.1546 | -0.1566 | -9.8 | 11.5 |
| 080 | SLD | Si | -0.1562 | -0.1560 | -0.1632 | -0.1646 | -6.8 | 0.0 |
| 081 | SLD | Si | -0.1315 | -0.1316 | -0.1533 | -0.1543 | 7.5 | 18.8 |
| 082 | SLD | Si | -0.1833 | -0.1837 | -0.1823 | -0.1811 | -2.4 | -21.3 |
| 083 | SLD | Si | -0.1282 | -0.1279 | -0.1491 | -0.1510 | 2.4 | 21.2 |
| 084 | SLD | Si | -0.1801 | -0.1801 | -0.1781 | -0.1778 | -7.5 | -18.9 |
| 085 | SLD | Si | -0.1321 | -0.1320 | -0.1533 | -0.1543 | 7.5 | 18.3 |
| 086 | SLD | Si | -0.1839 | -0.1842 | -0.1822 | -0.1811 | -2.5 | -21.8 |
| 087 | SLD | Si | -0.1276 | -0.1275 | -0.1492 | -0.1510 | 2.5 | 21.8 |
| 088 | SLD | Si | -0.1795 | -0.1796 | -0.1781 | -0.1778 | -7.5 | -18.3 |
| 089 | SLD | Si | -0.1314 | -0.1316 | -0.1534 | -0.1543 | -2.4 | 17.8 |
| 090 | SLD | Si | -0.1834 | -0.1838 | -0.1822 | -0.1810 | 7.5 | -20.2 |
| 091 | SLD | Si | -0.1282 | -0.1279 | -0.1492 | -0.1511 | -7.5 | 20.2 |
| 092 | SLD | Si | -0.1801 | -0.1801 | -0.1780 | -0.1778 | 2.4 | -17.8 |
| 093 | SLD | Si | -0.1320 | -0.1320 | -0.1533 | -0.1543 | -2.4 | 17.3 |
| 094 | SLD | Si | -0.1840 | -0.1842 | -0.1821 | -0.1810 | 7.4 | -20.8 |
| 095 | SLD | Si | -0.1276 | -0.1274 | -0.1493 | -0.1511 | -7.4 | 20.8 |

Relazione Geotecnica e delle Fondazioni

| | | | | | | | | |
|-----|-----|----|---------|---------|---------|---------|------|-------|
| 096 | SLD | Si | -0.1795 | -0.1796 | -0.1780 | -0.1778 | 2.4 | -17.3 |
| 097 | SLO | Si | -0.1539 | -0.1546 | -0.1678 | -0.1672 | 8.0 | 1.5 |
| 098 | SLO | Si | -0.1661 | -0.1668 | -0.1746 | -0.1735 | 5.6 | -7.9 |
| 099 | SLO | Si | -0.1454 | -0.1448 | -0.1568 | -0.1586 | -5.6 | 7.9 |
| 100 | SLO | Si | -0.1576 | -0.1571 | -0.1636 | -0.1649 | -8.0 | -1.5 |
| 101 | SLO | Si | -0.1538 | -0.1545 | -0.1678 | -0.1672 | 5.6 | 1.3 |
| 102 | SLO | Si | -0.1662 | -0.1669 | -0.1746 | -0.1736 | 8.0 | -7.7 |
| 103 | SLO | Si | -0.1453 | -0.1447 | -0.1567 | -0.1585 | -8.0 | 7.7 |
| 104 | SLO | Si | -0.1577 | -0.1572 | -0.1636 | -0.1649 | -5.6 | -1.4 |
| 105 | SLO | Si | -0.1555 | -0.1557 | -0.1677 | -0.1672 | 7.8 | 0.2 |
| 106 | SLO | Si | -0.1677 | -0.1680 | -0.1745 | -0.1735 | 5.4 | -9.3 |
| 107 | SLO | Si | -0.1438 | -0.1437 | -0.1569 | -0.1586 | -5.4 | 9.3 |
| 108 | SLO | Si | -0.1560 | -0.1559 | -0.1637 | -0.1649 | -7.8 | -0.2 |
| 109 | SLO | Si | -0.1554 | -0.1556 | -0.1676 | -0.1672 | 5.4 | 0.0 |
| 110 | SLO | Si | -0.1678 | -0.1681 | -0.1745 | -0.1735 | 7.8 | -9.1 |
| 111 | SLO | Si | -0.1437 | -0.1436 | -0.1569 | -0.1586 | -7.8 | 9.1 |
| 112 | SLO | Si | -0.1561 | -0.1560 | -0.1637 | -0.1649 | -5.4 | 0.0 |
| 113 | SLO | Si | -0.1367 | -0.1368 | -0.1560 | -0.1568 | 6.0 | 14.8 |
| 114 | SLO | Si | -0.1774 | -0.1777 | -0.1787 | -0.1779 | -1.9 | -16.7 |
| 115 | SLO | Si | -0.1341 | -0.1339 | -0.1527 | -0.1542 | 1.9 | 16.7 |
| 116 | SLO | Si | -0.1748 | -0.1748 | -0.1754 | -0.1753 | -6.0 | -14.8 |
| 117 | SLO | Si | -0.1372 | -0.1372 | -0.1559 | -0.1568 | 5.9 | 14.4 |
| 118 | SLO | Si | -0.1778 | -0.1781 | -0.1787 | -0.1779 | -2.0 | -17.1 |
| 119 | SLO | Si | -0.1337 | -0.1336 | -0.1527 | -0.1542 | 2.0 | 17.1 |
| 120 | SLO | Si | -0.1744 | -0.1745 | -0.1754 | -0.1753 | -5.9 | -14.4 |
| 121 | SLO | Si | -0.1364 | -0.1366 | -0.1559 | -0.1568 | -1.9 | 14.2 |
| 122 | SLO | Si | -0.1777 | -0.1780 | -0.1788 | -0.1780 | 6.0 | -16.1 |
| 123 | SLO | Si | -0.1338 | -0.1336 | -0.1526 | -0.1542 | -6.0 | 16.1 |
| 124 | SLO | Si | -0.1751 | -0.1751 | -0.1755 | -0.1754 | 1.9 | -14.2 |
| 125 | SLO | Si | -0.1369 | -0.1369 | -0.1559 | -0.1567 | -1.9 | 13.8 |
| 126 | SLO | Si | -0.1781 | -0.1784 | -0.1787 | -0.1779 | 5.9 | -16.5 |
| 127 | SLO | Si | -0.1334 | -0.1333 | -0.1527 | -0.1542 | -5.9 | 16.5 |
| 128 | SLO | Si | -0.1746 | -0.1747 | -0.1755 | -0.1754 | 1.9 | -13.8 |

Elemento: Platea n. 61

| Cmb n. | Tipo | Sism. | Press. N1 daN/cm ² | Press. N2 daN/cm ² | Press. N3 daN/cm ² | Press. N4 daN/cm ² | S. Taglio X daN | S. Taglio Y daN |
|--------|----------|-------|----------------------------------|----------------------------------|----------------------------------|----------------------------------|--------------------|--------------------|
| 001 | SLU STR | No | -0.1545 | -0.1550 | -0.1597 | -0.1590 | 0.0 | 0.0 |
| 002 | SLU STR | No | -0.2070 | -0.2075 | -0.2122 | -0.2115 | 0.0 | 0.0 |
| 003 | SLU STR | No | -0.1744 | -0.1727 | -0.1910 | -0.1918 | 0.0 | -0.2 |
| 004 | SLU STR | No | -0.2269 | -0.2252 | -0.2435 | -0.2443 | 0.0 | -0.2 |
| 005 | SLU STR | No | -0.1149 | -0.1153 | -0.1187 | -0.1182 | 0.0 | 0.0 |
| 006 | SLU STR | No | -0.1674 | -0.1678 | -0.1712 | -0.1707 | 0.0 | 0.0 |
| 007 | SLU STR | No | -0.1348 | -0.1331 | -0.1500 | -0.1509 | 0.0 | -0.2 |
| 008 | SLU STR | No | -0.1873 | -0.1856 | -0.2025 | -0.2034 | 0.0 | -0.2 |
| 009 | SLU STR | No | -0.2295 | -0.2300 | -0.2347 | -0.2340 | 0.0 | 0.0 |
| 010 | SLU STR | No | -0.1684 | -0.1674 | -0.1816 | -0.1820 | 0.0 | -0.1 |
| 011 | SLU STR | No | -0.2434 | -0.2424 | -0.2566 | -0.2570 | 0.0 | -0.1 |
| 012 | SLU STR | No | -0.1899 | -0.1903 | -0.1937 | -0.1932 | 0.0 | 0.0 |
| 013 | SLU STR | No | -0.1289 | -0.1277 | -0.1406 | -0.1411 | 0.0 | -0.1 |
| 014 | SLU STR | No | -0.2039 | -0.2027 | -0.2156 | -0.2161 | 0.0 | -0.1 |
| 015 | SLE rare | No | -0.1171 | -0.1175 | -0.1211 | -0.1205 | 0.0 | 0.0 |
| 016 | SLE rare | No | -0.1521 | -0.1525 | -0.1561 | -0.1555 | 0.0 | 0.0 |
| 017 | SLE rare | No | -0.1304 | -0.1293 | -0.1419 | -0.1424 | 0.0 | -0.1 |
| 018 | SLE rare | No | -0.1654 | -0.1643 | -0.1769 | -0.1774 | 0.0 | -0.1 |
| 019 | SLE rare | No | -0.1671 | -0.1675 | -0.1711 | -0.1705 | 0.0 | 0.0 |
| 020 | SLE rare | No | -0.1264 | -0.1258 | -0.1357 | -0.1358 | 0.0 | -0.1 |
| 021 | SLE rare | No | -0.1764 | -0.1758 | -0.1857 | -0.1858 | 0.0 | -0.1 |
| 022 | SLE freq | No | -0.1171 | -0.1175 | -0.1211 | -0.1205 | 0.0 | 0.0 |
| 023 | SLE freq | No | -0.1471 | -0.1475 | -0.1511 | -0.1505 | 0.0 | 0.0 |
| 024 | SLE freq | No | -0.1264 | -0.1258 | -0.1357 | -0.1358 | 0.0 | -0.1 |
| 025 | SLE freq | No | -0.1564 | -0.1558 | -0.1657 | -0.1658 | 0.0 | -0.1 |
| 026 | SLE freq | No | -0.1521 | -0.1525 | -0.1561 | -0.1555 | 0.0 | 0.0 |
| 027 | SLE freq | No | -0.1251 | -0.1246 | -0.1336 | -0.1336 | 0.0 | -0.1 |
| 028 | SLE freq | No | -0.1601 | -0.1596 | -0.1686 | -0.1686 | 0.0 | -0.1 |
| 029 | SLE q.p. | No | -0.1171 | -0.1175 | -0.1211 | -0.1205 | 0.0 | 0.0 |
| 030 | SLE q.p. | No | -0.1471 | -0.1475 | -0.1511 | -0.1505 | 0.0 | 0.0 |
| 031 | SLE q.p. | No | -0.1251 | -0.1246 | -0.1336 | -0.1336 | 0.0 | -0.1 |
| 032 | SLE q.p. | No | -0.1551 | -0.1546 | -0.1636 | -0.1636 | 0.0 | -0.1 |
| 033 | SLV A1 | Si | -0.1569 | -0.1591 | -0.1771 | -0.1739 | 21.5 | -0.7 |
| 034 | SLV A1 | Si | -0.1931 | -0.1965 | -0.2013 | -0.1974 | 14.9 | -34.7 |
| 035 | SLV A1 | Si | -0.1171 | -0.1127 | -0.1258 | -0.1298 | -14.9 | 34.6 |
| 036 | SLV A1 | Si | -0.1533 | -0.1502 | -0.1501 | -0.1533 | -21.5 | 0.6 |

| | | | |
|--------------------------------------|------------------------------------------------------------------------------------------------------------------------------|----------------------------------------------------------------------------------|-------------|
| COMMITTENTE: Mecca Antonio | CODICE COMMESSA: | NOME ELABORATO: S1.5 - Relazione Geotecnica e delle Fondazioni | CONSULENTE: |
| DATA: Aprile 2023 | TITOLO: Lavori ultimazione di un fabbricato adibito ad albergo-ristorante- C.da Case Nuove Chicone Avigliano (PZ) | | |

| | | | | | | | | |
|-----|--------|----|---------|---------|---------|---------|-------|-------|
| 037 | SLV A1 | Si | -0.1569 | -0.1592 | -0.1772 | -0.1740 | 14.9 | -1.9 |
| 038 | SLV A1 | Si | -0.1930 | -0.1964 | -0.2012 | -0.1973 | 21.5 | -33.6 |
| 039 | SLV A1 | Si | -0.1172 | -0.1129 | -0.1260 | -0.1300 | -21.5 | 33.4 |
| 040 | SLV A1 | Si | -0.1533 | -0.1500 | -0.1499 | -0.1532 | -14.9 | 1.7 |
| 041 | SLV A1 | Si | -0.1580 | -0.1596 | -0.1762 | -0.1732 | 20.9 | -4.9 |
| 042 | SLV A1 | Si | -0.1942 | -0.1970 | -0.2005 | -0.1967 | 14.3 | -38.9 |
| 043 | SLV A1 | Si | -0.1160 | -0.1122 | -0.1267 | -0.1305 | -14.3 | 38.8 |
| 044 | SLV A1 | Si | -0.1522 | -0.1496 | -0.1509 | -0.1540 | -20.9 | 4.8 |
| 045 | SLV A1 | Si | -0.1581 | -0.1597 | -0.1764 | -0.1733 | 14.3 | -6.1 |
| 046 | SLV A1 | Si | -0.1941 | -0.1969 | -0.2003 | -0.1966 | 20.9 | -37.8 |
| 047 | SLV A1 | Si | -0.1161 | -0.1123 | -0.1268 | -0.1306 | -20.9 | 37.6 |
| 048 | SLV A1 | Si | -0.1522 | -0.1495 | -0.1508 | -0.1539 | -14.3 | 5.9 |
| 049 | SLV A1 | Si | -0.1007 | -0.0992 | -0.1309 | -0.1311 | 16.5 | 51.3 |
| 050 | SLV A1 | Si | -0.2214 | -0.2239 | -0.2117 | -0.2094 | -5.6 | -62.0 |
| 051 | SLV A1 | Si | -0.0888 | -0.0853 | -0.1155 | -0.1179 | 5.6 | 61.9 |
| 052 | SLV A1 | Si | -0.2095 | -0.2100 | -0.1963 | -0.1962 | -16.5 | -51.5 |
| 053 | SLV A1 | Si | -0.1010 | -0.0994 | -0.1306 | -0.1309 | 16.3 | 50.0 |
| 054 | SLV A1 | Si | -0.2217 | -0.2241 | -0.2114 | -0.2092 | -5.8 | -63.3 |
| 055 | SLV A1 | Si | -0.0885 | -0.0852 | -0.1157 | -0.1181 | 5.8 | 63.1 |
| 056 | SLV A1 | Si | -0.2092 | -0.2098 | -0.1965 | -0.1964 | -16.3 | -50.2 |
| 057 | SLV A1 | Si | -0.1009 | -0.0996 | -0.1314 | -0.1315 | -5.5 | 47.4 |
| 058 | SLV A1 | Si | -0.2212 | -0.2235 | -0.2112 | -0.2090 | 16.4 | -58.2 |
| 059 | SLV A1 | Si | -0.0890 | -0.0857 | -0.1160 | -0.1182 | -16.4 | 58.0 |
| 060 | SLV A1 | Si | -0.2093 | -0.2096 | -0.1958 | -0.1958 | 5.5 | -47.6 |
| 061 | SLV A1 | Si | -0.1013 | -0.0997 | -0.1311 | -0.1313 | -5.7 | 46.2 |
| 062 | SLV A1 | Si | -0.2215 | -0.2237 | -0.2109 | -0.2088 | 16.2 | -59.4 |
| 063 | SLV A1 | Si | -0.0887 | -0.0855 | -0.1162 | -0.1184 | -16.2 | 59.3 |
| 064 | SLV A1 | Si | -0.2089 | -0.2095 | -0.1960 | -0.1960 | 5.7 | -46.3 |
| 065 | SLD | Si | -0.1558 | -0.1566 | -0.1696 | -0.1682 | 9.7 | -0.3 |
| 066 | SLD | Si | -0.1724 | -0.1736 | -0.1807 | -0.1790 | 6.7 | -15.8 |
| 067 | SLD | Si | -0.1378 | -0.1356 | -0.1464 | -0.1483 | -6.7 | 15.7 |
| 068 | SLD | Si | -0.1544 | -0.1527 | -0.1575 | -0.1590 | -9.7 | 0.2 |
| 069 | SLD | Si | -0.1559 | -0.1566 | -0.1697 | -0.1683 | 6.7 | -0.9 |
| 070 | SLD | Si | -0.1723 | -0.1736 | -0.1806 | -0.1789 | 9.7 | -15.3 |
| 071 | SLD | Si | -0.1379 | -0.1356 | -0.1465 | -0.1483 | -9.7 | 15.1 |
| 072 | SLD | Si | -0.1543 | -0.1526 | -0.1574 | -0.1590 | -6.7 | 0.7 |
| 073 | SLD | Si | -0.1564 | -0.1568 | -0.1693 | -0.1680 | 9.4 | -2.2 |
| 074 | SLD | Si | -0.1729 | -0.1739 | -0.1804 | -0.1787 | 6.4 | -17.8 |
| 075 | SLD | Si | -0.1373 | -0.1353 | -0.1468 | -0.1486 | -6.5 | 17.6 |
| 076 | SLD | Si | -0.1538 | -0.1524 | -0.1579 | -0.1593 | -9.5 | 2.1 |
| 077 | SLD | Si | -0.1564 | -0.1569 | -0.1694 | -0.1680 | 6.5 | -2.8 |
| 078 | SLD | Si | -0.1729 | -0.1739 | -0.1803 | -0.1786 | 9.4 | -17.2 |
| 079 | SLD | Si | -0.1373 | -0.1354 | -0.1469 | -0.1486 | -9.4 | 17.1 |
| 080 | SLD | Si | -0.1538 | -0.1523 | -0.1578 | -0.1592 | -6.5 | 2.6 |
| 081 | SLD | Si | -0.1303 | -0.1293 | -0.1486 | -0.1488 | 7.4 | 23.4 |
| 082 | SLD | Si | -0.1853 | -0.1862 | -0.1855 | -0.1845 | -2.5 | -28.4 |
| 083 | SLD | Si | -0.1249 | -0.1230 | -0.1417 | -0.1428 | 2.5 | 28.2 |
| 084 | SLD | Si | -0.1799 | -0.1799 | -0.1785 | -0.1785 | -7.5 | -23.6 |
| 085 | SLD | Si | -0.1304 | -0.1294 | -0.1485 | -0.1487 | 7.4 | 22.8 |
| 086 | SLD | Si | -0.1855 | -0.1863 | -0.1854 | -0.1844 | -2.6 | -28.9 |
| 087 | SLD | Si | -0.1247 | -0.1229 | -0.1418 | -0.1429 | 2.6 | 28.8 |
| 088 | SLD | Si | -0.1798 | -0.1798 | -0.1786 | -0.1786 | -7.4 | -23.0 |
| 089 | SLD | Si | -0.1304 | -0.1295 | -0.1489 | -0.1489 | -2.5 | 21.6 |
| 090 | SLD | Si | -0.1852 | -0.1860 | -0.1852 | -0.1843 | 7.4 | -26.6 |
| 091 | SLD | Si | -0.1250 | -0.1232 | -0.1419 | -0.1430 | -7.4 | 26.4 |
| 092 | SLD | Si | -0.1798 | -0.1797 | -0.1783 | -0.1783 | 2.5 | -21.8 |
| 093 | SLD | Si | -0.1305 | -0.1296 | -0.1488 | -0.1488 | -2.6 | 21.0 |
| 094 | SLD | Si | -0.1854 | -0.1861 | -0.1851 | -0.1842 | 7.3 | -27.1 |
| 095 | SLD | Si | -0.1248 | -0.1231 | -0.1420 | -0.1430 | -7.3 | 27.0 |
| 096 | SLD | Si | -0.1797 | -0.1796 | -0.1784 | -0.1784 | 2.5 | -21.2 |
| 097 | SLO | Si | -0.1558 | -0.1562 | -0.1684 | -0.1673 | 7.7 | -0.3 |
| 098 | SLO | Si | -0.1687 | -0.1696 | -0.1771 | -0.1758 | 5.3 | -12.5 |
| 099 | SLO | Si | -0.1415 | -0.1396 | -0.1500 | -0.1515 | -5.3 | 12.4 |
| 100 | SLO | Si | -0.1544 | -0.1530 | -0.1587 | -0.1599 | -7.7 | 0.2 |
| 101 | SLO | Si | -0.1557 | -0.1562 | -0.1685 | -0.1673 | 5.3 | -0.7 |
| 102 | SLO | Si | -0.1688 | -0.1697 | -0.1771 | -0.1758 | 7.7 | -12.2 |
| 103 | SLO | Si | -0.1414 | -0.1396 | -0.1500 | -0.1515 | -7.7 | 12.0 |
| 104 | SLO | Si | -0.1545 | -0.1530 | -0.1587 | -0.1599 | -5.4 | 0.5 |
| 105 | SLO | Si | -0.1562 | -0.1564 | -0.1681 | -0.1671 | 7.5 | -1.8 |
| 106 | SLO | Si | -0.1691 | -0.1698 | -0.1768 | -0.1755 | 5.1 | -14.0 |
| 107 | SLO | Si | -0.1411 | -0.1394 | -0.1503 | -0.1517 | -5.1 | 13.9 |
| 108 | SLO | Si | -0.1540 | -0.1528 | -0.1590 | -0.1602 | -7.5 | 1.7 |

Relazione Geotecnica e delle Fondazioni

| | | | | | | | | |
|-----|-----|----|---------|---------|---------|---------|------|-------|
| 109 | SLO | Si | -0.1561 | -0.1564 | -0.1682 | -0.1671 | 5.1 | -2.2 |
| 110 | SLO | Si | -0.1692 | -0.1699 | -0.1768 | -0.1755 | 7.5 | -13.7 |
| 111 | SLO | Si | -0.1410 | -0.1394 | -0.1503 | -0.1517 | -7.5 | 13.5 |
| 112 | SLO | Si | -0.1541 | -0.1528 | -0.1590 | -0.1602 | -5.1 | 2.0 |
| 113 | SLO | Si | -0.1356 | -0.1348 | -0.1519 | -0.1520 | 5.9 | 18.3 |
| 114 | SLO | Si | -0.1789 | -0.1794 | -0.1808 | -0.1800 | -2.0 | -22.3 |
| 115 | SLO | Si | -0.1313 | -0.1298 | -0.1463 | -0.1472 | 2.0 | 22.1 |
| 116 | SLO | Si | -0.1746 | -0.1744 | -0.1753 | -0.1753 | -5.9 | -18.5 |
| 117 | SLO | Si | -0.1357 | -0.1348 | -0.1518 | -0.1519 | 5.8 | 17.9 |
| 118 | SLO | Si | -0.1790 | -0.1795 | -0.1807 | -0.1800 | -2.1 | -22.7 |
| 119 | SLO | Si | -0.1312 | -0.1297 | -0.1464 | -0.1473 | 2.0 | 22.6 |
| 120 | SLO | Si | -0.1745 | -0.1744 | -0.1754 | -0.1754 | -5.9 | -18.0 |
| 121 | SLO | Si | -0.1355 | -0.1347 | -0.1519 | -0.1520 | -2.0 | 17.1 |
| 122 | SLO | Si | -0.1790 | -0.1796 | -0.1808 | -0.1800 | 5.9 | -21.1 |
| 123 | SLO | Si | -0.1312 | -0.1297 | -0.1464 | -0.1472 | -5.9 | 20.9 |
| 124 | SLO | Si | -0.1747 | -0.1746 | -0.1753 | -0.1753 | 1.9 | -17.3 |
| 125 | SLO | Si | -0.1356 | -0.1347 | -0.1518 | -0.1519 | -2.0 | 16.7 |
| 126 | SLO | Si | -0.1791 | -0.1796 | -0.1807 | -0.1800 | 5.8 | -21.6 |
| 127 | SLO | Si | -0.1311 | -0.1296 | -0.1465 | -0.1473 | -5.8 | 21.4 |
| 128 | SLO | Si | -0.1746 | -0.1745 | -0.1753 | -0.1754 | 2.0 | -16.8 |

Elemento: Platea n. 62

| Cmb | Tipo | Sism. | Press. N1 | Press. N2 | Press. N3 | Press. N4 | S. Taglio X | S. Taglio Y |
|-----|----------|-------|---------------------|---------------------|---------------------|---------------------|-------------|-------------|
| n. | | | daN/cm ² | daN/cm ² | daN/cm ² | daN/cm ² | daN | daN |
| 001 | SLU STR | No | -0.1590 | -0.1597 | -0.1646 | -0.1639 | 0.0 | 0.0 |
| 002 | SLU STR | No | -0.2115 | -0.2122 | -0.2171 | -0.2164 | 0.0 | 0.0 |
| 003 | SLU STR | No | -0.1918 | -0.1910 | -0.2096 | -0.2099 | 0.0 | -0.2 |
| 004 | SLU STR | No | -0.2443 | -0.2435 | -0.2621 | -0.2624 | 0.0 | -0.2 |
| 005 | SLU STR | No | -0.1182 | -0.1187 | -0.1222 | -0.1216 | 0.0 | 0.0 |
| 006 | SLU STR | No | -0.1707 | -0.1712 | -0.1747 | -0.1741 | 0.0 | 0.0 |
| 007 | SLU STR | No | -0.1509 | -0.1500 | -0.1672 | -0.1677 | 0.0 | -0.2 |
| 008 | SLU STR | No | -0.2034 | -0.2025 | -0.2197 | -0.2202 | 0.0 | -0.2 |
| 009 | SLU STR | No | -0.2340 | -0.2347 | -0.2396 | -0.2389 | 0.0 | 0.0 |
| 010 | SLU STR | No | -0.1820 | -0.1816 | -0.1961 | -0.1961 | 0.0 | -0.1 |
| 011 | SLU STR | No | -0.2570 | -0.2566 | -0.2711 | -0.2711 | 0.0 | -0.1 |
| 012 | SLU STR | No | -0.1932 | -0.1937 | -0.1972 | -0.1966 | 0.0 | 0.0 |
| 013 | SLU STR | No | -0.1411 | -0.1406 | -0.1537 | -0.1539 | 0.0 | -0.1 |
| 014 | SLU STR | No | -0.2161 | -0.2156 | -0.2287 | -0.2289 | 0.0 | -0.1 |
| 015 | SLE rare | No | -0.1205 | -0.1211 | -0.1247 | -0.1241 | 0.0 | 0.0 |
| 016 | SLE rare | No | -0.1555 | -0.1561 | -0.1597 | -0.1591 | 0.0 | 0.0 |
| 017 | SLE rare | No | -0.1424 | -0.1419 | -0.1547 | -0.1548 | 0.0 | -0.1 |
| 018 | SLE rare | No | -0.1774 | -0.1769 | -0.1897 | -0.1898 | 0.0 | -0.1 |
| 019 | SLE rare | No | -0.1705 | -0.1711 | -0.1747 | -0.1741 | 0.0 | 0.0 |
| 020 | SLE rare | No | -0.1358 | -0.1357 | -0.1457 | -0.1456 | 0.0 | -0.1 |
| 021 | SLE rare | No | -0.1858 | -0.1857 | -0.1957 | -0.1956 | 0.0 | -0.1 |
| 022 | SLE freq | No | -0.1205 | -0.1211 | -0.1247 | -0.1241 | 0.0 | 0.0 |
| 023 | SLE freq | No | -0.1505 | -0.1511 | -0.1547 | -0.1541 | 0.0 | 0.0 |
| 024 | SLE freq | No | -0.1358 | -0.1357 | -0.1457 | -0.1456 | 0.0 | -0.1 |
| 025 | SLE freq | No | -0.1658 | -0.1657 | -0.1757 | -0.1756 | 0.0 | -0.1 |
| 026 | SLE freq | No | -0.1555 | -0.1561 | -0.1597 | -0.1591 | 0.0 | 0.0 |
| 027 | SLE freq | No | -0.1336 | -0.1336 | -0.1427 | -0.1426 | 0.0 | -0.1 |
| 028 | SLE freq | No | -0.1686 | -0.1686 | -0.1777 | -0.1776 | 0.0 | -0.1 |
| 029 | SLE q.p. | No | -0.1205 | -0.1211 | -0.1247 | -0.1241 | 0.0 | 0.0 |
| 030 | SLE q.p. | No | -0.1505 | -0.1511 | -0.1547 | -0.1541 | 0.0 | 0.0 |
| 031 | SLE q.p. | No | -0.1336 | -0.1336 | -0.1427 | -0.1426 | 0.0 | -0.1 |
| 032 | SLE q.p. | No | -0.1636 | -0.1636 | -0.1727 | -0.1726 | 0.0 | -0.1 |
| 033 | SLV A1 | Si | -0.1739 | -0.1771 | -0.1959 | -0.1929 | 21.4 | -0.7 |
| 034 | SLV A1 | Si | -0.1974 | -0.2013 | -0.2078 | -0.2041 | 16.0 | -32.0 |
| 035 | SLV A1 | Si | -0.1298 | -0.1258 | -0.1376 | -0.1410 | -16.0 | 31.8 |
| 036 | SLV A1 | Si | -0.1533 | -0.1501 | -0.1495 | -0.1522 | -21.4 | 0.6 |
| 037 | SLV A1 | Si | -0.1740 | -0.1772 | -0.1960 | -0.1930 | 16.0 | -1.8 |
| 038 | SLV A1 | Si | -0.1973 | -0.2012 | -0.2077 | -0.2040 | 21.4 | -30.9 |
| 039 | SLV A1 | Si | -0.1300 | -0.1260 | -0.1377 | -0.1411 | -21.4 | 30.8 |
| 040 | SLV A1 | Si | -0.1532 | -0.1499 | -0.1494 | -0.1522 | -16.0 | 1.7 |
| 041 | SLV A1 | Si | -0.1732 | -0.1762 | -0.1954 | -0.1923 | 21.2 | -4.6 |
| 042 | SLV A1 | Si | -0.1967 | -0.2005 | -0.2073 | -0.2035 | 15.9 | -35.8 |
| 043 | SLV A1 | Si | -0.1305 | -0.1267 | -0.1381 | -0.1416 | -15.9 | 35.7 |
| 044 | SLV A1 | Si | -0.1540 | -0.1509 | -0.1500 | -0.1528 | -21.2 | 4.4 |
| 045 | SLV A1 | Si | -0.1733 | -0.1764 | -0.1955 | -0.1924 | 15.8 | -5.7 |
| 046 | SLV A1 | Si | -0.1966 | -0.2003 | -0.2072 | -0.2035 | 21.3 | -34.7 |
| 047 | SLV A1 | Si | -0.1306 | -0.1268 | -0.1382 | -0.1417 | -21.3 | 34.6 |
| 048 | SLV A1 | Si | -0.1539 | -0.1508 | -0.1499 | -0.1527 | -15.8 | 5.5 |
| 049 | SLV A1 | Si | -0.1311 | -0.1309 | -0.1615 | -0.1616 | 14.5 | 47.1 |

| | | | |
|--------------------------------------|------------------------------------------------------------------------------------------------------------------------------|----------------------------------------------------------------------------------|-------------|
| COMMITTENTE: Mecca Antonio | CODICE COMMESSA: | NOME ELABORATO: S1.5 - Relazione Geotecnica e delle Fondazioni | CONSULENTE: |
| DATA: Aprile 2023 | TITOLO: Lavori ultimazione di un fabbricato adibito ad albergo-ristorante- C.da Case Nuove Chicone Avigliano (PZ) | | |

| | | | | | | | | |
|-----|--------|----|---------|---------|---------|---------|-------|-------|
| 050 | SLV A1 | Si | -0.2094 | -0.2117 | -0.2013 | -0.1991 | -3.3 | -57.0 |
| 051 | SLV A1 | Si | -0.1179 | -0.1155 | -0.1440 | -0.1460 | 3.3 | 56.9 |
| 052 | SLV A1 | Si | -0.1962 | -0.1963 | -0.1838 | -0.1835 | -14.5 | -47.2 |
| 053 | SLV A1 | Si | -0.1309 | -0.1306 | -0.1614 | -0.1614 | 14.5 | 45.9 |
| 054 | SLV A1 | Si | -0.2092 | -0.2114 | -0.2012 | -0.1989 | -3.3 | -58.2 |
| 055 | SLV A1 | Si | -0.1181 | -0.1157 | -0.1442 | -0.1462 | 3.3 | 58.0 |
| 056 | SLV A1 | Si | -0.1964 | -0.1965 | -0.1840 | -0.1837 | -14.5 | -46.1 |
| 057 | SLV A1 | Si | -0.1315 | -0.1314 | -0.1619 | -0.1619 | -3.5 | 43.5 |
| 058 | SLV A1 | Si | -0.2090 | -0.2112 | -0.2010 | -0.1987 | 14.7 | -53.4 |
| 059 | SLV A1 | Si | -0.1182 | -0.1160 | -0.1444 | -0.1464 | -14.7 | 53.3 |
| 060 | SLV A1 | Si | -0.1958 | -0.1958 | -0.1835 | -0.1832 | 3.5 | -43.7 |
| 061 | SLV A1 | Si | -0.1313 | -0.1311 | -0.1617 | -0.1617 | -3.5 | 42.4 |
| 062 | SLV A1 | Si | -0.2088 | -0.2109 | -0.2008 | -0.1986 | 14.7 | -54.6 |
| 063 | SLV A1 | Si | -0.1184 | -0.1162 | -0.1445 | -0.1465 | -14.7 | 54.4 |
| 064 | SLV A1 | Si | -0.1960 | -0.1960 | -0.1836 | -0.1834 | 3.5 | -42.5 |
| 065 | SLD | Si | -0.1682 | -0.1696 | -0.1832 | -0.1817 | 9.7 | -0.3 |
| 066 | SLD | Si | -0.1790 | -0.1807 | -0.1886 | -0.1868 | 7.3 | -14.6 |
| 067 | SLD | Si | -0.1483 | -0.1464 | -0.1568 | -0.1583 | -7.2 | 14.4 |
| 068 | SLD | Si | -0.1590 | -0.1575 | -0.1622 | -0.1634 | -9.7 | 0.2 |
| 069 | SLD | Si | -0.1683 | -0.1697 | -0.1832 | -0.1818 | 7.2 | -0.8 |
| 070 | SLD | Si | -0.1789 | -0.1806 | -0.1885 | -0.1868 | 9.7 | -14.1 |
| 071 | SLD | Si | -0.1483 | -0.1465 | -0.1568 | -0.1583 | -9.7 | 13.9 |
| 072 | SLD | Si | -0.1590 | -0.1574 | -0.1621 | -0.1633 | -7.2 | 0.7 |
| 073 | SLD | Si | -0.1680 | -0.1693 | -0.1829 | -0.1815 | 9.6 | -2.1 |
| 074 | SLD | Si | -0.1787 | -0.1804 | -0.1884 | -0.1866 | 7.2 | -16.4 |
| 075 | SLD | Si | -0.1486 | -0.1468 | -0.1570 | -0.1585 | -7.2 | 16.2 |
| 076 | SLD | Si | -0.1593 | -0.1579 | -0.1624 | -0.1636 | -9.6 | 2.0 |
| 077 | SLD | Si | -0.1680 | -0.1694 | -0.1830 | -0.1815 | 7.2 | -2.6 |
| 078 | SLD | Si | -0.1786 | -0.1803 | -0.1883 | -0.1866 | 9.6 | -15.9 |
| 079 | SLD | Si | -0.1486 | -0.1469 | -0.1570 | -0.1585 | -9.6 | 15.7 |
| 080 | SLD | Si | -0.1592 | -0.1578 | -0.1624 | -0.1636 | -7.2 | 2.4 |
| 081 | SLD | Si | -0.1488 | -0.1486 | -0.1676 | -0.1675 | 6.6 | 21.5 |
| 082 | SLD | Si | -0.1845 | -0.1855 | -0.1857 | -0.1846 | -1.5 | -26.0 |
| 083 | SLD | Si | -0.1428 | -0.1417 | -0.1597 | -0.1605 | 1.5 | 25.9 |
| 084 | SLD | Si | -0.1785 | -0.1785 | -0.1778 | -0.1776 | -6.5 | -21.6 |
| 085 | SLD | Si | -0.1487 | -0.1485 | -0.1675 | -0.1675 | 6.5 | 20.9 |
| 086 | SLD | Si | -0.1844 | -0.1854 | -0.1856 | -0.1845 | -1.5 | -26.6 |
| 087 | SLD | Si | -0.1429 | -0.1418 | -0.1597 | -0.1606 | 1.5 | 26.4 |
| 088 | SLD | Si | -0.1786 | -0.1786 | -0.1778 | -0.1776 | -6.5 | -21.1 |
| 089 | SLD | Si | -0.1489 | -0.1489 | -0.1677 | -0.1677 | -1.6 | 19.8 |
| 090 | SLD | Si | -0.1843 | -0.1852 | -0.1855 | -0.1845 | 6.7 | -24.4 |
| 091 | SLD | Si | -0.1430 | -0.1419 | -0.1598 | -0.1607 | -6.6 | 24.3 |
| 092 | SLD | Si | -0.1783 | -0.1783 | -0.1776 | -0.1774 | 1.6 | -20.0 |
| 093 | SLD | Si | -0.1488 | -0.1488 | -0.1677 | -0.1676 | -1.6 | 19.3 |
| 094 | SLD | Si | -0.1842 | -0.1851 | -0.1855 | -0.1844 | 6.6 | -24.9 |
| 095 | SLD | Si | -0.1430 | -0.1420 | -0.1599 | -0.1607 | -6.6 | 24.8 |
| 096 | SLD | Si | -0.1784 | -0.1784 | -0.1777 | -0.1775 | 1.6 | -19.4 |
| 097 | SLO | Si | -0.1673 | -0.1684 | -0.1810 | -0.1799 | 7.7 | -0.3 |
| 098 | SLO | Si | -0.1758 | -0.1771 | -0.1853 | -0.1839 | 5.8 | -11.5 |
| 099 | SLO | Si | -0.1515 | -0.1500 | -0.1601 | -0.1612 | -5.7 | 11.4 |
| 100 | SLO | Si | -0.1599 | -0.1587 | -0.1643 | -0.1653 | -7.7 | 0.2 |
| 101 | SLO | Si | -0.1673 | -0.1685 | -0.1810 | -0.1799 | 5.7 | -0.7 |
| 102 | SLO | Si | -0.1758 | -0.1771 | -0.1853 | -0.1839 | 7.7 | -11.2 |
| 103 | SLO | Si | -0.1515 | -0.1500 | -0.1601 | -0.1612 | -7.7 | 11.0 |
| 104 | SLO | Si | -0.1599 | -0.1587 | -0.1643 | -0.1652 | -5.7 | 0.5 |
| 105 | SLO | Si | -0.1671 | -0.1681 | -0.1808 | -0.1797 | 7.6 | -1.7 |
| 106 | SLO | Si | -0.1755 | -0.1768 | -0.1851 | -0.1837 | 5.7 | -12.9 |
| 107 | SLO | Si | -0.1517 | -0.1503 | -0.1602 | -0.1614 | -5.7 | 12.8 |
| 108 | SLO | Si | -0.1602 | -0.1590 | -0.1645 | -0.1654 | -7.6 | 1.6 |
| 109 | SLO | Si | -0.1671 | -0.1682 | -0.1809 | -0.1797 | 5.7 | -2.0 |
| 110 | SLO | Si | -0.1755 | -0.1768 | -0.1851 | -0.1837 | 7.7 | -12.6 |
| 111 | SLO | Si | -0.1517 | -0.1503 | -0.1603 | -0.1614 | -7.6 | 12.4 |
| 112 | SLO | Si | -0.1602 | -0.1590 | -0.1645 | -0.1654 | -5.7 | 1.9 |
| 113 | SLO | Si | -0.1520 | -0.1519 | -0.1687 | -0.1686 | 5.2 | 16.8 |
| 114 | SLO | Si | -0.1800 | -0.1808 | -0.1829 | -0.1821 | -1.2 | -20.5 |
| 115 | SLO | Si | -0.1472 | -0.1463 | -0.1624 | -0.1630 | 1.2 | 20.3 |
| 116 | SLO | Si | -0.1753 | -0.1753 | -0.1767 | -0.1765 | -5.2 | -17.0 |
| 117 | SLO | Si | -0.1519 | -0.1518 | -0.1686 | -0.1686 | 5.2 | 16.4 |
| 118 | SLO | Si | -0.1800 | -0.1807 | -0.1829 | -0.1820 | -1.2 | -20.9 |
| 119 | SLO | Si | -0.1473 | -0.1464 | -0.1625 | -0.1631 | 1.2 | 20.7 |
| 120 | SLO | Si | -0.1754 | -0.1754 | -0.1767 | -0.1765 | -5.2 | -16.5 |
| 121 | SLO | Si | -0.1520 | -0.1519 | -0.1688 | -0.1687 | -1.2 | 15.7 |

Relazione Geotecnica e delle Fondazioni

| | | | | | | | | |
|-----|-----|----|---------|---------|---------|---------|------|-------|
| 122 | SLO | Si | -0.1800 | -0.1808 | -0.1829 | -0.1820 | 5.3 | -19.4 |
| 123 | SLO | Si | -0.1472 | -0.1464 | -0.1625 | -0.1631 | -5.3 | 19.2 |
| 124 | SLO | Si | -0.1753 | -0.1753 | -0.1766 | -0.1764 | 1.3 | -15.9 |
| 125 | SLO | Si | -0.1519 | -0.1518 | -0.1687 | -0.1686 | -1.3 | 15.3 |
| 126 | SLO | Si | -0.1800 | -0.1807 | -0.1828 | -0.1819 | 5.3 | -19.8 |
| 127 | SLO | Si | -0.1473 | -0.1465 | -0.1625 | -0.1632 | -5.2 | 19.7 |
| 128 | SLO | Si | -0.1754 | -0.1753 | -0.1766 | -0.1765 | 1.3 | -15.5 |

Elemento: Platea n. 63

| Cmb n. | Tipo | Sism. | Press. N1 daN/cm ² | Press. N2 daN/cm ² | Press. N3 daN/cm ² | Press. N4 daN/cm ² | S. Taglio X daN | S. Taglio Y daN |
|-----------|----------|-------|----------------------------------|----------------------------------|----------------------------------|----------------------------------|--------------------|--------------------|
| 001 | SLU STR | No | -0.1780 | -0.1794 | -0.1830 | -0.1817 | 0.0 | 0.0 |
| 002 | SLU STR | No | -0.2305 | -0.2319 | -0.2355 | -0.2342 | 0.0 | 0.0 |
| 003 | SLU STR | No | -0.2705 | -0.2727 | -0.2862 | -0.2852 | 0.1 | -0.1 |
| 004 | SLU STR | No | -0.3230 | -0.3252 | -0.3387 | -0.3377 | 0.1 | -0.1 |
| 005 | SLU STR | No | -0.1316 | -0.1326 | -0.1352 | -0.1342 | 0.0 | 0.0 |
| 006 | SLU STR | No | -0.1841 | -0.1851 | -0.1877 | -0.1867 | 0.0 | 0.0 |
| 007 | SLU STR | No | -0.2241 | -0.2259 | -0.2384 | -0.2377 | 0.1 | -0.1 |
| 008 | SLU STR | No | -0.2766 | -0.2784 | -0.2909 | -0.2902 | 0.1 | -0.1 |
| 009 | SLU STR | No | -0.2530 | -0.2544 | -0.2580 | -0.2567 | 0.0 | 0.0 |
| 010 | SLU STR | No | -0.2428 | -0.2447 | -0.2552 | -0.2541 | 0.1 | -0.1 |
| 011 | SLU STR | No | -0.3178 | -0.3197 | -0.3302 | -0.3291 | 0.1 | -0.1 |
| 012 | SLU STR | No | -0.2066 | -0.2076 | -0.2102 | -0.2092 | 0.0 | 0.0 |
| 013 | SLU STR | No | -0.1963 | -0.1979 | -0.2074 | -0.2066 | 0.1 | -0.1 |
| 014 | SLU STR | No | -0.2713 | -0.2729 | -0.2824 | -0.2816 | 0.1 | -0.1 |
| 015 | SLE rare | No | -0.1346 | -0.1356 | -0.1384 | -0.1373 | 0.0 | 0.0 |
| 016 | SLE rare | No | -0.1696 | -0.1706 | -0.1734 | -0.1723 | 0.0 | 0.0 |
| 017 | SLE rare | No | -0.1963 | -0.1978 | -0.2071 | -0.2063 | 0.1 | -0.1 |
| 018 | SLE rare | No | -0.2313 | -0.2328 | -0.2421 | -0.2413 | 0.1 | -0.1 |
| 019 | SLE rare | No | -0.1846 | -0.1856 | -0.1884 | -0.1873 | 0.0 | 0.0 |
| 020 | SLE rare | No | -0.1778 | -0.1792 | -0.1865 | -0.1856 | 0.1 | 0.0 |
| 021 | SLE rare | No | -0.2278 | -0.2292 | -0.2365 | -0.2356 | 0.1 | 0.0 |
| 022 | SLE freq | No | -0.1346 | -0.1356 | -0.1384 | -0.1373 | 0.0 | 0.0 |
| 023 | SLE freq | No | -0.1646 | -0.1656 | -0.1684 | -0.1673 | 0.0 | 0.0 |
| 024 | SLE freq | No | -0.1778 | -0.1792 | -0.1865 | -0.1856 | 0.1 | 0.0 |
| 025 | SLE freq | No | -0.2078 | -0.2092 | -0.2165 | -0.2156 | 0.1 | 0.0 |
| 026 | SLE freq | No | -0.1696 | -0.1706 | -0.1734 | -0.1723 | 0.0 | 0.0 |
| 027 | SLE freq | No | -0.1716 | -0.1730 | -0.1796 | -0.1787 | 0.1 | 0.0 |
| 028 | SLE freq | No | -0.2066 | -0.2080 | -0.2146 | -0.2137 | 0.1 | 0.0 |
| 029 | SLE q.p. | No | -0.1346 | -0.1356 | -0.1384 | -0.1373 | 0.0 | 0.0 |
| 030 | SLE q.p. | No | -0.1646 | -0.1656 | -0.1684 | -0.1673 | 0.0 | 0.0 |
| 031 | SLE q.p. | No | -0.1716 | -0.1730 | -0.1796 | -0.1787 | 0.1 | 0.0 |
| 032 | SLE q.p. | No | -0.2016 | -0.2030 | -0.2096 | -0.2087 | 0.1 | 0.0 |
| 033 | SLV A1 | Si | -0.2572 | -0.2626 | -0.2792 | -0.2742 | 17.8 | 0.9 |
| 034 | SLV A1 | Si | -0.2183 | -0.2221 | -0.2277 | -0.2235 | 26.9 | -20.6 |
| 035 | SLV A1 | Si | -0.1849 | -0.1838 | -0.1915 | -0.1940 | -26.7 | 20.6 |
| 036 | SLV A1 | Si | -0.1460 | -0.1433 | -0.1400 | -0.1433 | -17.7 | -1.0 |
| 037 | SLV A1 | Si | -0.2576 | -0.2630 | -0.2796 | -0.2745 | 26.6 | 0.3 |
| 038 | SLV A1 | Si | -0.2180 | -0.2217 | -0.2274 | -0.2231 | 18.1 | -20.0 |
| 039 | SLV A1 | Si | -0.1853 | -0.1842 | -0.1919 | -0.1943 | -17.9 | 19.9 |
| 040 | SLV A1 | Si | -0.1457 | -0.1429 | -0.1396 | -0.1429 | -26.4 | -0.3 |
| 041 | SLV A1 | Si | -0.2639 | -0.2695 | -0.2881 | -0.2832 | 19.1 | -1.8 |
| 042 | SLV A1 | Si | -0.2250 | -0.2289 | -0.2366 | -0.2325 | 28.2 | -23.4 |
| 043 | SLV A1 | Si | -0.1782 | -0.1770 | -0.1826 | -0.1849 | -28.1 | 23.3 |
| 044 | SLV A1 | Si | -0.1393 | -0.1365 | -0.1311 | -0.1342 | -19.0 | 1.7 |
| 045 | SLV A1 | Si | -0.2643 | -0.2698 | -0.2885 | -0.2836 | 27.9 | -2.5 |
| 046 | SLV A1 | Si | -0.2247 | -0.2286 | -0.2363 | -0.2322 | 19.4 | -22.7 |
| 047 | SLV A1 | Si | -0.1786 | -0.1773 | -0.1830 | -0.1853 | -19.3 | 22.6 |
| 048 | SLV A1 | Si | -0.1390 | -0.1361 | -0.1307 | -0.1339 | -27.8 | 2.4 |
| 049 | SLV A1 | Si | -0.2773 | -0.2823 | -0.3086 | -0.3052 | -8.4 | 33.0 |
| 050 | SLV A1 | Si | -0.1476 | -0.1472 | -0.1370 | -0.1363 | 21.9 | -38.9 |
| 051 | SLV A1 | Si | -0.2556 | -0.2587 | -0.2823 | -0.2811 | -21.8 | 38.9 |
| 052 | SLV A1 | Si | -0.1259 | -0.1236 | -0.1106 | -0.1122 | 8.5 | -33.1 |
| 053 | SLV A1 | Si | -0.2793 | -0.2844 | -0.3113 | -0.3079 | -8.0 | 32.2 |
| 054 | SLV A1 | Si | -0.1496 | -0.1493 | -0.1396 | -0.1390 | 22.3 | -39.8 |
| 055 | SLV A1 | Si | -0.2536 | -0.2566 | -0.2796 | -0.2784 | -22.2 | 39.7 |
| 056 | SLV A1 | Si | -0.1239 | -0.1215 | -0.1080 | -0.1095 | 8.1 | -32.2 |
| 057 | SLV A1 | Si | -0.2785 | -0.2835 | -0.3098 | -0.3064 | 20.9 | 30.7 |
| 058 | SLV A1 | Si | -0.1465 | -0.1461 | -0.1357 | -0.1351 | -7.4 | -36.7 |
| 059 | SLV A1 | Si | -0.2568 | -0.2599 | -0.2835 | -0.2824 | 7.5 | 36.6 |
| 060 | SLV A1 | Si | -0.1248 | -0.1224 | -0.1094 | -0.1110 | -20.8 | -30.8 |
| 061 | SLV A1 | Si | -0.2805 | -0.2856 | -0.3125 | -0.3091 | 21.3 | 29.9 |
| 062 | SLV A1 | Si | -0.1485 | -0.1481 | -0.1384 | -0.1378 | -7.0 | -37.5 |

| | | | |
|--------------------------------------|----------------------------------------------------------------------------------------------------------------------|----------------------------------------------------------------------------------|-------------|
| COMMITTENTE: Mecca Antonio | CODICE COMMESSA: | NOME ELABORATO: S1.5 - Relazione Geotecnica e delle Fondazioni | CONSULENTE: |
| DATA: Aprile 2023 | TITOLO: Lavori ultimazione di un fabbricato adibito ad albergo-ristorante- C.da Case Nuove Chicone Avigliano (PZ) | | |

| | | | | | | | | |
|-----|--------|----|---------|---------|---------|---------|-------|-------|
| 063 | SLV A1 | Si | -0.2548 | -0.2578 | -0.2808 | -0.2796 | 7.1 | 37.4 |
| 064 | SLV A1 | Si | -0.1228 | -0.1204 | -0.1067 | -0.1083 | -21.2 | -30.0 |
| 065 | SLD | Si | -0.2269 | -0.2301 | -0.2413 | -0.2385 | 8.1 | 0.4 |
| 066 | SLD | Si | -0.2091 | -0.2116 | -0.2177 | -0.2153 | 12.2 | -9.4 |
| 067 | SLD | Si | -0.1941 | -0.1944 | -0.2015 | -0.2021 | -12.1 | 9.3 |
| 068 | SLD | Si | -0.1764 | -0.1759 | -0.1780 | -0.1790 | -7.9 | -0.5 |
| 069 | SLD | Si | -0.2270 | -0.2302 | -0.2414 | -0.2386 | 12.1 | 0.1 |
| 070 | SLD | Si | -0.2090 | -0.2114 | -0.2176 | -0.2152 | 8.2 | -9.1 |
| 071 | SLD | Si | -0.1943 | -0.1945 | -0.2017 | -0.2023 | -8.1 | 9.0 |
| 072 | SLD | Si | -0.1762 | -0.1757 | -0.1778 | -0.1788 | -12.0 | -0.2 |
| 073 | SLD | Si | -0.2299 | -0.2332 | -0.2453 | -0.2426 | 8.7 | -0.8 |
| 074 | SLD | Si | -0.2122 | -0.2147 | -0.2218 | -0.2195 | 12.8 | -10.7 |
| 075 | SLD | Si | -0.1911 | -0.1912 | -0.1974 | -0.1980 | -12.7 | 10.6 |
| 076 | SLD | Si | -0.1733 | -0.1727 | -0.1739 | -0.1748 | -8.6 | 0.7 |
| 077 | SLD | Si | -0.2301 | -0.2333 | -0.2455 | -0.2427 | 12.7 | -1.1 |
| 078 | SLD | Si | -0.2120 | -0.2145 | -0.2217 | -0.2193 | 8.8 | -10.4 |
| 079 | SLD | Si | -0.1912 | -0.1914 | -0.1976 | -0.1981 | -8.7 | 10.3 |
| 080 | SLD | Si | -0.1731 | -0.1726 | -0.1738 | -0.1747 | -12.6 | 1.0 |
| 081 | SLD | Si | -0.2361 | -0.2391 | -0.2548 | -0.2527 | -3.8 | 15.0 |
| 082 | SLD | Si | -0.1769 | -0.1775 | -0.1764 | -0.1756 | 10.0 | -17.8 |
| 083 | SLD | Si | -0.2263 | -0.2284 | -0.2428 | -0.2418 | -9.9 | 17.7 |
| 084 | SLD | Si | -0.1671 | -0.1668 | -0.1645 | -0.1647 | 3.9 | -15.1 |
| 085 | SLD | Si | -0.2371 | -0.2401 | -0.2560 | -0.2540 | -3.6 | 14.7 |
| 086 | SLD | Si | -0.1778 | -0.1784 | -0.1776 | -0.1769 | 10.2 | -18.2 |
| 087 | SLD | Si | -0.2254 | -0.2275 | -0.2416 | -0.2406 | -10.1 | 18.1 |
| 088 | SLD | Si | -0.1662 | -0.1658 | -0.1633 | -0.1635 | 3.7 | -14.8 |
| 089 | SLD | Si | -0.2366 | -0.2397 | -0.2553 | -0.2533 | 9.5 | 14.0 |
| 090 | SLD | Si | -0.1764 | -0.1770 | -0.1759 | -0.1751 | -3.4 | -16.8 |
| 091 | SLD | Si | -0.2268 | -0.2290 | -0.2434 | -0.2423 | 3.5 | 16.7 |
| 092 | SLD | Si | -0.1666 | -0.1663 | -0.1639 | -0.1642 | -9.4 | -14.1 |
| 093 | SLD | Si | -0.2376 | -0.2406 | -0.2565 | -0.2545 | 9.7 | 13.6 |
| 094 | SLD | Si | -0.1773 | -0.1779 | -0.1771 | -0.1763 | -3.2 | -17.1 |
| 095 | SLD | Si | -0.2259 | -0.2280 | -0.2421 | -0.2411 | 3.3 | 17.1 |
| 096 | SLD | Si | -0.1657 | -0.1653 | -0.1627 | -0.1629 | -9.6 | -13.7 |
| 097 | SLO | Si | -0.2216 | -0.2244 | -0.2346 | -0.2322 | 6.4 | 0.3 |
| 098 | SLO | Si | -0.2076 | -0.2099 | -0.2162 | -0.2141 | 9.7 | -7.4 |
| 099 | SLO | Si | -0.1956 | -0.1961 | -0.2031 | -0.2034 | -9.6 | 7.4 |
| 100 | SLO | Si | -0.1816 | -0.1815 | -0.1846 | -0.1852 | -6.3 | -0.4 |
| 101 | SLO | Si | -0.2218 | -0.2246 | -0.2349 | -0.2324 | 9.6 | 0.1 |
| 102 | SLO | Si | -0.2074 | -0.2097 | -0.2159 | -0.2138 | 6.5 | -7.2 |
| 103 | SLO | Si | -0.1958 | -0.1963 | -0.2033 | -0.2036 | -6.4 | 7.2 |
| 104 | SLO | Si | -0.1814 | -0.1813 | -0.1844 | -0.1850 | -9.5 | -0.2 |
| 105 | SLO | Si | -0.2240 | -0.2269 | -0.2378 | -0.2355 | 6.9 | -0.7 |
| 106 | SLO | Si | -0.2101 | -0.2123 | -0.2194 | -0.2173 | 10.2 | -8.4 |
| 107 | SLO | Si | -0.1932 | -0.1936 | -0.1999 | -0.2001 | -10.1 | 8.3 |
| 108 | SLO | Si | -0.1792 | -0.1791 | -0.1814 | -0.1820 | -6.8 | 0.6 |
| 109 | SLO | Si | -0.2242 | -0.2271 | -0.2381 | -0.2357 | 10.1 | -0.9 |
| 110 | SLO | Si | -0.2099 | -0.2121 | -0.2192 | -0.2171 | 7.0 | -8.2 |
| 111 | SLO | Si | -0.1934 | -0.1938 | -0.2001 | -0.2003 | -6.9 | 8.1 |
| 112 | SLO | Si | -0.1790 | -0.1789 | -0.1812 | -0.1817 | -10.0 | 0.8 |
| 113 | SLO | Si | -0.2288 | -0.2314 | -0.2451 | -0.2433 | -3.0 | 11.8 |
| 114 | SLO | Si | -0.1823 | -0.1830 | -0.1836 | -0.1828 | 7.9 | -14.0 |
| 115 | SLO | Si | -0.2210 | -0.2229 | -0.2356 | -0.2347 | -7.8 | 13.9 |
| 116 | SLO | Si | -0.1745 | -0.1745 | -0.1741 | -0.1741 | 3.1 | -11.9 |
| 117 | SLO | Si | -0.2295 | -0.2322 | -0.2461 | -0.2443 | -2.8 | 11.5 |
| 118 | SLO | Si | -0.1830 | -0.1838 | -0.1846 | -0.1838 | 8.0 | -14.3 |
| 119 | SLO | Si | -0.2202 | -0.2222 | -0.2347 | -0.2337 | -7.9 | 14.2 |
| 120 | SLO | Si | -0.1737 | -0.1738 | -0.1732 | -0.1732 | 2.9 | -11.6 |
| 121 | SLO | Si | -0.2294 | -0.2321 | -0.2459 | -0.2441 | 7.6 | 11.1 |
| 122 | SLO | Si | -0.1816 | -0.1823 | -0.1828 | -0.1820 | -2.7 | -13.3 |
| 123 | SLO | Si | -0.2216 | -0.2236 | -0.2364 | -0.2354 | 2.8 | 13.2 |
| 124 | SLO | Si | -0.1738 | -0.1738 | -0.1734 | -0.1734 | -7.5 | -11.2 |
| 125 | SLO | Si | -0.2302 | -0.2328 | -0.2469 | -0.2451 | 7.7 | 10.8 |
| 126 | SLO | Si | -0.1823 | -0.1831 | -0.1838 | -0.1830 | -2.5 | -13.6 |
| 127 | SLO | Si | -0.2209 | -0.2229 | -0.2355 | -0.2344 | 2.6 | 13.5 |
| 128 | SLO | Si | -0.1731 | -0.1731 | -0.1724 | -0.1724 | -7.6 | -10.9 |

Elemento: Platea n. 64

| Cmb | Tipo | Sism. | Press. N1 | Press. N2 | Press. N3 | Press. N4 | S. Taglio X | S. Taglio Y |
|-----|---------|-------|---------------------|---------------------|---------------------|---------------------|-------------|-------------|
| n. | | | daN/cm ² | daN/cm ² | daN/cm ² | daN/cm ² | daN | daN |
| 001 | SLU STR | No | -0.1686 | -0.1682 | -0.1734 | -0.1730 | 0.0 | 0.0 |

Relazione Geotecnica e delle Fondazioni

| | | | | | | | | |
|-----|----------|----|---------|---------|---------|---------|-------|-------|
| 002 | SLU STR | No | -0.2211 | -0.2207 | -0.2259 | -0.2255 | 0.0 | 0.0 |
| 003 | SLU STR | No | -0.2355 | -0.2300 | -0.2500 | -0.2513 | 0.1 | -0.1 |
| 004 | SLU STR | No | -0.2880 | -0.2825 | -0.3025 | -0.3038 | 0.1 | -0.1 |
| 005 | SLU STR | No | -0.1249 | -0.1247 | -0.1284 | -0.1280 | 0.0 | 0.0 |
| 006 | SLU STR | No | -0.1774 | -0.1772 | -0.1809 | -0.1805 | 0.0 | 0.0 |
| 007 | SLU STR | No | -0.1917 | -0.1865 | -0.2049 | -0.2063 | 0.1 | -0.1 |
| 008 | SLU STR | No | -0.2442 | -0.2390 | -0.2574 | -0.2588 | 0.1 | -0.1 |
| 009 | SLU STR | No | -0.2436 | -0.2432 | -0.2484 | -0.2480 | 0.0 | 0.0 |
| 010 | SLU STR | No | -0.2154 | -0.2115 | -0.2270 | -0.2278 | 0.1 | -0.1 |
| 011 | SLU STR | No | -0.2904 | -0.2865 | -0.3020 | -0.3028 | 0.1 | -0.1 |
| 012 | SLU STR | No | -0.1999 | -0.1997 | -0.2034 | -0.2030 | 0.0 | 0.0 |
| 013 | SLU STR | No | -0.1717 | -0.1679 | -0.1820 | -0.1828 | 0.1 | -0.1 |
| 014 | SLU STR | No | -0.2467 | -0.2429 | -0.2570 | -0.2578 | 0.1 | -0.1 |
| 015 | SLE rare | No | -0.1276 | -0.1273 | -0.1312 | -0.1309 | 0.0 | 0.0 |
| 016 | SLE rare | No | -0.1626 | -0.1623 | -0.1662 | -0.1659 | 0.0 | 0.0 |
| 017 | SLE rare | No | -0.1722 | -0.1685 | -0.1823 | -0.1831 | 0.1 | -0.1 |
| 018 | SLE rare | No | -0.2072 | -0.2035 | -0.2173 | -0.2181 | 0.1 | -0.1 |
| 019 | SLE rare | No | -0.1776 | -0.1773 | -0.1812 | -0.1809 | 0.0 | 0.0 |
| 020 | SLE rare | No | -0.1588 | -0.1562 | -0.1669 | -0.1674 | 0.1 | 0.0 |
| 021 | SLE rare | No | -0.2088 | -0.2062 | -0.2169 | -0.2174 | 0.1 | 0.0 |
| 022 | SLE freq | No | -0.1276 | -0.1273 | -0.1312 | -0.1309 | 0.0 | 0.0 |
| 023 | SLE freq | No | -0.1576 | -0.1573 | -0.1612 | -0.1609 | 0.0 | 0.0 |
| 024 | SLE freq | No | -0.1588 | -0.1562 | -0.1669 | -0.1674 | 0.1 | 0.0 |
| 025 | SLE freq | No | -0.1888 | -0.1862 | -0.1969 | -0.1974 | 0.1 | 0.0 |
| 026 | SLE freq | No | -0.1626 | -0.1623 | -0.1662 | -0.1659 | 0.0 | 0.0 |
| 027 | SLE freq | No | -0.1544 | -0.1521 | -0.1618 | -0.1622 | 0.0 | 0.0 |
| 028 | SLE freq | No | -0.1894 | -0.1871 | -0.1968 | -0.1972 | 0.0 | 0.0 |
| 029 | SLE q.p. | No | -0.1276 | -0.1273 | -0.1312 | -0.1309 | 0.0 | 0.0 |
| 030 | SLE q.p. | No | -0.1576 | -0.1573 | -0.1612 | -0.1609 | 0.0 | 0.0 |
| 031 | SLE q.p. | No | -0.1544 | -0.1521 | -0.1618 | -0.1622 | 0.0 | 0.0 |
| 032 | SLE q.p. | No | -0.1844 | -0.1821 | -0.1918 | -0.1922 | 0.0 | 0.0 |
| 033 | SLV A1 | Si | -0.2151 | -0.2137 | -0.2360 | -0.2343 | 20.4 | 1.8 |
| 034 | SLV A1 | Si | -0.2030 | -0.2048 | -0.2132 | -0.2105 | 28.0 | -25.7 |
| 035 | SLV A1 | Si | -0.1657 | -0.1594 | -0.1705 | -0.1739 | -27.9 | 25.6 |
| 036 | SLV A1 | Si | -0.1536 | -0.1505 | -0.1477 | -0.1500 | -20.3 | -1.9 |
| 037 | SLV A1 | Si | -0.2153 | -0.2139 | -0.2363 | -0.2346 | 27.9 | 1.0 |
| 038 | SLV A1 | Si | -0.2027 | -0.2045 | -0.2128 | -0.2102 | 20.5 | -24.9 |
| 039 | SLV A1 | Si | -0.1660 | -0.1596 | -0.1709 | -0.1742 | -20.4 | 24.8 |
| 040 | SLV A1 | Si | -0.1534 | -0.1502 | -0.1474 | -0.1497 | -27.8 | -1.1 |
| 041 | SLV A1 | Si | -0.2168 | -0.2147 | -0.2396 | -0.2382 | 21.2 | -1.7 |
| 042 | SLV A1 | Si | -0.2047 | -0.2058 | -0.2167 | -0.2143 | 28.9 | -29.2 |
| 043 | SLV A1 | Si | -0.1640 | -0.1583 | -0.1670 | -0.1700 | -28.8 | 29.1 |
| 044 | SLV A1 | Si | -0.1519 | -0.1494 | -0.1441 | -0.1462 | -21.1 | 1.6 |
| 045 | SLV A1 | Si | -0.2170 | -0.2150 | -0.2399 | -0.2385 | 28.8 | -2.5 |
| 046 | SLV A1 | Si | -0.2044 | -0.2056 | -0.2164 | -0.2140 | 21.3 | -28.4 |
| 047 | SLV A1 | Si | -0.1643 | -0.1586 | -0.1673 | -0.1703 | -21.2 | 28.3 |
| 048 | SLV A1 | Si | -0.1517 | -0.1491 | -0.1438 | -0.1459 | -28.7 | 2.5 |
| 049 | SLV A1 | Si | -0.2119 | -0.2050 | -0.2397 | -0.2410 | -5.4 | 42.2 |
| 050 | SLV A1 | Si | -0.1716 | -0.1754 | -0.1636 | -0.1615 | 20.0 | -49.5 |
| 051 | SLV A1 | Si | -0.1971 | -0.1888 | -0.2201 | -0.2229 | -19.9 | 49.4 |
| 052 | SLV A1 | Si | -0.1568 | -0.1591 | -0.1439 | -0.1433 | 5.5 | -42.3 |
| 053 | SLV A1 | Si | -0.2124 | -0.2054 | -0.2408 | -0.2422 | -5.2 | 41.2 |
| 054 | SLV A1 | Si | -0.1721 | -0.1757 | -0.1647 | -0.1626 | 20.3 | -50.5 |
| 055 | SLV A1 | Si | -0.1966 | -0.1884 | -0.2190 | -0.2217 | -20.2 | 50.4 |
| 056 | SLV A1 | Si | -0.1563 | -0.1588 | -0.1429 | -0.1422 | 5.3 | -41.3 |
| 057 | SLV A1 | Si | -0.2127 | -0.2059 | -0.2408 | -0.2420 | 19.7 | 39.5 |
| 058 | SLV A1 | Si | -0.1708 | -0.1745 | -0.1625 | -0.1605 | -5.1 | -46.7 |
| 059 | SLV A1 | Si | -0.1979 | -0.1896 | -0.2212 | -0.2239 | 5.2 | 46.6 |
| 060 | SLV A1 | Si | -0.1560 | -0.1582 | -0.1429 | -0.1424 | -19.6 | -39.6 |
| 061 | SLV A1 | Si | -0.2132 | -0.2062 | -0.2419 | -0.2432 | 19.9 | 38.4 |
| 062 | SLV A1 | Si | -0.1713 | -0.1748 | -0.1636 | -0.1616 | -4.8 | -47.7 |
| 063 | SLV A1 | Si | -0.1974 | -0.1893 | -0.2201 | -0.2227 | 4.9 | 47.7 |
| 064 | SLV A1 | Si | -0.1555 | -0.1579 | -0.1418 | -0.1412 | -19.8 | -38.5 |
| 065 | SLD | Si | -0.1983 | -0.1964 | -0.2119 | -0.2113 | 9.2 | 0.8 |
| 066 | SLD | Si | -0.1928 | -0.1923 | -0.2015 | -0.2004 | 12.7 | -11.7 |
| 067 | SLD | Si | -0.1759 | -0.1718 | -0.1822 | -0.1839 | -12.6 | 11.6 |
| 068 | SLD | Si | -0.1704 | -0.1677 | -0.1718 | -0.1731 | -9.1 | -0.9 |
| 069 | SLD | Si | -0.1984 | -0.1965 | -0.2120 | -0.2114 | 12.7 | 0.5 |
| 070 | SLD | Si | -0.1927 | -0.1922 | -0.2013 | -0.2003 | 9.3 | -11.3 |
| 071 | SLD | Si | -0.1760 | -0.1719 | -0.1824 | -0.1841 | -9.2 | 11.3 |
| 072 | SLD | Si | -0.1703 | -0.1676 | -0.1717 | -0.1729 | -12.6 | -0.5 |
| 073 | SLD | Si | -0.1991 | -0.1969 | -0.2135 | -0.2131 | 9.6 | -0.8 |
| 074 | SLD | Si | -0.1936 | -0.1928 | -0.2031 | -0.2022 | 13.1 | -13.3 |
| 075 | SLD | Si | -0.1751 | -0.1713 | -0.1806 | -0.1822 | -13.0 | 13.3 |

| | | | |
|--------------------------------------|------------------------------------------------------------------------------------------------------------------------------|----------------------------------------------------------------------------------|-------------|
| COMMITTENTE: Mecca Antonio | CODICE COMMESSA: | NOME ELABORATO: S1.5 - Relazione Geotecnica e delle Fondazioni | CONSULENTE: |
| DATA: Aprile 2023 | TITOLO: Lavori ultimazione di un fabbricato adibito ad albergo-ristorante- C.da Case Nuove Chicone Avigliano (PZ) | | |

| | | | | | | | | |
|-----|-----|----|---------|---------|---------|---------|-------|-------|
| 076 | SLD | Si | -0.1696 | -0.1673 | -0.1702 | -0.1713 | -9.5 | 0.7 |
| 077 | SLD | Si | -0.1992 | -0.1970 | -0.2137 | -0.2132 | 13.1 | -1.2 |
| 078 | SLD | Si | -0.1934 | -0.1927 | -0.2030 | -0.2021 | 9.7 | -13.0 |
| 079 | SLD | Si | -0.1753 | -0.1714 | -0.1807 | -0.1823 | -9.6 | 12.9 |
| 080 | SLD | Si | -0.1695 | -0.1671 | -0.1700 | -0.1712 | -13.0 | 1.1 |
| 081 | SLD | Si | -0.1969 | -0.1925 | -0.2137 | -0.2144 | -2.5 | 19.3 |
| 082 | SLD | Si | -0.1785 | -0.1790 | -0.1789 | -0.1781 | 9.1 | -22.6 |
| 083 | SLD | Si | -0.1902 | -0.1851 | -0.2048 | -0.2062 | -9.0 | 22.5 |
| 084 | SLD | Si | -0.1718 | -0.1716 | -0.1700 | -0.1699 | 2.6 | -19.4 |
| 085 | SLD | Si | -0.1971 | -0.1926 | -0.2141 | -0.2150 | -2.3 | 18.8 |
| 086 | SLD | Si | -0.1788 | -0.1792 | -0.1794 | -0.1787 | 9.2 | -23.1 |
| 087 | SLD | Si | -0.1899 | -0.1850 | -0.2043 | -0.2057 | -9.1 | 23.0 |
| 088 | SLD | Si | -0.1716 | -0.1715 | -0.1695 | -0.1694 | 2.4 | -18.9 |
| 089 | SLD | Si | -0.1972 | -0.1929 | -0.2141 | -0.2149 | 9.0 | 18.0 |
| 090 | SLD | Si | -0.1782 | -0.1786 | -0.1784 | -0.1777 | -2.3 | -21.3 |
| 091 | SLD | Si | -0.1905 | -0.1855 | -0.2052 | -0.2067 | 2.4 | 21.2 |
| 092 | SLD | Si | -0.1715 | -0.1712 | -0.1695 | -0.1695 | -8.9 | -18.1 |
| 093 | SLD | Si | -0.1975 | -0.1930 | -0.2146 | -0.2154 | 9.1 | 17.5 |
| 094 | SLD | Si | -0.1784 | -0.1788 | -0.1789 | -0.1782 | -2.2 | -21.8 |
| 095 | SLD | Si | -0.1903 | -0.1854 | -0.2048 | -0.2061 | 2.3 | 21.7 |
| 096 | SLD | Si | -0.1712 | -0.1711 | -0.1691 | -0.1690 | -9.0 | -17.6 |
| 097 | SLO | Si | -0.1954 | -0.1934 | -0.2077 | -0.2073 | 7.4 | 0.6 |
| 098 | SLO | Si | -0.1910 | -0.1902 | -0.1995 | -0.1988 | 10.1 | -9.2 |
| 099 | SLO | Si | -0.1777 | -0.1739 | -0.1842 | -0.1856 | -10.0 | 9.2 |
| 100 | SLO | Si | -0.1733 | -0.1707 | -0.1760 | -0.1770 | -7.3 | -0.7 |
| 101 | SLO | Si | -0.1955 | -0.1935 | -0.2079 | -0.2075 | 10.1 | 0.4 |
| 102 | SLO | Si | -0.1909 | -0.1901 | -0.1994 | -0.1986 | 7.4 | -9.0 |
| 103 | SLO | Si | -0.1778 | -0.1740 | -0.1843 | -0.1857 | -7.3 | 8.9 |
| 104 | SLO | Si | -0.1732 | -0.1706 | -0.1758 | -0.1769 | -10.0 | -0.4 |
| 105 | SLO | Si | -0.1960 | -0.1938 | -0.2090 | -0.2087 | 7.7 | -0.7 |
| 106 | SLO | Si | -0.1917 | -0.1906 | -0.2008 | -0.2002 | 10.4 | -10.5 |
| 107 | SLO | Si | -0.1770 | -0.1735 | -0.1829 | -0.1842 | -10.3 | 10.4 |
| 108 | SLO | Si | -0.1727 | -0.1703 | -0.1747 | -0.1756 | -7.6 | 0.6 |
| 109 | SLO | Si | -0.1961 | -0.1939 | -0.2092 | -0.2089 | 10.4 | -0.9 |
| 110 | SLO | Si | -0.1916 | -0.1905 | -0.2007 | -0.2000 | 7.7 | -10.3 |
| 111 | SLO | Si | -0.1771 | -0.1736 | -0.1830 | -0.1843 | -7.6 | 10.2 |
| 112 | SLO | Si | -0.1726 | -0.1702 | -0.1745 | -0.1755 | -10.3 | 0.8 |
| 113 | SLO | Si | -0.1942 | -0.1903 | -0.2090 | -0.2097 | -1.9 | 15.1 |
| 114 | SLO | Si | -0.1798 | -0.1797 | -0.1817 | -0.1812 | 7.2 | -17.7 |
| 115 | SLO | Si | -0.1889 | -0.1845 | -0.2020 | -0.2032 | -7.1 | 17.7 |
| 116 | SLO | Si | -0.1745 | -0.1738 | -0.1747 | -0.1747 | 2.0 | -15.2 |
| 117 | SLO | Si | -0.1944 | -0.1904 | -0.2094 | -0.2101 | -1.8 | 14.7 |
| 118 | SLO | Si | -0.1800 | -0.1798 | -0.1821 | -0.1816 | 7.3 | -18.1 |
| 119 | SLO | Si | -0.1887 | -0.1843 | -0.2016 | -0.2028 | -7.2 | 18.1 |
| 120 | SLO | Si | -0.1743 | -0.1737 | -0.1743 | -0.1743 | 1.9 | -14.8 |
| 121 | SLO | Si | -0.1946 | -0.1907 | -0.2095 | -0.2102 | 7.1 | 14.3 |
| 122 | SLO | Si | -0.1794 | -0.1793 | -0.1812 | -0.1807 | -1.8 | -16.9 |
| 123 | SLO | Si | -0.1893 | -0.1848 | -0.2025 | -0.2037 | 1.9 | 16.9 |
| 124 | SLO | Si | -0.1741 | -0.1735 | -0.1741 | -0.1742 | -7.0 | -14.4 |
| 125 | SLO | Si | -0.1948 | -0.1908 | -0.2099 | -0.2106 | 7.2 | 13.9 |
| 126 | SLO | Si | -0.1796 | -0.1794 | -0.1816 | -0.1811 | -1.7 | -17.3 |
| 127 | SLO | Si | -0.1891 | -0.1847 | -0.2021 | -0.2033 | 1.8 | 17.2 |
| 128 | SLO | Si | -0.1739 | -0.1733 | -0.1738 | -0.1737 | -7.1 | -14.0 |

Elemento: Platea n. 65

| Cmb | Tipo | Sism. | Press. N1 | Press. N2 | Press. N3 | Press. N4 | S. Taglio X | S. Taglio Y |
|-----|---------|-------|---------------------|---------------------|---------------------|---------------------|-------------|-------------|
| n. | | | daN/cm ² | daN/cm ² | daN/cm ² | daN/cm ² | daN | daN |
| 001 | SLU STR | No | -0.1707 | -0.1727 | -0.1767 | -0.1749 | 0.0 | 0.0 |
| 002 | SLU STR | No | -0.2232 | -0.2252 | -0.2292 | -0.2274 | 0.0 | 0.0 |
| 003 | SLU STR | No | -0.2528 | -0.2587 | -0.2751 | -0.2699 | 0.1 | 0.1 |
| 004 | SLU STR | No | -0.3053 | -0.3112 | -0.3276 | -0.3224 | 0.1 | 0.1 |
| 005 | SLU STR | No | -0.1261 | -0.1276 | -0.1305 | -0.1292 | 0.0 | 0.0 |
| 006 | SLU STR | No | -0.1786 | -0.1801 | -0.1830 | -0.1817 | 0.0 | 0.0 |
| 007 | SLU STR | No | -0.2083 | -0.2136 | -0.2289 | -0.2241 | 0.1 | 0.1 |
| 008 | SLU STR | No | -0.2608 | -0.2661 | -0.2814 | -0.2766 | 0.1 | 0.1 |
| 009 | SLU STR | No | -0.2457 | -0.2477 | -0.2517 | -0.2499 | 0.0 | 0.0 |
| 010 | SLU STR | No | -0.2282 | -0.2329 | -0.2456 | -0.2414 | 0.1 | 0.1 |
| 011 | SLU STR | No | -0.3032 | -0.3079 | -0.3206 | -0.3164 | 0.1 | 0.1 |
| 012 | SLU STR | No | -0.2011 | -0.2026 | -0.2055 | -0.2042 | 0.0 | 0.0 |
| 013 | SLU STR | No | -0.1836 | -0.1878 | -0.1993 | -0.1956 | 0.1 | 0.1 |
| 014 | SLU STR | No | -0.2586 | -0.2628 | -0.2743 | -0.2706 | 0.1 | 0.1 |

Relazione Geotecnica e delle Fondazioni

| | | | | | | | | |
|-----|----------|----|---------|---------|---------|---------|-------|-------|
| 015 | SLE rare | No | -0.1290 | -0.1306 | -0.1335 | -0.1322 | 0.0 | 0.0 |
| 016 | SLE rare | No | -0.1640 | -0.1656 | -0.1685 | -0.1672 | 0.0 | 0.0 |
| 017 | SLE rare | No | -0.1838 | -0.1879 | -0.1991 | -0.1955 | 0.1 | 0.1 |
| 018 | SLE rare | No | -0.2188 | -0.2229 | -0.2341 | -0.2305 | 0.1 | 0.1 |
| 019 | SLE rare | No | -0.1790 | -0.1806 | -0.1835 | -0.1822 | 0.0 | 0.0 |
| 020 | SLE rare | No | -0.1674 | -0.1707 | -0.1795 | -0.1765 | 0.1 | 0.1 |
| 021 | SLE rare | No | -0.2174 | -0.2207 | -0.2295 | -0.2265 | 0.1 | 0.1 |
| 022 | SLE freq | No | -0.1290 | -0.1306 | -0.1335 | -0.1322 | 0.0 | 0.0 |
| 023 | SLE freq | No | -0.1590 | -0.1606 | -0.1635 | -0.1622 | 0.0 | 0.0 |
| 024 | SLE freq | No | -0.1674 | -0.1707 | -0.1795 | -0.1765 | 0.1 | 0.1 |
| 025 | SLE freq | No | -0.1974 | -0.2007 | -0.2095 | -0.2065 | 0.1 | 0.1 |
| 026 | SLE freq | No | -0.1640 | -0.1656 | -0.1685 | -0.1672 | 0.0 | 0.0 |
| 027 | SLE freq | No | -0.1619 | -0.1650 | -0.1729 | -0.1702 | 0.1 | 0.0 |
| 028 | SLE freq | No | -0.1969 | -0.2000 | -0.2079 | -0.2052 | 0.1 | 0.0 |
| 029 | SLE q.p. | No | -0.1290 | -0.1306 | -0.1335 | -0.1322 | 0.0 | 0.0 |
| 030 | SLE q.p. | No | -0.1590 | -0.1606 | -0.1635 | -0.1622 | 0.0 | 0.0 |
| 031 | SLE q.p. | No | -0.1619 | -0.1650 | -0.1729 | -0.1702 | 0.1 | 0.0 |
| 032 | SLE q.p. | No | -0.1919 | -0.1950 | -0.2029 | -0.2002 | 0.1 | 0.0 |
| 033 | SLV A1 | Si | -0.2268 | -0.2354 | -0.2557 | -0.2489 | 33.6 | 5.3 |
| 034 | SLV A1 | Si | -0.1939 | -0.2017 | -0.2072 | -0.2011 | 50.5 | -21.6 |
| 035 | SLV A1 | Si | -0.1899 | -0.1882 | -0.1986 | -0.1993 | -50.4 | 21.7 |
| 036 | SLV A1 | Si | -0.1570 | -0.1546 | -0.1501 | -0.1514 | -33.5 | -5.2 |
| 037 | SLV A1 | Si | -0.2269 | -0.2356 | -0.2560 | -0.2492 | 50.0 | 5.0 |
| 038 | SLV A1 | Si | -0.1937 | -0.2015 | -0.2069 | -0.2008 | 34.1 | -21.3 |
| 039 | SLV A1 | Si | -0.1901 | -0.1885 | -0.1989 | -0.1996 | -34.0 | 21.3 |
| 040 | SLV A1 | Si | -0.1569 | -0.1543 | -0.1498 | -0.1512 | -49.9 | -4.9 |
| 041 | SLV A1 | Si | -0.2332 | -0.2417 | -0.2651 | -0.2585 | 36.1 | 0.5 |
| 042 | SLV A1 | Si | -0.2004 | -0.2080 | -0.2167 | -0.2106 | 53.0 | -26.4 |
| 043 | SLV A1 | Si | -0.1834 | -0.1819 | -0.1891 | -0.1898 | -52.9 | 26.5 |
| 044 | SLV A1 | Si | -0.1506 | -0.1483 | -0.1407 | -0.1419 | -36.0 | -0.4 |
| 045 | SLV A1 | Si | -0.2334 | -0.2419 | -0.2654 | -0.2588 | 52.5 | 0.1 |
| 046 | SLV A1 | Si | -0.2002 | -0.2078 | -0.2164 | -0.2104 | 36.6 | -26.1 |
| 047 | SLV A1 | Si | -0.1836 | -0.1822 | -0.1894 | -0.1900 | -36.5 | 26.2 |
| 048 | SLV A1 | Si | -0.1504 | -0.1480 | -0.1404 | -0.1416 | -52.4 | 0.0 |
| 049 | SLV A1 | Si | -0.2522 | -0.2581 | -0.2923 | -0.2875 | -15.5 | 42.4 |
| 050 | SLV A1 | Si | -0.1426 | -0.1459 | -0.1307 | -0.1278 | 40.8 | -47.2 |
| 051 | SLV A1 | Si | -0.2412 | -0.2440 | -0.2751 | -0.2726 | -40.7 | 47.3 |
| 052 | SLV A1 | Si | -0.1316 | -0.1318 | -0.1136 | -0.1129 | 15.6 | -42.3 |
| 053 | SLV A1 | Si | -0.2542 | -0.2600 | -0.2951 | -0.2903 | -14.7 | 40.9 |
| 054 | SLV A1 | Si | -0.1446 | -0.1478 | -0.1335 | -0.1307 | 41.6 | -48.6 |
| 055 | SLV A1 | Si | -0.2392 | -0.2421 | -0.2723 | -0.2697 | -41.4 | 48.7 |
| 056 | SLV A1 | Si | -0.1296 | -0.1299 | -0.1107 | -0.1101 | 14.9 | -40.8 |
| 057 | SLV A1 | Si | -0.2528 | -0.2589 | -0.2932 | -0.2883 | 39.0 | 41.3 |
| 058 | SLV A1 | Si | -0.1420 | -0.1452 | -0.1297 | -0.1270 | -13.7 | -46.1 |
| 059 | SLV A1 | Si | -0.2418 | -0.2448 | -0.2761 | -0.2734 | 13.8 | 46.2 |
| 060 | SLV A1 | Si | -0.1310 | -0.1310 | -0.1126 | -0.1121 | -38.9 | -41.2 |
| 061 | SLV A1 | Si | -0.2548 | -0.2608 | -0.2961 | -0.2911 | 39.8 | 39.9 |
| 062 | SLV A1 | Si | -0.1440 | -0.1470 | -0.1326 | -0.1299 | -13.0 | -47.6 |
| 063 | SLV A1 | Si | -0.2398 | -0.2429 | -0.2733 | -0.2705 | 13.1 | 47.7 |
| 064 | SLV A1 | Si | -0.1290 | -0.1291 | -0.1098 | -0.1092 | -39.7 | -39.8 |
| 065 | SLD | Si | -0.2078 | -0.2133 | -0.2269 | -0.2224 | 15.2 | 2.5 |
| 066 | SLD | Si | -0.1927 | -0.1980 | -0.2048 | -0.2005 | 22.9 | -9.8 |
| 067 | SLD | Si | -0.1910 | -0.1920 | -0.2010 | -0.1999 | -22.8 | 9.9 |
| 068 | SLD | Si | -0.1760 | -0.1766 | -0.1789 | -0.1780 | -15.1 | -2.4 |
| 069 | SLD | Si | -0.2078 | -0.2134 | -0.2270 | -0.2225 | 22.7 | 2.3 |
| 070 | SLD | Si | -0.1927 | -0.1979 | -0.2047 | -0.2004 | 15.5 | -9.7 |
| 071 | SLD | Si | -0.1911 | -0.1921 | -0.2012 | -0.2000 | -15.4 | 9.7 |
| 072 | SLD | Si | -0.1760 | -0.1765 | -0.1788 | -0.1779 | -22.6 | -2.2 |
| 073 | SLD | Si | -0.2107 | -0.2162 | -0.2312 | -0.2267 | 16.4 | 0.2 |
| 074 | SLD | Si | -0.1957 | -0.2009 | -0.2091 | -0.2049 | 24.1 | -12.0 |
| 075 | SLD | Si | -0.1881 | -0.1891 | -0.1967 | -0.1955 | -24.0 | 12.1 |
| 076 | SLD | Si | -0.1731 | -0.1737 | -0.1746 | -0.1736 | -16.3 | -0.2 |
| 077 | SLD | Si | -0.2108 | -0.2163 | -0.2314 | -0.2268 | 23.8 | 0.1 |
| 078 | SLD | Si | -0.1956 | -0.2008 | -0.2090 | -0.2048 | 16.6 | -11.9 |
| 079 | SLD | Si | -0.1882 | -0.1892 | -0.1968 | -0.1956 | -16.5 | 12.0 |
| 080 | SLD | Si | -0.1730 | -0.1736 | -0.1745 | -0.1735 | -23.7 | 0.0 |
| 081 | SLD | Si | -0.2194 | -0.2238 | -0.2437 | -0.2400 | -7.1 | 19.4 |
| 082 | SLD | Si | -0.1694 | -0.1726 | -0.1699 | -0.1671 | 18.6 | -21.5 |
| 083 | SLD | Si | -0.2144 | -0.2174 | -0.2359 | -0.2333 | -18.5 | 21.6 |
| 084 | SLD | Si | -0.1644 | -0.1662 | -0.1621 | -0.1604 | 7.2 | -19.3 |
| 085 | SLD | Si | -0.2203 | -0.2246 | -0.2450 | -0.2413 | -6.7 | 18.7 |
| 086 | SLD | Si | -0.1703 | -0.1734 | -0.1712 | -0.1684 | 18.9 | -22.2 |
| 087 | SLD | Si | -0.2135 | -0.2165 | -0.2346 | -0.2319 | -18.8 | 22.3 |
| 088 | SLD | Si | -0.1635 | -0.1653 | -0.1609 | -0.1591 | 6.8 | -18.6 |

| | | | |
|--------------------------------------|----------------------------------------------------------------------------------------------------------------------|----------------------------------------------------------------------------------|-------------|
| COMMITTENTE: Mecca Antonio | CODICE COMMESSA: | NOME ELABORATO: S1.5 - Relazione Geotecnica e delle Fondazioni | CONSULENTE: |
| DATA: Aprile 2023 | TITOLO: Lavori ultimazione di un fabbricato adibito ad albergo-ristorante- C.da Case Nuove Chicone Avigliano (PZ) | | |

| | | | | | | | | |
|-----|-----|----|---------|---------|---------|---------|-------|-------|
| 089 | SLD | Si | -0.2197 | -0.2241 | -0.2441 | -0.2404 | 17.8 | 18.9 |
| 090 | SLD | Si | -0.1691 | -0.1722 | -0.1695 | -0.1668 | -6.2 | -21.0 |
| 091 | SLD | Si | -0.2147 | -0.2177 | -0.2363 | -0.2336 | 6.4 | 21.1 |
| 092 | SLD | Si | -0.1641 | -0.1658 | -0.1617 | -0.1600 | -17.7 | -18.8 |
| 093 | SLD | Si | -0.2206 | -0.2250 | -0.2454 | -0.2417 | 18.1 | 18.2 |
| 094 | SLD | Si | -0.1700 | -0.1731 | -0.1708 | -0.1681 | -5.9 | -21.7 |
| 095 | SLD | Si | -0.2138 | -0.2169 | -0.2350 | -0.2323 | 6.0 | 21.8 |
| 096 | SLD | Si | -0.1632 | -0.1649 | -0.1604 | -0.1587 | -18.0 | -18.1 |
| 097 | SLO | Si | -0.2044 | -0.2095 | -0.2219 | -0.2177 | 12.1 | 1.9 |
| 098 | SLO | Si | -0.1926 | -0.1974 | -0.2045 | -0.2005 | 18.2 | -7.7 |
| 099 | SLO | Si | -0.1912 | -0.1925 | -0.2013 | -0.1998 | -18.1 | 7.8 |
| 100 | SLO | Si | -0.1794 | -0.1805 | -0.1840 | -0.1827 | -12.0 | -1.8 |
| 101 | SLO | Si | -0.2045 | -0.2096 | -0.2221 | -0.2179 | 18.0 | 1.9 |
| 102 | SLO | Si | -0.1925 | -0.1973 | -0.2043 | -0.2004 | 12.3 | -7.7 |
| 103 | SLO | Si | -0.1913 | -0.1927 | -0.2015 | -0.2000 | -12.2 | 7.7 |
| 104 | SLO | Si | -0.1793 | -0.1803 | -0.1838 | -0.1825 | -17.9 | -1.8 |
| 105 | SLO | Si | -0.2067 | -0.2118 | -0.2253 | -0.2211 | 13.0 | 0.2 |
| 106 | SLO | Si | -0.1950 | -0.1997 | -0.2079 | -0.2040 | 19.1 | -9.4 |
| 107 | SLO | Si | -0.1888 | -0.1902 | -0.1979 | -0.1964 | -19.0 | 9.5 |
| 108 | SLO | Si | -0.1771 | -0.1782 | -0.1805 | -0.1792 | -12.9 | -0.1 |
| 109 | SLO | Si | -0.2069 | -0.2119 | -0.2255 | -0.2213 | 18.9 | 0.1 |
| 110 | SLO | Si | -0.1948 | -0.1995 | -0.2077 | -0.2038 | 13.2 | -9.4 |
| 111 | SLO | Si | -0.1890 | -0.1904 | -0.1981 | -0.1966 | -13.1 | 9.5 |
| 112 | SLO | Si | -0.1769 | -0.1780 | -0.1803 | -0.1791 | -18.8 | 0.0 |
| 113 | SLO | Si | -0.2135 | -0.2176 | -0.2349 | -0.2315 | -5.5 | 15.2 |
| 114 | SLO | Si | -0.1743 | -0.1774 | -0.1770 | -0.1743 | 14.7 | -16.9 |
| 115 | SLO | Si | -0.2095 | -0.2125 | -0.2288 | -0.2261 | -14.6 | 17.0 |
| 116 | SLO | Si | -0.1703 | -0.1723 | -0.1709 | -0.1689 | 5.6 | -15.1 |
| 117 | SLO | Si | -0.2142 | -0.2183 | -0.2359 | -0.2325 | -5.2 | 14.7 |
| 118 | SLO | Si | -0.1750 | -0.1781 | -0.1781 | -0.1753 | 15.0 | -17.4 |
| 119 | SLO | Si | -0.2088 | -0.2118 | -0.2277 | -0.2251 | -14.8 | 17.5 |
| 120 | SLO | Si | -0.1696 | -0.1716 | -0.1699 | -0.1679 | 5.3 | -14.6 |
| 121 | SLO | Si | -0.2140 | -0.2181 | -0.2356 | -0.2321 | 14.1 | 15.0 |
| 122 | SLO | Si | -0.1738 | -0.1769 | -0.1764 | -0.1737 | -4.9 | -16.7 |
| 123 | SLO | Si | -0.2100 | -0.2130 | -0.2294 | -0.2267 | 5.1 | 16.8 |
| 124 | SLO | Si | -0.1698 | -0.1718 | -0.1702 | -0.1683 | -14.0 | -14.9 |
| 125 | SLO | Si | -0.2147 | -0.2188 | -0.2366 | -0.2331 | 14.4 | 14.5 |
| 126 | SLO | Si | -0.1745 | -0.1776 | -0.1774 | -0.1747 | -4.7 | -17.2 |
| 127 | SLO | Si | -0.2093 | -0.2124 | -0.2284 | -0.2257 | 4.8 | 17.3 |
| 128 | SLO | Si | -0.1691 | -0.1711 | -0.1692 | -0.1673 | -14.3 | -14.4 |

Elemento: Platea n. 66

| Cmb | Tipo | Sism. | Press. N1 | Press. N2 | Press. N3 | Press. N4 | S. Taglio X | S. Taglio Y |
|-----|----------|-------|---------------------|---------------------|---------------------|---------------------|-------------|-------------|
| n. | | | daN/cm ² | daN/cm ² | daN/cm ² | daN/cm ² | daN | daN |
| 001 | SLU STR | No | -0.1694 | -0.1707 | -0.1749 | -0.1735 | 0.0 | 0.0 |
| 002 | SLU STR | No | -0.2219 | -0.2232 | -0.2274 | -0.2260 | 0.0 | 0.0 |
| 003 | SLU STR | No | -0.2492 | -0.2528 | -0.2699 | -0.2655 | 0.1 | 0.1 |
| 004 | SLU STR | No | -0.3017 | -0.3053 | -0.3224 | -0.3180 | 0.1 | 0.1 |
| 005 | SLU STR | No | -0.1252 | -0.1261 | -0.1292 | -0.1281 | 0.0 | 0.0 |
| 006 | SLU STR | No | -0.1777 | -0.1786 | -0.1817 | -0.1806 | 0.0 | 0.0 |
| 007 | SLU STR | No | -0.2050 | -0.2083 | -0.2241 | -0.2202 | 0.1 | 0.1 |
| 008 | SLU STR | No | -0.2575 | -0.2608 | -0.2766 | -0.2727 | 0.1 | 0.1 |
| 009 | SLU STR | No | -0.2444 | -0.2457 | -0.2499 | -0.2485 | 0.0 | 0.0 |
| 010 | SLU STR | No | -0.2253 | -0.2282 | -0.2414 | -0.2379 | 0.0 | 0.1 |
| 011 | SLU STR | No | -0.3003 | -0.3032 | -0.3164 | -0.3129 | 0.0 | 0.1 |
| 012 | SLU STR | No | -0.2002 | -0.2011 | -0.2042 | -0.2031 | 0.0 | 0.0 |
| 013 | SLU STR | No | -0.1811 | -0.1836 | -0.1956 | -0.1925 | 0.0 | 0.1 |
| 014 | SLU STR | No | -0.2561 | -0.2586 | -0.2706 | -0.2675 | 0.0 | 0.1 |
| 015 | SLE rare | No | -0.1281 | -0.1290 | -0.1322 | -0.1312 | 0.0 | 0.0 |
| 016 | SLE rare | No | -0.1631 | -0.1640 | -0.1672 | -0.1662 | 0.0 | 0.0 |
| 017 | SLE rare | No | -0.1813 | -0.1838 | -0.1955 | -0.1925 | 0.0 | 0.1 |
| 018 | SLE rare | No | -0.2163 | -0.2188 | -0.2305 | -0.2275 | 0.0 | 0.1 |
| 019 | SLE rare | No | -0.1781 | -0.1790 | -0.1822 | -0.1812 | 0.0 | 0.0 |
| 020 | SLE rare | No | -0.1653 | -0.1674 | -0.1765 | -0.1741 | 0.0 | 0.1 |
| 021 | SLE rare | No | -0.2153 | -0.2174 | -0.2265 | -0.2241 | 0.0 | 0.1 |
| 022 | SLE freq | No | -0.1281 | -0.1290 | -0.1322 | -0.1312 | 0.0 | 0.0 |
| 023 | SLE freq | No | -0.1581 | -0.1590 | -0.1622 | -0.1612 | 0.0 | 0.0 |
| 024 | SLE freq | No | -0.1653 | -0.1674 | -0.1765 | -0.1741 | 0.0 | 0.1 |
| 025 | SLE freq | No | -0.1953 | -0.1974 | -0.2065 | -0.2041 | 0.0 | 0.1 |
| 026 | SLE freq | No | -0.1631 | -0.1640 | -0.1672 | -0.1662 | 0.0 | 0.0 |
| 027 | SLE freq | No | -0.1600 | -0.1619 | -0.1702 | -0.1680 | 0.0 | 0.1 |

Relazione Geotecnica e delle Fondazioni

| | | | | | | | | |
|-----|----------|----|---------|---------|---------|---------|-------|-------|
| 028 | SLE freq | No | -0.1950 | -0.1969 | -0.2052 | -0.2030 | 0.0 | 0.1 |
| 029 | SLE q.p. | No | -0.1281 | -0.1290 | -0.1322 | -0.1312 | 0.0 | 0.0 |
| 030 | SLE q.p. | No | -0.1581 | -0.1590 | -0.1622 | -0.1612 | 0.0 | 0.0 |
| 031 | SLE q.p. | No | -0.1600 | -0.1619 | -0.1702 | -0.1680 | 0.0 | 0.1 |
| 032 | SLE q.p. | No | -0.1900 | -0.1919 | -0.2002 | -0.1980 | 0.0 | 0.1 |
| 033 | SLV A1 | Si | -0.2213 | -0.2268 | -0.2489 | -0.2432 | 29.9 | 1.3 |
| 034 | SLV A1 | Si | -0.1885 | -0.1939 | -0.2011 | -0.1955 | 45.0 | -19.5 |
| 035 | SLV A1 | Si | -0.1916 | -0.1899 | -0.1993 | -0.2004 | -44.9 | 19.6 |
| 036 | SLV A1 | Si | -0.1588 | -0.1570 | -0.1514 | -0.1528 | -29.9 | -1.2 |
| 037 | SLV A1 | Si | -0.2214 | -0.2269 | -0.2492 | -0.2434 | 44.5 | 1.3 |
| 038 | SLV A1 | Si | -0.1884 | -0.1937 | -0.2008 | -0.1953 | 30.4 | -19.5 |
| 039 | SLV A1 | Si | -0.1917 | -0.1901 | -0.1996 | -0.2006 | -30.3 | 19.6 |
| 040 | SLV A1 | Si | -0.1586 | -0.1569 | -0.1512 | -0.1526 | -44.5 | -1.1 |
| 041 | SLV A1 | Si | -0.2280 | -0.2332 | -0.2585 | -0.2529 | 32.1 | -2.6 |
| 042 | SLV A1 | Si | -0.1952 | -0.2004 | -0.2106 | -0.2052 | 47.2 | -23.4 |
| 043 | SLV A1 | Si | -0.1849 | -0.1834 | -0.1898 | -0.1907 | -47.1 | 23.5 |
| 044 | SLV A1 | Si | -0.1521 | -0.1506 | -0.1419 | -0.1430 | -32.1 | 2.7 |
| 045 | SLV A1 | Si | -0.2281 | -0.2334 | -0.2588 | -0.2531 | 46.7 | -2.6 |
| 046 | SLV A1 | Si | -0.1950 | -0.2002 | -0.2104 | -0.2051 | 32.6 | -23.4 |
| 047 | SLV A1 | Si | -0.1850 | -0.1836 | -0.1900 | -0.1909 | -32.6 | 23.5 |
| 048 | SLV A1 | Si | -0.1520 | -0.1504 | -0.1416 | -0.1428 | -46.7 | 2.7 |
| 049 | SLV A1 | Si | -0.2491 | -0.2522 | -0.2875 | -0.2838 | -13.8 | 32.0 |
| 050 | SLV A1 | Si | -0.1399 | -0.1426 | -0.1278 | -0.1249 | 36.3 | -37.4 |
| 051 | SLV A1 | Si | -0.2402 | -0.2412 | -0.2726 | -0.2710 | -36.3 | 37.5 |
| 052 | SLV A1 | Si | -0.1309 | -0.1316 | -0.1129 | -0.1121 | 13.9 | -31.9 |
| 053 | SLV A1 | Si | -0.2511 | -0.2542 | -0.2903 | -0.2867 | -13.2 | 30.9 |
| 054 | SLV A1 | Si | -0.1419 | -0.1446 | -0.1307 | -0.1279 | 37.0 | -38.6 |
| 055 | SLV A1 | Si | -0.2382 | -0.2392 | -0.2697 | -0.2681 | -37.0 | 38.7 |
| 056 | SLV A1 | Si | -0.1289 | -0.1296 | -0.1101 | -0.1092 | 13.2 | -30.7 |
| 057 | SLV A1 | Si | -0.2496 | -0.2528 | -0.2883 | -0.2845 | 34.8 | 31.9 |
| 058 | SLV A1 | Si | -0.1394 | -0.1420 | -0.1270 | -0.1243 | -12.3 | -37.3 |
| 059 | SLV A1 | Si | -0.2407 | -0.2418 | -0.2734 | -0.2716 | 12.3 | 37.4 |
| 060 | SLV A1 | Si | -0.1305 | -0.1310 | -0.1121 | -0.1115 | -34.7 | -31.8 |
| 061 | SLV A1 | Si | -0.2516 | -0.2548 | -0.2911 | -0.2874 | 35.4 | 30.7 |
| 062 | SLV A1 | Si | -0.1414 | -0.1440 | -0.1299 | -0.1272 | -11.6 | -38.5 |
| 063 | SLV A1 | Si | -0.2387 | -0.2398 | -0.2705 | -0.2687 | 11.7 | 38.6 |
| 064 | SLV A1 | Si | -0.1285 | -0.1290 | -0.1092 | -0.1085 | -35.4 | -30.6 |
| 065 | SLD | Si | -0.2043 | -0.2078 | -0.2224 | -0.2185 | 13.5 | 0.7 |
| 066 | SLD | Si | -0.1893 | -0.1927 | -0.2005 | -0.1968 | 20.4 | -8.9 |
| 067 | SLD | Si | -0.1908 | -0.1910 | -0.1999 | -0.1992 | -20.4 | 9.0 |
| 068 | SLD | Si | -0.1758 | -0.1760 | -0.1780 | -0.1774 | -13.5 | -0.5 |
| 069 | SLD | Si | -0.2043 | -0.2078 | -0.2225 | -0.2186 | 20.2 | 0.6 |
| 070 | SLD | Si | -0.1892 | -0.1927 | -0.2004 | -0.1967 | 13.8 | -8.8 |
| 071 | SLD | Si | -0.1908 | -0.1911 | -0.2000 | -0.1992 | -13.7 | 8.9 |
| 072 | SLD | Si | -0.1757 | -0.1760 | -0.1779 | -0.1773 | -20.1 | -0.5 |
| 073 | SLD | Si | -0.2073 | -0.2107 | -0.2267 | -0.2230 | 14.6 | -1.1 |
| 074 | SLD | Si | -0.1923 | -0.1957 | -0.2049 | -0.2012 | 21.4 | -10.6 |
| 075 | SLD | Si | -0.1877 | -0.1881 | -0.1955 | -0.1947 | -21.4 | 10.7 |
| 076 | SLD | Si | -0.1728 | -0.1731 | -0.1736 | -0.1729 | -14.5 | 1.2 |
| 077 | SLD | Si | -0.2074 | -0.2108 | -0.2268 | -0.2231 | 21.2 | -1.1 |
| 078 | SLD | Si | -0.1923 | -0.1956 | -0.2048 | -0.2011 | 14.8 | -10.6 |
| 079 | SLD | Si | -0.1878 | -0.1882 | -0.1956 | -0.1948 | -14.7 | 10.7 |
| 080 | SLD | Si | -0.1727 | -0.1730 | -0.1735 | -0.1729 | -21.2 | 1.3 |
| 081 | SLD | Si | -0.2170 | -0.2194 | -0.2400 | -0.2371 | -6.3 | 14.7 |
| 082 | SLD | Si | -0.1671 | -0.1694 | -0.1671 | -0.1646 | 16.5 | -17.0 |
| 083 | SLD | Si | -0.2129 | -0.2144 | -0.2333 | -0.2313 | -16.5 | 17.1 |
| 084 | SLD | Si | -0.1631 | -0.1644 | -0.1604 | -0.1588 | 6.4 | -14.5 |
| 085 | SLD | Si | -0.2179 | -0.2203 | -0.2413 | -0.2385 | -6.0 | 14.1 |
| 086 | SLD | Si | -0.1680 | -0.1703 | -0.1684 | -0.1659 | 16.8 | -17.6 |
| 087 | SLD | Si | -0.2120 | -0.2135 | -0.2319 | -0.2300 | -16.8 | 17.7 |
| 088 | SLD | Si | -0.1622 | -0.1635 | -0.1591 | -0.1575 | 6.1 | -14.0 |
| 089 | SLD | Si | -0.2172 | -0.2197 | -0.2404 | -0.2374 | 15.8 | 14.6 |
| 090 | SLD | Si | -0.1669 | -0.1691 | -0.1668 | -0.1643 | -5.6 | -17.0 |
| 091 | SLD | Si | -0.2131 | -0.2147 | -0.2336 | -0.2316 | 5.6 | 17.1 |
| 092 | SLD | Si | -0.1629 | -0.1641 | -0.1600 | -0.1585 | -15.8 | -14.5 |
| 093 | SLD | Si | -0.2181 | -0.2206 | -0.2417 | -0.2387 | 16.1 | 14.0 |
| 094 | SLD | Si | -0.1678 | -0.1700 | -0.1681 | -0.1657 | -5.3 | -17.5 |
| 095 | SLD | Si | -0.2122 | -0.2138 | -0.2323 | -0.2303 | 5.3 | 17.6 |
| 096 | SLD | Si | -0.1620 | -0.1632 | -0.1587 | -0.1572 | -16.1 | -13.9 |
| 097 | SLO | Si | -0.2012 | -0.2044 | -0.2177 | -0.2142 | 10.8 | 0.5 |
| 098 | SLO | Si | -0.1895 | -0.1926 | -0.2005 | -0.1971 | 16.2 | -7.0 |
| 099 | SLO | Si | -0.1906 | -0.1912 | -0.1998 | -0.1988 | -16.1 | 7.1 |
| 100 | SLO | Si | -0.1788 | -0.1794 | -0.1827 | -0.1817 | -10.7 | -0.4 |
| 101 | SLO | Si | -0.2014 | -0.2045 | -0.2179 | -0.2144 | 16.0 | 0.5 |

| | | | |
|--------------------------------------|------------------------------------------------------------------------------------------------------------------------------|----------------------------------------------------------------------------------|-------------|
| COMMITTENTE: Mecca Antonio | CODICE COMMESSA: | NOME ELABORATO: S1.5 - Relazione Geotecnica e delle Fondazioni | CONSULENTE: |
| DATA: Aprile 2023 | TITOLO: Lavori ultimazione di un fabbricato adibito ad albergo-ristorante- C.da Case Nuove Chicone Avigliano (PZ) | | |

| | | | | | | | | |
|-----|-----|----|---------|---------|---------|---------|-------|-------|
| 102 | SLO | Si | -0.1894 | -0.1925 | -0.2004 | -0.1969 | 10.9 | -7.0 |
| 103 | SLO | Si | -0.1907 | -0.1913 | -0.2000 | -0.1990 | -10.9 | 7.1 |
| 104 | SLO | Si | -0.1787 | -0.1793 | -0.1825 | -0.1816 | -16.0 | -0.4 |
| 105 | SLO | Si | -0.2036 | -0.2067 | -0.2211 | -0.2177 | 11.6 | -0.9 |
| 106 | SLO | Si | -0.1919 | -0.1950 | -0.2040 | -0.2006 | 17.0 | -8.4 |
| 107 | SLO | Si | -0.1882 | -0.1888 | -0.1964 | -0.1953 | -16.9 | 8.5 |
| 108 | SLO | Si | -0.1764 | -0.1771 | -0.1792 | -0.1782 | -11.5 | 1.0 |
| 109 | SLO | Si | -0.2038 | -0.2069 | -0.2213 | -0.2179 | 16.8 | -0.9 |
| 110 | SLO | Si | -0.1918 | -0.1948 | -0.2038 | -0.2005 | 11.7 | -8.4 |
| 111 | SLO | Si | -0.1883 | -0.1890 | -0.1966 | -0.1955 | -11.7 | 8.5 |
| 112 | SLO | Si | -0.1763 | -0.1769 | -0.1791 | -0.1781 | -16.8 | 1.0 |
| 113 | SLO | Si | -0.2112 | -0.2135 | -0.2315 | -0.2287 | -4.9 | 11.5 |
| 114 | SLO | Si | -0.1721 | -0.1743 | -0.1743 | -0.1718 | 13.1 | -13.4 |
| 115 | SLO | Si | -0.2080 | -0.2095 | -0.2261 | -0.2241 | -13.0 | 13.5 |
| 116 | SLO | Si | -0.1689 | -0.1703 | -0.1689 | -0.1672 | 5.0 | -11.4 |
| 117 | SLO | Si | -0.2119 | -0.2142 | -0.2325 | -0.2298 | -4.7 | 11.1 |
| 118 | SLO | Si | -0.1728 | -0.1750 | -0.1753 | -0.1729 | 13.3 | -13.8 |
| 119 | SLO | Si | -0.2073 | -0.2088 | -0.2251 | -0.2231 | -13.3 | 13.9 |
| 120 | SLO | Si | -0.1681 | -0.1696 | -0.1679 | -0.1661 | 4.7 | -11.0 |
| 121 | SLO | Si | -0.2116 | -0.2140 | -0.2321 | -0.2293 | 12.6 | 11.6 |
| 122 | SLO | Si | -0.1717 | -0.1738 | -0.1737 | -0.1712 | -4.4 | -13.5 |
| 123 | SLO | Si | -0.2084 | -0.2100 | -0.2267 | -0.2247 | 4.5 | 13.6 |
| 124 | SLO | Si | -0.1685 | -0.1698 | -0.1683 | -0.1666 | -12.5 | -11.5 |
| 125 | SLO | Si | -0.2123 | -0.2147 | -0.2331 | -0.2303 | 12.8 | 11.2 |
| 126 | SLO | Si | -0.1724 | -0.1745 | -0.1747 | -0.1723 | -4.2 | -13.9 |
| 127 | SLO | Si | -0.2077 | -0.2093 | -0.2257 | -0.2236 | 4.2 | 14.0 |
| 128 | SLO | Si | -0.1677 | -0.1691 | -0.1673 | -0.1656 | -12.8 | -11.1 |

Elemento: Platea n. 67

| Cmb | Tipo | Sism. | Press. N1 | Press. N2 | Press. N3 | Press. N4 | S. Taglio X | S. Taglio Y |
|-----|----------|-------|---------------------|---------------------|---------------------|---------------------|-------------|-------------|
| n. | | | daN/cm ² | daN/cm ² | daN/cm ² | daN/cm ² | daN | daN |
| 001 | SLU STR | No | -0.1683 | -0.1686 | -0.1726 | -0.1722 | 0.0 | 0.0 |
| 002 | SLU STR | No | -0.2208 | -0.2211 | -0.2251 | -0.2247 | 0.0 | 0.0 |
| 003 | SLU STR | No | -0.2461 | -0.2469 | -0.2627 | -0.2617 | -0.1 | 0.1 |
| 004 | SLU STR | No | -0.2986 | -0.2994 | -0.3152 | -0.3142 | -0.1 | 0.1 |
| 005 | SLU STR | No | -0.1244 | -0.1247 | -0.1275 | -0.1272 | 0.0 | 0.0 |
| 006 | SLU STR | No | -0.1769 | -0.1772 | -0.1800 | -0.1797 | 0.0 | 0.0 |
| 007 | SLU STR | No | -0.2022 | -0.2029 | -0.2176 | -0.2167 | -0.1 | 0.1 |
| 008 | SLU STR | No | -0.2547 | -0.2554 | -0.2701 | -0.2692 | -0.1 | 0.1 |
| 009 | SLU STR | No | -0.2433 | -0.2436 | -0.2476 | -0.2472 | 0.0 | 0.0 |
| 010 | SLU STR | No | -0.2227 | -0.2234 | -0.2357 | -0.2349 | -0.1 | 0.1 |
| 011 | SLU STR | No | -0.2977 | -0.2984 | -0.3107 | -0.3099 | -0.1 | 0.1 |
| 012 | SLU STR | No | -0.1994 | -0.1997 | -0.2025 | -0.2022 | 0.0 | 0.0 |
| 013 | SLU STR | No | -0.1788 | -0.1794 | -0.1905 | -0.1898 | -0.1 | 0.1 |
| 014 | SLU STR | No | -0.2538 | -0.2544 | -0.2655 | -0.2648 | -0.1 | 0.1 |
| 015 | SLE rare | No | -0.1273 | -0.1275 | -0.1305 | -0.1302 | 0.0 | 0.0 |
| 016 | SLE rare | No | -0.1623 | -0.1625 | -0.1655 | -0.1652 | 0.0 | 0.0 |
| 017 | SLE rare | No | -0.1791 | -0.1797 | -0.1905 | -0.1898 | -0.1 | 0.1 |
| 018 | SLE rare | No | -0.2141 | -0.2147 | -0.2255 | -0.2248 | -0.1 | 0.1 |
| 019 | SLE rare | No | -0.1773 | -0.1775 | -0.1805 | -0.1802 | 0.0 | 0.0 |
| 020 | SLE rare | No | -0.1636 | -0.1640 | -0.1725 | -0.1719 | 0.0 | 0.1 |
| 021 | SLE rare | No | -0.2136 | -0.2140 | -0.2225 | -0.2219 | 0.0 | 0.1 |
| 022 | SLE freq | No | -0.1273 | -0.1275 | -0.1305 | -0.1302 | 0.0 | 0.0 |
| 023 | SLE freq | No | -0.1573 | -0.1575 | -0.1605 | -0.1602 | 0.0 | 0.0 |
| 024 | SLE freq | No | -0.1636 | -0.1640 | -0.1725 | -0.1719 | 0.0 | 0.1 |
| 025 | SLE freq | No | -0.1936 | -0.1940 | -0.2025 | -0.2019 | 0.0 | 0.1 |
| 026 | SLE freq | No | -0.1623 | -0.1625 | -0.1655 | -0.1652 | 0.0 | 0.0 |
| 027 | SLE freq | No | -0.1584 | -0.1588 | -0.1665 | -0.1660 | 0.0 | 0.1 |
| 028 | SLE freq | No | -0.1934 | -0.1938 | -0.2015 | -0.2010 | 0.0 | 0.1 |
| 029 | SLE q.p. | No | -0.1273 | -0.1275 | -0.1305 | -0.1302 | 0.0 | 0.0 |
| 030 | SLE q.p. | No | -0.1573 | -0.1575 | -0.1605 | -0.1602 | 0.0 | 0.0 |
| 031 | SLE q.p. | No | -0.1584 | -0.1588 | -0.1665 | -0.1660 | 0.0 | 0.1 |
| 032 | SLE q.p. | No | -0.1884 | -0.1888 | -0.1965 | -0.1960 | 0.0 | 0.1 |
| 033 | SLV A1 | Si | -0.1946 | -0.1933 | -0.2020 | -0.2040 | 29.9 | 24.3 |
| 034 | SLV A1 | Si | -0.1611 | -0.1603 | -0.1542 | -0.1555 | 45.0 | 8.1 |
| 035 | SLV A1 | Si | -0.2157 | -0.2173 | -0.2388 | -0.2364 | -45.1 | -8.0 |
| 036 | SLV A1 | Si | -0.1822 | -0.1843 | -0.1910 | -0.1879 | -30.0 | -24.2 |
| 037 | SLV A1 | Si | -0.1946 | -0.1934 | -0.2022 | -0.2041 | 44.5 | 24.7 |
| 038 | SLV A1 | Si | -0.1610 | -0.1602 | -0.1540 | -0.1554 | 30.4 | 7.7 |
| 039 | SLV A1 | Si | -0.2157 | -0.2174 | -0.2390 | -0.2365 | -30.5 | -7.6 |
| 040 | SLV A1 | Si | -0.1821 | -0.1842 | -0.1908 | -0.1878 | -44.6 | -24.6 |

Relazione Geotecnica e delle Fondazioni

| | | | | | | | | |
|-----|--------|----|---------|---------|---------|---------|-------|-------|
| 041 | SLV A1 | Si | -0.1883 | -0.1865 | -0.1921 | -0.1941 | 32.1 | 28.0 |
| 042 | SLV A1 | Si | -0.1547 | -0.1536 | -0.1443 | -0.1457 | 47.2 | 11.8 |
| 043 | SLV A1 | Si | -0.2220 | -0.2241 | -0.2487 | -0.2462 | -47.3 | -11.7 |
| 044 | SLV A1 | Si | -0.1885 | -0.1911 | -0.2009 | -0.1978 | -32.2 | -27.9 |
| 045 | SLV A1 | Si | -0.1883 | -0.1866 | -0.1923 | -0.1943 | 46.7 | 28.4 |
| 046 | SLV A1 | Si | -0.1547 | -0.1535 | -0.1441 | -0.1456 | 32.6 | 11.4 |
| 047 | SLV A1 | Si | -0.2221 | -0.2242 | -0.2489 | -0.2464 | -32.7 | -11.3 |
| 048 | SLV A1 | Si | -0.1884 | -0.1910 | -0.2007 | -0.1977 | -46.8 | -28.2 |
| 049 | SLV A1 | Si | -0.2411 | -0.2402 | -0.2707 | -0.2719 | -14.0 | 32.0 |
| 050 | SLV A1 | Si | -0.1293 | -0.1302 | -0.1112 | -0.1103 | 36.4 | -22.2 |
| 051 | SLV A1 | Si | -0.2474 | -0.2474 | -0.2818 | -0.2816 | -36.5 | 22.3 |
| 052 | SLV A1 | Si | -0.1357 | -0.1374 | -0.1223 | -0.1200 | 13.9 | -31.9 |
| 053 | SLV A1 | Si | -0.2392 | -0.2381 | -0.2678 | -0.2689 | -13.3 | 33.1 |
| 054 | SLV A1 | Si | -0.1274 | -0.1282 | -0.1083 | -0.1074 | 37.0 | -21.1 |
| 055 | SLV A1 | Si | -0.2493 | -0.2494 | -0.2847 | -0.2846 | -37.1 | 21.2 |
| 056 | SLV A1 | Si | -0.1376 | -0.1395 | -0.1252 | -0.1230 | 13.2 | -33.0 |
| 057 | SLV A1 | Si | -0.2413 | -0.2405 | -0.2712 | -0.2722 | 34.8 | 33.1 |
| 058 | SLV A1 | Si | -0.1292 | -0.1299 | -0.1107 | -0.1100 | -12.4 | -23.3 |
| 059 | SLV A1 | Si | -0.2476 | -0.2477 | -0.2823 | -0.2820 | 12.3 | 23.4 |
| 060 | SLV A1 | Si | -0.1355 | -0.1371 | -0.1218 | -0.1197 | -34.9 | -33.0 |
| 061 | SLV A1 | Si | -0.2394 | -0.2385 | -0.2683 | -0.2693 | 35.5 | 34.2 |
| 062 | SLV A1 | Si | -0.1273 | -0.1279 | -0.1078 | -0.1070 | -11.7 | -22.2 |
| 063 | SLV A1 | Si | -0.2495 | -0.2497 | -0.2852 | -0.2849 | 11.6 | 22.3 |
| 064 | SLV A1 | Si | -0.1374 | -0.1392 | -0.1247 | -0.1226 | -35.6 | -34.1 |
| 065 | SLD | Si | -0.1912 | -0.1909 | -0.1991 | -0.1997 | 13.5 | 11.1 |
| 066 | SLD | Si | -0.1759 | -0.1758 | -0.1772 | -0.1775 | 20.4 | 3.7 |
| 067 | SLD | Si | -0.2008 | -0.2018 | -0.2158 | -0.2144 | -20.5 | -3.6 |
| 068 | SLD | Si | -0.1855 | -0.1867 | -0.1939 | -0.1923 | -13.6 | -11.0 |
| 069 | SLD | Si | -0.1913 | -0.1909 | -0.1991 | -0.1997 | 20.2 | 11.2 |
| 070 | SLD | Si | -0.1759 | -0.1758 | -0.1772 | -0.1775 | 13.7 | 3.5 |
| 071 | SLD | Si | -0.2008 | -0.2018 | -0.2158 | -0.2144 | -13.8 | -3.4 |
| 072 | SLD | Si | -0.1855 | -0.1867 | -0.1939 | -0.1922 | -20.2 | -11.1 |
| 073 | SLD | Si | -0.1883 | -0.1878 | -0.1946 | -0.1952 | 14.5 | 12.7 |
| 074 | SLD | Si | -0.1730 | -0.1728 | -0.1727 | -0.1731 | 21.4 | 5.3 |
| 075 | SLD | Si | -0.2037 | -0.2049 | -0.2203 | -0.2189 | -21.5 | -5.2 |
| 076 | SLD | Si | -0.1884 | -0.1898 | -0.1984 | -0.1968 | -14.6 | -12.6 |
| 077 | SLD | Si | -0.1884 | -0.1878 | -0.1946 | -0.1952 | 21.2 | 12.9 |
| 078 | SLD | Si | -0.1730 | -0.1727 | -0.1727 | -0.1730 | 14.7 | 5.2 |
| 079 | SLD | Si | -0.2037 | -0.2049 | -0.2204 | -0.2189 | -14.8 | -5.1 |
| 080 | SLD | Si | -0.1884 | -0.1898 | -0.1984 | -0.1967 | -21.3 | -12.8 |
| 081 | SLD | Si | -0.2124 | -0.2123 | -0.2304 | -0.2306 | -6.4 | 14.6 |
| 082 | SLD | Si | -0.1614 | -0.1621 | -0.1576 | -0.1569 | 16.5 | -10.1 |
| 083 | SLD | Si | -0.2153 | -0.2155 | -0.2354 | -0.2350 | -16.6 | 10.2 |
| 084 | SLD | Si | -0.1643 | -0.1654 | -0.1626 | -0.1613 | 6.3 | -14.4 |
| 085 | SLD | Si | -0.2116 | -0.2113 | -0.2290 | -0.2293 | -6.1 | 15.1 |
| 086 | SLD | Si | -0.1606 | -0.1612 | -0.1562 | -0.1555 | 16.8 | -9.6 |
| 087 | SLD | Si | -0.2162 | -0.2165 | -0.2368 | -0.2364 | -16.9 | 9.7 |
| 088 | SLD | Si | -0.1652 | -0.1663 | -0.1640 | -0.1626 | 6.0 | -15.0 |
| 089 | SLD | Si | -0.2125 | -0.2124 | -0.2306 | -0.2308 | 15.8 | 15.1 |
| 090 | SLD | Si | -0.1614 | -0.1620 | -0.1574 | -0.1567 | -5.7 | -10.6 |
| 091 | SLD | Si | -0.2154 | -0.2157 | -0.2356 | -0.2352 | 5.6 | 10.7 |
| 092 | SLD | Si | -0.1642 | -0.1652 | -0.1624 | -0.1612 | -15.9 | -15.0 |
| 093 | SLD | Si | -0.2116 | -0.2115 | -0.2293 | -0.2294 | 16.1 | 15.6 |
| 094 | SLD | Si | -0.1605 | -0.1610 | -0.1560 | -0.1554 | -5.4 | -10.1 |
| 095 | SLD | Si | -0.2163 | -0.2166 | -0.2370 | -0.2365 | 5.3 | 10.2 |
| 096 | SLD | Si | -0.1651 | -0.1661 | -0.1637 | -0.1625 | -16.2 | -15.5 |
| 097 | SLO | Si | -0.1906 | -0.1904 | -0.1984 | -0.1988 | 10.7 | 8.8 |
| 098 | SLO | Si | -0.1786 | -0.1786 | -0.1813 | -0.1814 | 16.1 | 2.9 |
| 099 | SLO | Si | -0.1982 | -0.1990 | -0.2117 | -0.2105 | -16.2 | -2.8 |
| 100 | SLO | Si | -0.1862 | -0.1872 | -0.1946 | -0.1931 | -10.8 | -8.7 |
| 101 | SLO | Si | -0.1907 | -0.1905 | -0.1986 | -0.1989 | 16.0 | 8.9 |
| 102 | SLO | Si | -0.1785 | -0.1785 | -0.1812 | -0.1813 | 10.9 | 2.8 |
| 103 | SLO | Si | -0.1983 | -0.1991 | -0.2118 | -0.2106 | -11.0 | -2.7 |
| 104 | SLO | Si | -0.1861 | -0.1871 | -0.1944 | -0.1930 | -16.1 | -8.8 |
| 105 | SLO | Si | -0.1883 | -0.1880 | -0.1949 | -0.1953 | 11.5 | 10.1 |
| 106 | SLO | Si | -0.1763 | -0.1762 | -0.1778 | -0.1779 | 16.9 | 4.3 |
| 107 | SLO | Si | -0.2004 | -0.2015 | -0.2152 | -0.2140 | -17.0 | -4.2 |
| 108 | SLO | Si | -0.1884 | -0.1897 | -0.1981 | -0.1967 | -11.6 | -10.0 |
| 109 | SLO | Si | -0.1884 | -0.1881 | -0.1950 | -0.1954 | 16.8 | 10.2 |
| 110 | SLO | Si | -0.1762 | -0.1761 | -0.1776 | -0.1778 | 11.7 | 4.1 |
| 111 | SLO | Si | -0.2005 | -0.2016 | -0.2154 | -0.2142 | -11.8 | -4.0 |
| 112 | SLO | Si | -0.1884 | -0.1895 | -0.1980 | -0.1965 | -16.9 | -10.1 |
| 113 | SLO | Si | -0.2072 | -0.2072 | -0.2231 | -0.2231 | -5.0 | 11.5 |
| 114 | SLO | Si | -0.1672 | -0.1678 | -0.1660 | -0.1653 | 13.0 | -7.9 |

| | | | |
|--------------------------------------|----------------------------------------------------------------------------------------------------------------------|----------------------------------------------------------------------------------|-------------|
| COMMITTENTE: Mecca Antonio | CODICE COMMESSA: | NOME ELABORATO: S1.5 - Relazione Geotecnica e delle Fondazioni | CONSULENTE: |
| DATA: Aprile 2023 | TITOLO: Lavori ultimazione di un fabbricato adibito ad albergo-ristorante- C.da Case Nuove Chicone Avigliano (PZ) | | |

| | | | | | | | | |
|-----|-----|----|---------|---------|---------|---------|-------|-------|
| 115 | SLO | Si | -0.2095 | -0.2098 | -0.2271 | -0.2266 | -13.1 | 8.0 |
| 116 | SLO | Si | -0.1695 | -0.1704 | -0.1699 | -0.1688 | 4.9 | -11.4 |
| 117 | SLO | Si | -0.2066 | -0.2065 | -0.2220 | -0.2221 | -4.8 | 11.9 |
| 118 | SLO | Si | -0.1665 | -0.1671 | -0.1649 | -0.1642 | 13.3 | -7.5 |
| 119 | SLO | Si | -0.2102 | -0.2105 | -0.2281 | -0.2277 | -13.4 | 7.6 |
| 120 | SLO | Si | -0.1702 | -0.1711 | -0.1710 | -0.1698 | 4.7 | -11.8 |
| 121 | SLO | Si | -0.2075 | -0.2075 | -0.2236 | -0.2236 | 12.5 | 12.0 |
| 122 | SLO | Si | -0.1669 | -0.1675 | -0.1654 | -0.1648 | -4.5 | -8.4 |
| 123 | SLO | Si | -0.2098 | -0.2101 | -0.2276 | -0.2271 | 4.4 | 8.5 |
| 124 | SLO | Si | -0.1692 | -0.1701 | -0.1694 | -0.1683 | -12.6 | -11.9 |
| 125 | SLO | Si | -0.2069 | -0.2068 | -0.2225 | -0.2225 | 12.8 | 12.4 |
| 126 | SLO | Si | -0.1662 | -0.1668 | -0.1644 | -0.1638 | -4.3 | -8.0 |
| 127 | SLO | Si | -0.2105 | -0.2109 | -0.2286 | -0.2282 | 4.2 | 8.1 |
| 128 | SLO | Si | -0.1699 | -0.1708 | -0.1705 | -0.1694 | -12.9 | -12.3 |

Elemento: Platea n. 68

| Cmb | Tipo | Sism. | Press. N1 | Press. N2 | Press. N3 | Press. N4 | S. Taglio X | S. Taglio Y |
|-----|----------|-------|---------------------|---------------------|---------------------|---------------------|-------------|-------------|
| n. | | | daN/cm ² | daN/cm ² | daN/cm ² | daN/cm ² | daN | daN |
| 001 | SLU STR | No | -0.1692 | -0.1683 | -0.1722 | -0.1724 | 0.0 | 0.0 |
| 002 | SLU STR | No | -0.2217 | -0.2208 | -0.2247 | -0.2249 | 0.0 | 0.0 |
| 003 | SLU STR | No | -0.2500 | -0.2461 | -0.2617 | -0.2626 | -0.2 | 0.1 |
| 004 | SLU STR | No | -0.3025 | -0.2986 | -0.3142 | -0.3151 | -0.2 | 0.1 |
| 005 | SLU STR | No | -0.1251 | -0.1244 | -0.1272 | -0.1273 | 0.0 | 0.0 |
| 006 | SLU STR | No | -0.1776 | -0.1769 | -0.1797 | -0.1798 | 0.0 | 0.0 |
| 007 | SLU STR | No | -0.2058 | -0.2022 | -0.2167 | -0.2175 | -0.2 | 0.1 |
| 008 | SLU STR | No | -0.2583 | -0.2547 | -0.2692 | -0.2700 | -0.2 | 0.1 |
| 009 | SLU STR | No | -0.2442 | -0.2433 | -0.2472 | -0.2474 | 0.0 | 0.0 |
| 010 | SLU STR | No | -0.2258 | -0.2227 | -0.2349 | -0.2355 | -0.1 | 0.1 |
| 011 | SLU STR | No | -0.3008 | -0.2977 | -0.3099 | -0.3105 | -0.1 | 0.1 |
| 012 | SLU STR | No | -0.2001 | -0.1994 | -0.2022 | -0.2023 | 0.0 | 0.0 |
| 013 | SLU STR | No | -0.1816 | -0.1788 | -0.1898 | -0.1904 | -0.1 | 0.1 |
| 014 | SLU STR | No | -0.2566 | -0.2538 | -0.2648 | -0.2654 | -0.1 | 0.1 |
| 015 | SLE rare | No | -0.1280 | -0.1273 | -0.1302 | -0.1303 | 0.0 | 0.0 |
| 016 | SLE rare | No | -0.1630 | -0.1623 | -0.1652 | -0.1653 | 0.0 | 0.0 |
| 017 | SLE rare | No | -0.1818 | -0.1791 | -0.1898 | -0.1904 | -0.1 | 0.1 |
| 018 | SLE rare | No | -0.2168 | -0.2141 | -0.2248 | -0.2254 | -0.1 | 0.1 |
| 019 | SLE rare | No | -0.1780 | -0.1773 | -0.1802 | -0.1803 | 0.0 | 0.0 |
| 020 | SLE rare | No | -0.1656 | -0.1636 | -0.1719 | -0.1724 | -0.1 | 0.0 |
| 021 | SLE rare | No | -0.2156 | -0.2136 | -0.2219 | -0.2224 | -0.1 | 0.0 |
| 022 | SLE freq | No | -0.1280 | -0.1273 | -0.1302 | -0.1303 | 0.0 | 0.0 |
| 023 | SLE freq | No | -0.1580 | -0.1573 | -0.1602 | -0.1603 | 0.0 | 0.0 |
| 024 | SLE freq | No | -0.1656 | -0.1636 | -0.1719 | -0.1724 | -0.1 | 0.0 |
| 025 | SLE freq | No | -0.1956 | -0.1936 | -0.2019 | -0.2024 | -0.1 | 0.0 |
| 026 | SLE freq | No | -0.1630 | -0.1623 | -0.1652 | -0.1653 | 0.0 | 0.0 |
| 027 | SLE freq | No | -0.1603 | -0.1584 | -0.1660 | -0.1664 | -0.1 | 0.0 |
| 028 | SLE freq | No | -0.1953 | -0.1934 | -0.2010 | -0.2014 | -0.1 | 0.0 |
| 029 | SLE q.p. | No | -0.1280 | -0.1273 | -0.1302 | -0.1303 | 0.0 | 0.0 |
| 030 | SLE q.p. | No | -0.1580 | -0.1573 | -0.1602 | -0.1603 | 0.0 | 0.0 |
| 031 | SLE q.p. | No | -0.1603 | -0.1584 | -0.1660 | -0.1664 | -0.1 | 0.0 |
| 032 | SLE q.p. | No | -0.1903 | -0.1884 | -0.1960 | -0.1964 | -0.1 | 0.0 |
| 033 | SLV A1 | Si | -0.1971 | -0.1946 | -0.2040 | -0.2058 | 26.8 | 24.7 |
| 034 | SLV A1 | Si | -0.1596 | -0.1611 | -0.1555 | -0.1563 | 40.5 | 11.4 |
| 035 | SLV A1 | Si | -0.2209 | -0.2157 | -0.2364 | -0.2364 | -40.6 | -11.3 |
| 036 | SLV A1 | Si | -0.1835 | -0.1822 | -0.1879 | -0.1869 | -26.9 | -24.7 |
| 037 | SLV A1 | Si | -0.1971 | -0.1946 | -0.2041 | -0.2059 | 40.0 | 25.1 |
| 038 | SLV A1 | Si | -0.1596 | -0.1610 | -0.1554 | -0.1562 | 27.2 | 11.0 |
| 039 | SLV A1 | Si | -0.2209 | -0.2157 | -0.2365 | -0.2365 | -27.4 | -10.9 |
| 040 | SLV A1 | Si | -0.1834 | -0.1821 | -0.1878 | -0.1868 | -40.2 | -25.1 |
| 041 | SLV A1 | Si | -0.1911 | -0.1883 | -0.1941 | -0.1965 | 28.8 | 28.2 |
| 042 | SLV A1 | Si | -0.1537 | -0.1547 | -0.1457 | -0.1470 | 42.5 | 14.9 |
| 043 | SLV A1 | Si | -0.2268 | -0.2220 | -0.2462 | -0.2457 | -42.6 | -14.8 |
| 044 | SLV A1 | Si | -0.1894 | -0.1885 | -0.1978 | -0.1962 | -29.0 | -28.2 |
| 045 | SLV A1 | Si | -0.1911 | -0.1883 | -0.1943 | -0.1966 | 42.0 | 28.6 |
| 046 | SLV A1 | Si | -0.1537 | -0.1547 | -0.1456 | -0.1470 | 29.2 | 14.5 |
| 047 | SLV A1 | Si | -0.2269 | -0.2221 | -0.2464 | -0.2457 | -29.4 | -14.4 |
| 048 | SLV A1 | Si | -0.1894 | -0.1884 | -0.1977 | -0.1961 | -42.2 | -28.6 |
| 049 | SLV A1 | Si | -0.2491 | -0.2411 | -0.2719 | -0.2743 | -12.7 | 27.7 |
| 050 | SLV A1 | Si | -0.1243 | -0.1293 | -0.1103 | -0.1092 | 32.8 | -16.8 |
| 051 | SLV A1 | Si | -0.2562 | -0.2474 | -0.2816 | -0.2835 | -32.9 | 16.9 |
| 052 | SLV A1 | Si | -0.1314 | -0.1357 | -0.1200 | -0.1184 | 12.6 | -27.6 |
| 053 | SLV A1 | Si | -0.2473 | -0.2392 | -0.2689 | -0.2715 | -12.1 | 28.7 |

Relazione Geotecnica e delle Fondazioni

| | | | | | | | | |
|-----|--------|----|---------|---------|---------|---------|-------|-------|
| 054 | SLV A1 | Si | -0.1225 | -0.1274 | -0.1074 | -0.1064 | 33.4 | -15.8 |
| 055 | SLV A1 | Si | -0.2580 | -0.2493 | -0.2846 | -0.2863 | -33.6 | 15.8 |
| 056 | SLV A1 | Si | -0.1332 | -0.1376 | -0.1230 | -0.1212 | 12.0 | -28.7 |
| 057 | SLV A1 | Si | -0.2492 | -0.2413 | -0.2722 | -0.2745 | 31.4 | 29.0 |
| 058 | SLV A1 | Si | -0.1242 | -0.1292 | -0.1100 | -0.1090 | -11.3 | -18.1 |
| 059 | SLV A1 | Si | -0.2563 | -0.2476 | -0.2820 | -0.2837 | 11.2 | 18.2 |
| 060 | SLV A1 | Si | -0.1314 | -0.1355 | -0.1197 | -0.1182 | -31.5 | -28.9 |
| 061 | SLV A1 | Si | -0.2474 | -0.2394 | -0.2693 | -0.2717 | 32.0 | 30.1 |
| 062 | SLV A1 | Si | -0.1224 | -0.1273 | -0.1070 | -0.1063 | -10.7 | -17.1 |
| 063 | SLV A1 | Si | -0.2581 | -0.2495 | -0.2849 | -0.2865 | 10.5 | 17.1 |
| 064 | SLV A1 | Si | -0.1331 | -0.1374 | -0.1226 | -0.1210 | -32.1 | -30.0 |
| 065 | SLD | Si | -0.1934 | -0.1912 | -0.1997 | -0.2007 | 12.1 | 11.2 |
| 066 | SLD | Si | -0.1763 | -0.1759 | -0.1775 | -0.1781 | 18.3 | 5.2 |
| 067 | SLD | Si | -0.2042 | -0.2008 | -0.2144 | -0.2146 | -18.5 | -5.1 |
| 068 | SLD | Si | -0.1871 | -0.1855 | -0.1923 | -0.1920 | -12.2 | -11.1 |
| 069 | SLD | Si | -0.1934 | -0.1913 | -0.1997 | -0.2007 | 18.1 | 11.4 |
| 070 | SLD | Si | -0.1763 | -0.1759 | -0.1775 | -0.1781 | 12.3 | 5.0 |
| 071 | SLD | Si | -0.2042 | -0.2008 | -0.2144 | -0.2146 | -12.4 | -4.9 |
| 072 | SLD | Si | -0.1871 | -0.1855 | -0.1922 | -0.1920 | -18.3 | -11.3 |
| 073 | SLD | Si | -0.1907 | -0.1883 | -0.1952 | -0.1965 | 13.0 | 12.8 |
| 074 | SLD | Si | -0.1736 | -0.1730 | -0.1731 | -0.1739 | 19.2 | 6.8 |
| 075 | SLD | Si | -0.2069 | -0.2037 | -0.2189 | -0.2188 | -19.4 | -6.7 |
| 076 | SLD | Si | -0.1898 | -0.1884 | -0.1968 | -0.1962 | -13.2 | -12.7 |
| 077 | SLD | Si | -0.1907 | -0.1884 | -0.1952 | -0.1965 | 19.0 | 13.0 |
| 078 | SLD | Si | -0.1736 | -0.1730 | -0.1730 | -0.1738 | 13.2 | 6.6 |
| 079 | SLD | Si | -0.2069 | -0.2037 | -0.2189 | -0.2189 | -13.4 | -6.5 |
| 080 | SLD | Si | -0.1898 | -0.1884 | -0.1967 | -0.1962 | -19.2 | -12.9 |
| 081 | SLD | Si | -0.2171 | -0.2124 | -0.2306 | -0.2320 | -5.9 | 12.6 |
| 082 | SLD | Si | -0.1601 | -0.1614 | -0.1569 | -0.1566 | 14.9 | -7.6 |
| 083 | SLD | Si | -0.2204 | -0.2153 | -0.2350 | -0.2361 | -15.0 | 7.7 |
| 084 | SLD | Si | -0.1634 | -0.1643 | -0.1613 | -0.1608 | 5.7 | -12.5 |
| 085 | SLD | Si | -0.2163 | -0.2116 | -0.2293 | -0.2307 | -5.6 | 13.0 |
| 086 | SLD | Si | -0.1593 | -0.1606 | -0.1555 | -0.1553 | 15.2 | -7.1 |
| 087 | SLD | Si | -0.2212 | -0.2162 | -0.2364 | -0.2374 | -15.3 | 7.2 |
| 088 | SLD | Si | -0.1642 | -0.1652 | -0.1626 | -0.1620 | 5.4 | -13.0 |
| 089 | SLD | Si | -0.2171 | -0.2125 | -0.2308 | -0.2320 | 14.2 | 13.2 |
| 090 | SLD | Si | -0.1601 | -0.1614 | -0.1567 | -0.1565 | -5.2 | -8.2 |
| 091 | SLD | Si | -0.2204 | -0.2154 | -0.2352 | -0.2362 | 5.1 | 8.3 |
| 092 | SLD | Si | -0.1634 | -0.1642 | -0.1612 | -0.1607 | -14.4 | -13.1 |
| 093 | SLD | Si | -0.2163 | -0.2116 | -0.2294 | -0.2307 | 14.5 | 13.6 |
| 094 | SLD | Si | -0.1593 | -0.1605 | -0.1554 | -0.1553 | -4.9 | -7.7 |
| 095 | SLD | Si | -0.2212 | -0.2163 | -0.2365 | -0.2375 | 4.8 | 7.8 |
| 096 | SLD | Si | -0.1642 | -0.1651 | -0.1625 | -0.1620 | -14.6 | -13.6 |
| 097 | SLO | Si | -0.1927 | -0.1906 | -0.1988 | -0.1997 | 9.6 | 8.9 |
| 098 | SLO | Si | -0.1793 | -0.1786 | -0.1814 | -0.1820 | 14.5 | 4.1 |
| 099 | SLO | Si | -0.2013 | -0.1982 | -0.2105 | -0.2107 | -14.6 | -4.0 |
| 100 | SLO | Si | -0.1878 | -0.1862 | -0.1931 | -0.1930 | -9.7 | -8.8 |
| 101 | SLO | Si | -0.1928 | -0.1907 | -0.1989 | -0.1998 | 14.4 | 9.0 |
| 102 | SLO | Si | -0.1792 | -0.1785 | -0.1813 | -0.1819 | 9.7 | 4.0 |
| 103 | SLO | Si | -0.2013 | -0.1983 | -0.2106 | -0.2109 | -9.9 | -3.9 |
| 104 | SLO | Si | -0.1878 | -0.1861 | -0.1930 | -0.1929 | -14.5 | -9.0 |
| 105 | SLO | Si | -0.1905 | -0.1883 | -0.1953 | -0.1964 | 10.3 | 10.2 |
| 106 | SLO | Si | -0.1771 | -0.1763 | -0.1779 | -0.1787 | 15.2 | 5.4 |
| 107 | SLO | Si | -0.2034 | -0.2004 | -0.2140 | -0.2141 | -15.4 | -5.3 |
| 108 | SLO | Si | -0.1900 | -0.1884 | -0.1967 | -0.1963 | -10.5 | -10.1 |
| 109 | SLO | Si | -0.1906 | -0.1884 | -0.1954 | -0.1965 | 15.1 | 10.3 |
| 110 | SLO | Si | -0.1771 | -0.1762 | -0.1778 | -0.1785 | 10.5 | 5.2 |
| 111 | SLO | Si | -0.2035 | -0.2005 | -0.2142 | -0.2142 | -10.6 | -5.2 |
| 112 | SLO | Si | -0.1899 | -0.1884 | -0.1965 | -0.1962 | -15.2 | -10.2 |
| 113 | SLO | Si | -0.2113 | -0.2072 | -0.2231 | -0.2243 | -4.6 | 9.9 |
| 114 | SLO | Si | -0.1666 | -0.1672 | -0.1653 | -0.1651 | 11.7 | -6.0 |
| 115 | SLO | Si | -0.2139 | -0.2095 | -0.2266 | -0.2276 | -11.9 | 6.0 |
| 116 | SLO | Si | -0.1692 | -0.1695 | -0.1688 | -0.1684 | 4.5 | -9.9 |
| 117 | SLO | Si | -0.2107 | -0.2066 | -0.2221 | -0.2233 | -4.4 | 10.3 |
| 118 | SLO | Si | -0.1660 | -0.1665 | -0.1642 | -0.1641 | 11.9 | -5.6 |
| 119 | SLO | Si | -0.2145 | -0.2102 | -0.2277 | -0.2286 | -12.1 | 5.7 |
| 120 | SLO | Si | -0.1698 | -0.1702 | -0.1698 | -0.1694 | 4.2 | -10.2 |
| 121 | SLO | Si | -0.2116 | -0.2075 | -0.2236 | -0.2247 | 11.3 | 10.5 |
| 122 | SLO | Si | -0.1663 | -0.1669 | -0.1648 | -0.1647 | -4.2 | -6.5 |
| 123 | SLO | Si | -0.2142 | -0.2098 | -0.2271 | -0.2280 | 4.0 | 6.6 |
| 124 | SLO | Si | -0.1689 | -0.1692 | -0.1683 | -0.1680 | -11.4 | -10.4 |
| 125 | SLO | Si | -0.2110 | -0.2069 | -0.2225 | -0.2237 | 11.5 | 10.8 |
| 126 | SLO | Si | -0.1657 | -0.1662 | -0.1638 | -0.1637 | -3.9 | -6.1 |
| 127 | SLO | Si | -0.2148 | -0.2105 | -0.2282 | -0.2290 | 3.8 | 6.2 |

| | | | |
|--------------------------------------|----------------------------------------------------------------------------------------------------------------------|----------------------------------------------------------------------------------|-------------|
| COMMITTENTE: Mecca Antonio | CODICE COMMESSA: | NOME ELABORATO: S1.5 - Relazione Geotecnica e delle Fondazioni | CONSULENTE: |
| DATA: Aprile 2023 | TITOLO: Lavori ultimazione di un fabbricato adibito ad albergo-ristorante- C.da Case Nuove Chicone Avigliano (PZ) | | |

128 SLO Si -0.1696 -0.1699 -0.1694 -0.1690 -11.6 -10.8

Elemento: Platea n. 69

| Cmb | Tipo | Sism. | Press. N1 | Press. N2 | Press. N3 | Press. N4 | S. Taglio X | S. Taglio Y |
|-----|----------|-------|---------------------|---------------------|---------------------|---------------------|-------------|-------------|
| n. | | | daN/cm ² | daN/cm ² | daN/cm ² | daN/cm ² | daN | daN |
| 001 | SLU STR | No | -0.1705 | -0.1692 | -0.1724 | -0.1729 | 0.0 | 0.0 |
| 002 | SLU STR | No | -0.2230 | -0.2217 | -0.2249 | -0.2254 | 0.0 | 0.0 |
| 003 | SLU STR | No | -0.2551 | -0.2500 | -0.2626 | -0.2650 | -0.2 | 0.0 |
| 004 | SLU STR | No | -0.3076 | -0.3025 | -0.3151 | -0.3175 | -0.2 | 0.0 |
| 005 | SLU STR | No | -0.1259 | -0.1251 | -0.1273 | -0.1277 | 0.0 | 0.0 |
| 006 | SLU STR | No | -0.1784 | -0.1776 | -0.1798 | -0.1802 | 0.0 | 0.0 |
| 007 | SLU STR | No | -0.2105 | -0.2058 | -0.2175 | -0.2197 | -0.2 | 0.0 |
| 008 | SLU STR | No | -0.2630 | -0.2583 | -0.2700 | -0.2722 | -0.2 | 0.0 |
| 009 | SLU STR | No | -0.2455 | -0.2442 | -0.2474 | -0.2479 | 0.0 | 0.0 |
| 010 | SLU STR | No | -0.2297 | -0.2258 | -0.2355 | -0.2374 | -0.1 | 0.0 |
| 011 | SLU STR | No | -0.3047 | -0.3008 | -0.3105 | -0.3124 | -0.1 | 0.0 |
| 012 | SLU STR | No | -0.2009 | -0.2001 | -0.2023 | -0.2027 | 0.0 | 0.0 |
| 013 | SLU STR | No | -0.1852 | -0.1816 | -0.1904 | -0.1921 | -0.1 | 0.0 |
| 014 | SLU STR | No | -0.2602 | -0.2566 | -0.2654 | -0.2671 | -0.1 | 0.0 |
| 015 | SLE rare | No | -0.1289 | -0.1280 | -0.1303 | -0.1307 | 0.0 | 0.0 |
| 016 | SLE rare | No | -0.1639 | -0.1630 | -0.1653 | -0.1657 | 0.0 | 0.0 |
| 017 | SLE rare | No | -0.1853 | -0.1818 | -0.1904 | -0.1921 | -0.1 | 0.0 |
| 018 | SLE rare | No | -0.2203 | -0.2168 | -0.2254 | -0.2271 | -0.1 | 0.0 |
| 019 | SLE rare | No | -0.1789 | -0.1780 | -0.1803 | -0.1807 | 0.0 | 0.0 |
| 020 | SLE rare | No | -0.1684 | -0.1656 | -0.1724 | -0.1736 | -0.1 | 0.0 |
| 021 | SLE rare | No | -0.2184 | -0.2156 | -0.2224 | -0.2236 | -0.1 | 0.0 |
| 022 | SLE freq | No | -0.1289 | -0.1280 | -0.1303 | -0.1307 | 0.0 | 0.0 |
| 023 | SLE freq | No | -0.1589 | -0.1580 | -0.1603 | -0.1607 | 0.0 | 0.0 |
| 024 | SLE freq | No | -0.1684 | -0.1656 | -0.1724 | -0.1736 | -0.1 | 0.0 |
| 025 | SLE freq | No | -0.1984 | -0.1956 | -0.2024 | -0.2036 | -0.1 | 0.0 |
| 026 | SLE freq | No | -0.1639 | -0.1630 | -0.1653 | -0.1657 | 0.0 | 0.0 |
| 027 | SLE freq | No | -0.1627 | -0.1603 | -0.1664 | -0.1675 | -0.1 | 0.0 |
| 028 | SLE freq | No | -0.1977 | -0.1953 | -0.2014 | -0.2025 | -0.1 | 0.0 |
| 029 | SLE q.p. | No | -0.1289 | -0.1280 | -0.1303 | -0.1307 | 0.0 | 0.0 |
| 030 | SLE q.p. | No | -0.1589 | -0.1580 | -0.1603 | -0.1607 | 0.0 | 0.0 |
| 031 | SLE q.p. | No | -0.1627 | -0.1603 | -0.1664 | -0.1675 | -0.1 | 0.0 |
| 032 | SLE q.p. | No | -0.1927 | -0.1903 | -0.1964 | -0.1975 | -0.1 | 0.0 |
| 033 | SLV A1 | Si | -0.1988 | -0.1971 | -0.2058 | -0.2068 | 21.1 | 22.1 |
| 034 | SLV A1 | Si | -0.1573 | -0.1596 | -0.1563 | -0.1559 | 32.0 | 11.9 |
| 035 | SLV A1 | Si | -0.2281 | -0.2209 | -0.2364 | -0.2391 | -32.2 | -11.9 |
| 036 | SLV A1 | Si | -0.1866 | -0.1835 | -0.1869 | -0.1882 | -21.3 | -22.0 |
| 037 | SLV A1 | Si | -0.1988 | -0.1971 | -0.2059 | -0.2068 | 31.7 | 22.4 |
| 038 | SLV A1 | Si | -0.1573 | -0.1596 | -0.1562 | -0.1559 | 21.4 | 11.6 |
| 039 | SLV A1 | Si | -0.2281 | -0.2209 | -0.2365 | -0.2391 | -21.6 | -11.6 |
| 040 | SLV A1 | Si | -0.1866 | -0.1834 | -0.1868 | -0.1882 | -31.8 | -22.3 |
| 041 | SLV A1 | Si | -0.1938 | -0.1911 | -0.1965 | -0.1988 | 22.7 | 25.1 |
| 042 | SLV A1 | Si | -0.1523 | -0.1537 | -0.1470 | -0.1479 | 33.6 | 14.9 |
| 043 | SLV A1 | Si | -0.2332 | -0.2268 | -0.2457 | -0.2471 | -33.8 | -14.9 |
| 044 | SLV A1 | Si | -0.1917 | -0.1894 | -0.1962 | -0.1962 | -22.9 | -25.0 |
| 045 | SLV A1 | Si | -0.1937 | -0.1911 | -0.1966 | -0.1988 | 33.3 | 25.4 |
| 046 | SLV A1 | Si | -0.1523 | -0.1537 | -0.1470 | -0.1479 | 23.1 | 14.6 |
| 047 | SLV A1 | Si | -0.2331 | -0.2269 | -0.2457 | -0.2471 | -23.2 | -14.6 |
| 048 | SLV A1 | Si | -0.1917 | -0.1894 | -0.1961 | -0.1962 | -33.5 | -25.3 |
| 049 | SLV A1 | Si | -0.2575 | -0.2491 | -0.2743 | -0.2775 | -10.3 | 22.1 |
| 050 | SLV A1 | Si | -0.1192 | -0.1243 | -0.1092 | -0.1078 | 26.1 | -11.8 |
| 051 | SLV A1 | Si | -0.2663 | -0.2562 | -0.2835 | -0.2872 | -26.3 | 11.9 |
| 052 | SLV A1 | Si | -0.1280 | -0.1314 | -0.1184 | -0.1175 | 10.1 | -22.0 |
| 053 | SLV A1 | Si | -0.2560 | -0.2473 | -0.2715 | -0.2752 | -9.8 | 23.0 |
| 054 | SLV A1 | Si | -0.1177 | -0.1225 | -0.1064 | -0.1054 | 26.6 | -11.0 |
| 055 | SLV A1 | Si | -0.2678 | -0.2580 | -0.2863 | -0.2896 | -26.8 | 11.0 |
| 056 | SLV A1 | Si | -0.1295 | -0.1332 | -0.1212 | -0.1199 | 9.6 | -22.9 |
| 057 | SLV A1 | Si | -0.2574 | -0.2492 | -0.2745 | -0.2776 | 24.9 | 23.1 |
| 058 | SLV A1 | Si | -0.1192 | -0.1242 | -0.1090 | -0.1078 | -9.1 | -12.9 |
| 059 | SLV A1 | Si | -0.2662 | -0.2563 | -0.2837 | -0.2873 | 9.0 | 12.9 |
| 060 | SLV A1 | Si | -0.1280 | -0.1314 | -0.1182 | -0.1175 | -25.1 | -23.0 |
| 061 | SLV A1 | Si | -0.2559 | -0.2474 | -0.2717 | -0.2752 | 25.4 | 24.0 |
| 062 | SLV A1 | Si | -0.1177 | -0.1224 | -0.1063 | -0.1054 | -8.7 | -12.0 |
| 063 | SLV A1 | Si | -0.2677 | -0.2581 | -0.2865 | -0.2896 | 8.5 | 12.0 |
| 064 | SLV A1 | Si | -0.1295 | -0.1331 | -0.1210 | -0.1199 | -25.6 | -23.9 |
| 065 | SLD | Si | -0.1955 | -0.1934 | -0.2007 | -0.2018 | 9.5 | 10.0 |
| 066 | SLD | Si | -0.1766 | -0.1763 | -0.1781 | -0.1786 | 14.5 | 5.4 |

Relazione Geotecnica e delle Fondazioni

| | | | | | | | | |
|-----|-----|----|---------|---------|---------|---------|-------|-------|
| 067 | SLD | Si | -0.2088 | -0.2042 | -0.2146 | -0.2165 | -14.6 | -5.4 |
| 068 | SLD | Si | -0.1899 | -0.1871 | -0.1920 | -0.1932 | -9.7 | -10.0 |
| 069 | SLD | Si | -0.1955 | -0.1934 | -0.2007 | -0.2018 | 14.3 | 10.1 |
| 070 | SLD | Si | -0.1766 | -0.1763 | -0.1781 | -0.1786 | 9.7 | 5.2 |
| 071 | SLD | Si | -0.2088 | -0.2042 | -0.2146 | -0.2165 | -9.8 | -5.2 |
| 072 | SLD | Si | -0.1899 | -0.1871 | -0.1920 | -0.1932 | -14.5 | -10.1 |
| 073 | SLD | Si | -0.1932 | -0.1907 | -0.1965 | -0.1981 | 10.2 | 11.3 |
| 074 | SLD | Si | -0.1743 | -0.1736 | -0.1739 | -0.1749 | 15.2 | 6.8 |
| 075 | SLD | Si | -0.2112 | -0.2069 | -0.2188 | -0.2201 | -15.4 | -6.7 |
| 076 | SLD | Si | -0.1922 | -0.1898 | -0.1962 | -0.1969 | -10.4 | -11.3 |
| 077 | SLD | Si | -0.1932 | -0.1907 | -0.1965 | -0.1981 | 15.1 | 11.5 |
| 078 | SLD | Si | -0.1743 | -0.1736 | -0.1738 | -0.1749 | 10.4 | 6.6 |
| 079 | SLD | Si | -0.2111 | -0.2069 | -0.2189 | -0.2201 | -10.6 | -6.6 |
| 080 | SLD | Si | -0.1922 | -0.1898 | -0.1962 | -0.1969 | -15.2 | -11.5 |
| 081 | SLD | Si | -0.2223 | -0.2171 | -0.2320 | -0.2341 | -4.8 | 10.0 |
| 082 | SLD | Si | -0.1592 | -0.1601 | -0.1566 | -0.1566 | 11.8 | -5.3 |
| 083 | SLD | Si | -0.2263 | -0.2204 | -0.2361 | -0.2385 | -12.0 | 5.4 |
| 084 | SLD | Si | -0.1631 | -0.1634 | -0.1608 | -0.1610 | 4.6 | -9.9 |
| 085 | SLD | Si | -0.2216 | -0.2163 | -0.2307 | -0.2330 | -4.5 | 10.4 |
| 086 | SLD | Si | -0.1585 | -0.1593 | -0.1553 | -0.1555 | 12.0 | -4.9 |
| 087 | SLD | Si | -0.2270 | -0.2212 | -0.2374 | -0.2396 | -12.2 | 5.0 |
| 088 | SLD | Si | -0.1638 | -0.1642 | -0.1620 | -0.1621 | 4.4 | -10.3 |
| 089 | SLD | Si | -0.2222 | -0.2171 | -0.2320 | -0.2340 | 11.3 | 10.4 |
| 090 | SLD | Si | -0.1592 | -0.1601 | -0.1565 | -0.1566 | -4.2 | -5.8 |
| 091 | SLD | Si | -0.2262 | -0.2204 | -0.2362 | -0.2384 | 4.0 | 5.8 |
| 092 | SLD | Si | -0.1632 | -0.1634 | -0.1607 | -0.1610 | -11.5 | -10.4 |
| 093 | SLD | Si | -0.2215 | -0.2163 | -0.2307 | -0.2329 | 11.5 | 10.8 |
| 094 | SLD | Si | -0.1585 | -0.1593 | -0.1553 | -0.1555 | -4.0 | -5.4 |
| 095 | SLD | Si | -0.2269 | -0.2212 | -0.2375 | -0.2395 | 3.8 | 5.4 |
| 096 | SLD | Si | -0.1639 | -0.1642 | -0.1620 | -0.1621 | -11.7 | -10.8 |
| 097 | SLO | Si | -0.1949 | -0.1927 | -0.1997 | -0.2008 | 7.5 | 7.9 |
| 098 | SLO | Si | -0.1800 | -0.1793 | -0.1820 | -0.1826 | 11.4 | 4.3 |
| 099 | SLO | Si | -0.2054 | -0.2013 | -0.2107 | -0.2124 | -11.6 | -4.3 |
| 100 | SLO | Si | -0.1906 | -0.1878 | -0.1930 | -0.1942 | -7.7 | -7.9 |
| 101 | SLO | Si | -0.1950 | -0.1928 | -0.1998 | -0.2009 | 11.3 | 8.0 |
| 102 | SLO | Si | -0.1799 | -0.1792 | -0.1819 | -0.1825 | 7.6 | 4.2 |
| 103 | SLO | Si | -0.2055 | -0.2013 | -0.2109 | -0.2126 | -7.8 | -4.1 |
| 104 | SLO | Si | -0.1905 | -0.1878 | -0.1929 | -0.1941 | -11.5 | -8.0 |
| 105 | SLO | Si | -0.1931 | -0.1905 | -0.1964 | -0.1980 | 8.1 | 9.0 |
| 106 | SLO | Si | -0.1782 | -0.1771 | -0.1787 | -0.1797 | 12.0 | 5.4 |
| 107 | SLO | Si | -0.2072 | -0.2034 | -0.2141 | -0.2153 | -12.2 | -5.3 |
| 108 | SLO | Si | -0.1924 | -0.1900 | -0.1963 | -0.1971 | -8.3 | -9.0 |
| 109 | SLO | Si | -0.1931 | -0.1906 | -0.1965 | -0.1981 | 11.9 | 9.1 |
| 110 | SLO | Si | -0.1781 | -0.1771 | -0.1785 | -0.1796 | 8.2 | 5.3 |
| 111 | SLO | Si | -0.2073 | -0.2035 | -0.2142 | -0.2154 | -8.4 | -5.2 |
| 112 | SLO | Si | -0.1923 | -0.1899 | -0.1962 | -0.1970 | -12.1 | -9.1 |
| 113 | SLO | Si | -0.2159 | -0.2113 | -0.2243 | -0.2262 | -3.7 | 7.9 |
| 114 | SLO | Si | -0.1664 | -0.1666 | -0.1651 | -0.1654 | 9.3 | -4.2 |
| 115 | SLO | Si | -0.2191 | -0.2139 | -0.2276 | -0.2297 | -9.5 | 4.2 |
| 116 | SLO | Si | -0.1695 | -0.1692 | -0.1684 | -0.1689 | 3.6 | -7.9 |
| 117 | SLO | Si | -0.2154 | -0.2107 | -0.2233 | -0.2253 | -3.6 | 8.2 |
| 118 | SLO | Si | -0.1658 | -0.1660 | -0.1641 | -0.1645 | 9.5 | -3.9 |
| 119 | SLO | Si | -0.2196 | -0.2145 | -0.2286 | -0.2305 | -9.7 | 3.9 |
| 120 | SLO | Si | -0.1701 | -0.1698 | -0.1694 | -0.1697 | 3.4 | -8.2 |
| 121 | SLO | Si | -0.2162 | -0.2116 | -0.2247 | -0.2265 | 8.9 | 8.3 |
| 122 | SLO | Si | -0.1661 | -0.1663 | -0.1647 | -0.1650 | -3.4 | -4.6 |
| 123 | SLO | Si | -0.2193 | -0.2142 | -0.2280 | -0.2300 | 3.2 | 4.6 |
| 124 | SLO | Si | -0.1693 | -0.1689 | -0.1680 | -0.1685 | -9.1 | -8.3 |
| 125 | SLO | Si | -0.2156 | -0.2110 | -0.2237 | -0.2257 | 9.1 | 8.6 |
| 126 | SLO | Si | -0.1656 | -0.1657 | -0.1637 | -0.1642 | -3.2 | -4.3 |
| 127 | SLO | Si | -0.2199 | -0.2148 | -0.2290 | -0.2309 | 3.0 | 4.3 |
| 128 | SLO | Si | -0.1698 | -0.1696 | -0.1690 | -0.1694 | -9.3 | -8.6 |

Elemento: Platea n. 70

| Cmb n. | Tipo | Sism. | Press. N1 daN/cm ² | Press. N2 daN/cm ² | Press. N3 daN/cm ² | Press. N4 daN/cm ² | S. Taglio X daN | S. Taglio Y daN |
|-----------|---------|-------|----------------------------------|----------------------------------|----------------------------------|----------------------------------|--------------------|--------------------|
| 001 | SLU STR | No | -0.1675 | -0.1680 | -0.1722 | -0.1712 | 0.0 | 0.0 |
| 002 | SLU STR | No | -0.2200 | -0.2205 | -0.2247 | -0.2237 | 0.0 | 0.0 |
| 003 | SLU STR | No | -0.2418 | -0.2439 | -0.2611 | -0.2567 | -0.2 | -0.2 |
| 004 | SLU STR | No | -0.2943 | -0.2964 | -0.3136 | -0.3092 | -0.2 | -0.2 |
| 005 | SLU STR | No | -0.1239 | -0.1242 | -0.1272 | -0.1265 | 0.0 | 0.0 |
| 006 | SLU STR | No | -0.1764 | -0.1767 | -0.1797 | -0.1790 | 0.0 | 0.0 |
| 007 | SLU STR | No | -0.1981 | -0.2001 | -0.2161 | -0.2119 | -0.2 | -0.2 |

| | | | | | | | | |
|--------------------------------------|----------|------------------------------------------------------------------------------------------------------------------------------|----------------------------------------------------------------------------------|---------|---------|-------------|-------|-------|
| COMMITTENTE: Mecca Antonio | | CODICE COMMESSA: | NOME ELABORATO: S1.5 - Relazione Geotecnica e delle Fondazioni | | | CONSULENTE: | | |
| DATA: Aprile 2023 | | TITOLO: Lavori ultimazione di un fabbricato adibito ad albergo-ristorante– C.da Case Nuove Chicone Avigliano (PZ) | | | | | | |
| 008 | SLU STR | No | -0.2506 | -0.2526 | -0.2686 | -0.2644 | -0.2 | -0.2 |
| 009 | SLU STR | No | -0.2425 | -0.2430 | -0.2472 | -0.2462 | 0.0 | 0.0 |
| 010 | SLU STR | No | -0.2195 | -0.2211 | -0.2344 | -0.2310 | -0.2 | -0.1 |
| 011 | SLU STR | No | -0.2945 | -0.2961 | -0.3094 | -0.3060 | -0.2 | -0.1 |
| 012 | SLU STR | No | -0.1989 | -0.1992 | -0.2022 | -0.2015 | 0.0 | 0.0 |
| 013 | SLU STR | No | -0.1758 | -0.1773 | -0.1894 | -0.1863 | -0.1 | -0.1 |
| 014 | SLU STR | No | -0.2508 | -0.2523 | -0.2644 | -0.2613 | -0.1 | -0.1 |
| 015 | SLE rare | No | -0.1267 | -0.1270 | -0.1302 | -0.1294 | 0.0 | 0.0 |
| 016 | SLE rare | No | -0.1617 | -0.1620 | -0.1652 | -0.1644 | 0.0 | 0.0 |
| 017 | SLE rare | No | -0.1762 | -0.1777 | -0.1894 | -0.1864 | -0.1 | -0.1 |
| 018 | SLE rare | No | -0.2112 | -0.2127 | -0.2244 | -0.2214 | -0.1 | -0.1 |
| 019 | SLE rare | No | -0.1767 | -0.1770 | -0.1802 | -0.1794 | 0.0 | 0.0 |
| 020 | SLE rare | No | -0.1613 | -0.1625 | -0.1717 | -0.1693 | -0.1 | -0.1 |
| 021 | SLE rare | No | -0.2113 | -0.2125 | -0.2217 | -0.2193 | -0.1 | -0.1 |
| 022 | SLE freq | No | -0.1267 | -0.1270 | -0.1302 | -0.1294 | 0.0 | 0.0 |
| 023 | SLE freq | No | -0.1567 | -0.1570 | -0.1602 | -0.1594 | 0.0 | 0.0 |
| 024 | SLE freq | No | -0.1613 | -0.1625 | -0.1717 | -0.1693 | -0.1 | -0.1 |
| 025 | SLE freq | No | -0.1913 | -0.1925 | -0.2017 | -0.1993 | -0.1 | -0.1 |
| 026 | SLE freq | No | -0.1617 | -0.1620 | -0.1652 | -0.1644 | 0.0 | 0.0 |
| 027 | SLE freq | No | -0.1564 | -0.1574 | -0.1657 | -0.1636 | -0.1 | -0.1 |
| 028 | SLE freq | No | -0.1914 | -0.1924 | -0.2007 | -0.1986 | -0.1 | -0.1 |
| 029 | SLE q.p. | No | -0.1267 | -0.1270 | -0.1302 | -0.1294 | 0.0 | 0.0 |
| 030 | SLE q.p. | No | -0.1567 | -0.1570 | -0.1602 | -0.1594 | 0.0 | 0.0 |
| 031 | SLE q.p. | No | -0.1564 | -0.1574 | -0.1657 | -0.1636 | -0.1 | -0.1 |
| 032 | SLE q.p. | No | -0.1864 | -0.1874 | -0.1957 | -0.1936 | -0.1 | -0.1 |
| 033 | SLV A1 | Si | -0.1669 | -0.1745 | -0.1921 | -0.1836 | 19.4 | 32.6 |
| 034 | SLV A1 | Si | -0.1400 | -0.1453 | -0.1470 | -0.1430 | 28.2 | 19.4 |
| 035 | SLV A1 | Si | -0.2328 | -0.2295 | -0.2444 | -0.2442 | -28.4 | -19.6 |
| 036 | SLV A1 | Si | -0.2059 | -0.2003 | -0.1993 | -0.2037 | -19.6 | -32.8 |
| 037 | SLV A1 | Si | -0.1667 | -0.1743 | -0.1920 | -0.1834 | 27.9 | 32.5 |
| 038 | SLV A1 | Si | -0.1402 | -0.1454 | -0.1472 | -0.1432 | 19.6 | 19.5 |
| 039 | SLV A1 | Si | -0.2326 | -0.2294 | -0.2443 | -0.2440 | -19.8 | -19.7 |
| 040 | SLV A1 | Si | -0.2061 | -0.2005 | -0.1995 | -0.2039 | -28.1 | -32.7 |
| 041 | SLV A1 | Si | -0.1682 | -0.1755 | -0.1911 | -0.1840 | 20.6 | 36.7 |
| 042 | SLV A1 | Si | -0.1413 | -0.1462 | -0.1460 | -0.1434 | 29.3 | 23.4 |
| 043 | SLV A1 | Si | -0.2315 | -0.2286 | -0.2454 | -0.2438 | -29.5 | -23.6 |
| 044 | SLV A1 | Si | -0.2046 | -0.1993 | -0.2003 | -0.2033 | -20.8 | -36.8 |
| 045 | SLV A1 | Si | -0.1680 | -0.1753 | -0.1910 | -0.1837 | 29.1 | 36.5 |
| 046 | SLV A1 | Si | -0.1415 | -0.1464 | -0.1462 | -0.1436 | 20.8 | 23.5 |
| 047 | SLV A1 | Si | -0.2313 | -0.2284 | -0.2453 | -0.2436 | -21.0 | -23.7 |
| 048 | SLV A1 | Si | -0.2048 | -0.1995 | -0.2005 | -0.2035 | -29.3 | -36.7 |
| 049 | SLV A1 | Si | -0.2213 | -0.2279 | -0.2631 | -0.2521 | -7.5 | 29.8 |
| 050 | SLV A1 | Si | -0.1317 | -0.1304 | -0.1127 | -0.1169 | 21.6 | -14.4 |
| 051 | SLV A1 | Si | -0.2411 | -0.2444 | -0.2788 | -0.2703 | -21.8 | 14.2 |
| 052 | SLV A1 | Si | -0.1515 | -0.1469 | -0.1284 | -0.1351 | 7.3 | -30.0 |
| 053 | SLV A1 | Si | -0.2217 | -0.2281 | -0.2628 | -0.2523 | -7.1 | 31.0 |
| 054 | SLV A1 | Si | -0.1321 | -0.1307 | -0.1124 | -0.1170 | 22.0 | -13.1 |
| 055 | SLV A1 | Si | -0.2407 | -0.2441 | -0.2791 | -0.2702 | -22.2 | 13.0 |
| 056 | SLV A1 | Si | -0.1511 | -0.1467 | -0.1287 | -0.1350 | 7.0 | -31.2 |
| 057 | SLV A1 | Si | -0.2207 | -0.2273 | -0.2625 | -0.2514 | 20.9 | 29.4 |
| 058 | SLV A1 | Si | -0.1324 | -0.1310 | -0.1132 | -0.1176 | -6.8 | -14.0 |
| 059 | SLV A1 | Si | -0.2404 | -0.2438 | -0.2782 | -0.2696 | 6.6 | 13.8 |
| 060 | SLV A1 | Si | -0.1521 | -0.1475 | -0.1289 | -0.1358 | -21.1 | -29.6 |
| 061 | SLV A1 | Si | -0.2211 | -0.2276 | -0.2622 | -0.2516 | 21.3 | 30.6 |
| 062 | SLV A1 | Si | -0.1328 | -0.1313 | -0.1129 | -0.1177 | -6.4 | -12.7 |
| 063 | SLV A1 | Si | -0.2400 | -0.2435 | -0.2785 | -0.2695 | 6.2 | 12.6 |
| 064 | SLV A1 | Si | -0.1517 | -0.1472 | -0.1292 | -0.1357 | -21.5 | -30.8 |
| 065 | SLD | Si | -0.1776 | -0.1816 | -0.1942 | -0.1891 | 8.7 | 14.7 |
| 066 | SLD | Si | -0.1654 | -0.1683 | -0.1736 | -0.1706 | 12.7 | 8.7 |
| 067 | SLD | Si | -0.2074 | -0.2065 | -0.2179 | -0.2166 | -12.9 | -8.9 |
| 068 | SLD | Si | -0.1952 | -0.1932 | -0.1973 | -0.1981 | -8.9 | -14.9 |
| 069 | SLD | Si | -0.1775 | -0.1815 | -0.1941 | -0.1890 | 12.6 | 14.6 |
| 070 | SLD | Si | -0.1654 | -0.1683 | -0.1737 | -0.1707 | 8.8 | 8.8 |
| 071 | SLD | Si | -0.2074 | -0.2065 | -0.2178 | -0.2165 | -9.0 | -9.0 |
| 072 | SLD | Si | -0.1953 | -0.1933 | -0.1974 | -0.1982 | -12.8 | -14.8 |
| 073 | SLD | Si | -0.1782 | -0.1820 | -0.1937 | -0.1893 | 9.3 | 16.5 |
| 074 | SLD | Si | -0.1659 | -0.1687 | -0.1731 | -0.1708 | 13.3 | 10.6 |
| 075 | SLD | Si | -0.2069 | -0.2061 | -0.2184 | -0.2165 | -13.4 | -10.8 |
| 076 | SLD | Si | -0.1946 | -0.1928 | -0.1978 | -0.1980 | -9.5 | -16.7 |
| 077 | SLD | Si | -0.1781 | -0.1819 | -0.1936 | -0.1892 | 13.2 | 16.5 |
| 078 | SLD | Si | -0.1660 | -0.1688 | -0.1732 | -0.1709 | 9.4 | 10.6 |
| 079 | SLD | Si | -0.2068 | -0.2060 | -0.2183 | -0.2164 | -9.6 | -10.8 |

Relazione Geotecnica e delle Fondazioni

| | | | | | | | | |
|-----|-----|----|---------|---------|---------|---------|-------|-------|
| 080 | SLD | Si | -0.1947 | -0.1929 | -0.1979 | -0.1980 | -13.3 | -16.7 |
| 081 | SLD | Si | -0.2023 | -0.2059 | -0.2265 | -0.2203 | -3.5 | 13.4 |
| 082 | SLD | Si | -0.1615 | -0.1614 | -0.1579 | -0.1586 | 9.8 | -6.5 |
| 083 | SLD | Si | -0.2113 | -0.2134 | -0.2336 | -0.2286 | -10.0 | 6.3 |
| 084 | SLD | Si | -0.1704 | -0.1689 | -0.1650 | -0.1669 | 3.3 | -13.6 |
| 085 | SLD | Si | -0.2025 | -0.2060 | -0.2264 | -0.2204 | -3.3 | 13.9 |
| 086 | SLD | Si | -0.1617 | -0.1616 | -0.1577 | -0.1587 | 10.0 | -5.9 |
| 087 | SLD | Si | -0.2111 | -0.2132 | -0.2338 | -0.2285 | -10.1 | 5.8 |
| 088 | SLD | Si | -0.1703 | -0.1688 | -0.1651 | -0.1668 | 3.1 | -14.1 |
| 089 | SLD | Si | -0.2020 | -0.2056 | -0.2262 | -0.2200 | 9.5 | 13.2 |
| 090 | SLD | Si | -0.1618 | -0.1617 | -0.1581 | -0.1590 | -3.1 | -6.3 |
| 091 | SLD | Si | -0.2110 | -0.2131 | -0.2333 | -0.2283 | 3.0 | 6.1 |
| 092 | SLD | Si | -0.1708 | -0.1692 | -0.1652 | -0.1672 | -9.6 | -13.4 |
| 093 | SLD | Si | -0.2022 | -0.2057 | -0.2261 | -0.2201 | 9.6 | 13.8 |
| 094 | SLD | Si | -0.1620 | -0.1618 | -0.1580 | -0.1590 | -3.0 | -5.8 |
| 095 | SLD | Si | -0.2108 | -0.2130 | -0.2335 | -0.2282 | 2.8 | 5.6 |
| 096 | SLD | Si | -0.1706 | -0.1691 | -0.1654 | -0.1672 | -9.8 | -13.9 |
| 097 | SLO | Si | -0.1794 | -0.1827 | -0.1944 | -0.1900 | 6.9 | 11.6 |
| 098 | SLO | Si | -0.1697 | -0.1723 | -0.1783 | -0.1754 | 10.1 | 6.9 |
| 099 | SLO | Si | -0.2031 | -0.2025 | -0.2132 | -0.2118 | -10.2 | -7.1 |
| 100 | SLO | Si | -0.1934 | -0.1921 | -0.1971 | -0.1972 | -7.1 | -11.8 |
| 101 | SLO | Si | -0.1794 | -0.1827 | -0.1944 | -0.1900 | 10.0 | 11.6 |
| 102 | SLO | Si | -0.1698 | -0.1723 | -0.1782 | -0.1754 | 7.0 | 7.0 |
| 103 | SLO | Si | -0.2030 | -0.2025 | -0.2132 | -0.2118 | -7.2 | -7.1 |
| 104 | SLO | Si | -0.1934 | -0.1921 | -0.1970 | -0.1972 | -10.2 | -11.8 |
| 105 | SLO | Si | -0.1798 | -0.1831 | -0.1941 | -0.1901 | 7.4 | 13.1 |
| 106 | SLO | Si | -0.1702 | -0.1726 | -0.1779 | -0.1756 | 10.5 | 8.4 |
| 107 | SLO | Si | -0.2026 | -0.2022 | -0.2136 | -0.2116 | -10.7 | -8.6 |
| 108 | SLO | Si | -0.1930 | -0.1917 | -0.1974 | -0.1971 | -7.5 | -13.3 |
| 109 | SLO | Si | -0.1798 | -0.1831 | -0.1941 | -0.1901 | 10.4 | 13.1 |
| 110 | SLO | Si | -0.1702 | -0.1726 | -0.1779 | -0.1756 | 7.4 | 8.4 |
| 111 | SLO | Si | -0.2026 | -0.2022 | -0.2136 | -0.2116 | -7.6 | -8.6 |
| 112 | SLO | Si | -0.1930 | -0.1917 | -0.1974 | -0.1971 | -10.6 | -13.2 |
| 113 | SLO | Si | -0.1989 | -0.2019 | -0.2198 | -0.2146 | -2.7 | 10.6 |
| 114 | SLO | Si | -0.1668 | -0.1670 | -0.1660 | -0.1661 | 7.7 | -5.2 |
| 115 | SLO | Si | -0.2060 | -0.2078 | -0.2255 | -0.2211 | -7.9 | 5.0 |
| 116 | SLO | Si | -0.1739 | -0.1729 | -0.1716 | -0.1727 | 2.6 | -10.8 |
| 117 | SLO | Si | -0.1990 | -0.2020 | -0.2197 | -0.2146 | -2.6 | 11.0 |
| 118 | SLO | Si | -0.1669 | -0.1671 | -0.1659 | -0.1662 | 7.8 | -4.7 |
| 119 | SLO | Si | -0.2059 | -0.2077 | -0.2256 | -0.2211 | -8.0 | 4.5 |
| 120 | SLO | Si | -0.1738 | -0.1728 | -0.1717 | -0.1726 | 2.4 | -11.2 |
| 121 | SLO | Si | -0.1988 | -0.2019 | -0.2200 | -0.2146 | 7.5 | 10.5 |
| 122 | SLO | Si | -0.1669 | -0.1670 | -0.1659 | -0.1661 | -2.5 | -5.0 |
| 123 | SLO | Si | -0.2059 | -0.2078 | -0.2256 | -0.2211 | 2.3 | 4.8 |
| 124 | SLO | Si | -0.1740 | -0.1729 | -0.1715 | -0.1726 | -7.7 | -10.6 |
| 125 | SLO | Si | -0.1990 | -0.2020 | -0.2198 | -0.2146 | 7.6 | 10.9 |
| 126 | SLO | Si | -0.1670 | -0.1671 | -0.1658 | -0.1661 | -2.4 | -4.6 |
| 127 | SLO | Si | -0.2058 | -0.2077 | -0.2257 | -0.2211 | 2.2 | 4.4 |
| 128 | SLO | Si | -0.1738 | -0.1728 | -0.1716 | -0.1726 | -7.8 | -11.1 |

Elemento: Platea n. 71

| Cmb | Tipo | Sism. | Press. N1 | Press. N2 | Press. N3 | Press. N4 | S. Taglio X | S. Taglio Y |
|-----|----------|-------|---------------------|---------------------|---------------------|---------------------|-------------|-------------|
| n. | | | daN/cm ² | daN/cm ² | daN/cm ² | daN/cm ² | daN | daN |
| 001 | SLU STR | No | -0.1640 | -0.1634 | -0.1680 | -0.1675 | 0.0 | 0.0 |
| 002 | SLU STR | No | -0.2165 | -0.2159 | -0.2205 | -0.2200 | 0.0 | 0.0 |
| 003 | SLU STR | No | -0.2275 | -0.2257 | -0.2439 | -0.2418 | -0.2 | -0.2 |
| 004 | SLU STR | No | -0.2800 | -0.2782 | -0.2964 | -0.2943 | -0.2 | -0.2 |
| 005 | SLU STR | No | -0.1214 | -0.1210 | -0.1242 | -0.1239 | 0.0 | 0.0 |
| 006 | SLU STR | No | -0.1739 | -0.1735 | -0.1767 | -0.1764 | 0.0 | 0.0 |
| 007 | SLU STR | No | -0.1848 | -0.1832 | -0.2001 | -0.1981 | -0.2 | -0.2 |
| 008 | SLU STR | No | -0.2373 | -0.2357 | -0.2526 | -0.2506 | -0.2 | -0.2 |
| 009 | SLU STR | No | -0.2390 | -0.2384 | -0.2430 | -0.2425 | 0.0 | 0.0 |
| 010 | SLU STR | No | -0.2084 | -0.2070 | -0.2211 | -0.2195 | -0.1 | -0.2 |
| 011 | SLU STR | No | -0.2834 | -0.2820 | -0.2961 | -0.2945 | -0.1 | -0.2 |
| 012 | SLU STR | No | -0.1964 | -0.1960 | -0.1992 | -0.1989 | 0.0 | 0.0 |
| 013 | SLU STR | No | -0.1658 | -0.1646 | -0.1773 | -0.1758 | -0.1 | -0.2 |
| 014 | SLU STR | No | -0.2408 | -0.2396 | -0.2523 | -0.2508 | -0.1 | -0.2 |
| 015 | SLE rare | No | -0.1241 | -0.1237 | -0.1270 | -0.1267 | 0.0 | 0.0 |
| 016 | SLE rare | No | -0.1591 | -0.1587 | -0.1620 | -0.1617 | 0.0 | 0.0 |
| 017 | SLE rare | No | -0.1664 | -0.1652 | -0.1777 | -0.1762 | -0.1 | -0.1 |
| 018 | SLE rare | No | -0.2014 | -0.2002 | -0.2127 | -0.2112 | -0.1 | -0.1 |
| 019 | SLE rare | No | -0.1741 | -0.1737 | -0.1770 | -0.1767 | 0.0 | 0.0 |
| 020 | SLE rare | No | -0.1537 | -0.1527 | -0.1625 | -0.1613 | -0.1 | -0.1 |

| COMMITTENTE: Mecca Antonio | | CODICE COMMESSA: | NOME ELABORATO: S1.5 - Relazione Geotecnica e delle Fondazioni | | | CONSULENTE: | | |
|-------------------------------|----------|----------------------------------------------------------------------------------------------------------------------|-------------------------------------------------------------------------|---------|---------|-------------|-------|-------|
| DATA: Aprile 2023 | | TITOLO: Lavori ultimazione di un fabbricato adibito ad albergo-ristorante– C.da Case Nuove Chicone Avigliano (PZ) | | | | | | |
| 021 | SLE rare | No | -0.2037 | -0.2027 | -0.2125 | -0.2113 | -0.1 | -0.1 |
| 022 | SLE freq | No | -0.1241 | -0.1237 | -0.1270 | -0.1267 | 0.0 | 0.0 |
| 023 | SLE freq | No | -0.1541 | -0.1537 | -0.1570 | -0.1567 | 0.0 | 0.0 |
| 024 | SLE freq | No | -0.1537 | -0.1527 | -0.1625 | -0.1613 | -0.1 | -0.1 |
| 025 | SLE freq | No | -0.1837 | -0.1827 | -0.1925 | -0.1913 | -0.1 | -0.1 |
| 026 | SLE freq | No | -0.1591 | -0.1587 | -0.1620 | -0.1617 | 0.0 | 0.0 |
| 027 | SLE freq | No | -0.1495 | -0.1486 | -0.1574 | -0.1564 | -0.1 | -0.1 |
| 028 | SLE freq | No | -0.1845 | -0.1836 | -0.1924 | -0.1914 | -0.1 | -0.1 |
| 029 | SLE q.p. | No | -0.1241 | -0.1237 | -0.1270 | -0.1267 | 0.0 | 0.0 |
| 030 | SLE q.p. | No | -0.1541 | -0.1537 | -0.1570 | -0.1567 | 0.0 | 0.0 |
| 031 | SLE q.p. | No | -0.1495 | -0.1486 | -0.1574 | -0.1564 | -0.1 | -0.1 |
| 032 | SLE q.p. | No | -0.1795 | -0.1786 | -0.1874 | -0.1864 | -0.1 | -0.1 |
| 033 | SLV A1 | Si | -0.1505 | -0.1545 | -0.1745 | -0.1669 | 22.8 | 41.2 |
| 034 | SLV A1 | Si | -0.1361 | -0.1415 | -0.1453 | -0.1400 | 31.3 | 24.5 |
| 035 | SLV A1 | Si | -0.2228 | -0.2157 | -0.2295 | -0.2328 | -31.4 | -24.7 |
| 036 | SLV A1 | Si | -0.2084 | -0.2027 | -0.2003 | -0.2059 | -22.9 | -41.4 |
| 037 | SLV A1 | Si | -0.1505 | -0.1544 | -0.1743 | -0.1667 | 31.2 | 41.0 |
| 038 | SLV A1 | Si | -0.1362 | -0.1415 | -0.1454 | -0.1402 | 22.9 | 24.6 |
| 039 | SLV A1 | Si | -0.2227 | -0.2156 | -0.2294 | -0.2326 | -23.0 | -24.8 |
| 040 | SLV A1 | Si | -0.2085 | -0.2027 | -0.2005 | -0.2061 | -31.3 | -41.2 |
| 041 | SLV A1 | Si | -0.1514 | -0.1553 | -0.1755 | -0.1682 | 23.7 | 46.3 |
| 042 | SLV A1 | Si | -0.1369 | -0.1423 | -0.1462 | -0.1413 | 32.2 | 29.6 |
| 043 | SLV A1 | Si | -0.2220 | -0.2148 | -0.2286 | -0.2315 | -32.3 | -29.8 |
| 044 | SLV A1 | Si | -0.2076 | -0.2018 | -0.1993 | -0.2046 | -23.8 | -46.5 |
| 045 | SLV A1 | Si | -0.1513 | -0.1552 | -0.1753 | -0.1680 | 32.1 | 46.2 |
| 046 | SLV A1 | Si | -0.1370 | -0.1424 | -0.1464 | -0.1415 | 23.8 | 29.7 |
| 047 | SLV A1 | Si | -0.2219 | -0.2148 | -0.2284 | -0.2313 | -23.9 | -29.9 |
| 048 | SLV A1 | Si | -0.2076 | -0.2019 | -0.1995 | -0.2048 | -32.2 | -46.3 |
| 049 | SLV A1 | Si | -0.1927 | -0.1910 | -0.2279 | -0.2213 | -6.1 | 37.6 |
| 050 | SLV A1 | Si | -0.1446 | -0.1477 | -0.1304 | -0.1317 | 22.2 | -18.1 |
| 051 | SLV A1 | Si | -0.2143 | -0.2094 | -0.2444 | -0.2411 | -22.4 | 17.9 |
| 052 | SLV A1 | Si | -0.1663 | -0.1661 | -0.1469 | -0.1515 | 6.0 | -37.8 |
| 053 | SLV A1 | Si | -0.1929 | -0.1913 | -0.2281 | -0.2217 | -5.8 | 39.2 |
| 054 | SLV A1 | Si | -0.1448 | -0.1480 | -0.1307 | -0.1321 | 22.5 | -16.6 |
| 055 | SLV A1 | Si | -0.2141 | -0.2091 | -0.2441 | -0.2407 | -22.6 | 16.4 |
| 056 | SLV A1 | Si | -0.1660 | -0.1659 | -0.1467 | -0.1511 | 5.7 | -39.4 |
| 057 | SLV A1 | Si | -0.1924 | -0.1908 | -0.2273 | -0.2207 | 21.9 | 37.2 |
| 058 | SLV A1 | Si | -0.1448 | -0.1480 | -0.1310 | -0.1324 | -5.8 | -17.6 |
| 059 | SLV A1 | Si | -0.2141 | -0.2092 | -0.2438 | -0.2404 | 5.7 | 17.4 |
| 060 | SLV A1 | Si | -0.1665 | -0.1663 | -0.1475 | -0.1521 | -22.0 | -37.4 |
| 061 | SLV A1 | Si | -0.1927 | -0.1911 | -0.2276 | -0.2211 | 22.2 | 38.7 |
| 062 | SLV A1 | Si | -0.1451 | -0.1482 | -0.1313 | -0.1328 | -5.5 | -16.1 |
| 063 | SLV A1 | Si | -0.2138 | -0.2089 | -0.2435 | -0.2400 | 5.4 | 15.9 |
| 064 | SLV A1 | Si | -0.1663 | -0.1661 | -0.1472 | -0.1517 | -22.3 | -38.9 |
| 065 | SLD | Si | -0.1664 | -0.1677 | -0.1816 | -0.1776 | 10.3 | 18.6 |
| 066 | SLD | Si | -0.1598 | -0.1618 | -0.1683 | -0.1654 | 14.1 | 11.0 |
| 067 | SLD | Si | -0.1991 | -0.1954 | -0.2065 | -0.2074 | -14.3 | -11.2 |
| 068 | SLD | Si | -0.1925 | -0.1895 | -0.1932 | -0.1952 | -10.4 | -18.7 |
| 069 | SLD | Si | -0.1663 | -0.1676 | -0.1815 | -0.1775 | 14.1 | 18.5 |
| 070 | SLD | Si | -0.1598 | -0.1618 | -0.1683 | -0.1654 | 10.3 | 11.1 |
| 071 | SLD | Si | -0.1991 | -0.1954 | -0.2065 | -0.2074 | -10.4 | -11.3 |
| 072 | SLD | Si | -0.1926 | -0.1895 | -0.1933 | -0.1953 | -14.2 | -18.7 |
| 073 | SLD | Si | -0.1667 | -0.1680 | -0.1820 | -0.1782 | 10.7 | 20.9 |
| 074 | SLD | Si | -0.1602 | -0.1621 | -0.1687 | -0.1659 | 14.5 | 13.4 |
| 075 | SLD | Si | -0.1987 | -0.1950 | -0.2061 | -0.2069 | -14.7 | -13.6 |
| 076 | SLD | Si | -0.1922 | -0.1891 | -0.1928 | -0.1946 | -10.8 | -21.1 |
| 077 | SLD | Si | -0.1667 | -0.1680 | -0.1819 | -0.1781 | 14.5 | 20.8 |
| 078 | SLD | Si | -0.1602 | -0.1621 | -0.1688 | -0.1660 | 10.7 | 13.4 |
| 079 | SLD | Si | -0.1987 | -0.1950 | -0.2060 | -0.2068 | -10.9 | -13.6 |
| 080 | SLD | Si | -0.1922 | -0.1891 | -0.1929 | -0.1947 | -14.6 | -21.0 |
| 081 | SLD | Si | -0.1855 | -0.1843 | -0.2059 | -0.2023 | -2.8 | 16.9 |
| 082 | SLD | Si | -0.1636 | -0.1646 | -0.1614 | -0.1615 | 10.0 | -8.2 |
| 083 | SLD | Si | -0.1953 | -0.1926 | -0.2134 | -0.2113 | -10.2 | 8.0 |
| 084 | SLD | Si | -0.1734 | -0.1729 | -0.1689 | -0.1704 | 2.7 | -17.1 |
| 085 | SLD | Si | -0.1856 | -0.1844 | -0.2060 | -0.2025 | -2.7 | 17.6 |
| 086 | SLD | Si | -0.1637 | -0.1647 | -0.1616 | -0.1617 | 10.2 | -7.5 |
| 087 | SLD | Si | -0.1952 | -0.1925 | -0.2132 | -0.2111 | -10.3 | 7.3 |
| 088 | SLD | Si | -0.1733 | -0.1728 | -0.1688 | -0.1703 | 2.6 | -17.8 |
| 089 | SLD | Si | -0.1854 | -0.1842 | -0.2056 | -0.2020 | 9.9 | 16.7 |
| 090 | SLD | Si | -0.1637 | -0.1647 | -0.1617 | -0.1618 | -2.7 | -8.0 |
| 091 | SLD | Si | -0.1952 | -0.1925 | -0.2131 | -0.2110 | 2.5 | 7.8 |
| 092 | SLD | Si | -0.1736 | -0.1730 | -0.1692 | -0.1708 | -10.0 | -16.9 |

Relazione Geotecnica e delle Fondazioni

| | | | | | | | | |
|-----|-----|----|---------|---------|---------|---------|-------|-------|
| 093 | SLD | Si | -0.1855 | -0.1843 | -0.2057 | -0.2022 | 10.0 | 17.4 |
| 094 | SLD | Si | -0.1638 | -0.1648 | -0.1618 | -0.1620 | -2.6 | -7.3 |
| 095 | SLD | Si | -0.1951 | -0.1924 | -0.2130 | -0.2108 | 2.4 | 7.1 |
| 096 | SLD | Si | -0.1734 | -0.1729 | -0.1691 | -0.1706 | -10.2 | -17.6 |
| 097 | SLO | Si | -0.1691 | -0.1699 | -0.1827 | -0.1794 | 8.1 | 14.7 |
| 098 | SLO | Si | -0.1639 | -0.1652 | -0.1723 | -0.1697 | 11.2 | 8.7 |
| 099 | SLO | Si | -0.1950 | -0.1919 | -0.2025 | -0.2031 | -11.3 | -8.9 |
| 100 | SLO | Si | -0.1899 | -0.1872 | -0.1921 | -0.1934 | -8.3 | -14.9 |
| 101 | SLO | Si | -0.1690 | -0.1699 | -0.1827 | -0.1794 | 11.2 | 14.7 |
| 102 | SLO | Si | -0.1639 | -0.1652 | -0.1723 | -0.1698 | 8.2 | 8.8 |
| 103 | SLO | Si | -0.1950 | -0.1919 | -0.2025 | -0.2030 | -8.3 | -9.0 |
| 104 | SLO | Si | -0.1899 | -0.1872 | -0.1921 | -0.1934 | -11.3 | -14.8 |
| 105 | SLO | Si | -0.1693 | -0.1702 | -0.1831 | -0.1798 | 8.5 | 16.6 |
| 106 | SLO | Si | -0.1642 | -0.1655 | -0.1726 | -0.1702 | 11.5 | 10.6 |
| 107 | SLO | Si | -0.1947 | -0.1916 | -0.2022 | -0.2026 | -11.7 | -10.8 |
| 108 | SLO | Si | -0.1896 | -0.1870 | -0.1917 | -0.1930 | -8.6 | -16.7 |
| 109 | SLO | Si | -0.1693 | -0.1702 | -0.1831 | -0.1798 | 11.5 | 16.5 |
| 110 | SLO | Si | -0.1642 | -0.1655 | -0.1726 | -0.1702 | 8.5 | 10.6 |
| 111 | SLO | Si | -0.1947 | -0.1916 | -0.2022 | -0.2026 | -8.6 | -10.8 |
| 112 | SLO | Si | -0.1896 | -0.1870 | -0.1917 | -0.1930 | -11.6 | -16.7 |
| 113 | SLO | Si | -0.1842 | -0.1830 | -0.2019 | -0.1989 | -2.2 | 13.4 |
| 114 | SLO | Si | -0.1669 | -0.1675 | -0.1670 | -0.1668 | 7.9 | -6.5 |
| 115 | SLO | Si | -0.1920 | -0.1896 | -0.2078 | -0.2060 | -8.1 | 6.3 |
| 116 | SLO | Si | -0.1747 | -0.1741 | -0.1729 | -0.1739 | 2.1 | -13.6 |
| 117 | SLO | Si | -0.1843 | -0.1831 | -0.2020 | -0.1990 | -2.1 | 13.9 |
| 118 | SLO | Si | -0.1670 | -0.1676 | -0.1671 | -0.1669 | 8.0 | -5.9 |
| 119 | SLO | Si | -0.1919 | -0.1895 | -0.2077 | -0.2059 | -8.2 | 5.7 |
| 120 | SLO | Si | -0.1747 | -0.1740 | -0.1728 | -0.1738 | 2.0 | -14.1 |
| 121 | SLO | Si | -0.1841 | -0.1830 | -0.2019 | -0.1988 | 7.8 | 13.2 |
| 122 | SLO | Si | -0.1670 | -0.1675 | -0.1670 | -0.1669 | -2.2 | -6.3 |
| 123 | SLO | Si | -0.1919 | -0.1896 | -0.2078 | -0.2059 | 2.0 | 6.1 |
| 124 | SLO | Si | -0.1748 | -0.1741 | -0.1729 | -0.1740 | -8.0 | -13.4 |
| 125 | SLO | Si | -0.1842 | -0.1831 | -0.2020 | -0.1990 | 7.9 | 13.8 |
| 126 | SLO | Si | -0.1671 | -0.1676 | -0.1671 | -0.1670 | -2.0 | -5.8 |
| 127 | SLO | Si | -0.1919 | -0.1895 | -0.2077 | -0.2058 | 1.9 | 5.6 |
| 128 | SLO | Si | -0.1747 | -0.1740 | -0.1728 | -0.1738 | -8.1 | -14.0 |

Elemento: Platea n. 72

| Cmb | Tipo | Sism. | Press. N1 | Press. N2 | Press. N3 | Press. N4 | S. Taglio X | S. Taglio Y |
|-----|----------|-------|---------------------|---------------------|---------------------|---------------------|-------------|-------------|
| n. | | | daN/cm ² | daN/cm ² | daN/cm ² | daN/cm ² | daN | daN |
| 001 | SLU STR | No | -0.1607 | -0.1601 | -0.1634 | -0.1640 | 0.0 | 0.0 |
| 002 | SLU STR | No | -0.2132 | -0.2126 | -0.2159 | -0.2165 | 0.0 | 0.0 |
| 003 | SLU STR | No | -0.2139 | -0.2122 | -0.2257 | -0.2275 | -0.1 | -0.2 |
| 004 | SLU STR | No | -0.2664 | -0.2647 | -0.2782 | -0.2800 | -0.1 | -0.2 |
| 005 | SLU STR | No | -0.1190 | -0.1186 | -0.1210 | -0.1214 | 0.0 | 0.0 |
| 006 | SLU STR | No | -0.1715 | -0.1711 | -0.1735 | -0.1739 | 0.0 | 0.0 |
| 007 | SLU STR | No | -0.1723 | -0.1707 | -0.1832 | -0.1848 | -0.1 | -0.2 |
| 008 | SLU STR | No | -0.2248 | -0.2232 | -0.2357 | -0.2373 | -0.1 | -0.2 |
| 009 | SLU STR | No | -0.2357 | -0.2351 | -0.2384 | -0.2390 | 0.0 | 0.0 |
| 010 | SLU STR | No | -0.1980 | -0.1966 | -0.2070 | -0.2084 | -0.1 | -0.1 |
| 011 | SLU STR | No | -0.2730 | -0.2716 | -0.2820 | -0.2834 | -0.1 | -0.1 |
| 012 | SLU STR | No | -0.1940 | -0.1936 | -0.1960 | -0.1964 | 0.0 | 0.0 |
| 013 | SLU STR | No | -0.1563 | -0.1551 | -0.1646 | -0.1658 | -0.1 | -0.1 |
| 014 | SLU STR | No | -0.2313 | -0.2301 | -0.2396 | -0.2408 | -0.1 | -0.1 |
| 015 | SLE rare | No | -0.1216 | -0.1212 | -0.1237 | -0.1241 | 0.0 | 0.0 |
| 016 | SLE rare | No | -0.1566 | -0.1562 | -0.1587 | -0.1591 | 0.0 | 0.0 |
| 017 | SLE rare | No | -0.1571 | -0.1559 | -0.1652 | -0.1664 | -0.1 | -0.1 |
| 018 | SLE rare | No | -0.1921 | -0.1909 | -0.2002 | -0.2014 | -0.1 | -0.1 |
| 019 | SLE rare | No | -0.1716 | -0.1712 | -0.1737 | -0.1741 | 0.0 | 0.0 |
| 020 | SLE rare | No | -0.1465 | -0.1455 | -0.1527 | -0.1537 | 0.0 | -0.1 |
| 021 | SLE rare | No | -0.1965 | -0.1955 | -0.2027 | -0.2037 | 0.0 | -0.1 |
| 022 | SLE freq | No | -0.1216 | -0.1212 | -0.1237 | -0.1241 | 0.0 | 0.0 |
| 023 | SLE freq | No | -0.1516 | -0.1512 | -0.1537 | -0.1541 | 0.0 | 0.0 |
| 024 | SLE freq | No | -0.1465 | -0.1455 | -0.1527 | -0.1537 | 0.0 | -0.1 |
| 025 | SLE freq | No | -0.1765 | -0.1755 | -0.1827 | -0.1837 | 0.0 | -0.1 |
| 026 | SLE freq | No | -0.1566 | -0.1562 | -0.1587 | -0.1591 | 0.0 | 0.0 |
| 027 | SLE freq | No | -0.1429 | -0.1420 | -0.1486 | -0.1495 | 0.0 | -0.1 |
| 028 | SLE freq | No | -0.1779 | -0.1770 | -0.1836 | -0.1845 | 0.0 | -0.1 |
| 029 | SLE q.p. | No | -0.1216 | -0.1212 | -0.1237 | -0.1241 | 0.0 | 0.0 |
| 030 | SLE q.p. | No | -0.1516 | -0.1512 | -0.1537 | -0.1541 | 0.0 | 0.0 |
| 031 | SLE q.p. | No | -0.1429 | -0.1420 | -0.1486 | -0.1495 | 0.0 | -0.1 |
| 032 | SLE q.p. | No | -0.1729 | -0.1720 | -0.1786 | -0.1795 | 0.0 | -0.1 |
| 033 | SLV A1 | Si | -0.1277 | -0.1326 | -0.1545 | -0.1505 | 22.5 | 39.2 |

| | | | |
|--------------------------------------|------------------------------------------------------------------------------------------------------------------------------|----------------------------------------------------------------------------------|-------------|
| COMMITTENTE: Mecca Antonio | CODICE COMMESSA: | NOME ELABORATO: S1.5 - Relazione Geotecnica e delle Fondazioni | CONSULENTE: |
| DATA: Aprile 2023 | TITOLO: Lavori ultimazione di un fabbricato adibito ad albergo-ristorante- C.da Case Nuove Chicone Avigliano (PZ) | | |

| | | | | | | | | |
|-----|--------|----|---------|---------|---------|---------|-------|-------|
| 034 | SLV A1 | Si | -0.1380 | -0.1419 | -0.1415 | -0.1361 | 23.1 | 23.3 |
| 035 | SLV A1 | Si | -0.2079 | -0.2021 | -0.2157 | -0.2228 | -23.2 | -23.4 |
| 036 | SLV A1 | Si | -0.2181 | -0.2114 | -0.2027 | -0.2084 | -22.6 | -39.3 |
| 037 | SLV A1 | Si | -0.1274 | -0.1323 | -0.1544 | -0.1505 | 23.1 | 39.0 |
| 038 | SLV A1 | Si | -0.1383 | -0.1422 | -0.1415 | -0.1362 | 22.6 | 23.4 |
| 039 | SLV A1 | Si | -0.2075 | -0.2018 | -0.2156 | -0.2227 | -22.7 | -23.6 |
| 040 | SLV A1 | Si | -0.2184 | -0.2117 | -0.2027 | -0.2085 | -23.2 | -39.2 |
| 041 | SLV A1 | Si | -0.1271 | -0.1320 | -0.1553 | -0.1514 | 22.9 | 44.0 |
| 042 | SLV A1 | Si | -0.1374 | -0.1413 | -0.1423 | -0.1369 | 23.5 | 28.1 |
| 043 | SLV A1 | Si | -0.2085 | -0.2027 | -0.2148 | -0.2220 | -23.5 | -28.3 |
| 044 | SLV A1 | Si | -0.2187 | -0.2120 | -0.2018 | -0.2076 | -22.9 | -44.2 |
| 045 | SLV A1 | Si | -0.1268 | -0.1317 | -0.1552 | -0.1513 | 23.4 | 43.9 |
| 046 | SLV A1 | Si | -0.1377 | -0.1416 | -0.1424 | -0.1370 | 22.9 | 28.2 |
| 047 | SLV A1 | Si | -0.2081 | -0.2024 | -0.2148 | -0.2219 | -23.0 | -28.4 |
| 048 | SLV A1 | Si | -0.2190 | -0.2123 | -0.2019 | -0.2076 | -23.5 | -44.1 |
| 049 | SLV A1 | Si | -0.1438 | -0.1460 | -0.1910 | -0.1927 | 5.8 | 35.8 |
| 050 | SLV A1 | Si | -0.1780 | -0.1772 | -0.1477 | -0.1446 | 7.9 | -17.2 |
| 051 | SLV A1 | Si | -0.1678 | -0.1669 | -0.2094 | -0.2143 | -7.9 | 17.0 |
| 052 | SLV A1 | Si | -0.2020 | -0.1980 | -0.1661 | -0.1663 | -5.9 | -36.0 |
| 053 | SLV A1 | Si | -0.1436 | -0.1458 | -0.1913 | -0.1929 | 5.9 | 37.3 |
| 054 | SLV A1 | Si | -0.1778 | -0.1770 | -0.1480 | -0.1448 | 8.0 | -15.7 |
| 055 | SLV A1 | Si | -0.1680 | -0.1670 | -0.2091 | -0.2141 | -8.0 | 15.6 |
| 056 | SLV A1 | Si | -0.2022 | -0.1982 | -0.1659 | -0.1660 | -6.0 | -37.4 |
| 057 | SLV A1 | Si | -0.1427 | -0.1450 | -0.1908 | -0.1924 | 7.7 | 35.4 |
| 058 | SLV A1 | Si | -0.1791 | -0.1781 | -0.1480 | -0.1448 | 6.0 | -16.8 |
| 059 | SLV A1 | Si | -0.1668 | -0.1659 | -0.2092 | -0.2141 | -6.0 | 16.6 |
| 060 | SLV A1 | Si | -0.2031 | -0.1990 | -0.1663 | -0.1665 | -7.8 | -35.6 |
| 061 | SLV A1 | Si | -0.1425 | -0.1449 | -0.1911 | -0.1927 | 7.8 | 36.9 |
| 062 | SLV A1 | Si | -0.1789 | -0.1780 | -0.1482 | -0.1451 | 6.0 | -15.3 |
| 063 | SLV A1 | Si | -0.1669 | -0.1661 | -0.2089 | -0.2138 | -6.1 | 15.2 |
| 064 | SLV A1 | Si | -0.2033 | -0.1992 | -0.1661 | -0.1663 | -7.9 | -37.0 |
| 065 | SLD | Si | -0.1524 | -0.1542 | -0.1677 | -0.1664 | 10.2 | 17.6 |
| 066 | SLD | Si | -0.1571 | -0.1584 | -0.1618 | -0.1598 | 10.5 | 10.5 |
| 067 | SLD | Si | -0.1887 | -0.1856 | -0.1954 | -0.1991 | -10.5 | -10.7 |
| 068 | SLD | Si | -0.1934 | -0.1899 | -0.1895 | -0.1925 | -10.2 | -17.8 |
| 069 | SLD | Si | -0.1523 | -0.1540 | -0.1676 | -0.1663 | 10.4 | 17.6 |
| 070 | SLD | Si | -0.1572 | -0.1585 | -0.1618 | -0.1598 | 10.2 | 10.5 |
| 071 | SLD | Si | -0.1886 | -0.1855 | -0.1954 | -0.1991 | -10.3 | -10.7 |
| 072 | SLD | Si | -0.1935 | -0.1900 | -0.1895 | -0.1926 | -10.5 | -17.8 |
| 073 | SLD | Si | -0.1521 | -0.1539 | -0.1680 | -0.1667 | 10.3 | 19.9 |
| 074 | SLD | Si | -0.1568 | -0.1581 | -0.1621 | -0.1602 | 10.6 | 12.7 |
| 075 | SLD | Si | -0.1890 | -0.1859 | -0.1950 | -0.1987 | -10.7 | -12.9 |
| 076 | SLD | Si | -0.1937 | -0.1902 | -0.1891 | -0.1922 | -10.4 | -20.0 |
| 077 | SLD | Si | -0.1520 | -0.1537 | -0.1680 | -0.1667 | 10.6 | 19.8 |
| 078 | SLD | Si | -0.1569 | -0.1582 | -0.1621 | -0.1602 | 10.4 | 12.8 |
| 079 | SLD | Si | -0.1889 | -0.1858 | -0.1950 | -0.1987 | -10.4 | -12.9 |
| 080 | SLD | Si | -0.1938 | -0.1903 | -0.1891 | -0.1922 | -10.7 | -20.0 |
| 081 | SLD | Si | -0.1597 | -0.1602 | -0.1843 | -0.1855 | 2.6 | 16.1 |
| 082 | SLD | Si | -0.1752 | -0.1743 | -0.1646 | -0.1636 | 3.5 | -7.8 |
| 083 | SLD | Si | -0.1706 | -0.1697 | -0.1926 | -0.1953 | -3.6 | 7.6 |
| 084 | SLD | Si | -0.1861 | -0.1838 | -0.1729 | -0.1734 | -2.7 | -16.3 |
| 085 | SLD | Si | -0.1596 | -0.1601 | -0.1844 | -0.1856 | 2.6 | 16.8 |
| 086 | SLD | Si | -0.1751 | -0.1743 | -0.1647 | -0.1637 | 3.6 | -7.1 |
| 087 | SLD | Si | -0.1707 | -0.1698 | -0.1925 | -0.1952 | -3.7 | 6.9 |
| 088 | SLD | Si | -0.1862 | -0.1839 | -0.1728 | -0.1733 | -2.7 | -16.9 |
| 089 | SLD | Si | -0.1592 | -0.1598 | -0.1842 | -0.1854 | 3.5 | 15.9 |
| 090 | SLD | Si | -0.1757 | -0.1748 | -0.1647 | -0.1637 | 2.7 | -7.6 |
| 091 | SLD | Si | -0.1701 | -0.1692 | -0.1925 | -0.1952 | -2.7 | 7.4 |
| 092 | SLD | Si | -0.1866 | -0.1842 | -0.1730 | -0.1736 | -3.5 | -16.1 |
| 093 | SLD | Si | -0.1591 | -0.1597 | -0.1843 | -0.1855 | 3.5 | 16.6 |
| 094 | SLD | Si | -0.1756 | -0.1747 | -0.1648 | -0.1638 | 2.7 | -6.9 |
| 095 | SLD | Si | -0.1702 | -0.1693 | -0.1924 | -0.1951 | -2.8 | 6.7 |
| 096 | SLD | Si | -0.1867 | -0.1843 | -0.1729 | -0.1734 | -3.6 | -16.7 |
| 097 | SLO | Si | -0.1567 | -0.1578 | -0.1699 | -0.1691 | 8.1 | 14.0 |
| 098 | SLO | Si | -0.1603 | -0.1612 | -0.1652 | -0.1639 | 8.3 | 8.3 |
| 099 | SLO | Si | -0.1855 | -0.1828 | -0.1919 | -0.1950 | -8.4 | -8.5 |
| 100 | SLO | Si | -0.1892 | -0.1862 | -0.1872 | -0.1899 | -8.1 | -14.2 |
| 101 | SLO | Si | -0.1565 | -0.1577 | -0.1699 | -0.1690 | 8.3 | 13.9 |
| 102 | SLO | Si | -0.1605 | -0.1613 | -0.1652 | -0.1639 | 8.1 | 8.4 |
| 103 | SLO | Si | -0.1854 | -0.1827 | -0.1919 | -0.1950 | -8.2 | -8.5 |
| 104 | SLO | Si | -0.1893 | -0.1863 | -0.1872 | -0.1899 | -8.3 | -14.1 |
| 105 | SLO | Si | -0.1564 | -0.1576 | -0.1702 | -0.1693 | 8.2 | 15.7 |

Relazione Geotecnica e delle Fondazioni

| | | | | | | | | |
|-----|-----|----|---------|---------|---------|---------|------|-------|
| 106 | SLO | Si | -0.1601 | -0.1610 | -0.1655 | -0.1642 | 8.4 | 10.1 |
| 107 | SLO | Si | -0.1857 | -0.1831 | -0.1916 | -0.1947 | -8.5 | -10.2 |
| 108 | SLO | Si | -0.1894 | -0.1864 | -0.1870 | -0.1896 | -8.3 | -15.9 |
| 109 | SLO | Si | -0.1563 | -0.1575 | -0.1702 | -0.1693 | 8.4 | 15.7 |
| 110 | SLO | Si | -0.1602 | -0.1611 | -0.1655 | -0.1642 | 8.2 | 10.1 |
| 111 | SLO | Si | -0.1856 | -0.1829 | -0.1916 | -0.1947 | -8.3 | -10.3 |
| 112 | SLO | Si | -0.1895 | -0.1865 | -0.1870 | -0.1896 | -8.5 | -15.9 |
| 113 | SLO | Si | -0.1624 | -0.1627 | -0.1830 | -0.1842 | 2.1 | 12.7 |
| 114 | SLO | Si | -0.1747 | -0.1739 | -0.1675 | -0.1669 | 2.8 | -6.2 |
| 115 | SLO | Si | -0.1711 | -0.1702 | -0.1896 | -0.1920 | -2.9 | 6.0 |
| 116 | SLO | Si | -0.1834 | -0.1814 | -0.1741 | -0.1747 | -2.1 | -12.9 |
| 117 | SLO | Si | -0.1624 | -0.1626 | -0.1831 | -0.1843 | 2.1 | 13.3 |
| 118 | SLO | Si | -0.1747 | -0.1738 | -0.1676 | -0.1670 | 2.8 | -5.6 |
| 119 | SLO | Si | -0.1712 | -0.1702 | -0.1895 | -0.1919 | -2.9 | 5.5 |
| 120 | SLO | Si | -0.1834 | -0.1814 | -0.1740 | -0.1747 | -2.2 | -13.4 |
| 121 | SLO | Si | -0.1621 | -0.1623 | -0.1830 | -0.1841 | 2.8 | 12.6 |
| 122 | SLO | Si | -0.1751 | -0.1742 | -0.1675 | -0.1670 | 2.1 | -6.0 |
| 123 | SLO | Si | -0.1707 | -0.1698 | -0.1896 | -0.1919 | -2.2 | 5.9 |
| 124 | SLO | Si | -0.1838 | -0.1817 | -0.1741 | -0.1748 | -2.8 | -12.8 |
| 125 | SLO | Si | -0.1620 | -0.1622 | -0.1831 | -0.1842 | 2.8 | 13.1 |
| 126 | SLO | Si | -0.1751 | -0.1741 | -0.1676 | -0.1671 | 2.1 | -5.5 |
| 127 | SLO | Si | -0.1708 | -0.1699 | -0.1895 | -0.1919 | -2.2 | 5.3 |
| 128 | SLO | Si | -0.1838 | -0.1818 | -0.1740 | -0.1747 | -2.9 | -13.3 |

Elemento: Platea n. 73

| Cmb | Tipo | Sism. | Press. N1 | Press. N2 | Press. N3 | Press. N4 | S. Taglio X | S. Taglio Y |
|-----|----------|-------|---------------------|---------------------|---------------------|---------------------|-------------|-------------|
| n. | | | daN/cm ² | daN/cm ² | daN/cm ² | daN/cm ² | daN | daN |
| 001 | SLU STR | No | -0.1545 | -0.1530 | -0.1564 | -0.1576 | 0.0 | 0.0 |
| 002 | SLU STR | No | -0.2070 | -0.2055 | -0.2089 | -0.2101 | 0.0 | 0.0 |
| 003 | SLU STR | No | -0.1891 | -0.1835 | -0.1973 | -0.2012 | 0.0 | -0.2 |
| 004 | SLU STR | No | -0.2416 | -0.2360 | -0.2498 | -0.2537 | 0.0 | -0.2 |
| 005 | SLU STR | No | -0.1147 | -0.1136 | -0.1160 | -0.1168 | 0.0 | 0.0 |
| 006 | SLU STR | No | -0.1672 | -0.1661 | -0.1685 | -0.1693 | 0.0 | 0.0 |
| 007 | SLU STR | No | -0.1492 | -0.1440 | -0.1568 | -0.1605 | 0.0 | -0.2 |
| 008 | SLU STR | No | -0.2017 | -0.1965 | -0.2093 | -0.2130 | 0.0 | -0.2 |
| 009 | SLU STR | No | -0.2295 | -0.2280 | -0.2314 | -0.2326 | 0.0 | 0.0 |
| 010 | SLU STR | No | -0.1787 | -0.1744 | -0.1850 | -0.1881 | 0.0 | -0.1 |
| 011 | SLU STR | No | -0.2537 | -0.2494 | -0.2600 | -0.2631 | 0.0 | -0.1 |
| 012 | SLU STR | No | -0.1897 | -0.1886 | -0.1910 | -0.1918 | 0.0 | 0.0 |
| 013 | SLU STR | No | -0.1389 | -0.1349 | -0.1446 | -0.1474 | 0.0 | -0.1 |
| 014 | SLU STR | No | -0.2139 | -0.2099 | -0.2196 | -0.2224 | 0.0 | -0.1 |
| 015 | SLE rare | No | -0.1170 | -0.1159 | -0.1184 | -0.1193 | 0.0 | 0.0 |
| 016 | SLE rare | No | -0.1520 | -0.1509 | -0.1534 | -0.1543 | 0.0 | 0.0 |
| 017 | SLE rare | No | -0.1401 | -0.1362 | -0.1457 | -0.1484 | 0.0 | -0.1 |
| 018 | SLE rare | No | -0.1751 | -0.1712 | -0.1807 | -0.1834 | 0.0 | -0.1 |
| 019 | SLE rare | No | -0.1670 | -0.1659 | -0.1684 | -0.1693 | 0.0 | 0.0 |
| 020 | SLE rare | No | -0.1332 | -0.1301 | -0.1375 | -0.1397 | 0.0 | -0.1 |
| 021 | SLE rare | No | -0.1832 | -0.1801 | -0.1875 | -0.1897 | 0.0 | -0.1 |
| 022 | SLE freq | No | -0.1170 | -0.1159 | -0.1184 | -0.1193 | 0.0 | 0.0 |
| 023 | SLE freq | No | -0.1470 | -0.1459 | -0.1484 | -0.1493 | 0.0 | 0.0 |
| 024 | SLE freq | No | -0.1332 | -0.1301 | -0.1375 | -0.1397 | 0.0 | -0.1 |
| 025 | SLE freq | No | -0.1632 | -0.1601 | -0.1675 | -0.1697 | 0.0 | -0.1 |
| 026 | SLE freq | No | -0.1520 | -0.1509 | -0.1534 | -0.1543 | 0.0 | 0.0 |
| 027 | SLE freq | No | -0.1309 | -0.1281 | -0.1348 | -0.1368 | 0.0 | -0.1 |
| 028 | SLE freq | No | -0.1659 | -0.1631 | -0.1698 | -0.1718 | 0.0 | -0.1 |
| 029 | SLE q.p. | No | -0.1170 | -0.1159 | -0.1184 | -0.1193 | 0.0 | 0.0 |
| 030 | SLE q.p. | No | -0.1470 | -0.1459 | -0.1484 | -0.1493 | 0.0 | 0.0 |
| 031 | SLE q.p. | No | -0.1309 | -0.1281 | -0.1348 | -0.1368 | 0.0 | -0.1 |
| 032 | SLE q.p. | No | -0.1609 | -0.1581 | -0.1648 | -0.1668 | 0.0 | -0.1 |
| 033 | SLV A1 | Si | -0.0935 | -0.0888 | -0.1125 | -0.1117 | 19.4 | 36.6 |
| 034 | SLV A1 | Si | -0.1269 | -0.1276 | -0.1352 | -0.1320 | 13.1 | 21.7 |
| 035 | SLV A1 | Si | -0.1949 | -0.1886 | -0.1943 | -0.2015 | -13.1 | -21.9 |
| 036 | SLV A1 | Si | -0.2283 | -0.2274 | -0.2170 | -0.2218 | -19.4 | -36.7 |
| 037 | SLV A1 | Si | -0.0930 | -0.0884 | -0.1122 | -0.1113 | 13.2 | 36.4 |
| 038 | SLV A1 | Si | -0.1273 | -0.1280 | -0.1356 | -0.1324 | 19.4 | 21.9 |
| 039 | SLV A1 | Si | -0.1944 | -0.1882 | -0.1940 | -0.2011 | -19.3 | -22.0 |
| 040 | SLV A1 | Si | -0.2287 | -0.2278 | -0.2174 | -0.2222 | -13.2 | -36.6 |
| 041 | SLV A1 | Si | -0.0884 | -0.0826 | -0.1093 | -0.1091 | 18.8 | 41.1 |
| 042 | SLV A1 | Si | -0.1218 | -0.1215 | -0.1321 | -0.1293 | 12.5 | 26.2 |
| 043 | SLV A1 | Si | -0.1999 | -0.1947 | -0.1975 | -0.2042 | -12.5 | -26.4 |
| 044 | SLV A1 | Si | -0.2333 | -0.2336 | -0.2202 | -0.2244 | -18.8 | -41.2 |
| 045 | SLV A1 | Si | -0.0880 | -0.0822 | -0.1090 | -0.1087 | 12.6 | 41.0 |
| 046 | SLV A1 | Si | -0.1223 | -0.1219 | -0.1324 | -0.1297 | 18.8 | 26.4 |

| | | | | | | | | |
|--------------------------------------|--------|----------------------------------------------------------------------------------------------------------------------|----------------------------------------------------------------------------------|---------|---------|-------------|-------|-------|
| COMMITTENTE: Mecca Antonio | | CODICE COMMESSA: | NOME ELABORATO: S1.5 - Relazione Geotecnica e delle Fondazioni | | | CONSULENTE: | | |
| DATA: Aprile 2023 | | TITOLO: Lavori ultimazione di un fabbricato adibito ad albergo-ristorante– C.da Case Nuove Chicone Avigliano (PZ) | | | | | | |
| 047 | SLV A1 | Si | -0.1995 | -0.1943 | -0.1971 | -0.2038 | -18.8 | -26.5 |
| 048 | SLV A1 | Si | -0.2338 | -0.2340 | -0.2206 | -0.2248 | -12.6 | -41.1 |
| 049 | SLV A1 | Si | -0.0899 | -0.0784 | -0.1146 | -0.1195 | 15.4 | 33.5 |
| 050 | SLV A1 | Si | -0.2014 | -0.2079 | -0.1904 | -0.1870 | -5.6 | -16.1 |
| 051 | SLV A1 | Si | -0.1204 | -0.1083 | -0.1391 | -0.1465 | 5.6 | 15.9 |
| 052 | SLV A1 | Si | -0.2318 | -0.2378 | -0.2149 | -0.2140 | -15.4 | -33.6 |
| 053 | SLV A1 | Si | -0.0884 | -0.0765 | -0.1137 | -0.1187 | 15.2 | 34.8 |
| 054 | SLV A1 | Si | -0.1999 | -0.2061 | -0.1895 | -0.1863 | -5.8 | -14.7 |
| 055 | SLV A1 | Si | -0.1219 | -0.1101 | -0.1401 | -0.1472 | 5.8 | 14.6 |
| 056 | SLV A1 | Si | -0.2333 | -0.2397 | -0.2159 | -0.2148 | -15.2 | -35.0 |
| 057 | SLV A1 | Si | -0.0885 | -0.0770 | -0.1134 | -0.1182 | -5.4 | 33.0 |
| 058 | SLV A1 | Si | -0.2028 | -0.2093 | -0.1916 | -0.1884 | 15.2 | -15.6 |
| 059 | SLV A1 | Si | -0.1189 | -0.1070 | -0.1380 | -0.1451 | -15.2 | 15.5 |
| 060 | SLV A1 | Si | -0.2333 | -0.2392 | -0.2161 | -0.2154 | 5.4 | -33.2 |
| 061 | SLV A1 | Si | -0.0870 | -0.0752 | -0.1125 | -0.1174 | -5.6 | 34.4 |
| 062 | SLV A1 | Si | -0.2013 | -0.2074 | -0.1906 | -0.1876 | 15.0 | -14.3 |
| 063 | SLV A1 | Si | -0.1204 | -0.1088 | -0.1389 | -0.1459 | -15.0 | 14.1 |
| 064 | SLV A1 | Si | -0.2348 | -0.2410 | -0.2171 | -0.2161 | 5.6 | -34.5 |
| 065 | SLD | Si | -0.1303 | -0.1266 | -0.1411 | -0.1418 | 8.8 | 16.5 |
| 066 | SLD | Si | -0.1455 | -0.1444 | -0.1514 | -0.1510 | 5.9 | 9.8 |
| 067 | SLD | Si | -0.1762 | -0.1718 | -0.1781 | -0.1825 | -5.9 | -9.9 |
| 068 | SLD | Si | -0.1915 | -0.1896 | -0.1885 | -0.1917 | -8.8 | -16.6 |
| 069 | SLD | Si | -0.1301 | -0.1264 | -0.1409 | -0.1416 | 6.0 | 16.4 |
| 070 | SLD | Si | -0.1457 | -0.1445 | -0.1516 | -0.1512 | 8.7 | 9.9 |
| 071 | SLD | Si | -0.1760 | -0.1717 | -0.1780 | -0.1823 | -8.7 | -10.0 |
| 072 | SLD | Si | -0.1917 | -0.1898 | -0.1886 | -0.1919 | -5.9 | -16.6 |
| 073 | SLD | Si | -0.1280 | -0.1238 | -0.1396 | -0.1406 | 8.5 | 18.6 |
| 074 | SLD | Si | -0.1432 | -0.1415 | -0.1500 | -0.1498 | 5.7 | 11.9 |
| 075 | SLD | Si | -0.1785 | -0.1747 | -0.1796 | -0.1837 | -5.6 | -12.0 |
| 076 | SLD | Si | -0.1938 | -0.1924 | -0.1899 | -0.1929 | -8.5 | -18.7 |
| 077 | SLD | Si | -0.1278 | -0.1236 | -0.1395 | -0.1404 | 5.7 | 18.5 |
| 078 | SLD | Si | -0.1434 | -0.1417 | -0.1501 | -0.1500 | 8.5 | 11.9 |
| 079 | SLD | Si | -0.1783 | -0.1745 | -0.1794 | -0.1835 | -8.5 | -12.1 |
| 080 | SLD | Si | -0.1940 | -0.1926 | -0.1901 | -0.1931 | -5.7 | -18.6 |
| 081 | SLD | Si | -0.1286 | -0.1218 | -0.1419 | -0.1453 | 7.0 | 15.0 |
| 082 | SLD | Si | -0.1794 | -0.1809 | -0.1765 | -0.1760 | -2.5 | -7.3 |
| 083 | SLD | Si | -0.1423 | -0.1353 | -0.1530 | -0.1575 | 2.6 | 7.1 |
| 084 | SLD | Si | -0.1932 | -0.1944 | -0.1876 | -0.1882 | -6.9 | -15.2 |
| 085 | SLD | Si | -0.1279 | -0.1209 | -0.1415 | -0.1449 | 6.9 | 15.7 |
| 086 | SLD | Si | -0.1787 | -0.1800 | -0.1761 | -0.1757 | -2.6 | -6.6 |
| 087 | SLD | Si | -0.1430 | -0.1362 | -0.1535 | -0.1578 | 2.6 | 6.5 |
| 088 | SLD | Si | -0.1939 | -0.1953 | -0.1881 | -0.1886 | -6.9 | -15.8 |
| 089 | SLD | Si | -0.1279 | -0.1212 | -0.1414 | -0.1447 | -2.4 | 14.8 |
| 090 | SLD | Si | -0.1800 | -0.1815 | -0.1770 | -0.1766 | 6.9 | -7.1 |
| 091 | SLD | Si | -0.1417 | -0.1347 | -0.1525 | -0.1569 | -6.8 | 6.9 |
| 092 | SLD | Si | -0.1938 | -0.1950 | -0.1881 | -0.1889 | 2.5 | -15.0 |
| 093 | SLD | Si | -0.1272 | -0.1203 | -0.1410 | -0.1443 | -2.5 | 15.5 |
| 094 | SLD | Si | -0.1794 | -0.1806 | -0.1766 | -0.1763 | 6.8 | -6.4 |
| 095 | SLD | Si | -0.1424 | -0.1356 | -0.1530 | -0.1572 | -6.8 | 6.3 |
| 096 | SLD | Si | -0.1945 | -0.1959 | -0.1886 | -0.1892 | 2.5 | -15.6 |
| 097 | SLO | Si | -0.1366 | -0.1332 | -0.1460 | -0.1470 | 7.0 | 13.1 |
| 098 | SLO | Si | -0.1486 | -0.1471 | -0.1541 | -0.1542 | 4.7 | 7.8 |
| 099 | SLO | Si | -0.1731 | -0.1691 | -0.1754 | -0.1793 | -4.7 | -7.9 |
| 100 | SLO | Si | -0.1851 | -0.1830 | -0.1836 | -0.1865 | -6.9 | -13.2 |
| 101 | SLO | Si | -0.1364 | -0.1330 | -0.1458 | -0.1468 | 4.7 | 13.0 |
| 102 | SLO | Si | -0.1489 | -0.1473 | -0.1543 | -0.1544 | 6.9 | 7.8 |
| 103 | SLO | Si | -0.1729 | -0.1689 | -0.1752 | -0.1791 | -6.9 | -8.0 |
| 104 | SLO | Si | -0.1853 | -0.1832 | -0.1837 | -0.1867 | -4.7 | -13.2 |
| 105 | SLO | Si | -0.1348 | -0.1310 | -0.1448 | -0.1460 | 6.8 | 14.7 |
| 106 | SLO | Si | -0.1468 | -0.1449 | -0.1530 | -0.1533 | 4.5 | 9.4 |
| 107 | SLO | Si | -0.1749 | -0.1713 | -0.1766 | -0.1802 | -4.5 | -9.6 |
| 108 | SLO | Si | -0.1869 | -0.1852 | -0.1847 | -0.1875 | -6.7 | -14.9 |
| 109 | SLO | Si | -0.1346 | -0.1307 | -0.1447 | -0.1458 | 4.5 | 14.7 |
| 110 | SLO | Si | -0.1470 | -0.1451 | -0.1532 | -0.1534 | 6.7 | 9.5 |
| 111 | SLO | Si | -0.1747 | -0.1711 | -0.1764 | -0.1801 | -6.7 | -9.6 |
| 112 | SLO | Si | -0.1872 | -0.1855 | -0.1849 | -0.1877 | -4.5 | -14.8 |
| 113 | SLO | Si | -0.1354 | -0.1295 | -0.1468 | -0.1498 | 5.5 | 11.9 |
| 114 | SLO | Si | -0.1754 | -0.1759 | -0.1740 | -0.1740 | -2.0 | -5.8 |
| 115 | SLO | Si | -0.1464 | -0.1403 | -0.1556 | -0.1595 | 2.0 | 5.6 |
| 116 | SLO | Si | -0.1863 | -0.1867 | -0.1828 | -0.1837 | -5.5 | -12.1 |
| 117 | SLO | Si | -0.1349 | -0.1288 | -0.1464 | -0.1495 | 5.5 | 12.4 |
| 118 | SLO | Si | -0.1748 | -0.1753 | -0.1736 | -0.1737 | -2.1 | -5.3 |

Relazione Geotecnica e delle Fondazioni

| | | | | | | | | |
|-----|-----|----|---------|---------|---------|---------|------|-------|
| 119 | SLO | Si | -0.1469 | -0.1409 | -0.1559 | -0.1598 | 2.1 | 5.1 |
| 120 | SLO | Si | -0.1869 | -0.1874 | -0.1831 | -0.1840 | -5.4 | -12.5 |
| 121 | SLO | Si | -0.1347 | -0.1288 | -0.1462 | -0.1492 | -1.9 | 11.8 |
| 122 | SLO | Si | -0.1761 | -0.1767 | -0.1745 | -0.1746 | 5.4 | -5.6 |
| 123 | SLO | Si | -0.1456 | -0.1395 | -0.1551 | -0.1589 | -5.4 | 5.5 |
| 124 | SLO | Si | -0.1870 | -0.1874 | -0.1833 | -0.1843 | 2.0 | -11.9 |
| 125 | SLO | Si | -0.1342 | -0.1281 | -0.1459 | -0.1489 | -2.0 | 12.3 |
| 126 | SLO | Si | -0.1755 | -0.1760 | -0.1741 | -0.1743 | 5.4 | -5.1 |
| 127 | SLO | Si | -0.1462 | -0.1402 | -0.1554 | -0.1592 | -5.4 | 5.0 |
| 128 | SLO | Si | -0.1876 | -0.1881 | -0.1837 | -0.1846 | 2.0 | -12.4 |

Elemento: Platea n. 74

| Cmb | Tipo | Sism. | Press. N1 | Press. N2 | Press. N3 | Press. N4 | S. Taglio X | S. Taglio Y |
|-----|----------|-------|---------------------|---------------------|---------------------|---------------------|-------------|-------------|
| n. | | | daN/cm ² | daN/cm ² | daN/cm ² | daN/cm ² | daN | daN |
| 001 | SLU STR | No | -0.1734 | -0.1742 | -0.1806 | -0.1794 | 0.0 | 0.0 |
| 002 | SLU STR | No | -0.2259 | -0.2267 | -0.2331 | -0.2319 | 0.0 | 0.0 |
| 003 | SLU STR | No | -0.2500 | -0.2501 | -0.2747 | -0.2727 | 0.1 | -0.1 |
| 004 | SLU STR | No | -0.3025 | -0.3026 | -0.3272 | -0.3252 | 0.1 | -0.1 |
| 005 | SLU STR | No | -0.1284 | -0.1290 | -0.1335 | -0.1326 | 0.0 | 0.0 |
| 006 | SLU STR | No | -0.1809 | -0.1815 | -0.1860 | -0.1851 | 0.0 | 0.0 |
| 007 | SLU STR | No | -0.2049 | -0.2048 | -0.2277 | -0.2259 | 0.1 | -0.1 |
| 008 | SLU STR | No | -0.2574 | -0.2573 | -0.2802 | -0.2784 | 0.1 | -0.1 |
| 009 | SLU STR | No | -0.2484 | -0.2492 | -0.2556 | -0.2544 | 0.0 | 0.0 |
| 010 | SLU STR | No | -0.2270 | -0.2273 | -0.2465 | -0.2447 | 0.1 | -0.1 |
| 011 | SLU STR | No | -0.3020 | -0.3023 | -0.3215 | -0.3197 | 0.1 | -0.1 |
| 012 | SLU STR | No | -0.2034 | -0.2040 | -0.2085 | -0.2076 | 0.0 | 0.0 |
| 013 | SLU STR | No | -0.1820 | -0.1821 | -0.1994 | -0.1979 | 0.1 | -0.1 |
| 014 | SLU STR | No | -0.2570 | -0.2571 | -0.2744 | -0.2729 | 0.1 | -0.1 |
| 015 | SLE rare | No | -0.1312 | -0.1318 | -0.1366 | -0.1356 | 0.0 | 0.0 |
| 016 | SLE rare | No | -0.1662 | -0.1668 | -0.1716 | -0.1706 | 0.0 | 0.0 |
| 017 | SLE rare | No | -0.1823 | -0.1824 | -0.1993 | -0.1978 | 0.1 | -0.1 |
| 018 | SLE rare | No | -0.2173 | -0.2174 | -0.2343 | -0.2328 | 0.1 | -0.1 |
| 019 | SLE rare | No | -0.1812 | -0.1818 | -0.1866 | -0.1856 | 0.0 | 0.0 |
| 020 | SLE rare | No | -0.1669 | -0.1672 | -0.1805 | -0.1792 | 0.1 | -0.1 |
| 021 | SLE rare | No | -0.2169 | -0.2172 | -0.2305 | -0.2292 | 0.1 | -0.1 |
| 022 | SLE freq | No | -0.1312 | -0.1318 | -0.1366 | -0.1356 | 0.0 | 0.0 |
| 023 | SLE freq | No | -0.1612 | -0.1618 | -0.1666 | -0.1656 | 0.0 | 0.0 |
| 024 | SLE freq | No | -0.1669 | -0.1672 | -0.1805 | -0.1792 | 0.1 | -0.1 |
| 025 | SLE freq | No | -0.1969 | -0.1972 | -0.2105 | -0.2092 | 0.1 | -0.1 |
| 026 | SLE freq | No | -0.1662 | -0.1668 | -0.1716 | -0.1706 | 0.0 | 0.0 |
| 027 | SLE freq | No | -0.1618 | -0.1622 | -0.1742 | -0.1730 | 0.1 | -0.1 |
| 028 | SLE freq | No | -0.1968 | -0.1972 | -0.2092 | -0.2080 | 0.1 | -0.1 |
| 029 | SLE q.p. | No | -0.1312 | -0.1318 | -0.1366 | -0.1356 | 0.0 | 0.0 |
| 030 | SLE q.p. | No | -0.1612 | -0.1618 | -0.1666 | -0.1656 | 0.0 | 0.0 |
| 031 | SLE q.p. | No | -0.1618 | -0.1622 | -0.1742 | -0.1730 | 0.1 | -0.1 |
| 032 | SLE q.p. | No | -0.1918 | -0.1922 | -0.2042 | -0.2030 | 0.1 | -0.1 |
| 033 | SLV A1 | Si | -0.2360 | -0.2393 | -0.2676 | -0.2626 | 21.2 | 0.2 |
| 034 | SLV A1 | Si | -0.2132 | -0.2163 | -0.2255 | -0.2221 | 30.7 | -28.6 |
| 035 | SLV A1 | Si | -0.1705 | -0.1681 | -0.1829 | -0.1838 | -30.5 | 28.5 |
| 036 | SLV A1 | Si | -0.1477 | -0.1451 | -0.1409 | -0.1433 | -21.1 | -0.4 |
| 037 | SLV A1 | Si | -0.2363 | -0.2396 | -0.2679 | -0.2630 | 30.4 | -0.7 |
| 038 | SLV A1 | Si | -0.2128 | -0.2159 | -0.2251 | -0.2217 | 21.4 | -27.7 |
| 039 | SLV A1 | Si | -0.1709 | -0.1684 | -0.1833 | -0.1842 | -21.3 | 27.5 |
| 040 | SLV A1 | Si | -0.1474 | -0.1447 | -0.1405 | -0.1429 | -30.3 | 0.6 |
| 041 | SLV A1 | Si | -0.2396 | -0.2428 | -0.2746 | -0.2695 | 22.5 | -3.4 |
| 042 | SLV A1 | Si | -0.2167 | -0.2198 | -0.2325 | -0.2289 | 32.0 | -32.2 |
| 043 | SLV A1 | Si | -0.1670 | -0.1645 | -0.1759 | -0.1770 | -31.9 | 32.1 |
| 044 | SLV A1 | Si | -0.1441 | -0.1416 | -0.1339 | -0.1365 | -22.4 | 3.2 |
| 045 | SLV A1 | Si | -0.2399 | -0.2431 | -0.2749 | -0.2698 | 31.7 | -4.3 |
| 046 | SLV A1 | Si | -0.2164 | -0.2195 | -0.2321 | -0.2286 | 22.7 | -31.2 |
| 047 | SLV A1 | Si | -0.1673 | -0.1649 | -0.1763 | -0.1773 | -22.6 | 31.1 |
| 048 | SLV A1 | Si | -0.1438 | -0.1412 | -0.1335 | -0.1361 | -31.6 | 4.2 |
| 049 | SLV A1 | Si | -0.2397 | -0.2411 | -0.2870 | -0.2823 | -8.0 | 43.8 |
| 050 | SLV A1 | Si | -0.1636 | -0.1646 | -0.1468 | -0.1472 | 23.6 | -52.4 |
| 051 | SLV A1 | Si | -0.2201 | -0.2198 | -0.2616 | -0.2587 | -23.5 | 52.3 |
| 052 | SLV A1 | Si | -0.1439 | -0.1432 | -0.1214 | -0.1236 | 8.1 | -43.9 |
| 053 | SLV A1 | Si | -0.2408 | -0.2422 | -0.2891 | -0.2844 | -7.6 | 42.7 |
| 054 | SLV A1 | Si | -0.1647 | -0.1656 | -0.1489 | -0.1493 | 24.0 | -53.5 |
| 055 | SLV A1 | Si | -0.2190 | -0.2187 | -0.2595 | -0.2566 | -23.9 | 53.3 |
| 056 | SLV A1 | Si | -0.1429 | -0.1422 | -0.1193 | -0.1215 | 7.7 | -42.8 |
| 057 | SLV A1 | Si | -0.2408 | -0.2423 | -0.2882 | -0.2835 | 22.8 | 40.6 |
| 058 | SLV A1 | Si | -0.1625 | -0.1634 | -0.1456 | -0.1461 | -7.2 | -49.2 |
| 059 | SLV A1 | Si | -0.2212 | -0.2209 | -0.2628 | -0.2599 | 7.3 | 49.1 |

| | | | | | | | | |
|--------------------------------------|--------|----------------------------------------------------------------------------------------------------------------------|----------------------------------------------------------------------------------|---------|---------|-------------|-------|-------|
| COMMITTENTE: Mecca Antonio | | CODICE COMMESSA: | NOME ELABORATO: S1.5 - Relazione Geotecnica e delle Fondazioni | | | CONSULENTE: | | |
| DATA: Aprile 2023 | | TITOLO: Lavori ultimazione di un fabbricato adibito ad albergo-ristorante– C.da Case Nuove Chicone Avigliano (PZ) | | | | | | |
| 060 | SLV A1 | Si | -0.1429 | -0.1420 | -0.1202 | -0.1224 | -22.7 | -40.7 |
| 061 | SLV A1 | Si | -0.2419 | -0.2434 | -0.2903 | -0.2856 | 23.2 | 39.5 |
| 062 | SLV A1 | Si | -0.1636 | -0.1645 | -0.1477 | -0.1481 | -6.8 | -50.3 |
| 063 | SLV A1 | Si | -0.2201 | -0.2199 | -0.2608 | -0.2578 | 6.9 | 50.2 |
| 064 | SLV A1 | Si | -0.1418 | -0.1410 | -0.1181 | -0.1204 | -23.1 | -39.7 |
| 065 | SLD | Si | -0.2119 | -0.2135 | -0.2330 | -0.2301 | 9.6 | 0.1 |
| 066 | SLD | Si | -0.2015 | -0.2031 | -0.2138 | -0.2116 | 13.9 | -13.1 |
| 067 | SLD | Si | -0.1822 | -0.1813 | -0.1946 | -0.1944 | -13.8 | 12.9 |
| 068 | SLD | Si | -0.1718 | -0.1708 | -0.1755 | -0.1759 | -9.5 | -0.2 |
| 069 | SLD | Si | -0.2120 | -0.2137 | -0.2332 | -0.2302 | 13.8 | -0.3 |
| 070 | SLD | Si | -0.2013 | -0.2029 | -0.2136 | -0.2114 | 9.7 | -12.6 |
| 071 | SLD | Si | -0.1824 | -0.1814 | -0.1948 | -0.1945 | -9.6 | 12.5 |
| 072 | SLD | Si | -0.1717 | -0.1707 | -0.1753 | -0.1757 | -13.7 | 0.2 |
| 073 | SLD | Si | -0.2135 | -0.2152 | -0.2362 | -0.2332 | 10.2 | -1.5 |
| 074 | SLD | Si | -0.2031 | -0.2047 | -0.2170 | -0.2147 | 14.5 | -14.7 |
| 075 | SLD | Si | -0.1806 | -0.1797 | -0.1915 | -0.1912 | -14.4 | 14.6 |
| 076 | SLD | Si | -0.1702 | -0.1692 | -0.1723 | -0.1727 | -10.1 | 1.4 |
| 077 | SLD | Si | -0.2137 | -0.2153 | -0.2364 | -0.2333 | 14.4 | -2.0 |
| 078 | SLD | Si | -0.2030 | -0.2045 | -0.2168 | -0.2145 | 10.3 | -14.3 |
| 079 | SLD | Si | -0.1807 | -0.1798 | -0.1916 | -0.1914 | -10.2 | 14.1 |
| 080 | SLD | Si | -0.1700 | -0.1690 | -0.1721 | -0.1726 | -14.3 | 1.8 |
| 081 | SLD | Si | -0.2137 | -0.2145 | -0.2420 | -0.2391 | -3.6 | 20.0 |
| 082 | SLD | Si | -0.1789 | -0.1796 | -0.1780 | -0.1775 | 10.8 | -23.9 |
| 083 | SLD | Si | -0.2048 | -0.2048 | -0.2305 | -0.2284 | -10.7 | 23.8 |
| 084 | SLD | Si | -0.1700 | -0.1699 | -0.1665 | -0.1668 | 3.7 | -20.1 |
| 085 | SLD | Si | -0.2141 | -0.2150 | -0.2429 | -0.2401 | -3.4 | 19.5 |
| 086 | SLD | Si | -0.1794 | -0.1800 | -0.1789 | -0.1784 | 11.0 | -24.4 |
| 087 | SLD | Si | -0.2043 | -0.2043 | -0.2295 | -0.2275 | -10.8 | 24.3 |
| 088 | SLD | Si | -0.1695 | -0.1694 | -0.1655 | -0.1658 | 3.6 | -19.6 |
| 089 | SLD | Si | -0.2141 | -0.2150 | -0.2425 | -0.2397 | 10.4 | 18.5 |
| 090 | SLD | Si | -0.1784 | -0.1790 | -0.1774 | -0.1770 | -3.3 | -22.5 |
| 091 | SLD | Si | -0.2052 | -0.2053 | -0.2310 | -0.2290 | 3.4 | 22.3 |
| 092 | SLD | Si | -0.1695 | -0.1694 | -0.1659 | -0.1663 | -10.3 | -18.6 |
| 093 | SLD | Si | -0.2146 | -0.2155 | -0.2435 | -0.2406 | 10.6 | 18.0 |
| 094 | SLD | Si | -0.1789 | -0.1795 | -0.1784 | -0.1779 | -3.1 | -23.0 |
| 095 | SLD | Si | -0.2048 | -0.2048 | -0.2300 | -0.2280 | 3.2 | 22.8 |
| 096 | SLD | Si | -0.1691 | -0.1689 | -0.1650 | -0.1653 | -10.5 | -18.1 |
| 097 | SLO | Si | -0.2077 | -0.2091 | -0.2270 | -0.2244 | 7.7 | 0.0 |
| 098 | SLO | Si | -0.1995 | -0.2009 | -0.2119 | -0.2099 | 11.1 | -10.3 |
| 099 | SLO | Si | -0.1842 | -0.1835 | -0.1965 | -0.1961 | -10.9 | 10.2 |
| 100 | SLO | Si | -0.1760 | -0.1753 | -0.1815 | -0.1815 | -7.5 | -0.1 |
| 101 | SLO | Si | -0.2079 | -0.2093 | -0.2272 | -0.2246 | 11.0 | -0.3 |
| 102 | SLO | Si | -0.1994 | -0.2007 | -0.2117 | -0.2097 | 7.7 | -10.0 |
| 103 | SLO | Si | -0.1843 | -0.1837 | -0.1968 | -0.1963 | -7.6 | 9.9 |
| 104 | SLO | Si | -0.1758 | -0.1751 | -0.1813 | -0.1813 | -10.9 | 0.1 |
| 105 | SLO | Si | -0.2090 | -0.2104 | -0.2295 | -0.2269 | 8.1 | -1.3 |
| 106 | SLO | Si | -0.2008 | -0.2021 | -0.2144 | -0.2123 | 11.5 | -11.6 |
| 107 | SLO | Si | -0.1829 | -0.1822 | -0.1940 | -0.1936 | -11.4 | 11.5 |
| 108 | SLO | Si | -0.1747 | -0.1740 | -0.1789 | -0.1791 | -8.0 | 1.1 |
| 109 | SLO | Si | -0.2092 | -0.2105 | -0.2297 | -0.2271 | 11.5 | -1.6 |
| 110 | SLO | Si | -0.2007 | -0.2020 | -0.2142 | -0.2121 | 8.2 | -11.3 |
| 111 | SLO | Si | -0.1830 | -0.1824 | -0.1942 | -0.1938 | -8.1 | 11.2 |
| 112 | SLO | Si | -0.1745 | -0.1738 | -0.1787 | -0.1789 | -11.3 | 1.4 |
| 113 | SLO | Si | -0.2090 | -0.2097 | -0.2339 | -0.2314 | -2.8 | 15.6 |
| 114 | SLO | Si | -0.1817 | -0.1823 | -0.1837 | -0.1830 | 8.5 | -18.8 |
| 115 | SLO | Si | -0.2020 | -0.2021 | -0.2248 | -0.2229 | -8.4 | 18.7 |
| 116 | SLO | Si | -0.1747 | -0.1746 | -0.1745 | -0.1745 | 2.9 | -15.8 |
| 117 | SLO | Si | -0.2094 | -0.2101 | -0.2347 | -0.2322 | -2.7 | 15.2 |
| 118 | SLO | Si | -0.1821 | -0.1827 | -0.1844 | -0.1838 | 8.7 | -19.2 |
| 119 | SLO | Si | -0.2016 | -0.2017 | -0.2240 | -0.2222 | -8.5 | 19.1 |
| 120 | SLO | Si | -0.1743 | -0.1742 | -0.1738 | -0.1738 | 2.8 | -15.4 |
| 121 | SLO | Si | -0.2095 | -0.2103 | -0.2346 | -0.2321 | 8.3 | 14.7 |
| 122 | SLO | Si | -0.1812 | -0.1817 | -0.1830 | -0.1823 | -2.6 | -17.9 |
| 123 | SLO | Si | -0.2025 | -0.2026 | -0.2255 | -0.2236 | 2.7 | 17.7 |
| 124 | SLO | Si | -0.1741 | -0.1741 | -0.1738 | -0.1738 | -8.1 | -14.8 |
| 125 | SLO | Si | -0.2099 | -0.2107 | -0.2354 | -0.2328 | 8.4 | 14.3 |
| 126 | SLO | Si | -0.1816 | -0.1821 | -0.1837 | -0.1831 | -2.4 | -18.2 |
| 127 | SLO | Si | -0.2021 | -0.2022 | -0.2247 | -0.2229 | 2.5 | 18.1 |
| 128 | SLO | Si | -0.1738 | -0.1737 | -0.1731 | -0.1731 | -8.3 | -14.4 |

Elemento: Platea n. 75

Relazione Geotecnica e delle Fondazioni

| Cmb | Tipo | Sism. | Press. N1 | Press. N2 | Press. N3 | Press. N4 | S. Taglio X | S. Taglio Y |
|-----|----------|-------|---------------------|---------------------|---------------------|---------------------|-------------|-------------|
| n. | | | daN/cm ² | daN/cm ² | daN/cm ² | daN/cm ² | daN | daN |
| 001 | SLU STR | No | -0.1678 | -0.1706 | -0.1767 | -0.1727 | 0.0 | 0.0 |
| 002 | SLU STR | No | -0.2203 | -0.2231 | -0.2292 | -0.2252 | 0.0 | 0.0 |
| 003 | SLU STR | No | -0.2391 | -0.2471 | -0.2713 | -0.2587 | 0.2 | 0.1 |
| 004 | SLU STR | No | -0.2916 | -0.2996 | -0.3238 | -0.3112 | 0.2 | 0.1 |
| 005 | SLU STR | No | -0.1242 | -0.1262 | -0.1306 | -0.1276 | 0.0 | 0.0 |
| 006 | SLU STR | No | -0.1767 | -0.1787 | -0.1831 | -0.1801 | 0.0 | 0.0 |
| 007 | SLU STR | No | -0.1954 | -0.2027 | -0.2251 | -0.2136 | 0.2 | 0.1 |
| 008 | SLU STR | No | -0.2479 | -0.2552 | -0.2776 | -0.2661 | 0.2 | 0.1 |
| 009 | SLU STR | No | -0.2428 | -0.2456 | -0.2517 | -0.2477 | 0.0 | 0.0 |
| 010 | SLU STR | No | -0.2177 | -0.2242 | -0.2429 | -0.2329 | 0.2 | 0.0 |
| 011 | SLU STR | No | -0.2927 | -0.2992 | -0.3179 | -0.3079 | 0.2 | 0.0 |
| 012 | SLU STR | No | -0.1992 | -0.2012 | -0.2056 | -0.2026 | 0.0 | 0.0 |
| 013 | SLU STR | No | -0.1740 | -0.1797 | -0.1968 | -0.1878 | 0.2 | 0.0 |
| 014 | SLU STR | No | -0.2490 | -0.2547 | -0.2718 | -0.2628 | 0.2 | 0.0 |
| 015 | SLE rare | No | -0.1270 | -0.1291 | -0.1336 | -0.1306 | 0.0 | 0.0 |
| 016 | SLE rare | No | -0.1620 | -0.1641 | -0.1686 | -0.1656 | 0.0 | 0.0 |
| 017 | SLE rare | No | -0.1744 | -0.1800 | -0.1967 | -0.1879 | 0.2 | 0.0 |
| 018 | SLE rare | No | -0.2094 | -0.2150 | -0.2317 | -0.2229 | 0.2 | 0.0 |
| 019 | SLE rare | No | -0.1770 | -0.1791 | -0.1836 | -0.1806 | 0.0 | 0.0 |
| 020 | SLE rare | No | -0.1602 | -0.1647 | -0.1777 | -0.1707 | 0.1 | 0.0 |
| 021 | SLE rare | No | -0.2102 | -0.2147 | -0.2277 | -0.2207 | 0.1 | 0.0 |
| 022 | SLE freq | No | -0.1270 | -0.1291 | -0.1336 | -0.1306 | 0.0 | 0.0 |
| 023 | SLE freq | No | -0.1570 | -0.1591 | -0.1636 | -0.1606 | 0.0 | 0.0 |
| 024 | SLE freq | No | -0.1602 | -0.1647 | -0.1777 | -0.1707 | 0.1 | 0.0 |
| 025 | SLE freq | No | -0.1902 | -0.1947 | -0.2077 | -0.2007 | 0.1 | 0.0 |
| 026 | SLE freq | No | -0.1620 | -0.1641 | -0.1686 | -0.1656 | 0.0 | 0.0 |
| 027 | SLE freq | No | -0.1555 | -0.1596 | -0.1714 | -0.1650 | 0.1 | 0.0 |
| 028 | SLE freq | No | -0.1905 | -0.1946 | -0.2064 | -0.2000 | 0.1 | 0.0 |
| 029 | SLE q.p. | No | -0.1270 | -0.1291 | -0.1336 | -0.1306 | 0.0 | 0.0 |
| 030 | SLE q.p. | No | -0.1570 | -0.1591 | -0.1636 | -0.1606 | 0.0 | 0.0 |
| 031 | SLE q.p. | No | -0.1555 | -0.1596 | -0.1714 | -0.1650 | 0.1 | 0.0 |
| 032 | SLE q.p. | No | -0.1855 | -0.1896 | -0.2014 | -0.1950 | 0.1 | 0.0 |
| 033 | SLV A1 | Si | -0.2115 | -0.2242 | -0.2527 | -0.2354 | 37.9 | 7.9 |
| 034 | SLV A1 | Si | -0.1944 | -0.2027 | -0.2121 | -0.2017 | 54.3 | -30.0 |
| 035 | SLV A1 | Si | -0.1765 | -0.1766 | -0.1908 | -0.1882 | -54.1 | 30.1 |
| 036 | SLV A1 | Si | -0.1594 | -0.1551 | -0.1502 | -0.1546 | -37.7 | -7.8 |
| 037 | SLV A1 | Si | -0.2117 | -0.2244 | -0.2530 | -0.2356 | 53.9 | 7.1 |
| 038 | SLV A1 | Si | -0.1942 | -0.2024 | -0.2118 | -0.2015 | 38.3 | -29.2 |
| 039 | SLV A1 | Si | -0.1767 | -0.1769 | -0.1911 | -0.1885 | -38.1 | 29.3 |
| 040 | SLV A1 | Si | -0.1592 | -0.1549 | -0.1499 | -0.1543 | -53.7 | -7.0 |
| 041 | SLV A1 | Si | -0.2145 | -0.2278 | -0.2601 | -0.2417 | 40.1 | 1.8 |
| 042 | SLV A1 | Si | -0.1973 | -0.2063 | -0.2196 | -0.2080 | 56.5 | -36.1 |
| 043 | SLV A1 | Si | -0.1736 | -0.1730 | -0.1833 | -0.1819 | -56.3 | 36.1 |
| 044 | SLV A1 | Si | -0.1565 | -0.1515 | -0.1428 | -0.1483 | -39.9 | -1.8 |
| 045 | SLV A1 | Si | -0.2146 | -0.2280 | -0.2604 | -0.2419 | 56.2 | 1.0 |
| 046 | SLV A1 | Si | -0.1972 | -0.2060 | -0.2192 | -0.2078 | 40.5 | -35.3 |
| 047 | SLV A1 | Si | -0.1737 | -0.1733 | -0.1836 | -0.1822 | -40.3 | 35.3 |
| 048 | SLV A1 | Si | -0.1563 | -0.1513 | -0.1424 | -0.1480 | -56.0 | -1.0 |
| 049 | SLV A1 | Si | -0.2192 | -0.2326 | -0.2783 | -0.2581 | -13.5 | 59.8 |
| 050 | SLV A1 | Si | -0.1622 | -0.1610 | -0.1431 | -0.1459 | 41.3 | -66.4 |
| 051 | SLV A1 | Si | -0.2087 | -0.2183 | -0.2597 | -0.2440 | -41.1 | 66.5 |
| 052 | SLV A1 | Si | -0.1517 | -0.1467 | -0.1246 | -0.1318 | 13.7 | -59.8 |
| 053 | SLV A1 | Si | -0.2201 | -0.2337 | -0.2805 | -0.2600 | -12.8 | 58.0 |
| 054 | SLV A1 | Si | -0.1630 | -0.1621 | -0.1454 | -0.1478 | 42.0 | -68.3 |
| 055 | SLV A1 | Si | -0.2079 | -0.2172 | -0.2575 | -0.2421 | -41.8 | 68.3 |
| 056 | SLV A1 | Si | -0.1508 | -0.1456 | -0.1223 | -0.1299 | 13.1 | -58.0 |
| 057 | SLV A1 | Si | -0.2198 | -0.2334 | -0.2794 | -0.2589 | 40.0 | 57.2 |
| 058 | SLV A1 | Si | -0.1616 | -0.1602 | -0.1421 | -0.1452 | -12.2 | -63.8 |
| 059 | SLV A1 | Si | -0.2093 | -0.2191 | -0.2608 | -0.2448 | 12.4 | 63.9 |
| 060 | SLV A1 | Si | -0.1511 | -0.1459 | -0.1235 | -0.1310 | -39.8 | -57.2 |
| 061 | SLV A1 | Si | -0.2207 | -0.2344 | -0.2816 | -0.2608 | 40.7 | 55.4 |
| 062 | SLV A1 | Si | -0.1625 | -0.1613 | -0.1443 | -0.1470 | -11.6 | -65.7 |
| 063 | SLV A1 | Si | -0.2084 | -0.2180 | -0.2586 | -0.2429 | 11.8 | 65.7 |
| 064 | SLV A1 | Si | -0.1502 | -0.1449 | -0.1213 | -0.1291 | -40.5 | -55.4 |
| 065 | SLD | Si | -0.1973 | -0.2053 | -0.2247 | -0.2133 | 17.2 | 3.6 |
| 066 | SLD | Si | -0.1895 | -0.1955 | -0.2062 | -0.1980 | 24.7 | -13.7 |
| 067 | SLD | Si | -0.1814 | -0.1838 | -0.1967 | -0.1920 | -24.5 | 13.7 |
| 068 | SLD | Si | -0.1736 | -0.1740 | -0.1782 | -0.1766 | -17.0 | -3.6 |
| 069 | SLD | Si | -0.1974 | -0.2054 | -0.2249 | -0.2134 | 24.5 | 3.3 |
| 070 | SLD | Si | -0.1894 | -0.1954 | -0.2061 | -0.1979 | 17.4 | -13.3 |
| 071 | SLD | Si | -0.1815 | -0.1839 | -0.1968 | -0.1921 | -17.2 | 13.4 |
| 072 | SLD | Si | -0.1735 | -0.1739 | -0.1780 | -0.1765 | -24.3 | -3.2 |

| | | | |
|--------------------------------------|----------------------------------------------------------------------------------------------------------------------|----------------------------------------------------------------------------------|-------------|
| COMMITTENTE: Mecca Antonio | CODICE COMMESSA: | NOME ELABORATO: S1.5 - Relazione Geotecnica e delle Fondazioni | CONSULENTE: |
| DATA: Aprile 2023 | TITOLO: Lavori ultimazione di un fabbricato adibito ad albergo-ristorante- C.da Case Nuove Chicone Avigliano (PZ) | | |

| | | | | | | | | |
|-----|-----|----|---------|---------|---------|---------|-------|-------|
| 073 | SLD | Si | -0.1986 | -0.2070 | -0.2281 | -0.2162 | 18.2 | 0.9 |
| 074 | SLD | Si | -0.1908 | -0.1972 | -0.2096 | -0.2009 | 25.7 | -16.4 |
| 075 | SLD | Si | -0.1801 | -0.1821 | -0.1933 | -0.1891 | -25.5 | 16.5 |
| 076 | SLD | Si | -0.1723 | -0.1723 | -0.1748 | -0.1737 | -18.0 | -0.8 |
| 077 | SLD | Si | -0.1987 | -0.2071 | -0.2283 | -0.2163 | 25.5 | 0.5 |
| 078 | SLD | Si | -0.1907 | -0.1971 | -0.2095 | -0.2008 | 18.4 | -16.1 |
| 079 | SLD | Si | -0.1802 | -0.1822 | -0.1934 | -0.1892 | -18.2 | 16.1 |
| 080 | SLD | Si | -0.1722 | -0.1722 | -0.1746 | -0.1736 | -25.3 | -0.4 |
| 081 | SLD | Si | -0.2009 | -0.2092 | -0.2365 | -0.2238 | -6.1 | 27.3 |
| 082 | SLD | Si | -0.1748 | -0.1765 | -0.1748 | -0.1726 | 18.8 | -30.3 |
| 083 | SLD | Si | -0.1961 | -0.2028 | -0.2281 | -0.2174 | -18.6 | 30.4 |
| 084 | SLD | Si | -0.1700 | -0.1701 | -0.1664 | -0.1662 | 6.3 | -27.3 |
| 085 | SLD | Si | -0.2013 | -0.2097 | -0.2375 | -0.2246 | -5.8 | 26.5 |
| 086 | SLD | Si | -0.1752 | -0.1770 | -0.1758 | -0.1734 | 19.1 | -31.2 |
| 087 | SLD | Si | -0.1957 | -0.2023 | -0.2271 | -0.2165 | -18.9 | 31.2 |
| 088 | SLD | Si | -0.1696 | -0.1696 | -0.1654 | -0.1653 | 6.0 | -26.5 |
| 089 | SLD | Si | -0.2011 | -0.2096 | -0.2370 | -0.2241 | 18.2 | 26.1 |
| 090 | SLD | Si | -0.1746 | -0.1762 | -0.1743 | -0.1722 | -5.5 | -29.1 |
| 091 | SLD | Si | -0.1963 | -0.2031 | -0.2285 | -0.2177 | 5.7 | 29.2 |
| 092 | SLD | Si | -0.1698 | -0.1697 | -0.1659 | -0.1658 | -18.0 | -26.1 |
| 093 | SLD | Si | -0.2015 | -0.2101 | -0.2380 | -0.2250 | 18.6 | 25.3 |
| 094 | SLD | Si | -0.1750 | -0.1767 | -0.1754 | -0.1731 | -5.2 | -29.9 |
| 095 | SLD | Si | -0.1959 | -0.2026 | -0.2275 | -0.2169 | 5.4 | 30.0 |
| 096 | SLD | Si | -0.1694 | -0.1692 | -0.1649 | -0.1649 | -18.3 | -25.3 |
| 097 | SLO | Si | -0.1948 | -0.2020 | -0.2198 | -0.2095 | 13.7 | 2.8 |
| 098 | SLO | Si | -0.1887 | -0.1943 | -0.2053 | -0.1974 | 19.6 | -10.8 |
| 099 | SLO | Si | -0.1822 | -0.1850 | -0.1976 | -0.1925 | -19.4 | 10.8 |
| 100 | SLO | Si | -0.1761 | -0.1773 | -0.1830 | -0.1805 | -13.5 | -2.8 |
| 101 | SLO | Si | -0.1949 | -0.2022 | -0.2200 | -0.2096 | 19.5 | 2.6 |
| 102 | SLO | Si | -0.1886 | -0.1942 | -0.2051 | -0.1973 | 13.8 | -10.6 |
| 103 | SLO | Si | -0.1823 | -0.1851 | -0.1978 | -0.1927 | -13.6 | 10.6 |
| 104 | SLO | Si | -0.1760 | -0.1771 | -0.1828 | -0.1803 | -19.3 | -2.6 |
| 105 | SLO | Si | -0.1959 | -0.2033 | -0.2225 | -0.2118 | 14.5 | 0.6 |
| 106 | SLO | Si | -0.1897 | -0.1956 | -0.2080 | -0.1997 | 20.4 | -12.9 |
| 107 | SLO | Si | -0.1812 | -0.1837 | -0.1949 | -0.1902 | -20.2 | 13.0 |
| 108 | SLO | Si | -0.1750 | -0.1760 | -0.1804 | -0.1782 | -14.3 | -0.6 |
| 109 | SLO | Si | -0.1960 | -0.2035 | -0.2227 | -0.2119 | 20.3 | 0.4 |
| 110 | SLO | Si | -0.1896 | -0.1955 | -0.2078 | -0.1995 | 14.6 | -12.7 |
| 111 | SLO | Si | -0.1813 | -0.1838 | -0.1951 | -0.1904 | -14.4 | 12.8 |
| 112 | SLO | Si | -0.1749 | -0.1758 | -0.1802 | -0.1780 | -20.1 | -0.4 |
| 113 | SLO | Si | -0.1976 | -0.2050 | -0.2290 | -0.2176 | -4.8 | 21.4 |
| 114 | SLO | Si | -0.1771 | -0.1794 | -0.1806 | -0.1774 | 14.9 | -23.8 |
| 115 | SLO | Si | -0.1938 | -0.1999 | -0.2223 | -0.2125 | -14.7 | 23.8 |
| 116 | SLO | Si | -0.1733 | -0.1743 | -0.1739 | -0.1723 | 5.0 | -21.4 |
| 117 | SLO | Si | -0.1979 | -0.2054 | -0.2298 | -0.2183 | -4.5 | 20.8 |
| 118 | SLO | Si | -0.1774 | -0.1798 | -0.1814 | -0.1781 | 15.1 | -24.4 |
| 119 | SLO | Si | -0.1935 | -0.1995 | -0.2215 | -0.2118 | -14.9 | 24.5 |
| 120 | SLO | Si | -0.1730 | -0.1739 | -0.1731 | -0.1716 | 4.7 | -20.7 |
| 121 | SLO | Si | -0.1979 | -0.2055 | -0.2296 | -0.2181 | 14.5 | 20.8 |
| 122 | SLO | Si | -0.1768 | -0.1790 | -0.1799 | -0.1769 | -4.4 | -23.1 |
| 123 | SLO | Si | -0.1941 | -0.2003 | -0.2230 | -0.2130 | 4.6 | 23.2 |
| 124 | SLO | Si | -0.1730 | -0.1738 | -0.1732 | -0.1718 | -14.3 | -20.7 |
| 125 | SLO | Si | -0.1982 | -0.2059 | -0.2304 | -0.2188 | 14.7 | 20.1 |
| 126 | SLO | Si | -0.1771 | -0.1794 | -0.1807 | -0.1776 | -4.1 | -23.8 |
| 127 | SLO | Si | -0.1938 | -0.1999 | -0.2222 | -0.2124 | 4.3 | 23.8 |
| 128 | SLO | Si | -0.1727 | -0.1734 | -0.1724 | -0.1711 | -14.5 | -20.1 |

Elemento: Platea n. 76

| Cmb | Tipo | Sism. | Press. N1 | Press. N2 | Press. N3 | Press. N4 | S. Taglio X | S. Taglio Y |
|-----|---------|-------|---------------------|---------------------|---------------------|---------------------|-------------|-------------|
| n. | | | daN/cm ² | daN/cm ² | daN/cm ² | daN/cm ² | daN | daN |
| 001 | SLU STR | No | -0.1638 | -0.1637 | -0.1682 | -0.1686 | 0.0 | 0.0 |
| 002 | SLU STR | No | -0.2163 | -0.2162 | -0.2207 | -0.2211 | 0.0 | 0.0 |
| 003 | SLU STR | No | -0.2170 | -0.2132 | -0.2300 | -0.2355 | 0.1 | -0.1 |
| 004 | SLU STR | No | -0.2695 | -0.2657 | -0.2825 | -0.2880 | 0.1 | -0.1 |
| 005 | SLU STR | No | -0.1214 | -0.1214 | -0.1247 | -0.1249 | 0.0 | 0.0 |
| 006 | SLU STR | No | -0.1739 | -0.1739 | -0.1772 | -0.1774 | 0.0 | 0.0 |
| 007 | SLU STR | No | -0.1746 | -0.1709 | -0.1865 | -0.1917 | 0.1 | -0.1 |
| 008 | SLU STR | No | -0.2271 | -0.2234 | -0.2390 | -0.2442 | 0.1 | -0.1 |
| 009 | SLU STR | No | -0.2388 | -0.2387 | -0.2432 | -0.2436 | 0.0 | 0.0 |
| 010 | SLU STR | No | -0.2010 | -0.1984 | -0.2115 | -0.2154 | 0.1 | -0.1 |
| 011 | SLU STR | No | -0.2760 | -0.2734 | -0.2865 | -0.2904 | 0.1 | -0.1 |

Relazione Geotecnica e delle Fondazioni

| | | | | | | | | |
|-----|----------|----|---------|---------|---------|---------|-------|-------|
| 012 | SLU STR | No | -0.1964 | -0.1964 | -0.1997 | -0.1999 | 0.0 | 0.0 |
| 013 | SLU STR | No | -0.1587 | -0.1561 | -0.1679 | -0.1717 | 0.1 | -0.1 |
| 014 | SLU STR | No | -0.2337 | -0.2311 | -0.2429 | -0.2467 | 0.1 | -0.1 |
| 015 | SLE rare | No | -0.1240 | -0.1240 | -0.1273 | -0.1276 | 0.0 | 0.0 |
| 016 | SLE rare | No | -0.1590 | -0.1590 | -0.1623 | -0.1626 | 0.0 | 0.0 |
| 017 | SLE rare | No | -0.1595 | -0.1570 | -0.1685 | -0.1722 | 0.1 | -0.1 |
| 018 | SLE rare | No | -0.1945 | -0.1920 | -0.2035 | -0.2072 | 0.1 | -0.1 |
| 019 | SLE rare | No | -0.1740 | -0.1740 | -0.1773 | -0.1776 | 0.0 | 0.0 |
| 020 | SLE rare | No | -0.1488 | -0.1471 | -0.1562 | -0.1588 | 0.0 | 0.0 |
| 021 | SLE rare | No | -0.1988 | -0.1971 | -0.2062 | -0.2088 | 0.0 | 0.0 |
| 022 | SLE freq | No | -0.1240 | -0.1240 | -0.1273 | -0.1276 | 0.0 | 0.0 |
| 023 | SLE freq | No | -0.1540 | -0.1540 | -0.1573 | -0.1576 | 0.0 | 0.0 |
| 024 | SLE freq | No | -0.1488 | -0.1471 | -0.1562 | -0.1588 | 0.0 | 0.0 |
| 025 | SLE freq | No | -0.1788 | -0.1771 | -0.1862 | -0.1888 | 0.0 | 0.0 |
| 026 | SLE freq | No | -0.1590 | -0.1590 | -0.1623 | -0.1626 | 0.0 | 0.0 |
| 027 | SLE freq | No | -0.1453 | -0.1438 | -0.1521 | -0.1544 | 0.0 | 0.0 |
| 028 | SLE freq | No | -0.1803 | -0.1788 | -0.1871 | -0.1894 | 0.0 | 0.0 |
| 029 | SLE q.p. | No | -0.1240 | -0.1240 | -0.1273 | -0.1276 | 0.0 | 0.0 |
| 030 | SLE q.p. | No | -0.1540 | -0.1540 | -0.1573 | -0.1576 | 0.0 | 0.0 |
| 031 | SLE q.p. | No | -0.1453 | -0.1438 | -0.1521 | -0.1544 | 0.0 | 0.0 |
| 032 | SLE q.p. | No | -0.1753 | -0.1738 | -0.1821 | -0.1844 | 0.0 | 0.0 |
| 033 | SLV A1 | Si | -0.1919 | -0.1920 | -0.2137 | -0.2151 | 23.6 | 2.4 |
| 034 | SLV A1 | Si | -0.1979 | -0.2006 | -0.2048 | -0.2030 | 24.3 | -27.2 |
| 035 | SLV A1 | Si | -0.1527 | -0.1469 | -0.1594 | -0.1657 | -24.2 | 27.1 |
| 036 | SLV A1 | Si | -0.1587 | -0.1556 | -0.1505 | -0.1536 | -23.5 | -2.5 |
| 037 | SLV A1 | Si | -0.1919 | -0.1920 | -0.2139 | -0.2153 | 25.8 | 1.5 |
| 038 | SLV A1 | Si | -0.1979 | -0.2006 | -0.2045 | -0.2027 | 22.1 | -26.3 |
| 039 | SLV A1 | Si | -0.1527 | -0.1470 | -0.1596 | -0.1660 | -22.0 | 26.3 |
| 040 | SLV A1 | Si | -0.1587 | -0.1555 | -0.1502 | -0.1534 | -25.7 | -1.6 |
| 041 | SLV A1 | Si | -0.1916 | -0.1915 | -0.2147 | -0.2168 | 24.0 | -1.4 |
| 042 | SLV A1 | Si | -0.1976 | -0.2002 | -0.2058 | -0.2047 | 24.7 | -31.0 |
| 043 | SLV A1 | Si | -0.1529 | -0.1474 | -0.1583 | -0.1640 | -24.6 | 31.0 |
| 044 | SLV A1 | Si | -0.1590 | -0.1560 | -0.1494 | -0.1519 | -23.9 | 1.4 |
| 045 | SLV A1 | Si | -0.1916 | -0.1916 | -0.2150 | -0.2170 | 26.2 | -2.3 |
| 046 | SLV A1 | Si | -0.1976 | -0.2001 | -0.2056 | -0.2044 | 22.5 | -30.2 |
| 047 | SLV A1 | Si | -0.1529 | -0.1474 | -0.1586 | -0.1643 | -22.4 | 30.1 |
| 048 | SLV A1 | Si | -0.1590 | -0.1560 | -0.1491 | -0.1517 | -26.1 | 2.2 |
| 049 | SLV A1 | Si | -0.1712 | -0.1661 | -0.2050 | -0.2119 | 6.1 | 45.6 |
| 050 | SLV A1 | Si | -0.1912 | -0.1950 | -0.1754 | -0.1716 | 8.3 | -53.1 |
| 051 | SLV A1 | Si | -0.1594 | -0.1526 | -0.1888 | -0.1971 | -8.3 | 53.0 |
| 052 | SLV A1 | Si | -0.1794 | -0.1815 | -0.1591 | -0.1568 | -6.0 | -45.7 |
| 053 | SLV A1 | Si | -0.1711 | -0.1659 | -0.2054 | -0.2124 | 6.2 | 44.4 |
| 054 | SLV A1 | Si | -0.1911 | -0.1949 | -0.1757 | -0.1721 | 8.5 | -54.2 |
| 055 | SLV A1 | Si | -0.1595 | -0.1527 | -0.1884 | -0.1966 | -8.4 | 54.1 |
| 056 | SLV A1 | Si | -0.1795 | -0.1816 | -0.1588 | -0.1563 | -6.1 | -44.5 |
| 057 | SLV A1 | Si | -0.1712 | -0.1662 | -0.2059 | -0.2127 | 13.3 | 42.7 |
| 058 | SLV A1 | Si | -0.1912 | -0.1948 | -0.1745 | -0.1708 | 1.1 | -50.2 |
| 059 | SLV A1 | Si | -0.1594 | -0.1527 | -0.1896 | -0.1979 | -1.0 | 50.1 |
| 060 | SLV A1 | Si | -0.1794 | -0.1813 | -0.1582 | -0.1560 | -13.3 | -42.7 |
| 061 | SLV A1 | Si | -0.1711 | -0.1661 | -0.2062 | -0.2132 | 13.5 | 41.5 |
| 062 | SLV A1 | Si | -0.1911 | -0.1947 | -0.1748 | -0.1713 | 1.2 | -51.3 |
| 063 | SLV A1 | Si | -0.1595 | -0.1529 | -0.1893 | -0.1974 | -1.1 | 51.2 |
| 064 | SLV A1 | Si | -0.1795 | -0.1814 | -0.1579 | -0.1555 | -13.4 | -41.6 |
| 065 | SLD | Si | -0.1828 | -0.1820 | -0.1964 | -0.1983 | 10.7 | 1.1 |
| 066 | SLD | Si | -0.1855 | -0.1859 | -0.1923 | -0.1928 | 11.0 | -12.4 |
| 067 | SLD | Si | -0.1651 | -0.1616 | -0.1718 | -0.1759 | -10.9 | 12.3 |
| 068 | SLD | Si | -0.1678 | -0.1656 | -0.1677 | -0.1704 | -10.6 | -1.2 |
| 069 | SLD | Si | -0.1828 | -0.1820 | -0.1965 | -0.1984 | 11.7 | 0.7 |
| 070 | SLD | Si | -0.1855 | -0.1859 | -0.1922 | -0.1927 | 10.0 | -12.0 |
| 071 | SLD | Si | -0.1651 | -0.1616 | -0.1719 | -0.1760 | -9.9 | 11.9 |
| 072 | SLD | Si | -0.1678 | -0.1655 | -0.1676 | -0.1703 | -11.6 | -0.8 |
| 073 | SLD | Si | -0.1827 | -0.1818 | -0.1969 | -0.1991 | 10.9 | -0.7 |
| 074 | SLD | Si | -0.1854 | -0.1858 | -0.1928 | -0.1936 | 11.2 | -14.2 |
| 075 | SLD | Si | -0.1652 | -0.1618 | -0.1713 | -0.1751 | -11.1 | 14.1 |
| 076 | SLD | Si | -0.1679 | -0.1657 | -0.1673 | -0.1696 | -10.8 | 0.6 |
| 077 | SLD | Si | -0.1827 | -0.1818 | -0.1970 | -0.1992 | 11.9 | -1.1 |
| 078 | SLD | Si | -0.1854 | -0.1857 | -0.1927 | -0.1934 | 10.2 | -13.8 |
| 079 | SLD | Si | -0.1652 | -0.1618 | -0.1714 | -0.1753 | -10.1 | 13.7 |
| 080 | SLD | Si | -0.1679 | -0.1657 | -0.1671 | -0.1695 | -11.8 | 1.0 |
| 081 | SLD | Si | -0.1734 | -0.1703 | -0.1925 | -0.1969 | 2.8 | 20.8 |
| 082 | SLD | Si | -0.1825 | -0.1834 | -0.1790 | -0.1785 | 3.8 | -24.2 |
| 083 | SLD | Si | -0.1681 | -0.1641 | -0.1851 | -0.1902 | -3.7 | 24.2 |
| 084 | SLD | Si | -0.1772 | -0.1773 | -0.1716 | -0.1718 | -2.7 | -20.9 |
| 085 | SLD | Si | -0.1734 | -0.1702 | -0.1926 | -0.1971 | 2.8 | 20.3 |

| | | | |
|--------------------------------------|------------------------------------------------------------------------------------------------------------------------------|----------------------------------------------------------------------------------|-------------|
| COMMITTENTE: Mecca Antonio | CODICE COMMESSA: | NOME ELABORATO: S1.5 - Relazione Geotecnica e delle Fondazioni | CONSULENTE: |
| DATA: Aprile 2023 | TITOLO: Lavori ultimazione di un fabbricato adibito ad albergo-ristorante- C.da Case Nuove Chicone Avigliano (PZ) | | |

| | | | | | | | | |
|-----|-----|----|---------|---------|---------|---------|------|-------|
| 086 | SLD | Si | -0.1825 | -0.1834 | -0.1792 | -0.1788 | 3.9 | -24.8 |
| 087 | SLD | Si | -0.1681 | -0.1642 | -0.1850 | -0.1899 | -3.8 | 24.7 |
| 088 | SLD | Si | -0.1772 | -0.1774 | -0.1715 | -0.1716 | -2.7 | -20.3 |
| 089 | SLD | Si | -0.1734 | -0.1703 | -0.1929 | -0.1972 | 6.1 | 19.5 |
| 090 | SLD | Si | -0.1825 | -0.1833 | -0.1786 | -0.1782 | 0.5 | -22.9 |
| 091 | SLD | Si | -0.1681 | -0.1642 | -0.1855 | -0.1905 | -0.4 | 22.8 |
| 092 | SLD | Si | -0.1772 | -0.1772 | -0.1712 | -0.1715 | -6.0 | -19.5 |
| 093 | SLD | Si | -0.1734 | -0.1703 | -0.1930 | -0.1975 | 6.1 | 18.9 |
| 094 | SLD | Si | -0.1825 | -0.1833 | -0.1788 | -0.1784 | 0.6 | -23.4 |
| 095 | SLD | Si | -0.1681 | -0.1643 | -0.1854 | -0.1903 | -0.5 | 23.4 |
| 096 | SLD | Si | -0.1772 | -0.1773 | -0.1711 | -0.1712 | -6.1 | -19.0 |
| 097 | SLO | Si | -0.1812 | -0.1803 | -0.1934 | -0.1954 | 8.5 | 0.8 |
| 098 | SLO | Si | -0.1834 | -0.1834 | -0.1902 | -0.1910 | 8.7 | -9.8 |
| 099 | SLO | Si | -0.1672 | -0.1641 | -0.1739 | -0.1777 | -8.7 | 9.7 |
| 100 | SLO | Si | -0.1693 | -0.1672 | -0.1707 | -0.1733 | -8.4 | -0.9 |
| 101 | SLO | Si | -0.1812 | -0.1803 | -0.1935 | -0.1955 | 9.3 | 0.6 |
| 102 | SLO | Si | -0.1834 | -0.1834 | -0.1901 | -0.1909 | 7.9 | -9.5 |
| 103 | SLO | Si | -0.1672 | -0.1641 | -0.1740 | -0.1778 | -7.9 | 9.5 |
| 104 | SLO | Si | -0.1693 | -0.1672 | -0.1706 | -0.1732 | -9.2 | -0.6 |
| 105 | SLO | Si | -0.1812 | -0.1802 | -0.1938 | -0.1960 | 8.7 | -0.6 |
| 106 | SLO | Si | -0.1833 | -0.1833 | -0.1906 | -0.1917 | 8.9 | -11.2 |
| 107 | SLO | Si | -0.1673 | -0.1643 | -0.1735 | -0.1770 | -8.8 | 11.1 |
| 108 | SLO | Si | -0.1694 | -0.1674 | -0.1703 | -0.1727 | -8.6 | 0.5 |
| 109 | SLO | Si | -0.1812 | -0.1802 | -0.1939 | -0.1961 | 9.4 | -0.8 |
| 110 | SLO | Si | -0.1833 | -0.1833 | -0.1905 | -0.1916 | 8.1 | -10.9 |
| 111 | SLO | Si | -0.1673 | -0.1643 | -0.1736 | -0.1771 | -8.0 | 10.8 |
| 112 | SLO | Si | -0.1694 | -0.1674 | -0.1702 | -0.1726 | -9.4 | 0.7 |
| 113 | SLO | Si | -0.1738 | -0.1710 | -0.1903 | -0.1942 | 2.2 | 16.3 |
| 114 | SLO | Si | -0.1810 | -0.1814 | -0.1797 | -0.1798 | 3.0 | -19.0 |
| 115 | SLO | Si | -0.1696 | -0.1662 | -0.1845 | -0.1889 | -2.9 | 19.0 |
| 116 | SLO | Si | -0.1768 | -0.1765 | -0.1738 | -0.1745 | -2.1 | -16.4 |
| 117 | SLO | Si | -0.1738 | -0.1710 | -0.1904 | -0.1944 | 2.2 | 15.9 |
| 118 | SLO | Si | -0.1810 | -0.1813 | -0.1798 | -0.1800 | 3.1 | -19.5 |
| 119 | SLO | Si | -0.1696 | -0.1662 | -0.1843 | -0.1887 | -3.0 | 19.4 |
| 120 | SLO | Si | -0.1768 | -0.1766 | -0.1737 | -0.1743 | -2.2 | -16.0 |
| 121 | SLO | Si | -0.1738 | -0.1710 | -0.1907 | -0.1946 | 4.8 | 15.4 |
| 122 | SLO | Si | -0.1810 | -0.1814 | -0.1793 | -0.1794 | 0.4 | -18.2 |
| 123 | SLO | Si | -0.1696 | -0.1662 | -0.1848 | -0.1893 | -0.3 | 18.1 |
| 124 | SLO | Si | -0.1768 | -0.1765 | -0.1735 | -0.1741 | -4.7 | -15.5 |
| 125 | SLO | Si | -0.1738 | -0.1710 | -0.1908 | -0.1948 | 4.9 | 15.0 |
| 126 | SLO | Si | -0.1810 | -0.1813 | -0.1794 | -0.1796 | 0.4 | -18.6 |
| 127 | SLO | Si | -0.1696 | -0.1662 | -0.1847 | -0.1891 | -0.4 | 18.5 |
| 128 | SLO | Si | -0.1768 | -0.1765 | -0.1733 | -0.1739 | -4.8 | -15.1 |

Elemento: Platea n. 77

| Cmb | Tipo | Sism. | Press. N1 | Press. N2 | Press. N3 | Press. N4 | S. Taglio X | S. Taglio Y |
|-----|----------|-------|---------------------|---------------------|---------------------|---------------------|-------------|-------------|
| n. | | | daN/cm ² | daN/cm ² | daN/cm ² | daN/cm ² | daN | daN |
| 001 | SLU STR | No | -0.1637 | -0.1639 | -0.1684 | -0.1682 | 0.0 | 0.0 |
| 002 | SLU STR | No | -0.2162 | -0.2164 | -0.2209 | -0.2207 | 0.0 | 0.0 |
| 003 | SLU STR | No | -0.2132 | -0.2099 | -0.2266 | -0.2300 | 0.1 | -0.1 |
| 004 | SLU STR | No | -0.2657 | -0.2624 | -0.2791 | -0.2825 | 0.1 | -0.1 |
| 005 | SLU STR | No | -0.1214 | -0.1216 | -0.1249 | -0.1247 | 0.0 | 0.0 |
| 006 | SLU STR | No | -0.1739 | -0.1741 | -0.1774 | -0.1772 | 0.0 | 0.0 |
| 007 | SLU STR | No | -0.1709 | -0.1677 | -0.1831 | -0.1865 | 0.1 | -0.1 |
| 008 | SLU STR | No | -0.2234 | -0.2202 | -0.2356 | -0.2390 | 0.1 | -0.1 |
| 009 | SLU STR | No | -0.2387 | -0.2389 | -0.2434 | -0.2432 | 0.0 | 0.0 |
| 010 | SLU STR | No | -0.1984 | -0.1961 | -0.2092 | -0.2115 | 0.1 | -0.1 |
| 011 | SLU STR | No | -0.2734 | -0.2711 | -0.2842 | -0.2865 | 0.1 | -0.1 |
| 012 | SLU STR | No | -0.1964 | -0.1966 | -0.1999 | -0.1997 | 0.0 | 0.0 |
| 013 | SLU STR | No | -0.1561 | -0.1539 | -0.1656 | -0.1679 | 0.0 | -0.1 |
| 014 | SLU STR | No | -0.2311 | -0.2289 | -0.2406 | -0.2429 | 0.0 | -0.1 |
| 015 | SLE rare | No | -0.1240 | -0.1241 | -0.1275 | -0.1273 | 0.0 | 0.0 |
| 016 | SLE rare | No | -0.1590 | -0.1591 | -0.1625 | -0.1623 | 0.0 | 0.0 |
| 017 | SLE rare | No | -0.1570 | -0.1548 | -0.1663 | -0.1685 | 0.0 | -0.1 |
| 018 | SLE rare | No | -0.1920 | -0.1898 | -0.2013 | -0.2035 | 0.0 | -0.1 |
| 019 | SLE rare | No | -0.1740 | -0.1741 | -0.1775 | -0.1773 | 0.0 | 0.0 |
| 020 | SLE rare | No | -0.1471 | -0.1456 | -0.1547 | -0.1562 | 0.0 | -0.1 |
| 021 | SLE rare | No | -0.1971 | -0.1956 | -0.2047 | -0.2062 | 0.0 | -0.1 |
| 022 | SLE freq | No | -0.1240 | -0.1241 | -0.1275 | -0.1273 | 0.0 | 0.0 |
| 023 | SLE freq | No | -0.1540 | -0.1541 | -0.1575 | -0.1573 | 0.0 | 0.0 |
| 024 | SLE freq | No | -0.1471 | -0.1456 | -0.1547 | -0.1562 | 0.0 | -0.1 |

Relazione Geotecnica e delle Fondazioni

| | | | | | | | | |
|-----|----------|----|---------|---------|---------|---------|-------|-------|
| 025 | SLE freq | No | -0.1771 | -0.1756 | -0.1847 | -0.1862 | 0.0 | -0.1 |
| 026 | SLE freq | No | -0.1590 | -0.1591 | -0.1625 | -0.1623 | 0.0 | 0.0 |
| 027 | SLE freq | No | -0.1438 | -0.1426 | -0.1508 | -0.1521 | 0.0 | -0.1 |
| 028 | SLE freq | No | -0.1788 | -0.1776 | -0.1858 | -0.1871 | 0.0 | -0.1 |
| 029 | SLE q.p. | No | -0.1240 | -0.1241 | -0.1275 | -0.1273 | 0.0 | 0.0 |
| 030 | SLE q.p. | No | -0.1540 | -0.1541 | -0.1575 | -0.1573 | 0.0 | 0.0 |
| 031 | SLE q.p. | No | -0.1438 | -0.1426 | -0.1508 | -0.1521 | 0.0 | -0.1 |
| 032 | SLE q.p. | No | -0.1738 | -0.1726 | -0.1808 | -0.1821 | 0.0 | -0.1 |
| 033 | SLV A1 | Si | -0.1920 | -0.1929 | -0.2152 | -0.2137 | 22.5 | 0.6 |
| 034 | SLV A1 | Si | -0.2006 | -0.2041 | -0.2072 | -0.2048 | 23.0 | -30.9 |
| 035 | SLV A1 | Si | -0.1469 | -0.1410 | -0.1544 | -0.1594 | -22.9 | 30.8 |
| 036 | SLV A1 | Si | -0.1556 | -0.1522 | -0.1464 | -0.1505 | -22.4 | -0.7 |
| 037 | SLV A1 | Si | -0.1920 | -0.1930 | -0.2155 | -0.2139 | 22.9 | -0.4 |
| 038 | SLV A1 | Si | -0.2006 | -0.2040 | -0.2070 | -0.2045 | 22.5 | -29.9 |
| 039 | SLV A1 | Si | -0.1470 | -0.1411 | -0.1546 | -0.1596 | -22.4 | 29.7 |
| 040 | SLV A1 | Si | -0.1555 | -0.1522 | -0.1461 | -0.1502 | -22.9 | 0.3 |
| 041 | SLV A1 | Si | -0.1915 | -0.1923 | -0.2160 | -0.2147 | 22.8 | -3.3 |
| 042 | SLV A1 | Si | -0.2002 | -0.2035 | -0.2080 | -0.2058 | 23.3 | -34.8 |
| 043 | SLV A1 | Si | -0.1474 | -0.1416 | -0.1536 | -0.1583 | -23.3 | 34.7 |
| 044 | SLV A1 | Si | -0.1560 | -0.1528 | -0.1456 | -0.1494 | -22.7 | 3.2 |
| 045 | SLV A1 | Si | -0.1916 | -0.1924 | -0.2163 | -0.2150 | 23.3 | -4.3 |
| 046 | SLV A1 | Si | -0.2001 | -0.2035 | -0.2077 | -0.2056 | 22.8 | -33.8 |
| 047 | SLV A1 | Si | -0.1474 | -0.1417 | -0.1539 | -0.1586 | -22.8 | 33.7 |
| 048 | SLV A1 | Si | -0.1560 | -0.1527 | -0.1453 | -0.1491 | -23.2 | 4.2 |
| 049 | SLV A1 | Si | -0.1661 | -0.1616 | -0.2033 | -0.2050 | 5.9 | 47.9 |
| 050 | SLV A1 | Si | -0.1950 | -0.1991 | -0.1766 | -0.1754 | 7.7 | -57.1 |
| 051 | SLV A1 | Si | -0.1526 | -0.1460 | -0.1850 | -0.1888 | -7.7 | 56.9 |
| 052 | SLV A1 | Si | -0.1815 | -0.1835 | -0.1583 | -0.1591 | -5.9 | -48.0 |
| 053 | SLV A1 | Si | -0.1659 | -0.1614 | -0.2035 | -0.2054 | 6.0 | 46.7 |
| 054 | SLV A1 | Si | -0.1949 | -0.1989 | -0.1768 | -0.1757 | 7.8 | -58.2 |
| 055 | SLV A1 | Si | -0.1527 | -0.1462 | -0.1848 | -0.1884 | -7.8 | 58.1 |
| 056 | SLV A1 | Si | -0.1816 | -0.1837 | -0.1581 | -0.1588 | -6.0 | -46.8 |
| 057 | SLV A1 | Si | -0.1662 | -0.1619 | -0.2042 | -0.2059 | 7.6 | 44.5 |
| 058 | SLV A1 | Si | -0.1948 | -0.1987 | -0.1757 | -0.1745 | 6.1 | -53.7 |
| 059 | SLV A1 | Si | -0.1527 | -0.1464 | -0.1859 | -0.1896 | -6.0 | 53.5 |
| 060 | SLV A1 | Si | -0.1813 | -0.1832 | -0.1574 | -0.1582 | -7.5 | -44.6 |
| 061 | SLV A1 | Si | -0.1661 | -0.1617 | -0.2044 | -0.2062 | 7.7 | 43.3 |
| 062 | SLV A1 | Si | -0.1947 | -0.1986 | -0.1759 | -0.1748 | 6.2 | -54.8 |
| 063 | SLV A1 | Si | -0.1529 | -0.1465 | -0.1857 | -0.1893 | -6.1 | 54.7 |
| 064 | SLV A1 | Si | -0.1814 | -0.1834 | -0.1572 | -0.1579 | -7.6 | -43.4 |
| 065 | SLD | Si | -0.1820 | -0.1817 | -0.1964 | -0.1964 | 10.2 | 0.3 |
| 066 | SLD | Si | -0.1859 | -0.1868 | -0.1928 | -0.1923 | 10.4 | -14.1 |
| 067 | SLD | Si | -0.1616 | -0.1583 | -0.1688 | -0.1718 | -10.4 | 14.0 |
| 068 | SLD | Si | -0.1656 | -0.1634 | -0.1652 | -0.1677 | -10.1 | -0.4 |
| 069 | SLD | Si | -0.1820 | -0.1818 | -0.1965 | -0.1965 | 10.4 | -0.2 |
| 070 | SLD | Si | -0.1859 | -0.1868 | -0.1926 | -0.1922 | 10.2 | -13.6 |
| 071 | SLD | Si | -0.1616 | -0.1583 | -0.1690 | -0.1719 | -10.1 | 13.5 |
| 072 | SLD | Si | -0.1655 | -0.1633 | -0.1651 | -0.1676 | -10.3 | 0.1 |
| 073 | SLD | Si | -0.1818 | -0.1815 | -0.1968 | -0.1969 | 10.3 | -1.5 |
| 074 | SLD | Si | -0.1858 | -0.1866 | -0.1931 | -0.1928 | 10.6 | -15.9 |
| 075 | SLD | Si | -0.1618 | -0.1585 | -0.1685 | -0.1713 | -10.5 | 15.8 |
| 076 | SLD | Si | -0.1657 | -0.1636 | -0.1648 | -0.1673 | -10.3 | 1.4 |
| 077 | SLD | Si | -0.1818 | -0.1815 | -0.1969 | -0.1970 | 10.6 | -2.0 |
| 078 | SLD | Si | -0.1857 | -0.1866 | -0.1930 | -0.1927 | 10.4 | -15.4 |
| 079 | SLD | Si | -0.1618 | -0.1585 | -0.1686 | -0.1714 | -10.3 | 15.3 |
| 080 | SLD | Si | -0.1657 | -0.1636 | -0.1647 | -0.1671 | -10.5 | 1.9 |
| 081 | SLD | Si | -0.1703 | -0.1675 | -0.1910 | -0.1925 | 2.7 | 21.9 |
| 082 | SLD | Si | -0.1834 | -0.1846 | -0.1789 | -0.1790 | 3.5 | -26.1 |
| 083 | SLD | Si | -0.1641 | -0.1605 | -0.1827 | -0.1851 | -3.5 | 26.0 |
| 084 | SLD | Si | -0.1773 | -0.1776 | -0.1706 | -0.1716 | -2.6 | -22.0 |
| 085 | SLD | Si | -0.1702 | -0.1675 | -0.1911 | -0.1926 | 2.7 | 21.3 |
| 086 | SLD | Si | -0.1834 | -0.1845 | -0.1790 | -0.1792 | 3.6 | -26.6 |
| 087 | SLD | Si | -0.1642 | -0.1606 | -0.1826 | -0.1850 | -3.5 | 26.5 |
| 088 | SLD | Si | -0.1774 | -0.1776 | -0.1705 | -0.1715 | -2.7 | -21.4 |
| 089 | SLD | Si | -0.1703 | -0.1677 | -0.1914 | -0.1929 | 3.5 | 20.3 |
| 090 | SLD | Si | -0.1833 | -0.1845 | -0.1785 | -0.1786 | 2.8 | -24.5 |
| 091 | SLD | Si | -0.1642 | -0.1607 | -0.1831 | -0.1855 | -2.7 | 24.4 |
| 092 | SLD | Si | -0.1772 | -0.1774 | -0.1702 | -0.1712 | -3.4 | -20.4 |
| 093 | SLD | Si | -0.1703 | -0.1676 | -0.1915 | -0.1930 | 3.5 | 19.7 |
| 094 | SLD | Si | -0.1833 | -0.1844 | -0.1786 | -0.1788 | 2.8 | -25.0 |
| 095 | SLD | Si | -0.1643 | -0.1607 | -0.1830 | -0.1854 | -2.7 | 24.9 |
| 096 | SLD | Si | -0.1773 | -0.1775 | -0.1701 | -0.1711 | -3.4 | -19.9 |
| 097 | SLO | Si | -0.1803 | -0.1799 | -0.1932 | -0.1934 | 8.1 | 0.2 |
| 098 | SLO | Si | -0.1834 | -0.1839 | -0.1903 | -0.1902 | 8.3 | -11.1 |

| | | | |
|--------------------------------------|----------------------------------------------------------------------------------------------------------------------|----------------------------------------------------------------------------------|-------------|
| COMMITTENTE: Mecca Antonio | CODICE COMMESSA: | NOME ELABORATO: S1.5 - Relazione Geotecnica e delle Fondazioni | CONSULENTE: |
| DATA: Aprile 2023 | TITOLO: Lavori ultimazione di un fabbricato adibito ad albergo-ristorante- C.da Case Nuove Chicone Avigliano (PZ) | | |

| | | | | | | | | |
|-----|-----|----|---------|---------|---------|---------|------|-------|
| 099 | SLO | Si | -0.1641 | -0.1612 | -0.1713 | -0.1739 | -8.2 | 11.0 |
| 100 | SLO | Si | -0.1672 | -0.1653 | -0.1684 | -0.1707 | -8.0 | -0.3 |
| 101 | SLO | Si | -0.1803 | -0.1799 | -0.1933 | -0.1935 | 8.3 | -0.1 |
| 102 | SLO | Si | -0.1834 | -0.1839 | -0.1902 | -0.1901 | 8.1 | -10.8 |
| 103 | SLO | Si | -0.1641 | -0.1612 | -0.1714 | -0.1740 | -8.0 | 10.7 |
| 104 | SLO | Si | -0.1672 | -0.1652 | -0.1683 | -0.1706 | -8.2 | 0.0 |
| 105 | SLO | Si | -0.1802 | -0.1797 | -0.1935 | -0.1938 | 8.2 | -1.3 |
| 106 | SLO | Si | -0.1833 | -0.1837 | -0.1906 | -0.1906 | 8.4 | -12.5 |
| 107 | SLO | Si | -0.1643 | -0.1614 | -0.1710 | -0.1735 | -8.3 | 12.4 |
| 108 | SLO | Si | -0.1674 | -0.1654 | -0.1681 | -0.1703 | -8.1 | 1.1 |
| 109 | SLO | Si | -0.1802 | -0.1797 | -0.1936 | -0.1939 | 8.4 | -1.6 |
| 110 | SLO | Si | -0.1833 | -0.1837 | -0.1905 | -0.1905 | 8.2 | -12.2 |
| 111 | SLO | Si | -0.1643 | -0.1614 | -0.1711 | -0.1736 | -8.2 | 12.1 |
| 112 | SLO | Si | -0.1674 | -0.1654 | -0.1680 | -0.1702 | -8.3 | 1.4 |
| 113 | SLO | Si | -0.1710 | -0.1686 | -0.1889 | -0.1903 | 2.2 | 17.1 |
| 114 | SLO | Si | -0.1814 | -0.1821 | -0.1793 | -0.1797 | 2.8 | -20.5 |
| 115 | SLO | Si | -0.1662 | -0.1630 | -0.1823 | -0.1845 | -2.7 | 20.4 |
| 116 | SLO | Si | -0.1765 | -0.1765 | -0.1727 | -0.1738 | -2.1 | -17.2 |
| 117 | SLO | Si | -0.1710 | -0.1686 | -0.1890 | -0.1904 | 2.2 | 16.7 |
| 118 | SLO | Si | -0.1813 | -0.1820 | -0.1794 | -0.1798 | 2.8 | -20.9 |
| 119 | SLO | Si | -0.1662 | -0.1631 | -0.1822 | -0.1843 | -2.8 | 20.8 |
| 120 | SLO | Si | -0.1766 | -0.1765 | -0.1726 | -0.1737 | -2.1 | -16.8 |
| 121 | SLO | Si | -0.1710 | -0.1687 | -0.1892 | -0.1907 | 2.8 | 16.1 |
| 122 | SLO | Si | -0.1814 | -0.1820 | -0.1789 | -0.1793 | 2.2 | -19.5 |
| 123 | SLO | Si | -0.1662 | -0.1631 | -0.1827 | -0.1848 | -2.1 | 19.3 |
| 124 | SLO | Si | -0.1765 | -0.1764 | -0.1724 | -0.1735 | -2.7 | -16.2 |
| 125 | SLO | Si | -0.1710 | -0.1686 | -0.1893 | -0.1908 | 2.8 | 15.7 |
| 126 | SLO | Si | -0.1813 | -0.1819 | -0.1790 | -0.1794 | 2.2 | -19.9 |
| 127 | SLO | Si | -0.1662 | -0.1632 | -0.1826 | -0.1847 | -2.2 | 19.8 |
| 128 | SLO | Si | -0.1765 | -0.1765 | -0.1723 | -0.1733 | -2.7 | -15.8 |

Elemento: Platea n. 78

| Cmb | Tipo | Sism. | Press. N1 | Press. N2 | Press. N3 | Press. N4 | S. Taglio X | S. Taglio Y |
|-----|----------|-------|---------------------|---------------------|---------------------|---------------------|-------------|-------------|
| n. | | | daN/cm ² | daN/cm ² | daN/cm ² | daN/cm ² | daN | daN |
| 001 | SLU STR | No | -0.1557 | -0.1550 | -0.1590 | -0.1594 | 0.0 | 0.0 |
| 002 | SLU STR | No | -0.2082 | -0.2075 | -0.2115 | -0.2119 | 0.0 | 0.0 |
| 003 | SLU STR | No | -0.1954 | -0.1928 | -0.2089 | -0.2098 | 0.0 | 0.0 |
| 004 | SLU STR | No | -0.2479 | -0.2453 | -0.2614 | -0.2623 | 0.0 | 0.0 |
| 005 | SLU STR | No | -0.1155 | -0.1149 | -0.1178 | -0.1181 | 0.0 | 0.0 |
| 006 | SLU STR | No | -0.1680 | -0.1674 | -0.1703 | -0.1706 | 0.0 | 0.0 |
| 007 | SLU STR | No | -0.1551 | -0.1528 | -0.1677 | -0.1685 | 0.0 | 0.0 |
| 008 | SLU STR | No | -0.2076 | -0.2053 | -0.2202 | -0.2210 | 0.0 | 0.0 |
| 009 | SLU STR | No | -0.2307 | -0.2300 | -0.2340 | -0.2344 | 0.0 | 0.0 |
| 010 | SLU STR | No | -0.1835 | -0.1815 | -0.1940 | -0.1947 | 0.0 | 0.0 |
| 011 | SLU STR | No | -0.2585 | -0.2565 | -0.2690 | -0.2697 | 0.0 | 0.0 |
| 012 | SLU STR | No | -0.1905 | -0.1899 | -0.1928 | -0.1931 | 0.0 | 0.0 |
| 013 | SLU STR | No | -0.1432 | -0.1414 | -0.1527 | -0.1534 | 0.0 | 0.0 |
| 014 | SLU STR | No | -0.2182 | -0.2164 | -0.2277 | -0.2284 | 0.0 | 0.0 |
| 015 | SLE rare | No | -0.1179 | -0.1173 | -0.1204 | -0.1206 | 0.0 | 0.0 |
| 016 | SLE rare | No | -0.1529 | -0.1523 | -0.1554 | -0.1556 | 0.0 | 0.0 |
| 017 | SLE rare | No | -0.1443 | -0.1426 | -0.1536 | -0.1543 | 0.0 | 0.0 |
| 018 | SLE rare | No | -0.1793 | -0.1776 | -0.1886 | -0.1893 | 0.0 | 0.0 |
| 019 | SLE rare | No | -0.1679 | -0.1673 | -0.1704 | -0.1706 | 0.0 | 0.0 |
| 020 | SLE rare | No | -0.1364 | -0.1350 | -0.1437 | -0.1442 | 0.0 | 0.0 |
| 021 | SLE rare | No | -0.1864 | -0.1850 | -0.1937 | -0.1942 | 0.0 | 0.0 |
| 022 | SLE freq | No | -0.1179 | -0.1173 | -0.1204 | -0.1206 | 0.0 | 0.0 |
| 023 | SLE freq | No | -0.1479 | -0.1473 | -0.1504 | -0.1506 | 0.0 | 0.0 |
| 024 | SLE freq | No | -0.1364 | -0.1350 | -0.1437 | -0.1442 | 0.0 | 0.0 |
| 025 | SLE freq | No | -0.1664 | -0.1650 | -0.1737 | -0.1742 | 0.0 | 0.0 |
| 026 | SLE freq | No | -0.1529 | -0.1523 | -0.1554 | -0.1556 | 0.0 | 0.0 |
| 027 | SLE freq | No | -0.1338 | -0.1325 | -0.1403 | -0.1408 | 0.0 | 0.0 |
| 028 | SLE freq | No | -0.1688 | -0.1675 | -0.1753 | -0.1758 | 0.0 | 0.0 |
| 029 | SLE q.p. | No | -0.1179 | -0.1173 | -0.1204 | -0.1206 | 0.0 | 0.0 |
| 030 | SLE q.p. | No | -0.1479 | -0.1473 | -0.1504 | -0.1506 | 0.0 | 0.0 |
| 031 | SLE q.p. | No | -0.1338 | -0.1325 | -0.1403 | -0.1408 | 0.0 | 0.0 |
| 032 | SLE q.p. | No | -0.1638 | -0.1625 | -0.1703 | -0.1708 | 0.0 | 0.0 |
| 033 | SLV A1 | Si | -0.1182 | -0.1227 | -0.1439 | -0.1375 | 29.9 | 39.4 |
| 034 | SLV A1 | Si | -0.1406 | -0.1452 | -0.1510 | -0.1462 | 22.3 | 22.9 |
| 035 | SLV A1 | Si | -0.1869 | -0.1798 | -0.1897 | -0.1955 | -22.3 | -22.9 |
| 036 | SLV A1 | Si | -0.2093 | -0.2023 | -0.1968 | -0.2041 | -30.0 | -39.4 |
| 037 | SLV A1 | Si | -0.1180 | -0.1225 | -0.1437 | -0.1372 | 22.2 | 39.7 |

Relazione Geotecnica e delle Fondazioni

| | | | | | | | | |
|-----|--------|----|---------|---------|---------|---------|-------|-------|
| 038 | SLV A1 | Si | -0.1409 | -0.1454 | -0.1512 | -0.1464 | 30.0 | 22.5 |
| 039 | SLV A1 | Si | -0.1867 | -0.1796 | -0.1895 | -0.1952 | -30.0 | -22.6 |
| 040 | SLV A1 | Si | -0.2096 | -0.2025 | -0.1970 | -0.2044 | -22.3 | -39.8 |
| 041 | SLV A1 | Si | -0.1150 | -0.1193 | -0.1434 | -0.1368 | 29.7 | 44.6 |
| 042 | SLV A1 | Si | -0.1374 | -0.1418 | -0.1505 | -0.1455 | 22.1 | 28.0 |
| 043 | SLV A1 | Si | -0.1901 | -0.1832 | -0.1902 | -0.1961 | -22.1 | -28.1 |
| 044 | SLV A1 | Si | -0.2125 | -0.2057 | -0.1973 | -0.2048 | -29.7 | -44.6 |
| 045 | SLV A1 | Si | -0.1148 | -0.1191 | -0.1432 | -0.1366 | 22.0 | 44.9 |
| 046 | SLV A1 | Si | -0.1377 | -0.1420 | -0.1507 | -0.1457 | 29.8 | 27.7 |
| 047 | SLV A1 | Si | -0.1899 | -0.1830 | -0.1900 | -0.1959 | -29.8 | -27.7 |
| 048 | SLV A1 | Si | -0.2128 | -0.2059 | -0.1975 | -0.2050 | -22.0 | -44.9 |
| 049 | SLV A1 | Si | -0.1162 | -0.1165 | -0.1516 | -0.1477 | 20.5 | 36.9 |
| 050 | SLV A1 | Si | -0.1908 | -0.1914 | -0.1753 | -0.1766 | -4.9 | -18.2 |
| 051 | SLV A1 | Si | -0.1368 | -0.1336 | -0.1653 | -0.1651 | 4.8 | 18.2 |
| 052 | SLV A1 | Si | -0.2114 | -0.2085 | -0.1891 | -0.1939 | -20.5 | -36.9 |
| 053 | SLV A1 | Si | -0.1152 | -0.1154 | -0.1514 | -0.1475 | 20.4 | 38.4 |
| 054 | SLV A1 | Si | -0.1898 | -0.1903 | -0.1752 | -0.1764 | -4.9 | -16.7 |
| 055 | SLV A1 | Si | -0.1377 | -0.1346 | -0.1655 | -0.1653 | 4.9 | 16.6 |
| 056 | SLV A1 | Si | -0.2123 | -0.2095 | -0.1892 | -0.1941 | -20.5 | -38.5 |
| 057 | SLV A1 | Si | -0.1153 | -0.1158 | -0.1509 | -0.1468 | -5.1 | 38.0 |
| 058 | SLV A1 | Si | -0.1917 | -0.1921 | -0.1760 | -0.1774 | 20.7 | -19.4 |
| 059 | SLV A1 | Si | -0.1359 | -0.1329 | -0.1647 | -0.1642 | -20.8 | 19.3 |
| 060 | SLV A1 | Si | -0.2123 | -0.2092 | -0.1897 | -0.1948 | 5.1 | -38.0 |
| 061 | SLV A1 | Si | -0.1143 | -0.1147 | -0.1508 | -0.1466 | -5.2 | 39.6 |
| 062 | SLV A1 | Si | -0.1907 | -0.1910 | -0.1758 | -0.1772 | 20.7 | -17.8 |
| 063 | SLV A1 | Si | -0.1368 | -0.1339 | -0.1648 | -0.1644 | -20.7 | 17.8 |
| 064 | SLV A1 | Si | -0.2132 | -0.2102 | -0.1899 | -0.1950 | 5.1 | -39.6 |
| 065 | SLD | Si | -0.1431 | -0.1444 | -0.1583 | -0.1557 | 13.5 | 17.8 |
| 066 | SLD | Si | -0.1533 | -0.1547 | -0.1616 | -0.1596 | 10.1 | 10.4 |
| 067 | SLD | Si | -0.1742 | -0.1703 | -0.1791 | -0.1820 | -10.1 | -10.4 |
| 068 | SLD | Si | -0.1844 | -0.1806 | -0.1823 | -0.1859 | -13.5 | -17.8 |
| 069 | SLD | Si | -0.1430 | -0.1443 | -0.1583 | -0.1556 | 10.1 | 17.9 |
| 070 | SLD | Si | -0.1534 | -0.1548 | -0.1617 | -0.1598 | 13.6 | 10.2 |
| 071 | SLD | Si | -0.1741 | -0.1702 | -0.1790 | -0.1819 | -13.6 | -10.2 |
| 072 | SLD | Si | -0.1846 | -0.1806 | -0.1824 | -0.1860 | -10.1 | -18.0 |
| 073 | SLD | Si | -0.1416 | -0.1429 | -0.1581 | -0.1554 | 13.4 | 20.1 |
| 074 | SLD | Si | -0.1518 | -0.1531 | -0.1613 | -0.1593 | 10.0 | 12.7 |
| 075 | SLD | Si | -0.1757 | -0.1719 | -0.1793 | -0.1823 | -10.0 | -12.7 |
| 076 | SLD | Si | -0.1859 | -0.1821 | -0.1826 | -0.1862 | -13.4 | -20.2 |
| 077 | SLD | Si | -0.1415 | -0.1428 | -0.1580 | -0.1553 | 10.0 | 20.3 |
| 078 | SLD | Si | -0.1520 | -0.1532 | -0.1614 | -0.1594 | 13.5 | 12.5 |
| 079 | SLD | Si | -0.1756 | -0.1718 | -0.1792 | -0.1822 | -13.5 | -12.6 |
| 080 | SLD | Si | -0.1860 | -0.1822 | -0.1826 | -0.1863 | -10.0 | -20.3 |
| 081 | SLD | Si | -0.1421 | -0.1415 | -0.1618 | -0.1603 | 9.3 | 16.6 |
| 082 | SLD | Si | -0.1761 | -0.1757 | -0.1726 | -0.1734 | -2.2 | -8.2 |
| 083 | SLD | Si | -0.1514 | -0.1493 | -0.1680 | -0.1682 | 2.2 | 8.2 |
| 084 | SLD | Si | -0.1855 | -0.1835 | -0.1788 | -0.1813 | -9.3 | -16.6 |
| 085 | SLD | Si | -0.1417 | -0.1410 | -0.1618 | -0.1602 | 9.2 | 17.3 |
| 086 | SLD | Si | -0.1757 | -0.1752 | -0.1725 | -0.1733 | -2.2 | -7.5 |
| 087 | SLD | Si | -0.1519 | -0.1497 | -0.1681 | -0.1683 | 2.2 | 7.4 |
| 088 | SLD | Si | -0.1859 | -0.1839 | -0.1789 | -0.1814 | -9.3 | -17.4 |
| 089 | SLD | Si | -0.1417 | -0.1412 | -0.1615 | -0.1599 | -2.3 | 17.1 |
| 090 | SLD | Si | -0.1765 | -0.1760 | -0.1729 | -0.1738 | 9.4 | -8.7 |
| 091 | SLD | Si | -0.1510 | -0.1490 | -0.1678 | -0.1678 | -9.4 | 8.7 |
| 092 | SLD | Si | -0.1859 | -0.1838 | -0.1791 | -0.1817 | 2.3 | -17.2 |
| 093 | SLD | Si | -0.1413 | -0.1407 | -0.1615 | -0.1598 | -2.3 | 17.8 |
| 094 | SLD | Si | -0.1761 | -0.1755 | -0.1728 | -0.1737 | 9.3 | -8.0 |
| 095 | SLD | Si | -0.1515 | -0.1494 | -0.1678 | -0.1679 | -9.4 | 8.0 |
| 096 | SLD | Si | -0.1863 | -0.1842 | -0.1792 | -0.1818 | 2.3 | -17.9 |
| 097 | SLO | Si | -0.1474 | -0.1482 | -0.1608 | -0.1588 | 10.7 | 14.1 |
| 098 | SLO | Si | -0.1554 | -0.1562 | -0.1634 | -0.1619 | 8.0 | 8.2 |
| 099 | SLO | Si | -0.1721 | -0.1687 | -0.1773 | -0.1797 | -8.0 | -8.3 |
| 100 | SLO | Si | -0.1801 | -0.1768 | -0.1798 | -0.1828 | -10.7 | -14.1 |
| 101 | SLO | Si | -0.1473 | -0.1481 | -0.1608 | -0.1587 | 8.0 | 14.2 |
| 102 | SLO | Si | -0.1556 | -0.1564 | -0.1635 | -0.1620 | 10.7 | 8.1 |
| 103 | SLO | Si | -0.1720 | -0.1686 | -0.1772 | -0.1796 | -10.8 | -8.1 |
| 104 | SLO | Si | -0.1803 | -0.1769 | -0.1799 | -0.1829 | -8.0 | -14.3 |
| 105 | SLO | Si | -0.1462 | -0.1469 | -0.1606 | -0.1586 | 10.6 | 16.0 |
| 106 | SLO | Si | -0.1543 | -0.1550 | -0.1632 | -0.1617 | 7.9 | 10.1 |
| 107 | SLO | Si | -0.1733 | -0.1700 | -0.1775 | -0.1799 | -7.9 | -10.1 |
| 108 | SLO | Si | -0.1813 | -0.1780 | -0.1800 | -0.1830 | -10.7 | -16.0 |
| 109 | SLO | Si | -0.1461 | -0.1468 | -0.1606 | -0.1585 | 7.9 | 16.1 |
| 110 | SLO | Si | -0.1544 | -0.1551 | -0.1633 | -0.1618 | 10.7 | 10.0 |
| 111 | SLO | Si | -0.1731 | -0.1698 | -0.1774 | -0.1798 | -10.7 | -10.0 |

| | | | |
|--------------------------------------|------------------------------------------------------------------------------------------------------------------------------|----------------------------------------------------------------------------------|-------------|
| COMMITTENTE: Mecca Antonio | CODICE COMMESSA: | NOME ELABORATO: S1.5 - Relazione Geotecnica e delle Fondazioni | CONSULENTE: |
| DATA: Aprile 2023 | TITOLO: Lavori ultimazione di un fabbricato adibito ad albergo-ristorante- C.da Case Nuove Chicone Avigliano (PZ) | | |

| | | | | | | | | |
|-----|-----|----|---------|---------|---------|---------|------|-------|
| 112 | SLO | Si | -0.1814 | -0.1781 | -0.1801 | -0.1831 | -7.9 | -16.1 |
| 113 | SLO | Si | -0.1467 | -0.1460 | -0.1636 | -0.1625 | 7.3 | 13.2 |
| 114 | SLO | Si | -0.1734 | -0.1728 | -0.1721 | -0.1729 | -1.7 | -6.5 |
| 115 | SLO | Si | -0.1541 | -0.1521 | -0.1685 | -0.1688 | 1.7 | 6.5 |
| 116 | SLO | Si | -0.1808 | -0.1790 | -0.1771 | -0.1791 | -7.4 | -13.2 |
| 117 | SLO | Si | -0.1464 | -0.1456 | -0.1635 | -0.1624 | 7.3 | 13.7 |
| 118 | SLO | Si | -0.1731 | -0.1725 | -0.1721 | -0.1728 | -1.8 | -5.9 |
| 119 | SLO | Si | -0.1545 | -0.1525 | -0.1686 | -0.1688 | 1.7 | 5.9 |
| 120 | SLO | Si | -0.1812 | -0.1794 | -0.1771 | -0.1792 | -7.3 | -13.8 |
| 121 | SLO | Si | -0.1462 | -0.1456 | -0.1634 | -0.1622 | -1.8 | 13.6 |
| 122 | SLO | Si | -0.1739 | -0.1732 | -0.1724 | -0.1732 | 7.4 | -6.9 |
| 123 | SLO | Si | -0.1537 | -0.1517 | -0.1683 | -0.1684 | -7.5 | 6.9 |
| 124 | SLO | Si | -0.1813 | -0.1794 | -0.1773 | -0.1794 | 1.8 | -13.6 |
| 125 | SLO | Si | -0.1459 | -0.1452 | -0.1633 | -0.1621 | -1.8 | 14.2 |
| 126 | SLO | Si | -0.1735 | -0.1728 | -0.1723 | -0.1731 | 7.4 | -6.4 |
| 127 | SLO | Si | -0.1540 | -0.1521 | -0.1683 | -0.1685 | -7.4 | 6.3 |
| 128 | SLO | Si | -0.1817 | -0.1797 | -0.1774 | -0.1795 | 1.8 | -14.2 |

Elemento: Platea n. 79

| Cmb | Tipo | Sism. | Press. N1 | Press. N2 | Press. N3 | Press. N4 | S. Taglio X | S. Taglio Y |
|-----|----------|-------|---------------------|---------------------|---------------------|---------------------|-------------|-------------|
| n. | | | daN/cm ² | daN/cm ² | daN/cm ² | daN/cm ² | daN | daN |
| 001 | SLU STR | No | -0.1600 | -0.1598 | -0.1644 | -0.1646 | 0.0 | 0.0 |
| 002 | SLU STR | No | -0.2125 | -0.2123 | -0.2169 | -0.2171 | 0.0 | 0.0 |
| 003 | SLU STR | No | -0.2129 | -0.2119 | -0.2304 | -0.2312 | -0.1 | 0.1 |
| 004 | SLU STR | No | -0.2654 | -0.2644 | -0.2829 | -0.2837 | -0.1 | 0.1 |
| 005 | SLU STR | No | -0.1185 | -0.1183 | -0.1216 | -0.1217 | 0.0 | 0.0 |
| 006 | SLU STR | No | -0.1710 | -0.1708 | -0.1741 | -0.1742 | 0.0 | 0.0 |
| 007 | SLU STR | No | -0.1714 | -0.1705 | -0.1876 | -0.1883 | -0.1 | 0.1 |
| 008 | SLU STR | No | -0.2239 | -0.2230 | -0.2401 | -0.2408 | -0.1 | 0.1 |
| 009 | SLU STR | No | -0.2350 | -0.2348 | -0.2394 | -0.2396 | 0.0 | 0.0 |
| 010 | SLU STR | No | -0.1970 | -0.1963 | -0.2106 | -0.2112 | -0.1 | 0.1 |
| 011 | SLU STR | No | -0.2720 | -0.2713 | -0.2856 | -0.2862 | -0.1 | 0.1 |
| 012 | SLU STR | No | -0.1935 | -0.1933 | -0.1966 | -0.1967 | 0.0 | 0.0 |
| 013 | SLU STR | No | -0.1555 | -0.1549 | -0.1678 | -0.1684 | -0.1 | 0.1 |
| 014 | SLU STR | No | -0.2305 | -0.2299 | -0.2428 | -0.2434 | -0.1 | 0.1 |
| 015 | SLE rare | No | -0.1211 | -0.1209 | -0.1244 | -0.1245 | 0.0 | 0.0 |
| 016 | SLE rare | No | -0.1561 | -0.1559 | -0.1594 | -0.1595 | 0.0 | 0.0 |
| 017 | SLE rare | No | -0.1563 | -0.1557 | -0.1683 | -0.1689 | -0.1 | 0.1 |
| 018 | SLE rare | No | -0.1913 | -0.1907 | -0.2033 | -0.2039 | -0.1 | 0.1 |
| 019 | SLE rare | No | -0.1711 | -0.1709 | -0.1744 | -0.1745 | 0.0 | 0.0 |
| 020 | SLE rare | No | -0.1458 | -0.1453 | -0.1551 | -0.1556 | 0.0 | 0.1 |
| 021 | SLE rare | No | -0.1958 | -0.1953 | -0.2051 | -0.2056 | 0.0 | 0.1 |
| 022 | SLE freq | No | -0.1211 | -0.1209 | -0.1244 | -0.1245 | 0.0 | 0.0 |
| 023 | SLE freq | No | -0.1511 | -0.1509 | -0.1544 | -0.1545 | 0.0 | 0.0 |
| 024 | SLE freq | No | -0.1458 | -0.1453 | -0.1551 | -0.1556 | 0.0 | 0.1 |
| 025 | SLE freq | No | -0.1758 | -0.1753 | -0.1851 | -0.1856 | 0.0 | 0.1 |
| 026 | SLE freq | No | -0.1561 | -0.1559 | -0.1594 | -0.1595 | 0.0 | 0.0 |
| 027 | SLE freq | No | -0.1422 | -0.1418 | -0.1508 | -0.1511 | 0.0 | 0.1 |
| 028 | SLE freq | No | -0.1772 | -0.1768 | -0.1858 | -0.1861 | 0.0 | 0.1 |
| 029 | SLE q.p. | No | -0.1211 | -0.1209 | -0.1244 | -0.1245 | 0.0 | 0.0 |
| 030 | SLE q.p. | No | -0.1511 | -0.1509 | -0.1544 | -0.1545 | 0.0 | 0.0 |
| 031 | SLE q.p. | No | -0.1422 | -0.1418 | -0.1508 | -0.1511 | 0.0 | 0.1 |
| 032 | SLE q.p. | No | -0.1722 | -0.1718 | -0.1808 | -0.1811 | 0.0 | 0.1 |
| 033 | SLV A1 | Si | -0.1553 | -0.1607 | -0.1830 | -0.1800 | 29.9 | 33.1 |
| 034 | SLV A1 | Si | -0.1593 | -0.1635 | -0.1643 | -0.1606 | 40.4 | 15.2 |
| 035 | SLV A1 | Si | -0.1851 | -0.1801 | -0.1972 | -0.2017 | -40.5 | -15.1 |
| 036 | SLV A1 | Si | -0.1892 | -0.1829 | -0.1785 | -0.1822 | -30.0 | -32.9 |
| 037 | SLV A1 | Si | -0.1552 | -0.1607 | -0.1830 | -0.1800 | 38.1 | 33.6 |
| 038 | SLV A1 | Si | -0.1594 | -0.1635 | -0.1643 | -0.1606 | 32.2 | 14.7 |
| 039 | SLV A1 | Si | -0.1851 | -0.1801 | -0.1972 | -0.2016 | -32.3 | -14.6 |
| 040 | SLV A1 | Si | -0.1893 | -0.1829 | -0.1785 | -0.1822 | -38.2 | -33.5 |
| 041 | SLV A1 | Si | -0.1555 | -0.1609 | -0.1809 | -0.1795 | 30.9 | 37.7 |
| 042 | SLV A1 | Si | -0.1596 | -0.1637 | -0.1623 | -0.1601 | 41.4 | 19.9 |
| 043 | SLV A1 | Si | -0.1849 | -0.1799 | -0.1992 | -0.2022 | -41.4 | -19.8 |
| 044 | SLV A1 | Si | -0.1890 | -0.1827 | -0.1806 | -0.1827 | -30.9 | -37.6 |
| 045 | SLV A1 | Si | -0.1554 | -0.1609 | -0.1810 | -0.1795 | 39.1 | 38.3 |
| 046 | SLV A1 | Si | -0.1596 | -0.1637 | -0.1623 | -0.1601 | 33.2 | 19.4 |
| 047 | SLV A1 | Si | -0.1848 | -0.1799 | -0.1992 | -0.2021 | -33.2 | -19.3 |
| 048 | SLV A1 | Si | -0.1890 | -0.1827 | -0.1805 | -0.1827 | -39.1 | -38.1 |
| 049 | SLV A1 | Si | -0.1610 | -0.1643 | -0.2097 | -0.2103 | -7.0 | 37.0 |
| 050 | SLV A1 | Si | -0.1746 | -0.1735 | -0.1476 | -0.1454 | 28.0 | -22.4 |

Relazione Geotecnica e delle Fondazioni

| | | | | | | | | |
|-----|--------|----|---------|---------|---------|---------|-------|-------|
| 051 | SLV A1 | Si | -0.1699 | -0.1701 | -0.2139 | -0.2168 | -28.1 | 22.6 |
| 052 | SLV A1 | Si | -0.1835 | -0.1793 | -0.1518 | -0.1519 | 6.9 | -36.9 |
| 053 | SLV A1 | Si | -0.1610 | -0.1643 | -0.2091 | -0.2102 | -6.7 | 38.4 |
| 054 | SLV A1 | Si | -0.1746 | -0.1735 | -0.1470 | -0.1453 | 28.3 | -21.0 |
| 055 | SLV A1 | Si | -0.1698 | -0.1700 | -0.2145 | -0.2170 | -28.4 | 21.2 |
| 056 | SLV A1 | Si | -0.1834 | -0.1792 | -0.1524 | -0.1521 | 6.6 | -38.3 |
| 057 | SLV A1 | Si | -0.1608 | -0.1642 | -0.2097 | -0.2102 | 20.4 | 38.7 |
| 058 | SLV A1 | Si | -0.1748 | -0.1736 | -0.1475 | -0.1455 | 0.7 | -24.2 |
| 059 | SLV A1 | Si | -0.1697 | -0.1700 | -0.2140 | -0.2167 | -0.7 | 24.3 |
| 060 | SLV A1 | Si | -0.1837 | -0.1794 | -0.1518 | -0.1520 | -20.5 | -38.6 |
| 061 | SLV A1 | Si | -0.1608 | -0.1642 | -0.2091 | -0.2101 | 20.7 | 40.2 |
| 062 | SLV A1 | Si | -0.1748 | -0.1737 | -0.1469 | -0.1454 | 0.9 | -22.8 |
| 063 | SLV A1 | Si | -0.1696 | -0.1699 | -0.2146 | -0.2169 | -1.0 | 22.9 |
| 064 | SLV A1 | Si | -0.1836 | -0.1794 | -0.1524 | -0.1522 | -20.7 | -40.0 |
| 065 | SLD | Si | -0.1645 | -0.1668 | -0.1818 | -0.1807 | 13.5 | 15.0 |
| 066 | SLD | Si | -0.1664 | -0.1680 | -0.1733 | -0.1718 | 18.3 | 6.9 |
| 067 | SLD | Si | -0.1781 | -0.1755 | -0.1882 | -0.1905 | -18.4 | -6.8 |
| 068 | SLD | Si | -0.1799 | -0.1768 | -0.1797 | -0.1816 | -13.6 | -14.9 |
| 069 | SLD | Si | -0.1645 | -0.1668 | -0.1818 | -0.1806 | 17.2 | 15.2 |
| 070 | SLD | Si | -0.1664 | -0.1680 | -0.1733 | -0.1718 | 14.6 | 6.7 |
| 071 | SLD | Si | -0.1780 | -0.1755 | -0.1882 | -0.1904 | -14.6 | -6.6 |
| 072 | SLD | Si | -0.1799 | -0.1768 | -0.1797 | -0.1816 | -17.3 | -15.1 |
| 073 | SLD | Si | -0.1646 | -0.1669 | -0.1809 | -0.1804 | 14.0 | 17.1 |
| 074 | SLD | Si | -0.1665 | -0.1681 | -0.1724 | -0.1715 | 18.7 | 9.0 |
| 075 | SLD | Si | -0.1780 | -0.1755 | -0.1892 | -0.1907 | -18.8 | -8.9 |
| 076 | SLD | Si | -0.1798 | -0.1767 | -0.1806 | -0.1818 | -14.0 | -17.0 |
| 077 | SLD | Si | -0.1646 | -0.1668 | -0.1809 | -0.1804 | 17.7 | 17.4 |
| 078 | SLD | Si | -0.1665 | -0.1681 | -0.1723 | -0.1715 | 15.0 | 8.8 |
| 079 | SLD | Si | -0.1779 | -0.1755 | -0.1892 | -0.1907 | -15.1 | -8.7 |
| 080 | SLD | Si | -0.1798 | -0.1767 | -0.1806 | -0.1818 | -17.8 | -17.3 |
| 081 | SLD | Si | -0.1671 | -0.1684 | -0.1940 | -0.1944 | -3.2 | 16.8 |
| 082 | SLD | Si | -0.1733 | -0.1726 | -0.1656 | -0.1648 | 12.7 | -10.1 |
| 083 | SLD | Si | -0.1712 | -0.1710 | -0.1959 | -0.1974 | -12.8 | 10.2 |
| 084 | SLD | Si | -0.1773 | -0.1752 | -0.1675 | -0.1678 | 3.1 | -16.7 |
| 085 | SLD | Si | -0.1672 | -0.1684 | -0.1937 | -0.1944 | -3.1 | 17.4 |
| 086 | SLD | Si | -0.1733 | -0.1726 | -0.1653 | -0.1648 | 12.8 | -9.5 |
| 087 | SLD | Si | -0.1712 | -0.1710 | -0.1962 | -0.1975 | -12.9 | 9.6 |
| 088 | SLD | Si | -0.1773 | -0.1752 | -0.1678 | -0.1679 | 3.0 | -17.3 |
| 089 | SLD | Si | -0.1670 | -0.1683 | -0.1940 | -0.1944 | 9.2 | 17.6 |
| 090 | SLD | Si | -0.1734 | -0.1726 | -0.1656 | -0.1649 | 0.3 | -10.9 |
| 091 | SLD | Si | -0.1711 | -0.1710 | -0.1959 | -0.1973 | -0.3 | 11.1 |
| 092 | SLD | Si | -0.1774 | -0.1752 | -0.1675 | -0.1678 | -9.3 | -17.5 |
| 093 | SLD | Si | -0.1671 | -0.1684 | -0.1937 | -0.1943 | 9.4 | 18.2 |
| 094 | SLD | Si | -0.1734 | -0.1726 | -0.1653 | -0.1648 | 0.4 | -10.3 |
| 095 | SLD | Si | -0.1711 | -0.1710 | -0.1962 | -0.1974 | -0.5 | 10.4 |
| 096 | SLD | Si | -0.1774 | -0.1752 | -0.1678 | -0.1679 | -9.4 | -18.1 |
| 097 | SLO | Si | -0.1661 | -0.1678 | -0.1815 | -0.1807 | 10.7 | 11.9 |
| 098 | SLO | Si | -0.1676 | -0.1688 | -0.1749 | -0.1737 | 14.5 | 5.5 |
| 099 | SLO | Si | -0.1769 | -0.1748 | -0.1866 | -0.1885 | -14.6 | -5.4 |
| 100 | SLO | Si | -0.1783 | -0.1758 | -0.1800 | -0.1815 | -10.8 | -11.8 |
| 101 | SLO | Si | -0.1661 | -0.1678 | -0.1816 | -0.1807 | 13.7 | 12.1 |
| 102 | SLO | Si | -0.1676 | -0.1688 | -0.1748 | -0.1737 | 11.5 | 5.3 |
| 103 | SLO | Si | -0.1768 | -0.1748 | -0.1867 | -0.1885 | -11.6 | -5.2 |
| 104 | SLO | Si | -0.1783 | -0.1758 | -0.1799 | -0.1815 | -13.8 | -12.0 |
| 105 | SLO | Si | -0.1662 | -0.1679 | -0.1808 | -0.1805 | 11.1 | 13.6 |
| 106 | SLO | Si | -0.1677 | -0.1689 | -0.1741 | -0.1736 | 14.8 | 7.2 |
| 107 | SLO | Si | -0.1768 | -0.1747 | -0.1874 | -0.1887 | -14.9 | -7.1 |
| 108 | SLO | Si | -0.1783 | -0.1757 | -0.1807 | -0.1817 | -11.2 | -13.5 |
| 109 | SLO | Si | -0.1662 | -0.1679 | -0.1809 | -0.1806 | 14.0 | 13.8 |
| 110 | SLO | Si | -0.1677 | -0.1689 | -0.1741 | -0.1735 | 11.9 | 7.0 |
| 111 | SLO | Si | -0.1768 | -0.1747 | -0.1874 | -0.1887 | -12.0 | -6.9 |
| 112 | SLO | Si | -0.1783 | -0.1757 | -0.1806 | -0.1817 | -14.1 | -13.7 |
| 113 | SLO | Si | -0.1682 | -0.1691 | -0.1911 | -0.1916 | -2.5 | 13.3 |
| 114 | SLO | Si | -0.1731 | -0.1724 | -0.1689 | -0.1683 | 10.0 | -8.0 |
| 115 | SLO | Si | -0.1714 | -0.1712 | -0.1926 | -0.1939 | -10.1 | 8.1 |
| 116 | SLO | Si | -0.1763 | -0.1745 | -0.1704 | -0.1707 | 2.4 | -13.2 |
| 117 | SLO | Si | -0.1682 | -0.1691 | -0.1909 | -0.1915 | -2.4 | 13.8 |
| 118 | SLO | Si | -0.1731 | -0.1724 | -0.1686 | -0.1683 | 10.1 | -7.5 |
| 119 | SLO | Si | -0.1714 | -0.1712 | -0.1929 | -0.1940 | -10.2 | 7.6 |
| 120 | SLO | Si | -0.1763 | -0.1745 | -0.1706 | -0.1707 | 2.3 | -13.7 |
| 121 | SLO | Si | -0.1681 | -0.1691 | -0.1912 | -0.1917 | 7.3 | 14.0 |
| 122 | SLO | Si | -0.1731 | -0.1724 | -0.1687 | -0.1682 | 0.2 | -8.7 |
| 123 | SLO | Si | -0.1713 | -0.1711 | -0.1928 | -0.1940 | -0.3 | 8.8 |
| 124 | SLO | Si | -0.1764 | -0.1745 | -0.1703 | -0.1706 | -7.4 | -13.9 |

| | | | |
|--------------------------------------|----------------------------------------------------------------------------------------------------------------------|----------------------------------------------------------------------------------|-------------|
| COMMITTENTE: Mecca Antonio | CODICE COMMESSA: | NOME ELABORATO: S1.5 - Relazione Geotecnica e delle Fondazioni | CONSULENTE: |
| DATA: Aprile 2023 | TITOLO: Lavori ultimazione di un fabbricato adibito ad albergo-ristorante- C.da Case Nuove Chicone Avigliano (PZ) | | |

| | | | | | | | | |
|-----|-----|----|---------|---------|---------|---------|------|-------|
| 125 | SLO | Si | -0.1681 | -0.1691 | -0.1910 | -0.1916 | 7.4 | 14.5 |
| 126 | SLO | Si | -0.1732 | -0.1725 | -0.1685 | -0.1682 | 0.3 | -8.2 |
| 127 | SLO | Si | -0.1713 | -0.1711 | -0.1930 | -0.1941 | -0.4 | 8.3 |
| 128 | SLO | Si | -0.1763 | -0.1745 | -0.1705 | -0.1706 | -7.5 | -14.4 |

Elemento: Platea n. 80

| Cmb | Tipo | Sism. | Press. N1 | Press. N2 | Press. N3 | Press. N4 | S. Taglio X | S. Taglio Y |
|-----|----------|-------|---------------------|---------------------|---------------------|---------------------|-------------|-------------|
| n. | | | daN/cm ² | daN/cm ² | daN/cm ² | daN/cm ² | daN | daN |
| 001 | SLU STR | No | -0.1514 | -0.1512 | -0.1552 | -0.1552 | 0.0 | 0.0 |
| 002 | SLU STR | No | -0.2039 | -0.2037 | -0.2077 | -0.2077 | 0.0 | 0.0 |
| 003 | SLU STR | No | -0.1788 | -0.1777 | -0.1934 | -0.1939 | 0.0 | 0.1 |
| 004 | SLU STR | No | -0.2313 | -0.2302 | -0.2459 | -0.2464 | 0.0 | 0.1 |
| 005 | SLU STR | No | -0.1124 | -0.1122 | -0.1151 | -0.1151 | 0.0 | 0.0 |
| 006 | SLU STR | No | -0.1649 | -0.1647 | -0.1676 | -0.1676 | 0.0 | 0.0 |
| 007 | SLU STR | No | -0.1398 | -0.1388 | -0.1533 | -0.1537 | 0.0 | 0.1 |
| 008 | SLU STR | No | -0.1923 | -0.1913 | -0.2058 | -0.2062 | 0.0 | 0.1 |
| 009 | SLU STR | No | -0.2264 | -0.2262 | -0.2302 | -0.2302 | 0.0 | 0.0 |
| 010 | SLU STR | No | -0.1706 | -0.1698 | -0.1819 | -0.1823 | 0.0 | 0.1 |
| 011 | SLU STR | No | -0.2456 | -0.2448 | -0.2569 | -0.2573 | 0.0 | 0.1 |
| 012 | SLU STR | No | -0.1874 | -0.1872 | -0.1901 | -0.1901 | 0.0 | 0.0 |
| 013 | SLU STR | No | -0.1315 | -0.1308 | -0.1418 | -0.1421 | 0.0 | 0.1 |
| 014 | SLU STR | No | -0.2065 | -0.2058 | -0.2168 | -0.2171 | 0.0 | 0.1 |
| 015 | SLE rare | No | -0.1147 | -0.1145 | -0.1175 | -0.1175 | 0.0 | 0.0 |
| 016 | SLE rare | No | -0.1497 | -0.1495 | -0.1525 | -0.1525 | 0.0 | 0.0 |
| 017 | SLE rare | No | -0.1329 | -0.1322 | -0.1430 | -0.1433 | 0.0 | 0.1 |
| 018 | SLE rare | No | -0.1679 | -0.1672 | -0.1780 | -0.1783 | 0.0 | 0.1 |
| 019 | SLE rare | No | -0.1647 | -0.1645 | -0.1675 | -0.1675 | 0.0 | 0.0 |
| 020 | SLE rare | No | -0.1275 | -0.1269 | -0.1353 | -0.1356 | 0.0 | 0.1 |
| 021 | SLE rare | No | -0.1775 | -0.1769 | -0.1853 | -0.1856 | 0.0 | 0.1 |
| 022 | SLE freq | No | -0.1147 | -0.1145 | -0.1175 | -0.1175 | 0.0 | 0.0 |
| 023 | SLE freq | No | -0.1447 | -0.1445 | -0.1475 | -0.1475 | 0.0 | 0.0 |
| 024 | SLE freq | No | -0.1275 | -0.1269 | -0.1353 | -0.1356 | 0.0 | 0.1 |
| 025 | SLE freq | No | -0.1575 | -0.1569 | -0.1653 | -0.1656 | 0.0 | 0.1 |
| 026 | SLE freq | No | -0.1497 | -0.1495 | -0.1525 | -0.1525 | 0.0 | 0.0 |
| 027 | SLE freq | No | -0.1256 | -0.1251 | -0.1328 | -0.1330 | 0.0 | 0.1 |
| 028 | SLE freq | No | -0.1606 | -0.1601 | -0.1678 | -0.1680 | 0.0 | 0.1 |
| 029 | SLE q.p. | No | -0.1147 | -0.1145 | -0.1175 | -0.1175 | 0.0 | 0.0 |
| 030 | SLE q.p. | No | -0.1447 | -0.1445 | -0.1475 | -0.1475 | 0.0 | 0.0 |
| 031 | SLE q.p. | No | -0.1256 | -0.1251 | -0.1328 | -0.1330 | 0.0 | 0.1 |
| 032 | SLE q.p. | No | -0.1556 | -0.1551 | -0.1628 | -0.1630 | 0.0 | 0.1 |
| 033 | SLV A1 | Si | -0.1169 | -0.1211 | -0.1426 | -0.1380 | 25.8 | 24.4 |
| 034 | SLV A1 | Si | -0.1493 | -0.1534 | -0.1600 | -0.1554 | 18.1 | 8.1 |
| 035 | SLV A1 | Si | -0.1620 | -0.1569 | -0.1656 | -0.1705 | -18.1 | -8.0 |
| 036 | SLV A1 | Si | -0.1944 | -0.1892 | -0.1830 | -0.1879 | -25.8 | -24.3 |
| 037 | SLV A1 | Si | -0.1167 | -0.1210 | -0.1425 | -0.1379 | 18.1 | 24.7 |
| 038 | SLV A1 | Si | -0.1494 | -0.1535 | -0.1601 | -0.1556 | 25.7 | 7.8 |
| 039 | SLV A1 | Si | -0.1618 | -0.1568 | -0.1655 | -0.1704 | -25.7 | -7.6 |
| 040 | SLV A1 | Si | -0.1945 | -0.1893 | -0.1831 | -0.1881 | -18.1 | -24.6 |
| 041 | SLV A1 | Si | -0.1110 | -0.1149 | -0.1394 | -0.1351 | 25.1 | 28.1 |
| 042 | SLV A1 | Si | -0.1434 | -0.1471 | -0.1568 | -0.1526 | 17.4 | 11.8 |
| 043 | SLV A1 | Si | -0.1679 | -0.1632 | -0.1688 | -0.1734 | -17.4 | -11.7 |
| 044 | SLV A1 | Si | -0.2003 | -0.1954 | -0.1862 | -0.1908 | -25.1 | -27.9 |
| 045 | SLV A1 | Si | -0.1108 | -0.1147 | -0.1393 | -0.1350 | 17.5 | 28.4 |
| 046 | SLV A1 | Si | -0.1435 | -0.1473 | -0.1569 | -0.1527 | 25.1 | 11.5 |
| 047 | SLV A1 | Si | -0.1677 | -0.1630 | -0.1687 | -0.1733 | -25.1 | -11.3 |
| 048 | SLV A1 | Si | -0.2004 | -0.1955 | -0.1862 | -0.1910 | -17.4 | -28.3 |
| 049 | SLV A1 | Si | -0.0949 | -0.0960 | -0.1304 | -0.1291 | 19.4 | 32.0 |
| 050 | SLV A1 | Si | -0.2028 | -0.2035 | -0.1883 | -0.1872 | -6.3 | -22.2 |
| 051 | SLV A1 | Si | -0.1084 | -0.1068 | -0.1373 | -0.1388 | 6.3 | 22.3 |
| 052 | SLV A1 | Si | -0.2164 | -0.2143 | -0.1952 | -0.1969 | -19.4 | -31.9 |
| 053 | SLV A1 | Si | -0.0931 | -0.0942 | -0.1295 | -0.1282 | 19.2 | 33.1 |
| 054 | SLV A1 | Si | -0.2011 | -0.2017 | -0.1873 | -0.1863 | -6.4 | -21.1 |
| 055 | SLV A1 | Si | -0.1102 | -0.1086 | -0.1383 | -0.1397 | 6.5 | 21.2 |
| 056 | SLV A1 | Si | -0.2181 | -0.2161 | -0.1961 | -0.1978 | -19.2 | -33.0 |
| 057 | SLV A1 | Si | -0.0944 | -0.0956 | -0.1301 | -0.1287 | -6.2 | 33.2 |
| 058 | SLV A1 | Si | -0.2034 | -0.2040 | -0.1886 | -0.1875 | 19.3 | -23.3 |
| 059 | SLV A1 | Si | -0.1079 | -0.1063 | -0.1370 | -0.1384 | -19.3 | 23.5 |
| 060 | SLV A1 | Si | -0.2169 | -0.2147 | -0.1955 | -0.1973 | 6.2 | -33.0 |
| 061 | SLV A1 | Si | -0.0926 | -0.0937 | -0.1292 | -0.1278 | -6.4 | 34.3 |
| 062 | SLV A1 | Si | -0.2016 | -0.2021 | -0.1876 | -0.1867 | 19.2 | -22.2 |
| 063 | SLV A1 | Si | -0.1097 | -0.1082 | -0.1380 | -0.1393 | -19.1 | 22.4 |

Relazione Geotecnica e delle Fondazioni

| | | | | | | | | |
|-----|--------|----|---------|---------|---------|---------|-------|-------|
| 064 | SLV A1 | Si | -0.2187 | -0.2166 | -0.1964 | -0.1982 | 6.4 | -34.1 |
| 065 | SLD | Si | -0.1380 | -0.1397 | -0.1536 | -0.1516 | 11.6 | 11.1 |
| 066 | SLD | Si | -0.1528 | -0.1544 | -0.1615 | -0.1596 | 8.2 | 3.7 |
| 067 | SLD | Si | -0.1585 | -0.1559 | -0.1640 | -0.1664 | -8.1 | -3.6 |
| 068 | SLD | Si | -0.1732 | -0.1706 | -0.1720 | -0.1743 | -11.6 | -11.0 |
| 069 | SLD | Si | -0.1380 | -0.1396 | -0.1536 | -0.1516 | 8.2 | 11.2 |
| 070 | SLD | Si | -0.1529 | -0.1545 | -0.1616 | -0.1596 | 11.6 | 3.5 |
| 071 | SLD | Si | -0.1584 | -0.1558 | -0.1640 | -0.1663 | -11.6 | -3.4 |
| 072 | SLD | Si | -0.1733 | -0.1707 | -0.1720 | -0.1744 | -8.2 | -11.1 |
| 073 | SLD | Si | -0.1353 | -0.1368 | -0.1522 | -0.1503 | 11.4 | 12.8 |
| 074 | SLD | Si | -0.1501 | -0.1515 | -0.1601 | -0.1583 | 7.9 | 5.4 |
| 075 | SLD | Si | -0.1612 | -0.1588 | -0.1655 | -0.1677 | -7.9 | -5.2 |
| 076 | SLD | Si | -0.1759 | -0.1735 | -0.1734 | -0.1756 | -11.3 | -12.6 |
| 077 | SLD | Si | -0.1353 | -0.1368 | -0.1521 | -0.1503 | 7.9 | 12.9 |
| 078 | SLD | Si | -0.1502 | -0.1516 | -0.1601 | -0.1583 | 11.4 | 5.2 |
| 079 | SLD | Si | -0.1611 | -0.1587 | -0.1655 | -0.1676 | -11.3 | -5.1 |
| 080 | SLD | Si | -0.1760 | -0.1735 | -0.1735 | -0.1757 | -7.9 | -12.8 |
| 081 | SLD | Si | -0.1279 | -0.1282 | -0.1480 | -0.1475 | 8.8 | 14.6 |
| 082 | SLD | Si | -0.1772 | -0.1773 | -0.1744 | -0.1740 | -2.8 | -10.1 |
| 083 | SLD | Si | -0.1341 | -0.1330 | -0.1511 | -0.1519 | 2.8 | 10.2 |
| 084 | SLD | Si | -0.1833 | -0.1821 | -0.1776 | -0.1785 | -8.8 | -14.5 |
| 085 | SLD | Si | -0.1271 | -0.1273 | -0.1476 | -0.1471 | 8.7 | 15.1 |
| 086 | SLD | Si | -0.1764 | -0.1764 | -0.1740 | -0.1736 | -2.9 | -9.6 |
| 087 | SLD | Si | -0.1349 | -0.1339 | -0.1516 | -0.1523 | 2.9 | 9.7 |
| 088 | SLD | Si | -0.1842 | -0.1830 | -0.1780 | -0.1789 | -8.7 | -15.0 |
| 089 | SLD | Si | -0.1277 | -0.1280 | -0.1479 | -0.1473 | -2.8 | 15.1 |
| 090 | SLD | Si | -0.1774 | -0.1774 | -0.1746 | -0.1742 | 8.7 | -10.6 |
| 091 | SLD | Si | -0.1338 | -0.1329 | -0.1510 | -0.1518 | -8.7 | 10.7 |
| 092 | SLD | Si | -0.1836 | -0.1823 | -0.1777 | -0.1786 | 2.8 | -15.0 |
| 093 | SLD | Si | -0.1269 | -0.1271 | -0.1475 | -0.1470 | -2.9 | 15.6 |
| 094 | SLD | Si | -0.1766 | -0.1766 | -0.1741 | -0.1738 | 8.6 | -10.1 |
| 095 | SLD | Si | -0.1346 | -0.1337 | -0.1515 | -0.1522 | -8.6 | 10.2 |
| 096 | SLD | Si | -0.1844 | -0.1832 | -0.1781 | -0.1790 | 2.9 | -15.5 |
| 097 | SLO | Si | -0.1417 | -0.1429 | -0.1555 | -0.1540 | 9.2 | 8.8 |
| 098 | SLO | Si | -0.1533 | -0.1545 | -0.1618 | -0.1603 | 6.5 | 3.0 |
| 099 | SLO | Si | -0.1579 | -0.1558 | -0.1638 | -0.1657 | -6.5 | -2.8 |
| 100 | SLO | Si | -0.1695 | -0.1674 | -0.1700 | -0.1720 | -9.2 | -8.7 |
| 101 | SLO | Si | -0.1416 | -0.1428 | -0.1555 | -0.1539 | 6.5 | 8.9 |
| 102 | SLO | Si | -0.1534 | -0.1546 | -0.1618 | -0.1603 | 9.2 | 2.8 |
| 103 | SLO | Si | -0.1578 | -0.1557 | -0.1638 | -0.1656 | -9.2 | -2.7 |
| 104 | SLO | Si | -0.1697 | -0.1675 | -0.1701 | -0.1720 | -6.5 | -8.8 |
| 105 | SLO | Si | -0.1396 | -0.1407 | -0.1544 | -0.1530 | 9.0 | 10.1 |
| 106 | SLO | Si | -0.1512 | -0.1522 | -0.1606 | -0.1592 | 6.3 | 4.3 |
| 107 | SLO | Si | -0.1601 | -0.1581 | -0.1650 | -0.1667 | -6.2 | -4.2 |
| 108 | SLO | Si | -0.1717 | -0.1696 | -0.1712 | -0.1730 | -9.0 | -10.0 |
| 109 | SLO | Si | -0.1395 | -0.1406 | -0.1543 | -0.1529 | 6.3 | 10.3 |
| 110 | SLO | Si | -0.1513 | -0.1523 | -0.1607 | -0.1593 | 9.0 | 4.2 |
| 111 | SLO | Si | -0.1600 | -0.1579 | -0.1649 | -0.1667 | -9.0 | -4.0 |
| 112 | SLO | Si | -0.1718 | -0.1697 | -0.1713 | -0.1731 | -6.3 | -10.1 |
| 113 | SLO | Si | -0.1339 | -0.1340 | -0.1512 | -0.1508 | 7.0 | 11.5 |
| 114 | SLO | Si | -0.1725 | -0.1725 | -0.1719 | -0.1716 | -2.2 | -7.9 |
| 115 | SLO | Si | -0.1387 | -0.1378 | -0.1537 | -0.1543 | 2.2 | 8.0 |
| 116 | SLO | Si | -0.1774 | -0.1763 | -0.1744 | -0.1751 | -6.9 | -11.4 |
| 117 | SLO | Si | -0.1332 | -0.1333 | -0.1508 | -0.1505 | 6.9 | 11.9 |
| 118 | SLO | Si | -0.1719 | -0.1718 | -0.1716 | -0.1713 | -2.3 | -7.5 |
| 119 | SLO | Si | -0.1394 | -0.1385 | -0.1540 | -0.1546 | 2.3 | 7.6 |
| 120 | SLO | Si | -0.1780 | -0.1770 | -0.1748 | -0.1755 | -6.9 | -11.8 |
| 121 | SLO | Si | -0.1335 | -0.1336 | -0.1510 | -0.1506 | -2.2 | 12.0 |
| 122 | SLO | Si | -0.1729 | -0.1729 | -0.1721 | -0.1719 | 6.9 | -8.4 |
| 123 | SLO | Si | -0.1383 | -0.1374 | -0.1535 | -0.1541 | -6.9 | 8.5 |
| 124 | SLO | Si | -0.1778 | -0.1767 | -0.1746 | -0.1754 | 2.2 | -11.9 |
| 125 | SLO | Si | -0.1328 | -0.1329 | -0.1506 | -0.1503 | -2.3 | 12.4 |
| 126 | SLO | Si | -0.1723 | -0.1722 | -0.1718 | -0.1716 | 6.9 | -8.0 |
| 127 | SLO | Si | -0.1390 | -0.1381 | -0.1538 | -0.1544 | -6.8 | 8.1 |
| 128 | SLO | Si | -0.1785 | -0.1774 | -0.1750 | -0.1757 | 2.3 | -12.3 |

Elemento: Platea n. 81

| Cmb | Tipo | Sism. | Press. N1 | Press. N2 | Press. N3 | Press. N4 | S. Taglio X | S. Taglio Y |
|-----|---------|-------|---------------------|---------------------|---------------------|---------------------|-------------|-------------|
| n. | | | daN/cm ² | daN/cm ² | daN/cm ² | daN/cm ² | daN | daN |
| 001 | SLU STR | No | -0.1512 | -0.1513 | -0.1565 | -0.1552 | 0.0 | 0.0 |
| 002 | SLU STR | No | -0.2037 | -0.2038 | -0.2090 | -0.2077 | 0.0 | 0.0 |
| 003 | SLU STR | No | -0.1777 | -0.1776 | -0.1978 | -0.1934 | 0.0 | 0.2 |
| 004 | SLU STR | No | -0.2302 | -0.2301 | -0.2503 | -0.2459 | 0.0 | 0.2 |

| | | | | | | | | |
|--------------------------------------|----------|----------------------------------------------------------------------------------------------------------------------|----------------------------------------------------------------------------------|---------|---------|-------------|-------|-------|
| COMMITTENTE: Mecca Antonio | | CODICE COMMESSA: | NOME ELABORATO: S1.5 - Relazione Geotecnica e delle Fondazioni | | | CONSULENTE: | | |
| DATA: Aprile 2023 | | TITOLO: Lavori ultimazione di un fabbricato adibito ad albergo-ristorante– C.da Case Nuove Chicone Avigliano (PZ) | | | | | | |
| 005 | SLU STR | No | -0.1122 | -0.1123 | -0.1160 | -0.1151 | 0.0 | 0.0 |
| 006 | SLU STR | No | -0.1647 | -0.1648 | -0.1685 | -0.1676 | 0.0 | 0.0 |
| 007 | SLU STR | No | -0.1388 | -0.1386 | -0.1574 | -0.1533 | 0.0 | 0.2 |
| 008 | SLU STR | No | -0.1913 | -0.1911 | -0.2099 | -0.2058 | 0.0 | 0.2 |
| 009 | SLU STR | No | -0.2262 | -0.2263 | -0.2315 | -0.2302 | 0.0 | 0.0 |
| 010 | SLU STR | No | -0.1698 | -0.1697 | -0.1854 | -0.1819 | 0.0 | 0.1 |
| 011 | SLU STR | No | -0.2448 | -0.2447 | -0.2604 | -0.2569 | 0.0 | 0.1 |
| 012 | SLU STR | No | -0.1872 | -0.1873 | -0.1910 | -0.1901 | 0.0 | 0.0 |
| 013 | SLU STR | No | -0.1308 | -0.1307 | -0.1450 | -0.1418 | 0.0 | 0.1 |
| 014 | SLU STR | No | -0.2058 | -0.2057 | -0.2200 | -0.2168 | 0.0 | 0.1 |
| 015 | SLE rare | No | -0.1145 | -0.1146 | -0.1185 | -0.1175 | 0.0 | 0.0 |
| 016 | SLE rare | No | -0.1495 | -0.1496 | -0.1535 | -0.1525 | 0.0 | 0.0 |
| 017 | SLE rare | No | -0.1322 | -0.1321 | -0.1460 | -0.1430 | 0.0 | 0.1 |
| 018 | SLE rare | No | -0.1672 | -0.1671 | -0.1810 | -0.1780 | 0.0 | 0.1 |
| 019 | SLE rare | No | -0.1645 | -0.1646 | -0.1685 | -0.1675 | 0.0 | 0.0 |
| 020 | SLE rare | No | -0.1269 | -0.1269 | -0.1378 | -0.1353 | 0.0 | 0.1 |
| 021 | SLE rare | No | -0.1769 | -0.1769 | -0.1878 | -0.1853 | 0.0 | 0.1 |
| 022 | SLE freq | No | -0.1145 | -0.1146 | -0.1185 | -0.1175 | 0.0 | 0.0 |
| 023 | SLE freq | No | -0.1445 | -0.1446 | -0.1485 | -0.1475 | 0.0 | 0.0 |
| 024 | SLE freq | No | -0.1269 | -0.1269 | -0.1378 | -0.1353 | 0.0 | 0.1 |
| 025 | SLE freq | No | -0.1569 | -0.1569 | -0.1678 | -0.1653 | 0.0 | 0.1 |
| 026 | SLE freq | No | -0.1495 | -0.1496 | -0.1535 | -0.1525 | 0.0 | 0.0 |
| 027 | SLE freq | No | -0.1251 | -0.1251 | -0.1350 | -0.1328 | 0.0 | 0.1 |
| 028 | SLE freq | No | -0.1601 | -0.1601 | -0.1700 | -0.1678 | 0.0 | 0.1 |
| 029 | SLE q.p. | No | -0.1145 | -0.1146 | -0.1185 | -0.1175 | 0.0 | 0.0 |
| 030 | SLE q.p. | No | -0.1445 | -0.1446 | -0.1485 | -0.1475 | 0.0 | 0.0 |
| 031 | SLE q.p. | No | -0.1251 | -0.1251 | -0.1350 | -0.1328 | 0.0 | 0.1 |
| 032 | SLE q.p. | No | -0.1551 | -0.1551 | -0.1650 | -0.1628 | 0.0 | 0.1 |
| 033 | SLV A1 | Si | -0.1211 | -0.1530 | -0.1642 | -0.1426 | 28.9 | 12.2 |
| 034 | SLV A1 | Si | -0.1534 | -0.1853 | -0.1781 | -0.1600 | 20.4 | -8.1 |
| 035 | SLV A1 | Si | -0.1569 | -0.1250 | -0.1519 | -0.1656 | -20.3 | 8.3 |
| 036 | SLV A1 | Si | -0.1892 | -0.1573 | -0.1658 | -0.1830 | -28.9 | -12.1 |
| 037 | SLV A1 | Si | -0.1210 | -0.1528 | -0.1641 | -0.1425 | 20.4 | 12.4 |
| 038 | SLV A1 | Si | -0.1535 | -0.1854 | -0.1781 | -0.1601 | 28.9 | -8.3 |
| 039 | SLV A1 | Si | -0.1568 | -0.1249 | -0.1519 | -0.1655 | -28.9 | 8.5 |
| 040 | SLV A1 | Si | -0.1893 | -0.1574 | -0.1659 | -0.1831 | -20.4 | -12.3 |
| 041 | SLV A1 | Si | -0.1149 | -0.1595 | -0.1669 | -0.1394 | 28.2 | 12.2 |
| 042 | SLV A1 | Si | -0.1471 | -0.1919 | -0.1808 | -0.1568 | 19.7 | -8.2 |
| 043 | SLV A1 | Si | -0.1632 | -0.1184 | -0.1492 | -0.1688 | -19.7 | 8.3 |
| 044 | SLV A1 | Si | -0.1954 | -0.1507 | -0.1631 | -0.1862 | -28.2 | -12.0 |
| 045 | SLV A1 | Si | -0.1147 | -0.1594 | -0.1669 | -0.1393 | 19.7 | 12.4 |
| 046 | SLV A1 | Si | -0.1473 | -0.1920 | -0.1808 | -0.1569 | 28.2 | -8.3 |
| 047 | SLV A1 | Si | -0.1630 | -0.1183 | -0.1492 | -0.1687 | -28.2 | 8.5 |
| 048 | SLV A1 | Si | -0.1955 | -0.1508 | -0.1631 | -0.1862 | -19.7 | -12.2 |
| 049 | SLV A1 | Si | -0.0960 | -0.1055 | -0.1437 | -0.1304 | 21.6 | 34.6 |
| 050 | SLV A1 | Si | -0.2035 | -0.2132 | -0.1900 | -0.1883 | -6.8 | -33.2 |
| 051 | SLV A1 | Si | -0.1068 | -0.0971 | -0.1400 | -0.1373 | 6.9 | 33.4 |
| 052 | SLV A1 | Si | -0.2143 | -0.2048 | -0.1863 | -0.1952 | -21.6 | -34.4 |
| 053 | SLV A1 | Si | -0.0942 | -0.1074 | -0.1445 | -0.1295 | 21.4 | 34.6 |
| 054 | SLV A1 | Si | -0.2017 | -0.2152 | -0.1908 | -0.1873 | -7.0 | -33.2 |
| 055 | SLV A1 | Si | -0.1086 | -0.0951 | -0.1392 | -0.1383 | 7.1 | 33.4 |
| 056 | SLV A1 | Si | -0.2161 | -0.2028 | -0.1855 | -0.1961 | -21.4 | -34.4 |
| 057 | SLV A1 | Si | -0.0956 | -0.1051 | -0.1436 | -0.1301 | -6.8 | 35.2 |
| 058 | SLV A1 | Si | -0.2040 | -0.2136 | -0.1901 | -0.1886 | 21.6 | -33.9 |
| 059 | SLV A1 | Si | -0.1063 | -0.0967 | -0.1399 | -0.1370 | -21.5 | 34.0 |
| 060 | SLV A1 | Si | -0.2147 | -0.2052 | -0.1864 | -0.1955 | 6.8 | -35.1 |
| 061 | SLV A1 | Si | -0.0937 | -0.1071 | -0.1444 | -0.1292 | -7.0 | 35.2 |
| 062 | SLV A1 | Si | -0.2021 | -0.2155 | -0.1909 | -0.1876 | 21.4 | -33.9 |
| 063 | SLV A1 | Si | -0.1082 | -0.0947 | -0.1391 | -0.1380 | -21.3 | 34.1 |
| 064 | SLV A1 | Si | -0.2166 | -0.2032 | -0.1856 | -0.1964 | 7.0 | -35.0 |
| 065 | SLD | Si | -0.1397 | -0.1541 | -0.1646 | -0.1536 | 13.1 | 5.6 |
| 066 | SLD | Si | -0.1544 | -0.1689 | -0.1709 | -0.1615 | 9.2 | -3.6 |
| 067 | SLD | Si | -0.1559 | -0.1414 | -0.1591 | -0.1640 | -9.2 | 3.8 |
| 068 | SLD | Si | -0.1706 | -0.1562 | -0.1654 | -0.1720 | -13.0 | -5.4 |
| 069 | SLD | Si | -0.1396 | -0.1541 | -0.1646 | -0.1536 | 9.2 | 5.7 |
| 070 | SLD | Si | -0.1545 | -0.1689 | -0.1710 | -0.1616 | 13.0 | -3.7 |
| 071 | SLD | Si | -0.1558 | -0.1414 | -0.1591 | -0.1640 | -13.0 | 3.9 |
| 072 | SLD | Si | -0.1707 | -0.1562 | -0.1654 | -0.1720 | -9.2 | -5.5 |
| 073 | SLD | Si | -0.1368 | -0.1571 | -0.1659 | -0.1522 | 12.8 | 5.6 |
| 074 | SLD | Si | -0.1515 | -0.1719 | -0.1722 | -0.1601 | 8.9 | -3.7 |
| 075 | SLD | Si | -0.1588 | -0.1384 | -0.1578 | -0.1655 | -8.9 | 3.9 |
| 076 | SLD | Si | -0.1735 | -0.1532 | -0.1642 | -0.1734 | -12.7 | -5.4 |

Relazione Geotecnica e delle Fondazioni

| | | | | | | | | |
|-----|-----|----|---------|---------|---------|---------|-------|-------|
| 077 | SLD | Si | -0.1368 | -0.1571 | -0.1658 | -0.1521 | 8.9 | 5.7 |
| 078 | SLD | Si | -0.1516 | -0.1719 | -0.1722 | -0.1601 | 12.8 | -3.8 |
| 079 | SLD | Si | -0.1587 | -0.1384 | -0.1578 | -0.1655 | -12.7 | 3.9 |
| 080 | SLD | Si | -0.1735 | -0.1532 | -0.1642 | -0.1735 | -8.9 | -5.5 |
| 081 | SLD | Si | -0.1282 | -0.1324 | -0.1553 | -0.1480 | 9.8 | 15.8 |
| 082 | SLD | Si | -0.1773 | -0.1816 | -0.1764 | -0.1744 | -3.1 | -15.1 |
| 083 | SLD | Si | -0.1330 | -0.1286 | -0.1536 | -0.1511 | 3.1 | 15.3 |
| 084 | SLD | Si | -0.1821 | -0.1778 | -0.1747 | -0.1776 | -9.7 | -15.6 |
| 085 | SLD | Si | -0.1273 | -0.1333 | -0.1557 | -0.1476 | 9.7 | 15.8 |
| 086 | SLD | Si | -0.1764 | -0.1825 | -0.1768 | -0.1740 | -3.2 | -15.1 |
| 087 | SLD | Si | -0.1339 | -0.1277 | -0.1532 | -0.1516 | 3.2 | 15.3 |
| 088 | SLD | Si | -0.1830 | -0.1769 | -0.1744 | -0.1780 | -9.7 | -15.6 |
| 089 | SLD | Si | -0.1280 | -0.1323 | -0.1552 | -0.1479 | -3.0 | 16.1 |
| 090 | SLD | Si | -0.1774 | -0.1818 | -0.1765 | -0.1746 | 9.7 | -15.4 |
| 091 | SLD | Si | -0.1329 | -0.1285 | -0.1536 | -0.1510 | -9.7 | 15.6 |
| 092 | SLD | Si | -0.1823 | -0.1780 | -0.1748 | -0.1777 | 3.1 | -15.9 |
| 093 | SLD | Si | -0.1271 | -0.1332 | -0.1556 | -0.1475 | -3.1 | 16.1 |
| 094 | SLD | Si | -0.1766 | -0.1827 | -0.1768 | -0.1741 | 9.6 | -15.4 |
| 095 | SLD | Si | -0.1337 | -0.1276 | -0.1532 | -0.1515 | -9.6 | 15.6 |
| 096 | SLD | Si | -0.1832 | -0.1771 | -0.1744 | -0.1781 | 3.1 | -15.9 |
| 097 | SLO | Si | -0.1429 | -0.1544 | -0.1647 | -0.1555 | 10.4 | 4.4 |
| 098 | SLO | Si | -0.1545 | -0.1660 | -0.1697 | -0.1618 | 7.3 | -2.8 |
| 099 | SLO | Si | -0.1558 | -0.1443 | -0.1603 | -0.1638 | -7.3 | 3.0 |
| 100 | SLO | Si | -0.1674 | -0.1559 | -0.1653 | -0.1700 | -10.3 | -4.3 |
| 101 | SLO | Si | -0.1428 | -0.1543 | -0.1647 | -0.1555 | 7.3 | 4.5 |
| 102 | SLO | Si | -0.1546 | -0.1661 | -0.1697 | -0.1618 | 10.4 | -2.9 |
| 103 | SLO | Si | -0.1557 | -0.1442 | -0.1603 | -0.1638 | -10.3 | 3.1 |
| 104 | SLO | Si | -0.1675 | -0.1560 | -0.1653 | -0.1701 | -7.3 | -4.4 |
| 105 | SLO | Si | -0.1407 | -0.1567 | -0.1657 | -0.1544 | 10.1 | 4.4 |
| 106 | SLO | Si | -0.1522 | -0.1683 | -0.1707 | -0.1606 | 7.1 | -2.9 |
| 107 | SLO | Si | -0.1581 | -0.1419 | -0.1593 | -0.1650 | -7.1 | 3.0 |
| 108 | SLO | Si | -0.1696 | -0.1535 | -0.1643 | -0.1712 | -10.1 | -4.2 |
| 109 | SLO | Si | -0.1406 | -0.1566 | -0.1657 | -0.1543 | 7.1 | 4.5 |
| 110 | SLO | Si | -0.1523 | -0.1684 | -0.1707 | -0.1607 | 10.1 | -3.0 |
| 111 | SLO | Si | -0.1579 | -0.1418 | -0.1593 | -0.1649 | -10.1 | 3.1 |
| 112 | SLO | Si | -0.1697 | -0.1536 | -0.1644 | -0.1713 | -7.1 | -4.4 |
| 113 | SLO | Si | -0.1340 | -0.1373 | -0.1574 | -0.1512 | 7.7 | 12.4 |
| 114 | SLO | Si | -0.1725 | -0.1759 | -0.1740 | -0.1719 | -2.4 | -11.8 |
| 115 | SLO | Si | -0.1378 | -0.1343 | -0.1561 | -0.1537 | 2.4 | 12.0 |
| 116 | SLO | Si | -0.1763 | -0.1729 | -0.1726 | -0.1744 | -7.7 | -12.3 |
| 117 | SLO | Si | -0.1333 | -0.1381 | -0.1577 | -0.1508 | 7.7 | 12.4 |
| 118 | SLO | Si | -0.1718 | -0.1766 | -0.1743 | -0.1716 | -2.5 | -11.8 |
| 119 | SLO | Si | -0.1385 | -0.1336 | -0.1558 | -0.1540 | 2.5 | 12.0 |
| 120 | SLO | Si | -0.1770 | -0.1722 | -0.1723 | -0.1748 | -7.7 | -12.3 |
| 121 | SLO | Si | -0.1336 | -0.1370 | -0.1572 | -0.1510 | -2.4 | 12.8 |
| 122 | SLO | Si | -0.1729 | -0.1763 | -0.1741 | -0.1721 | 7.7 | -12.2 |
| 123 | SLO | Si | -0.1374 | -0.1340 | -0.1559 | -0.1535 | -7.7 | 12.4 |
| 124 | SLO | Si | -0.1767 | -0.1733 | -0.1728 | -0.1746 | 2.4 | -12.6 |
| 125 | SLO | Si | -0.1329 | -0.1377 | -0.1575 | -0.1506 | -2.5 | 12.8 |
| 126 | SLO | Si | -0.1722 | -0.1770 | -0.1744 | -0.1718 | 7.7 | -12.2 |
| 127 | SLO | Si | -0.1381 | -0.1333 | -0.1556 | -0.1538 | -7.6 | 12.4 |
| 128 | SLO | Si | -0.1774 | -0.1726 | -0.1725 | -0.1750 | 2.5 | -12.6 |

Elemento: Platea n. 82

| Cmb | Tipo | Sism. | Press. N1 | Press. N2 | Press. N3 | Press. N4 | S. Taglio X | S. Taglio Y |
|-----|----------|-------|---------------------|---------------------|---------------------|---------------------|-------------|-------------|
| n. | | | daN/cm ² | daN/cm ² | daN/cm ² | daN/cm ² | daN | daN |
| 001 | SLU STR | No | -0.1588 | -0.1590 | -0.1639 | -0.1637 | 0.0 | 0.0 |
| 002 | SLU STR | No | -0.2113 | -0.2115 | -0.2164 | -0.2162 | 0.0 | 0.0 |
| 003 | SLU STR | No | -0.1946 | -0.1918 | -0.2099 | -0.2132 | 0.0 | -0.1 |
| 004 | SLU STR | No | -0.2471 | -0.2443 | -0.2624 | -0.2657 | 0.0 | -0.1 |
| 005 | SLU STR | No | -0.1179 | -0.1182 | -0.1216 | -0.1214 | 0.0 | 0.0 |
| 006 | SLU STR | No | -0.1704 | -0.1707 | -0.1741 | -0.1739 | 0.0 | 0.0 |
| 007 | SLU STR | No | -0.1537 | -0.1509 | -0.1677 | -0.1709 | 0.0 | -0.1 |
| 008 | SLU STR | No | -0.2062 | -0.2034 | -0.2202 | -0.2234 | 0.0 | -0.1 |
| 009 | SLU STR | No | -0.2338 | -0.2340 | -0.2389 | -0.2387 | 0.0 | 0.0 |
| 010 | SLU STR | No | -0.1839 | -0.1820 | -0.1961 | -0.1984 | 0.0 | -0.1 |
| 011 | SLU STR | No | -0.2589 | -0.2570 | -0.2711 | -0.2734 | 0.0 | -0.1 |
| 012 | SLU STR | No | -0.1929 | -0.1932 | -0.1966 | -0.1964 | 0.0 | 0.0 |
| 013 | SLU STR | No | -0.1430 | -0.1411 | -0.1539 | -0.1561 | 0.0 | -0.1 |
| 014 | SLU STR | No | -0.2180 | -0.2161 | -0.2289 | -0.2311 | 0.0 | -0.1 |
| 015 | SLE rare | No | -0.1203 | -0.1205 | -0.1241 | -0.1240 | 0.0 | 0.0 |
| 016 | SLE rare | No | -0.1553 | -0.1555 | -0.1591 | -0.1590 | 0.0 | 0.0 |
| 017 | SLE rare | No | -0.1442 | -0.1424 | -0.1548 | -0.1570 | 0.0 | -0.1 |

| | | | | | | | | |
|--------------------------------------|----------|----------------------------------------------------------------------------------------------------------------------|----------------------------------------------------------------------------------|---------|---------|-------------|-------|-------|
| COMMITTENTE: Mecca Antonio | | CODICE COMMESSA: | NOME ELABORATO: S1.5 - Relazione Geotecnica e delle Fondazioni | | | CONSULENTE: | | |
| DATA: Aprile 2023 | | TITOLO: Lavori ultimazione di un fabbricato adibito ad albergo-ristorante– C.da Case Nuove Chicone Avigliano (PZ) | | | | | | |
| 018 | SLE rare | No | -0.1792 | -0.1774 | -0.1898 | -0.1920 | 0.0 | -0.1 |
| 019 | SLE rare | No | -0.1703 | -0.1705 | -0.1741 | -0.1740 | 0.0 | 0.0 |
| 020 | SLE rare | No | -0.1370 | -0.1358 | -0.1456 | -0.1471 | 0.0 | -0.1 |
| 021 | SLE rare | No | -0.1870 | -0.1858 | -0.1956 | -0.1971 | 0.0 | -0.1 |
| 022 | SLE freq | No | -0.1203 | -0.1205 | -0.1241 | -0.1240 | 0.0 | 0.0 |
| 023 | SLE freq | No | -0.1503 | -0.1505 | -0.1541 | -0.1540 | 0.0 | 0.0 |
| 024 | SLE freq | No | -0.1370 | -0.1358 | -0.1456 | -0.1471 | 0.0 | -0.1 |
| 025 | SLE freq | No | -0.1670 | -0.1658 | -0.1756 | -0.1771 | 0.0 | -0.1 |
| 026 | SLE freq | No | -0.1553 | -0.1555 | -0.1591 | -0.1590 | 0.0 | 0.0 |
| 027 | SLE freq | No | -0.1346 | -0.1336 | -0.1426 | -0.1438 | 0.0 | -0.1 |
| 028 | SLE freq | No | -0.1696 | -0.1686 | -0.1776 | -0.1788 | 0.0 | -0.1 |
| 029 | SLE q.p. | No | -0.1203 | -0.1205 | -0.1241 | -0.1240 | 0.0 | 0.0 |
| 030 | SLE q.p. | No | -0.1503 | -0.1505 | -0.1541 | -0.1540 | 0.0 | 0.0 |
| 031 | SLE q.p. | No | -0.1346 | -0.1336 | -0.1426 | -0.1438 | 0.0 | -0.1 |
| 032 | SLE q.p. | No | -0.1646 | -0.1636 | -0.1726 | -0.1738 | 0.0 | -0.1 |
| 033 | SLV A1 | Si | -0.1724 | -0.1739 | -0.1929 | -0.1920 | 26.0 | 1.0 |
| 034 | SLV A1 | Si | -0.1937 | -0.1974 | -0.2041 | -0.2006 | 19.5 | -33.6 |
| 035 | SLV A1 | Si | -0.1355 | -0.1298 | -0.1410 | -0.1469 | -19.5 | 33.5 |
| 036 | SLV A1 | Si | -0.1568 | -0.1533 | -0.1522 | -0.1556 | -25.9 | -1.2 |
| 037 | SLV A1 | Si | -0.1725 | -0.1740 | -0.1930 | -0.1920 | 19.5 | -0.1 |
| 038 | SLV A1 | Si | -0.1937 | -0.1973 | -0.2040 | -0.2006 | 26.0 | -32.5 |
| 039 | SLV A1 | Si | -0.1356 | -0.1300 | -0.1411 | -0.1470 | -26.0 | 32.4 |
| 040 | SLV A1 | Si | -0.1567 | -0.1532 | -0.1522 | -0.1555 | -19.4 | -0.1 |
| 041 | SLV A1 | Si | -0.1719 | -0.1732 | -0.1923 | -0.1915 | 25.8 | -3.3 |
| 042 | SLV A1 | Si | -0.1932 | -0.1967 | -0.2035 | -0.2002 | 19.4 | -38.0 |
| 043 | SLV A1 | Si | -0.1361 | -0.1305 | -0.1416 | -0.1474 | -19.3 | 37.8 |
| 044 | SLV A1 | Si | -0.1574 | -0.1540 | -0.1528 | -0.1560 | -25.8 | 3.2 |
| 045 | SLV A1 | Si | -0.1720 | -0.1733 | -0.1924 | -0.1916 | 19.3 | -4.4 |
| 046 | SLV A1 | Si | -0.1931 | -0.1966 | -0.2035 | -0.2001 | 25.9 | -36.9 |
| 047 | SLV A1 | Si | -0.1361 | -0.1306 | -0.1417 | -0.1474 | -25.9 | 36.7 |
| 048 | SLV A1 | Si | -0.1573 | -0.1539 | -0.1527 | -0.1560 | -19.3 | 4.3 |
| 049 | SLV A1 | Si | -0.1346 | -0.1311 | -0.1616 | -0.1661 | 17.6 | 52.9 |
| 050 | SLV A1 | Si | -0.2057 | -0.2094 | -0.1991 | -0.1950 | -3.9 | -62.7 |
| 051 | SLV A1 | Si | -0.1236 | -0.1179 | -0.1460 | -0.1526 | 3.9 | 62.6 |
| 052 | SLV A1 | Si | -0.1946 | -0.1962 | -0.1835 | -0.1815 | -17.5 | -53.0 |
| 053 | SLV A1 | Si | -0.1345 | -0.1309 | -0.1614 | -0.1659 | 17.5 | 51.6 |
| 054 | SLV A1 | Si | -0.2055 | -0.2092 | -0.1989 | -0.1949 | -3.9 | -64.0 |
| 055 | SLV A1 | Si | -0.1237 | -0.1181 | -0.1462 | -0.1527 | 4.0 | 63.9 |
| 056 | SLV A1 | Si | -0.1948 | -0.1964 | -0.1837 | -0.1816 | -17.5 | -51.7 |
| 057 | SLV A1 | Si | -0.1349 | -0.1315 | -0.1619 | -0.1662 | -4.1 | 49.2 |
| 058 | SLV A1 | Si | -0.2054 | -0.2090 | -0.1987 | -0.1948 | 17.8 | -59.0 |
| 059 | SLV A1 | Si | -0.1238 | -0.1182 | -0.1464 | -0.1527 | -17.8 | 58.9 |
| 060 | SLV A1 | Si | -0.1944 | -0.1958 | -0.1832 | -0.1813 | 4.2 | -49.3 |
| 061 | SLV A1 | Si | -0.1347 | -0.1313 | -0.1617 | -0.1661 | -4.2 | 47.9 |
| 062 | SLV A1 | Si | -0.2053 | -0.2088 | -0.1986 | -0.1947 | 17.8 | -60.3 |
| 063 | SLV A1 | Si | -0.1240 | -0.1184 | -0.1465 | -0.1529 | -17.7 | 60.2 |
| 064 | SLV A1 | Si | -0.1945 | -0.1960 | -0.1834 | -0.1814 | 4.2 | -48.0 |
| 065 | SLD | Si | -0.1681 | -0.1682 | -0.1817 | -0.1820 | 11.7 | 0.5 |
| 066 | SLD | Si | -0.1778 | -0.1790 | -0.1868 | -0.1859 | 8.8 | -15.3 |
| 067 | SLD | Si | -0.1514 | -0.1483 | -0.1583 | -0.1616 | -8.8 | 15.2 |
| 068 | SLD | Si | -0.1611 | -0.1590 | -0.1634 | -0.1656 | -11.7 | -0.6 |
| 069 | SLD | Si | -0.1682 | -0.1683 | -0.1818 | -0.1820 | 8.8 | 0.0 |
| 070 | SLD | Si | -0.1778 | -0.1789 | -0.1868 | -0.1859 | 11.8 | -14.8 |
| 071 | SLD | Si | -0.1514 | -0.1483 | -0.1583 | -0.1616 | -11.7 | 14.7 |
| 072 | SLD | Si | -0.1611 | -0.1590 | -0.1633 | -0.1655 | -8.8 | -0.1 |
| 073 | SLD | Si | -0.1679 | -0.1680 | -0.1815 | -0.1818 | 11.7 | -1.5 |
| 074 | SLD | Si | -0.1776 | -0.1787 | -0.1866 | -0.1858 | 8.8 | -17.3 |
| 075 | SLD | Si | -0.1516 | -0.1486 | -0.1585 | -0.1618 | -8.7 | 17.2 |
| 076 | SLD | Si | -0.1614 | -0.1593 | -0.1636 | -0.1657 | -11.7 | 1.4 |
| 077 | SLD | Si | -0.1679 | -0.1680 | -0.1815 | -0.1818 | 8.7 | -2.0 |
| 078 | SLD | Si | -0.1776 | -0.1786 | -0.1866 | -0.1857 | 11.7 | -16.8 |
| 079 | SLD | Si | -0.1517 | -0.1486 | -0.1585 | -0.1618 | -11.7 | 16.7 |
| 080 | SLD | Si | -0.1613 | -0.1592 | -0.1636 | -0.1657 | -8.7 | 1.9 |
| 081 | SLD | Si | -0.1509 | -0.1488 | -0.1675 | -0.1703 | 7.9 | 24.1 |
| 082 | SLD | Si | -0.1833 | -0.1845 | -0.1846 | -0.1834 | -1.8 | -28.7 |
| 083 | SLD | Si | -0.1459 | -0.1428 | -0.1605 | -0.1641 | 1.8 | 28.5 |
| 084 | SLD | Si | -0.1783 | -0.1785 | -0.1776 | -0.1773 | -7.9 | -24.2 |
| 085 | SLD | Si | -0.1509 | -0.1487 | -0.1675 | -0.1702 | 7.9 | 23.5 |
| 086 | SLD | Si | -0.1833 | -0.1844 | -0.1845 | -0.1834 | -1.8 | -29.3 |
| 087 | SLD | Si | -0.1460 | -0.1429 | -0.1606 | -0.1642 | 1.8 | 29.1 |
| 088 | SLD | Si | -0.1784 | -0.1786 | -0.1776 | -0.1774 | -7.9 | -23.6 |
| 089 | SLD | Si | -0.1511 | -0.1489 | -0.1677 | -0.1703 | -1.9 | 22.4 |

Relazione Geotecnica e delle Fondazioni

| | | | | | | | | |
|-----|-----|----|---------|---------|---------|---------|------|-------|
| 090 | SLD | Si | -0.1832 | -0.1843 | -0.1845 | -0.1833 | 8.1 | -27.0 |
| 091 | SLD | Si | -0.1460 | -0.1430 | -0.1607 | -0.1642 | -8.0 | 26.8 |
| 092 | SLD | Si | -0.1782 | -0.1783 | -0.1774 | -0.1772 | 1.9 | -22.5 |
| 093 | SLD | Si | -0.1510 | -0.1488 | -0.1676 | -0.1703 | -1.9 | 21.8 |
| 094 | SLD | Si | -0.1831 | -0.1842 | -0.1844 | -0.1833 | 8.0 | -27.6 |
| 095 | SLD | Si | -0.1461 | -0.1430 | -0.1607 | -0.1643 | -8.0 | 27.4 |
| 096 | SLD | Si | -0.1783 | -0.1784 | -0.1775 | -0.1773 | 1.9 | -21.9 |
| 097 | SLO | Si | -0.1674 | -0.1673 | -0.1799 | -0.1803 | 9.3 | 0.3 |
| 098 | SLO | Si | -0.1751 | -0.1758 | -0.1839 | -0.1834 | 7.0 | -12.1 |
| 099 | SLO | Si | -0.1542 | -0.1515 | -0.1612 | -0.1641 | -7.0 | 12.0 |
| 100 | SLO | Si | -0.1618 | -0.1599 | -0.1653 | -0.1672 | -9.3 | -0.4 |
| 101 | SLO | Si | -0.1674 | -0.1673 | -0.1799 | -0.1803 | 7.0 | 0.0 |
| 102 | SLO | Si | -0.1751 | -0.1758 | -0.1839 | -0.1834 | 9.3 | -11.8 |
| 103 | SLO | Si | -0.1542 | -0.1515 | -0.1612 | -0.1641 | -9.3 | 11.7 |
| 104 | SLO | Si | -0.1618 | -0.1599 | -0.1652 | -0.1672 | -7.0 | -0.1 |
| 105 | SLO | Si | -0.1672 | -0.1671 | -0.1797 | -0.1802 | 9.3 | -1.3 |
| 106 | SLO | Si | -0.1749 | -0.1755 | -0.1837 | -0.1833 | 7.0 | -13.7 |
| 107 | SLO | Si | -0.1544 | -0.1517 | -0.1614 | -0.1643 | -6.9 | 13.5 |
| 108 | SLO | Si | -0.1620 | -0.1602 | -0.1654 | -0.1674 | -9.2 | 1.1 |
| 109 | SLO | Si | -0.1672 | -0.1671 | -0.1797 | -0.1802 | 6.9 | -1.6 |
| 110 | SLO | Si | -0.1749 | -0.1755 | -0.1837 | -0.1833 | 9.3 | -13.3 |
| 111 | SLO | Si | -0.1544 | -0.1517 | -0.1614 | -0.1643 | -9.3 | 13.2 |
| 112 | SLO | Si | -0.1620 | -0.1602 | -0.1654 | -0.1674 | -6.9 | 1.5 |
| 113 | SLO | Si | -0.1539 | -0.1520 | -0.1686 | -0.1710 | 6.3 | 18.9 |
| 114 | SLO | Si | -0.1793 | -0.1800 | -0.1821 | -0.1814 | -1.4 | -22.5 |
| 115 | SLO | Si | -0.1499 | -0.1472 | -0.1630 | -0.1662 | 1.4 | 22.4 |
| 116 | SLO | Si | -0.1754 | -0.1753 | -0.1765 | -0.1765 | -6.3 | -19.0 |
| 117 | SLO | Si | -0.1538 | -0.1519 | -0.1686 | -0.1710 | 6.3 | 18.4 |
| 118 | SLO | Si | -0.1793 | -0.1800 | -0.1820 | -0.1813 | -1.4 | -23.0 |
| 119 | SLO | Si | -0.1500 | -0.1473 | -0.1631 | -0.1662 | 1.4 | 22.9 |
| 120 | SLO | Si | -0.1754 | -0.1754 | -0.1765 | -0.1766 | -6.3 | -18.5 |
| 121 | SLO | Si | -0.1538 | -0.1520 | -0.1687 | -0.1710 | -1.5 | 17.8 |
| 122 | SLO | Si | -0.1794 | -0.1800 | -0.1820 | -0.1814 | 6.4 | -21.4 |
| 123 | SLO | Si | -0.1499 | -0.1472 | -0.1631 | -0.1662 | -6.4 | 21.3 |
| 124 | SLO | Si | -0.1754 | -0.1753 | -0.1764 | -0.1765 | 1.5 | -17.9 |
| 125 | SLO | Si | -0.1538 | -0.1519 | -0.1686 | -0.1710 | -1.5 | 17.3 |
| 126 | SLO | Si | -0.1793 | -0.1800 | -0.1819 | -0.1813 | 6.4 | -21.9 |
| 127 | SLO | Si | -0.1499 | -0.1473 | -0.1632 | -0.1662 | -6.4 | 21.8 |
| 128 | SLO | Si | -0.1755 | -0.1754 | -0.1765 | -0.1765 | 1.5 | -17.4 |

Elemento: Platea n. 83

| Cmb | Tipo | Sism. | Press. N1 | Press. N2 | Press. N3 | Press. N4 | S. Taglio X | S. Taglio Y |
|-----|----------|-------|---------------------|---------------------|---------------------|---------------------|-------------|-------------|
| n. | | | daN/cm ² | daN/cm ² | daN/cm ² | daN/cm ² | daN | daN |
| 001 | SLU STR | No | -0.1660 | -0.1646 | -0.1692 | -0.1705 | 0.0 | 0.0 |
| 002 | SLU STR | No | -0.2185 | -0.2171 | -0.2217 | -0.2230 | 0.0 | 0.0 |
| 003 | SLU STR | No | -0.2368 | -0.2312 | -0.2500 | -0.2551 | -0.3 | 0.0 |
| 004 | SLU STR | No | -0.2893 | -0.2837 | -0.3025 | -0.3076 | -0.3 | 0.0 |
| 005 | SLU STR | No | -0.1227 | -0.1217 | -0.1251 | -0.1259 | 0.0 | 0.0 |
| 006 | SLU STR | No | -0.1752 | -0.1742 | -0.1776 | -0.1784 | 0.0 | 0.0 |
| 007 | SLU STR | No | -0.1936 | -0.1883 | -0.2058 | -0.2105 | -0.2 | 0.0 |
| 008 | SLU STR | No | -0.2461 | -0.2408 | -0.2583 | -0.2630 | -0.2 | 0.0 |
| 009 | SLU STR | No | -0.2410 | -0.2396 | -0.2442 | -0.2455 | 0.0 | 0.0 |
| 010 | SLU STR | No | -0.2155 | -0.2112 | -0.2258 | -0.2297 | -0.2 | 0.0 |
| 011 | SLU STR | No | -0.2905 | -0.2862 | -0.3008 | -0.3047 | -0.2 | 0.0 |
| 012 | SLU STR | No | -0.1977 | -0.1967 | -0.2001 | -0.2009 | 0.0 | 0.0 |
| 013 | SLU STR | No | -0.1723 | -0.1684 | -0.1816 | -0.1852 | -0.2 | 0.0 |
| 014 | SLU STR | No | -0.2473 | -0.2434 | -0.2566 | -0.2602 | -0.2 | 0.0 |
| 015 | SLE rare | No | -0.1255 | -0.1245 | -0.1280 | -0.1289 | 0.0 | 0.0 |
| 016 | SLE rare | No | -0.1605 | -0.1595 | -0.1630 | -0.1639 | 0.0 | 0.0 |
| 017 | SLE rare | No | -0.1727 | -0.1689 | -0.1818 | -0.1853 | -0.2 | 0.0 |
| 018 | SLE rare | No | -0.2077 | -0.2039 | -0.2168 | -0.2203 | -0.2 | 0.0 |
| 019 | SLE rare | No | -0.1755 | -0.1745 | -0.1780 | -0.1789 | 0.0 | 0.0 |
| 020 | SLE rare | No | -0.1586 | -0.1556 | -0.1656 | -0.1684 | -0.1 | 0.0 |
| 021 | SLE rare | No | -0.2086 | -0.2056 | -0.2156 | -0.2184 | -0.1 | 0.0 |
| 022 | SLE freq | No | -0.1255 | -0.1245 | -0.1280 | -0.1289 | 0.0 | 0.0 |
| 023 | SLE freq | No | -0.1555 | -0.1545 | -0.1580 | -0.1589 | 0.0 | 0.0 |
| 024 | SLE freq | No | -0.1586 | -0.1556 | -0.1656 | -0.1684 | -0.1 | 0.0 |
| 025 | SLE freq | No | -0.1886 | -0.1856 | -0.1956 | -0.1984 | -0.1 | 0.0 |
| 026 | SLE freq | No | -0.1605 | -0.1595 | -0.1630 | -0.1639 | 0.0 | 0.0 |
| 027 | SLE freq | No | -0.1539 | -0.1511 | -0.1603 | -0.1627 | -0.1 | 0.0 |
| 028 | SLE freq | No | -0.1889 | -0.1861 | -0.1953 | -0.1977 | -0.1 | 0.0 |
| 029 | SLE q.p. | No | -0.1255 | -0.1245 | -0.1280 | -0.1289 | 0.0 | 0.0 |
| 030 | SLE q.p. | No | -0.1555 | -0.1545 | -0.1580 | -0.1589 | 0.0 | 0.0 |

| | | | | | | | | |
|--------------------------------------|----------|----------------------------------------------------------------------------------------------------------------------|----------------------------------------------------------------------------------|---------|---------|-------------|-------|-------|
| COMMITTENTE: Mecca Antonio | | CODICE COMMESSA: | NOME ELABORATO: S1.5 - Relazione Geotecnica e delle Fondazioni | | | CONSULENTE: | | |
| DATA: Aprile 2023 | | TITOLO: Lavori ultimazione di un fabbricato adibito ad albergo-ristorante– C.da Case Nuove Chicone Avigliano (PZ) | | | | | | |
| 031 | SLE q.p. | No | -0.1539 | -0.1511 | -0.1603 | -0.1627 | -0.1 | 0.0 |
| 032 | SLE q.p. | No | -0.1839 | -0.1811 | -0.1903 | -0.1927 | -0.1 | 0.0 |
| 033 | SLV A1 | Si | -0.1799 | -0.1800 | -0.1971 | -0.1988 | 35.8 | 40.5 |
| 034 | SLV A1 | Si | -0.1558 | -0.1606 | -0.1596 | -0.1573 | 51.8 | 21.9 |
| 035 | SLV A1 | Si | -0.2119 | -0.2017 | -0.2209 | -0.2281 | -52.0 | -21.8 |
| 036 | SLV A1 | Si | -0.1878 | -0.1822 | -0.1835 | -0.1866 | -36.1 | -40.4 |
| 037 | SLV A1 | Si | -0.1798 | -0.1800 | -0.1971 | -0.1988 | 51.4 | 41.0 |
| 038 | SLV A1 | Si | -0.1559 | -0.1606 | -0.1596 | -0.1573 | 36.2 | 21.3 |
| 039 | SLV A1 | Si | -0.2118 | -0.2016 | -0.2209 | -0.2281 | -36.4 | -21.3 |
| 040 | SLV A1 | Si | -0.1879 | -0.1822 | -0.1834 | -0.1866 | -51.6 | -41.0 |
| 041 | SLV A1 | Si | -0.1799 | -0.1795 | -0.1911 | -0.1938 | 38.0 | 46.0 |
| 042 | SLV A1 | Si | -0.1558 | -0.1601 | -0.1537 | -0.1523 | 53.9 | 27.4 |
| 043 | SLV A1 | Si | -0.2119 | -0.2022 | -0.2268 | -0.2332 | -54.1 | -27.3 |
| 044 | SLV A1 | Si | -0.1878 | -0.1827 | -0.1894 | -0.1917 | -38.2 | -45.9 |
| 045 | SLV A1 | Si | -0.1798 | -0.1795 | -0.1911 | -0.1937 | 53.5 | 46.5 |
| 046 | SLV A1 | Si | -0.1559 | -0.1601 | -0.1537 | -0.1523 | 38.3 | 26.8 |
| 047 | SLV A1 | Si | -0.2118 | -0.2021 | -0.2269 | -0.2331 | -38.6 | -26.8 |
| 048 | SLV A1 | Si | -0.1879 | -0.1827 | -0.1894 | -0.1917 | -53.7 | -46.5 |
| 049 | SLV A1 | Si | -0.2192 | -0.2103 | -0.2491 | -0.2575 | -13.5 | 40.4 |
| 050 | SLV A1 | Si | -0.1389 | -0.1454 | -0.1243 | -0.1192 | 39.6 | -21.6 |
| 051 | SLV A1 | Si | -0.2288 | -0.2168 | -0.2562 | -0.2663 | -39.8 | 21.7 |
| 052 | SLV A1 | Si | -0.1485 | -0.1519 | -0.1314 | -0.1280 | 13.2 | -40.3 |
| 053 | SLV A1 | Si | -0.2192 | -0.2102 | -0.2473 | -0.2560 | -12.8 | 42.0 |
| 054 | SLV A1 | Si | -0.1389 | -0.1453 | -0.1225 | -0.1177 | 40.2 | -20.0 |
| 055 | SLV A1 | Si | -0.2288 | -0.2170 | -0.2580 | -0.2678 | -40.5 | 20.0 |
| 056 | SLV A1 | Si | -0.1485 | -0.1521 | -0.1332 | -0.1295 | 12.6 | -42.0 |
| 057 | SLV A1 | Si | -0.2189 | -0.2102 | -0.2492 | -0.2574 | 38.3 | 42.2 |
| 058 | SLV A1 | Si | -0.1392 | -0.1455 | -0.1242 | -0.1192 | -12.2 | -23.5 |
| 059 | SLV A1 | Si | -0.2285 | -0.2167 | -0.2563 | -0.2662 | 12.0 | 23.5 |
| 060 | SLV A1 | Si | -0.1488 | -0.1520 | -0.1314 | -0.1280 | -38.5 | -42.2 |
| 061 | SLV A1 | Si | -0.2189 | -0.2101 | -0.2474 | -0.2559 | 38.9 | 43.8 |
| 062 | SLV A1 | Si | -0.1392 | -0.1454 | -0.1224 | -0.1177 | -11.6 | -21.8 |
| 063 | SLV A1 | Si | -0.2285 | -0.2169 | -0.2581 | -0.2677 | 11.3 | 21.9 |
| 064 | SLV A1 | Si | -0.1488 | -0.1522 | -0.1331 | -0.1295 | -39.2 | -43.8 |
| 065 | SLD | Si | -0.1821 | -0.1807 | -0.1934 | -0.1955 | 16.1 | 18.3 |
| 066 | SLD | Si | -0.1711 | -0.1718 | -0.1763 | -0.1766 | 23.4 | 9.9 |
| 067 | SLD | Si | -0.1966 | -0.1905 | -0.2042 | -0.2088 | -23.6 | -9.9 |
| 068 | SLD | Si | -0.1856 | -0.1816 | -0.1871 | -0.1899 | -16.4 | -18.3 |
| 069 | SLD | Si | -0.1821 | -0.1806 | -0.1934 | -0.1955 | 23.2 | 18.6 |
| 070 | SLD | Si | -0.1712 | -0.1718 | -0.1763 | -0.1766 | 16.3 | 9.7 |
| 071 | SLD | Si | -0.1966 | -0.1904 | -0.2042 | -0.2088 | -16.6 | -9.6 |
| 072 | SLD | Si | -0.1856 | -0.1816 | -0.1871 | -0.1899 | -23.4 | -18.5 |
| 073 | SLD | Si | -0.1821 | -0.1804 | -0.1907 | -0.1932 | 17.1 | 20.8 |
| 074 | SLD | Si | -0.1711 | -0.1715 | -0.1736 | -0.1743 | 24.4 | 12.4 |
| 075 | SLD | Si | -0.1966 | -0.1907 | -0.2069 | -0.2112 | -24.6 | -12.4 |
| 076 | SLD | Si | -0.1856 | -0.1818 | -0.1898 | -0.1922 | -17.4 | -20.8 |
| 077 | SLD | Si | -0.1821 | -0.1804 | -0.1907 | -0.1932 | 24.2 | 21.1 |
| 078 | SLD | Si | -0.1711 | -0.1715 | -0.1736 | -0.1743 | 17.3 | 12.2 |
| 079 | SLD | Si | -0.1966 | -0.1907 | -0.2069 | -0.2111 | -17.5 | -12.1 |
| 080 | SLD | Si | -0.1857 | -0.1818 | -0.1898 | -0.1922 | -24.4 | -21.0 |
| 081 | SLD | Si | -0.2000 | -0.1944 | -0.2171 | -0.2223 | -6.2 | 18.2 |
| 082 | SLD | Si | -0.1634 | -0.1648 | -0.1601 | -0.1592 | 17.9 | -9.7 |
| 083 | SLD | Si | -0.2043 | -0.1974 | -0.2204 | -0.2263 | -18.2 | 9.8 |
| 084 | SLD | Si | -0.1677 | -0.1678 | -0.1634 | -0.1631 | 6.0 | -18.2 |
| 085 | SLD | Si | -0.2000 | -0.1944 | -0.2163 | -0.2216 | -5.9 | 19.0 |
| 086 | SLD | Si | -0.1634 | -0.1648 | -0.1593 | -0.1585 | 18.2 | -9.0 |
| 087 | SLD | Si | -0.2043 | -0.1975 | -0.2212 | -0.2270 | -18.5 | 9.0 |
| 088 | SLD | Si | -0.1677 | -0.1679 | -0.1642 | -0.1638 | 5.7 | -18.9 |
| 089 | SLD | Si | -0.1999 | -0.1944 | -0.2171 | -0.2222 | 17.3 | 19.1 |
| 090 | SLD | Si | -0.1635 | -0.1649 | -0.1601 | -0.1592 | -5.6 | -10.6 |
| 091 | SLD | Si | -0.2042 | -0.1973 | -0.2204 | -0.2262 | 5.4 | 10.6 |
| 092 | SLD | Si | -0.1678 | -0.1678 | -0.1634 | -0.1632 | -17.6 | -19.0 |
| 093 | SLD | Si | -0.1999 | -0.1943 | -0.2163 | -0.2215 | 17.6 | 19.8 |
| 094 | SLD | Si | -0.1635 | -0.1648 | -0.1593 | -0.1585 | -5.3 | -9.8 |
| 095 | SLD | Si | -0.2042 | -0.1974 | -0.2212 | -0.2269 | 5.1 | 9.9 |
| 096 | SLD | Si | -0.1678 | -0.1679 | -0.1642 | -0.1639 | -17.9 | -19.8 |
| 097 | SLO | Si | -0.1824 | -0.1807 | -0.1927 | -0.1949 | 12.8 | 14.5 |
| 098 | SLO | Si | -0.1738 | -0.1737 | -0.1793 | -0.1800 | 18.5 | 7.9 |
| 099 | SLO | Si | -0.1939 | -0.1885 | -0.2013 | -0.2054 | -18.8 | -7.8 |
| 100 | SLO | Si | -0.1853 | -0.1815 | -0.1878 | -0.1906 | -13.0 | -14.5 |
| 101 | SLO | Si | -0.1824 | -0.1807 | -0.1928 | -0.1950 | 18.4 | 14.7 |
| 102 | SLO | Si | -0.1738 | -0.1737 | -0.1792 | -0.1799 | 12.9 | 7.7 |

Relazione Geotecnica e delle Fondazioni

| | | | | | | | | |
|-----|-----|----|---------|---------|---------|---------|-------|-------|
| 103 | SLO | Si | -0.1939 | -0.1885 | -0.2013 | -0.2055 | -13.2 | -7.6 |
| 104 | SLO | Si | -0.1853 | -0.1815 | -0.1878 | -0.1905 | -18.6 | -14.7 |
| 105 | SLO | Si | -0.1824 | -0.1805 | -0.1905 | -0.1931 | 13.6 | 16.5 |
| 106 | SLO | Si | -0.1738 | -0.1736 | -0.1771 | -0.1782 | 19.3 | 9.9 |
| 107 | SLO | Si | -0.1939 | -0.1887 | -0.2034 | -0.2072 | -19.5 | -9.8 |
| 108 | SLO | Si | -0.1853 | -0.1817 | -0.1900 | -0.1924 | -13.8 | -16.5 |
| 109 | SLO | Si | -0.1824 | -0.1806 | -0.1906 | -0.1931 | 19.2 | 16.7 |
| 110 | SLO | Si | -0.1738 | -0.1735 | -0.1771 | -0.1781 | 13.7 | 9.7 |
| 111 | SLO | Si | -0.1939 | -0.1887 | -0.2035 | -0.2073 | -13.9 | -9.6 |
| 112 | SLO | Si | -0.1853 | -0.1817 | -0.1899 | -0.1923 | -19.4 | -16.7 |
| 113 | SLO | Si | -0.1965 | -0.1916 | -0.2113 | -0.2159 | -4.9 | 14.4 |
| 114 | SLO | Si | -0.1678 | -0.1683 | -0.1666 | -0.1664 | 14.1 | -7.7 |
| 115 | SLO | Si | -0.1999 | -0.1939 | -0.2139 | -0.2191 | -14.4 | 7.7 |
| 116 | SLO | Si | -0.1712 | -0.1707 | -0.1692 | -0.1695 | 4.7 | -14.4 |
| 117 | SLO | Si | -0.1965 | -0.1915 | -0.2107 | -0.2154 | -4.7 | 15.0 |
| 118 | SLO | Si | -0.1678 | -0.1683 | -0.1660 | -0.1658 | 14.4 | -7.1 |
| 119 | SLO | Si | -0.1999 | -0.1940 | -0.2145 | -0.2196 | -14.6 | 7.1 |
| 120 | SLO | Si | -0.1712 | -0.1707 | -0.1698 | -0.1701 | 4.4 | -15.0 |
| 121 | SLO | Si | -0.1966 | -0.1917 | -0.2116 | -0.2162 | 13.7 | 15.1 |
| 122 | SLO | Si | -0.1677 | -0.1682 | -0.1663 | -0.1661 | -4.5 | -8.4 |
| 123 | SLO | Si | -0.2000 | -0.1940 | -0.2142 | -0.2193 | 4.3 | 8.4 |
| 124 | SLO | Si | -0.1711 | -0.1706 | -0.1689 | -0.1693 | -14.0 | -15.1 |
| 125 | SLO | Si | -0.1966 | -0.1916 | -0.2110 | -0.2156 | 14.0 | 15.7 |
| 126 | SLO | Si | -0.1677 | -0.1682 | -0.1657 | -0.1656 | -4.3 | -7.8 |
| 127 | SLO | Si | -0.2000 | -0.1941 | -0.2148 | -0.2199 | 4.0 | 7.8 |
| 128 | SLO | Si | -0.1711 | -0.1706 | -0.1696 | -0.1698 | -14.2 | -15.7 |

Elemento: Platea n. 84

| Cmb | Tipo | Sism. | Press. N1 | Press. N2 | Press. N3 | Press. N4 | S. Taglio X | S. Taglio Y |
|-----|----------|-------|---------------------|---------------------|---------------------|---------------------|-------------|-------------|
| n. | | | daN/cm ² | daN/cm ² | daN/cm ² | daN/cm ² | daN | daN |
| 001 | SLU STR | No | -0.1651 | -0.1662 | -0.1707 | -0.1694 | 0.0 | 0.0 |
| 002 | SLU STR | No | -0.2176 | -0.2187 | -0.2232 | -0.2219 | 0.0 | 0.0 |
| 003 | SLU STR | No | -0.2320 | -0.2349 | -0.2528 | -0.2492 | 0.1 | 0.2 |
| 004 | SLU STR | No | -0.2845 | -0.2874 | -0.3053 | -0.3017 | 0.1 | 0.2 |
| 005 | SLU STR | No | -0.1222 | -0.1230 | -0.1261 | -0.1252 | 0.0 | 0.0 |
| 006 | SLU STR | No | -0.1747 | -0.1755 | -0.1786 | -0.1777 | 0.0 | 0.0 |
| 007 | SLU STR | No | -0.1890 | -0.1917 | -0.2083 | -0.2050 | 0.1 | 0.2 |
| 008 | SLU STR | No | -0.2415 | -0.2442 | -0.2608 | -0.2575 | 0.1 | 0.2 |
| 009 | SLU STR | No | -0.2401 | -0.2412 | -0.2457 | -0.2444 | 0.0 | 0.0 |
| 010 | SLU STR | No | -0.2119 | -0.2143 | -0.2282 | -0.2253 | 0.1 | 0.1 |
| 011 | SLU STR | No | -0.2869 | -0.2893 | -0.3032 | -0.3003 | 0.1 | 0.1 |
| 012 | SLU STR | No | -0.1972 | -0.1980 | -0.2011 | -0.2002 | 0.0 | 0.0 |
| 013 | SLU STR | No | -0.1690 | -0.1711 | -0.1836 | -0.1811 | 0.0 | 0.1 |
| 014 | SLU STR | No | -0.2440 | -0.2461 | -0.2586 | -0.2561 | 0.0 | 0.1 |
| 015 | SLE rare | No | -0.1249 | -0.1257 | -0.1290 | -0.1281 | 0.0 | 0.0 |
| 016 | SLE rare | No | -0.1599 | -0.1607 | -0.1640 | -0.1631 | 0.0 | 0.0 |
| 017 | SLE rare | No | -0.1695 | -0.1715 | -0.1838 | -0.1813 | 0.0 | 0.1 |
| 018 | SLE rare | No | -0.2045 | -0.2065 | -0.2188 | -0.2163 | 0.0 | 0.1 |
| 019 | SLE rare | No | -0.1749 | -0.1757 | -0.1790 | -0.1781 | 0.0 | 0.0 |
| 020 | SLE rare | No | -0.1561 | -0.1578 | -0.1674 | -0.1653 | 0.0 | 0.1 |
| 021 | SLE rare | No | -0.2061 | -0.2078 | -0.2174 | -0.2153 | 0.0 | 0.1 |
| 022 | SLE freq | No | -0.1249 | -0.1257 | -0.1290 | -0.1281 | 0.0 | 0.0 |
| 023 | SLE freq | No | -0.1549 | -0.1557 | -0.1590 | -0.1581 | 0.0 | 0.0 |
| 024 | SLE freq | No | -0.1561 | -0.1578 | -0.1674 | -0.1653 | 0.0 | 0.1 |
| 025 | SLE freq | No | -0.1861 | -0.1878 | -0.1974 | -0.1953 | 0.0 | 0.1 |
| 026 | SLE freq | No | -0.1599 | -0.1607 | -0.1640 | -0.1631 | 0.0 | 0.0 |
| 027 | SLE freq | No | -0.1517 | -0.1532 | -0.1619 | -0.1600 | 0.0 | 0.1 |
| 028 | SLE freq | No | -0.1867 | -0.1882 | -0.1969 | -0.1950 | 0.0 | 0.1 |
| 029 | SLE q.p. | No | -0.1249 | -0.1257 | -0.1290 | -0.1281 | 0.0 | 0.0 |
| 030 | SLE q.p. | No | -0.1549 | -0.1557 | -0.1590 | -0.1581 | 0.0 | 0.0 |
| 031 | SLE q.p. | No | -0.1517 | -0.1532 | -0.1619 | -0.1600 | 0.0 | 0.1 |
| 032 | SLE q.p. | No | -0.1817 | -0.1832 | -0.1919 | -0.1900 | 0.0 | 0.1 |
| 033 | SLV A1 | Si | -0.1984 | -0.2039 | -0.2268 | -0.2213 | 30.8 | 1.7 |
| 034 | SLV A1 | Si | -0.1814 | -0.1871 | -0.1939 | -0.1885 | 43.8 | -21.7 |
| 035 | SLV A1 | Si | -0.1819 | -0.1793 | -0.1899 | -0.1916 | -43.8 | 21.9 |
| 036 | SLV A1 | Si | -0.1649 | -0.1625 | -0.1570 | -0.1588 | -30.8 | -1.5 |
| 037 | SLV A1 | Si | -0.1985 | -0.2040 | -0.2269 | -0.2214 | 43.5 | 1.6 |
| 038 | SLV A1 | Si | -0.1813 | -0.1870 | -0.1937 | -0.1884 | 31.1 | -21.7 |
| 039 | SLV A1 | Si | -0.1820 | -0.1794 | -0.1901 | -0.1917 | -31.0 | 21.8 |
| 040 | SLV A1 | Si | -0.1648 | -0.1624 | -0.1569 | -0.1586 | -43.5 | -1.5 |
| 041 | SLV A1 | Si | -0.2018 | -0.2070 | -0.2332 | -0.2280 | 32.5 | -2.7 |
| 042 | SLV A1 | Si | -0.1848 | -0.1902 | -0.2004 | -0.1952 | 45.5 | -26.1 |
| 043 | SLV A1 | Si | -0.1785 | -0.1762 | -0.1834 | -0.1849 | -45.4 | 26.2 |

| | | | | | | | | |
|--------------------------------------|--------|----|----------------------------------------------------------------------------------------------------------------------|---------|----------------------------------------------------------------------------------|---------|-------------|-------|
| COMMITTENTE: Mecca Antonio | | | CODICE COMMESSA: | | NOME ELABORATO: S1.5 - Relazione Geotecnica e delle Fondazioni | | CONSULENTE: | |
| DATA: Aprile 2023 | | | TITOLO: Lavori ultimazione di un fabbricato adibito ad albergo-ristorante– C.da Case Nuove Chicone Avigliano (PZ) | | | | | |
| 044 | SLV A1 | Si | -0.1615 | -0.1594 | -0.1506 | -0.1521 | -32.4 | 2.8 |
| 045 | SLV A1 | Si | -0.2019 | -0.2071 | -0.2334 | -0.2281 | 45.2 | -2.8 |
| 046 | SLV A1 | Si | -0.1847 | -0.1901 | -0.2002 | -0.1950 | 32.8 | -26.0 |
| 047 | SLV A1 | Si | -0.1786 | -0.1763 | -0.1836 | -0.1850 | -32.7 | 26.2 |
| 048 | SLV A1 | Si | -0.1614 | -0.1593 | -0.1504 | -0.1520 | -45.2 | 2.9 |
| 049 | SLV A1 | Si | -0.2125 | -0.2149 | -0.2522 | -0.2491 | -10.4 | 36.0 |
| 050 | SLV A1 | Si | -0.1557 | -0.1589 | -0.1426 | -0.1399 | 32.9 | -41.9 |
| 051 | SLV A1 | Si | -0.2076 | -0.2075 | -0.2412 | -0.2402 | -32.8 | 42.1 |
| 052 | SLV A1 | Si | -0.1508 | -0.1515 | -0.1316 | -0.1309 | 10.5 | -35.9 |
| 053 | SLV A1 | Si | -0.2135 | -0.2158 | -0.2542 | -0.2511 | -9.9 | 34.7 |
| 054 | SLV A1 | Si | -0.1567 | -0.1598 | -0.1446 | -0.1419 | 33.4 | -43.2 |
| 055 | SLV A1 | Si | -0.2066 | -0.2066 | -0.2392 | -0.2382 | -33.3 | 43.4 |
| 056 | SLV A1 | Si | -0.1498 | -0.1506 | -0.1296 | -0.1289 | 10.0 | -34.6 |
| 057 | SLV A1 | Si | -0.2128 | -0.2153 | -0.2528 | -0.2496 | 32.0 | 35.8 |
| 058 | SLV A1 | Si | -0.1555 | -0.1585 | -0.1420 | -0.1394 | -9.5 | -41.7 |
| 059 | SLV A1 | Si | -0.2078 | -0.2079 | -0.2418 | -0.2407 | 9.6 | 41.9 |
| 060 | SLV A1 | Si | -0.1505 | -0.1511 | -0.1310 | -0.1305 | -31.9 | -35.7 |
| 061 | SLV A1 | Si | -0.2138 | -0.2162 | -0.2548 | -0.2516 | 32.5 | 34.5 |
| 062 | SLV A1 | Si | -0.1565 | -0.1594 | -0.1440 | -0.1414 | -9.0 | -43.0 |
| 063 | SLV A1 | Si | -0.2068 | -0.2070 | -0.2398 | -0.2387 | 9.1 | 43.2 |
| 064 | SLV A1 | Si | -0.1495 | -0.1502 | -0.1290 | -0.1285 | -32.4 | -34.4 |
| 065 | SLD | Si | -0.1893 | -0.1926 | -0.2078 | -0.2043 | 14.0 | 0.8 |
| 066 | SLD | Si | -0.1815 | -0.1849 | -0.1927 | -0.1893 | 19.9 | -9.8 |
| 067 | SLD | Si | -0.1818 | -0.1815 | -0.1910 | -0.1908 | -19.8 | 10.0 |
| 068 | SLD | Si | -0.1740 | -0.1738 | -0.1760 | -0.1758 | -13.9 | -0.7 |
| 069 | SLD | Si | -0.1893 | -0.1927 | -0.2078 | -0.2043 | 19.7 | 0.8 |
| 070 | SLD | Si | -0.1815 | -0.1849 | -0.1927 | -0.1892 | 14.1 | -9.8 |
| 071 | SLD | Si | -0.1818 | -0.1815 | -0.1911 | -0.1908 | -14.0 | 10.0 |
| 072 | SLD | Si | -0.1740 | -0.1738 | -0.1760 | -0.1757 | -19.7 | -0.7 |
| 073 | SLD | Si | -0.1908 | -0.1940 | -0.2107 | -0.2073 | 14.7 | -1.2 |
| 074 | SLD | Si | -0.1830 | -0.1863 | -0.1957 | -0.1923 | 20.7 | -11.8 |
| 075 | SLD | Si | -0.1803 | -0.1801 | -0.1881 | -0.1877 | -20.6 | 12.0 |
| 076 | SLD | Si | -0.1725 | -0.1724 | -0.1731 | -0.1728 | -14.7 | 1.3 |
| 077 | SLD | Si | -0.1909 | -0.1941 | -0.2108 | -0.2074 | 20.5 | -1.2 |
| 078 | SLD | Si | -0.1830 | -0.1863 | -0.1956 | -0.1923 | 14.9 | -11.8 |
| 079 | SLD | Si | -0.1803 | -0.1801 | -0.1882 | -0.1878 | -14.8 | 11.9 |
| 080 | SLD | Si | -0.1724 | -0.1723 | -0.1730 | -0.1727 | -20.5 | 1.3 |
| 081 | SLD | Si | -0.1957 | -0.1977 | -0.2194 | -0.2170 | -4.8 | 16.5 |
| 082 | SLD | Si | -0.1698 | -0.1721 | -0.1694 | -0.1671 | 15.0 | -19.1 |
| 083 | SLD | Si | -0.1935 | -0.1943 | -0.2144 | -0.2129 | -14.9 | 19.2 |
| 084 | SLD | Si | -0.1676 | -0.1687 | -0.1644 | -0.1631 | 4.8 | -16.3 |
| 085 | SLD | Si | -0.1962 | -0.1981 | -0.2203 | -0.2179 | -4.5 | 15.9 |
| 086 | SLD | Si | -0.1703 | -0.1725 | -0.1703 | -0.1680 | 15.2 | -19.7 |
| 087 | SLD | Si | -0.1930 | -0.1939 | -0.2135 | -0.2120 | -15.1 | 19.8 |
| 088 | SLD | Si | -0.1671 | -0.1683 | -0.1635 | -0.1622 | 4.6 | -15.7 |
| 089 | SLD | Si | -0.1958 | -0.1978 | -0.2197 | -0.2172 | 14.5 | 16.4 |
| 090 | SLD | Si | -0.1697 | -0.1719 | -0.1691 | -0.1669 | -4.3 | -19.0 |
| 091 | SLD | Si | -0.1936 | -0.1945 | -0.2147 | -0.2131 | 4.4 | 19.1 |
| 092 | SLD | Si | -0.1675 | -0.1686 | -0.1641 | -0.1629 | -14.5 | -16.2 |
| 093 | SLD | Si | -0.1963 | -0.1983 | -0.2206 | -0.2181 | 14.8 | 15.8 |
| 094 | SLD | Si | -0.1702 | -0.1723 | -0.1700 | -0.1678 | -4.1 | -19.6 |
| 095 | SLD | Si | -0.1931 | -0.1941 | -0.2138 | -0.2122 | 4.2 | 19.7 |
| 096 | SLD | Si | -0.1670 | -0.1681 | -0.1632 | -0.1620 | -14.7 | -15.6 |
| 097 | SLO | Si | -0.1877 | -0.1906 | -0.2044 | -0.2012 | 11.1 | 0.6 |
| 098 | SLO | Si | -0.1816 | -0.1846 | -0.1926 | -0.1895 | 15.8 | -7.7 |
| 099 | SLO | Si | -0.1817 | -0.1818 | -0.1912 | -0.1906 | -15.7 | 7.9 |
| 100 | SLO | Si | -0.1756 | -0.1758 | -0.1794 | -0.1788 | -11.0 | -0.5 |
| 101 | SLO | Si | -0.1877 | -0.1907 | -0.2045 | -0.2014 | 15.7 | 0.7 |
| 102 | SLO | Si | -0.1815 | -0.1845 | -0.1925 | -0.1894 | 11.2 | -7.8 |
| 103 | SLO | Si | -0.1818 | -0.1819 | -0.1913 | -0.1907 | -11.1 | 7.9 |
| 104 | SLO | Si | -0.1756 | -0.1757 | -0.1793 | -0.1787 | -15.6 | -0.5 |
| 105 | SLO | Si | -0.1889 | -0.1918 | -0.2067 | -0.2036 | 11.7 | -0.9 |
| 106 | SLO | Si | -0.1828 | -0.1857 | -0.1950 | -0.1919 | 16.4 | -9.3 |
| 107 | SLO | Si | -0.1805 | -0.1807 | -0.1888 | -0.1882 | -16.3 | 9.5 |
| 108 | SLO | Si | -0.1744 | -0.1747 | -0.1771 | -0.1764 | -11.7 | 1.1 |
| 109 | SLO | Si | -0.1890 | -0.1918 | -0.2069 | -0.2038 | 16.3 | -0.9 |
| 110 | SLO | Si | -0.1827 | -0.1857 | -0.1948 | -0.1918 | 11.8 | -9.3 |
| 111 | SLO | Si | -0.1806 | -0.1808 | -0.1890 | -0.1883 | -11.7 | 9.5 |
| 112 | SLO | Si | -0.1744 | -0.1746 | -0.1769 | -0.1763 | -16.2 | 1.1 |
| 113 | SLO | Si | -0.1927 | -0.1946 | -0.2135 | -0.2112 | -3.7 | 12.9 |
| 114 | SLO | Si | -0.1724 | -0.1745 | -0.1743 | -0.1721 | 11.8 | -15.0 |
| 115 | SLO | Si | -0.1909 | -0.1919 | -0.2095 | -0.2080 | -11.8 | 15.1 |

Relazione Geotecnica e delle Fondazioni

| | | | | | | | | |
|-----|-----|----|---------|---------|---------|---------|-------|-------|
| 116 | SLO | Si | -0.1706 | -0.1718 | -0.1703 | -0.1689 | 3.8 | -12.8 |
| 117 | SLO | Si | -0.1931 | -0.1949 | -0.2142 | -0.2119 | -3.5 | 12.5 |
| 118 | SLO | Si | -0.1727 | -0.1748 | -0.1750 | -0.1728 | 12.0 | -15.4 |
| 119 | SLO | Si | -0.1906 | -0.1916 | -0.2088 | -0.2073 | -11.9 | 15.6 |
| 120 | SLO | Si | -0.1702 | -0.1715 | -0.1696 | -0.1681 | 3.6 | -12.3 |
| 121 | SLO | Si | -0.1929 | -0.1948 | -0.2140 | -0.2116 | 11.5 | 13.0 |
| 122 | SLO | Si | -0.1722 | -0.1742 | -0.1738 | -0.1717 | -3.4 | -15.1 |
| 123 | SLO | Si | -0.1911 | -0.1922 | -0.2100 | -0.2084 | 3.5 | 15.2 |
| 124 | SLO | Si | -0.1704 | -0.1716 | -0.1698 | -0.1685 | -11.5 | -12.9 |
| 125 | SLO | Si | -0.1933 | -0.1952 | -0.2147 | -0.2123 | 11.7 | 12.6 |
| 126 | SLO | Si | -0.1725 | -0.1746 | -0.1745 | -0.1724 | -3.3 | -15.5 |
| 127 | SLO | Si | -0.1908 | -0.1918 | -0.2093 | -0.2077 | 3.3 | 15.7 |
| 128 | SLO | Si | -0.1700 | -0.1713 | -0.1691 | -0.1677 | -11.7 | -12.4 |

Elemento: Platea n. 85

| Cmb | Tipo | Sism. | Press. N1 | Press. N2 | Press. N3 | Press. N4 | S. Taglio X | S. Taglio Y |
|-----|----------|-------|---------------------|---------------------|---------------------|---------------------|-------------|-------------|
| n. | | | daN/cm ² | daN/cm ² | daN/cm ² | daN/cm ² | daN | daN |
| 001 | SLU STR | No | -0.1647 | -0.1651 | -0.1694 | -0.1686 | 0.0 | 0.0 |
| 002 | SLU STR | No | -0.2172 | -0.2176 | -0.2219 | -0.2211 | 0.0 | 0.0 |
| 003 | SLU STR | No | -0.2309 | -0.2320 | -0.2492 | -0.2469 | 0.0 | 0.2 |
| 004 | SLU STR | No | -0.2834 | -0.2845 | -0.3017 | -0.2994 | 0.0 | 0.2 |
| 005 | SLU STR | No | -0.1218 | -0.1222 | -0.1252 | -0.1247 | 0.0 | 0.0 |
| 006 | SLU STR | No | -0.1743 | -0.1747 | -0.1777 | -0.1772 | 0.0 | 0.0 |
| 007 | SLU STR | No | -0.1881 | -0.1890 | -0.2050 | -0.2029 | 0.0 | 0.1 |
| 008 | SLU STR | No | -0.2406 | -0.2415 | -0.2575 | -0.2554 | 0.0 | 0.1 |
| 009 | SLU STR | No | -0.2397 | -0.2401 | -0.2444 | -0.2436 | 0.0 | 0.0 |
| 010 | SLU STR | No | -0.2110 | -0.2119 | -0.2253 | -0.2234 | 0.0 | 0.1 |
| 011 | SLU STR | No | -0.2860 | -0.2869 | -0.3003 | -0.2984 | 0.0 | 0.1 |
| 012 | SLU STR | No | -0.1968 | -0.1972 | -0.2002 | -0.1997 | 0.0 | 0.0 |
| 013 | SLU STR | No | -0.1682 | -0.1690 | -0.1811 | -0.1794 | 0.0 | 0.1 |
| 014 | SLU STR | No | -0.2432 | -0.2440 | -0.2561 | -0.2544 | 0.0 | 0.1 |
| 015 | SLE rare | No | -0.1246 | -0.1249 | -0.1281 | -0.1275 | 0.0 | 0.0 |
| 016 | SLE rare | No | -0.1596 | -0.1599 | -0.1631 | -0.1625 | 0.0 | 0.0 |
| 017 | SLE rare | No | -0.1687 | -0.1695 | -0.1813 | -0.1797 | 0.0 | 0.1 |
| 018 | SLE rare | No | -0.2037 | -0.2045 | -0.2163 | -0.2147 | 0.0 | 0.1 |
| 019 | SLE rare | No | -0.1746 | -0.1749 | -0.1781 | -0.1775 | 0.0 | 0.0 |
| 020 | SLE rare | No | -0.1555 | -0.1561 | -0.1653 | -0.1640 | 0.0 | 0.1 |
| 021 | SLE rare | No | -0.2055 | -0.2061 | -0.2153 | -0.2140 | 0.0 | 0.1 |
| 022 | SLE freq | No | -0.1246 | -0.1249 | -0.1281 | -0.1275 | 0.0 | 0.0 |
| 023 | SLE freq | No | -0.1546 | -0.1549 | -0.1581 | -0.1575 | 0.0 | 0.0 |
| 024 | SLE freq | No | -0.1555 | -0.1561 | -0.1653 | -0.1640 | 0.0 | 0.1 |
| 025 | SLE freq | No | -0.1855 | -0.1861 | -0.1953 | -0.1940 | 0.0 | 0.1 |
| 026 | SLE freq | No | -0.1596 | -0.1599 | -0.1631 | -0.1625 | 0.0 | 0.0 |
| 027 | SLE freq | No | -0.1511 | -0.1517 | -0.1600 | -0.1588 | 0.0 | 0.1 |
| 028 | SLE freq | No | -0.1861 | -0.1867 | -0.1950 | -0.1938 | 0.0 | 0.1 |
| 029 | SLE q.p. | No | -0.1246 | -0.1249 | -0.1281 | -0.1275 | 0.0 | 0.0 |
| 030 | SLE q.p. | No | -0.1546 | -0.1549 | -0.1581 | -0.1575 | 0.0 | 0.0 |
| 031 | SLE q.p. | No | -0.1511 | -0.1517 | -0.1600 | -0.1588 | 0.0 | 0.1 |
| 032 | SLE q.p. | No | -0.1811 | -0.1817 | -0.1900 | -0.1888 | 0.0 | 0.1 |
| 033 | SLV A1 | Si | -0.1840 | -0.1984 | -0.2213 | -0.1933 | 29.2 | 11.7 |
| 034 | SLV A1 | Si | -0.1659 | -0.1814 | -0.1885 | -0.1603 | 41.6 | -7.7 |
| 035 | SLV A1 | Si | -0.1963 | -0.1819 | -0.1916 | -0.2173 | -41.6 | 7.8 |
| 036 | SLV A1 | Si | -0.1781 | -0.1649 | -0.1588 | -0.1843 | -29.3 | -11.6 |
| 037 | SLV A1 | Si | -0.1841 | -0.1985 | -0.2214 | -0.1934 | 41.4 | 11.9 |
| 038 | SLV A1 | Si | -0.1658 | -0.1813 | -0.1884 | -0.1602 | 29.5 | -7.8 |
| 039 | SLV A1 | Si | -0.1963 | -0.1820 | -0.1917 | -0.2174 | -29.5 | 8.0 |
| 040 | SLV A1 | Si | -0.1781 | -0.1648 | -0.1586 | -0.1842 | -41.4 | -11.7 |
| 041 | SLV A1 | Si | -0.1806 | -0.2018 | -0.2280 | -0.1865 | 30.9 | 11.6 |
| 042 | SLV A1 | Si | -0.1625 | -0.1848 | -0.1952 | -0.1536 | 43.2 | -7.7 |
| 043 | SLV A1 | Si | -0.1997 | -0.1785 | -0.1849 | -0.2241 | -43.3 | 7.9 |
| 044 | SLV A1 | Si | -0.1815 | -0.1615 | -0.1521 | -0.1911 | -30.9 | -11.5 |
| 045 | SLV A1 | Si | -0.1806 | -0.2019 | -0.2281 | -0.1866 | 43.0 | 11.8 |
| 046 | SLV A1 | Si | -0.1624 | -0.1847 | -0.1950 | -0.1535 | 31.1 | -7.9 |
| 047 | SLV A1 | Si | -0.1997 | -0.1786 | -0.1850 | -0.2242 | -31.1 | 8.0 |
| 048 | SLV A1 | Si | -0.1815 | -0.1614 | -0.1520 | -0.1910 | -43.0 | -11.7 |
| 049 | SLV A1 | Si | -0.2095 | -0.2125 | -0.2491 | -0.2402 | -10.0 | 32.9 |
| 050 | SLV A1 | Si | -0.1490 | -0.1557 | -0.1399 | -0.1302 | 31.3 | -31.6 |
| 051 | SLV A1 | Si | -0.2131 | -0.2076 | -0.2402 | -0.2474 | -31.3 | 31.8 |
| 052 | SLV A1 | Si | -0.1527 | -0.1508 | -0.1309 | -0.1374 | 10.0 | -32.8 |
| 053 | SLV A1 | Si | -0.2084 | -0.2135 | -0.2511 | -0.2381 | -9.5 | 32.9 |
| 054 | SLV A1 | Si | -0.1480 | -0.1567 | -0.1419 | -0.1282 | 31.8 | -31.6 |
| 055 | SLV A1 | Si | -0.2142 | -0.2066 | -0.2382 | -0.2494 | -31.8 | 31.8 |
| 056 | SLV A1 | Si | -0.1537 | -0.1498 | -0.1289 | -0.1395 | 9.5 | -32.8 |

| | | | | | | | | |
|--------------------------------------|--------|----|----------------------------------------------------------------------------------------------------------------------|---------|----------------------------------------------------------------------------------|---------|-------------|-------|
| COMMITTENTE: Mecca Antonio | | | CODICE COMMESSA: | | NOME ELABORATO: S1.5 - Relazione Geotecnica e delle Fondazioni | | CONSULENTE: | |
| DATA: Aprile 2023 | | | TITOLO: Lavori ultimazione di un fabbricato adibito ad albergo-ristorante– C.da Case Nuove Chicone Avigliano (PZ) | | | | | |
| 057 | SLV A1 | Si | -0.2096 | -0.2128 | -0.2496 | -0.2405 | 30.4 | 33.5 |
| 058 | SLV A1 | Si | -0.1489 | -0.1555 | -0.1394 | -0.1299 | -9.1 | -32.2 |
| 059 | SLV A1 | Si | -0.2133 | -0.2078 | -0.2407 | -0.2477 | 9.1 | 32.3 |
| 060 | SLV A1 | Si | -0.1525 | -0.1505 | -0.1305 | -0.1371 | -30.4 | -33.4 |
| 061 | SLV A1 | Si | -0.2086 | -0.2138 | -0.2516 | -0.2385 | 30.9 | 33.5 |
| 062 | SLV A1 | Si | -0.1478 | -0.1565 | -0.1414 | -0.1279 | -8.7 | -32.2 |
| 063 | SLV A1 | Si | -0.2143 | -0.2068 | -0.2387 | -0.2497 | 8.7 | 32.4 |
| 064 | SLV A1 | Si | -0.1536 | -0.1495 | -0.1285 | -0.1392 | -30.9 | -33.4 |
| 065 | SLD | Si | -0.1824 | -0.1893 | -0.2043 | -0.1909 | 13.2 | 5.4 |
| 066 | SLD | Si | -0.1742 | -0.1815 | -0.1893 | -0.1758 | 18.9 | -3.5 |
| 067 | SLD | Si | -0.1880 | -0.1818 | -0.1908 | -0.2018 | -18.9 | 3.6 |
| 068 | SLD | Si | -0.1797 | -0.1740 | -0.1758 | -0.1867 | -13.2 | -5.2 |
| 069 | SLD | Si | -0.1825 | -0.1893 | -0.2043 | -0.1909 | 18.7 | 5.4 |
| 070 | SLD | Si | -0.1741 | -0.1815 | -0.1892 | -0.1758 | 13.3 | -3.5 |
| 071 | SLD | Si | -0.1880 | -0.1818 | -0.1908 | -0.2018 | -13.4 | 3.7 |
| 072 | SLD | Si | -0.1797 | -0.1740 | -0.1757 | -0.1867 | -18.8 | -5.3 |
| 073 | SLD | Si | -0.1809 | -0.1908 | -0.2073 | -0.1878 | 14.0 | 5.3 |
| 074 | SLD | Si | -0.1726 | -0.1830 | -0.1923 | -0.1728 | 19.6 | -3.5 |
| 075 | SLD | Si | -0.1895 | -0.1803 | -0.1877 | -0.2049 | -19.6 | 3.6 |
| 076 | SLD | Si | -0.1813 | -0.1725 | -0.1728 | -0.1898 | -14.0 | -5.2 |
| 077 | SLD | Si | -0.1809 | -0.1909 | -0.2074 | -0.1878 | 19.5 | 5.4 |
| 078 | SLD | Si | -0.1726 | -0.1830 | -0.1923 | -0.1727 | 14.1 | -3.6 |
| 079 | SLD | Si | -0.1896 | -0.1803 | -0.1878 | -0.2049 | -14.1 | 3.7 |
| 080 | SLD | Si | -0.1812 | -0.1724 | -0.1727 | -0.1898 | -19.5 | -5.3 |
| 081 | SLD | Si | -0.1940 | -0.1957 | -0.2170 | -0.2123 | -4.6 | 15.0 |
| 082 | SLD | Si | -0.1664 | -0.1698 | -0.1671 | -0.1621 | 14.2 | -14.4 |
| 083 | SLD | Si | -0.1957 | -0.1935 | -0.2129 | -0.2155 | -14.2 | 14.5 |
| 084 | SLD | Si | -0.1681 | -0.1676 | -0.1631 | -0.1654 | 4.6 | -14.9 |
| 085 | SLD | Si | -0.1936 | -0.1962 | -0.2179 | -0.2113 | -4.4 | 15.0 |
| 086 | SLD | Si | -0.1660 | -0.1703 | -0.1680 | -0.1612 | 14.4 | -14.4 |
| 087 | SLD | Si | -0.1962 | -0.1930 | -0.2120 | -0.2165 | -14.5 | 14.5 |
| 088 | SLD | Si | -0.1686 | -0.1671 | -0.1622 | -0.1663 | 4.4 | -14.9 |
| 089 | SLD | Si | -0.1941 | -0.1958 | -0.2172 | -0.2124 | 13.8 | 15.3 |
| 090 | SLD | Si | -0.1664 | -0.1697 | -0.1669 | -0.1620 | -4.2 | -14.6 |
| 091 | SLD | Si | -0.1958 | -0.1936 | -0.2131 | -0.2157 | 4.2 | 14.8 |
| 092 | SLD | Si | -0.1680 | -0.1675 | -0.1629 | -0.1652 | -13.8 | -15.2 |
| 093 | SLD | Si | -0.1936 | -0.1963 | -0.2181 | -0.2115 | 14.0 | 15.3 |
| 094 | SLD | Si | -0.1659 | -0.1702 | -0.1678 | -0.1610 | -4.0 | -14.6 |
| 095 | SLD | Si | -0.1962 | -0.1931 | -0.2122 | -0.2166 | 4.0 | 14.8 |
| 096 | SLD | Si | -0.1685 | -0.1670 | -0.1620 | -0.1661 | -14.0 | -15.2 |
| 097 | SLO | Si | -0.1821 | -0.1877 | -0.2012 | -0.1904 | 10.5 | 4.2 |
| 098 | SLO | Si | -0.1756 | -0.1816 | -0.1895 | -0.1786 | 15.0 | -2.7 |
| 099 | SLO | Si | -0.1865 | -0.1817 | -0.1906 | -0.1990 | -15.0 | 2.8 |
| 100 | SLO | Si | -0.1800 | -0.1756 | -0.1788 | -0.1872 | -10.5 | -4.1 |
| 101 | SLO | Si | -0.1822 | -0.1877 | -0.2014 | -0.1905 | 14.9 | 4.3 |
| 102 | SLO | Si | -0.1756 | -0.1815 | -0.1894 | -0.1785 | 10.6 | -2.8 |
| 103 | SLO | Si | -0.1866 | -0.1818 | -0.1907 | -0.1991 | -10.6 | 2.9 |
| 104 | SLO | Si | -0.1800 | -0.1756 | -0.1787 | -0.1871 | -14.9 | -4.2 |
| 105 | SLO | Si | -0.1809 | -0.1889 | -0.2036 | -0.1880 | 11.1 | 4.2 |
| 106 | SLO | Si | -0.1744 | -0.1828 | -0.1919 | -0.1762 | 15.6 | -2.7 |
| 107 | SLO | Si | -0.1877 | -0.1805 | -0.1882 | -0.2015 | -15.6 | 2.9 |
| 108 | SLO | Si | -0.1812 | -0.1744 | -0.1764 | -0.1897 | -11.1 | -4.1 |
| 109 | SLO | Si | -0.1809 | -0.1890 | -0.2038 | -0.1881 | 15.5 | 4.3 |
| 110 | SLO | Si | -0.1743 | -0.1827 | -0.1918 | -0.1761 | 11.2 | -2.8 |
| 111 | SLO | Si | -0.1878 | -0.1806 | -0.1883 | -0.2016 | -11.2 | 3.0 |
| 112 | SLO | Si | -0.1812 | -0.1744 | -0.1763 | -0.1895 | -15.5 | -4.2 |
| 113 | SLO | Si | -0.1912 | -0.1927 | -0.2112 | -0.2072 | -3.6 | 11.8 |
| 114 | SLO | Si | -0.1696 | -0.1724 | -0.1721 | -0.1678 | 11.2 | -11.3 |
| 115 | SLO | Si | -0.1926 | -0.1909 | -0.2080 | -0.2098 | -11.2 | 11.4 |
| 116 | SLO | Si | -0.1709 | -0.1706 | -0.1689 | -0.1704 | 3.6 | -11.7 |
| 117 | SLO | Si | -0.1909 | -0.1931 | -0.2119 | -0.2065 | -3.4 | 11.8 |
| 118 | SLO | Si | -0.1692 | -0.1727 | -0.1728 | -0.1671 | 11.4 | -11.3 |
| 119 | SLO | Si | -0.1929 | -0.1906 | -0.2073 | -0.2105 | -11.4 | 11.4 |
| 120 | SLO | Si | -0.1713 | -0.1702 | -0.1681 | -0.1711 | 3.4 | -11.7 |
| 121 | SLO | Si | -0.1914 | -0.1929 | -0.2116 | -0.2075 | 11.0 | 12.2 |
| 122 | SLO | Si | -0.1694 | -0.1722 | -0.1717 | -0.1675 | -3.3 | -11.6 |
| 123 | SLO | Si | -0.1927 | -0.1911 | -0.2084 | -0.2101 | 3.3 | 11.7 |
| 124 | SLO | Si | -0.1707 | -0.1704 | -0.1685 | -0.1701 | -11.0 | -12.0 |
| 125 | SLO | Si | -0.1910 | -0.1933 | -0.2123 | -0.2068 | 11.1 | 12.2 |
| 126 | SLO | Si | -0.1690 | -0.1725 | -0.1724 | -0.1668 | -3.1 | -11.6 |
| 127 | SLO | Si | -0.1931 | -0.1908 | -0.2077 | -0.2109 | 3.1 | 11.7 |
| 128 | SLO | Si | -0.1711 | -0.1700 | -0.1677 | -0.1708 | -11.1 | -12.0 |

Relazione Geotecnica e delle Fondazioni

Elemento: Platea n. 86

| Cmb | Tipo | Sism. | Press. N1 | Press. N2 | Press. N3 | Press. N4 | S. Taglio X | S. Taglio Y |
|-----|----------|-------|---------------------|---------------------|---------------------|---------------------|-------------|-------------|
| n. | | | daN/cm ² | daN/cm ² | daN/cm ² | daN/cm ² | daN | daN |
| 001 | SLU STR | No | -0.1644 | -0.1647 | -0.1686 | -0.1683 | 0.0 | 0.0 |
| 002 | SLU STR | No | -0.2169 | -0.2172 | -0.2211 | -0.2208 | 0.0 | 0.0 |
| 003 | SLU STR | No | -0.2304 | -0.2309 | -0.2469 | -0.2461 | -0.1 | 0.1 |
| 004 | SLU STR | No | -0.2829 | -0.2834 | -0.2994 | -0.2986 | -0.1 | 0.1 |
| 005 | SLU STR | No | -0.1216 | -0.1218 | -0.1247 | -0.1244 | 0.0 | 0.0 |
| 006 | SLU STR | No | -0.1741 | -0.1743 | -0.1772 | -0.1769 | 0.0 | 0.0 |
| 007 | SLU STR | No | -0.1876 | -0.1881 | -0.2029 | -0.2022 | -0.1 | 0.1 |
| 008 | SLU STR | No | -0.2401 | -0.2406 | -0.2554 | -0.2547 | -0.1 | 0.1 |
| 009 | SLU STR | No | -0.2394 | -0.2397 | -0.2436 | -0.2433 | 0.0 | 0.0 |
| 010 | SLU STR | No | -0.2106 | -0.2110 | -0.2234 | -0.2227 | -0.1 | 0.1 |
| 011 | SLU STR | No | -0.2856 | -0.2860 | -0.2984 | -0.2977 | -0.1 | 0.1 |
| 012 | SLU STR | No | -0.1966 | -0.1968 | -0.1997 | -0.1994 | 0.0 | 0.0 |
| 013 | SLU STR | No | -0.1678 | -0.1682 | -0.1794 | -0.1788 | 0.0 | 0.1 |
| 014 | SLU STR | No | -0.2428 | -0.2432 | -0.2544 | -0.2538 | 0.0 | 0.1 |
| 015 | SLE rare | No | -0.1244 | -0.1246 | -0.1275 | -0.1273 | 0.0 | 0.0 |
| 016 | SLE rare | No | -0.1594 | -0.1596 | -0.1625 | -0.1623 | 0.0 | 0.0 |
| 017 | SLE rare | No | -0.1683 | -0.1687 | -0.1797 | -0.1791 | 0.0 | 0.1 |
| 018 | SLE rare | No | -0.2033 | -0.2037 | -0.2147 | -0.2141 | 0.0 | 0.1 |
| 019 | SLE rare | No | -0.1744 | -0.1746 | -0.1775 | -0.1773 | 0.0 | 0.0 |
| 020 | SLE rare | No | -0.1551 | -0.1555 | -0.1640 | -0.1636 | 0.0 | 0.1 |
| 021 | SLE rare | No | -0.2051 | -0.2055 | -0.2140 | -0.2136 | 0.0 | 0.1 |
| 022 | SLE freq | No | -0.1244 | -0.1246 | -0.1275 | -0.1273 | 0.0 | 0.0 |
| 023 | SLE freq | No | -0.1544 | -0.1546 | -0.1575 | -0.1573 | 0.0 | 0.0 |
| 024 | SLE freq | No | -0.1551 | -0.1555 | -0.1640 | -0.1636 | 0.0 | 0.1 |
| 025 | SLE freq | No | -0.1851 | -0.1855 | -0.1940 | -0.1936 | 0.0 | 0.1 |
| 026 | SLE freq | No | -0.1594 | -0.1596 | -0.1625 | -0.1623 | 0.0 | 0.0 |
| 027 | SLE freq | No | -0.1508 | -0.1511 | -0.1588 | -0.1584 | 0.0 | 0.1 |
| 028 | SLE freq | No | -0.1858 | -0.1861 | -0.1938 | -0.1934 | 0.0 | 0.1 |
| 029 | SLE q.p. | No | -0.1244 | -0.1246 | -0.1275 | -0.1273 | 0.0 | 0.0 |
| 030 | SLE q.p. | No | -0.1544 | -0.1546 | -0.1575 | -0.1573 | 0.0 | 0.0 |
| 031 | SLE q.p. | No | -0.1508 | -0.1511 | -0.1588 | -0.1584 | 0.0 | 0.1 |
| 032 | SLE q.p. | No | -0.1808 | -0.1811 | -0.1888 | -0.1884 | 0.0 | 0.1 |
| 033 | SLV A1 | Si | -0.1830 | -0.1840 | -0.1933 | -0.1946 | 27.7 | 24.3 |
| 034 | SLV A1 | Si | -0.1643 | -0.1659 | -0.1603 | -0.1611 | 39.5 | 8.1 |
| 035 | SLV A1 | Si | -0.1972 | -0.1963 | -0.2173 | -0.2157 | -39.5 | -8.0 |
| 036 | SLV A1 | Si | -0.1785 | -0.1781 | -0.1843 | -0.1822 | -27.8 | -24.2 |
| 037 | SLV A1 | Si | -0.1830 | -0.1841 | -0.1934 | -0.1946 | 39.2 | 24.7 |
| 038 | SLV A1 | Si | -0.1643 | -0.1658 | -0.1602 | -0.1610 | 27.9 | 7.7 |
| 039 | SLV A1 | Si | -0.1972 | -0.1963 | -0.2174 | -0.2157 | -28.0 | -7.6 |
| 040 | SLV A1 | Si | -0.1785 | -0.1781 | -0.1842 | -0.1821 | -39.3 | -24.6 |
| 041 | SLV A1 | Si | -0.1809 | -0.1806 | -0.1865 | -0.1883 | 29.2 | 28.0 |
| 042 | SLV A1 | Si | -0.1623 | -0.1625 | -0.1536 | -0.1547 | 41.0 | 11.8 |
| 043 | SLV A1 | Si | -0.1992 | -0.1997 | -0.2241 | -0.2220 | -41.1 | -11.6 |
| 044 | SLV A1 | Si | -0.1806 | -0.1815 | -0.1911 | -0.1885 | -29.3 | -27.9 |
| 045 | SLV A1 | Si | -0.1810 | -0.1806 | -0.1866 | -0.1883 | 40.8 | 28.4 |
| 046 | SLV A1 | Si | -0.1623 | -0.1624 | -0.1535 | -0.1547 | 29.5 | 11.4 |
| 047 | SLV A1 | Si | -0.1992 | -0.1997 | -0.2242 | -0.2221 | -29.5 | -11.3 |
| 048 | SLV A1 | Si | -0.1805 | -0.1815 | -0.1910 | -0.1884 | -40.8 | -28.2 |
| 049 | SLV A1 | Si | -0.2097 | -0.2095 | -0.2402 | -0.2411 | -9.6 | 32.0 |
| 050 | SLV A1 | Si | -0.1476 | -0.1490 | -0.1302 | -0.1293 | 29.7 | -22.2 |
| 051 | SLV A1 | Si | -0.2139 | -0.2131 | -0.2474 | -0.2474 | -29.8 | 22.3 |
| 052 | SLV A1 | Si | -0.1518 | -0.1527 | -0.1374 | -0.1357 | 9.5 | -31.9 |
| 053 | SLV A1 | Si | -0.2091 | -0.2084 | -0.2381 | -0.2392 | -9.1 | 33.1 |
| 054 | SLV A1 | Si | -0.1470 | -0.1480 | -0.1282 | -0.1274 | 30.2 | -21.1 |
| 055 | SLV A1 | Si | -0.2145 | -0.2142 | -0.2494 | -0.2493 | -30.2 | 21.2 |
| 056 | SLV A1 | Si | -0.1524 | -0.1537 | -0.1395 | -0.1376 | 9.1 | -33.0 |
| 057 | SLV A1 | Si | -0.2097 | -0.2096 | -0.2405 | -0.2413 | 28.9 | 33.1 |
| 058 | SLV A1 | Si | -0.1475 | -0.1489 | -0.1299 | -0.1292 | -8.7 | -23.3 |
| 059 | SLV A1 | Si | -0.2140 | -0.2133 | -0.2477 | -0.2476 | 8.7 | 23.4 |
| 060 | SLV A1 | Si | -0.1518 | -0.1525 | -0.1371 | -0.1355 | -28.9 | -33.0 |
| 061 | SLV A1 | Si | -0.2091 | -0.2086 | -0.2385 | -0.2394 | 29.3 | 34.2 |
| 062 | SLV A1 | Si | -0.1469 | -0.1478 | -0.1279 | -0.1273 | -8.3 | -22.2 |
| 063 | SLV A1 | Si | -0.2146 | -0.2143 | -0.2497 | -0.2495 | 8.2 | 22.3 |
| 064 | SLV A1 | Si | -0.1524 | -0.1536 | -0.1392 | -0.1374 | -29.4 | -34.1 |
| 065 | SLD | Si | -0.1818 | -0.1824 | -0.1909 | -0.1912 | 12.5 | 11.1 |
| 066 | SLD | Si | -0.1733 | -0.1742 | -0.1758 | -0.1759 | 17.9 | 3.7 |
| 067 | SLD | Si | -0.1882 | -0.1880 | -0.2018 | -0.2008 | -17.9 | -3.6 |
| 068 | SLD | Si | -0.1797 | -0.1797 | -0.1867 | -0.1855 | -12.6 | -10.9 |
| 069 | SLD | Si | -0.1818 | -0.1825 | -0.1909 | -0.1913 | 17.8 | 11.2 |

| | | | |
|--------------------------------------|------------------------------------------------------------------------------------------------------------------------------|----------------------------------------------------------------------------------|-------------|
| COMMITTENTE: Mecca Antonio | CODICE COMMESSA: | NOME ELABORATO: S1.5 - Relazione Geotecnica e delle Fondazioni | CONSULENTE: |
| DATA: Aprile 2023 | TITOLO: Lavori ultimazione di un fabbricato adibito ad albergo-ristorante- C.da Case Nuove Chicone Avigliano (PZ) | | |

| | | | | | | | | |
|-----|-----|----|---------|---------|---------|---------|-------|-------|
| 070 | SLD | Si | -0.1733 | -0.1741 | -0.1758 | -0.1759 | 12.6 | 3.5 |
| 071 | SLD | Si | -0.1882 | -0.1880 | -0.2018 | -0.2008 | -12.7 | -3.4 |
| 072 | SLD | Si | -0.1797 | -0.1797 | -0.1867 | -0.1855 | -17.8 | -11.1 |
| 073 | SLD | Si | -0.1809 | -0.1809 | -0.1878 | -0.1883 | 13.2 | 12.7 |
| 074 | SLD | Si | -0.1724 | -0.1726 | -0.1728 | -0.1730 | 18.6 | 5.4 |
| 075 | SLD | Si | -0.1892 | -0.1895 | -0.2049 | -0.2037 | -18.6 | -5.2 |
| 076 | SLD | Si | -0.1806 | -0.1813 | -0.1898 | -0.1884 | -13.3 | -12.6 |
| 077 | SLD | Si | -0.1809 | -0.1809 | -0.1878 | -0.1884 | 18.5 | 12.9 |
| 078 | SLD | Si | -0.1723 | -0.1726 | -0.1727 | -0.1730 | 13.3 | 5.2 |
| 079 | SLD | Si | -0.1892 | -0.1896 | -0.2049 | -0.2037 | -13.4 | -5.1 |
| 080 | SLD | Si | -0.1806 | -0.1812 | -0.1898 | -0.1884 | -18.5 | -12.8 |
| 081 | SLD | Si | -0.1940 | -0.1940 | -0.2123 | -0.2124 | -4.4 | 14.6 |
| 082 | SLD | Si | -0.1656 | -0.1664 | -0.1621 | -0.1614 | 13.5 | -10.1 |
| 083 | SLD | Si | -0.1959 | -0.1957 | -0.2155 | -0.2153 | -13.5 | 10.2 |
| 084 | SLD | Si | -0.1675 | -0.1681 | -0.1654 | -0.1643 | 4.4 | -14.4 |
| 085 | SLD | Si | -0.1937 | -0.1936 | -0.2113 | -0.2116 | -4.2 | 15.1 |
| 086 | SLD | Si | -0.1653 | -0.1660 | -0.1612 | -0.1606 | 13.7 | -9.6 |
| 087 | SLD | Si | -0.1962 | -0.1962 | -0.2165 | -0.2162 | -13.8 | 9.7 |
| 088 | SLD | Si | -0.1678 | -0.1686 | -0.1663 | -0.1652 | 4.1 | -15.0 |
| 089 | SLD | Si | -0.1940 | -0.1941 | -0.2124 | -0.2125 | 13.1 | 15.1 |
| 090 | SLD | Si | -0.1656 | -0.1664 | -0.1620 | -0.1614 | -4.0 | -10.6 |
| 091 | SLD | Si | -0.1959 | -0.1958 | -0.2157 | -0.2154 | 4.0 | 10.7 |
| 092 | SLD | Si | -0.1675 | -0.1680 | -0.1652 | -0.1642 | -13.1 | -15.0 |
| 093 | SLD | Si | -0.1937 | -0.1936 | -0.2115 | -0.2116 | 13.3 | 15.6 |
| 094 | SLD | Si | -0.1653 | -0.1659 | -0.1610 | -0.1605 | -3.8 | -10.1 |
| 095 | SLD | Si | -0.1962 | -0.1962 | -0.2166 | -0.2163 | 3.7 | 10.2 |
| 096 | SLD | Si | -0.1678 | -0.1685 | -0.1661 | -0.1651 | -13.4 | -15.5 |
| 097 | SLO | Si | -0.1815 | -0.1821 | -0.1904 | -0.1906 | 9.9 | 8.8 |
| 098 | SLO | Si | -0.1749 | -0.1756 | -0.1786 | -0.1786 | 14.2 | 2.9 |
| 099 | SLO | Si | -0.1866 | -0.1865 | -0.1990 | -0.1982 | -14.2 | -2.8 |
| 100 | SLO | Si | -0.1800 | -0.1800 | -0.1872 | -0.1862 | -10.0 | -8.6 |
| 101 | SLO | Si | -0.1816 | -0.1822 | -0.1905 | -0.1907 | 14.1 | 8.9 |
| 102 | SLO | Si | -0.1748 | -0.1756 | -0.1785 | -0.1785 | 10.0 | 2.8 |
| 103 | SLO | Si | -0.1867 | -0.1866 | -0.1991 | -0.1983 | -10.1 | -2.7 |
| 104 | SLO | Si | -0.1799 | -0.1800 | -0.1871 | -0.1861 | -14.1 | -8.8 |
| 105 | SLO | Si | -0.1808 | -0.1809 | -0.1880 | -0.1883 | 10.5 | 10.1 |
| 106 | SLO | Si | -0.1741 | -0.1744 | -0.1762 | -0.1763 | 14.7 | 4.3 |
| 107 | SLO | Si | -0.1874 | -0.1877 | -0.2015 | -0.2004 | -14.8 | -4.2 |
| 108 | SLO | Si | -0.1807 | -0.1812 | -0.1897 | -0.1884 | -10.6 | -10.0 |
| 109 | SLO | Si | -0.1809 | -0.1809 | -0.1881 | -0.1884 | 14.7 | 10.2 |
| 110 | SLO | Si | -0.1741 | -0.1743 | -0.1761 | -0.1762 | 10.6 | 4.1 |
| 111 | SLO | Si | -0.1874 | -0.1878 | -0.2016 | -0.2005 | -10.6 | -4.0 |
| 112 | SLO | Si | -0.1806 | -0.1812 | -0.1895 | -0.1884 | -14.7 | -10.1 |
| 113 | SLO | Si | -0.1911 | -0.1912 | -0.2072 | -0.2072 | -3.5 | 11.5 |
| 114 | SLO | Si | -0.1689 | -0.1696 | -0.1678 | -0.1672 | 10.6 | -7.9 |
| 115 | SLO | Si | -0.1926 | -0.1926 | -0.2098 | -0.2095 | -10.7 | 8.0 |
| 116 | SLO | Si | -0.1704 | -0.1709 | -0.1704 | -0.1695 | 3.4 | -11.4 |
| 117 | SLO | Si | -0.1909 | -0.1909 | -0.2065 | -0.2066 | -3.3 | 11.9 |
| 118 | SLO | Si | -0.1686 | -0.1692 | -0.1671 | -0.1665 | 10.8 | -7.5 |
| 119 | SLO | Si | -0.1929 | -0.1929 | -0.2105 | -0.2102 | -10.9 | 7.6 |
| 120 | SLO | Si | -0.1706 | -0.1713 | -0.1711 | -0.1702 | 3.2 | -11.8 |
| 121 | SLO | Si | -0.1912 | -0.1914 | -0.2075 | -0.2075 | 10.4 | 12.0 |
| 122 | SLO | Si | -0.1687 | -0.1694 | -0.1675 | -0.1669 | -3.2 | -8.4 |
| 123 | SLO | Si | -0.1928 | -0.1927 | -0.2101 | -0.2098 | 3.1 | 8.5 |
| 124 | SLO | Si | -0.1703 | -0.1707 | -0.1701 | -0.1692 | -10.4 | -11.9 |
| 125 | SLO | Si | -0.1910 | -0.1910 | -0.2068 | -0.2069 | 10.6 | 12.4 |
| 126 | SLO | Si | -0.1685 | -0.1690 | -0.1668 | -0.1662 | -3.0 | -8.0 |
| 127 | SLO | Si | -0.1930 | -0.1931 | -0.2109 | -0.2105 | 3.0 | 8.1 |
| 128 | SLO | Si | -0.1705 | -0.1711 | -0.1708 | -0.1699 | -10.6 | -12.3 |

Elemento: Platea n. 87

| Cmb | Tipo | Sism. | Press. N1 | Press. N2 | Press. N3 | Press. N4 | S. Taglio X | S. Taglio Y |
|-----|---------|-------|---------------------|---------------------|---------------------|---------------------|-------------|-------------|
| n. | | | daN/cm ² | daN/cm ² | daN/cm ² | daN/cm ² | daN | daN |
| 001 | SLU STR | No | -0.1590 | -0.1600 | -0.1646 | -0.1629 | 0.0 | 0.0 |
| 002 | SLU STR | No | -0.2115 | -0.2125 | -0.2171 | -0.2154 | 0.0 | 0.0 |
| 003 | SLU STR | No | -0.2089 | -0.2129 | -0.2312 | -0.2243 | -0.1 | 0.0 |
| 004 | SLU STR | No | -0.2614 | -0.2654 | -0.2837 | -0.2768 | -0.1 | 0.0 |
| 005 | SLU STR | No | -0.1178 | -0.1185 | -0.1217 | -0.1205 | 0.0 | 0.0 |
| 006 | SLU STR | No | -0.1703 | -0.1710 | -0.1742 | -0.1730 | 0.0 | 0.0 |
| 007 | SLU STR | No | -0.1677 | -0.1714 | -0.1883 | -0.1820 | -0.1 | 0.0 |
| 008 | SLU STR | No | -0.2202 | -0.2239 | -0.2408 | -0.2345 | -0.1 | 0.0 |

Relazione Geotecnica e delle Fondazioni

| | | | | | | | | |
|-----|----------|----|---------|---------|---------|---------|-------|-------|
| 009 | SLU STR | No | -0.2340 | -0.2350 | -0.2396 | -0.2379 | 0.0 | 0.0 |
| 010 | SLU STR | No | -0.1940 | -0.1970 | -0.2112 | -0.2059 | -0.1 | 0.0 |
| 011 | SLU STR | No | -0.2690 | -0.2720 | -0.2862 | -0.2809 | -0.1 | 0.0 |
| 012 | SLU STR | No | -0.1928 | -0.1935 | -0.1967 | -0.1955 | 0.0 | 0.0 |
| 013 | SLU STR | No | -0.1527 | -0.1555 | -0.1684 | -0.1635 | -0.1 | 0.0 |
| 014 | SLU STR | No | -0.2277 | -0.2305 | -0.2434 | -0.2385 | -0.1 | 0.0 |
| 015 | SLE rare | No | -0.1204 | -0.1211 | -0.1245 | -0.1232 | 0.0 | 0.0 |
| 016 | SLE rare | No | -0.1554 | -0.1561 | -0.1595 | -0.1582 | 0.0 | 0.0 |
| 017 | SLE rare | No | -0.1536 | -0.1563 | -0.1689 | -0.1642 | -0.1 | 0.0 |
| 018 | SLE rare | No | -0.1886 | -0.1913 | -0.2039 | -0.1992 | -0.1 | 0.0 |
| 019 | SLE rare | No | -0.1704 | -0.1711 | -0.1745 | -0.1732 | 0.0 | 0.0 |
| 020 | SLE rare | No | -0.1437 | -0.1458 | -0.1556 | -0.1519 | -0.1 | 0.0 |
| 021 | SLE rare | No | -0.1937 | -0.1958 | -0.2056 | -0.2019 | -0.1 | 0.0 |
| 022 | SLE freq | No | -0.1204 | -0.1211 | -0.1245 | -0.1232 | 0.0 | 0.0 |
| 023 | SLE freq | No | -0.1504 | -0.1511 | -0.1545 | -0.1532 | 0.0 | 0.0 |
| 024 | SLE freq | No | -0.1437 | -0.1458 | -0.1556 | -0.1519 | -0.1 | 0.0 |
| 025 | SLE freq | No | -0.1737 | -0.1758 | -0.1856 | -0.1819 | -0.1 | 0.0 |
| 026 | SLE freq | No | -0.1554 | -0.1561 | -0.1595 | -0.1582 | 0.0 | 0.0 |
| 027 | SLE freq | No | -0.1403 | -0.1422 | -0.1511 | -0.1478 | 0.0 | 0.0 |
| 028 | SLE freq | No | -0.1753 | -0.1772 | -0.1861 | -0.1828 | 0.0 | 0.0 |
| 029 | SLE q.p. | No | -0.1204 | -0.1211 | -0.1245 | -0.1232 | 0.0 | 0.0 |
| 030 | SLE q.p. | No | -0.1504 | -0.1511 | -0.1545 | -0.1532 | 0.0 | 0.0 |
| 031 | SLE q.p. | No | -0.1403 | -0.1422 | -0.1511 | -0.1478 | 0.0 | 0.0 |
| 032 | SLE q.p. | No | -0.1703 | -0.1722 | -0.1811 | -0.1778 | 0.0 | 0.0 |
| 033 | SLV A1 | Si | -0.1439 | -0.1553 | -0.1800 | -0.1659 | 31.4 | 38.2 |
| 034 | SLV A1 | Si | -0.1510 | -0.1593 | -0.1606 | -0.1534 | 37.3 | 20.7 |
| 035 | SLV A1 | Si | -0.1897 | -0.1851 | -0.2017 | -0.2022 | -37.4 | -20.7 |
| 036 | SLV A1 | Si | -0.1968 | -0.1892 | -0.1822 | -0.1897 | -31.5 | -38.2 |
| 037 | SLV A1 | Si | -0.1437 | -0.1552 | -0.1800 | -0.1658 | 34.9 | 38.7 |
| 038 | SLV A1 | Si | -0.1512 | -0.1594 | -0.1606 | -0.1535 | 33.8 | 20.2 |
| 039 | SLV A1 | Si | -0.1895 | -0.1851 | -0.2016 | -0.2021 | -33.8 | -20.1 |
| 040 | SLV A1 | Si | -0.1970 | -0.1893 | -0.1822 | -0.1898 | -35.0 | -38.7 |
| 041 | SLV A1 | Si | -0.1434 | -0.1555 | -0.1795 | -0.1667 | 32.2 | 43.4 |
| 042 | SLV A1 | Si | -0.1505 | -0.1596 | -0.1601 | -0.1543 | 38.0 | 25.9 |
| 043 | SLV A1 | Si | -0.1902 | -0.1849 | -0.2022 | -0.2013 | -38.1 | -25.8 |
| 044 | SLV A1 | Si | -0.1973 | -0.1890 | -0.1827 | -0.1889 | -32.3 | -43.4 |
| 045 | SLV A1 | Si | -0.1432 | -0.1554 | -0.1795 | -0.1667 | 35.7 | 43.9 |
| 046 | SLV A1 | Si | -0.1507 | -0.1596 | -0.1601 | -0.1543 | 34.5 | 25.4 |
| 047 | SLV A1 | Si | -0.1900 | -0.1848 | -0.2021 | -0.2012 | -34.6 | -25.3 |
| 048 | SLV A1 | Si | -0.1975 | -0.1890 | -0.1827 | -0.1889 | -35.8 | -43.9 |
| 049 | SLV A1 | Si | -0.1516 | -0.1610 | -0.2103 | -0.1931 | 0.5 | 38.1 |
| 050 | SLV A1 | Si | -0.1753 | -0.1746 | -0.1454 | -0.1516 | 20.0 | -20.4 |
| 051 | SLV A1 | Si | -0.1653 | -0.1699 | -0.2168 | -0.2040 | -20.1 | 20.4 |
| 052 | SLV A1 | Si | -0.1891 | -0.1835 | -0.1519 | -0.1625 | -0.6 | -38.0 |
| 053 | SLV A1 | Si | -0.1514 | -0.1610 | -0.2102 | -0.1933 | 0.8 | 39.6 |
| 054 | SLV A1 | Si | -0.1752 | -0.1746 | -0.1453 | -0.1519 | 20.2 | -18.8 |
| 055 | SLV A1 | Si | -0.1655 | -0.1698 | -0.2170 | -0.2037 | -20.3 | 18.8 |
| 056 | SLV A1 | Si | -0.1892 | -0.1834 | -0.1521 | -0.1622 | -0.9 | -39.6 |
| 057 | SLV A1 | Si | -0.1509 | -0.1608 | -0.2102 | -0.1929 | 12.3 | 39.8 |
| 058 | SLV A1 | Si | -0.1760 | -0.1748 | -0.1455 | -0.1518 | 8.3 | -22.1 |
| 059 | SLV A1 | Si | -0.1647 | -0.1697 | -0.2167 | -0.2038 | -8.4 | 22.1 |
| 060 | SLV A1 | Si | -0.1897 | -0.1837 | -0.1520 | -0.1627 | -12.4 | -39.7 |
| 061 | SLV A1 | Si | -0.1508 | -0.1608 | -0.2101 | -0.1932 | 12.5 | 41.3 |
| 062 | SLV A1 | Si | -0.1758 | -0.1748 | -0.1454 | -0.1521 | 8.5 | -20.5 |
| 063 | SLV A1 | Si | -0.1648 | -0.1696 | -0.2169 | -0.2035 | -8.6 | 20.6 |
| 064 | SLV A1 | Si | -0.1899 | -0.1836 | -0.1522 | -0.1624 | -12.6 | -41.3 |
| 065 | SLD | Si | -0.1583 | -0.1645 | -0.1807 | -0.1724 | 14.2 | 17.3 |
| 066 | SLD | Si | -0.1616 | -0.1664 | -0.1718 | -0.1667 | 16.8 | 9.4 |
| 067 | SLD | Si | -0.1791 | -0.1781 | -0.1905 | -0.1888 | -16.9 | -9.3 |
| 068 | SLD | Si | -0.1823 | -0.1799 | -0.1816 | -0.1832 | -14.3 | -17.3 |
| 069 | SLD | Si | -0.1583 | -0.1645 | -0.1806 | -0.1724 | 15.8 | 17.5 |
| 070 | SLD | Si | -0.1617 | -0.1664 | -0.1718 | -0.1668 | 15.2 | 9.1 |
| 071 | SLD | Si | -0.1790 | -0.1780 | -0.1904 | -0.1888 | -15.3 | -9.1 |
| 072 | SLD | Si | -0.1824 | -0.1799 | -0.1816 | -0.1832 | -15.9 | -17.5 |
| 073 | SLD | Si | -0.1581 | -0.1646 | -0.1804 | -0.1728 | 14.5 | 19.7 |
| 074 | SLD | Si | -0.1613 | -0.1665 | -0.1715 | -0.1671 | 17.2 | 11.7 |
| 075 | SLD | Si | -0.1793 | -0.1780 | -0.1907 | -0.1885 | -17.3 | -11.7 |
| 076 | SLD | Si | -0.1826 | -0.1798 | -0.1818 | -0.1828 | -14.6 | -19.6 |
| 077 | SLD | Si | -0.1580 | -0.1646 | -0.1804 | -0.1728 | 16.2 | 19.9 |
| 078 | SLD | Si | -0.1614 | -0.1665 | -0.1715 | -0.1671 | 15.6 | 11.5 |
| 079 | SLD | Si | -0.1792 | -0.1779 | -0.1907 | -0.1884 | -15.7 | -11.5 |
| 080 | SLD | Si | -0.1826 | -0.1798 | -0.1818 | -0.1828 | -16.2 | -19.9 |
| 081 | SLD | Si | -0.1618 | -0.1671 | -0.1944 | -0.1848 | 0.2 | 17.2 |
| 082 | SLD | Si | -0.1726 | -0.1733 | -0.1648 | -0.1659 | 9.0 | -9.2 |

| | | | |
|--------------------------------------|----------------------------------------------------------------------------------------------------------------------|----------------------------------------------------------------------------------|-------------|
| COMMITTENTE: Mecca Antonio | CODICE COMMESSA: | NOME ELABORATO: S1.5 - Relazione Geotecnica e delle Fondazioni | CONSULENTE: |
| DATA: Aprile 2023 | TITOLO: Lavori ultimazione di un fabbricato adibito ad albergo-ristorante- C.da Case Nuove Chicone Avigliano (PZ) | | |

| | | | | | | | | |
|-----|-----|----|---------|---------|---------|---------|-------|-------|
| 083 | SLD | Si | -0.1680 | -0.1712 | -0.1974 | -0.1897 | -9.1 | 9.2 |
| 084 | SLD | Si | -0.1788 | -0.1773 | -0.1678 | -0.1708 | -0.3 | -17.2 |
| 085 | SLD | Si | -0.1618 | -0.1672 | -0.1944 | -0.1849 | 0.3 | 17.9 |
| 086 | SLD | Si | -0.1725 | -0.1733 | -0.1648 | -0.1660 | 9.2 | -8.5 |
| 087 | SLD | Si | -0.1681 | -0.1712 | -0.1975 | -0.1896 | -9.2 | 8.5 |
| 088 | SLD | Si | -0.1789 | -0.1773 | -0.1679 | -0.1707 | -0.4 | -17.9 |
| 089 | SLD | Si | -0.1615 | -0.1670 | -0.1944 | -0.1847 | 5.5 | 18.0 |
| 090 | SLD | Si | -0.1729 | -0.1734 | -0.1649 | -0.1660 | 3.7 | -10.0 |
| 091 | SLD | Si | -0.1678 | -0.1711 | -0.1973 | -0.1896 | -3.8 | 10.0 |
| 092 | SLD | Si | -0.1791 | -0.1774 | -0.1678 | -0.1709 | -5.6 | -18.0 |
| 093 | SLD | Si | -0.1615 | -0.1671 | -0.1943 | -0.1848 | 5.6 | 18.7 |
| 094 | SLD | Si | -0.1728 | -0.1734 | -0.1648 | -0.1661 | 3.8 | -9.3 |
| 095 | SLD | Si | -0.1678 | -0.1711 | -0.1974 | -0.1895 | -3.9 | 9.3 |
| 096 | SLD | Si | -0.1792 | -0.1774 | -0.1679 | -0.1708 | -5.7 | -18.7 |
| 097 | SLO | Si | -0.1608 | -0.1661 | -0.1807 | -0.1735 | 11.3 | 13.7 |
| 098 | SLO | Si | -0.1634 | -0.1676 | -0.1737 | -0.1690 | 13.4 | 7.5 |
| 099 | SLO | Si | -0.1773 | -0.1769 | -0.1885 | -0.1865 | -13.4 | -7.4 |
| 100 | SLO | Si | -0.1798 | -0.1783 | -0.1815 | -0.1821 | -11.3 | -13.7 |
| 101 | SLO | Si | -0.1608 | -0.1661 | -0.1807 | -0.1735 | 12.5 | 13.9 |
| 102 | SLO | Si | -0.1635 | -0.1676 | -0.1737 | -0.1690 | 12.1 | 7.3 |
| 103 | SLO | Si | -0.1772 | -0.1768 | -0.1885 | -0.1865 | -12.2 | -7.2 |
| 104 | SLO | Si | -0.1799 | -0.1783 | -0.1815 | -0.1821 | -12.6 | -13.9 |
| 105 | SLO | Si | -0.1606 | -0.1662 | -0.1805 | -0.1738 | 11.5 | 15.6 |
| 106 | SLO | Si | -0.1632 | -0.1677 | -0.1736 | -0.1693 | 13.6 | 9.3 |
| 107 | SLO | Si | -0.1775 | -0.1768 | -0.1887 | -0.1862 | -13.7 | -9.3 |
| 108 | SLO | Si | -0.1800 | -0.1783 | -0.1817 | -0.1818 | -11.6 | -15.6 |
| 109 | SLO | Si | -0.1606 | -0.1662 | -0.1806 | -0.1738 | 12.8 | 15.8 |
| 110 | SLO | Si | -0.1633 | -0.1677 | -0.1735 | -0.1693 | 12.4 | 9.1 |
| 111 | SLO | Si | -0.1774 | -0.1768 | -0.1887 | -0.1862 | -12.5 | -9.1 |
| 112 | SLO | Si | -0.1801 | -0.1783 | -0.1817 | -0.1818 | -12.9 | -15.7 |
| 113 | SLO | Si | -0.1636 | -0.1682 | -0.1916 | -0.1833 | 0.2 | 13.6 |
| 114 | SLO | Si | -0.1721 | -0.1731 | -0.1683 | -0.1684 | 7.1 | -7.2 |
| 115 | SLO | Si | -0.1685 | -0.1714 | -0.1939 | -0.1872 | -7.2 | 7.3 |
| 116 | SLO | Si | -0.1771 | -0.1763 | -0.1707 | -0.1723 | -0.3 | -13.6 |
| 117 | SLO | Si | -0.1635 | -0.1682 | -0.1915 | -0.1834 | 0.3 | 14.2 |
| 118 | SLO | Si | -0.1721 | -0.1731 | -0.1683 | -0.1685 | 7.2 | -6.7 |
| 119 | SLO | Si | -0.1686 | -0.1714 | -0.1940 | -0.1871 | -7.3 | 6.7 |
| 120 | SLO | Si | -0.1771 | -0.1763 | -0.1707 | -0.1722 | -0.3 | -14.1 |
| 121 | SLO | Si | -0.1634 | -0.1681 | -0.1917 | -0.1833 | 4.4 | 14.3 |
| 122 | SLO | Si | -0.1724 | -0.1731 | -0.1682 | -0.1684 | 2.9 | -7.9 |
| 123 | SLO | Si | -0.1683 | -0.1713 | -0.1940 | -0.1872 | -3.0 | 7.9 |
| 124 | SLO | Si | -0.1773 | -0.1764 | -0.1706 | -0.1723 | -4.5 | -14.2 |
| 125 | SLO | Si | -0.1633 | -0.1681 | -0.1916 | -0.1834 | 4.5 | 14.8 |
| 126 | SLO | Si | -0.1723 | -0.1732 | -0.1682 | -0.1685 | 3.0 | -7.3 |
| 127 | SLO | Si | -0.1683 | -0.1713 | -0.1941 | -0.1871 | -3.1 | 7.4 |
| 128 | SLO | Si | -0.1774 | -0.1763 | -0.1706 | -0.1722 | -4.6 | -14.8 |

Elemento: Platea n. 88

| Cmb | Tipo | Sism. | Press. N1 | Press. N2 | Press. N3 | Press. N4 | S. Taglio X | S. Taglio Y |
|-----|----------|-------|---------------------|---------------------|---------------------|---------------------|-------------|-------------|
| n. | | | daN/cm ² | daN/cm ² | daN/cm ² | daN/cm ² | daN | daN |
| 001 | SLU STR | No | -0.1601 | -0.1594 | -0.1630 | -0.1634 | 0.0 | 0.0 |
| 002 | SLU STR | No | -0.2126 | -0.2119 | -0.2155 | -0.2159 | 0.0 | 0.0 |
| 003 | SLU STR | No | -0.2122 | -0.2098 | -0.2245 | -0.2257 | -0.1 | -0.1 |
| 004 | SLU STR | No | -0.2647 | -0.2623 | -0.2770 | -0.2782 | -0.1 | -0.1 |
| 005 | SLU STR | No | -0.1186 | -0.1181 | -0.1206 | -0.1210 | 0.0 | 0.0 |
| 006 | SLU STR | No | -0.1711 | -0.1706 | -0.1731 | -0.1735 | 0.0 | 0.0 |
| 007 | SLU STR | No | -0.1707 | -0.1685 | -0.1821 | -0.1832 | -0.1 | -0.1 |
| 008 | SLU STR | No | -0.2232 | -0.2210 | -0.2346 | -0.2357 | -0.1 | -0.1 |
| 009 | SLU STR | No | -0.2351 | -0.2344 | -0.2380 | -0.2384 | 0.0 | 0.0 |
| 010 | SLU STR | No | -0.1966 | -0.1947 | -0.2061 | -0.2070 | -0.1 | -0.1 |
| 011 | SLU STR | No | -0.2716 | -0.2697 | -0.2811 | -0.2820 | -0.1 | -0.1 |
| 012 | SLU STR | No | -0.1936 | -0.1931 | -0.1956 | -0.1960 | 0.0 | 0.0 |
| 013 | SLU STR | No | -0.1551 | -0.1534 | -0.1637 | -0.1646 | -0.1 | -0.1 |
| 014 | SLU STR | No | -0.2301 | -0.2284 | -0.2387 | -0.2396 | -0.1 | -0.1 |
| 015 | SLE rare | No | -0.1212 | -0.1206 | -0.1233 | -0.1237 | 0.0 | 0.0 |
| 016 | SLE rare | No | -0.1562 | -0.1556 | -0.1583 | -0.1587 | 0.0 | 0.0 |
| 017 | SLE rare | No | -0.1559 | -0.1543 | -0.1643 | -0.1652 | -0.1 | -0.1 |
| 018 | SLE rare | No | -0.1909 | -0.1893 | -0.1993 | -0.2002 | -0.1 | -0.1 |
| 019 | SLE rare | No | -0.1712 | -0.1706 | -0.1733 | -0.1737 | 0.0 | 0.0 |
| 020 | SLE rare | No | -0.1455 | -0.1442 | -0.1520 | -0.1527 | 0.0 | -0.1 |
| 021 | SLE rare | No | -0.1955 | -0.1942 | -0.2020 | -0.2027 | 0.0 | -0.1 |

Relazione Geotecnica e delle Fondazioni

| | | | | | | | | |
|-----|----------|----|---------|---------|---------|---------|-------|-------|
| 022 | SLE freq | No | -0.1212 | -0.1206 | -0.1233 | -0.1237 | 0.0 | 0.0 |
| 023 | SLE freq | No | -0.1512 | -0.1506 | -0.1533 | -0.1537 | 0.0 | 0.0 |
| 024 | SLE freq | No | -0.1455 | -0.1442 | -0.1520 | -0.1527 | 0.0 | -0.1 |
| 025 | SLE freq | No | -0.1755 | -0.1742 | -0.1820 | -0.1827 | 0.0 | -0.1 |
| 026 | SLE freq | No | -0.1562 | -0.1556 | -0.1583 | -0.1587 | 0.0 | 0.0 |
| 027 | SLE freq | No | -0.1420 | -0.1408 | -0.1479 | -0.1486 | 0.0 | -0.1 |
| 028 | SLE freq | No | -0.1770 | -0.1758 | -0.1829 | -0.1836 | 0.0 | -0.1 |
| 029 | SLE q.p. | No | -0.1212 | -0.1206 | -0.1233 | -0.1237 | 0.0 | 0.0 |
| 030 | SLE q.p. | No | -0.1512 | -0.1506 | -0.1533 | -0.1537 | 0.0 | 0.0 |
| 031 | SLE q.p. | No | -0.1420 | -0.1408 | -0.1479 | -0.1486 | 0.0 | -0.1 |
| 032 | SLE q.p. | No | -0.1720 | -0.1708 | -0.1779 | -0.1786 | 0.0 | -0.1 |
| 033 | SLV A1 | Si | -0.1326 | -0.1375 | -0.1595 | -0.1545 | 25.6 | 39.5 |
| 034 | SLV A1 | Si | -0.1419 | -0.1462 | -0.1474 | -0.1415 | 26.3 | 23.5 |
| 035 | SLV A1 | Si | -0.2021 | -0.1955 | -0.2085 | -0.2157 | -26.4 | -23.6 |
| 036 | SLV A1 | Si | -0.2114 | -0.2041 | -0.1963 | -0.2027 | -25.7 | -39.7 |
| 037 | SLV A1 | Si | -0.1323 | -0.1372 | -0.1595 | -0.1544 | 26.3 | 39.6 |
| 038 | SLV A1 | Si | -0.1422 | -0.1464 | -0.1474 | -0.1415 | 25.7 | 23.4 |
| 039 | SLV A1 | Si | -0.2018 | -0.1952 | -0.2084 | -0.2156 | -25.7 | -23.6 |
| 040 | SLV A1 | Si | -0.2117 | -0.2044 | -0.1964 | -0.2027 | -26.4 | -39.7 |
| 041 | SLV A1 | Si | -0.1320 | -0.1368 | -0.1604 | -0.1553 | 26.0 | 44.6 |
| 042 | SLV A1 | Si | -0.1413 | -0.1455 | -0.1483 | -0.1423 | 26.7 | 28.5 |
| 043 | SLV A1 | Si | -0.2027 | -0.1961 | -0.2076 | -0.2148 | -26.8 | -28.7 |
| 044 | SLV A1 | Si | -0.2120 | -0.2048 | -0.1954 | -0.2018 | -26.1 | -44.7 |
| 045 | SLV A1 | Si | -0.1317 | -0.1366 | -0.1604 | -0.1552 | 26.6 | 44.7 |
| 046 | SLV A1 | Si | -0.1416 | -0.1457 | -0.1483 | -0.1424 | 26.0 | 28.5 |
| 047 | SLV A1 | Si | -0.2024 | -0.1959 | -0.2075 | -0.2148 | -26.1 | -28.6 |
| 048 | SLV A1 | Si | -0.2123 | -0.2050 | -0.1955 | -0.2019 | -26.7 | -44.8 |
| 049 | SLV A1 | Si | -0.1460 | -0.1477 | -0.1908 | -0.1910 | 6.5 | 36.1 |
| 050 | SLV A1 | Si | -0.1772 | -0.1766 | -0.1503 | -0.1477 | 9.0 | -17.3 |
| 051 | SLV A1 | Si | -0.1669 | -0.1651 | -0.2055 | -0.2094 | -9.1 | 17.2 |
| 052 | SLV A1 | Si | -0.1980 | -0.1939 | -0.1650 | -0.1661 | -6.6 | -36.2 |
| 053 | SLV A1 | Si | -0.1458 | -0.1475 | -0.1911 | -0.1913 | 6.7 | 37.6 |
| 054 | SLV A1 | Si | -0.1770 | -0.1764 | -0.1506 | -0.1480 | 9.1 | -15.8 |
| 055 | SLV A1 | Si | -0.1670 | -0.1653 | -0.2053 | -0.2091 | -9.2 | 15.7 |
| 056 | SLV A1 | Si | -0.1982 | -0.1941 | -0.1647 | -0.1659 | -6.7 | -37.7 |
| 057 | SLV A1 | Si | -0.1450 | -0.1468 | -0.1906 | -0.1908 | 8.8 | 36.4 |
| 058 | SLV A1 | Si | -0.1781 | -0.1774 | -0.1505 | -0.1480 | 6.7 | -17.6 |
| 059 | SLV A1 | Si | -0.1659 | -0.1642 | -0.2053 | -0.2092 | -6.8 | 17.5 |
| 060 | SLV A1 | Si | -0.1990 | -0.1948 | -0.1652 | -0.1663 | -8.9 | -36.5 |
| 061 | SLV A1 | Si | -0.1449 | -0.1466 | -0.1909 | -0.1911 | 8.9 | 37.9 |
| 062 | SLV A1 | Si | -0.1780 | -0.1772 | -0.1508 | -0.1482 | 6.8 | -16.1 |
| 063 | SLV A1 | Si | -0.1661 | -0.1644 | -0.2051 | -0.2089 | -6.9 | 16.0 |
| 064 | SLV A1 | Si | -0.1992 | -0.1950 | -0.1650 | -0.1661 | -9.0 | -38.0 |
| 065 | SLD | Si | -0.1542 | -0.1557 | -0.1696 | -0.1677 | 11.6 | 17.8 |
| 066 | SLD | Si | -0.1584 | -0.1596 | -0.1641 | -0.1618 | 11.9 | 10.6 |
| 067 | SLD | Si | -0.1856 | -0.1820 | -0.1918 | -0.1954 | -12.0 | -10.7 |
| 068 | SLD | Si | -0.1899 | -0.1859 | -0.1862 | -0.1895 | -11.6 | -17.9 |
| 069 | SLD | Si | -0.1540 | -0.1556 | -0.1696 | -0.1676 | 11.9 | 17.9 |
| 070 | SLD | Si | -0.1585 | -0.1598 | -0.1641 | -0.1618 | 11.6 | 10.6 |
| 071 | SLD | Si | -0.1855 | -0.1819 | -0.1917 | -0.1954 | -11.7 | -10.7 |
| 072 | SLD | Si | -0.1900 | -0.1860 | -0.1863 | -0.1895 | -11.9 | -18.0 |
| 073 | SLD | Si | -0.1539 | -0.1554 | -0.1700 | -0.1680 | 11.7 | 20.1 |
| 074 | SLD | Si | -0.1581 | -0.1593 | -0.1645 | -0.1621 | 12.1 | 12.9 |
| 075 | SLD | Si | -0.1859 | -0.1823 | -0.1914 | -0.1950 | -12.2 | -13.0 |
| 076 | SLD | Si | -0.1902 | -0.1862 | -0.1859 | -0.1891 | -11.8 | -20.2 |
| 077 | SLD | Si | -0.1537 | -0.1553 | -0.1700 | -0.1680 | 12.1 | 20.2 |
| 078 | SLD | Si | -0.1582 | -0.1594 | -0.1645 | -0.1621 | 11.8 | 12.9 |
| 079 | SLD | Si | -0.1858 | -0.1822 | -0.1914 | -0.1950 | -11.8 | -13.0 |
| 080 | SLD | Si | -0.1903 | -0.1863 | -0.1859 | -0.1891 | -12.1 | -20.3 |
| 081 | SLD | Si | -0.1602 | -0.1603 | -0.1838 | -0.1843 | 2.9 | 16.2 |
| 082 | SLD | Si | -0.1743 | -0.1734 | -0.1654 | -0.1646 | 4.1 | -7.8 |
| 083 | SLD | Si | -0.1697 | -0.1682 | -0.1905 | -0.1926 | -4.1 | 7.7 |
| 084 | SLD | Si | -0.1838 | -0.1813 | -0.1720 | -0.1729 | -3.0 | -16.4 |
| 085 | SLD | Si | -0.1601 | -0.1602 | -0.1839 | -0.1844 | 3.0 | 16.9 |
| 086 | SLD | Si | -0.1743 | -0.1733 | -0.1655 | -0.1647 | 4.1 | -7.1 |
| 087 | SLD | Si | -0.1698 | -0.1683 | -0.1904 | -0.1925 | -4.2 | 7.0 |
| 088 | SLD | Si | -0.1839 | -0.1814 | -0.1719 | -0.1728 | -3.1 | -17.0 |
| 089 | SLD | Si | -0.1598 | -0.1599 | -0.1837 | -0.1842 | 4.0 | 16.4 |
| 090 | SLD | Si | -0.1748 | -0.1738 | -0.1655 | -0.1647 | 3.0 | -7.9 |
| 091 | SLD | Si | -0.1692 | -0.1678 | -0.1904 | -0.1925 | -3.1 | 7.8 |
| 092 | SLD | Si | -0.1842 | -0.1817 | -0.1721 | -0.1730 | -4.1 | -16.5 |
| 093 | SLD | Si | -0.1597 | -0.1598 | -0.1838 | -0.1843 | 4.0 | 17.1 |
| 094 | SLD | Si | -0.1747 | -0.1737 | -0.1656 | -0.1648 | 3.1 | -7.2 |
| 095 | SLD | Si | -0.1693 | -0.1679 | -0.1903 | -0.1924 | -3.1 | 7.1 |

| | | | |
|--------------------------------------|----------------------------------------------------------------------------------------------------------------------|----------------------------------------------------------------------------------|-------------|
| COMMITTENTE: Mecca Antonio | CODICE COMMESSA: | NOME ELABORATO: S1.5 - Relazione Geotecnica e delle Fondazioni | CONSULENTE: |
| DATA: Aprile 2023 | TITOLO: Lavori ultimazione di un fabbricato adibito ad albergo-ristorante- C.da Case Nuove Chicone Avigliano (PZ) | | |

| | | | | | | | | |
|-----|-----|----|---------|---------|---------|---------|------|-------|
| 096 | SLD | Si | -0.1843 | -0.1818 | -0.1720 | -0.1729 | -4.1 | -17.2 |
| 097 | SLO | Si | -0.1578 | -0.1588 | -0.1713 | -0.1699 | 9.2 | 14.1 |
| 098 | SLO | Si | -0.1612 | -0.1619 | -0.1670 | -0.1652 | 9.4 | 8.4 |
| 099 | SLO | Si | -0.1828 | -0.1797 | -0.1889 | -0.1919 | -9.5 | -8.5 |
| 100 | SLO | Si | -0.1862 | -0.1828 | -0.1845 | -0.1872 | -9.2 | -14.3 |
| 101 | SLO | Si | -0.1577 | -0.1587 | -0.1713 | -0.1699 | 9.4 | 14.2 |
| 102 | SLO | Si | -0.1613 | -0.1620 | -0.1670 | -0.1652 | 9.2 | 8.4 |
| 103 | SLO | Si | -0.1827 | -0.1796 | -0.1889 | -0.1919 | -9.3 | -8.5 |
| 104 | SLO | Si | -0.1863 | -0.1829 | -0.1845 | -0.1872 | -9.5 | -14.3 |
| 105 | SLO | Si | -0.1576 | -0.1586 | -0.1716 | -0.1702 | 9.3 | 16.0 |
| 106 | SLO | Si | -0.1610 | -0.1617 | -0.1673 | -0.1655 | 9.6 | 10.2 |
| 107 | SLO | Si | -0.1831 | -0.1799 | -0.1886 | -0.1916 | -9.7 | -10.4 |
| 108 | SLO | Si | -0.1864 | -0.1830 | -0.1842 | -0.1870 | -9.4 | -16.1 |
| 109 | SLO | Si | -0.1575 | -0.1585 | -0.1716 | -0.1702 | 9.6 | 16.0 |
| 110 | SLO | Si | -0.1611 | -0.1618 | -0.1673 | -0.1655 | 9.3 | 10.2 |
| 111 | SLO | Si | -0.1829 | -0.1798 | -0.1886 | -0.1916 | -9.4 | -10.3 |
| 112 | SLO | Si | -0.1865 | -0.1831 | -0.1842 | -0.1870 | -9.6 | -16.1 |
| 113 | SLO | Si | -0.1627 | -0.1625 | -0.1825 | -0.1830 | 2.3 | 12.9 |
| 114 | SLO | Si | -0.1739 | -0.1729 | -0.1680 | -0.1675 | 3.2 | -6.2 |
| 115 | SLO | Si | -0.1702 | -0.1688 | -0.1878 | -0.1896 | -3.3 | 6.1 |
| 116 | SLO | Si | -0.1814 | -0.1791 | -0.1733 | -0.1741 | -2.4 | -13.0 |
| 117 | SLO | Si | -0.1626 | -0.1624 | -0.1826 | -0.1831 | 2.4 | 13.4 |
| 118 | SLO | Si | -0.1738 | -0.1728 | -0.1681 | -0.1676 | 3.2 | -5.6 |
| 119 | SLO | Si | -0.1702 | -0.1688 | -0.1877 | -0.1895 | -3.3 | 5.5 |
| 120 | SLO | Si | -0.1814 | -0.1792 | -0.1732 | -0.1740 | -2.4 | -13.5 |
| 121 | SLO | Si | -0.1623 | -0.1622 | -0.1825 | -0.1830 | 3.1 | 13.0 |
| 122 | SLO | Si | -0.1742 | -0.1732 | -0.1680 | -0.1675 | 2.4 | -6.3 |
| 123 | SLO | Si | -0.1698 | -0.1684 | -0.1878 | -0.1896 | -2.5 | 6.2 |
| 124 | SLO | Si | -0.1817 | -0.1794 | -0.1733 | -0.1741 | -3.2 | -13.1 |
| 125 | SLO | Si | -0.1622 | -0.1621 | -0.1826 | -0.1831 | 3.2 | 13.5 |
| 126 | SLO | Si | -0.1741 | -0.1731 | -0.1681 | -0.1676 | 2.4 | -5.8 |
| 127 | SLO | Si | -0.1699 | -0.1685 | -0.1877 | -0.1895 | -2.5 | 5.6 |
| 128 | SLO | Si | -0.1818 | -0.1795 | -0.1732 | -0.1740 | -3.3 | -13.6 |

Elemento: Platea n. 89

| Cmb | Tipo | Sism. | Press. N1 | Press. N2 | Press. N3 | Press. N4 | S. Taglio X | S. Taglio Y |
|-----|----------|-------|---------------------|---------------------|---------------------|---------------------|-------------|-------------|
| n. | | | daN/cm ² | daN/cm ² | daN/cm ² | daN/cm ² | daN | daN |
| 001 | SLU STR | No | -0.1556 | -0.1583 | -0.1656 | -0.1617 | 0.0 | 0.0 |
| 002 | SLU STR | No | -0.2081 | -0.2108 | -0.2181 | -0.2142 | 0.0 | 0.0 |
| 003 | SLU STR | No | -0.1906 | -0.1988 | -0.2272 | -0.2146 | 0.1 | 0.1 |
| 004 | SLU STR | No | -0.2431 | -0.2513 | -0.2797 | -0.2671 | 0.1 | 0.1 |
| 005 | SLU STR | No | -0.1155 | -0.1174 | -0.1227 | -0.1198 | 0.0 | 0.0 |
| 006 | SLU STR | No | -0.1680 | -0.1699 | -0.1752 | -0.1723 | 0.0 | 0.0 |
| 007 | SLU STR | No | -0.1504 | -0.1579 | -0.1843 | -0.1727 | 0.1 | 0.1 |
| 008 | SLU STR | No | -0.2029 | -0.2104 | -0.2368 | -0.2252 | 0.1 | 0.1 |
| 009 | SLU STR | No | -0.2306 | -0.2333 | -0.2406 | -0.2367 | 0.0 | 0.0 |
| 010 | SLU STR | No | -0.1801 | -0.1866 | -0.2088 | -0.1987 | 0.1 | 0.0 |
| 011 | SLU STR | No | -0.2551 | -0.2616 | -0.2838 | -0.2737 | 0.1 | 0.0 |
| 012 | SLU STR | No | -0.1905 | -0.1924 | -0.1977 | -0.1948 | 0.0 | 0.0 |
| 013 | SLU STR | No | -0.1400 | -0.1458 | -0.1658 | -0.1569 | 0.1 | 0.0 |
| 014 | SLU STR | No | -0.2150 | -0.2208 | -0.2408 | -0.2319 | 0.1 | 0.0 |
| 015 | SLE rare | No | -0.1179 | -0.1199 | -0.1253 | -0.1224 | 0.0 | 0.0 |
| 016 | SLE rare | No | -0.1529 | -0.1549 | -0.1603 | -0.1574 | 0.0 | 0.0 |
| 017 | SLE rare | No | -0.1412 | -0.1469 | -0.1664 | -0.1577 | 0.1 | 0.0 |
| 018 | SLE rare | No | -0.1762 | -0.1819 | -0.2014 | -0.1927 | 0.1 | 0.0 |
| 019 | SLE rare | No | -0.1679 | -0.1699 | -0.1753 | -0.1724 | 0.0 | 0.0 |
| 020 | SLE rare | No | -0.1342 | -0.1388 | -0.1541 | -0.1471 | 0.1 | 0.0 |
| 021 | SLE rare | No | -0.1842 | -0.1888 | -0.2041 | -0.1971 | 0.1 | 0.0 |
| 022 | SLE freq | No | -0.1179 | -0.1199 | -0.1253 | -0.1224 | 0.0 | 0.0 |
| 023 | SLE freq | No | -0.1479 | -0.1499 | -0.1553 | -0.1524 | 0.0 | 0.0 |
| 024 | SLE freq | No | -0.1342 | -0.1388 | -0.1541 | -0.1471 | 0.1 | 0.0 |
| 025 | SLE freq | No | -0.1642 | -0.1688 | -0.1841 | -0.1771 | 0.1 | 0.0 |
| 026 | SLE freq | No | -0.1529 | -0.1549 | -0.1603 | -0.1574 | 0.0 | 0.0 |
| 027 | SLE freq | No | -0.1319 | -0.1361 | -0.1500 | -0.1436 | 0.1 | 0.0 |
| 028 | SLE freq | No | -0.1669 | -0.1711 | -0.1850 | -0.1786 | 0.1 | 0.0 |
| 029 | SLE q.p. | No | -0.1179 | -0.1199 | -0.1253 | -0.1224 | 0.0 | 0.0 |
| 030 | SLE q.p. | No | -0.1479 | -0.1499 | -0.1553 | -0.1524 | 0.0 | 0.0 |
| 031 | SLE q.p. | No | -0.1319 | -0.1361 | -0.1500 | -0.1436 | 0.1 | 0.0 |
| 032 | SLE q.p. | No | -0.1619 | -0.1661 | -0.1800 | -0.1736 | 0.1 | 0.0 |
| 033 | SLV A1 | Si | -0.1591 | -0.1693 | -0.2016 | -0.1824 | 31.7 | 6.9 |
| 034 | SLV A1 | Si | -0.1825 | -0.1869 | -0.1952 | -0.1873 | 27.9 | -26.2 |

Relazione Geotecnica e delle Fondazioni

| | | | | | | | | |
|-----|--------|----|---------|---------|---------|---------|-------|-------|
| 035 | SLV A1 | Si | -0.1412 | -0.1452 | -0.1648 | -0.1599 | -27.8 | 26.3 |
| 036 | SLV A1 | Si | -0.1646 | -0.1628 | -0.1584 | -0.1647 | -31.6 | -6.9 |
| 037 | SLV A1 | Si | -0.1591 | -0.1693 | -0.2017 | -0.1824 | 29.9 | 6.2 |
| 038 | SLV A1 | Si | -0.1826 | -0.1869 | -0.1950 | -0.1872 | 29.7 | -25.5 |
| 039 | SLV A1 | Si | -0.1412 | -0.1452 | -0.1650 | -0.1599 | -29.5 | 25.6 |
| 040 | SLV A1 | Si | -0.1646 | -0.1628 | -0.1582 | -0.1647 | -29.8 | -6.2 |
| 041 | SLV A1 | Si | -0.1615 | -0.1693 | -0.2023 | -0.1820 | 31.7 | 1.7 |
| 042 | SLV A1 | Si | -0.1849 | -0.1869 | -0.1959 | -0.1869 | 27.9 | -31.5 |
| 043 | SLV A1 | Si | -0.1388 | -0.1452 | -0.1641 | -0.1602 | -27.8 | 31.5 |
| 044 | SLV A1 | Si | -0.1622 | -0.1629 | -0.1577 | -0.1651 | -31.6 | -1.6 |
| 045 | SLV A1 | Si | -0.1615 | -0.1693 | -0.2025 | -0.1821 | 29.9 | 1.0 |
| 046 | SLV A1 | Si | -0.1850 | -0.1868 | -0.1957 | -0.1869 | 29.6 | -30.8 |
| 047 | SLV A1 | Si | -0.1387 | -0.1453 | -0.1642 | -0.1602 | -29.5 | 30.8 |
| 048 | SLV A1 | Si | -0.1622 | -0.1628 | -0.1575 | -0.1650 | -29.8 | -0.9 |
| 049 | SLV A1 | Si | -0.1255 | -0.1403 | -0.1962 | -0.1688 | 15.4 | 52.4 |
| 050 | SLV A1 | Si | -0.2036 | -0.1990 | -0.1749 | -0.1851 | 2.6 | -58.1 |
| 051 | SLV A1 | Si | -0.1201 | -0.1331 | -0.1851 | -0.1621 | -2.5 | 58.2 |
| 052 | SLV A1 | Si | -0.1982 | -0.1918 | -0.1638 | -0.1783 | -15.3 | -52.3 |
| 053 | SLV A1 | Si | -0.1262 | -0.1403 | -0.1964 | -0.1687 | 15.4 | 50.8 |
| 054 | SLV A1 | Si | -0.2043 | -0.1990 | -0.1751 | -0.1850 | 2.6 | -59.7 |
| 055 | SLV A1 | Si | -0.1194 | -0.1331 | -0.1849 | -0.1622 | -2.5 | 59.8 |
| 056 | SLV A1 | Si | -0.1975 | -0.1918 | -0.1636 | -0.1784 | -15.3 | -50.8 |
| 057 | SLV A1 | Si | -0.1254 | -0.1404 | -0.1967 | -0.1689 | 9.5 | 50.1 |
| 058 | SLV A1 | Si | -0.2037 | -0.1989 | -0.1743 | -0.1850 | 8.5 | -55.8 |
| 059 | SLV A1 | Si | -0.1200 | -0.1332 | -0.1857 | -0.1622 | -8.4 | 55.9 |
| 060 | SLV A1 | Si | -0.1983 | -0.1917 | -0.1633 | -0.1782 | -9.3 | -50.0 |
| 061 | SLV A1 | Si | -0.1261 | -0.1404 | -0.1969 | -0.1688 | 9.5 | 48.5 |
| 062 | SLV A1 | Si | -0.2044 | -0.1989 | -0.1745 | -0.1849 | 8.5 | -57.4 |
| 063 | SLV A1 | Si | -0.1193 | -0.1332 | -0.1854 | -0.1623 | -8.4 | 57.5 |
| 064 | SLV A1 | Si | -0.1976 | -0.1917 | -0.1631 | -0.1783 | -9.3 | -48.4 |
| 065 | SLD | Si | -0.1606 | -0.1675 | -0.1898 | -0.1775 | 14.4 | 3.2 |
| 066 | SLD | Si | -0.1713 | -0.1755 | -0.1869 | -0.1798 | 12.6 | -11.9 |
| 067 | SLD | Si | -0.1525 | -0.1566 | -0.1731 | -0.1674 | -12.5 | 12.0 |
| 068 | SLD | Si | -0.1631 | -0.1646 | -0.1702 | -0.1696 | -14.3 | -3.1 |
| 069 | SLD | Si | -0.1606 | -0.1675 | -0.1898 | -0.1776 | 13.6 | 2.9 |
| 070 | SLD | Si | -0.1713 | -0.1755 | -0.1868 | -0.1797 | 13.4 | -11.6 |
| 071 | SLD | Si | -0.1524 | -0.1566 | -0.1732 | -0.1674 | -13.3 | 11.7 |
| 072 | SLD | Si | -0.1632 | -0.1646 | -0.1701 | -0.1696 | -13.5 | -2.8 |
| 073 | SLD | Si | -0.1617 | -0.1675 | -0.1901 | -0.1774 | 14.4 | 0.8 |
| 074 | SLD | Si | -0.1724 | -0.1755 | -0.1872 | -0.1796 | 12.7 | -14.4 |
| 075 | SLD | Si | -0.1513 | -0.1566 | -0.1728 | -0.1675 | -12.5 | 14.4 |
| 076 | SLD | Si | -0.1620 | -0.1646 | -0.1699 | -0.1697 | -14.3 | -0.7 |
| 077 | SLD | Si | -0.1617 | -0.1675 | -0.1902 | -0.1774 | 13.6 | 0.5 |
| 078 | SLD | Si | -0.1724 | -0.1755 | -0.1871 | -0.1796 | 13.4 | -14.0 |
| 079 | SLD | Si | -0.1513 | -0.1566 | -0.1728 | -0.1675 | -13.3 | 14.1 |
| 080 | SLD | Si | -0.1620 | -0.1646 | -0.1698 | -0.1697 | -13.5 | -0.4 |
| 081 | SLD | Si | -0.1452 | -0.1543 | -0.1873 | -0.1714 | 7.0 | 24.0 |
| 082 | SLD | Si | -0.1809 | -0.1811 | -0.1776 | -0.1788 | 1.2 | -26.5 |
| 083 | SLD | Si | -0.1428 | -0.1510 | -0.1823 | -0.1683 | -1.1 | 26.6 |
| 084 | SLD | Si | -0.1785 | -0.1778 | -0.1727 | -0.1757 | -6.9 | -23.9 |
| 085 | SLD | Si | -0.1456 | -0.1543 | -0.1874 | -0.1713 | 7.0 | 23.2 |
| 086 | SLD | Si | -0.1812 | -0.1811 | -0.1777 | -0.1787 | 1.2 | -27.3 |
| 087 | SLD | Si | -0.1425 | -0.1510 | -0.1822 | -0.1684 | -1.1 | 27.3 |
| 088 | SLD | Si | -0.1781 | -0.1778 | -0.1725 | -0.1758 | -6.9 | -23.2 |
| 089 | SLD | Si | -0.1452 | -0.1543 | -0.1876 | -0.1714 | 4.3 | 22.9 |
| 090 | SLD | Si | -0.1809 | -0.1810 | -0.1774 | -0.1787 | 3.9 | -25.5 |
| 091 | SLD | Si | -0.1428 | -0.1511 | -0.1826 | -0.1684 | -3.7 | 25.5 |
| 092 | SLD | Si | -0.1785 | -0.1778 | -0.1724 | -0.1757 | -4.2 | -22.8 |
| 093 | SLD | Si | -0.1456 | -0.1543 | -0.1877 | -0.1714 | 4.3 | 22.2 |
| 094 | SLD | Si | -0.1813 | -0.1810 | -0.1775 | -0.1787 | 3.9 | -26.2 |
| 095 | SLD | Si | -0.1425 | -0.1511 | -0.1825 | -0.1684 | -3.7 | 26.2 |
| 096 | SLD | Si | -0.1782 | -0.1778 | -0.1723 | -0.1757 | -4.2 | -22.1 |
| 097 | SLO | Si | -0.1609 | -0.1672 | -0.1877 | -0.1767 | 11.4 | 2.5 |
| 098 | SLO | Si | -0.1693 | -0.1735 | -0.1854 | -0.1785 | 10.0 | -9.4 |
| 099 | SLO | Si | -0.1544 | -0.1586 | -0.1745 | -0.1686 | -9.9 | 9.5 |
| 100 | SLO | Si | -0.1628 | -0.1649 | -0.1722 | -0.1704 | -11.3 | -2.4 |
| 101 | SLO | Si | -0.1608 | -0.1672 | -0.1878 | -0.1767 | 10.8 | 2.3 |
| 102 | SLO | Si | -0.1693 | -0.1736 | -0.1854 | -0.1785 | 10.7 | -9.2 |
| 103 | SLO | Si | -0.1544 | -0.1585 | -0.1746 | -0.1687 | -10.6 | 9.3 |
| 104 | SLO | Si | -0.1629 | -0.1649 | -0.1722 | -0.1704 | -10.7 | -2.2 |
| 105 | SLO | Si | -0.1617 | -0.1672 | -0.1880 | -0.1766 | 11.4 | 0.6 |
| 106 | SLO | Si | -0.1701 | -0.1735 | -0.1857 | -0.1784 | 10.1 | -11.3 |
| 107 | SLO | Si | -0.1536 | -0.1586 | -0.1743 | -0.1688 | -9.9 | 11.3 |
| 108 | SLO | Si | -0.1620 | -0.1649 | -0.1720 | -0.1705 | -11.3 | -0.5 |

| | | | |
|--------------------------------------|----------------------------------------------------------------------------------------------------------------------|----------------------------------------------------------------------------------|-------------|
| COMMITTENTE: Mecca Antonio | CODICE COMMESSA: | NOME ELABORATO: S1.5 - Relazione Geotecnica e delle Fondazioni | CONSULENTE: |
| DATA: Aprile 2023 | TITOLO: Lavori ultimazione di un fabbricato adibito ad albergo-ristorante- C.da Case Nuove Chicone Avigliano (PZ) | | |

| | | | | | | | | |
|-----|-----|----|---------|---------|---------|---------|-------|-------|
| 109 | SLO | Si | -0.1617 | -0.1672 | -0.1881 | -0.1766 | 10.8 | 0.4 |
| 110 | SLO | Si | -0.1702 | -0.1735 | -0.1857 | -0.1784 | 10.7 | -11.1 |
| 111 | SLO | Si | -0.1535 | -0.1586 | -0.1743 | -0.1688 | -10.6 | 11.2 |
| 112 | SLO | Si | -0.1620 | -0.1649 | -0.1719 | -0.1705 | -10.7 | -0.4 |
| 113 | SLO | Si | -0.1488 | -0.1568 | -0.1858 | -0.1719 | 5.5 | 18.8 |
| 114 | SLO | Si | -0.1768 | -0.1779 | -0.1781 | -0.1777 | 1.0 | -20.8 |
| 115 | SLO | Si | -0.1469 | -0.1542 | -0.1818 | -0.1694 | -0.9 | 20.9 |
| 116 | SLO | Si | -0.1749 | -0.1753 | -0.1742 | -0.1753 | -5.4 | -18.7 |
| 117 | SLO | Si | -0.1491 | -0.1568 | -0.1859 | -0.1718 | 5.5 | 18.2 |
| 118 | SLO | Si | -0.1771 | -0.1779 | -0.1782 | -0.1776 | 1.0 | -21.4 |
| 119 | SLO | Si | -0.1466 | -0.1542 | -0.1817 | -0.1695 | -0.9 | 21.4 |
| 120 | SLO | Si | -0.1746 | -0.1753 | -0.1741 | -0.1753 | -5.4 | -18.2 |
| 121 | SLO | Si | -0.1486 | -0.1568 | -0.1860 | -0.1719 | 3.4 | 18.2 |
| 122 | SLO | Si | -0.1770 | -0.1780 | -0.1779 | -0.1777 | 3.1 | -20.2 |
| 123 | SLO | Si | -0.1467 | -0.1542 | -0.1820 | -0.1694 | -3.0 | 20.3 |
| 124 | SLO | Si | -0.1751 | -0.1754 | -0.1740 | -0.1752 | -3.3 | -18.1 |
| 125 | SLO | Si | -0.1489 | -0.1567 | -0.1861 | -0.1718 | 3.4 | 17.6 |
| 126 | SLO | Si | -0.1773 | -0.1779 | -0.1780 | -0.1776 | 3.1 | -20.8 |
| 127 | SLO | Si | -0.1465 | -0.1542 | -0.1820 | -0.1695 | -3.0 | 20.8 |
| 128 | SLO | Si | -0.1748 | -0.1754 | -0.1739 | -0.1753 | -3.3 | -17.5 |

Elemento: Platea n. 90

| Cmb | Tipo | Sism. | Press. N1 | Press. N2 | Press. N3 | Press. N4 | S. Taglio X | S. Taglio Y |
|-----|----------|-------|---------------------|---------------------|---------------------|---------------------|-------------|-------------|
| n. | | | daN/cm ² | daN/cm ² | daN/cm ² | daN/cm ² | daN | daN |
| 001 | SLU STR | No | -0.1706 | -0.1686 | -0.1730 | -0.1736 | 0.0 | 0.0 |
| 002 | SLU STR | No | -0.2231 | -0.2211 | -0.2255 | -0.2261 | 0.0 | 0.0 |
| 003 | SLU STR | No | -0.2471 | -0.2355 | -0.2513 | -0.2566 | 0.1 | 0.0 |
| 004 | SLU STR | No | -0.2996 | -0.2880 | -0.3038 | -0.3091 | 0.1 | 0.0 |
| 005 | SLU STR | No | -0.1262 | -0.1249 | -0.1280 | -0.1284 | 0.0 | 0.0 |
| 006 | SLU STR | No | -0.1787 | -0.1774 | -0.1805 | -0.1809 | 0.0 | 0.0 |
| 007 | SLU STR | No | -0.2027 | -0.1917 | -0.2063 | -0.2114 | 0.1 | 0.0 |
| 008 | SLU STR | No | -0.2552 | -0.2442 | -0.2588 | -0.2639 | 0.1 | 0.0 |
| 009 | SLU STR | No | -0.2456 | -0.2436 | -0.2480 | -0.2486 | 0.0 | 0.0 |
| 010 | SLU STR | No | -0.2242 | -0.2154 | -0.2278 | -0.2317 | 0.1 | 0.0 |
| 011 | SLU STR | No | -0.2992 | -0.2904 | -0.3028 | -0.3067 | 0.1 | 0.0 |
| 012 | SLU STR | No | -0.2012 | -0.1999 | -0.2030 | -0.2034 | 0.0 | 0.0 |
| 013 | SLU STR | No | -0.1797 | -0.1717 | -0.1828 | -0.1865 | 0.1 | 0.0 |
| 014 | SLU STR | No | -0.2547 | -0.2467 | -0.2578 | -0.2615 | 0.1 | 0.0 |
| 015 | SLE rare | No | -0.1291 | -0.1276 | -0.1309 | -0.1313 | 0.0 | 0.0 |
| 016 | SLE rare | No | -0.1641 | -0.1626 | -0.1659 | -0.1663 | 0.0 | 0.0 |
| 017 | SLE rare | No | -0.1800 | -0.1722 | -0.1831 | -0.1866 | 0.1 | 0.0 |
| 018 | SLE rare | No | -0.2150 | -0.2072 | -0.2181 | -0.2216 | 0.1 | 0.0 |
| 019 | SLE rare | No | -0.1791 | -0.1776 | -0.1809 | -0.1813 | 0.0 | 0.0 |
| 020 | SLE rare | No | -0.1647 | -0.1588 | -0.1674 | -0.1700 | 0.1 | 0.0 |
| 021 | SLE rare | No | -0.2147 | -0.2088 | -0.2174 | -0.2200 | 0.1 | 0.0 |
| 022 | SLE freq | No | -0.1291 | -0.1276 | -0.1309 | -0.1313 | 0.0 | 0.0 |
| 023 | SLE freq | No | -0.1591 | -0.1576 | -0.1609 | -0.1613 | 0.0 | 0.0 |
| 024 | SLE freq | No | -0.1647 | -0.1588 | -0.1674 | -0.1700 | 0.1 | 0.0 |
| 025 | SLE freq | No | -0.1947 | -0.1888 | -0.1974 | -0.2000 | 0.1 | 0.0 |
| 026 | SLE freq | No | -0.1641 | -0.1626 | -0.1659 | -0.1663 | 0.0 | 0.0 |
| 027 | SLE freq | No | -0.1596 | -0.1544 | -0.1622 | -0.1645 | 0.1 | 0.0 |
| 028 | SLE freq | No | -0.1946 | -0.1894 | -0.1972 | -0.1995 | 0.1 | 0.0 |
| 029 | SLE q.p. | No | -0.1291 | -0.1276 | -0.1309 | -0.1313 | 0.0 | 0.0 |
| 030 | SLE q.p. | No | -0.1591 | -0.1576 | -0.1609 | -0.1613 | 0.0 | 0.0 |
| 031 | SLE q.p. | No | -0.1596 | -0.1544 | -0.1622 | -0.1645 | 0.1 | 0.0 |
| 032 | SLE q.p. | No | -0.1896 | -0.1844 | -0.1922 | -0.1945 | 0.1 | 0.0 |
| 033 | SLV A1 | Si | -0.2242 | -0.2151 | -0.2343 | -0.2376 | 21.2 | 3.2 |
| 034 | SLV A1 | Si | -0.2027 | -0.2030 | -0.2105 | -0.2094 | 29.6 | -22.3 |
| 035 | SLV A1 | Si | -0.1766 | -0.1657 | -0.1739 | -0.1796 | -29.5 | 22.3 |
| 036 | SLV A1 | Si | -0.1551 | -0.1536 | -0.1500 | -0.1514 | -21.1 | -3.2 |
| 037 | SLV A1 | Si | -0.2244 | -0.2153 | -0.2346 | -0.2379 | 29.5 | 2.5 |
| 038 | SLV A1 | Si | -0.2024 | -0.2027 | -0.2102 | -0.2091 | 21.3 | -21.6 |
| 039 | SLV A1 | Si | -0.1769 | -0.1660 | -0.1742 | -0.1799 | -21.2 | 21.6 |
| 040 | SLV A1 | Si | -0.1549 | -0.1534 | -0.1497 | -0.1511 | -29.3 | -2.5 |
| 041 | SLV A1 | Si | -0.2278 | -0.2168 | -0.2382 | -0.2425 | 22.2 | -0.3 |
| 042 | SLV A1 | Si | -0.2063 | -0.2047 | -0.2143 | -0.2142 | 30.6 | -25.8 |
| 043 | SLV A1 | Si | -0.1730 | -0.1640 | -0.1700 | -0.1748 | -30.5 | 25.8 |
| 044 | SLV A1 | Si | -0.1515 | -0.1519 | -0.1462 | -0.1466 | -22.1 | 0.2 |
| 045 | SLV A1 | Si | -0.2280 | -0.2170 | -0.2385 | -0.2427 | 30.5 | -1.0 |
| 046 | SLV A1 | Si | -0.2060 | -0.2044 | -0.2140 | -0.2139 | 22.4 | -25.1 |
| 047 | SLV A1 | Si | -0.1733 | -0.1643 | -0.1703 | -0.1751 | -22.3 | 25.1 |

Relazione Geotecnica e delle Fondazioni

| | | | | | | | | |
|-----|--------|----|---------|---------|---------|---------|-------|-------|
| 048 | SLV A1 | Si | -0.1513 | -0.1517 | -0.1459 | -0.1463 | -30.4 | 0.9 |
| 049 | SLV A1 | Si | -0.2326 | -0.2119 | -0.2410 | -0.2503 | -6.4 | 39.7 |
| 050 | SLV A1 | Si | -0.1610 | -0.1716 | -0.1615 | -0.1561 | 21.7 | -45.4 |
| 051 | SLV A1 | Si | -0.2183 | -0.1971 | -0.2229 | -0.2329 | -21.6 | 45.4 |
| 052 | SLV A1 | Si | -0.1467 | -0.1568 | -0.1433 | -0.1387 | 6.5 | -39.7 |
| 053 | SLV A1 | Si | -0.2337 | -0.2124 | -0.2422 | -0.2518 | -6.1 | 38.6 |
| 054 | SLV A1 | Si | -0.1621 | -0.1721 | -0.1626 | -0.1576 | 22.0 | -46.5 |
| 055 | SLV A1 | Si | -0.2172 | -0.1966 | -0.2217 | -0.2315 | -21.9 | 46.4 |
| 056 | SLV A1 | Si | -0.1456 | -0.1563 | -0.1422 | -0.1373 | 6.2 | -38.7 |
| 057 | SLV A1 | Si | -0.2334 | -0.2127 | -0.2420 | -0.2513 | 21.2 | 37.4 |
| 058 | SLV A1 | Si | -0.1602 | -0.1708 | -0.1605 | -0.1552 | -5.9 | -43.1 |
| 059 | SLV A1 | Si | -0.2191 | -0.1979 | -0.2239 | -0.2339 | 6.0 | 43.1 |
| 060 | SLV A1 | Si | -0.1459 | -0.1560 | -0.1424 | -0.1378 | -21.1 | -37.4 |
| 061 | SLV A1 | Si | -0.2344 | -0.2132 | -0.2432 | -0.2527 | 21.5 | 36.3 |
| 062 | SLV A1 | Si | -0.1613 | -0.1713 | -0.1616 | -0.1566 | -5.6 | -44.2 |
| 063 | SLV A1 | Si | -0.2180 | -0.1974 | -0.2227 | -0.2324 | 5.7 | 44.1 |
| 064 | SLV A1 | Si | -0.1449 | -0.1555 | -0.1412 | -0.1363 | -21.4 | -36.3 |
| 065 | SLD | Si | -0.2053 | -0.1983 | -0.2113 | -0.2141 | 9.6 | 1.5 |
| 066 | SLD | Si | -0.1955 | -0.1928 | -0.2004 | -0.2012 | 13.4 | -10.2 |
| 067 | SLD | Si | -0.1838 | -0.1759 | -0.1839 | -0.1878 | -13.3 | 10.1 |
| 068 | SLD | Si | -0.1740 | -0.1704 | -0.1731 | -0.1749 | -9.5 | -1.5 |
| 069 | SLD | Si | -0.2054 | -0.1984 | -0.2114 | -0.2142 | 13.4 | 1.2 |
| 070 | SLD | Si | -0.1954 | -0.1927 | -0.2003 | -0.2011 | 9.7 | -9.9 |
| 071 | SLD | Si | -0.1839 | -0.1760 | -0.1841 | -0.1880 | -9.6 | 9.8 |
| 072 | SLD | Si | -0.1739 | -0.1703 | -0.1729 | -0.1748 | -13.3 | -1.2 |
| 073 | SLD | Si | -0.2070 | -0.1991 | -0.2131 | -0.2163 | 10.1 | -0.1 |
| 074 | SLD | Si | -0.1972 | -0.1936 | -0.2022 | -0.2034 | 13.9 | -11.8 |
| 075 | SLD | Si | -0.1821 | -0.1751 | -0.1822 | -0.1856 | -13.8 | 11.7 |
| 076 | SLD | Si | -0.1723 | -0.1696 | -0.1713 | -0.1727 | -10.0 | 0.1 |
| 077 | SLD | Si | -0.2071 | -0.1992 | -0.2132 | -0.2164 | 13.9 | -0.4 |
| 078 | SLD | Si | -0.1971 | -0.1934 | -0.2021 | -0.2033 | 10.2 | -11.5 |
| 079 | SLD | Si | -0.1822 | -0.1753 | -0.1823 | -0.1857 | -10.1 | 11.4 |
| 080 | SLD | Si | -0.1722 | -0.1695 | -0.1712 | -0.1726 | -13.7 | 0.4 |
| 081 | SLD | Si | -0.2092 | -0.1969 | -0.2144 | -0.2199 | -2.9 | 18.1 |
| 082 | SLD | Si | -0.1765 | -0.1785 | -0.1781 | -0.1770 | 9.9 | -20.8 |
| 083 | SLD | Si | -0.2028 | -0.1902 | -0.2062 | -0.2121 | -9.8 | 20.7 |
| 084 | SLD | Si | -0.1701 | -0.1718 | -0.1699 | -0.1691 | 3.0 | -18.2 |
| 085 | SLD | Si | -0.2097 | -0.1971 | -0.2150 | -0.2206 | -2.7 | 17.6 |
| 086 | SLD | Si | -0.1770 | -0.1788 | -0.1787 | -0.1776 | 10.0 | -21.2 |
| 087 | SLD | Si | -0.2023 | -0.1899 | -0.2057 | -0.2114 | -9.9 | 21.2 |
| 088 | SLD | Si | -0.1696 | -0.1716 | -0.1694 | -0.1684 | 2.8 | -17.7 |
| 089 | SLD | Si | -0.2096 | -0.1972 | -0.2149 | -0.2204 | 9.6 | 17.0 |
| 090 | SLD | Si | -0.1762 | -0.1782 | -0.1777 | -0.1765 | -2.7 | -19.7 |
| 091 | SLD | Si | -0.2031 | -0.1905 | -0.2067 | -0.2125 | 2.8 | 19.6 |
| 092 | SLD | Si | -0.1697 | -0.1715 | -0.1695 | -0.1687 | -9.5 | -17.1 |
| 093 | SLD | Si | -0.2101 | -0.1975 | -0.2154 | -0.2210 | 9.8 | 16.6 |
| 094 | SLD | Si | -0.1767 | -0.1784 | -0.1782 | -0.1772 | -2.5 | -20.2 |
| 095 | SLD | Si | -0.2026 | -0.1903 | -0.2061 | -0.2118 | 2.6 | 20.1 |
| 096 | SLD | Si | -0.1692 | -0.1712 | -0.1690 | -0.1680 | -9.7 | -16.6 |
| 097 | SLO | Si | -0.2020 | -0.1954 | -0.2073 | -0.2100 | 7.7 | 1.1 |
| 098 | SLO | Si | -0.1943 | -0.1910 | -0.1988 | -0.1999 | 10.7 | -8.0 |
| 099 | SLO | Si | -0.1850 | -0.1777 | -0.1856 | -0.1892 | -10.6 | 8.0 |
| 100 | SLO | Si | -0.1773 | -0.1733 | -0.1770 | -0.1790 | -7.5 | -1.2 |
| 101 | SLO | Si | -0.2022 | -0.1955 | -0.2075 | -0.2102 | 10.6 | 0.9 |
| 102 | SLO | Si | -0.1942 | -0.1909 | -0.1986 | -0.1997 | 7.7 | -7.8 |
| 103 | SLO | Si | -0.1851 | -0.1778 | -0.1857 | -0.1893 | -7.6 | 7.8 |
| 104 | SLO | Si | -0.1771 | -0.1732 | -0.1769 | -0.1789 | -10.5 | -1.0 |
| 105 | SLO | Si | -0.2033 | -0.1960 | -0.2087 | -0.2117 | 8.0 | -0.1 |
| 106 | SLO | Si | -0.1956 | -0.1917 | -0.2002 | -0.2016 | 11.1 | -9.3 |
| 107 | SLO | Si | -0.1837 | -0.1770 | -0.1842 | -0.1874 | -10.9 | 9.2 |
| 108 | SLO | Si | -0.1760 | -0.1727 | -0.1756 | -0.1773 | -7.9 | 0.1 |
| 109 | SLO | Si | -0.2035 | -0.1961 | -0.2089 | -0.2119 | 11.0 | -0.3 |
| 110 | SLO | Si | -0.1955 | -0.1916 | -0.2000 | -0.2015 | 8.1 | -9.1 |
| 111 | SLO | Si | -0.1838 | -0.1771 | -0.1843 | -0.1876 | -8.0 | 9.0 |
| 112 | SLO | Si | -0.1758 | -0.1726 | -0.1755 | -0.1771 | -10.9 | 0.3 |
| 113 | SLO | Si | -0.2050 | -0.1942 | -0.2097 | -0.2145 | -2.2 | 14.2 |
| 114 | SLO | Si | -0.1794 | -0.1798 | -0.1812 | -0.1808 | 7.8 | -16.3 |
| 115 | SLO | Si | -0.1999 | -0.1889 | -0.2032 | -0.2083 | -7.7 | 16.3 |
| 116 | SLO | Si | -0.1743 | -0.1745 | -0.1747 | -0.1745 | 2.4 | -14.2 |
| 117 | SLO | Si | -0.2054 | -0.1944 | -0.2101 | -0.2150 | -2.1 | 13.8 |
| 118 | SLO | Si | -0.1798 | -0.1800 | -0.1816 | -0.1813 | 7.9 | -16.7 |
| 119 | SLO | Si | -0.1995 | -0.1887 | -0.2028 | -0.2077 | -7.8 | 16.6 |
| 120 | SLO | Si | -0.1739 | -0.1743 | -0.1743 | -0.1740 | 2.2 | -13.9 |
| 121 | SLO | Si | -0.2055 | -0.1946 | -0.2102 | -0.2150 | 7.7 | 13.5 |

| | | | |
|--------------------------------------|----------------------------------------------------------------------------------------------------------------------|----------------------------------------------------------------------------------|-------------|
| COMMITTENTE: Mecca Antonio | CODICE COMMESSA: | NOME ELABORATO: S1.5 - Relazione Geotecnica e delle Fondazioni | CONSULENTE: |
| DATA: Aprile 2023 | TITOLO: Lavori ultimazione di un fabbricato adibito ad albergo-ristorante- C.da Case Nuove Chicone Avigliano (PZ) | | |

| | | | | | | | | |
|-----|-----|----|---------|---------|---------|---------|------|-------|
| 122 | SLO | Si | -0.1790 | -0.1794 | -0.1807 | -0.1802 | -2.1 | -15.6 |
| 123 | SLO | Si | -0.2003 | -0.1893 | -0.2037 | -0.2088 | 2.2 | 15.6 |
| 124 | SLO | Si | -0.1738 | -0.1741 | -0.1742 | -0.1740 | -7.6 | -13.6 |
| 125 | SLO | Si | -0.2059 | -0.1948 | -0.2106 | -0.2156 | 7.8 | 13.2 |
| 126 | SLO | Si | -0.1794 | -0.1796 | -0.1811 | -0.1808 | -2.0 | -16.0 |
| 127 | SLO | Si | -0.1999 | -0.1891 | -0.2033 | -0.2083 | 2.1 | 16.0 |
| 128 | SLO | Si | -0.1734 | -0.1739 | -0.1737 | -0.1735 | -7.7 | -13.2 |

Elemento: Platea n. 91

| Cmb | Tipo | Sism. | Press. N1 | Press. N2 | Press. N3 | Press. N4 | S. Taglio X | S. Taglio Y |
|-----|----------|-------|---------------------|---------------------|---------------------|---------------------|-------------|-------------|
| n. | | | daN/cm ² | daN/cm ² | daN/cm ² | daN/cm ² | daN | daN |
| 001 | SLU STR | No | -0.1513 | -0.1517 | -0.1570 | -0.1565 | 0.0 | 0.0 |
| 002 | SLU STR | No | -0.2038 | -0.2042 | -0.2095 | -0.2090 | 0.0 | 0.0 |
| 003 | SLU STR | No | -0.1776 | -0.1780 | -0.1987 | -0.1978 | 0.0 | 0.2 |
| 004 | SLU STR | No | -0.2301 | -0.2305 | -0.2512 | -0.2503 | 0.0 | 0.2 |
| 005 | SLU STR | No | -0.1123 | -0.1126 | -0.1164 | -0.1160 | 0.0 | 0.0 |
| 006 | SLU STR | No | -0.1648 | -0.1651 | -0.1689 | -0.1685 | 0.0 | 0.0 |
| 007 | SLU STR | No | -0.1386 | -0.1389 | -0.1582 | -0.1574 | 0.0 | 0.2 |
| 008 | SLU STR | No | -0.1911 | -0.1914 | -0.2107 | -0.2099 | 0.0 | 0.2 |
| 009 | SLU STR | No | -0.2263 | -0.2267 | -0.2320 | -0.2315 | 0.0 | 0.0 |
| 010 | SLU STR | No | -0.1697 | -0.1701 | -0.1862 | -0.1854 | 0.0 | 0.2 |
| 011 | SLU STR | No | -0.2447 | -0.2451 | -0.2612 | -0.2604 | 0.0 | 0.2 |
| 012 | SLU STR | No | -0.1873 | -0.1876 | -0.1914 | -0.1910 | 0.0 | 0.0 |
| 013 | SLU STR | No | -0.1307 | -0.1310 | -0.1456 | -0.1450 | 0.0 | 0.2 |
| 014 | SLU STR | No | -0.2057 | -0.2060 | -0.2206 | -0.2200 | 0.0 | 0.2 |
| 015 | SLE rare | No | -0.1146 | -0.1149 | -0.1188 | -0.1185 | 0.0 | 0.0 |
| 016 | SLE rare | No | -0.1496 | -0.1499 | -0.1538 | -0.1535 | 0.0 | 0.0 |
| 017 | SLE rare | No | -0.1321 | -0.1325 | -0.1467 | -0.1460 | 0.0 | 0.2 |
| 018 | SLE rare | No | -0.1671 | -0.1675 | -0.1817 | -0.1810 | 0.0 | 0.2 |
| 019 | SLE rare | No | -0.1646 | -0.1649 | -0.1688 | -0.1685 | 0.0 | 0.0 |
| 020 | SLE rare | No | -0.1269 | -0.1272 | -0.1383 | -0.1378 | 0.0 | 0.1 |
| 021 | SLE rare | No | -0.1769 | -0.1772 | -0.1883 | -0.1878 | 0.0 | 0.1 |
| 022 | SLE freq | No | -0.1146 | -0.1149 | -0.1188 | -0.1185 | 0.0 | 0.0 |
| 023 | SLE freq | No | -0.1446 | -0.1449 | -0.1488 | -0.1485 | 0.0 | 0.0 |
| 024 | SLE freq | No | -0.1269 | -0.1272 | -0.1383 | -0.1378 | 0.0 | 0.1 |
| 025 | SLE freq | No | -0.1569 | -0.1572 | -0.1683 | -0.1678 | 0.0 | 0.1 |
| 026 | SLE freq | No | -0.1496 | -0.1499 | -0.1538 | -0.1535 | 0.0 | 0.0 |
| 027 | SLE freq | No | -0.1251 | -0.1254 | -0.1356 | -0.1350 | 0.0 | 0.1 |
| 028 | SLE freq | No | -0.1601 | -0.1604 | -0.1706 | -0.1700 | 0.0 | 0.1 |
| 029 | SLE q.p. | No | -0.1146 | -0.1149 | -0.1188 | -0.1185 | 0.0 | 0.0 |
| 030 | SLE q.p. | No | -0.1446 | -0.1449 | -0.1488 | -0.1485 | 0.0 | 0.0 |
| 031 | SLE q.p. | No | -0.1251 | -0.1254 | -0.1356 | -0.1350 | 0.0 | 0.1 |
| 032 | SLE q.p. | No | -0.1551 | -0.1554 | -0.1656 | -0.1650 | 0.0 | 0.1 |
| 033 | SLV A1 | Si | -0.1530 | -0.1504 | -0.1630 | -0.1642 | 32.1 | 1.6 |
| 034 | SLV A1 | Si | -0.1853 | -0.1830 | -0.1775 | -0.1781 | 22.7 | -24.0 |
| 035 | SLV A1 | Si | -0.1250 | -0.1279 | -0.1536 | -0.1519 | -22.7 | 24.2 |
| 036 | SLV A1 | Si | -0.1573 | -0.1605 | -0.1681 | -0.1658 | -32.1 | -1.4 |
| 037 | SLV A1 | Si | -0.1528 | -0.1503 | -0.1630 | -0.1641 | 22.8 | 1.5 |
| 038 | SLV A1 | Si | -0.1854 | -0.1831 | -0.1776 | -0.1781 | 32.1 | -24.0 |
| 039 | SLV A1 | Si | -0.1249 | -0.1278 | -0.1536 | -0.1519 | -32.1 | 24.2 |
| 040 | SLV A1 | Si | -0.1574 | -0.1606 | -0.1681 | -0.1659 | -22.7 | -1.3 |
| 041 | SLV A1 | Si | -0.1595 | -0.1570 | -0.1654 | -0.1669 | 31.4 | -3.2 |
| 042 | SLV A1 | Si | -0.1919 | -0.1897 | -0.1799 | -0.1808 | 22.0 | -28.8 |
| 043 | SLV A1 | Si | -0.1184 | -0.1212 | -0.1512 | -0.1492 | -22.0 | 29.0 |
| 044 | SLV A1 | Si | -0.1507 | -0.1538 | -0.1657 | -0.1631 | -31.4 | 3.4 |
| 045 | SLV A1 | Si | -0.1594 | -0.1569 | -0.1654 | -0.1669 | 22.1 | -3.3 |
| 046 | SLV A1 | Si | -0.1920 | -0.1898 | -0.1800 | -0.1808 | 31.4 | -28.7 |
| 047 | SLV A1 | Si | -0.1183 | -0.1211 | -0.1512 | -0.1492 | -31.4 | 28.9 |
| 048 | SLV A1 | Si | -0.1508 | -0.1539 | -0.1657 | -0.1631 | -22.0 | 3.5 |
| 049 | SLV A1 | Si | -0.1055 | -0.1044 | -0.1428 | -0.1437 | 23.9 | 39.3 |
| 050 | SLV A1 | Si | -0.2132 | -0.2132 | -0.1912 | -0.1900 | -7.4 | -45.9 |
| 051 | SLV A1 | Si | -0.0971 | -0.0977 | -0.1400 | -0.1400 | 7.4 | 46.1 |
| 052 | SLV A1 | Si | -0.2048 | -0.2064 | -0.1883 | -0.1863 | -23.9 | -39.1 |
| 053 | SLV A1 | Si | -0.1074 | -0.1064 | -0.1435 | -0.1445 | 23.7 | 37.9 |
| 054 | SLV A1 | Si | -0.2152 | -0.2152 | -0.1919 | -0.1908 | -7.6 | -47.4 |
| 055 | SLV A1 | Si | -0.0951 | -0.0957 | -0.1392 | -0.1392 | 7.6 | 47.6 |
| 056 | SLV A1 | Si | -0.2028 | -0.2044 | -0.1876 | -0.1855 | -23.7 | -37.7 |
| 057 | SLV A1 | Si | -0.1051 | -0.1041 | -0.1427 | -0.1436 | -7.4 | 39.2 |
| 058 | SLV A1 | Si | -0.2136 | -0.2135 | -0.1912 | -0.1901 | 23.8 | -45.8 |
| 059 | SLV A1 | Si | -0.0967 | -0.0974 | -0.1399 | -0.1399 | -23.8 | 46.0 |
| 060 | SLV A1 | Si | -0.2052 | -0.2068 | -0.1884 | -0.1864 | 7.4 | -39.0 |

Relazione Geotecnica e delle Fondazioni

| | | | | | | | | |
|-----|--------|----|---------|---------|---------|---------|-------|-------|
| 061 | SLV A1 | Si | -0.1071 | -0.1061 | -0.1434 | -0.1444 | -7.6 | 37.8 |
| 062 | SLV A1 | Si | -0.2155 | -0.2155 | -0.1919 | -0.1909 | 23.6 | -47.2 |
| 063 | SLV A1 | Si | -0.0947 | -0.0954 | -0.1392 | -0.1391 | -23.6 | 47.4 |
| 064 | SLV A1 | Si | -0.2032 | -0.2048 | -0.1877 | -0.1856 | 7.6 | -37.6 |
| 065 | SLD | Si | -0.1541 | -0.1531 | -0.1644 | -0.1646 | 14.5 | 0.8 |
| 066 | SLD | Si | -0.1689 | -0.1680 | -0.1710 | -0.1709 | 10.3 | -10.9 |
| 067 | SLD | Si | -0.1414 | -0.1429 | -0.1601 | -0.1591 | -10.3 | 11.1 |
| 068 | SLD | Si | -0.1562 | -0.1578 | -0.1667 | -0.1654 | -14.5 | -0.6 |
| 069 | SLD | Si | -0.1541 | -0.1531 | -0.1644 | -0.1646 | 10.3 | 0.8 |
| 070 | SLD | Si | -0.1689 | -0.1680 | -0.1710 | -0.1710 | 14.5 | -10.8 |
| 071 | SLD | Si | -0.1414 | -0.1428 | -0.1601 | -0.1591 | -14.5 | 11.0 |
| 072 | SLD | Si | -0.1562 | -0.1578 | -0.1667 | -0.1654 | -10.3 | -0.6 |
| 073 | SLD | Si | -0.1571 | -0.1561 | -0.1655 | -0.1659 | 14.2 | -1.4 |
| 074 | SLD | Si | -0.1719 | -0.1710 | -0.1721 | -0.1722 | 10.0 | -13.0 |
| 075 | SLD | Si | -0.1384 | -0.1398 | -0.1590 | -0.1578 | -10.0 | 13.3 |
| 076 | SLD | Si | -0.1532 | -0.1547 | -0.1656 | -0.1642 | -14.2 | 1.6 |
| 077 | SLD | Si | -0.1571 | -0.1561 | -0.1655 | -0.1658 | 10.0 | -1.4 |
| 078 | SLD | Si | -0.1719 | -0.1711 | -0.1721 | -0.1722 | 14.2 | -13.0 |
| 079 | SLD | Si | -0.1384 | -0.1398 | -0.1590 | -0.1578 | -14.2 | 13.2 |
| 080 | SLD | Si | -0.1532 | -0.1548 | -0.1656 | -0.1642 | -10.0 | 1.6 |
| 081 | SLD | Si | -0.1324 | -0.1321 | -0.1552 | -0.1553 | 10.8 | 18.0 |
| 082 | SLD | Si | -0.1816 | -0.1818 | -0.1772 | -0.1764 | -3.3 | -20.9 |
| 083 | SLD | Si | -0.1286 | -0.1291 | -0.1539 | -0.1536 | 3.4 | 21.1 |
| 084 | SLD | Si | -0.1778 | -0.1787 | -0.1760 | -0.1747 | -10.8 | -17.8 |
| 085 | SLD | Si | -0.1333 | -0.1330 | -0.1555 | -0.1557 | 10.7 | 17.4 |
| 086 | SLD | Si | -0.1825 | -0.1827 | -0.1776 | -0.1768 | -3.4 | -21.5 |
| 087 | SLD | Si | -0.1277 | -0.1282 | -0.1536 | -0.1532 | 3.4 | 21.7 |
| 088 | SLD | Si | -0.1769 | -0.1778 | -0.1756 | -0.1744 | -10.7 | -17.2 |
| 089 | SLD | Si | -0.1323 | -0.1320 | -0.1551 | -0.1552 | -3.3 | 17.9 |
| 090 | SLD | Si | -0.1818 | -0.1819 | -0.1773 | -0.1765 | 10.8 | -20.8 |
| 091 | SLD | Si | -0.1285 | -0.1289 | -0.1539 | -0.1536 | -10.7 | 21.0 |
| 092 | SLD | Si | -0.1780 | -0.1789 | -0.1760 | -0.1748 | 3.3 | -17.7 |
| 093 | SLD | Si | -0.1332 | -0.1329 | -0.1555 | -0.1556 | -3.4 | 17.3 |
| 094 | SLD | Si | -0.1827 | -0.1828 | -0.1776 | -0.1768 | 10.7 | -21.5 |
| 095 | SLD | Si | -0.1276 | -0.1280 | -0.1535 | -0.1532 | -10.7 | 21.7 |
| 096 | SLD | Si | -0.1771 | -0.1780 | -0.1757 | -0.1744 | 3.4 | -17.1 |
| 097 | SLO | Si | -0.1544 | -0.1536 | -0.1647 | -0.1647 | 11.5 | 0.6 |
| 098 | SLO | Si | -0.1660 | -0.1653 | -0.1699 | -0.1697 | 8.2 | -8.5 |
| 099 | SLO | Si | -0.1443 | -0.1455 | -0.1613 | -0.1603 | -8.1 | 8.8 |
| 100 | SLO | Si | -0.1559 | -0.1572 | -0.1665 | -0.1653 | -11.5 | -0.4 |
| 101 | SLO | Si | -0.1543 | -0.1535 | -0.1646 | -0.1647 | 8.2 | 0.6 |
| 102 | SLO | Si | -0.1661 | -0.1654 | -0.1699 | -0.1697 | 11.5 | -8.6 |
| 103 | SLO | Si | -0.1442 | -0.1454 | -0.1612 | -0.1603 | -11.5 | 8.8 |
| 104 | SLO | Si | -0.1560 | -0.1573 | -0.1665 | -0.1653 | -8.1 | -0.4 |
| 105 | SLO | Si | -0.1567 | -0.1560 | -0.1655 | -0.1657 | 11.3 | -1.1 |
| 106 | SLO | Si | -0.1683 | -0.1677 | -0.1707 | -0.1707 | 7.9 | -10.3 |
| 107 | SLO | Si | -0.1419 | -0.1432 | -0.1604 | -0.1593 | -7.9 | 10.5 |
| 108 | SLO | Si | -0.1535 | -0.1548 | -0.1656 | -0.1643 | -11.3 | 1.3 |
| 109 | SLO | Si | -0.1566 | -0.1559 | -0.1655 | -0.1657 | 7.9 | -1.1 |
| 110 | SLO | Si | -0.1684 | -0.1678 | -0.1707 | -0.1707 | 11.3 | -10.3 |
| 111 | SLO | Si | -0.1418 | -0.1431 | -0.1604 | -0.1593 | -11.3 | 10.5 |
| 112 | SLO | Si | -0.1536 | -0.1549 | -0.1656 | -0.1644 | -7.9 | 1.3 |
| 113 | SLO | Si | -0.1373 | -0.1372 | -0.1574 | -0.1574 | 8.6 | 14.1 |
| 114 | SLO | Si | -0.1759 | -0.1761 | -0.1747 | -0.1740 | -2.6 | -16.4 |
| 115 | SLO | Si | -0.1343 | -0.1347 | -0.1564 | -0.1561 | 2.7 | 16.6 |
| 116 | SLO | Si | -0.1729 | -0.1737 | -0.1737 | -0.1726 | -8.5 | -13.9 |
| 117 | SLO | Si | -0.1381 | -0.1379 | -0.1577 | -0.1577 | 8.5 | 13.6 |
| 118 | SLO | Si | -0.1766 | -0.1768 | -0.1750 | -0.1743 | -2.7 | -16.9 |
| 119 | SLO | Si | -0.1336 | -0.1340 | -0.1561 | -0.1558 | 2.7 | 17.1 |
| 120 | SLO | Si | -0.1722 | -0.1730 | -0.1735 | -0.1723 | -8.5 | -13.4 |
| 121 | SLO | Si | -0.1370 | -0.1368 | -0.1573 | -0.1572 | -2.6 | 14.3 |
| 122 | SLO | Si | -0.1763 | -0.1765 | -0.1749 | -0.1741 | 8.5 | -16.5 |
| 123 | SLO | Si | -0.1340 | -0.1344 | -0.1563 | -0.1559 | -8.5 | 16.7 |
| 124 | SLO | Si | -0.1733 | -0.1740 | -0.1738 | -0.1728 | 2.6 | -14.1 |
| 125 | SLO | Si | -0.1377 | -0.1375 | -0.1575 | -0.1575 | -2.7 | 13.7 |
| 126 | SLO | Si | -0.1770 | -0.1772 | -0.1751 | -0.1744 | 8.5 | -17.0 |
| 127 | SLO | Si | -0.1333 | -0.1337 | -0.1560 | -0.1556 | -8.4 | 17.2 |
| 128 | SLO | Si | -0.1726 | -0.1733 | -0.1736 | -0.1725 | 2.7 | -13.5 |

Elemento: Platea n. 92

| Cmb | Tipo | Sism. | Press. N1 | Press. N2 | Press. N3 | Press. N4 | S. Taglio X | S. Taglio Y |
|-----|---------|-------|---------------------|---------------------|---------------------|---------------------|-------------|-------------|
| n. | | | daN/cm ² | daN/cm ² | daN/cm ² | daN/cm ² | daN | daN |
| 001 | SLU STR | No | -0.1508 | -0.1500 | -0.1517 | -0.1530 | 0.0 | 0.0 |

| | | | | | | | | |
|--------------------------------------|----------|----------------------------------------------------------------------------------------------------------------------|----------------------------------------------------------------------------------|---------|---------|-------------|-------|-------|
| COMMITTENTE: Mecca Antonio | | CODICE COMMESSA: | NOME ELABORATO: S1.5 - Relazione Geotecnica e delle Fondazioni | | | CONSULENTE: | | |
| DATA: Aprile 2023 | | TITOLO: Lavori ultimazione di un fabbricato adibito ad albergo-ristorante– C.da Case Nuove Chicone Avigliano (PZ) | | | | | | |
| 002 | SLU STR | No | -0.2033 | -0.2025 | -0.2042 | -0.2055 | 0.0 | 0.0 |
| 003 | SLU STR | No | -0.1751 | -0.1727 | -0.1798 | -0.1835 | 0.1 | -0.1 |
| 004 | SLU STR | No | -0.2276 | -0.2252 | -0.2323 | -0.2360 | 0.1 | -0.1 |
| 005 | SLU STR | No | -0.1120 | -0.1114 | -0.1126 | -0.1136 | 0.0 | 0.0 |
| 006 | SLU STR | No | -0.1645 | -0.1639 | -0.1651 | -0.1661 | 0.0 | 0.0 |
| 007 | SLU STR | No | -0.1363 | -0.1341 | -0.1406 | -0.1440 | 0.1 | -0.1 |
| 008 | SLU STR | No | -0.1888 | -0.1866 | -0.1931 | -0.1965 | 0.1 | -0.1 |
| 009 | SLU STR | No | -0.2258 | -0.2250 | -0.2267 | -0.2280 | 0.0 | 0.0 |
| 010 | SLU STR | No | -0.1678 | -0.1659 | -0.1714 | -0.1744 | 0.0 | -0.1 |
| 011 | SLU STR | No | -0.2428 | -0.2409 | -0.2464 | -0.2494 | 0.0 | -0.1 |
| 012 | SLU STR | No | -0.1870 | -0.1864 | -0.1876 | -0.1886 | 0.0 | 0.0 |
| 013 | SLU STR | No | -0.1290 | -0.1273 | -0.1322 | -0.1349 | 0.0 | -0.1 |
| 014 | SLU STR | No | -0.2040 | -0.2023 | -0.2072 | -0.2099 | 0.0 | -0.1 |
| 015 | SLE rare | No | -0.1143 | -0.1137 | -0.1149 | -0.1159 | 0.0 | 0.0 |
| 016 | SLE rare | No | -0.1493 | -0.1487 | -0.1499 | -0.1509 | 0.0 | 0.0 |
| 017 | SLE rare | No | -0.1304 | -0.1288 | -0.1336 | -0.1362 | 0.0 | -0.1 |
| 018 | SLE rare | No | -0.1654 | -0.1638 | -0.1686 | -0.1712 | 0.0 | -0.1 |
| 019 | SLE rare | No | -0.1643 | -0.1637 | -0.1649 | -0.1659 | 0.0 | 0.0 |
| 020 | SLE rare | No | -0.1256 | -0.1243 | -0.1280 | -0.1301 | 0.0 | 0.0 |
| 021 | SLE rare | No | -0.1756 | -0.1743 | -0.1780 | -0.1801 | 0.0 | 0.0 |
| 022 | SLE freq | No | -0.1143 | -0.1137 | -0.1149 | -0.1159 | 0.0 | 0.0 |
| 023 | SLE freq | No | -0.1443 | -0.1437 | -0.1449 | -0.1459 | 0.0 | 0.0 |
| 024 | SLE freq | No | -0.1256 | -0.1243 | -0.1280 | -0.1301 | 0.0 | 0.0 |
| 025 | SLE freq | No | -0.1556 | -0.1543 | -0.1580 | -0.1601 | 0.0 | 0.0 |
| 026 | SLE freq | No | -0.1493 | -0.1487 | -0.1499 | -0.1509 | 0.0 | 0.0 |
| 027 | SLE freq | No | -0.1240 | -0.1228 | -0.1261 | -0.1281 | 0.0 | 0.0 |
| 028 | SLE freq | No | -0.1590 | -0.1578 | -0.1611 | -0.1631 | 0.0 | 0.0 |
| 029 | SLE q.p. | No | -0.1143 | -0.1137 | -0.1149 | -0.1159 | 0.0 | 0.0 |
| 030 | SLE q.p. | No | -0.1443 | -0.1437 | -0.1449 | -0.1459 | 0.0 | 0.0 |
| 031 | SLE q.p. | No | -0.1240 | -0.1228 | -0.1261 | -0.1281 | 0.0 | 0.0 |
| 032 | SLE q.p. | No | -0.1540 | -0.1528 | -0.1561 | -0.1581 | 0.0 | 0.0 |
| 033 | SLV A1 | Si | -0.0782 | -0.0824 | -0.0962 | -0.0888 | 18.8 | 32.6 |
| 034 | SLV A1 | Si | -0.1261 | -0.1309 | -0.1359 | -0.1276 | 10.5 | 19.3 |
| 035 | SLV A1 | Si | -0.1818 | -0.1746 | -0.1764 | -0.1886 | -10.4 | -19.4 |
| 036 | SLV A1 | Si | -0.2298 | -0.2231 | -0.2161 | -0.2274 | -18.7 | -32.6 |
| 037 | SLV A1 | Si | -0.0778 | -0.0821 | -0.0959 | -0.0884 | 10.7 | 32.6 |
| 038 | SLV A1 | Si | -0.1265 | -0.1312 | -0.1362 | -0.1280 | 18.5 | 19.2 |
| 039 | SLV A1 | Si | -0.1814 | -0.1743 | -0.1761 | -0.1882 | -18.5 | -19.3 |
| 040 | SLV A1 | Si | -0.2302 | -0.2234 | -0.2164 | -0.2278 | -10.7 | -32.7 |
| 041 | SLV A1 | Si | -0.0702 | -0.0742 | -0.0896 | -0.0826 | 17.9 | 36.7 |
| 042 | SLV A1 | Si | -0.1182 | -0.1227 | -0.1293 | -0.1215 | 9.6 | 23.4 |
| 043 | SLV A1 | Si | -0.1898 | -0.1828 | -0.1830 | -0.1947 | -9.5 | -23.5 |
| 044 | SLV A1 | Si | -0.2377 | -0.2313 | -0.2227 | -0.2336 | -17.8 | -36.8 |
| 045 | SLV A1 | Si | -0.0698 | -0.0739 | -0.0893 | -0.0822 | 9.8 | 36.8 |
| 046 | SLV A1 | Si | -0.1186 | -0.1230 | -0.1296 | -0.1219 | 17.6 | 23.4 |
| 047 | SLV A1 | Si | -0.1894 | -0.1825 | -0.1827 | -0.1943 | -17.6 | -23.4 |
| 048 | SLV A1 | Si | -0.2381 | -0.2316 | -0.2230 | -0.2340 | -9.8 | -36.9 |
| 049 | SLV A1 | Si | -0.0585 | -0.0582 | -0.0779 | -0.0784 | 18.2 | 29.8 |
| 050 | SLV A1 | Si | -0.2183 | -0.2197 | -0.2103 | -0.2079 | -9.4 | -14.3 |
| 051 | SLV A1 | Si | -0.0896 | -0.0858 | -0.1020 | -0.1083 | 9.4 | 14.2 |
| 052 | SLV A1 | Si | -0.2494 | -0.2473 | -0.2344 | -0.2378 | -18.1 | -29.9 |
| 053 | SLV A1 | Si | -0.0562 | -0.0557 | -0.0760 | -0.0765 | 17.9 | 31.1 |
| 054 | SLV A1 | Si | -0.2159 | -0.2172 | -0.2083 | -0.2061 | -9.6 | -13.1 |
| 055 | SLV A1 | Si | -0.0920 | -0.0883 | -0.1040 | -0.1101 | 9.7 | 13.0 |
| 056 | SLV A1 | Si | -0.2518 | -0.2498 | -0.2363 | -0.2397 | -17.9 | -31.2 |
| 057 | SLV A1 | Si | -0.0572 | -0.0571 | -0.0770 | -0.0770 | -8.6 | 30.1 |
| 058 | SLV A1 | Si | -0.2197 | -0.2208 | -0.2112 | -0.2093 | 17.4 | -14.6 |
| 059 | SLV A1 | Si | -0.0883 | -0.0847 | -0.1011 | -0.1070 | -17.4 | 14.5 |
| 060 | SLV A1 | Si | -0.2507 | -0.2484 | -0.2353 | -0.2392 | 8.7 | -30.2 |
| 061 | SLV A1 | Si | -0.0548 | -0.0546 | -0.0750 | -0.0752 | -8.9 | 31.3 |
| 062 | SLV A1 | Si | -0.2173 | -0.2183 | -0.2093 | -0.2074 | 17.2 | -13.4 |
| 063 | SLV A1 | Si | -0.0907 | -0.0872 | -0.1030 | -0.1088 | -17.1 | 13.3 |
| 064 | SLV A1 | Si | -0.2531 | -0.2509 | -0.2373 | -0.2410 | 8.9 | -31.4 |
| 065 | SLD | Si | -0.1196 | -0.1208 | -0.1289 | -0.1266 | 8.5 | 14.7 |
| 066 | SLD | Si | -0.1414 | -0.1429 | -0.1470 | -0.1444 | 4.7 | 8.7 |
| 067 | SLD | Si | -0.1665 | -0.1626 | -0.1653 | -0.1718 | -4.7 | -8.8 |
| 068 | SLD | Si | -0.1884 | -0.1847 | -0.1834 | -0.1896 | -8.4 | -14.8 |
| 069 | SLD | Si | -0.1194 | -0.1207 | -0.1288 | -0.1264 | 4.8 | 14.7 |
| 070 | SLD | Si | -0.1416 | -0.1431 | -0.1471 | -0.1445 | 8.4 | 8.7 |
| 071 | SLD | Si | -0.1663 | -0.1624 | -0.1651 | -0.1717 | -8.3 | -8.8 |
| 072 | SLD | Si | -0.1886 | -0.1848 | -0.1835 | -0.1898 | -4.8 | -14.8 |
| 073 | SLD | Si | -0.1159 | -0.1171 | -0.1259 | -0.1238 | 8.1 | 16.6 |

Relazione Geotecnica e delle Fondazioni

| | | | | | | | | |
|-----|-----|----|---------|---------|---------|---------|------|-------|
| 074 | SLD | Si | -0.1378 | -0.1392 | -0.1440 | -0.1415 | 4.3 | 10.6 |
| 075 | SLD | Si | -0.1701 | -0.1663 | -0.1683 | -0.1747 | -4.3 | -10.7 |
| 076 | SLD | Si | -0.1920 | -0.1885 | -0.1864 | -0.1924 | -8.0 | -16.7 |
| 077 | SLD | Si | -0.1157 | -0.1169 | -0.1258 | -0.1236 | 4.4 | 16.6 |
| 078 | SLD | Si | -0.1380 | -0.1393 | -0.1442 | -0.1417 | 8.0 | 10.6 |
| 079 | SLD | Si | -0.1700 | -0.1662 | -0.1681 | -0.1745 | -7.9 | -10.7 |
| 080 | SLD | Si | -0.1922 | -0.1886 | -0.1865 | -0.1926 | -4.4 | -16.7 |
| 081 | SLD | Si | -0.1105 | -0.1096 | -0.1205 | -0.1218 | 8.2 | 13.4 |
| 082 | SLD | Si | -0.1834 | -0.1833 | -0.1809 | -0.1809 | -4.2 | -6.4 |
| 083 | SLD | Si | -0.1246 | -0.1222 | -0.1314 | -0.1353 | 4.3 | 6.4 |
| 084 | SLD | Si | -0.1975 | -0.1959 | -0.1918 | -0.1944 | -8.2 | -13.5 |
| 085 | SLD | Si | -0.1094 | -0.1085 | -0.1196 | -0.1209 | 8.1 | 14.0 |
| 086 | SLD | Si | -0.1823 | -0.1822 | -0.1800 | -0.1800 | -4.4 | -5.9 |
| 087 | SLD | Si | -0.1256 | -0.1233 | -0.1323 | -0.1362 | 4.4 | 5.8 |
| 088 | SLD | Si | -0.1986 | -0.1970 | -0.1927 | -0.1953 | -8.1 | -14.1 |
| 089 | SLD | Si | -0.1099 | -0.1091 | -0.1201 | -0.1212 | -3.9 | 13.5 |
| 090 | SLD | Si | -0.1840 | -0.1838 | -0.1813 | -0.1815 | 7.9 | -6.6 |
| 091 | SLD | Si | -0.1240 | -0.1217 | -0.1310 | -0.1347 | -7.8 | 6.5 |
| 092 | SLD | Si | -0.1981 | -0.1964 | -0.1922 | -0.1950 | 3.9 | -13.6 |
| 093 | SLD | Si | -0.1088 | -0.1080 | -0.1192 | -0.1203 | -4.0 | 14.1 |
| 094 | SLD | Si | -0.1829 | -0.1827 | -0.1804 | -0.1806 | 7.8 | -6.0 |
| 095 | SLD | Si | -0.1251 | -0.1228 | -0.1319 | -0.1356 | -7.7 | 5.9 |
| 096 | SLD | Si | -0.1992 | -0.1975 | -0.1931 | -0.1959 | 4.1 | -14.2 |
| 097 | SLO | Si | -0.1267 | -0.1275 | -0.1346 | -0.1332 | 6.7 | 11.6 |
| 098 | SLO | Si | -0.1439 | -0.1449 | -0.1488 | -0.1471 | 3.8 | 6.9 |
| 099 | SLO | Si | -0.1640 | -0.1607 | -0.1635 | -0.1691 | -3.7 | -7.0 |
| 100 | SLO | Si | -0.1812 | -0.1780 | -0.1777 | -0.1830 | -6.7 | -11.7 |
| 101 | SLO | Si | -0.1265 | -0.1273 | -0.1344 | -0.1330 | 3.8 | 11.7 |
| 102 | SLO | Si | -0.1442 | -0.1451 | -0.1490 | -0.1473 | 6.6 | 6.9 |
| 103 | SLO | Si | -0.1638 | -0.1604 | -0.1633 | -0.1689 | -6.6 | -7.0 |
| 104 | SLO | Si | -0.1814 | -0.1782 | -0.1779 | -0.1832 | -3.8 | -11.8 |
| 105 | SLO | Si | -0.1239 | -0.1245 | -0.1322 | -0.1310 | 6.4 | 13.1 |
| 106 | SLO | Si | -0.1410 | -0.1419 | -0.1465 | -0.1449 | 3.5 | 8.4 |
| 107 | SLO | Si | -0.1669 | -0.1636 | -0.1658 | -0.1713 | -3.4 | -8.5 |
| 108 | SLO | Si | -0.1841 | -0.1810 | -0.1801 | -0.1852 | -6.4 | -13.2 |
| 109 | SLO | Si | -0.1236 | -0.1243 | -0.1320 | -0.1307 | 3.5 | 13.2 |
| 110 | SLO | Si | -0.1413 | -0.1421 | -0.1466 | -0.1451 | 6.3 | 8.4 |
| 111 | SLO | Si | -0.1667 | -0.1634 | -0.1657 | -0.1711 | -6.3 | -8.5 |
| 112 | SLO | Si | -0.1843 | -0.1812 | -0.1802 | -0.1855 | -3.5 | -13.3 |
| 113 | SLO | Si | -0.1198 | -0.1188 | -0.1281 | -0.1295 | 6.5 | 10.6 |
| 114 | SLO | Si | -0.1770 | -0.1767 | -0.1755 | -0.1759 | -3.3 | -5.1 |
| 115 | SLO | Si | -0.1309 | -0.1288 | -0.1368 | -0.1403 | 3.4 | 5.0 |
| 116 | SLO | Si | -0.1882 | -0.1867 | -0.1842 | -0.1867 | -6.5 | -10.7 |
| 117 | SLO | Si | -0.1189 | -0.1180 | -0.1274 | -0.1288 | 6.4 | 11.1 |
| 118 | SLO | Si | -0.1761 | -0.1758 | -0.1748 | -0.1753 | -3.4 | -4.7 |
| 119 | SLO | Si | -0.1318 | -0.1297 | -0.1375 | -0.1409 | 3.5 | 4.6 |
| 120 | SLO | Si | -0.1891 | -0.1876 | -0.1849 | -0.1874 | -6.4 | -11.2 |
| 121 | SLO | Si | -0.1190 | -0.1181 | -0.1275 | -0.1288 | -3.1 | 10.7 |
| 122 | SLO | Si | -0.1778 | -0.1774 | -0.1761 | -0.1767 | 6.3 | -5.2 |
| 123 | SLO | Si | -0.1301 | -0.1281 | -0.1362 | -0.1395 | -6.2 | 5.1 |
| 124 | SLO | Si | -0.1890 | -0.1874 | -0.1848 | -0.1874 | 3.1 | -10.8 |
| 125 | SLO | Si | -0.1181 | -0.1172 | -0.1268 | -0.1281 | -3.2 | 11.2 |
| 126 | SLO | Si | -0.1769 | -0.1765 | -0.1754 | -0.1760 | 6.2 | -4.8 |
| 127 | SLO | Si | -0.1310 | -0.1290 | -0.1369 | -0.1402 | -6.1 | 4.7 |
| 128 | SLO | Si | -0.1898 | -0.1883 | -0.1855 | -0.1881 | 3.2 | -11.3 |

Elemento: Platea n. 93

| Cmb | Tipo | Sism. | Press. N1 | Press. N2 | Press. N3 | Press. N4 | S. Taglio X | S. Taglio Y |
|-----|---------|-------|---------------------|---------------------|---------------------|---------------------|-------------|-------------|
| n. | | | daN/cm ² | daN/cm ² | daN/cm ² | daN/cm ² | daN | daN |
| 001 | SLU STR | No | -0.1680 | -0.1668 | -0.1712 | -0.1722 | -0.1 | 0.0 |
| 002 | SLU STR | No | -0.2205 | -0.2193 | -0.2237 | -0.2247 | -0.1 | 0.0 |
| 003 | SLU STR | No | -0.2439 | -0.2397 | -0.2579 | -0.2611 | -0.5 | -0.3 |
| 004 | SLU STR | No | -0.2964 | -0.2922 | -0.3104 | -0.3136 | -0.5 | -0.3 |
| 005 | SLU STR | No | -0.1242 | -0.1233 | -0.1265 | -0.1272 | -0.1 | 0.0 |
| 006 | SLU STR | No | -0.1767 | -0.1758 | -0.1790 | -0.1797 | -0.1 | 0.0 |
| 007 | SLU STR | No | -0.2001 | -0.1962 | -0.2132 | -0.2161 | -0.5 | -0.3 |
| 008 | SLU STR | No | -0.2526 | -0.2487 | -0.2657 | -0.2686 | -0.5 | -0.3 |
| 009 | SLU STR | No | -0.2430 | -0.2418 | -0.2462 | -0.2472 | -0.1 | 0.0 |
| 010 | SLU STR | No | -0.2211 | -0.2178 | -0.2319 | -0.2344 | -0.4 | -0.2 |
| 011 | SLU STR | No | -0.2961 | -0.2928 | -0.3069 | -0.3094 | -0.4 | -0.2 |
| 012 | SLU STR | No | -0.1992 | -0.1983 | -0.2015 | -0.2022 | -0.1 | 0.0 |
| 013 | SLU STR | No | -0.1773 | -0.1743 | -0.1872 | -0.1894 | -0.3 | -0.2 |
| 014 | SLU STR | No | -0.2523 | -0.2493 | -0.2622 | -0.2644 | -0.3 | -0.2 |

| | | | |
|--------------------------------------|------------------------------------------------------------------------------------------------------------------------------|----------------------------------------------------------------------------------|-------------|
| COMMITTENTE: Mecca Antonio | CODICE COMMESSA: | NOME ELABORATO: S1.5 - Relazione Geotecnica e delle Fondazioni | CONSULENTE: |
| DATA: Aprile 2023 | TITOLO: Lavori ultimazione di un fabbricato adibito ad albergo-ristorante– C.da Case Nuove Chicone Avigliano (PZ) | | |

| | | | | | | | | |
|-----|----------|----|---------|---------|---------|---------|-------|-------|
| 015 | SLE rare | No | -0.1270 | -0.1261 | -0.1294 | -0.1302 | -0.1 | 0.0 |
| 016 | SLE rare | No | -0.1620 | -0.1611 | -0.1644 | -0.1652 | -0.1 | 0.0 |
| 017 | SLE rare | No | -0.1777 | -0.1747 | -0.1872 | -0.1894 | -0.3 | -0.2 |
| 018 | SLE rare | No | -0.2127 | -0.2097 | -0.2222 | -0.2244 | -0.3 | -0.2 |
| 019 | SLE rare | No | -0.1770 | -0.1761 | -0.1794 | -0.1802 | -0.1 | 0.0 |
| 020 | SLE rare | No | -0.1625 | -0.1601 | -0.1699 | -0.1717 | -0.3 | -0.1 |
| 021 | SLE rare | No | -0.2125 | -0.2101 | -0.2199 | -0.2217 | -0.3 | -0.1 |
| 022 | SLE freq | No | -0.1270 | -0.1261 | -0.1294 | -0.1302 | -0.1 | 0.0 |
| 023 | SLE freq | No | -0.1570 | -0.1561 | -0.1594 | -0.1602 | -0.1 | 0.0 |
| 024 | SLE freq | No | -0.1625 | -0.1601 | -0.1699 | -0.1717 | -0.3 | -0.1 |
| 025 | SLE freq | No | -0.1925 | -0.1901 | -0.1999 | -0.2017 | -0.3 | -0.1 |
| 026 | SLE freq | No | -0.1620 | -0.1611 | -0.1644 | -0.1652 | -0.1 | 0.0 |
| 027 | SLE freq | No | -0.1574 | -0.1553 | -0.1641 | -0.1657 | -0.2 | -0.1 |
| 028 | SLE freq | No | -0.1924 | -0.1903 | -0.1991 | -0.2007 | -0.2 | -0.1 |
| 029 | SLE q.p. | No | -0.1270 | -0.1261 | -0.1294 | -0.1302 | -0.1 | 0.0 |
| 030 | SLE q.p. | No | -0.1570 | -0.1561 | -0.1594 | -0.1602 | -0.1 | 0.0 |
| 031 | SLE q.p. | No | -0.1574 | -0.1553 | -0.1641 | -0.1657 | -0.2 | -0.1 |
| 032 | SLE q.p. | No | -0.1874 | -0.1853 | -0.1941 | -0.1957 | -0.2 | -0.1 |
| 033 | SLV A1 | Si | -0.1745 | -0.1775 | -0.1984 | -0.1921 | 45.8 | 66.9 |
| 034 | SLV A1 | Si | -0.1453 | -0.1515 | -0.1553 | -0.1470 | 66.8 | 39.7 |
| 035 | SLV A1 | Si | -0.2295 | -0.2190 | -0.2329 | -0.2444 | -67.2 | -39.9 |
| 036 | SLV A1 | Si | -0.2003 | -0.1930 | -0.1898 | -0.1993 | -46.2 | -67.2 |
| 037 | SLV A1 | Si | -0.1743 | -0.1774 | -0.1983 | -0.1920 | 66.3 | 67.1 |
| 038 | SLV A1 | Si | -0.1454 | -0.1517 | -0.1553 | -0.1472 | 46.3 | 39.6 |
| 039 | SLV A1 | Si | -0.2294 | -0.2189 | -0.2329 | -0.2443 | -46.8 | -39.8 |
| 040 | SLV A1 | Si | -0.2005 | -0.1931 | -0.1899 | -0.1995 | -66.7 | -67.3 |
| 041 | SLV A1 | Si | -0.1755 | -0.1781 | -0.1945 | -0.1911 | 48.7 | 75.5 |
| 042 | SLV A1 | Si | -0.1462 | -0.1521 | -0.1514 | -0.1460 | 69.7 | 48.2 |
| 043 | SLV A1 | Si | -0.2286 | -0.2185 | -0.2368 | -0.2454 | -70.1 | -48.4 |
| 044 | SLV A1 | Si | -0.1993 | -0.1925 | -0.1937 | -0.2003 | -49.1 | -75.7 |
| 045 | SLV A1 | Si | -0.1753 | -0.1780 | -0.1945 | -0.1910 | 69.1 | 75.6 |
| 046 | SLV A1 | Si | -0.1464 | -0.1522 | -0.1515 | -0.1462 | 49.2 | 48.1 |
| 047 | SLV A1 | Si | -0.2284 | -0.2183 | -0.2368 | -0.2453 | -49.6 | -48.3 |
| 048 | SLV A1 | Si | -0.1995 | -0.1926 | -0.1938 | -0.2005 | -69.6 | -75.8 |
| 049 | SLV A1 | Si | -0.2279 | -0.2224 | -0.2608 | -0.2631 | -18.3 | 61.3 |
| 050 | SLV A1 | Si | -0.1304 | -0.1357 | -0.1171 | -0.1127 | 51.8 | -29.5 |
| 051 | SLV A1 | Si | -0.2444 | -0.2348 | -0.2712 | -0.2788 | -52.2 | 29.3 |
| 052 | SLV A1 | Si | -0.1469 | -0.1482 | -0.1274 | -0.1284 | 17.9 | -61.6 |
| 053 | SLV A1 | Si | -0.2281 | -0.2226 | -0.2596 | -0.2628 | -17.4 | 63.9 |
| 054 | SLV A1 | Si | -0.1307 | -0.1359 | -0.1159 | -0.1124 | 52.6 | -27.0 |
| 055 | SLV A1 | Si | -0.2441 | -0.2347 | -0.2723 | -0.2791 | -53.1 | 26.7 |
| 056 | SLV A1 | Si | -0.1467 | -0.1480 | -0.1286 | -0.1287 | 17.0 | -64.1 |
| 057 | SLV A1 | Si | -0.2273 | -0.2220 | -0.2606 | -0.2625 | 49.9 | 61.8 |
| 058 | SLV A1 | Si | -0.1310 | -0.1361 | -0.1173 | -0.1132 | -16.5 | -30.0 |
| 059 | SLV A1 | Si | -0.2438 | -0.2345 | -0.2709 | -0.2782 | 16.0 | 29.7 |
| 060 | SLV A1 | Si | -0.1475 | -0.1485 | -0.1276 | -0.1289 | -50.4 | -62.0 |
| 061 | SLV A1 | Si | -0.2276 | -0.2222 | -0.2594 | -0.2622 | 50.8 | 64.4 |
| 062 | SLV A1 | Si | -0.1313 | -0.1362 | -0.1161 | -0.1129 | -15.6 | -27.4 |
| 063 | SLV A1 | Si | -0.2435 | -0.2343 | -0.2721 | -0.2785 | 15.2 | 27.2 |
| 064 | SLV A1 | Si | -0.1472 | -0.1484 | -0.1288 | -0.1292 | -51.3 | -64.6 |
| 065 | SLD | Si | -0.1816 | -0.1818 | -0.1961 | -0.1942 | 20.6 | 30.2 |
| 066 | SLD | Si | -0.1683 | -0.1700 | -0.1764 | -0.1736 | 30.2 | 17.9 |
| 067 | SLD | Si | -0.2065 | -0.2006 | -0.2118 | -0.2179 | -30.6 | -18.2 |
| 068 | SLD | Si | -0.1932 | -0.1887 | -0.1921 | -0.1973 | -21.0 | -30.4 |
| 069 | SLD | Si | -0.1815 | -0.1818 | -0.1961 | -0.1941 | 29.9 | 30.3 |
| 070 | SLD | Si | -0.1683 | -0.1700 | -0.1765 | -0.1737 | 20.8 | 17.9 |
| 071 | SLD | Si | -0.2065 | -0.2005 | -0.2117 | -0.2178 | -21.3 | -18.1 |
| 072 | SLD | Si | -0.1933 | -0.1888 | -0.1921 | -0.1974 | -30.4 | -30.5 |
| 073 | SLD | Si | -0.1820 | -0.1820 | -0.1943 | -0.1937 | 21.9 | 34.1 |
| 074 | SLD | Si | -0.1687 | -0.1702 | -0.1746 | -0.1731 | 31.5 | 21.8 |
| 075 | SLD | Si | -0.2061 | -0.2004 | -0.2136 | -0.2184 | -31.9 | -22.0 |
| 076 | SLD | Si | -0.1928 | -0.1885 | -0.1939 | -0.1978 | -22.4 | -34.3 |
| 077 | SLD | Si | -0.1819 | -0.1820 | -0.1943 | -0.1936 | 31.2 | 34.1 |
| 078 | SLD | Si | -0.1688 | -0.1702 | -0.1747 | -0.1732 | 22.2 | 21.7 |
| 079 | SLD | Si | -0.2060 | -0.2003 | -0.2135 | -0.2183 | -22.6 | -22.0 |
| 080 | SLD | Si | -0.1929 | -0.1886 | -0.1939 | -0.1979 | -31.7 | -34.4 |
| 081 | SLD | Si | -0.2059 | -0.2022 | -0.2246 | -0.2265 | -8.5 | 27.6 |
| 082 | SLD | Si | -0.1614 | -0.1627 | -0.1590 | -0.1579 | 23.4 | -13.3 |
| 083 | SLD | Si | -0.2134 | -0.2079 | -0.2293 | -0.2336 | -23.9 | 13.1 |
| 084 | SLD | Si | -0.1689 | -0.1683 | -0.1636 | -0.1650 | 8.1 | -27.8 |
| 085 | SLD | Si | -0.2060 | -0.2023 | -0.2240 | -0.2264 | -8.1 | 28.7 |
| 086 | SLD | Si | -0.1616 | -0.1628 | -0.1584 | -0.1577 | 23.8 | -12.1 |

Relazione Geotecnica e delle Fondazioni

| | | | | | | | | |
|-----|-----|----|---------|---------|---------|---------|-------|-------|
| 087 | SLD | Si | -0.2132 | -0.2078 | -0.2298 | -0.2338 | -24.3 | 11.9 |
| 088 | SLD | Si | -0.1688 | -0.1682 | -0.1642 | -0.1651 | 7.7 | -29.0 |
| 089 | SLD | Si | -0.2056 | -0.2021 | -0.2245 | -0.2262 | 22.6 | 27.8 |
| 090 | SLD | Si | -0.1617 | -0.1629 | -0.1591 | -0.1581 | -7.7 | -13.5 |
| 091 | SLD | Si | -0.2131 | -0.2077 | -0.2291 | -0.2333 | 7.2 | 13.3 |
| 092 | SLD | Si | -0.1692 | -0.1685 | -0.1638 | -0.1652 | -23.0 | -28.0 |
| 093 | SLD | Si | -0.2057 | -0.2021 | -0.2239 | -0.2261 | 23.0 | 29.0 |
| 094 | SLD | Si | -0.1618 | -0.1629 | -0.1585 | -0.1580 | -7.3 | -12.4 |
| 095 | SLD | Si | -0.2130 | -0.2076 | -0.2297 | -0.2335 | 6.8 | 12.1 |
| 096 | SLD | Si | -0.1691 | -0.1684 | -0.1643 | -0.1654 | -23.4 | -29.2 |
| 097 | SLO | Si | -0.1827 | -0.1825 | -0.1956 | -0.1944 | 16.3 | 23.9 |
| 098 | SLO | Si | -0.1723 | -0.1732 | -0.1802 | -0.1783 | 23.9 | 14.2 |
| 099 | SLO | Si | -0.2025 | -0.1974 | -0.2080 | -0.2132 | -24.3 | -14.4 |
| 100 | SLO | Si | -0.1921 | -0.1881 | -0.1926 | -0.1971 | -16.8 | -24.2 |
| 101 | SLO | Si | -0.1827 | -0.1825 | -0.1957 | -0.1944 | 23.7 | 24.0 |
| 102 | SLO | Si | -0.1723 | -0.1732 | -0.1801 | -0.1782 | 16.5 | 14.1 |
| 103 | SLO | Si | -0.2025 | -0.1974 | -0.2081 | -0.2132 | -16.9 | -14.4 |
| 104 | SLO | Si | -0.1921 | -0.1881 | -0.1925 | -0.1970 | -24.1 | -24.2 |
| 105 | SLO | Si | -0.1831 | -0.1827 | -0.1942 | -0.1941 | 17.4 | 27.0 |
| 106 | SLO | Si | -0.1726 | -0.1734 | -0.1788 | -0.1779 | 24.9 | 17.3 |
| 107 | SLO | Si | -0.2022 | -0.1972 | -0.2094 | -0.2136 | -25.4 | -17.5 |
| 108 | SLO | Si | -0.1917 | -0.1879 | -0.1940 | -0.1974 | -17.8 | -27.2 |
| 109 | SLO | Si | -0.1831 | -0.1827 | -0.1943 | -0.1941 | 24.7 | 27.1 |
| 110 | SLO | Si | -0.1726 | -0.1733 | -0.1787 | -0.1779 | 17.5 | 17.2 |
| 111 | SLO | Si | -0.2022 | -0.1972 | -0.2095 | -0.2136 | -18.0 | -17.5 |
| 112 | SLO | Si | -0.1917 | -0.1879 | -0.1939 | -0.1974 | -25.2 | -27.3 |
| 113 | SLO | Si | -0.2019 | -0.1986 | -0.2180 | -0.2198 | -6.7 | 21.8 |
| 114 | SLO | Si | -0.1670 | -0.1675 | -0.1665 | -0.1660 | 18.4 | -10.6 |
| 115 | SLO | Si | -0.2078 | -0.2030 | -0.2217 | -0.2255 | -18.9 | 10.3 |
| 116 | SLO | Si | -0.1729 | -0.1720 | -0.1702 | -0.1716 | 6.2 | -22.1 |
| 117 | SLO | Si | -0.2020 | -0.1986 | -0.2176 | -0.2197 | -6.4 | 22.8 |
| 118 | SLO | Si | -0.1671 | -0.1676 | -0.1661 | -0.1659 | 18.8 | -9.6 |
| 119 | SLO | Si | -0.2077 | -0.2030 | -0.2221 | -0.2256 | -19.2 | 9.4 |
| 120 | SLO | Si | -0.1728 | -0.1719 | -0.1706 | -0.1717 | 5.9 | -23.0 |
| 121 | SLO | Si | -0.2019 | -0.1986 | -0.2182 | -0.2200 | 17.9 | 22.0 |
| 122 | SLO | Si | -0.1670 | -0.1675 | -0.1663 | -0.1659 | -6.1 | -10.8 |
| 123 | SLO | Si | -0.2078 | -0.2031 | -0.2219 | -0.2256 | 5.7 | 10.5 |
| 124 | SLO | Si | -0.1729 | -0.1719 | -0.1700 | -0.1715 | -18.3 | -22.3 |
| 125 | SLO | Si | -0.2020 | -0.1987 | -0.2178 | -0.2198 | 18.2 | 23.0 |
| 126 | SLO | Si | -0.1671 | -0.1675 | -0.1659 | -0.1658 | -5.8 | -9.8 |
| 127 | SLO | Si | -0.2077 | -0.2030 | -0.2223 | -0.2257 | 5.4 | 9.6 |
| 128 | SLO | Si | -0.1728 | -0.1719 | -0.1704 | -0.1716 | -18.6 | -23.2 |

Elemento: Platea n. 94

| Cmb | Tipo | Sism. | Press. N1 | Press. N2 | Press. N3 | Press. N4 | S. Taglio X | S. Taglio Y |
|-----|----------|-------|---------------------|---------------------|---------------------|---------------------|-------------|-------------|
| n. | | | daN/cm ² | daN/cm ² | daN/cm ² | daN/cm ² | daN | daN |
| 001 | SLU STR | No | -0.1630 | -0.1629 | -0.1660 | -0.1668 | 0.0 | 0.0 |
| 002 | SLU STR | No | -0.2155 | -0.2154 | -0.2185 | -0.2193 | 0.0 | 0.0 |
| 003 | SLU STR | No | -0.2245 | -0.2243 | -0.2368 | -0.2397 | -0.1 | 0.0 |
| 004 | SLU STR | No | -0.2770 | -0.2768 | -0.2893 | -0.2922 | -0.1 | 0.0 |
| 005 | SLU STR | No | -0.1206 | -0.1205 | -0.1227 | -0.1233 | 0.0 | 0.0 |
| 006 | SLU STR | No | -0.1731 | -0.1730 | -0.1752 | -0.1758 | 0.0 | 0.0 |
| 007 | SLU STR | No | -0.1821 | -0.1820 | -0.1936 | -0.1962 | -0.1 | 0.0 |
| 008 | SLU STR | No | -0.2346 | -0.2345 | -0.2461 | -0.2487 | -0.1 | 0.0 |
| 009 | SLU STR | No | -0.2380 | -0.2379 | -0.2410 | -0.2418 | 0.0 | 0.0 |
| 010 | SLU STR | No | -0.2061 | -0.2059 | -0.2155 | -0.2178 | -0.1 | 0.0 |
| 011 | SLU STR | No | -0.2811 | -0.2809 | -0.2905 | -0.2928 | -0.1 | 0.0 |
| 012 | SLU STR | No | -0.1956 | -0.1955 | -0.1977 | -0.1983 | 0.0 | 0.0 |
| 013 | SLU STR | No | -0.1637 | -0.1635 | -0.1723 | -0.1743 | -0.1 | 0.0 |
| 014 | SLU STR | No | -0.2387 | -0.2385 | -0.2473 | -0.2493 | -0.1 | 0.0 |
| 015 | SLE rare | No | -0.1233 | -0.1232 | -0.1255 | -0.1261 | 0.0 | 0.0 |
| 016 | SLE rare | No | -0.1583 | -0.1582 | -0.1605 | -0.1611 | 0.0 | 0.0 |
| 017 | SLE rare | No | -0.1643 | -0.1642 | -0.1727 | -0.1747 | -0.1 | 0.0 |
| 018 | SLE rare | No | -0.1993 | -0.1992 | -0.2077 | -0.2097 | -0.1 | 0.0 |
| 019 | SLE rare | No | -0.1733 | -0.1732 | -0.1755 | -0.1761 | 0.0 | 0.0 |
| 020 | SLE rare | No | -0.1520 | -0.1519 | -0.1586 | -0.1601 | -0.1 | 0.0 |
| 021 | SLE rare | No | -0.2020 | -0.2019 | -0.2086 | -0.2101 | -0.1 | 0.0 |
| 022 | SLE freq | No | -0.1233 | -0.1232 | -0.1255 | -0.1261 | 0.0 | 0.0 |
| 023 | SLE freq | No | -0.1533 | -0.1532 | -0.1555 | -0.1561 | 0.0 | 0.0 |
| 024 | SLE freq | No | -0.1520 | -0.1519 | -0.1586 | -0.1601 | -0.1 | 0.0 |
| 025 | SLE freq | No | -0.1820 | -0.1819 | -0.1886 | -0.1901 | -0.1 | 0.0 |
| 026 | SLE freq | No | -0.1583 | -0.1582 | -0.1605 | -0.1611 | 0.0 | 0.0 |
| 027 | SLE freq | No | -0.1479 | -0.1478 | -0.1539 | -0.1553 | -0.1 | 0.0 |

| | | | |
|--------------------------------------|------------------------------------------------------------------------------------------------------------------------------|----------------------------------------------------------------------------------|-------------|
| COMMITTENTE: Mecca Antonio | CODICE COMMESSA: | NOME ELABORATO: S1.5 - Relazione Geotecnica e delle Fondazioni | CONSULENTE: |
| DATA: Aprile 2023 | TITOLO: Lavori ultimazione di un fabbricato adibito ad albergo-ristorante- C.da Case Nuove Chicone Avigliano (PZ) | | |

| | | | | | | | | |
|-----|----------|----|---------|---------|---------|---------|-------|-------|
| 028 | SLE freq | No | -0.1829 | -0.1828 | -0.1889 | -0.1903 | -0.1 | 0.0 |
| 029 | SLE q.p. | No | -0.1233 | -0.1232 | -0.1255 | -0.1261 | 0.0 | 0.0 |
| 030 | SLE q.p. | No | -0.1533 | -0.1532 | -0.1555 | -0.1561 | 0.0 | 0.0 |
| 031 | SLE q.p. | No | -0.1479 | -0.1478 | -0.1539 | -0.1553 | -0.1 | 0.0 |
| 032 | SLE q.p. | No | -0.1779 | -0.1778 | -0.1839 | -0.1853 | -0.1 | 0.0 |
| 033 | SLV A1 | Si | -0.1595 | -0.1659 | -0.1799 | -0.1775 | 21.6 | 30.3 |
| 034 | SLV A1 | Si | -0.1474 | -0.1534 | -0.1558 | -0.1515 | 29.7 | 17.6 |
| 035 | SLV A1 | Si | -0.2085 | -0.2022 | -0.2119 | -0.2190 | -29.8 | -17.7 |
| 036 | SLV A1 | Si | -0.1963 | -0.1897 | -0.1878 | -0.1930 | -21.7 | -30.3 |
| 037 | SLV A1 | Si | -0.1595 | -0.1658 | -0.1798 | -0.1774 | 29.6 | 30.6 |
| 038 | SLV A1 | Si | -0.1474 | -0.1535 | -0.1559 | -0.1517 | 21.7 | 17.4 |
| 039 | SLV A1 | Si | -0.2084 | -0.2021 | -0.2118 | -0.2189 | -21.8 | -17.4 |
| 040 | SLV A1 | Si | -0.1964 | -0.1898 | -0.1879 | -0.1931 | -29.7 | -30.6 |
| 041 | SLV A1 | Si | -0.1604 | -0.1667 | -0.1799 | -0.1781 | 22.5 | 34.3 |
| 042 | SLV A1 | Si | -0.1483 | -0.1543 | -0.1558 | -0.1521 | 30.6 | 21.6 |
| 043 | SLV A1 | Si | -0.2076 | -0.2013 | -0.2119 | -0.2185 | -30.7 | -21.6 |
| 044 | SLV A1 | Si | -0.1954 | -0.1889 | -0.1878 | -0.1925 | -22.6 | -34.3 |
| 045 | SLV A1 | Si | -0.1604 | -0.1667 | -0.1798 | -0.1780 | 30.5 | 34.5 |
| 046 | SLV A1 | Si | -0.1483 | -0.1543 | -0.1559 | -0.1522 | 22.6 | 21.4 |
| 047 | SLV A1 | Si | -0.2075 | -0.2012 | -0.2118 | -0.2183 | -22.7 | -21.4 |
| 048 | SLV A1 | Si | -0.1955 | -0.1889 | -0.1879 | -0.1926 | -30.6 | -34.6 |
| 049 | SLV A1 | Si | -0.1908 | -0.1931 | -0.2192 | -0.2224 | -5.8 | 28.3 |
| 050 | SLV A1 | Si | -0.1503 | -0.1516 | -0.1389 | -0.1357 | 21.2 | -13.9 |
| 051 | SLV A1 | Si | -0.2055 | -0.2040 | -0.2288 | -0.2348 | -21.3 | 13.9 |
| 052 | SLV A1 | Si | -0.1650 | -0.1625 | -0.1485 | -0.1482 | 5.7 | -28.3 |
| 053 | SLV A1 | Si | -0.1911 | -0.1933 | -0.2192 | -0.2226 | -5.6 | 29.5 |
| 054 | SLV A1 | Si | -0.1506 | -0.1519 | -0.1389 | -0.1359 | 21.4 | -12.7 |
| 055 | SLV A1 | Si | -0.2053 | -0.2037 | -0.2288 | -0.2347 | -21.5 | 12.7 |
| 056 | SLV A1 | Si | -0.1647 | -0.1622 | -0.1485 | -0.1480 | 5.5 | -29.5 |
| 057 | SLV A1 | Si | -0.1906 | -0.1929 | -0.2189 | -0.2220 | 20.8 | 29.1 |
| 058 | SLV A1 | Si | -0.1505 | -0.1518 | -0.1392 | -0.1361 | -5.5 | -14.7 |
| 059 | SLV A1 | Si | -0.2053 | -0.2038 | -0.2285 | -0.2345 | 5.4 | 14.7 |
| 060 | SLV A1 | Si | -0.1652 | -0.1627 | -0.1488 | -0.1485 | -21.0 | -29.1 |
| 061 | SLV A1 | Si | -0.1909 | -0.1932 | -0.2189 | -0.2222 | 21.1 | 30.3 |
| 062 | SLV A1 | Si | -0.1508 | -0.1521 | -0.1392 | -0.1362 | -5.3 | -13.6 |
| 063 | SLV A1 | Si | -0.2051 | -0.2035 | -0.2285 | -0.2343 | 5.1 | 13.5 |
| 064 | SLV A1 | Si | -0.1650 | -0.1624 | -0.1488 | -0.1484 | -21.2 | -30.3 |
| 065 | SLD | Si | -0.1696 | -0.1724 | -0.1821 | -0.1818 | 9.7 | 13.7 |
| 066 | SLD | Si | -0.1641 | -0.1667 | -0.1711 | -0.1700 | 13.4 | 8.0 |
| 067 | SLD | Si | -0.1918 | -0.1888 | -0.1966 | -0.2006 | -13.5 | -8.0 |
| 068 | SLD | Si | -0.1862 | -0.1832 | -0.1856 | -0.1887 | -9.9 | -13.7 |
| 069 | SLD | Si | -0.1696 | -0.1724 | -0.1821 | -0.1818 | 13.4 | 13.8 |
| 070 | SLD | Si | -0.1641 | -0.1668 | -0.1712 | -0.1700 | 9.8 | 7.9 |
| 071 | SLD | Si | -0.1917 | -0.1888 | -0.1966 | -0.2005 | -9.9 | -7.9 |
| 072 | SLD | Si | -0.1863 | -0.1832 | -0.1856 | -0.1888 | -13.5 | -13.8 |
| 073 | SLD | Si | -0.1700 | -0.1728 | -0.1821 | -0.1820 | 10.1 | 15.5 |
| 074 | SLD | Si | -0.1645 | -0.1671 | -0.1711 | -0.1702 | 13.8 | 9.8 |
| 075 | SLD | Si | -0.1914 | -0.1885 | -0.1966 | -0.2004 | -14.0 | -9.8 |
| 076 | SLD | Si | -0.1859 | -0.1828 | -0.1856 | -0.1885 | -10.3 | -15.5 |
| 077 | SLD | Si | -0.1700 | -0.1728 | -0.1821 | -0.1820 | 13.8 | 15.6 |
| 078 | SLD | Si | -0.1645 | -0.1671 | -0.1711 | -0.1702 | 10.2 | 9.7 |
| 079 | SLD | Si | -0.1914 | -0.1884 | -0.1966 | -0.2003 | -10.3 | -9.7 |
| 080 | SLD | Si | -0.1859 | -0.1828 | -0.1857 | -0.1886 | -13.9 | -15.6 |
| 081 | SLD | Si | -0.1838 | -0.1848 | -0.2000 | -0.2022 | -2.7 | 12.7 |
| 082 | SLD | Si | -0.1654 | -0.1659 | -0.1634 | -0.1627 | 9.6 | -6.3 |
| 083 | SLD | Si | -0.1905 | -0.1897 | -0.2043 | -0.2079 | -9.7 | 6.2 |
| 084 | SLD | Si | -0.1720 | -0.1708 | -0.1677 | -0.1683 | 2.6 | -12.8 |
| 085 | SLD | Si | -0.1839 | -0.1849 | -0.2000 | -0.2023 | -2.6 | 13.3 |
| 086 | SLD | Si | -0.1655 | -0.1660 | -0.1634 | -0.1628 | 9.7 | -5.7 |
| 087 | SLD | Si | -0.1904 | -0.1896 | -0.2043 | -0.2078 | -9.8 | 5.7 |
| 088 | SLD | Si | -0.1719 | -0.1707 | -0.1677 | -0.1682 | 2.5 | -13.3 |
| 089 | SLD | Si | -0.1837 | -0.1847 | -0.1999 | -0.2021 | 9.4 | 13.1 |
| 090 | SLD | Si | -0.1655 | -0.1660 | -0.1635 | -0.1629 | -2.6 | -6.6 |
| 091 | SLD | Si | -0.1904 | -0.1896 | -0.2042 | -0.2077 | 2.4 | 6.6 |
| 092 | SLD | Si | -0.1721 | -0.1709 | -0.1678 | -0.1685 | -9.5 | -13.2 |
| 093 | SLD | Si | -0.1838 | -0.1848 | -0.1999 | -0.2021 | 9.5 | 13.7 |
| 094 | SLD | Si | -0.1656 | -0.1661 | -0.1635 | -0.1629 | -2.4 | -6.1 |
| 095 | SLD | Si | -0.1903 | -0.1895 | -0.2042 | -0.2076 | 2.3 | 6.1 |
| 096 | SLD | Si | -0.1720 | -0.1708 | -0.1678 | -0.1684 | -9.7 | -13.7 |
| 097 | SLO | Si | -0.1713 | -0.1735 | -0.1824 | -0.1825 | 7.7 | 10.8 |
| 098 | SLO | Si | -0.1670 | -0.1690 | -0.1738 | -0.1732 | 10.6 | 6.3 |
| 099 | SLO | Si | -0.1889 | -0.1865 | -0.1939 | -0.1974 | -10.8 | -6.4 |

Relazione Geotecnica e delle Fondazioni

| | | | | | | | | |
|-----|-----|----|---------|---------|---------|---------|-------|-------|
| 100 | SLO | Si | -0.1845 | -0.1821 | -0.1853 | -0.1881 | -7.8 | -10.9 |
| 101 | SLO | Si | -0.1713 | -0.1735 | -0.1824 | -0.1825 | 10.6 | 10.9 |
| 102 | SLO | Si | -0.1670 | -0.1690 | -0.1738 | -0.1732 | 7.7 | 6.2 |
| 103 | SLO | Si | -0.1889 | -0.1865 | -0.1939 | -0.1974 | -7.9 | -6.3 |
| 104 | SLO | Si | -0.1845 | -0.1821 | -0.1853 | -0.1881 | -10.7 | -11.0 |
| 105 | SLO | Si | -0.1716 | -0.1738 | -0.1824 | -0.1827 | 8.0 | 12.3 |
| 106 | SLO | Si | -0.1673 | -0.1693 | -0.1738 | -0.1734 | 11.0 | 7.8 |
| 107 | SLO | Si | -0.1886 | -0.1862 | -0.1939 | -0.1972 | -11.1 | -7.8 |
| 108 | SLO | Si | -0.1842 | -0.1818 | -0.1853 | -0.1879 | -8.2 | -12.3 |
| 109 | SLO | Si | -0.1716 | -0.1738 | -0.1824 | -0.1827 | 10.9 | 12.4 |
| 110 | SLO | Si | -0.1673 | -0.1693 | -0.1738 | -0.1733 | 8.1 | 7.7 |
| 111 | SLO | Si | -0.1886 | -0.1862 | -0.1939 | -0.1972 | -8.2 | -7.7 |
| 112 | SLO | Si | -0.1842 | -0.1818 | -0.1853 | -0.1879 | -11.1 | -12.4 |
| 113 | SLO | Si | -0.1825 | -0.1833 | -0.1965 | -0.1986 | -2.1 | 10.1 |
| 114 | SLO | Si | -0.1680 | -0.1684 | -0.1678 | -0.1675 | 7.6 | -5.0 |
| 115 | SLO | Si | -0.1878 | -0.1872 | -0.1999 | -0.2030 | -7.7 | 4.9 |
| 116 | SLO | Si | -0.1733 | -0.1723 | -0.1712 | -0.1720 | 2.0 | -10.1 |
| 117 | SLO | Si | -0.1826 | -0.1834 | -0.1965 | -0.1986 | -2.0 | 10.5 |
| 118 | SLO | Si | -0.1681 | -0.1685 | -0.1678 | -0.1676 | 7.7 | -4.5 |
| 119 | SLO | Si | -0.1877 | -0.1871 | -0.1999 | -0.2030 | -7.8 | 4.5 |
| 120 | SLO | Si | -0.1732 | -0.1722 | -0.1712 | -0.1719 | 1.9 | -10.6 |
| 121 | SLO | Si | -0.1825 | -0.1833 | -0.1966 | -0.1986 | 7.5 | 10.4 |
| 122 | SLO | Si | -0.1680 | -0.1684 | -0.1677 | -0.1675 | -2.0 | -5.3 |
| 123 | SLO | Si | -0.1878 | -0.1872 | -0.2000 | -0.2031 | 1.9 | 5.2 |
| 124 | SLO | Si | -0.1733 | -0.1723 | -0.1711 | -0.1719 | -7.6 | -10.4 |
| 125 | SLO | Si | -0.1826 | -0.1834 | -0.1966 | -0.1987 | 7.6 | 10.8 |
| 126 | SLO | Si | -0.1681 | -0.1685 | -0.1677 | -0.1675 | -1.9 | -4.8 |
| 127 | SLO | Si | -0.1877 | -0.1871 | -0.2000 | -0.2030 | 1.8 | 4.8 |
| 128 | SLO | Si | -0.1732 | -0.1722 | -0.1711 | -0.1719 | -7.7 | -10.9 |

Elemento: Platea n. 95

| Cmb | Tipo | Sism. | Press. N1 | Press. N2 | Press. N3 | Press. N4 | S. Taglio X | S. Taglio Y |
|-----|----------|-------|---------------------|---------------------|---------------------|---------------------|-------------|-------------|
| n. | | | daN/cm ² | daN/cm ² | daN/cm ² | daN/cm ² | daN | daN |
| 001 | SLU STR | No | -0.1550 | -0.1555 | -0.1600 | -0.1590 | 0.0 | 0.0 |
| 002 | SLU STR | No | -0.2075 | -0.2080 | -0.2125 | -0.2115 | 0.0 | 0.0 |
| 003 | SLU STR | No | -0.1928 | -0.1952 | -0.2129 | -0.2089 | 0.0 | 0.0 |
| 004 | SLU STR | No | -0.2453 | -0.2477 | -0.2654 | -0.2614 | 0.0 | 0.0 |
| 005 | SLU STR | No | -0.1149 | -0.1153 | -0.1185 | -0.1178 | 0.0 | 0.0 |
| 006 | SLU STR | No | -0.1674 | -0.1678 | -0.1710 | -0.1703 | 0.0 | 0.0 |
| 007 | SLU STR | No | -0.1528 | -0.1550 | -0.1714 | -0.1677 | 0.0 | 0.0 |
| 008 | SLU STR | No | -0.2053 | -0.2075 | -0.2239 | -0.2202 | 0.0 | 0.0 |
| 009 | SLU STR | No | -0.2300 | -0.2305 | -0.2350 | -0.2340 | 0.0 | 0.0 |
| 010 | SLU STR | No | -0.1815 | -0.1833 | -0.1970 | -0.1940 | 0.0 | 0.0 |
| 011 | SLU STR | No | -0.2565 | -0.2583 | -0.2720 | -0.2690 | 0.0 | 0.0 |
| 012 | SLU STR | No | -0.1899 | -0.1903 | -0.1935 | -0.1928 | 0.0 | 0.0 |
| 013 | SLU STR | No | -0.1414 | -0.1431 | -0.1555 | -0.1527 | 0.0 | 0.0 |
| 014 | SLU STR | No | -0.2164 | -0.2181 | -0.2305 | -0.2277 | 0.0 | 0.0 |
| 015 | SLE rare | No | -0.1173 | -0.1178 | -0.1211 | -0.1204 | 0.0 | 0.0 |
| 016 | SLE rare | No | -0.1523 | -0.1528 | -0.1561 | -0.1554 | 0.0 | 0.0 |
| 017 | SLE rare | No | -0.1426 | -0.1442 | -0.1563 | -0.1536 | 0.0 | 0.0 |
| 018 | SLE rare | No | -0.1776 | -0.1792 | -0.1913 | -0.1886 | 0.0 | 0.0 |
| 019 | SLE rare | No | -0.1673 | -0.1678 | -0.1711 | -0.1704 | 0.0 | 0.0 |
| 020 | SLE rare | No | -0.1350 | -0.1363 | -0.1458 | -0.1437 | 0.0 | 0.0 |
| 021 | SLE rare | No | -0.1850 | -0.1863 | -0.1958 | -0.1937 | 0.0 | 0.0 |
| 022 | SLE freq | No | -0.1173 | -0.1178 | -0.1211 | -0.1204 | 0.0 | 0.0 |
| 023 | SLE freq | No | -0.1473 | -0.1478 | -0.1511 | -0.1504 | 0.0 | 0.0 |
| 024 | SLE freq | No | -0.1350 | -0.1363 | -0.1458 | -0.1437 | 0.0 | 0.0 |
| 025 | SLE freq | No | -0.1650 | -0.1663 | -0.1758 | -0.1737 | 0.0 | 0.0 |
| 026 | SLE freq | No | -0.1523 | -0.1528 | -0.1561 | -0.1554 | 0.0 | 0.0 |
| 027 | SLE freq | No | -0.1325 | -0.1336 | -0.1422 | -0.1403 | 0.0 | 0.0 |
| 028 | SLE freq | No | -0.1675 | -0.1686 | -0.1772 | -0.1753 | 0.0 | 0.0 |
| 029 | SLE q.p. | No | -0.1173 | -0.1178 | -0.1211 | -0.1204 | 0.0 | 0.0 |
| 030 | SLE q.p. | No | -0.1473 | -0.1478 | -0.1511 | -0.1504 | 0.0 | 0.0 |
| 031 | SLE q.p. | No | -0.1325 | -0.1336 | -0.1422 | -0.1403 | 0.0 | 0.0 |
| 032 | SLE q.p. | No | -0.1625 | -0.1636 | -0.1722 | -0.1703 | 0.0 | 0.0 |
| 033 | SLV A1 | Si | -0.1227 | -0.1333 | -0.1553 | -0.1439 | 31.4 | 37.7 |
| 034 | SLV A1 | Si | -0.1452 | -0.1510 | -0.1593 | -0.1510 | 27.4 | 20.3 |
| 035 | SLV A1 | Si | -0.1798 | -0.1763 | -0.1851 | -0.1897 | -27.4 | -20.3 |
| 036 | SLV A1 | Si | -0.2023 | -0.1939 | -0.1892 | -0.1968 | -31.4 | -37.6 |
| 037 | SLV A1 | Si | -0.1225 | -0.1332 | -0.1552 | -0.1437 | 25.1 | 38.2 |
| 038 | SLV A1 | Si | -0.1454 | -0.1511 | -0.1594 | -0.1512 | 33.7 | 19.8 |
| 039 | SLV A1 | Si | -0.1796 | -0.1761 | -0.1851 | -0.1895 | -33.7 | -19.8 |
| 040 | SLV A1 | Si | -0.2025 | -0.1941 | -0.1893 | -0.1970 | -25.1 | -38.1 |

| | | | | | | | | |
|--------------------------------------|--------|----|----------------------------------------------------------------------------------------------------------------------|---------|----------------------------------------------------------------------------------|---------|-------------|-------|
| COMMITTENTE: Mecca Antonio | | | CODICE COMMESSA: | | NOME ELABORATO: S1.5 - Relazione Geotecnica e delle Fondazioni | | CONSULENTE: | |
| DATA: Aprile 2023 | | | TITOLO: Lavori ultimazione di un fabbricato adibito ad albergo-ristorante– C.da Case Nuove Chicone Avigliano (PZ) | | | | | |
| 041 | SLV A1 | Si | -0.1193 | -0.1307 | -0.1555 | -0.1434 | 31.3 | 42.8 |
| 042 | SLV A1 | Si | -0.1418 | -0.1483 | -0.1596 | -0.1505 | 27.3 | 25.4 |
| 043 | SLV A1 | Si | -0.1832 | -0.1790 | -0.1849 | -0.1902 | -27.3 | -25.4 |
| 044 | SLV A1 | Si | -0.2057 | -0.1966 | -0.1890 | -0.1973 | -31.3 | -42.7 |
| 045 | SLV A1 | Si | -0.1191 | -0.1305 | -0.1554 | -0.1432 | 25.0 | 43.3 |
| 046 | SLV A1 | Si | -0.1420 | -0.1485 | -0.1596 | -0.1507 | 33.5 | 24.9 |
| 047 | SLV A1 | Si | -0.1830 | -0.1788 | -0.1848 | -0.1900 | -33.6 | -24.9 |
| 048 | SLV A1 | Si | -0.2059 | -0.1968 | -0.1890 | -0.1975 | -25.0 | -43.2 |
| 049 | SLV A1 | Si | -0.1165 | -0.1278 | -0.1610 | -0.1516 | 15.5 | 37.6 |
| 050 | SLV A1 | Si | -0.1914 | -0.1866 | -0.1746 | -0.1753 | 2.1 | -20.2 |
| 051 | SLV A1 | Si | -0.1336 | -0.1407 | -0.1699 | -0.1653 | -2.1 | 20.2 |
| 052 | SLV A1 | Si | -0.2085 | -0.1995 | -0.1835 | -0.1891 | -15.5 | -37.6 |
| 053 | SLV A1 | Si | -0.1154 | -0.1270 | -0.1610 | -0.1514 | 15.5 | 39.1 |
| 054 | SLV A1 | Si | -0.1903 | -0.1858 | -0.1746 | -0.1752 | 2.1 | -18.6 |
| 055 | SLV A1 | Si | -0.1346 | -0.1415 | -0.1698 | -0.1655 | -2.1 | 18.7 |
| 056 | SLV A1 | Si | -0.2095 | -0.2003 | -0.1834 | -0.1892 | -15.5 | -39.1 |
| 057 | SLV A1 | Si | -0.1158 | -0.1273 | -0.1608 | -0.1509 | -5.5 | 39.3 |
| 058 | SLV A1 | Si | -0.1921 | -0.1871 | -0.1748 | -0.1760 | 23.1 | -21.9 |
| 059 | SLV A1 | Si | -0.1329 | -0.1402 | -0.1697 | -0.1647 | -23.1 | 21.9 |
| 060 | SLV A1 | Si | -0.2092 | -0.2000 | -0.1837 | -0.1897 | 5.4 | -39.3 |
| 061 | SLV A1 | Si | -0.1147 | -0.1265 | -0.1608 | -0.1508 | -5.5 | 40.8 |
| 062 | SLV A1 | Si | -0.1910 | -0.1863 | -0.1748 | -0.1758 | 23.0 | -20.4 |
| 063 | SLV A1 | Si | -0.1339 | -0.1410 | -0.1696 | -0.1648 | -23.1 | 20.4 |
| 064 | SLV A1 | Si | -0.2102 | -0.2008 | -0.1836 | -0.1899 | 5.5 | -40.8 |
| 065 | SLD | Si | -0.1444 | -0.1499 | -0.1645 | -0.1583 | 14.2 | 17.0 |
| 066 | SLD | Si | -0.1547 | -0.1579 | -0.1664 | -0.1616 | 12.4 | 9.2 |
| 067 | SLD | Si | -0.1703 | -0.1693 | -0.1781 | -0.1791 | -12.4 | -9.2 |
| 068 | SLD | Si | -0.1806 | -0.1774 | -0.1799 | -0.1823 | -14.2 | -17.0 |
| 069 | SLD | Si | -0.1443 | -0.1498 | -0.1645 | -0.1583 | 11.3 | 17.3 |
| 070 | SLD | Si | -0.1548 | -0.1580 | -0.1664 | -0.1617 | 15.2 | 9.0 |
| 071 | SLD | Si | -0.1702 | -0.1693 | -0.1780 | -0.1790 | -15.2 | -8.9 |
| 072 | SLD | Si | -0.1806 | -0.1775 | -0.1799 | -0.1824 | -11.4 | -17.2 |
| 073 | SLD | Si | -0.1429 | -0.1487 | -0.1646 | -0.1581 | 14.1 | 19.4 |
| 074 | SLD | Si | -0.1531 | -0.1567 | -0.1665 | -0.1613 | 12.3 | 11.5 |
| 075 | SLD | Si | -0.1719 | -0.1706 | -0.1780 | -0.1793 | -12.4 | -11.5 |
| 076 | SLD | Si | -0.1821 | -0.1786 | -0.1798 | -0.1826 | -14.2 | -19.3 |
| 077 | SLD | Si | -0.1428 | -0.1486 | -0.1646 | -0.1580 | 11.3 | 19.6 |
| 078 | SLD | Si | -0.1532 | -0.1568 | -0.1665 | -0.1614 | 15.2 | 11.3 |
| 079 | SLD | Si | -0.1718 | -0.1705 | -0.1779 | -0.1792 | -15.2 | -11.3 |
| 080 | SLD | Si | -0.1822 | -0.1787 | -0.1798 | -0.1826 | -11.3 | -19.6 |
| 081 | SLD | Si | -0.1415 | -0.1473 | -0.1671 | -0.1618 | 7.0 | 17.0 |
| 082 | SLD | Si | -0.1757 | -0.1741 | -0.1733 | -0.1726 | 1.0 | -9.1 |
| 083 | SLD | Si | -0.1493 | -0.1531 | -0.1712 | -0.1680 | -1.0 | 9.1 |
| 084 | SLD | Si | -0.1835 | -0.1800 | -0.1773 | -0.1788 | -7.0 | -16.9 |
| 085 | SLD | Si | -0.1410 | -0.1469 | -0.1672 | -0.1618 | 7.0 | 17.7 |
| 086 | SLD | Si | -0.1752 | -0.1738 | -0.1733 | -0.1725 | 0.9 | -8.4 |
| 087 | SLD | Si | -0.1497 | -0.1535 | -0.1712 | -0.1681 | -1.0 | 8.4 |
| 088 | SLD | Si | -0.1839 | -0.1803 | -0.1773 | -0.1789 | -7.0 | -17.6 |
| 089 | SLD | Si | -0.1412 | -0.1471 | -0.1670 | -0.1615 | -2.5 | 17.8 |
| 090 | SLD | Si | -0.1760 | -0.1744 | -0.1734 | -0.1729 | 10.4 | -9.9 |
| 091 | SLD | Si | -0.1490 | -0.1529 | -0.1711 | -0.1678 | -10.4 | 9.9 |
| 092 | SLD | Si | -0.1838 | -0.1802 | -0.1774 | -0.1791 | 2.4 | -17.7 |
| 093 | SLD | Si | -0.1407 | -0.1467 | -0.1671 | -0.1615 | -2.5 | 18.5 |
| 094 | SLD | Si | -0.1755 | -0.1740 | -0.1734 | -0.1728 | 10.4 | -9.2 |
| 095 | SLD | Si | -0.1494 | -0.1533 | -0.1711 | -0.1678 | -10.4 | 9.2 |
| 096 | SLD | Si | -0.1842 | -0.1806 | -0.1774 | -0.1792 | 2.5 | -18.4 |
| 097 | SLO | Si | -0.1482 | -0.1528 | -0.1661 | -0.1608 | 11.3 | 13.5 |
| 098 | SLO | Si | -0.1562 | -0.1591 | -0.1676 | -0.1634 | 9.8 | 7.3 |
| 099 | SLO | Si | -0.1687 | -0.1682 | -0.1769 | -0.1773 | -9.8 | -7.3 |
| 100 | SLO | Si | -0.1768 | -0.1745 | -0.1783 | -0.1798 | -11.3 | -13.5 |
| 101 | SLO | Si | -0.1481 | -0.1527 | -0.1661 | -0.1608 | 9.0 | 13.7 |
| 102 | SLO | Si | -0.1564 | -0.1592 | -0.1676 | -0.1635 | 12.1 | 7.1 |
| 103 | SLO | Si | -0.1686 | -0.1681 | -0.1768 | -0.1772 | -12.1 | -7.1 |
| 104 | SLO | Si | -0.1769 | -0.1746 | -0.1783 | -0.1799 | -9.0 | -13.7 |
| 105 | SLO | Si | -0.1469 | -0.1518 | -0.1662 | -0.1606 | 11.2 | 15.4 |
| 106 | SLO | Si | -0.1550 | -0.1581 | -0.1677 | -0.1632 | 9.8 | 9.2 |
| 107 | SLO | Si | -0.1700 | -0.1692 | -0.1768 | -0.1775 | -9.8 | -9.1 |
| 108 | SLO | Si | -0.1780 | -0.1755 | -0.1783 | -0.1800 | -11.2 | -15.3 |
| 109 | SLO | Si | -0.1468 | -0.1517 | -0.1662 | -0.1606 | 9.0 | 15.6 |
| 110 | SLO | Si | -0.1551 | -0.1582 | -0.1677 | -0.1633 | 12.0 | 9.0 |
| 111 | SLO | Si | -0.1698 | -0.1691 | -0.1768 | -0.1774 | -12.1 | -8.9 |
| 112 | SLO | Si | -0.1781 | -0.1756 | -0.1783 | -0.1801 | -9.0 | -15.5 |

Relazione Geotecnica e delle Fondazioni

| | | | | | | | | |
|-----|-----|----|---------|---------|---------|---------|------|-------|
| 113 | SLO | Si | -0.1460 | -0.1508 | -0.1682 | -0.1636 | 5.5 | 13.5 |
| 114 | SLO | Si | -0.1728 | -0.1719 | -0.1731 | -0.1721 | 0.8 | -7.2 |
| 115 | SLO | Si | -0.1521 | -0.1554 | -0.1714 | -0.1685 | -0.8 | 7.2 |
| 116 | SLO | Si | -0.1790 | -0.1765 | -0.1763 | -0.1771 | -5.6 | -13.4 |
| 117 | SLO | Si | -0.1456 | -0.1505 | -0.1682 | -0.1635 | 5.5 | 14.0 |
| 118 | SLO | Si | -0.1725 | -0.1716 | -0.1731 | -0.1721 | 0.7 | -6.6 |
| 119 | SLO | Si | -0.1525 | -0.1557 | -0.1714 | -0.1686 | -0.8 | 6.7 |
| 120 | SLO | Si | -0.1794 | -0.1768 | -0.1763 | -0.1771 | -5.6 | -14.0 |
| 121 | SLO | Si | -0.1456 | -0.1505 | -0.1681 | -0.1634 | -2.0 | 14.1 |
| 122 | SLO | Si | -0.1732 | -0.1722 | -0.1731 | -0.1724 | 8.3 | -7.8 |
| 123 | SLO | Si | -0.1517 | -0.1551 | -0.1713 | -0.1683 | -8.3 | 7.9 |
| 124 | SLO | Si | -0.1794 | -0.1768 | -0.1764 | -0.1773 | 1.9 | -14.1 |
| 125 | SLO | Si | -0.1452 | -0.1502 | -0.1681 | -0.1633 | -2.0 | 14.7 |
| 126 | SLO | Si | -0.1728 | -0.1719 | -0.1732 | -0.1723 | 8.3 | -7.3 |
| 127 | SLO | Si | -0.1521 | -0.1554 | -0.1713 | -0.1683 | -8.3 | 7.3 |
| 128 | SLO | Si | -0.1797 | -0.1771 | -0.1763 | -0.1774 | 1.9 | -14.6 |

Elemento: Platea n. 96

| Cmb | Tipo | Sism. | Press. N1 | Press. N2 | Press. N3 | Press. N4 | S. Taglio X | S. Taglio Y |
|-----|----------|-------|---------------------|---------------------|---------------------|---------------------|-------------|-------------|
| n. | | | daN/cm ² | daN/cm ² | daN/cm ² | daN/cm ² | daN | daN |
| 001 | SLU STR | No | -0.1594 | -0.1590 | -0.1629 | -0.1630 | 0.0 | 0.0 |
| 002 | SLU STR | No | -0.2119 | -0.2115 | -0.2154 | -0.2155 | 0.0 | 0.0 |
| 003 | SLU STR | No | -0.2098 | -0.2089 | -0.2243 | -0.2245 | -0.1 | 0.0 |
| 004 | SLU STR | No | -0.2623 | -0.2614 | -0.2768 | -0.2770 | -0.1 | 0.0 |
| 005 | SLU STR | No | -0.1181 | -0.1178 | -0.1205 | -0.1206 | 0.0 | 0.0 |
| 006 | SLU STR | No | -0.1706 | -0.1703 | -0.1730 | -0.1731 | 0.0 | 0.0 |
| 007 | SLU STR | No | -0.1685 | -0.1677 | -0.1820 | -0.1821 | -0.1 | 0.0 |
| 008 | SLU STR | No | -0.2210 | -0.2202 | -0.2345 | -0.2346 | -0.1 | 0.0 |
| 009 | SLU STR | No | -0.2344 | -0.2340 | -0.2379 | -0.2380 | 0.0 | 0.0 |
| 010 | SLU STR | No | -0.1947 | -0.1940 | -0.2059 | -0.2061 | -0.1 | 0.0 |
| 011 | SLU STR | No | -0.2697 | -0.2690 | -0.2809 | -0.2811 | -0.1 | 0.0 |
| 012 | SLU STR | No | -0.1931 | -0.1928 | -0.1955 | -0.1956 | 0.0 | 0.0 |
| 013 | SLU STR | No | -0.1534 | -0.1527 | -0.1635 | -0.1637 | -0.1 | 0.0 |
| 014 | SLU STR | No | -0.2284 | -0.2277 | -0.2385 | -0.2387 | -0.1 | 0.0 |
| 015 | SLE rare | No | -0.1206 | -0.1204 | -0.1232 | -0.1233 | 0.0 | 0.0 |
| 016 | SLE rare | No | -0.1556 | -0.1554 | -0.1582 | -0.1583 | 0.0 | 0.0 |
| 017 | SLE rare | No | -0.1543 | -0.1536 | -0.1642 | -0.1643 | -0.1 | 0.0 |
| 018 | SLE rare | No | -0.1893 | -0.1886 | -0.1992 | -0.1993 | -0.1 | 0.0 |
| 019 | SLE rare | No | -0.1706 | -0.1704 | -0.1732 | -0.1733 | 0.0 | 0.0 |
| 020 | SLE rare | No | -0.1442 | -0.1437 | -0.1519 | -0.1520 | 0.0 | 0.0 |
| 021 | SLE rare | No | -0.1942 | -0.1937 | -0.2019 | -0.2020 | 0.0 | 0.0 |
| 022 | SLE freq | No | -0.1206 | -0.1204 | -0.1232 | -0.1233 | 0.0 | 0.0 |
| 023 | SLE freq | No | -0.1506 | -0.1504 | -0.1532 | -0.1533 | 0.0 | 0.0 |
| 024 | SLE freq | No | -0.1442 | -0.1437 | -0.1519 | -0.1520 | 0.0 | 0.0 |
| 025 | SLE freq | No | -0.1742 | -0.1737 | -0.1819 | -0.1820 | 0.0 | 0.0 |
| 026 | SLE freq | No | -0.1556 | -0.1554 | -0.1582 | -0.1583 | 0.0 | 0.0 |
| 027 | SLE freq | No | -0.1408 | -0.1403 | -0.1478 | -0.1479 | 0.0 | 0.0 |
| 028 | SLE freq | No | -0.1758 | -0.1753 | -0.1828 | -0.1829 | 0.0 | 0.0 |
| 029 | SLE q.p. | No | -0.1206 | -0.1204 | -0.1232 | -0.1233 | 0.0 | 0.0 |
| 030 | SLE q.p. | No | -0.1506 | -0.1504 | -0.1532 | -0.1533 | 0.0 | 0.0 |
| 031 | SLE q.p. | No | -0.1408 | -0.1403 | -0.1478 | -0.1479 | 0.0 | 0.0 |
| 032 | SLE q.p. | No | -0.1708 | -0.1703 | -0.1778 | -0.1779 | 0.0 | 0.0 |
| 033 | SLV A1 | Si | -0.1375 | -0.1439 | -0.1659 | -0.1595 | 27.2 | 36.7 |
| 034 | SLV A1 | Si | -0.1462 | -0.1510 | -0.1534 | -0.1474 | 28.1 | 21.3 |
| 035 | SLV A1 | Si | -0.1955 | -0.1897 | -0.2022 | -0.2085 | -28.1 | -21.4 |
| 036 | SLV A1 | Si | -0.2041 | -0.1968 | -0.1897 | -0.1963 | -27.3 | -36.7 |
| 037 | SLV A1 | Si | -0.1372 | -0.1437 | -0.1658 | -0.1595 | 28.0 | 37.0 |
| 038 | SLV A1 | Si | -0.1464 | -0.1512 | -0.1535 | -0.1474 | 27.3 | 21.0 |
| 039 | SLV A1 | Si | -0.1952 | -0.1895 | -0.2021 | -0.2084 | -27.3 | -21.1 |
| 040 | SLV A1 | Si | -0.2044 | -0.1970 | -0.1898 | -0.1964 | -28.1 | -37.0 |
| 041 | SLV A1 | Si | -0.1368 | -0.1434 | -0.1667 | -0.1604 | 27.6 | 41.5 |
| 042 | SLV A1 | Si | -0.1455 | -0.1505 | -0.1543 | -0.1483 | 28.5 | 26.1 |
| 043 | SLV A1 | Si | -0.1961 | -0.1902 | -0.2013 | -0.2076 | -28.6 | -26.2 |
| 044 | SLV A1 | Si | -0.2048 | -0.1973 | -0.1889 | -0.1954 | -27.7 | -41.5 |
| 045 | SLV A1 | Si | -0.1366 | -0.1432 | -0.1667 | -0.1604 | 28.4 | 41.8 |
| 046 | SLV A1 | Si | -0.1457 | -0.1507 | -0.1543 | -0.1483 | 27.7 | 25.8 |
| 047 | SLV A1 | Si | -0.1959 | -0.1900 | -0.2012 | -0.2075 | -27.8 | -25.9 |
| 048 | SLV A1 | Si | -0.2050 | -0.1975 | -0.1889 | -0.1955 | -28.5 | -41.8 |
| 049 | SLV A1 | Si | -0.1477 | -0.1516 | -0.1931 | -0.1908 | 6.8 | 34.2 |
| 050 | SLV A1 | Si | -0.1766 | -0.1753 | -0.1516 | -0.1503 | 9.7 | -16.9 |
| 051 | SLV A1 | Si | -0.1651 | -0.1653 | -0.2040 | -0.2055 | -9.8 | 16.8 |
| 052 | SLV A1 | Si | -0.1939 | -0.1891 | -0.1625 | -0.1650 | -6.9 | -34.3 |
| 053 | SLV A1 | Si | -0.1475 | -0.1514 | -0.1933 | -0.1911 | 7.0 | 35.7 |

| | | | | | | | | |
|--------------------------------------|--------|------------------------------------------------------------------------------------------------------------------------------|----------------------------------------------------------------------------------|---------|---------|-------------|-------|-------|
| COMMITTENTE: Mecca Antonio | | CODICE COMMESSA: | NOME ELABORATO: S1.5 - Relazione Geotecnica e delle Fondazioni | | | CONSULENTE: | | |
| DATA: Aprile 2023 | | TITOLO: Lavori ultimazione di un fabbricato adibito ad albergo-ristorante– C.da Case Nuove Chicone Avigliano (PZ) | | | | | | |
| 054 | SLV A1 | Si | -0.1764 | -0.1752 | -0.1519 | -0.1506 | 9.8 | -15.4 |
| 055 | SLV A1 | Si | -0.1653 | -0.1655 | -0.2037 | -0.2053 | -9.9 | 15.4 |
| 056 | SLV A1 | Si | -0.1941 | -0.1892 | -0.1622 | -0.1647 | -7.0 | -35.7 |
| 057 | SLV A1 | Si | -0.1468 | -0.1509 | -0.1929 | -0.1906 | 9.5 | 35.2 |
| 058 | SLV A1 | Si | -0.1774 | -0.1760 | -0.1518 | -0.1505 | 7.0 | -17.9 |
| 059 | SLV A1 | Si | -0.1642 | -0.1647 | -0.2038 | -0.2053 | -7.1 | 17.8 |
| 060 | SLV A1 | Si | -0.1948 | -0.1897 | -0.1627 | -0.1652 | -9.6 | -35.3 |
| 061 | SLV A1 | Si | -0.1466 | -0.1508 | -0.1932 | -0.1909 | 9.6 | 36.7 |
| 062 | SLV A1 | Si | -0.1772 | -0.1758 | -0.1521 | -0.1508 | 7.2 | -16.4 |
| 063 | SLV A1 | Si | -0.1644 | -0.1648 | -0.2035 | -0.2051 | -7.2 | 16.4 |
| 064 | SLV A1 | Si | -0.1950 | -0.1899 | -0.1624 | -0.1650 | -9.7 | -36.7 |
| 065 | SLD | Si | -0.1557 | -0.1583 | -0.1724 | -0.1696 | 12.3 | 16.6 |
| 066 | SLD | Si | -0.1596 | -0.1616 | -0.1667 | -0.1641 | 12.7 | 9.7 |
| 067 | SLD | Si | -0.1820 | -0.1791 | -0.1888 | -0.1918 | -12.8 | -9.7 |
| 068 | SLD | Si | -0.1859 | -0.1823 | -0.1832 | -0.1862 | -12.4 | -16.6 |
| 069 | SLD | Si | -0.1556 | -0.1583 | -0.1724 | -0.1696 | 12.6 | 16.7 |
| 070 | SLD | Si | -0.1598 | -0.1617 | -0.1668 | -0.1641 | 12.3 | 9.5 |
| 071 | SLD | Si | -0.1819 | -0.1790 | -0.1888 | -0.1917 | -12.4 | -9.6 |
| 072 | SLD | Si | -0.1860 | -0.1824 | -0.1832 | -0.1863 | -12.7 | -16.7 |
| 073 | SLD | Si | -0.1554 | -0.1581 | -0.1728 | -0.1700 | 12.5 | 18.7 |
| 074 | SLD | Si | -0.1593 | -0.1613 | -0.1671 | -0.1645 | 12.9 | 11.8 |
| 075 | SLD | Si | -0.1823 | -0.1793 | -0.1885 | -0.1914 | -13.0 | -11.9 |
| 076 | SLD | Si | -0.1862 | -0.1826 | -0.1828 | -0.1859 | -12.6 | -18.8 |
| 077 | SLD | Si | -0.1553 | -0.1580 | -0.1728 | -0.1700 | 12.9 | 18.9 |
| 078 | SLD | Si | -0.1594 | -0.1614 | -0.1671 | -0.1645 | 12.5 | 11.7 |
| 079 | SLD | Si | -0.1822 | -0.1792 | -0.1884 | -0.1914 | -12.6 | -11.7 |
| 080 | SLD | Si | -0.1863 | -0.1826 | -0.1828 | -0.1859 | -12.9 | -18.9 |
| 081 | SLD | Si | -0.1603 | -0.1618 | -0.1848 | -0.1838 | 3.1 | 15.4 |
| 082 | SLD | Si | -0.1734 | -0.1726 | -0.1659 | -0.1654 | 4.4 | -7.6 |
| 083 | SLD | Si | -0.1682 | -0.1680 | -0.1897 | -0.1905 | -4.5 | 7.5 |
| 084 | SLD | Si | -0.1813 | -0.1788 | -0.1708 | -0.1720 | -3.1 | -15.5 |
| 085 | SLD | Si | -0.1602 | -0.1618 | -0.1849 | -0.1839 | 3.1 | 16.1 |
| 086 | SLD | Si | -0.1733 | -0.1725 | -0.1660 | -0.1655 | 4.4 | -6.9 |
| 087 | SLD | Si | -0.1683 | -0.1681 | -0.1896 | -0.1904 | -4.5 | 6.9 |
| 088 | SLD | Si | -0.1814 | -0.1789 | -0.1707 | -0.1719 | -3.2 | -16.1 |
| 089 | SLD | Si | -0.1599 | -0.1615 | -0.1847 | -0.1837 | 4.3 | 15.9 |
| 090 | SLD | Si | -0.1738 | -0.1729 | -0.1660 | -0.1655 | 3.2 | -8.1 |
| 091 | SLD | Si | -0.1678 | -0.1678 | -0.1896 | -0.1904 | -3.2 | 8.0 |
| 092 | SLD | Si | -0.1817 | -0.1791 | -0.1709 | -0.1721 | -4.4 | -15.9 |
| 093 | SLD | Si | -0.1598 | -0.1615 | -0.1848 | -0.1838 | 4.3 | 16.5 |
| 094 | SLD | Si | -0.1737 | -0.1728 | -0.1661 | -0.1656 | 3.2 | -7.4 |
| 095 | SLD | Si | -0.1679 | -0.1678 | -0.1895 | -0.1903 | -3.3 | 7.4 |
| 096 | SLD | Si | -0.1818 | -0.1792 | -0.1708 | -0.1720 | -4.4 | -16.6 |
| 097 | SLO | Si | -0.1588 | -0.1608 | -0.1735 | -0.1713 | 9.7 | 13.1 |
| 098 | SLO | Si | -0.1619 | -0.1634 | -0.1690 | -0.1670 | 10.0 | 7.7 |
| 099 | SLO | Si | -0.1797 | -0.1773 | -0.1865 | -0.1889 | -10.1 | -7.7 |
| 100 | SLO | Si | -0.1828 | -0.1798 | -0.1821 | -0.1845 | -9.8 | -13.2 |
| 101 | SLO | Si | -0.1587 | -0.1608 | -0.1735 | -0.1713 | 10.0 | 13.2 |
| 102 | SLO | Si | -0.1620 | -0.1635 | -0.1690 | -0.1670 | 9.8 | 7.5 |
| 103 | SLO | Si | -0.1796 | -0.1772 | -0.1865 | -0.1889 | -9.8 | -7.6 |
| 104 | SLO | Si | -0.1829 | -0.1799 | -0.1821 | -0.1845 | -10.1 | -13.3 |
| 105 | SLO | Si | -0.1586 | -0.1606 | -0.1738 | -0.1716 | 9.9 | 14.9 |
| 106 | SLO | Si | -0.1617 | -0.1632 | -0.1693 | -0.1673 | 10.2 | 9.4 |
| 107 | SLO | Si | -0.1799 | -0.1775 | -0.1862 | -0.1886 | -10.3 | -9.4 |
| 108 | SLO | Si | -0.1830 | -0.1800 | -0.1818 | -0.1842 | -10.0 | -14.9 |
| 109 | SLO | Si | -0.1585 | -0.1606 | -0.1738 | -0.1716 | 10.2 | 15.0 |
| 110 | SLO | Si | -0.1618 | -0.1633 | -0.1693 | -0.1673 | 9.9 | 9.3 |
| 111 | SLO | Si | -0.1798 | -0.1774 | -0.1862 | -0.1886 | -10.0 | -9.3 |
| 112 | SLO | Si | -0.1831 | -0.1801 | -0.1818 | -0.1842 | -10.3 | -15.0 |
| 113 | SLO | Si | -0.1625 | -0.1636 | -0.1833 | -0.1825 | 2.4 | 12.2 |
| 114 | SLO | Si | -0.1729 | -0.1721 | -0.1684 | -0.1680 | 3.5 | -6.0 |
| 115 | SLO | Si | -0.1688 | -0.1685 | -0.1872 | -0.1878 | -3.5 | 6.0 |
| 116 | SLO | Si | -0.1791 | -0.1771 | -0.1723 | -0.1733 | -2.5 | -12.3 |
| 117 | SLO | Si | -0.1624 | -0.1635 | -0.1834 | -0.1826 | 2.5 | 12.7 |
| 118 | SLO | Si | -0.1728 | -0.1721 | -0.1685 | -0.1681 | 3.5 | -5.5 |
| 119 | SLO | Si | -0.1688 | -0.1686 | -0.1871 | -0.1877 | -3.6 | 5.4 |
| 120 | SLO | Si | -0.1792 | -0.1771 | -0.1722 | -0.1732 | -2.6 | -12.8 |
| 121 | SLO | Si | -0.1622 | -0.1634 | -0.1833 | -0.1825 | 3.4 | 12.6 |
| 122 | SLO | Si | -0.1732 | -0.1724 | -0.1684 | -0.1680 | 2.5 | -6.4 |
| 123 | SLO | Si | -0.1684 | -0.1683 | -0.1872 | -0.1878 | -2.6 | 6.3 |
| 124 | SLO | Si | -0.1794 | -0.1773 | -0.1723 | -0.1733 | -3.5 | -12.6 |
| 125 | SLO | Si | -0.1621 | -0.1633 | -0.1834 | -0.1826 | 3.4 | 13.1 |

Relazione Geotecnica e delle Fondazioni

| | | | | | | | | |
|-----|-----|----|---------|---------|---------|---------|------|-------|
| 126 | SLO | Si | -0.1731 | -0.1723 | -0.1685 | -0.1681 | 2.5 | -5.9 |
| 127 | SLO | Si | -0.1685 | -0.1683 | -0.1871 | -0.1877 | -2.6 | 5.8 |
| 128 | SLO | Si | -0.1795 | -0.1774 | -0.1722 | -0.1732 | -3.5 | -13.2 |

Elemento: Platea n. 97

| Cmb n. | Tipo | Sism. | Press. N1 daN/cm ² | Press. N2 daN/cm ² | Press. N3 daN/cm ² | Press. N4 daN/cm ² | S. Taglio X daN | S. Taglio Y daN |
|-----------|----------|-------|----------------------------------|----------------------------------|----------------------------------|----------------------------------|--------------------|--------------------|
| 001 | SLU STR | No | -0.1736 | -0.1730 | -0.1780 | -0.1777 | 0.0 | 0.0 |
| 002 | SLU STR | No | -0.2261 | -0.2255 | -0.2305 | -0.2302 | 0.0 | 0.0 |
| 003 | SLU STR | No | -0.2566 | -0.2513 | -0.2705 | -0.2726 | 0.1 | -0.1 |
| 004 | SLU STR | No | -0.3091 | -0.3038 | -0.3230 | -0.3251 | 0.1 | -0.1 |
| 005 | SLU STR | No | -0.1284 | -0.1280 | -0.1316 | -0.1313 | 0.0 | 0.0 |
| 006 | SLU STR | No | -0.1809 | -0.1805 | -0.1841 | -0.1838 | 0.0 | 0.0 |
| 007 | SLU STR | No | -0.2114 | -0.2063 | -0.2241 | -0.2262 | 0.1 | 0.0 |
| 008 | SLU STR | No | -0.2639 | -0.2588 | -0.2766 | -0.2787 | 0.1 | 0.0 |
| 009 | SLU STR | No | -0.2486 | -0.2480 | -0.2530 | -0.2527 | 0.0 | 0.0 |
| 010 | SLU STR | No | -0.2317 | -0.2278 | -0.2428 | -0.2441 | 0.1 | 0.0 |
| 011 | SLU STR | No | -0.3067 | -0.3028 | -0.3178 | -0.3191 | 0.1 | 0.0 |
| 012 | SLU STR | No | -0.2034 | -0.2030 | -0.2066 | -0.2063 | 0.0 | 0.0 |
| 013 | SLU STR | No | -0.1865 | -0.1828 | -0.1963 | -0.1977 | 0.1 | 0.0 |
| 014 | SLU STR | No | -0.2615 | -0.2578 | -0.2713 | -0.2727 | 0.1 | 0.0 |
| 015 | SLE rare | No | -0.1313 | -0.1309 | -0.1346 | -0.1343 | 0.0 | 0.0 |
| 016 | SLE rare | No | -0.1663 | -0.1659 | -0.1696 | -0.1693 | 0.0 | 0.0 |
| 017 | SLE rare | No | -0.1866 | -0.1831 | -0.1963 | -0.1976 | 0.1 | 0.0 |
| 018 | SLE rare | No | -0.2216 | -0.2181 | -0.2313 | -0.2326 | 0.1 | 0.0 |
| 019 | SLE rare | No | -0.1813 | -0.1809 | -0.1846 | -0.1843 | 0.0 | 0.0 |
| 020 | SLE rare | No | -0.1700 | -0.1674 | -0.1778 | -0.1786 | 0.1 | 0.0 |
| 021 | SLE rare | No | -0.2200 | -0.2174 | -0.2278 | -0.2286 | 0.1 | 0.0 |
| 022 | SLE freq | No | -0.1313 | -0.1309 | -0.1346 | -0.1343 | 0.0 | 0.0 |
| 023 | SLE freq | No | -0.1613 | -0.1609 | -0.1646 | -0.1643 | 0.0 | 0.0 |
| 024 | SLE freq | No | -0.1700 | -0.1674 | -0.1778 | -0.1786 | 0.1 | 0.0 |
| 025 | SLE freq | No | -0.2000 | -0.1974 | -0.2078 | -0.2086 | 0.1 | 0.0 |
| 026 | SLE freq | No | -0.1663 | -0.1659 | -0.1696 | -0.1693 | 0.0 | 0.0 |
| 027 | SLE freq | No | -0.1645 | -0.1622 | -0.1716 | -0.1723 | 0.1 | 0.0 |
| 028 | SLE freq | No | -0.1995 | -0.1972 | -0.2066 | -0.2073 | 0.1 | 0.0 |
| 029 | SLE q.p. | No | -0.1313 | -0.1309 | -0.1346 | -0.1343 | 0.0 | 0.0 |
| 030 | SLE q.p. | No | -0.1613 | -0.1609 | -0.1646 | -0.1643 | 0.0 | 0.0 |
| 031 | SLE q.p. | No | -0.1645 | -0.1622 | -0.1716 | -0.1723 | 0.1 | 0.0 |
| 032 | SLE q.p. | No | -0.1945 | -0.1922 | -0.2016 | -0.2023 | 0.1 | 0.0 |
| 033 | SLV A1 | Si | -0.2376 | -0.2343 | -0.2572 | -0.2565 | 20.4 | 2.5 |
| 034 | SLV A1 | Si | -0.2094 | -0.2105 | -0.2183 | -0.2156 | 29.6 | -21.5 |
| 035 | SLV A1 | Si | -0.1796 | -0.1739 | -0.1849 | -0.1890 | -29.5 | 21.4 |
| 036 | SLV A1 | Si | -0.1514 | -0.1500 | -0.1460 | -0.1481 | -20.3 | -2.5 |
| 037 | SLV A1 | Si | -0.2379 | -0.2346 | -0.2576 | -0.2569 | 29.4 | 1.8 |
| 038 | SLV A1 | Si | -0.2091 | -0.2102 | -0.2180 | -0.2153 | 20.6 | -20.8 |
| 039 | SLV A1 | Si | -0.1799 | -0.1742 | -0.1853 | -0.1893 | -20.5 | 20.7 |
| 040 | SLV A1 | Si | -0.1511 | -0.1497 | -0.1457 | -0.1477 | -29.3 | -1.8 |
| 041 | SLV A1 | Si | -0.2425 | -0.2382 | -0.2639 | -0.2639 | 21.7 | -0.7 |
| 042 | SLV A1 | Si | -0.2142 | -0.2143 | -0.2250 | -0.2229 | 30.9 | -24.6 |
| 043 | SLV A1 | Si | -0.1748 | -0.1700 | -0.1782 | -0.1817 | -30.8 | 24.6 |
| 044 | SLV A1 | Si | -0.1466 | -0.1462 | -0.1393 | -0.1407 | -21.6 | 0.6 |
| 045 | SLV A1 | Si | -0.2427 | -0.2385 | -0.2643 | -0.2642 | 30.7 | -1.4 |
| 046 | SLV A1 | Si | -0.2139 | -0.2140 | -0.2247 | -0.2226 | 21.9 | -23.9 |
| 047 | SLV A1 | Si | -0.1751 | -0.1703 | -0.1786 | -0.1820 | -21.8 | 23.9 |
| 048 | SLV A1 | Si | -0.1463 | -0.1459 | -0.1390 | -0.1404 | -30.6 | 1.3 |
| 049 | SLV A1 | Si | -0.2503 | -0.2410 | -0.2773 | -0.2807 | -7.9 | 37.0 |
| 050 | SLV A1 | Si | -0.1561 | -0.1615 | -0.1476 | -0.1442 | 23.0 | -42.8 |
| 051 | SLV A1 | Si | -0.2329 | -0.2229 | -0.2556 | -0.2604 | -22.9 | 42.7 |
| 052 | SLV A1 | Si | -0.1387 | -0.1433 | -0.1259 | -0.1239 | 8.0 | -37.1 |
| 053 | SLV A1 | Si | -0.2518 | -0.2422 | -0.2793 | -0.2829 | -7.5 | 36.1 |
| 054 | SLV A1 | Si | -0.1576 | -0.1626 | -0.1496 | -0.1464 | 23.4 | -43.7 |
| 055 | SLV A1 | Si | -0.2315 | -0.2217 | -0.2536 | -0.2582 | -23.2 | 43.7 |
| 056 | SLV A1 | Si | -0.1373 | -0.1422 | -0.1239 | -0.1217 | 7.6 | -36.1 |
| 057 | SLV A1 | Si | -0.2513 | -0.2420 | -0.2785 | -0.2818 | 22.2 | 34.8 |
| 058 | SLV A1 | Si | -0.1552 | -0.1605 | -0.1465 | -0.1431 | -7.1 | -40.5 |
| 059 | SLV A1 | Si | -0.2339 | -0.2239 | -0.2568 | -0.2615 | 7.2 | 40.5 |
| 060 | SLV A1 | Si | -0.1378 | -0.1424 | -0.1248 | -0.1228 | -22.0 | -34.8 |
| 061 | SLV A1 | Si | -0.2527 | -0.2432 | -0.2805 | -0.2840 | 22.5 | 33.8 |
| 062 | SLV A1 | Si | -0.1566 | -0.1616 | -0.1485 | -0.1453 | -6.7 | -41.5 |
| 063 | SLV A1 | Si | -0.2324 | -0.2227 | -0.2548 | -0.2593 | 6.8 | 41.4 |
| 064 | SLV A1 | Si | -0.1363 | -0.1412 | -0.1228 | -0.1206 | -22.4 | -33.9 |
| 065 | SLD | Si | -0.2141 | -0.2113 | -0.2269 | -0.2269 | 9.2 | 1.1 |
| 066 | SLD | Si | -0.2012 | -0.2004 | -0.2091 | -0.2083 | 13.5 | -9.8 |

| | | | | | | | | |
|--------------------------------------|-----|------------------------------------------------------------------------------------------------------------------------------|----------------------------------------------------------------------------------|---------|---------|-------------|-------|-------|
| COMMITTENTE: Mecca Antonio | | CODICE COMMESSA: | NOME ELABORATO: S1.5 - Relazione Geotecnica e delle Fondazioni | | | CONSULENTE: | | |
| DATA: Aprile 2023 | | TITOLO: Lavori ultimazione di un fabbricato adibito ad albergo-ristorante– C.da Case Nuove Chicone Avigliano (PZ) | | | | | | |
| 067 | SLD | Si | -0.1878 | -0.1839 | -0.1941 | -0.1963 | -13.3 | 9.7 |
| 068 | SLD | Si | -0.1749 | -0.1731 | -0.1764 | -0.1777 | -9.1 | -1.2 |
| 069 | SLD | Si | -0.2142 | -0.2114 | -0.2270 | -0.2271 | 13.4 | 0.8 |
| 070 | SLD | Si | -0.2011 | -0.2003 | -0.2090 | -0.2081 | 9.4 | -9.5 |
| 071 | SLD | Si | -0.1880 | -0.1841 | -0.1943 | -0.1965 | -9.2 | 9.4 |
| 072 | SLD | Si | -0.1748 | -0.1729 | -0.1762 | -0.1775 | -13.2 | -0.9 |
| 073 | SLD | Si | -0.2163 | -0.2131 | -0.2299 | -0.2303 | 9.9 | -0.3 |
| 074 | SLD | Si | -0.2034 | -0.2022 | -0.2122 | -0.2116 | 14.1 | -11.2 |
| 075 | SLD | Si | -0.1856 | -0.1822 | -0.1911 | -0.1930 | -13.9 | 11.2 |
| 076 | SLD | Si | -0.1727 | -0.1713 | -0.1733 | -0.1743 | -9.7 | 0.3 |
| 077 | SLD | Si | -0.2164 | -0.2132 | -0.2301 | -0.2304 | 14.0 | -0.6 |
| 078 | SLD | Si | -0.2033 | -0.2021 | -0.2120 | -0.2115 | 10.0 | -10.9 |
| 079 | SLD | Si | -0.1857 | -0.1823 | -0.1912 | -0.1931 | -9.8 | 10.9 |
| 080 | SLD | Si | -0.1726 | -0.1712 | -0.1731 | -0.1742 | -13.8 | 0.6 |
| 081 | SLD | Si | -0.2199 | -0.2144 | -0.2361 | -0.2380 | -3.6 | 16.9 |
| 082 | SLD | Si | -0.1770 | -0.1781 | -0.1769 | -0.1757 | 10.5 | -19.5 |
| 083 | SLD | Si | -0.2121 | -0.2062 | -0.2263 | -0.2288 | -10.4 | 19.5 |
| 084 | SLD | Si | -0.1691 | -0.1699 | -0.1671 | -0.1666 | 3.7 | -17.0 |
| 085 | SLD | Si | -0.2206 | -0.2150 | -0.2371 | -0.2390 | -3.4 | 16.5 |
| 086 | SLD | Si | -0.1776 | -0.1787 | -0.1778 | -0.1767 | 10.7 | -20.0 |
| 087 | SLD | Si | -0.2114 | -0.2057 | -0.2254 | -0.2278 | -10.5 | 19.9 |
| 088 | SLD | Si | -0.1684 | -0.1694 | -0.1662 | -0.1656 | 3.5 | -16.5 |
| 089 | SLD | Si | -0.2204 | -0.2149 | -0.2366 | -0.2385 | 10.1 | 15.9 |
| 090 | SLD | Si | -0.1765 | -0.1777 | -0.1764 | -0.1753 | -3.2 | -18.5 |
| 091 | SLD | Si | -0.2125 | -0.2067 | -0.2268 | -0.2293 | 3.3 | 18.4 |
| 092 | SLD | Si | -0.1687 | -0.1695 | -0.1666 | -0.1661 | -10.0 | -15.9 |
| 093 | SLD | Si | -0.2210 | -0.2154 | -0.2376 | -0.2395 | 10.3 | 15.4 |
| 094 | SLD | Si | -0.1772 | -0.1782 | -0.1773 | -0.1763 | -3.0 | -18.9 |
| 095 | SLD | Si | -0.2118 | -0.2061 | -0.2259 | -0.2283 | 3.1 | 18.9 |
| 096 | SLD | Si | -0.1680 | -0.1690 | -0.1657 | -0.1651 | -10.2 | -15.5 |
| 097 | SLO | Si | -0.2100 | -0.2073 | -0.2216 | -0.2218 | 7.4 | 0.9 |
| 098 | SLO | Si | -0.1999 | -0.1988 | -0.2076 | -0.2071 | 10.7 | -7.7 |
| 099 | SLO | Si | -0.1892 | -0.1856 | -0.1956 | -0.1975 | -10.6 | 7.7 |
| 100 | SLO | Si | -0.1790 | -0.1770 | -0.1816 | -0.1828 | -7.2 | -0.9 |
| 101 | SLO | Si | -0.2102 | -0.2075 | -0.2218 | -0.2220 | 10.6 | 0.7 |
| 102 | SLO | Si | -0.1997 | -0.1986 | -0.2074 | -0.2069 | 7.4 | -7.5 |
| 103 | SLO | Si | -0.1893 | -0.1857 | -0.1958 | -0.1977 | -7.3 | 7.5 |
| 104 | SLO | Si | -0.1789 | -0.1769 | -0.1814 | -0.1826 | -10.5 | -0.7 |
| 105 | SLO | Si | -0.2117 | -0.2087 | -0.2240 | -0.2244 | 7.8 | -0.3 |
| 106 | SLO | Si | -0.2016 | -0.2002 | -0.2101 | -0.2098 | 11.2 | -8.9 |
| 107 | SLO | Si | -0.1874 | -0.1842 | -0.1932 | -0.1948 | -11.0 | 8.8 |
| 108 | SLO | Si | -0.1773 | -0.1756 | -0.1792 | -0.1802 | -7.7 | 0.2 |
| 109 | SLO | Si | -0.2119 | -0.2089 | -0.2242 | -0.2246 | 11.1 | -0.5 |
| 110 | SLO | Si | -0.2015 | -0.2000 | -0.2099 | -0.2096 | 7.9 | -8.7 |
| 111 | SLO | Si | -0.1876 | -0.1843 | -0.1934 | -0.1950 | -7.8 | 8.6 |
| 112 | SLO | Si | -0.1771 | -0.1755 | -0.1790 | -0.1800 | -11.0 | 0.4 |
| 113 | SLO | Si | -0.2145 | -0.2097 | -0.2288 | -0.2304 | -2.8 | 13.2 |
| 114 | SLO | Si | -0.1808 | -0.1812 | -0.1823 | -0.1815 | 8.3 | -15.3 |
| 115 | SLO | Si | -0.2083 | -0.2032 | -0.2210 | -0.2231 | -8.2 | 15.3 |
| 116 | SLO | Si | -0.1745 | -0.1747 | -0.1745 | -0.1742 | 2.9 | -13.3 |
| 117 | SLO | Si | -0.2150 | -0.2101 | -0.2295 | -0.2312 | -2.6 | 12.9 |
| 118 | SLO | Si | -0.1813 | -0.1816 | -0.1830 | -0.1823 | 8.4 | -15.7 |
| 119 | SLO | Si | -0.2077 | -0.2028 | -0.2202 | -0.2223 | -8.3 | 15.6 |
| 120 | SLO | Si | -0.1740 | -0.1743 | -0.1737 | -0.1734 | 2.8 | -13.0 |
| 121 | SLO | Si | -0.2150 | -0.2102 | -0.2294 | -0.2311 | 8.0 | 12.6 |
| 122 | SLO | Si | -0.1802 | -0.1807 | -0.1816 | -0.1808 | -2.5 | -14.7 |
| 123 | SLO | Si | -0.2088 | -0.2037 | -0.2216 | -0.2238 | 2.7 | 14.6 |
| 124 | SLO | Si | -0.1740 | -0.1742 | -0.1738 | -0.1735 | -7.9 | -12.6 |
| 125 | SLO | Si | -0.2156 | -0.2106 | -0.2302 | -0.2318 | 8.2 | 12.3 |
| 126 | SLO | Si | -0.1808 | -0.1811 | -0.1823 | -0.1816 | -2.4 | -15.0 |
| 127 | SLO | Si | -0.2083 | -0.2033 | -0.2209 | -0.2230 | 2.5 | 15.0 |
| 128 | SLO | Si | -0.1735 | -0.1737 | -0.1731 | -0.1727 | -8.1 | -12.3 |

VALORI DI CALCOLO DELLA PORTANZA PER FONDAZIONI SUPERFICIALI

I coeff. A1 risultano combinati secondo lo schema presente nella relazione di calcolo della struttura. Le azioni trasmesse in fondazione, relative alle combinazioni di tipo sismico, non saranno amplificate in quanto determinate ipotizzando un comportamento non dissipativo.

La verifica nei confronti dello Stato Limite di Danno viene eseguita determinando il carico limite della fondazione per le corrispondenti azioni di SLD, impiegando i coefficienti parziali gammaR di cui alla

Relazione Geotecnica e delle Fondazioni

tabella 7.11.II.

Macro platea: 1

| Cmb. n. | Qmax daN/cm ² | Qlim daN/cm ² | Qmax/Qlim | TL daN | TLlim daN | TL/TLlim | TB daN | TBlim daN | TB/TBlim | Stato |
|------------|-----------------------------|-----------------------------|-----------|-----------|--------------|----------|-----------|--------------|----------|-------|
| 1 | 0.1842 | 3.7683 | 0.049 | 0.0 | 39066.2 | 0.000 | 0.0 | 41405.3 | 0.000 | Ok |
| 2 | 0.2367 | 3.7859 | 0.063 | 0.0 | 42796.9 | 0.000 | 0.0 | 45136.1 | 0.000 | Ok |
| 3 | 0.2866 | 3.6272 | 0.079 | 0.0 | 40740.5 | 0.000 | 0.0 | 43079.6 | 0.000 | Ok |
| 4 | 0.3391 | 3.6687 | 0.092 | 0.0 | 44783.0 | 0.000 | 0.0 | 47122.1 | 0.000 | Ok |
| 5 | 0.1362 | 3.7711 | 0.036 | 0.0 | 36346.5 | 0.000 | 0.0 | 38685.6 | 0.000 | Ok |
| 6 | 0.1887 | 3.7922 | 0.050 | 0.0 | 40140.6 | 0.000 | 0.0 | 42479.7 | 0.000 | Ok |
| 7 | 0.2386 | 3.5952 | 0.066 | 0.0 | 37549.5 | 0.000 | 0.0 | 39888.6 | 0.000 | Ok |
| 8 | 0.2911 | 3.6518 | 0.080 | 0.0 | 41806.5 | 0.000 | 0.0 | 44145.6 | 0.000 | Ok |
| 9 | 0.2592 | 3.7911 | 0.068 | 0.0 | 44355.6 | 0.000 | 0.0 | 46694.7 | 0.000 | Ok |
| 10 | 0.2559 | 3.6614 | 0.070 | 0.0 | 40129.5 | 0.000 | 0.0 | 42468.7 | 0.000 | Ok |
| 11 | 0.3309 | 3.7101 | 0.089 | 0.0 | 45758.8 | 0.000 | 0.0 | 48097.9 | 0.000 | Ok |
| 12 | 0.2112 | 3.7978 | 0.056 | 0.0 | 41707.4 | 0.000 | 0.0 | 44046.5 | 0.000 | Ok |
| 13 | 0.2079 | 3.6352 | 0.057 | 0.0 | 37017.2 | 0.000 | 0.0 | 39356.4 | 0.000 | Ok |
| 14 | 0.2829 | 3.7011 | 0.076 | 0.0 | 42893.3 | 0.000 | 0.0 | 45232.5 | 0.000 | Ok |
| 33 | 0.2842 | 3.2554 | 0.087 | 2419.6 | 34150.1 | 0.071 | 1536.2 | 35949.4 | 0.043 | Ok |
| 34 | 0.2321 | 3.4594 | 0.067 | 2558.9 | 37156.3 | 0.069 | 553.9 | 38955.6 | 0.014 | Ok |
| 35 | 0.2564 | 3.3303 | 0.077 | 2558.9 | 35590.3 | 0.072 | 553.9 | 37389.6 | 0.015 | Ok |
| 36 | 0.2359 | 3.4942 | 0.068 | 2419.6 | 37746.3 | 0.064 | 1536.2 | 39545.6 | 0.039 | Ok |
| 37 | 0.2846 | 3.2354 | 0.088 | 2585.2 | 34124.3 | 0.076 | 1515.0 | 35923.7 | 0.042 | Ok |
| 38 | 0.2317 | 3.4808 | 0.067 | 2393.3 | 37184.1 | 0.064 | 532.7 | 38983.4 | 0.014 | Ok |
| 39 | 0.2562 | 3.3491 | 0.077 | 2393.3 | 35592.6 | 0.067 | 532.7 | 37391.9 | 0.014 | Ok |
| 40 | 0.2364 | 3.4728 | 0.068 | 2585.2 | 37718.5 | 0.069 | 1515.0 | 39517.9 | 0.038 | Ok |
| 41 | 0.2929 | 3.2456 | 0.090 | 2461.4 | 33881.0 | 0.073 | 1513.5 | 35680.3 | 0.042 | Ok |
| 42 | 0.2408 | 3.4487 | 0.070 | 2600.8 | 36844.9 | 0.071 | 576.7 | 38644.3 | 0.015 | Ok |
| 43 | 0.2586 | 3.3294 | 0.078 | 2600.8 | 35377.6 | 0.074 | 576.7 | 37176.9 | 0.016 | Ok |
| 44 | 0.2436 | 3.4817 | 0.070 | 2461.4 | 37351.8 | 0.066 | 1513.5 | 39151.1 | 0.039 | Ok |
| 45 | 0.2933 | 3.2257 | 0.091 | 2627.0 | 33855.5 | 0.078 | 1492.2 | 35654.8 | 0.042 | Ok |
| 46 | 0.2405 | 3.4700 | 0.069 | 2435.2 | 36872.5 | 0.066 | 555.4 | 38671.8 | 0.014 | Ok |
| 47 | 0.2584 | 3.3482 | 0.077 | 2435.2 | 35380.0 | 0.069 | 555.4 | 37179.4 | 0.015 | Ok |
| 48 | 0.2441 | 3.4604 | 0.071 | 2627.0 | 37324.1 | 0.070 | 1492.3 | 39123.5 | 0.038 | Ok |
| 49 | 0.3115 | 2.8304 | 0.110 | 514.5 | 32377.0 | 0.016 | 3630.9 | 34176.3 | 0.106 | Ok |
| 50 | 0.2370 | 3.1128 | 0.076 | 979.0 | 35994.6 | 0.027 | 3336.3 | 37793.9 | 0.088 | Ok |
| 51 | 0.3002 | 2.8926 | 0.104 | 979.0 | 32736.5 | 0.030 | 3336.2 | 34535.9 | 0.097 | Ok |
| 52 | 0.2510 | 3.0502 | 0.082 | 514.6 | 36076.2 | 0.014 | 3630.9 | 37875.6 | 0.096 | Ok |
| 53 | 0.3141 | 2.8301 | 0.111 | 527.1 | 32306.6 | 0.016 | 3624.1 | 34105.9 | 0.106 | Ok |
| 54 | 0.2381 | 3.1138 | 0.076 | 991.5 | 35960.9 | 0.028 | 3343.1 | 37760.2 | 0.089 | Ok |
| 55 | 0.3008 | 2.8926 | 0.104 | 991.6 | 32685.9 | 0.030 | 3343.1 | 34485.2 | 0.097 | Ok |
| 56 | 0.2533 | 3.0487 | 0.083 | 527.1 | 35965.1 | 0.015 | 3624.1 | 37764.4 | 0.096 | Ok |
| 57 | 0.3127 | 2.8363 | 0.110 | 1066.6 | 32295.2 | 0.033 | 3560.1 | 34094.6 | 0.104 | Ok |
| 58 | 0.2368 | 3.1197 | 0.076 | 427.0 | 35999.0 | 0.012 | 3265.5 | 37798.3 | 0.086 | Ok |
| 59 | 0.2996 | 2.8989 | 0.103 | 427.0 | 32732.7 | 0.013 | 3265.5 | 34532.0 | 0.095 | Ok |
| 60 | 0.2525 | 3.0567 | 0.083 | 1066.6 | 35987.3 | 0.030 | 3560.2 | 37786.6 | 0.094 | Ok |
| 61 | 0.3153 | 2.8359 | 0.111 | 1079.1 | 32225.1 | 0.033 | 3553.3 | 34024.4 | 0.104 | Ok |
| 62 | 0.2379 | 3.1207 | 0.076 | 439.5 | 35965.5 | 0.012 | 3272.3 | 37764.8 | 0.087 | Ok |
| 63 | 0.3002 | 2.8988 | 0.104 | 439.5 | 32682.2 | 0.013 | 3272.3 | 34481.6 | 0.095 | Ok |
| 64 | 0.2548 | 3.0552 | 0.083 | 1079.1 | 35876.3 | 0.030 | 3553.3 | 37675.6 | 0.094 | Ok |
| 65 | 0.2439 | 3.5009 | 0.070 | 1093.5 | 36579.3 | 0.030 | 696.9 | 38378.6 | 0.018 | Ok |
| 66 | 0.2201 | 3.5989 | 0.061 | 1158.2 | 38030.5 | 0.030 | 254.1 | 39829.8 | 0.006 | Ok |
| 67 | 0.2261 | 3.5363 | 0.064 | 1158.2 | 37376.5 | 0.031 | 254.1 | 39175.8 | 0.006 | Ok |
| 68 | 0.2012 | 3.6501 | 0.055 | 1093.5 | 38921.6 | 0.028 | 696.9 | 40721.0 | 0.017 | Ok |
| 69 | 0.2440 | 3.4913 | 0.070 | 1170.1 | 36567.3 | 0.032 | 687.1 | 38366.7 | 0.018 | Ok |
| 70 | 0.2199 | 3.6088 | 0.061 | 1081.6 | 38042.9 | 0.028 | 244.3 | 39842.2 | 0.006 | Ok |
| 71 | 0.2260 | 3.5452 | 0.064 | 1081.6 | 37377.8 | 0.029 | 244.3 | 39177.2 | 0.006 | Ok |
| 72 | 0.2013 | 3.6409 | 0.055 | 1170.1 | 38919.8 | 0.030 | 687.1 | 40719.2 | 0.017 | Ok |
| 73 | 0.2479 | 3.4960 | 0.071 | 1113.9 | 36444.6 | 0.031 | 686.0 | 38243.9 | 0.018 | Ok |
| 74 | 0.2241 | 3.5937 | 0.062 | 1178.6 | 37886.7 | 0.031 | 265.0 | 39686.0 | 0.007 | Ok |
| 75 | 0.2271 | 3.5361 | 0.064 | 1178.6 | 37279.3 | 0.032 | 265.0 | 39078.6 | 0.007 | Ok |
| 76 | 0.2022 | 3.6500 | 0.055 | 1113.9 | 38819.0 | 0.029 | 686.0 | 40618.3 | 0.017 | Ok |
| 77 | 0.2480 | 3.4864 | 0.071 | 1190.5 | 36432.7 | 0.033 | 676.2 | 38232.0 | 0.018 | Ok |
| 78 | 0.2239 | 3.6036 | 0.062 | 1102.0 | 37899.0 | 0.029 | 255.2 | 39698.4 | 0.006 | Ok |
| 79 | 0.2270 | 3.5450 | 0.064 | 1102.0 | 37280.7 | 0.030 | 255.2 | 39080.0 | 0.007 | Ok |
| 80 | 0.2023 | 3.6407 | 0.056 | 1190.5 | 38817.1 | 0.031 | 676.2 | 40616.5 | 0.017 | Ok |
| 81 | 0.2564 | 3.2902 | 0.078 | 229.8 | 35780.2 | 0.006 | 1651.4 | 37579.5 | 0.044 | Ok |
| 82 | 0.1874 | 3.5637 | 0.053 | 445.7 | 39428.3 | 0.011 | 1518.6 | 41227.6 | 0.037 | Ok |
| 83 | 0.2461 | 3.3213 | 0.074 | 445.7 | 36043.8 | 0.012 | 1518.6 | 37843.1 | 0.040 | Ok |
| 84 | 0.1988 | 3.5324 | 0.056 | 229.8 | 39613.1 | 0.006 | 1651.4 | 41412.4 | 0.040 | Ok |
| 85 | 0.2576 | 3.2900 | 0.078 | 236.0 | 35742.0 | 0.007 | 1648.2 | 37541.3 | 0.044 | Ok |
| 86 | 0.1879 | 3.5641 | 0.053 | 451.8 | 39407.2 | 0.011 | 1521.9 | 41206.5 | 0.037 | Ok |
| 87 | 0.2464 | 3.3214 | 0.074 | 451.8 | 36017.4 | 0.013 | 1521.9 | 37816.8 | 0.040 | Ok |

| | | | |
|--------------------------------------|------------------------------------------------------------------------------------------------------------------------------|----------------------------------------------------------------------------------|-------------|
| COMMITTENTE: Mecca Antonio | CODICE COMMESSA: | NOME ELABORATO: S1.5 - Relazione Geotecnica e delle Fondazioni | CONSULENTE: |
| DATA: Aprile 2023 | TITOLO: Lavori ultimazione di un fabbricato adibito ad albergo-ristorante- C.da Case Nuove Chicone Avigliano (PZ) | | |

| | | | | | | | | | | |
|-----|--------|--------|-------|-------|---------|-------|--------|---------|-------|----|
| 88 | 0.1998 | 3.5319 | 0.057 | 236.0 | 39558.8 | 0.006 | 1648.2 | 41358.1 | 0.040 | Ok |
| 89 | 0.2570 | 3.2935 | 0.078 | 485.2 | 35741.2 | 0.014 | 1618.7 | 37540.6 | 0.043 | Ok |
| 90 | 0.1873 | 3.5674 | 0.052 | 190.3 | 39434.2 | 0.005 | 1485.9 | 41233.5 | 0.036 | Ok |
| 91 | 0.2458 | 3.3246 | 0.074 | 190.3 | 36046.0 | 0.005 | 1485.8 | 37845.4 | 0.039 | Ok |
| 92 | 0.1995 | 3.5359 | 0.056 | 485.2 | 39570.8 | 0.012 | 1618.7 | 41370.2 | 0.039 | Ok |
| 93 | 0.2582 | 3.2932 | 0.078 | 491.3 | 35703.1 | 0.014 | 1615.4 | 37502.4 | 0.043 | Ok |
| 94 | 0.1878 | 3.5677 | 0.053 | 196.5 | 39413.2 | 0.005 | 1489.1 | 41212.5 | 0.036 | Ok |
| 95 | 0.2461 | 3.3248 | 0.074 | 196.5 | 36019.7 | 0.005 | 1489.1 | 37819.0 | 0.039 | Ok |
| 96 | 0.2005 | 3.5354 | 0.057 | 491.3 | 39516.5 | 0.012 | 1615.4 | 41315.9 | 0.039 | Ok |
| 97 | 0.2368 | 3.5443 | 0.067 | 868.2 | 37015.7 | 0.023 | 549.7 | 38815.0 | 0.014 | Ok |
| 98 | 0.2182 | 3.6218 | 0.060 | 918.6 | 38165.8 | 0.024 | 198.2 | 39965.1 | 0.005 | Ok |
| 99 | 0.2208 | 3.5727 | 0.062 | 918.6 | 37697.3 | 0.024 | 198.2 | 39496.7 | 0.005 | Ok |
| 100 | 0.2012 | 3.6626 | 0.055 | 868.2 | 38920.6 | 0.022 | 549.7 | 40719.9 | 0.014 | Ok |
| 101 | 0.2371 | 3.5362 | 0.067 | 928.5 | 36999.6 | 0.025 | 545.5 | 38798.9 | 0.014 | Ok |
| 102 | 0.2179 | 3.6301 | 0.060 | 858.2 | 38182.1 | 0.022 | 193.9 | 39981.4 | 0.005 | Ok |
| 103 | 0.2208 | 3.5792 | 0.062 | 858.2 | 37691.1 | 0.023 | 193.9 | 39490.4 | 0.005 | Ok |
| 104 | 0.2012 | 3.6559 | 0.055 | 928.5 | 38926.6 | 0.024 | 545.5 | 40726.0 | 0.013 | Ok |
| 105 | 0.2400 | 3.5403 | 0.068 | 884.3 | 36907.3 | 0.024 | 542.2 | 38706.6 | 0.014 | Ok |
| 106 | 0.2213 | 3.6177 | 0.061 | 934.7 | 38051.8 | 0.025 | 205.8 | 39851.1 | 0.005 | Ok |
| 107 | 0.2215 | 3.5726 | 0.062 | 934.7 | 37622.4 | 0.025 | 205.7 | 39421.8 | 0.005 | Ok |
| 108 | 0.2020 | 3.6626 | 0.055 | 884.3 | 38842.3 | 0.023 | 542.2 | 40641.6 | 0.013 | Ok |
| 109 | 0.2402 | 3.5322 | 0.068 | 944.7 | 36891.3 | 0.026 | 537.9 | 38690.6 | 0.014 | Ok |
| 110 | 0.2211 | 3.6260 | 0.061 | 874.4 | 38068.0 | 0.023 | 201.5 | 39867.4 | 0.005 | Ok |
| 111 | 0.2216 | 3.5792 | 0.062 | 874.4 | 37616.2 | 0.023 | 201.5 | 39415.5 | 0.005 | Ok |
| 112 | 0.2019 | 3.6559 | 0.055 | 944.7 | 38848.3 | 0.024 | 537.9 | 40647.7 | 0.013 | Ok |
| 113 | 0.2465 | 3.3775 | 0.073 | 184.0 | 36398.8 | 0.005 | 1299.3 | 38198.1 | 0.034 | Ok |
| 114 | 0.1843 | 3.6486 | 0.051 | 352.0 | 40057.0 | 0.009 | 1193.8 | 41856.3 | 0.029 | Ok |
| 115 | 0.2364 | 3.4026 | 0.069 | 352.0 | 36652.8 | 0.010 | 1193.8 | 38452.1 | 0.031 | Ok |
| 116 | 0.1895 | 3.6233 | 0.052 | 184.0 | 40253.2 | 0.005 | 1299.3 | 42052.6 | 0.031 | Ok |
| 117 | 0.2475 | 3.3773 | 0.073 | 188.9 | 36367.6 | 0.005 | 1297.0 | 38167.0 | 0.034 | Ok |
| 118 | 0.1853 | 3.6490 | 0.051 | 356.8 | 40040.1 | 0.009 | 1196.1 | 41839.4 | 0.029 | Ok |
| 119 | 0.2366 | 3.4028 | 0.070 | 356.8 | 36632.0 | 0.010 | 1196.1 | 38431.3 | 0.031 | Ok |
| 120 | 0.1903 | 3.6229 | 0.053 | 188.9 | 40209.8 | 0.005 | 1297.0 | 42009.1 | 0.031 | Ok |
| 121 | 0.2473 | 3.3769 | 0.073 | 385.2 | 36345.2 | 0.011 | 1285.0 | 38144.5 | 0.034 | Ok |
| 122 | 0.1835 | 3.6482 | 0.050 | 150.9 | 40036.4 | 0.004 | 1179.6 | 41835.8 | 0.028 | Ok |
| 123 | 0.2370 | 3.4020 | 0.070 | 150.9 | 36629.9 | 0.004 | 1179.6 | 38429.3 | 0.031 | Ok |
| 124 | 0.1903 | 3.6228 | 0.053 | 385.2 | 40196.4 | 0.010 | 1285.1 | 41995.7 | 0.031 | Ok |
| 125 | 0.2483 | 3.3766 | 0.074 | 390.0 | 36314.0 | 0.011 | 1282.8 | 38113.4 | 0.034 | Ok |
| 126 | 0.1845 | 3.6485 | 0.051 | 155.7 | 40019.6 | 0.004 | 1181.9 | 41818.9 | 0.028 | Ok |
| 127 | 0.2368 | 3.4022 | 0.070 | 155.7 | 36609.2 | 0.004 | 1181.8 | 38408.5 | 0.031 | Ok |
| 128 | 0.1912 | 3.6224 | 0.053 | 390.0 | 40152.9 | 0.010 | 1282.8 | 41952.3 | 0.031 | Ok |

Risultati più gravosi per cmb. di tipo **SLU STR**:

Sgm. Lt (tens. litostatica) = -0.0400 daN/cm²

Qlim = Qlim c + Qlim q + Qlim g + Qres P = 1.1324 + 0.5070 + 1.7629 + 0.2664

Qmax / Qlim = 0.3391 / 3.6687 = 0.092 Ok (Cmb. n. 004)

TB / TBlim = 0.0 / 39888.6 = 0.000 Ok (Cmb. n. 007)

TL / TLlim = 0.0 / 37549.5 = 0.000 Ok (Cmb. n. 007)

Risultati più gravosi per cmb. di tipo **SLV A1 sism.**:

Sgm. Lt (tens. litostatica) = -0.0400 daN/cm²

Qlim = Qlim c + Qlim q + Qlim g + Qres P = 0.9900 + 0.4466 + 1.1330 + 0.2664

Qmax / Qlim = 0.3153 / 2.8359 = 0.111 Ok (Cmb. n. 061)

TB / TBlim = 3624.1 / 34105.9 = 0.106 Ok (Cmb. n. 053)

TL / TLlim = 2627.0 / 33855.5 = 0.078 Ok (Cmb. n. 045)

Risultati più gravosi per cmb. di tipo **SLD sism.**:

Sgm. Lt (tens. litostatica) = -0.0400 daN/cm²

Qlim = Qlim c + Qlim q + Qlim g + Qres P = 1.0684 + 0.4798 + 1.4787 + 0.2664

Qmax / Qlim = 0.2582 / 3.2932 = 0.078 Ok (Cmb. n. 093)

TB / TBlim = 1651.4 / 37579.5 = 0.044 Ok (Cmb. n. 081)

TL / TLlim = 1190.5 / 36432.7 = 0.033 Ok (Cmb. n. 077)

VALORI DI CALCOLO DEI CEDIMENTI PER FONDAZIONI SUPERFICIALI

Elemento Platea n. 1

| Cmb. n. | Tipo | Car. Netto daN/cm ² | Prof. cm | Sigm.Z/Sigm.Lit. % | Cedim.Edom. cm |
|---------|----------|-----------------------------------|-------------|-----------------------|-------------------|
| 15 | SLE rare | -0.0819 | 175.0 | 18.906 | -0.110 |
| 16 | SLE rare | -0.1169 | 225.0 | 18.311 | -0.179 |

Relazione Geotecnica e delle Fondazioni

| | | | | | |
|----|----------|---------|-------|--------|--------|
| 17 | SLE rare | -0.1174 | 225.0 | 18.573 | -0.180 |
| 18 | SLE rare | -0.1524 | 300.0 | 14.676 | -0.269 |
| 19 | SLE rare | -0.1319 | 250.0 | 17.279 | -0.212 |
| 20 | SLE rare | -0.1067 | 225.0 | 16.866 | -0.164 |
| 21 | SLE rare | -0.1567 | 300.0 | 15.068 | -0.277 |
| 22 | SLE freq | -0.0819 | 175.0 | 18.906 | -0.110 |
| 23 | SLE freq | -0.1119 | 225.0 | 17.531 | -0.171 |
| 24 | SLE freq | -0.1067 | 225.0 | 16.866 | -0.164 |
| 25 | SLE freq | -0.1367 | 250.0 | 18.091 | -0.221 |
| 26 | SLE freq | -0.1169 | 225.0 | 18.311 | -0.179 |
| 27 | SLE freq | -0.1031 | 200.0 | 19.638 | -0.149 |
| 28 | SLE freq | -0.1381 | 250.0 | 18.271 | -0.223 |
| 29 | SLE q.p. | -0.0819 | 175.0 | 18.906 | -0.110 |
| 30 | SLE q.p. | -0.1119 | 225.0 | 17.531 | -0.171 |
| 31 | SLE q.p. | -0.1031 | 200.0 | 19.638 | -0.149 |
| 32 | SLE q.p. | -0.1331 | 250.0 | 17.614 | -0.215 |

Cedimento massimo in cmb n. 21 = -0.277 cm

Elemento Platea n. 2

| Cmb. n. | Tipo | Car. Netto daN/cm ² | Prof. cm | Sigm.Z/Sigm.Lit. % | Cedim.Edom. cm |
|---------|----------|-----------------------------------|-------------|-----------------------|-------------------|
| 15 | SLE rare | -0.0870 | 175.0 | 18.440 | -0.113 |
| 16 | SLE rare | -0.1220 | 225.0 | 17.428 | -0.179 |
| 17 | SLE rare | -0.1344 | 225.0 | 18.352 | -0.195 |
| 18 | SLE rare | -0.1526 | 300.0 | 14.546 | -0.269 |
| 19 | SLE rare | -0.1319 | 250.0 | 17.279 | -0.212 |
| 20 | SLE rare | -0.1202 | 225.0 | 16.549 | -0.175 |
| 21 | SLE rare | -0.1678 | 300.0 | 14.642 | -0.283 |
| 22 | SLE freq | -0.0870 | 175.0 | 18.440 | -0.113 |
| 23 | SLE freq | -0.1170 | 225.0 | 16.702 | -0.172 |
| 24 | SLE freq | -0.1202 | 225.0 | 16.549 | -0.175 |
| 25 | SLE freq | -0.1502 | 250.0 | 17.391 | -0.230 |
| 26 | SLE freq | -0.1220 | 225.0 | 17.428 | -0.179 |
| 27 | SLE freq | -0.1155 | 200.0 | 19.431 | -0.159 |
| 28 | SLE freq | -0.1505 | 250.0 | 17.504 | -0.231 |
| 29 | SLE q.p. | -0.0870 | 175.0 | 18.440 | -0.113 |
| 30 | SLE q.p. | -0.1170 | 225.0 | 16.702 | -0.172 |
| 31 | SLE q.p. | -0.1155 | 200.0 | 19.431 | -0.159 |
| 32 | SLE q.p. | -0.1455 | 250.0 | 16.896 | -0.223 |

Cedimento massimo in cmb n. 21 = -0.283 cm

Elemento Platea n. 3

| Cmb. n. | Tipo | Car. Netto daN/cm ² | Prof. cm | Sigm.Z/Sigm.Lit. % | Cedim.Edom. cm |
|---------|----------|-----------------------------------|-------------|-----------------------|-------------------|
| 15 | SLE rare | -0.0824 | 175.0 | 18.694 | -0.110 |
| 16 | SLE rare | -0.1169 | 225.0 | 18.311 | -0.179 |
| 17 | SLE rare | -0.1176 | 225.0 | 18.461 | -0.180 |
| 18 | SLE rare | -0.1526 | 300.0 | 14.546 | -0.269 |
| 19 | SLE rare | -0.1319 | 250.0 | 17.279 | -0.212 |
| 20 | SLE rare | -0.1069 | 225.0 | 16.778 | -0.163 |
| 21 | SLE rare | -0.1569 | 300.0 | 14.940 | -0.276 |
| 22 | SLE freq | -0.0824 | 175.0 | 18.694 | -0.110 |
| 23 | SLE freq | -0.1119 | 225.0 | 17.531 | -0.171 |
| 24 | SLE freq | -0.1069 | 225.0 | 16.778 | -0.163 |
| 25 | SLE freq | -0.1369 | 250.0 | 17.958 | -0.221 |
| 26 | SLE freq | -0.1169 | 225.0 | 18.311 | -0.179 |
| 27 | SLE freq | -0.1033 | 200.0 | 19.563 | -0.149 |
| 28 | SLE freq | -0.1383 | 250.0 | 18.140 | -0.223 |
| 29 | SLE q.p. | -0.0824 | 175.0 | 18.694 | -0.110 |
| 30 | SLE q.p. | -0.1119 | 225.0 | 17.531 | -0.171 |
| 31 | SLE q.p. | -0.1033 | 200.0 | 19.563 | -0.149 |
| 32 | SLE q.p. | -0.1333 | 250.0 | 17.488 | -0.215 |

Cedimento massimo in cmb n. 21 = -0.276 cm

Elemento Platea n. 4

| Cmb. n. | Tipo | Car. Netto daN/cm ² | Prof. cm | Sigm.Z/Sigm.Lit. % | Cedim.Edom. cm |
|---------|----------|-----------------------------------|-------------|-----------------------|-------------------|
| 15 | SLE rare | -0.0853 | 175.0 | 18.577 | -0.112 |
| 16 | SLE rare | -0.1203 | 225.0 | 17.411 | -0.180 |
| 17 | SLE rare | -0.1264 | 225.0 | 17.899 | -0.187 |
| 18 | SLE rare | -0.1614 | 250.0 | 19.043 | -0.252 |
| 19 | SLE rare | -0.1353 | 225.0 | 19.600 | -0.202 |
| 20 | SLE rare | -0.1141 | 200.0 | 19.842 | -0.160 |
| 21 | SLE rare | -0.1641 | 250.0 | 19.476 | -0.257 |

| | | | |
|--------------------------------------|----------------------------------------------------------------------------------------------------------------------|----------------------------------------------------------------------------------|-------------|
| COMMITTENTE: Mecca Antonio | CODICE COMMESSA: | NOME ELABORATO: S1.5 - Relazione Geotecnica e delle Fondazioni | CONSULENTE: |
| DATA: Aprile 2023 | TITOLO: Lavori ultimazione di un fabbricato adibito ad albergo-ristorante– C.da Case Nuove Chicone Avigliano (PZ) | | |

| | | | | | |
|----|----------|---------|-------|--------|--------|
| 22 | SLE freq | -0.0853 | 175.0 | 18.577 | -0.112 |
| 23 | SLE freq | -0.1153 | 225.0 | 16.681 | -0.172 |
| 24 | SLE freq | -0.1141 | 200.0 | 19.842 | -0.160 |
| 25 | SLE freq | -0.1441 | 250.0 | 17.054 | -0.225 |
| 26 | SLE freq | -0.1203 | 225.0 | 17.411 | -0.180 |
| 27 | SLE freq | -0.1100 | 200.0 | 19.155 | -0.154 |
| 28 | SLE freq | -0.1450 | 250.0 | 17.198 | -0.227 |
| 29 | SLE q.p. | -0.0853 | 175.0 | 18.577 | -0.112 |
| 30 | SLE q.p. | -0.1153 | 225.0 | 16.681 | -0.172 |
| 31 | SLE q.p. | -0.1100 | 200.0 | 19.155 | -0.154 |
| 32 | SLE q.p. | -0.1400 | 250.0 | 16.593 | -0.219 |

Cedimento massimo in cmb n. 21 = -0.257 cm

Elemento Platea n. 5

| Cmb. n. | Tipo | Car. Netto daN/cm ² | Prof. cm | Sigm.Z/Sigm.Lit. % | Cedim.Edom. cm |
|------------|----------|-----------------------------------|-------------|-----------------------|-------------------|
| 15 | SLE rare | -0.0870 | 175.0 | 18.440 | -0.113 |
| 16 | SLE rare | -0.1203 | 225.0 | 17.411 | -0.180 |
| 17 | SLE rare | -0.1400 | 225.0 | 17.432 | -0.196 |
| 18 | SLE rare | -0.1694 | 250.0 | 19.483 | -0.259 |
| 19 | SLE rare | -0.1324 | 250.0 | 16.838 | -0.212 |
| 20 | SLE rare | -0.1202 | 225.0 | 16.549 | -0.175 |
| 21 | SLE rare | -0.1571 | 300.0 | 14.398 | -0.274 |
| 22 | SLE freq | -0.0870 | 175.0 | 18.440 | -0.113 |
| 23 | SLE freq | -0.1153 | 225.0 | 16.681 | -0.172 |
| 24 | SLE freq | -0.1202 | 225.0 | 16.549 | -0.175 |
| 25 | SLE freq | -0.1502 | 250.0 | 17.391 | -0.230 |
| 26 | SLE freq | -0.1203 | 225.0 | 17.411 | -0.180 |
| 27 | SLE freq | -0.1196 | 200.0 | 18.550 | -0.159 |
| 28 | SLE freq | -0.1505 | 250.0 | 17.504 | -0.231 |
| 29 | SLE q.p. | -0.0870 | 175.0 | 18.440 | -0.113 |
| 30 | SLE q.p. | -0.1153 | 225.0 | 16.681 | -0.172 |
| 31 | SLE q.p. | -0.1196 | 200.0 | 18.550 | -0.159 |
| 32 | SLE q.p. | -0.1455 | 250.0 | 16.896 | -0.223 |

Cedimento massimo in cmb n. 21 = -0.274 cm

Elemento Platea n. 6

| Cmb. n. | Tipo | Car. Netto daN/cm ² | Prof. cm | Sigm.Z/Sigm.Lit. % | Cedim.Edom. cm |
|------------|----------|-----------------------------------|-------------|-----------------------|-------------------|
| 15 | SLE rare | -0.0891 | 175.0 | 17.649 | -0.113 |
| 16 | SLE rare | -0.1203 | 225.0 | 17.411 | -0.180 |
| 17 | SLE rare | -0.1400 | 225.0 | 17.432 | -0.196 |
| 18 | SLE rare | -0.1750 | 250.0 | 18.326 | -0.258 |
| 19 | SLE rare | -0.1353 | 225.0 | 19.600 | -0.202 |
| 20 | SLE rare | -0.1247 | 200.0 | 19.270 | -0.166 |
| 21 | SLE rare | -0.1747 | 250.0 | 18.594 | -0.259 |
| 22 | SLE freq | -0.0891 | 175.0 | 17.649 | -0.113 |
| 23 | SLE freq | -0.1153 | 225.0 | 16.681 | -0.172 |
| 24 | SLE freq | -0.1247 | 200.0 | 19.270 | -0.166 |
| 25 | SLE freq | -0.1441 | 250.0 | 17.054 | -0.225 |
| 26 | SLE freq | -0.1203 | 225.0 | 17.411 | -0.180 |
| 27 | SLE freq | -0.1196 | 200.0 | 18.550 | -0.159 |
| 28 | SLE freq | -0.1450 | 250.0 | 17.198 | -0.227 |
| 29 | SLE q.p. | -0.0891 | 175.0 | 17.649 | -0.113 |
| 30 | SLE q.p. | -0.1153 | 225.0 | 16.681 | -0.172 |
| 31 | SLE q.p. | -0.1196 | 200.0 | 18.550 | -0.159 |
| 32 | SLE q.p. | -0.1400 | 250.0 | 16.593 | -0.219 |

Cedimento massimo in cmb n. 21 = -0.259 cm

Elemento Platea n. 7

| Cmb. n. | Tipo | Car. Netto daN/cm ² | Prof. cm | Sigm.Z/Sigm.Lit. % | Cedim.Edom. cm |
|------------|----------|-----------------------------------|-------------|-----------------------|-------------------|
| 15 | SLE rare | -0.0966 | 120.0 | 16.964 | -0.062 |
| 16 | SLE rare | -0.1316 | 145.0 | 17.324 | -0.098 |
| 17 | SLE rare | -0.1593 | 145.0 | 19.740 | -0.116 |
| 18 | SLE rare | -0.1943 | 175.0 | 18.226 | -0.155 |
| 19 | SLE rare | -0.1466 | 145.0 | 19.376 | -0.109 |
| 20 | SLE rare | -0.1405 | 145.0 | 17.579 | -0.103 |
| 21 | SLE rare | -0.1905 | 175.0 | 18.214 | -0.153 |
| 22 | SLE freq | -0.0966 | 120.0 | 16.964 | -0.062 |
| 23 | SLE freq | -0.1266 | 145.0 | 16.641 | -0.094 |
| 24 | SLE freq | -0.1405 | 145.0 | 17.579 | -0.103 |

Relazione Geotecnica e delle Fondazioni

| | | | | | |
|----|----------|---------|-------|--------|--------|
| 25 | SLE freq | -0.1705 | 175.0 | 16.142 | -0.136 |
| 26 | SLE freq | -0.1316 | 145.0 | 17.324 | -0.098 |
| 27 | SLE freq | -0.1342 | 145.0 | 16.859 | -0.098 |
| 28 | SLE freq | -0.1692 | 175.0 | 16.138 | -0.135 |
| 29 | SLE q.p. | -0.0966 | 120.0 | 16.964 | -0.062 |
| 30 | SLE q.p. | -0.1266 | 145.0 | 16.641 | -0.094 |
| 31 | SLE q.p. | -0.1342 | 145.0 | 16.859 | -0.098 |
| 32 | SLE q.p. | -0.1642 | 150.0 | 19.851 | -0.124 |

Cedimento massimo in cmb n. 18 = -0.155 cm

Elemento Platea n. 8

| Cmb. n. | Tipo | Car. Netto daN/cm ² | Prof. cm | Sigm.Z/Sigm.Lit. % | Cedim.Edom. cm |
|---------|----------|-----------------------------------|-------------|-----------------------|-------------------|
| 15 | SLE rare | -0.0740 | 145.0 | 16.150 | -0.072 |
| 16 | SLE rare | -0.1090 | 175.0 | 18.278 | -0.116 |
| 17 | SLE rare | -0.0874 | 150.0 | 19.963 | -0.091 |
| 18 | SLE rare | -0.1224 | 200.0 | 18.619 | -0.145 |
| 19 | SLE rare | -0.1240 | 200.0 | 17.207 | -0.141 |
| 20 | SLE rare | -0.0834 | 145.0 | 19.416 | -0.083 |
| 21 | SLE rare | -0.1334 | 200.0 | 19.597 | -0.155 |
| 22 | SLE freq | -0.0740 | 145.0 | 16.150 | -0.072 |
| 23 | SLE freq | -0.1040 | 175.0 | 17.472 | -0.111 |
| 24 | SLE freq | -0.0834 | 145.0 | 19.416 | -0.083 |
| 25 | SLE freq | -0.1134 | 200.0 | 16.928 | -0.133 |
| 26 | SLE freq | -0.1090 | 175.0 | 18.278 | -0.116 |
| 27 | SLE freq | -0.0820 | 145.0 | 18.950 | -0.081 |
| 28 | SLE freq | -0.1170 | 200.0 | 17.254 | -0.136 |
| 29 | SLE q.p. | -0.0740 | 145.0 | 16.150 | -0.072 |
| 30 | SLE q.p. | -0.1040 | 175.0 | 17.472 | -0.111 |
| 31 | SLE q.p. | -0.0820 | 145.0 | 18.950 | -0.081 |
| 32 | SLE q.p. | -0.1120 | 175.0 | 19.819 | -0.122 |

Cedimento massimo in cmb n. 21 = -0.155 cm

Elemento Platea n. 9

| Cmb. n. | Tipo | Car. Netto daN/cm ² | Prof. cm | Sigm.Z/Sigm.Lit. % | Cedim.Edom. cm |
|---------|----------|-----------------------------------|-------------|-----------------------|-------------------|
| 15 | SLE rare | -0.0758 | 145.0 | 18.306 | -0.081 |
| 16 | SLE rare | -0.1108 | 200.0 | 16.582 | -0.139 |
| 17 | SLE rare | -0.0924 | 175.0 | 18.550 | -0.113 |
| 18 | SLE rare | -0.1274 | 225.0 | 17.119 | -0.174 |
| 19 | SLE rare | -0.1258 | 200.0 | 18.749 | -0.158 |
| 20 | SLE rare | -0.0874 | 175.0 | 17.198 | -0.106 |
| 21 | SLE rare | -0.1374 | 225.0 | 17.917 | -0.185 |
| 22 | SLE freq | -0.0758 | 145.0 | 18.306 | -0.081 |
| 23 | SLE freq | -0.1058 | 175.0 | 19.354 | -0.125 |
| 24 | SLE freq | -0.0874 | 175.0 | 17.198 | -0.106 |
| 25 | SLE freq | -0.1174 | 200.0 | 18.559 | -0.150 |
| 26 | SLE freq | -0.1108 | 200.0 | 16.582 | -0.139 |
| 27 | SLE freq | -0.0858 | 175.0 | 16.747 | -0.104 |
| 28 | SLE freq | -0.1208 | 200.0 | 18.896 | -0.154 |
| 29 | SLE q.p. | -0.0758 | 145.0 | 18.306 | -0.081 |
| 30 | SLE q.p. | -0.1058 | 175.0 | 19.354 | -0.125 |
| 31 | SLE q.p. | -0.0858 | 175.0 | 16.747 | -0.104 |
| 32 | SLE q.p. | -0.1158 | 200.0 | 18.174 | -0.148 |

Cedimento massimo in cmb n. 21 = -0.185 cm

Elemento Platea n. 10

| Cmb. n. | Tipo | Car. Netto daN/cm ² | Prof. cm | Sigm.Z/Sigm.Lit. % | Cedim.Edom. cm |
|---------|----------|-----------------------------------|-------------|-----------------------|-------------------|
| 15 | SLE rare | -0.0845 | 175.0 | 17.658 | -0.109 |
| 16 | SLE rare | -0.1195 | 225.0 | 16.729 | -0.175 |
| 17 | SLE rare | -0.1289 | 225.0 | 17.514 | -0.187 |
| 18 | SLE rare | -0.1639 | 250.0 | 18.642 | -0.250 |
| 19 | SLE rare | -0.1345 | 225.0 | 18.851 | -0.197 |
| 20 | SLE rare | -0.1156 | 200.0 | 19.260 | -0.159 |
| 21 | SLE rare | -0.1656 | 250.0 | 18.992 | -0.253 |
| 22 | SLE freq | -0.0845 | 175.0 | 17.658 | -0.109 |
| 23 | SLE freq | -0.1145 | 200.0 | 19.478 | -0.158 |
| 24 | SLE freq | -0.1156 | 200.0 | 19.260 | -0.159 |
| 25 | SLE freq | -0.1456 | 250.0 | 16.635 | -0.222 |
| 26 | SLE freq | -0.1195 | 225.0 | 16.729 | -0.175 |
| 27 | SLE freq | -0.1111 | 200.0 | 18.555 | -0.153 |
| 28 | SLE freq | -0.1461 | 250.0 | 16.752 | -0.223 |
| 29 | SLE q.p. | -0.0845 | 175.0 | 17.658 | -0.109 |

| | | | |
|--------------------------------------|------------------------------------------------------------------------------------------------------------------------------|----------------------------------------------------------------------------------|-------------|
| COMMITTENTE: Mecca Antonio | CODICE COMMESSA: | NOME ELABORATO: S1.5 - Relazione Geotecnica e delle Fondazioni | CONSULENTE: |
| DATA: Aprile 2023 | TITOLO: Lavori ultimazione di un fabbricato adibito ad albergo-ristorante- C.da Case Nuove Chicone Avigliano (PZ) | | |

| | | | | | |
|----|----------|---------|-------|--------|--------|
| 30 | SLE q.p. | -0.1145 | 200.0 | 19.478 | -0.158 |
| 31 | SLE q.p. | -0.1111 | 200.0 | 18.555 | -0.153 |
| 32 | SLE q.p. | -0.1411 | 225.0 | 19.464 | -0.205 |

Cedimento massimo in cmb n. 21 = -0.253 cm

Elemento Platea n. 11

| Cmb. n. | Tipo | Car. Netto daN/cm ² | Prof. cm | Sigm.Z/Sigm.Lit. % | Cedim.Edom. cm |
|------------|----------|-----------------------------------|-------------|-----------------------|-------------------|
| 15 | SLE rare | -0.0771 | 120.0 | 18.692 | -0.061 |
| 16 | SLE rare | -0.1121 | 145.0 | 19.916 | -0.103 |
| 17 | SLE rare | -0.0904 | 145.0 | 17.619 | -0.086 |
| 18 | SLE rare | -0.1254 | 175.0 | 17.884 | -0.130 |
| 19 | SLE rare | -0.1271 | 175.0 | 16.733 | -0.128 |
| 20 | SLE rare | -0.0864 | 145.0 | 16.484 | -0.082 |
| 21 | SLE rare | -0.1364 | 175.0 | 18.887 | -0.140 |
| 22 | SLE freq | -0.0771 | 120.0 | 18.692 | -0.061 |
| 23 | SLE freq | -0.1071 | 145.0 | 19.047 | -0.099 |
| 24 | SLE freq | -0.0864 | 145.0 | 16.484 | -0.082 |
| 25 | SLE freq | -0.1164 | 175.0 | 16.319 | -0.120 |
| 26 | SLE freq | -0.1121 | 145.0 | 19.916 | -0.103 |
| 27 | SLE freq | -0.0851 | 145.0 | 16.106 | -0.080 |
| 28 | SLE freq | -0.1201 | 175.0 | 16.653 | -0.123 |
| 29 | SLE q.p. | -0.0771 | 120.0 | 18.692 | -0.061 |
| 30 | SLE q.p. | -0.1071 | 145.0 | 19.047 | -0.099 |
| 31 | SLE q.p. | -0.0851 | 145.0 | 16.106 | -0.080 |
| 32 | SLE q.p. | -0.1151 | 175.0 | 16.011 | -0.118 |

Cedimento massimo in cmb n. 21 = -0.140 cm

Elemento Platea n. 12

| Cmb. n. | Tipo | Car. Netto daN/cm ² | Prof. cm | Sigm.Z/Sigm.Lit. % | Cedim.Edom. cm |
|------------|----------|-----------------------------------|-------------|-----------------------|-------------------|
| 15 | SLE rare | -0.0767 | 145.0 | 16.842 | -0.079 |
| 16 | SLE rare | -0.1117 | 175.0 | 18.096 | -0.126 |
| 17 | SLE rare | -0.0917 | 175.0 | 16.455 | -0.108 |
| 18 | SLE rare | -0.1267 | 200.0 | 17.904 | -0.156 |
| 19 | SLE rare | -0.1267 | 200.0 | 16.511 | -0.152 |
| 20 | SLE rare | -0.0872 | 150.0 | 19.208 | -0.095 |
| 21 | SLE rare | -0.1372 | 200.0 | 18.815 | -0.167 |
| 22 | SLE freq | -0.0767 | 145.0 | 16.842 | -0.079 |
| 23 | SLE freq | -0.1067 | 175.0 | 17.310 | -0.121 |
| 24 | SLE freq | -0.0872 | 150.0 | 19.208 | -0.095 |
| 25 | SLE freq | -0.1172 | 200.0 | 16.284 | -0.144 |
| 26 | SLE freq | -0.1117 | 175.0 | 18.096 | -0.126 |
| 27 | SLE freq | -0.0857 | 145.0 | 19.720 | -0.090 |
| 28 | SLE freq | -0.1207 | 200.0 | 16.588 | -0.147 |
| 29 | SLE q.p. | -0.0767 | 145.0 | 16.842 | -0.079 |
| 30 | SLE q.p. | -0.1067 | 175.0 | 17.310 | -0.121 |
| 31 | SLE q.p. | -0.0857 | 145.0 | 19.720 | -0.090 |
| 32 | SLE q.p. | -0.1157 | 175.0 | 19.629 | -0.133 |

Cedimento massimo in cmb n. 21 = -0.167 cm

Elemento Platea n. 13

| Cmb. n. | Tipo | Car. Netto daN/cm ² | Prof. cm | Sigm.Z/Sigm.Lit. % | Cedim.Edom. cm |
|------------|----------|-----------------------------------|-------------|-----------------------|-------------------|
| 15 | SLE rare | -0.0841 | 145.0 | 17.290 | -0.083 |
| 16 | SLE rare | -0.1191 | 175.0 | 18.254 | -0.129 |
| 17 | SLE rare | -0.1263 | 175.0 | 18.054 | -0.129 |
| 18 | SLE rare | -0.1613 | 200.0 | 18.623 | -0.174 |
| 19 | SLE rare | -0.1341 | 200.0 | 16.511 | -0.154 |
| 20 | SLE rare | -0.1147 | 175.0 | 16.379 | -0.117 |
| 21 | SLE rare | -0.1556 | 200.0 | 19.431 | -0.179 |
| 22 | SLE freq | -0.0841 | 145.0 | 17.290 | -0.083 |
| 23 | SLE freq | -0.1141 | 175.0 | 17.487 | -0.124 |
| 24 | SLE freq | -0.1147 | 175.0 | 16.379 | -0.117 |
| 25 | SLE freq | -0.1356 | 200.0 | 16.967 | -0.156 |
| 26 | SLE freq | -0.1191 | 175.0 | 18.254 | -0.129 |
| 27 | SLE freq | -0.1108 | 175.0 | 15.821 | -0.113 |
| 28 | SLE freq | -0.1376 | 200.0 | 17.166 | -0.158 |
| 29 | SLE q.p. | -0.0841 | 145.0 | 17.290 | -0.083 |
| 30 | SLE q.p. | -0.1141 | 175.0 | 17.487 | -0.124 |
| 31 | SLE q.p. | -0.1108 | 175.0 | 15.821 | -0.113 |
| 32 | SLE q.p. | -0.1326 | 200.0 | 16.550 | -0.153 |

Relazione Geotecnica e delle Fondazioni

Cedimento massimo in cmb n. 21 = -0.179 cm

Elemento Platea n. 14

| Cmb. n. | Tipo | Car. Netto daN/cm ² | Prof. cm | Sigm.Z/Sigm.Lit. % | Cedim.Edom. cm |
|---------|----------|-----------------------------------|-------------|-----------------------|-------------------|
| 15 | SLE rare | -0.0857 | 175.0 | 18.489 | -0.112 |
| 16 | SLE rare | -0.1207 | 225.0 | 17.687 | -0.179 |
| 17 | SLE rare | -0.1315 | 225.0 | 18.547 | -0.192 |
| 18 | SLE rare | -0.1524 | 300.0 | 14.676 | -0.269 |
| 19 | SLE rare | -0.1319 | 250.0 | 17.279 | -0.212 |
| 20 | SLE rare | -0.1178 | 225.0 | 16.731 | -0.173 |
| 21 | SLE rare | -0.1678 | 300.0 | 14.642 | -0.283 |
| 22 | SLE freq | -0.0857 | 175.0 | 18.489 | -0.112 |
| 23 | SLE freq | -0.1157 | 225.0 | 16.945 | -0.171 |
| 24 | SLE freq | -0.1178 | 225.0 | 16.731 | -0.173 |
| 25 | SLE freq | -0.1478 | 250.0 | 17.694 | -0.229 |
| 26 | SLE freq | -0.1207 | 225.0 | 17.687 | -0.179 |
| 27 | SLE freq | -0.1132 | 200.0 | 19.553 | -0.157 |
| 28 | SLE freq | -0.1482 | 250.0 | 17.815 | -0.230 |
| 29 | SLE q.p. | -0.0857 | 175.0 | 18.489 | -0.112 |
| 30 | SLE q.p. | -0.1157 | 225.0 | 16.945 | -0.171 |
| 31 | SLE q.p. | -0.1132 | 200.0 | 19.553 | -0.157 |
| 32 | SLE q.p. | -0.1432 | 250.0 | 17.192 | -0.222 |

Cedimento massimo in cmb n. 21 = -0.283 cm

Elemento Platea n. 15

| Cmb. n. | Tipo | Car. Netto daN/cm ² | Prof. cm | Sigm.Z/Sigm.Lit. % | Cedim.Edom. cm |
|---------|----------|-----------------------------------|-------------|-----------------------|-------------------|
| 15 | SLE rare | -0.0918 | 145.0 | 16.557 | -0.085 |
| 16 | SLE rare | -0.1268 | 175.0 | 16.983 | -0.128 |
| 17 | SLE rare | -0.1424 | 175.0 | 18.381 | -0.143 |
| 18 | SLE rare | -0.1774 | 200.0 | 18.486 | -0.188 |
| 19 | SLE rare | -0.1418 | 175.0 | 19.045 | -0.144 |
| 20 | SLE rare | -0.1272 | 175.0 | 16.519 | -0.128 |
| 21 | SLE rare | -0.1772 | 200.0 | 18.682 | -0.189 |
| 22 | SLE freq | -0.0918 | 145.0 | 16.557 | -0.085 |
| 23 | SLE freq | -0.1218 | 175.0 | 16.296 | -0.123 |
| 24 | SLE freq | -0.1272 | 175.0 | 16.519 | -0.128 |
| 25 | SLE freq | -0.1572 | 200.0 | 16.469 | -0.167 |
| 26 | SLE freq | -0.1268 | 175.0 | 16.983 | -0.128 |
| 27 | SLE freq | -0.1222 | 175.0 | 15.898 | -0.123 |
| 28 | SLE freq | -0.1572 | 200.0 | 16.534 | -0.167 |
| 29 | SLE q.p. | -0.0918 | 145.0 | 16.557 | -0.085 |
| 30 | SLE q.p. | -0.1218 | 175.0 | 16.296 | -0.123 |
| 31 | SLE q.p. | -0.1222 | 175.0 | 15.898 | -0.123 |
| 32 | SLE q.p. | -0.1522 | 200.0 | 15.981 | -0.162 |

Cedimento massimo in cmb n. 21 = -0.189 cm

Elemento Platea n. 16

| Cmb. n. | Tipo | Car. Netto daN/cm ² | Prof. cm | Sigm.Z/Sigm.Lit. % | Cedim.Edom. cm |
|---------|----------|-----------------------------------|-------------|-----------------------|-------------------|
| 15 | SLE rare | -0.0812 | 145.0 | 17.453 | -0.083 |
| 16 | SLE rare | -0.1162 | 175.0 | 18.551 | -0.130 |
| 17 | SLE rare | -0.1159 | 175.0 | 18.628 | -0.130 |
| 18 | SLE rare | -0.1509 | 200.0 | 19.438 | -0.179 |
| 19 | SLE rare | -0.1312 | 200.0 | 16.800 | -0.156 |
| 20 | SLE rare | -0.1055 | 175.0 | 16.930 | -0.118 |
| 21 | SLE rare | -0.1555 | 200.0 | 19.989 | -0.185 |
| 22 | SLE freq | -0.0812 | 145.0 | 17.453 | -0.083 |
| 23 | SLE freq | -0.1112 | 175.0 | 17.754 | -0.125 |
| 24 | SLE freq | -0.1055 | 175.0 | 16.930 | -0.118 |
| 25 | SLE freq | -0.1355 | 200.0 | 17.432 | -0.161 |
| 26 | SLE freq | -0.1162 | 175.0 | 18.551 | -0.130 |
| 27 | SLE freq | -0.1020 | 175.0 | 16.365 | -0.114 |
| 28 | SLE freq | -0.1370 | 200.0 | 17.616 | -0.163 |
| 29 | SLE q.p. | -0.0812 | 145.0 | 17.453 | -0.083 |
| 30 | SLE q.p. | -0.1112 | 175.0 | 17.754 | -0.125 |
| 31 | SLE q.p. | -0.1020 | 175.0 | 16.365 | -0.114 |
| 32 | SLE q.p. | -0.1320 | 200.0 | 16.977 | -0.157 |

Cedimento massimo in cmb n. 21 = -0.185 cm

Elemento Platea n. 17

| Cmb. n. | Tipo | Car. Netto daN/cm ² | Prof. cm | Sigm.Z/Sigm.Lit. % | Cedim.Edom. cm |
|---------|------|-----------------------------------|-------------|-----------------------|-------------------|
|---------|------|-----------------------------------|-------------|-----------------------|-------------------|

| | | | |
|--------------------------------------|------------------------------------------------------------------------------------------------------------------------------|----------------------------------------------------------------------------------|-------------|
| COMMITTENTE: Mecca Antonio | CODICE COMMESSA: | NOME ELABORATO: S1.5 - Relazione Geotecnica e delle Fondazioni | CONSULENTE: |
| DATA: Aprile 2023 | TITOLO: Lavori ultimazione di un fabbricato adibito ad albergo-ristorante– C.da Case Nuove Chicone Avigliano (PZ) | | |

| | | | | | |
|----|----------|---------|-------|--------|--------|
| 15 | SLE rare | -0.0762 | 145.0 | 18.004 | -0.081 |
| 16 | SLE rare | -0.1112 | 175.0 | 19.693 | -0.130 |
| 17 | SLE rare | -0.0922 | 175.0 | 18.000 | -0.112 |
| 18 | SLE rare | -0.1272 | 200.0 | 19.713 | -0.162 |
| 19 | SLE rare | -0.1262 | 200.0 | 18.120 | -0.157 |
| 20 | SLE rare | -0.0874 | 175.0 | 16.705 | -0.105 |
| 21 | SLE rare | -0.1374 | 225.0 | 17.223 | -0.183 |
| 22 | SLE freq | -0.0762 | 145.0 | 18.004 | -0.081 |
| 23 | SLE freq | -0.1062 | 175.0 | 18.834 | -0.124 |
| 24 | SLE freq | -0.0874 | 175.0 | 16.705 | -0.105 |
| 25 | SLE freq | -0.1174 | 200.0 | 17.911 | -0.149 |
| 26 | SLE freq | -0.1112 | 175.0 | 19.693 | -0.130 |
| 27 | SLE freq | -0.0858 | 175.0 | 16.273 | -0.103 |
| 28 | SLE freq | -0.1208 | 200.0 | 18.240 | -0.153 |
| 29 | SLE q.p. | -0.0762 | 145.0 | 18.004 | -0.081 |
| 30 | SLE q.p. | -0.1062 | 175.0 | 18.834 | -0.124 |
| 31 | SLE q.p. | -0.0858 | 175.0 | 16.273 | -0.103 |
| 32 | SLE q.p. | -0.1158 | 200.0 | 17.543 | -0.147 |

Cedimento massimo in cmb n. 21 = -0.183 cm

Elemento Platea n. 18

| Cmb. n. | Tipo | Car. Netto daN/cm ² | Prof. cm | Sigm.Z/Sigm.Lit. % | Cedim.Edom. cm |
|------------|----------|-----------------------------------|-------------|-----------------------|-------------------|
| 15 | SLE rare | -0.0873 | 175.0 | 15.706 | -0.106 |
| 16 | SLE rare | -0.1223 | 200.0 | 17.596 | -0.158 |
| 17 | SLE rare | -0.1423 | 200.0 | 17.248 | -0.171 |
| 18 | SLE rare | -0.1773 | 225.0 | 17.599 | -0.225 |
| 19 | SLE rare | -0.1373 | 200.0 | 19.781 | -0.178 |
| 20 | SLE rare | -0.1162 | 200.0 | 16.504 | -0.150 |
| 21 | SLE rare | -0.1662 | 225.0 | 19.266 | -0.226 |
| 22 | SLE freq | -0.0873 | 175.0 | 15.706 | -0.106 |
| 23 | SLE freq | -0.1173 | 200.0 | 16.868 | -0.152 |
| 24 | SLE freq | -0.1162 | 200.0 | 16.504 | -0.150 |
| 25 | SLE freq | -0.1462 | 225.0 | 16.899 | -0.199 |
| 26 | SLE freq | -0.1223 | 200.0 | 17.596 | -0.158 |
| 27 | SLE freq | -0.1121 | 200.0 | 15.932 | -0.145 |
| 28 | SLE freq | -0.1471 | 225.0 | 17.030 | -0.200 |
| 29 | SLE q.p. | -0.0873 | 175.0 | 15.706 | -0.106 |
| 30 | SLE q.p. | -0.1173 | 200.0 | 16.868 | -0.152 |
| 31 | SLE q.p. | -0.1121 | 200.0 | 15.932 | -0.145 |
| 32 | SLE q.p. | -0.1421 | 225.0 | 16.438 | -0.193 |

Cedimento massimo in cmb n. 21 = -0.226 cm

Elemento Platea n. 19

| Cmb. n. | Tipo | Car. Netto daN/cm ² | Prof. cm | Sigm.Z/Sigm.Lit. % | Cedim.Edom. cm |
|------------|----------|-----------------------------------|-------------|-----------------------|-------------------|
| 15 | SLE rare | -0.0936 | 145.0 | 18.268 | -0.086 |
| 16 | SLE rare | -0.1286 | 175.0 | 19.405 | -0.132 |
| 17 | SLE rare | -0.1567 | 200.0 | 17.612 | -0.164 |
| 18 | SLE rare | -0.1917 | 225.0 | 18.293 | -0.214 |
| 19 | SLE rare | -0.1436 | 200.0 | 17.815 | -0.157 |
| 20 | SLE rare | -0.1377 | 175.0 | 19.400 | -0.137 |
| 21 | SLE rare | -0.1877 | 225.0 | 18.389 | -0.211 |
| 22 | SLE freq | -0.0936 | 145.0 | 18.268 | -0.086 |
| 23 | SLE freq | -0.1236 | 175.0 | 18.621 | -0.127 |
| 24 | SLE freq | -0.1377 | 175.0 | 19.400 | -0.137 |
| 25 | SLE freq | -0.1677 | 200.0 | 19.607 | -0.179 |
| 26 | SLE freq | -0.1286 | 175.0 | 19.405 | -0.132 |
| 27 | SLE freq | -0.1314 | 175.0 | 18.617 | -0.131 |
| 28 | SLE freq | -0.1664 | 200.0 | 19.627 | -0.178 |
| 29 | SLE q.p. | -0.0936 | 145.0 | 18.268 | -0.086 |
| 30 | SLE q.p. | -0.1236 | 175.0 | 18.621 | -0.127 |
| 31 | SLE q.p. | -0.1314 | 175.0 | 18.617 | -0.131 |
| 32 | SLE q.p. | -0.1614 | 200.0 | 18.983 | -0.172 |

Cedimento massimo in cmb n. 18 = -0.214 cm

Elemento Platea n. 20

| Cmb. n. | Tipo | Car. Netto daN/cm ² | Prof. cm | Sigm.Z/Sigm.Lit. % | Cedim.Edom. cm |
|------------|----------|-----------------------------------|-------------|-----------------------|-------------------|
| 15 | SLE rare | -0.0799 | 175.0 | 17.179 | -0.104 |
| 16 | SLE rare | -0.1149 | 200.0 | 19.970 | -0.160 |
| 17 | SLE rare | -0.1069 | 200.0 | 19.332 | -0.151 |

Relazione Geotecnica e delle Fondazioni

| | | | | | |
|----|----------|---------|-------|--------|--------|
| 18 | SLE rare | -0.1419 | 250.0 | 17.475 | -0.222 |
| 19 | SLE rare | -0.1299 | 225.0 | 18.541 | -0.191 |
| 20 | SLE rare | -0.0988 | 200.0 | 17.724 | -0.139 |
| 21 | SLE rare | -0.1488 | 250.0 | 18.093 | -0.232 |
| 22 | SLE freq | -0.0799 | 175.0 | 17.179 | -0.104 |
| 23 | SLE freq | -0.1099 | 200.0 | 19.113 | -0.153 |
| 24 | SLE freq | -0.0988 | 200.0 | 17.724 | -0.139 |
| 25 | SLE freq | -0.1288 | 225.0 | 18.867 | -0.191 |
| 26 | SLE freq | -0.1149 | 200.0 | 19.970 | -0.160 |
| 27 | SLE freq | -0.0961 | 200.0 | 17.188 | -0.135 |
| 28 | SLE freq | -0.1311 | 225.0 | 19.121 | -0.194 |
| 29 | SLE q.p. | -0.0799 | 175.0 | 17.179 | -0.104 |
| 30 | SLE q.p. | -0.1099 | 200.0 | 19.113 | -0.153 |
| 31 | SLE q.p. | -0.0961 | 200.0 | 17.188 | -0.135 |
| 32 | SLE q.p. | -0.1261 | 225.0 | 18.418 | -0.187 |

Cedimento massimo in cmb n. 21 = -0.232 cm

Elemento Platea n. 21

| Cmb. n. | Tipo | Car. Netto daN/cm ² | Prof. cm | Sigm.Z/Sigm.Lit. % | Cedim.Edom. cm |
|---------|----------|-----------------------------------|-------------|-----------------------|-------------------|
| 15 | SLE rare | -0.0803 | 150.0 | 19.040 | -0.092 |
| 16 | SLE rare | -0.1153 | 200.0 | 17.065 | -0.151 |
| 17 | SLE rare | -0.1042 | 200.0 | 16.330 | -0.139 |
| 18 | SLE rare | -0.1392 | 225.0 | 17.555 | -0.195 |
| 19 | SLE rare | -0.1303 | 200.0 | 19.252 | -0.171 |
| 20 | SLE rare | -0.0970 | 175.0 | 18.630 | -0.121 |
| 21 | SLE rare | -0.1470 | 225.0 | 18.239 | -0.205 |
| 22 | SLE freq | -0.0803 | 150.0 | 19.040 | -0.092 |
| 23 | SLE freq | -0.1103 | 200.0 | 16.335 | -0.144 |
| 24 | SLE freq | -0.0970 | 175.0 | 18.630 | -0.121 |
| 25 | SLE freq | -0.1270 | 200.0 | 19.394 | -0.168 |
| 26 | SLE freq | -0.1153 | 200.0 | 17.065 | -0.151 |
| 27 | SLE freq | -0.0946 | 175.0 | 18.101 | -0.118 |
| 28 | SLE freq | -0.1296 | 200.0 | 19.686 | -0.171 |
| 29 | SLE q.p. | -0.0803 | 150.0 | 19.040 | -0.092 |
| 30 | SLE q.p. | -0.1103 | 200.0 | 16.335 | -0.144 |
| 31 | SLE q.p. | -0.0946 | 175.0 | 18.101 | -0.118 |
| 32 | SLE q.p. | -0.1246 | 200.0 | 18.957 | -0.165 |

Cedimento massimo in cmb n. 21 = -0.205 cm

Elemento Platea n. 22

| Cmb. n. | Tipo | Car. Netto daN/cm ² | Prof. cm | Sigm.Z/Sigm.Lit. % | Cedim.Edom. cm |
|---------|----------|-----------------------------------|-------------|-----------------------|-------------------|
| 15 | SLE rare | -0.0802 | 175.0 | 16.421 | -0.103 |
| 16 | SLE rare | -0.1152 | 200.0 | 18.918 | -0.157 |
| 17 | SLE rare | -0.1060 | 200.0 | 18.237 | -0.147 |
| 18 | SLE rare | -0.1410 | 225.0 | 19.637 | -0.206 |
| 19 | SLE rare | -0.1302 | 225.0 | 17.458 | -0.188 |
| 20 | SLE rare | -0.0983 | 200.0 | 16.742 | -0.136 |
| 21 | SLE rare | -0.1483 | 250.0 | 16.921 | -0.226 |
| 22 | SLE freq | -0.0802 | 175.0 | 16.421 | -0.103 |
| 23 | SLE freq | -0.1102 | 200.0 | 18.109 | -0.151 |
| 24 | SLE freq | -0.0983 | 200.0 | 16.742 | -0.136 |
| 25 | SLE freq | -0.1283 | 225.0 | 17.727 | -0.187 |
| 26 | SLE freq | -0.1152 | 200.0 | 18.918 | -0.157 |
| 27 | SLE freq | -0.0957 | 200.0 | 16.243 | -0.132 |
| 28 | SLE freq | -0.1307 | 225.0 | 17.972 | -0.190 |
| 29 | SLE q.p. | -0.0802 | 175.0 | 16.421 | -0.103 |
| 30 | SLE q.p. | -0.1102 | 200.0 | 18.109 | -0.151 |
| 31 | SLE q.p. | -0.0957 | 200.0 | 16.243 | -0.132 |
| 32 | SLE q.p. | -0.1257 | 225.0 | 17.311 | -0.183 |

Cedimento massimo in cmb n. 21 = -0.226 cm

Elemento Platea n. 23

| Cmb. n. | Tipo | Car. Netto daN/cm ² | Prof. cm | Sigm.Z/Sigm.Lit. % | Cedim.Edom. cm |
|---------|----------|-----------------------------------|-------------|-----------------------|-------------------|
| 15 | SLE rare | -0.0870 | 175.0 | 18.440 | -0.113 |
| 16 | SLE rare | -0.1220 | 225.0 | 17.428 | -0.179 |
| 17 | SLE rare | -0.1344 | 225.0 | 18.352 | -0.195 |
| 18 | SLE rare | -0.1694 | 250.0 | 19.483 | -0.259 |
| 19 | SLE rare | -0.1370 | 225.0 | 19.609 | -0.202 |
| 20 | SLE rare | -0.1202 | 225.0 | 16.549 | -0.175 |
| 21 | SLE rare | -0.1678 | 300.0 | 14.642 | -0.283 |
| 22 | SLE freq | -0.0870 | 175.0 | 18.440 | -0.113 |

| | | | |
|--------------------------------------|------------------------------------------------------------------------------------------------------------------------------|----------------------------------------------------------------------------------|-------------|
| COMMITTENTE: Mecca Antonio | CODICE COMMESSA: | NOME ELABORATO: S1.5 - Relazione Geotecnica e delle Fondazioni | CONSULENTE: |
| DATA: Aprile 2023 | TITOLO: Lavori ultimazione di un fabbricato adibito ad albergo-ristorante– C.da Case Nuove Chicone Avigliano (PZ) | | |

| | | | | | |
|----|----------|---------|-------|--------|--------|
| 23 | SLE freq | -0.1170 | 225.0 | 16.702 | -0.172 |
| 24 | SLE freq | -0.1202 | 225.0 | 16.549 | -0.175 |
| 25 | SLE freq | -0.1502 | 250.0 | 17.391 | -0.230 |
| 26 | SLE freq | -0.1220 | 225.0 | 17.428 | -0.179 |
| 27 | SLE freq | -0.1155 | 200.0 | 19.431 | -0.159 |
| 28 | SLE freq | -0.1505 | 250.0 | 17.504 | -0.231 |
| 29 | SLE q.p. | -0.0870 | 175.0 | 18.440 | -0.113 |
| 30 | SLE q.p. | -0.1170 | 225.0 | 16.702 | -0.172 |
| 31 | SLE q.p. | -0.1155 | 200.0 | 19.431 | -0.159 |
| 32 | SLE q.p. | -0.1455 | 250.0 | 16.896 | -0.223 |

Cedimento massimo in cmb n. 21 = -0.283 cm

Elemento Platea n. 24

| Cmb. n. | Tipo | Car. Netto daN/cm ² | Prof. cm | Sigm.Z/Sigm.Lit. % | Cedim.Edom. cm |
|------------|----------|-----------------------------------|-------------|-----------------------|-------------------|
| 15 | SLE rare | -0.0759 | 145.0 | 19.564 | -0.084 |
| 16 | SLE rare | -0.1109 | 200.0 | 17.952 | -0.145 |
| 17 | SLE rare | -0.0952 | 200.0 | 16.816 | -0.129 |
| 18 | SLE rare | -0.1302 | 225.0 | 18.751 | -0.185 |
| 19 | SLE rare | -0.1259 | 225.0 | 16.959 | -0.174 |
| 20 | SLE rare | -0.0894 | 175.0 | 18.672 | -0.112 |
| 21 | SLE rare | -0.1394 | 225.0 | 19.585 | -0.196 |
| 22 | SLE freq | -0.0759 | 145.0 | 19.564 | -0.084 |
| 23 | SLE freq | -0.1059 | 200.0 | 17.168 | -0.139 |
| 24 | SLE freq | -0.0894 | 175.0 | 18.672 | -0.112 |
| 25 | SLE freq | -0.1194 | 225.0 | 16.973 | -0.168 |
| 26 | SLE freq | -0.1109 | 200.0 | 17.952 | -0.145 |
| 27 | SLE freq | -0.0875 | 175.0 | 18.163 | -0.109 |
| 28 | SLE freq | -0.1225 | 225.0 | 17.251 | -0.172 |
| 29 | SLE q.p. | -0.0759 | 145.0 | 19.564 | -0.084 |
| 30 | SLE q.p. | -0.1059 | 200.0 | 17.168 | -0.139 |
| 31 | SLE q.p. | -0.0875 | 175.0 | 18.163 | -0.109 |
| 32 | SLE q.p. | -0.1175 | 200.0 | 19.779 | -0.156 |

Cedimento massimo in cmb n. 21 = -0.196 cm

Elemento Platea n. 25

| Cmb. n. | Tipo | Car. Netto daN/cm ² | Prof. cm | Sigm.Z/Sigm.Lit. % | Cedim.Edom. cm |
|------------|----------|-----------------------------------|-------------|-----------------------|-------------------|
| 15 | SLE rare | -0.0881 | 150.0 | 19.638 | -0.095 |
| 16 | SLE rare | -0.1231 | 200.0 | 18.302 | -0.153 |
| 17 | SLE rare | -0.1413 | 200.0 | 19.792 | -0.172 |
| 18 | SLE rare | -0.1763 | 250.0 | 17.609 | -0.239 |
| 19 | SLE rare | -0.1381 | 225.0 | 17.202 | -0.182 |
| 20 | SLE rare | -0.1253 | 200.0 | 17.747 | -0.153 |
| 21 | SLE rare | -0.1753 | 250.0 | 17.833 | -0.239 |
| 22 | SLE freq | -0.0881 | 150.0 | 19.638 | -0.095 |
| 23 | SLE freq | -0.1181 | 200.0 | 17.541 | -0.147 |
| 24 | SLE freq | -0.1253 | 200.0 | 17.747 | -0.153 |
| 25 | SLE freq | -0.1553 | 225.0 | 18.570 | -0.202 |
| 26 | SLE freq | -0.1231 | 200.0 | 18.302 | -0.153 |
| 27 | SLE freq | -0.1200 | 200.0 | 17.066 | -0.147 |
| 28 | SLE freq | -0.1550 | 225.0 | 18.648 | -0.202 |
| 29 | SLE q.p. | -0.0881 | 150.0 | 19.638 | -0.095 |
| 30 | SLE q.p. | -0.1181 | 200.0 | 17.541 | -0.147 |
| 31 | SLE q.p. | -0.1200 | 200.0 | 17.066 | -0.147 |
| 32 | SLE q.p. | -0.1500 | 225.0 | 18.011 | -0.195 |

Cedimento massimo in cmb n. 21 = -0.239 cm

Elemento Platea n. 26

| Cmb. n. | Tipo | Car. Netto daN/cm ² | Prof. cm | Sigm.Z/Sigm.Lit. % | Cedim.Edom. cm |
|------------|----------|-----------------------------------|-------------|-----------------------|-------------------|
| 15 | SLE rare | -0.0788 | 175.0 | 17.802 | -0.105 |
| 16 | SLE rare | -0.1138 | 225.0 | 17.437 | -0.171 |
| 17 | SLE rare | -0.1067 | 225.0 | 17.033 | -0.163 |
| 18 | SLE rare | -0.1417 | 250.0 | 18.779 | -0.227 |
| 19 | SLE rare | -0.1288 | 225.0 | 19.693 | -0.194 |
| 20 | SLE rare | -0.0983 | 200.0 | 18.668 | -0.141 |
| 21 | SLE rare | -0.1483 | 250.0 | 19.429 | -0.237 |
| 22 | SLE freq | -0.0788 | 175.0 | 17.802 | -0.105 |
| 23 | SLE freq | -0.1088 | 225.0 | 16.685 | -0.164 |
| 24 | SLE freq | -0.0983 | 200.0 | 18.668 | -0.141 |
| 25 | SLE freq | -0.1283 | 250.0 | 16.907 | -0.205 |

Relazione Geotecnica e delle Fondazioni

| | | | | | |
|----|----------|---------|-------|--------|--------|
| 26 | SLE freq | -0.1138 | 225.0 | 17.437 | -0.171 |
| 27 | SLE freq | -0.0956 | 200.0 | 18.092 | -0.137 |
| 28 | SLE freq | -0.1306 | 250.0 | 17.124 | -0.209 |
| 29 | SLE q.p. | -0.0788 | 175.0 | 17.802 | -0.105 |
| 30 | SLE q.p. | -0.1088 | 225.0 | 16.685 | -0.164 |
| 31 | SLE q.p. | -0.0956 | 200.0 | 18.092 | -0.137 |
| 32 | SLE q.p. | -0.1256 | 225.0 | 19.601 | -0.190 |

Cedimento massimo in cmb n. 21 = -0.237 cm

Elemento Platea n. 27

| Cmb. n. | Tipo | Car. Netto daN/cm ² | Prof. cm | Sigm.Z/Sigm.Lit. % | Cedim.Edom. cm |
|------------|----------|-----------------------------------|-------------|-----------------------|-------------------|
| 15 | SLE rare | -0.0918 | 145.0 | 16.557 | -0.085 |
| 16 | SLE rare | -0.1268 | 175.0 | 16.983 | -0.128 |
| 17 | SLE rare | -0.1424 | 175.0 | 18.381 | -0.143 |
| 18 | SLE rare | -0.1774 | 200.0 | 18.486 | -0.188 |
| 19 | SLE rare | -0.1418 | 175.0 | 19.045 | -0.144 |
| 20 | SLE rare | -0.1272 | 175.0 | 16.519 | -0.128 |
| 21 | SLE rare | -0.1772 | 200.0 | 18.682 | -0.189 |
| 22 | SLE freq | -0.0918 | 145.0 | 16.557 | -0.085 |
| 23 | SLE freq | -0.1218 | 175.0 | 16.296 | -0.123 |
| 24 | SLE freq | -0.1272 | 175.0 | 16.519 | -0.128 |
| 25 | SLE freq | -0.1572 | 200.0 | 16.469 | -0.167 |
| 26 | SLE freq | -0.1268 | 175.0 | 16.983 | -0.128 |
| 27 | SLE freq | -0.1222 | 175.0 | 15.898 | -0.123 |
| 28 | SLE freq | -0.1572 | 200.0 | 16.534 | -0.167 |
| 29 | SLE q.p. | -0.0918 | 145.0 | 16.557 | -0.085 |
| 30 | SLE q.p. | -0.1218 | 175.0 | 16.296 | -0.123 |
| 31 | SLE q.p. | -0.1222 | 175.0 | 15.898 | -0.123 |
| 32 | SLE q.p. | -0.1522 | 200.0 | 15.981 | -0.162 |

Cedimento massimo in cmb n. 21 = -0.189 cm

Elemento Platea n. 28

| Cmb. n. | Tipo | Car. Netto daN/cm ² | Prof. cm | Sigm.Z/Sigm.Lit. % | Cedim.Edom. cm |
|------------|----------|-----------------------------------|-------------|-----------------------|-------------------|
| 15 | SLE rare | -0.0775 | 175.0 | 17.098 | -0.102 |
| 16 | SLE rare | -0.1125 | 225.0 | 16.738 | -0.167 |
| 17 | SLE rare | -0.1042 | 200.0 | 19.067 | -0.147 |
| 18 | SLE rare | -0.1383 | 250.0 | 17.955 | -0.220 |
| 19 | SLE rare | -0.1275 | 225.0 | 18.921 | -0.189 |
| 20 | SLE rare | -0.0956 | 200.0 | 17.843 | -0.136 |
| 21 | SLE rare | -0.1456 | 250.0 | 18.606 | -0.230 |
| 22 | SLE freq | -0.0775 | 175.0 | 17.098 | -0.102 |
| 23 | SLE freq | -0.1075 | 200.0 | 19.309 | -0.151 |
| 24 | SLE freq | -0.0956 | 200.0 | 17.843 | -0.136 |
| 25 | SLE freq | -0.1256 | 225.0 | 19.232 | -0.189 |
| 26 | SLE freq | -0.1125 | 225.0 | 16.738 | -0.167 |
| 27 | SLE freq | -0.0930 | 200.0 | 17.298 | -0.132 |
| 28 | SLE freq | -0.1280 | 225.0 | 19.499 | -0.192 |
| 29 | SLE q.p. | -0.0775 | 175.0 | 17.098 | -0.102 |
| 30 | SLE q.p. | -0.1075 | 200.0 | 19.309 | -0.151 |
| 31 | SLE q.p. | -0.0930 | 200.0 | 17.298 | -0.132 |
| 32 | SLE q.p. | -0.1230 | 225.0 | 18.771 | -0.184 |

Cedimento massimo in cmb n. 21 = -0.230 cm

Elemento Platea n. 29

| Cmb. n. | Tipo | Car. Netto daN/cm ² | Prof. cm | Sigm.Z/Sigm.Lit. % | Cedim.Edom. cm |
|------------|----------|-----------------------------------|-------------|-----------------------|-------------------|
| 15 | SLE rare | -0.0846 | 175.0 | 18.173 | -0.110 |
| 16 | SLE rare | -0.1160 | 225.0 | 18.250 | -0.178 |
| 17 | SLE rare | -0.1287 | 225.0 | 18.258 | -0.188 |
| 18 | SLE rare | -0.1637 | 250.0 | 19.583 | -0.253 |
| 19 | SLE rare | -0.1310 | 250.0 | 17.250 | -0.211 |
| 20 | SLE rare | -0.1054 | 225.0 | 16.706 | -0.162 |
| 21 | SLE rare | -0.1554 | 300.0 | 14.960 | -0.275 |
| 22 | SLE freq | -0.0846 | 175.0 | 18.173 | -0.110 |
| 23 | SLE freq | -0.1110 | 225.0 | 17.468 | -0.170 |
| 24 | SLE freq | -0.1054 | 225.0 | 16.706 | -0.162 |
| 25 | SLE freq | -0.1455 | 250.0 | 17.482 | -0.225 |
| 26 | SLE freq | -0.1160 | 225.0 | 18.250 | -0.178 |
| 27 | SLE freq | -0.1111 | 200.0 | 19.217 | -0.154 |
| 28 | SLE freq | -0.1461 | 250.0 | 17.606 | -0.226 |
| 29 | SLE q.p. | -0.0846 | 175.0 | 18.173 | -0.110 |
| 30 | SLE q.p. | -0.1110 | 225.0 | 17.468 | -0.170 |

| | | | |
|--------------------------------------|----------------------------------------------------------------------------------------------------------------------|----------------------------------------------------------------------------------|-------------|
| COMMITTENTE: Mecca Antonio | CODICE COMMESSA: | NOME ELABORATO: S1.5 - Relazione Geotecnica e delle Fondazioni | CONSULENTE: |
| DATA: Aprile 2023 | TITOLO: Lavori ultimazione di un fabbricato adibito ad albergo-ristorante- C.da Case Nuove Chicone Avigliano (PZ) | | |

| | | | | | |
|----|----------|---------|-------|--------|--------|
| 31 | SLE q.p. | -0.1111 | 200.0 | 19.217 | -0.154 |
| 32 | SLE q.p. | -0.1411 | 250.0 | 16.987 | -0.218 |

Cedimento massimo in cmb n. 21 = -0.275 cm

Elemento Platea n. 30

| Cmb. n. | Tipo | Car. Netto daN/cm ² | Prof. cm | Sigm.Z/Sigm.Lit. % | Cedim.Edom. cm |
|------------|----------|-----------------------------------|-------------|-----------------------|-------------------|
| 15 | SLE rare | -0.0745 | 145.0 | 18.472 | -0.080 |
| 16 | SLE rare | -0.1095 | 200.0 | 17.210 | -0.139 |
| 17 | SLE rare | -0.0929 | 175.0 | 19.051 | -0.114 |
| 18 | SLE rare | -0.1279 | 225.0 | 17.829 | -0.176 |
| 19 | SLE rare | -0.1245 | 200.0 | 19.485 | -0.158 |
| 20 | SLE rare | -0.0875 | 175.0 | 17.605 | -0.107 |
| 21 | SLE rare | -0.1369 | 225.0 | 18.880 | -0.187 |
| 22 | SLE freq | -0.0745 | 145.0 | 18.472 | -0.080 |
| 23 | SLE freq | -0.1045 | 175.0 | 19.865 | -0.124 |
| 24 | SLE freq | -0.0875 | 175.0 | 17.605 | -0.107 |
| 25 | SLE freq | -0.1175 | 200.0 | 19.164 | -0.152 |
| 26 | SLE freq | -0.1095 | 200.0 | 17.210 | -0.139 |
| 27 | SLE freq | -0.0856 | 175.0 | 17.123 | -0.104 |
| 28 | SLE freq | -0.1206 | 200.0 | 19.501 | -0.155 |
| 29 | SLE q.p. | -0.0745 | 145.0 | 18.472 | -0.080 |
| 30 | SLE q.p. | -0.1045 | 175.0 | 19.865 | -0.124 |
| 31 | SLE q.p. | -0.0856 | 175.0 | 17.123 | -0.104 |
| 32 | SLE q.p. | -0.1156 | 200.0 | 18.751 | -0.149 |

Cedimento massimo in cmb n. 21 = -0.187 cm

Elemento Platea n. 31

| Cmb. n. | Tipo | Car. Netto daN/cm ² | Prof. cm | Sigm.Z/Sigm.Lit. % | Cedim.Edom. cm |
|------------|----------|-----------------------------------|-------------|-----------------------|-------------------|
| 15 | SLE rare | -0.0809 | 175.0 | 18.597 | -0.109 |
| 16 | SLE rare | -0.1159 | 225.0 | 17.992 | -0.177 |
| 17 | SLE rare | -0.1157 | 225.0 | 18.139 | -0.177 |
| 18 | SLE rare | -0.1507 | 250.0 | 19.681 | -0.243 |
| 19 | SLE rare | -0.1309 | 250.0 | 16.969 | -0.210 |
| 20 | SLE rare | -0.1053 | 200.0 | 19.911 | -0.152 |
| 21 | SLE rare | -0.1553 | 300.0 | 14.628 | -0.273 |
| 22 | SLE freq | -0.0809 | 175.0 | 18.597 | -0.109 |
| 23 | SLE freq | -0.1109 | 225.0 | 17.220 | -0.169 |
| 24 | SLE freq | -0.1053 | 200.0 | 19.911 | -0.152 |
| 25 | SLE freq | -0.1353 | 250.0 | 17.643 | -0.218 |
| 26 | SLE freq | -0.1159 | 225.0 | 17.992 | -0.177 |
| 27 | SLE freq | -0.1018 | 200.0 | 19.241 | -0.147 |
| 28 | SLE freq | -0.1368 | 250.0 | 17.823 | -0.220 |
| 29 | SLE q.p. | -0.0809 | 175.0 | 18.597 | -0.109 |
| 30 | SLE q.p. | -0.1109 | 225.0 | 17.220 | -0.169 |
| 31 | SLE q.p. | -0.1018 | 200.0 | 19.241 | -0.147 |
| 32 | SLE q.p. | -0.1318 | 250.0 | 17.178 | -0.212 |

Cedimento massimo in cmb n. 21 = -0.273 cm

Elemento Platea n. 32

| Cmb. n. | Tipo | Car. Netto daN/cm ² | Prof. cm | Sigm.Z/Sigm.Lit. % | Cedim.Edom. cm |
|------------|----------|-----------------------------------|-------------|-----------------------|-------------------|
| 15 | SLE rare | -0.0833 | 175.0 | 15.975 | -0.105 |
| 16 | SLE rare | -0.1183 | 200.0 | 18.151 | -0.158 |
| 17 | SLE rare | -0.1347 | 200.0 | 18.206 | -0.171 |
| 18 | SLE rare | -0.1697 | 225.0 | 18.786 | -0.227 |
| 19 | SLE rare | -0.1333 | 225.0 | 16.614 | -0.188 |
| 20 | SLE rare | -0.1201 | 200.0 | 16.356 | -0.153 |
| 21 | SLE rare | -0.1620 | 250.0 | 16.476 | -0.238 |
| 22 | SLE freq | -0.0833 | 175.0 | 15.975 | -0.105 |
| 23 | SLE freq | -0.1133 | 200.0 | 17.380 | -0.151 |
| 24 | SLE freq | -0.1201 | 200.0 | 16.356 | -0.153 |
| 25 | SLE freq | -0.1501 | 225.0 | 16.724 | -0.201 |
| 26 | SLE freq | -0.1183 | 200.0 | 18.151 | -0.158 |
| 27 | SLE freq | -0.1079 | 200.0 | 16.385 | -0.144 |
| 28 | SLE freq | -0.1503 | 225.0 | 16.814 | -0.202 |
| 29 | SLE q.p. | -0.0833 | 175.0 | 15.975 | -0.105 |
| 30 | SLE q.p. | -0.1133 | 200.0 | 17.380 | -0.151 |
| 31 | SLE q.p. | -0.1079 | 200.0 | 16.385 | -0.144 |
| 32 | SLE q.p. | -0.1453 | 225.0 | 16.231 | -0.195 |

Cedimento massimo in cmb n. 21 = -0.238 cm

Relazione Geotecnica e delle Fondazioni

Elemento Platea n. 33

| Cmb. n. | Tipo | Car. Netto daN/cm ² | Prof. cm | Sigm.Z/Sigm.Lit. % | Cedim.Edom. cm |
|------------|----------|-----------------------------------|-------------|-----------------------|-------------------|
| 15 | SLE rare | -0.0889 | 145.0 | 17.512 | -0.083 |
| 16 | SLE rare | -0.1239 | 175.0 | 18.688 | -0.128 |
| 17 | SLE rare | -0.1453 | 200.0 | 16.639 | -0.156 |
| 18 | SLE rare | -0.1803 | 225.0 | 17.406 | -0.205 |
| 19 | SLE rare | -0.1389 | 200.0 | 17.143 | -0.153 |
| 20 | SLE rare | -0.1284 | 175.0 | 18.385 | -0.130 |
| 21 | SLE rare | -0.1784 | 225.0 | 17.564 | -0.204 |
| 22 | SLE freq | -0.0889 | 145.0 | 17.512 | -0.083 |
| 23 | SLE freq | -0.1189 | 175.0 | 17.913 | -0.123 |
| 24 | SLE freq | -0.1284 | 175.0 | 18.385 | -0.130 |
| 25 | SLE freq | -0.1584 | 200.0 | 18.692 | -0.172 |
| 26 | SLE freq | -0.1239 | 175.0 | 18.688 | -0.128 |
| 27 | SLE freq | -0.1227 | 175.0 | 17.654 | -0.125 |
| 28 | SLE freq | -0.1577 | 200.0 | 18.742 | -0.171 |
| 29 | SLE q.p. | -0.0889 | 145.0 | 17.512 | -0.083 |
| 30 | SLE q.p. | -0.1189 | 175.0 | 17.913 | -0.123 |
| 31 | SLE q.p. | -0.1227 | 175.0 | 17.654 | -0.125 |
| 32 | SLE q.p. | -0.1527 | 200.0 | 18.108 | -0.166 |

Cedimento massimo in cmb n. 18 = -0.205 cm

Elemento Platea n. 34

| Cmb. n. | Tipo | Car. Netto daN/cm ² | Prof. cm | Sigm.Z/Sigm.Lit. % | Cedim.Edom. cm |
|------------|----------|-----------------------------------|-------------|-----------------------|-------------------|
| 15 | SLE rare | -0.0894 | 145.0 | 16.592 | -0.081 |
| 16 | SLE rare | -0.1244 | 175.0 | 17.530 | -0.125 |
| 17 | SLE rare | -0.1472 | 175.0 | 19.378 | -0.144 |
| 18 | SLE rare | -0.1822 | 200.0 | 19.712 | -0.190 |
| 19 | SLE rare | -0.1394 | 175.0 | 19.706 | -0.140 |
| 20 | SLE rare | -0.1299 | 175.0 | 17.300 | -0.128 |
| 21 | SLE rare | -0.1799 | 200.0 | 19.837 | -0.189 |
| 22 | SLE freq | -0.0894 | 145.0 | 16.592 | -0.081 |
| 23 | SLE freq | -0.1194 | 175.0 | 16.805 | -0.120 |
| 24 | SLE freq | -0.1299 | 175.0 | 17.300 | -0.128 |
| 25 | SLE freq | -0.1599 | 200.0 | 17.474 | -0.167 |
| 26 | SLE freq | -0.1244 | 175.0 | 17.530 | -0.125 |
| 27 | SLE freq | -0.1241 | 175.0 | 16.608 | -0.122 |
| 28 | SLE freq | -0.1591 | 200.0 | 17.516 | -0.167 |
| 29 | SLE q.p. | -0.0894 | 145.0 | 16.592 | -0.081 |
| 30 | SLE q.p. | -0.1194 | 175.0 | 16.805 | -0.120 |
| 31 | SLE q.p. | -0.1241 | 175.0 | 16.608 | -0.122 |
| 32 | SLE q.p. | -0.1541 | 200.0 | 16.925 | -0.161 |

Cedimento massimo in cmb n. 18 = -0.190 cm

Elemento Platea n. 35

| Cmb. n. | Tipo | Car. Netto daN/cm ² | Prof. cm | Sigm.Z/Sigm.Lit. % | Cedim.Edom. cm |
|------------|----------|-----------------------------------|-------------|-----------------------|-------------------|
| 15 | SLE rare | -0.0778 | 175.0 | 16.790 | -0.101 |
| 16 | SLE rare | -0.1128 | 200.0 | 19.704 | -0.157 |
| 17 | SLE rare | -0.1042 | 200.0 | 19.067 | -0.147 |
| 18 | SLE rare | -0.1392 | 250.0 | 17.401 | -0.219 |
| 19 | SLE rare | -0.1278 | 225.0 | 18.388 | -0.188 |
| 20 | SLE rare | -0.0963 | 200.0 | 17.455 | -0.136 |
| 21 | SLE rare | -0.1463 | 250.0 | 18.021 | -0.229 |
| 22 | SLE freq | -0.0778 | 175.0 | 16.790 | -0.101 |
| 23 | SLE freq | -0.1078 | 200.0 | 18.845 | -0.150 |
| 24 | SLE freq | -0.0963 | 200.0 | 17.455 | -0.136 |
| 25 | SLE freq | -0.1263 | 225.0 | 18.719 | -0.188 |
| 26 | SLE freq | -0.1128 | 200.0 | 19.704 | -0.157 |
| 27 | SLE freq | -0.0936 | 200.0 | 16.918 | -0.132 |
| 28 | SLE freq | -0.1286 | 225.0 | 18.975 | -0.191 |
| 29 | SLE q.p. | -0.0778 | 175.0 | 16.790 | -0.101 |
| 30 | SLE q.p. | -0.1078 | 200.0 | 18.845 | -0.150 |
| 31 | SLE q.p. | -0.0936 | 200.0 | 16.918 | -0.132 |
| 32 | SLE q.p. | -0.1236 | 225.0 | 18.267 | -0.184 |

Cedimento massimo in cmb n. 21 = -0.229 cm

Elemento Platea n. 36

| Cmb. n. | Tipo | Car. Netto daN/cm ² | Prof. cm | Sigm.Z/Sigm.Lit. % | Cedim.Edom. cm |
|------------|----------|-----------------------------------|-------------|-----------------------|-------------------|
| 15 | SLE rare | -0.0844 | 175.0 | 18.000 | -0.110 |

| | | | |
|--------------------------------------|------------------------------------------------------------------------------------------------------------------------------|----------------------------------------------------------------------------------|-------------|
| COMMITTENTE: Mecca Antonio | CODICE COMMESSA: | NOME ELABORATO: S1.5 - Relazione Geotecnica e delle Fondazioni | CONSULENTE: |
| DATA: Aprile 2023 | TITOLO: Lavori ultimazione di un fabbricato adibito ad albergo-ristorante– C.da Case Nuove Chicone Avigliano (PZ) | | |

| | | | | | |
|----|----------|---------|-------|--------|--------|
| 16 | SLE rare | -0.1194 | 225.0 | 17.209 | -0.176 |
| 17 | SLE rare | -0.1283 | 225.0 | 17.985 | -0.187 |
| 18 | SLE rare | -0.1633 | 250.0 | 19.253 | -0.251 |
| 19 | SLE rare | -0.1344 | 225.0 | 19.392 | -0.198 |
| 20 | SLE rare | -0.1151 | 200.0 | 19.702 | -0.159 |
| 21 | SLE rare | -0.1651 | 250.0 | 19.621 | -0.255 |
| 22 | SLE freq | -0.0844 | 175.0 | 18.000 | -0.110 |
| 23 | SLE freq | -0.1144 | 200.0 | 19.955 | -0.159 |
| 24 | SLE freq | -0.1151 | 200.0 | 19.702 | -0.159 |
| 25 | SLE freq | -0.1451 | 250.0 | 17.185 | -0.224 |
| 26 | SLE freq | -0.1194 | 225.0 | 17.209 | -0.176 |
| 27 | SLE freq | -0.1108 | 200.0 | 18.984 | -0.153 |
| 28 | SLE freq | -0.1458 | 250.0 | 17.308 | -0.225 |
| 29 | SLE q.p. | -0.0844 | 175.0 | 18.000 | -0.110 |
| 30 | SLE q.p. | -0.1144 | 200.0 | 19.955 | -0.159 |
| 31 | SLE q.p. | -0.1108 | 200.0 | 18.984 | -0.153 |
| 32 | SLE q.p. | -0.1408 | 250.0 | 16.699 | -0.217 |

Cedimento massimo in cmb n. 21 = -0.255 cm

Elemento Platea n. 37

| Cmb. n. | Tipo | Car. Netto daN/cm ² | Prof. cm | Sigm.Z/Sigm.Lit. % | Cedim.Edom. cm |
|------------|----------|-----------------------------------|-------------|-----------------------|-------------------|
| 15 | SLE rare | -0.0891 | 175.0 | 17.649 | -0.113 |
| 16 | SLE rare | -0.1241 | 200.0 | 19.991 | -0.167 |
| 17 | SLE rare | -0.1400 | 225.0 | 17.432 | -0.196 |
| 18 | SLE rare | -0.1750 | 250.0 | 18.326 | -0.258 |
| 19 | SLE rare | -0.1391 | 225.0 | 18.400 | -0.198 |
| 20 | SLE rare | -0.1247 | 200.0 | 19.270 | -0.166 |
| 21 | SLE rare | -0.1747 | 250.0 | 18.594 | -0.259 |
| 22 | SLE freq | -0.0891 | 175.0 | 17.649 | -0.113 |
| 23 | SLE freq | -0.1191 | 200.0 | 19.168 | -0.161 |
| 24 | SLE freq | -0.1247 | 200.0 | 19.270 | -0.166 |
| 25 | SLE freq | -0.1547 | 225.0 | 19.751 | -0.218 |
| 26 | SLE freq | -0.1241 | 200.0 | 19.991 | -0.167 |
| 27 | SLE freq | -0.1196 | 200.0 | 18.550 | -0.159 |
| 28 | SLE freq | -0.1546 | 225.0 | 19.848 | -0.219 |
| 29 | SLE q.p. | -0.0891 | 175.0 | 17.649 | -0.113 |
| 30 | SLE q.p. | -0.1191 | 200.0 | 19.168 | -0.161 |
| 31 | SLE q.p. | -0.1196 | 200.0 | 18.550 | -0.159 |
| 32 | SLE q.p. | -0.1496 | 225.0 | 19.172 | -0.211 |

Cedimento massimo in cmb n. 21 = -0.259 cm

Elemento Platea n. 38

| Cmb. n. | Tipo | Car. Netto daN/cm ² | Prof. cm | Sigm.Z/Sigm.Lit. % | Cedim.Edom. cm |
|------------|----------|-----------------------------------|-------------|-----------------------|-------------------|
| 15 | SLE rare | -0.0759 | 120.0 | 14.182 | -0.050 |
| 16 | SLE rare | -0.1109 | 145.0 | 15.456 | -0.084 |
| 17 | SLE rare | -0.0962 | 120.0 | 18.753 | -0.064 |
| 18 | SLE rare | -0.1312 | 145.0 | 19.050 | -0.101 |
| 19 | SLE rare | -0.1259 | 145.0 | 17.509 | -0.096 |
| 20 | SLE rare | -0.0901 | 120.0 | 17.382 | -0.060 |
| 21 | SLE rare | -0.1401 | 150.0 | 19.053 | -0.110 |
| 22 | SLE freq | -0.0759 | 120.0 | 14.182 | -0.050 |
| 23 | SLE freq | -0.1059 | 120.0 | 19.671 | -0.069 |
| 24 | SLE freq | -0.0901 | 120.0 | 17.382 | -0.060 |
| 25 | SLE freq | -0.1201 | 145.0 | 17.288 | -0.093 |
| 26 | SLE freq | -0.1109 | 145.0 | 15.456 | -0.084 |
| 27 | SLE freq | -0.0881 | 120.0 | 16.924 | -0.058 |
| 28 | SLE freq | -0.1231 | 145.0 | 17.613 | -0.095 |
| 29 | SLE q.p. | -0.0759 | 120.0 | 14.182 | -0.050 |
| 30 | SLE q.p. | -0.1059 | 120.0 | 19.671 | -0.069 |
| 31 | SLE q.p. | -0.0881 | 120.0 | 16.924 | -0.058 |
| 32 | SLE q.p. | -0.1181 | 145.0 | 16.928 | -0.091 |

Cedimento massimo in cmb n. 21 = -0.110 cm

Elemento Platea n. 39

| Cmb. n. | Tipo | Car. Netto daN/cm ² | Prof. cm | Sigm.Z/Sigm.Lit. % | Cedim.Edom. cm |
|------------|----------|-----------------------------------|-------------|-----------------------|-------------------|
| 15 | SLE rare | -0.0855 | 175.0 | 16.482 | -0.107 |
| 16 | SLE rare | -0.1205 | 200.0 | 18.748 | -0.161 |
| 17 | SLE rare | -0.1327 | 200.0 | 19.917 | -0.175 |
| 18 | SLE rare | -0.1677 | 250.0 | 17.066 | -0.245 |

Relazione Geotecnica e delle Fondazioni

| | | | | | |
|----|----------|---------|-------|--------|--------|
| 19 | SLE rare | -0.1355 | 225.0 | 17.246 | -0.191 |
| 20 | SLE rare | -0.1186 | 200.0 | 17.910 | -0.157 |
| 21 | SLE rare | -0.1686 | 250.0 | 17.349 | -0.247 |
| 22 | SLE freq | -0.0855 | 175.0 | 16.482 | -0.107 |
| 23 | SLE freq | -0.1155 | 200.0 | 17.959 | -0.154 |
| 24 | SLE freq | -0.1186 | 200.0 | 17.910 | -0.157 |
| 25 | SLE freq | -0.1486 | 225.0 | 18.435 | -0.208 |
| 26 | SLE freq | -0.1205 | 200.0 | 18.748 | -0.161 |
| 27 | SLE freq | -0.1139 | 200.0 | 17.241 | -0.151 |
| 28 | SLE freq | -0.1489 | 225.0 | 18.542 | -0.209 |
| 29 | SLE q.p. | -0.0855 | 175.0 | 16.482 | -0.107 |
| 30 | SLE q.p. | -0.1155 | 200.0 | 17.959 | -0.154 |
| 31 | SLE q.p. | -0.1139 | 200.0 | 17.241 | -0.151 |
| 32 | SLE q.p. | -0.1439 | 225.0 | 17.896 | -0.201 |

Cedimento massimo in cmb n. 21 = -0.247 cm

Elemento Platea n. 40

| Cmb. n. | Tipo | Car. Netto daN/cm ² | Prof. cm | Sigm.Z/Sigm.Lit. % | Cedim.Edom. cm |
|------------|----------|-----------------------------------|-------------|-----------------------|-------------------|
| 15 | SLE rare | -0.0806 | 150.0 | 19.986 | -0.095 |
| 16 | SLE rare | -0.1156 | 200.0 | 17.982 | -0.155 |
| 17 | SLE rare | -0.1143 | 200.0 | 17.999 | -0.154 |
| 18 | SLE rare | -0.1493 | 225.0 | 19.060 | -0.212 |
| 19 | SLE rare | -0.1306 | 225.0 | 16.508 | -0.185 |
| 20 | SLE rare | -0.1042 | 200.0 | 16.368 | -0.140 |
| 21 | SLE rare | -0.1542 | 225.0 | 19.615 | -0.219 |
| 22 | SLE freq | -0.0806 | 150.0 | 19.986 | -0.095 |
| 23 | SLE freq | -0.1106 | 200.0 | 17.209 | -0.149 |
| 24 | SLE freq | -0.1042 | 200.0 | 16.368 | -0.140 |
| 25 | SLE freq | -0.1342 | 225.0 | 17.100 | -0.190 |
| 26 | SLE freq | -0.1156 | 200.0 | 17.982 | -0.155 |
| 27 | SLE freq | -0.1008 | 175.0 | 19.751 | -0.128 |
| 28 | SLE freq | -0.1358 | 225.0 | 17.285 | -0.193 |
| 29 | SLE q.p. | -0.0806 | 150.0 | 19.986 | -0.095 |
| 30 | SLE q.p. | -0.1106 | 200.0 | 17.209 | -0.149 |
| 31 | SLE q.p. | -0.1008 | 175.0 | 19.751 | -0.128 |
| 32 | SLE q.p. | -0.1308 | 225.0 | 16.656 | -0.186 |

Cedimento massimo in cmb n. 21 = -0.219 cm

Elemento Platea n. 41

| Cmb. n. | Tipo | Car. Netto daN/cm ² | Prof. cm | Sigm.Z/Sigm.Lit. % | Cedim.Edom. cm |
|------------|----------|-----------------------------------|-------------|-----------------------|-------------------|
| 15 | SLE rare | -0.0810 | 175.0 | 18.770 | -0.109 |
| 16 | SLE rare | -0.1160 | 225.0 | 18.250 | -0.178 |
| 17 | SLE rare | -0.1158 | 225.0 | 18.389 | -0.178 |
| 18 | SLE rare | -0.1508 | 250.0 | 19.996 | -0.244 |
| 19 | SLE rare | -0.1310 | 250.0 | 17.250 | -0.211 |
| 20 | SLE rare | -0.1054 | 225.0 | 16.706 | -0.162 |
| 21 | SLE rare | -0.1554 | 300.0 | 14.960 | -0.275 |
| 22 | SLE freq | -0.0810 | 175.0 | 18.770 | -0.109 |
| 23 | SLE freq | -0.1110 | 225.0 | 17.468 | -0.170 |
| 24 | SLE freq | -0.1054 | 225.0 | 16.706 | -0.162 |
| 25 | SLE freq | -0.1354 | 250.0 | 17.929 | -0.219 |
| 26 | SLE freq | -0.1160 | 225.0 | 18.250 | -0.178 |
| 27 | SLE freq | -0.1019 | 200.0 | 19.461 | -0.147 |
| 28 | SLE freq | -0.1369 | 250.0 | 18.113 | -0.221 |
| 29 | SLE q.p. | -0.0810 | 175.0 | 18.770 | -0.109 |
| 30 | SLE q.p. | -0.1110 | 225.0 | 17.468 | -0.170 |
| 31 | SLE q.p. | -0.1019 | 200.0 | 19.461 | -0.147 |
| 32 | SLE q.p. | -0.1319 | 250.0 | 17.458 | -0.213 |

Cedimento massimo in cmb n. 21 = -0.275 cm

Elemento Platea n. 42

| Cmb. n. | Tipo | Car. Netto daN/cm ² | Prof. cm | Sigm.Z/Sigm.Lit. % | Cedim.Edom. cm |
|------------|----------|-----------------------------------|-------------|-----------------------|-------------------|
| 15 | SLE rare | -0.0747 | 145.0 | 18.378 | -0.080 |
| 16 | SLE rare | -0.1097 | 200.0 | 17.022 | -0.139 |
| 17 | SLE rare | -0.0929 | 175.0 | 19.051 | -0.114 |
| 18 | SLE rare | -0.1279 | 225.0 | 17.829 | -0.176 |
| 19 | SLE rare | -0.1247 | 200.0 | 19.273 | -0.158 |
| 20 | SLE rare | -0.0875 | 175.0 | 17.605 | -0.107 |
| 21 | SLE rare | -0.1375 | 225.0 | 18.635 | -0.187 |
| 22 | SLE freq | -0.0747 | 145.0 | 18.378 | -0.080 |
| 23 | SLE freq | -0.1047 | 175.0 | 19.710 | -0.124 |

| | | | |
|--------------------------------------|------------------------------------------------------------------------------------------------------------------------------|----------------------------------------------------------------------------------|-------------|
| COMMITTENTE: Mecca Antonio | CODICE COMMESSA: | NOME ELABORATO: S1.5 - Relazione Geotecnica e delle Fondazioni | CONSULENTE: |
| DATA: Aprile 2023 | TITOLO: Lavori ultimazione di un fabbricato adibito ad albergo-ristorante– C.da Case Nuove Chicone Avigliano (PZ) | | |

| | | | | | |
|----|----------|---------|-------|--------|--------|
| 24 | SLE freq | -0.0875 | 175.0 | 17.605 | -0.107 |
| 25 | SLE freq | -0.1175 | 200.0 | 19.164 | -0.152 |
| 26 | SLE freq | -0.1097 | 200.0 | 17.022 | -0.139 |
| 27 | SLE freq | -0.0856 | 175.0 | 17.123 | -0.104 |
| 28 | SLE freq | -0.1206 | 200.0 | 19.501 | -0.155 |
| 29 | SLE q.p. | -0.0747 | 145.0 | 18.378 | -0.080 |
| 30 | SLE q.p. | -0.1047 | 175.0 | 19.710 | -0.124 |
| 31 | SLE q.p. | -0.0856 | 175.0 | 17.123 | -0.104 |
| 32 | SLE q.p. | -0.1156 | 200.0 | 18.751 | -0.149 |

Cedimento massimo in cmb n. 21 = -0.187 cm

Elemento Platea n. 43

| Cmb. n. | Tipo | Car. Netto daN/cm ² | Prof. cm | Sigm.Z/Sigm.Lit. % | Cedim.Edom. cm |
|------------|----------|-----------------------------------|-------------|-----------------------|-------------------|
| 15 | SLE rare | -0.0746 | 145.0 | 15.699 | -0.072 |
| 16 | SLE rare | -0.1096 | 175.0 | 17.481 | -0.116 |
| 17 | SLE rare | -0.0924 | 150.0 | 19.815 | -0.095 |
| 18 | SLE rare | -0.1274 | 200.0 | 17.831 | -0.148 |
| 19 | SLE rare | -0.1246 | 175.0 | 19.805 | -0.132 |
| 20 | SLE rare | -0.0871 | 145.0 | 19.226 | -0.086 |
| 21 | SLE rare | -0.1371 | 200.0 | 18.691 | -0.157 |
| 22 | SLE freq | -0.0746 | 145.0 | 15.699 | -0.072 |
| 23 | SLE freq | -0.1046 | 175.0 | 16.706 | -0.111 |
| 24 | SLE freq | -0.0871 | 145.0 | 19.226 | -0.086 |
| 25 | SLE freq | -0.1171 | 175.0 | 19.557 | -0.127 |
| 26 | SLE freq | -0.1096 | 175.0 | 17.481 | -0.116 |
| 27 | SLE freq | -0.0853 | 145.0 | 18.722 | -0.084 |
| 28 | SLE freq | -0.1203 | 175.0 | 19.924 | -0.130 |
| 29 | SLE q.p. | -0.0746 | 145.0 | 15.699 | -0.072 |
| 30 | SLE q.p. | -0.1046 | 175.0 | 16.706 | -0.111 |
| 31 | SLE q.p. | -0.0853 | 145.0 | 18.722 | -0.084 |
| 32 | SLE q.p. | -0.1153 | 175.0 | 19.150 | -0.124 |

Cedimento massimo in cmb n. 21 = -0.157 cm

Elemento Platea n. 44

| Cmb. n. | Tipo | Car. Netto daN/cm ² | Prof. cm | Sigm.Z/Sigm.Lit. % | Cedim.Edom. cm |
|------------|----------|-----------------------------------|-------------|-----------------------|-------------------|
| 15 | SLE rare | -0.0779 | 145.0 | 19.188 | -0.086 |
| 16 | SLE rare | -0.1129 | 200.0 | 16.469 | -0.147 |
| 17 | SLE rare | -0.1043 | 175.0 | 19.744 | -0.129 |
| 18 | SLE rare | -0.1393 | 225.0 | 17.162 | -0.193 |
| 19 | SLE rare | -0.1279 | 200.0 | 18.623 | -0.166 |
| 20 | SLE rare | -0.0964 | 175.0 | 18.103 | -0.119 |
| 21 | SLE rare | -0.1464 | 225.0 | 17.802 | -0.201 |
| 22 | SLE freq | -0.0779 | 145.0 | 19.188 | -0.086 |
| 23 | SLE freq | -0.1079 | 175.0 | 19.667 | -0.132 |
| 24 | SLE freq | -0.0964 | 175.0 | 18.103 | -0.119 |
| 25 | SLE freq | -0.1264 | 200.0 | 18.881 | -0.165 |
| 26 | SLE freq | -0.1129 | 200.0 | 16.469 | -0.147 |
| 27 | SLE freq | -0.0938 | 175.0 | 17.556 | -0.116 |
| 28 | SLE freq | -0.1288 | 200.0 | 19.152 | -0.168 |
| 29 | SLE q.p. | -0.0779 | 145.0 | 19.188 | -0.086 |
| 30 | SLE q.p. | -0.1079 | 175.0 | 19.667 | -0.132 |
| 31 | SLE q.p. | -0.0938 | 175.0 | 17.556 | -0.116 |
| 32 | SLE q.p. | -0.1238 | 200.0 | 18.434 | -0.162 |

Cedimento massimo in cmb n. 21 = -0.201 cm

Elemento Platea n. 45

| Cmb. n. | Tipo | Car. Netto daN/cm ² | Prof. cm | Sigm.Z/Sigm.Lit. % | Cedim.Edom. cm |
|------------|----------|-----------------------------------|-------------|-----------------------|-------------------|
| 15 | SLE rare | -0.0902 | 120.0 | 16.013 | -0.058 |
| 16 | SLE rare | -0.1252 | 145.0 | 16.669 | -0.094 |
| 17 | SLE rare | -0.1494 | 145.0 | 18.765 | -0.109 |
| 18 | SLE rare | -0.1844 | 175.0 | 17.556 | -0.147 |
| 19 | SLE rare | -0.1402 | 145.0 | 18.721 | -0.105 |
| 20 | SLE rare | -0.1317 | 145.0 | 16.699 | -0.097 |
| 21 | SLE rare | -0.1817 | 175.0 | 17.606 | -0.146 |
| 22 | SLE freq | -0.0902 | 120.0 | 16.013 | -0.058 |
| 23 | SLE freq | -0.1202 | 145.0 | 15.984 | -0.090 |
| 24 | SLE freq | -0.1317 | 145.0 | 16.699 | -0.097 |
| 25 | SLE freq | -0.1617 | 150.0 | 19.712 | -0.122 |
| 26 | SLE freq | -0.1252 | 145.0 | 16.669 | -0.094 |

Relazione Geotecnica e delle Fondazioni

| | | | | | |
|----|----------|---------|-------|--------|--------|
| 27 | SLE freq | -0.1257 | 145.0 | 16.011 | -0.093 |
| 28 | SLE freq | -0.1607 | 150.0 | 19.712 | -0.122 |
| 29 | SLE q.p. | -0.0902 | 120.0 | 16.013 | -0.058 |
| 30 | SLE q.p. | -0.1202 | 145.0 | 15.984 | -0.090 |
| 31 | SLE q.p. | -0.1257 | 145.0 | 16.011 | -0.093 |
| 32 | SLE q.p. | -0.1557 | 150.0 | 19.063 | -0.118 |

Cedimento massimo in cmb n. 18 = -0.147 cm

Elemento Platea n. 46

| Cmb. n. | Tipo | Car. Netto daN/cm ² | Prof. cm | Sigm.Z/Sigm.Lit. % | Cedim.Edom. cm |
|------------|----------|-----------------------------------|-------------|-----------------------|-------------------|
| 15 | SLE rare | -0.0773 | 150.0 | 19.514 | -0.091 |
| 16 | SLE rare | -0.1123 | 200.0 | 18.098 | -0.151 |
| 17 | SLE rare | -0.1026 | 200.0 | 17.401 | -0.141 |
| 18 | SLE rare | -0.1376 | 225.0 | 18.928 | -0.198 |
| 19 | SLE rare | -0.1273 | 225.0 | 16.818 | -0.181 |
| 20 | SLE rare | -0.0950 | 175.0 | 19.617 | -0.122 |
| 21 | SLE rare | -0.1450 | 225.0 | 19.656 | -0.208 |
| 22 | SLE freq | -0.0773 | 150.0 | 19.514 | -0.091 |
| 23 | SLE freq | -0.1073 | 200.0 | 17.308 | -0.145 |
| 24 | SLE freq | -0.0950 | 175.0 | 19.617 | -0.122 |
| 25 | SLE freq | -0.1250 | 225.0 | 17.064 | -0.180 |
| 26 | SLE freq | -0.1123 | 200.0 | 18.098 | -0.151 |
| 27 | SLE freq | -0.0925 | 175.0 | 19.033 | -0.118 |
| 28 | SLE freq | -0.1275 | 225.0 | 17.306 | -0.183 |
| 29 | SLE q.p. | -0.0773 | 150.0 | 19.514 | -0.091 |
| 30 | SLE q.p. | -0.1073 | 200.0 | 17.308 | -0.145 |
| 31 | SLE q.p. | -0.0925 | 175.0 | 19.033 | -0.118 |
| 32 | SLE q.p. | -0.1225 | 225.0 | 16.658 | -0.176 |

Cedimento massimo in cmb n. 21 = -0.208 cm

Elemento Platea n. 47

| Cmb. n. | Tipo | Car. Netto daN/cm ² | Prof. cm | Sigm.Z/Sigm.Lit. % | Cedim.Edom. cm |
|------------|----------|-----------------------------------|-------------|-----------------------|-------------------|
| 15 | SLE rare | -0.0840 | 175.0 | 17.620 | -0.109 |
| 16 | SLE rare | -0.1190 | 225.0 | 16.353 | -0.175 |
| 17 | SLE rare | -0.1195 | 225.0 | 16.481 | -0.176 |
| 18 | SLE rare | -0.1545 | 250.0 | 17.588 | -0.238 |
| 19 | SLE rare | -0.1340 | 225.0 | 18.417 | -0.197 |
| 20 | SLE rare | -0.1088 | 200.0 | 18.404 | -0.151 |
| 21 | SLE rare | -0.1588 | 250.0 | 18.066 | -0.245 |
| 22 | SLE freq | -0.0840 | 175.0 | 17.620 | -0.109 |
| 23 | SLE freq | -0.1140 | 200.0 | 19.232 | -0.158 |
| 24 | SLE freq | -0.1088 | 200.0 | 18.404 | -0.151 |
| 25 | SLE freq | -0.1388 | 225.0 | 19.126 | -0.204 |
| 26 | SLE freq | -0.1190 | 225.0 | 16.353 | -0.175 |
| 27 | SLE freq | -0.1053 | 200.0 | 17.798 | -0.146 |
| 28 | SLE freq | -0.1403 | 225.0 | 19.319 | -0.206 |
| 29 | SLE q.p. | -0.0840 | 175.0 | 17.620 | -0.109 |
| 30 | SLE q.p. | -0.1140 | 200.0 | 19.232 | -0.158 |
| 31 | SLE q.p. | -0.1053 | 200.0 | 17.798 | -0.146 |
| 32 | SLE q.p. | -0.1353 | 225.0 | 18.631 | -0.199 |

Cedimento massimo in cmb n. 21 = -0.245 cm

Elemento Platea n. 48

| Cmb. n. | Tipo | Car. Netto daN/cm ² | Prof. cm | Sigm.Z/Sigm.Lit. % | Cedim.Edom. cm |
|------------|----------|-----------------------------------|-------------|-----------------------|-------------------|
| 15 | SLE rare | -0.0956 | 145.0 | 15.351 | -0.083 |
| 16 | SLE rare | -0.1306 | 175.0 | 15.692 | -0.124 |
| 17 | SLE rare | -0.1578 | 175.0 | 17.608 | -0.146 |
| 18 | SLE rare | -0.1928 | 200.0 | 17.550 | -0.189 |
| 19 | SLE rare | -0.1456 | 175.0 | 17.572 | -0.138 |
| 20 | SLE rare | -0.1392 | 175.0 | 15.717 | -0.129 |
| 21 | SLE rare | -0.1892 | 200.0 | 17.591 | -0.187 |
| 22 | SLE freq | -0.0956 | 145.0 | 15.351 | -0.083 |
| 23 | SLE freq | -0.1256 | 150.0 | 19.292 | -0.112 |
| 24 | SLE freq | -0.1392 | 175.0 | 15.717 | -0.129 |
| 25 | SLE freq | -0.1692 | 175.0 | 19.476 | -0.158 |
| 26 | SLE freq | -0.1306 | 175.0 | 15.692 | -0.124 |
| 27 | SLE freq | -0.1330 | 150.0 | 19.496 | -0.117 |
| 28 | SLE freq | -0.1680 | 175.0 | 19.473 | -0.157 |
| 29 | SLE q.p. | -0.0956 | 145.0 | 15.351 | -0.083 |
| 30 | SLE q.p. | -0.1256 | 150.0 | 19.292 | -0.112 |
| 31 | SLE q.p. | -0.1330 | 150.0 | 19.496 | -0.117 |

| | | | |
|--------------------------------------|----------------------------------------------------------------------------------------------------------------------|----------------------------------------------------------------------------------|-------------|
| COMMITTENTE: Mecca Antonio | CODICE COMMESSA: | NOME ELABORATO: S1.5 - Relazione Geotecnica e delle Fondazioni | CONSULENTE: |
| DATA: Aprile 2023 | TITOLO: Lavori ultimazione di un fabbricato adibito ad albergo-ristorante– C.da Case Nuove Chicone Avigliano (PZ) | | |

32 SLE q.p. -0.1630 175.0 18.846 -0.153
Cedimento massimo in cmb n. 18 = -0.189 cm

Elemento Platea n. 49

| Cmb. n. | Tipo | Car. Netto daN/cm ² | Prof. cm | Sigm.Z/Sigm.Lit. % | Cedim.Edom. cm |
|------------|----------|-----------------------------------|-------------|-----------------------|-------------------|
| 15 | SLE rare | -0.0906 | 150.0 | 19.719 | -0.097 |
| 16 | SLE rare | -0.1256 | 200.0 | 18.084 | -0.154 |
| 17 | SLE rare | -0.1479 | 200.0 | 19.776 | -0.177 |
| 18 | SLE rare | -0.1829 | 250.0 | 17.281 | -0.244 |
| 19 | SLE rare | -0.1406 | 225.0 | 16.884 | -0.183 |
| 20 | SLE rare | -0.1307 | 200.0 | 17.709 | -0.157 |
| 21 | SLE rare | -0.1807 | 250.0 | 17.462 | -0.243 |
| 22 | SLE freq | -0.0906 | 150.0 | 19.719 | -0.097 |
| 23 | SLE freq | -0.1206 | 200.0 | 17.341 | -0.148 |
| 24 | SLE freq | -0.1307 | 200.0 | 17.709 | -0.157 |
| 25 | SLE freq | -0.1607 | 225.0 | 18.329 | -0.205 |
| 26 | SLE freq | -0.1256 | 200.0 | 18.084 | -0.154 |
| 27 | SLE freq | -0.1250 | 200.0 | 17.020 | -0.151 |
| 28 | SLE freq | -0.1600 | 225.0 | 18.388 | -0.205 |
| 29 | SLE q.p. | -0.0906 | 150.0 | 19.719 | -0.097 |
| 30 | SLE q.p. | -0.1206 | 200.0 | 17.341 | -0.148 |
| 31 | SLE q.p. | -0.1250 | 200.0 | 17.020 | -0.151 |
| 32 | SLE q.p. | -0.1550 | 225.0 | 17.769 | -0.198 |

Cedimento massimo in cmb n. 18 = -0.244 cm

Elemento Platea n. 50

| Cmb. n. | Tipo | Car. Netto daN/cm ² | Prof. cm | Sigm.Z/Sigm.Lit. % | Cedim.Edom. cm |
|------------|----------|-----------------------------------|-------------|-----------------------|-------------------|
| 15 | SLE rare | -0.0946 | 145.0 | 17.622 | -0.089 |
| 16 | SLE rare | -0.1296 | 175.0 | 18.096 | -0.134 |
| 17 | SLE rare | -0.1563 | 200.0 | 16.119 | -0.166 |
| 18 | SLE rare | -0.1913 | 225.0 | 16.494 | -0.214 |
| 19 | SLE rare | -0.1446 | 200.0 | 16.304 | -0.158 |
| 20 | SLE rare | -0.1378 | 175.0 | 18.095 | -0.139 |
| 21 | SLE rare | -0.1878 | 225.0 | 16.580 | -0.212 |
| 22 | SLE freq | -0.0946 | 145.0 | 17.622 | -0.089 |
| 23 | SLE freq | -0.1246 | 175.0 | 17.370 | -0.129 |
| 24 | SLE freq | -0.1378 | 175.0 | 18.095 | -0.139 |
| 25 | SLE freq | -0.1678 | 200.0 | 17.933 | -0.180 |
| 26 | SLE freq | -0.1296 | 175.0 | 18.096 | -0.134 |
| 27 | SLE freq | -0.1316 | 175.0 | 17.370 | -0.133 |
| 28 | SLE freq | -0.1666 | 200.0 | 17.952 | -0.179 |
| 29 | SLE q.p. | -0.0946 | 145.0 | 17.622 | -0.089 |
| 30 | SLE q.p. | -0.1246 | 175.0 | 17.370 | -0.129 |
| 31 | SLE q.p. | -0.1316 | 175.0 | 17.370 | -0.133 |
| 32 | SLE q.p. | -0.1616 | 200.0 | 17.366 | -0.174 |

Cedimento massimo in cmb n. 18 = -0.214 cm

Elemento Platea n. 51

| Cmb. n. | Tipo | Car. Netto daN/cm ² | Prof. cm | Sigm.Z/Sigm.Lit. % | Cedim.Edom. cm |
|------------|----------|-----------------------------------|-------------|-----------------------|-------------------|
| 15 | SLE rare | -0.0909 | 175.0 | 15.931 | -0.110 |
| 16 | SLE rare | -0.1259 | 200.0 | 17.726 | -0.162 |
| 17 | SLE rare | -0.1431 | 200.0 | 19.118 | -0.181 |
| 18 | SLE rare | -0.1781 | 225.0 | 19.535 | -0.237 |
| 19 | SLE rare | -0.1409 | 200.0 | 19.896 | -0.181 |
| 20 | SLE rare | -0.1274 | 200.0 | 17.181 | -0.161 |
| 21 | SLE rare | -0.1774 | 225.0 | 19.760 | -0.238 |
| 22 | SLE freq | -0.0909 | 175.0 | 15.931 | -0.110 |
| 23 | SLE freq | -0.1209 | 200.0 | 17.002 | -0.155 |
| 24 | SLE freq | -0.1274 | 200.0 | 17.181 | -0.161 |
| 25 | SLE freq | -0.1574 | 225.0 | 17.402 | -0.210 |
| 26 | SLE freq | -0.1259 | 200.0 | 17.726 | -0.162 |
| 27 | SLE freq | -0.1222 | 200.0 | 16.535 | -0.155 |
| 28 | SLE freq | -0.1572 | 225.0 | 17.477 | -0.210 |
| 29 | SLE q.p. | -0.0909 | 175.0 | 15.931 | -0.110 |
| 30 | SLE q.p. | -0.1209 | 200.0 | 17.002 | -0.155 |
| 31 | SLE q.p. | -0.1222 | 200.0 | 16.535 | -0.155 |
| 32 | SLE q.p. | -0.1522 | 225.0 | 16.887 | -0.204 |

Cedimento massimo in cmb n. 21 = -0.238 cm

Relazione Geotecnica e delle Fondazioni

Elemento Platea n. 52

| Cmb. | Tipo | Car. Netto | Prof. | Sigm.Z/Sigm.Lit. | Cedim.Edom. |
|------|----------|---------------------|-------|------------------|-------------|
| n. | | daN/cm ² | cm | % | cm |
| 15 | SLE rare | -0.0816 | 175.0 | 18.901 | -0.110 |
| 16 | SLE rare | -0.1166 | 225.0 | 18.375 | -0.178 |
| 17 | SLE rare | -0.1174 | 225.0 | 18.573 | -0.180 |
| 18 | SLE rare | -0.1524 | 300.0 | 14.676 | -0.269 |
| 19 | SLE rare | -0.1316 | 250.0 | 17.380 | -0.212 |
| 20 | SLE rare | -0.1067 | 225.0 | 16.866 | -0.164 |
| 21 | SLE rare | -0.1567 | 300.0 | 15.068 | -0.277 |
| 22 | SLE freq | -0.0816 | 175.0 | 18.901 | -0.110 |
| 23 | SLE freq | -0.1116 | 225.0 | 17.591 | -0.171 |
| 24 | SLE freq | -0.1067 | 225.0 | 16.866 | -0.164 |
| 25 | SLE freq | -0.1367 | 250.0 | 18.091 | -0.221 |
| 26 | SLE freq | -0.1166 | 225.0 | 18.375 | -0.178 |
| 27 | SLE freq | -0.1031 | 200.0 | 19.638 | -0.149 |
| 28 | SLE freq | -0.1381 | 250.0 | 18.271 | -0.223 |
| 29 | SLE q.p. | -0.0816 | 175.0 | 18.901 | -0.110 |
| 30 | SLE q.p. | -0.1116 | 225.0 | 17.591 | -0.171 |
| 31 | SLE q.p. | -0.1031 | 200.0 | 19.638 | -0.149 |
| 32 | SLE q.p. | -0.1331 | 250.0 | 17.614 | -0.215 |

Cedimento massimo in cmb n. 21 = -0.277 cm

Elemento Platea n. 53

| Cmb. | Tipo | Car. Netto | Prof. | Sigm.Z/Sigm.Lit. | Cedim.Edom. |
|------|----------|---------------------|-------|------------------|-------------|
| n. | | daN/cm ² | cm | % | cm |
| 15 | SLE rare | -0.0744 | 145.0 | 17.085 | -0.076 |
| 16 | SLE rare | -0.1094 | 175.0 | 19.143 | -0.124 |
| 17 | SLE rare | -0.0922 | 175.0 | 17.650 | -0.108 |
| 18 | SLE rare | -0.1272 | 200.0 | 19.588 | -0.157 |
| 19 | SLE rare | -0.1244 | 200.0 | 17.869 | -0.149 |
| 20 | SLE rare | -0.0868 | 150.0 | 19.977 | -0.094 |
| 21 | SLE rare | -0.1368 | 225.0 | 17.272 | -0.177 |
| 22 | SLE freq | -0.0744 | 145.0 | 17.085 | -0.076 |
| 23 | SLE freq | -0.1044 | 175.0 | 18.295 | -0.118 |
| 24 | SLE freq | -0.0868 | 150.0 | 19.977 | -0.094 |
| 25 | SLE freq | -0.1168 | 200.0 | 17.749 | -0.143 |
| 26 | SLE freq | -0.1094 | 175.0 | 19.143 | -0.124 |
| 27 | SLE freq | -0.0851 | 150.0 | 19.452 | -0.091 |
| 28 | SLE freq | -0.1201 | 200.0 | 18.064 | -0.147 |
| 29 | SLE q.p. | -0.0744 | 145.0 | 17.085 | -0.076 |
| 30 | SLE q.p. | -0.1044 | 175.0 | 18.295 | -0.118 |
| 31 | SLE q.p. | -0.0851 | 150.0 | 19.452 | -0.091 |
| 32 | SLE q.p. | -0.1151 | 200.0 | 17.368 | -0.141 |

Cedimento massimo in cmb n. 21 = -0.177 cm

Elemento Platea n. 54

| Cmb. | Tipo | Car. Netto | Prof. | Sigm.Z/Sigm.Lit. | Cedim.Edom. |
|------|----------|---------------------|-------|------------------|-------------|
| n. | | daN/cm ² | cm | % | cm |
| 15 | SLE rare | -0.0779 | 175.0 | 16.430 | -0.100 |
| 16 | SLE rare | -0.1129 | 200.0 | 19.308 | -0.154 |
| 17 | SLE rare | -0.1012 | 200.0 | 18.387 | -0.141 |
| 18 | SLE rare | -0.1362 | 250.0 | 17.006 | -0.211 |
| 19 | SLE rare | -0.1279 | 225.0 | 18.071 | -0.185 |
| 20 | SLE rare | -0.0942 | 200.0 | 16.907 | -0.131 |
| 21 | SLE rare | -0.1442 | 250.0 | 17.666 | -0.222 |
| 22 | SLE freq | -0.0779 | 175.0 | 16.430 | -0.100 |
| 23 | SLE freq | -0.1079 | 200.0 | 18.472 | -0.148 |
| 24 | SLE freq | -0.0942 | 200.0 | 16.907 | -0.131 |
| 25 | SLE freq | -0.1242 | 225.0 | 18.236 | -0.182 |
| 26 | SLE freq | -0.1129 | 200.0 | 19.308 | -0.154 |
| 27 | SLE freq | -0.0919 | 175.0 | 19.948 | -0.119 |
| 28 | SLE freq | -0.1269 | 225.0 | 18.508 | -0.186 |
| 29 | SLE q.p. | -0.0779 | 175.0 | 16.430 | -0.100 |
| 30 | SLE q.p. | -0.1079 | 200.0 | 18.472 | -0.148 |
| 31 | SLE q.p. | -0.0919 | 175.0 | 19.948 | -0.119 |
| 32 | SLE q.p. | -0.1219 | 225.0 | 17.818 | -0.179 |

Cedimento massimo in cmb n. 21 = -0.222 cm

Elemento Platea n. 55

| Cmb. | Tipo | Car. Netto | Prof. | Sigm.Z/Sigm.Lit. | Cedim.Edom. |
|------|----------|---------------------|-------|------------------|-------------|
| n. | | daN/cm ² | cm | % | cm |
| 15 | SLE rare | -0.0849 | 175.0 | 18.390 | -0.111 |
| 16 | SLE rare | -0.1166 | 225.0 | 18.375 | -0.178 |

| | | | |
|--------------------------------------|------------------------------------------------------------------------------------------------------------------------------|----------------------------------------------------------------------------------|-------------|
| COMMITTENTE: Mecca Antonio | CODICE COMMESSA: | NOME ELABORATO: S1.5 - Relazione Geotecnica e delle Fondazioni | CONSULENTE: |
| DATA: Aprile 2023 | TITOLO: Lavori ultimazione di un fabbricato adibito ad albergo-ristorante– C.da Case Nuove Chicone Avigliano (PZ) | | |

| | | | | | |
|----|----------|---------|-------|--------|--------|
| 17 | SLE rare | -0.1295 | 225.0 | 18.478 | -0.190 |
| 18 | SLE rare | -0.1524 | 300.0 | 14.676 | -0.269 |
| 19 | SLE rare | -0.1316 | 250.0 | 17.380 | -0.212 |
| 20 | SLE rare | -0.1161 | 225.0 | 16.673 | -0.171 |
| 21 | SLE rare | -0.1661 | 300.0 | 14.682 | -0.281 |
| 22 | SLE freq | -0.0849 | 175.0 | 18.390 | -0.111 |
| 23 | SLE freq | -0.1116 | 225.0 | 17.591 | -0.171 |
| 24 | SLE freq | -0.1161 | 225.0 | 16.673 | -0.171 |
| 25 | SLE freq | -0.1461 | 250.0 | 17.699 | -0.227 |
| 26 | SLE freq | -0.1166 | 225.0 | 18.375 | -0.178 |
| 27 | SLE freq | -0.1117 | 200.0 | 19.444 | -0.155 |
| 28 | SLE freq | -0.1467 | 250.0 | 17.824 | -0.228 |
| 29 | SLE q.p. | -0.0849 | 175.0 | 18.390 | -0.111 |
| 30 | SLE q.p. | -0.1116 | 225.0 | 17.591 | -0.171 |
| 31 | SLE q.p. | -0.1117 | 200.0 | 19.444 | -0.155 |
| 32 | SLE q.p. | -0.1417 | 250.0 | 17.199 | -0.220 |

Cedimento massimo in cmb n. 21 = -0.281 cm

Elemento Platea n. 56

| Cmb. n. | Tipo | Car. Netto daN/cm ² | Prof. cm | Sigm.Z/Sigm.Lit. % | Cedim.Edom. cm |
|------------|----------|-----------------------------------|-------------|-----------------------|-------------------|
| 15 | SLE rare | -0.0746 | 145.0 | 18.532 | -0.080 |
| 16 | SLE rare | -0.1096 | 200.0 | 17.289 | -0.139 |
| 17 | SLE rare | -0.0922 | 175.0 | 19.146 | -0.114 |
| 18 | SLE rare | -0.1271 | 225.0 | 18.122 | -0.176 |
| 19 | SLE rare | -0.1246 | 200.0 | 19.572 | -0.158 |
| 20 | SLE rare | -0.0869 | 175.0 | 17.767 | -0.106 |
| 21 | SLE rare | -0.1369 | 225.0 | 18.956 | -0.187 |
| 22 | SLE freq | -0.0746 | 145.0 | 18.532 | -0.080 |
| 23 | SLE freq | -0.1046 | 175.0 | 19.949 | -0.125 |
| 24 | SLE freq | -0.0869 | 175.0 | 17.767 | -0.106 |
| 25 | SLE freq | -0.1169 | 200.0 | 19.422 | -0.151 |
| 26 | SLE freq | -0.1096 | 200.0 | 17.289 | -0.139 |
| 27 | SLE freq | -0.0851 | 175.0 | 17.288 | -0.104 |
| 28 | SLE freq | -0.1201 | 200.0 | 19.769 | -0.155 |
| 29 | SLE q.p. | -0.0746 | 145.0 | 18.532 | -0.080 |
| 30 | SLE q.p. | -0.1046 | 175.0 | 19.949 | -0.125 |
| 31 | SLE q.p. | -0.0851 | 175.0 | 17.288 | -0.104 |
| 32 | SLE q.p. | -0.1151 | 200.0 | 19.008 | -0.149 |

Cedimento massimo in cmb n. 21 = -0.187 cm

Elemento Platea n. 57

| Cmb. n. | Tipo | Car. Netto daN/cm ² | Prof. cm | Sigm.Z/Sigm.Lit. % | Cedim.Edom. cm |
|------------|----------|-----------------------------------|-------------|-----------------------|-------------------|
| 15 | SLE rare | -0.0749 | 145.0 | 18.578 | -0.080 |
| 16 | SLE rare | -0.1099 | 200.0 | 17.286 | -0.140 |
| 17 | SLE rare | -0.0925 | 175.0 | 19.196 | -0.114 |
| 18 | SLE rare | -0.1275 | 225.0 | 18.082 | -0.176 |
| 19 | SLE rare | -0.1249 | 200.0 | 19.562 | -0.158 |
| 20 | SLE rare | -0.0872 | 175.0 | 17.766 | -0.107 |
| 21 | SLE rare | -0.1372 | 225.0 | 18.915 | -0.188 |
| 22 | SLE freq | -0.0749 | 145.0 | 18.578 | -0.080 |
| 23 | SLE freq | -0.1049 | 175.0 | 19.948 | -0.125 |
| 24 | SLE freq | -0.0872 | 175.0 | 17.766 | -0.107 |
| 25 | SLE freq | -0.1172 | 200.0 | 19.408 | -0.152 |
| 26 | SLE freq | -0.1099 | 200.0 | 17.286 | -0.140 |
| 27 | SLE freq | -0.0854 | 175.0 | 17.289 | -0.104 |
| 28 | SLE freq | -0.1204 | 200.0 | 19.755 | -0.155 |
| 29 | SLE q.p. | -0.0749 | 145.0 | 18.578 | -0.080 |
| 30 | SLE q.p. | -0.1049 | 175.0 | 19.948 | -0.125 |
| 31 | SLE q.p. | -0.0854 | 175.0 | 17.289 | -0.104 |
| 32 | SLE q.p. | -0.1154 | 200.0 | 18.996 | -0.149 |

Cedimento massimo in cmb n. 21 = -0.188 cm

Elemento Platea n. 58

| Cmb. n. | Tipo | Car. Netto daN/cm ² | Prof. cm | Sigm.Z/Sigm.Lit. % | Cedim.Edom. cm |
|------------|----------|-----------------------------------|-------------|-----------------------|-------------------|
| 15 | SLE rare | -0.0758 | 145.0 | 18.306 | -0.081 |
| 16 | SLE rare | -0.1108 | 200.0 | 16.582 | -0.139 |
| 17 | SLE rare | -0.0924 | 175.0 | 18.550 | -0.113 |
| 18 | SLE rare | -0.1274 | 225.0 | 17.119 | -0.174 |
| 19 | SLE rare | -0.1258 | 200.0 | 18.749 | -0.158 |

Relazione Geotecnica e delle Fondazioni

| | | | | | |
|----|----------|---------|-------|--------|--------|
| 20 | SLE rare | -0.0874 | 175.0 | 17.198 | -0.106 |
| 21 | SLE rare | -0.1374 | 225.0 | 17.917 | -0.185 |
| 22 | SLE freq | -0.0758 | 145.0 | 18.306 | -0.081 |
| 23 | SLE freq | -0.1058 | 175.0 | 19.354 | -0.125 |
| 24 | SLE freq | -0.0874 | 175.0 | 17.198 | -0.106 |
| 25 | SLE freq | -0.1174 | 200.0 | 18.559 | -0.150 |
| 26 | SLE freq | -0.1108 | 200.0 | 16.582 | -0.139 |
| 27 | SLE freq | -0.0858 | 175.0 | 16.747 | -0.104 |
| 28 | SLE freq | -0.1208 | 200.0 | 18.896 | -0.154 |
| 29 | SLE q.p. | -0.0758 | 145.0 | 18.306 | -0.081 |
| 30 | SLE q.p. | -0.1058 | 175.0 | 19.354 | -0.125 |
| 31 | SLE q.p. | -0.0858 | 175.0 | 16.747 | -0.104 |
| 32 | SLE q.p. | -0.1158 | 200.0 | 18.174 | -0.148 |

Cedimento massimo in cmb n. 21 = -0.185 cm

Elemento Platea n. 59

| Cmb. n. | Tipo | Car. Netto daN/cm ² | Prof. cm | Sigm.Z/Sigm.Lit. % | Cedim.Edom. cm |
|------------|----------|-----------------------------------|-------------|-----------------------|-------------------|
| 15 | SLE rare | -0.0824 | 175.0 | 18.694 | -0.110 |
| 16 | SLE rare | -0.1174 | 225.0 | 17.919 | -0.178 |
| 17 | SLE rare | -0.1177 | 225.0 | 18.001 | -0.178 |
| 18 | SLE rare | -0.1527 | 250.0 | 19.454 | -0.244 |
| 19 | SLE rare | -0.1324 | 250.0 | 16.838 | -0.212 |
| 20 | SLE rare | -0.1071 | 200.0 | 19.838 | -0.153 |
| 21 | SLE rare | -0.1571 | 300.0 | 14.398 | -0.274 |
| 22 | SLE freq | -0.0824 | 175.0 | 18.694 | -0.110 |
| 23 | SLE freq | -0.1124 | 225.0 | 17.158 | -0.170 |
| 24 | SLE freq | -0.1071 | 200.0 | 19.838 | -0.153 |
| 25 | SLE freq | -0.1371 | 250.0 | 17.464 | -0.219 |
| 26 | SLE freq | -0.1174 | 225.0 | 17.919 | -0.178 |
| 27 | SLE freq | -0.1036 | 200.0 | 19.184 | -0.148 |
| 28 | SLE freq | -0.1386 | 250.0 | 17.647 | -0.221 |
| 29 | SLE q.p. | -0.0824 | 175.0 | 18.694 | -0.110 |
| 30 | SLE q.p. | -0.1124 | 225.0 | 17.158 | -0.170 |
| 31 | SLE q.p. | -0.1036 | 200.0 | 19.184 | -0.148 |
| 32 | SLE q.p. | -0.1336 | 250.0 | 17.013 | -0.213 |

Cedimento massimo in cmb n. 21 = -0.274 cm

Elemento Platea n. 60

| Cmb. n. | Tipo | Car. Netto daN/cm ² | Prof. cm | Sigm.Z/Sigm.Lit. % | Cedim.Edom. cm |
|------------|----------|-----------------------------------|-------------|-----------------------|-------------------|
| 15 | SLE rare | -0.0799 | 175.0 | 17.179 | -0.104 |
| 16 | SLE rare | -0.1149 | 200.0 | 19.970 | -0.160 |
| 17 | SLE rare | -0.1069 | 200.0 | 19.332 | -0.151 |
| 18 | SLE rare | -0.1419 | 250.0 | 17.475 | -0.222 |
| 19 | SLE rare | -0.1299 | 225.0 | 18.541 | -0.191 |
| 20 | SLE rare | -0.0988 | 200.0 | 17.724 | -0.139 |
| 21 | SLE rare | -0.1488 | 250.0 | 18.093 | -0.232 |
| 22 | SLE freq | -0.0799 | 175.0 | 17.179 | -0.104 |
| 23 | SLE freq | -0.1099 | 200.0 | 19.113 | -0.153 |
| 24 | SLE freq | -0.0988 | 200.0 | 17.724 | -0.139 |
| 25 | SLE freq | -0.1288 | 225.0 | 18.867 | -0.191 |
| 26 | SLE freq | -0.1149 | 200.0 | 19.970 | -0.160 |
| 27 | SLE freq | -0.0961 | 200.0 | 17.188 | -0.135 |
| 28 | SLE freq | -0.1311 | 225.0 | 19.121 | -0.194 |
| 29 | SLE q.p. | -0.0799 | 175.0 | 17.179 | -0.104 |
| 30 | SLE q.p. | -0.1099 | 200.0 | 19.113 | -0.153 |
| 31 | SLE q.p. | -0.0961 | 200.0 | 17.188 | -0.135 |
| 32 | SLE q.p. | -0.1261 | 225.0 | 18.418 | -0.187 |

Cedimento massimo in cmb n. 21 = -0.232 cm

Elemento Platea n. 61

| Cmb. n. | Tipo | Car. Netto daN/cm ² | Prof. cm | Sigm.Z/Sigm.Lit. % | Cedim.Edom. cm |
|------------|----------|-----------------------------------|-------------|-----------------------|-------------------|
| 15 | SLE rare | -0.0805 | 145.0 | 16.437 | -0.080 |
| 16 | SLE rare | -0.1155 | 175.0 | 17.378 | -0.126 |
| 17 | SLE rare | -0.1024 | 175.0 | 16.357 | -0.114 |
| 18 | SLE rare | -0.1374 | 200.0 | 17.434 | -0.161 |
| 19 | SLE rare | -0.1305 | 175.0 | 19.608 | -0.142 |
| 20 | SLE rare | -0.0958 | 150.0 | 19.158 | -0.099 |
| 21 | SLE rare | -0.1458 | 200.0 | 18.176 | -0.170 |
| 22 | SLE freq | -0.0805 | 145.0 | 16.437 | -0.080 |
| 23 | SLE freq | -0.1105 | 175.0 | 16.635 | -0.121 |
| 24 | SLE freq | -0.0958 | 150.0 | 19.158 | -0.099 |

| | | | |
|--------------------------------------|------------------------------------------------------------------------------------------------------------------------------|----------------------------------------------------------------------------------|-------------|
| COMMITTENTE: Mecca Antonio | CODICE COMMESSA: | NOME ELABORATO: S1.5 - Relazione Geotecnica e delle Fondazioni | CONSULENTE: |
| DATA: Aprile 2023 | TITOLO: Lavori ultimazione di un fabbricato adibito ad albergo-ristorante– C.da Case Nuove Chicone Avigliano (PZ) | | |

| | | | | | |
|----|----------|---------|-------|--------|--------|
| 25 | SLE freq | -0.1258 | 175.0 | 19.562 | -0.139 |
| 26 | SLE freq | -0.1155 | 175.0 | 17.378 | -0.126 |
| 27 | SLE freq | -0.0936 | 145.0 | 19.657 | -0.094 |
| 28 | SLE freq | -0.1286 | 175.0 | 19.887 | -0.142 |
| 29 | SLE q.p. | -0.0805 | 145.0 | 16.437 | -0.080 |
| 30 | SLE q.p. | -0.1105 | 175.0 | 16.635 | -0.121 |
| 31 | SLE q.p. | -0.0936 | 145.0 | 19.657 | -0.094 |
| 32 | SLE q.p. | -0.1236 | 175.0 | 19.144 | -0.136 |

Cedimento massimo in cmb n. 21 = -0.170 cm

Elemento Platea n. 62

| Cmb. n. | Tipo | Car. Netto daN/cm ² | Prof. cm | Sigm.Z/Sigm.Lit. % | Cedim.Edom. cm |
|------------|----------|-----------------------------------|-------------|-----------------------|-------------------|
| 15 | SLE rare | -0.0841 | 145.0 | 17.290 | -0.083 |
| 16 | SLE rare | -0.1191 | 175.0 | 18.254 | -0.129 |
| 17 | SLE rare | -0.1148 | 175.0 | 18.011 | -0.125 |
| 18 | SLE rare | -0.1498 | 200.0 | 18.834 | -0.173 |
| 19 | SLE rare | -0.1341 | 200.0 | 16.511 | -0.154 |
| 20 | SLE rare | -0.1056 | 175.0 | 16.473 | -0.115 |
| 21 | SLE rare | -0.1556 | 200.0 | 19.431 | -0.179 |
| 22 | SLE freq | -0.0841 | 145.0 | 17.290 | -0.083 |
| 23 | SLE freq | -0.1141 | 175.0 | 17.487 | -0.124 |
| 24 | SLE freq | -0.1056 | 175.0 | 16.473 | -0.115 |
| 25 | SLE freq | -0.1356 | 200.0 | 16.967 | -0.156 |
| 26 | SLE freq | -0.1191 | 175.0 | 18.254 | -0.129 |
| 27 | SLE freq | -0.1026 | 175.0 | 15.961 | -0.112 |
| 28 | SLE freq | -0.1376 | 200.0 | 17.166 | -0.158 |
| 29 | SLE q.p. | -0.0841 | 145.0 | 17.290 | -0.083 |
| 30 | SLE q.p. | -0.1141 | 175.0 | 17.487 | -0.124 |
| 31 | SLE q.p. | -0.1026 | 175.0 | 15.961 | -0.112 |
| 32 | SLE q.p. | -0.1326 | 200.0 | 16.550 | -0.153 |

Cedimento massimo in cmb n. 21 = -0.179 cm

Elemento Platea n. 63

| Cmb. n. | Tipo | Car. Netto daN/cm ² | Prof. cm | Sigm.Z/Sigm.Lit. % | Cedim.Edom. cm |
|------------|----------|-----------------------------------|-------------|-----------------------|-------------------|
| 15 | SLE rare | -0.0946 | 145.0 | 17.622 | -0.089 |
| 16 | SLE rare | -0.1296 | 175.0 | 18.096 | -0.134 |
| 17 | SLE rare | -0.1563 | 200.0 | 16.119 | -0.166 |
| 18 | SLE rare | -0.1913 | 225.0 | 16.494 | -0.214 |
| 19 | SLE rare | -0.1446 | 200.0 | 16.304 | -0.158 |
| 20 | SLE rare | -0.1378 | 175.0 | 18.095 | -0.139 |
| 21 | SLE rare | -0.1878 | 225.0 | 16.580 | -0.212 |
| 22 | SLE freq | -0.0946 | 145.0 | 17.622 | -0.089 |
| 23 | SLE freq | -0.1246 | 175.0 | 17.370 | -0.129 |
| 24 | SLE freq | -0.1378 | 175.0 | 18.095 | -0.139 |
| 25 | SLE freq | -0.1678 | 200.0 | 17.933 | -0.180 |
| 26 | SLE freq | -0.1296 | 175.0 | 18.096 | -0.134 |
| 27 | SLE freq | -0.1316 | 175.0 | 17.370 | -0.133 |
| 28 | SLE freq | -0.1666 | 200.0 | 17.952 | -0.179 |
| 29 | SLE q.p. | -0.0946 | 145.0 | 17.622 | -0.089 |
| 30 | SLE q.p. | -0.1246 | 175.0 | 17.370 | -0.129 |
| 31 | SLE q.p. | -0.1316 | 175.0 | 17.370 | -0.133 |
| 32 | SLE q.p. | -0.1616 | 200.0 | 17.366 | -0.174 |

Cedimento massimo in cmb n. 18 = -0.214 cm

Elemento Platea n. 64

| Cmb. n. | Tipo | Car. Netto daN/cm ² | Prof. cm | Sigm.Z/Sigm.Lit. % | Cedim.Edom. cm |
|------------|----------|-----------------------------------|-------------|-----------------------|-------------------|
| 15 | SLE rare | -0.0876 | 175.0 | 17.475 | -0.112 |
| 16 | SLE rare | -0.1226 | 200.0 | 19.670 | -0.167 |
| 17 | SLE rare | -0.1322 | 225.0 | 16.673 | -0.188 |
| 18 | SLE rare | -0.1672 | 250.0 | 17.517 | -0.250 |
| 19 | SLE rare | -0.1376 | 225.0 | 17.966 | -0.198 |
| 20 | SLE rare | -0.1274 | 200.0 | 17.181 | -0.161 |
| 21 | SLE rare | -0.1688 | 250.0 | 17.852 | -0.253 |
| 22 | SLE freq | -0.0876 | 175.0 | 17.475 | -0.112 |
| 23 | SLE freq | -0.1176 | 200.0 | 18.856 | -0.160 |
| 24 | SLE freq | -0.1274 | 200.0 | 17.181 | -0.161 |
| 25 | SLE freq | -0.1488 | 225.0 | 19.049 | -0.213 |
| 26 | SLE freq | -0.1226 | 200.0 | 19.670 | -0.167 |
| 27 | SLE freq | -0.1222 | 200.0 | 16.535 | -0.155 |

Relazione Geotecnica e delle Fondazioni

| | | | | | |
|----|----------|---------|-------|--------|--------|
| 28 | SLE freq | -0.1494 | 225.0 | 19.178 | -0.214 |
| 29 | SLE q.p. | -0.0876 | 175.0 | 17.475 | -0.112 |
| 30 | SLE q.p. | -0.1176 | 200.0 | 18.856 | -0.160 |
| 31 | SLE q.p. | -0.1222 | 200.0 | 16.535 | -0.155 |
| 32 | SLE q.p. | -0.1444 | 225.0 | 18.516 | -0.207 |

Cedimento massimo in cmb n. 21 = -0.253 cm

Elemento Platea n. 65

| Cmb. n. | Tipo | Car. Netto daN/cm ² | Prof. cm | Sigm.Z/Sigm.Lit. % | Cedim.Edom. cm |
|------------|----------|-----------------------------------|-------------|-----------------------|-------------------|
| 15 | SLE rare | -0.0906 | 150.0 | 19.719 | -0.097 |
| 16 | SLE rare | -0.1256 | 200.0 | 18.084 | -0.154 |
| 17 | SLE rare | -0.1479 | 200.0 | 19.776 | -0.177 |
| 18 | SLE rare | -0.1829 | 250.0 | 17.281 | -0.244 |
| 19 | SLE rare | -0.1406 | 225.0 | 16.884 | -0.183 |
| 20 | SLE rare | -0.1307 | 200.0 | 17.709 | -0.157 |
| 21 | SLE rare | -0.1807 | 250.0 | 17.462 | -0.243 |
| 22 | SLE freq | -0.0906 | 150.0 | 19.719 | -0.097 |
| 23 | SLE freq | -0.1206 | 200.0 | 17.341 | -0.148 |
| 24 | SLE freq | -0.1307 | 200.0 | 17.709 | -0.157 |
| 25 | SLE freq | -0.1607 | 225.0 | 18.329 | -0.205 |
| 26 | SLE freq | -0.1256 | 200.0 | 18.084 | -0.154 |
| 27 | SLE freq | -0.1250 | 200.0 | 17.020 | -0.151 |
| 28 | SLE freq | -0.1600 | 225.0 | 18.388 | -0.205 |
| 29 | SLE q.p. | -0.0906 | 150.0 | 19.719 | -0.097 |
| 30 | SLE q.p. | -0.1206 | 200.0 | 17.341 | -0.148 |
| 31 | SLE q.p. | -0.1250 | 200.0 | 17.020 | -0.151 |
| 32 | SLE q.p. | -0.1550 | 225.0 | 17.769 | -0.198 |

Cedimento massimo in cmb n. 18 = -0.244 cm

Elemento Platea n. 66

| Cmb. n. | Tipo | Car. Netto daN/cm ² | Prof. cm | Sigm.Z/Sigm.Lit. % | Cedim.Edom. cm |
|------------|----------|-----------------------------------|-------------|-----------------------|-------------------|
| 15 | SLE rare | -0.0890 | 150.0 | 19.760 | -0.096 |
| 16 | SLE rare | -0.1240 | 200.0 | 18.336 | -0.154 |
| 17 | SLE rare | -0.1438 | 200.0 | 19.918 | -0.175 |
| 18 | SLE rare | -0.1788 | 250.0 | 17.610 | -0.242 |
| 19 | SLE rare | -0.1390 | 225.0 | 17.209 | -0.183 |
| 20 | SLE rare | -0.1274 | 200.0 | 17.851 | -0.155 |
| 21 | SLE rare | -0.1774 | 250.0 | 17.819 | -0.241 |
| 22 | SLE freq | -0.0890 | 150.0 | 19.760 | -0.096 |
| 23 | SLE freq | -0.1190 | 200.0 | 17.578 | -0.148 |
| 24 | SLE freq | -0.1274 | 200.0 | 17.851 | -0.155 |
| 25 | SLE freq | -0.1574 | 225.0 | 18.618 | -0.204 |
| 26 | SLE freq | -0.1240 | 200.0 | 18.336 | -0.154 |
| 27 | SLE freq | -0.1219 | 200.0 | 17.161 | -0.149 |
| 28 | SLE freq | -0.1569 | 225.0 | 18.688 | -0.203 |
| 29 | SLE q.p. | -0.0890 | 150.0 | 19.760 | -0.096 |
| 30 | SLE q.p. | -0.1190 | 200.0 | 17.578 | -0.148 |
| 31 | SLE q.p. | -0.1219 | 200.0 | 17.161 | -0.149 |
| 32 | SLE q.p. | -0.1519 | 225.0 | 18.053 | -0.197 |

Cedimento massimo in cmb n. 18 = -0.242 cm

Elemento Platea n. 67

| Cmb. n. | Tipo | Car. Netto daN/cm ² | Prof. cm | Sigm.Z/Sigm.Lit. % | Cedim.Edom. cm |
|------------|----------|-----------------------------------|-------------|-----------------------|-------------------|
| 15 | SLE rare | -0.0875 | 150.0 | 19.512 | -0.095 |
| 16 | SLE rare | -0.1225 | 200.0 | 18.191 | -0.152 |
| 17 | SLE rare | -0.1397 | 200.0 | 19.619 | -0.170 |
| 18 | SLE rare | -0.1747 | 250.0 | 17.461 | -0.237 |
| 19 | SLE rare | -0.1375 | 225.0 | 17.093 | -0.181 |
| 20 | SLE rare | -0.1240 | 200.0 | 17.598 | -0.152 |
| 21 | SLE rare | -0.1740 | 250.0 | 17.693 | -0.238 |
| 22 | SLE freq | -0.0875 | 150.0 | 19.512 | -0.095 |
| 23 | SLE freq | -0.1175 | 200.0 | 17.433 | -0.146 |
| 24 | SLE freq | -0.1240 | 200.0 | 17.598 | -0.152 |
| 25 | SLE freq | -0.1540 | 225.0 | 18.426 | -0.200 |
| 26 | SLE freq | -0.1225 | 200.0 | 18.191 | -0.152 |
| 27 | SLE freq | -0.1188 | 200.0 | 16.924 | -0.146 |
| 28 | SLE freq | -0.1538 | 225.0 | 18.508 | -0.200 |
| 29 | SLE q.p. | -0.0875 | 150.0 | 19.512 | -0.095 |
| 30 | SLE q.p. | -0.1175 | 200.0 | 17.433 | -0.146 |
| 31 | SLE q.p. | -0.1188 | 200.0 | 16.924 | -0.146 |
| 32 | SLE q.p. | -0.1488 | 225.0 | 17.873 | -0.193 |

| | | | |
|--------------------------------------|------------------------------------------------------------------------------------------------------------------------------|----------------------------------------------------------------------------------|-------------|
| COMMITTENTE: Mecca Antonio | CODICE COMMESSA: | NOME ELABORATO: S1.5 - Relazione Geotecnica e delle Fondazioni | CONSULENTE: |
| DATA: Aprile 2023 | TITOLO: Lavori ultimazione di un fabbricato adibito ad albergo-ristorante– C.da Case Nuove Chicone Avigliano (PZ) | | |

Cedimento massimo in cmb n. 21 = -0.238 cm

Elemento Platea n. 68

| Cmb. n. | Tipo | Car. Netto daN/cm ² | Prof. cm | Sigm.Z/Sigm.Lit. % | Cedim.Edom. cm |
|------------|----------|-----------------------------------|-------------|-----------------------|-------------------|
| 15 | SLE rare | -0.0873 | 150.0 | 19.348 | -0.094 |
| 16 | SLE rare | -0.1223 | 200.0 | 17.964 | -0.152 |
| 17 | SLE rare | -0.1391 | 200.0 | 19.362 | -0.169 |
| 18 | SLE rare | -0.1741 | 250.0 | 17.144 | -0.236 |
| 19 | SLE rare | -0.1373 | 225.0 | 16.835 | -0.180 |
| 20 | SLE rare | -0.1236 | 200.0 | 17.367 | -0.151 |
| 21 | SLE rare | -0.1736 | 250.0 | 17.374 | -0.236 |
| 22 | SLE freq | -0.0873 | 150.0 | 19.348 | -0.094 |
| 23 | SLE freq | -0.1173 | 200.0 | 17.213 | -0.145 |
| 24 | SLE freq | -0.1236 | 200.0 | 17.367 | -0.151 |
| 25 | SLE freq | -0.1536 | 225.0 | 18.143 | -0.199 |
| 26 | SLE freq | -0.1223 | 200.0 | 17.964 | -0.152 |
| 27 | SLE freq | -0.1184 | 200.0 | 16.702 | -0.145 |
| 28 | SLE freq | -0.1534 | 225.0 | 18.225 | -0.199 |
| 29 | SLE q.p. | -0.0873 | 150.0 | 19.348 | -0.094 |
| 30 | SLE q.p. | -0.1173 | 200.0 | 17.213 | -0.145 |
| 31 | SLE q.p. | -0.1184 | 200.0 | 16.702 | -0.145 |
| 32 | SLE q.p. | -0.1484 | 225.0 | 17.598 | -0.192 |

Cedimento massimo in cmb n. 21 = -0.236 cm

Elemento Platea n. 69

| Cmb. n. | Tipo | Car. Netto daN/cm ² | Prof. cm | Sigm.Z/Sigm.Lit. % | Cedim.Edom. cm |
|------------|----------|-----------------------------------|-------------|-----------------------|-------------------|
| 15 | SLE rare | -0.0880 | 145.0 | 19.052 | -0.088 |
| 16 | SLE rare | -0.1230 | 200.0 | 16.753 | -0.145 |
| 17 | SLE rare | -0.1418 | 200.0 | 18.166 | -0.164 |
| 18 | SLE rare | -0.1768 | 225.0 | 19.091 | -0.216 |
| 19 | SLE rare | -0.1380 | 200.0 | 18.849 | -0.163 |
| 20 | SLE rare | -0.1256 | 200.0 | 16.275 | -0.145 |
| 21 | SLE rare | -0.1756 | 225.0 | 19.293 | -0.216 |
| 22 | SLE freq | -0.0880 | 145.0 | 19.052 | -0.088 |
| 23 | SLE freq | -0.1180 | 175.0 | 19.616 | -0.131 |
| 24 | SLE freq | -0.1256 | 200.0 | 16.275 | -0.145 |
| 25 | SLE freq | -0.1556 | 225.0 | 16.963 | -0.191 |
| 26 | SLE freq | -0.1230 | 200.0 | 16.753 | -0.145 |
| 27 | SLE freq | -0.1203 | 175.0 | 19.222 | -0.131 |
| 28 | SLE freq | -0.1553 | 225.0 | 17.030 | -0.191 |
| 29 | SLE q.p. | -0.0880 | 145.0 | 19.052 | -0.088 |
| 30 | SLE q.p. | -0.1180 | 175.0 | 19.616 | -0.131 |
| 31 | SLE q.p. | -0.1203 | 175.0 | 19.222 | -0.131 |
| 32 | SLE q.p. | -0.1503 | 200.0 | 19.836 | -0.175 |

Cedimento massimo in cmb n. 18 = -0.216 cm

Elemento Platea n. 70

| Cmb. n. | Tipo | Car. Netto daN/cm ² | Prof. cm | Sigm.Z/Sigm.Lit. % | Cedim.Edom. cm |
|------------|----------|-----------------------------------|-------------|-----------------------|-------------------|
| 15 | SLE rare | -0.0870 | 145.0 | 16.024 | -0.082 |
| 16 | SLE rare | -0.1220 | 175.0 | 16.627 | -0.126 |
| 17 | SLE rare | -0.1377 | 175.0 | 18.001 | -0.140 |
| 18 | SLE rare | -0.1727 | 200.0 | 18.218 | -0.186 |
| 19 | SLE rare | -0.1370 | 175.0 | 18.709 | -0.142 |
| 20 | SLE rare | -0.1225 | 175.0 | 16.132 | -0.125 |
| 21 | SLE rare | -0.1725 | 200.0 | 18.422 | -0.187 |
| 22 | SLE freq | -0.0870 | 145.0 | 16.024 | -0.082 |
| 23 | SLE freq | -0.1170 | 175.0 | 15.933 | -0.121 |
| 24 | SLE freq | -0.1225 | 175.0 | 16.132 | -0.125 |
| 25 | SLE freq | -0.1525 | 200.0 | 16.192 | -0.165 |
| 26 | SLE freq | -0.1220 | 175.0 | 16.627 | -0.126 |
| 27 | SLE freq | -0.1174 | 175.0 | 15.509 | -0.120 |
| 28 | SLE freq | -0.1524 | 200.0 | 16.260 | -0.165 |
| 29 | SLE q.p. | -0.0870 | 145.0 | 16.024 | -0.082 |
| 30 | SLE q.p. | -0.1170 | 175.0 | 15.933 | -0.121 |
| 31 | SLE q.p. | -0.1174 | 175.0 | 15.509 | -0.120 |
| 32 | SLE q.p. | -0.1474 | 175.0 | 19.672 | -0.151 |

Cedimento massimo in cmb n. 21 = -0.187 cm

Relazione Geotecnica e delle Fondazioni

Elemento Platea n. 71

| Cmb. | Tipo | Car. Netto | Prof. | Sigm.Z/Sigm.Lit. | Cedim.Edom. |
|------|----------|---------------------|-------|------------------|-------------|
| n. | | daN/cm ² | cm | % | cm |
| 15 | SLE rare | -0.0837 | 145.0 | 17.849 | -0.085 |
| 16 | SLE rare | -0.1187 | 175.0 | 18.804 | -0.133 |
| 17 | SLE rare | -0.1377 | 175.0 | 18.001 | -0.140 |
| 18 | SLE rare | -0.1602 | 225.0 | 16.366 | -0.199 |
| 19 | SLE rare | -0.1337 | 200.0 | 16.979 | -0.158 |
| 20 | SLE rare | -0.1127 | 175.0 | 17.664 | -0.126 |
| 21 | SLE rare | -0.1627 | 225.0 | 16.708 | -0.202 |
| 22 | SLE freq | -0.0837 | 145.0 | 17.849 | -0.085 |
| 23 | SLE freq | -0.1137 | 175.0 | 18.007 | -0.127 |
| 24 | SLE freq | -0.1127 | 175.0 | 17.664 | -0.126 |
| 25 | SLE freq | -0.1427 | 200.0 | 17.950 | -0.169 |
| 26 | SLE freq | -0.1187 | 175.0 | 18.804 | -0.133 |
| 27 | SLE freq | -0.1086 | 175.0 | 17.030 | -0.121 |
| 28 | SLE freq | -0.1436 | 200.0 | 18.085 | -0.170 |
| 29 | SLE q.p. | -0.0837 | 145.0 | 17.849 | -0.085 |
| 30 | SLE q.p. | -0.1137 | 175.0 | 18.007 | -0.127 |
| 31 | SLE q.p. | -0.1086 | 175.0 | 17.030 | -0.121 |
| 32 | SLE q.p. | -0.1386 | 200.0 | 17.446 | -0.164 |

Cedimento massimo in cmb n. 21 = -0.202 cm

Elemento Platea n. 72

| Cmb. | Tipo | Car. Netto | Prof. | Sigm.Z/Sigm.Lit. | Cedim.Edom. |
|------|----------|---------------------|-------|------------------|-------------|
| n. | | daN/cm ² | cm | % | cm |
| 15 | SLE rare | -0.0837 | 145.0 | 17.849 | -0.085 |
| 16 | SLE rare | -0.1187 | 175.0 | 18.804 | -0.133 |
| 17 | SLE rare | -0.1252 | 175.0 | 19.567 | -0.139 |
| 18 | SLE rare | -0.1602 | 225.0 | 16.366 | -0.199 |
| 19 | SLE rare | -0.1337 | 200.0 | 16.979 | -0.158 |
| 20 | SLE rare | -0.1127 | 175.0 | 17.664 | -0.126 |
| 21 | SLE rare | -0.1627 | 225.0 | 16.708 | -0.202 |
| 22 | SLE freq | -0.0837 | 145.0 | 17.849 | -0.085 |
| 23 | SLE freq | -0.1137 | 175.0 | 18.007 | -0.127 |
| 24 | SLE freq | -0.1127 | 175.0 | 17.664 | -0.126 |
| 25 | SLE freq | -0.1427 | 200.0 | 17.950 | -0.169 |
| 26 | SLE freq | -0.1187 | 175.0 | 18.804 | -0.133 |
| 27 | SLE freq | -0.1086 | 175.0 | 17.030 | -0.121 |
| 28 | SLE freq | -0.1436 | 200.0 | 18.085 | -0.170 |
| 29 | SLE q.p. | -0.0837 | 145.0 | 17.849 | -0.085 |
| 30 | SLE q.p. | -0.1137 | 175.0 | 18.007 | -0.127 |
| 31 | SLE q.p. | -0.1086 | 175.0 | 17.030 | -0.121 |
| 32 | SLE q.p. | -0.1386 | 200.0 | 17.446 | -0.164 |

Cedimento massimo in cmb n. 21 = -0.202 cm

Elemento Platea n. 73

| Cmb. | Tipo | Car. Netto | Prof. | Sigm.Z/Sigm.Lit. | Cedim.Edom. |
|------|----------|---------------------|-------|------------------|-------------|
| n. | | daN/cm ² | cm | % | cm |
| 15 | SLE rare | -0.0784 | 145.0 | 15.523 | -0.077 |
| 16 | SLE rare | -0.1134 | 175.0 | 16.546 | -0.122 |
| 17 | SLE rare | -0.1057 | 175.0 | 15.953 | -0.115 |
| 18 | SLE rare | -0.1407 | 200.0 | 16.951 | -0.161 |
| 19 | SLE rare | -0.1284 | 175.0 | 18.711 | -0.138 |
| 20 | SLE rare | -0.0975 | 145.0 | 19.627 | -0.096 |
| 21 | SLE rare | -0.1475 | 200.0 | 17.591 | -0.168 |
| 22 | SLE freq | -0.0784 | 145.0 | 15.523 | -0.077 |
| 23 | SLE freq | -0.1084 | 175.0 | 15.825 | -0.116 |
| 24 | SLE freq | -0.0975 | 145.0 | 19.627 | -0.096 |
| 25 | SLE freq | -0.1275 | 175.0 | 18.946 | -0.138 |
| 26 | SLE freq | -0.1134 | 175.0 | 16.546 | -0.122 |
| 27 | SLE freq | -0.0948 | 145.0 | 19.041 | -0.093 |
| 28 | SLE freq | -0.1298 | 175.0 | 19.221 | -0.140 |
| 29 | SLE q.p. | -0.0784 | 145.0 | 15.523 | -0.077 |
| 30 | SLE q.p. | -0.1084 | 175.0 | 15.825 | -0.116 |
| 31 | SLE q.p. | -0.0948 | 145.0 | 19.041 | -0.093 |
| 32 | SLE q.p. | -0.1248 | 175.0 | 18.500 | -0.135 |

Cedimento massimo in cmb n. 21 = -0.168 cm

Elemento Platea n. 74

| Cmb. | Tipo | Car. Netto | Prof. | Sigm.Z/Sigm.Lit. | Cedim.Edom. |
|------|----------|---------------------|-------|------------------|-------------|
| n. | | daN/cm ² | cm | % | cm |
| 15 | SLE rare | -0.0912 | 145.0 | 19.812 | -0.096 |
| 16 | SLE rare | -0.1262 | 200.0 | 16.039 | -0.154 |

| | | | |
|--------------------------------------|----------------------------------------------------------------------------------------------------------------------|----------------------------------------------------------------------------------|-------------|
| COMMITTENTE: Mecca Antonio | CODICE COMMESSA: | NOME ELABORATO: S1.5 - Relazione Geotecnica e delle Fondazioni | CONSULENTE: |
| DATA: Aprile 2023 | TITOLO: Lavori ultimazione di un fabbricato adibito ad albergo-ristorante– C.da Case Nuove Chicone Avigliano (PZ) | | |

| | | | | | |
|----|----------|---------|-------|--------|--------|
| 17 | SLE rare | -0.1423 | 200.0 | 17.248 | -0.171 |
| 18 | SLE rare | -0.1773 | 225.0 | 17.599 | -0.225 |
| 19 | SLE rare | -0.1412 | 200.0 | 17.999 | -0.173 |
| 20 | SLE rare | -0.1269 | 175.0 | 19.651 | -0.145 |
| 21 | SLE rare | -0.1769 | 225.0 | 17.813 | -0.225 |
| 22 | SLE freq | -0.0912 | 145.0 | 19.812 | -0.096 |
| 23 | SLE freq | -0.1212 | 175.0 | 19.366 | -0.140 |
| 24 | SLE freq | -0.1269 | 175.0 | 19.651 | -0.145 |
| 25 | SLE freq | -0.1569 | 200.0 | 19.434 | -0.190 |
| 26 | SLE freq | -0.1262 | 200.0 | 16.039 | -0.154 |
| 27 | SLE freq | -0.1218 | 175.0 | 18.908 | -0.139 |
| 28 | SLE freq | -0.1568 | 200.0 | 19.509 | -0.190 |
| 29 | SLE q.p. | -0.0912 | 145.0 | 19.812 | -0.096 |
| 30 | SLE q.p. | -0.1212 | 175.0 | 19.366 | -0.140 |
| 31 | SLE q.p. | -0.1218 | 175.0 | 18.908 | -0.139 |
| 32 | SLE q.p. | -0.1518 | 200.0 | 18.855 | -0.184 |

Cedimento massimo in cmb n. 21 = -0.225 cm

Elemento Platea n. 75

| Cmb. n. | Tipo | Car. Netto daN/cm ² | Prof. cm | Sigm.Z/Sigm.Lit. % | Cedim.Edom. cm |
|------------|----------|-----------------------------------|-------------|-----------------------|-------------------|
| 15 | SLE rare | -0.0870 | 175.0 | 18.440 | -0.113 |
| 16 | SLE rare | -0.1220 | 225.0 | 17.428 | -0.179 |
| 17 | SLE rare | -0.1400 | 225.0 | 17.432 | -0.196 |
| 18 | SLE rare | -0.1694 | 250.0 | 19.483 | -0.259 |
| 19 | SLE rare | -0.1370 | 225.0 | 19.609 | -0.202 |
| 20 | SLE rare | -0.1202 | 225.0 | 16.549 | -0.175 |
| 21 | SLE rare | -0.1702 | 250.0 | 19.820 | -0.261 |
| 22 | SLE freq | -0.0870 | 175.0 | 18.440 | -0.113 |
| 23 | SLE freq | -0.1170 | 225.0 | 16.702 | -0.172 |
| 24 | SLE freq | -0.1202 | 225.0 | 16.549 | -0.175 |
| 25 | SLE freq | -0.1502 | 250.0 | 17.391 | -0.230 |
| 26 | SLE freq | -0.1220 | 225.0 | 17.428 | -0.179 |
| 27 | SLE freq | -0.1196 | 200.0 | 18.550 | -0.159 |
| 28 | SLE freq | -0.1505 | 250.0 | 17.504 | -0.231 |
| 29 | SLE q.p. | -0.0870 | 175.0 | 18.440 | -0.113 |
| 30 | SLE q.p. | -0.1170 | 225.0 | 16.702 | -0.172 |
| 31 | SLE q.p. | -0.1196 | 200.0 | 18.550 | -0.159 |
| 32 | SLE q.p. | -0.1455 | 250.0 | 16.896 | -0.223 |

Cedimento massimo in cmb n. 21 = -0.261 cm

Elemento Platea n. 76

| Cmb. n. | Tipo | Car. Netto daN/cm ² | Prof. cm | Sigm.Z/Sigm.Lit. % | Cedim.Edom. cm |
|------------|----------|-----------------------------------|-------------|-----------------------|-------------------|
| 15 | SLE rare | -0.0876 | 175.0 | 17.475 | -0.112 |
| 16 | SLE rare | -0.1190 | 225.0 | 16.353 | -0.175 |
| 17 | SLE rare | -0.1322 | 225.0 | 16.673 | -0.188 |
| 18 | SLE rare | -0.1672 | 250.0 | 17.517 | -0.250 |
| 19 | SLE rare | -0.1376 | 225.0 | 17.966 | -0.198 |
| 20 | SLE rare | -0.1188 | 200.0 | 18.619 | -0.161 |
| 21 | SLE rare | -0.1688 | 250.0 | 17.852 | -0.253 |
| 22 | SLE freq | -0.0876 | 175.0 | 17.475 | -0.112 |
| 23 | SLE freq | -0.1176 | 200.0 | 18.856 | -0.160 |
| 24 | SLE freq | -0.1188 | 200.0 | 18.619 | -0.161 |
| 25 | SLE freq | -0.1488 | 225.0 | 19.049 | -0.213 |
| 26 | SLE freq | -0.1190 | 225.0 | 16.353 | -0.175 |
| 27 | SLE freq | -0.1144 | 200.0 | 17.956 | -0.155 |
| 28 | SLE freq | -0.1494 | 225.0 | 19.178 | -0.214 |
| 29 | SLE q.p. | -0.0876 | 175.0 | 17.475 | -0.112 |
| 30 | SLE q.p. | -0.1176 | 200.0 | 18.856 | -0.160 |
| 31 | SLE q.p. | -0.1144 | 200.0 | 17.956 | -0.155 |
| 32 | SLE q.p. | -0.1444 | 225.0 | 18.516 | -0.207 |

Cedimento massimo in cmb n. 21 = -0.253 cm

Elemento Platea n. 77

| Cmb. n. | Tipo | Car. Netto daN/cm ² | Prof. cm | Sigm.Z/Sigm.Lit. % | Cedim.Edom. cm |
|------------|----------|-----------------------------------|-------------|-----------------------|-------------------|
| 15 | SLE rare | -0.0873 | 175.0 | 15.706 | -0.106 |
| 16 | SLE rare | -0.1223 | 200.0 | 17.596 | -0.158 |
| 17 | SLE rare | -0.1285 | 200.0 | 18.221 | -0.166 |
| 18 | SLE rare | -0.1635 | 225.0 | 18.874 | -0.222 |
| 19 | SLE rare | -0.1340 | 225.0 | 16.473 | -0.187 |

Relazione Geotecnica e delle Fondazioni

| | | | | | |
|----|----------|---------|-------|--------|--------|
| 20 | SLE rare | -0.1162 | 200.0 | 16.504 | -0.150 |
| 21 | SLE rare | -0.1662 | 225.0 | 19.266 | -0.226 |
| 22 | SLE freq | -0.0873 | 175.0 | 15.706 | -0.106 |
| 23 | SLE freq | -0.1173 | 200.0 | 16.868 | -0.152 |
| 24 | SLE freq | -0.1162 | 200.0 | 16.504 | -0.150 |
| 25 | SLE freq | -0.1462 | 225.0 | 16.899 | -0.199 |
| 26 | SLE freq | -0.1223 | 200.0 | 17.596 | -0.158 |
| 27 | SLE freq | -0.1121 | 200.0 | 15.932 | -0.145 |
| 28 | SLE freq | -0.1471 | 225.0 | 17.030 | -0.200 |
| 29 | SLE q.p. | -0.0873 | 175.0 | 15.706 | -0.106 |
| 30 | SLE q.p. | -0.1173 | 200.0 | 16.868 | -0.152 |
| 31 | SLE q.p. | -0.1121 | 200.0 | 15.932 | -0.145 |
| 32 | SLE q.p. | -0.1421 | 225.0 | 16.438 | -0.193 |

Cedimento massimo in cmb n. 21 = -0.226 cm

Elemento Platea n. 78

| Cmb. n. | Tipo | Car. Netto daN/cm ² | Prof. cm | Sigm.Z/Sigm.Lit. % | Cedim.Edom. cm |
|---------|----------|-----------------------------------|-------------|-----------------------|-------------------|
| 15 | SLE rare | -0.0804 | 175.0 | 17.236 | -0.105 |
| 16 | SLE rare | -0.1154 | 200.0 | 19.922 | -0.162 |
| 17 | SLE rare | -0.1136 | 200.0 | 19.916 | -0.160 |
| 18 | SLE rare | -0.1486 | 250.0 | 17.565 | -0.232 |
| 19 | SLE rare | -0.1304 | 225.0 | 18.391 | -0.193 |
| 20 | SLE rare | -0.1037 | 200.0 | 18.116 | -0.146 |
| 21 | SLE rare | -0.1537 | 250.0 | 18.074 | -0.240 |
| 22 | SLE freq | -0.0804 | 175.0 | 17.236 | -0.105 |
| 23 | SLE freq | -0.1104 | 200.0 | 19.064 | -0.155 |
| 24 | SLE freq | -0.1037 | 200.0 | 18.116 | -0.146 |
| 25 | SLE freq | -0.1337 | 225.0 | 19.038 | -0.199 |
| 26 | SLE freq | -0.1154 | 200.0 | 19.922 | -0.162 |
| 27 | SLE freq | -0.1003 | 200.0 | 17.516 | -0.141 |
| 28 | SLE freq | -0.1353 | 225.0 | 19.246 | -0.201 |
| 29 | SLE q.p. | -0.0804 | 175.0 | 17.236 | -0.105 |
| 30 | SLE q.p. | -0.1104 | 200.0 | 19.064 | -0.155 |
| 31 | SLE q.p. | -0.1003 | 200.0 | 17.516 | -0.141 |
| 32 | SLE q.p. | -0.1303 | 225.0 | 18.545 | -0.194 |

Cedimento massimo in cmb n. 21 = -0.240 cm

Elemento Platea n. 79

| Cmb. n. | Tipo | Car. Netto daN/cm ² | Prof. cm | Sigm.Z/Sigm.Lit. % | Cedim.Edom. cm |
|---------|----------|-----------------------------------|-------------|-----------------------|-------------------|
| 15 | SLE rare | -0.0844 | 175.0 | 18.000 | -0.110 |
| 16 | SLE rare | -0.1159 | 225.0 | 17.992 | -0.177 |
| 17 | SLE rare | -0.1283 | 225.0 | 17.985 | -0.187 |
| 18 | SLE rare | -0.1633 | 250.0 | 19.253 | -0.251 |
| 19 | SLE rare | -0.1309 | 250.0 | 16.969 | -0.210 |
| 20 | SLE rare | -0.1151 | 200.0 | 19.702 | -0.159 |
| 21 | SLE rare | -0.1553 | 300.0 | 14.628 | -0.273 |
| 22 | SLE freq | -0.0844 | 175.0 | 18.000 | -0.110 |
| 23 | SLE freq | -0.1109 | 225.0 | 17.220 | -0.169 |
| 24 | SLE freq | -0.1151 | 200.0 | 19.702 | -0.159 |
| 25 | SLE freq | -0.1451 | 250.0 | 17.185 | -0.224 |
| 26 | SLE freq | -0.1159 | 225.0 | 17.992 | -0.177 |
| 27 | SLE freq | -0.1108 | 200.0 | 18.984 | -0.153 |
| 28 | SLE freq | -0.1458 | 250.0 | 17.308 | -0.225 |
| 29 | SLE q.p. | -0.0844 | 175.0 | 18.000 | -0.110 |
| 30 | SLE q.p. | -0.1109 | 225.0 | 17.220 | -0.169 |
| 31 | SLE q.p. | -0.1108 | 200.0 | 18.984 | -0.153 |
| 32 | SLE q.p. | -0.1408 | 250.0 | 16.699 | -0.217 |

Cedimento massimo in cmb n. 21 = -0.273 cm

Elemento Platea n. 80

| Cmb. n. | Tipo | Car. Netto daN/cm ² | Prof. cm | Sigm.Z/Sigm.Lit. % | Cedim.Edom. cm |
|---------|----------|-----------------------------------|-------------|-----------------------|-------------------|
| 15 | SLE rare | -0.0775 | 175.0 | 17.239 | -0.102 |
| 16 | SLE rare | -0.1125 | 225.0 | 16.976 | -0.168 |
| 17 | SLE rare | -0.1030 | 200.0 | 19.646 | -0.147 |
| 18 | SLE rare | -0.1380 | 250.0 | 18.241 | -0.220 |
| 19 | SLE rare | -0.1275 | 225.0 | 19.190 | -0.190 |
| 20 | SLE rare | -0.0953 | 200.0 | 18.005 | -0.136 |
| 21 | SLE rare | -0.1453 | 250.0 | 18.907 | -0.231 |
| 22 | SLE freq | -0.0775 | 175.0 | 17.239 | -0.102 |
| 23 | SLE freq | -0.1075 | 200.0 | 19.510 | -0.151 |
| 24 | SLE freq | -0.0953 | 200.0 | 18.005 | -0.136 |

| | | | |
|--------------------------------------|------------------------------------------------------------------------------------------------------------------------------|----------------------------------------------------------------------------------|-------------|
| COMMITTENTE: Mecca Antonio | CODICE COMMESSA: | NOME ELABORATO: S1.5 - Relazione Geotecnica e delle Fondazioni | CONSULENTE: |
| DATA: Aprile 2023 | TITOLO: Lavori ultimazione di un fabbricato adibito ad albergo-ristorante– C.da Case Nuove Chicone Avigliano (PZ) | | |

| | | | | | |
|----|----------|---------|-------|--------|--------|
| 25 | SLE freq | -0.1253 | 225.0 | 19.488 | -0.189 |
| 26 | SLE freq | -0.1125 | 225.0 | 16.976 | -0.168 |
| 27 | SLE freq | -0.0928 | 200.0 | 17.458 | -0.132 |
| 28 | SLE freq | -0.1278 | 225.0 | 19.761 | -0.192 |
| 29 | SLE q.p. | -0.0775 | 175.0 | 17.239 | -0.102 |
| 30 | SLE q.p. | -0.1075 | 200.0 | 19.510 | -0.151 |
| 31 | SLE q.p. | -0.0928 | 200.0 | 17.458 | -0.132 |
| 32 | SLE q.p. | -0.1228 | 225.0 | 19.023 | -0.185 |

Cedimento massimo in cmb n. 21 = -0.231 cm

Elemento Platea n. 81

| Cmb. n. | Tipo | Car. Netto daN/cm ² | Prof. cm | Sigm.Z/Sigm.Lit. % | Cedim.Edom. cm |
|------------|----------|-----------------------------------|-------------|-----------------------|-------------------|
| 15 | SLE rare | -0.0785 | 175.0 | 17.804 | -0.104 |
| 16 | SLE rare | -0.1135 | 225.0 | 17.496 | -0.171 |
| 17 | SLE rare | -0.1060 | 225.0 | 17.091 | -0.162 |
| 18 | SLE rare | -0.1410 | 250.0 | 18.871 | -0.227 |
| 19 | SLE rare | -0.1285 | 225.0 | 19.767 | -0.194 |
| 20 | SLE rare | -0.0978 | 200.0 | 18.694 | -0.140 |
| 21 | SLE rare | -0.1478 | 250.0 | 19.526 | -0.237 |
| 22 | SLE freq | -0.0785 | 175.0 | 17.804 | -0.104 |
| 23 | SLE freq | -0.1085 | 225.0 | 16.740 | -0.164 |
| 24 | SLE freq | -0.0978 | 200.0 | 18.694 | -0.140 |
| 25 | SLE freq | -0.1278 | 250.0 | 16.987 | -0.205 |
| 26 | SLE freq | -0.1135 | 225.0 | 17.496 | -0.171 |
| 27 | SLE freq | -0.0950 | 200.0 | 18.115 | -0.136 |
| 28 | SLE freq | -0.1300 | 250.0 | 17.205 | -0.208 |
| 29 | SLE q.p. | -0.0785 | 175.0 | 17.804 | -0.104 |
| 30 | SLE q.p. | -0.1085 | 225.0 | 16.740 | -0.164 |
| 31 | SLE q.p. | -0.0950 | 200.0 | 18.115 | -0.136 |
| 32 | SLE q.p. | -0.1250 | 225.0 | 19.674 | -0.190 |

Cedimento massimo in cmb n. 21 = -0.237 cm

Elemento Platea n. 82

| Cmb. n. | Tipo | Car. Netto daN/cm ² | Prof. cm | Sigm.Z/Sigm.Lit. % | Cedim.Edom. cm |
|------------|----------|-----------------------------------|-------------|-----------------------|-------------------|
| 15 | SLE rare | -0.0840 | 175.0 | 15.919 | -0.105 |
| 16 | SLE rare | -0.1190 | 200.0 | 18.019 | -0.158 |
| 17 | SLE rare | -0.1170 | 200.0 | 17.981 | -0.156 |
| 18 | SLE rare | -0.1520 | 225.0 | 18.934 | -0.213 |
| 19 | SLE rare | -0.1340 | 225.0 | 16.473 | -0.187 |
| 20 | SLE rare | -0.1071 | 200.0 | 16.402 | -0.142 |
| 21 | SLE rare | -0.1571 | 225.0 | 19.487 | -0.220 |
| 22 | SLE freq | -0.0840 | 175.0 | 15.919 | -0.105 |
| 23 | SLE freq | -0.1140 | 200.0 | 17.261 | -0.151 |
| 24 | SLE freq | -0.1071 | 200.0 | 16.402 | -0.142 |
| 25 | SLE freq | -0.1371 | 225.0 | 17.027 | -0.192 |
| 26 | SLE freq | -0.1190 | 200.0 | 18.019 | -0.158 |
| 27 | SLE freq | -0.1038 | 175.0 | 19.841 | -0.130 |
| 28 | SLE freq | -0.1388 | 225.0 | 17.211 | -0.194 |
| 29 | SLE q.p. | -0.0840 | 175.0 | 15.919 | -0.105 |
| 30 | SLE q.p. | -0.1140 | 200.0 | 17.261 | -0.151 |
| 31 | SLE q.p. | -0.1038 | 175.0 | 19.841 | -0.130 |
| 32 | SLE q.p. | -0.1338 | 225.0 | 16.596 | -0.187 |

Cedimento massimo in cmb n. 21 = -0.220 cm

Elemento Platea n. 83

| Cmb. n. | Tipo | Car. Netto daN/cm ² | Prof. cm | Sigm.Z/Sigm.Lit. % | Cedim.Edom. cm |
|------------|----------|-----------------------------------|-------------|-----------------------|-------------------|
| 15 | SLE rare | -0.0845 | 175.0 | 17.658 | -0.109 |
| 16 | SLE rare | -0.1195 | 225.0 | 16.729 | -0.175 |
| 17 | SLE rare | -0.1289 | 225.0 | 17.514 | -0.187 |
| 18 | SLE rare | -0.1639 | 250.0 | 18.642 | -0.250 |
| 19 | SLE rare | -0.1345 | 225.0 | 18.851 | -0.197 |
| 20 | SLE rare | -0.1156 | 200.0 | 19.260 | -0.159 |
| 21 | SLE rare | -0.1656 | 250.0 | 18.992 | -0.253 |
| 22 | SLE freq | -0.0845 | 175.0 | 17.658 | -0.109 |
| 23 | SLE freq | -0.1145 | 200.0 | 19.478 | -0.158 |
| 24 | SLE freq | -0.1156 | 200.0 | 19.260 | -0.159 |
| 25 | SLE freq | -0.1456 | 250.0 | 16.635 | -0.222 |
| 26 | SLE freq | -0.1195 | 225.0 | 16.729 | -0.175 |
| 27 | SLE freq | -0.1111 | 200.0 | 18.555 | -0.153 |

Relazione Geotecnica e delle Fondazioni

| | | | | | |
|----|----------|---------|-------|--------|--------|
| 28 | SLE freq | -0.1461 | 250.0 | 16.752 | -0.223 |
| 29 | SLE q.p. | -0.0845 | 175.0 | 17.658 | -0.109 |
| 30 | SLE q.p. | -0.1145 | 200.0 | 19.478 | -0.158 |
| 31 | SLE q.p. | -0.1111 | 200.0 | 18.555 | -0.153 |
| 32 | SLE q.p. | -0.1411 | 225.0 | 19.464 | -0.205 |

Cedimento massimo in cmb n. 21 = -0.253 cm

Elemento Platea n. 84

| Cmb. n. | Tipo | Car. Netto daN/cm ² | Prof. cm | Sigm.Z/Sigm.Lit. % | Cedim.Edom. cm |
|------------|----------|-----------------------------------|-------------|-----------------------|-------------------|
| 15 | SLE rare | -0.0857 | 175.0 | 18.489 | -0.112 |
| 16 | SLE rare | -0.1207 | 225.0 | 17.687 | -0.179 |
| 17 | SLE rare | -0.1315 | 225.0 | 18.547 | -0.192 |
| 18 | SLE rare | -0.1665 | 250.0 | 19.819 | -0.257 |
| 19 | SLE rare | -0.1357 | 225.0 | 19.913 | -0.201 |
| 20 | SLE rare | -0.1178 | 225.0 | 16.731 | -0.173 |
| 21 | SLE rare | -0.1678 | 300.0 | 14.642 | -0.283 |
| 22 | SLE freq | -0.0857 | 175.0 | 18.489 | -0.112 |
| 23 | SLE freq | -0.1157 | 225.0 | 16.945 | -0.171 |
| 24 | SLE freq | -0.1178 | 225.0 | 16.731 | -0.173 |
| 25 | SLE freq | -0.1478 | 250.0 | 17.694 | -0.229 |
| 26 | SLE freq | -0.1207 | 225.0 | 17.687 | -0.179 |
| 27 | SLE freq | -0.1132 | 200.0 | 19.553 | -0.157 |
| 28 | SLE freq | -0.1482 | 250.0 | 17.815 | -0.230 |
| 29 | SLE q.p. | -0.0857 | 175.0 | 18.489 | -0.112 |
| 30 | SLE q.p. | -0.1157 | 225.0 | 16.945 | -0.171 |
| 31 | SLE q.p. | -0.1132 | 200.0 | 19.553 | -0.157 |
| 32 | SLE q.p. | -0.1432 | 250.0 | 17.192 | -0.222 |

Cedimento massimo in cmb n. 21 = -0.283 cm

Elemento Platea n. 85

| Cmb. n. | Tipo | Car. Netto daN/cm ² | Prof. cm | Sigm.Z/Sigm.Lit. % | Cedim.Edom. cm |
|------------|----------|-----------------------------------|-------------|-----------------------|-------------------|
| 15 | SLE rare | -0.0849 | 175.0 | 18.390 | -0.111 |
| 16 | SLE rare | -0.1199 | 225.0 | 17.672 | -0.178 |
| 17 | SLE rare | -0.1295 | 225.0 | 18.478 | -0.190 |
| 18 | SLE rare | -0.1645 | 250.0 | 19.823 | -0.255 |
| 19 | SLE rare | -0.1349 | 225.0 | 19.906 | -0.200 |
| 20 | SLE rare | -0.1161 | 225.0 | 16.673 | -0.171 |
| 21 | SLE rare | -0.1661 | 300.0 | 14.682 | -0.281 |
| 22 | SLE freq | -0.0849 | 175.0 | 18.390 | -0.111 |
| 23 | SLE freq | -0.1149 | 225.0 | 16.927 | -0.170 |
| 24 | SLE freq | -0.1161 | 225.0 | 16.673 | -0.171 |
| 25 | SLE freq | -0.1461 | 250.0 | 17.699 | -0.227 |
| 26 | SLE freq | -0.1199 | 225.0 | 17.672 | -0.178 |
| 27 | SLE freq | -0.1117 | 200.0 | 19.444 | -0.155 |
| 28 | SLE freq | -0.1467 | 250.0 | 17.824 | -0.228 |
| 29 | SLE q.p. | -0.0849 | 175.0 | 18.390 | -0.111 |
| 30 | SLE q.p. | -0.1149 | 225.0 | 16.927 | -0.170 |
| 31 | SLE q.p. | -0.1117 | 200.0 | 19.444 | -0.155 |
| 32 | SLE q.p. | -0.1417 | 250.0 | 17.199 | -0.220 |

Cedimento massimo in cmb n. 21 = -0.281 cm

Elemento Platea n. 86

| Cmb. n. | Tipo | Car. Netto daN/cm ² | Prof. cm | Sigm.Z/Sigm.Lit. % | Cedim.Edom. cm |
|------------|----------|-----------------------------------|-------------|-----------------------|-------------------|
| 15 | SLE rare | -0.0846 | 175.0 | 18.173 | -0.110 |
| 16 | SLE rare | -0.1196 | 225.0 | 17.468 | -0.177 |
| 17 | SLE rare | -0.1287 | 225.0 | 18.258 | -0.188 |
| 18 | SLE rare | -0.1637 | 250.0 | 19.583 | -0.253 |
| 19 | SLE rare | -0.1346 | 225.0 | 19.680 | -0.199 |
| 20 | SLE rare | -0.1155 | 200.0 | 19.943 | -0.160 |
| 21 | SLE rare | -0.1655 | 250.0 | 19.957 | -0.256 |
| 22 | SLE freq | -0.0846 | 175.0 | 18.173 | -0.110 |
| 23 | SLE freq | -0.1146 | 225.0 | 16.730 | -0.169 |
| 24 | SLE freq | -0.1155 | 200.0 | 19.943 | -0.160 |
| 25 | SLE freq | -0.1455 | 250.0 | 17.482 | -0.225 |
| 26 | SLE freq | -0.1196 | 225.0 | 17.468 | -0.177 |
| 27 | SLE freq | -0.1111 | 200.0 | 19.217 | -0.154 |
| 28 | SLE freq | -0.1461 | 250.0 | 17.606 | -0.226 |
| 29 | SLE q.p. | -0.0846 | 175.0 | 18.173 | -0.110 |
| 30 | SLE q.p. | -0.1146 | 225.0 | 16.730 | -0.169 |
| 31 | SLE q.p. | -0.1111 | 200.0 | 19.217 | -0.154 |
| 32 | SLE q.p. | -0.1411 | 250.0 | 16.987 | -0.218 |

| | | | |
|--------------------------------------|------------------------------------------------------------------------------------------------------------------------------|----------------------------------------------------------------------------------|-------------|
| COMMITTENTE: Mecca Antonio | CODICE COMMESSA: | NOME ELABORATO: S1.5 - Relazione Geotecnica e delle Fondazioni | CONSULENTE: |
| DATA: Aprile 2023 | TITOLO: Lavori ultimazione di un fabbricato adibito ad albergo-ristorante– C.da Case Nuove Chicone Avigliano (PZ) | | |

Cedimento massimo in cmb n. 21 = -0.256 cm

Elemento Platea n. 87

| Cmb. n. | Tipo | Car. Netto daN/cm ² | Prof. cm | Sigm.Z/Sigm.Lit. % | Cedim.Edom. cm |
|------------|----------|-----------------------------------|-------------|-----------------------|-------------------|
| 15 | SLE rare | -0.0845 | 175.0 | 17.658 | -0.109 |
| 16 | SLE rare | -0.1161 | 225.0 | 17.487 | -0.176 |
| 17 | SLE rare | -0.1289 | 225.0 | 17.514 | -0.187 |
| 18 | SLE rare | -0.1639 | 250.0 | 18.642 | -0.250 |
| 19 | SLE rare | -0.1311 | 225.0 | 19.736 | -0.198 |
| 20 | SLE rare | -0.1156 | 200.0 | 19.260 | -0.159 |
| 21 | SLE rare | -0.1656 | 250.0 | 18.992 | -0.253 |
| 22 | SLE freq | -0.0845 | 175.0 | 17.658 | -0.109 |
| 23 | SLE freq | -0.1111 | 225.0 | 16.737 | -0.168 |
| 24 | SLE freq | -0.1156 | 200.0 | 19.260 | -0.159 |
| 25 | SLE freq | -0.1456 | 250.0 | 16.635 | -0.222 |
| 26 | SLE freq | -0.1161 | 225.0 | 17.487 | -0.176 |
| 27 | SLE freq | -0.1111 | 200.0 | 18.555 | -0.153 |
| 28 | SLE freq | -0.1461 | 250.0 | 16.752 | -0.223 |
| 29 | SLE q.p. | -0.0845 | 175.0 | 17.658 | -0.109 |
| 30 | SLE q.p. | -0.1111 | 225.0 | 16.737 | -0.168 |
| 31 | SLE q.p. | -0.1111 | 200.0 | 18.555 | -0.153 |
| 32 | SLE q.p. | -0.1411 | 225.0 | 19.464 | -0.205 |

Cedimento massimo in cmb n. 21 = -0.253 cm

Elemento Platea n. 88

| Cmb. n. | Tipo | Car. Netto daN/cm ² | Prof. cm | Sigm.Z/Sigm.Lit. % | Cedim.Edom. cm |
|------------|----------|-----------------------------------|-------------|-----------------------|-------------------|
| 15 | SLE rare | -0.0833 | 175.0 | 15.975 | -0.105 |
| 16 | SLE rare | -0.1183 | 200.0 | 18.151 | -0.158 |
| 17 | SLE rare | -0.1243 | 200.0 | 18.806 | -0.166 |
| 18 | SLE rare | -0.1593 | 225.0 | 19.612 | -0.224 |
| 19 | SLE rare | -0.1333 | 225.0 | 16.614 | -0.188 |
| 20 | SLE rare | -0.1120 | 200.0 | 16.990 | -0.149 |
| 21 | SLE rare | -0.1620 | 250.0 | 16.476 | -0.238 |
| 22 | SLE freq | -0.0833 | 175.0 | 15.975 | -0.105 |
| 23 | SLE freq | -0.1133 | 200.0 | 17.380 | -0.151 |
| 24 | SLE freq | -0.1120 | 200.0 | 16.990 | -0.149 |
| 25 | SLE freq | -0.1420 | 225.0 | 17.522 | -0.200 |
| 26 | SLE freq | -0.1183 | 200.0 | 18.151 | -0.158 |
| 27 | SLE freq | -0.1079 | 200.0 | 16.385 | -0.144 |
| 28 | SLE freq | -0.1429 | 225.0 | 17.661 | -0.201 |
| 29 | SLE q.p. | -0.0833 | 175.0 | 15.975 | -0.105 |
| 30 | SLE q.p. | -0.1133 | 200.0 | 17.380 | -0.151 |
| 31 | SLE q.p. | -0.1079 | 200.0 | 16.385 | -0.144 |
| 32 | SLE q.p. | -0.1379 | 225.0 | 17.034 | -0.194 |

Cedimento massimo in cmb n. 21 = -0.238 cm

Elemento Platea n. 89

| Cmb. n. | Tipo | Car. Netto daN/cm ² | Prof. cm | Sigm.Z/Sigm.Lit. % | Cedim.Edom. cm |
|------------|----------|-----------------------------------|-------------|-----------------------|-------------------|
| 15 | SLE rare | -0.0853 | 175.0 | 18.577 | -0.112 |
| 16 | SLE rare | -0.1203 | 225.0 | 17.411 | -0.180 |
| 17 | SLE rare | -0.1264 | 225.0 | 17.899 | -0.187 |
| 18 | SLE rare | -0.1614 | 250.0 | 19.043 | -0.252 |
| 19 | SLE rare | -0.1324 | 250.0 | 16.838 | -0.212 |
| 20 | SLE rare | -0.1141 | 200.0 | 19.842 | -0.160 |
| 21 | SLE rare | -0.1571 | 300.0 | 14.398 | -0.274 |
| 22 | SLE freq | -0.0853 | 175.0 | 18.577 | -0.112 |
| 23 | SLE freq | -0.1153 | 225.0 | 16.681 | -0.172 |
| 24 | SLE freq | -0.1141 | 200.0 | 19.842 | -0.160 |
| 25 | SLE freq | -0.1441 | 250.0 | 17.054 | -0.225 |
| 26 | SLE freq | -0.1203 | 225.0 | 17.411 | -0.180 |
| 27 | SLE freq | -0.1100 | 200.0 | 19.155 | -0.154 |
| 28 | SLE freq | -0.1450 | 250.0 | 17.198 | -0.227 |
| 29 | SLE q.p. | -0.0853 | 175.0 | 18.577 | -0.112 |
| 30 | SLE q.p. | -0.1153 | 225.0 | 16.681 | -0.172 |
| 31 | SLE q.p. | -0.1100 | 200.0 | 19.155 | -0.154 |
| 32 | SLE q.p. | -0.1400 | 250.0 | 16.593 | -0.219 |

Cedimento massimo in cmb n. 21 = -0.274 cm

Relazione Geotecnica e delle Fondazioni

Elemento Platea n. 90

| Cmb. | Tipo | Car. Netto | Prof. | Sigm.Z/Sigm.Lit. | Cedim.Edom. |
|------|----------|---------------------|-------|------------------|-------------|
| n. | | daN/cm ² | cm | % | cm |
| 15 | SLE rare | -0.0891 | 175.0 | 17.649 | -0.113 |
| 16 | SLE rare | -0.1241 | 200.0 | 19.991 | -0.167 |
| 17 | SLE rare | -0.1400 | 225.0 | 17.432 | -0.196 |
| 18 | SLE rare | -0.1750 | 250.0 | 18.326 | -0.258 |
| 19 | SLE rare | -0.1391 | 225.0 | 18.400 | -0.198 |
| 20 | SLE rare | -0.1247 | 200.0 | 19.270 | -0.166 |
| 21 | SLE rare | -0.1747 | 250.0 | 18.594 | -0.259 |
| 22 | SLE freq | -0.0891 | 175.0 | 17.649 | -0.113 |
| 23 | SLE freq | -0.1191 | 200.0 | 19.168 | -0.161 |
| 24 | SLE freq | -0.1247 | 200.0 | 19.270 | -0.166 |
| 25 | SLE freq | -0.1547 | 225.0 | 19.751 | -0.218 |
| 26 | SLE freq | -0.1241 | 200.0 | 19.991 | -0.167 |
| 27 | SLE freq | -0.1196 | 200.0 | 18.550 | -0.159 |
| 28 | SLE freq | -0.1546 | 225.0 | 19.848 | -0.219 |
| 29 | SLE q.p. | -0.0891 | 175.0 | 17.649 | -0.113 |
| 30 | SLE q.p. | -0.1191 | 200.0 | 19.168 | -0.161 |
| 31 | SLE q.p. | -0.1196 | 200.0 | 18.550 | -0.159 |
| 32 | SLE q.p. | -0.1496 | 225.0 | 19.172 | -0.211 |

Cedimento massimo in cmb n. 21 = -0.259 cm

Elemento Platea n. 91

| Cmb. | Tipo | Car. Netto | Prof. | Sigm.Z/Sigm.Lit. | Cedim.Edom. |
|------|----------|---------------------|-------|------------------|-------------|
| n. | | daN/cm ² | cm | % | cm |
| 15 | SLE rare | -0.0788 | 175.0 | 17.802 | -0.105 |
| 16 | SLE rare | -0.1138 | 225.0 | 17.437 | -0.171 |
| 17 | SLE rare | -0.1067 | 225.0 | 17.033 | -0.163 |
| 18 | SLE rare | -0.1417 | 250.0 | 18.779 | -0.227 |
| 19 | SLE rare | -0.1288 | 225.0 | 19.693 | -0.194 |
| 20 | SLE rare | -0.0983 | 200.0 | 18.668 | -0.141 |
| 21 | SLE rare | -0.1483 | 250.0 | 19.429 | -0.237 |
| 22 | SLE freq | -0.0788 | 175.0 | 17.802 | -0.105 |
| 23 | SLE freq | -0.1088 | 225.0 | 16.685 | -0.164 |
| 24 | SLE freq | -0.0983 | 200.0 | 18.668 | -0.141 |
| 25 | SLE freq | -0.1283 | 250.0 | 16.907 | -0.205 |
| 26 | SLE freq | -0.1138 | 225.0 | 17.437 | -0.171 |
| 27 | SLE freq | -0.0956 | 200.0 | 18.092 | -0.137 |
| 28 | SLE freq | -0.1306 | 250.0 | 17.124 | -0.209 |
| 29 | SLE q.p. | -0.0788 | 175.0 | 17.802 | -0.105 |
| 30 | SLE q.p. | -0.1088 | 225.0 | 16.685 | -0.164 |
| 31 | SLE q.p. | -0.0956 | 200.0 | 18.092 | -0.137 |
| 32 | SLE q.p. | -0.1256 | 225.0 | 19.601 | -0.190 |

Cedimento massimo in cmb n. 21 = -0.237 cm

Elemento Platea n. 92

| Cmb. | Tipo | Car. Netto | Prof. | Sigm.Z/Sigm.Lit. | Cedim.Edom. |
|------|----------|---------------------|-------|------------------|-------------|
| n. | | daN/cm ² | cm | % | cm |
| 15 | SLE rare | -0.0749 | 120.0 | 19.518 | -0.059 |
| 16 | SLE rare | -0.1099 | 175.0 | 16.392 | -0.113 |
| 17 | SLE rare | -0.0936 | 145.0 | 19.697 | -0.090 |
| 18 | SLE rare | -0.1286 | 200.0 | 16.669 | -0.143 |
| 19 | SLE rare | -0.1249 | 175.0 | 18.568 | -0.128 |
| 20 | SLE rare | -0.0880 | 145.0 | 18.247 | -0.084 |
| 21 | SLE rare | -0.1380 | 200.0 | 17.460 | -0.153 |
| 22 | SLE freq | -0.0749 | 120.0 | 19.518 | -0.059 |
| 23 | SLE freq | -0.1049 | 150.0 | 19.610 | -0.101 |
| 24 | SLE freq | -0.0880 | 145.0 | 18.247 | -0.084 |
| 25 | SLE freq | -0.1180 | 175.0 | 18.367 | -0.123 |
| 26 | SLE freq | -0.1099 | 175.0 | 16.392 | -0.113 |
| 27 | SLE freq | -0.0861 | 145.0 | 17.764 | -0.082 |
| 28 | SLE freq | -0.1211 | 175.0 | 18.707 | -0.126 |
| 29 | SLE q.p. | -0.0749 | 120.0 | 19.518 | -0.059 |
| 30 | SLE q.p. | -0.1049 | 150.0 | 19.610 | -0.101 |
| 31 | SLE q.p. | -0.0861 | 145.0 | 17.764 | -0.082 |
| 32 | SLE q.p. | -0.1161 | 175.0 | 17.981 | -0.121 |

Cedimento massimo in cmb n. 21 = -0.153 cm

Elemento Platea n. 93

| Cmb. | Tipo | Car. Netto | Prof. | Sigm.Z/Sigm.Lit. | Cedim.Edom. |
|------|----------|---------------------|-------|------------------|-------------|
| n. | | daN/cm ² | cm | % | cm |
| 15 | SLE rare | -0.0861 | 150.0 | 19.445 | -0.097 |
| 16 | SLE rare | -0.1211 | 200.0 | 17.051 | -0.156 |

| | | | |
|--------------------------------------|----------------------------------------------------------------------------------------------------------------------|----------------------------------------------------------------------------------|-------------|
| COMMITTENTE: Mecca Antonio | CODICE COMMESSA: | NOME ELABORATO: S1.5 - Relazione Geotecnica e delle Fondazioni | CONSULENTE: |
| DATA: Aprile 2023 | TITOLO: Lavori ultimazione di un fabbricato adibito ad albergo-ristorante– C.da Case Nuove Chicone Avigliano (PZ) | | |

| | | | | | |
|----|----------|---------|-------|--------|--------|
| 17 | SLE rare | -0.1347 | 200.0 | 18.206 | -0.171 |
| 18 | SLE rare | -0.1697 | 225.0 | 18.786 | -0.227 |
| 19 | SLE rare | -0.1361 | 200.0 | 19.198 | -0.175 |
| 20 | SLE rare | -0.1201 | 200.0 | 16.356 | -0.153 |
| 21 | SLE rare | -0.1701 | 225.0 | 19.056 | -0.228 |
| 22 | SLE freq | -0.0861 | 150.0 | 19.445 | -0.097 |
| 23 | SLE freq | -0.1161 | 200.0 | 16.335 | -0.149 |
| 24 | SLE freq | -0.1201 | 200.0 | 16.356 | -0.153 |
| 25 | SLE freq | -0.1501 | 225.0 | 16.724 | -0.201 |
| 26 | SLE freq | -0.1211 | 200.0 | 17.051 | -0.156 |
| 27 | SLE freq | -0.1153 | 175.0 | 19.847 | -0.139 |
| 28 | SLE freq | -0.1503 | 225.0 | 16.814 | -0.202 |
| 29 | SLE q.p. | -0.0861 | 150.0 | 19.445 | -0.097 |
| 30 | SLE q.p. | -0.1161 | 200.0 | 16.335 | -0.149 |
| 31 | SLE q.p. | -0.1153 | 175.0 | 19.847 | -0.139 |
| 32 | SLE q.p. | -0.1453 | 225.0 | 16.231 | -0.195 |

Cedimento massimo in cmb n. 21 = -0.228 cm

Elemento Platea n. 94

| Cmb. n. | Tipo | Car. Netto daN/cm ² | Prof. cm | Sigm.Z/Sigm.Lit. % | Cedim.Edom. cm |
|------------|----------|-----------------------------------|-------------|-----------------------|-------------------|
| 15 | SLE rare | -0.0832 | 175.0 | 17.448 | -0.108 |
| 16 | SLE rare | -0.1182 | 200.0 | 19.992 | -0.164 |
| 17 | SLE rare | -0.1242 | 225.0 | 16.867 | -0.182 |
| 18 | SLE rare | -0.1677 | 250.0 | 17.066 | -0.245 |
| 19 | SLE rare | -0.1332 | 225.0 | 18.400 | -0.196 |
| 20 | SLE rare | -0.1186 | 200.0 | 17.910 | -0.157 |
| 21 | SLE rare | -0.1619 | 250.0 | 18.308 | -0.249 |
| 22 | SLE freq | -0.0832 | 175.0 | 17.448 | -0.108 |
| 23 | SLE freq | -0.1132 | 200.0 | 19.142 | -0.157 |
| 24 | SLE freq | -0.1186 | 200.0 | 17.910 | -0.157 |
| 25 | SLE freq | -0.1419 | 225.0 | 19.408 | -0.208 |
| 26 | SLE freq | -0.1182 | 200.0 | 19.992 | -0.164 |
| 27 | SLE freq | -0.1139 | 200.0 | 17.241 | -0.151 |
| 28 | SLE freq | -0.1428 | 225.0 | 19.561 | -0.210 |
| 29 | SLE q.p. | -0.0832 | 175.0 | 17.448 | -0.108 |
| 30 | SLE q.p. | -0.1132 | 200.0 | 19.142 | -0.157 |
| 31 | SLE q.p. | -0.1139 | 200.0 | 17.241 | -0.151 |
| 32 | SLE q.p. | -0.1378 | 225.0 | 18.868 | -0.202 |

Cedimento massimo in cmb n. 21 = -0.249 cm

Elemento Platea n. 95

| Cmb. n. | Tipo | Car. Netto daN/cm ² | Prof. cm | Sigm.Z/Sigm.Lit. % | Cedim.Edom. cm |
|------------|----------|-----------------------------------|-------------|-----------------------|-------------------|
| 15 | SLE rare | -0.0811 | 175.0 | 18.262 | -0.108 |
| 16 | SLE rare | -0.1161 | 225.0 | 17.487 | -0.176 |
| 17 | SLE rare | -0.1163 | 225.0 | 17.667 | -0.177 |
| 18 | SLE rare | -0.1513 | 250.0 | 19.065 | -0.242 |
| 19 | SLE rare | -0.1311 | 225.0 | 19.736 | -0.198 |
| 20 | SLE rare | -0.1058 | 200.0 | 19.483 | -0.151 |
| 21 | SLE rare | -0.1558 | 250.0 | 19.579 | -0.249 |
| 22 | SLE freq | -0.0811 | 175.0 | 18.262 | -0.108 |
| 23 | SLE freq | -0.1111 | 225.0 | 16.737 | -0.168 |
| 24 | SLE freq | -0.1058 | 200.0 | 19.483 | -0.151 |
| 25 | SLE freq | -0.1358 | 250.0 | 17.086 | -0.217 |
| 26 | SLE freq | -0.1161 | 225.0 | 17.487 | -0.176 |
| 27 | SLE freq | -0.1022 | 200.0 | 18.824 | -0.146 |
| 28 | SLE freq | -0.1372 | 250.0 | 17.257 | -0.219 |
| 29 | SLE q.p. | -0.0811 | 175.0 | 18.262 | -0.108 |
| 30 | SLE q.p. | -0.1111 | 225.0 | 16.737 | -0.168 |
| 31 | SLE q.p. | -0.1022 | 200.0 | 18.824 | -0.146 |
| 32 | SLE q.p. | -0.1322 | 225.0 | 19.994 | -0.200 |

Cedimento massimo in cmb n. 21 = -0.249 cm

Elemento Platea n. 96

| Cmb. n. | Tipo | Car. Netto daN/cm ² | Prof. cm | Sigm.Z/Sigm.Lit. % | Cedim.Edom. cm |
|------------|----------|-----------------------------------|-------------|-----------------------|-------------------|
| 15 | SLE rare | -0.0832 | 175.0 | 17.448 | -0.108 |
| 16 | SLE rare | -0.1182 | 200.0 | 19.992 | -0.164 |
| 17 | SLE rare | -0.1242 | 225.0 | 16.867 | -0.182 |
| 18 | SLE rare | -0.1592 | 250.0 | 17.919 | -0.245 |
| 19 | SLE rare | -0.1332 | 225.0 | 18.400 | -0.196 |

Relazione Geotecnica e delle Fondazioni

| | | | | | |
|----|----------|---------|-------|--------|--------|
| 20 | SLE rare | -0.1119 | 200.0 | 18.715 | -0.155 |
| 21 | SLE rare | -0.1619 | 250.0 | 18.308 | -0.249 |
| 22 | SLE freq | -0.0832 | 175.0 | 17.448 | -0.108 |
| 23 | SLE freq | -0.1132 | 200.0 | 19.142 | -0.157 |
| 24 | SLE freq | -0.1119 | 200.0 | 18.715 | -0.155 |
| 25 | SLE freq | -0.1419 | 225.0 | 19.408 | -0.208 |
| 26 | SLE freq | -0.1182 | 200.0 | 19.992 | -0.164 |
| 27 | SLE freq | -0.1078 | 200.0 | 18.048 | -0.150 |
| 28 | SLE freq | -0.1428 | 225.0 | 19.561 | -0.210 |
| 29 | SLE q.p. | -0.0832 | 175.0 | 17.448 | -0.108 |
| 30 | SLE q.p. | -0.1132 | 200.0 | 19.142 | -0.157 |
| 31 | SLE q.p. | -0.1078 | 200.0 | 18.048 | -0.150 |
| 32 | SLE q.p. | -0.1378 | 225.0 | 18.868 | -0.202 |

Cedimento massimo in cmb n. 21 = -0.249 cm

Elemento Platea n. 97

| Cmb. n. | Tipo | Car. Netto daN/cm ² | Prof. cm | Sigm.Z/Sigm.Lit. % | Cedim.Edom. cm |
|------------|----------|-----------------------------------|-------------|-----------------------|-------------------|
| 15 | SLE rare | -0.0909 | 175.0 | 15.931 | -0.110 |
| 16 | SLE rare | -0.1259 | 200.0 | 17.726 | -0.162 |
| 17 | SLE rare | -0.1466 | 200.0 | 19.760 | -0.183 |
| 18 | SLE rare | -0.1816 | 250.0 | 16.712 | -0.251 |
| 19 | SLE rare | -0.1413 | 225.0 | 16.660 | -0.190 |
| 20 | SLE rare | -0.1300 | 200.0 | 17.724 | -0.163 |
| 21 | SLE rare | -0.1800 | 250.0 | 16.903 | -0.251 |
| 22 | SLE freq | -0.0909 | 175.0 | 15.931 | -0.110 |
| 23 | SLE freq | -0.1209 | 200.0 | 17.002 | -0.155 |
| 24 | SLE freq | -0.1300 | 200.0 | 17.724 | -0.163 |
| 25 | SLE freq | -0.1600 | 225.0 | 18.030 | -0.212 |
| 26 | SLE freq | -0.1259 | 200.0 | 17.726 | -0.162 |
| 27 | SLE freq | -0.1245 | 200.0 | 17.045 | -0.157 |
| 28 | SLE freq | -0.1595 | 225.0 | 18.094 | -0.212 |
| 29 | SLE q.p. | -0.0909 | 175.0 | 15.931 | -0.110 |
| 30 | SLE q.p. | -0.1209 | 200.0 | 17.002 | -0.155 |
| 31 | SLE q.p. | -0.1245 | 200.0 | 17.045 | -0.157 |
| 32 | SLE q.p. | -0.1545 | 225.0 | 17.487 | -0.205 |

Cedimento massimo in cmb n. 18 = -0.251 cm